

PŘÍRUČNÍ KATALOG

ELEKTRONEK

OBRAZOVEK

POLOVODIČOVÝCH

PRVKŮ

TESLA



Č Á S T 1

PŘIJÍMACÍ ELEKTRONKY

TELEVIZNÍ OBRAZOVKY

OSCILOSKOPICKÉ OBRAZOVKY

USMĚRŇOVACÍ ELEKTRONKY

VYSÍLACÍ ELEKTRONKY

MODULAČNÍ ELEKTRONKY

PULSNÍ ELEKTRONKY

MIKROVLNNÉ ELEKTRONKY

VAKUOVÉ KONDENZÁTORY

SPECIÁLNÍ ELEKTRONKY

SNÍMACÍ ELEKTRONKY

Č Á S T 2

POLOVODIČOVÉ DIODY

POLOVODIČOVÉ USMĚRŇOVAČE

POLOVODIČOVÉ FOTONKY

NÍZKOFREKVENČNÍ TRANZISTORY

VYSOKOFREKVENČNÍ TRANZISTORY

VÝKONOVÉ TRANZISTORY

SPÍNACÍ TRANZISTORY

LINEÁRNÍ INTEGROVANÉ OBVODY

LOGICKÉ INTEGROVANÉ OBVODY

PŘÍRUČNÍ KATALOG ELEKTRONEK

TESLA

Č á s t 1

1973

TESLA ROŽNOV

Pro dodávky nezávazné.
Všechna práva, zvláště právo překladu do cizích řečí,
vyhrazeno. Přetiskování a fotomechanické rozmnožování
dovoleno jen s výhradním svolením vydavatele.

VYDAVATEL:

TESLA ROŽNOV, národní podnik
dokumentace a propagace, Rožnov pod Radhoštěm.

Tisk: Moravské tiskařské závody, n. p., Olomouc,
provoz 21, Ostrava 1, Vešslavínova 4

© TESLA Rožnov, n. p., DPS, ROŽNOV POD RADHOŠTĚM,
ČSSR, 1972.

Příruční katalog elektronek TESLA obsahuje základní
technické údaje elektronek a polovodičových prvků
a slouží k rychlé orientaci. Katalog neobsahuje po-
drobné údaje, potřebné pro vývoj a konstrukci nových
elektronických přístrojů. K těmto účelům slouží naše
konstrukční katalogy elektronek, které mimo podrob-
ných údajů obsahují i charakteristiky. Konstrukční
katalog dodáváme pouze podnikům socialistického
sektoru a výzkumným ústavům.

Přijímací elektronky, určené k prvotnímu osazování
přijímačů, případně jiných elektronických přístrojů jsou
vedeny v tabulce preferovaných typů. Obsah katalogu
však nedává přehled o právě vyráběných typech elek-
tronek a o možnostech dodávek.

Příruční katalog obsahuje technické údaje výrobků
národních podniků TESLA Rožnov, TESLA Vršovice a
TESLA - Výzkumný ústav vakuové elektroniky. Je tedy
soubornou pomůckou, obsahující informace o všech vý-
robcích z oboru vakuové elektroniky a polovodičových
prvků TESLA.

TESLA ROŽNOV
národní podnik
Rožnov pod Radhoštěm

OBSAH KATALOGU ELEKTRONEK

T y p	Strana	T y p	Strana	T y p	Strana
04QA41	270	7QR20	191	24SR51	244—245
1AF33	145	10TA9	256	24SR52	246—247
1AF34	145	10TN52	252	25QP20	212
1F33	146	10TN53	252	25QP21	210
1F34	146	11TA31	256	25SR51	244—245
1H33	147	11TF25	256	26SR51	244—245
1H34	147	11TN52	252	27SR51	244—245
1H35	148	11TN40	257	27SR52	246—247
1L33	149	11TN41	257	28SR51	244—245
1L34	149	12BC31	162	28SR52	246—247
1Y32	150	12F31	163	29SR51	244—245
1Y32T	150	12H31	164	30SE51	248—249
3L31	151	12QR50	192	31SA51	251
6B31	152	12QR51	192	31SE1	248—249
6B32	52	12TF25	256	31SE51	248—249
6BC32	153	12TN52	252	31TR40	242—243
6CC31	154	14TA9	256	31UA9	265
6CC41	42	14TA31	256	32SE51	248—249
6CC42	43	14TN52	252	33SE51	248—249
6F31	44	17TN52	252	35L31	165
6F32	155	18TN52	252	35Y31	166
6F32V	156	20SE4	248—249	43QV26	266
6F35	157	20SP52	250	43QV26—P	266
6F36	158	20SR51	244—245	44QV26	266
6H31	159	20SR52	246—247	51TR50	242—243
6L31	160	21SR51	244—245	53QV26	266
6L41	45	21SR53	246—247	53QV26—R	266
6L43	46	21TE31	254	57SP52	250
6L50	47	22QA41	270	58SP52	250
6L50S/6L50V	48	22SR51	244—245	60RS40	242—243
6Y50	49	23QA41	270	60SA51	251
6Z31	161	23SR51	244—245	60ST53	246—247

T y p	Strana	T y p	Strana	T y p	Strana
61PK412	263, 265	214SR51	246-247	AW53-80	217
61PK413	263, 265	220SR52	246-247	● AZ1	168
61PK414	263, 265	221SR51	244-245	AZ4	168
61PK415	263, 265	227SR51	244-245	BP240/20	258
61PK422	263, 265	250QQ47	211	DCG4/1000	224
61PK441	264	250QQ86	211	● DY86	50
61PK501	264, 265	251QQ44	213	● DY87	50
61PK501S	264, 265	280QQ44	214	EA52	51
61ST53	246-247	282QQ52	193	● EAA91	52
62PK401	263	351QP44	215	● EABC80	53
62SA51	251	367	225	EBF89	54
63SA51	251	430QP44	198	EBL21	169
64SP52	250	430QP86	194	EC86	170
64QV26	266	430QQ86	195	● ECC82	55
65PK413	264-265	431QQ44	216	ECC83	56
65PK423	264-265	470QQ44	201	ECC84	57
65SP52	250	472QQ44	202	ECC85	58
66PK511	264	502QQ44	203	ECC88	59
66SP52	250	512QM8	267-268	ECC802S	60
70SA51	251	531QQ44	204	ECC803S	171
110TN52	252	590QQ44	205	ECF82	63
114TN52	252	592QQ44	218	ECF200	64
130QP40	269	593QQ44	206	ECF201	65
131QP55	196	612QQ44	207	ECF801	66-67
131QP56	196	1710	225	ECF802	68
132QP40	269	1738	225	ECF803	66-67
180QQ44	197	1749A	225	ECH21	172
180QQ86	197	1749S	225	● ECH81	69
203SR51	244-245	4654	167	● ECH84	70
204SR51	244-245	A50-120W	203	ECH200	71
209SR52	244-245	A59-23W	206	ECL82	72-73
210SR52	246-247	A61-120W	207	ECL84	74
211SR52	246-247	AW43-80	199	ECL86	75-76
213SR51	246-247	AW43-88	200	ECL200	77

T y p	Strana	T y p	Strana	T y p	Strana
ECL805	123	● EZ81	103	● PY88	133
EF22	173	E83CC	61	● PY500	134
● EF80	78	E88CC	62	QQE03/12	238-239
EF86	79	E180F	84	RA0007A	224
EF95	155	● PABC80	104	RA0007B	224
● EF183	80	PC86	105	RA025B	224
EF184	81	PC88	106	RA03YA	240-241
EF800	82	● PCC84	107	RA05A	224
EF806S	83	PCC85	178	RA7YB	224
EL12 spec.	174	● PCC88	108	RA100A	224
EL34	85-86	● PCF82	109	RC5B, RC5C	226-227
EL36	87	● PCF200	110	RD27AS	226-227
EL51	175	● PCF201	111	RD200B	226-227
EL81	88	PCF801	112-113	RD300S	226-227
EL82	89	● PCF802	114	RD1XA	226-227
EL83	90	PCF803	112-113	RD1XH	226-227
EL84	91-92	PCH200	115	RD1, 5XA	226-227
EL86	93-94	● PCL82	116-117	RD2XF	226-227
EL500	95	● PCL84	118	RD2XG	226-227
EL504	96	● PCL85	119, 121	RD2XH	226-227
EL509	97	● PCL86	120, 121	RD2XJ	226-227
EL803S	98	PCL200	122	RD3XL	232-233
EM4n	176	● PCL805	123	RD5XF	226-227
● EM11	176	● PL36	124	RD5XG	226-227
● EM80	177	PL81	125	RD5XH	226-227
EM81	177	● PL82	126	RD5YA	228-229
● EM84	99	● PL83	127	RD5YB	228-229
EY82	100	PL84	128	RD5YF	228-229
EY83	101	● PL500	129	RD5YH	228-229
EY86	102	● PL504	130	RD8XA	228-229
EY87	102	● PL509	131	RD8XH	228-229
EY88	101	PM84	179	RD10XL	232-233
EY3000N	224	PY82	132	RD12XB	228-229
EZ80	103	● PY83	133	RD12XH	228-229

Typ	Strana	Typ	Strana	Typ	Strana
RD12YB	228—229	UBL21	180	ZM1082T	262
RD12YH	228—229	UCC85	137		
RD15VL	232—233	UCH21	181		
RD18YA	228—229	UCH81	138		
RD18YH	230—231	UCL82	139—140		
RD20XK	228—229	UL84	182		
RD20XL	232—233	UM80	183		
RD20ZA	230—231	UY1N	184		
RD50XA	228—229	UY1NS	184		
RD50XH	228—229	UY82	141		
RD50XL	232—233	UY85	185		
RD50ZA	230—231	UA1A	224		
RD75YB	230—231	UA1B	224		
RD75YH	230—231	UA3A	224		
RD70VL	232—233	UA5A	224		
RD150YA	230—231	V255—12—18A	255		
RD150YB	230—231	V255—12—18B	255		
RD150YH	230—231	VA1M	271		
RD150YJ	230—231	VC2M	272		
RD250VM	232—233	VC2T	272		
RE01XM	240—241	VG1M	273		
RE025XM	240—241	ZD1XB	234—235		
RE025XA	240—241	ZD3XH	234—235		
RE5XN	240—241	ZD12YA	234—235		
RE65A	236—237	ZD70VL	232—233		
RE125C	236—237	ZD8XA	234—235		
RE400C	236—237	ZD1000F	234—235		
RE1000F	236—237	ZE025XA	234—235		
REE30B	238—239	ZM1020	259		
SRS4451	238—239	ZM1030	260		
TC021	240—241	ZM1031/01	261		
UA025A	224	ZM1032	260		
UABC80	135	ZM1033/01	261		
UBF89	136	ZM1080T	262		

Vysvětlivky k elektrickým hodnotám elektronek

V tomto katalogu jsou u přijímacích a částí vysílacích elektronek uváděny pouze základní technická data:

Žhavicí údaje

Statické hodnoty

Provozní hodnoty

Mezní hodnoty

Kapacity mezi elektrodami

Žhavicí napětí u elektronek pro paralelní žhavení a **žhavicí proud** u elektronek sériově žhavených jsou jmenovité hodnoty a je třeba bezpodmínečně je dodržovat. Jako směrný údaj o způsobu žhavení platí vždy první řádek ve sloupci „Žhavení“. U paralelně žhavených elektronek je to žhavicí napětí, u sériově žhavených žhavicí proud. Elektronky řady E jsou převážně určeny pro paralelní žhavení, pouze ve výjimečných případech je povoleno paralelní a sériové žhavení. V těchto případech je uveden obojí způsob žhavení. Elektronky řady P a U jsou určeny výhradně pro sériové napájení.

Odchylka jmenovité hodnoty žhavicího napětí elektronek paralelně žhavených, způsobená tolerancemi součástek, smí být nejvýše $\pm 5\%$ jmenovitého žhavicího napětí, u elektronek sériově žhavených $\pm 3\%$ jmenovitého žhavicího proudu. V obou případech nesmí krátkodobě přesáhnout kolísání síťového napětí $\pm 10\%$.

Žhavicí napětí u elektronek napájených sériově přes srážecí odpor nesmí v okamžiku zapnutí přístroje přestoupit hodnotu 1,5 násobku jmenovitého žhavicího napětí (není-li udána jiná hodnota). Tolerance vypočtené hodnoty srážecího odporu má být menší než $\pm 3\%$.

Bateriové elektronky se jmenovitým žhavicím napětím 1,4 V se smí provozovat při paralelním napájení se žhavicím napětím max 1,5 V, min. 1,15 V. Při sériovém napájení žhavicích vláken se jmenovité žhavicí napětí snižuje na 1,3 V, tolerance napájecího napětí zůstávají stejné max 1,5 V, min. 1,15 V. Při výpočtu srážecího odporu je nutno

současne snížit žhavicí napětí takto: u elektronek s $I_F = 25$ mA na 24 mA, $I_F = 50$ mA na 48 mA, $I_F = 100$ mA na 96 mA. Napětí napájecího zdroje má být nejméně $10\times$ větší než součet žhavicích napětí všech použitých elektronek. Pak je přípustné kolísání síťového napětí nejvýše $\pm 10\%$. K odvodu přídatných katodových proudů elektronek musí se jednotlivá žhavicí vlákna sériově spojena překlenout příslušným paralelním odporem.

Jako napájecí zdroj může mimo suchých baterií sloužit rovněž nikl-kadmiový nebo olověný akumulátor. U olověného akumulátoru se musí přepětí omezit předřadným odporem. Použije-li se k napájení napětí ze síťového transformátoru usměrněného polovodičovým nebo elektronkovým usměrňovačem, musí být napětí dokonale vyhlazené. V tomto případě se doporučuje použít nikl-kadmiového akumulátoru jako nabíjecího kondenzátoru filtru, pokud akumulátor má jako kondenzátor kapacitu kolem $10^5 \mu F$.

Elektronky s katodou z thoriovaného wolframu jsou mnohem choulostivější na změny žhavicího napětí než elektronky s katodou kysličníkovou. Proto zde neplatí předchozí odstavce. Přípustné kolísání žhavicího napětí u těchto elektronek je nejvýše $\pm 5\%$ od jmenovité hodnoty. Uváděné statické hodnoty jsou střední hodnoty elektronek, zpravidla za podmínek, za kterých se ve výrobě měří. Skutečné údaje jednotlivých elektronek se mohou poněkud odchylovat, a to v tolerancích, stanovených technickými podmínkami. Uváděná napětí elektrod se vztahují vždy vůči katodě, u přímo žhavených elektronek vůči zápornému pólu žhavicího vlákna.

Provozní hodnoty jsou doporučené údaje volené tak, aby elektronka byla co nejlépe a nejehospodárněji využita. Zde je třeba zdůraznit dodržování těchto hodnot. Před uvedením nového přijímače do chodu je třeba se měřením přesvědčit o tom, zda předepsané hodnoty jsou skutečně dodrženy. Měření lze omezit na přezkoušení anodového proudu v pracovním bodu, proudu stínící mřížky a všech napětí elektrod. K měření napětí je nutno používat voltmetru s vysokým vnitřním odporem, aby nevznikla velká chyba měření. Předpětí řídicí mřížky se nesmí měřit mezi katodou a mřížkou, nýbrž mezi oběma póly katodového odporu. Při jakýchkoliv odchylkách od doporučených provozních hodnot musí se zabezpečit dodržení uvedených mezních hodnot.

Mezní hodnoty jsou nejvýše dovolené provozní hodnoty, a to v prvé řadě napětí, proudů, ztrát, které nesmějí být při jmenovitém síťovém napětí, pro něž je přístroj konstruován, za žádných okolností překro-

čeny. Je nutno uvažovat při konstrukci přístrojů všechny změny napětí, způsobené změnami signálu nebo tolerancemi použitých součástí.

U koncových elektronek možno využít ještě toho, že napětí, závislá na změnách signálu, směřují při jmenovitém napětí sítě překročit danou mezní hodnotu nejvýše o 5% , při čemž nesmí být překročena mezní anodová ztráta a ztráta stínící mřížky. Využití mezních hodnot je přípustné pouze v tom případě, kdy krátkodobé změny síťového napětí nepřekročí $\pm 10\%$ jmenovité hodnoty.

Předpokládá-li se pro provoz přístroje větší kolísání síťového napětí než o 10% , je nutno učinit taková opatření, aby změny napájecího napětí přístroje ani krátkodobě nepřekročily $\pm 10\%$.

Mezi mezní hodnoty přísluší i údaj o nejvyšší přípustné teplotě baňky. U miniaturních elektronek se povoluje max. $150^\circ C$ (není-li uvedeno jinak), u ostatních elektronek, je-li to nutné, je uváděna ve sloupci mezních hodnot.

U vysílacích a speciálních elektronek platí zvláštní předpisy, o nichž je uvědoměn odběratel při sjednávání dodávky.

Kapacity mezi elektronkami jsou převážně udávány jako střední hodnota. Pouze u průchozí kapacity a v některých dalších případech je uváděna maximální, případně minimální hodnota.

Vysvětlivky k některým mezním údajům

Napětí mezi katodou a vláknem $U_{K/F}$

Udaná mezní hodnota se vztahuje na stejnosměrné napětí, nebo efektivní hodnotu střídavého napětí, případně na součet obou napětí. Pokud není označena polarita napětí, vztahuje se mezní hodnota napětí v obou směrech.

Vnější odpor mezi katodou a vláknem $R_{k/f}$

Vnější odpor, připojený mezi katodou a žhavicím vláknem, má být co nejmenší a nemá překročit 20 k Ω . Pouze u obracečů fáze může být připojený odpor větší hodnoty.

Svodový odpor řídicí mřížky R_{g1}

Není-li uvedeno jinak, platí udaná hodnota svodového odporu řídicí mřížky při automatickém předpětí pomocí katodového odporu. Použije-li se pevného předpětí ze zvláštního zdroje a není-li pro tento případ uveden v mezních hodnotách samostatný údaj, smí se použít svodového odporu nejvýše poloviční hodnoty, jež je uvedena pro automatické předpětí. Použije-li se poloautomatického předpětí — odporu ve společném záporném přívodu, jímž protékají proudy všech elektronek — a není-li přímo udána jiná hodnota, vypočte se jeho hodnota v M Ω podle vzorce

$$R_{g1 \text{ max}} = 0,7 \left(\frac{I_K \cdot R_{g1}}{I_c} \right),$$

kde R_{g1} je hodnota svodového odporu při automatickém předpětí v M Ω , I_K katodový proud příslušné elektronky v mA, I_c celkový proud, protékající zápornou větví v mA. Použití poloautomatického předpětí je přípustné jen tehdy, jestliže katodový proud I_K činí více než 50 % celkového proudu I_c , protékajícího odporem pro vytvoření předpětí.

Pokud se dovoluje vytváření mřížkového předpětí průtokem mřížkového proudu svodovým odporem a není-li udáno jinak, nesmí být svodový odpor větší než 22 MΩ.

Svodový odpor brzdící mřížky R_{g3}

Není-li v mezních nebo provozních údajích uvedena max hodnota svodového odporu brzdící mřížky, musí se brzdící mřížka spojit přímo s katodou nebo nulovým potenciálem.

Ochranný odpor usměrňovacích elektronek R_o

V anodovém obvodu každé usměrňovací elektrony musí být zařazen ochranný odpor R_o předepsané velikosti. Je-li elektronka napájena ze síťového transformátoru, tvoří ochranný odpor vnitřní odpor transformátoru, jehož velikost vypočteme

$$R_o = R_{sek} + p^2 R_{pr} + R_1$$

v němž značí:

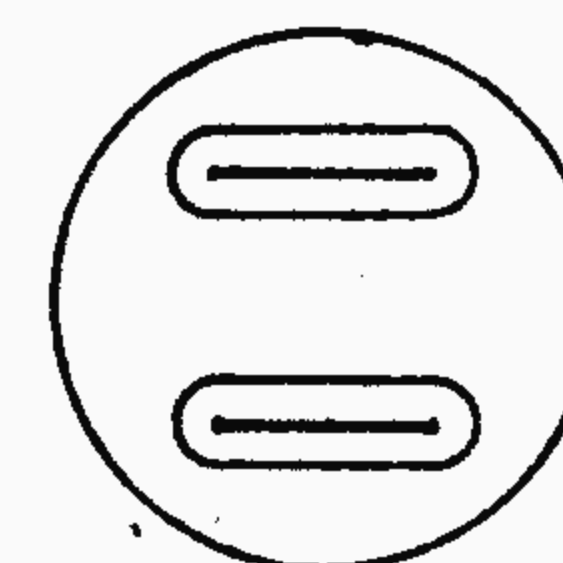
- R_{pr} ohmický odpor primárního vinutí
- R_{sek} ohmický odpor poloviny sekundárního vinutí
- p transformační poměr — poměr poloviny sekundárního vinutí k primárnímu vinutí
- R_1 případný sériový odpor v obvodu sekundáru, kterým se doplní vnitřní odpor transformátoru na předepsanou hodnotu.

Nabíjecí kondenzátor filtru C_N

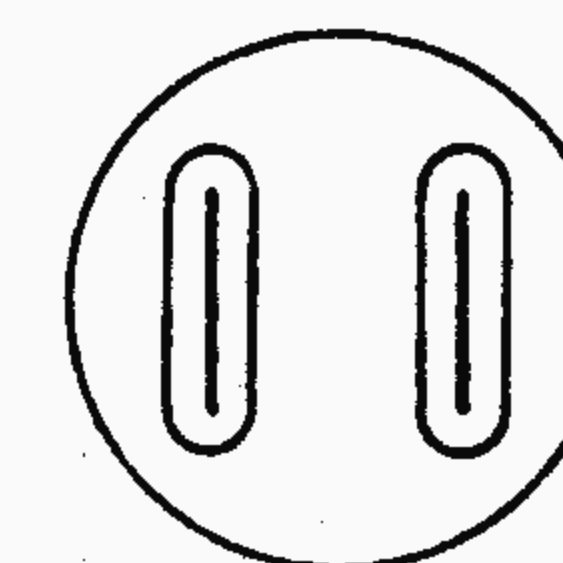
Mezní hodnota nabíjecího kondenzátoru C_N , připojeného na vstup filtračního členu, je uváděna v mezních hodnotách vždy pro určitý ochranný odpor R_o . Je proto vždy nutné posuzovat kapacitu v souvislosti s ochranným odporem. Připojením většího kondenzátoru než je dovoleno vzrostou špičkové proudy usměrňovací elektrony nad přípustnou míru, čímž se ohrozí životnost elektrony.

Připomínky k použití elektronek

Všeobecně lze elektrony provozovat v libovolné pracovní poloze s výjimkou patící vzhůru. V jakékoliv poloze, s výjimkou polohy svislé, musí být elektrony dostatečně zajištěny proti vypadnutí. Toho je nutno dbát zvláště u elektronek miniaturních, které mohou snadno z objímky vypadnout. Držák musí být konstruován tak, aby nebyl rušen oběh vzduchu okolo baňky elektrony a tím odvod tepla z ní. Elektrony přímo žhavené je nutno při provozu v horizontální poloze natočit tak, aby žhavicí vlákna ležela ve svislé rovině, u koncových elektronek ve svislé rovině s větší osou anody. Jinak žhavicí vlákno ve žhaveném stavu se svou váhou snadno prohne a může způsobit zkrat mezi anodou, případně řídicí mřížkou.



chybně



správně

Při propojování objímek miniaturních celoskleněných elektronek je nutno k zamezení jejich poškození dbát toho:

- a) Jako propojovací a opěrné body se nesmějí používat volná dotyková pára nebo pomocné vývody.
- b) Příčné tlaky na kolíky elektrony mohou způsobit prasknutí zátavů kolíků a je jim nutno předejít tím, že pohyblivost dotykových pár usnadníme propojováním měkkým drátem (lankem). Během propojování objímek má být v nich zasunut kalibr, jímž se nastaví pára objímky do polohy, jaká je ve skutečném provozu.

- c) Elektronky se smí zasouvat a vyjímat pouze v pravoúhlém směru vůči objímce, a to bez použití jakéhokoliv pomocného nástroje.
- d) Před zasunutím elektronky do objímky musí se nejdříve do ní zasunout kalibrovací přípravek, aby se počáteční příčný tlak dotykových pér poněkud zmírnil.
- e) Před vsazením do nové objímky musí se patice každé elektronky kalibrovat přípravkem, upraveným pro rovnání kolíků.

Vysílací elektronky se musí zpravidla montovat ve svislé poloze.

Elektronky s náplní rtuti se musí montovat výhradně ve svislé poloze, patičí dolů. Před uvedením do chodu musí se výbojky zahořet podle předpisu, jež je uveden jako doplněk údajů výbojek. Tento návod je přikládán i ke každé elektronce.

Obrazovky se doporučuje montovat hlavně ve vodorovné poloze. K upevnění obrazovky se nesmí používat objímky. Přívody k objímce mají být pohyblivé a dostatečné délky, aby se vyloučilo případné napínání a aby bylo možno obrazovku mírně otáčet.

Elektronky se smí provozovat v prostředí s relativní vlhkostí vzduchu do 85 %.

Vysvětlivky použitých znaků a zkratk přijímacích, vysílacích a zesilovacích elektronek a obrazovek

Symbole pro označení elektrod:

a	anoda
d	anoda diody
f	žhavení
f _s	střední odbočka žhavicího vlákna nebo přímo žhavené katody
+f	kladný pól žhavicího vlákna
-f	záporný pól žhavicího vlákna
g	mřížka všeobecně, řídicí elektroda u oscilografických a televizních obrazovek
g ₁	řídicí mřížka
g ₂	stínící mřížka
g ₃	brzdící nebo druhá řídicí mřížka (u hexod a heptod)
g ₄	stínící mřížka
g ₅	brzdící mřížka u heptod
ic	vnitřní přípoj — ke kolíku se nesmí připojovat žádný spoj
k	katoda
k _{vst}	katodový vývod, na nějž se připojuje vstupní obvod
k _{výst}	katodový vývod, na nějž se připojuje výstupní obvod
l	luminiscentní stínítko indikátorů vyladění
s	vnitřní stínění
m	vnější stínění
D	vychylovací prvek indikátorů vyladění
D1, D2	vychylovací destičky bližší katodě (u obrazovek)
D3, D4	vychylovací destičky bližší stínítku (u obrazovek)
S	fluorescentní stínítko oscilografických a televizních obrazovek

Elektronky, sdružující v jedné baňce několik elektrodových systémů, mají jednotlivé systémy označeny velkým písmenem:

H	heptoda nebo hexoda
P	pentoda
T	trioda
Tt	tetroda

Sdružené elektronky se stejnými systémy (i když jiných elektrických hodnot) mají jednotlivé systémy označeny římskými číslicemi.

Symbole pro označení napětí:

U_a	anodové napětí — stejnosměrné napětí mezi anodou a katodou
U_{aM}	výstupní napětí špičkové
$U_{a\ ef}$	střídavé efektivní anodové napětí
U_{arc}	napětí na oblouku
U_{AM}	špičkové anodové napětí
$-U_{AM}$	špičkové anodové napětí opačné polarity (záporný pól na anodě)
U_{AO}	anodové napětí za studena — stejnosměrné napětí mezi anodou a katodou nevyžhavené elektronky nebo elektronky uzavřené záporným předpětím ($I_A = 0\text{ mA}$)
U_B	napájecí napětí — napětí zdroje, z něhož je napájena elektronka přes pracovní odpory R_a , R_{g2} nebo $R_{g2} + g_4$
U_{BG1}	napájecí napětí řídicí mřížky
U_{BG2}	napájecí napětí stínící mřížky — napětí zdroje, z něhož je napájena stínící mřížka přes pracovní odpor R_{g2} , příp. $R_{g2} + g_4$
U_D	napětí na anodě diody
U_{DN}	napětí pro nasazení diodového proudu ($I_D \leq +0,3\ \mu\text{A}$)
U_G	napětí mřížky
U_{GZ}	závěrné napětí — předpětí řídicí mřížky, při němž ($I_A = 0\text{ mA}$)
U_{G1}	napětí řídicí mřížky
$U_{G1\ ef}$	efektivní střídavé budicí napětí
U_{G1N}	předpětí pro nasazení mřížkového proudu ($I_{G1} \leq +0,3\ \mu\text{A}$)
U_{G2}	napětí stínící mřížky
U_{G20}	napětí stínící mřížky za studena — stejnosměrné napětí mezi stínící mřížkou a katodou nevyžhavené elektronky nebo elektronky uzavřené záporným předpětím ($I_A = I_{G2} = 0\text{ mA}$)
U_{G2+G4}	napětí stínících mřížek
$U_{G2+G4\ 0}$	napětí stínících mřížek za studena
U_{G3}	napětí brzdící mřížky
U_F	žhavicí napětí
U_{Ft}	žhavicí napětí během doby nažhavení elektronky
U_{inv}	inverzní napětí špičkové
$U_{K/F}$	napětí mezi katodou a žhavicím vláknem (stejnosměrné nebo špičková hodnota střídavého)
U_L	napětí stínítka indikátoru vyladění

U_{LO}	napětí stínítka indikátoru vyladění za studena (nevyžhavené elektronky)
$U_{o\ ef}$	střídavé výstupní napětí efektivní
U_O	usměrněné napětí
$U_{tr\ ef}$	střídavé napájecí napětí na transformátoru
U_{zap}	zápalné napětí
U_{vf}	vysokofrekvenční napětí

Symbole pro označení proudů:

I_A	anodový proud
I_{AM}	anodový proud špičkový
I_{A+G2}	anodový proud a proud stínící mřížky pentody v triodovém zapojení
I_{AO}	anodový proud v klidu — anodový proud protékající elektronkou v zapojení zesilovače výkonu při nulovém budicím napětí ($U_{G1\ ef} = 0$)
I_D	anodový proud diody
I_e	emisní proud
I_{G1}	proud řídicí mřížky
I_{G2}	proud stínící mřížky
$I_{G2\ 0}$	proud stínící mřížky v klidu — proud protékající stínící mřížkou elektronky v zapojení zesilovače výkonu při nulovém budicím napětí ($U_{G1\ ef} = 0\text{ V}$)
I_{G2+G4}	proud stínících mřížek g_2 a g_4
I_{GT+G3}	proud řídicí mřížky triodového systému a proud druhé řídicí mřížky g_3 hexody (nebo heptody) ve směšovacím zapojení
I_F	žhavicí proud přímo i nepřímo žhavené katody
I_K	katodový proud
I_L	proud stínítka indikátoru vyladění
I_O	usměrněný proud
I_{OM}	usměrněný proud špičkový

Symbole pro označení výkonů:

P_{AR}	anodová ztráta
P_{G1R}	ztráta stínící mřížky
P_{G2R}	ztráta řídicí mřížky
$P_{G2+G4\ R}$	ztráta stínících mřížek

P_s	zatížení stínítka oscilografických a televizních obrazovek
P_o	výstupní výkon výkonových elektronek
$P_o (10 \%)$	výstupní výkon výkonových elektronek při skreslení signálu 10 %
P_i	střídavý budicí výkon

Ostatní symboly:

C_N	nabíjecí kondenzátor filtru
D	průnik — reciproká hodnota zesilovacího činitele $D = 1/\mu$
D_2	průnik stínící mřížky — reciproká hodnota zesilovacího činitele $D_2 = 1/\mu_{g2/g1}$
R_a	anodový zatěžovací odpor
R_{a-a}	zatěžovací odpor mezi anodami (u dvojčinných zesilovačů)
R_{ekv}	ekvivalentní šumový odpor
R_{g1}	svodový odpor řídicí mřížky
$R_{g1'}$	svodový odpor řídicí mřížky elektrony následujícího stupně
$R_{g1(i)}$	svodový odpor řídicí mřížky při předpětí průtokem mřížkového proudu
$R_{g1(k)}$	svodový odpor řídicí mřížky při automatickém předpětí (pomocí katodového odporu)
$R_{g1(p)}$	svodový odpor řídicí mřížky při pevném předpětí
$R_{g1(s)}$	svodový odpor řídicí mřížky ve stabilizovaném obvodu
R_{g2}	odpor v obvodu stínící mřížky
R_{g2+g4}	odpor v obvodu stínících mřížek
R_{g3}	svodový odpor brzdící nebo druhé řídicí mřížky
R_i	vnitřní odpor
R_k	katodový odpor
$R_{k/f}$	vnější odpor mezi katodou a vláknem
R_o	omezovací odpor v anodovém obvodu
R_z	zatěžovací odpor (u usměrňovačů)
R_D	svodový odpor vychylovací destičky u oscilografických obrazovek
S	strmost
S_c	směšovací strmost — je daná proudem v anodovém obvodu směšovací elektrony při určeném mf kmitočtu, přivádíme-li na řídicí mřížku směšovače vf signál efektivní 1 V.
$S_{g1/g2+g4}$	statická strmost hexodového nebo heptodového směšovače ($g_2 + g_4$ zastává anodu oscilátoru)

$S_{D1/D2}$	citlivost vychylovacích destiček D_1 a D_2 bližších katodě
$S_{D3/D4}$	citlivost vychylovacích destiček D_3 a D_4 bližších stínítku
k	celkové skreslení harmonickými
f	kmitočet
t	doba — čas
θ_1	stínový úhel citlivějšího systému
θ_2	stínový úhel méně citlivého systému
t_f	doba nažhavení elektrony
μ	zesilovací činitel = $1/D$
$\mu_{g2/g1}$	zesilovací činitel stínící mřížky = $1/D_2$
V	zesílení — zisk napětí, daný U_a/U_{g1} (u odporově vázaných zesilovačů)
α	úhel svítící výseče
β	úhel stínové výseče
ϑ_b	teplota baňky

Mezielektrodové kapacity:

U diod a dvojitých diod:

$C_{a/k}$	anoda vůči katodě
$C_{aI/aII}$	anoda I vůči anodě II
$C_{a/k+s+f}$	anoda vůči katodě spojené s vnitřním stíněním a žhavicím vláknem
$C_{k/a+s+f}$	katoda vůči anodě spojené s vnitřním stíněním a žhavicím vláknem

U ostatních elektronek:

C_a	výstupní kapacita
$C_{a/g1}$	průchozí kapacita
$C_{a/k}$	anoda vůči katodě
C_{g1}	vstupní kapacita
$C_{g1/f}$	řídicí mřížka vůči vláknu
$C_{g1/k}$	řídicí mřížka vůči katodě

U elektronek se dvěma řídicími mřížkami:

$C_{a/g3}$	anoda vůči řídicí mřížce g_3
$C_{g1/g3}$	řídicí mřížka 1 vůči druhé řídicí mřížce
C_{g2+g4}	výstupní kapacita stínících mřížek
C_{g3}	vstupní kapacita řídicí mřížky g_3

U triod — heptod nebo hexod:

$C_{g3H+gT/g1H}$	kapacita řídicí mřížky g_3 heptody a řídicí mřížky triody vůči řídicí mřížce g_1 heptody
------------------	--

$C_{g3H+gT/aH}$ kapacita řídicí mřížky $g3$ heptody a řídicí mřížky triody
vůči anodě heptody
 $C_{gT/g1H}$ řídicí mřížka triody vůči řídicí mřížce heptody
 $C_{gT/g3H}$ vstupní kapacita řídicí mřížky triody a řídicí mřížky $g3$
heptody

U obrazovky:

$C_{a2/b}$ kapacita urychlovací anody a_2 vůči kovovému rámečku
protiimplosní úpravy
 $C_{a2/m}$ kapacita urychlovací anody a_2 vůči vnějšímu vodivému
povlaku
 C_g, C_{g1} vstupní kapacita řídicí elektrody
 C_{D1} vstupní kapacita vychylovací elektrody D_1
 C_{D2} vstupní kapacita vychylovací elektrody D_2
 C_{D3} vstupní kapacita vychylovací elektrody D_3
 C_{D4} vstupní kapacita vychylovací elektrody D_4
 $C_{D1/D2}$ vychylovací destička D_1 vůči D_2
 $C_{D1/D3}$ vychylovací destička D_1 vůči D_3
 $C_{D1/D4+a2}$ vychylovací destička D_1 vůči destičce D_4 a anodě a_2
 $C_{D3/D4+a2}$ vychylovací destička D_3 vůči destičce D_4 a anodě a_2
 C_k kapacita katody vůči všem ostatním elektrodám.

PŘIJÍMACÍ ELEKTRONKY

OSCILOGRAFICKÉ A TELEVIZNÍ OBRAZOVKY

VYSÍLACÍ A ZESILOVACÍ ELEKTRONKY, PULSNÍ A MIKROVLNNÉ ELEKTRONKY, VAKUOVÉ KONDENZÁTORY

SPECIÁLNÍ ELEKTRONKY, ELEKTRONKY SE STUDENOU KATODOU, FOTONKY, FOTONĀSOBIČE, SNÍMACÍ ELEKTRONKY

PŘEVODNÍ TABULKA ELEKTRONEK

**Přijímací a zesilovací
elektronky**

Doporučené typy k prvotnímu osazování

Ž h a v e n í			$U_F = 1,4 \text{ V}$	$U_F = 6,3 \text{ V}$	$U_F = 0,3 \text{ V}$	$U_F = 0,1 \text{ V}$
Diody	pro síťové usměrňovače	jednoduché	DY86 DY87 DY51	EY86 EY88 EY87	PY88	UY82 UY85
	vysoko- frekvenční	jednoduché		EA52		
Triody	zesilovače napětí	dvojitě		ECC82 ECC83 ECC85 E88CC ECC802S E83CC	ECC82 ECC83 PCC85 PCC88	UCC85
		se třemi diodami		EABC80	PABC80	UABC80
Vysokofrek- venční a nízkofrek- venční pentody	lineární	jednoduché		EF80 EF86 E180F EF183 EF800 EF806S	EF80	
	řízené	jednoduché se dvěma diodami		EF184 EBF89		UBF89
Konecové tetrody a pentody	$P_{AR} \text{ max} = 18 \text{ W}$	jednoduché		EL84 EL86 EL803S	PL84 PL500 PL504	UL84
		s triodou		ECL86 ECL85 ECL84 ECL200	PCL86 PCL85 PCL84 PCL200	UCL82
	$P_{AR} = 45 \text{ W}$	jednoduché		EL34	PL509	
Sdružené elektronky	sdružené	trioda — pentoda		ECF200 ECF201 ECF801 ECF802 ECF803	PCF200 PCF201 PCF801 PCF802 PCF803	
		trioda — heptoda		ECH81 ECH84 ECH200	PCH200	UCH81
Ukazatelé vyladění				EM84	PM84	UM80

Značení přijímacích elektronek podle normy TESLA NT - K 003

Podle ustanovení této normy se označují elektrony a výbojky vlastní konstrukce. Elektrony odpovídající elektrickým vlastnostem a vnějším provedením jednotně vyráběným elektronkám označují se typovými znaky podle jednotného evropského značení.

Znaky elektronek a výbojek jsou sestaveny z číslic a velkých písmen. Na prvním místě znaku jsou číslice, uprostřed písmeno a na posledním místě číslice.

První částí znaku je číselná skupina, udávající zaokrouhlené žhavicí napětí ve voltech.

Druhou částí znaku je velké písmeno nebo skupina písmen, určující stavbu elektrodového systému. Sdružené elektrony s několika systémy se označují skupinou velkých písmen v abecedním pořadí. Každý systém má ve znaku své písmeno. Katoda se žhavicím vláknem se považuje za jednu elektrodu.

Významy písmen jsou:

- A - dioda (v nejširším slova smyslu)
- B - dvojitá dioda
- C - trioda (s výjimkou koncové triody)
- D - koncová trioda
- E - tetroda
- F - pentoda (s výjimkou koncové pentody)
- H - hexoda, heptoda včetně pentagridu
- K - oktoda (obecně též systém s osmi a více elektrodami)
- L - koncová pentoda
- M - elektronový světelný indikátor
- W - jednocestný usměrňovač plynový
- X - dvojcestný usměrňovač plynový
- Y - jednocestný usměrňovač vakuový
- Z - dvojcestný usměrňovač vakuový

Třetí částí číselného znaku je skupina dvou až tří číslic. První čísla 1 až 39 určují patice, poslední číslice blíže vyznačuje typ a sérii.

Čísla udávají:

- 1 - patice oktal K8/17 ČSN 35 8907
- 2 - patice loktal S8/18 ČSN 35 8903
- 3 - patice heptal S7/10 ČSN 35 8902
- 4 - patice novál S9/12 ČSN 35 8904
- 5 - celoskleněná patice devítikolíková S9/25 ČSN 35 8905
- 9 - vyvedené dráty k pájení
- 21 - patice T (kovová řada) ČSN 35 8913
- 22 - patice P (s bočními kontakty) ČSN 35 8914

Číselný znak se píše bez rozdělovacích znamének a bez mezer. Ve zvláštních případech se vyznačuje speciální úprava elektrony doplňkovým písmenem za třetí částí znaku. Písmeno značí:

- V - konstrukce se zvětšenou odolností proti otřesům
- Z - katoda s velmi dlouhou dobou života.

Jednotné evropské značení elektronek

Elektronky odpovídající elektrickými vlastnostmi a vnějším provedením jednotně vyráběným elektronkám se označují typovými znaky podle jednotného evropského značení.

Znaky běžných elektronek jsou sestaveny z číslic a velkých písmen. Na prvním místě znaku jsou písmena, na druhém místě číslice.

První část znaku je složená ze skupiny písmen, z nichž vždy první písmeno udává žhavicí napětí ve voltech a způsob napájení žhavicího vlákna podle klíče:

- A — žhavicí napětí 4 V, paralelní napájení
- D — žhavicí napětí 1,4 V, příp. 1,2 V, napájení z baterií paralelně nebo sériově
- E — žhavicí napětí 6,3 V, paralelní (výjimečně i sériové) napájení
- G — žhavicí napětí 5 V, paralelní napájení
- P — žhavicí proud 0,3 A, sériové napájení
- U — žhavicí proud 0,1 A, sériové napájení
- V — žhavicí proud 0,05 A, sériové napájení

Druhé a další písmeno první části znaku udává stavbu elektrodového systému. Sdružené elektronky s několika systémy se označují skupinou velkých písmen v abecedním pořadí. Každý systém má ve znaku své písmeno. Katoda se žhavicím vláknem se považuje za jednu elektrodu.

Význam písmen:

- A — dioda
- B — dvojitá dioda
- C — trioda (s výjimkou koncové triody)
- D — koncová trioda
- E — tetroda (zesilovač napětí)
- F — pentoda (s výjimkou koncové pentody)
- H — hexoda nebo heptoda vyjma pentagridu
- K — oktoda nebo pentagrid
- L — koncová pentoda nebo tetroda
- M — elektronový světelný indikátor
- Q — enneoda

- X — dvojcestný usměrňovač plynový
- Y — jednocestný usměrňovač vakuový
- Z — dvojcestný usměrňovač vakuový

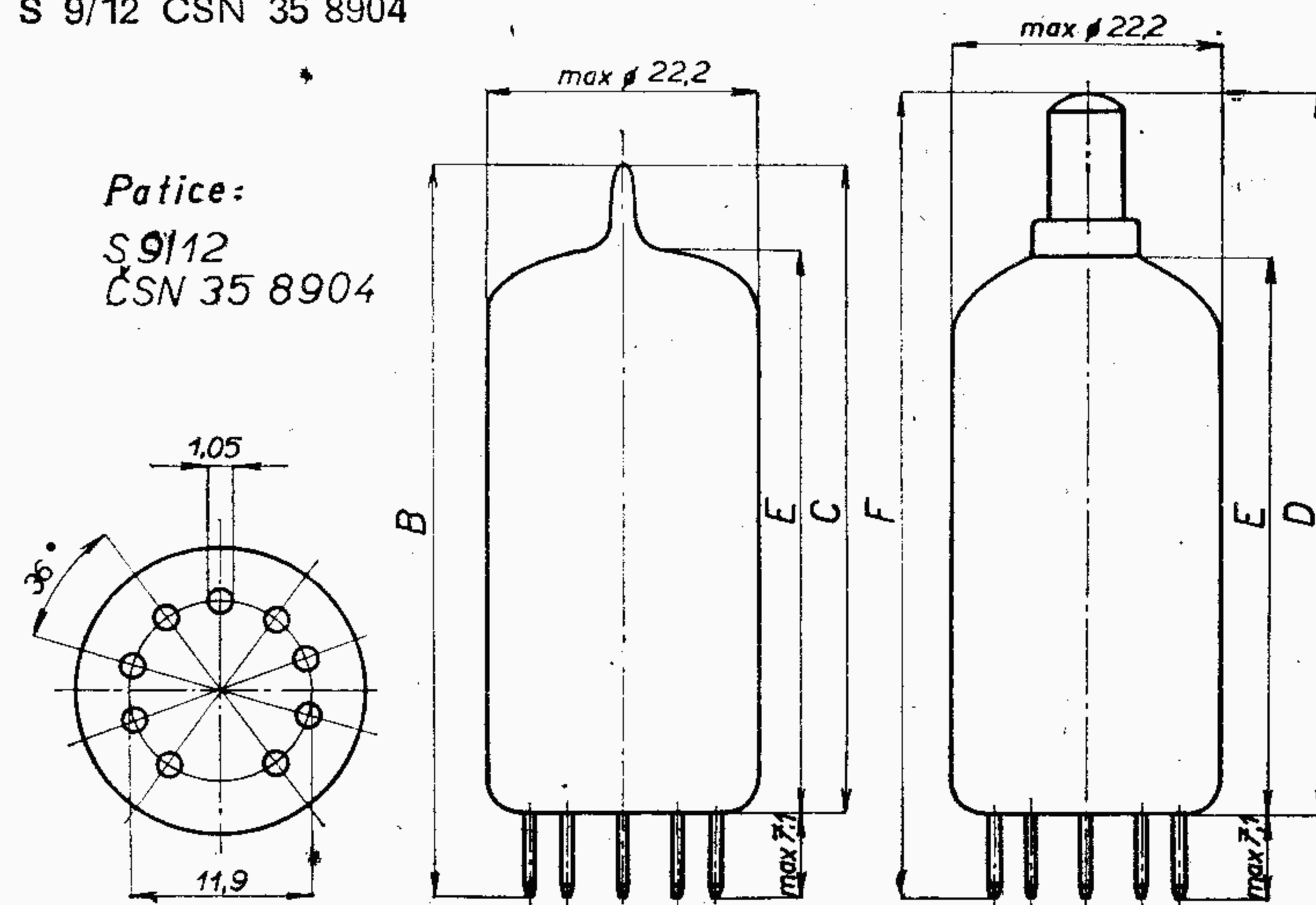
Druhá část znaku, sestávající ze skupiny číslic, udává použitou patici a postupný vývojový typ podle klíče:

- 1 až 10 — různé patice jako patice P, oktal, nožičkové
- 11 až 15 — patice T
- 16 až 19 — patice P, oktal
- 20 až 29 — patice loktal s výjimkou bateriové řady D 21 a DF 22
- 30 až 39 — patice oktal K8/18 ČSN 35 8907
- 80 až 89 — patice noval S9/12 ČSN 35 8904
- 90 až 99 — patice heptal S7/10 ČSN 35 8902
- 180 až 189 — patice noval S9/12 ČSN 35 8904
- 200 — patice dekal
- 500 — patice magnoval
- 800 — patice noval S9/12 ČSN 35 8904

Elektronky speciální jakosti, jako dlouhoživotnostní, s úzkými elektrickými tolerancemi, se speciální úpravou systému vůči otřesům, vibracím apod. jsou označeny zvlášť upraveným znakem (E180F, E88CC, ECC803S apod.), obsahujícím případně rozšířenou číselnou skupinu a v některých případech přídatné písmeno S.

Patice a rozměry

S 9/12 ČSN 35 8904

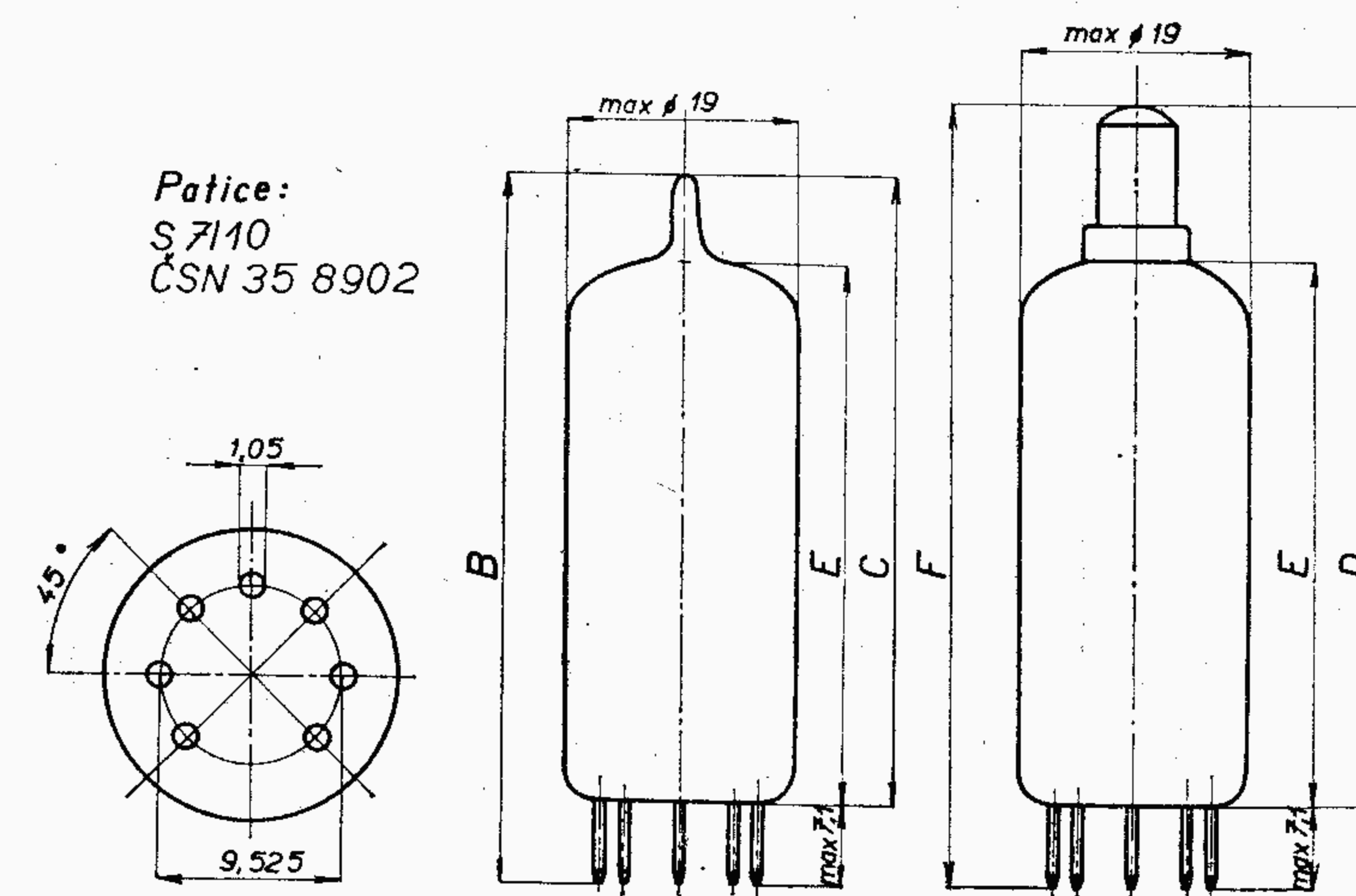


Velikost	Rozměry v mm							
	B max	C max	D		E ¹⁾		F	
			min	max	min	nom	max	max
N 1	45,2	38,1	35,0	44,4	26,2	28	30,9	51,5
N 2	56,3	49,2	46,1	55,5	37,4	40	42	62,6
N 3	61,8	54,7	51,6	61,1	42,9	45	47,6	68,2
N 4	67,4	60,3	57,2	66,6	48,5	50	53,1	73,7
N 5	78,5	71,4	68,3	77,7	59,6	62	64,2	84,8
NA 28	45,2	38,1	36,6	42,8	26,2	28	30,9	49,9
NA 34	50,7	43,6	42,1	48,4	31,8	34	36,5	55,5
NA 40	56,3	49,2	47,7	53,9	37,4	40	42,0	61,0
NA 45	61,8	54,7	53,2	59,5	42,9	45	47,6	66,6
NA 50	67,4	60,3	58,8	65,0	48,5	50	53,1	72,1
NA 56	72,9	65,8	64,3	70,6	54,0	56	58,7	77,7
NA 62	78,5	71,4	69,9	76,2	59,6	62	64,2	83,3
NA 68	84,0	76,9	75,5	81,7	65,1	68	69,8	88,8

¹⁾ Měřeno od dosedací plochy patice k rovině určené dosedací plochou prstencové měrky o vnitřním průměru $11,125 \pm 0,025$ mm. Poloměr zaoblení vnitřních hran $r = 0,1$ mm.

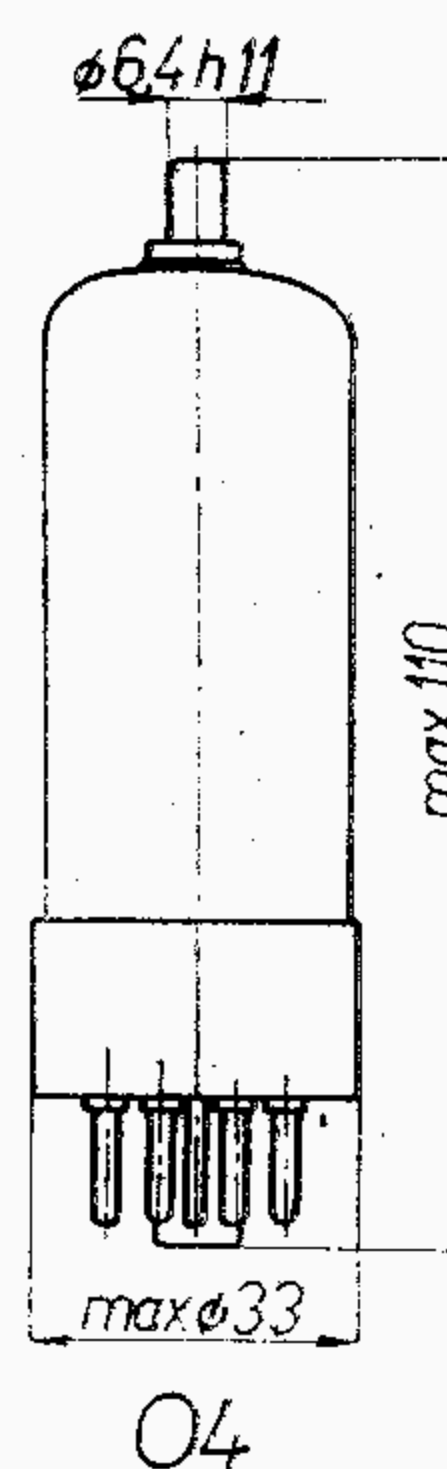
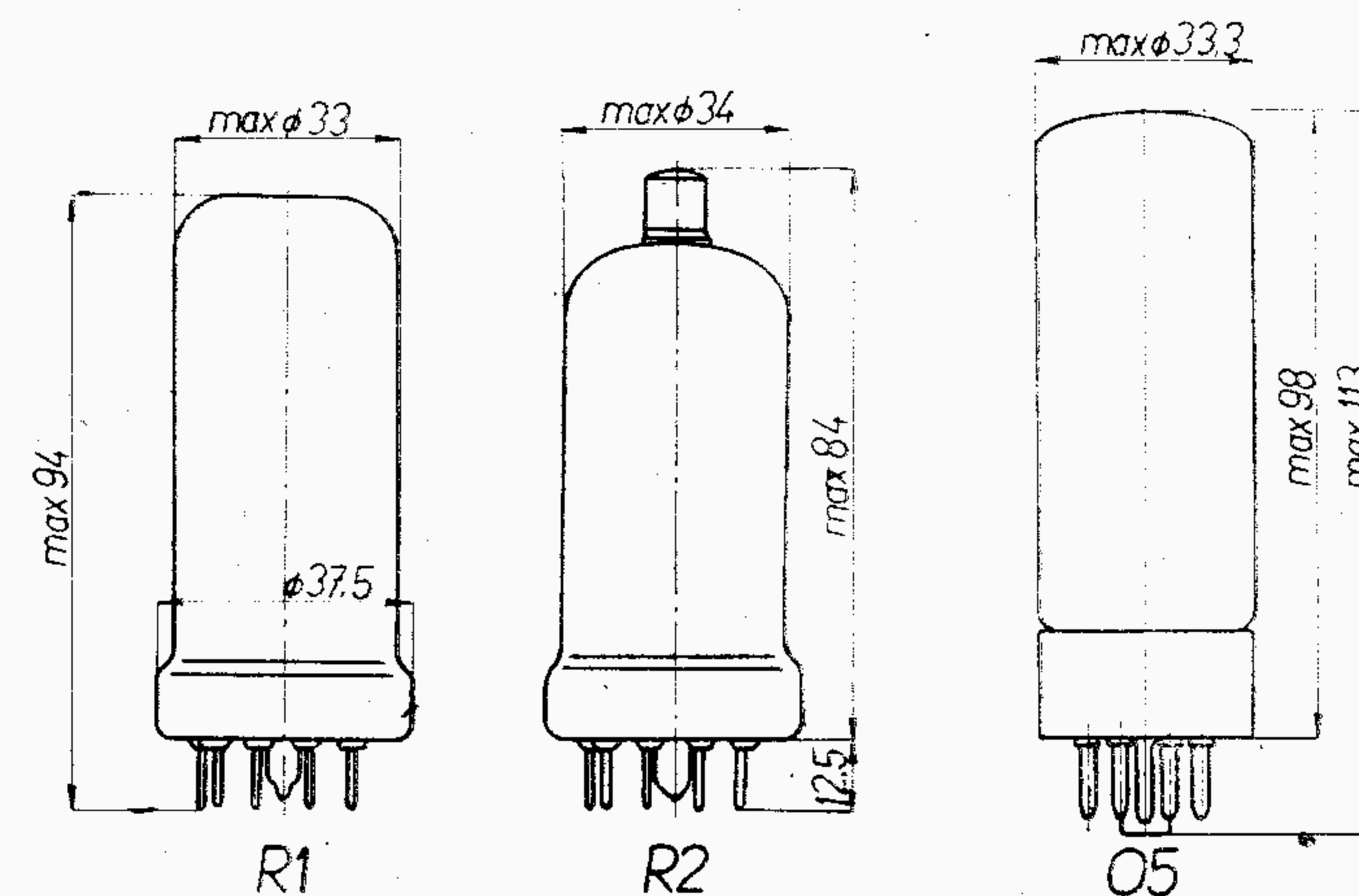
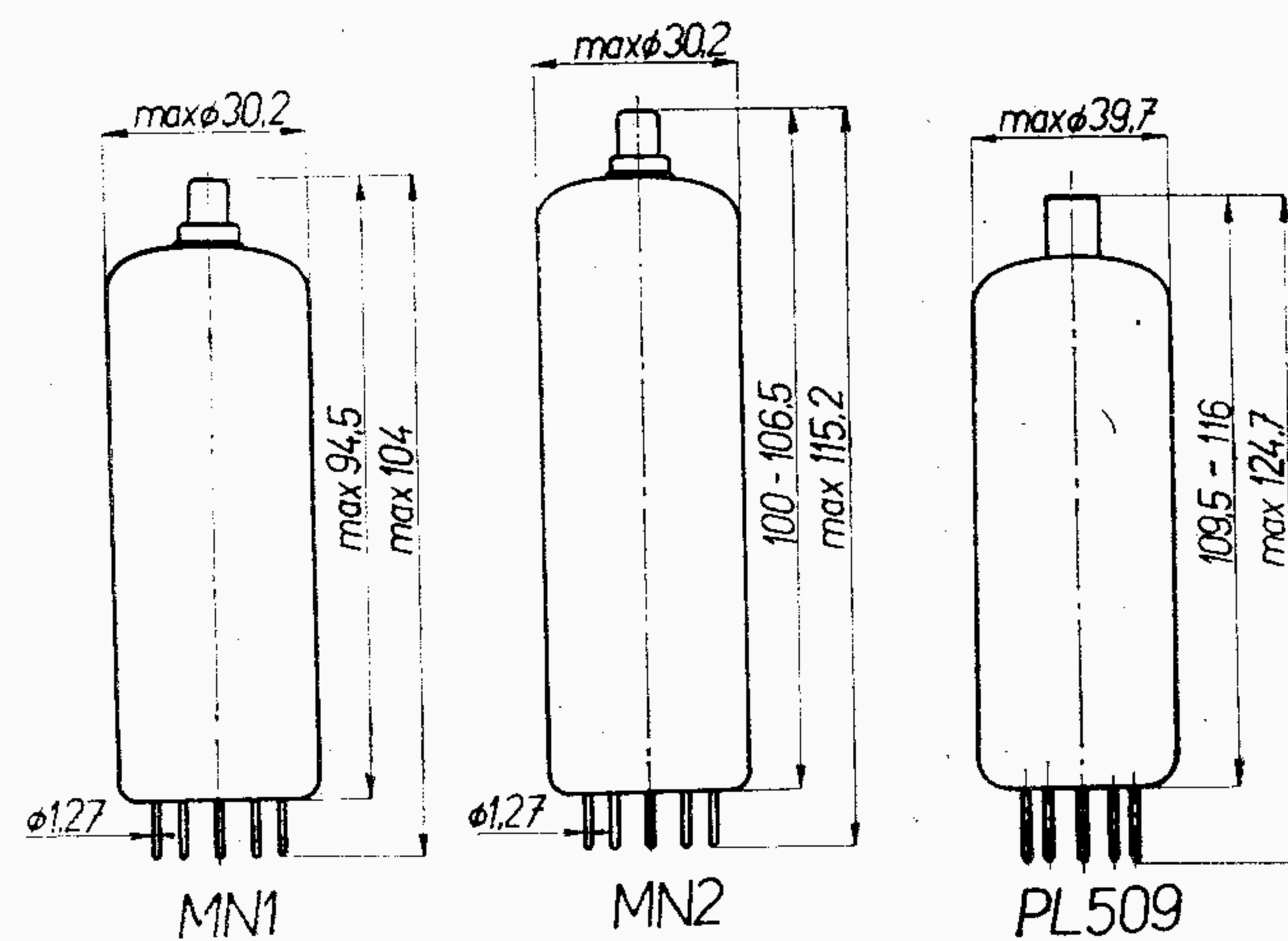
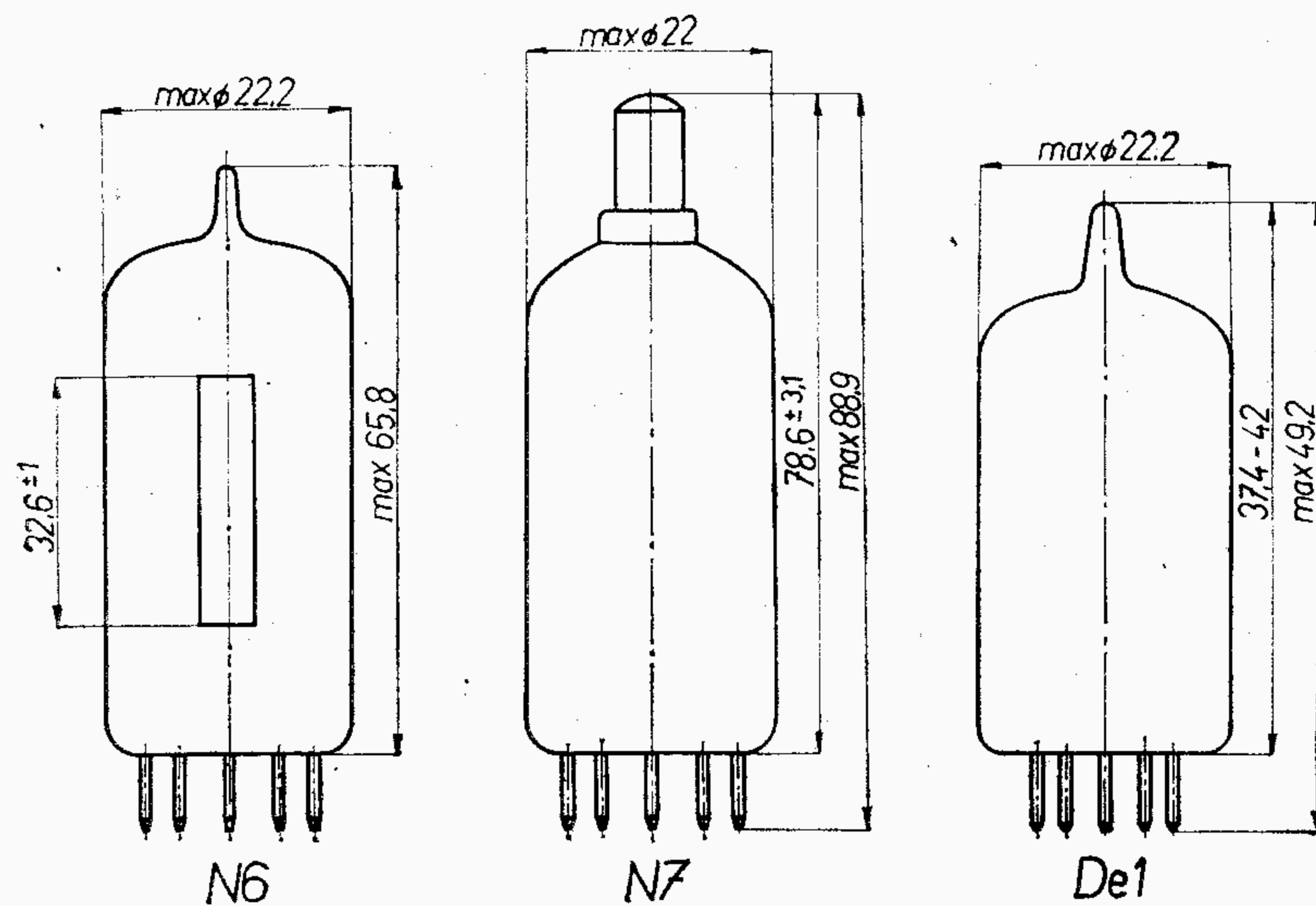
Patice a rozměry

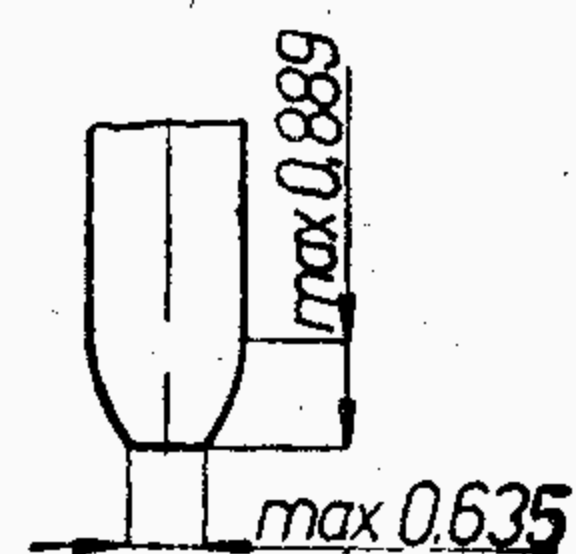
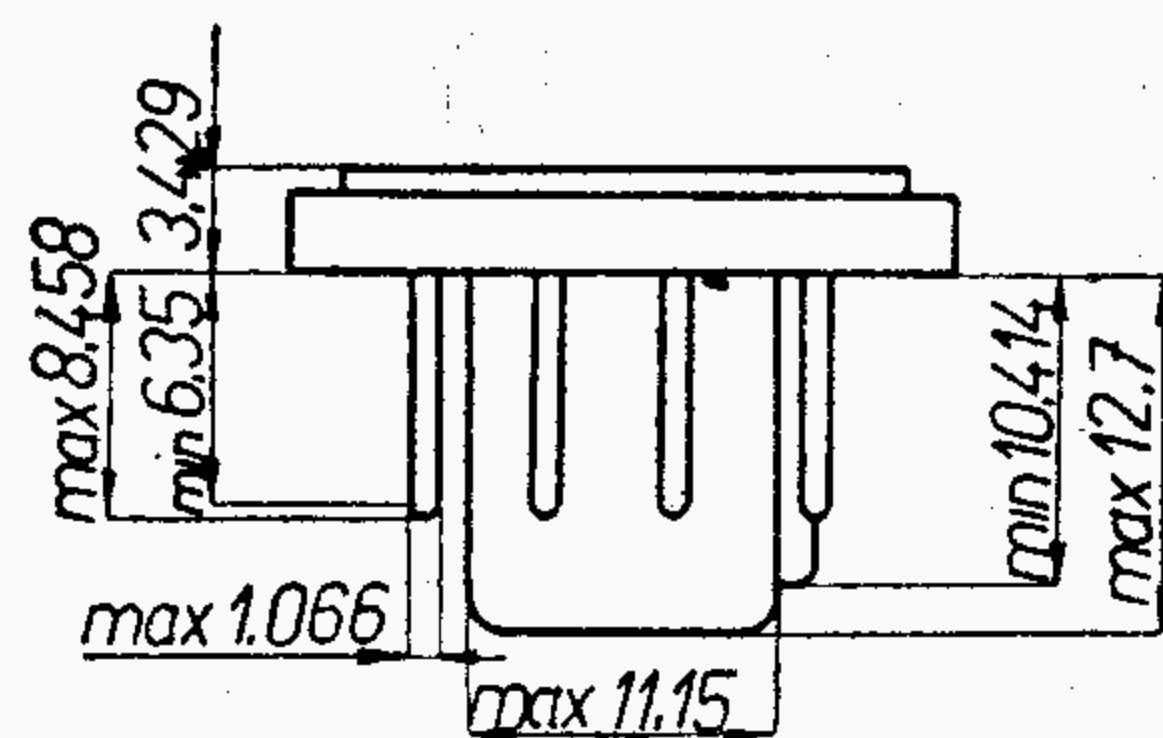
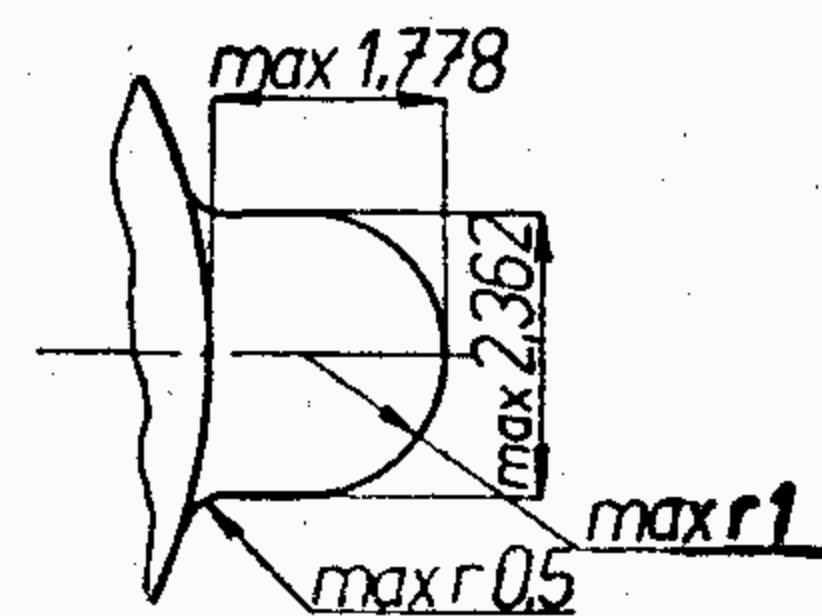
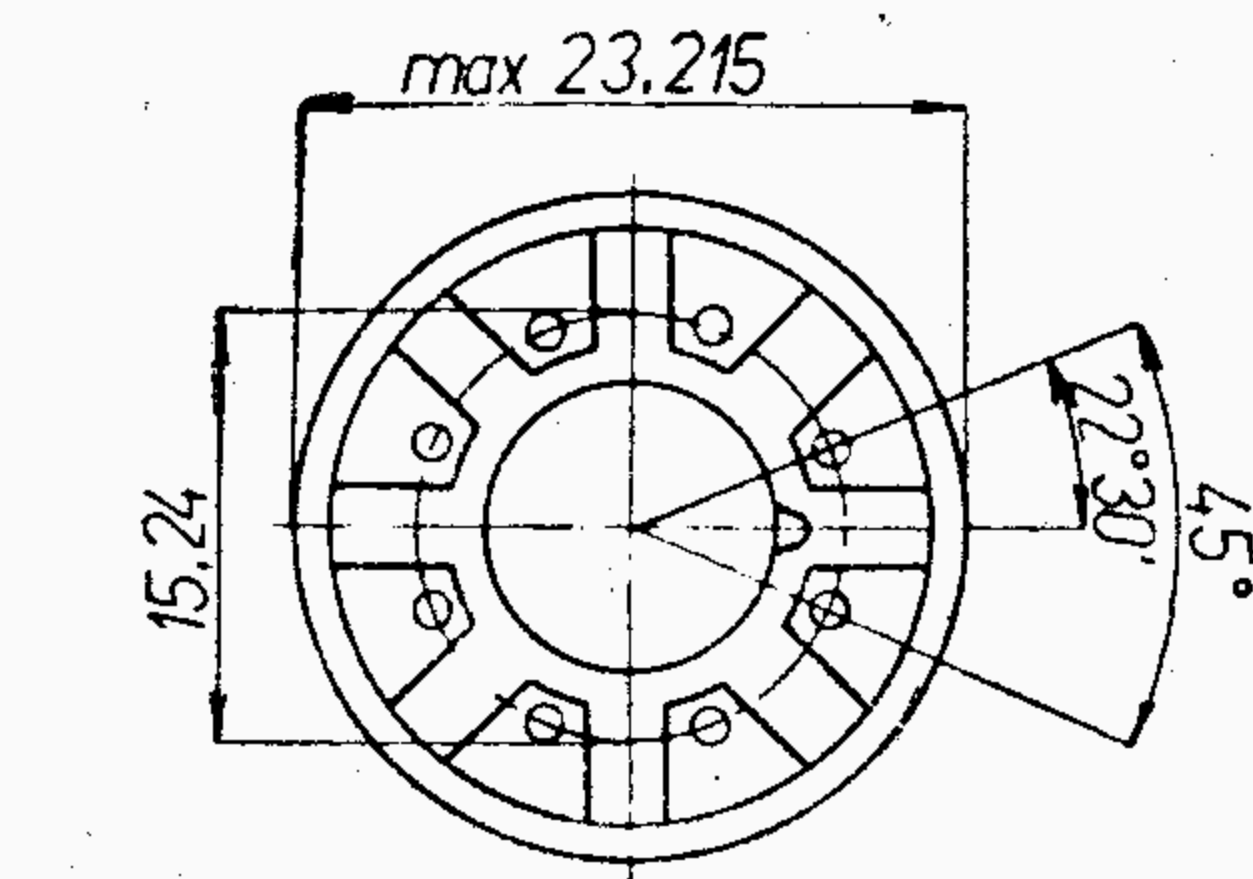
S 7/10 ČSN 35 8902



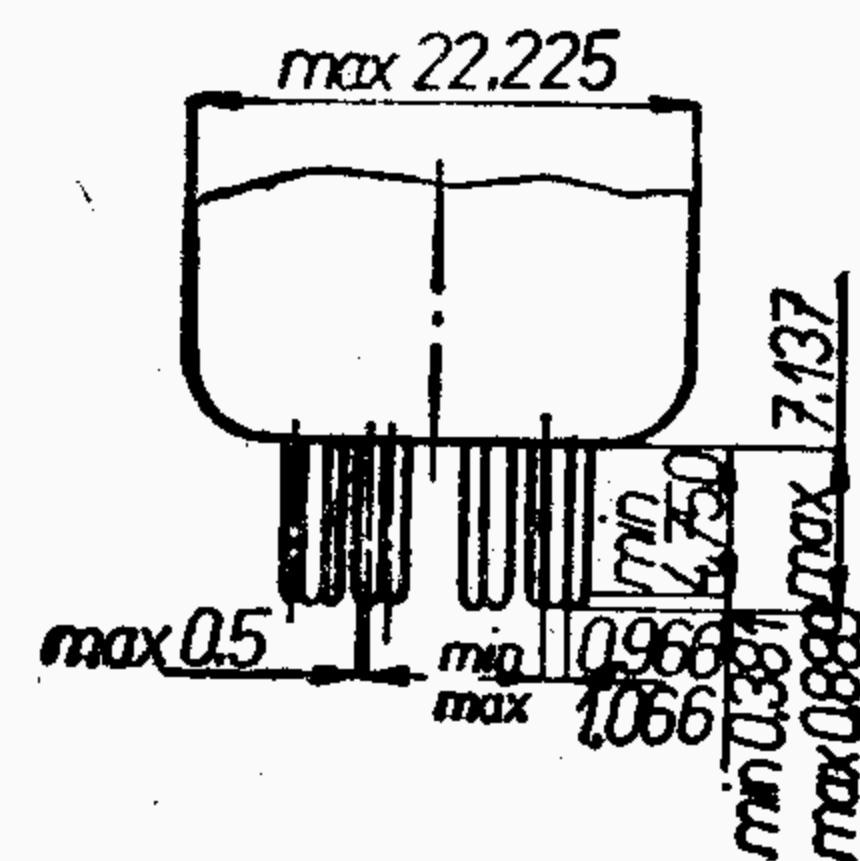
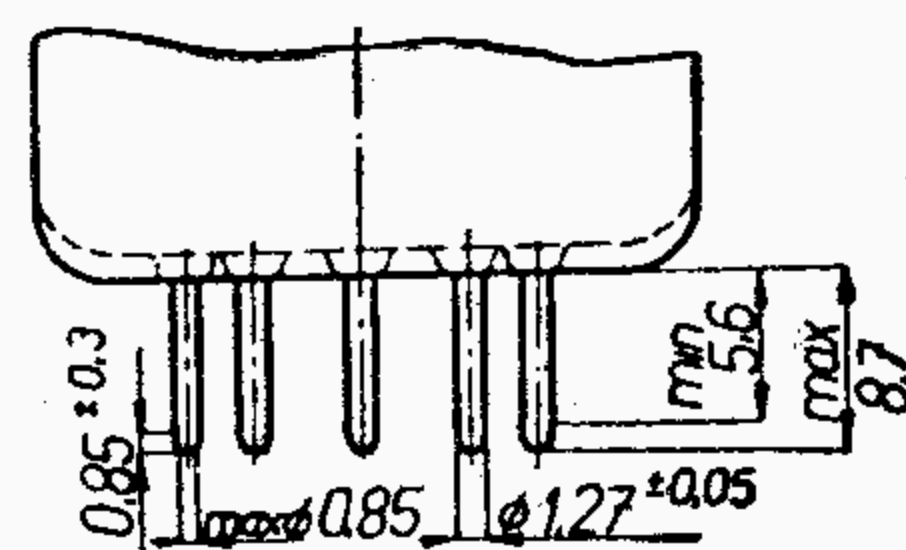
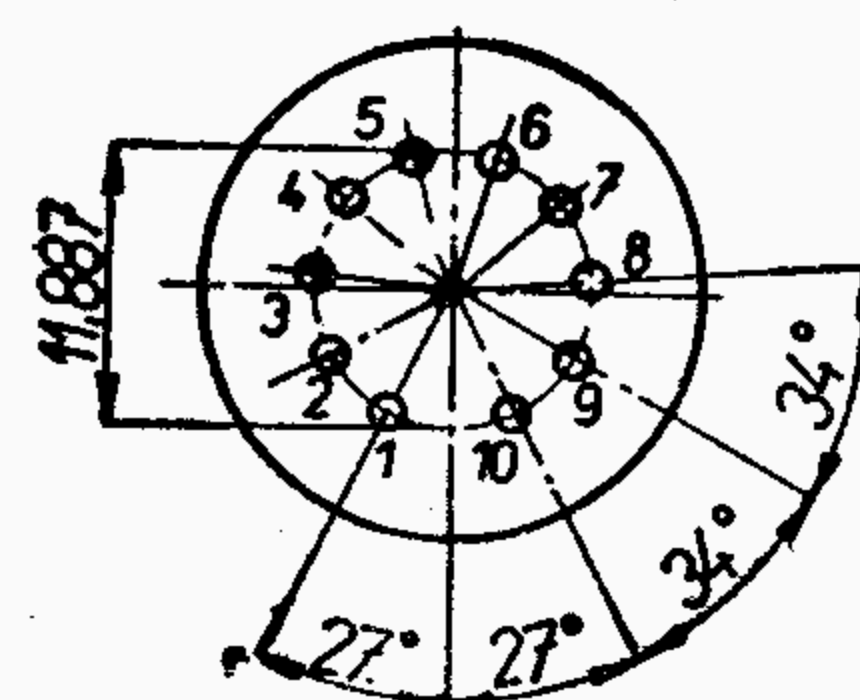
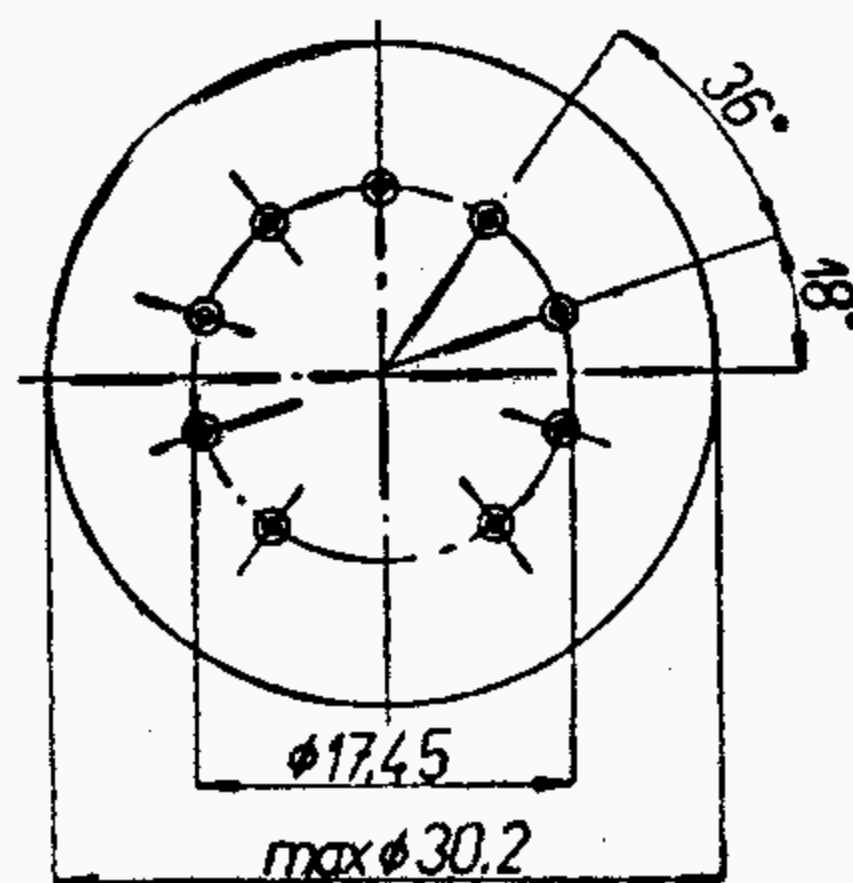
Velikost	Rozměry v mm							
	B max	C max	D		E ¹⁾		F	
			min	max	min	nom	max	max
M 1	45,2	38,1	35,0	44,4	26,2	28	30,9	51,5
M 2	54,7	47,6	44,5	53,9	35,8	38	40,4	61,0
M 3	61,0	53,9	50,8	60,3	42,1	44	46,8	67,4
M 4	67,4	60,3	57,2	66,6	48,5	50	53,1	73,7
M 5	75	68				60		

¹⁾ Měřeno od dosedací plochy patice k rovině určené dosedací plochou prstencové měrky o vnitřním průměru $11,125 \pm 0,025$ mm. Poloměr zaoblení vnějších hran $r = 0,1$ mm.



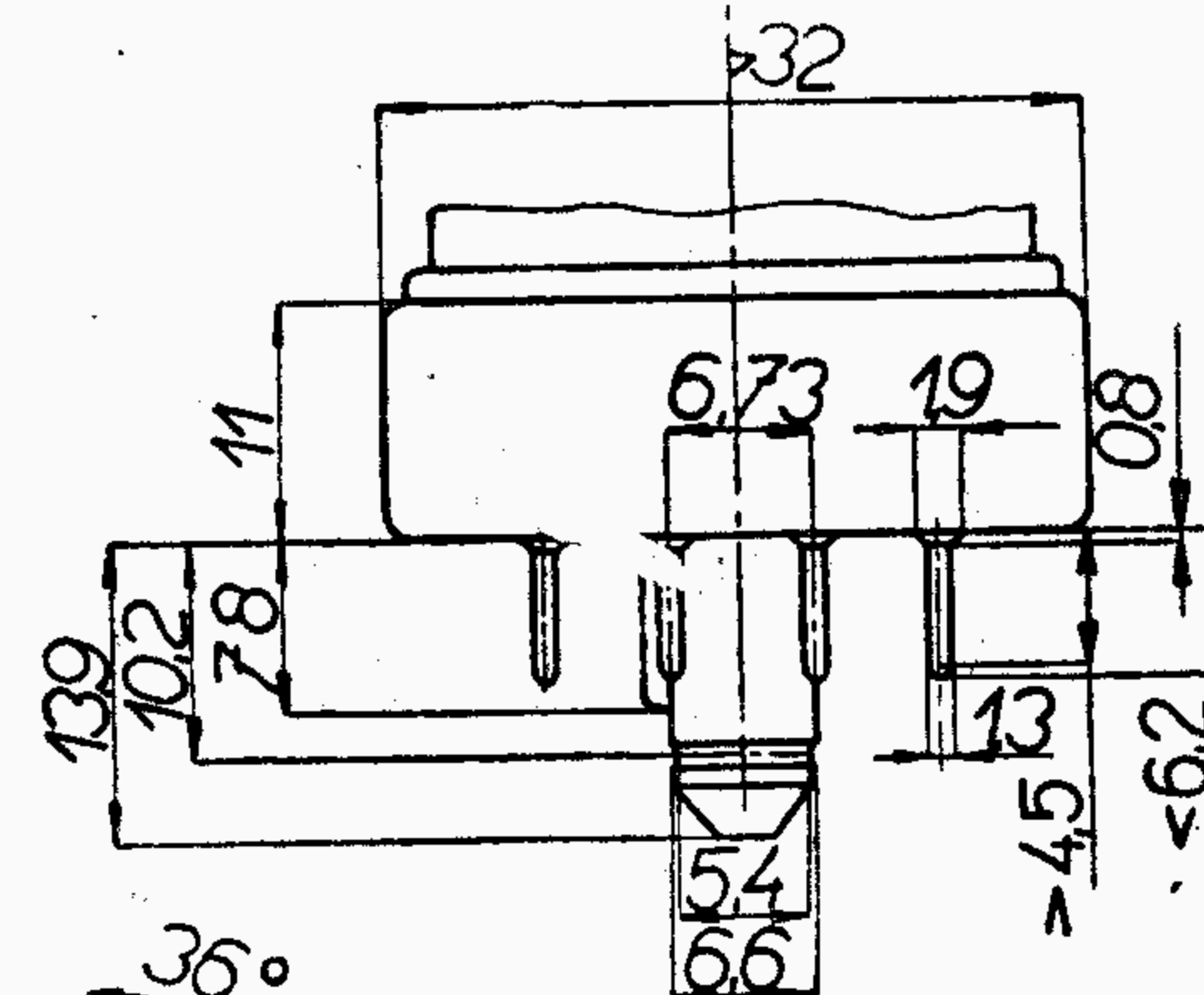
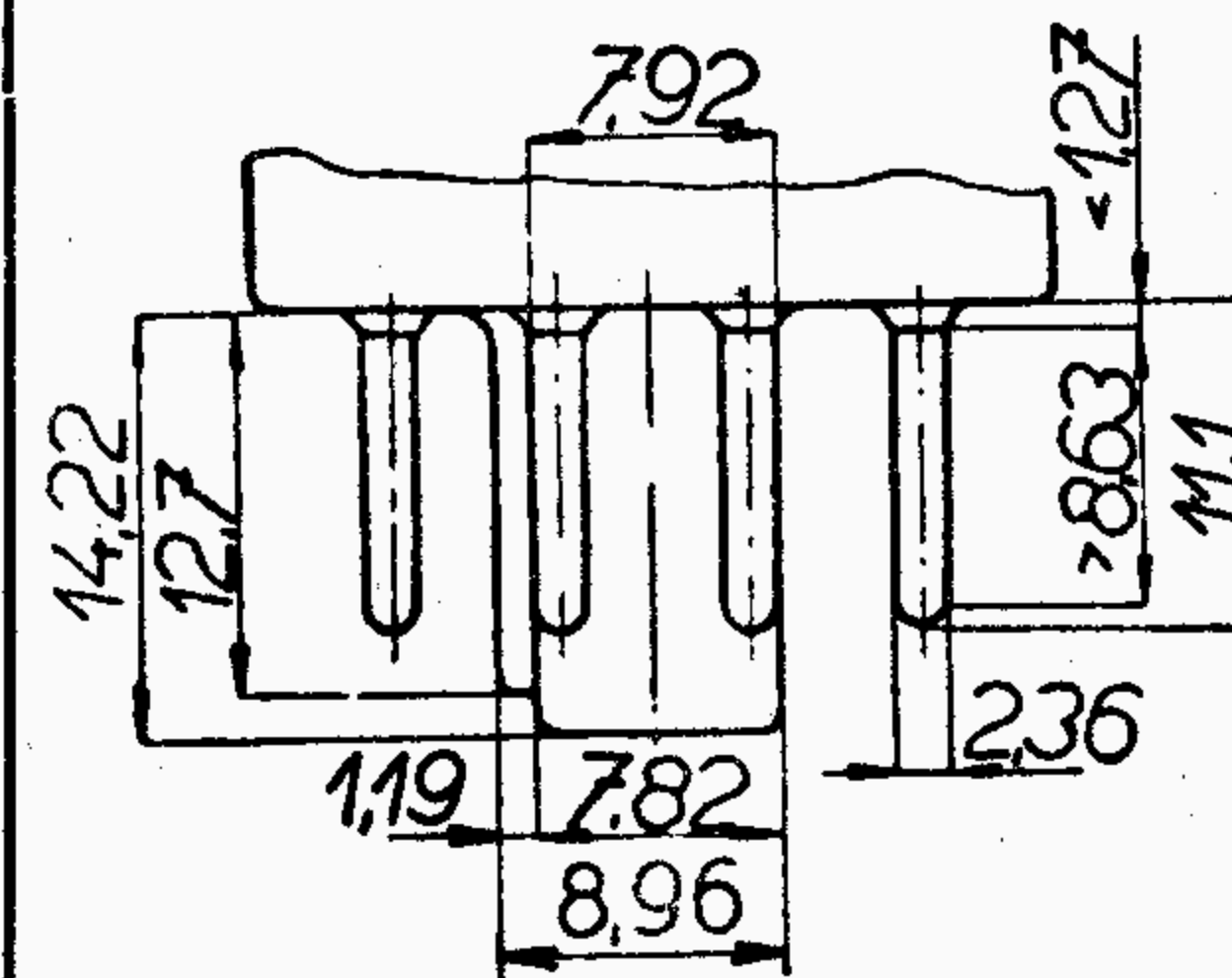
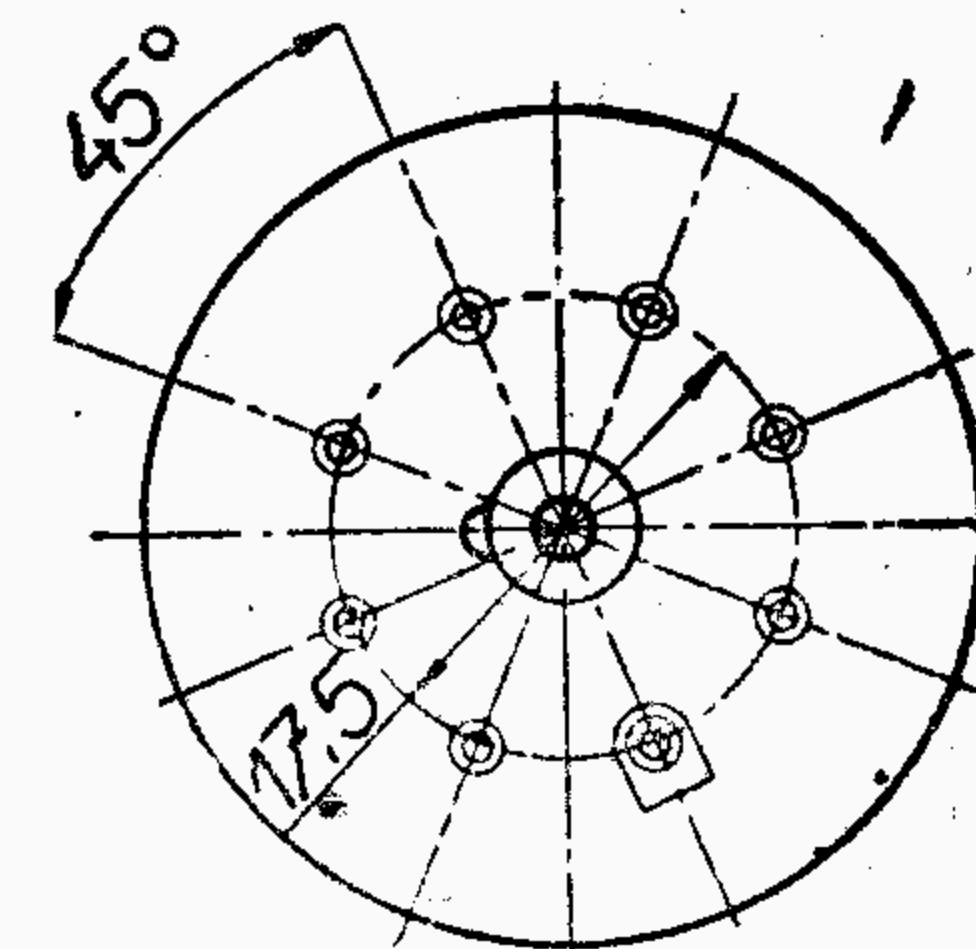
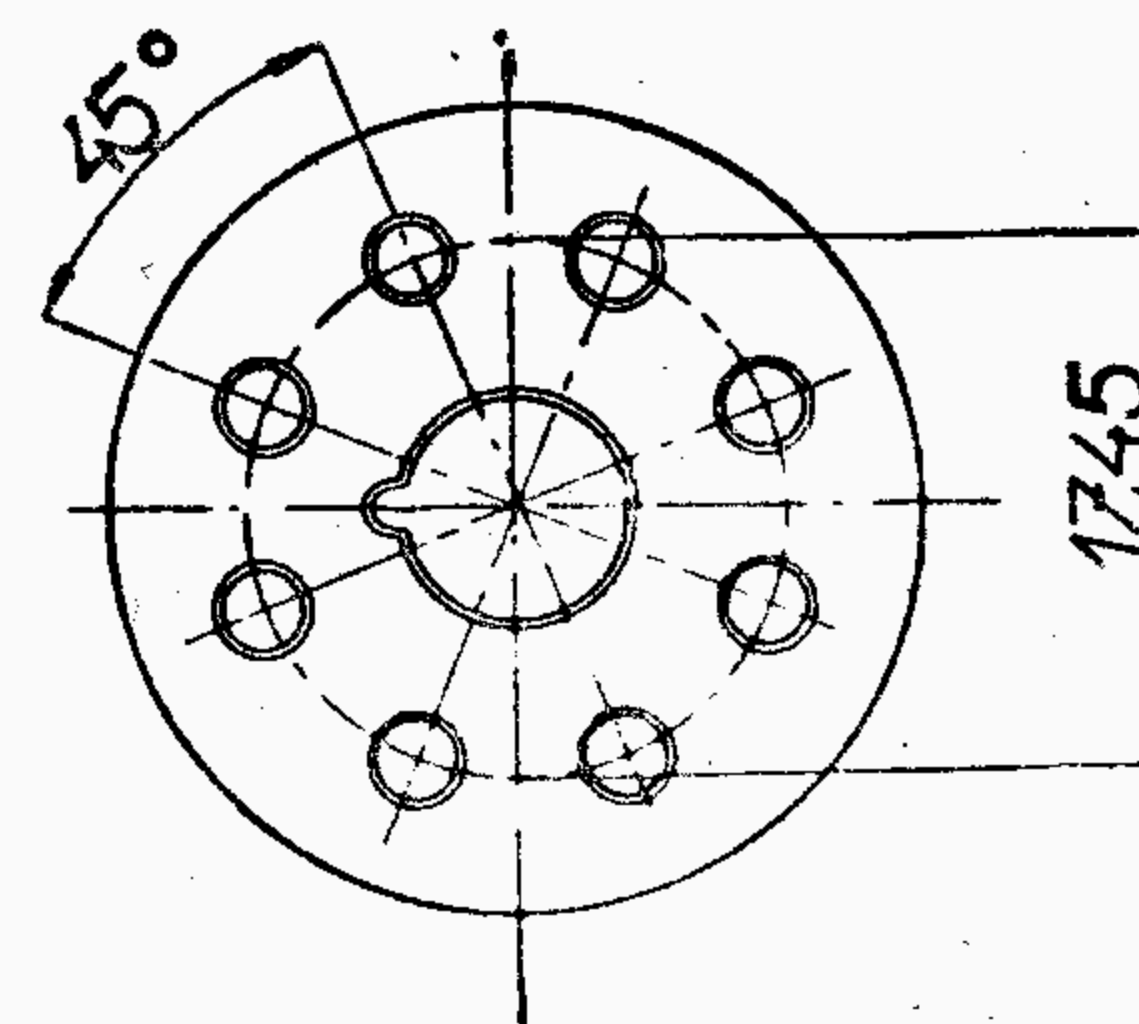


K 8/15



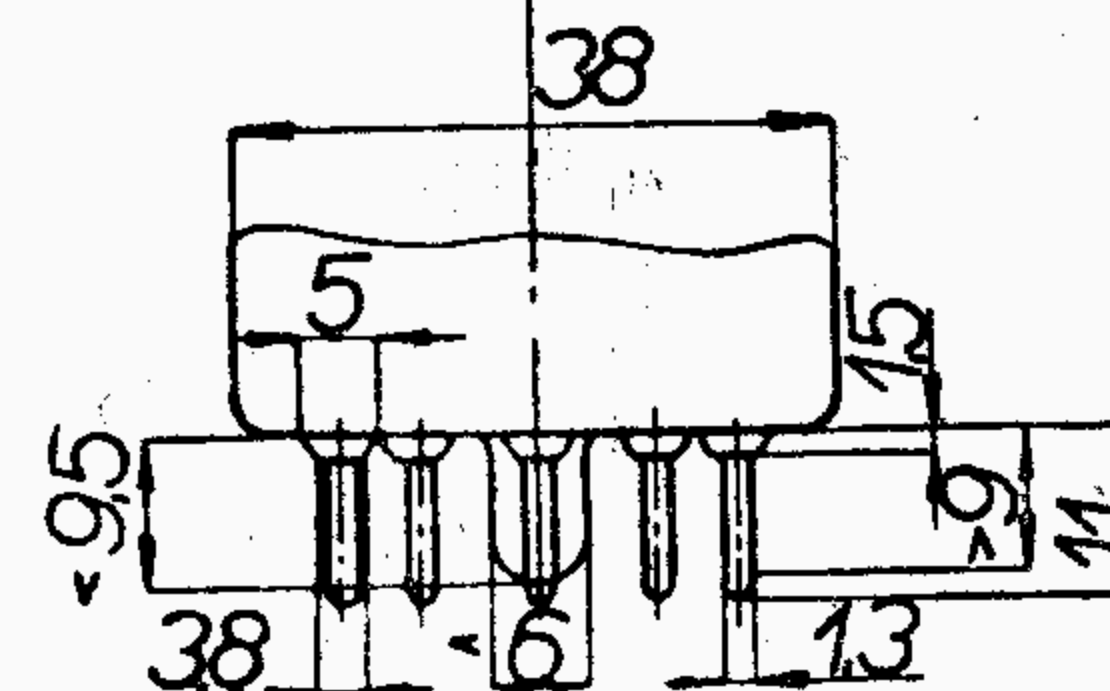
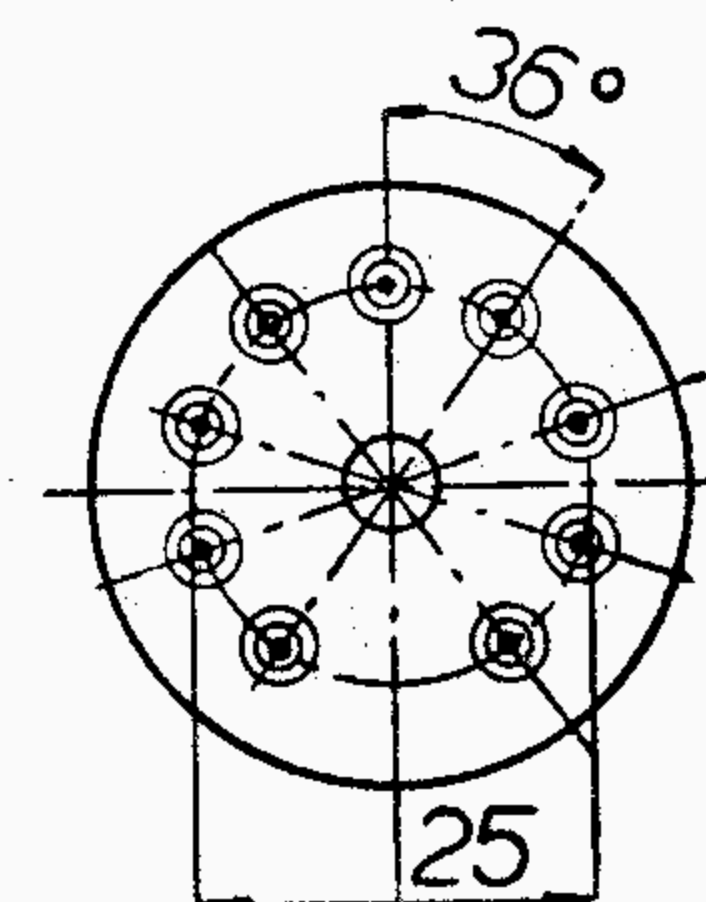
MAGNOVAL

DEKAL

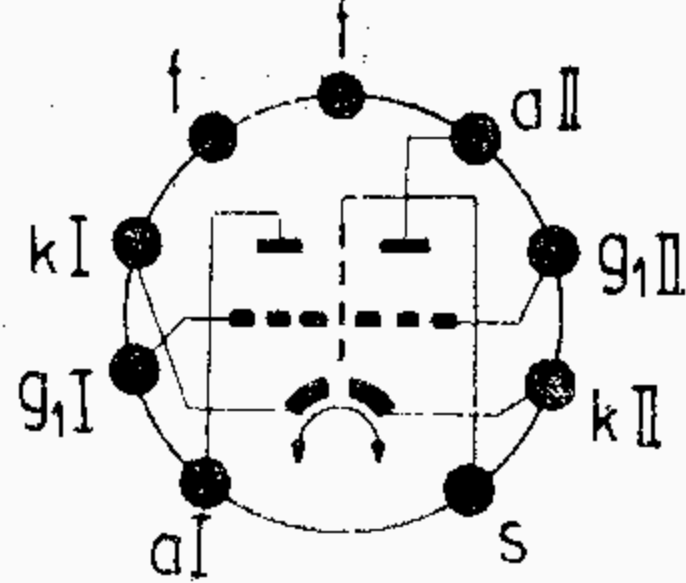


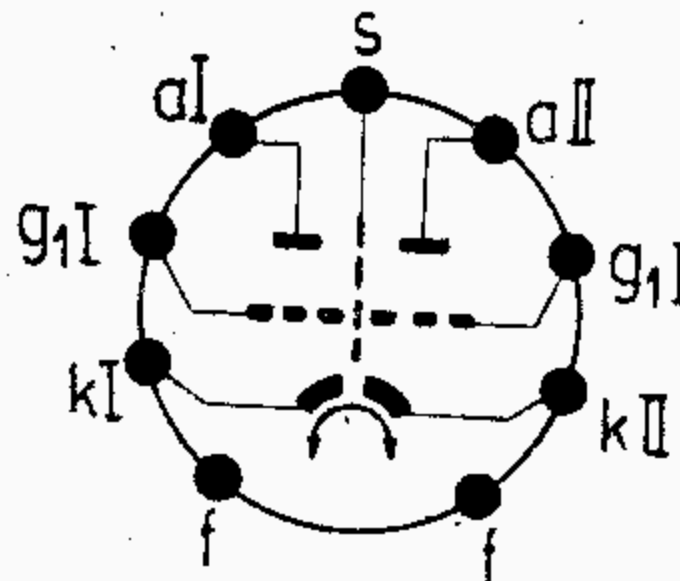
K 8/17

S 8/18

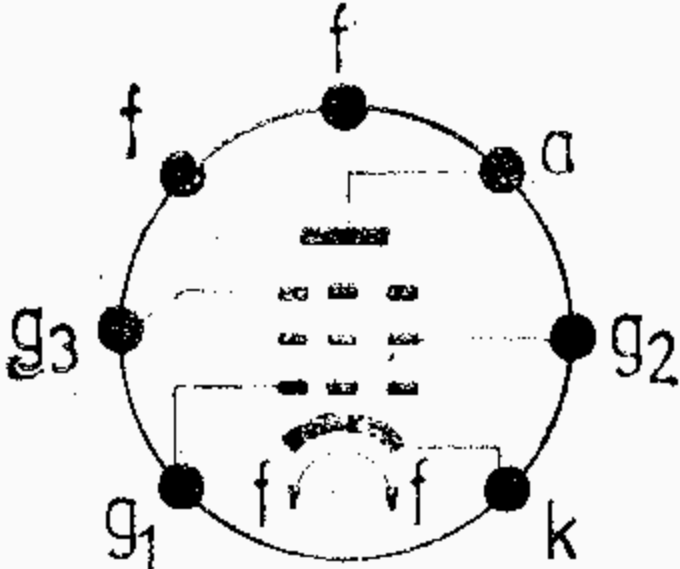


S 9/25

Typ Použití	Rozměry Patice	Žhavení	Provozní hodnoty				Mezní hodnoty	
		Statické hodnoty						
6CC41	Velikost N 1	U_F 6,3 V I_F 0,3 A nepřímé žhavení ●	Nf odporový zesilovač				U_{AO} 500 V U_A 300 V P_{AR} 1 W I_K 10 mA $R_{g1(k)}$ 2 MΩ $R_{g1(i)}$ 10 MΩ $R_{g1(p)}$ 0,5 MΩ $U_{K/F}$ ±100 V	
		U_A 250 V U_{G1} -1,5 V I_A 2,3 mA S 2 mA/V μ 100 r_i 50 kΩ I_{AZ} ($U_{G1} = -5,5$ V) <0,02 mA	U_B 180 300 300 V R_a 0,22 0,22 0,47 MΩ R_k 3,5 2,8 5,2 kΩ R_{g1} 1 1 1 MΩ $R_{g1'}$ 0,47 0,47 1 MΩ C_k 2,1 2,3 1,3 μF C_v 1) 6 6 3 kF U_{aM} 34 69 77 V V 59 65 73				1) U_{G1} pomocí I_{G1} Kapacity C_{g1} 1,75 pF C_a 1,0 pF $C_{a/g1}$ 2,2 pF $C_{aI/aII}$ <0,05 pF $C_{aI/g1II}$ <0,01 pF $C_{aII/g1I}$ <0,01 pF	
			dvojitá trioda s oddělenými katodami nf zesilovač, obraceč fáze					

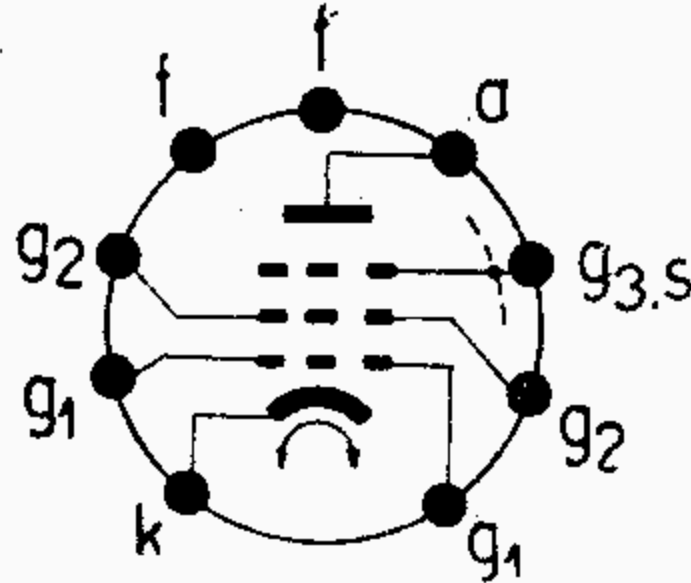
Typ Použití	Rozměry Patice	Žhavení	Provozní hodnoty	Mezní hodnoty
		Statické hodnoty		
6CC42 	Velikost max Ø 22,2×55 mm	U_F 6,3 V I_F 0,35 A nepřímé žhavení	Vf a vkv zesilovač	U_{AO} 550 V U_A 300 V P_{AR} 1,5 W I_K 18 mA R_{g1} 1 MΩ $U_{K/F}$ 100 V
		U_A 150 V R_k 240 Ω I_A 8 mA S 5,5 mA/V μ 35 r_i 6,7 kΩ I_{AZ} ($U_{G1} = -10$ V) <80 μA	U_B 250 V R_a 1) 12,5 kΩ U_A 150 V R_k 240 Ω I_A 8 mA S 5,5 mA/V r_i 6,7 kΩ	Kapacity 1) C_{g1} 2,2 pF C_a 0,4 pF $C_{a/g1}$ <1,6 pF $C_{aI/aII}$ <0,3 pF
1) R_a kapacitně přemostěn $C_a = 1$ kF				
1) Bez stínícího krytu.				
dvojitá trioda s oddělenými katodami vf, vkv zesilovač, směšovač, oscilátor				

1) Bez stínícího krytu.

Typ Použití	Rozměry Patice	Žhavení	Provozní hodnoty			Mezní hodnoty		
		Statické hodnoty						
6F31 - 6BA6	Velikost M 2	U_F 6,3 V I_F 0,3 A nepřímé žhavení	Vf a mf zesilovač			U_{AO} 500 V U_A 300 V P_{AR} 3 W U_{G2O} 300 V U_{G2} 125 V P_{G2R} 0,6 W $-U_{G1}$ -50 V R_{g1} 3 MΩ $U_{K/F}$ 150 V ϑ_b 150 °C		
		 U_A 250 V U_{G3} 0 V U_{G2} 100 V R_k 68 Ω I_A 11 mA I_{G2} 4,2 mA S 4,4 mA/V r_i 1,5 MΩ I_{AZ} ($U_{G1} = -20$ V) $<0,4$ mA	U_A 100 250 V U_{G3} 0 0 V U_{G2} 100 100 V R_k 68 68 Ω I_A 10,8 11 mA I_{G2} 4,4 4,2 mA S 4,3 4,4 mA/V r_i 0,25 1,5 MΩ U_{G1} ($S=44 \mu A/V$) -20 -20 V			$Kapacity$ C_{g1} 5,5 pF C_a 5 pF $C_{a/g1}$ $<0,005$ pF		
vf řízená pentoda vf, mf zesilovač								

Typ Použití	Rozměry Patice	Žhavení	Provozní hodnoty	Mezní hodnoty
		Statické hodnoty		
6L41	Velikost max Ø 22×70 mm	U_F 6,3 V I_F 0,75 A nepřímé žhavení	Oscilátor nebo zesilovač výkonu – $f = 50 \text{ Mc/s}$	U_A 300 V P_{AR} 12 W U_{G2} 250 V P_{G2R} 2,0 W I_{G1} 5 mA I_K 55 mA I_{KM} 100 mA $U_{K/F}$ 100 V f 175 Mc/s ϑ_b 250 °C
		U_A 300 V U_{G3} 0 V U_{G2} 250 V U_{G1} –6 V I_A 50 mA I_{G2} 5 mA S 7 mA/V $\mu_{g1/g2}$ 16 S/C 0,5 $I_{AZ} (U_{G1} = -25 \text{ V})$ <3 mA	U_A 300 V U_{G2} 250 V U_{G1} –60 V I_A 50 mA I_{G2} 5 mA R_{g1} 22 kΩ I_{G1} 3 mA U_{G1M} 80 V P_{G1} 0,35 W P_o 8 W Násobič kmitočtu – f max 175 Mc/s Zdvojovač Ztrojovač U_A 300 U_{BG2} 300 R_{g2} 12,5 U_{G1} –75 I_A 40 I_{G2} 4 R_{g1} 75 I_{G1} 1 U_{G1M} 95 P_{G1} 0,6 P_o 3,6 U_A 300 V U_{BG2} 300 V R_{g2} 12,5 kΩ U_{G1} –100 V I_A 35 mA I_{G2} 5 mA R_{g1} 100 kΩ I_{G1} 1 mA U_{G1M} 120 V P_{G1} 0,6 W P_o 2,8 W	U_A 300 V P_{AR} 12 W U_{G2} 250 V P_{G2R} 2,0 W I_{G1} 5 mA I_K 55 mA I_{KM} 100 mA $U_{K/F}$ 100 V f 175 Mc/s ϑ_b 250 °C Kapacity C_{g1} 9,5 pF C_a 5,4 pF $C_{a/g1}$ <0,45 pF

svazková tetroda
nf, vf zesilovač výkonu
násobič kmitočtu

Typ Použití	Rozměry Patice	Žhavení	Provozní hodnoty		Mezní hodnoty	
		Statické hodnoty				
6L43	Velikost N 4	U_F 6,3 V I_F 0,65 A nepřímé žhavení	Koncový stupeň širokopásmových zesilovačů:		U_{AO} 550 V U_A 330 V P_{AR} 9 W U_{G20} 550 V U_{G2} 330 V P_{G2} ($U_{G1\text{ ef}} = 0\text{ V}$) 1,5 W P_{G2} ($U_{G1\text{ ef}} \text{ max}$) 3 W I_K 50 mA R_{g1} 0,1 MΩ $U_{K/F}$ 100 V $R_{k/f}$ 20 kΩ Kapacity: C_{g1} 11 pF C_a 5,5 pF $C_{a/g1}$ <0,1 pF	
		 U_A 300 V U_{G3} 0 V U_{G2} 150 V U_{G1} -3 V I_A 30 mA I_{G2} 7 mA S 11 mA/V $\mu_{g2/g1}$ 20 r_i 90 kΩ I_{AZ} ($U_{G1} = -20\text{ V}$) <0,1 mA	Koncový stupeň obrazových zesilovačů:		U_B 300 300 V U_A 145 200 V U_{G3} 0 0 V R_{g2} 0 25 kΩ U_{G2} 115 (125) V R_k 0 57 Ω R_{g1} 0,1 - MΩ I_A 45 28 mA I_{G2} 13 7 mA R_a 3,5 3,5 kΩ $U_{A\text{ M/M}}$ 135 140 V $U_{G1\text{ M/M}}$ 4 4 V	
výkonová pentoda pro obrazové a širokopásmové zesilovače						

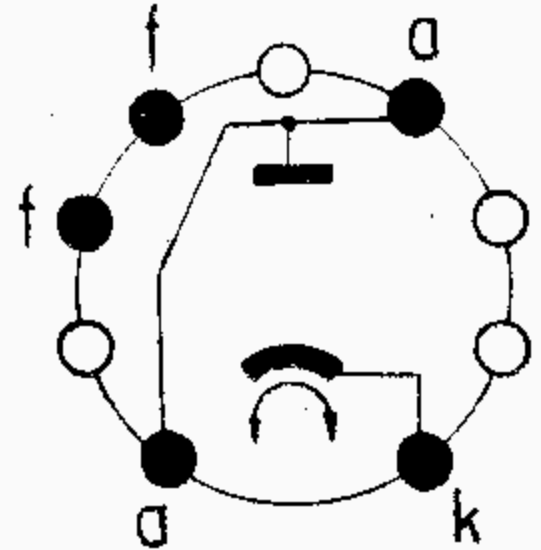
Typ Použití	Rozměry Patice	Žhavení	Provozní hodnoty				Mezní hodnoty	
		Statické hodnoty						
6L50	Velikost R 2	U_F 6,3 V I_F 1,0 A t_f 25 s nepřímé žhavení	Nf, vf zesilovač třídy A				U_A 1000 V U_{G2} 400 V P_{AR} 25 W P_{G2R} 3,5 W I_K 125 mA I_{KM} 300 mA $I_{KM\ imp}^{1)}$ 1,5 A $R_{g1\ (p)}$ 0,1 MΩ R_{g1} 0,25 MΩ $U_{K/F}$ 80 V $R_{k/f}$ 20 kΩ	
		U_A 400 V U_{G3} 0 V U_{G2} 250 V U_{G1} -25 V I_A 30 mA I_{G2} 2 mA S 3,5 mA/V r_i 75 kΩ	U_A 250 300 325 350 V U_{G2} 250 200 250 250 V R_k 180 250 165 320 Ω I_{AO} 72 48 80 54 mA I_A 79 55 88 66 mA I_{G20} 5 2,5 5 2,5 mA I_{G2} 7,3 4,7 7,5 7 mA S 6 5,3 5,5 5,2 mA/V r_i 22,5 35 25 33 kΩ R_a 2,5 4,5 3 4,2 kΩ P_o 6,5 6,5 7 10,8 W U_{G1M} 14 12,5 14 18 V k 10 11 8,5 15 %				$1) t_{ip} = 1\ \mu s$ Kapacity C_{g1} 9,7 pF C_a 7,3 pF $C_{a/g1}$ <0,35 pF	
			Nf dvojčinný zesilovač třídy AB2					
			U_A 360 V U_{G2} 270 V U_{G1} -22,5 V I_{AO} 88 mA I_A 205 mA I_{G20} 5 mA				I_{G2} 16 mA $R_{a-a'}$ 3,8 kΩ P_o 47 W U_{G1M} 72 V k 2 %	
svazková tetroda nf, vf zesilovač výkonu								

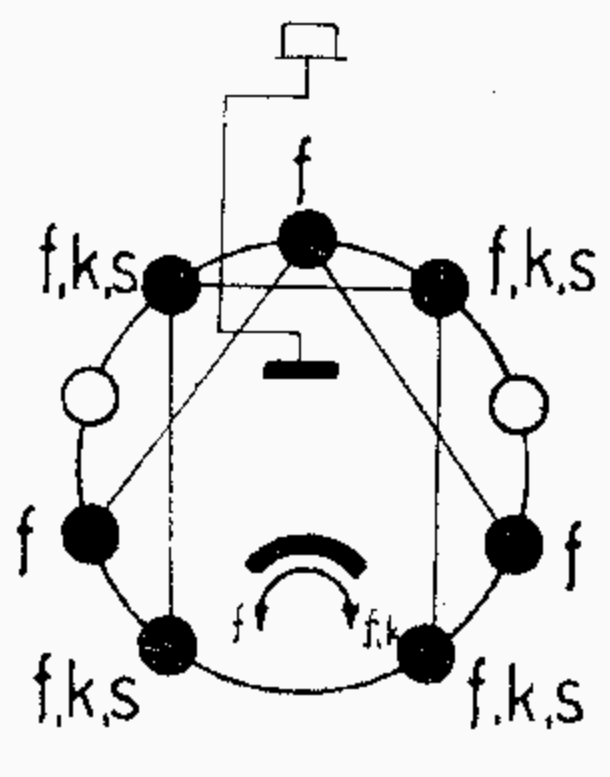
Typ Použití	Rozměry Patice	Žhavení	Provozní hodnoty	Mezní hodnoty
		Statické hodnoty		
6L50S (6L50V)	Velikost R 2	U_F 6,3 V I_F 1,0 A t_f 25 s nepřímé žhavení	Pulsní provoz: U_A 3000 V U_{G2} 250 V U_{G1} -70 V $U_{G1 imp} \dots +20$ V I_A 330 mA I_{G2} 30 mA I_{G1} 30 mA	U_A 4500 V ¹⁾ U_{G2} 800 V P_{AR} 18 W P_{G2R} 3 W I_K 100 mA I_{KM} 300 mA $I_{KM imp}^{2)}$ 1500 mA $R_{g1(p)}$ 100 k Ω R_{g1} 250 k Ω $U_{K/F}$ 80 V $R_{k/f}$ 20 k Ω
		U_A 400 V U_{G3} 0 V U_{G2} 250 V U_{G1} -25 V I_A 30 mA I_{G2} 2 mA S 3,5 mA/V r_i 75 k Ω		

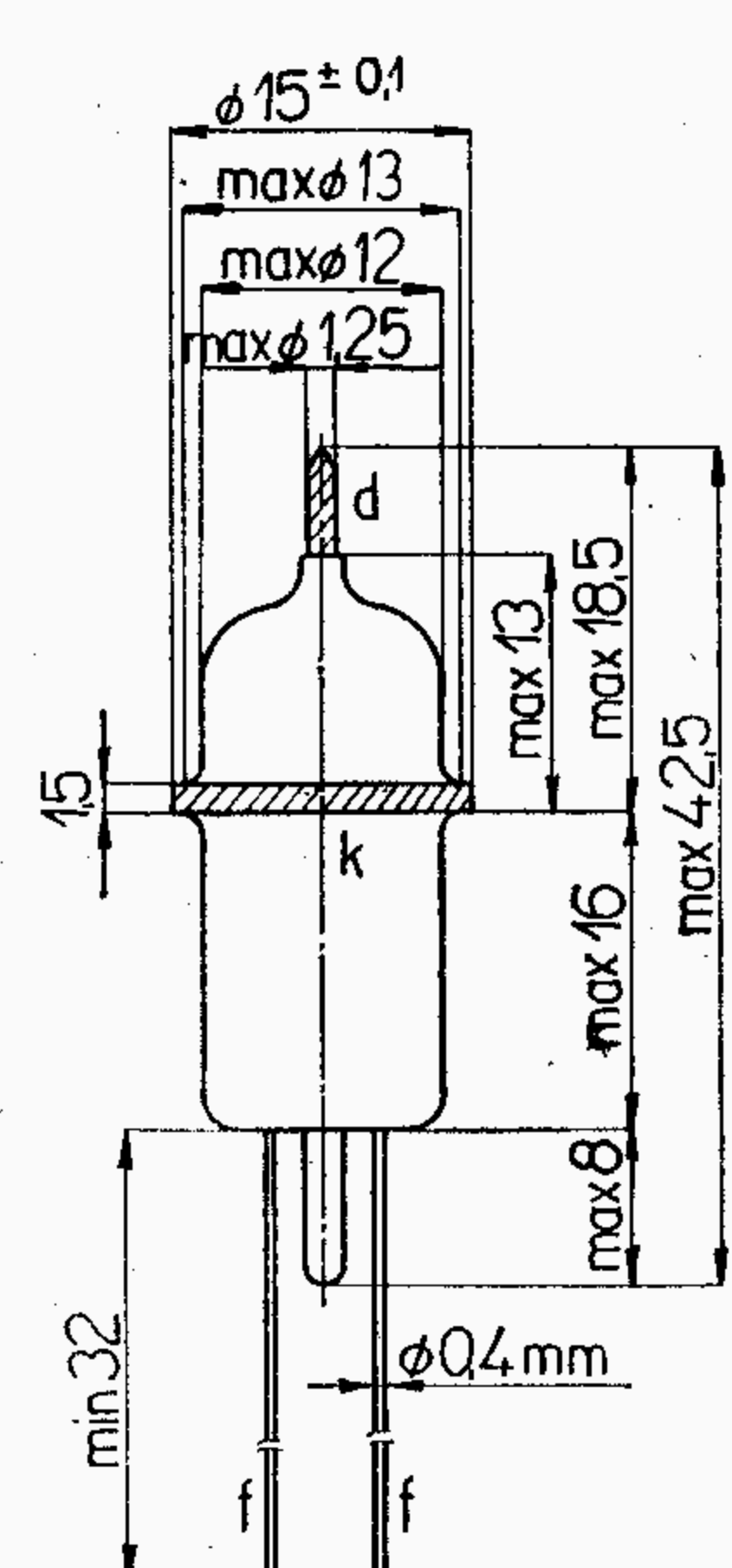
svazková tetroda
nf, vf zesilovač výkonu
pulsní provoz

¹⁾ Doba pulsu
max 10 μ s,
max 15 % per.
²⁾ $t_{ip} = 1 \mu$ s

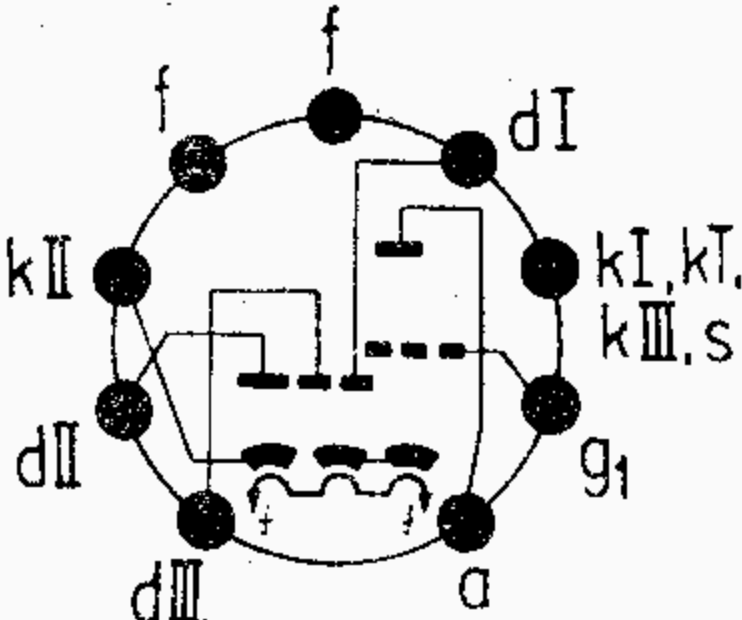
Kapacity
 C_{g1} 9,7 pF
 C_a 7,3 pF
 $C_{a/g1}$ <0,3 pF

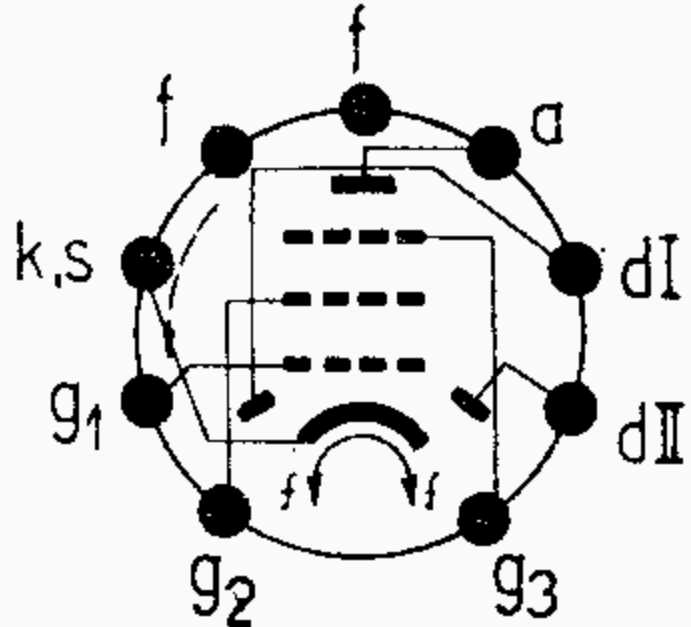
Typ Použití	Rozměry Patice	Žhavení Statické hodnoty	Provozní hodnoty	Mezní hodnoty
6Y50 	Velikost R 1	U_F 6,3 V I_F 1,65 A t_f 1 min nepřímé žhavení ● U_A 30 V I_A >200 mA	Jednocestný usměrňovač $U_{A\ ef}^{1)}$ 1200 V I_O 220 mA U_O 1350 V R_t 150 Ω C_N 4 μF Dvoucestný usměrňovač $U_{A\ ef}^{1)}$ 2×850 V I_O 400 mA U_O 800 V R_t 2×150 Ω C_N 4 μF	U_{inv} 3500 V P_{AR} 10 W I_O 220 mA I_{AM} 700 mA R_t >150 Ω $U_{K/F}$ 50 V Kapacity $C_{a/k}$ 5 pF
		¹⁾ U_A zapínat po nažhavení katody, jinak U_{inv} nutno snížit na 2000 V.		
		dioda jednocestný a dvoucestný usměrňovač		

Typ Použití	Rozměry Patice	Žhavení	Provozní hodnoty	Mezní hodnoty
		Statické hodnoty		
DY86 Velikost N 4 DY87		U_F 1,4 V I_F 0,53 A nepřímé žhavení U_A 100 V I_A 12 mA	U_O 18 kV I_O 150 μ A U_O 20 kV I_O 0 μ A 1. Doba pulsu 18 % periody, ne déle než 18 μ s. 2. Absolutní hodnota. 3. Doba pulsu 10 % periody, ne déle než 10 μ s. Tolerance žhavicího napětí: $I_A \leq 200 \mu A \pm 15 \%$ $I_A > 200 \mu A \pm 7 \%$	$-U_{AM}^{1)}$ 22 kV $-U_{AM} (I_A = 0)$ 24 kV $-U_{AM}^{2)}$ 27 kV I_O 0,8 mA I_{aM} 40 mA C_N 2000 pF ϑ_b 150 °C Jednocestný usměrňovač $f = 50$ c/s sinusový průběh U_{Aef} 5 kV I_A 3 mA C_N 0,2 μ F R_{tr} >100 k Ω Kapacity $C_{a/k+f+s}$ 2,5 pF
 jednocestný usměrňovač pro zdroje vn v televizorech		DY87 Povrch baňky opatřen povlakem, který zabraňuje průrazu i při velké vlhkosti okolního vzduchu.		

Typ Použití	Rozměry Patice	Žhavení	Provozní hodnoty	Mezní hodnoty
		Statické hodnoty		
EA52		U_F 6,3 V I_F 0,3 A nepřímé žhavení U_D <3 V I_D 0,5 mA $R_{is a/k}$ >10 000 M Ω		U_{inv} ($f < 100$ MHz) 1000 V U_{inv} ($f > 100$ MHz) $1000 \cdot \frac{100}{f}$ V I_K 300 μ A I_{KM} 5 mA $U_{K/F}$ 50 V $R_{k/f}$ 20 k Ω U_F >5,6 V U_F 7 V f (MHz) Kapacity $C_{a/k}$ <0,5 pF
vakuová dioda pro měřicí účely až do 1000 Mc/s				

Typ Použití	Rozměry Patice	Žhavení Statické hodnoty	Provozní hodnoty	Mezní hodnoty
EAA91 (6B32)	Velikost max. Ø 19 × 48 mm	U_F 6,3 V I_F 0,3 A I_F 0,3 A U_F 6,3 V nepřímé žhavení U_D 4 V I_D >10 mA	Jednocestný usměrňovač $U_{A\ ef}$ 150 V R_o 300 Ω I_o 9 mA I_{DM} 54 mA Dvoucestný usměrňovač $U_{A\ ef}$ 2 × 150 V R_o 2 × 300 Ω C_N 1 μF R_z 15 kΩ U_o 130 V Kapacity: $C_{aI/kI + s + f}$ 2,2 pF $C_{aII/kII + s + f}$ 2,2 pF $C_{kI/aI + s + f}$ 3,3 pF $C_{kII/aII + s + f}$ 3,3 pF $C_{aI/aII}$ <0,05 pF	Každý systém U_{inv} 420 V I_o 9 mA $I_{AM}^{1)}$ 90 mA P_{AR} 0,5 W $U_{+K/F-}$ 330 V $U_{-K/F+}$ 150 V $R_{k/f}$ 20 kΩ U_{DN} ($I_D \leq 0,3 \mu A$) -1,3 V C_N 8 μF R_o >200 Ω 1) Max. 18 % peridy, max. 18 μs.
dvojitá dioda s oddělenými katodami am, fm demodulátor, poměrový detektor, dvoucestný usměrňovač				

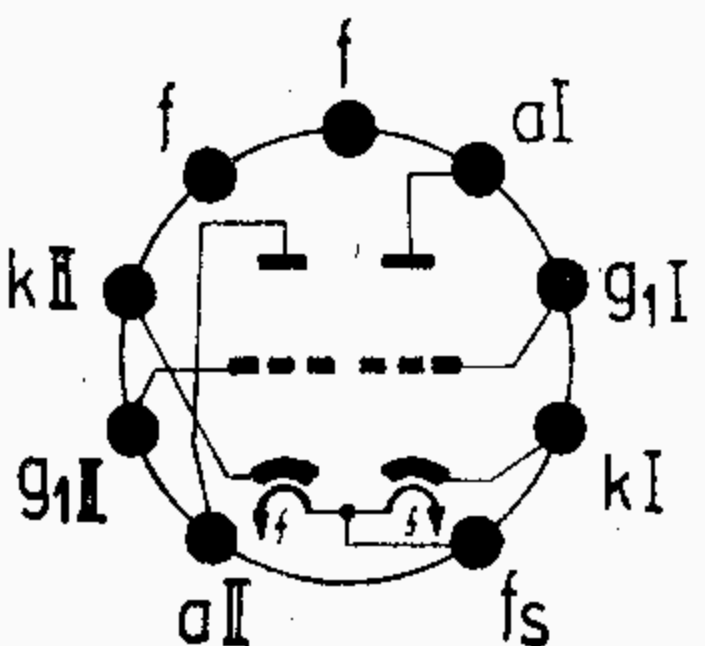
Typ Použití	Rozměry Patice	Žhavení		Provozní hodnoty	Mezní hodnoty			
		Statické hodnoty						
EABC80 Velikost NA 50 		U_F 6,3 V	Ní odporový zesilovač			Trioda		
		I_F 0,45 A	U_B 250 250 250 V	U_{AO} 550 V				
		t_f 15 s	R_a 300 200 100 k Ω	U_A 300 V				
		nepřímé žhavení	R_{g1} 10 10 10 M Ω	P_{AR} 1 W				
		●	$R_{g1'}$ 1 1 1 M Ω	I_K 5 mA				
		U_A 250 V	I_A 0,6 0,8 1,3 mA	R_{g1} 3 M Ω				
		U_{G1} -3 V	$U_{Gi\ ef}$ 67 68 78 mV	$R_{g1(i)}$ 22 M Ω				
		I_A 1 mA	$U_{o\ ef}$ 4 4 4 V	$U_{K/F}$ 150 V				
		S 1,2 mA/V	k 0,3 0,25 0,3 %	$R_{k/f}$ 20 k Ω				
		μ 70	V 60 59 51					
		r_i 58 k Ω	Kapacity	Dioda				
		I_{AZ} ($U_{G1} = -6$ V) <0,15 mA	$C_{g1/kI, III}$ 1,9 pF	$U_{DI\ inv}$ 350 V				
			$C_{a/kI, III}$ 0,8 pF	$U_{DII\ inv}$ 350 V				
			$C_{a/g1}$ 2,0 pF	$U_{DIII\ inv}$ 350 V				
		$U_{DII, DIII}$ 5 V	$C_{dI/kI, III+f}$ 0,8 pF	I_{DI} 1 mA				
		$I_{DII, DIII}$ 25 mA	$C_{dII/kI, III+kII+f}$ 4,8 pF	$I_{DI\ M}$ 6 mA				
		$R_{dII, dIII}$ 200 Ω	$C_{dIII/kI\ III+kII+f}$ 4,8 pF	$I_{DII, III}$ 10 mA				
		R_{dI} 5 k Ω	$C_{g1/f}$ <0,1 pF	$I_{DII, IIIM}$ 75 mA				
		U_{DI} 5 V						
		I_{DI} 1 mA						
		dioda —						
		dvojitá dioda —						
		nf trioda						
		pro am demodulátor,						
		fm demodulátor,						
		nf zesilovač						

Typ Použití	Rozměry Patice	Žhavení	Provozní hodnoty				Mezní hodnoty	
		Statické hodnoty						
EBF89	Velikost N 4	U_F 6,3 V	Vf nebo mf zesilovač				Pentoda	
		I_F 0,3 A	$U_B = U_A$ 250 250 V			U_{AO} 550 V		
		I_F 0,3 A	U_{G3} 0 0 V			U_A 300 V		
	U_F 6,3 V	R_{g2} 56 62 kΩ			P_{AR} 2,25 W			
		t_f 16 s	U_{G1} -2 -20 -2 -20 V			U_{G2o} 550 V		
		nepřímé žhavení	I_A 9 - 9 - mA			U_{G2} 300 V		
			I_{G2} 2,7 - 2,7 - mA			P_{G2R} 0,45 W		
			S 3,8 0,2 4,5 0,2 mA/V			I_K 16,5 mA		
			r_i 1 - 0,9 - MΩ			R_{g1} 3 MΩ		
			Kapacity	Mezi systémy		$R_{g1(i)}$ 22 MΩ		
			Pentoda			R_{g3} 10 kΩ		
			C_{g1} 5 pF	$C_{dI/a}$ 0,15 pF		$U_{K/F}$ 100 V		
			C_a 5,5 pF	$C_{dII/a}$ 0,025 pF		$R_{k/f}$ 20 kΩ		
			$C_{a/g1} < 0,0035$ pF	$C_{dI/g1} < 0,0008$ pF		Dioda		
			$C_{g1/f}$ 0,05 pF	$C_{dII/g1} < 0,001$ pF		U_D 200 V		
			Diody			I_D 0,8 mA		
			$C_{dI/k}$ 2,5 pF			I_{DM} 5 mA		
			$C_{dII/k}$ 2,5 pF					
			$C_{dI/dII} < 0,25$ pF					
			$C_{dI/f}$ 0,015 pF					
			$C_{dII/f}$ 0,003 pF					
		U_A 250 V						
		U_{G3} 0 V						
		U_{G2} 100 V						
		U_{G1} -2 V						
		I_A 9 mA						
		I_{G2} 2,7 mA						
		S 3,8 mA/V						
		r_i 1 MΩ						
		$\mu_{g2/g1}$ 20						
		$I_{AZ} (U_{G1} = -20 \text{ V})$ 10 μA						
		U_D 4 V						
		$I_D > 0,3$ mA						
dvojitá dioda – řízená pentoda am demodulátor, vf, mf zesilovač								

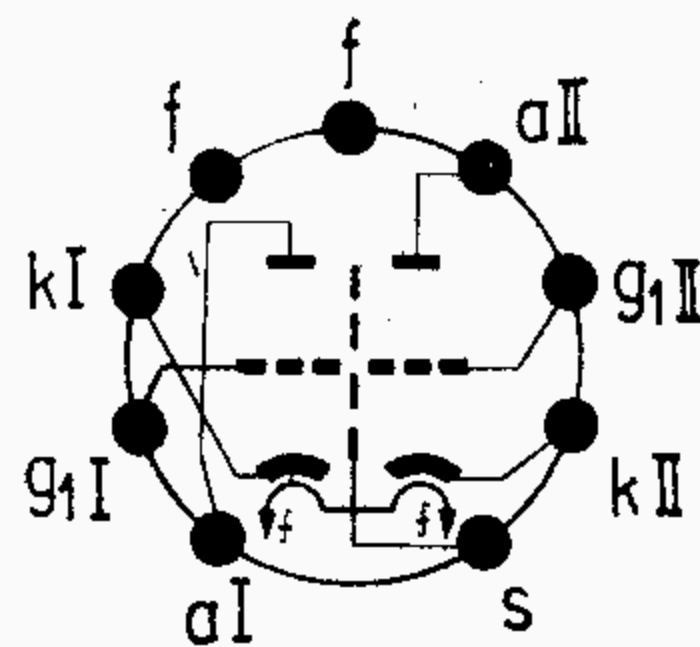
dvojitá dioda –
řízená pentoda
am demodulátor,
vf, mf zesilovač

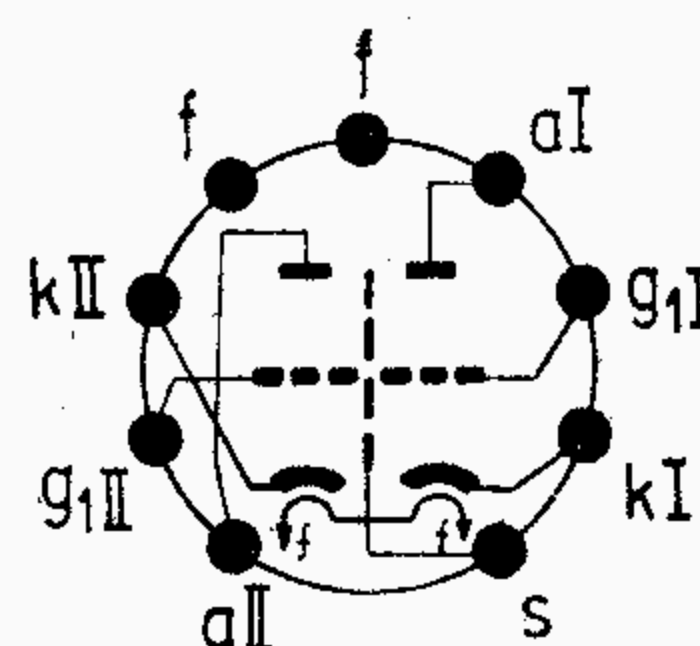
Typ Použití	Rozměry Patice	Žhavení	Provozní hodnoty			Mezní hodnoty		
		Statické hodnoty						
ECC82 Velikost NA 40		U_F 6,3/12,6 V I_F 0,3/0,15 A I_F 0,3 A U_F 6,3 V t_f <19 s nepřímé žhavení	Nf odporový zesilovač (oba systémy v kaskádě): U_B 250 350 V R_a 200 200 k Ω I_{AI+AII} 1,82 2,64 mA R_k 2 2 k Ω $U_{G1\ ef}$ 0,083 0,14 V $U_{o\ ef}$ 15 25 V V 180 180 k 2 2 %			U_{AO} 550 V U_A 300 V P_{AR} 2,75 W R_{g1} 1 M Ω $R_{g1(p)}$ 0,25 M Ω I_K 20 mA $I_{KM}^{2)}$ 100 mA $U_{K/F}^{3)}$ ± 180 V $U_{K/F}^{4)}$ 315 V $R_{k/f}$ 20 k Ω $R_{k/f}^{3)}$ 150 k Ω $-U_{G1}$ 100 V $-U_{G1M}$ 180 V		
		U_A 260 V R_k 800 Ω I_A 10,5 mA S 2,2 mA/V μ 17 D 5,9 % r_i 7,7 k Ω I_{AZ} ($U_{G1} = -25$ V) <0,2 nA	Fázový invertor přímo vázaný: U_B 250 350 V I_{AI} 0,75 1,05 mA I_{AII} 0,65 0,9 mA $U_{G1\ ef}$ 1,36 2,2 V $U_{o\ ef}$ 15 24 V V 11 11 k 1 1 %			²⁾ 4 % periody, max 0,8 ms ³⁾ Jako obraceč fáze. ⁴⁾ Během nažhavení. Kapacity $C_{g/k+f}$ 1,8 pF $C_{aI/kI+f}$ 0,5 pF $C_{aII/kII+f}$ 0,37 pF $C_{a/g1}$ <1,9 pF $C_{g1/f}$ <0,17 pF $C_{aI/aII}$ <0,3 pF $C_{g1I/g1II}$ <0,008 pF $C_{g1I/aII}$ <0,03 pF $C_{g1II/aI}$ <0,03 pF		
dvojitá trioda nf odporový zesilovač, obraceč fáze multivibrátor								

dvojitá trioda
nf odporový zesilovač,
obraceč fáze
multivibrátor

Typ Použití	Rozměry Patice	Žhavení	Provozní hodnoty				Mezní hodnoty	
		Statické hodnoty						
ECC83 	Velikost NA 40	U_F 6,3/12,6 V I_F 0,3/0,15 A I_F 0,3 A U_F 6,3 V t_f 16 s nepřímé žhavení	Nf odporový zesilovač				U_{AO} 550 V U_A 300 V P_{AR} 1 W I_K 8 mA $R_{g1}(k)$ 2,2 MΩ $R_{g1}(i)$ 22 MΩ $-U_{G1}$ -50 V $U_{K/F}$ ±180 V $R_{k/f}$ 20 kΩ $R_{k/f}^{2)}$ 120 kΩ ϑ_b 150 °C	
		U_A 250 V R_k 1600 Ω I_A 1,2 mA S 1,6 mA/V μ 100 r_i 62,5 kΩ I_{AZ} ($U_{G1} = -8$ V) <0,1 mA	Fázový invertor U_B 250 250 V $I_{AI+ AII}$ 1 1,1 mA R_{aI} 100 200 kΩ R_{aII} 100 200 kΩ R_k 70 1 kΩ $U_{G1\ ef}$ 0,8 0,6 V $U_{o\ ef}$ 20 35 V V 25 58 k 1,8 5,5 %				$C_{aI/kI+f}$ 0,45 pF $C_{aII/kII+f}$ 0,3 pF $C_{g1/k+f}$ 1,6 pF $C_{a/g1}$ 1,7 pF $C_{aI/aII}$ <0,3 pF $C_{aI/g1II}$ <0,025 pF $C_{aII/g1I}$ <0,025 pF $C_{g1I/g1II}$ <0,01 pF $C_{g1/f}$ <0,15 pF	
dvojitá trioda nf odporový zesilovač, fázový invertor								

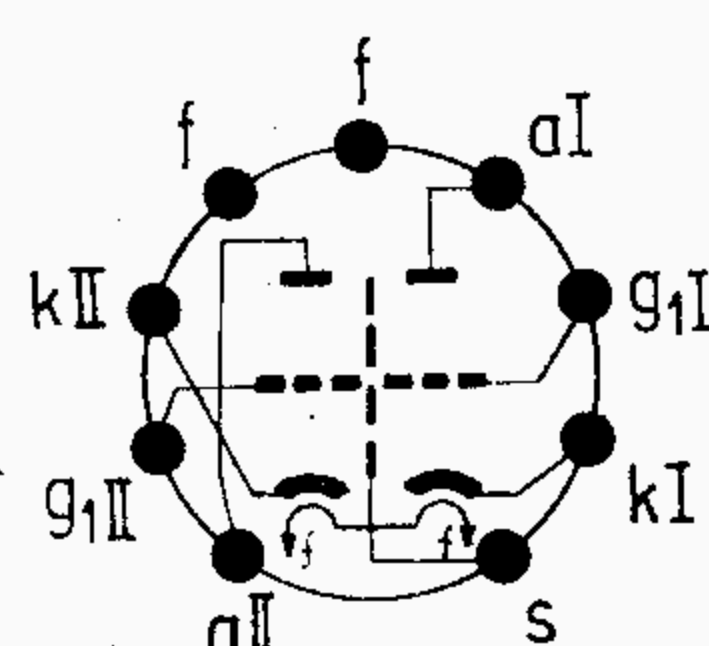
Typ Použití	Rozměry Patice	Žhavení Statické hodnoty	Provozní hodnoty	Mezní hodnoty
ECC84 Velikost N 2				

Typ Použití	Rozměry Patice	Žhavení	Provozní hodnoty	Mezní hodnoty
		Statické hodnoty		
ECC85	Velikost N 2	<div><div></div><div><p>dvojitá trioda vkv kaskádní zesilovač, směšovač</p></div></div> <div><div>U_F 6,3 V I_F 0,38 A nepřímé žhavení</div><div>U_A 250 V R_k 230 Ω I_A 10 mA S 5,9 mA/V μ 57 D 1,75 % r_i 9,7 kΩ I_{AZ} ($U_{G1} = -15$ V) $<0,1$ mA</div></div> <div><div>Vf a vkv zesilovač U_B 250 V S 6 mA/V R_a ¹⁾ 1,8 kΩ r_i 9,7 kΩ U_A 230 V R_k 200 Ω I_A 10 mA Z_{g1} ($f=100$ Mc/s) 6 kΩ R_{ekv} 500 Ω</div><div>¹⁾ Přemostěn kapacitou 1000 pF.</div><div>Samokmitací směšovač U_B 250 V r_i 22 kΩ R_a 12 kΩ $U_{osc\ ef}$ 3 V U_A 187 V S_c 2,3 mA/V R_{g1} 1 MΩ S_{mf} 2,8 mA/V I_A 5,2 mA Z_{g1} ($f = 100$ Mc/s) 15 kΩ</div></div> <div><div>U_{AO} 550 V U_A 300 V P_{AR} 2,5 W $P_{AIR+AIIR}$ 4,5 W I_K 15 mA $-U_{G1}$ 100 V R_{g1} 1 MΩ $U_{K/F}$ 90 V $R_{k/f}$ 20 kΩ</div><div>Kapacity $C_{a/g}$ 1,5 pF $C_{g/k+f+s}$ 3 pF $C_{a/k}$ 0,18 pF $C_{a/k+f+s}$ 1,2 pF $C_{aI/aII}$ $<0,04$ pF $C_{aI/kII}$ $<0,008$ pF $C_{gII/gII}$ $<0,003$ pF $C_{aI/gII}$ $<0,008$ pF $C_{aII/gI}$ $<0,008$ pF $C_{aII/kI}$ $<0,008$ pF $C_{gII/kII}$ $<0,003$ pF $C_{gII/kI}$ $<0,003$ pF</div></div>		

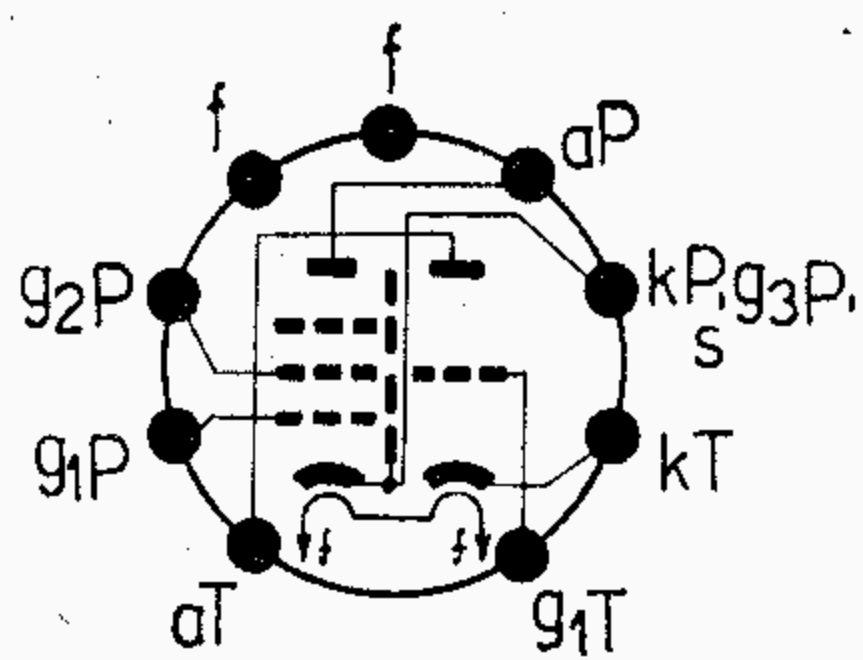
Typ Použití	Rozměry Patice	Žhavení Statické hodnoty	Provozní hodnoty	Mezní hodnoty
ECC88 Velikost NA 40		U_F 6,3 V I_F 0,335 V nepřímé žhavení U_A 90 V R_k 87 Ω I_A 15 mA S 12,5 mA/V μ 33 r_i 2,6 k Ω I_{AZ} ($U_{G1} = -8$ V) <35 μ A R_{ekv} <600 Ω	Systém I: s uzemněnou katodou. Systém II: s uzemněnou mřížkou. Systém II musí mít pevné předpětí z děliče napětí, systém I smí mít předpětí proudem I_{G1} na svodovém odporu mřížky. Anodové napětí systému I pak nesmí překročit v neřízeném stavu 75 V.	U_{AO} 550 V U_A 130 V P_{AR} 1,8 W I_K 25 mA $-U_{G1}$ 50 V P_{G1} 0,03 W R_{g1} 1 M Ω $U_{K/F}$ 50 V $R_{k/f}$ 20 k Ω Systém II: $U_{+KII/F-ef}$ 150 V $U_{+K/F-}$ 130 V Kapacity ¹⁾ $C_{aI+kI+f+s}$ 1,8 pF $C_{gI+kI+f+s}$ 3,3 pF $C_{aI/gI}$ 1,4 pF $C_{gI/f}$ <0,16 pF $C_{aII/gII+f+s}$ 2,8 pF $C_{kII/gII+f+s}$ 6 pF $C_{aII/gII}$ <1,8 pF $C_{aII/kII}$ 0,18 pF $C_{kII/f}$ <3,5 pF $C_{aI/aII}$ <0,045 pF $C_{gI/aII}$ <0,005 pF
dvojitá trioda s oddělenými katodami vkv kaskádní zesilovač			¹⁾ Bez stínícího krytu.	

Typ Použití	Rozměry Patice	Žhavení	Provozní hodnoty	Mezní hodnoty
		Statické hodnoty		
ECC802S Velikost N 2		U_F 6,3/12,6 V I_F 0,3/0,15 A nepřímé žhavení U_A 250 V R_k 800 Ω I_A 10,6 \pm 1,9 mA S 2,2 \pm 0,5 -0,4 mA/V μ 17 r_i 7,7 k Ω I_{AZ} ($U_{G1} = -20$ V) <0,4 mA $-I_{G1}$ <0,4 μ A		U_{AO} 550 V U_A 300 V P_{AR} 2,75 W I_K 15 mA $I_{KM}^{1)}$ 200 mA $-U_{G1}$ 100 V R_{g1} 1 M Ω $R_{g1(p)}$ 0,25 M Ω $U_{K/F}$ 100 V $R_{k/f}$ 20 k Ω $R_{k/f}^{3)}$ 150 k Ω ϑ_b 170 $^{\circ}$ C U_f 6,3 \pm 5 % V U_f 12,6 \pm 5 % V
		dvojitá trioda nf odporový zesilovač obraceč fáze, multi- vibrátor	Dlouhoživotnostní Otřesuvzdorná Úzké tolerance Spolehlivá v provozu	¹⁾ Max 10 % peridy, max 2 ms. ³⁾ Jako obraceč fáze. Kapacity C_{g1} 1,8 \pm 0,3 pF C_{aI} 0,37 \pm 0,1 pF C_{aII} 0,25 \pm 0,1 pF $C_{a/g1}$ 1,95 \pm 0,3 pF $C_{g/f}$ <0,23 pF

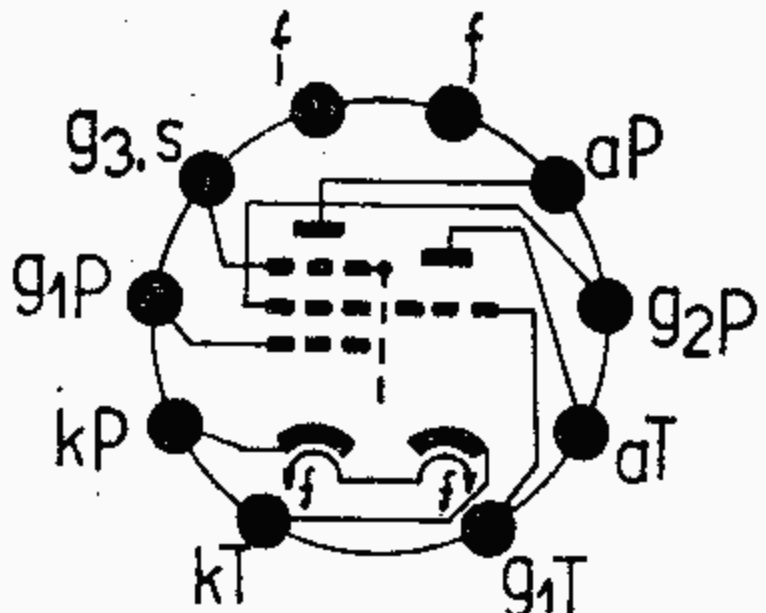
Typ Použití	Rozměry Patice	Žhavení	Provozní hodnoty	Mezní hodnoty
		Statické hodnoty		
E83CC Velikost NA 40		U_F 6,3 V I_F 0,3 A nepřímé žhavení U_A 250 V R_k 1,6 k Ω I_A 1,25 \pm 0,15 mA +0,35 S 1,6 -0,3 mA/V μ 100 \pm 25 r_i 62,5 k Ω $-I_G$ <0,2 μ A $-U_G$ ($I_A = 20$ μ A) <4 V $I_{K/F}$ ($U_{K/F} =$ $= 100$ V) <5 μ A	Kapacity: $C_{g/k+f}$ 1,6 \pm 0,4 pF $C_{aII/kII+f}$ 0,34 <0,45 pF $C_{aI/kI+f}$ 0,46 <0,6 pF $C_{a/g}$ 1,7 \pm 0,45 pF $C_{g/f}$ <0,15 pF $C_{aI/aII}$ <0,6 pF $C_{gI/gII}$ <10 mpF $C_{aI/gII}$ <60 mpF $C_{aII/gI}$ <60 mpF	U_{AO} 600 V U_A 330 V P_{AR} 1,2 W $-U_G$ 55 V $+U_G$ 0,5 V I_K 9 mA $R_{g1(p)}$ 1,2 M Ω $R_{g1(k)}$ 2,2 M Ω $R_{g1(i)}$ 25 M Ω $U_{K/F}$ \pm 200 V $R_{k/f}$ 20 k Ω $R_{k/f}^{1)}$ 150 k Ω ϑ_b 170 $^{\circ}$ C U_F >6 V U_F 6,6 V
		dvojitá trioda nf odporový zesilovač obraceč fáze, budič	Dlouhoživotnostní Otřesuvzdorná Úzké tolerance Spolehlivá v provozu	¹⁾ Jako obraceč fáze

Typ Použití	Rozměry Patice	Žhavení	Provozní hodnoty	Mezní hodnoty
		Statické hodnoty		
E88CC Velikost N 2		U_F 6,3 V $\pm 5\%$ I_F 0,3 A nepřímé žhavení ● U_{BA} 100 V U_{G1} +9 V R_k 680 Ω I_A 15 \pm 0,8 mA S 12,5 \pm 2,5 mA/V μ 33 \pm 5 R_{ekv} <500 Ω F 4,6 dB $-U_{G1Z}$ ($I_A=0,1$ mA) 6,5 V $-I_{G1}$ <0,1 μ A	Kapacity: $C_{aI/kI+f+s}$ 1,75 \pm 0,2 pF $C_{aI/kI+f}$ 0,5 \pm 0,1 pF $C_{aII/kII+f+s}$ 1,65 \pm 0,2 pF $C_{aII/kII+f}$ 0,4 \pm 0,1 pF $C_{g/k+f+s}$ 3,1 \pm 0,6 pF $C_{g/a}$ 1,4 \pm 0,2 pF $C_{g/k+f}$ 3,1 \pm 0,6 pF $C_{a/k}$ 0,18 \pm 0,04 pF $C_{aI/aII}$ <0,045 pF $C_{gI/gII}$ <0,005 pF	U_{AO} 550 V U_A ($I_A = 0$) 400 V U_A 220 V U_A ($P_{AR} \leq 0,8$ W) 250 V P_{AR} 1,5 W P_{AR} ($P_{AI} + A_{IIR} \leq 2$ W) 1,8 W $-U_{G1}$ -100 V $-U_{G1M}^{2)}$ -200 V P_{G1R} 0,03 W I_K 20 mA $I_{KM}^{2)}$ 100 mA R_{g1} 1 M Ω $U_{+K/F-}$ 120 V $U_{-K/F+}$ 60 V $R_{k/f}$ 20 k Ω ϑ_b 170 $^{\circ}$ C
dvojitá trioda s oddělenými katodami vkv kaskádní zesilovač			Dlouhoživotnostní Otřesuvzdorná Úzké tolerance Spolehlivá v provozu	²⁾ Puls max 10 % periody, max 0,2 ms

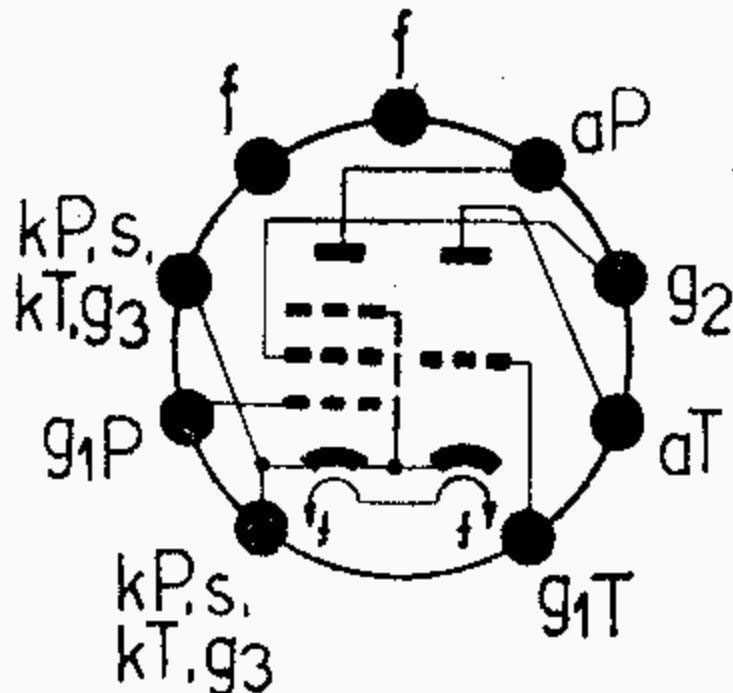
²⁾ Puls max 10 %
periody, max 0,2 ms

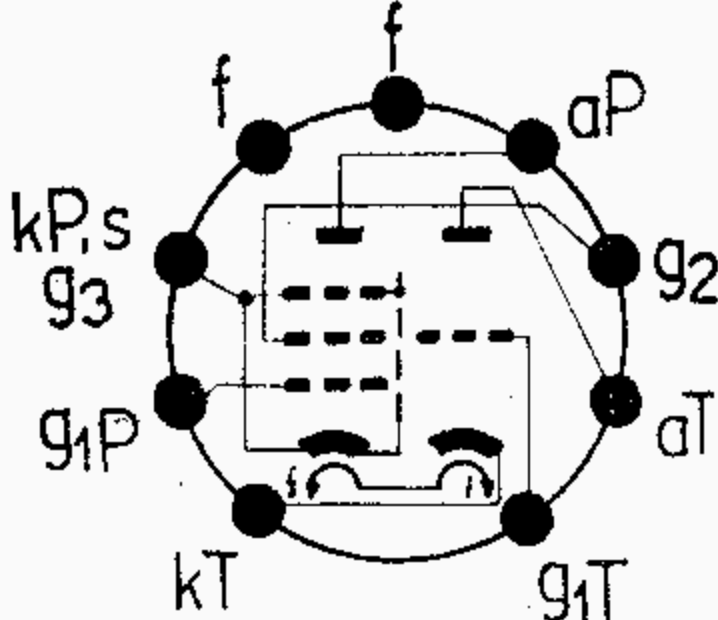
Typ Použití	Rozměry Patice	Žhavení Statické hodnoty	Provozní hodnoty				Mezní hodnoty	
ECF82  trioda - pentoda oscilátor - směšovač v televizorech	Velikost N 2	U_F 6,3 V I_F 0,45 A nepřímé žhavení ●	Pentoda jako směšovač				Pentoda	
		U_A 250 V U_{G2} 110 V U_{G1} -0,9 V I_A 10 mA I_{G2} 3,5 mA S 5,2 mA/V r_i 0,4 MΩ $\mu_{g2/g1}$ 35 I_{AZ} ($U_{G1} = -10$ V) <0,15 mA Trioda U_A 150 V U_{G1} -1 V I_A 18 mA S 8,5 mA/V μ 40 r_i 4,7 kΩ I_{AZ} ($U_{G1} = -10$ V) <0,35 mA	$U_A = U_B$ 170 200 250 V R_{g2} 30 45 70 kΩ R_{g1} 1 1 1 MΩ U_{G1} 0 0 0 V $U_{osc\ ef}$ 3 3 3 V I_A 4,7 4,9 5,2 mA I_{G2} 2 1,9 1,9 mA I_{G1} 3,7 3,7 3,7 μA S_c 1,65 1,8 1,9 mA/V $Z_{g1}(f=100\text{ Mc/s})$ 10 10 10 kΩ Trioda jako oscilátor U_B 170 200 250 V R_a 20 20 20 kΩ R_{g1} 20 20 20 kΩ $U_{osc\ ef}$ 3 3 3 V I_A 3,3 4,1 5,7 mA I_{G1} 160 160 160 μA S_{ef} 2,8 3,2 4 mA/V Kapacity: Pentoda Trioda C_{g1} 5 pF C_{g1} 2,5 pF C_a 2,6 pF C_a 0,4 pF $C_{a/g1}$ 0,01 pF $C_{a/g1}$ 1,8 pF $C_{f/k}$ 2,6 pF $C_{f/k}$ 2,5 pF $C_{aP/aT}$ 0,07 pF	U_{AO} 550 V U_A 300 V P_{AR} 2,8 W U_{G20} 550 V U_{G2} 300 V P_{G2R} 0,5 W I_K 20 mA R_{g1} 1 MΩ $U_{+K/F-}$ 220 V $U_{-K/F+}$ 90 V $R_{k/f}$ 20 kΩ Trioda U_{AO} 550 V U_A 300 V P_{AR} 2,7 W I_K 20 mA R_{g1} 1 MΩ $U_{+K/F-}$ 220 V $U_{-K/F+}$ 90 V $R_{k/f}$ 20 kΩ				

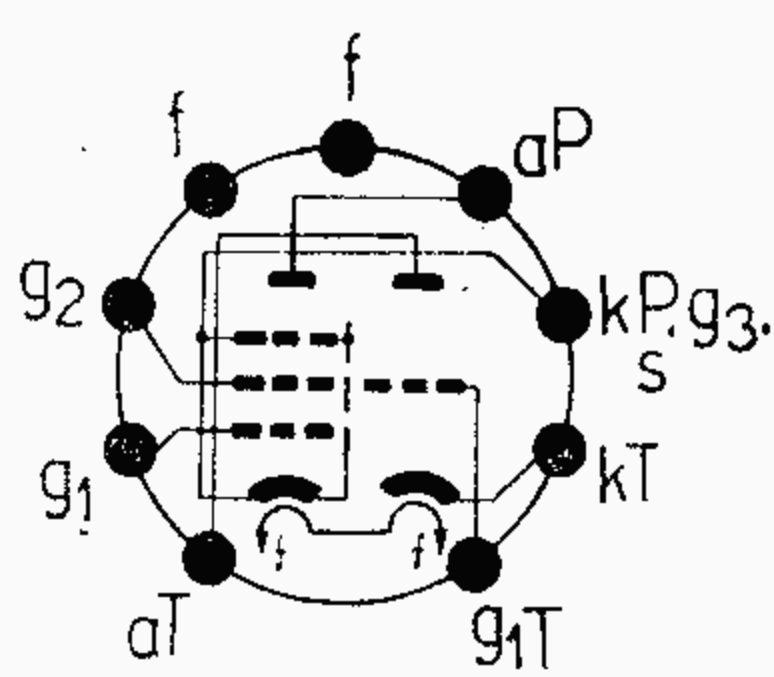
Typ Použití	Rozměry Patice	Žhavení Statické hodnoty	Provozní hodnoty	Mezní hodnoty
ECF200 Velikost NA 40		U_F 6,3 V I_f 0,41 A nepřímé žhavení Pentoda U_{BAP} 160 V U_{G3} 0 V U_{G2} 135 V R_k 93 Ω I_A 13 mA I_{G2} 5,3 mA S 14 mA/V $\mu_{g2/g1}$ 53 I_{AZ} ($U_{G1} = -8$ V) <0,1 mA Trioda U_{BAT} 170 V R_k 120 Ω I_A 8,5 mA S 5,2 mA/V μ 57 I_{AZ} ($U_{G1} = -8$ V) <0,1 mA	Pentoda: Obrazový a zvukový mf ze- silovač U_B 230 210 V R_a 5,6 3,9 k Ω R_{g2} 22 15 k Ω R_k 83 91 Ω I_A 12,5 13 mA I_{G2} 5,1 5,3 mA S 14 14 mA/V r_{G1} ($f = 40$ MHz) 6,6 6,6 k Ω Kapacity: (bez vnějšího stínění) Pentoda Trioda C_{g1} 6,0 pF C_g 2,1 pF C_a 3,3 pF C_a 3,0 pF $C_{g1/k}$ 3,7 pF $C_{a/g}$ 2,2 pF $C_{a/g1}$ 0,0056 pF $C_{g1/g2}$ 1,7 pF Mezi systémy: $C_{aP/aT}$ <0,015 pF $C_{g1P/aT}$ <0,0012 pF $C_{g1P/gT}$ <0,0015 pF ²⁾ $U_{+K/F}$ max. = 350 V; stejnosměrná složka max. 200 V, střídavá složka efektivní max. 150 V.	Pentoda: U_{AO} 550 V U_A 250 V P_{AR} 2,1 W U_{G2o} 550 V U_{G2} 250 V P_{G2R} 0,75 W I_K 20 mA R_{g1} 1 M Ω $U_{K/F}$ 150 V Trioda: U_{AO} 550 V U_A 250 V $U_{AM}^{1)}$ 600 V P_{AR} 1,5 W I_K 18 mA R_{g1} 1 M Ω $U_{K/F}^{2)}$ 150 V $R_{k/f}$ 50 k Ω ¹⁾ $I_A \leq 0,1$ mA; max. 18 % perody, max. 18 μ s.

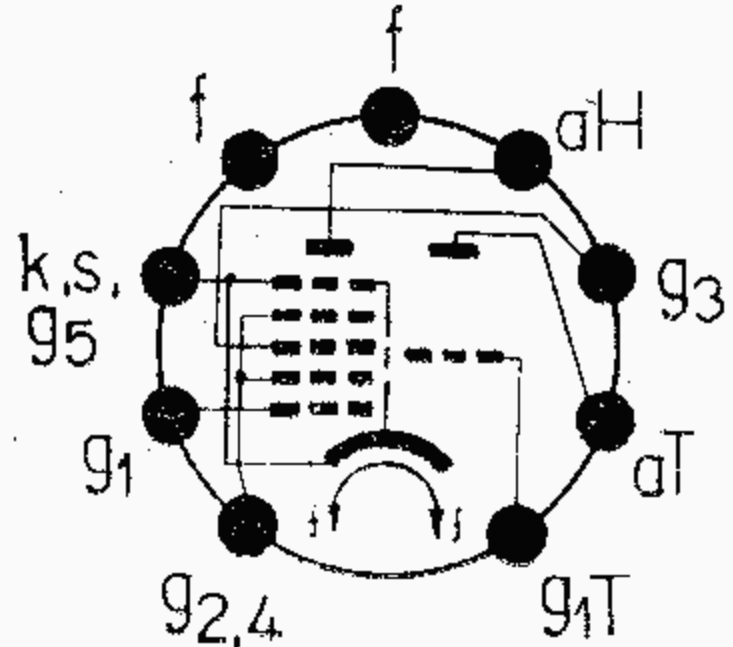
Typ Použití	Rozměry Patice	Žhavení	Provozní hodnoty		Mezní hodnoty	
		Statické hodnoty				
ECF201 Velikost NA 40		U_F 6,3 V I_f 0,41 A nepřímé žhavení	Pentoda: Obrazový zesilovač mf		Pentoda:	
		U_{BAP} 160 V U_{G3} 0 V U_{BG2} 110 V R_k 77 Ω I_A 13 mA I_{G2} 5,3 mA S 12,6 mA/V $\mu_{g2/g1}$ 45 Trioda U_{BAT} 100 V R_k 143 Ω I_A 14 mA S 4,8 mA/V μ 17,5 I_{AZ} ($U_{G1} = -18$ V) $<0,1$ mA	$U_B = U_A$ 210 V U_{G3} 0 V R_a 3,3 k Ω R_{g2} 18 k Ω R_k 79 Ω I_A 13,2 mA I_{G2} 5,4 mA S 12,6 mA/V U_{G1} ($S = 1,26$ mA/V) -5,1 V ($S = 0,126$ mA/V) -19 V r_{G1} ($f = 40$ MHz) 7,4 k Ω Trioda jako blokovací oscilátor U_A 30 V U_{G1} 1,5 V I_{KM} 40 mA I_{AM} 25 mA I_{G1M} 15 mA Kapacity: (bez stínícího krytu) Pentoda: Trioda: C_{g1} 6,0 pF C_{g1} 2,1 pF C_a 3,3 pF C_a 3 pF $C_{a/g1}$ 0,0065 pF $C_{a/g1}$ 2 pF	U_{AO} 550 V U_A 250 V P_{AR} 2,1 W U_{G2o} 550 V U_{G2} 250 V P_{G2R} 0,7 W I_K 20 mA R_{g1} 1 M Ω $U_{K/F}$ 150 V Trioda: U_{AO} 550 V U_A 250 V P_{AR} 1,5 W I_K 18 mA $I_{KM}^{1)}$ 50 mA R_{g1} 1 M Ω $U_{K/F}$ 150 V $R_{k/f}$ 50 k Ω		
trioda - pentoda trioda jako pulsní zesilovač, oddělovač synchronizačních pulsů, rázující oscilátor pro řádkové vychylování nebo multivibrátor, pentoda pro řízené stupně obrazových mf zesilovačů.		1) Max. 10 % periody, max. 10 μ s.				

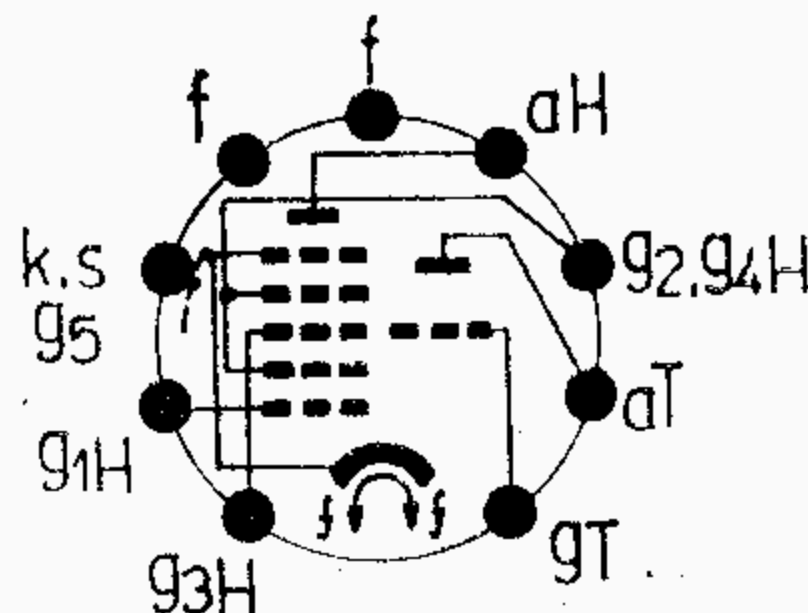
¹⁾ Max. 10 % perody,
max. 10 μ s.

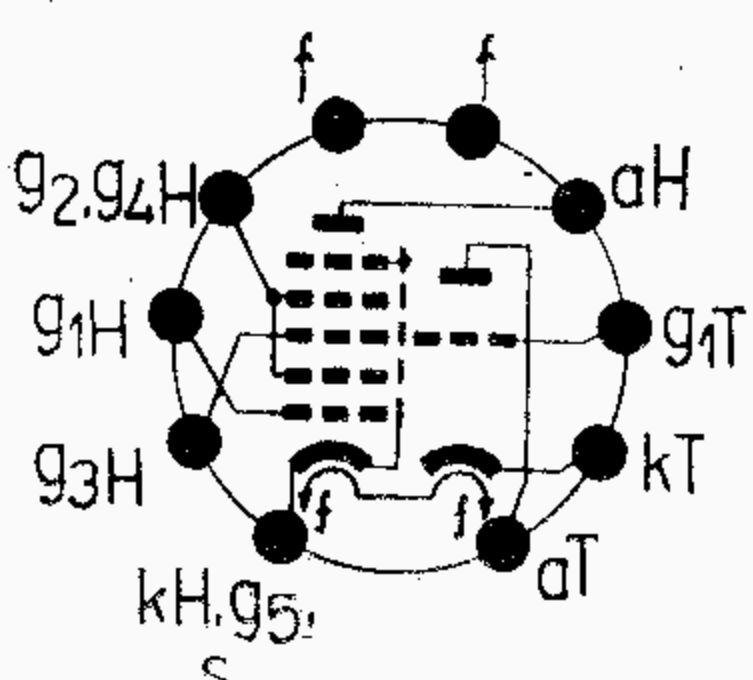
Typ Použití	Rozměry Patice	Žhavení	Provozní hodnoty			Mezní hodnoty		
		Statické hodnoty						
ECF801 Velikost NA 34 ECF803		U_F 6,3 V I_F 0,38 A nepřímé žhavení ●	Pentoda jako směšovač			Pentoda		
		Pentoda U_A 170 V U_{G2} 120 V R_k 110 Ω I_A 10 mA I_{G2} 3 mA S 11 mA/V μ_{g2/g1} 55 r_i >350 kΩ R_{ekv} 1,5 kΩ R_{vst} (f = 50 Mc/s) 10 kΩ	U_B 200 200 V R_a 2,7 4,7 kΩ R_{g2} 27 27 kΩ R_{g1} 0,1 1 MΩ U_{BG1} -1,4 0 V I_A 10 9,3 mA I_{G2} 3 2,9 mA U_{osc ef} 1,6 1,6 V S_c 5 4,7 mA/V I_{G1} 8 2,3 μA	U_{AO} 550 V U_A 250 V P_{AR} 2 W U_{G2O} 550 V U_{BG2} 250 V U_{G2} 250 V P_{G2R} (-U _{G1} <1,5 V) 0,45 W P_{G2R} (-U _{G1} =1,5 <2 V) 0,4 W P_{G2R} (-U _{G1} >2 V) 0,3 W I_K 18 mA R_{g1} (p) 1 MΩ R_{g1} (k) 2,2 MΩ -U_{G1} 50 V U_{K/F} 100 V U_{K/F ef} 50 V				
ECF801		U_A 200 V U_{G2} 200 V U_{G1} -12 V S 0,11 mA/V	Pentoda jako mf zesilovač U_B 200 200 V R_a 2,7 4,7 kΩ R_{g2} 27 27 kΩ R_{g1} 0,1 1 MΩ U_{BG1} -1,4 0 V I_A 10 13 mA I_{G2} 3 3,9 mA S 11 14,5 mA/V S (-12 V) : S (-1,4 V) 1 : 1000					
trioda - pentoda oscilátor - vkv směšovač, l. mf zesilovač v televizorech pro IV. a V. televizní pásmo								

Typ Použití	Rozměry Patice	Žhavení	Provozní hodnoty				Mezní hodnoty	
		Statické hodnoty						
ECF801 ECF803		Trioda	Trioda jako oscilátor				Trioda	
		U_A 100 V R_k 200 Ω I_A 15 mA S 9 mA/V μ 20 I_{AZ} ($U_{G1} = -10$ V) $< 0,1$ mA	U_{BAT} 200 200 V R_a 8,2 12 k Ω R_{g1} 10 10 k Ω I_A 16 12 mA $U_{osc\ ef}$ 4,5 3,3 V S_{ef} 3,7 3,7 mA/V	U_{AO} 550 V U_A 125 V P_{AR} 1,5 W I_K 20 mA R_{g1} 500 k Ω $-U_{G1}$ 50 V $U_{K/F}$ 100 V $U_{K/F\ ef}$ 50 V				
		Kapacity:						
		Pentoda	Trioda					
		C_{g1} 6,2 pF C_a 3,7 pF $C_{a/g1}$ 9 < 12 mpF $C_{g1/g2}$ 1,6 pF	C_{g1} 3,3 pF C_a 1,7 pF $C_{a/g1}$ 1,8 pF					
		Mezi systémy:						
		$C_{aP/aT}$ < 0,025 pF $C_{aP/g1T}$ < 0,01 pF $C_{g1P/aT}$ < 0,01 pF $C_{g1P/g1T}$ < 0,01 pF						
ECF803								

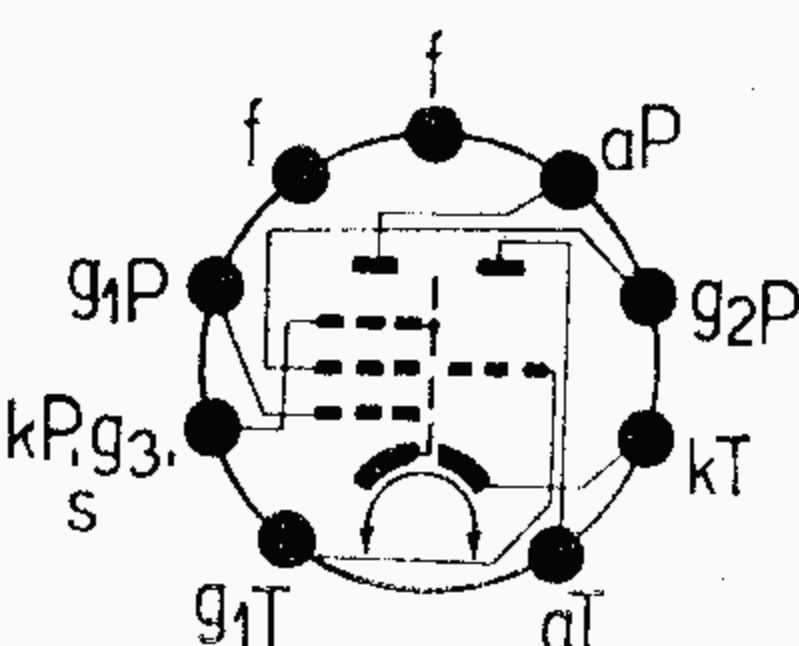
Typ Použití	Rozměry Patice	Žhavení	Provozní hodnoty		Mezní hodnoty	
		Statické hodnoty				
ECF802 Velikost NA 40		U_F 6,3 V I_F 0,43 A nepřímé žhavení ●	Pentoda U_A 100 200 V U_{G2} 100 200 V U_{G1} 0 -1 -16 V I_A 12,5 6 <0,01 mA I_{G2} 3,5 1,7 — mA		Trioda U_{AO} 550 V U_A 250 V P_{AR} 1,4 W I_K 10 mA $R_{g1(p)}$ 3 MΩ $U_{K/F}$ 100 V $Z_{g1}(50\text{ Hz})$ 50 kΩ	
		Trioda U_A 200 V I_A 3,5 mA R_k 570 Ω S 3,5 mA/V μ 70 r_i 20 kΩ $I_{AZ}(U_{G1} = -9\text{ V})$ <0,05 mA	Kapacity Pentoda C_{g1} 5,4 pF $C_{a/g1}$ 0,06 pF $C_{g1/f} \leq 0,1$ pF Trioda C_{g1} 2,4 pF $C_{a/g1}$ 1,5 pF $C_{g1/f} \leq 0,1$ pF Aby se zamezilo interferenci s napětím bručení, je nežádoucí zvyšovat střídavou složku napětí $U_{K/F}$ nad 65 V při uvedené hodnotě Z_{g1} .		Pentoda U_{AO} 550 V U_A 250 V P_{AR} 1,2 W U_{G2o} 550 V U_{G2} 250 V P_{G2R} 0,8 W I_K 15 mA $I_{KM}^1)$ 50 mA $R_{g1(p)}$ 0,56 MΩ $R_{g1(k)}$ 1 MΩ $U_{K/F}$ 100 V $Z_{g1}(50\text{ Hz})$ 300 kΩ	
trioda - pentoda trioda jako reaktanční elektronka, pentoda pro sinusové oscilátory a tvarovače impulsů		Pentoda U_A 100 V U_{G2} 100 V R_k 130 Ω I_A 6 mA I_{G2} 1,7 mA S 5,5 mA/V $\mu_{g2/g1}$ 47 r_i 400 kΩ $I_{AZ}(U_{G1} = -4\text{ V})$ <0,27 mA			¹⁾ Max 30 μs, činitel plnění max 30 %	

Typ Použití	Rozměry Patice	Žhavení	Provozní hodnoty		Mezní hodnoty	
		Statické hodnoty				
ECH81 Velikost N 4		U_F 6,3 V I_F 0,3 A I_F 0,3 A U_F 6,3 V nepřímé žhavení ●	Heptoda Směšovač Vf, mf zesilovač		Heptoda	
		Trioda U_A 250 V U_{G2+G4} 100 V U_{G1} -2 V I_A 6,5 mA I_{G2} 3,8 mA S 2,4 mA/V $\mu_{g2+g4/g1}$ 20 r_i 0,7 MΩ	g_3 spoj s $g1T$ $U_{BA=U_A}$ 250 V R_{g2+g4} 24 kΩ R_{g3+g1T} 47 kΩ I_{G3+G1T} 200 μA U_{G1} -2 -28,5 V I_A 3,2 - mA I_{G2+G4} 6 - mA S_c 775 7,75 μA/V r_i 1 >3 MΩ r_{ekv} 70 - kΩ		g_3 spoj s k $U_{BA=U_A}$ 250 V R_{g2+g4} 39 kΩ U_{G1} -2 -42 V I_A 6,5 - mA I_{g2+g4} 3,75 - mA S 2400 24 μA/V r_i 0,7 10 MΩ r_{ekv} 8,5 - kΩ Z_{gt} (f=100 Mc/s) 1,6 kΩ	U_{AO} 550 V U_A 330 V P_{AR} 1,7 W U_{G2+G4o} 550 V U_{G2+G4} 125 V U_{G2+G4} ($I_{AH} < 1$ mA) 300 V P_{G2+G4R} 1 W I_K 12,5 mA R_{g1} 3 MΩ R_{g3} 3 MΩ $R_{k/f}$ 20 kΩ $U_{K/F}$ 100 V
řízená heptoda - trioda heptoda: směšovač, vf, mf a nf zesilovač trioda: oscilátor, kmitačící směšovač nf zesilovač		Heptoda U_A 100 V U_{G1} 0 V I_A 13,5 mA S 3,7 mA/V μ 22 r_i 6 kΩ	Trioda Oscilátor Nf zesilovač U_{BAT} 250 V R_a 33 kΩ R_{g1} 47 kΩ I_{G1} 200 μA I_A 4,5 mA S_{ef} 0,65 mA/V Kapacity: C_{g1H} 4,8 pF C_{g3H} 6 pF $C_{g1H/aH}$ <0,0065 pF		U_{BA} 250 V R_a 200 kΩ U_{G1} -2 -4 V I_A 2 1 mA V 12,5 11,1 U_{G1ef} 0,95 2,7 V k 3,5 6 % C_{g1T} 2,6 pF C_{aT} 1,8 pF C_{aTg1T} 1 pF	Trioda U_{AO} 550 V U_A 250 V P_{AR} 0,8 W I_K 6,5 mA R_{g1} 3 MΩ $R_{g1}^1)$ 50 kΩ I_{G1} 1 mA
					¹⁾ Optimální hodnota, trioda jako oscilátor	

Typ Použití	Rozměry Patice	Žhavení	Provozní hodnoty	Mezní hodnoty
		Statické hodnoty		
ECH84	Velikost NA 50	U_F 6,3 V I_F 0,3 A nepřímé žhavení ●		Heptoda U_{AO} 550 V U_A 250 V P_{AR} 1,7 W U_{G2+G4o} 550 V U_{G2+G4} 250 V U_{G2+G4} >10 V P_{G2+G4R} 0,8 W $-U_{G1M}$ 150 V $-U_{G3M}$ 150 V I_K 12,5 mA R_{g1} 3 MΩ R_{g3} 3 MΩ $U_{K/F}$ 100 V $R_{k/f}$ 20 kΩ
		 μ 50 Trioda U_A 50 V U_{G1} 0 V I_A 3 mA S 3,7 mA/V I_{AZ} ($U_A = 200$ V, $U_{G1} = -11$ V) <0,1 mA Heptoda U_A 135 V U_{G2+G4} 14 V U_{G3} 0 V U_{G1} 0 V I_A 1,7 mA I_{G2+G4} 0,9 mA S_{g1} 2,2 mA/V U_{G1Z} ($I_A = 20 \mu A$ $U_{G3} = 0$ V) -1,9 V Kapacity (bez stínícího krytu) Trioda Heptoda C_g 3 pF $C_{g1H/aH}$ <0,009 pF $C_{g/a}$ 1,1 pF $C_{g3/k}$ 0,5 pF Mezi systémy $C_{aH/aT}$ <0,25 pF $C_{aT/g1H}$ <0,08 pF $C_{g1H/gT}$ <0,1 pF $C_{aH/gT}$ <0,09 pF $C_{aT/g3H}$ <0,13 pF U_{G3Z} ($I_A = 20 \mu A$ $U_{G1} = 0$ V) -2,0 V	U_{G2+G4} 550 V U_{G2+G4} 250 V P_{G2+G4R} 0,8 W $-U_{G1M}$ 150 V $-U_{G3M}$ 150 V I_K 12,5 mA R_{g1} 3 MΩ R_{g3} 3 MΩ $U_{K/F}$ 100 V $R_{k/f}$ 20 kΩ Trioda U_{AO} 550 V U_A 250 V P_{AR} 1,3 W I_K 10 mA R_g 3 MΩ $-U_{GM}$ 200 V	
trioda - heptoda sinusový oscilátor - oddělovací stupeň impulsů v televizních přijímačích				

Typ Použití	Rozměry Patice	Žhavení	Provozní hodnoty		Mezní hodnoty	
		Statické hodnoty				
ECH200 Velikost NA 40		U_F 6,3 V I_F 0,435 V nepřímé žhavení ●	Kapacity: (bez vnějšího stínění)		Heptoda	
			Heptoda	Trioda		
		C_{g1} 4,4 pF C_a 5,4 pF $C_{a/g1}$ <0,1 pF $C_{a/g3}$ <0,25 pF $C_{g1/g3}$ 0,3 pF	C_{g1} 3,3 pF C_a 1,7 pF $C_{a/g1}$ 1,8 pF			
			Mezi systémy			
			$C_{g1H/g1T}$ <0,005 pF $C_{g1H/aT}$ <0,01 pF	$C_{g3H/aT}$ <0,02 pF $C_{aH/aT}$ <0,15 pF		
			Statické údaje heptody			
			U_{AH} 14 V U_{G3} 0 V U_{G2+G4} 14 V U_{G1} -2,4 V I_{AZ} <20 μA	U_{AH} 14 V U_{G2+G4} 14 V U_{G3} +25 V U_{G1} -2,7 V I_{AZ} <20 μA		
			U_A 14 V U_{G2+G4} 14 V U_{G3} -2,2 V U_{G1} 0 V I_{AZ} <20 μA	U_A 14 V U_{G2+G4} 14 V I_{AZ} <20 μA I_{G1} +100 μA $-U_{G3}$ <2,3 V		

Typ Použití	Rozměry Patice	Žhavení	Provozní hodnoty				Mezní hodnoty	
		Statické hodnoty						
ECL82	Velikost N 5	U_F 6,3 V	Pentoda: Nf zesilovač výkonu třídy A				Pentoda	
		I_F 0,78 A	U_A 170 200 200 V	U_{AO} 900 V				
		nepřímé žhavení ●	U_{G2} 170 170 200 V	U_A 600 V				
		Pentoda	U_{G1} -11,5 -12,5 -16 V	$+U_{AM}^{1)}$ 2500 V				
		U_A 200 V	I_A 41 35 35 mA	$-U_{AM}$ 500 V				
		U_{G2} 200 V	I_{G2} 8 6,5 7 mA	$P_{AR} (U_A > 250 V)$				
		U_{G1} -16 V	R_a 3,9 5,6 5,6 kΩ	5 W				
		I_A 35 mA	$U_{G1\ ef}$ 6 5,8 6,6 V	$P_{AR} (U_A < 250 V)$				
		I_{G2} 7 mA	P_o 3,3 3,4 3,5 W	7 W				
		S 6,4 mA/V	k 10 10 10 %	U_{G2o} 550 V				
		$\mu_{g2/g1}$ 9,5	Dvojitý nf zesilovač třídy AB		U_{G2} 300 V			
		r_i 20 kΩ	U_A 170 200 V	P_{G2OR} 1,8 W				
		Trioda	U_{G2} 170 200 V	P_{G2R} 3,2 W				
		U_A 100 V	R_k 135 165 Ω	I_K 50 mA				
		U_{G1} 0 V	I_{AO} 2×33 2×35 mA	$R_{g1(p)}$ 1 MΩ				
		I_A 3,5 mA	I_A 2×37 2×38 mA	$R_{g1(k)}$ 2 MΩ				
		S 2,5 mA/V	I_{G2o} 2×6,2 2×6,5 mA	$U_{K/F}$ 100 V				
		μ 70	I_{G2} 2×15 2×16,5 mA	$R_{k/f}$ 20 kΩ				
			$R_{a-a'}$ 5 5 kΩ					
			$U_{G1\ ef}$ 9 10,9 V					
			P_o 7 9 W					
			k 4 4,8 %					



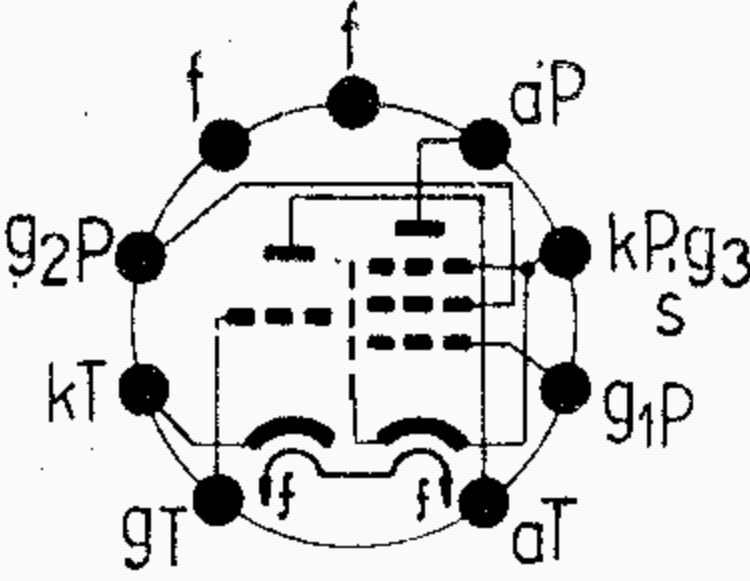
trioda - pentoda
pentoda -
nf zesilovač výkonu
koncový stupeň
vertikálního zesilovače
trioda: nf zesilovač,
multivibrátor

Typ Použití	Rozměry Patice	Žhavení	Provozní hodnoty				Mezní hodnoty		
		Statické hodnoty							
ECL82		Kapacity:		Koncový stupeň vertikálního vychylování				Trioda	
		Pentoda		Zapojení má být dimenzováno tak, aby při vybuzení byl $I_{AM} = 85$ mA při $U_A = 50$ V; $U_{G2} = 170$ V.				U_{AO} 550 V	
		C_{g1}	9,3 pF	Anodový proud průměrné nové elektronky				U_A 300 V	
		C_a	8 pF	$I_{AM} = 135$ mA při $U_A = 50$ V				$U_{AM}^{1)}$ 600 V	
		$C_{a/g1}$	<0,3 pF	$U_{G2} = 170$ V,				P_{AR} 1 W	
		Trioda		U_{g1} nastavit na $I_{G1} = +0,3$ μ A.				I_K 15 mA	
		C_{g1}	3 pF	Trioda: Nf odporový zesilovač				$I_{KM}^{1)}$ 250 mA	
		C_a	4,3 pF	U_{BAT} 170 200 170 200 V				$R_{g1(p)}$ 1 M Ω	
		$C_{a/g1}$	4,5 pF	R_a 220 220 220 220 k Ω				$R_{g1(k)}$ 3 M Ω	
		Mezi systémy		R_{g1} 3 3 22 22 M Ω				$R_{g1(i)}$ 22 M Ω	
		$C_{gT/aP}$	<0,02 pF	$R_{g1'}$ 700 700 700 700 k Ω				$Z_{g1} (50\text{ c/s})$ 0,5 M Ω	
				R_k 2700 2200 0 0 Ω				$U_{K/F}$ 100 V	
				I_A 0,43 0,52 0,5 0,61 mA				$R_{k/f}$ 20 k Ω	
		$U_{o\ ef}$ 25 26 20 25 V							
		V 51 52 53 55							
		k 2,3 1,6 1,4 1,4 %							
		Oscilátor:				1) Max 4 % peridy, ne déle 0,8 ms			
		Zapojení je nutno dimenzovat tak, aby I_{KM} nepřekročil 100 mA. Tím budou respektovány stanovené tolerance i úbytek emise během doby života elektronky. Do mřížkového a anodového obvodu se doporučuje vložit nepřemostěné odpory, jimiž se omezí vzniklé špičkové proudy.							

¹⁾ Max 4 % periody,
ne déle 0,8 ms

Typ Použití	Rozměry Patice	Žhavení	Provozní hodnoty	Mezní hodnoty
		Statické hodnoty		
ECL84	Velikost N 4	U_F 6,3 V I_F 0,72 A nepřímé žhavení ●	Koncový stupeň obrazového zesilovače	Trioda
		Trioda U_A 200 V U_{G1} -1,7 V I_A 3 mA S 4 mA/V μ 65 Pentoda U_A 200 V U_{G2} 200 V U_{G1} -2,9 V I_A 18 mA I_{G2} 3 mA S 10,4 mA/V $\mu_{g2/g1}$ 36 r_i >130 kΩ	U_{BA} 170 200 220 V R_a 3 3 3 kΩ U_{G2} 170 200 220 V U_{G1} -2 -2,8 -3,3 V I_A 18 18 18 mA I_{G2} 3,2 3,1 3,1 mA S 10,4 10 9,7 mA/V Kapacity: Pentoda C_{g1} 9 pF C_a 4,5 pF $C_{a/g1}$ <0,1 pF Trioda C_{g1} 4 pF C_a 2,3 pF $C_{a/g1}$ 2,7 pF $C_{g/f}$ >0,045 pF $C_{g/f}$ <0,1 pF Mezi systémy $C_{aT/g1P}$ <0,01 pF $C_{g1T/g1P}$ <0,01 pF 1) max. 18 % periody, ne déle 18 μs	U_{AO} ±550 V U_A ±250 V $U_{AM}^{1)}$ 600 V P_{AR} 1 W I_K 12 mA $R_{g1(p)}$ 1 MΩ $R_{g1(k)}$ 3 MΩ $U_{K/F}$ 100 V $R_{k/f}$ 20 kΩ Pentoda U_{AO} 550 V U_A 250 V P_{AR} 4 W U_{G2o} 550 V U_{G2} 250 V P_{G2R} 1,7 W I_K 40 mA $R_{g1(p)}$ 1 MΩ $R_{g1(k)}$ 2 MΩ $U_{K/F}$ 100 V $R_{k/f}$ 20 kΩ

trioda - pentoda
trioda pro obvody setrvač-
níkové synchronizace,
pentoda pro koncové
stupně obrazových
zesilovačů

Typ Použití	Rozměry Patice	Žhavení	Provozní hodnoty			Mezní hodnoty		
		Statické hodnoty						
ECL86 	Velikost N 5	U_F 6,3 V I_F 0,7 A nepřímé žhavení ●	Trioda jako nf odporový zesilovač			Trioda		
		Trioda U_A 250 V U_{G1} -1,9 V I_A 1,2 mA S 1,6 mA/V μ 100 I_{AZ} ($U_{G1} = -4$ V) <0,06 mA Pentoda U_A 250 V U_{G2} 250 V U_{G1} -7 V I_A 36 mA I_{G2} 6 mA S 10 mA/V r_i 48 k Ω $\mu_{g2/g1}$ 21 I_{AZ} ($U_{G1} = -20$ V) <0,5 mA	U_{BA} 200 250 V R_a 220 220 k Ω R_{g1} 10 10 M Ω $R_{g1'}$ 680 680 k Ω R_{gen} 47 47 k Ω I_A 0,42 0,6 mA $U_{o\ ef}$ 3,2 3,2 V V 66 70 k 0,6 0,4 % Pentoda jako nf zesilovač výkonu U_A 250 250 250 V U_{G2} 210 250 250 V R_k 130 270 170 Ω I_{AO} 36 26 36 mA I_A 36,5 27 37 mA $I_A^{2)}$ 36 25,5 36,5 mA I_{G2o} 5,6 4,4 6 mA I_{G2} 10 8 10,2 mA $I_{G2}^{2)}$ 10,5 13 13 mA R_a 7 10 7 k Ω $U_{G1\ ef}$ ($P_o = 50$ mW) 0,28 0,28 0,3 V 1) Jako fázový invertor	U_{AO} 550 V U_A 300 V P_{AR} 0,5 W I_K 4 mA R_{g1} 2 M Ω Z_{g1} ($f = 50$ Hz) 0,5 M Ω $U_{K/F}$ 100 V $R_{k/f}$ 20 k Ω $R_{k/f}^{1)}$ 120 k Ω Pentoda U_{AO} 550 V U_A 300 V P_{AR} 9 W U_{G2o} 550 V U_{G2} 300 V P_{G2R} ($U_{G1\ ef} = 0$) 1,5 W P_{G2R} ($U_{G1\ ef}^{max}$) 3 W I_K 55 mA R_{g1} 1 M Ω $U_{K/F}$ 100 V $R_{k/f}$ 20 k Ω				
trioda - pentoda s oddělenými katodami nf zesilovač napětí, zesilovač výkonu tř. A, AB								

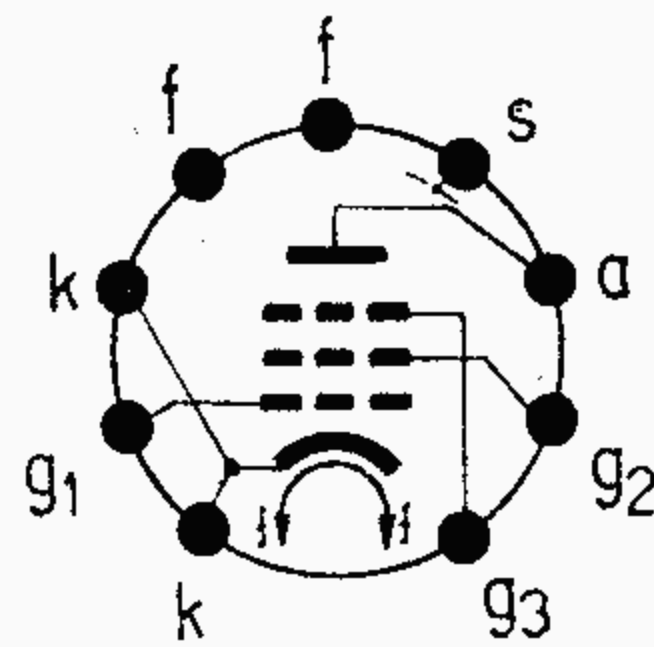
Typ Použití	Rozměry Patice	Žhavení	Provozní hodnoty			Mezní hodnoty				
		Statické hodnoty								
ECL86			U_{G1ef} (P_o při $k = 10\%$)			Kapacity ¹⁾				
			3,1	2,7	3,2 V	Trioda				
			$U_{G1ef}^{2)}$			3,2	4	3,8 V	C_{g1} 2,3 pF	
			P_o ($k = 10\%$)						C_a 2,5 pF	
						4	2,8	4 W	$C_{a/g1}$ 1,6 pF	
			$P_o^{2)}$			4,25	3,6	4,5 W	$C_{g1/f}$ <0,006 pF	
			$k^{2)}$			12	17	14 %	Pentoda	
			Pentoda jako nf zesilovač výkonu třídy AB						C_{g1} 10 pF	
			U_{BA}			250	300	V	$C_{a/g1}$ <0,4 pF	
			U_{BG2}			250	300	V	$C_{g1/f}$ <0,2 pF	
			$R_k^{3)}$			90	145	Ω	Mezi systémy	
			I_{AO}			2×35	2×31	mA	$C_{g1T/g1P}$ <0,02 pF	
			$I_A^{2)}$			2×37,3	2×37	mA	$C_{aT/g1P}$ <0,2 pF	
			I_{G2}			2×5,6	2×5	mA	$C_{aT/aP}$ <0,15 pF	
			$I_{G2}^{2)}$			2×9	2×10,6	mA	$C_{g1T/aP}$ <0,01 pF	
			R_{a-a}			8,2	9,1	k Ω	$C_{g1T/aP^2)}$ <0,002 pF	
			U_{G1ef} ($P_o = 50$ mW)						1) Bez stínícího krytu.	
						2×0,24	2×0,26	V	2) Se stínícím krytem	
			$U_{G1ef}^{2)}$			2×5,1	2×8,7	V	Ø 22,5 mm.	
			$P_o^{2)}$			10	14,3	W		
			k			4,5	5	%		
						2) vybuzeno až k bodu nasazení mřížkového proudu.				
						3) společný				

¹⁾ Bez stínícího krytu.²⁾ Se stínícím krytem

Ø 22,5 mm.

Typ Použití	Rozměry Patice	Žhavení	Provozní hodnoty			Mezní hodnoty		
		Statické hodnoty						
ECL200	Rozměry NA62	U_F 6,3 V	Pentoda jako obrazový zesilovač:			Trioda		
		I_F 0,74 A	U_{BA} 200 220 V	$U_{AM}^{1)}$ 600 V				
		nepřímé žhavení	U_{BG2} 200 220 V	U_{AO} 550 V				
		●	R_a 2,7 3,6 kΩ	U_A 250 V				
			R_k 18 30 Ω	P_{AR} 1,7 W				
		Trioda:	I_K ($U_{G1M} = 0$)	I_K 15 mA				
		U_A 200 V	62 55 mA	$R_{g1(p)}$ 0,5 MΩ				
		R_k 175 Ω	$U_{G1M/M}$	$U_{K/F}$ 200 V				
		I_A 8,5 mA	($U_o M/M = 100$ V)					
		S 5,2 mA/V	2,9 2,8 V	Pentoda				
		μ 55	Kapacity:	U_{AO} 550 V				
		I_{AZ} ($U_{G1} = -12$ V)	Pentoda Trioda	U_A 250 V				
		<0,1 mA	C_{g1} 14,5 pF C_{g1} 3,2 pF	P_{AR} 6 W				
		Pentoda:	C_a 5,8 pF C_a 4,4 pF	U_{G2o} 550 V				
		U_A 150 V	$C_{a/g1}$ 0,07 pF $C_{a/g1}$ 2,5 pF	U_{G2} 250 V				
		U_{G2} 220 V	Mezi systémy:	P_{G2R} 2,5 W				
		R_k 44 Ω	$C_{aP/aT}$ <0,2 pF	I_K 85 mA				
		I_A 40 mA	$C_{aT/g1P}$ <0,015 pF	$R_{g1(p)}$ 0,5 MΩ				
		I_{G2} 8 mA	$C_{aP/g1T}$ <0,05 pF	$U_{K/F}^{2)}$ 200 V				
		S 28 mA/V	$C_{g1P/gT}$ <0,01 pF					
		r_i 22 kΩ						
		I_{AZ} ($U_{G1} = -14$ V)						
		<0,2 mA						
Trioda - pentoda s oddělenými katodami trioda pro obvody klíčov- vaného samočinného říze- ní, pentoda pro koncové stupně obrazových zesilo- vačů.				1) I_A <0,1 mA; max 18 % peridy, max 18 μs 2) ss složka max 100 V				

Trioda - pentoda s oddělenými katodami trioda pro obvody klíčovaného samočinného řízení, pentoda pro koncové stupně obrazových zesilovačů.

Typ Použití	Rozměry Patice	Žhavení	Provozní hodnoty			Mezní hodnoty		
		Statické hodnoty						
EF80	Velikost N 4	U_F 6,3 V I_F 0,3 A t_f 20 s nepřímé žhavení	Vf nebo mf zesilovač			U_{AO} 550 V U_A 300 V P_{AR} 2,5 W U_{G20} 550 V U_{G2} 300 V P_{G2R} 0,7 W I_K 15 mA R_{g1} 1 MΩ $R_{g1(p)}$ 0,5 MΩ $U_{K/F}$ 150 V $R_{k/f}$ 20 kΩ		
		U_A 170 V U_{g3} 0 V U_{G2} 170 V U_{G1} -2 V I_A 10 mA I_{G2} 2,5 mA S 7,4 mA/V $\mu_{g2/g1}$ 50 r_i 500 kΩ I_{AZ} ($U_{G1} = -5$ V) 1,8 mA	I_A 10 10 10 mA I_{G2} 2,5 2,6 2,8 mA S 7,4 7,1 6,8 mA/V r_i 500 550 650 kΩ Z_{g1} ($f=100$ Mc/s) 2,5 3 3,75 kΩ r_{ekv} 1 1,1 1,2 kΩ Aditivní směšovač s vlastním buzením U_{BA} 170 200 250 V U_{G3} 0 0 0 V R_{g2} 25 25 25 kΩ R_k 500 300 250 Ω R_{g1} 200 200 200 kΩ I_A 4,5 6 8,5 mA I_{G2} 1,5 1,7 2,5 mA I_{G1} 1,5 1,5 1,5 μA r_i 450 500 540 kΩ S_c 2,75 2,8 3,15 mA/V $U_{osc\ ef}$ 1,6 1,6 1,8 V Z_{g1} ($f=100$ Mc/s) 6 kΩ r_{ekv} 5,5 kΩ					
					Kapacity: C_{g1} 7,5 pF C_{g2} 5,4 pF C_a 3,35 pF $C_{a/g1}$ 0,008 pF $C_{g2/g1}$ 2,9 pF $C_{a/k}$ 0,012 pF $C_{g1/f}$ <0,15 pF $C_{f/k}$ <6 pF			
vf pentoda pro vf, mf, širokopásmové zesilovače, video zesilovače, směšovače								

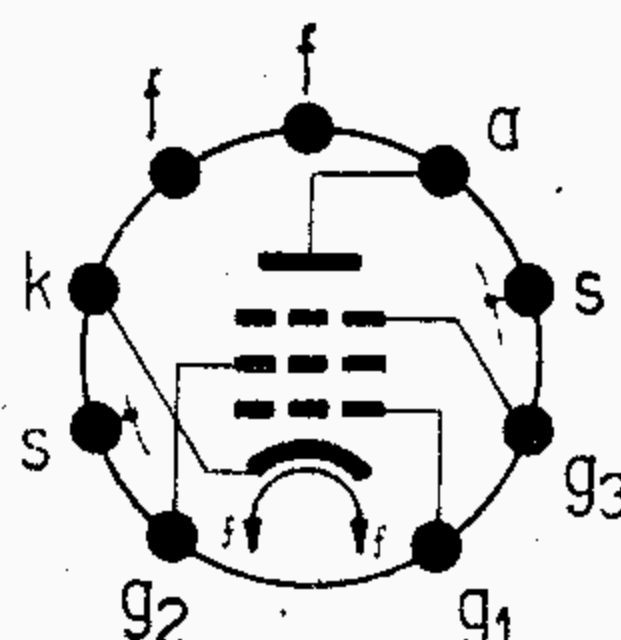
Typ Použití	Rozměry Patice	Žhavení		Provozní hodnoty		Mezní hodnoty	
		Statické hodnoty					
EF86	Velikost N 2	U_F 6,3 V		Nf odporový zesilovač		U_{AO} 550 V	
		I_F 0,2 A		U_{BA} 400 250 V		U_A 300 V	
		nepřímé žhavení		R_a 100 100 kΩ		P_{AR} 1 W	
		●		R_{g2} 400 400 kΩ		U_{G20} 550 V	
		U_A 250 V		R_k 1 1 kΩ		U_{G2} 200 V	
		U_{G3} 0 V		$R_{g1'}$ 320 320 kΩ		P_{G2R} 0,2 W	
		U_{G2} 140 V		I_K 3,3 2,1 mA		I_K 6 mA	
		U_{G1} -2 V		V 124 112		$R_{g1} (P_{AR} < 0,2 \text{ W})$	
		I_A 3 mA		$U_{a\ ef}$ 87 50 V		10 MΩ	
		I_{G2} 0,6 mA		k 5 5 %		$R_{g1} (P_{AR} > 0,2 \text{ W})$	
		S 2 mA/V		Nf odporový zesilovač v triodovém zapojení		3 MΩ	
		μ 38		U_{BA} 100 250 V		$R_{g1(i)}$ 22 MΩ	
		D 2,65 %		R_a 200 200 kΩ		$U_{+K/-F}$ 100 V	
		r_i 2,5 MΩ		R_k 4,5 1,5 kΩ		$U_{-K/+F}$ 50 V	
		$I_{AZ} (U_{G1} = -6 \text{ V})$		$R_{g1'}$ 1 1 kΩ		$R_{k/f}$ 20 kΩ	
		<0,1 mA		$I_A + I_{G2}$ 0,28 0,85 mA		$R_{k/f}^{1)}$ 120 kΩ	
				V 27 31			
						1) Jako obraceč fáze	
						Kapacity:	
						C_{g1} 4 pF	
						C_a 5 pF	
						$C_{a/g1}$ ≤ 0,05 pF	
						$C_{g1/f}$ ≤ 0,003 pF	
pentoda pro předzesilovací stupeň antimikrofonní							

Typ Použití	Rozměry Patice	Žhavení	Provozní hodnoty		Mezní hodnoty	
		Statické hodnoty				
EF183	Velikost N 3	U_F 6,3 V	Vf nebo mf zesilovač		U_{AO} 550 V	
		I_F 0,3 A			U_A 200 200 V	U_A 250 V
		I_F 0,3 A	U_{G3} 0 0 V	P_{AR} 2,5 W		
		U_F 6,3 V	U_{BG2} 200 230 V	U_{G2o} 550 V		
		nepřímé žhavení	R_{g2} 24 39 kΩ	U_{G2} 250 V		
		●	U_{G1} -2 -9,5 -2,1 -12 V	P_{G2R} 0,65 W		
		U_A 200 V	I_A 12 2,7 10,5 2,4 mA	$-U_{G1}$ 50 V		
		U_{G3} 0 V	S 12,5 0,625 10,6 0,5 mA/V	I_K 20 mA		
		U_{G2} 90 V		$R_{g1(k)}$ 1 MΩ		
		U_{G1} -2 V		R_{g3} 50 kΩ		
		I_a 12 mA		$U_{K/F}$ 150 V		
		I_{G2} 4,5 mA		$R_{k/f}$ 20 kΩ		
		S 12,5 mA/V		$-U_{G1N}$ ($I_{G1}=+0,3 \mu A$)		
		r_i 500 kΩ		1,3 V		
		Z_{g1} (f = 40 Mc/s)				
		10 kΩ				

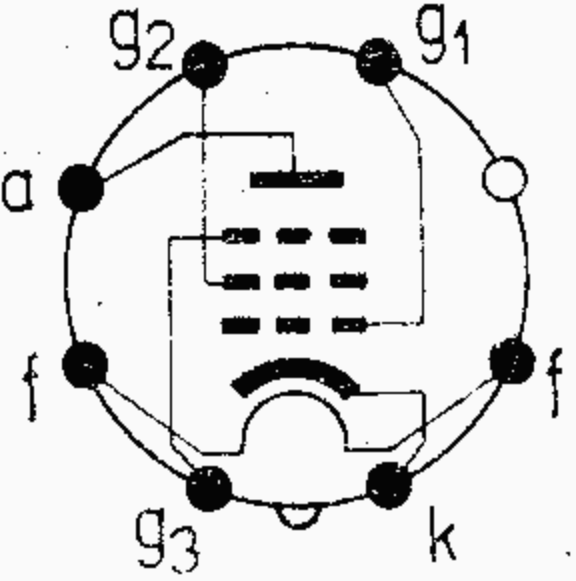
Typ Použití	Rozměry Patice	Žhavení	Provozní hodnoty		Mezní hodnoty	
		Statické hodnoty				
EF800	Velikost N 4	U_F 6,3 V	U_A 170 V	U_F 6,3 ± 0,3 V		
		I_F 0,295 A	U_{G3} 0 V	U_{AO} 550 V		
		nepřímé žhavení	U_{G2} 170 V	U_A 250 V		
		●	R_k 160 Ω	P_{AR} 1,7 W		
		U_A 170 V	I_A 10 mA	U_{G2o} 550 V		
		U_{G3} 0 V	I_{G2} 2,5 mA	U_{G2} 250 V		
		U_{G2} 170 V	S 7,5 mA/V	P_{G2R} 0,45 W		
		R_k 160 Ω	r_i 400 kΩ	I_K 12,5 mA		
		I_A 10+1,5 mA	r_{ekv} 1 kΩ	U_{G1} 0 V		
		-1 mA	r_{vst} (f=100 MHz) ¹⁾ 3 kΩ	- U_{G1} 30 V		
		I_{G2} 2,5+0,5 mA		$R_{g1(p)}$ 0,5 MΩ		
		-0,3 mA		$R_{g1(k)}$ 1 MΩ		
		S 7,5±1 mA/V		$U_{+K/F-}$ 100 V		
		$\mu_{g2/g1}$ 60±10		$U_{-K/F+}$ 60 V		
		r_i 400±100 kΩ		$R_{k/f}$ 20 kΩ		
		- I_{G1} ≤0,3 μA		U_{G1N} ($I_{G1} = +0,3 \mu A$)		
		I_{AZ} ($U_{G1} = -6$ V)		-1,3 V		
		<350 μA		ϑ_b 170 °C		
		r_{ekv} 1 <1,4 kΩ				
			Dlouhoživotnostní	Kapacity:		
			Otřesuvzdorná	C_{g1} 8,1 ± 0,6 pF		
			Úzké tolerance	C_a 3,4 ± 0,4 pF		
			Spolehlivá v provozu	$C_{a/g1}$ <0,008 pF		
				$C_{g1/f}$ <0,15 pF		

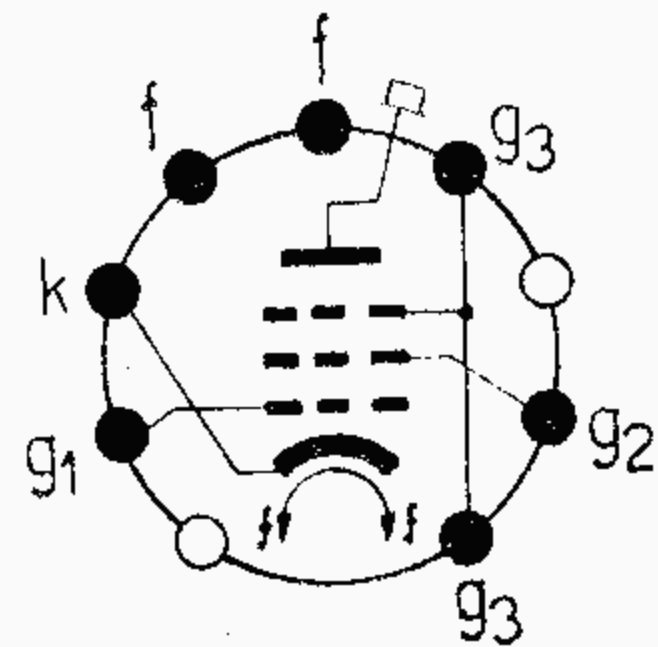
Vf pentoda pro vf, mf,
širokopásmové zesilovače,
směšovače,
video zesilovače

¹⁾ Kolík 1 spojen s kolíkem 3.

Typ Použití	Rozměry Patice	Žhavení	Provozní hodnoty	Mezní hodnoty
		Statické hodnoty		
EF806S Velikost N 2		U_F 6,3 V I_F 0,2 A nepřímé žhavení ● U_A 250 V U_{G3} 0 V U_{G2} 140 V R_k 500 Ω I_A 3,2+0,6 mA -0,5 mA I_{G2} 0,6±0,15 mA S 2±0,4 mA/V $\mu_{g2/g1}$ 38 r_i 2,5 MΩ $-I_{G1}$ <0,1 μA I_{AZ} ($U_{G1} = -6$ V) <0,15 mA	Nf odporový zesilovač U_{BA} 100 200 250 300 V R_a 100 100 100 100 kΩ R_{g2} 470 390 390 390 kΩ $R_{g1'}$ 330 330 330 330 kΩ R_k 1,5 1 1 1 kΩ I_K 1 1,65 2,05 2,45 mA V 95 106 112 116 $U_{a\ ef}$ 22 40 50 64 V k 5 5 5 5 % Dlouhoživotnostní Otřesuvzdorná Úzké tolerance Spolehlivá v provozu	U_F 6,3 ± 0,3 V U_{AO} 550 V U_A 300 V P_{AR} 1 W U_{G2o} 550 V U_{G2} 200 V P_{G2R} 0,2 W I_K 6 mA R_{g1} ($P_{AR} < 0,2$ W) 10 MΩ R_{g1} ($P_{AR} > 0,2$ W) 3 MΩ $R_{g1(i)}$ 22 MΩ $U_{K/F}$ ±100 V $R_{k/f}$ 20 kΩ ϑ_b 170 °C Kapacity: C_{g1} 4 pF C_a 5,5 pF $C_{a/g1}$ <0,05 pF $C_{g1/f}$ <0,0025 pF
pentoda pro předzesilovací stupně, antimikrofonní				

pentoda pro
předzesilovací stupně,
antimikrofonní

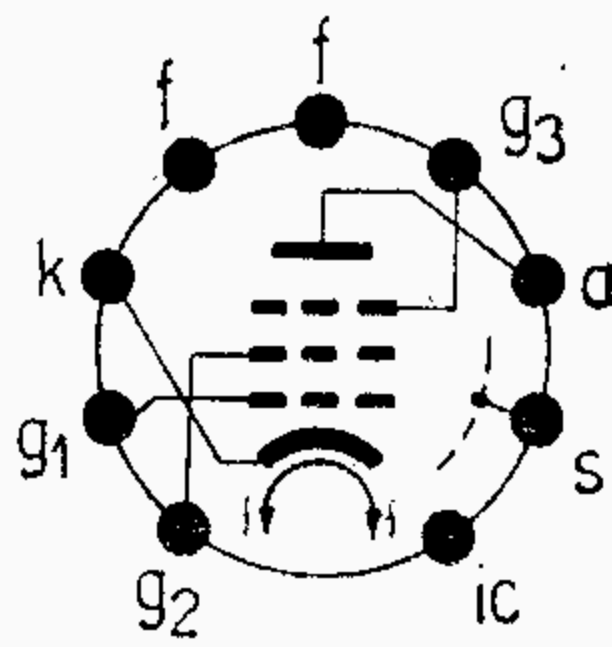
Typ Použití	Rozměry Patice	Žhavení	Provozní hodnoty			Mezní hodnoty		
		Statické hodnoty						
EL34	Velikost O 5	U_F 6,3 V I_F 1,5 A nepřímé žhavení 	Nf zesilovač třídy A U_{BA} 265 265 V U_A 250 250 V U_{G3} 0 0 V R_{g2} 2 0 k Ω U_{G1} -14,5 -13,5 V I_A 70 100 mA I_{G2} 10 14,9 mA S 9 11 mA/V $\mu_{g2/g1}$ 11 11 r_i 18 15 k Ω R_a 3 2 k Ω $U_{G1\ ef}$ 9,3 8,7 V P_o 8 11 W k 10 10 % $U_{G1\ ef} (P_o = 50\text{ mW})$ 0,65 0,5 V Kapacity C_{g1} 15,2 pF C_a 8,4 pF $C_{a/g1}$ <1,1 pF $C_{k/f}$ 10 pF $C_{g1/f}$ <1 pF			U_{AO} 2000 V U_A 800 V $U_{A(g2\ s\ a)}$ 425 V $P_{AR} (U_{G1\ ef} = 0\text{ V})$ 25 W $P_{AR} (U_{G1\ ef} = \text{max})$ 27,5 W $P_{AR(g2\ s\ a)}$ 33 W U_{G2o} 800 V U_{G2} 425 V P_{G2R} 8 W I_K 150 mA R_{g1} 700 k Ω $R_{g1(p)}$ 500 k Ω $U_{K/F}$ 100 V $R_{k/f}$ 20 k Ω		
		U_A 250 V U_{G3} 0 V U_{G2} 265 V U_{G1} -13,5 V I_A 100 mA I_{G2} 14,9 mA S 11 mA/V $\mu_{g2/g1}$ 11 r_i 15 k Ω $I_{AZ} (U_{G1} = -30\text{ V})$ <7 mA jako trioda U_A 250 V U_{G3} 0 V U_{G2} spoj. s a $-U_{G1}$ 15 V I_A 85 mA S 12 mA/V μ 10,5 r_i 8,7 k Ω						
koncová pentoda pro nf zesilovače výkonu tř. A, AB, B								

Typ Použití	Rozměry Patice	Žhavení	Provozní hodnoty	Mezní hodnoty	
		Statické hodnoty			
EL81	Velikost N 5	U_F 6,3 V I_F 1 A nepřímé žhavení ●	Koncový stupeň zesilovače pro řádkové vychylování. S ohledem na stanovené tolerance a pokles emisního proudu během životnosti má být obvod dimenzován tak, aby I_{AM} nepřevýšil při		U_{AO} 550 V U_A 300 V $+U_{AM}^{1)}$ 7 kV P_{AR} 8 W U_{G3} 0 V U_{G20} 550 V U_{G2} 300 V $P_{G2R}^{2)}$ 4,5 W $P_{G2R}^{3)}$ 6 W $P_{AR}+P_{G2R}$ 10 W I_K 180 mA $U_{K/F}$ 100 V $R_{k/f}$ 20 kΩ R_{g1} 0,5 MΩ t_{ip} 18 μs t_{ip}/T 1 : 4,5
		 U_A 170 V U_{G3} 0 V U_{G2} 170 V U_{G1} -22 V I_A 45 mA I_{G2} 3,3 mA S 6,2 mA/V $\mu_{g2/g1}$ 5,5 r_i 10 kΩ I_{AZ} ($U_{G1} = -35$ V) <12 mA Kapacity: C_{g1} 16 pF C_a 7 pF $C_{a/g1}$ <0,8 pF $C_{a/k}$ <0,1 pF $C_{g1/f}$ <0,2 pF	*) Nové elektronky. Nf dvojčinný zesilovač třída B U_A 170 200 V U_{G3} 0 0 V U_{G2} 170 200 V U_{G1} -27 -31,5 V R_{g2} 1 1 kΩ $R_{a-a'}$ 2,5 2,5 kΩ $U_{G1\ ef}$ 19 22,5 V I_{AO} 2×20 2×25 mA I_A 2×73 2×87 mA I_{G20} 2×1,5 2×2 mA I_{G2} 2×10 2×12,5 mA P_o ($k=5,5\%$) 13,5 20 W		1) Max 18 % periody, ne déle 18 μs. 2) Koncový stupeň zesilovače pro řádkové vychylování. 3) Po dobu nažhavení spínací diody.
koncová pentoda pro horizontální vychylovací stupně v televizních přijímačích a nf dvojčinné zesilovače.					

Typ Použití	Rozměry Patice	Žhavení	Provozní hodnoty		Mezní hodnoty	
		Statické hodnoty				
EL82	Velikost N 5	U_F 6,3 V I_F 0,8 A nepřímé žhavení ●	Nf zesilovač třídy A		Nf dvojčinný zesilovač třídy A	
		U_A 170 V U_{G2} 170 V U_{G1} -10,4 V I_A 53 mA I_{G2} 10 mA S 9 mA/V μ 10 r_i 20 k Ω Kapacity: C_{g1} 12,5 pF C_a 5,5 pF $C_{a/g1}$ <0,5 pF $C_{g1/f}$ <0,15 pF	$U_A=U_B$ 170 200 V U_{G2} 170 — V R_{g2} — 680 Ω R_k 165 260 Ω I_A 53 45 mA I_{G2} 10 8,5 mA $U_{G1\ ef}$ 6 7 V R_a 3 4 k Ω P_o 4 4,2 W k 10 10 % 1) společný Koncový zesilovač pro vertikální vychylování. S ohledem na stanovené tolerance jednotlivých elektronek a pokles emise během doby života se doporučuje dimenzovat zapojení tak, aby se nepřekročil předepsaný anodový proud.	U_A 200 V U_{G2} 200 V $R_k^{1)}$ 135 Ω I_A 2×52 mA I_{G2} 2×19 mA R_{a-a} 4 k Ω P_o 12 W k 5 % $U_{G1\ ef}$ 13,5 V	U_{AO} 550 V U_A 250 V $U_A^{1)}$ 450 V $+U_{AM}^{2)}$ 2,5 kV $-U_{AM}$ 500 V P_{AR} 9 W U_{G20} 550 V U_{G2} 250 V P_{G2R} 2,5 W I_K 75 mA $R_{g1(p)}$ 0,4 M Ω R_{g1} 1 M Ω U_{G1N} ($I_{G1} \leq +0,3 \mu A$) -1,2 V $U_{K/F}$ 100 V $R_{k/f}$ 20 k Ω 1) $P_{AR} < 4,5$ W 2) Max 10 % periody, ne déle než 2 ms.	
			U_A 50 V $I_{AM} \leq 90$ mA U_{G2} 170 V U_A 60 V $I_{AM} \leq 120$ mA U_{G2} 200 V			

výkonová pentoda
pro nf koncové zesilova-
če, koncové zesilovače
pro vertikální vychylování

Typ Použití	Rozměry Patice	Žhavení	Provozní hodnoty	Mezní hodnoty
		Statické hodnoty		
EL83	Velikost N 5	U_F 6,3 V I_F 0,71 A nepřímé žhavení ● U_A 200 V U_{G3} 0 V U_{G2} 200 V U_{G1} -3,5 V I_A 36 mA I_{G2} 5 mA S 10,5 mA/V $\mu_{g2/g1}$ 24 r_i 100 kΩ I_{AZ} ($U_{G1} = -10$ V) <1,5 mA	Obrazový zesilovač U_B 200 V U_{G3} 0 V U_{G2} 200 V R_k 500 Ω R_a 5 kΩ I_A 10,4 mA I_{G2} 2 mA Kapacity C_{g1} 10,8 pF C_a 6,6 pF $C_{a/g1}$ ≍ 0,1 pF $C_{g1/f}$ ≍ 0,15 pF	U_{AO} 550 V U_A 300 V P_{AR} 9 W U_{G2o} 550 V U_{G2} 300 V P_{G2R} 2 W $R_{g1(k)}$ 1 MΩ $R_{g1(p)}$ 0,5 MΩ I_K 70 mA $U_{K/F}$ 100 V $R_{k/f}$ 20 kΩ



strmá pentoda pro
koncové stupně široko-
pásmových a obrazových
zesilovačů.

Typ Použití	Rozměry Patice	Žhavení	Provozní hodnoty				Mezní hodnoty		
		Statické hodnoty							
EL84	Velikost N 5	U_F 6,3 V	Nf zesilovač třídy A				U_{AO} 550 V		
		I_F 0,76 A	U_A 250 250 250 V				U_A 300 V		
		nepřímé žhavení	U_{G2} 250 250 200 V				P_{AR} 12 W		
		●	R_k 135 210 160 Ω				U_{G2O} 550 V		
			I_A 49,5 36 36 mA				U_{G2} 300 V		
			I_{G2} 10,8 4,1 3,9 mA				P_{G2RO} 2 W		
			S 11,3 10 10,4 mA/V				P_{G2R} 4 W		
			r_i 40 40 40 kΩ				$-U_{G1}$ 100 V		
			R_a 5,2 7 7 kΩ				I_K 65 mA		
			P_o 5,7 4,2 4,3 W				$R_{g1(k)}$ 1 MΩ		
			k 10 10 10 ‰				$R_{g1(p)}$ 0,3 MΩ		
			$U_{G1\text{ ef}}$ 4,3 3,5 3,4 V				$U_{K/F}$ 100 V		
			Nf dvojčinný zesilovač třídy AB				$R_{k/f}$ 20 kΩ		
			U_A 250 300 V				Kapacity:		
			U_{G2} 250 300 V				C_{g1} 11 pF		
			$R_k^{1)}$ 130 130 Ω				C_a 6 pF		
			R_{a-a} 8 8 kΩ				$C_{a/g1}$ <0,7 pF		
			I_{AO} 2×31 2×36 mA						
			I_A 2×37,5 2×46 mA						
			I_{G2O} 2×3,5 2×4 mA						
			I_{G2} 2×7,5 2×11 mA						
			$U_{G1\text{ ef}}$ 8 10 V						
			P_o 11 17 W						
			k 3 4 ‰						
výkonová pentoda pro nf zesilovače výkonu			1) společný						

Typ Použití	Rozměry Patice	Žhavení	Provozní hodnoty		Mezní hodnoty	
		Statické hodnoty				
EL84			Nf dvojitý zesilovač třídy B			
			U_A	250	300	V
			U_{G2}	250	300	V
			U_{G1}	-11,6	-14,7	V
			I_{AO}	2×10	$2 \times 7,5$	mA
			I_A	$2 \times 37,5$	2×46	mA
			I_{G20}	$2 \times 1,1$	$2 \times 0,8$	mA
			I_{G2}	$2 \times 7,5$	2×11	mA
			R_{a-a}	8	8	kΩ
			$U_{G1\ ef}$	8	10	V
			P_o	11	17	W
			k	3	4	%
			Nf dvojitý zesilovač třídy AB			
			g ₂ spojená s a.			
			U_A	250	300	V
			R_k ¹⁾	270	270	Ω
			R_{a-a}	10	10	kΩ
			$U_{G1\ ef}$	8,3	10	V
			I_{AO}	2×10	2×24	mA
			I_A	$2 \times 21,7$	2×26	mA
			P_o	3,4	5,2	W
			k	2,5	2,5	%
			¹⁾ společný			

Typ Použití	Rozměry Patice	Žhavení	Provozní hodnoty				Mezní hodnoty		
		Statické hodnoty							
EL86	Velikost N 5	U_F 6,3 V	Nf zesilovač třídy A				U_{AO} 550 V		
		I_F 0,76 A					U_A 100 170 V	U_A 250 V	
		nepřímé žhavení					U_{G2} 100 170 V	P_{AR} 12 W	
		●	U_{G1} -6,7 -12,5 V	U_{G20} 550 V					
		U_A 170 V	I_A 43 70 mA	U_{g2} 200 V					
		U_{G2} 170 V	I_{G20} 3 5 mA	P_{G2RO} 1,75 W					
		U_{G1} -12,5 V	I_{G2} 11 22 mA	P_{G2R} 6 W					
		I_A 70 mA	R_a 2,4 2,4 kΩ	$R_{g1(k)}$ 1 MΩ					
		I_{G2} 5 mA	$U_{G1 ef}$ 4,3 7 V	I_K 100 mA					
		S 10 mA/V	k 10 10 %	$U_{+K/F}^{1)}$ 300 V					
		$\mu_{g2/g1}$ 8	P_o 1,9 5,6 W	$U_{-K/F}$ 100 V					
		r_i 23 kΩ		$R_{k/f}$ 20 kΩ					
	</								

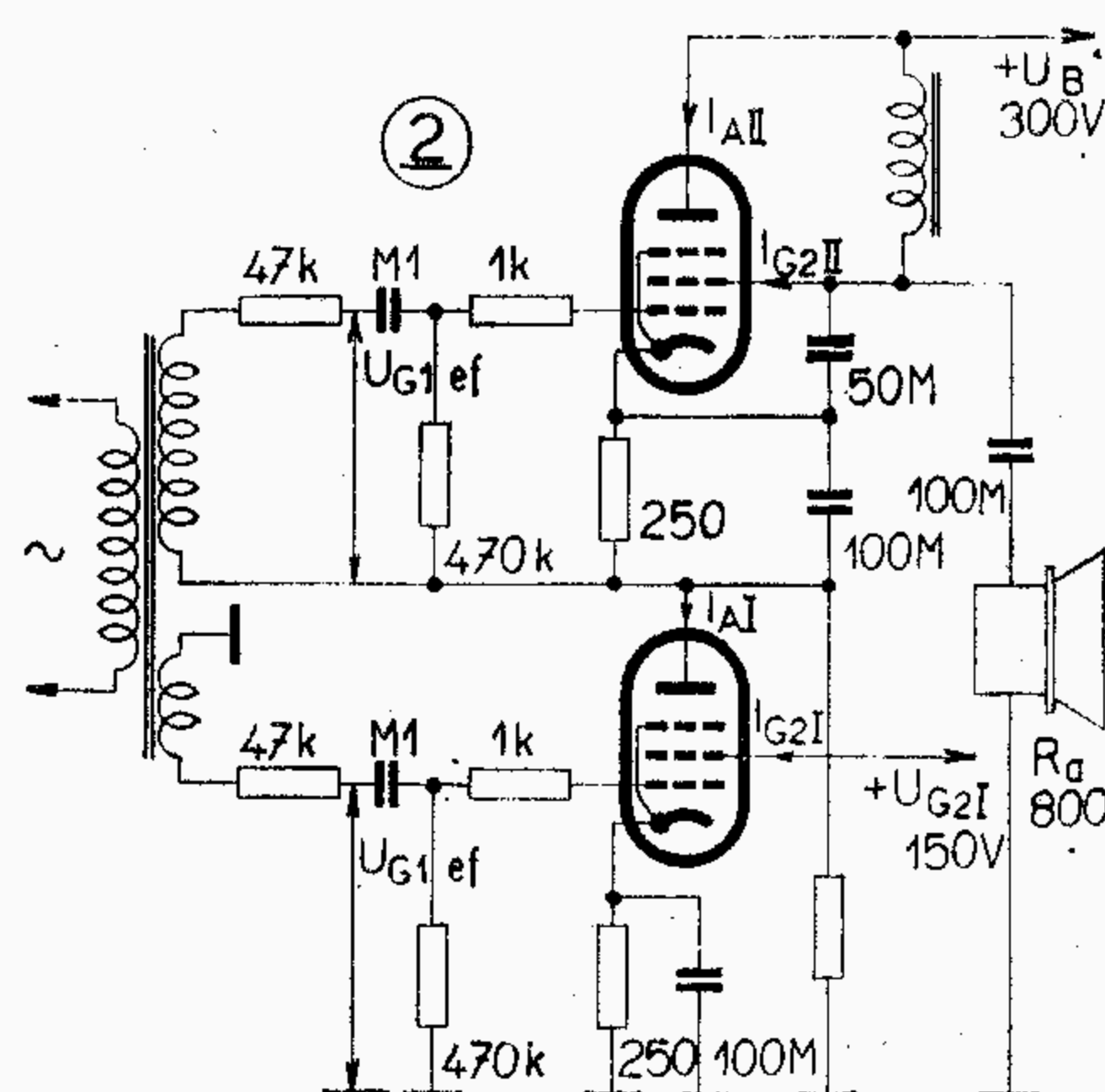
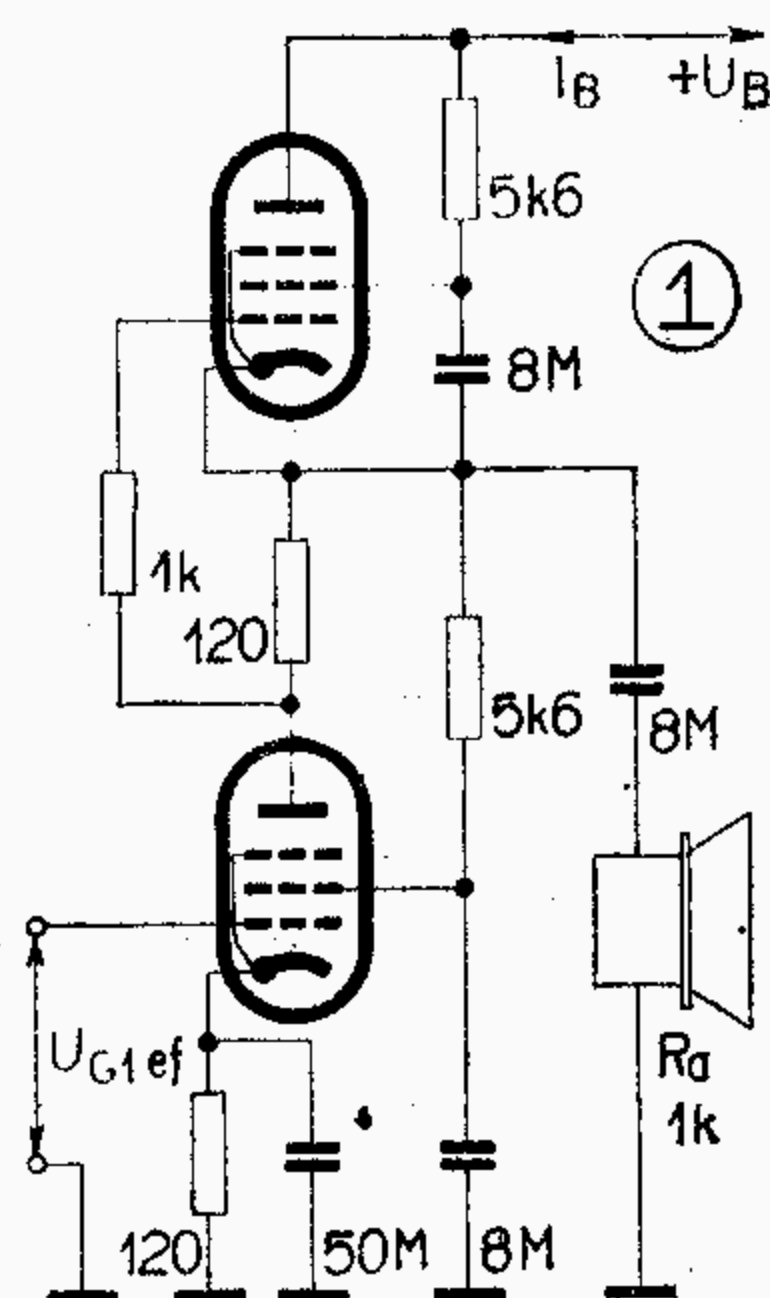
výkonová pentoda pro nf
zesilovače výkonu bez
výstupního transformátoru.

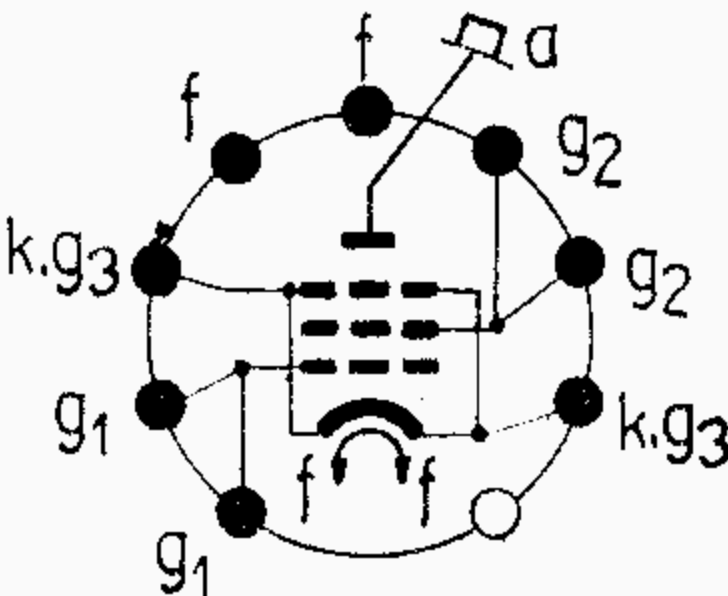
EL86

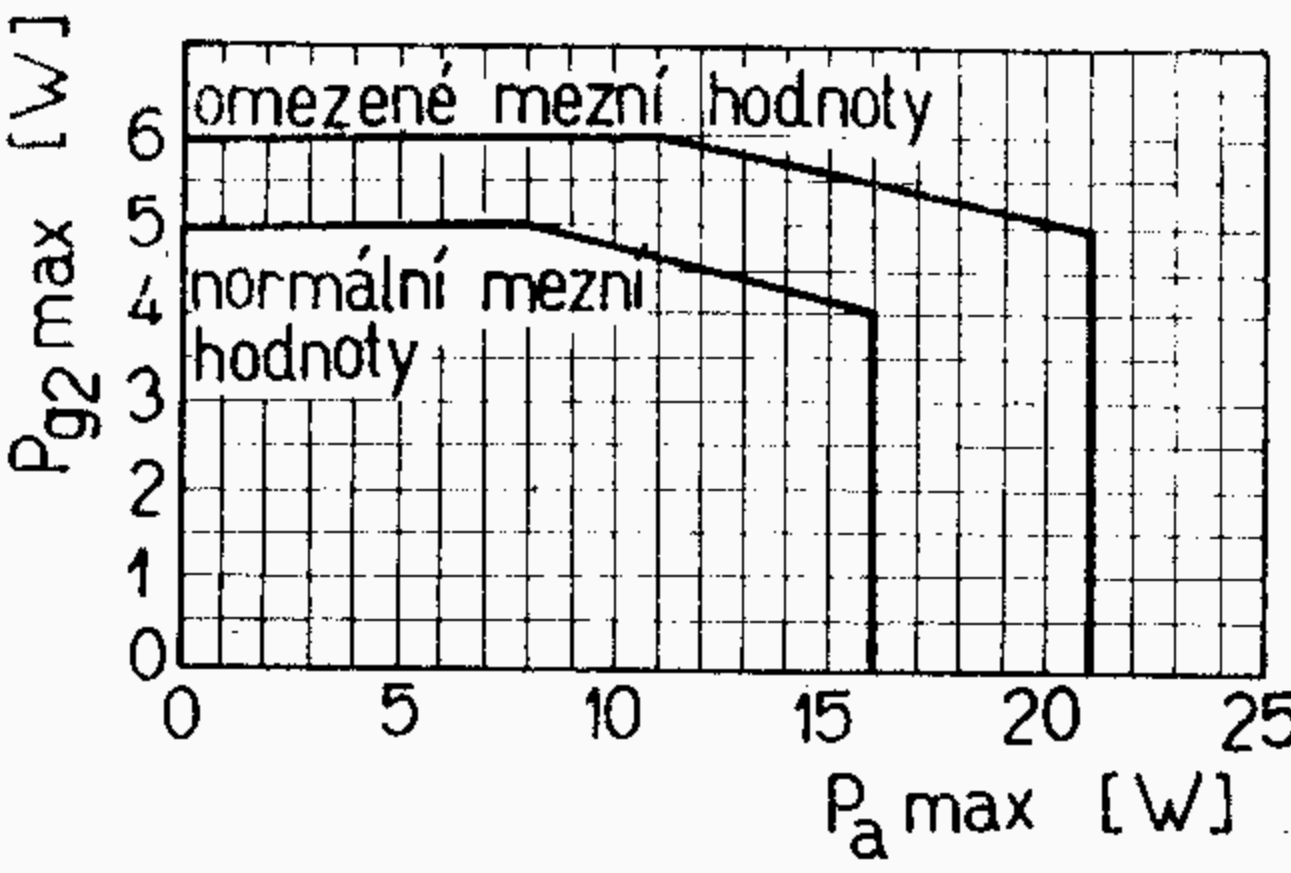
Nf dvojčinný zesilovač bez výstupního transformátoru

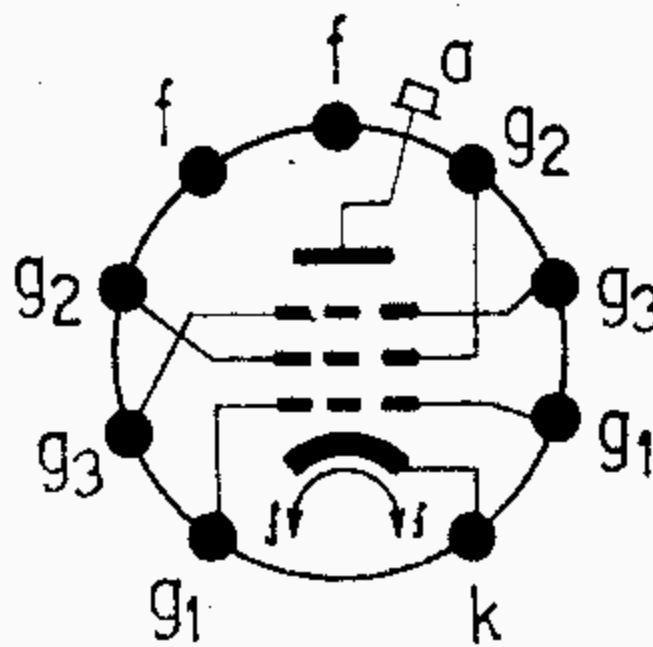
U_B	300	V
I_{BO}	69	mA
I_B	67	mA
R_a	1	k Ω
$U_{G1\text{ ef}}$	5,7	V
P_o	4,8	W
k	9,3	%

U_B	300	V
R_a	800	Ω
$U_{G1\text{ ef}}$	9,9	V
P_o	7,5	W
k	2,9	%
I_{AIIo}	52	mA
I_{AII}	51,5	mA
I_{G2IIo}	3,9	mA
I_{G2II}	10,1	mA



Typ Použití	Rozměry Patice	Žhavení	Provozní hodnoty	Mezní hodnoty																																																																						
		Statické hodnoty																																																																								
EL500	Velikost MN 1	U_F 6,3 V I_F 1,35 A nepřímé žhavení ●	Koncový stupeň zesilovačů pro řádkové vychylování	U_{AO} 550 V U_A 250 V U_A ($U_{G2} = 130$ V) >23 V U_A ($U_{G2} = 190$ V) >33 V $U_{AM}^{3)}$ 7 kV U_{G2O} 550 V U_{G2} 250 V I_K 250 mA $R_{g1(k)}$ 0,5 MΩ $R_{g1}^{1) 2)}$ 2,2 MΩ $U_{K/F}$ 100 V $R_{k/f}$ 20 kΩ																																																																						
		 U_A 75 V U_{G2} 200 V U_{G1} -10 V I_{AM} 440 mA I_{G2M} 30 mA (měřeno dynamicky)	<table><tr><th>U_B</th><th>$R_{g2\text{ min}}$</th><th>U_{G2}</th><th>U_A</th><th>$-U_{G1}$</th><th>I_{AM}</th></tr><tr><th>V</th><th>kΩ</th><th>V</th><th>V</th><th>V</th><th>mA</th></tr><tr><td>170</td><td>1,2</td><td>130</td><td>62</td><td>6</td><td>250</td></tr><tr><td></td><td></td><td>150</td><td>68</td><td>7</td><td>310</td></tr><tr><td>200</td><td>1,5</td><td>130</td><td>65</td><td>6</td><td>250</td></tr><tr><td></td><td></td><td>150</td><td>69</td><td>7</td><td>310</td></tr><tr><td></td><td></td><td>170</td><td>73</td><td>8</td><td>360</td></tr><tr><td>230</td><td>2,2</td><td>150</td><td>72</td><td>7</td><td>310</td></tr><tr><td></td><td></td><td>170</td><td>76</td><td>8</td><td>360</td></tr><tr><td></td><td></td><td>190</td><td>80</td><td>9</td><td>420</td></tr><tr><td>190</td><td>2,2</td><td></td><td></td><td>+1</td><td>230</td></tr><tr><td>230</td><td>2,2</td><td></td><td></td><td>+1</td><td>320</td></tr></table>	U_B	$R_{g2\text{ min}}$	U_{G2}	U_A	$-U_{G1}$	I_{AM}	V	kΩ	V	V	V	mA	170	1,2	130	62	6	250			150	68	7	310	200	1,5	130	65	6	250			150	69	7	310			170	73	8	360	230	2,2	150	72	7	310			170	76	8	360			190	80	9	420	190	2,2			+1	230	230	2,2			+1
U_B	$R_{g2\text{ min}}$	U_{G2}	U_A	$-U_{G1}$	I_{AM}																																																																					
V	kΩ	V	V	V	mA																																																																					
170	1,2	130	62	6	250																																																																					
		150	68	7	310																																																																					
200	1,5	130	65	6	250																																																																					
		150	69	7	310																																																																					
		170	73	8	360																																																																					
230	2,2	150	72	7	310																																																																					
		170	76	8	360																																																																					
		190	80	9	420																																																																					
190	2,2			+1	230																																																																					
230	2,2			+1	320																																																																					
výkonová pentoda koncový stupeň zesilovačů pro řádkové vychylování		U_A 170 V U_{G2} 170 V $-U_{G1}$ 60 V I_A <1 mA																																																																								

Typ Použití	Rozměry Patice	Žhavení	Provozní hodnoty	Mezní hodnoty	
		Statické hodnoty			
EL504	Rozměry MN1	U_F 6,3 V I_F 1,35 A nepřímé žhavení ●		U_{AO} 550 V U_A 250 V $U_A (I_{AM} = 250 \text{ mA})$ >49 V $U_A (I_{AM} = 500 \text{ mA})$ >63 V $U_{AM}^{1)}$ 7 kV U_{G20} 550 V U_{G2} 250 V I_K 250 mA $R_{g1(k)}$ 0,5 MΩ $R_{g1^{2)3)}$ 2,2 MΩ $U_{K/F}$ 220 V $R_{k/f}$ 20 kΩ ϑ_b 250 °C	
		U_A 50 V U_{G2} 200 V U_{G1} -10 V i_{AM} 420 mA I_{G2M} 37 mA (měřeno dynamicky)			U_A 170 V U_{G2} 170 V U_{G1} -60 V I_A <0,7 mA Kapacity: C_{g1} 22 pF C_a 9 pF $C_{a/g1}$ <1,5 pF
Koncová pentoda pro horizontální vychylovací stupně v televizních přijímačích.				<div>1) Max 22 % periody, ne déle než 18 μs. 2) Ve stabilizovaném obvodu. 3) Z_{g1} (f = 50 Hz) ≤ 200 kΩ.</div>	

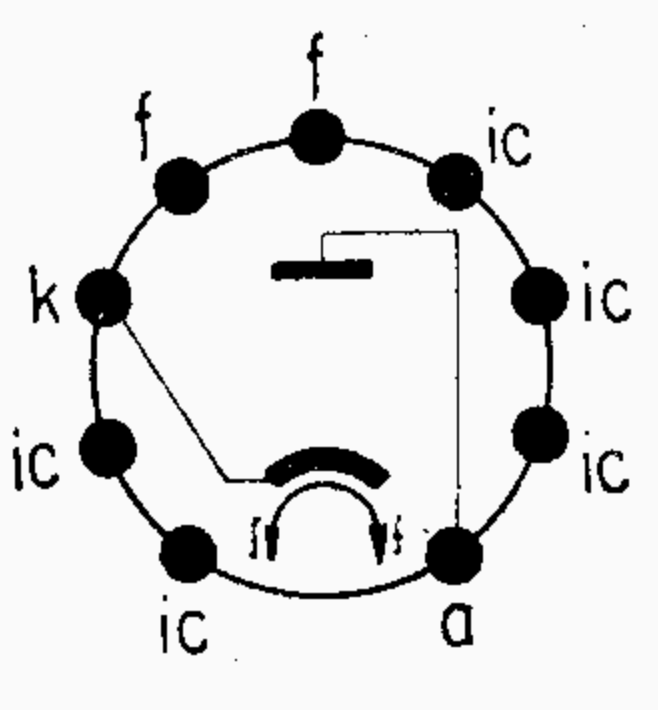
Typ Použití	Rozměry Patice	Žhavení	Provozní hodnoty	Mezní hodnoty
		Statické hodnoty		
EL509		U_F 6,3 V I_F 2 A nepřímé žhavení U_A 160 V U_{G2} 160 V U_{G3} 0 V U_{G1} -100 V U_{G1M} 100 V I_{AM} >1 A I_{G2M} 45 mA I_{AZ} ($U_{G1} = -100$ V) <0,15 mA Kapacity: $C_{a/g1}$ 2,5 pF $C_{g1/f}$ <0,2 pF	Koncový stupeň zesilovače pro hori- zontální vychylování: Minimální žádané závěrné napětí - U_{G1} během zpětného řádku při U_A = 7 kV a $Z_{g1} = 1$ k Ω při řádkovém kmitočtu: $U_{G2} = 150$ V $U_{G1} = -175$ V $U_{G2} = 200$ V $U_{G1} = -195$ V $U_{G2} = 250$ V $U_{G1} = -215$ V	U_{AO} 700 V U_{AM} ¹⁾ 7 kV U_{AMabs} ¹⁾ 8 kV P_{AR} 30 W P_{ARabs} 40 W U_{G3} 50 V U_{G20} 700 V U_{G2} 275 V P_{G2R} 7 W P_{G2Rabs} 9 W I_K 500 mA I_{KM} 1200 mA $U_{K/F}$ 200 V - U_{G1M} 550 V $R_{g1(p)}$ 0,5 M Ω $R_{g1(s)}$ 2,2 M Ω R_{g3} 10 k Ω
Koncová pentoda pro ho- rizontální vychylovací stupně v televizních příjí- mačích pro barevný obraz.				¹⁾ Max. 22 % periody, max. 18 μ s.

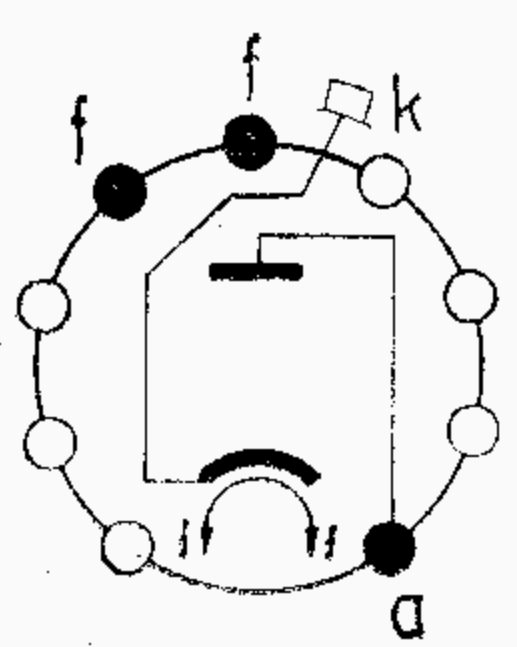
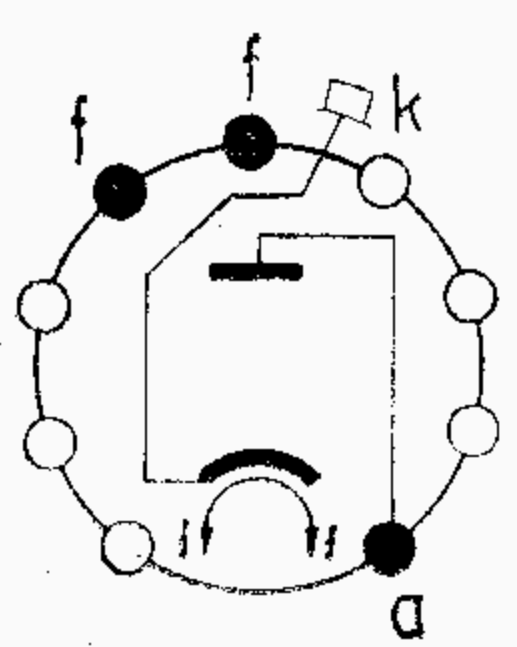
Typ Použití	Rozměry Patice	Žhavení Statické hodnoty	Provozní hodnoty	Mezní hodnoty
EL803S Velikost N 5 <div></div>	<div>U_F 6,3 V I_F 0,65 A nepřímé žhavení ● U_A 200 V U_{G3} 0 V U_{G2} 200 V R_k 110 Ω I_A 32 $\begin{smallmatrix} +4 \\ -4,5 \end{smallmatrix}$ mA I_{G2} 4,7±0,9 mA S 10 ± 1,8 mA/V $\mu_{g2/g1}$ 22±6 r_i 60±20 kΩ $-I_{G1}$ <0,5 μA I_{AZ} ($U_{G1} = -10$ V) <2,5 mA</div>	<div>Dlouhoživotnostní Otřesuvzdorná Úzké tolerance Spolehlivá v provozu</div>	<div>U_F 6,3 ± 0,3 V U_{AO} 550 V U_A 250 V P_{AR} 6,5 W U_{G2O} 550 V U_{G2} 250 V P_{G2R} 1,5 W I_K 40 mA $R_{g1(k)}$ 1 MΩ $R_{g1(p)}$ 0,5 MΩ $U_{K/F}$ ±120 V $R_{k/f}$ 20 kΩ U_{G1N} ($I_{G1} \leq +0,3 \mu A$) -1,3 V</div> <div>Kapacity: C_{g1} 10,4 ± 0,6 pF C_a 8,9 ± 0,4 pF $C_{a/g1}$ <0,12 pF $C_{g1/f}$ <0,15 pF</div>	

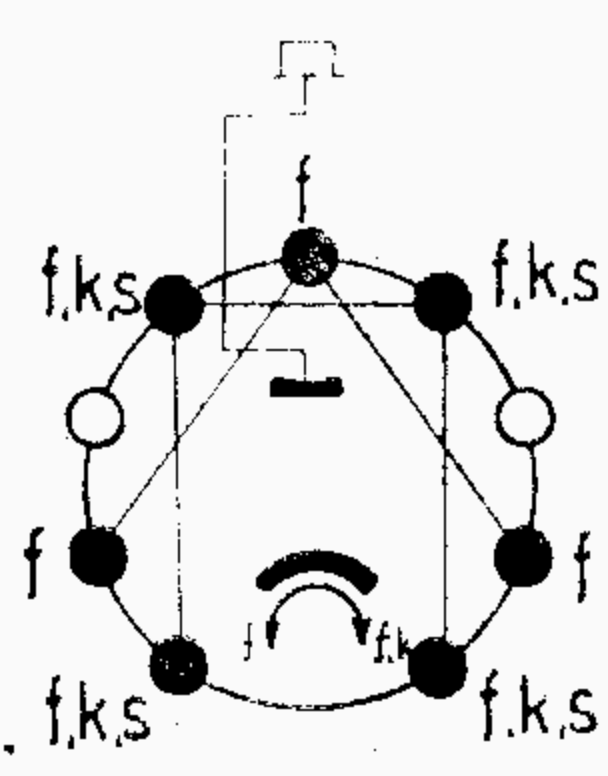
strmá pentoda
pro koncové stupně
širokopásmových a obra-
zových zesilovačů.

Typ Použití	Rozměry Patice	Žhavení	Provozní hodnoty			Mezní hodnoty		
		Statické hodnoty						
EM84	Velikost N 6	U_F 6,3 V I_F 0,21 A nepřímé žhavení ●	$U_B = U_l$ 250 V R_a 500 kΩ R_{g1} 3 MΩ U_{G1} 0 -22 V I_l 1,0 1,8 mA I_A 0,45 0,06 mA b 21 0 mm (>15) (<3) mm				U_{AO} 550 V U_A 300 V P_{AR} 0,5 W U_{Do} 550 V U_D 300 V U_{lo} 550 V U_l 300 V U_l >170 V R_{g1} 3 MΩ $U_{K/F}$ 100 V ϑ_b 120 °C Kapacity: $C_{a/k}$ 0,8 pF	
		U_B 250 V U_l 250 V R_a 0,5 MΩ R_{g1} 3 MΩ U_{G1} 0/-22 V I_l <2/<3 mA b 21/0 mm						

elektronický indikátor
vyladění.

Typ Použití	Rozměry Patice	Žhavení	Provozní hodnoty	Mezní hodnoty
		Statické hodnoty		
EY82	Velikost N 5	U_F 6,3 V I_F 0,9 A nepřímé žhavení  I_D 150 mA r_i 67,5 Ω	Dvoucestný usměrňovač (2 elektronky) $U_{A\ ef}$ 2×250 2×280 2×300 V I_O 360 360 360 mA U_O 225 250 268 V C_N 60 60 60 μF R_o 2×75 2×95 2×110 Ω	$-U_A$ 850 V $U_{A\ ef}$ 2×300 V I_O 180 mA I_{AM} 1100 mA $U_{K/F}$ 450 V C_N 60 μF Min ochranný odpor $R_o\ min$ $U_{A\ ef}$ (Ω) (V) 2×75 2×250 2×95 2×280 2×110 2×300
dioda jednocestný usměrňovač				

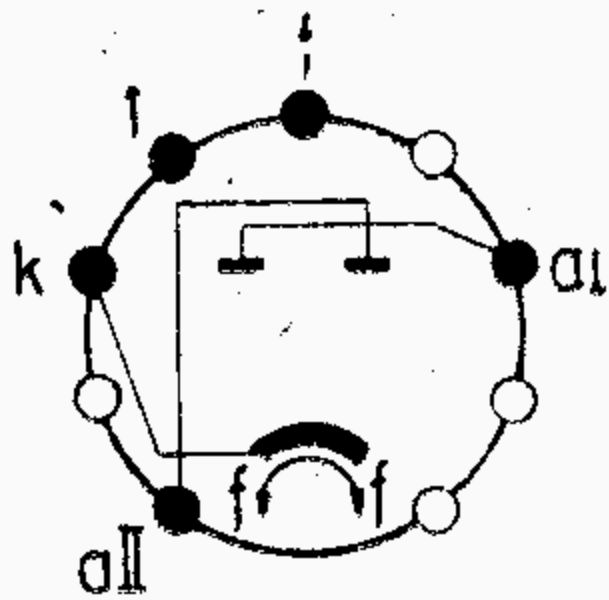
Typ Použití	Rozměry Patice	Žhavení	Provozní hodnoty	Mezní hodnoty
		Statické hodnoty		
EY83 EY88	Velikost N 5 Velikost N 7	EY83 U_F 6,3 V I_F 0,95 A nepřímé žhavení  U_A 15 V I_A >120 mA	Kapacity: $C_{a/k}$ <6,2 pF $C_{k/f}$ <2,4 pF	$-U_A$ ¹⁾ 5 kV $-U_{AM}$ ¹⁾ 5,6 kV I_A 175 mA I_{AM} 500 mA $U_{+K/FM}$ ¹⁾ 5 kV $U_{+K/FM}$ ^{1) 2)} 5,6 kV ¹⁾ Max 18 % periody, max 18 μs . ²⁾ Absolutní maximum.
vakuová spínací dioda pro koncové stupně horizontálních zesilovačů.		EY88 U_F 6,3 V I_F 1,55 A nepřímé žhavení  U_A 15 V I_A >125 mA	Kapacity: $C_{a/k}$ 8,6 pF $C_{k/f}$ 2 pF	U_{AO} 550 V U_A 250 V I_A 220 mA I_{AM} 550 mA $-U_A$ ¹⁾ 6 kV $-U_A$ ^{1) 2)} 7,5 kV $U_{+K/FM}$ ¹⁾ 6,6 kV $U_{F/zem\ ef}$ 220 V P_{AR} 5 W ¹⁾ Max 22 % periody, max 18 μs . ²⁾ Absolutní maximum.

Typ Použití	Rozměry Patice	Žhavení	Provozní hodnoty	Mezní hodnoty
		Statické hodnoty		
EY86 EY87	Velikost N 4	U_F 6,3 V I_F 0,09 A nepřímé žhavení 	U_O 18 kV I_O 150 μ A U_O 20 kV I_O 0 μ A Tolerance žhavicího napětí $I_A \leq 200 \mu$ A $\pm 15 \%$ $I_A > 200 \mu$ A $\pm 7 \%$ 1. Doba pulsu max 18 % periody, ne déle než 18 μ s. 2. Absolutní hodnota. 3. Doba pulsu max 10 % periody, ne déle než 10 μ s.	$-U_{AM}^{1)}$ 22 kV $-U_{AM} (I_A=0)$ 24 kV $-U_{AM}^{2)}$ 27 kV I_O 0,8 mA $I_{AM}^{3)}$ 40 mA C_N 2000 pF ∂b 150 $^{\circ}$ C Jednocestný usměrňovač $f = 50$ Hz sinusový průběh. U_{Aef} 5 kV I_A 3 mA C_N 0,2 μ F R_{tr} >100 k Ω Kapacity: $C_{a/k+f+s}$ 2,5 pF
jednocestný usměrňovač pro zdroje vn v televizorech.		EY87 Povrch baňky opatřen povlakem, který zabraňuje průrazu i při velké vlhkosti okolního vzduchu.		

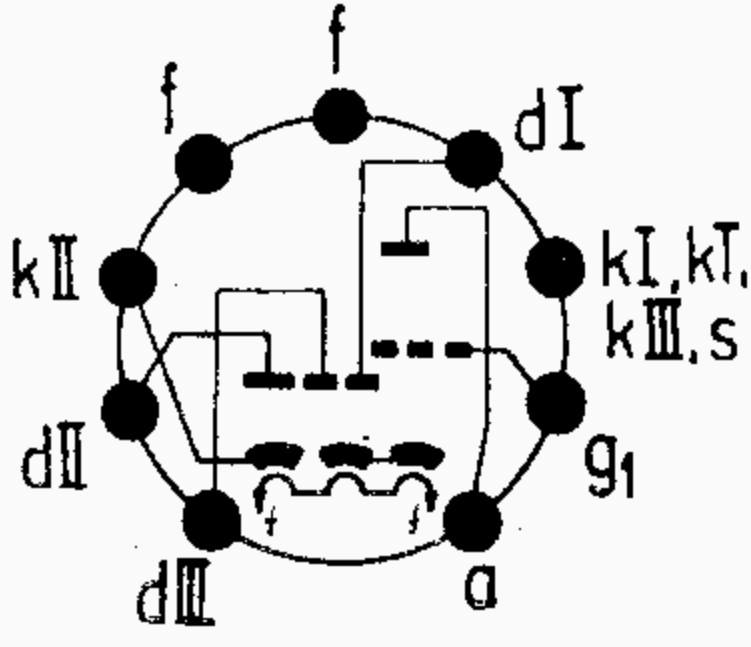
jednocestný usměrňovač
pro zdroje vn
v televizorech.

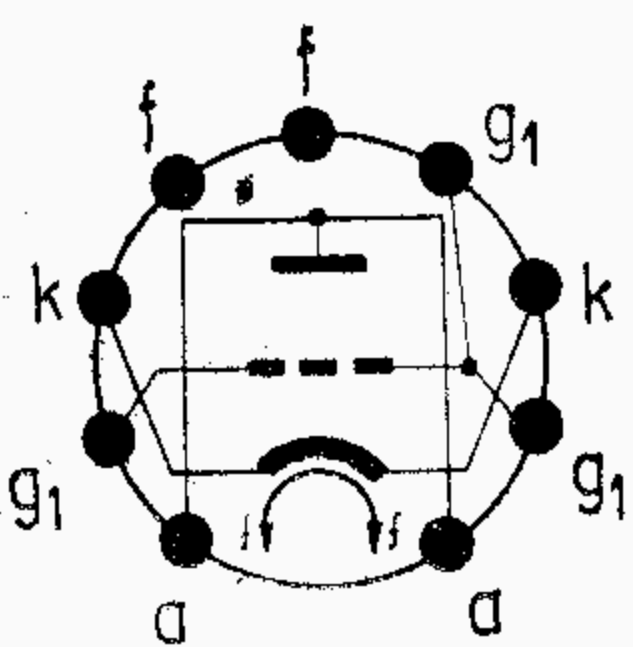
EY87

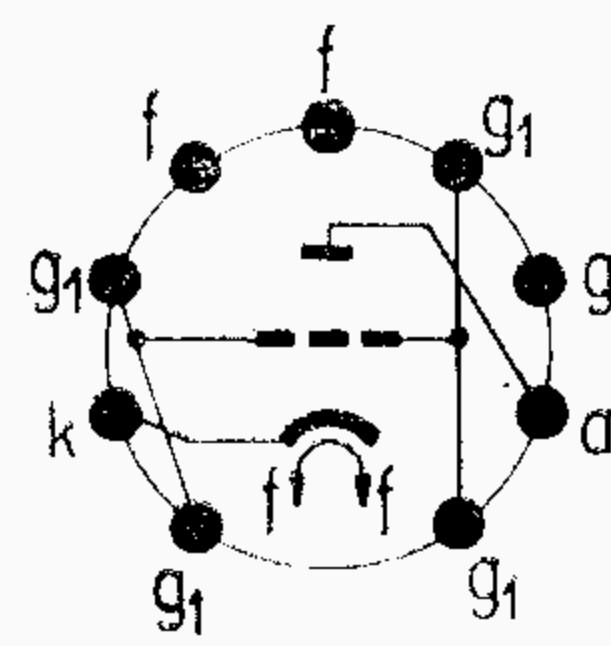
Povrch baňky opatřen povlakem, který zabraňuje průrazu i při velké vlhkosti okolního vzduchu.

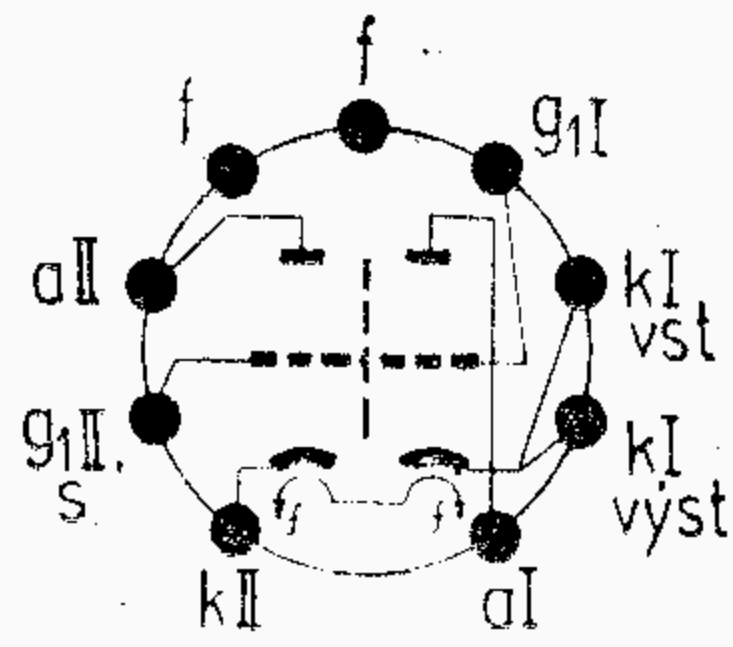
Typ Použití	Rozměry Patice	Žhavení	Provozní hodnoty				Mezní hodnoty	
		Statické hodnoty						
EZ80 EZ81	Velikost N 4 Velikost N 5	EZ80 U_F 6,3 V I_F 0,6 A nepřímé žhavení ● U_A 22 V I_A 70 mA	$U_{A\ ef}$ 2×220 2×250 2×350 V R_o 2×75 2×125 2×300 Ω C_N 50 50 50 μF I_O 90 90 90 mA U_O 230 265 360 V				$U_{A\ ef}$ 2×350 V I_O 90 mA I_{AM} 270 mA C_N 50 μF $U_{+K/F}^{1)}$ 500 V	
		EZ81 U_F 6,3 V I_F 1 A nepřímé žhavení ● $U_{A\ ef}$ 2×350 V R_o 2×240 Ω R_z 2300 Ω C_N 50 μF I_O >134 mA ● I_D 110 mA r_i 130 Ω	$U_{A\ ef}$ 2×250 2×300 2×350 V R_o >2×150 >2×200 >2×240 Ω C_N 50 50 50 μF I_O 150 150 150 mA U_O 243 293 348 V				$-U_A$ 1000 V $U_{A\ ef}$ 2×350 V I_O 150 mA I_{AM} 450 mA $U_{+K/F-}^{1)}$ 500 V C_N 50 μF	
dvoucestný usměrňovač							1) Špičková hodnota, ss složka max 350 V.	

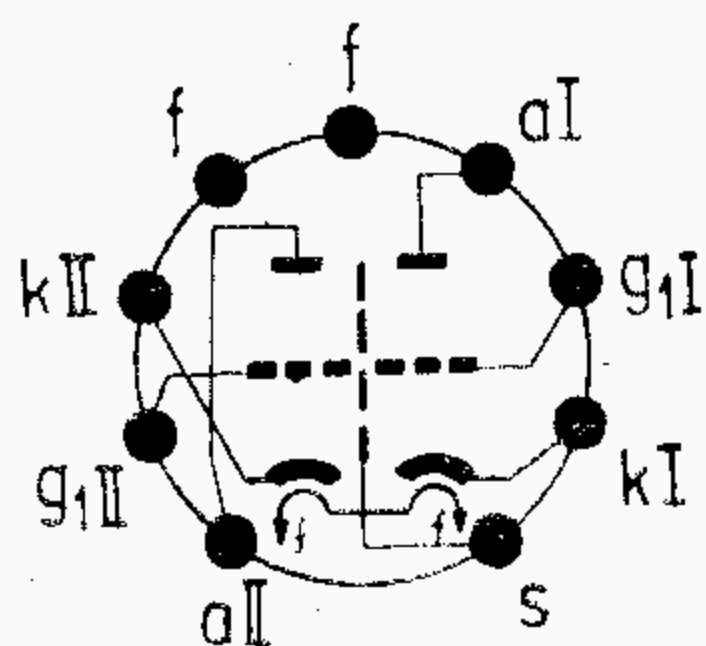
dvoucestný usměrňovač

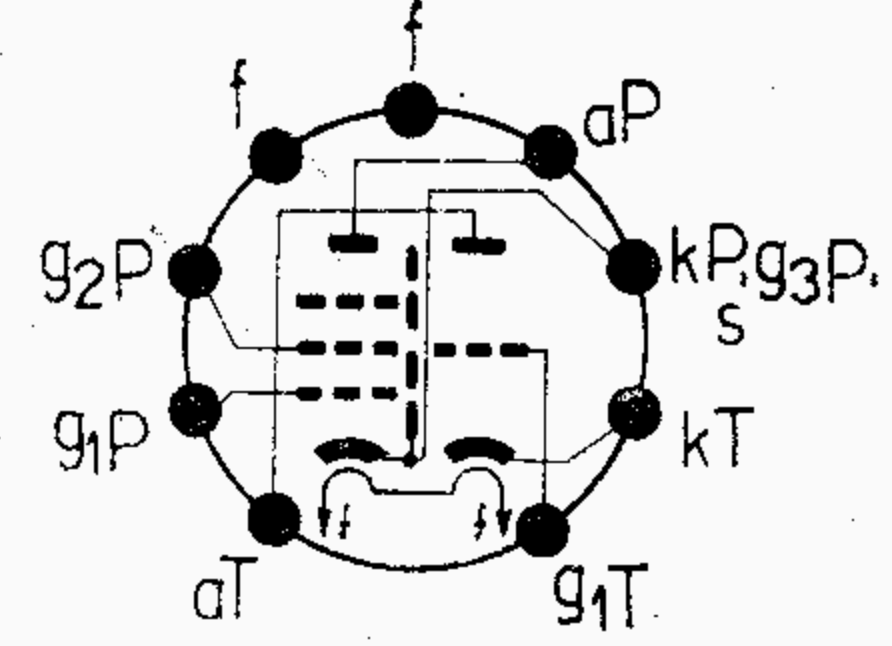
Typ Použití	Rozměry Patice	Žhavení	Provozní hodnoty	Mezní hodnoty
		Statické hodnoty		
PABC80 Velikost NA 50 		I_F 0,3 A U_F 9,5 V t_f <22 s nepřímé žhavení ● U_A 250 V R_k 3 kΩ I_A 1 mA S 1,2 mA/V μ 70 r_i 58 kΩ I_{AZ} ($U_{G1} = -6$ V) <0,15 mA <hr/> U_{DI} 5 V I_{DI} >1 mA r_{DI} 5 kΩ <hr/> $U_{DII, DIII}$ 5 V $I_{DII, DIII}$ 25 >13 mA <hr/> $r_{DII, DIII}$ 200 Ω <hr/> r_{DII}/r_{DIII} >0,67 <1,5	Nf odporový zesilovač U_B 200 200 200 V R_a 300 200 100 kΩ R_{g1} 10 10 10 MΩ $R_{g1'}$ 1 1 1 MΩ I_A 0,45 0,6 0,95 mA $U_{g1\ ef}$ 70 72 80 mV $U_{a\ ef}$ 4 4 4 V k 0,4 0,4 0,3 % V 57 56 50 Kapacity: $C_{g1/kI, III}$ 1,9 pF $C_{a/kI, III}$ 0,8 pF $C_{a/g1}$ 2 pF $C_{dI/kI, III+f}$ 0,8 pF $C_{dII/kI, III+kII+f}$ 4,8 pF $C_{dIII/kI, III+kII+f}$ 4,8 pF $C_{g1/f}$ <0,1 pF	Trioda U_{AO} 550 V U_A 250 V P_{AR} 1 W I_K 5 mA R_{g1} 3 MΩ $R_{g1(i)}$ 22 MΩ $U_{K/F}$ 150 V $R_{k/f}$ 20 kΩ Dioda $U_{DI\ inv}$ 350 V $U_{DII\ inv}$ 350 V $U_{DIII\ inv}$ 350 V $I_{DI\ M}$ 6 mA $I_{DII, III\ M}$ 75 mA I_{DI} 1 mA $I_{DII, III}$ 10 mA
		dioda - dvojitá dioda - nf trioda pro am demodulátor, fm demodulátor, nf zesilovač.		

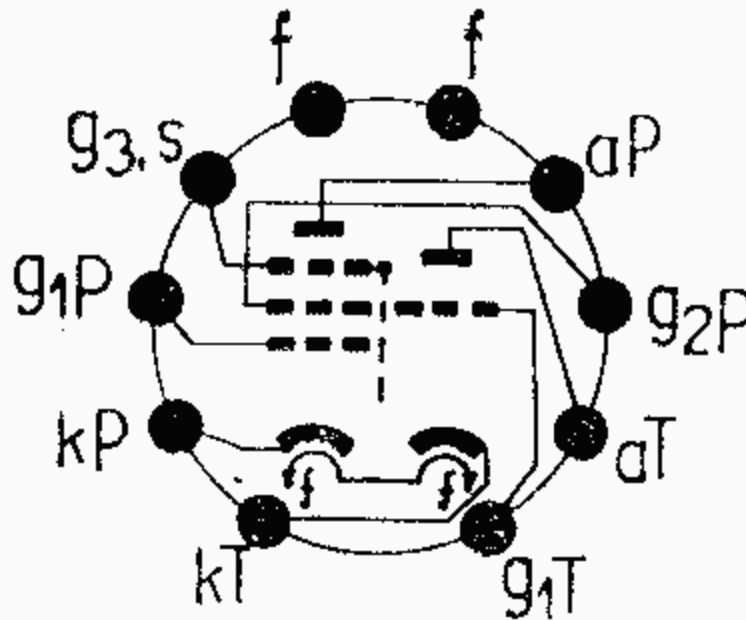
Typ Použití	Rozměry Patice	Žhavení	Provozní hodnoty	Mezní hodnoty
		Statické hodnoty		
PC86 Velikost N 2 		I_F 0,3 A U_F 3,8 V t_f <22 s nepřímé žhavení ● U_A 175 V U_{G1} -1,5 V I_A 12 mA S 14 mA/V μ 70 I_{AZ} ($U_{G1} = -4$ V) <0,15 mA	Vf zesilovač s uzemněnou mřížkou U_A 175 V R_k 125 Ω I_A 12 mA S 14 mA/V R_{ekv} 250 Ω Samokmitající směšovač U_B 220 V $R_a^{1)}$ 5,6 kΩ R_{g1} 50 kΩ I_A 12 mA I_{G1} 50 μA	U_{AO} 550 V U_A 220 V P_{AR} 2,2 W I_K 20 mA $-U_{G1}$ 50 V R_{g1} 1 MΩ $U_{+K/F-}$ 130 V $U_{K/F\ ef}$ 50 V $R_{k/f}$ 20 kΩ Kapacity $C_{a/g1}$ 2 pF $C_{g1/k}$ 3,6 pF $C_{a/k}$ 0,2 pF $C_{g1/f}$ <0,35 pF $C_{k/f+g1}$ 6,6 pF $C_{g1/k+f}$ 3,9 pF $C_{a/k+f}$ 0,3 pF $C_{a/g1+f}$ 2,1 pF
		vkv strmá trioda pro vstupní zesilovače a samokmitající směšovače do 800 MHz.	¹⁾ R_a přemostěn C_a	

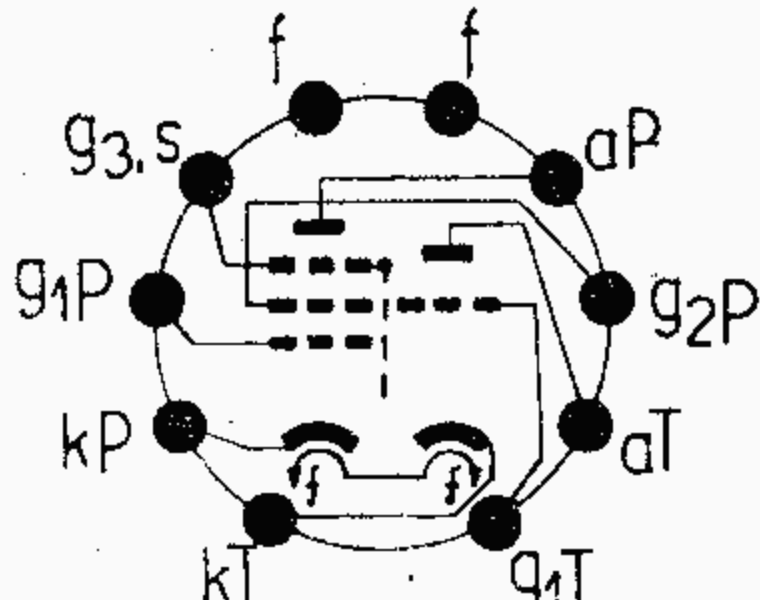
Typ Použití	Rozměry Patice	Žhavení	Provozní hodnoty	Mezní hodnoty
		Statické hodnoty		
PC88	Velikost NA 34	<div></div>	<div><div><div>I_F0,3 A</div><div>U_F3,8 V</div><div>nepřímé žhavení</div><div>●</div><div>U_A160 V</div><div>R_k100 Ω</div><div>I_A12,5 mA</div><div>S13,5 mA/V</div><div>μ65</div><div>R_{ekv}240 Ω</div><div>F_z (f = 850 MHz)</div><div>9</div><div>$f_{res\ a/g}$1700 MHz</div><div>$f_{res\ g/k}$1000 MHz</div></div></div>	<div><div>U_{AO}550 V</div><div>U_A175 V</div><div>P_{AR}2 W</div><div>I_K13 mA</div><div>$-U_{G1}$50 V</div><div>P_{G1R}50 mW</div><div>$R_{g1\ (k)}$0,5 MΩ</div><div>$U_{K/f}$100 V</div><div>$R_{k/f}$20 kΩ</div></div>
		<div>strmá vkv trioda vysokofrekvenční zesilovač do 1000 MHz</div>	<div>Kapacity S vnějším stíněním (n) připojeným k g_1: <div><div>$C_{g1+m/k+f}$3,8 pF</div><div>$C_{a/g1+m}$1,7 pF</div><div>$C_{a/k+f}$0,055 pF</div></div>Bez vnějšího stínění: <div><div>$C_{g1/a}$1,2 pF</div></div></div>	

Typ Použití	Rozměry Patice	Žhavení	Provozní hodnoty	Mezní hodnoty
		Statické hodnoty		
PCC84	Velikost N 2	I_F 0,3 A U_F 7,2 V t_f 15 s nepřímé žhavení ● U_A 90 V U_{G1} -1,5 V I_A 12 mA S 6 mA/V μ 24 r_i 4 k Ω	Vkv kaskádní zesilovač Systém I: s uzemněnou katodou. Systém II: s uzemněnou mřížkou. Systém I: $f = 200$ MHz Z_{g1} 4 k Ω $f = 100$ MHz Z_{g1} 16 k Ω $f = 50$ MHz Z_{g1} 64 k Ω $F = 6,5$ Kapacity: $C_{g1/k+f}$ 2,3 pF $C_{kII/f}$ 2,5 pF $C_{aI/k+f}$ 0,5 pF $C_{kII/aII}$ 0,17 pF $C_{g1/aI}$ 1,1 pF $C_{aII/gII}$ 2,3 pF $C_{g1/f}$ 0,25 pF $C_{aII/gII+f}$ 2,5 pF $C_{kII/gII+f}$ 4,5 pF $C_{g1/aII}$ 0,006 pF	Systém I, II: U_{AO} 550 V U_A 180 V P_{AR} 2 W $P_{AI+AIIR}$ 3,5 W I_K 18 mA $R_{k/f}$ 20 k Ω Systém I: R_{g1I} 0,5 M Ω $U_{F/KIM}$ 100 V Systém II: $R_{g1II}^{1)}$ 20 k Ω $R_{g1II}^{2)}$ 100 k Ω $U_{+K/F}^{3)}$ 250 V $U_{-K/F+}$ 100 V
			<div><div>1) $R_k \geq 100 \Omega$</div><div>2) U_{G1} z děliče napětí mezi $+U_B$ a 0.</div><div>3) ss složka max 180 V.</div></div>	
dvojitá trioda vkv kaskádní zesilovač				

Typ Použití	Rozměry Patice	Žhavení	Provozní hodnoty	Mezní hodnoty
		Statické hodnoty		
PCC88	Velikost NA 40	I_F 0,3 A U_F 7 V t_f <19 s nepřímé žhavení ●	Systém I: s uzemněnou katodou. Systém II: s uzemněnou mřížkou. Systém II musí mít pevné předpětí z děliče napětí, systém I smí mít předpětí pomocí I_{G1} na svodovém odporu mřížky. Anodové napětí systému I pak nesmí překročit v neřízeném stavu 75 V.	U_{AO} 550 V U_A 130 V P_{AR} 1,8 W I_K 25 mA $-U_{G1}$ -50 V P_{G1R} 0,03 W R_{g1} 1 MΩ $R_{k/f}$ 20 kΩ $U_{K/F\ ef}$ 80 V ϑ_b 170 °C Systém II $U_{+K/F-}$ 180 V ss složka 130 V Kapacity: $C_{aI/kI+f+s}$ 1,8 pF $C_{gI/kI+f+s}$ 3,3 pF $C_{aI/gI}$ 1,4 pF $C_{gI/f}$ <0,13 pF $C_{aII/gII+f+s}$ 2,8 pF $C_{kII/gII+f+s}$ 6 pF $C_{aII/gII}$ <1,8 pF $C_{aII/kII}$ 0,18 pF $C_{kII/f}$ <3,5 pF
		 U_A 90 V R_k 87 Ω I_A 15 mA S 12,5 mA/V μ 33 r_i 2,6 kΩ R_{ekv} 300 Ω I_{AZ} ($U_{G1} = -8$ V) <0,035 mA R_{ekv} <600 Ω	$C_{aI/aII}$ <0,045 pF $C_{gI/aII}$ <0,005 pF	
dvojitá trioda s oddělenými katodami vkv kaskádní zesilovač				

Typ Použití	Rozměry Patice	Žhavení	Provozní hodnoty			Mezní hodnoty		
		Statické hodnoty						
PCF82	Velikost N 2	I_F 0,3 A U_F 9,5 V nepřímé žhavení ●	Pentoda jako směšovač			Pentoda:		
		U_A 250 V U_{G2} 110 V U_{G1} -0,9 V I_A 10 mA I_{G2} 3,5 mA S 5,2 mA/V r_i 0,4 MΩ $\mu_{g2/g1}$ 35 I_{AZ} ($U_{G1} = -10$ V) <0,15 mA Trioda: U_A 150 V U_{G1} -1 V I_A 18 mA S 8,5 mA/V μ 40 r_i 4,7 kΩ I_{AZ} ($U_{G1} = -10$ V) <0,35 mA	$U_A = U_B$ 170 200 250 V R_{g2} 30 45 70 kΩ R_{g1} 1 1 1 MΩ U_{G1} 0 0 0 V $U_{osc\ ef}$ 3 3 3 V I_A 4,7 4,9 5,2 mA I_{G2} 2 1,9 1,9 mA I_{G1} 3,7 3,7 3,7 μA S_c 1,65 1,8 1,9 mA/V $Z_{g1}(f=100\text{ MHz})$ 10 10 10 kΩ Trioda jako oscilátor U_B 170 200 250 V R_a 20 20 20 kΩ R_{g1} 20 20 20 kΩ $U_{osc\ ef}$ 3 3 3 V I_A 3,3 4,1 5,7 mA I_{G1} 160 160 160 μA S_{ef} 2,8 3,2 4 mA/V Kapacity: Pentoda Trioda C_{g1} 5 pF C_{g1} 2,5 pF C_a 2,6 pF C_a 0,4 pF $C_{a/g1}$ 0,01 pF $C_{a/g1}$ 1,8 pF $C_{f/k}$ 2,6 pF $C_{f/k}$ 2,5 pF $C_{aP/aT}$ 0,07 pF	U_{AO} 550 V U_A 300 V P_{AR} 2,8 W U_{G20} 550 V U_{G2} 300 V P_{G2R} 0,5 W I_K 20 mA R_{g1} 1 MΩ $U_{+K/F-}$ 220 V $U_{-K/F+}$ 90 V $R_{k/f}$ 20 kΩ Trioda: U_{AO} 550 V U_A 300 V P_{AR} 2,7 W I_K 20 mA R_{g1} 1 MΩ $U_{+K/F-}$ 220 V $U_{-K/F+}$ 90 V U_F 14,3 V				
 oscilátor - směšovač trioda - pentoda v televizorech								

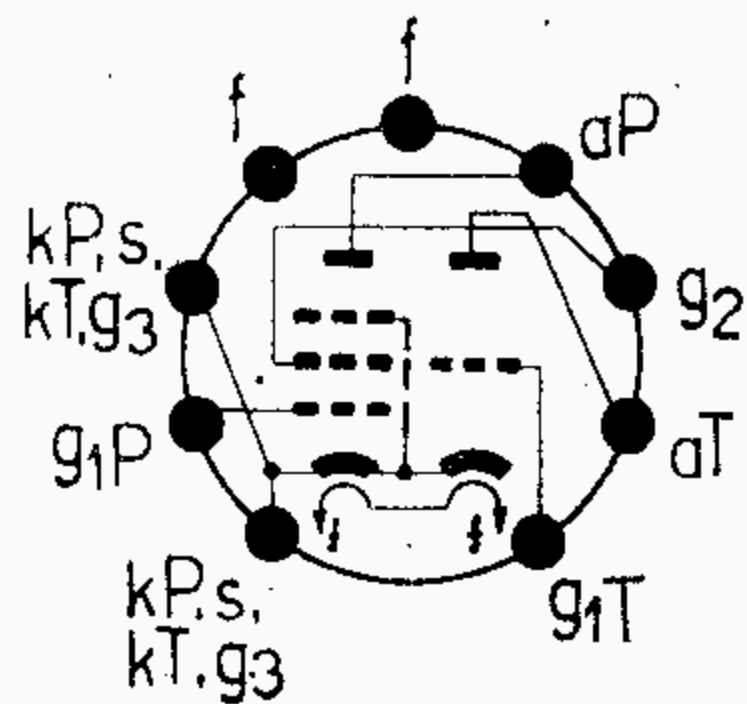
Typ Použití	Rozměry Patice	Žhavení	Provozní hodnoty		Mezní hodnoty	
		Statické hodnoty				
PCF200 Velikost NA40		I_F 0,3 A U_F 8 V t_f <19 s nepřímé žhavení	Pentoda: MF obrazový a zvukový zesilovač		Pentoda:	
		<p>Pentoda</p> U_{BAP} 160 V U_{G3} 0 V U_{BG2} 135 V R_k 93 Ω I_A 13 mA I_{G2} 5,3 mA S 14 mA/V $\mu_{g2/g1}$ 53 I_{AZ} ($U_{G1} = -8$ V) <0,1 mA	U_B 230 210 V r_a 5,6 3,9 k Ω R_{g2} 22 15 k Ω R_k 83 91 Ω I_A 12,5 13 mA I_{G2} 5,1 5,3 mA S 14 14 mA/V r_{G1} ($f = 40$ MHz) 6,6 6,6 k Ω		U_{AO} 550 V U_A 250 V P_{AR} 2,1 W U_{G2o} 550 V U_{G2} 250 V P_{G2R} 0,75 W I_K 20 mA R_{g1} 1 M Ω $U_{K/F}$ 150 V	
trioda - pentoda trioda pro obvody klíčového automatického řízení zesílení, zesilovače a omezovače impulsů, omezovače FM signálu, pentoda pro mf zesilovače obrazového signálu.		<p>Trioda</p> U_{BAT} 170 V R_k 120 Ω I_A 8,5 mA S 5,2 mA/V μ 57 I_{AZ} ($U_{G1} = -8$ V) <0,1 mA	Kapacity: (bez stínícího krytu) Pentoda: Trioda: C_{g1} 6,0 pF C_g 2,1 pF C_a 3,3 pF C_a 3,0 pF $C_{g1/k}$ 3,7 pF $C_{a/g}$ 2,2 pF $C_{a/g1}$ 0,0056 pF $C_{g1/g2}$ 1,7 pF Mezi systémy: $C_{aP/aT}$ <0,015 pF $C_{g1P/aT}$ <0,0012 pF $C_{g1P/gT}$ <0,0015 pF		Trioda: U_{AO} 550 V U_A 250 V $U_{AM}^{1)}$ 600 V P_{AR} 1,5 W I_K 18 mA R_{g1} 1 M Ω $U_{K/F}^{2)}$ 150 V $R_{k/f}$ 50 k Ω	
		$^{2)}$ $U_{+K/F}$ max = 300 V, ss složka max 200 V,		$^{1)}$ $I_A \leq 0,1$ mA; max 18 % periody, max 18 μ s. stř. složka efektivní max 150 V.		

Typ Použití	Rozměry Patice	Žhavení	Provozní hodnoty	Mezní hodnoty
		Statické hodnoty		
PCF201 Velikost NA40		I_F 0,3 A U_F 8 V t_f <19 s nepřímé žhavení	Pentoda: MF zesilovač obrazový i zvukový $U_B = U_A$ 210 V U_{G3} 0 V R_a 3,3 kΩ R_{g2} 18 kΩ R_k 79 Ω I_A 13,2 mA I_{G2} 5,4 mA S 12,6 mA/V U_{G1} (S = 1,26 mA/V) -5,1 V (S = 0,126 mA/V) -19 V r_{G1} (f = 40 MHz) 7,4 kΩ Trioda jako blokovací oscilátor: U_A 30 V U_{G1} 1,5 V I_{KM} 40 mA I_{AM} 25 mA I_{G1M} 15 mA Kapacity: (bez stínícího krytu) Pentoda: C_{g1} 6,5 pF C_a 3,3 pF $C_{a/g1}$ 0,0065 pF Trioda: C_{g1} 2,1 pF C_a 3 pF $C_{a/g1}$ 2 pF	Pentoda U_{AO} 550 V U_A 250 V P_{AR} 2,1 W U_{G2o} 550 V U_{G2} 250 V P_{G2R} 0,7 W I_K 20 mA R_{g1} 1 MΩ $U_{K/F}$ 150 V Trioda U_{AO} 550 V U_A 250 V P_{AR} 1,5 W I_K 18 mA $I_{KM}^{1)}$ 50 mA R_{g1} 1 MΩ $U_{K/F}$ 150 V $R_{k/f}$ 50 kΩ
		U_{BAP} 160 V U_{G3} 0 V U_{BG2} 110 V R_k 77 Ω I_A 13 mA I_{G2} 5,3 mA S 12,6 mA/V $\mu_{g2/g1}$ 45 Trioda U_{BAT} 100 V R_k 143 Ω I_A 14 mA S 4,8 mA/V μ 17,5 I_{AZ} ($U_{G1} = -18$ V) <0,1 mA		

trioda - pentoda
trioda jako pulsní zesilovač, oddělovač synchronizačních pulsů, rázující oscilátor pro řádkové vychylování nebo multivibrátor, pentoda pro řízené stupně obrazových mf zesilovačů.

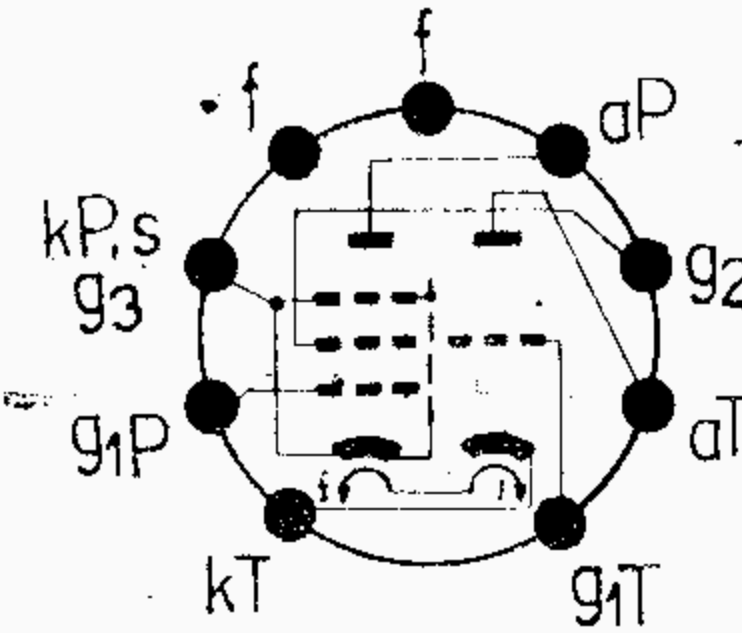
¹⁾ Max 10 % periody, max 10 μs

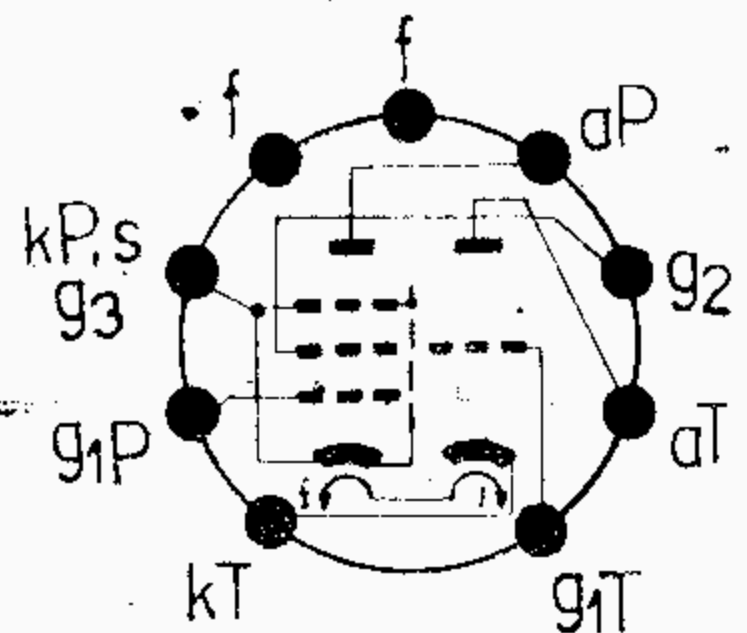
Typ Použití	Rozměry Patice	Žhavení Statické hodnoty	Provozní hodnoty			Mezní hodnoty		
PCF801 PCF803	Velikost NA 34	I_F 0,3 A U_F 8,5 V t_f <19 s nepřímé žhavení ●	Pentoda jako směšovač			Pentoda		
		U_B 200 200 V R_a 2,7 4,7 kΩ R_{g2} 27 27 kΩ R_{g1} 0,1 1 MΩ U_{BG1} -1,4 0 V I_A 10 9,3 mA I_{G2} 3 2,9 mA $U_{osc\ ef}$ 1,6 1,6 V S_c 5 4,7 mA/V I_{G1} 8 2,3 μA	U_{AO} 550 V U_A 250 V P_{AR} 2 W U_{G2o} 550 V U_{BG2} 250 V U_{G2} 250 V P_{G2R} (-U _{G1} <1,5 V) 0,45 W (-U _{G1} = 1,5 <2 V) 0,4 W (-U _{G1} >2 V) 0,3 W					
PCF801		Pentoda U_A 170 V U_{G2} 120 V R_k 110 Ω I_A 10 mA I_{G2} 3 mA S 11 mA/V $\mu_{g2/g1}$ 55 r_i >350 kΩ R_{ekv} 1,5 kΩ R_{vst} (f = 50 MHz) 10 kΩ	Pentoda jako mf zesilovač U_B 200 200 V R_a 2,7 4,7 kΩ R_{g2} 27 27 kΩ R_{g1} 0,1 1 MΩ U_{BG1} -1,4 0 V I_A 10 13 mA I_{G2} 3 3,9 mA S 11 14,5 mA/V S (-12 V) : (-1,4 V) 1 : 1000			I_K 18 mA $R_{g1(p)}$ 1 MΩ $R_{g1(k)}$ 2,2 MΩ $-U_{G1}$ 50 V $U_{K/F}$ 100 V $U_{K/F\ ef}$ 50 V		
		U_A 200 V U_{G2} 200 V U_{G1} -12 V S 0,11 mA/V						
		trioda - pentoda oscilátor - ukv směšovač, l. mf zesilovač v televi- zorech pro IV. a V. tele- vizní pásmo.						



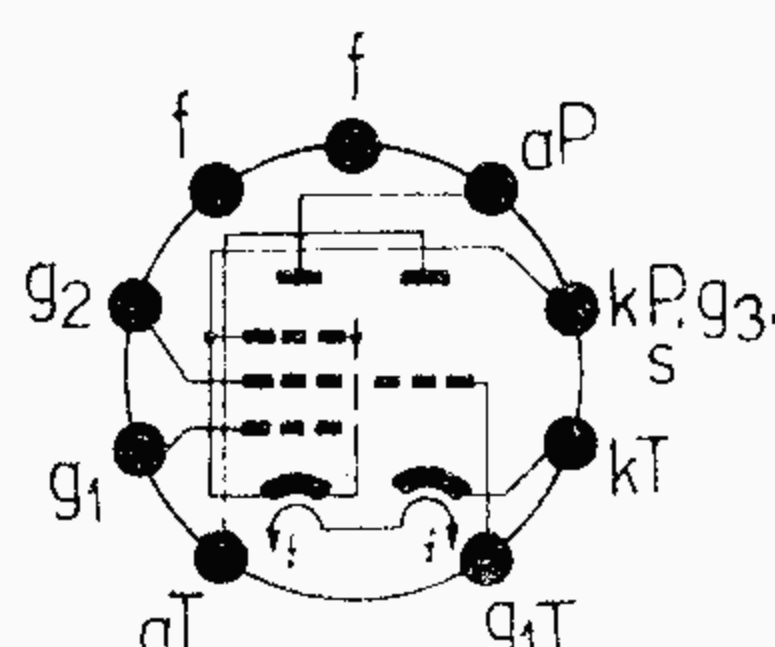
PCF801

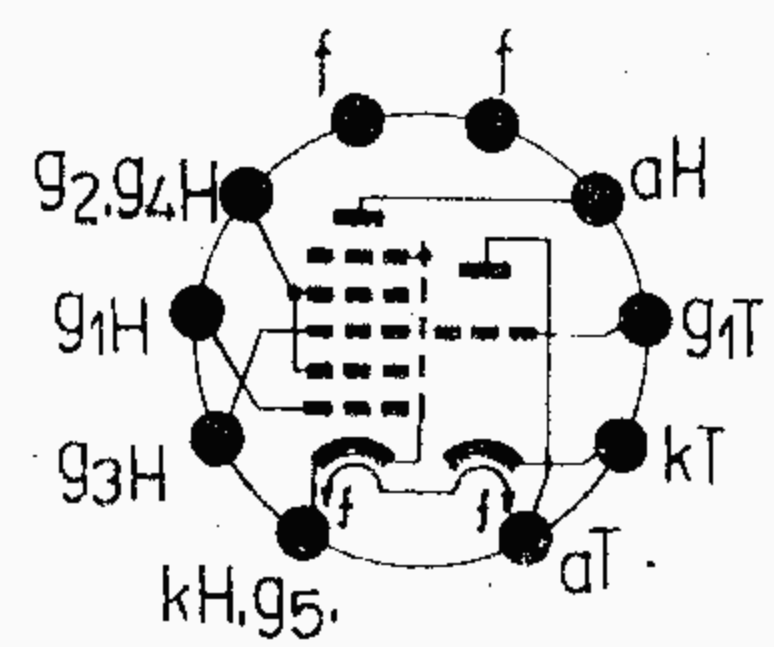
trióda - pentóda
oscilátor - ukv směšovač,
l. mf zesilovač v televi-
zorech pro IV. a V. tele-
vizní pásmo.

Typ Použití	Rozměry Patice	Žhavení	Provozní hodnoty			Mezní hodnoty		
		Statické hodnoty						
PCF801 PCF803		Trioda	Trioda jako oscilátor			Trioda		
		U_A 100 V R_k 200 Ω I_A 15 mA S 9 mA/V μ 20 I_{AZ} ($U_{G1} = -10$ V) $<0,1$ mA	U_B 200 R_a 8,2 12 k Ω R_{g1} 10 10 k Ω I_A 16 12 mA $U_{osc\ ef}$ 4,5 3,3 V S_{ef} 3,7 3,7 mA/V Kapacity: Pentoda C_{g1} 6,2 pF C_a 3,7 pF $C_{a/g1}$ 9<12 mpF $C_{g1/g2}$ 1,6 pF Mezi systémy $C_{aP/aT}$ <0,025 pF $C_{aP/g1T}$ <0,01 pF	200 V 12 k Ω 10 k Ω 12 mA $3,3$ V $3,7$ mA/V Trioda C_{g1} 3,3 pF C_a 1,7 pF $C_{a/g1}$ 1,8 pF $C_{g1P/aT}$ <0,01 pF $C_{g1P/g1T}$ <0,01 pF	U_{AO} 550 V U_A 125 V P_{AR} 1,5 W I_K 20 mA R_{g1} 500 k Ω $-U_{G1}$ 50 V $U_{K/F}$ 100 V $U_{K/F\ ef}$ 50 V			
PCF803								



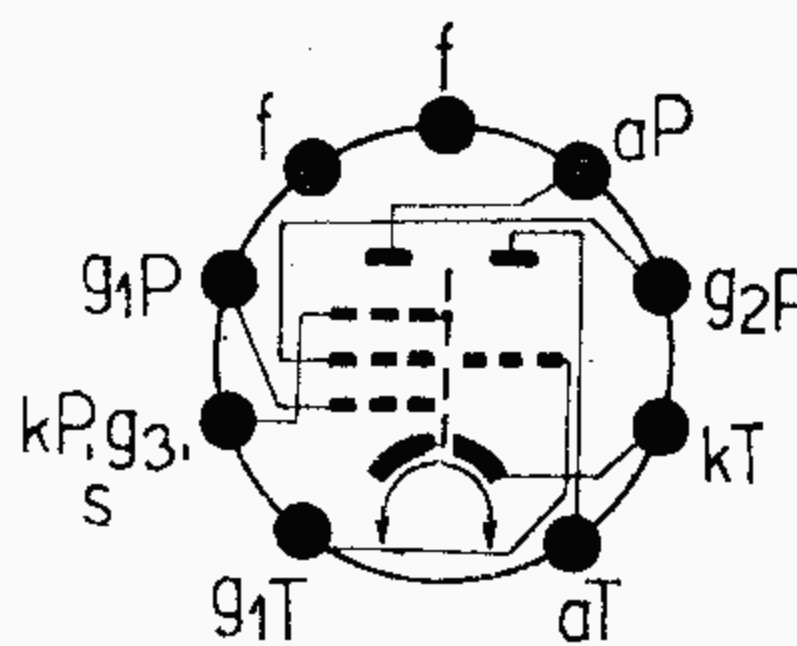
PCF803

Typ Použití	Rozměry Patice	Žhavení	Provozní hodnoty	Mezní hodnoty
		Statické hodnoty		
PCF802 Velikost NA 40		I_F 0,3 A U_F 9 V t_f <19 s nepřímé žhavení	Pentoda U_A 100 200 V U_{G2} 100 200 V U_{G1} 0 -1 -16 V I_A 12,5 6 <0,01 mA I_{G2} 3,5 1,7 mA	Trioda U_{AO} 550 V U_A 250 V P_{AR} 1,4 W I_K 10 mA $R_{g1(p)}$ 3 MΩ $U_{K/F}$ ±100 V $Z_{g1(50\text{ Hz})}$ 50 kΩ
		Trioda U_A 200 V I_A 3,5 mA R_k 570 Ω S 3,5 mA/V μ 70 r_i 20 kΩ $I_{AZ} (U_{G1T} = -9\text{ V})$ <0,05 mA	Trioda $I_A (I_{G1} = 10\text{ }\mu\text{A})$ 10 mA Kapacity: Pentoda C_{g1} 5,4 pF $C_{a/g1}$ 0,06 pF $C_{g1/f}$ <0,1 pF Trioda C_{g1} 2,4 pF $C_{a/g1}$ 1,5 pF $C_{g1/f}$ <0,1 pF	Pentoda U_{AO} 550 V U_A 250 V P_{AR} 1,2 W U_{G20} 550 V U_{G2} 250 V P_{G2R} 0,8 W I_K 15 mA $I_{KM}^1)$ 50 mA $R_{g1(p)}$ 0,56 MΩ $R_{g1(k)}$ 1 MΩ $U_{K/F}$ 100 V $Z_{g1(50\text{ Hz})}$ 300 kΩ
trioda - pentoda trioda jako reaktanční elektronka, pentoda pro sinusové oscilátory a tvarovač impulsů.		Pentoda U_A 100 V U_{G2} 100 V R_k 130 Ω I_A 6 mA I_{G2} 1,7 mA S 5,5 mA/V $\mu_{g2/g1}$ 47 r_i 400 kΩ $I_{AZ} (U_{G1} = -4\text{ V})$ <0,27 mA	Aby se zamezilo interferenci s napětím bručení, je nežádoucí zvyšovat střídavou složku napětí $U_{K/F}$ nad 65 V při uvedené hodnotě Z_{g1} .	1) Max 30 μs, činitel plnění 30 %.

Typ Použití	Rozměry Patice	Žhavení	Provozní hodnoty	Mezní hodnoty
		Statické hodnoty		
PCH200 Velikost NA 40		I_F 0,3 A U_F 9,2 V t_f <19 s	Kapacity: (bez stínícího krytu) Heptoda C_{g1} 4,4 pF C_a 5,0 pF $C_{a/g1}$ <0,1 pF $C_{a/g3}$ <0,25 pF $C_{g1/g3}$ 0,3 pF Mezi systémy $C_{g1H/g1T}$ <0,005 pF $C_{g1H/aT}$ <0,01 pF Trioda C_{g1} 3,3 pF C_a 1,7 pF $C_{a/g1}$ 1,8 pF Údaje heptody U_A 14 V U_{G3} 0 V U_{G2+G4} 14 V U_{G1} -2,4 V I_{AZ} <20 μA U_A 14 V U_{G2+G4} 14 V U_{G3} -2,2 V U_{G1} 0 V I_{AZ} <20 μA	Heptoda U_{AO} 550 V U_A 100 V P_{AR} 0,5 W U_{G2+G40} 550 V U_{G2+G4} 50 V U_{G2+G4} >6 V P_{G2+G4R} 0,5 W I_K 8 mA $-U_{G1M}$ 100 V $-U_{G3M}$ 150 V R_{g1} 3 MΩ R_{g3} 3 MΩ $U_{K/F}$ 100 V $R_{k/f}$ 20 kΩ Trioda U_{AO} 550 V U_A 250 V P_{AR} 1,5 W I_K 20 mA $-U_{G1M}$ 200 V $R_{g1(p)}$ 2 MΩ $R_{g1(k)}$ 3 MΩ $U_{K/F}^{1)}$ 170 V $R_{k/f}$ 20 kΩ
		Heptoda U_A 14 V U_{G3} 0 V U_{G2} 14 V U_{G1} 0 V I_A 1,5 mA I_{G2+G4} 1,3 mA U_A 14 V U_{G2+G4} 14 V $+I_{G1}$ 100 μA $+I_{G3}$ 1 μA I_A 750 μA Trioda U_A 130 V R_k 110 Ω I_A 9 mA S 8,8 mA/V μ 50 I_{AZ} ($U_A = 200$ V, $U_{G1} = -11$ V) <0,1 mA	Trioda U_A 14 V U_{G2+G4} 14 V U_{G1} -2,7 V I_{AZ} <20 μA U_A 14 V U_{G2+G4} 14 V I_{AZ} <20 μA $-U_{G3}$ <2,3 V	

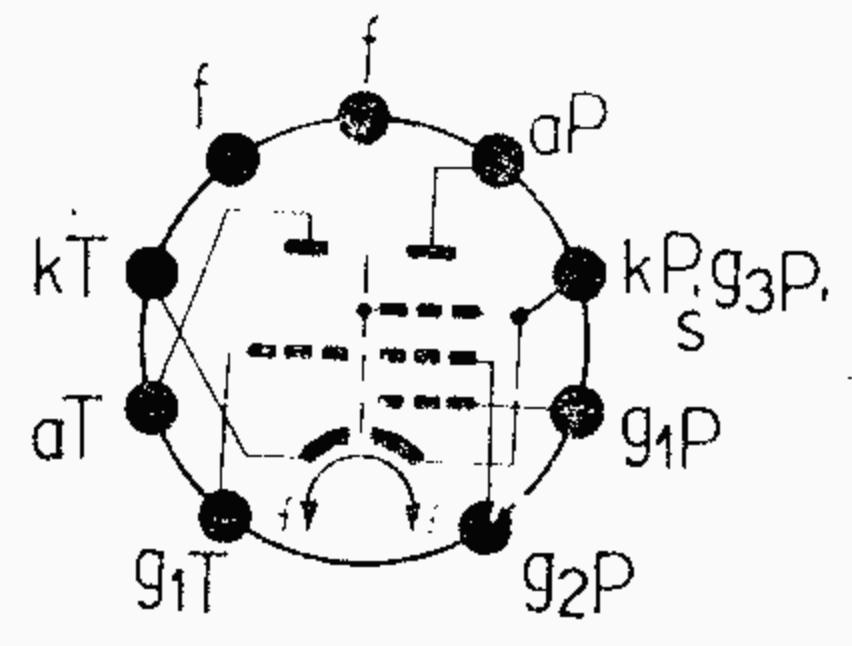
trioda - heptoda
oddělovač a zesilovač
synchronizačních impulsů.

¹⁾ Max ss složka 70 V, stř. složka 100 V.

Typ Použití	Rozměry Patice	Žhavení	Provozní hodnoty	Mezní hodnoty
		Statické hodnoty		
PCL82	Velikost N 5	I_F 0,3 A U_F 16 V t_f <20 s nepřímé žhavení 	Pentoda Nf zesilovač výkonu třídy A U_A 170 200 200 V U_{G2} 170 170 200 V U_{G1} -11,5 -12,5 -16 V I_A 41 35 35 mA I_{G2} 8 6,5 7 mA R_a 3,9 5,6 5,6 kΩ $U_{G1\ ef}$ 6 5,8 6,6 V P_o 3,3 3,4 3,5 W k 10 10 10 % Dvojčinný nf zesilovač třídy AB U_A 170 200 V U_{G2} 170 200 V R_k 135 165 Ω I_{AO} 2×33 2×35 mA I_A 2×37 2×38 mA I_{G2o} 2×6,2 2×6,5 mA I_{G2} 2×15 2×16,5 mA $R_{a-a'}$ 5 5 kΩ $U_{G1\ ef}$ 9 10,9 V P_o 7 9 W k 4 4,8 % Trioda U_A 100 V U_{G1} 0 V I_A 3,5 mA S 2,5 mA/V μ 70	Pentoda U_{AO} 900 V U_A 600 V $+U_{AM}^{1)}$ 2500 V $-U_{AM}$ 500 V $P_{AR} (U_A > 250\text{ V})$ 5 W $P_{AR} (U_A < 250\text{ V})$ 7 W U_{G2O} 550 V U_{G2} 300 V P_{G2OR} 1,8 W P_{G2R} 3,2 W I_K 50 mA $R_{g1(p)}$ 1 MΩ $R_{g1(k)}$ 2 MΩ $U_{K/F}$ 200 V $R_{k/f}$ 20 kΩ
trioda - pentoda pentoda: nf zesilovač výkonu, koncový stupeň vertikálního zesilovače trioda: nf zesilovač				

Typ Použití	Rozměry Patice	Žhavení	Provozní hodnoty	Mezní hodnoty																																																																																										
		Statické hodnoty																																																																																												
PCL82		Kapacity Pentoda C_{g1} 9,3 pF C_a 8 pF $C_{a/g1}$ <0,3 pF Trioda C_{g1} 3 pF C_a 4,3 pF $C_{a/g1}$ 4,5 pF Mezi systémy $C_{gT/aP}$ <0,02 pF	Koncový stupeň vertikál. vychylování Zapojení má být dimenzováno tak, aby při buzení byl $I_{AM} = 85$ mA při $U_A = 50$ V, $U_{G2} = 170$ V. Anodový proud průměrné nové elektronky: $I_{AM} = 135$ mA při $U_A = 50$ V, $U_{G2} = 170$ V, U_{G1} naříditi na $I_{G1} = +0,3$ μ A. Trioda: Nf odporový zesilovač <table><tr><td>U_B</td><td>170</td><td>200</td><td>170</td><td>200</td><td>V</td></tr><tr><td>R_a</td><td>220</td><td>220</td><td>220</td><td>220</td><td>kΩ</td></tr><tr><td>R_{g1}</td><td>3</td><td>3</td><td>22</td><td>22</td><td>MΩ</td></tr><tr><td>$R_{g1'}$</td><td>700</td><td>700</td><td>700</td><td>700</td><td>kΩ</td></tr><tr><td>R_k</td><td>2700</td><td>2200</td><td>0</td><td>0</td><td>Ω</td></tr><tr><td>I_A</td><td>0,43</td><td>0,52</td><td>0,5</td><td>0,61</td><td>mA</td></tr><tr><td>$U_{a\ ef}$</td><td>25</td><td>26</td><td>20</td><td>25</td><td>V</td></tr><tr><td>V</td><td>51</td><td>52</td><td>53</td><td>55</td><td></td></tr><tr><td>k</td><td>2,3</td><td>1,6</td><td>1,4</td><td>1,4</td><td>%</td></tr></table> Oscilátor: Zapojení je nutno dimenzovat tak, aby I_{AM} nepřekročil 100 mA. Tím budou respektovány stanovené tolerance i úbytek emise během doby života elektronky. Do mřížkového a anodového obvodu se doporučuje vložit nepřemostěné odpory, jimiž se omezí vzniklé špičkové proudy.	U_B	170	200	170	200	V	R_a	220	220	220	220	k Ω	R_{g1}	3	3	22	22	M Ω	$R_{g1'}$	700	700	700	700	k Ω	R_k	2700	2200	0	0	Ω	I_A	0,43	0,52	0,5	0,61	mA	$U_{a\ ef}$	25	26	20	25	V	V	51	52	53	55		k	2,3	1,6	1,4	1,4	%	Trioda <table><tr><td>U_{AO}</td><td>550</td><td>V</td></tr><tr><td>U_A</td><td>300</td><td>V</td></tr><tr><td>$U_{AM}^{1)}$</td><td>600</td><td>V</td></tr><tr><td>P_{AR}</td><td>1</td><td>W</td></tr><tr><td>I_K</td><td>15</td><td>mA</td></tr><tr><td>$I_{KM}^{1)}$</td><td>250</td><td>mA</td></tr><tr><td>$R_{g1(p)}$</td><td>1</td><td>MΩ</td></tr><tr><td>$R_{g1(k)}$</td><td>3</td><td>MΩ</td></tr><tr><td>$R_{g1(i)}$</td><td>22</td><td>MΩ</td></tr><tr><td>$Z_{g1}(50\text{ Hz})$</td><td>0,5</td><td>MΩ</td></tr><tr><td>$U_{K/F}$</td><td>200</td><td>V</td></tr><tr><td>$R_{k/f}$</td><td>20</td><td>kΩ</td></tr></table> <div>1) Max 4 % periody, ne déle 0,8 ms.</div>	U_{AO}	550	V	U_A	300	V	$U_{AM}^{1)}$	600	V	P_{AR}	1	W	I_K	15	mA	$I_{KM}^{1)}$	250	mA	$R_{g1(p)}$	1	M Ω	$R_{g1(k)}$	3	M Ω	$R_{g1(i)}$	22	M Ω	$Z_{g1}(50\text{ Hz})$	0,5	M Ω	$U_{K/F}$	200	V	$R_{k/f}$	20	k Ω
		U_B	170	200	170	200	V																																																																																							
R_a	220	220	220	220	k Ω																																																																																									
R_{g1}	3	3	22	22	M Ω																																																																																									
$R_{g1'}$	700	700	700	700	k Ω																																																																																									
R_k	2700	2200	0	0	Ω																																																																																									
I_A	0,43	0,52	0,5	0,61	mA																																																																																									
$U_{a\ ef}$	25	26	20	25	V																																																																																									
V	51	52	53	55																																																																																										
k	2,3	1,6	1,4	1,4	%																																																																																									
U_{AO}	550	V																																																																																												
U_A	300	V																																																																																												
$U_{AM}^{1)}$	600	V																																																																																												
P_{AR}	1	W																																																																																												
I_K	15	mA																																																																																												
$I_{KM}^{1)}$	250	mA																																																																																												
$R_{g1(p)}$	1	M Ω																																																																																												
$R_{g1(k)}$	3	M Ω																																																																																												
$R_{g1(i)}$	22	M Ω																																																																																												
$Z_{g1}(50\text{ Hz})$	0,5	M Ω																																																																																												
$U_{K/F}$	200	V																																																																																												
$R_{k/f}$	20	k Ω																																																																																												

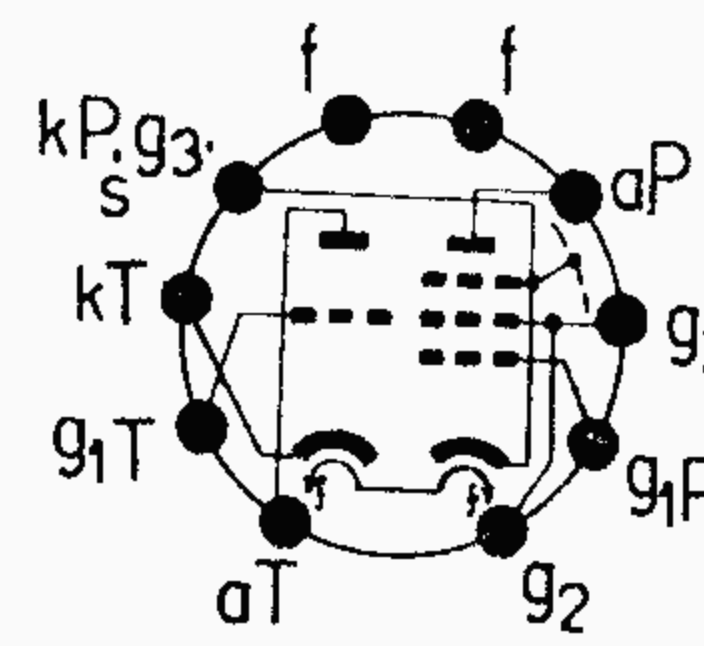
¹⁾ Max 4 % periody,
ne déle 0,8 ms.

Typ Použití	Rozměry Patice	Žhavení	Provozní hodnoty				Mezní hodnoty		
		Statické hodnoty							
PCL84	Velikost N 4	I_F 0,3 A U_F 15 V nepřímé žhavení ●	Koncový stupeň obrazového zesilovače				Trioda		
		U_B 170 200 220 V R_a 3 3 3 kΩ U_{G2} 170 200 220 V U_{G1} -2 -2,8 -3,3 V I_A 18 18 18 mA I_{G2} 3,2 3,1 3,1 mA S 10,4 10 9,7 mA/V	U_{AO} ±500 V U_A ±250 V $U_{AM}^{1)}$ 600 V P_{AR} 1 W I_K 12 mA $R_{g1(p)}$ 1 MΩ $R_{g1(k)}$ 3 MΩ $U_{-K/F+}$ 150 V $U_{+K/F-}$ 200 V +150 V _{ef} $R_{k/f}$ 20 kΩ						
		Trioda U_A 200 V U_{G1} -1,7 V I_A 3 mA S 4 mA/V μ 65 $i_{AZ} (U_{G1} = -4 V)$ <0,6 mA	Kapacity:						
		Pentoda U_A 200 V U_{G2} 200 V U_{G1} -2,9 V I_A 18 mA I_{G2} 3 mA S 10,4 mA/V $\mu_{g2/g1}$ 36 r_i >130 kΩ $i_{AZ} (U_{G1} = -8 V)$ <1,3 mA	Pentoda C_{g1} 9 pF C_a 4,5 pF $C_{a/g1}$ <0,1 pF				Trioda C_{g1} 4 pF C_a 2,3 pF $C_{a/g1}$ 2,7 pF $C_{g1/f}$ >0,045 pF <0,1 pF		
trioda - pentoda s oddělenými katodami, trioda pro obvody setrvač- níkové synchronizace, pentoda pro koncové stup- ně obrazových zesilovačů.			Mezi systémy $C_{aT/g1P}$ <0,01 pF $C_{g1T/g1P}$ <0,01 pF				Pentoda U_{AO} 550 V U_A 250 V P_{AR} 4 W U_{G20} 550 V U_{G2} 250 V P_{G2R} 1,7 W I_K 40 mA $R_{G1(p)}$ 1 MΩ $R_{g1(k)}$ 2 MΩ $U_{K/F}$ 200 V $R_{k/f}$ 20 kΩ		
			1) Max 18 % perody, ne déle 18 μs.						

Typ Použití	Rozměry Patice	Žhavení	Provozní hodnoty	Mezní hodnoty
		Statické hodnoty		
PCL85	Velikost N 5	I_F 0,3 A	Koncový stupeň zesilovače pro verti- kální vychylování. Hodnoty napětí a proudu při max vy- buzení: Anodový proud špičkový – I_{AM} : Aby se při návrhu obvodu počítalo s tolerancemi a poklesem charakte- ristických hodnot elektronek během životnosti a poklesem síťového napětí o 10 %, má být zapojení navrženo pro nejvyšší hodnotu anodového špič- kového proudu jako 60 % charakte- ristické hodnoty při předpětí $U_{G1} = -1$ V a takovém napětí stínící mřížky, které při podpětí 10 % v zamyšleném ob- vodu je k dispozici. Minimální anodové napětí – U_A min.: Aby se zamezilo přetížení stínící mříž- ky, má být zapojení navrženo tak, že i při úbytku síťového napětí o 10 % minimum anodového napětí U_A na konci vychýlení obrazu v zapojení pou- žité napětí stínící mřížky nebude nižší než minimální mezní anodové napětí. Pokračování na str. 121.	Pentoda
		U_F 18 V		U_{AO} 550 V
		t_f <19 s		U_A 250 V
		nepřímé žhavení		$U_{A \min}$
		●		$U_{G2} = 150$ V >40 V
		Pentoda		$U_{G2} = 190$ V >52 V
		U_A 50 V		$U_{AM}^{3)}$ 2000 V
		U_{G2} 170 V		P_{AR} 7 W
		U_{G1} -1 V		$P_{AR}^{4)}$ 9 W
		I_{AM} 200 mA		U_{G20} 550 V
		I_{G2M} 35 mA		U_{G2} 250 V
		U_A 185 V		P_{G2R} 1,5 W
		U_{G2} 185 V		$P_{G2R}^{4)}$ 2 W
		R_k 340 Ω		I_K 75 mA
		I_A 45 mA		$R_{g1(p)}$ 1 M Ω
		I_{G2} <4,5 mA		$R_{g1(k)}$ 2,2 M Ω
		S 7,5 mA/V		$U_{K/F}$ 200 V
		Trioda		$R_{k/f}$ 20 k Ω
		U_A 100 V		Trioda
		R_k 160 Ω		U_{AO} 550 V
		I_A 5 mA		U_A 250 V
		S 5,5 mA/V		P_{AR} 0,5 W
		μ 50		I_K 15 mA
		r_i 9 k Ω		$I_{KM}^{1)}$ 100 mA
				$I_{KM}^{2)}$ 200 mA

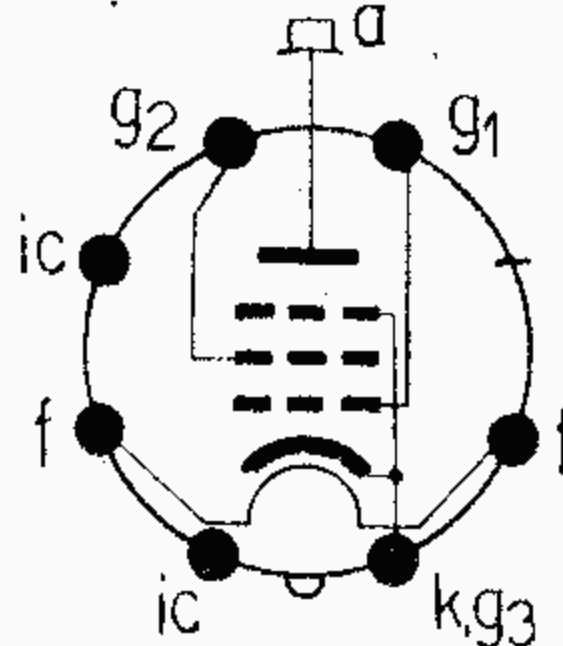
Typ Použití	Rozměry Patice	Žhavení	Provozní hodnoty			Mezní hodnoty		
		Statické hodnoty						
PCL86	Velikost N 5	I_F 0,3' A U_F 14,5 V nepřímé žhavení ●	Trioda jako nf odporový zesilovač			Trioda		
		Trioda U_A 230 V U_{G1} -1,7 V I_A 1,2 mA S 1,6 mA/V μ 100	U_B 200 230 V R_a 220 220 kΩ $R_{g1'}$ 10 10 MΩ $R_{g1'}$ 680 680 kΩ R_{gen} 47 47 kΩ I_A 0,42 0,52 mA $U_{a\ ef}$ 3,2 3,2 V V 66 68 k 0,6 0,5 %	U_{AO} 550 V U_A 250 V P_{AR} 0,5 W I_K 4 mA $R_{g1\ (p)}$ 1 MΩ $R_{g1\ (k)}$ 2 MΩ $R_{g1\ (i)}$ 22 MΩ $U_{K/F}$ 100 V $R_{k/f}$ 20 kΩ				
		Pentoda U_A 230 V U_{G2} 230 V U_{G1} 5,7 V I_A 39 mA I_{G2} 6,5 mA S 10,5 mA/V $\mu_{g2/g1}$ 21 r_i 45 kΩ	Pentoda jako nf zesilovač výkonu tř. A U_A 200 230 V U_{G2} 200 230 V R_k 67 115 Ω R_a 4,7 5,1 kΩ I_{AO} 46 40 mA I_A 46,5 42 mA I_{G20} 7,6 6,7 mA I_{G2} 8,8 11,4 mA $U_{G1\ ef}$ 1,9 3,3 V P_o 2 4 W k 4 10 %	Pentoda U_{AO} 550 V U_A 250 V P_{AR} 9 W U_{G20} 550 V U_{G2} 250 V P_{G2OR} 1,5 W P_{G2R} 3 W I_K 55 mA $R_{g1\ (k)}$ 1 MΩ $U_{K/F}$ 100 V $R_{k/f}$ 20 kΩ				
		trioda - pentoda s oddělenými katodami nf zesilovač napětí, zesilovač výkonu tř. A, AB						

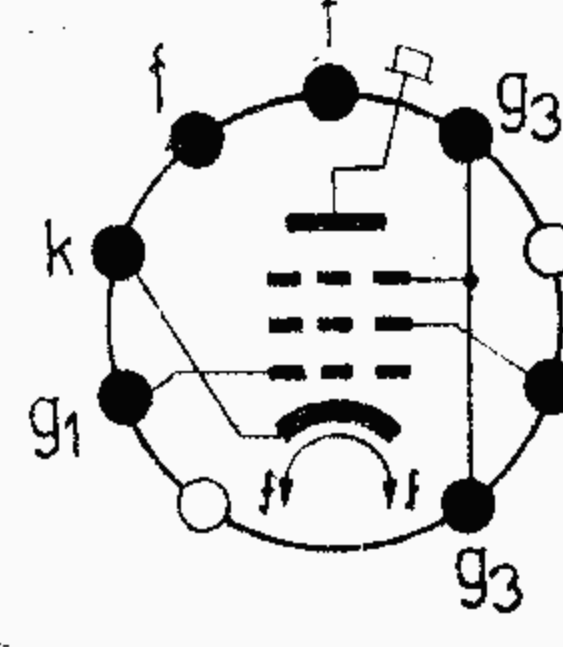
Typ Použití	Rozměry Patice	Žhavení	Provozní hodnoty	Mezní hodnoty
		Statické hodnoty		
PCL86			Kapacity: 1) Trioda C_{g1} 2,3 pF C_a 2,5 pF $C_{a/g1}$ 1,6 pF $C_{g1/f}$ <0,006 pF Pentoda C_{g1} 10 pF $C_{a/g1}$ <0,4 pF $C_{g1/f}$ <0,2 pF	Mezi systémy: $C_{g1T/aP}$ <0,01 pF $C_{aT/g1P}$ <0,2 pF $C_{aT/aP}$ <0,15 pF $C_{g1T/g1P}$ <0,02 pF $C_{g1T/aP^2)}$ <0,002 pF 1) Bez stínícího krytu. 2) Se stínícím krytem Ø 22,5 mm
PCL85			Kapacity: $C_{aP/g1P}$ <0,6 pF $C_{g1P/f}$ <0,2 pF $C_{gT/f}$ <0,15 pF $C_{aT/g1P}$ <0,08 pF $C_{g1T/aP}$ <0,03 pF	$R_{g1(p)}$ 1 MΩ $R_{g1(k)}$ 3,3 MΩ $U_{K/F}$ ±200 V $R_{k/f}$ 20 kΩ 1) Max 4 % periody, max 0,8 ms 2) Max 2 % periody, max 0,4 ms 3) Max 5 % periody, max 1 ms 4) Absolutní maximum

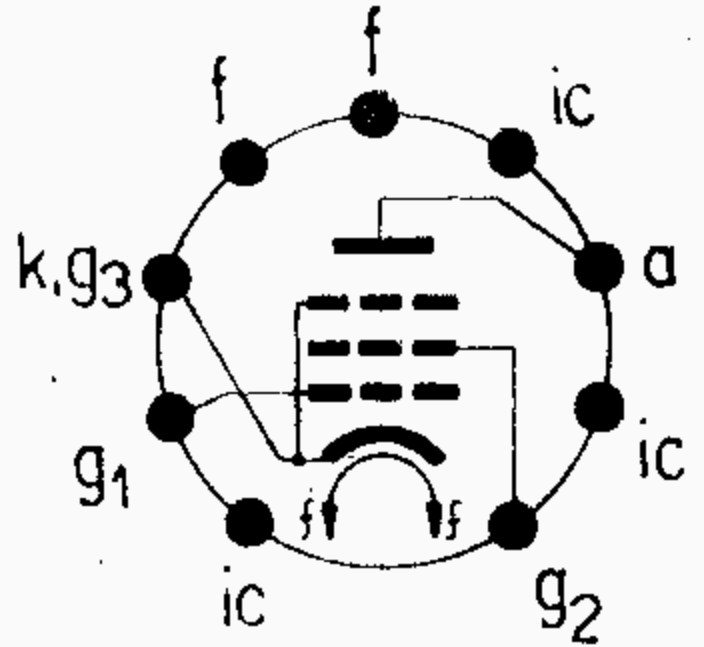
Typ Použití	Rozměry Patice	Žhavení	Provozní hodnoty			Mezní hodnoty					
		Statické hodnoty									
PCL200	Velikost NA 62	I_F 0,3 A U_F 15,5 V t_f <19 s nepřímé žhavení ●	Pentoda jako obrazový zesilovač			Trioda					
		U_{BA} 200 220 V U_{BG2} 200 220 V R_a 2,7 3,6 kΩ R_k 18 30 Ω I_K ($U_{G1M} = 0$) 62 55 mA $U_{G1M/M}$ ($U_{AM/M} = 100$ V) 2,9 2,8 V	Trioda U_A 200 V R_k 175 Ω I_A 8,5 mA S 5,2 mA/V μ 55 I_{AZ} ($U_{G1} = -12$ V) <0,1 mA			Trioda $U_{AM}^{1)}$ 600 V U_{AO} 550 V U_A 250 V P_{AR} 1,7 W I_K 15 mA $R_{g1(p)}$ 0,5 MΩ $U_{K/F}$ 200 V					
		Pentoda	Kapacity:			Pentoda					
		U_A 150 V U_{G2} 220 V R_k 44 Ω I_A 40 mA I_{G2} 8 mA S 28 mA/V r_i 22 kΩ I_{AZ} ($U_{G1} = -14$ V) <0,2 mA	Pentoda C_{g1} 14,5 pF C_a 5,8 pF $C_{a/g1}$ 0,07 pF			Trioda C_{g1} 3,2 pF C_a 4,4 pF $C_{a/g1}$ 2,5 pF			Pentoda U_{AO} 550 V U_A 250 V P_{AR} 6 W U_{G2O} 550 V U_{G2} 250 V P_{G2R} 2,5 W I_K 85 mA $R_{g1(p)}$ 0,5 MΩ $U_{K/F}^{2)}$ 200 V		
trioda - pentoda s oddělenými katodami, trioda pro obvody klíčová- ného samočinného řízení, pentoda pro koncové stup- ně obrazových zesilovačů.			Mezi systémy:						1) I_A <0,1 mA; max 18 % periody, max 18 μs. 2) ss složka max 100 V.		
			$C_{aP/aT}$ <0,2 pF $C_{g1P/gT}$ <0,01 pF $C_{aT/g1P}$ <0,015 pF $C_{aP/g1T}$ <0,05 pF								

Typ Použití	Rozměry Patice	Žhavení Statické hodnoty	Provozní hodnoty	Mezní hodnoty
PCL805 ECL805	Velikost NA 62	I_F 0,3 A U_F 17,5 V t_f 10...19 s nepřímé žhavení ● Pentoda ¹⁾ U_{AP} 65 V U_{G2} 210 V U_{G1} -40 V U_{G1M} 39 V I_{AM} 285 >220 mA I_{G2M} 45 mA Trioda U_{BAT} 100 V R_k 170 Ω I_A 5 mA S 5,5 mA/V μ 60 r_i 11 kΩ Dodává se též jako ECL805 U_F 6,3 V I_F 0,875 A	1. Trvání pulsu max. 22 % periody, f = 50 až 400 Hz. 2. Trvání pulsu max. 4 % periody, max. 0,8 ms. 3. Tato hodnota nesmí být překročena u nominální elektronky ani v nej- nepříznivějším případě. 4. V zapojení se stabilizačním obvo- dem. 5. Trvání pulsu max. 2 % periody, max. 0,4 ms. 6. Během doby nažhavení může být stejnoseměrná složka $U_{+K/F}$ max. 315 V. Kapacity: $C_{gT/aP}$ <0,03 pF $C_{g1P/aT}$ <0,08 pF $C_{aP/g1P}$ <0,6 pF ECL805 $U_{K/F}$ max. 100 V ⁶⁾	Pentoda: U_{AO} 550 V U_A 300 V $U_{AM}^{2)}$ 2 kV P_{AR} 8 W $P_{AR}^{3)}$ 10,5 W U_{G2O} 550 V U_{G2} 250 V P_{G2R} 1,5 W $P_{G2R}^{3)}$ 2 W $R_{g1(p)}$ 1 MΩ $R_{g1(k)}^{4)}$ 2,2 MΩ I_K 75 mA $U_{K/F}$ 200 V $R_{k/f}$ 20 kΩ Trioda: U_{AO} 550 V U_A 300 V P_{AR} 0,5 W I_K 15 mA $I_{KM}^{2)}$ 100 mA $I_{KM}^{5)}$ 200 mA $R_{g1(p)}$ 1 MΩ $R_{g1(k)}$ 3,3 MΩ $U_{K/F}^{6)}$ 200 V

Trioda - koncová pentoda.
Trioda pro snímkový osci-
látor, pušný zesilovač,
pentoda jako koncový stu-
peň snímkového rozkladu
v tv přijímačích.

Typ Použití	Rozměry Patice	Žhavení	Provozní hodnoty	Mezní hodnoty
		Statické hodnoty		
PL36	Velikost O 4	I_F 0,3 A U_F 25 V t_f 20 s nepřímé žhavení 	Koncový zesilovač pro horizontální vychylování: S ohledem na stanovené tolerance a pokles emise během provozu má být zapojení dimenzováno tak, aby I_{AM} se pohyboval na 75 % uvedené hodnoty: U_A 70 170 V U_{G2} 170 170 V U_{G1} -1 -1 V $I_{AM}^{1)}$ 500 550 mA U_A 170 V U_{G2} 170 V U_{G1} -21 V I_A 100 mA I_{G2} 8 mA S 11 mA/V $\mu_{g2/g1}$ 5,6 r_i 5,5 k Ω I_{AZ} ($U_{G1} = -60$ V) <1 mA Kapacity: C_{g1} 18 pF C_a 8 pF $C_{a/g1}$ <1,1 pF U_{AO} 550 V U_A 250 V $+U_{AM}^{1)}$ 7 kV $-U_{AM}^{1)}$ -1,5 kV P_{AR} 10 W U_{G20} 550 V U_{G2} 250 V $P_{G2}^{3)}$ 4 W $P_{AR} + P_{G2R}^{2)}$ 13 W I_K 200 mA R_{g1} 0,5 M Ω $R_{k/f}$ 20 k Ω $U_{-K/F+}$ 200 V $U_{+K/F-}$ 250 V	1) Proud nové elektronky. 2) Jako zesilovač pro horizontální vychylování. 3) Během nažhavení spínací diody. P_{G2R} max 7 W.
		výkonová pentoda pro koncové stupně zesilovačů pro řádkové vychylování.		

Typ Použití	Rozměry Patice	Žhavení	Provozní hodnoty	Mezní hodnoty
		Statické hodnoty		
PL81	Velikost N 5	I_F 0,3 A U_F 21,5 V t_f <30 s nepřímé žhavení 	Koncový stupeň zesilovače pro řádkové vychylování. S ohledem na stanovené tolerance a pokles emisního proudu během životnosti má být obvod dimenzován tak, aby I_{AM} nepřevýšil udanou mez. U_A 70 70 V U_{G2} 170 200 V U_{G1} -1 -1 V I_{AM} <350 <420 mA*) I_{AM} <250 <310 mA *) Nové elektronky. Nf dvojčinný zesilovač tř. B U_A 170 200 V U_{G3} 0 0 V U_{G2} 170 200 V U_{G1} -27 -31,5 V R_{g2} 1 1 k Ω $R_{a-a'}$ 2,5 2,5 k Ω $U_{G1 ef}$ 19 22,5 V i_{AO} 2×20 2×25 mA I_A 2×73 2×87 mA I_{G20} 2×1,5 2×2 mA I_{G2} 2×10 2×12,5 mA P_o 13,5 20 W k 5,5 5,5 %	U_{AO} 550 V U_A 250 V $+U_{AM}^{1)}$ 7 kV P_{AR} 8 W U_{G3} 0 V U_{G20} 550 V U_{G2} 250 V $P_{G2R}^{2)}$ 4,5 W $P_{G2R}^{3)}$ 6 W $P_{AR} + P_{G2R}$ 10 W I_K 180 mA $U_{K/F}$ 200 V $R_{k/f}$ 20 k Ω R_{g1} 0,5 M Ω t_{ip} 18 μ s t_{ip}/T 1 : 4,5 1) Max 18 % periody, ne déle než 18 μ s. 2) Koncový stupeň zesilovače pro řádkové vychylování. 3) Po dobu nažhavení.
		U_A 170 V U_{G3} 0 V U_{G2} 170 V U_{G1} -22 V I_A 45 mA I_{G2} 3,3 mA S 6,2 mA/V $\mu_{g2/g1}$ 5,5 r_i 10 k Ω I_{AZ} ($U_{G1} = -35$ V) <12 mA Kapacity: C_{g1} 16 pF C_a 7 pF $C_{a/g1}$ <0,8 pF $C_{a/k}$ <0,1 pF $C_{g1/f}$ <0,2 pF koncová pentoda pro horizontální vychylovací stupně v televizních přijímačích a nf dvojčinné zesilovače.		

Typ Použití	Rozměry Patice	Žhavení	Provozní hodnoty		Mezní hodnoty																																																																																															
		Statické hodnoty																																																																																																		
PL82	Velikost N 5	<div></div>	<div><table><tr><td>I_F</td><td>0,3</td><td>A</td></tr><tr><td>U_F</td><td>16,5</td><td>V</td></tr><tr><td>t_f</td><td>15</td><td>s</td></tr></table>nepřímé žhavení</div>	I_F	0,3	A	U_F	16,5	V	t_f	15	s	<div><table><tr><td colspan="2">Nf zesilovač třídy A</td><td colspan="2">Nf dvojitý zesilovač tř. A</td></tr><tr><td>$U_A = U_B$</td><td>170 200</td><td>V</td><td></td></tr><tr><td>U_{G2}</td><td>170</td><td>—</td><td>V</td></tr><tr><td>R_{g2}</td><td>—</td><td>680</td><td>Ω</td></tr><tr><td>R_k</td><td>165 260</td><td>Ω</td><td></td></tr><tr><td>I_{G2}</td><td>10</td><td>8,5</td><td>mA</td></tr><tr><td>I_A</td><td>53</td><td>45</td><td>mA</td></tr><tr><td>$U_{G1\ ef}$</td><td>6</td><td>7</td><td>V</td></tr><tr><td>R_a</td><td>3</td><td>4</td><td>kΩ</td></tr><tr><td>P_o</td><td>4</td><td>4,2</td><td>W</td></tr><tr><td>k</td><td>10</td><td>10</td><td>%</td></tr></table></div>	Nf zesilovač třídy A		Nf dvojitý zesilovač tř. A		$U_A = U_B$	170 200	V		U_{G2}	170	—	V	R_{g2}	—	680	Ω	R_k	165 260	Ω		I_{G2}	10	8,5	mA	I_A	53	45	mA	$U_{G1\ ef}$	6	7	V	R_a	3	4	k Ω	P_o	4	4,2	W	k	10	10	%	<div><table><tr><td>U_{AO}</td><td>550</td><td>V</td></tr><tr><td>$U_A (P_{AR} < 4,5\text{ W})$</td><td>450</td><td>V</td></tr><tr><td>U_A</td><td>250</td><td>V</td></tr><tr><td>$+U_{AM}^{1)}$</td><td>2,5</td><td>kV</td></tr><tr><td>$-U_{AM}$</td><td>-500</td><td>V</td></tr><tr><td>P_{AR}</td><td>9</td><td>W</td></tr><tr><td>U_{G2O}</td><td>550</td><td>V</td></tr><tr><td>U_{G2}</td><td>250</td><td>V</td></tr><tr><td>P_{G2R}</td><td>2,5</td><td>W</td></tr><tr><td>I_K</td><td>75</td><td>mA</td></tr><tr><td>$R_{g1(k)}$</td><td>1</td><td>MΩ</td></tr><tr><td>$R_{g1(p)}$</td><td>0,4</td><td>MΩ</td></tr><tr><td>$U_{K/F}$</td><td>200</td><td>V</td></tr><tr><td>$R_{k/f}$</td><td>20</td><td>kΩ</td></tr></table></div>	U_{AO}	550	V	$U_A (P_{AR} < 4,5\text{ W})$	450	V	U_A	250	V	$+U_{AM}^{1)}$	2,5	kV	$-U_{AM}$	-500	V	P_{AR}	9	W	U_{G2O}	550	V	U_{G2}	250	V	P_{G2R}	2,5	W	I_K	75	mA	$R_{g1(k)}$	1	M Ω	$R_{g1(p)}$	0,4	M Ω	$U_{K/F}$	200	V	$R_{k/f}$	20	k Ω
		I_F	0,3	A																																																																																																
U_F	16,5	V																																																																																																		
t_f	15	s																																																																																																		
Nf zesilovač třídy A		Nf dvojitý zesilovač tř. A																																																																																																		
$U_A = U_B$	170 200	V																																																																																																		
U_{G2}	170	—	V																																																																																																	
R_{g2}	—	680	Ω																																																																																																	
R_k	165 260	Ω																																																																																																		
I_{G2}	10	8,5	mA																																																																																																	
I_A	53	45	mA																																																																																																	
$U_{G1\ ef}$	6	7	V																																																																																																	
R_a	3	4	k Ω																																																																																																	
P_o	4	4,2	W																																																																																																	
k	10	10	%																																																																																																	
U_{AO}	550	V																																																																																																		
$U_A (P_{AR} < 4,5\text{ W})$	450	V																																																																																																		
U_A	250	V																																																																																																		
$+U_{AM}^{1)}$	2,5	kV																																																																																																		
$-U_{AM}$	-500	V																																																																																																		
P_{AR}	9	W																																																																																																		
U_{G2O}	550	V																																																																																																		
U_{G2}	250	V																																																																																																		
P_{G2R}	2,5	W																																																																																																		
I_K	75	mA																																																																																																		
$R_{g1(k)}$	1	M Ω																																																																																																		
$R_{g1(p)}$	0,4	M Ω																																																																																																		
$U_{K/F}$	200	V																																																																																																		
$R_{k/f}$	20	k Ω																																																																																																		
		<div><table><tr><td>U_A</td><td>170</td><td>V</td></tr><tr><td>U_{G2}</td><td>170</td><td>V</td></tr><tr><td>U_{G1}</td><td>-10,4</td><td>V</td></tr><tr><td>I_A</td><td>53</td><td>mA</td></tr><tr><td>I_{G2}</td><td>10</td><td>mA</td></tr><tr><td>S</td><td>9</td><td>mA/V</td></tr><tr><td>$\mu_{g2/g1}$</td><td>10</td><td></td></tr><tr><td>r_i</td><td>20</td><td>kΩ</td></tr></table></div>	U_A	170	V	U_{G2}	170	V	U_{G1}	-10,4	V	I_A	53	mA	I_{G2}	10	mA	S	9	mA/V	$\mu_{g2/g1}$	10		r_i	20	k Ω	<div><p>Koncový zesilovač pro vertikální vychylování.</p><p>S ohledem na stanovené tolerance jednotlivých elektronek a pokles emise během doby života, se doporučuje dimenzovat zapojení tak, aby se nepřekročil předepsaný anodový proud.</p><table><tr><td>U_A</td><td>50</td><td>V</td><td>I_{AM}</td><td>≤ 90</td><td>mA</td></tr><tr><td>U_{G2}</td><td>170</td><td>V</td><td></td><td></td><td></td></tr></table></div>	U_A	50	V	I_{AM}	≤ 90	mA	U_{G2}	170	V				<div><p>$^{1)}$ Max 10 % periody, ne déle než 2 ms.</p><p>Kapacity</p><table><tr><td>C_{g1}</td><td>12,5</td><td>pF</td></tr><tr><td>C_a</td><td>5,5</td><td>pF</td></tr><tr><td>$C_{a/g1}$</td><td>$\leq 0,5$</td><td>pF</td></tr><tr><td>$C_{g1/f}$</td><td>$\leq 0,15$</td><td>pF</td></tr></table></div>	C_{g1}	12,5	pF	C_a	5,5	pF	$C_{a/g1}$	$\leq 0,5$	pF	$C_{g1/f}$	$\leq 0,15$	pF																																																
U_A	170	V																																																																																																		
U_{G2}	170	V																																																																																																		
U_{G1}	-10,4	V																																																																																																		
I_A	53	mA																																																																																																		
I_{G2}	10	mA																																																																																																		
S	9	mA/V																																																																																																		
$\mu_{g2/g1}$	10																																																																																																			
r_i	20	k Ω																																																																																																		
U_A	50	V	I_{AM}	≤ 90	mA																																																																																															
U_{G2}	170	V																																																																																																		
C_{g1}	12,5	pF																																																																																																		
C_a	5,5	pF																																																																																																		
$C_{a/g1}$	$\leq 0,5$	pF																																																																																																		
$C_{g1/f}$	$\leq 0,15$	pF																																																																																																		

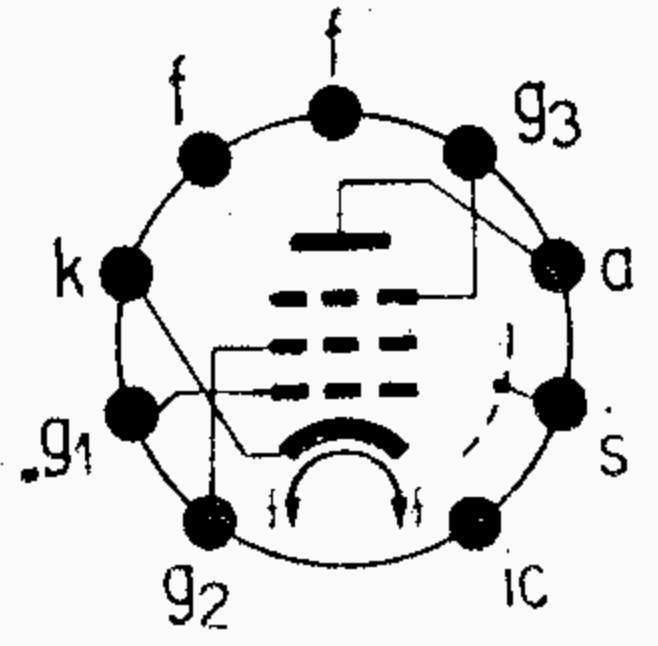
výkonová pentoda pro
nf koncové zesilovače,
koncové zesilovače
pro vertikální vychylování
v televizorech.

výkonová pentoda pro
nf koncové zesilovače,
koncové zesilovače
pro vertikální vychylování
v televizorech.

Koncový zesilovač pro vertikální vy-
chylování.

S ohledem na stanovené tolerance
jednotlivých elektronek a pokles emise
během doby života, se doporučuje
dimenzovat zapojení tak, aby se ne-
překročil předepsaný anodový proud.

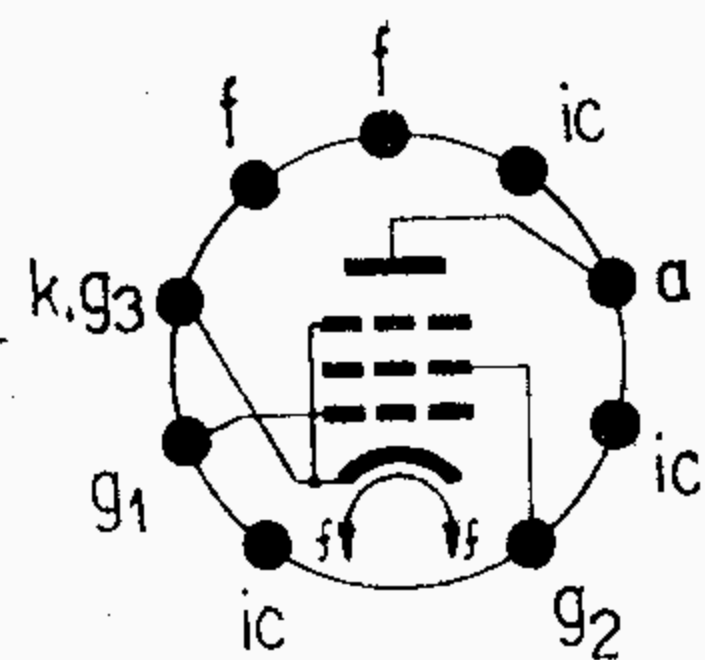
U_A 50 V $I_{AM} \leq 90$ mA
 U_{G2} 170 V

Typ Použití	Rozměry Patice	Žhavení Statické hodnoty	Provozní hodnoty	Mezní hodnoty
PL83	Velikost N 5	<div></div> <div>I_F 0,3 A U_F 15 V t_f <15 s nepřímé žhavení U_A 200 V U_{G3} 0 V U_{G2} 200 V U_{G1} -3,5 V I_A 36 mA I_{G2} 5 mA S 10,5 mA/V $\mu_{g2/g1}$ 24 r_i 100 kΩ I_{AZ} ($U_{G1} = -12$ V) <1,5 mA</div>	<div>Obrazový zesilovač</div> <div>U_B 170 200 V U_{G3} 0 0 V U_{G2} 170 200 V R_k 500 500 Ω R_a 5 5 kΩ I_A 8,4 10,4 mA I_{G2} 1,8 2 mA</div> <div>Kapacity:</div> <div>C_{g1} 10,8 pF C_a 6,6 pF $C_{a/g1}$ $\leq 0,1$ pF $C_{g1/f}$ $\leq 0,15$ pF</div>	<div>U_{AO} 550 V U_A 250 V P_{AR} 9 W U_{G2O} 550 V U_{G2} 250 V P_{G2R} 2 W $R_{g1(k)}$ 1 MΩ $R_{g1(p)}$ 0,5 MΩ I_K 70 mA $U_{K/F}$ ¹⁾ 200 V $R_{k/f}$ 20 kΩ</div> <div>¹⁾ ss složka max 150 V</div>
strmá pentoda pro koncové stupně široko- pásmových a obrazových zesilovačů.				

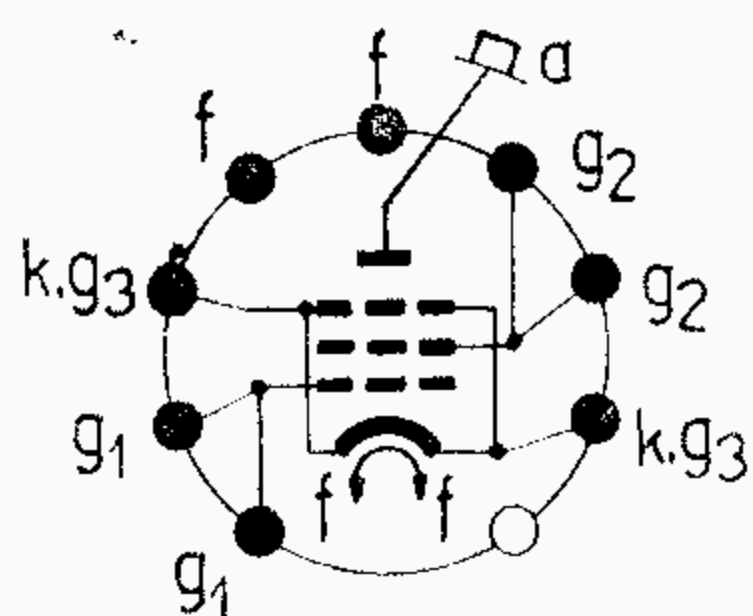
strmá pentoda pro
koncové stupně široko-
pásmových a obrazových
zesilovačů.

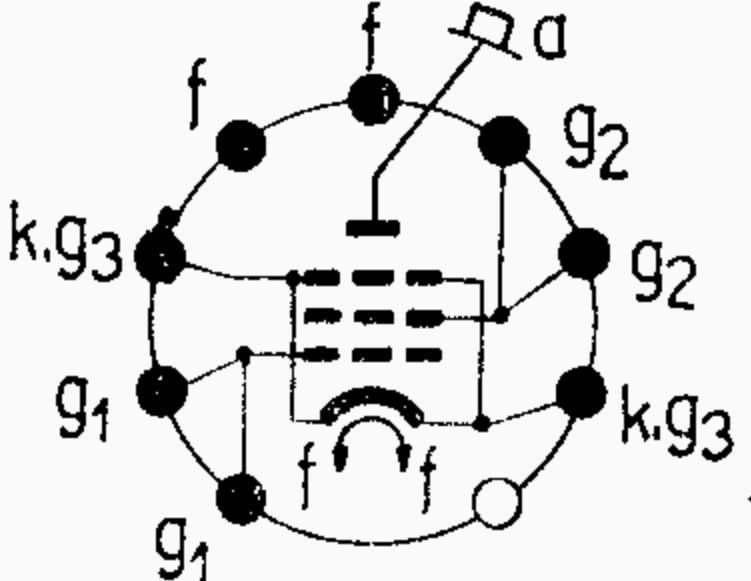

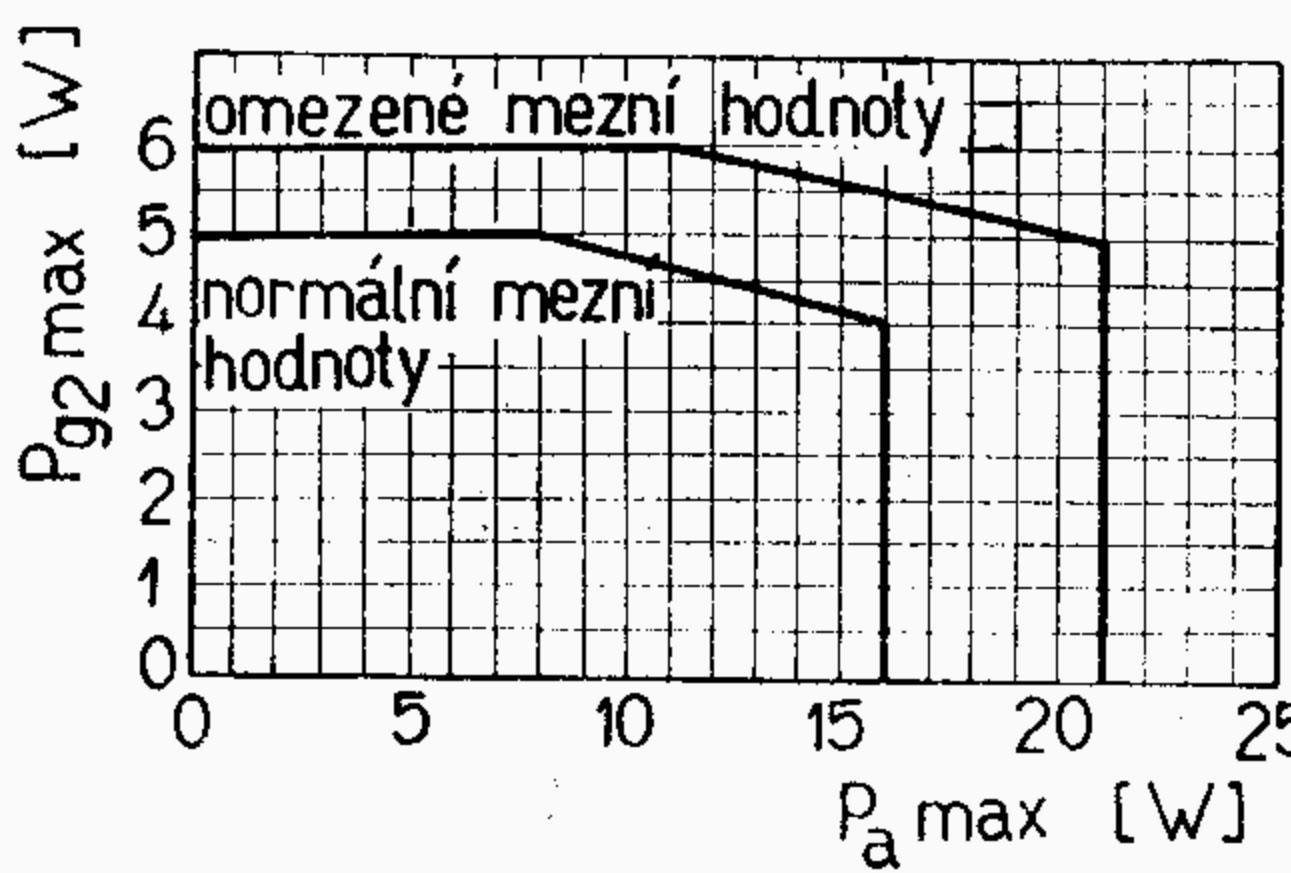
Typ Použití	Rozměry Patice	Žhavení		Provozní hodnoty			Mezní hodnoty		
		Statické hodnoty							
PL84	Velikost N 5	I_F 0,3 A		Nf zesilovač výkonu třídy A					
		U_F 15 V		$U_B = U_A$ 170 200 V			U_{AO} 550 V		
		t_f 13 s		R_{g2} 0 500 Ω			U_A 250 V		
		nepřímé žhavení		U_{G2} 170 200 V			P_{AR} 12 W		
		●		U_{G1} -12,5 -17,3 V			U_{G2O} 550 V		
		U_A 170 V		I_A 70 60 mA			U_{G2} 200 V		
		U_{G2} 170 V		I_{G2} 5 4,1 mA			P_{G2OR} 1,75 W		
		U_{G1} -12,5 V		R_a 2,4 2,4 k Ω			P_{G2R} 6 W		
		I_A 70 mA		$U_{G1\ ef}$ 7 7,8 V			I_K 100 mA		
		I_{G2} 5 mA		P_o 5,6 5,2 W			$R_{g1\ (k)}$ 1 M Ω		
S 10 mA/V		k 10 10 %			$U_{K/F}$ 200 V				
$\mu_{g2/g1}$ 8		Nf dvojčinný zesilovač výkonu třídy			Kapacity				
r_i 23 k Ω		AB B			C_{g1} 12 pF				
		U_A 170 170 V			C_a 6 pF				
		U_{G2} 170 170 V			$C_{a/g1}$ <1 pF				
		R_k 120 0 Ω							
		U_{g1} - -20,5 V							
		I_{AO} 2×56,5 2×15 mA							
		I_A 2×57,5 2×57,5 mA							
		I_{G2o} 2×3 2×0,7 mA							
		I_{G2} 2×20,5 2×20,5 mA							
		$U_{G1\ ef}$ 13,1 14,6 V							
		R_{a-a} 3,5 3,5 k Ω							
		P_o 13 13,5 W							
		k 4,5 4,8 %							

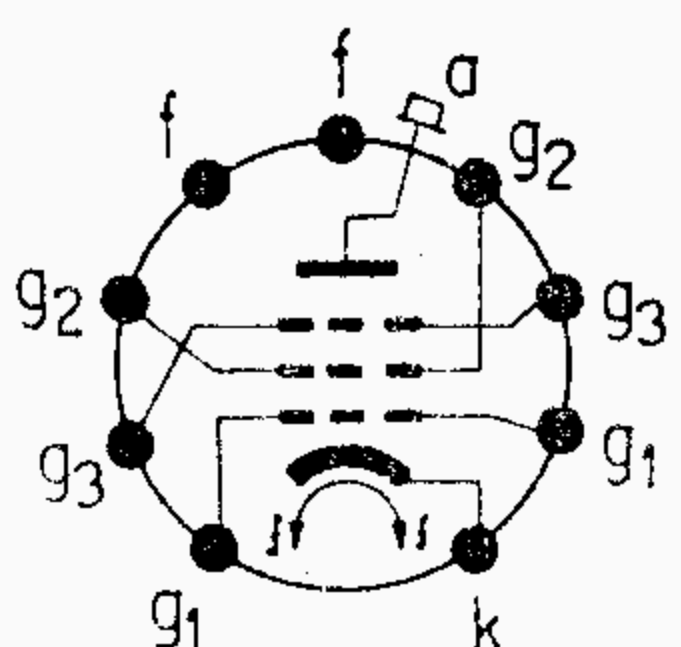
výkonová pentoda pro nf
zesilovače výkonu.



Typ Použití	Rozměry Patice	Žhavení	Provozní hodnoty	Mezní hodnoty	
		Statické hodnoty			
PL500	Velikost MN 1	I_F 0,3 A	Konecový stupeň zesilovačů pro řádkové vychylování		U_{AO} 550 V
		U_F 27 V			U_A 250 V
		t_f 15 <19 s nepřímé žhavení		$U_A (U_{G2} = 130 \text{ V})$ >23 V	
				$U_A (U_{G2} = 190 \text{ V})$ >33 V	
		U_A 75 V		$U_{AM}^{3)}$ 7 kV	
		U_{G2} 200 V		U_{G2O} 550 V	
		U_{G1} -10 V		U_{G2} 250 V	
		I_{AM} 440 mA		I_K 250 mA	
		I_{G2M} 30 mA		$R_{g1} (k)$ 0,5 MΩ	
		(měřeno dynamicky)		$R_{g1}^{1) 2)}$ 2,2 MΩ	
			$U_{K/F}$ 220 V		
			$R_{k/f}$ 20 kΩ		
U_A 170 V					
U_{G2} 170 V					
$-U_{G1}$ 60 V					
I_A <1 mA					

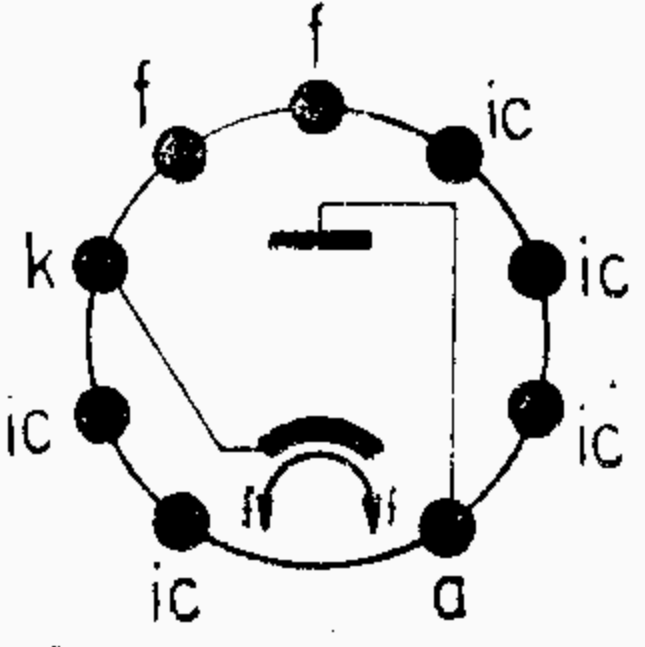


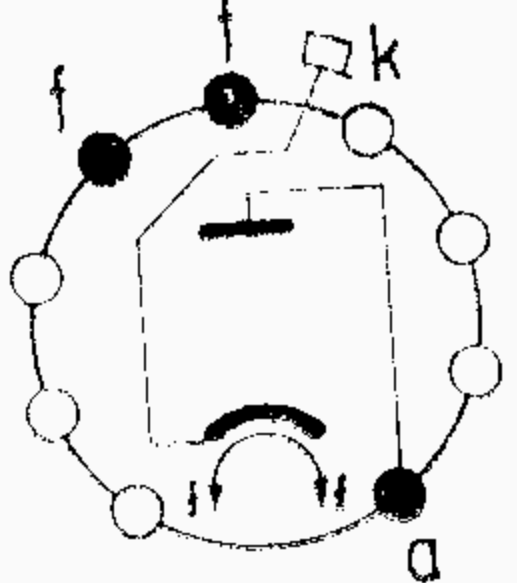
Typ Použití	Rozměry Patice	Žhavení Statické hodnoty	Provozní hodnoty	Mezní hodnoty
PL504 Velikost MN 1		I_F 0,3 A U_F 27 V t_f <19 s nepřímé žhavení  U_A 50 V U_{G2} 200 V U_{G1} -10 V I_{AM} 420 mA I_{G2M} 37 mA (měřeno dynamicky) U_A 170 V U_{G2} 170 V U_{G1} -60 V I_A <0,7 mA Kapacity: C_{g1} 22 pF C_a 9 pF $C_{a/g1}$ <1,5 pF		U_{AO} 550 V U_A 250 V U_A ($I_{AM} = 250$ mA) >49 V U_A ($I_{AM} = 500$ mA) >63 V $U_{AM}^{1)}$ 7 kV U_{G20} 550 V U_{G2} 250 V I_K 250 mA $R_{g1(k)}$ 0,5 M Ω $R_{g1}^{2) 3)}$ 2,2 M Ω $U_{K/F}$ 220 V $R_{k/f}$ 20 k Ω ϑ_b 250 °C
Výkonová pentoda koncový stupeň zesilovačů pro řádkové vychylování.				<div>1) Max 22 % periody, max 18 μs.</div> <div>2) Ve stabilizovaném obvodu.</div> <div>3) Z_{g1} ($f = 50$ Hz) ≤ 200 kΩ.</div>

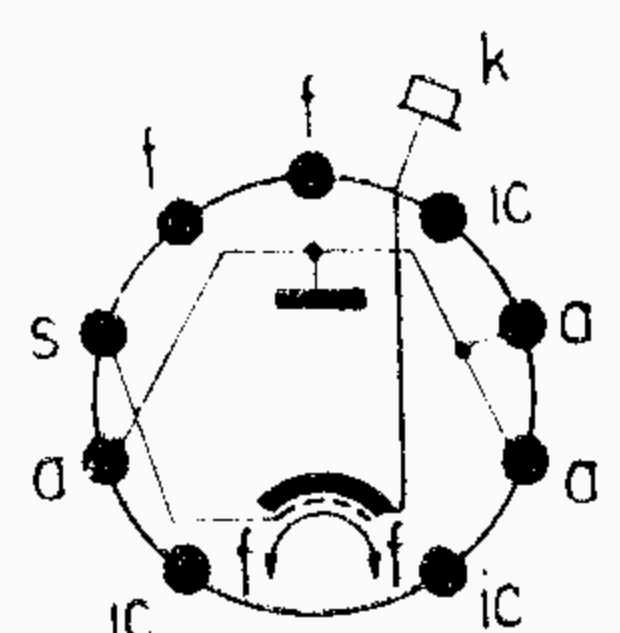
Typ Použití	Rozměry Patice	Žhavení	Provozní hodnoty	Mezní hodnoty
		Statické hodnoty		
PL509		I_F 0,3 A U_F 40 V t_f 10 ... 19 s nepřímé žhavení	Koncový stupeň zesilovačů pro řádkové vychylování: Minimální žádané závěrné napětí $-U_{G1}$ během zpětného řádku při $U_A = 7 \text{ kV}$ a $Z_{g1} = 1 \text{ k}\Omega$ při řádkovém kmitočtu:	U_{AO} 700 V $U_{AM}^{1)}$ 7 kV $U_{AM \text{ abs}}^{1)}$ 8 kV P_{AR} 30 W $P_{AR \text{ abs}}$ 40 W U_{G3} 50 V U_{G20} 700 V U_{G2} 275 V P_{G2R} 7 W $P_{G2R \text{ abs}}$ 9 W I_K 500 mA I_{KM} 1200 mA $U_{K/F}$ 250 V $-U_{G1M}$ 550 V $R_{g1(p)}$ 0,5 M Ω $R_{g1(s)}$ 2,2 M Ω R_{g3} 10 k Ω
		U_A 160 V U_{G2} 160 V U_{G3} 0 V U_{G1} -100 V U_{G1M} 100 V I_{AM} >1 A I_{G2M} 45 mA $I_{AZ} (U_{G1} = -100 \text{ V})$ <0,15 mA Kapacity: $C_{a/g1}$ 2,5 pF $C_{g1/f}$ <0,2 pF	$U_{G2} = 150 \text{ V}$ $U_{G1} = -175 \text{ V}$ $U_{G2} = 200 \text{ V}$ $U_{G1} = -195 \text{ V}$ $U_{G2} = 250 \text{ V}$ $U_{G1} = -215 \text{ V}$	U_{G2} 150 V U_{G1} -175 V U_{G2} 200 V U_{G1} -195 V U_{G2} 250 V U_{G1} -215 V

Výkonová pentoda
koncový stupeň zesilovačů pro řádkové vychylování v TV přijímačích pro barevnou televizi.

1) Během nažhavení

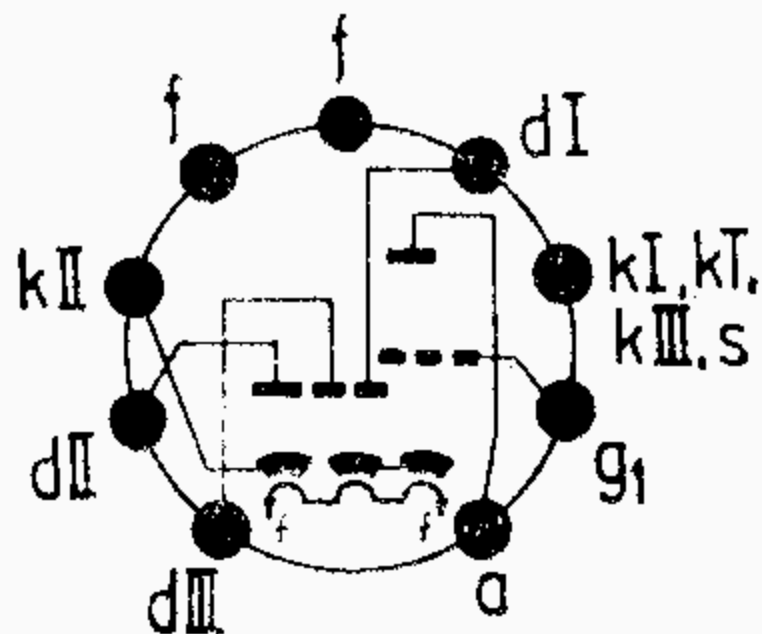
Typ Použití	Rozměry Patice	Žhavení	Provozní hodnoty	Mezní hodnoty
		Statické hodnoty		
PY82 Velikost N 5  vakuový jednocestný usměrňovač.		I_F 0,3 A U_f 19 V t_f <30 s nepřímé žhavení ● I_D 150 mA r_i 67,5 Ω	Jednocestný usměrňovač $U_{A\ ef}$ 127 200 220 240 250 V I_O 180 180 180 180 180 mA U_O 127 195 195 195 195 V C_N 60 60 60 60 60 μF R_o 0 30 65 105 125 Ω	$-U_{AK}$ 700 V $U_{A\ ef}$ 250 V I_O 180 mA $U_{K/F}$ 550 V $U_{+K/F-}$ 250 V + 220 V _{ef} C_N 60 μF Min ochranný odpor R_o min $U_{A\ ef}$ (Ω) (V) 0 127 30 200 40 220 80 240 100 250

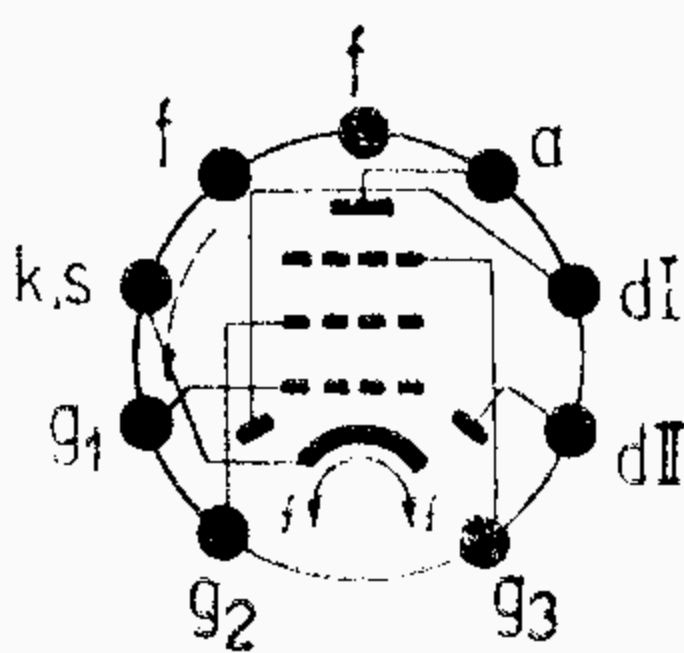
Typ Použití	Rozměry Patice	Žhavení	Provozní hodnoty	Mezní hodnoty
		Statické hodnoty		
PY83 Velikost N 5 PY88 Velikost N 7  vakuová spínací dioda pro koncové stupně horizontálních zesilovačů.		PY83 I_F 0,3 A U_F 20 V t_f <35 s nepřímé žhavení ● U_A 15 V I_A >120 mA	Kapacity $C_{a/k}$ <6,2 pF $C_{k/f}$ <2,4 pF	$-U_{AK}^{1)}$ 5 kV $-U_{AKM}^{1)}$ 5,6 kV I_A 175 mA $I_{AM}^{1)}$ 500 mA $U_{+K/FM}^{1)}$ 5 kV $U_{+K/FM}^{1)2)}$ 5,6 kV 1) Max 18 % periody, max 18 μs . 2) Absolutní maximum
		PY88 I_F 0,3 A U_F 30 V t_f <25 s nepřímé žhavení ● U_A 15 V I_A >125 mA	1) Max 22 % periody, max 18 μs . 2) Absolutní maximum. Kapacity $C_{a/k}$ 8,6 pF $C_{k/f}$ 2 pF	U_{AO} 550 V U_A 250 V I_A 220 mA I_{AM} 550 mA $-U_{AK}^{1)}$ 6 kV $-U_{AK}^{1)2)}$ 7,5 kV $U_{+K/F-M}^{1)}$ 6,6 kV $U_{F/zem\ ef}$ 220 V P_{AR} 5 W

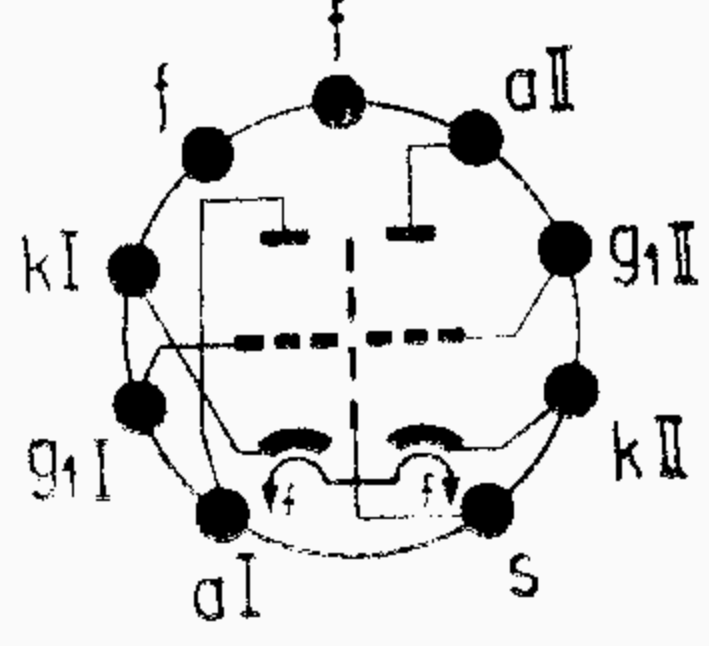
Typ Použití	Rozměry Patice	Žhavení Statické hodnoty	Provozní hodnoty	Mezní hodnoty
PY500	Rozměry MN 2 	I_F 0,3 A U_F 42 V t_f <19 s nepřímé žhavení ● U_D 20 V I_D 440 >320 mA r_i 45,5 <55 Ω Kapacity: $C_{a/k}$ 13 pF $C_{k/f}$ 3,7 pF		$-U_{AMabs}^{1)}$ 7000 V $-U_{AM}^{1)}$ 5600 V $U_{K/FM}^{1)}$ 6300 V P_{AR} 11 W I_A 440 mA I_{AM} 800 mA $R_S^{2)}$ >100 Ω
<div>Vysokonapěťová spínací dioda pro koncové stupně horizontálních zesilovačů v přijímačích pro BTV.</div> <div><div><div>1) Max 22 % periody, ne déle než 18 μs.</div><div>2) Sériový odpor v obvodu žhavicího vlákna (odpor ostatních elektronek sériově zapojených může být započítán).</div></div></div>				

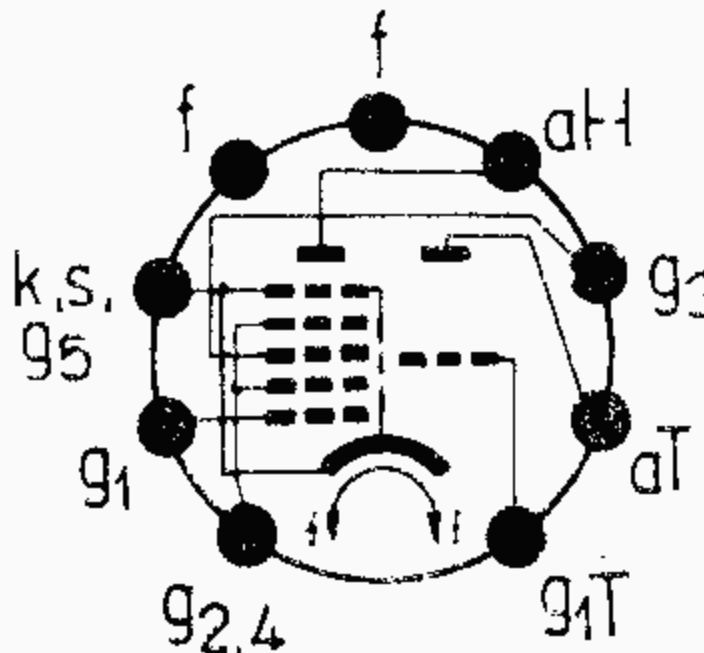
¹⁾ Max 22 % periody, ne déle než 18 μ s.

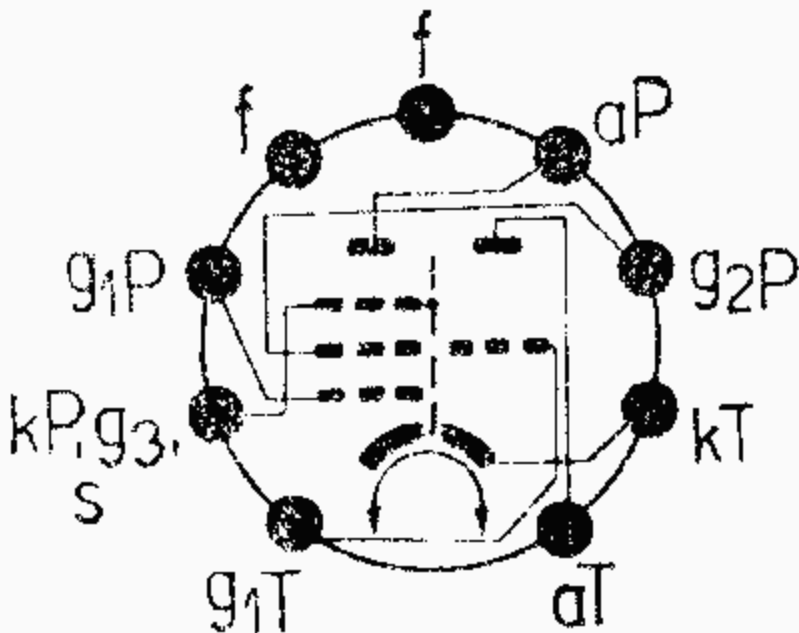
²⁾ Sériový odpor v obvodu žhavicího vlákna (odpor ostatních elektronek sériově zapojených může být započítán).

Typ Použití	Rozměry Patice	Žhavení	Provozní hodnoty				Mezní hodnoty		
		Statické hodnoty							
UABC80 Velikost NA50		I_F 0,1 A U_F 28,5 V nepřímé žhavení	Nf odporový zesilovač				Trioda		
		U_A 250 V U_{G1} -3 V I_A 1 mA S 1,2 mA/V μ 70 r_i 58 k Ω I_{AZ} ($U_{G1} = -6$ V) <0,15 mA	U_B 200 R_a 300 R_{g1} 10 $R_{g1'}$ 1 I_A 0,45 $U_{G1\ ef}$ 70 $U_{A\ ef}$ 4 k 0,4 V 57	200 200 10 0,7 0,6 74 4 0,45 54	200 100 10 0,7 82 4 0,35 49	V k Ω M Ω M Ω mA mV V %	U_{AO} 550 V U_A 250 V P_{AR} 1 W I_K 5 mA R_{g1} 3 M Ω $R_{g1\ (i)}$ 22 M Ω $U_{K/F}$ 150 V $R_{k/f}$ 20 k Ω		
		U_{DI} 5 V I_{DI} 1 mA r_{DI} 5 k Ω $U_{DII,\ DIII}$ 5 V $I_{DII,\ DIII}$ 25 mA $r_{DII,\ DIII}$ 200 Ω $r_{DII/DIII}$ >0,67 <1,5	Kapacity:				Dioda		
			$C_{g1/kI,\ III}$ 1,9 pF $C_{a/kI,\ III}$ 0,8 pF $C_{a/g1}$ 2 pF $C_{dI/kI,\ III+f}$ 0,8 pF $C_{dII/kI,\ III+kII+f}$ 4,8 pF $C_{dIII/kI,\ III+kII+f}$ 4,8 pF $C_{g1/f}$ <0,1 pF	$U_{DI\ inv}$ 350 V $U_{DII\ inv}$ 350 V $U_{DIII\ inv}$ 350 V I_{DIM} 6 mA $I_{DII,\ IIIM}$ 75 mA I_{DI} 1 mA $I_{DII,\ III}$ 10 mA					
dioda - dvojitá dioda - nf trioda pro am demodulátor, nf zesilovač									

Typ Použití	Rozměry Patice	Žhavení	Provozní hodnoty	Mezní hodnoty
		Statické hodnoty		
UBF89 	Velikost N 4	I_F 0,1 A U_F 19 V nepřímé žhavení	Vf nebo mf zesilovač $U_B = U_A$ 100 200 V U_{G3} 0 0 V R_{g2} 0 30 kΩ U_{G1} -2 -10 -1,5 -20 V I_A 8,5 - 11 mA I_{G2} 2,8 - 3,3 mA S 3,5 0,11 4,5 0,12 mA/V r_i 0,3 - 0,6 MΩ	Pentoda U_{AO} 550 V U_A 300 V P_{AR} 2,25 W U_{G20} 550 V U_{G2} 300 V P_{G2R} 0,45 W I_K 16,5 mA R_{g1} 3 MΩ $R_{g1(l)}$ 22 MΩ R_{g3} 10 kΩ $U_{K/F}$ 150 V $R_{k/f}$ 20 kΩ
		U_A 250 V U_{G3} 0 V U_{G2} 100 V U_{G1} -2 V I_A 9 mA I_{G2} 2,7 mA S 3,8 mA/V $\mu_{g2/g1}$ 20 r_i 1 MΩ $I_{AZ} (U_{G1} = -20 \text{ V})$ <80 μA U_D 4 V I_D >0,3 mA	Kapacity: Pentoda C_{g1} 5 pF C_a 5,5 pF $C_{a/g1}$ <0,0035 pF $C_{g1/f}$ 0,05 pF Mezi systémy: $C_{dI/a}$ 0,15 pF $C_{dII/a}$ 0,025 pF $C_{dI/g1}$ <0,0008 pF $C_{dII/g1}$ <0,001 pF Diody $C_{dI/k}$ 2,5 pF $C_{dII/k}$ 2,5 pF $C_{dI/dII}$ <0,25 pF $C_{dI/f}$ 0,015 pF $C_{dII/f}$ 0,003 pF	Diody U_D 200 V I_D 0,8 mA I_{DM} 5 mA
dvojitá dioda - řízená pentoda am demodulátor vf, mf zesilovač				

Typ Použití	Rozměry Patice	Žhavení	Provozní hodnoty	Mezní hodnoty
		Statické hodnoty		
UCC85 Velikost N 2		I_F 0,1 A U_F 26 V nepřímé žhavení	Vf a vkv zesilovač U_B 170 V S 4,7 mA/V R_a 1) 1,3 k Ω r_i 10,5 k Ω U_A 160 V R_{ekv} 650 Ω R_k 330 Ω Z_{g1} (f=100 MHz) I_A 6 mA 8 k Ω	U_{AO} 550 V U_A 250 V P_{AR} 2,5 W $P_{AIR} + P_{AIIR}$ 4,5 W I_K 15 mA R_{g1} 1 M Ω $-U_{G1}$ -100 V $U_{+K/F-}$ 200 V $U_{-K/F+}$ 90 V $R_{k/f}$ 20 k Ω
		U_A 170 V R_k 150 Ω I_A 10 mA S 6,2 mA/V μ 50 r_i 8 k Ω I_{AZ} ($U_{G1} = -7$ V) <1 mA	Kmitající směšovač U_B 200 V I_A 5,2 mA R_a 1) 8,2 k Ω S_c 2,3 mA/V R_{g1} 1 M Ω r_i 15 k Ω $U_{osc ef}$ 2,8 V Z_{g1} (f=100 MHz) 15 k Ω	Kapacity $C_{a/g}$ 1,85 pF $C_{g/k+f+s}$ 3,3 pF $C_{a/k}$ 0,23 pF $C_{a/k+f+s}$ 1,6 pF $C_{aI/aII}$ 0,04 pF $C_{aI/kII}$ <0,008 pF $C_{gI/gII}$ 0,003 pF $C_{aI/gII}$ <0,008 pF $C_{aII/gI}$ <0,008 pF $C_{aII/kI}$ <0,008 pF $C_{gI/kII}$ <0,003 pF $C_{gII/kI}$ <0,003 pF
dvojitá trioda vkv kaskádní zesilovač, směšovač		1) Přemostěn kapacitou 1000 pF.		

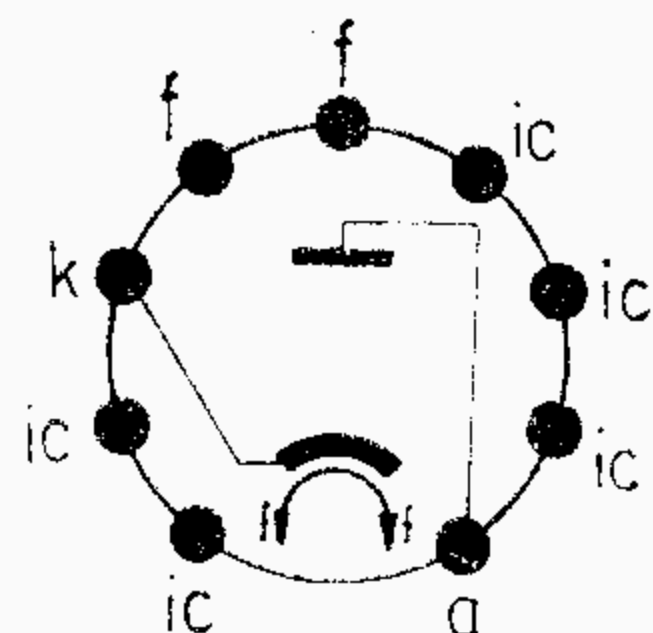
Typ Použití	Rozměry Patice	Žhavení	Provozní hodnoty		Mezní hodnoty
		Statické hodnoty			
UCH81 Velikost N 4		I_F 0,1 A	Heptoda: Směšovač Vf, mf zesilovač		Heptoda:
		U_F 19 V	g ₃ spoj s g _{1T} g ₃ spoj s k		U_{AO} 550 V
		nepřímé žhavení	$U_B=U_A$ 200 V $U_B=U_A$ 200 V		U_A 250 V
		Heptoda	R_{g2+g4} 10 kΩ R_{g2+g4} 18 kΩ		P_{AR} 1,7 W
		U_A 250 V	R_{g3+g1T} 47 kΩ R_k 220 Ω		U_{G2+G4o} 550 V
		U_{G2+G4} 100 V	I_{G3+G1T} 230 μA U_{G1} -2,6 -33 V		U_{G2+G4} 125 V
		U_{G1} -2 V	R_k 150 Ω I_A 7,6 - mA		$U_{G2+G4} (I_{AH} < 1 \text{ mA})$ 200 V
		I_A 6,5 mA	U_{G1} -2,5 -28 V I_{G2+G4} 4,3 - mA		P_{G2+G4R} 1 W
		I_{G2} 3,8 mA	I_A 3,7 - mA S 2400 24 μA/V		I_K 12,5 mA
		S 2,4 mA/V	I_{G2+G4} 8,1 - mA r_i 0,6 10 MΩ		R_{g1} 3 MΩ
$\mu_{g2+g4/g1}$ 20	S_c 755 7,5 μA/V R_{ekv} 9,7 - kΩ		R_{g3} 3 MΩ		
r_i 0,7 MΩ	r_i 1 >3 MΩ		$R_{k/f}$ 20 kΩ		
Trioda	R_{ekv} 75 kΩ		Nf zesilovač		
U_A 100 V	Trioda: Oscilátor		U_B 250 V		
U_{G1} 0 V	U_B 200 V		R_a 100 kΩ		
I_A 13,5 mA	R_a 15 kΩ		U_{G1} -2 -4 V		
S 3,7 mA/V	R_{g1} 47 kΩ		I_A 2 1,75 mA		
μ 22	I_{G1} 230 μA		$U_{G1 ef}$ 1 2,7 V		
r_i 6 kΩ	I_A 5 mA		V 12,5 11,1		
	S_{ef} 0,58 mA/V		k 3,5 6 %		
	Kapacity:				
	C_{g1H} 4,8 pF C_{g1T} 2,6 pF				
	C_{g3H} 6 pF C_{aT} 1,8 pF				
	$C_{g1H/aH} < 0,0065 \text{ pF}$ $C_{aT/g1T}$ 1 pF				
řízená heptoda - trioda				Trioda:	
heptoda: směšovač,				U_{AO} 550 V	
vf, mf, nf zesilovač				U_A 250 V	
trioda: oscilátor,				P_{AR} 0,8 W	
kmitající směšovač,				I_K 6,5 mA	
nf zesilovač				R_{g1} 3 MΩ	
				$R_{g1}^{1)}$ 50 kΩ	
				I_{g1} 1 mA	
				¹⁾ Optimální hodnota, trioda jako oscilátor.	

Typ Použití	Rozměry Patice	Žhavení	Provozní hodnoty				Mezní hodnoty		
		Statické hodnoty							
UCL82	Velikost N 5	I_F 0,1 A U_F 50 V nepřímé žhavení	Pentoda: Nf zesilovač výkonu třídy A				Pentoda		
		Pentoda	U_A 200 V U_{G2} 200 V U_{G1} -16 V I_A 35 mA I_{G2} 7 mA S 6,4 mA/V $\mu_{g2/g1}$ 9,5 r_i 20 kΩ	U_A 170 U_{G2} 170 U_{G1} -11,5 I_A 41 I_{G2} 8 R_a 3,9 $U_{G1\ ef}$ 6 P_o 3,3 k 10	200 170 -12,5 35 6,5 5,6 5,8 3,4 10	200 200 -16 35 7 5,6 6,6 3,5 10	V V V mA mA kΩ V W %		
		Trioda	U_A 100 V U_{G1} 0 V I_A 3,5 mA S 2,5 mA/V μ 70	Dvojčinný nf zesilovač třídy AB				Pentoda	
				U_A 170 U_{G2} 170 R_k 135 I_{AO} 2×33 I_A 2×37 I_{G2o} 2×6,2 I_{G2} 2×15 $R_{a-a'}$ 5 $U_{G1\ ef}$ 9 P_o 7 k 4	200 200 165 2×35 2×38 2×6,5 2×16,5 5 10,9 9 4,8	V V Ω mA mA mA mA kΩ V W %	U_{AO} 900 V U_A 600 V $P_{AR} (U_A > 250\ V)$ 5 W $P_{AR} (U_A < 250\ V)$ 7 W U_{G2o} 550 V U_{G2} 300 V P_{G2oR} 1,8 W P_{G2R} 3,2 W I_K 50 mA $R_{g1(p)}$ 1 MΩ $R_{g1(k)}$ 2 MΩ $U_{K/F}$ 200 V $R_{k/f}$ 20 kΩ		
	trioda — pentoda								
	pentoda: nf zesilovač výkonu,								
	trioda: nf zesilovač								

Typ Použití	Rozměry Patice	Žhavení	Provozní hodnoty						Mezní hodnoty		
		Statické hodnoty									
UCL82		Kapacity	Trioda: Nf odporový zesilovač						Trioda		
	Pentoda	U _B 170 200 170 200 V						U _{AO} 550 V			
	C _{g1} 9,3 pF	R _a 100 100 100 100 kΩ						U _A 300 V			
	C _a 8 pF	R _k 1,8 1,5 0 0 kΩ						P _{AR} 1 W			
	C _{a/g1} <0,3 pF	R _{g1} 3 3 22 22 MΩ						I _K 15 mA			
	C _{g1/f} <0,3 pF	R _{g1'} 700 700 700 700 kΩ						R _{g1 (p)} 1 MΩ			
	Trioda	I _A 0,67 0,84 0,86 1,05 mA						R _{g1 (k)} 3 MΩ			
	C _{g1} 3 pF	U _{A ef} 25 30 19 24 V						R _{g1 (i)} 22 MΩ			
	C _a 4,3 pF	V 46 47 49 50						Z _{g1 (50 Hz)} 0,5 MΩ			
	C _{a/g1} 4,5 pF	k 2,8 2,3 1,4 1,5 ‰						U _{K/F} 200 V			
	C _{g1/f} <0,02 pF							R _{k/f} 20 kΩ			
	Mezi systémy										
	C _{gT/aP} <0,02 pF										
	C _{gT/g1P} <0,025 pF										
	C _{aT/aP} <0,25 pF										
	C _{aT/g1P} <0,02 pF										

Typ Použití	Rozměry Patice	Žhavení	Provozní hodnoty	Mezní hodnoty
		Statické hodnoty		
UY82	Velikost N 5	UY82	Min. ochranný odpor v anodě	$-U_{AK}$ 700 V
		I_F 0,1 A	$U_{A\ ef}$	$U_{A\ ef}$ 250 V
		U_F 55 V	(V)	I_O 180 mA
		t_f 35 s		$U_{K/F}$ 550 V
		nepřímé žhavení		$U_{+K/F-}$ 250 V
		$U_{A\ ef}$ 220 V		$+$ 220 V _{ef}
		R_o 65 Ω		C_N 60 μF +50 %
		R_z 1080 Ω		
		C_N 60 μF		
		I_O >173 mA		
		I_D 150 mA		
		r_i 67,5 Ω		

vakuový jednocestný
usměrňovač

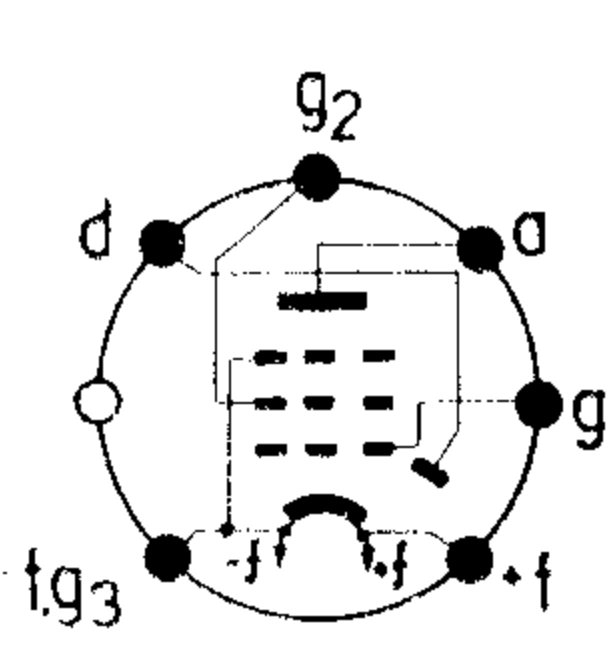



vakuový jednocestný
usměrňovač

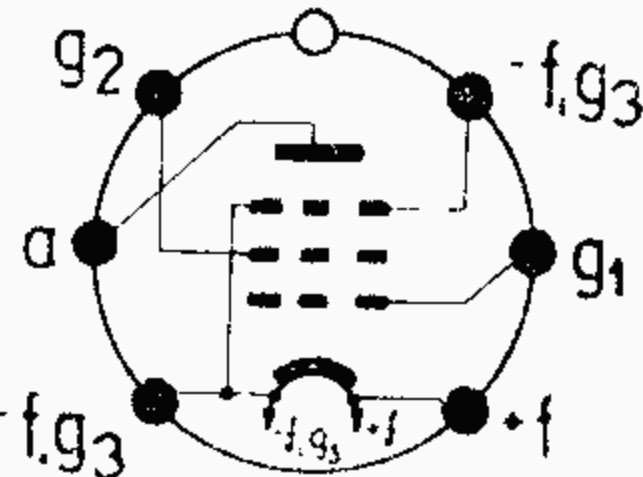
**Přijímací elektronky
zastaralé konstrukce**

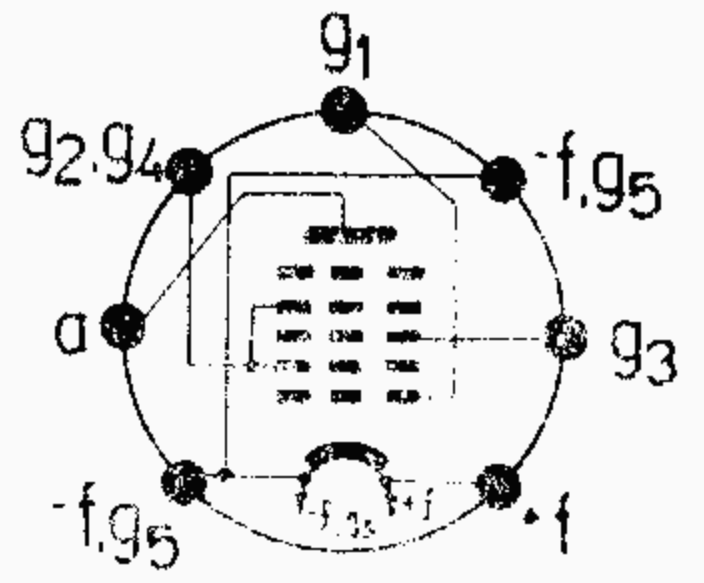
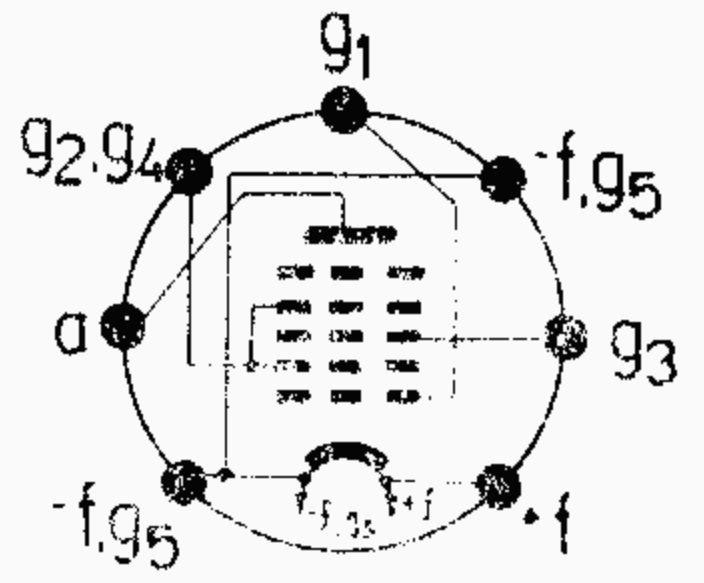
Jen pro informaci !

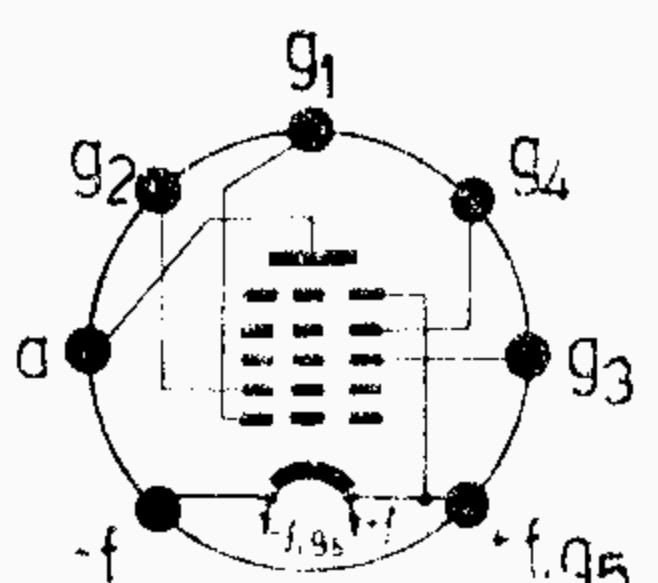

**Výrobky zařazené v této části
se buď nevyrábějí, nebo vyrábějí a dodávají
v omezeném množství.**

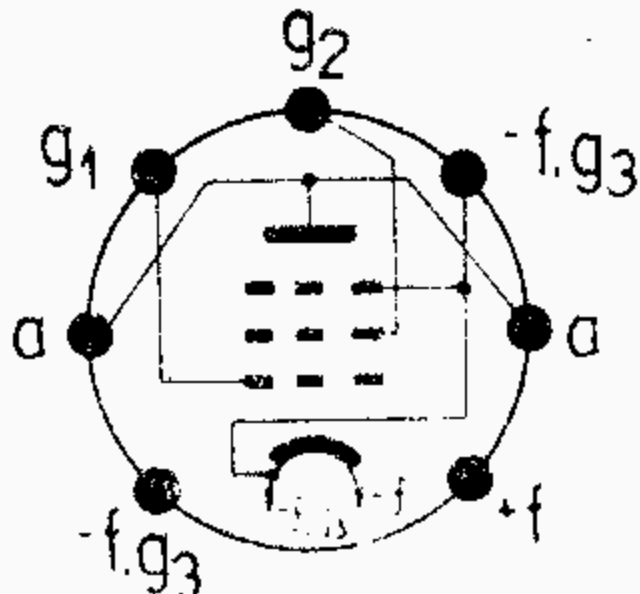
Typ Použití	Rozměry Patice	Žhavení	Provozní hodnoty	Mezní hodnoty
		Statické hodnoty		
1AF33 1AF34 	Velikost max $\varnothing 10 \times 49$ mm	1AF33 U_F 1,4 V I_F 25 mA přímé žhavení  U_A 67,5 V U_{G2} 67,5 V U_{G1} -1 V I_A 1,4 mA I_{G2} <0,4 mA $S^1)$ >0,3 mA/V r_i 0,6 M Ω μ 300 I_D >0,1 mA U_D 3 V ¹⁾ $U_{G1} = -0,5$ V Kapacity C_{g1} 2,4 pF C_a 4,6 pF $C_{a/g1}$ <0,3 pF $C_{d/f}$ 1,5 pF	Nf odporový zesilovač U_B 45 67,5 90 V R_a 1 1 1 M Ω R_{g2} 3,3 3,3 3,3 M Ω R_{g1} 10 10 10 M Ω $R_{g1'}$ 2,2 2,2 2,2 M Ω I_B 0,05 0,075 0,1 mA U_o/U_i 45 60 67 k 2 3 5 % $U_{o\ ef}$ 5 5 5 V	Pentoda U_{AO} 250 V U_A 90 V U_{G2O} 250 V U_{G2} 67,5 V U_{G1} 0 V I_K 4,5 mA R_{g1} 3 M Ω $R_{g1\ (i)}$ 22 M Ω U_F 1,6 V U_F >1,1 V
		1AF34 U_F 1,2 V I_F 30 mA přímé žhavení	Nf odporový zesilovač – triodové zapojení U_B 90 90 V R_a 0,22 0,47 M Ω R_{g1} 10 10 M Ω $R_{g1'}$ 0,68 1,5 M Ω I_B 0,25 0,13 mA U_o/U_i 11 11,6 k 1 0,8 % $U_{o\ ef}$ 5 5 V	Dioda U_{DM} 50 V I_D 0,2 mA I_{DM} 1,2 mA 1AF34 U_F 1,4 V U_F >0,9 V

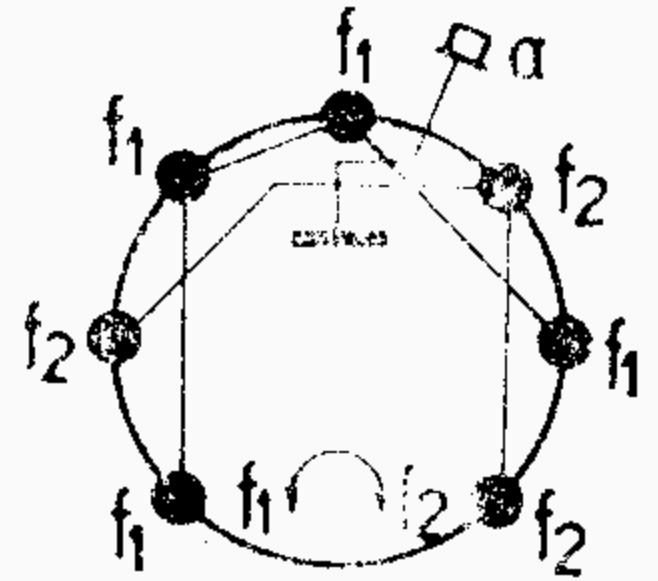


dioda –
nf pentoda,
nf zesilovač,
am demodulátor

Typ Použití	Rozměry Patice	Žhavení	Provozní hodnoty				Mezní hodnoty		
		Statické hodnoty							
1F33 1F34	Velikost max Ø 19 × 49 mm	1F33 U_F 1,4 V I_F 25 mA přímé žhavení  U_A 67,5 V U_{G2} 67,5 V U_{G1} -1 V I_A 2,5 mA I_{G2} <1,3 mA S ¹⁾ >0,6 mA/V r_i >250 kΩ μ 400 ¹⁾ $U_{G1} = -0,5$ V 1F34 U_F 1,2 V I_F 30 mA přímé žhavení	Vf a mf zesilovač U_A 45 67,5 V U_{G2} 45 67,5 V U_{G1} 0 $\overbrace{-10}$ 0 $\overbrace{-16}$ V I_A 1,7 — 3,4 mA I_{G2} 0,7 — 1,5 mA S 0,65 0,01 0,75 0,01 mA/V r_i 0,35 >10 0,25 >10 MΩ $\mu_{g2/g1}$ 22 — 22 — U_A 90 90 V U_{G2} 45 67,5 V U_{G1} 0 $\overbrace{-10}$ 0 $\overbrace{-16}$ V I_A 1,8 — 3,5 mA I_{G2} 0,65 — 1,4 mA S 0,7 0,01 0,75 0,01 mA/V r_i 0,8 >10 0,5 >10 MΩ $\mu_{g2/g1}$ 22 — 22 —				U_{AO} 150 V U_A 90 V U_{G2O} 150 V U_{G2} 67,5 V I_K 5,5 mA U_{G1} 0 V P_{AR} 0,3 W P_{G2R} 0,1 W R_{g1} 3 MΩ U_F 1,6 V U_F >1,1 V Kapacity C_{g1} 4,2 pF C_a 7,5 pF $C_{a/g1}$ <0,012 pF 1F34 U_F 1,4 V U_F >0,9 V		
řízená pentoda vf, mf zesilovač									

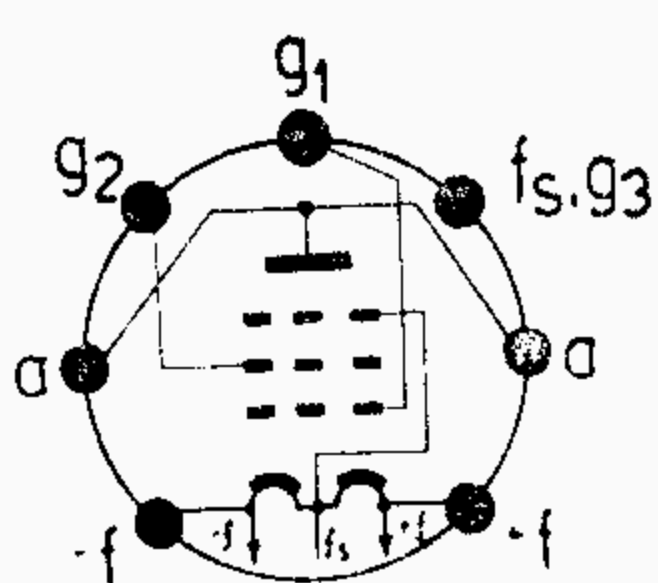

Typ Použití	Rozměry Patice	Žhavení	Provozní hodnoty				Mezní hodnoty		
		Statické hodnoty							
1H33 1H34	Velikost max Ø 19 × 49 mm	1H33  U_F 1,4 V I_F 25 mA přímé žhavení  U_A 90 V U_{G3} -0,5 V U_{G2+4} 67,5 V U_{G1} -0,5 V I_A 3,2 mA I_{G2+4} 4,0 mA $S_{g1/g2+g4}$ >0,45 mA/V r_i >250 kΩ 1H34 U_F 1,2 V I_F 30 mA přímé žhavení	Směšovač U_A 45 67,5 V U_{G2+4} 45 67,5 V R_{g1} 100 100 kΩ I_{G1} 150 250 μA U_{G3} 0 — 0 — 14 V I_A 0,57 — 1,4 — mA I_{G2+4} 1,8 — 3,2 — mA S_c 235 5 280 5 μA/V r_i 0,6 > 10 0,5 > 10 MΩ I_K 2,5 — 5 — mA U_A 90 90 V U_{G2+4} 45 67,5 V R_{g1} 100 100 kΩ I_{G1} 150 250 μA U_{G1} 0 — 0 — 1 V I_A 0,8 — 1,6 — mA I_{G2+4} 1,9 — 3,2 — mA S_c 250 5 300 5 μA/V r_i 0,8 > 10 0,6 > 10 MΩ I_K 2,75 — 5 — mA	U_{AO} 250 V U_A 90 V U_{G2+4o} 90 V U_{G2+4} 67,5 V U_{G3} 0 V I_K 5,5 mA R_{g3} 3 MΩ U_F 1,6 V U_F >1,1 V Kapacity C_{g1} 3,8 pF C_{g3} 6,2 pF C_a 9 pF C_{g2+4} 12,5 pF $C_{a/g1}$ <0,1 pF $C_{a/g3}$ <0,4 pF $C_{g1/g2}$ <0,2 pF 1H34 U_F 1,4 V U_F >0,9 V					
řízená heptoda směšovač									

Typ Použití	Rozměry Patice	Žhavení	Provozní hodnoty			Mezní hodnoty		
		Statické hodnoty						
1H35 Velikost max Ø 19 × 49 mm 		U_F 1,4 V I_F 25 mA přímé žhavení	Směšovač			U_F 1,6 V U_F min 1,1 V U_A 90 V P_{AR} 0,15 W U_{G4} 67,5 V P_{G4R} 0,03 W U_{G3} 0 V U_{G2} 67,5 V P_{G2R} 0,1 W U_{G1} 0 V I_K 3 mA $R_{g3/f}$ 3 MΩ $R_{g1/f}$ 0,1 MΩ Kapacity C_{g3} 6,5 pF C_a 12 pF $C_{a/g3}$ <0,4 pF		
			U_A 67,5 V U_{G4} 45 V U_{G3} -0,5 V U_{G2} 45 V U_{G1} -0,5 V I_A 1,9 mA I_{G4} <1 mA I_{G2} 1,85 mA $S_{g1/g2}$ 0,4 mA/V	U_A 64 85 V U_{G3} 0 0 V R_{g2} 18 33 kΩ R_{g4} 0 120 kΩ $R_{g1/f}$ 27 27 kΩ U_{G2} 35 35 V U_{G4} 64 68 V $U_{G1\ ef}$ 4 4 V I_A 0,55 0,6 mA I_{G2} 1,6 1,5 mA I_{G4} 0,12 0,14 mA I_K 2,45 2,4 mA I_{G1} 85 85 μA S_c 130 160 μA/V r_i 0,9 1 MΩ $U_{G3} (S_c = 2 \mu A/V)$ -1,5 -6,5 V				
		řízená heptoda směšovač						

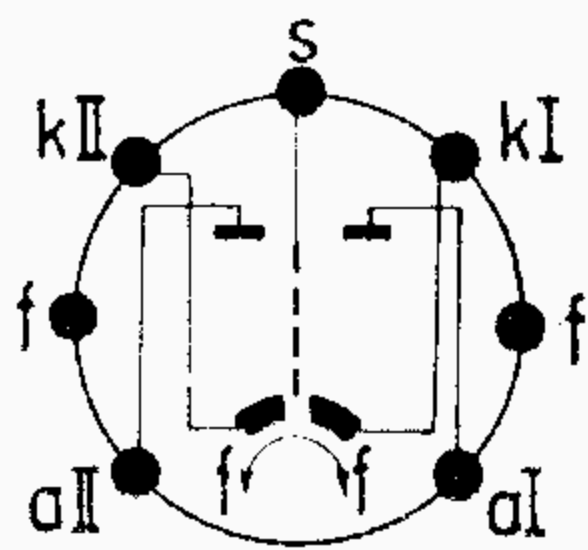
Typ Použití	Rozměry Patice	Žhavení	Provozní hodnoty	Mezní hodnoty																																																																																
		Statické hodnoty																																																																																		
1L33 1L34	Velikost max Ø 19 × 49 mm	1L33  1L34	Nf zesilovač výkonu třídy A <table><tr><td>U_A</td><td>45</td><td>67,5</td><td>90</td><td>V</td></tr><tr><td>U_{G2}</td><td>45</td><td>67,5</td><td>67,5</td><td>V</td></tr><tr><td>U_{G1}</td><td>-4,5</td><td>-7</td><td>-7</td><td>V</td></tr><tr><td>I_A</td><td>3,8</td><td>7,2</td><td>7,4</td><td>mA</td></tr><tr><td>I_{G2}</td><td>0,8</td><td>1,5</td><td>1,4</td><td>mA</td></tr><tr><td>S</td><td>1,25</td><td>1,3</td><td>1,4</td><td>mA/V</td></tr><tr><td>R_a</td><td>8</td><td>5</td><td>8</td><td>kΩ</td></tr><tr><td>$U_{G1\ ef}$</td><td>3,2</td><td>5</td><td>5</td><td>V</td></tr><tr><td>P_o</td><td>65</td><td>160</td><td>230</td><td>mW</td></tr><tr><td>k</td><td>12</td><td>10</td><td>12</td><td>%</td></tr></table> Dvojčinný nf zesilovač výkonu třídy B <table><tr><td>U_B</td><td>90</td><td>V</td></tr><tr><td>U_A</td><td>80</td><td>V</td></tr><tr><td>U_{G2}</td><td>57,5</td><td>V</td></tr><tr><td>U_{G1}</td><td>-9,9</td><td>V</td></tr><tr><td>$R_{a-a'}$</td><td>16</td><td>kΩ</td></tr><tr><td>$U_{G1\ ef}$</td><td>0</td><td>7,3 V</td></tr><tr><td>I_A</td><td>2×1,5</td><td>2×4,4 mA</td></tr><tr><td>I_{G2}</td><td>2×0,3</td><td>2×1,35 mA</td></tr><tr><td>P_o</td><td>0</td><td>325 mA</td></tr><tr><td>k</td><td>—</td><td>5 %</td></tr></table>	U_A	45	67,5	90	V	U_{G2}	45	67,5	67,5	V	U_{G1}	-4,5	-7	-7	V	I_A	3,8	7,2	7,4	mA	I_{G2}	0,8	1,5	1,4	mA	S	1,25	1,3	1,4	mA/V	R_a	8	5	8	kΩ	$U_{G1\ ef}$	3,2	5	5	V	P_o	65	160	230	mW	k	12	10	12	%	U_B	90	V	U_A	80	V	U_{G2}	57,5	V	U_{G1}	-9,9	V	$R_{a-a'}$	16	kΩ	$U_{G1\ ef}$	0	7,3 V	I_A	2×1,5	2×4,4 mA	I_{G2}	2×0,3	2×1,35 mA	P_o	0	325 mA	k	—	5 %	U_{AO} 250 V U_A 90 V U_{G2o} 250 V U_{G2} 67,5 V P_{AR} 0,7 W $P_{G2R} (U_{G1\sim} = 0\ V)$ 0,12 W $P_{G2R} (U_{G1} = \max)$ 0,2 W $I_K (U_{G1\sim} = 0\ V)$ 9 mA $I_K (U_{G1\sim} \max)$ 12 mA R_{g1} 2 MΩ U_F 1,6 V U_F >1,1 V Kapacity C_{g1} 5 pF C_a 6 pF $C_{a/g1}$ <0,45 pF
U_A	45	67,5	90	V																																																																																
U_{G2}	45	67,5	67,5	V																																																																																
U_{G1}	-4,5	-7	-7	V																																																																																
I_A	3,8	7,2	7,4	mA																																																																																
I_{G2}	0,8	1,5	1,4	mA																																																																																
S	1,25	1,3	1,4	mA/V																																																																																
R_a	8	5	8	kΩ																																																																																
$U_{G1\ ef}$	3,2	5	5	V																																																																																
P_o	65	160	230	mW																																																																																
k	12	10	12	%																																																																																
U_B	90	V																																																																																		
U_A	80	V																																																																																		
U_{G2}	57,5	V																																																																																		
U_{G1}	-9,9	V																																																																																		
$R_{a-a'}$	16	kΩ																																																																																		
$U_{G1\ ef}$	0	7,3 V																																																																																		
I_A	2×1,5	2×4,4 mA																																																																																		
I_{G2}	2×0,3	2×1,35 mA																																																																																		
P_o	0	325 mA																																																																																		
k	—	5 %																																																																																		
koncová pentoda zesilovač výkonu		1L34 U_F 1,2 V I_F 60 mA přímé žhavení	1L34 U_F 1,4 V U_F >0,9 V																																																																																	

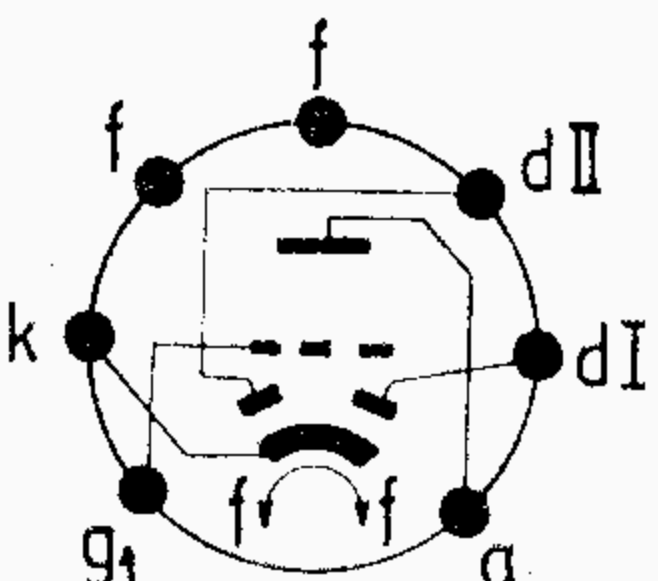
Typ Použití	Rozměry Patice	Žhavení	Provozní hodnoty	Mezní hodnoty
		Statické hodnoty		
1Y32 1Y32T 	Velikost M 4	1Y32 U_F 1,4 V I_F 265 mA přímé žhavení katoda z WTh  I_A 4 mA U_A 45 V	Jednocestný usměrňovač vysokého napětí U_O max 8 kV ($I_O = 2$ mA) U_O max 10 kV Z_{trafo} 500 k Ω C_N (f=50 Hz) 50 nF C_N (vf) 500 pF Nahradit 1Y32T	$-U_A$ 20 kV I_{OM} 10 mA I_O 2 mA f 300 kHz Kapacity $C_{a/k}$ 0,6 pF
		1Y32T U_F 1,4 V I_F 265 mA přímé žhavení kysličníková katoda  I_A >5 mA U_A 150 V		U_F 1,7 V U_F min 1,1 V $-U_A$ 20 kV U_O 15 kV I_O 0,2 mA C_N 2500 pF Kapacity $C_{a/k}$ 1,5 pF

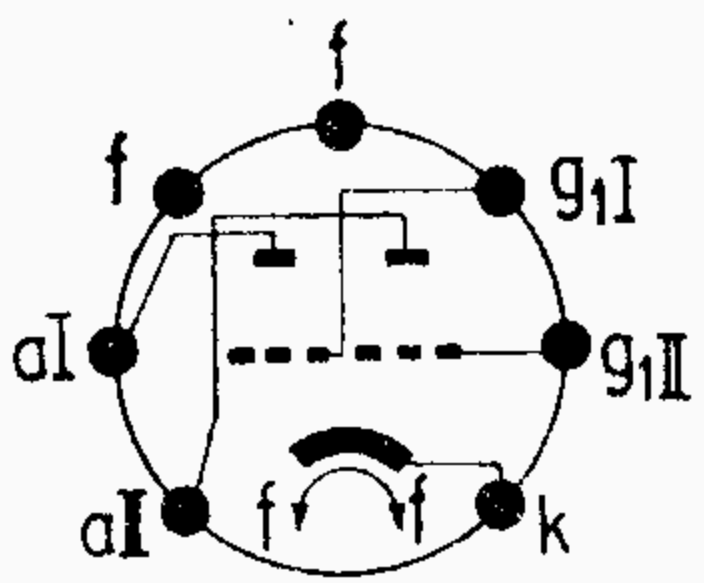
vn dioda
jednocestný usměrňovač
vn pro televizory.


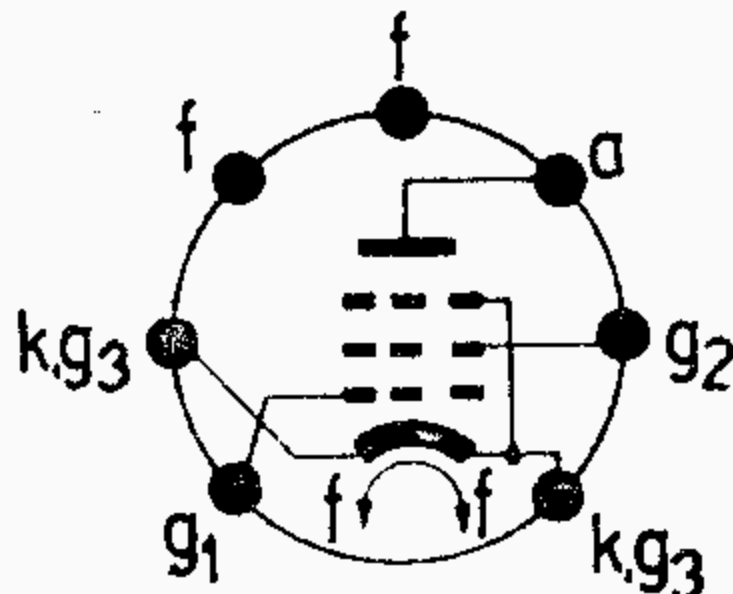
Typ Použití	Rozměry Patice	Žhavení	Provozní hodnoty	Mezní hodnoty
		Statické hodnoty		
3L31 	Velikost max $\varnothing 19 \times 49$ mm	U_F 2,8 V I_F 50 mA U_F 1,4 V I_F 100 mA přímé žhavení  U_A 150 V U_{G3} 0 V U_{G2} 90 V U_{G1} -8,5 V I_A 14 mA I_{G2} 2,2 mA S 1,9 mA/V r_i 100 k Ω μ 190 Kapacity C_{g1} 4,2 pF C_a 4,9 pF $C_{a/g1}$ <0,38 pF	Nf zesilovač výkonu třídy A U_F 1,4 1,4 V U_A 135 150 V U_{G2} 90 90 V U_{G1} -8 -3,8 V $U_{G1\text{ ef}}$ 0 6 V I_{G2} 2,8 3,5 2,2 3,5 mA I_A 14,8 15 14,2 14,2 mA S 2,1 2,1 mA/V r_i 44 50 k Ω R_a 8 8 k Ω P_o 0,6 0,7 W k 10 10 % Vf zesilovač výkonu — f = 10 MHz U_F 1,4 V U_A 150 V U_{G2} 135 V R_{g1} 0,2 M Ω I_A 18,5 mA I_{G2} 6,5 mA I_{G1} 0,13 mA P_o 1 W	Nf zesilovač U_A 150 V U_{G2} 90 V P_{AR} 2 W P_{G2R} 0,4 W I_K 18 mA $R_{g1(k)}$ 0,7 M Ω $R_{g1(p)}$ 0,5 M Ω Vf zesilovač U_A 150 V U_{G2} 135 V U_{G1} -30 V I_A 20 mA I_{G1} 0,25 mA I_K 25 mA P_{G2R} 0,9 W P_{AR} 2 W

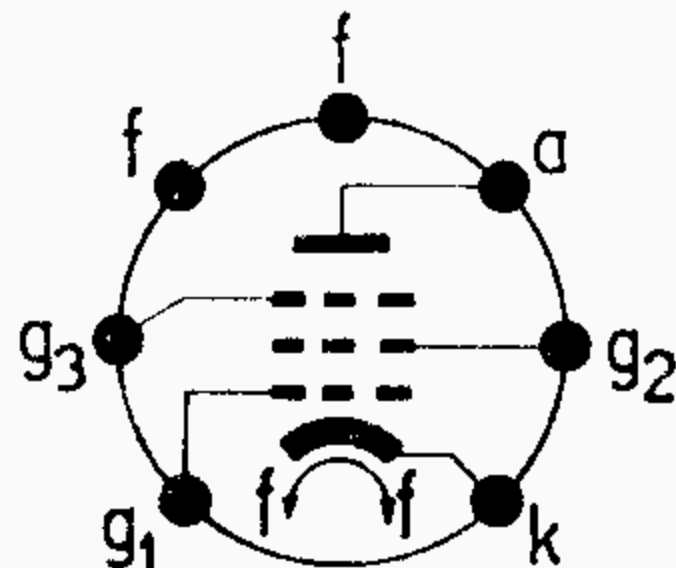
pentoda
nf, vf zesilovač výkonu.

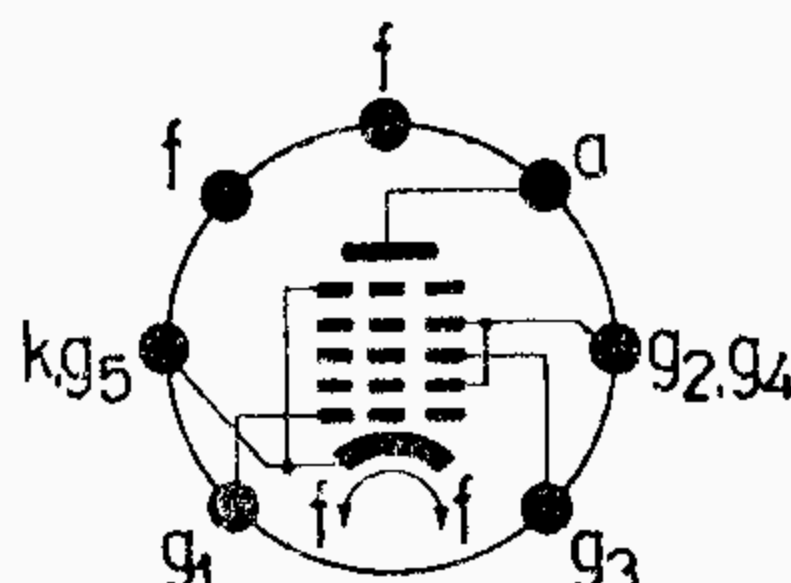
Typ Použití	Rozměry Patice	Žhavení	Provozní hodnoty	Mezní hodnoty
		Statické hodnoty		
6B31	Velikost M 1	U_F 6,3 V I_F 0,3 A I_F 0,3 A U_F 6,3 V nepřímé žhavení  U_A 4 V I_A >10 mA	Jednocestný usměrňovač $U_{A\ ef}$ 150 V R_o 300 Ω I_O 9 mA I_{OM} 54 mA Dvoucestný usměrňovač $U_{A\ ef}$ 2×150 V R_o 2×300 Ω C_N 8 μF R_z 10 k Ω I_O >17 mA Kapacity $C_{aI/kI+s+f}$ 3,2 pF $C_{aII/kII+s+f}$ 3,2 pF $C_{kI/aI+s+f}$ 3,6 pF $C_{kII/aII+s+f}$ 3,6 pF $C_{aI/aII}$ <0,05 pF	Každý systém $-U_A$ 420 V I_{OM} 54 mA I_O 9 mA P_{AR} 0,5 W $U_{K/F}$ 300 V $R_{k/f}$ 20 k Ω C_N 8 μF R_o >300 Ω
		dvojitá dioda s oddělenými katodami am, fm demodulátor, poměrový detektor, dvoucestný usměrňovač		

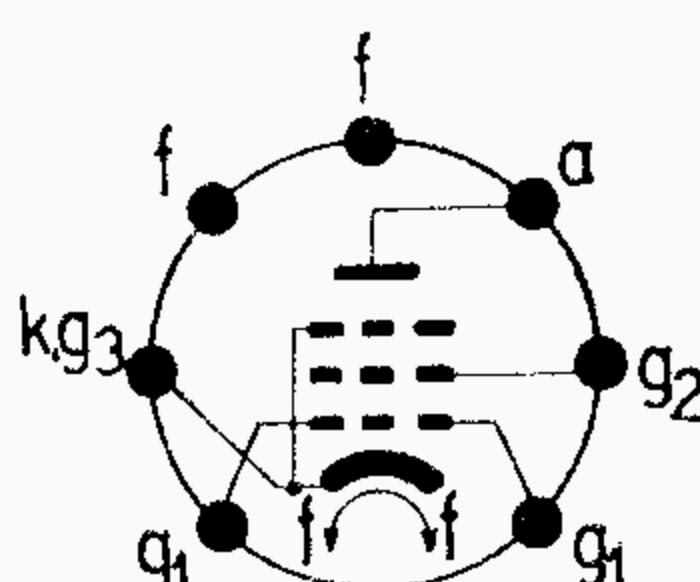
Typ Použití	Rozměry Patice	Žhavení	Provozní hodnoty	Mezní hodnoty
		Statické hodnoty		
6BC32	Velikost M 3	U_F 6,3 V I_F 0,3 A I_F 0,3 A U_F 6,3 V nepřímé žhavení  U_A 250 V U_{G1} -2 V I_A 1 mA S 1,55 mA/V μ 100 r_i 62,5 k Ω I_{AZ} ($U_{G1} = -4,5$ V) <0,15 mA U_D 4 V I_D >0,15 mA	Nf odporový zesilovač U_B 180 300 300 V R_a 0,22 0,22 0,47 M Ω R_k 3,9 3,1 5,9 k Ω R_{g1} 1 1 1 M Ω $R_{g1'}$ 1 1 2,2 M Ω C_k 1,8 2,1 1,1 μF C_v 1) 3 3 2 kpF U_{AM} 39 79 92 V V 63 68 75 1) Vazební kondenzátor Kapacity C_{g1} 2 pF C_a 0,65 pF $C_{a/g1}$ 2 pF $C_{d/g1}$ <0,04 pF $C_{d/k}$ <1,2 pF	Trioda U_{AO} 500 V U_A 330 V P_{AR} 0,5 W $+U_{G1}$ 0 V $-U_{G1}$ 50 V $R_{g1(p)}$ 1 M Ω R_{g1} 3 M Ω $R_{g1(i)}$ 10 M Ω $R_{k/f}$ 20 k Ω $U_{K/F}$ 90 V I_K 8 mA Diody U_{DM} 90 V I_D 1 mA I_{DM} 6 mA
		nf trioda dvojitá dioda nf odporový zesilovač a vf usměrňovač		

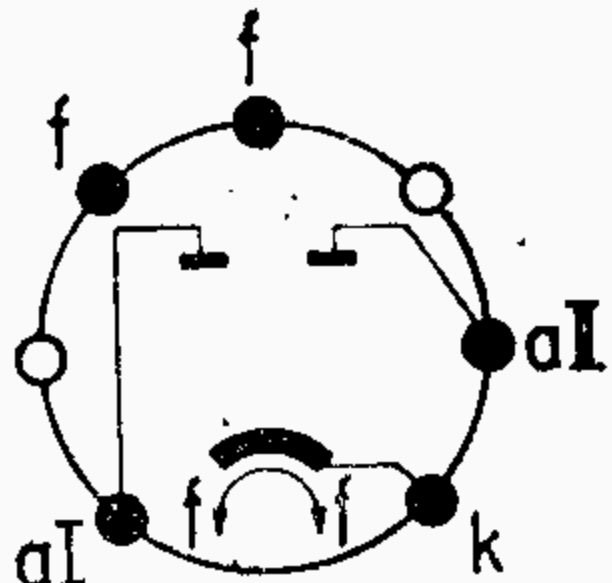

Typ Použití	Rozměry Patice	Žhavení	Provozní hodnoty		Mezní hodnoty	
		Statické hodnoty				
6CC31	Velikost M 2	U_F 6,3 V I_F 0,45 A nepřímé žhavení 	U_A 100 V $-U_{G1}$ 0,85 V I_A 8,5 mA S 5,3 mA/V μ 38 r_i 7,1 k Ω	Vf zesilovač třídy C U_A 150 V U_{G1} -10 V $(R_{g1}$ 625 Ω nebo R_k 220 Ω) I_{A1+all} 30 mA $I_{G1I+g1II}$ 16 mA P_i 0,35 W P_o 3,5 W Obraceč fáze U_B 250 V R_{aI} 25 k Ω R_{aII} 25 k Ω R_k 200 Ω C_k 100 μ F R_{g1I} 0,5 M Ω R_{g1II} 25 k Ω I_{A1+All} 10 mA	Směšovač U_A 150 V R_k 800 Ω I_A 4,8 mA S_c 1,9 mA/V r_i 10,2 k Ω $U_{osc\ ef}$ 3 V R_{g1} 0,5 M Ω	U_{AO} 500 V U_A 300 V P_{AR} 1,5 mA I_A 15 mA I_{g1} 8 mA $R_{g1(k)}$ 0,5 M Ω U_{G1} -40 V $U_{K/F}$ 100 V $\lambda\ min$ 0,5 m R_k >50 Ω Kapacity ¹⁾ C_{g1} 2,2 pF C_a 0,55 pF $C_{a/g1}$ 1,6 pF
				$U_{g1} \sim$ 0,5 0,9 V $U_a \sim$ 12 19,6 V V 24 21,8 k <0,3 3,2 %	¹⁾ Bez stínícího krytu.	
		dvojitá trioda vf, nf zesilovač oscilátor, směšovač, obraceč fáze				

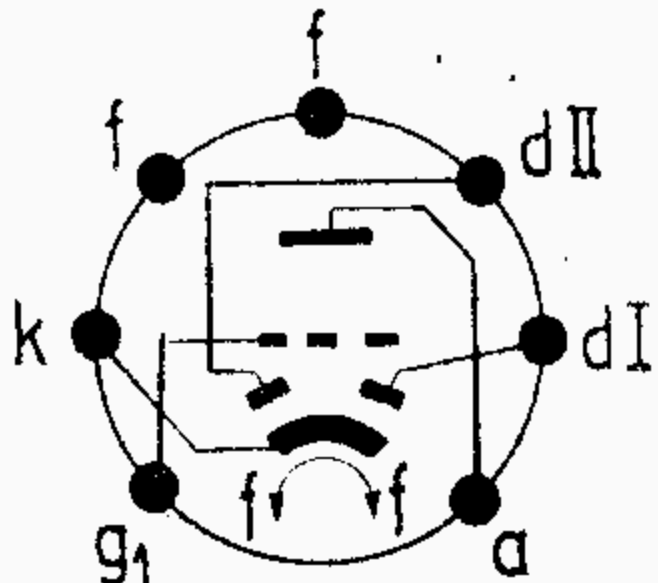
Typ Použití	Rozměry Patice	Žhavení	Provozní hodnoty			Mezní hodnoty		
		Statické hodnoty						
6F32 EF95	Velikost max Ø 19×45,2 mm	U_F 6,3 V I_F 0,175 A nepřímé žhavení 	Vf zesilovač třídy A			U_{AO} 320 V U_A 200 V P_{AR} 1,7 W U_{G2o} 320 V U_{G2} 150 V P_{G2R} 0,5 W I_K 18 mA R_{g1} 1 MΩ $U_{K/F}$ 100 V $R_{k/f}$ 20 kΩ		
		 U_A 120 V U_{G2} 120 V R_k 200 Ω I_A 7,5 mA I_{G2} <3,5 mA S 5,2 mA/V $\mu_{g2/g1}$ 25 r_i >0,25 MΩ r_i >0,25 MΩ	I_A 7,5 mA I_{G2} 2,5 mA S 5 mA/V r_i 0,34 MΩ Z_{g1} (f=50 MHz) 25 kΩ R_{ekv} 2 kΩ			Kapacity C_{g1} 4,5 pF C_a 2,8 pF $C_{a/g1}$ <0,025 pF		
vf strmá pentoda vf, mf, širokopásmový zesilovač			Vf zesilovač třídy A, triódové zapojení					
		U_A 120 V U_{G1} -2,65 V (R_k 265 Ω) I_A 10 mA S 6 mA/V r_i 5 kΩ μ 30 Z_{g1} (f = 100 MHz) 9,5 kΩ R_{ekv} 700 Ω						

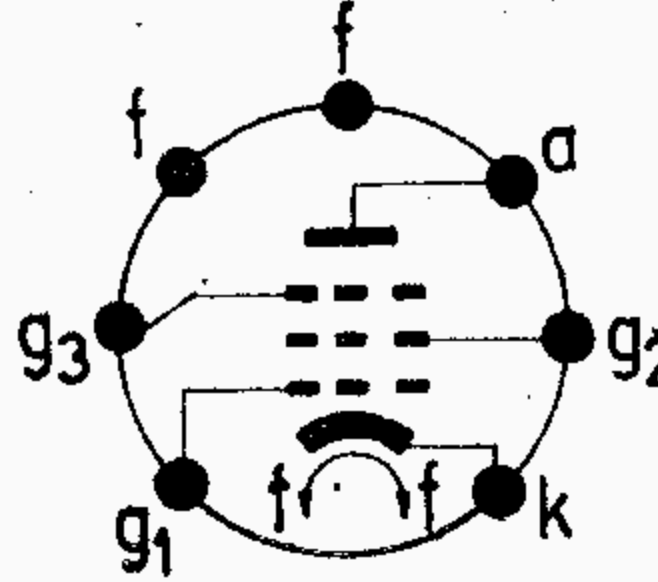
Typ Použití	Rozměry Patice	Žhavení	Provozní hodnoty		Mezní hodnoty	
		Statické hodnoty				
6F36	Velikost M 3	U_F 6,3 V I_F 0,45 A nepřímé žhavení 	Vysokofrekvenční zesilovač		U_{AO} 550 V U_A 300 V P_{AR} 3,3 W U_{G2o} 550 V U_{G2} 135 V P_{G2R} ($U_{G1\ ef} = 0\text{ V}$) 0,45 W P_{G2R} ($U_{G1\ ef} \sim \max$) 0,8 W I_K 25 mA $-U_{G1}$ -30 V R_{g1} 0,5 MΩ $R_{g1(p)}$ 0,25 MΩ $U_{K/F}$ 100 V $R_{k/f}$ 20 kΩ Triodové zapojení U_A 165 V	
		U_A 300 V U_{G3} 0 V U_{G2} 150 V R_k 150 Ω I_A 10,25 mA I_{G2} 2,2 mA S 9 mA/V r_i 1 MΩ I_{AZ} ($U_{G1} = -6\text{ V}$) <0,6 mA Kapacity C_{g1} 13,2 pF C_a 6,5 pF $C_{a/g1}^{1)}$ <0,015 pF <div>1) Se stínícím krytem.</div>	U_B 300 V U_A 300 V U_{G3} 0 V U_{G2} 150 V R_{g2} 0 60 kΩ R_k 160 160 Ω I_A 10,25 10,25 mA I_{G2} 2,2 2,2 mA S 9 9 mA/V r_i 0,5 0,5 MΩ Vysokofrekvenční zesilovač g_2, g_3 spaj s a U_A 150 V R_k 160 Ω I_A 12,5 mA S 11 mA/V μ 40 r_i 3,6 kΩ U_{G1} ($I_A = 10\text{ }\mu\text{A}$) -7 V			
vf strmá pentoda vf, mf, širokopásmový zesilovač						

Typ Použití	Rozměry Patice	Žhavení	Provozní hodnoty			Mezní hodnoty		
		Statické hodnoty						
6H31	Velikost M 2	U_F 6,3 V I_F 0,3 A nepřímé žhavení 	U_A 250 V U_{G2+G4} 100 V U_{G3} -1,5 V I_{G1} 0,5 mA I_A 3 mA I_{G2+g4} <9,5 mA R_{g1} 20 k Ω C_{g1} 4 μ F $U_{G1\ ef}$ 10 V f 50 Hz	U_A 100 250 V U_{G2+G4} 100 100 V U_{G3} -1,5 -1,5 V $U_{G1\ ef}$ 10 10 V I_A 2,8 3 mA I_{G2+G4} 7,3 7,1 mA I_{G1} 0,5 0,5 mA I_K 10,6 10,6 mA R_{g1} 20 20 k Ω r_i 0,5 1 M Ω S_c 0,455 0,455 mA/V U_{G3} ($S_c=10\ \mu$ A/V) -30 -30 V	U_{AO} 550 V U_A 300 V P_{AR} 1 W U_{G2+G4o} 300 V U_{G2+G4} 100 V P_{G2+G4R} 1 W U_{G1} 0 V $-U_{G1}$ -50 V U_{G3} 0 V $-U_{G3}$ -50 V I_K 14 mA $U_{K/F}$ 90 V R_{g3} 20 k Ω			
		S_c >0,3 mA/V $U_{G3\ ef}$ 0,354 V	Kapacity C_{g3} 7,15 pF C_a 8,6 pF C_{g1} 5,5 pF $C_{a/g3}$ <0,35 pF $C_{g1/g3}$ <0,15 pF $C_{u/g1}$ <0,06 pF					
řízená heptoda směšovač								

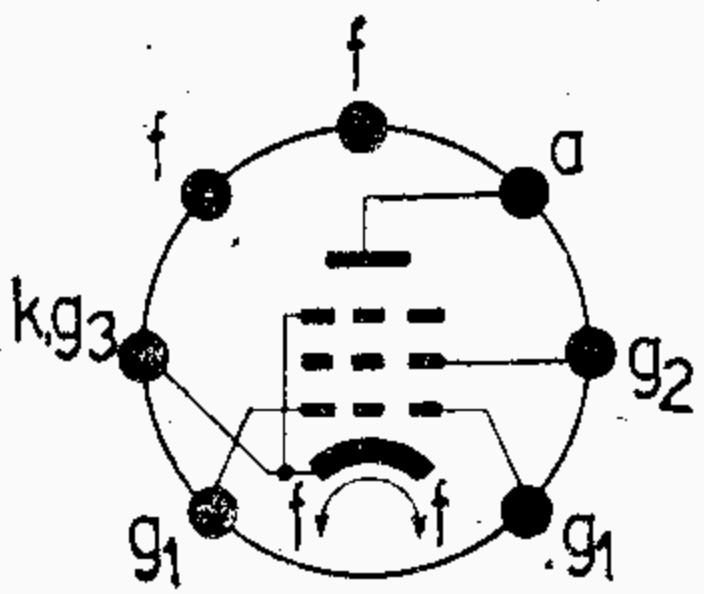
Typ Použití	Rozměry Patice	Žhavení	Provozní hodnoty	Mezní hodnoty
		Statické hodnoty		
6L31	Velikost M 4	U_F 6,3 V I_F 0,45 A nepřímé žhavení 	Nf zesilovač výkonu třídy A U_A 180 250 V U_{G2} 180 250 V U_{G1} -8,5 -12,5 V I_{AO} 29 45 mA I_A 30 47 mA I_{G2o} 3 4,5 mA I_{G2} 4 7 mA r_i 58 52 kΩ S 3,7 4,1 mA/V R_a 5,5 5 kΩ P_o 2 4,5 W k 8 8 %	U_{AO} 500 V U_A 315 V P_{AR} 12 W U_{G2o} 500 V U_{G2} 285 V P_{G2R} 2,5 W P_{G2} 3 W I_K 60 mA R_{g1} 0,5 MΩ $R_{g1(p)}$ 0,1 MΩ $U_{K/F}$ 100 V Kapacity $C_{a/g1}$ <0,6 pF
		U_A 250 V U_{G2} 250 V U_{G1} -12,5 V I_A 45 mA I_{G2} <8,5 mA S 4,1 mA/V r_i 52 kΩ I_{AZ} ($U_{G1} = -30$ V) <8 mA	Nf dvojitý zesilovač třídy AB U_A 250 V U_{G2} 250 V U_{G1} -15 V I_{AO} 2 × 35 mA I_A 2 × 39,5 mA I_{G2o} 2 × 2,5 mA I_{G2} 2 × 6,5 mA $R_{a-a'}$ 10 kΩ U_{G1ef} 10,5 V P_o 10 W k 5 %	
koncová svazková tetroda nf zesilovač výkonu				

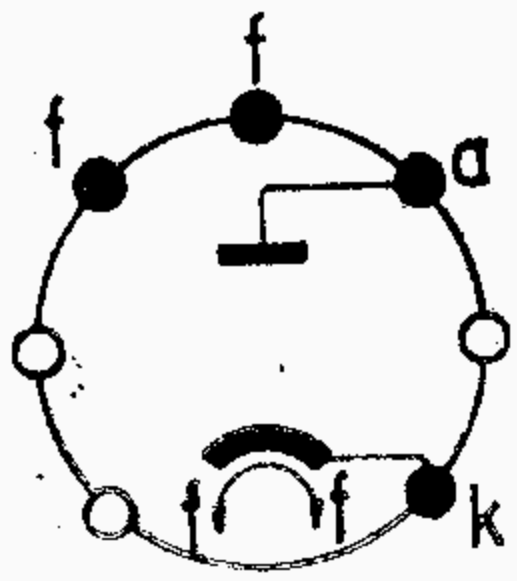
Typ Použití	Rozměry Patice	Žhavení	Provozní hodnoty				Mezní hodnoty			
		Statické hodnoty								
6Z31	Velikost M 3	U_F 6,3 V	Vstup filtrů kapacitní				induktivní			$-U_A$ 1000 V
		I_F 0,6 A	$U_{A.ef}$ 2×325				2×450 V			I_{AM} 300 mA
		nepřímé žhavení	C_N max 4				— μF			I_O 70 mA
			R_t 150				— Ω			$U_{K/F}$ 450 V
		I_D 50 mA	L —				min 8 H			C_N 16 μF
		r_i 250 Ω	I_O 70				70 mA			
			U_O 355				375 V			
		dvojitá dioda dvoucestný usměrňovač								

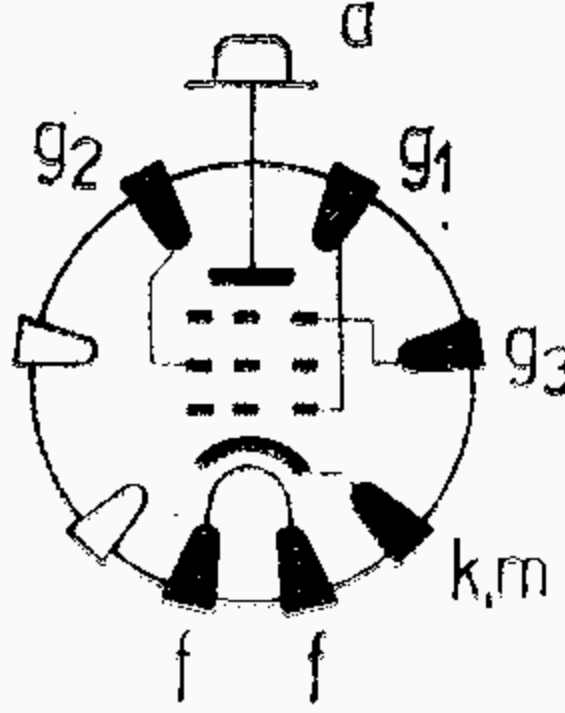
Typ Použití	Rozměry Patice	Žhavení	Provozní hodnoty				Mezní hodnoty	
		Statické hodnoty						
12BC32	Velikost max Ø 19 × 57 mm	I_F 150 mA	Nf odporový zesilovač				Trioda	
		U_F 12,6 V nepřímé žhavení						
	U_A 100 V	U_B 180 300 300 V	R_a 0,22 0,22 0,47 MΩ	R_k 3,9 3,1 5,9 kΩ	R_{g1} 1 1 1 MΩ	U_F 14 V	U_{AO} 500 V	
	U_{G1} -1 V	$R_{g1'}$ 1 1 2,2 MΩ	C_k 1,8 2,1 1,1 μF	$C_v^{1)}$ 3 3 2 kpF	U_A 330 V	P_{AR} 0,5 W	$+U_{G1}$ 0 V	
	I_A 0,5 mA	U_{aM} 39 79 92 V	V 63 68 75			$-U_{G1}$ -50 V	R_{g1} 3 MΩ	
	S 1,25 mA/V					$R_{g1(i)}$ 10 MΩ	$R_{k/f}$ 20 kΩ	
	μ 100					$U_{K/F}$ 150 V	I_K 8 mA	
	r_i 80 kΩ							
	U_D 4 V							
	I_D >0,15 mA							
			1) Vazební kondenzátor					
			Kapacity					
			C_{g1} 2 pF					
			C_a 0,65 pF					
			$C_{a/g1}$ 2 pF					
			$C_{d/g1}$ <0,04 pF					
			$C_{d/k}$ <1,2 pF					
				</				

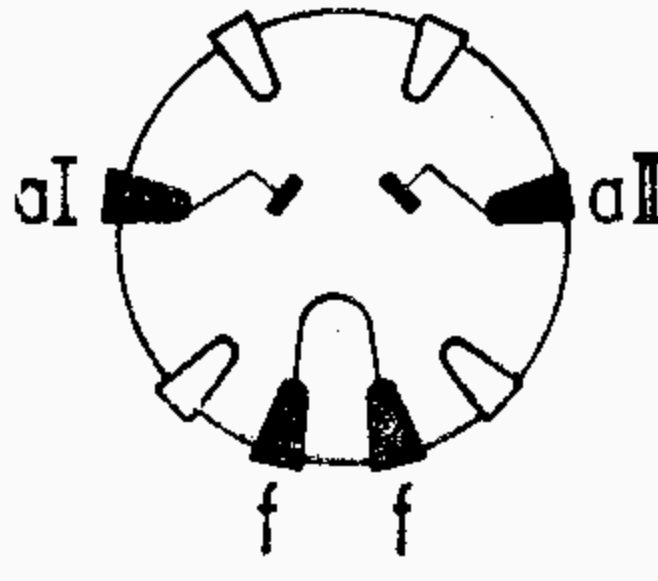
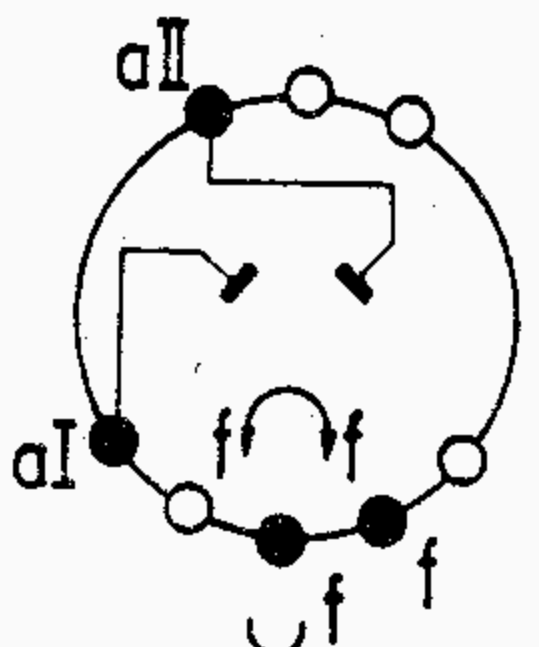


Typ Použití	Rozměry Patice	Žhavení	Provozní hodnoty			Mezní hodnoty			
		Statické hodnoty							
12F31	Velikost M 3	I_F 150 mA	Vf a mf zesilovač			U_{AO} 500 V			
		U_F 12,6 V				U_A 100 250 V	U_A 300 V		
		nepřímé žhavení	U_{G3} 0 0 V	U_{G2} 100 100 V	P_{AR} 3 W	U_{G2o} 300 V			
			U_A 250 V	R_k 68 68 Ω	U_{G2} 125 V	U_{G2} 125 V			
			U_{G3} 0 V	I_A 10,8 11 mA	P_{G2R} 0,6 W	U_{G1} 0 V			
			U_{G2} 100 V	I_{G2} 4,4 4,2 mA	U_{G1} -50 V	$-U_{G1}$ -50 V			
			R_k 68 Ω	S 4,3 4,4 mA/V	R_{g1} 3 M Ω	$U_{K/F}$ 150 V			
			I_A 11 mA	r_i 0,25 1,5 M Ω	ϑ_b 150 °C				
			I_{G2} 4,2 mA						
			r_i 1,5 M Ω						
			S 4,4 mA/V						
			I_{AZ} ($U_{G1} = -20$ V)						
			<0,4 mA						

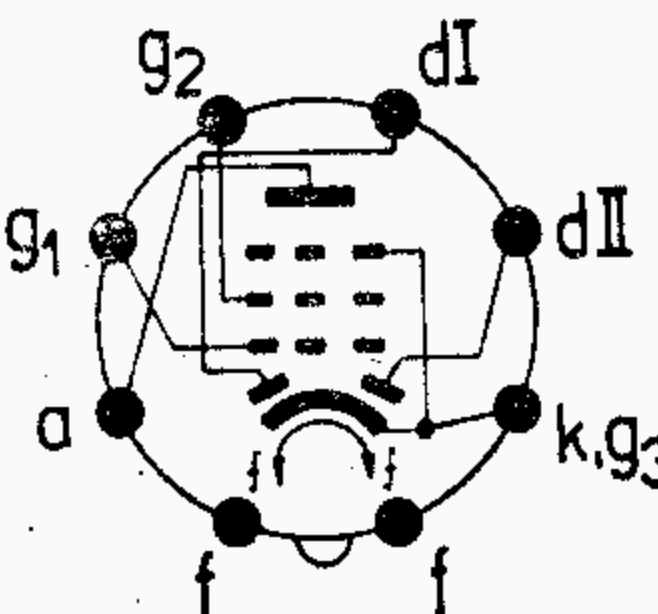

Typ Použití	Rozměry Patice	Žhavení	Provozní hodnoty			Mezní hodnoty		
		Statické hodnoty						
12H31	Velikost max Ø 19 × 57 mm	I_F 150 mA	Směšovač			U_{AO} 500 V		
		U_F 12,6 V	U_A 100 250 V	U_A 300 V				
		nepřímé žhavení	U_{G2+G4} 100 100 V	U_{G2+G4} 100 V				

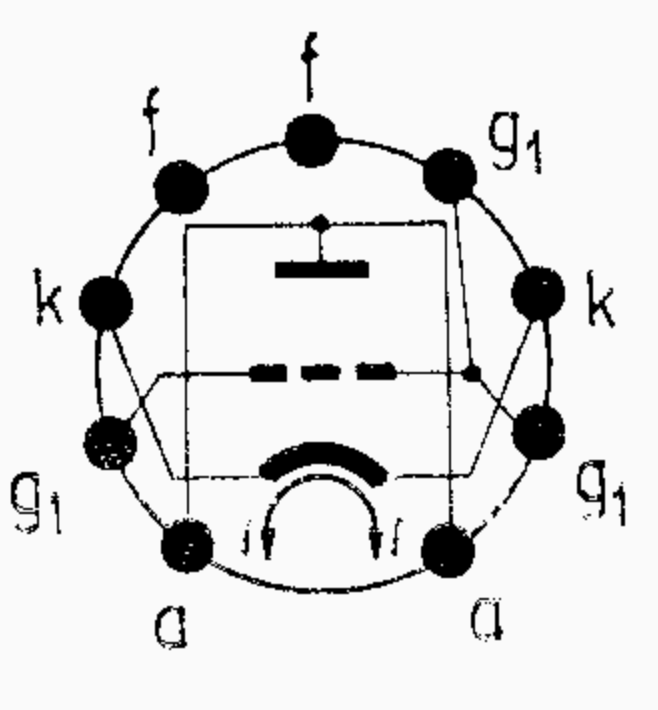
Typ Použití	Rozměry Patice	Žhavení	Provozní hodnoty	Mezní hodnoty
		Statické hodnoty		
35L31	Velikost M 4	I_F 150 mA U_F 35 V nepřímé žhavení 	Nf zesilovač výkonu třídy A U_A 100 180 200 V U_{G2} 100 180 200 V R_k 140 140 200 Ω I_A 32,5 61 55 mA I_{G2} 5,5 10 9,5 mA S 7,5 9 8 mA/V r_i 25 22 25 k Ω R_a 3 3 3,5 k Ω P_o 1,35 4,8 4,8 W k 10 10 10 % $U_{G1\ ef}$ 3,8 6,2 6,2 V $U_{G1\ ef}$ ($P_o = 50$ mW) 0,55 0,5 0,5 V	U_{AO} 550 V U_A 250 V P_{AR} 11 W U_{G2o} 550 V U_{G2} 250 V P_{G2R} ($U_{G1\ ef} = 0$ V) 1,9 W P_{G2R} ($U_{G1\ ef} = \text{max}$) 3,5 W R_{g1} 1 M Ω $U_{K/F}$ 150 V $R_{k/f}$ 20 k Ω U_F 38,5 V U_F >31,5 V Kapacity $C_{a/g1}$ <1,2 pF
		U_A 200 V U_{G2} 200 V U_{G1} -13 V I_A 55 mA I_{G2} 9,5 mA S 8 mA/V r_i 25 k Ω I_A ($U_{G1} = -28$ V) <10 mA		
koncová pentoda nf zesilovač výkonu				

Typ Použití	Rozměry Patice	Žhavení	Provozní hodnoty			Mezní hodnoty		
		Statické hodnoty						
35Y31	Velikost M 4	I_F 150 mA	$U_{A\ ef}$ 127–170	170–250	V	$-U_A$ 700	V	
		U_F 35 V nepřímé žhavení	R_o ($C_N=60\ \mu F$) 100	175	Ω	$U_{A\ ef}$ 250	V	
			($C_N=32\ \mu F$) 75	125	Ω	I_O 140	mA	
			($C_N=16\ \mu F$) 30	75	Ω	I_{OM} 850	mA	
			($C_N=8\ \mu F$) 0	0	Ω	P_{AR} 2,5	W	
			C_N 32	32	μF	$U_{K/F}$ 550	V	
			I_O 140	140	mA	U_F 38,5	V	
			U_O 103	165	V	U_F >31,5	V	
								
dioda jednocestný usměrňovač								

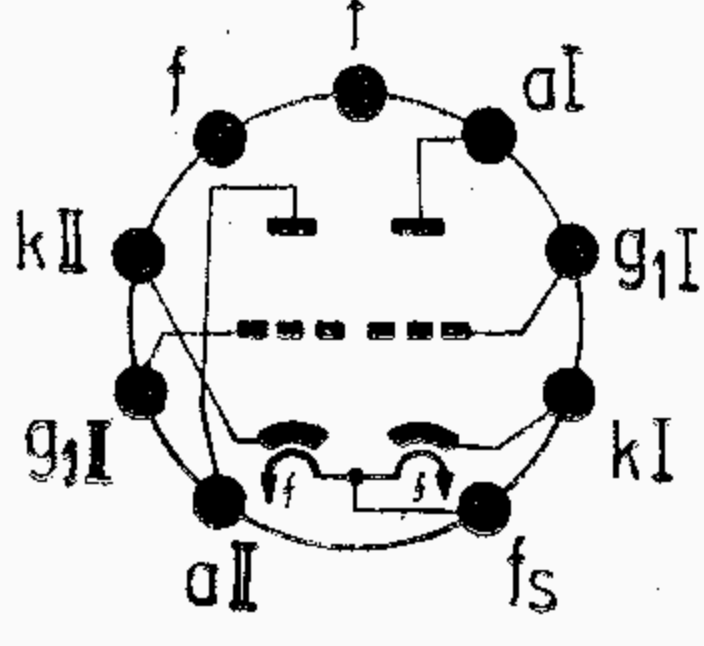
Typ Použití	Rozměry Patice	Žhavení	Provozní hodnoty			Mezní hodnoty		
		Statické hodnoty						
4654		U_F 6,3 V	NF dvojčinný zesilovač výkonu			U_{AO} 1200	V	
		I_F 1,35 A nepřímé žhavení	třídy AB			U_A 600	V	
			U_A 400	400	600	P_{AR} 18	W	
			U_{G3} 0	0	0	U_{G2o} 1000	V	
			U_{G2} 425	425	400	U_{G2} 425	V	
			U_{G1} —	—30	—33	P_{G2OR} 3	W	
			R_k 315	—	—	P_{G2R} 10	W	
			I_{AO} 2×45	2×27,5	2×26	I_K 120	mA	
			I_A 2×50	2×97	2×80	$U_{K/F}$ 50	V	
			I_{G2o} 2×5	2×3	2×2,5	$R_{g1(k)}$ 0,7	M Ω	
			I_{G2} 2×13	2×23	2×20	$R_{g1(p)}$ 0,5	M Ω	
			R_{a-a} 10	5	10	$R_{k/f}$ 10	k Ω	
			P_o 25	52,5	69	Kapacity		
			k 4	3,5	5	C_{g1} 15,5	pF	
			$U_{G1\ ef}$ 18,5	22	22	C_a 10	pF	
						$C_{g1/a}$ <0,9	pF	
								
Koncová pentoda NF zesilovač výkonu								

Typ Použití	Rozměry Patice	Žhavení	Provozní hodnoty	Mezní hodnoty
		Statické hodnoty		
AZ1, AZ11 AZ4, AZ12  AZ1, AZ4  AZ11, AZ12 dvoucestný usměrňovač		AZ1, AZ11 U_F 4 V I_F 1,1 A přímé žhavení  U_A 26 V I_A 50 mA	$U_{tr ef}$ 2×500 V I_O 60 mA $R_t > 2 \times 100 \Omega$ $U_{tr ef}$ 2×400 V I_O 75 mA $R_t > 2 \times 80 \Omega$ $U_{tr ef}$ 2×300 V I_O 100 mA $R_t > 2 \times 60 \Omega$	$U_{tr ef}$ 2×500 V C_N 60 μF
		AZ4, AZ12 U_F 4 V I_F 2,2 A přímé žhavení  U_A 27,5 V I_A 100 mA	$U_{tr ef}$ 2×500 V I_O 120 mA $R_t > 2 \times 100 \Omega$ $U_{tr ef}$ 2×400 V I_O 150 mA $R_t > 2 \times 80 \Omega$ $U_{tr ef}$ 2×300 V I_O 200 mA $R_t > 2 \times 60 \Omega$	$U_{tr ef}$ 2×500 V C_N 60 μF

Typ Použití	Rozměry Patice	Žhavení	Provozní hodnoty	Mezní hodnoty
		Statické hodnoty		
EBL21 		U_F 6,3 V I_F 0,9 A t_f 22 s nepřímé žhavení  U_A 250 V U_{G2} 250 V U_{G1} -6 V I_A 36 mA I_{G2} 4,5 mA S 9 mA/V $\mu_{g2/g1}$ 23 r_i 50 k Ω I_{AZ} ($U_{G1} = -14$ V) < 7 mA <hr/> U_D 15 V I_D > 3 mA	Nf zesilovač výkonu třídy A U_A 250 250 V U_{G2} 250 250 V R_k 105 150 Ω I_A 44 36 mA I_{G2} 5,5 4,5 mA S 9,5 9 mA/V r_i 30 50 k Ω R_a 5,7 7 k Ω P_o 4,5 4,5 W k 7 10 % $U_{G1 ef}$ 3,9 4,2 V Nf dvojčinný zesilovač výkonu třídy AB U_A 300 V U_{G2} 300 V R_k 130 Ω R_a 9 k Ω $U_{G1 ef}$ 0 7 V I_A 2×30 2×36 mA I_{G2} 2×3,8 2×6,5 mA P_o 0 13,2 W k 0 1,8 %	U_{AO} 550 V U_A 300 V P_{AR} 11 W U_{G2o} 550 V U_{G2} 300 V P_{G2OR} 1,7 W P_{G2R} 2,75 W I_K 60 mA R_{g1} 1 M Ω $R_{k/f}$ 5 k Ω $U_{K/F}$ 50 V U_{DI}, U_{DII} 200 V I_{DI}, I_{DII} 0,8 mA Kapacity $C_{a/g1}$ $< 1,4$ pF $C_{dI/k}$ 1,8 pF $C_{dII/k}$ 2,0 pF $C_{g1/dI}$ $< 0,1$ pF $C_{g1/dII}$ $< 0,05$ pF $C_{a/dI}$ $< 0,06$ pF $C_{a/dII}$ $< 0,02$ pF $C_{dI/dII}$ $< 0,15$ pF
dvojitá dioda — nf koncová pentoda demodulátor, zdroj AVC, nf zesilovač výkonu				

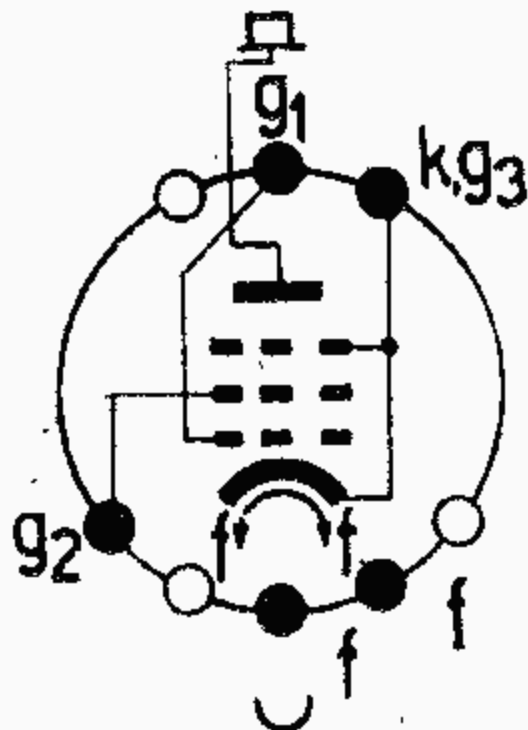
Typ Použití	Rozměry Patice	Žhavení	Provozní hodnoty	Mezní hodnoty
		Statické hodnoty		
EC86	Velikost N 2	U_F 6,3 V I_F 0,18 A nepřímé žhavení 	Vf zesilovač s uzemněnou mřížkou U_A 175 V R_k 125 Ω I_A 12 mA S 14 mA/V R_{ekv} 250 Ω Samokmitací směšovač U_B 220 V $R_a^{1)}$ 5,6 k Ω R_{g1} 50 k Ω I_A 12 mA I_{G1} 50 μ A	U_{AO} 500 V U_A 220 V P_{AR} 2,2 W I_K 20 mA $-U_{G1}$ 50 V R_{g1} 1 M Ω $U_{+K/F}$ 130 V $U_{K/F\ ef}$ 50 V $R_{k/f}$ 20 k Ω Kapacity $C_{a/g1}$ 2 pF $C_{g1/k}$ 3,6 pF $C_{a/k}$ 0,2 pF $C_{g1/f}$ <0,35 pF $C_{k/f+g1}$ 6,6 pF $C_{g1/k+f}$ 3,9 pF $C_{a/k+f}$ 0,3 pF $C_{a/g1+f}$ 2,1 pF
		U_A 175 V U_{G1} -1,5 V I_A 12 mA S 14 mA/V μ 70 I_{AZ} ($U_{G1} = -4$ V) <0,15 mA	I_{G1} 50 μ A ¹⁾ R_a přemostěn C_a	

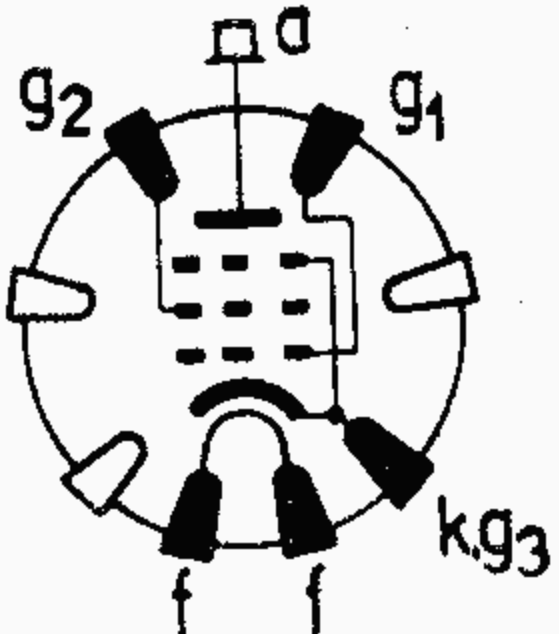

vkv strmá trioda pro
vstupní zesilovače a sa-
mokmitací směšovače
do 800 MHz

Typ Použití	Rozměry Patice	Žhavení	Provozní hodnoty	Mezní hodnoty
		Statické hodnoty		
ECC803S	Velikost N 2	U_F 6,3/12,6 V I_F 0,3/0,15 A nepřímé žhavení 	Dlouhoživotnostní Otřesuvzdorná Úzké tolerance Spolehlivá v provozu	U_{AO} 550 V U_A 300 V P_{AR} 1 W I_K 8 mA $-U_{G1}$ 50 V R_{g1} 2,2 M Ω $R_{g1\ (i)}$ 22 M Ω $U_{K/F}$ 100 V $R_{k/f}$ 20 k Ω $R_{k/f\ ^1)}$ 150 k Ω ϑ_b 170 $^{\circ}$ C ¹⁾ Jako fázový invertor Kapacity C_g 2,0 \pm 0,4 pF C_{aI} 0,4 \pm 0,2 pF C_{aII} 0,3 \pm 0,2 pF $C_{aI/gI}$ 2,0 \pm 0,4 pF $C_{aII/gII}$ 2,0 \pm 0,4 pF $C_{g/f}$ <0,15 pF $C_{aI/aII}$ <1 pF
		U_A 250 V U_{G1} -2 V I_A 1,25 \pm 0,5 mA S 1,6 \pm 0,45 -0,35 mA/V μ 95 \pm 20 r_i 59 k Ω I_{AZ} ($U_{G1} = -8$ V) <0,07 mA $-I_{G1}$ <0,4 μ A		

dvojitá trioda
nf odporový zesilovač,
fázový invertor

173

Typ Použití	Rozměry Patice	Žhavení	Provozní hodnoty	Mezní hodnoty
		Statické hodnoty		
EL12 spec.		U_F 6,3 V I_F 1,2 A t_f 25 s nepřímé žhavení	Nf dvojčinný zesilovač třídy AB U_A 425 V U_{G2} 425 V U_{G1} -19 V I_{AO} 2×42 mA I_A 2×96 mA I_{G2o} 2×5 mA I_{G2} 2×26 mA $R_{a-a'}$ 5 kΩ R_{g2} 2×4 kΩ P_o 43 W $U_{G1\ ef}$ 27 V k 5 %	U_{AO} 800 V U_A 425 V P_{AR} 18 W U_{G2o} 800 V U_{G2} 425 V P_{G2OR} 5 W P_{G2R} 11 W I_K 90 mA $R_{g1\ (p)}$ 0,3 MΩ $R_{g1\ (k)}$ 0,5 MΩ $R_{k/f}$ 5 kΩ $U_{K/F}$ 50 V
		U_A 425 V U_{G2} 425 V U_{G1} -19 V I_A 42 mA I_{G2} 5 mA S 10 mA/V r_i 50 kΩ I_{AZ} ($U_{G1} = -35$ V) 6 mA		
koncová pentoda pro zesilovače výkonu				

Typ Použití	Rozměry Patice	Žhavení	Provozní hodnoty	Mezní hodnoty
		Statické hodnoty		
EL51		U_F 6,3 V I_F 1,9 A t_f 25 s nepřímé žhavení	Nf dvojčinný zesilovač třídy AB	U_{AO} 1500 V
		 U_A 500 V U_{G2} 500 V U_{G1} -22 V I_A 90 mA I_{G2} <16 mA S 11 mA/V r_i >20 kΩ <hr/> U_A 850 V U_{G2} 850 V U_{G1} -37,5 V I_A >70 mA <hr/> U_{G1} -67,5 V I_A <13 mA	U_A 500 V U_{G2} 500 V $R_k^{1)}$ 100 Ω I_{AO} 2×95 mA I_A 2×115 mA I_{G2o} 2×12,5 mA I_{G2} 2×30 mA $R_{a-a'}$ 4,8 kΩ P_o 70 W k 6 ‰ $U_{G1\ ef}$ 20 V	U_A 750 V U_{G2} 750 V U_{G1} -42 V I_{AO} 2×40 mA I_A 2×150 mA I_{G2o} 2×6 mA I_{G2} 2×35 mA $R_{a-a'}$ 6 kΩ $R_{g2}^{1)}$ 1000 Ω P_o 125 W k 7 ‰ $U_{G1\ ef}$ 29 V
1) Společný odpor pro obě elektronky.				
koncová pentoda pro zesilovače výkonu				

¹⁾ Společný odpor pro obě elektronky.

Typ Použití	Rozměry Patice	Žhavení	Provozní hodnoty			Mezní hodnoty		
		Statické hodnoty						
EM11 EM4n		U_F 6,3 V I_F 0,2 A nepřímé žhavení	U_B 200 250 V R_{aI} 2 2 MΩ R_{aII} 1 1 MΩ $U_{G1} (\theta_1 = 85^\circ)$ 0 0 V $U_{G1} (\theta_2 = 85^\circ)$ 0 0 V $U_{G1} (\theta_1 = 5^\circ)$ -5,5 -6,5 V $U_{G1} (\theta_2 = 5^\circ)$ -12 -15 V $I_l (U_{G1} = 0)$ 0,55 0,75 mA			U_{AIO} 550 V U_{AI} 275 V U_{AIIo} 550 V U_{AII} 275 V U_{IO} 550 V U_L 275 V R_{g1} 3 MΩ $R_{k/f}$ 20 kΩ U_{KF} 100 V		

EM11
EM4n

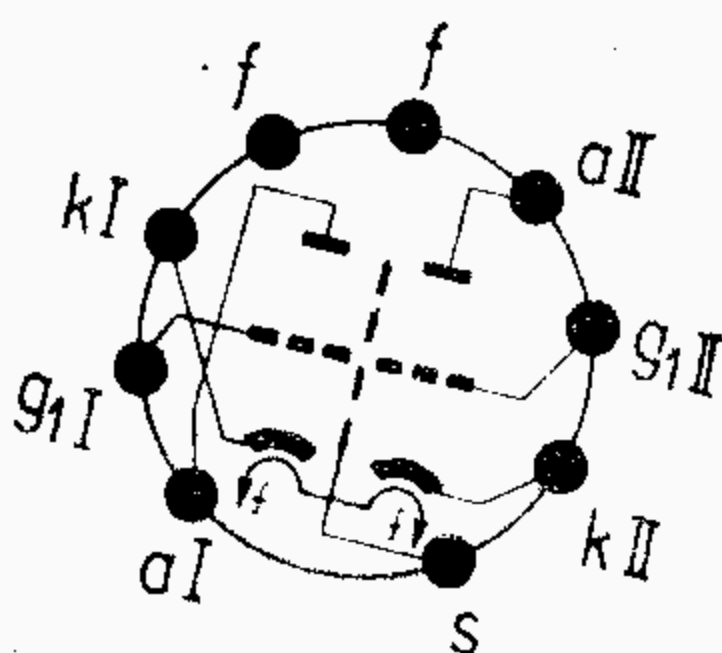
elektronický indikátor
vyladění

Typ Použití	Rozměry Patice	Žhavení	Provozní hodnoty			Mezní hodnoty		
		Statické hodnoty						
EM80 EM81	Velikost N 4 Velikost N 4	EM80 U_F 6,3 V I_F 0,3 A nepřímé žhavení U_A 100 V U_l 100 V U_{G1} -2 V I_A 2,75 mA S >0,7 mA/V	U_B 250 V U_l 250 V R_{a+D} 0,5 MΩ R_{g1} 3 MΩ U_{G1} -4,5 -10 -20 V α 25 45 ° I_l - - <3,8 mA Kapacity: C_{g1} 2,9 pF $C_{a/g1}$ 1,1 pF			U_{AO} 550 V U_A 300 V P_{AR} 0,2 W U_{Io} 550 V U_l 300 V U_l >160 V I_K 4 mA R_{g1} 3 MΩ R_a >200 kΩ $U_{K/F}$ 100 V $R_{k/f}$ 20 kΩ		
		EM81 U_F 6,3 V I_F 0,3 A nepřímé žhavení U_A 100 V U_l 100 V U_{G1} -2 V I_A 2,75 mA S >0,7 mA/V	U_B 250 V U_l 250 V R_{a+D} 500 kΩ R_{g1} 3 MΩ U_{G1} -7,8 -4,8 -20 V I_l - - <3,8 mA β 25 45 ° Kapacity: C_{g1} 2,9 pF $C_{a/g1}$ 1,1 pF			U_{AO} 550 V U_A 300 V P_{AR} 0,2 W U_{Io} 550 V U_l 300 V U_l >160 V I_K 4 mA R_{g1} 3 MΩ R_a >200 kΩ $U_{K/F}$ 100 V $R_{k/f}$ 20 kΩ		

elektronický indikátor
vyladění.

Typ Použití	Rozměry Patice	Žhavení	Provozní hodnoty	Mezní hodnoty
		Statické hodnoty		
PCC85	Velikost N 2	I_F 0,3 A	Vf a vkv zesilovač	U_{AO} 550 V
		U_F 9 V	U_B 170 V S 4,7 mA/V	U_A 250 V
		t_f 18 s	R_a 1) 1,3 kΩ r_i 10,5 kΩ	P_{AR} 2,5 W
		nepřímé žhavení	U_A 160 V R_{ekv} 650 Ω	$P_{AI} + P_{AIR}$ 4,5 W
		●	R_k 330 Ω Z_{g1} (f = 100 MHz)	I_K 15 mA
		U_A 170 V	I_A 6 mA 8 kΩ	$-U_{G1}$ 100 V
		R_k 150 Ω		R_{g1} 1 MΩ
		I_A 10 mA	1) Přemostěn kapacitou 1000 pF	$U_{+K/F-}$ 200 V
		S 6,2 mA/V	Kmitající směšovač	$U_{-K/F+}$ 90 V
		μ 50	U_B 170 V I_A 4,8 mA	$R_{k/f}$ 20 kΩ
		r_i 8 kΩ	R_a 4,7 kΩ S_c 2,2 mA/V	Kapacity:
		I_{AZ} ($U_{G1} = -7$ V)	R_{g1} 1 MΩ r_i 16 kΩ	$C_{a/g}$ 1,85 pF
		<1 mA	$U_{osc\ ef}$ 2,8 V Z_{g1} (f = 100 MHz)	$C_{g/k+f+s}$ 3,3 pF
				$C_{a/k}$ 0,23 pF
				$C_{a/k+f+s}$ 1,6 pF
				$C_{aI/aII}$ 0,04 pF
				$C_{aI/kII}$ <0,008 pF
				$C_{gI/gII}$ 0,003 pF
				$C_{aI/gII}$ <0,008 pF
				$C_{aII/gI}$ <0,008 pF
				$C_{aII/kI}$ <0,008 pF
				$C_{gI/kII}$ <0,003 pF
				$C_{gII/kI}$ <0,003 pF

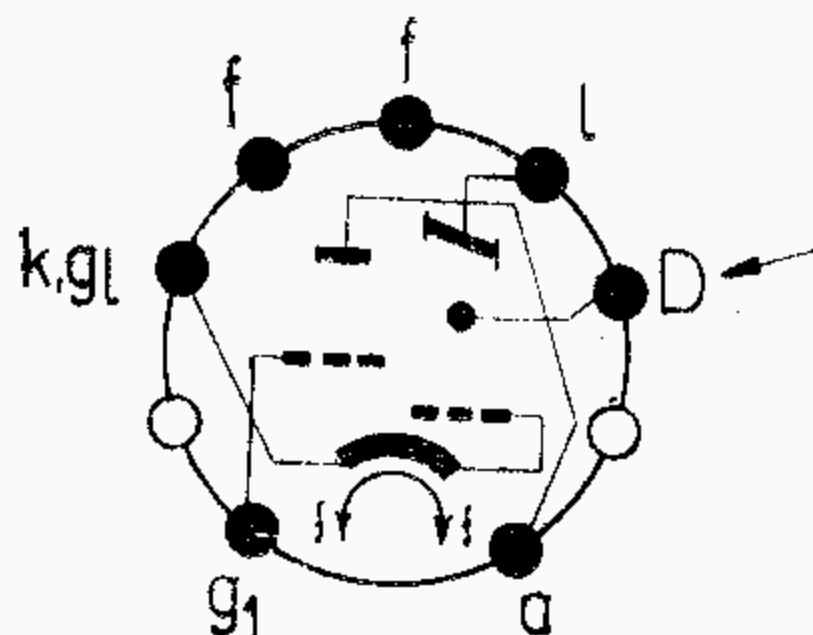
dvojité trioda
vkv. kaskádní zesilovač,
směšovač



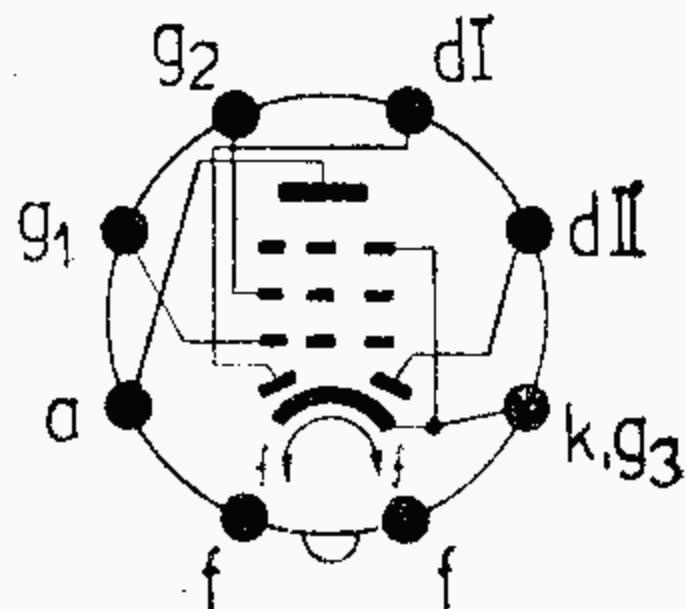
dvojitá trioda
vkv kaskádní zesilovač,
směšovač

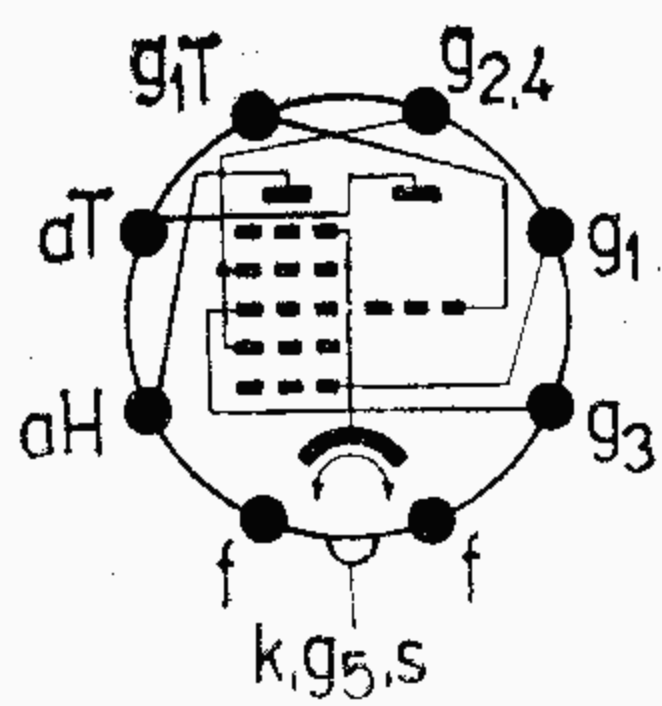
Typ Použití	Rozměry Patice	Žhavení	Provozní hodnoty			Mezní hodnoty		
		Statické hodnoty						
PM84		I_F 0,3 A	$U_B = U_l$ 170 V	U_{AO} 550 V				
		U_F 4,5 V	R_a 500 k Ω	U_A 300 V				
		nepřímé žhavení	R_{g1} 3 M Ω	P_{AR} 0,5 W				
		●	U_{g1} 0 -15 V	U_{lo} 550 V				
		U_B 170 V	I_l 0,7 0,95 mA	U_l 300 V				
		U_l 170 V	I_A 0,3 0,04 mA	U_l >170 V				
		R_a 500 k Ω	b 20 0 mm	U_{Do} 550 V				
		R_{g1} 3 M Ω		U_D 300 V				
		U_{G1} 0/-15 V		R_{g1} 3 M Ω				
		b 20/0 mm		I_K 3 mA				
		$U_{K/F}$ 100 V						
		∂b 120 °C						
		Kapacity						
		$C_{a/k}$ 0,8 pF						

elektronický indikátor
vyladění.



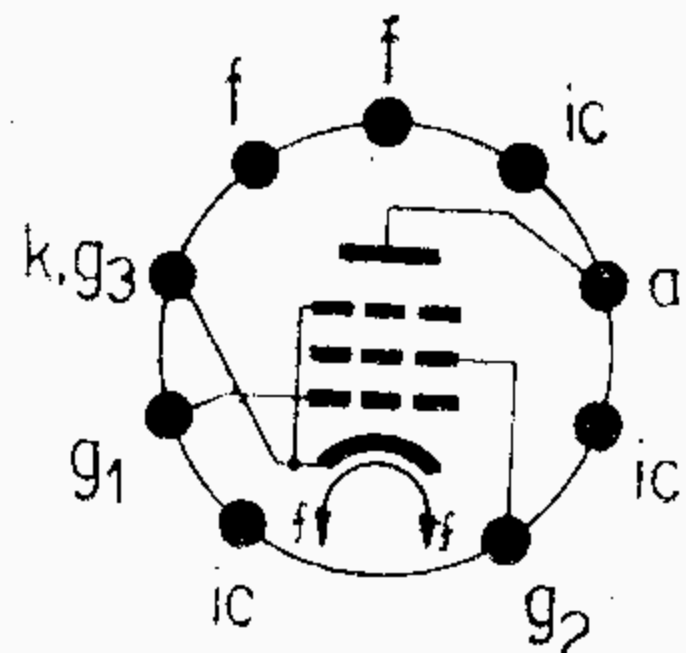
elektronický indikátor
vyladění.

Typ Použití	Rozměry Patice	Žhavení	Provozní hodnoty	Mezní hodnoty
		Statické hodnoty		
UBL21		I_F 0,1 A U_F 55 V t_f 20 s nepřímé žhavení	Zesilovač výkonu třídy A U_A 100 180 200 V U_{G2} 100 180 200 V R_k 140 140 200 Ω I_A 32,5 61 55 mA I_{G2} 5,5 10 9,5 mA S 7,5 9 8 mA/V r_i 25 22 25 k Ω R_a 3 3 3,5 k Ω P_o 1,35 4,8 4,8 W k 10 10 10 % $U_{G1\ ef}$ 3,8 6,2 6,2 V	Pentoda U_{AO} 550 V U_A 250 V P_{AR} 11 W U_{G2o} 550 V U_{G2} 250 V P_{G2R} ($U_{G1\ ef} = 0$ V) 1,9 W P_{G2R} ($U_{G1\ ef\ max}$) 3,5 W I_K 75 mA R_{g1} 1 M Ω $R_{k/f}$ 20 k Ω $U_{K/F}$ 150 V
		U_A 200 V U_{G2} 200 V U_{G1} -13 V I_A 55 mA I_{G2} 9,5 mA S 8 mA/V r_i 25 k Ω	Dvojčinný zesilovač výkonu třídy AB U_A 100 200 V U_{G2} 100 200 V R_k 170 116 Ω $R_{a-a'}$ 5,5 4 k Ω $U_{G1\ ef}$ 0 6,2 0 12 V I_A 2×17,5 2×19,6 2×50 2×56 mA I_{G2} 2×2,8 2×5 2×7,8 2×14 mA P_o 0 2,2 0 12,5 W k - 4 - 3,9 %	Diody $U_{DI, DII\ M}$ 200 V $I_{DI, DII}$ 0,8 mA Kapacity $C_{a/g1}$ <1,2 pF $C_{dI/k}$ <2,2 pF $C_{dII/k}$ <2,2 pF $C_{dI/g1}$ <0,1 pF $C_{dII/g1}$ <0,1 pF
dvojitá dioda – koncová pentoda pro zesilovače výkonu, detekci, zdroje AVC				

Typ Použití	Rozměry Patice	Žhavení	Provozní hodnoty		Mezní hodnoty	
		Statické hodnoty				
UCH21		I_F 0,1 A U_F 20 V t_f 38 s nepřímé žhavení	Heptoda: Směšovač Mf zesilovač		Heptoda	
		Heptoda: U_A 200 V U_{G2+G4} 100 V U_{G3} 0 V U_{G1} -2,65 V I_A 5,2 mA I_{G2} 3,5 mA S 2,15 mA/V r_i 0,7 M Ω $\mu_{g2/g1}$ 18 Trioda: U_A 100 V U_{G1} -2,5 V I_A 5 mA S 2,1 mA/V μ 19 I_{AZ} ($U_{G1} = -7$ V) <1,9 mA	U_B 200 V R_{g2+g4} 15,5 k Ω R_k 150 Ω R_{g3+gT} 50 k Ω I_{G3+GT} 190 μ A U_{G1} -2 -28 V U_{G2+G4} 100 200 V I_A 3,5 - mA I_{G2+G4} 6,5 - mA S_c 750 7,5 μ A/V r_i 1 >10 M Ω $\text{Trioda: Oscilátor Nf odporový}$ U_B 200 V zesilovač R_a 20 k Ω R_{gT+g3} 50 k Ω I_{GT+G3} 190 μ A I_A 4,1 mA S_{ef} 0,45 mA/V $\text{Kapacity: Heptoda Trioda}$ C_{g1} 7 pF C_a 9,2 pF $C_{a/g1}$ <0,003 pF U_B 200 V R_a 0,2 M Ω U_{G1} -2 -4 V I_A 0,8 0,37 mA U_{oef} 7,5 7,5 V V 10 10 k 2,8 6 % C_{g1} 4,3 pF C_a 3,6 pF $C_{a/g1}$ <1,25 pF	U_{AO} 550 V U_A 250 V P_{AR} 1,5 W U_{G2+G4o} 550 V U_{G2+G4} ($I_A = 3$ mA) 100 V U_{G2+G4} ($I_A < 1$ mA) 250 V P_{G2+G4R} 1 W I_K 15 mA R_{g1} 3 M Ω R_{g3} 3 M Ω $U_{K/F}$ 150 V $R_{k/f}$ 20 k Ω Trioda U_{AO} 550 V U_A 175 V P_{AR} 0,5 W R_{g1} 3 M Ω		
trioda - heptoda pro směšovače - oscilátory, nf zesilovače, mf, vf zesilovače, obraceče fáze						

Typ Použití	Rozměry Patice	Žhavení	Provozní hodnoty				Mezní hodnoty		
		Statické hodnoty							
UL84	Velikost N 5	I_F 0,1 A	Nf zesilovač třídy A				U_{AO}	550	V
		U_F 45 V	U_A	100	170	V	U_A	250	V
		nepřímé žhavení	U_{G2}	100	170	V	P_{AR}	12	W
			U_{G1}	-6,7	-12,5	V	U_{G20}	550	V
			I_A	43	70	mA	U_{G2}	250	V
			I_{G2}	3	5	mA	P_{G2OR}	1,75	W
			R_a	2,4	2,4	kΩ	P_{G2R}	6	W
			$U_{G1\ ef}$	4,3	7	V	I_K	100	mA
			P_o	1,9	5,6	W	$R_{g1\ (k)}$	1	MΩ
			k	10	10	%	$U_{K/F}$	200	V
			Nf dvojčinný zesilovač třídy				$R_{k/f}$	20	kΩ
			AB	AB	B		Kapacity:		
			U_A	100	170	170 V	C_{g1}	12	pF
			U_{G2}	100	170	170 V	C_a	6	pF
			R_k	135	120	0 Ω	$C_{a/g1}$	<1	pF
			U_{G1}	-	-	-20,5 V	$C_{g1/f}$	<0,25	pF
			I_{AO}	2×29	2×56,5	2×15 mA			
			I_A	2×31	2×57,5	2×57,5 mA			
			I_{G20}	2×1,6	2×3	2×0,7 mA			
			I_{G2}	2×7	2×20,5	2×20,5 mA			
			$R_{a-a'}$	3,5	3,5	3,5 kΩ			
			$U_{G1\ ef}$	7	13,1	14,6 V			
			P_o	3,6	13	13,5 W			
			k	3	4,5	4,8 %			

Výkonová pentoda
pro nf zesilovače
výkonu

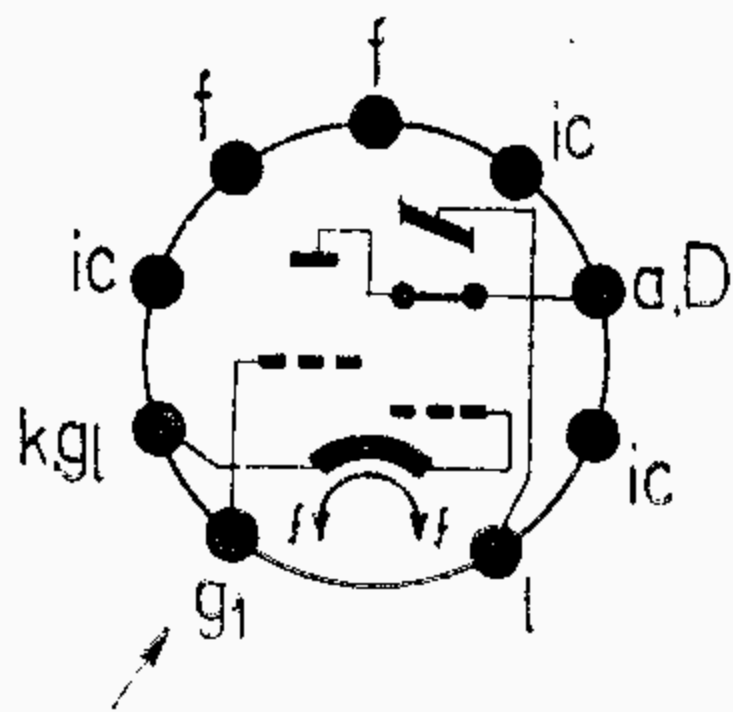


Výkonová pentoda
pro nf zesilovače
výkonu

Typ Použití	Rozměry Patice	Žhavení		Provozní hodnoty				Mezní hodnoty		
		Statické hodnoty								
UM80	Velikost N 4	I_F	0,1 A	U_B	250		V	U_{AO}	550 V	
		U_F	19 V	U_l	250		V	U_A	250 V	
		nepřímé žhavení		R_{g1}	3		MΩ	P_{AR}	0,2 W	
		●	U_A	100 V	R_{a+D}	0,5		MΩ	U_{Io}	550 V
			U_l	100 V	U_{G1}	-4,5	-10	-20 V	U_l	250 V
		U_{g1}	-2 V	α	25	45	-	°	U_l	>160 V
		I_A	2,55 mA	I_l	-	-	<3,8	mA	I_K	4 mA
		S	>0,7 mA/V						R_{g1}	3 MΩ
									R_a	>200 kΩ
									$U_{K/F}$	200 V
							$R_{k/f}$	20 kΩ		
								Kapacity:		
								C_{g1}	2,9 pF	
								$C_{a/g1}$	1,1 pF	

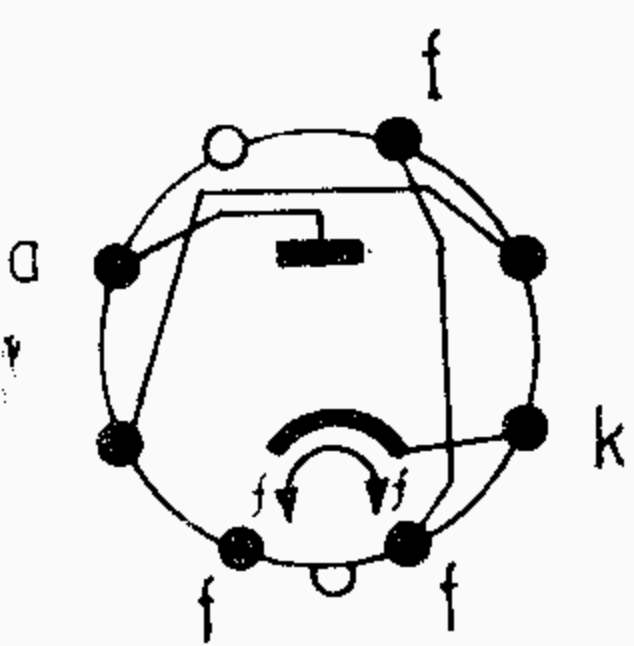

Směr pohledu

elektronický indikátor
vyladění

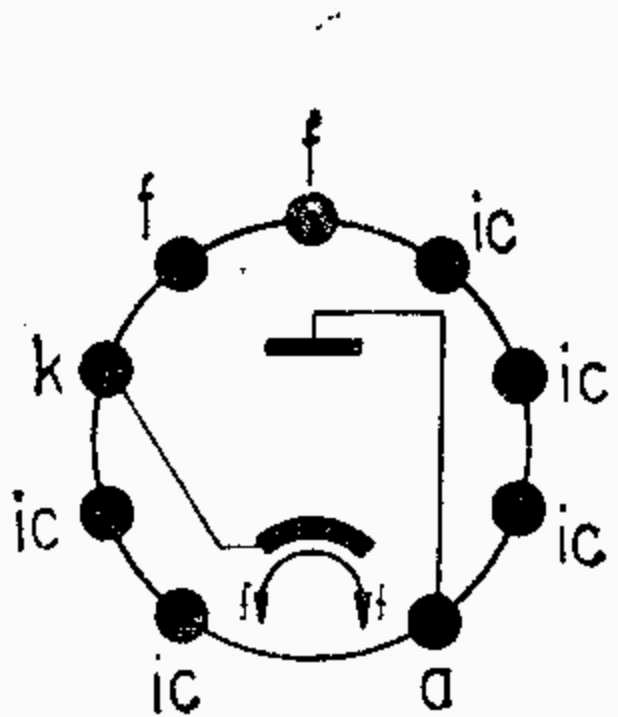


Směr pohledu

elektronický indikátor
vyladění

Typ Použití	Rozměry Patice	Žhavení	Provozní hodnoty	Mezní hodnoty
		Statické hodnoty		
UY1N UY1NS		I_F 0,1 A U_F 50 V t_f 40 s nepřímé žhavení 	UY1N Jednocestný usměrňovač $U_{A\ ef}$ 120 220 V R_o 0 125 Ω C_N 32 32 μF I_O 50 140 50 140 mA U_O 132 104 234 114 V	$U_{A\ ef}$ 250 V I_O 140 mA $U_{K/F}$ 550 V $-U_A$ 700 V P_{AR} 2,5 W
		U_A 14 V I_A 140 mA	UY1NS Jednocestný usměrňovač $U_{A\ ef}$ 120 250 V R_o 0 175 Ω C_N 32 32 μF I_O 50 140 50 140 mA U_O 132 104 250 174 V	$U_{A\ ef}$ 275 V I_O 140 mA $-U_A$ 700 V $U_{K/F}$ 750 V $-U_{AM}$ 800 V P_{AR} 2,5 W

vakuový jednocestný
usměrňovač
typ UY1NS pro
přijímač TESLA 4203 A

Typ Použití	Rozměry Patice	Žhavení	Provozní hodnoty	Mezní hodnoty
		Statické hodnoty		
UY85	Velikost N 4	I_F 0,1 A U_F 38 V nepřímé žhavení	Jednocestný usměrňovač	$-U_A$ 700 V I_O 110 mA I_{OM} 660 mA $U_{K/F}$ 550 V C_N 100 μF
		 $U_{A\ ef}$ 220 V R_o 90 Ω R_z 1950 Ω C_N 100 μF I_O >104 mA	$U_{a\ ef}$ 110 127 220 250 V I_O 110 110 110 110 mA U_O 112 135 215 245 V C_N 100 100 100 100 μF R_o 0 0 90 100 Ω	Min ochranný odpor R_o min $U_{a\ ef}$ [Ω] [V] 0 110 0 127 90 220 100 250

vakuový jednocestný
usměrňovač

Oscilografické a televizní obrazovky

Značení obrazovek podle normy TESLA NT - K 003

Podle ustanovení této normy se označují obrazovky vlastní konstrukce. Obrazovky odpovídající elektrickými vlastnostmi a vnějším provedením jednotně vyráběným obrazovkám, označují se typovými znaky podle jednotného evropského značení.

Znaky obrazovek jsou sestaveny ze tří částí v pořadí skupina číslic, písmen a číslic. Druh výrobku je dán střední písmenovou skupinou. První skupina číslic udává průměr nebo délku úhlopříčky stínítka obrazovky. Rozměr se udává zaokrouhlenou hodnotou v centimetrech.

Druhá skupina písmen určuje stavbu obrazovky. Písmena značí:

- QP — obrazovka s magnetickým vychylováním a zaostřováním paprsku včetně monoskopu,
- QQ — obrazovka s magnetickým vychylováním a elektrostatickým zaostřováním paprsku,
- QR — obrazovka s elektrickým vychylováním.

Třetí část znaku je skupina číslic. Čísla 40 až 86 udávají druh stínítka.

- 40 — monoskop
- 41 — barva stínítka zelená, střední dosvit
- 42 — barva stínítka modrozelená, dlouhý dosvit
- 44 — barva stínítka bílá, střední dosvit
- 47 — barva stínítka modrá, dosvit velmi dlouhý
- 50 — skiatron
- 51 — barva stínítka modrá, dosvit krátký
- 52 — barva stínítka oranžová, dosvit dlouhý
- 55 — barva stínítka modrozelená, dosvit velmi krátký
- 86 — barva stínítka žlutá, dosvit velmi dlouhý.

U oscilografických obrazovek 7QR20, 12QR50 a 12QR51, označených podle staršího způsobu, má třetí část znaku jiný význam. První číslo znaku udává druh patice, druhé postupné číslo typu, odlišující elektrické rozdíly, jiné mechanické provedení nebo jiné vlastnosti stínítka.

První číslo znaku udává patici:

- 2 — loktal S8/18 ČSN 35 8903
- 5 — celoskleněná patice devítikolíková S9/25 ČSN 35-8905,

Jednotné evropské značení obrazovek

Obrazovky odpovídající elektrickými vlastnostmi a vnějším provedením jednotně vyráběným obrazovkám se označují typovými znaky podle jednotného evropského označení.

Znaky obrazovek jsou sestaveny ze tří částí v pořadí skupina písmen a dvě skupiny číslic, oddělené pomlčkou. Mezi skupinou písmen a první skupinou číslic se ponechává mezera.

Druh výrobku je dán první písmenovou skupinou.

První písmeno skupiny značí:

- A — magnetické vychylování, elektrostatická fokusace.
- M — magnetické vychylování, magnetická fokusace.

Druhé písmeno udává barvu a dosvit stínítka:

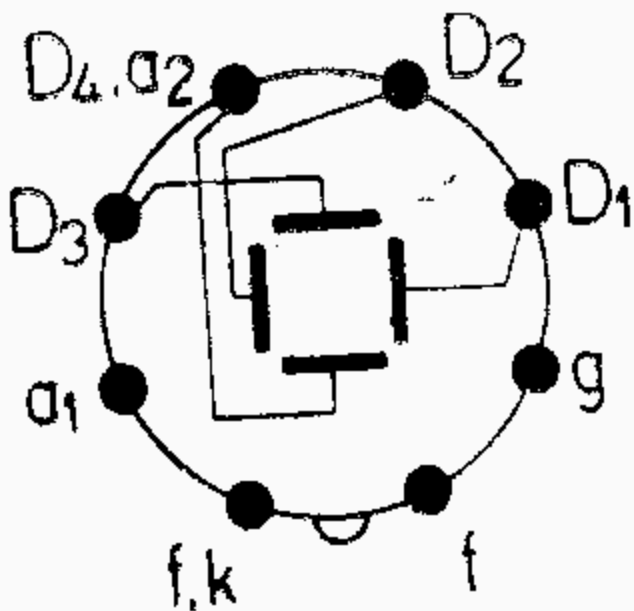
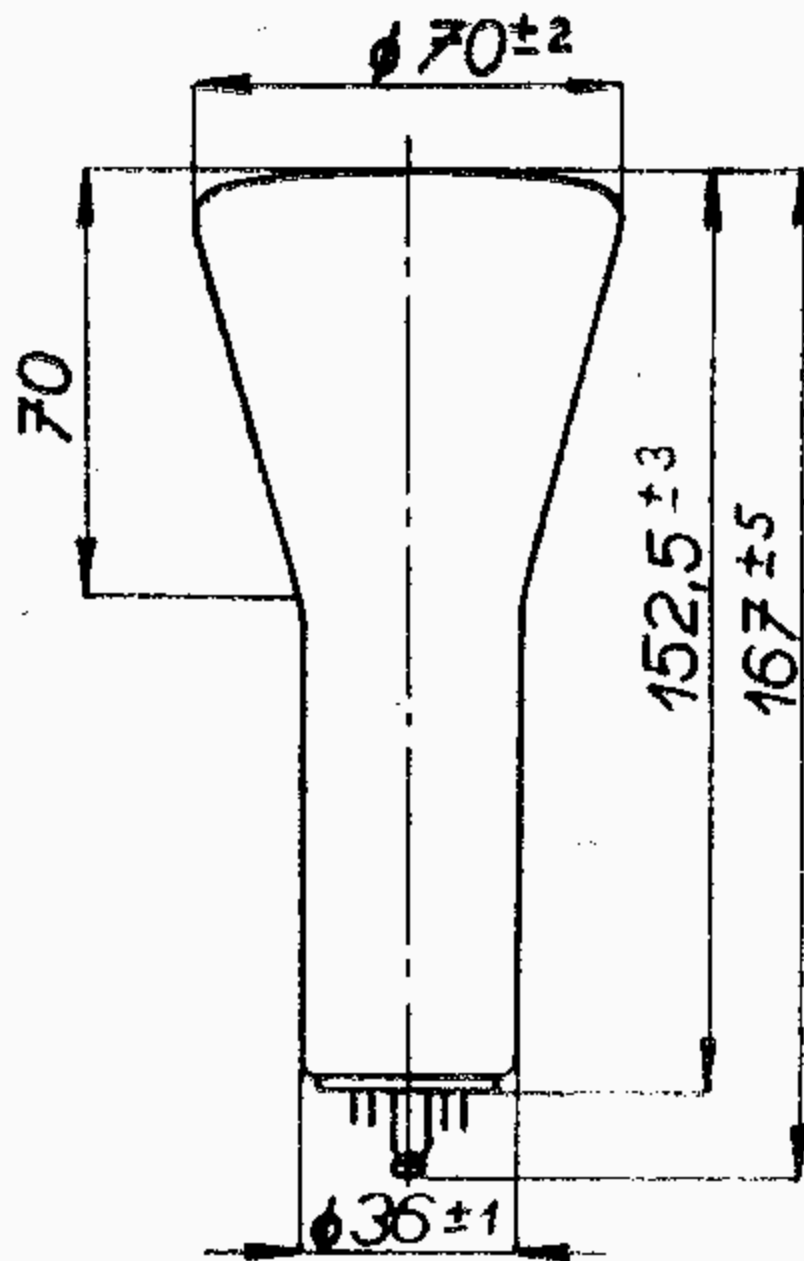
- B — modrá, dosvit krátký.
- W — televizní bílá.

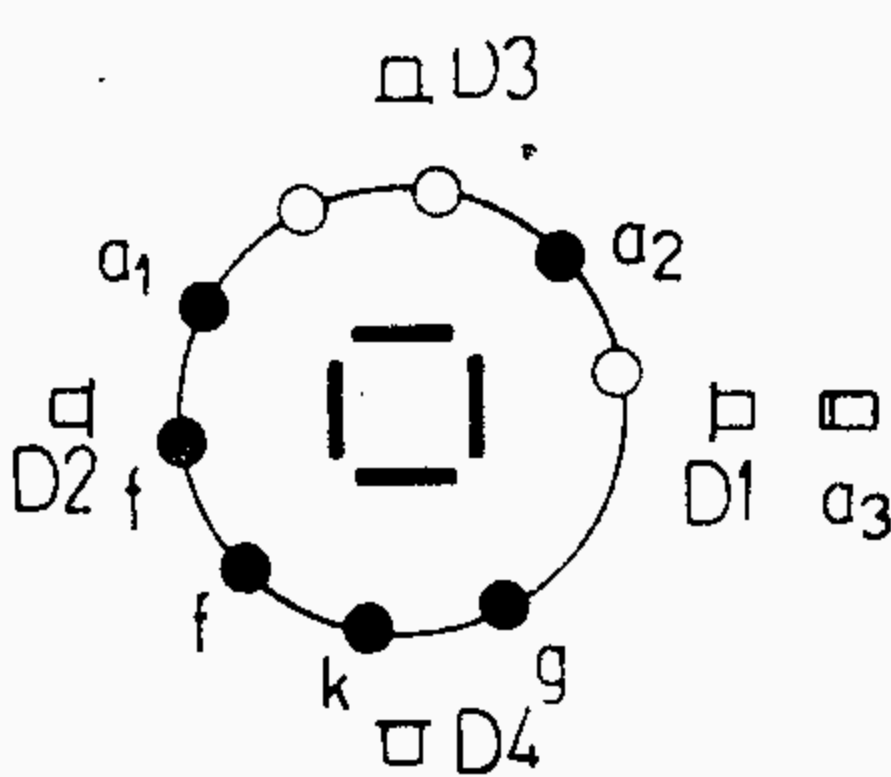
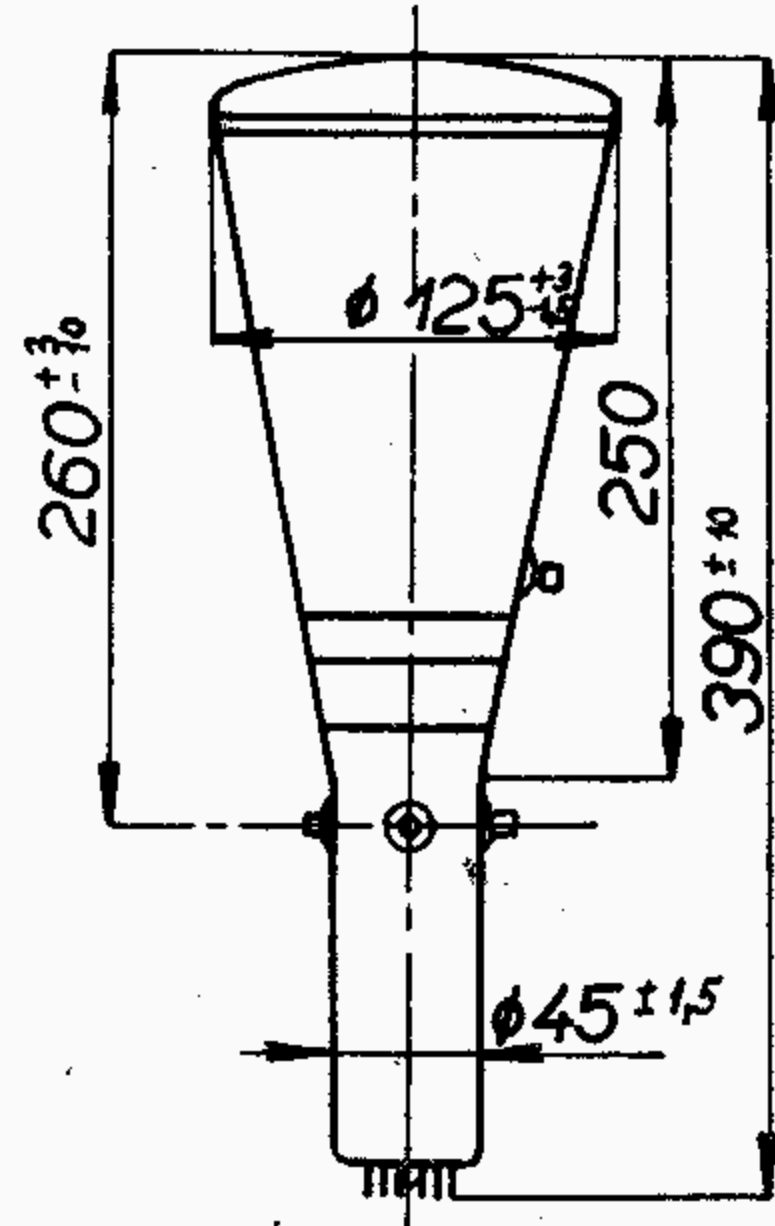
Následující číselná skupina udává u obrazovek s kulatým stínítkem průměr, u obrazovek s obdélníkovým stínítkem délku úhlopříčky stínítka v cm.

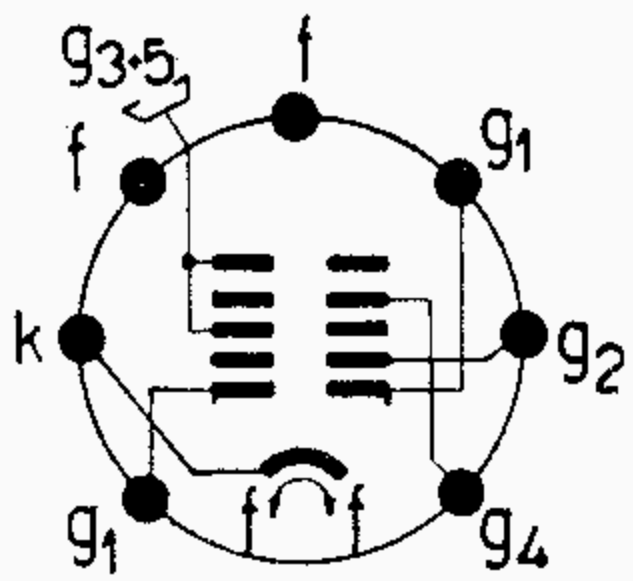
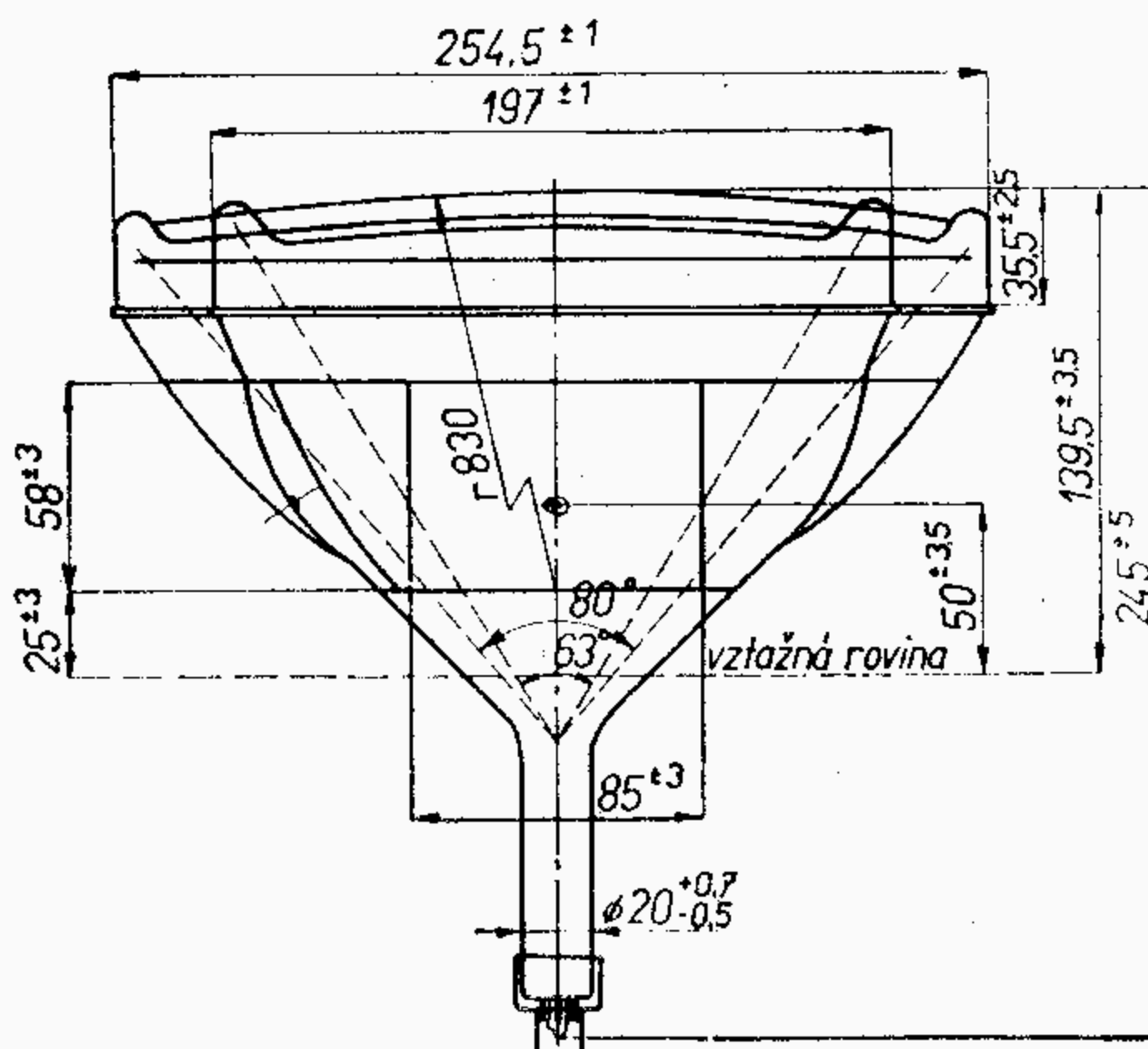
Poslední číselná skupina, oddělená od předchozí pomlčkou, udává konstrukční provedení nebo postupný typ výrobku.

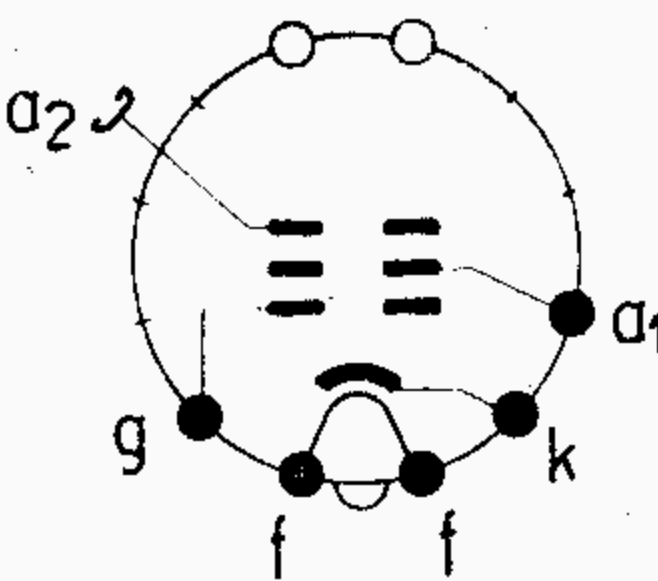
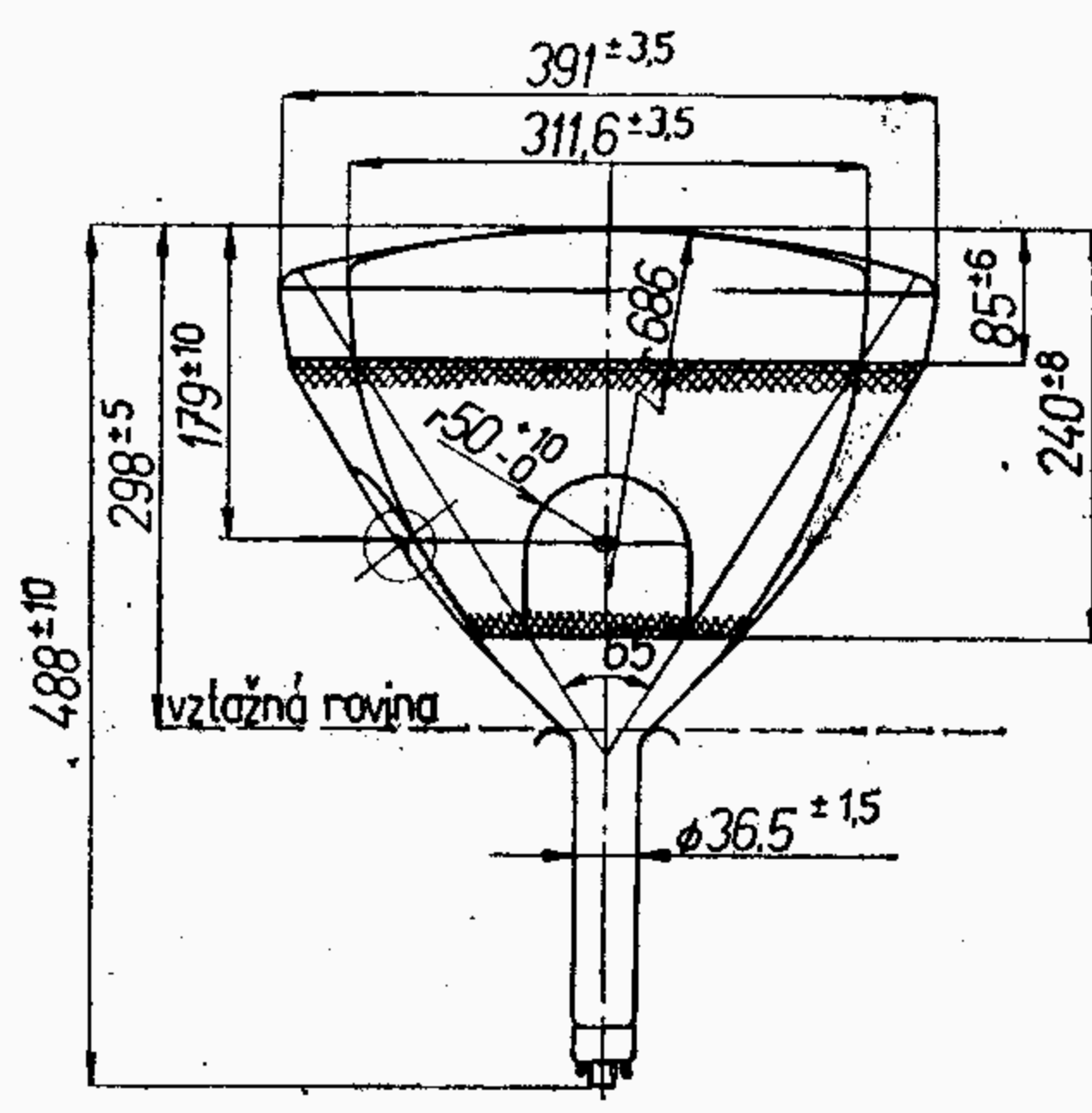
Přepočítací tabulka vychylovací citlivosti oscilografických obrazovek na vychylovací činitel.

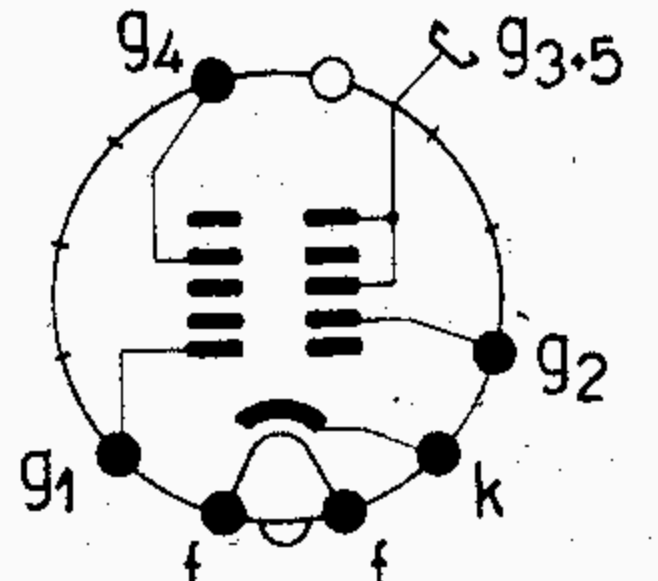
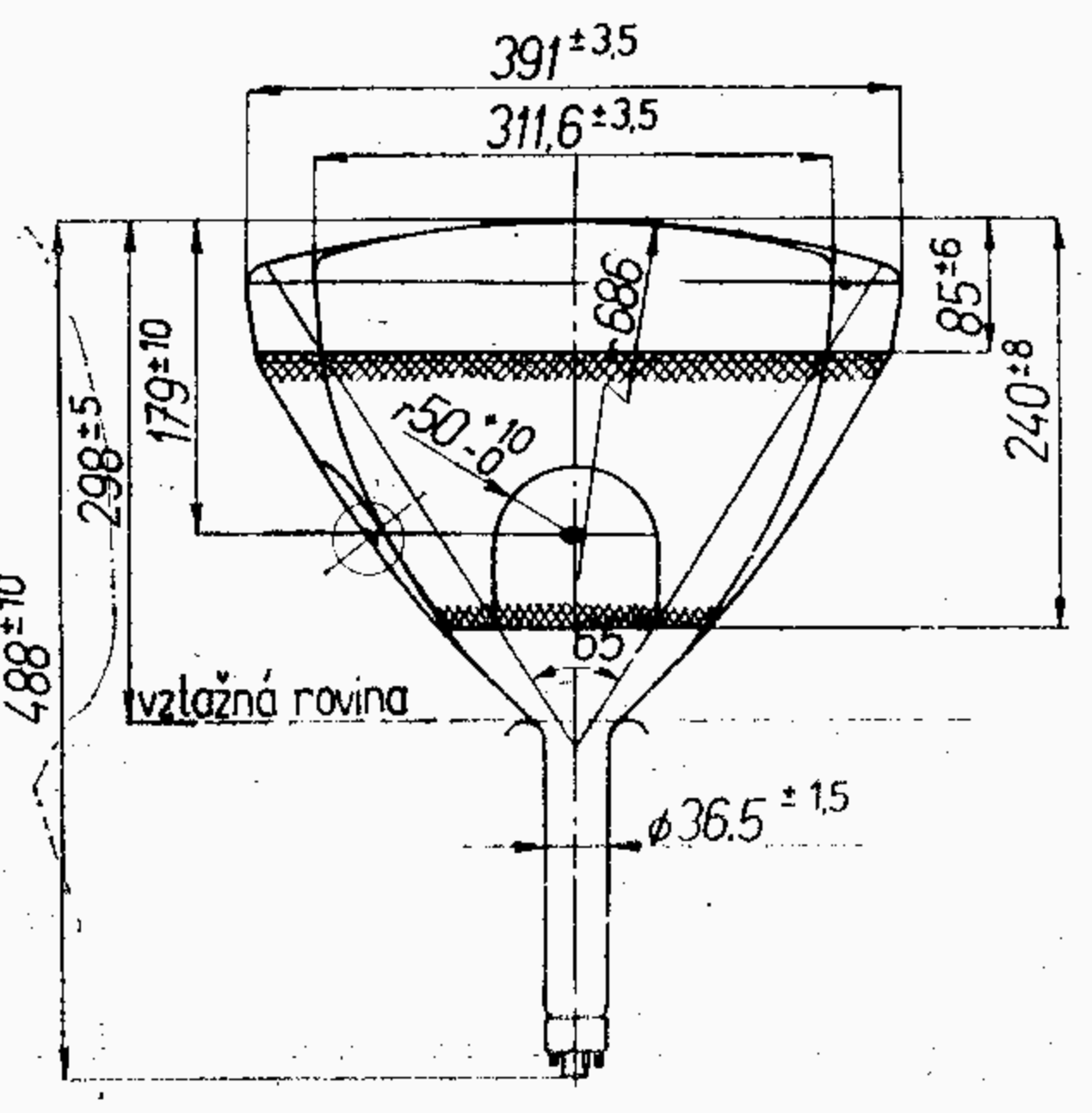
Vychylovací citlivost (mm/V)	Vychylovací činitel		Vychylovací citlivost (mm/V)	Vychylovací činitel	
	(V/cm)	(V/palec)		(V/cm)	(V/palec)
0,083	120	305	0,38	26	66
0,091	110	279	0,42	24	61
0,100	100	254	0,45	22	56
0,105	95	241	0,50	20	51
0,111	90	229	0,53	19	48
0,118	85	216	0,56	18	46
0,125	80	203	0,59	17	43
0,130	75	191	0,63	16	40,7
0,14	70	178	0,67	15	38,1
0,15	65	165	0,71	14	36,5
0,17	60	152	0,77	13	33
0,18	55	140	0,83	12	30,5
0,20	50	127	0,91	11	27,9
0,22	45	114	1,00	10	25,4
0,25	40	102	1,11	9	22,9
0,26	38	97	1,25	8	20,3
0,28	36	91	1,33	7,5	19,1
0,29	34	86	1,43	7	17,8
0,31	32	81	1,54	6,5	16,5
0,33	30	76	1,67	6	15,2
0,36	28	71	1,82	5,5	14
			2,00	5	12,7

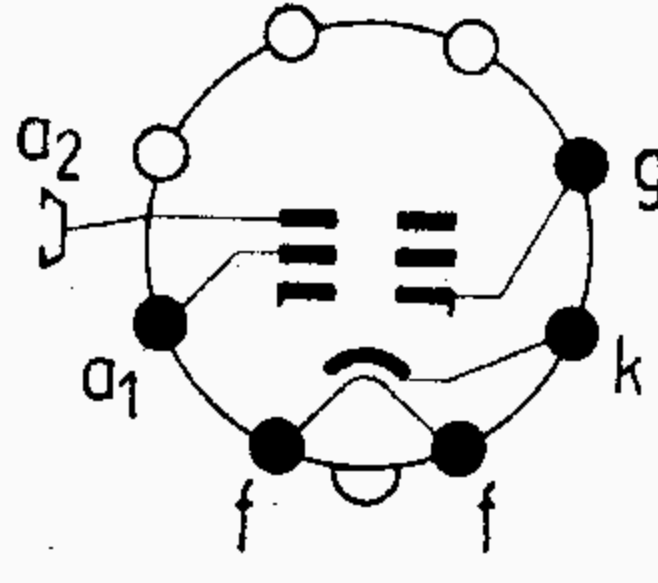
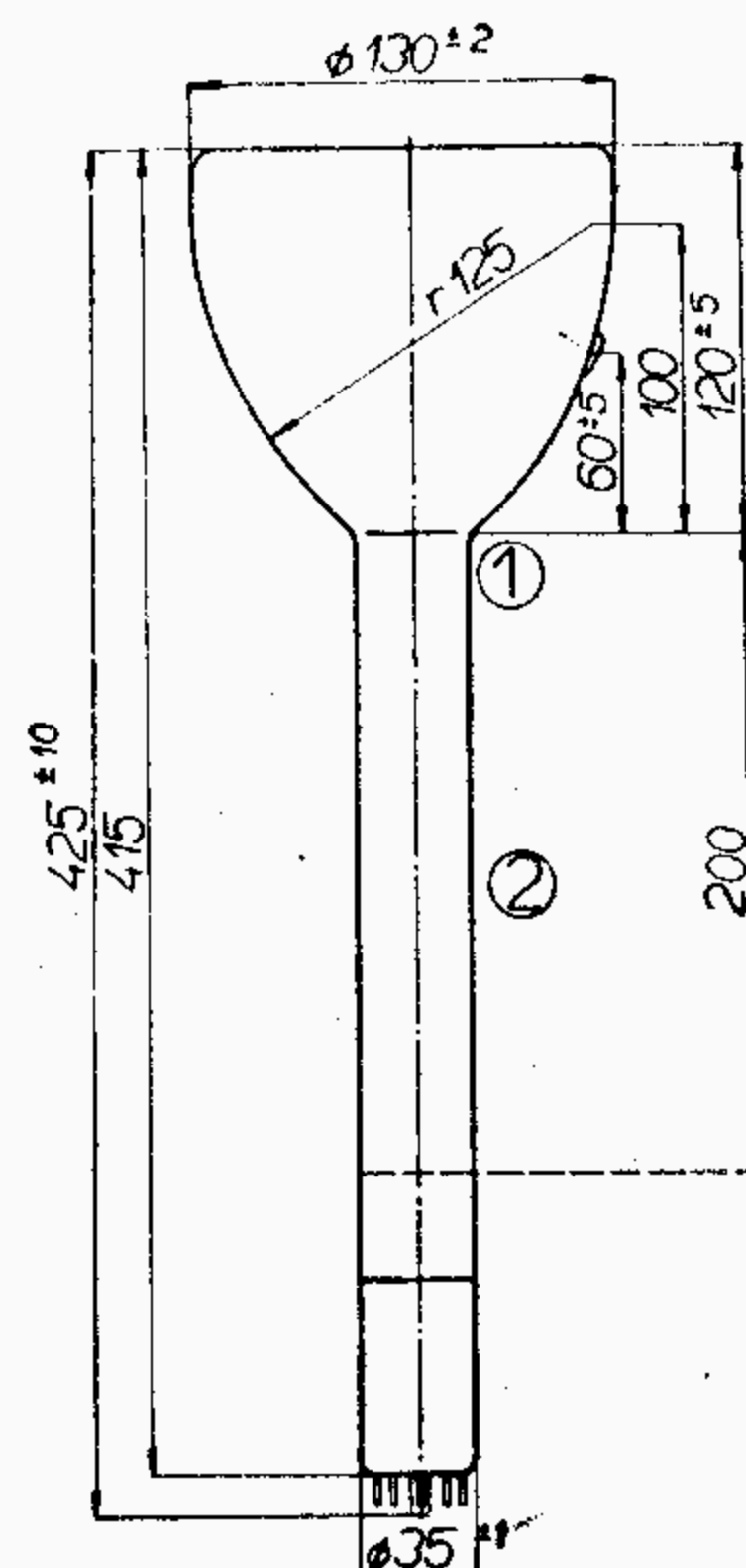
Typ Použití	Patice	Žhavení	Provozní hodnoty			Mezní hodnoty
		Statické hodnoty	Rozměry			
7QR20		U_F 6,3 V I_F 0,6 A nepřímé žhavení	U_{A2} 500 U_{A1} 120 U_{GZ} -25 $S_{D1/D2}$ 0,44 $S_{D3/D4}$ 0,4	800 V 190 V -40 V 0,275 mm/V 0,25 mm/V	U_{A2} 1000 V U_{A1} 500 V U_G 0 V R_g 1,5 MΩ $E_{D/D}^{1)}$ 500 V I_K 50 μA	
		C_g <9,6 pF C_{D1} <3,6 pF C_{D2} <3,6 pF C_{D3} <4,8 pF $C_{D1/D2}$ <0,9 pF $C_{D1/D3}$ <0,35 pF $C_{D3/D4+a2}$ <4,2 pF $C_{D1/D4+a2}$ <1,1 pF U_{A2} 800 V U_{A1} 185 V $-U_{GZ}$ 24-56 V $S_{D1/D2}$ >0,22 mm/V $S_{D3/D4}$ >0,18 mm/V $-U_{Gm}$ <40 V				
<p>Oscilografická obrazovka s elektrostatickým nesy-metrickým vychylováním a ostřením bodu. Stínítko zelené. Dosvit střední. Užitečný Ø min 50 mm. Patice: S 8/18</p>		<p>¹⁾ Špičkové napětí mezi destičkami.</p> <p>Není určeno pro nová zařízení</p>				

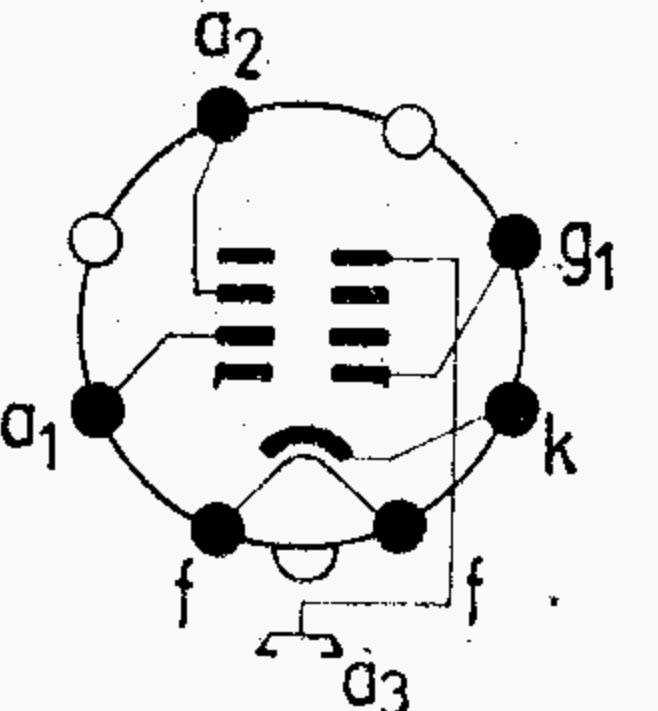
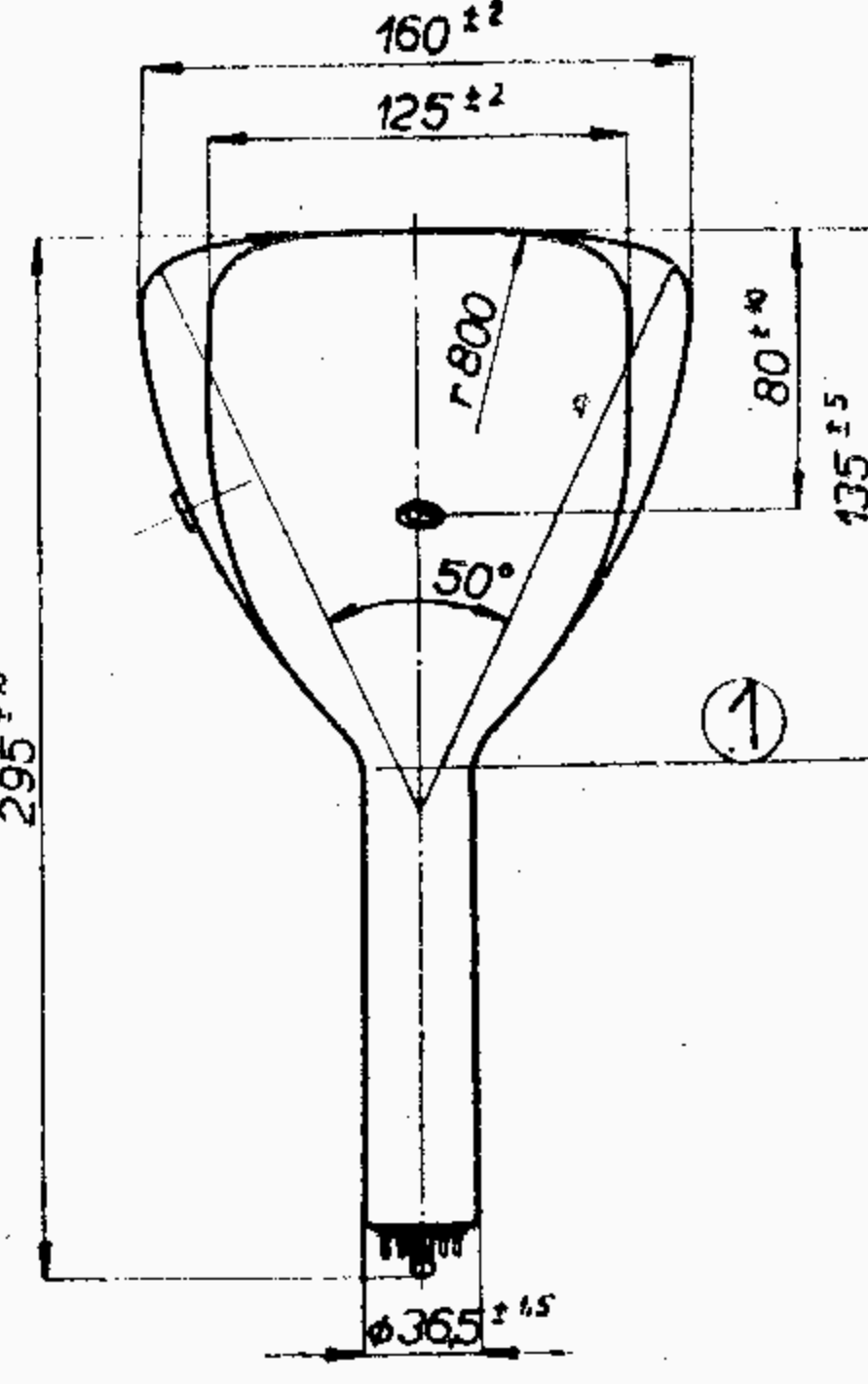
Typ Použití	Patice	Žhavení	Provozní hodnoty				Mezní hodnoty			
		Statické hodnoty	Rozměry							
12QR50 12QR51		U_F 6,3 V I_F 0,6 A nepřímé žhavení C_g <8 pF $C_{D1/D2}$ <1,3 pF $C_{D3/D4}$ <1,8 pF $C_{D1/-}$ <4,3 pF $C_{D3/-}$ <6 pF C_{D1} <3 pF C_{D2} <3 pF C_{D3} <3,5 pF C_{D4} <4,1 pF C_k <6 pF U_{A3} 3000 V U_{A2} 1500 V U_{A1} 400 V $-U_{GZ}$ 34–84 V	U_{A3} 1500 3000 4000 V U_{A2} 1500 1500 2000 V U_{A1} 400 400 500 V U_{GZ} -60 -60 -80 V $S_{D1/D2}$ 0,8 0,62 0,48 mm/V $S_{D3/D4}$ 0,4 0,31 0,24 mm/V					U_{A3} 4400 V U_{A2} 2200 V U_{A1} 1100 V U_{A2}/U_{A3} 2 $-U_{G1}$ 150 V $-U_{G1}$ >0 V $U_{A2/D}$ 500 V R_g 1,5 MΩ R_D 3 MΩ $U_{K/F}$ 125 V		
<p>Oscilografická obrazovka s elektrostatickým vychylováním a ostřením bodu. Užitečný Ø stínítka 100 mm Patice: S 9/25</p> <p>12QR50 Barva stínítka zelená. Dosvit střední.</p> <p>12QR51 Barva stínítka fluorescence modrá fosforescence žlutozelená Dosvit dlouhý.</p>		<p>Není určeno pro nová zařízení!</p>								

Typ Použití	Patice	Žhavení	Provozní hodnoty		Mezní hodnoty
		Statické hodnoty	Rozměry		
282QQ52		U_F 11 V I_F 68 mA t_f <35 s nepřímé žhavení	U_{G3+G5} 11 kV U_{G4} 0 ... 350 V U_{G2} 250 V $-U_{G1Z}$ 35 ... 69 V		U_{G3+G5o} 12 kV U_{G3+G5} >7,5 kV U_{G4} 450 V $-U_{G4}$ 100 V U_{G2} 450 V U_{G2} >180 V $-U_{G1M}$ 350 V $-U_{G1}$ 100 V $-U_{G1}$ 0 V $+U_{G1M}$ 2 V R_{g1} 1,5 MΩ $Z_{g1} (50 \text{ Hz})$ 0,5 MΩ $U_{K/F}$ 80 V $U_{K/FM}$ 130 V $R_{k/f^2)}$ 1 MΩ $Z_{k/f} (50 \text{ Hz})^3)$ 0,1 MΩ $Z_{k/f} (50 \text{ Hz})^2)$ 1 MΩ U_F >9,9 V U_F <12,1 V
		C_{g1} 6 pF C_a 3 pF $C_{g3 + g5/m}$ >550 pF <800 pF $C_{a/b}$ 125 pF			
<p>Měřicí obrazovka s elektro- magnetickým vychylováním a ostřením bodu. Neimplosní provedení. Barva stínítka oranžová. Dosvit dlouhý. Vnější povlak vodivý. Užitečná plocha stínítka min. 171 × 228 mm Vychylovací úhel: vertikální 63° horizontální 80° ve směru úhlopříčky 90° Bez iontové pastí. Patice: upravená miniaturní S 7/10</p>					<p>1) Max 22 % periody, max 1,5 ms. 2) Paralelní žhavení z oddělovacího transformátoru. 3) Sériové napájení.</p>

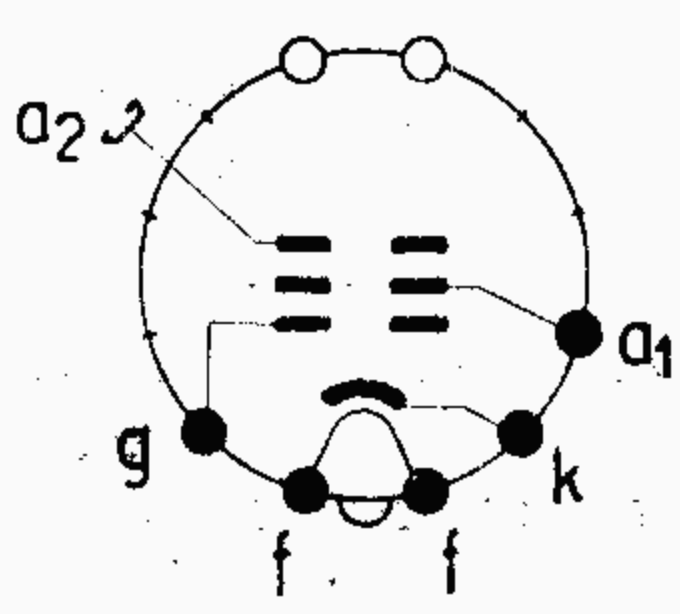
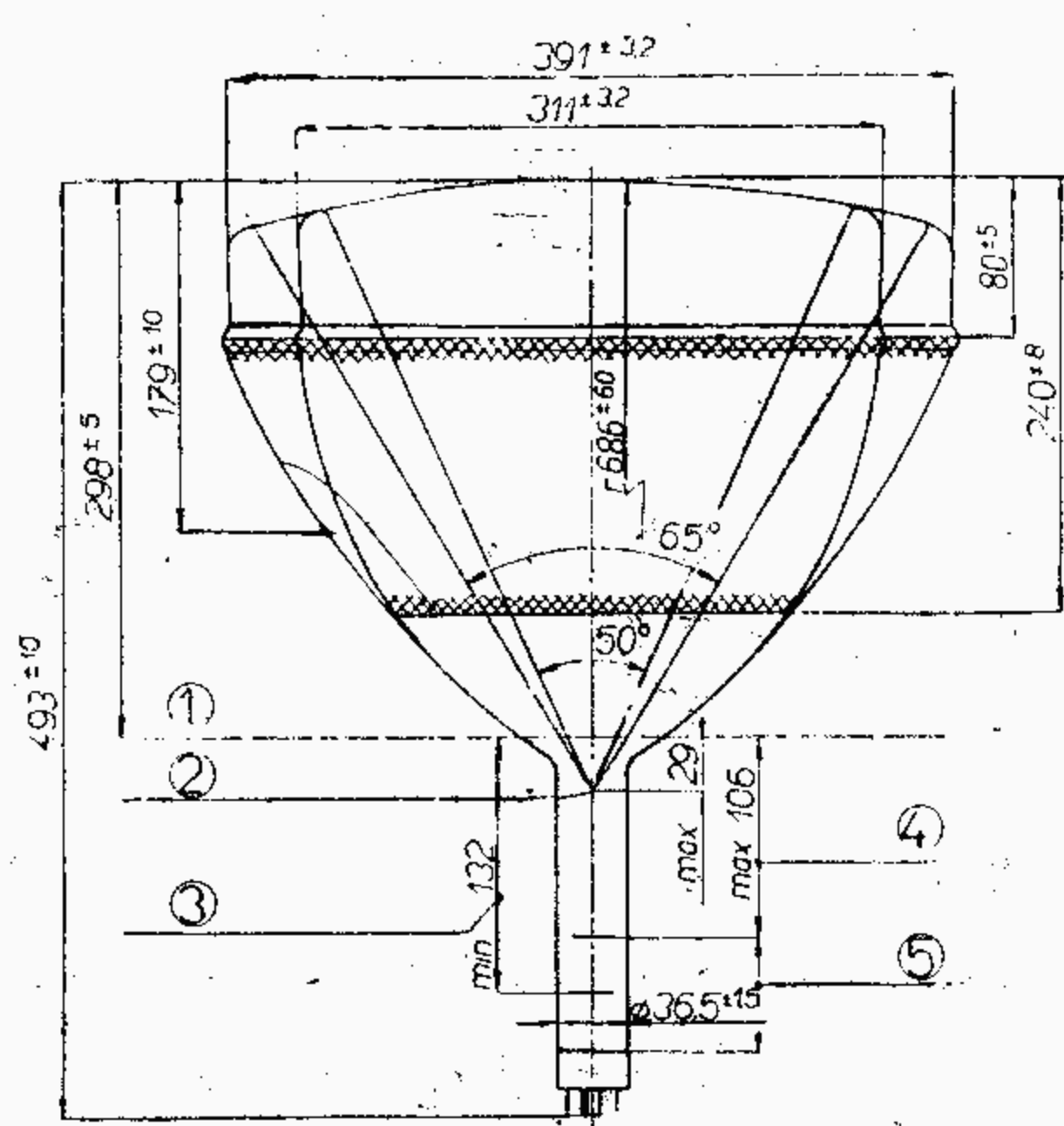
Typ Použití	Patice	Žhavení	Provozní hodnoty Rozměry	Mezní hodnoty
		Statické hodnoty		
430QP86		U_F 6,3 V I_F 0,3 A t_f <40 s nepřímé žhavení C_{g1} <8 pF C_k <6,5 pF $C_{a2/m}$ >800 pF <2000 pF	U_{A2} 14 kV U_{A1} 300 V $-U_{GZ}$ 35 - 85 V $-U_{Gm}^{1)}$ <36 V I_K 50 μ A	U_{A2} 16 kV U_{A2} >12 kV U_{A1} 460 V U_{A1} >200 V $-U_G$ -150 V $-U_G$ >0 V $+U_{GM}$ +2 V R_g 0,5 M Ω I_K 100 μ A P_s 10 mW/cm ² $U_{+K/F-}^{1)}$ 410 V $U_{+K/F-}$ 180 V $U_{-K/F+}$ 125 V $R_{k/f}^{2)}$ 1 M Ω $R_{k/f}^{3)}$ 20 k Ω
		<p>Měřicí obrazovka s elektromagnetickým vychylováním a ostřením bodu. Barva stínítka fluorescence žlutá fosforescence žlutá Dosvit dlouhý. Vnější povlak vodivý. Užitečná plocha 273 × 362 mm Vychylovací úhel: vertikální 50° horizontální 65° ve směru úhlopříčky 70° Patice: K 12/27</p>	<p>¹⁾ $I_K = 100 \mu A$. $U_{Gm} = U_{GZ} - U_G$; U_G předpětí, při němž $I_K = 100 \mu A$.</p> 	<p>¹⁾ Během nažhavení ²⁾ Paralelní žhavení ³⁾ Sériové žhavení</p>

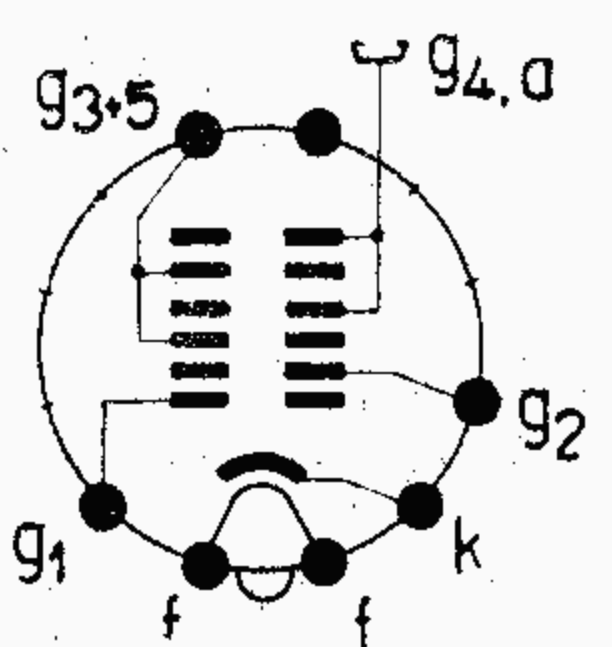
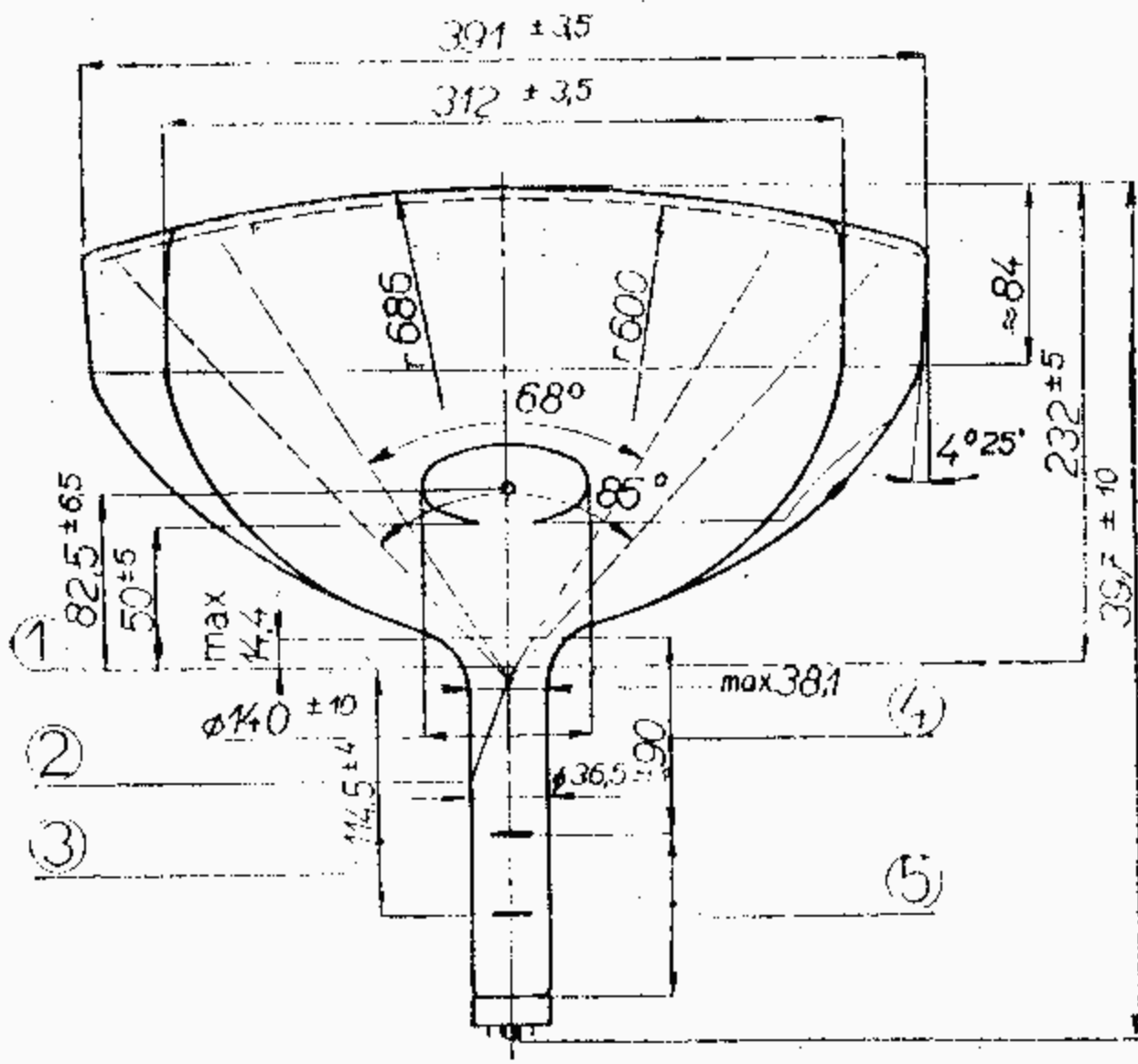
Typ Použití	Patice	Žhavení	Provozní hodnoty Rozměry	Mezní hodnoty
		Statické hodnoty		
430QQ86		U_F 6,3 V I_F 0,3 A t_f 20 <40 s nepřímé žhavení C_{g1} <8 pF C_k <8 pF $C_{a/m}$ >800 pF <2000 pF	U_A 14 kV U_{G4} 0 ... 400 V U_{G2} 300 V $-U_{G1Z}$ 35 ... 85 V	U_A - 16 kV U_A >12 kV U_{G4} 500 V $-U_{G4}$ 500 V U_{G2} 460 V U_{G2} >200 V $-U_{G1}$ 150 V $-U_{G1}$ >0 V $+U_{G1M}$ 2 V R_{g1} 500 k Ω $U_{+K/F-}^{1)}$ 410 V $U_{+K/F-}$ 180 V $U_{-K/F+}$ 125 V $R_{k/f}^{2)}$ 1 M Ω $R_{k/f}^{3)}$ 20 k Ω $I_K^{4)}$ 100 μ A U_F 7 V U_F >5,7 V
		<p>Měřicí obrazovka s elektromagnetickým vychylováním a elektrostatickým ostřením bodu. Barva stínítka žlutá. Dosvit dlouhý. Vnější povlak vodivý. Užitečná plocha stínítka min. 273 × 362 mm. Vychylovací úhel: vertikální 50° horizontální 65° ve směru úhlopříčky 90° Patice: K 12/27</p>		<p>¹⁾ Během doby nažhavení. ²⁾ Paralelní napájení. ³⁾ Sériové napájení.. ⁴⁾ Krátkodobě.</p>

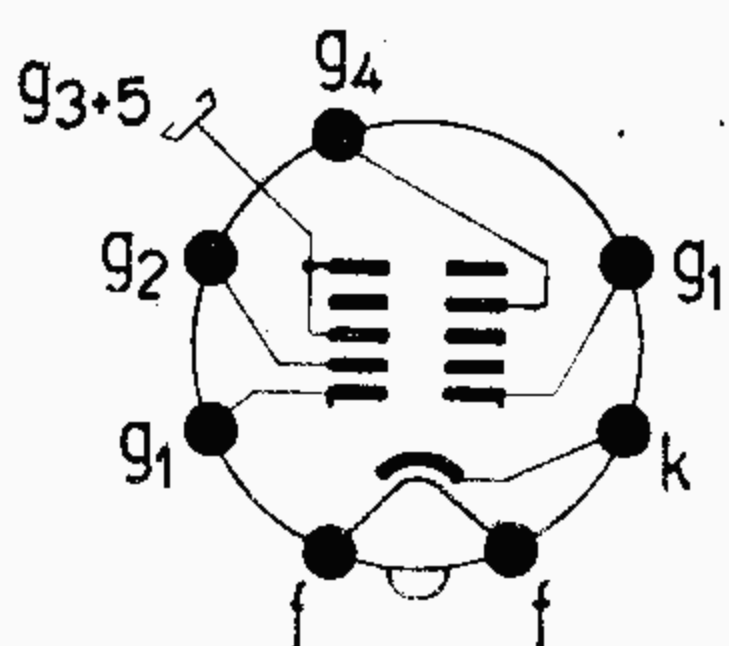
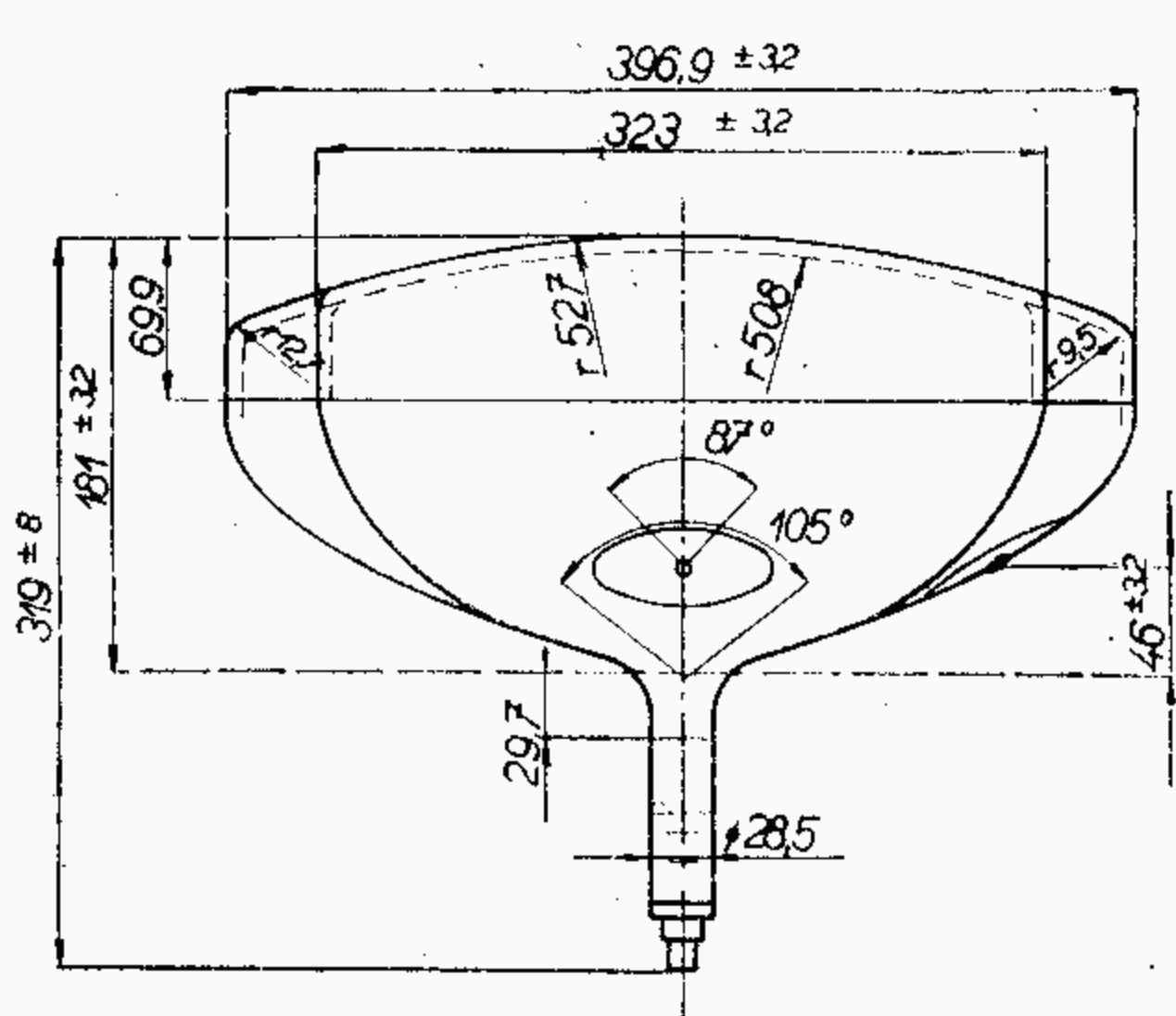
Typ Použití	Patice	Žhavení	Provozní hodnoty Rozměry		Mezní hodnoty
		Statické hodnoty			
131QP55 131QP56  <p>Obrazovka s elektromagnetickým vychylováním a zaostřováním paprsku pro snímání obrazu z filmu nebo diapozitivu. Vychylovací úhel 45° Užitečný rozměr stínítka 80 × 60 mm.</p> <p>131QP55 Stínítko modrozelené, metalizované. Dosvit velmi krátký (1 μs)</p> <p>131QP56 Stínítko modrofialové, metalizované. Dosvit velmi krátký (0,3 μs)</p>		U_F 6,3 V I_F 0,3 A nepřímé žhavení C_{g1} 8 pF C_k 6,5 pF	U_A 25 kV U_{G2} 250 V $-U_{G1Z}$ 27 - 63 V $U_{G1m}^{1)}$ <25 V $^{1)} I_K = 50 \mu A$		U_A 27 kV U_A >10 kV U_{G2} 400 V U_{G2} >200 V $-U_{G1}$ 125 V $-U_{G1}$ >0 V R_{g1} 1,5 MΩ I_K 100 μA $U_{K/F}$ ±125 V U_F 7 V U_F >5,7 V

Typ Použití	Patice	Žhavení	Provozní hodnoty Rozměry		Mezní hodnoty
		Statické hodnoty			
180QQ44 180QQ86  <p>Televizní obrazovka s elektromagnetickým vychylováním a elektrostatickým ostřením bodu.</p> <p>180QQ44 Stínítko černobílé, metalizované. Dosvit střední.</p> <p>180QQ86 Stínítko žluté, metalizované. Dosvit dlouhý. Vychylovací úhel 55° Užitečná plocha stínítka 105 × 140 mm.</p>		U_F 6,3 V I_F 0,3 A nepřímé žhavení C_{g1} <8 pF C_k <8 pF	U_{A3} 10 kV U_{A2} 0 ... 400 V U_{A1} 250 V $-U_{GZ}$ 27 - 63 V $-U_{Gm} (I_K = 50 \mu A)$ <25 V		U_{A3} 12 kV U_{A3} >8 kV U_{A2} 600 V $-U_{A2}$ 600 V U_{A1} 400 V U_{A1} >200 V $-U_{g1}$ 125 V $-U_{g1}$ >0 V I_K 50 μA R_g 1,5 MΩ $U_{K/F}$ ±125 V

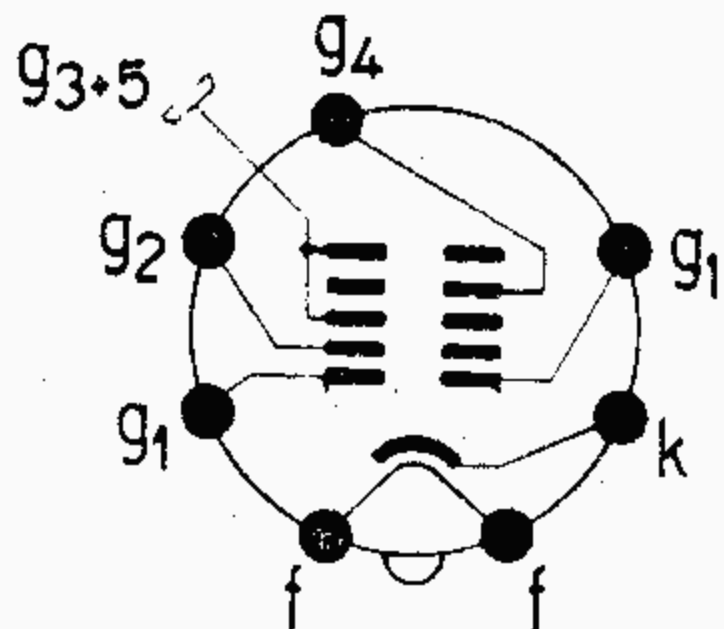
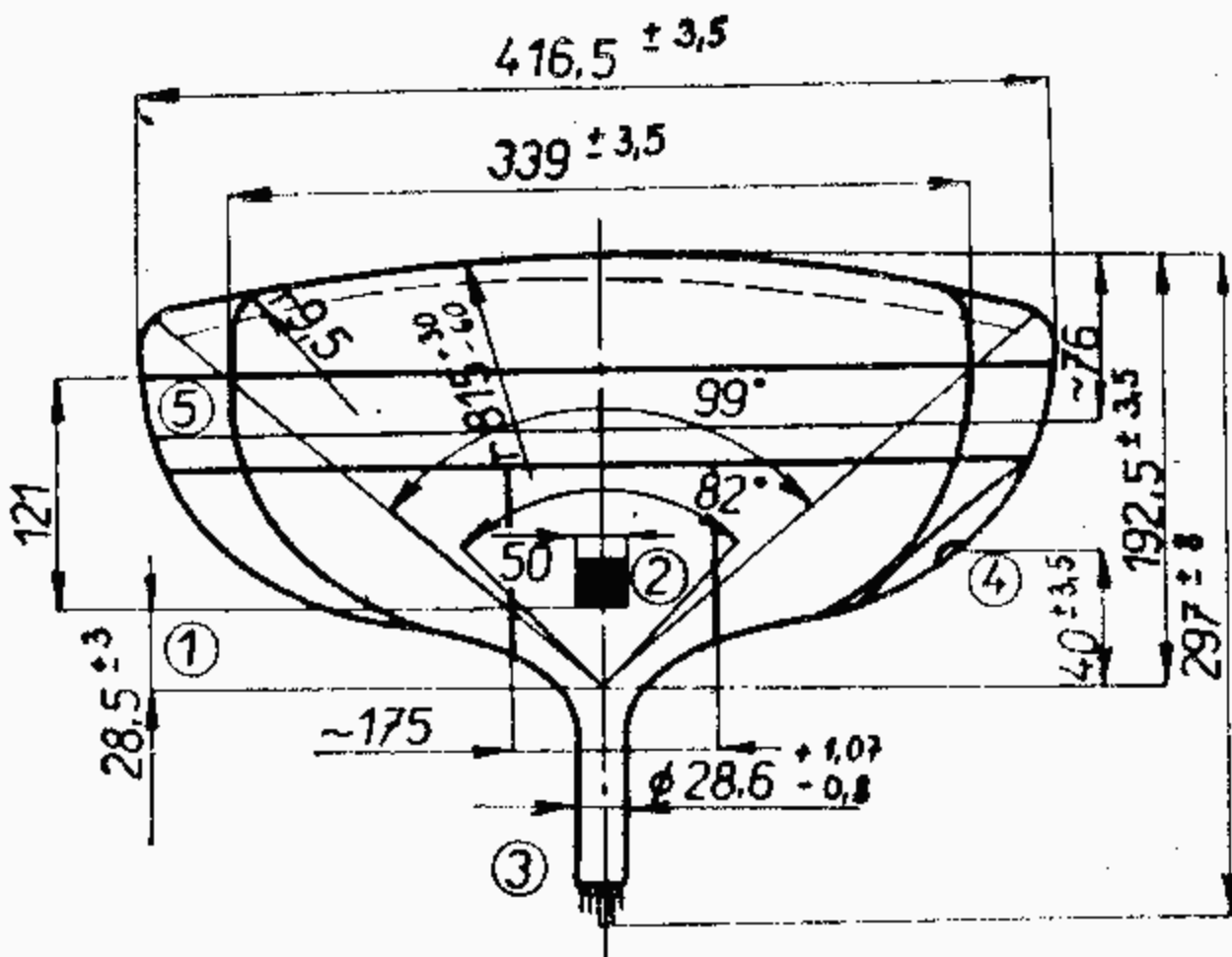
180QQ44 typ

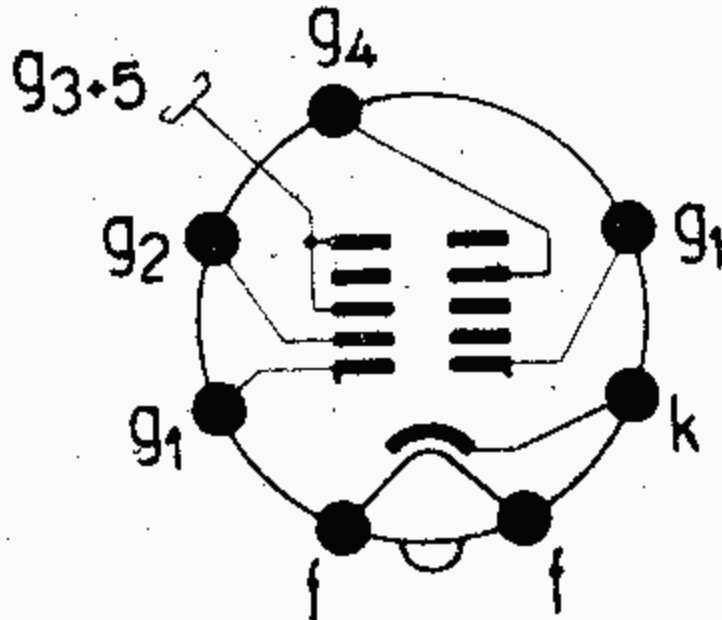
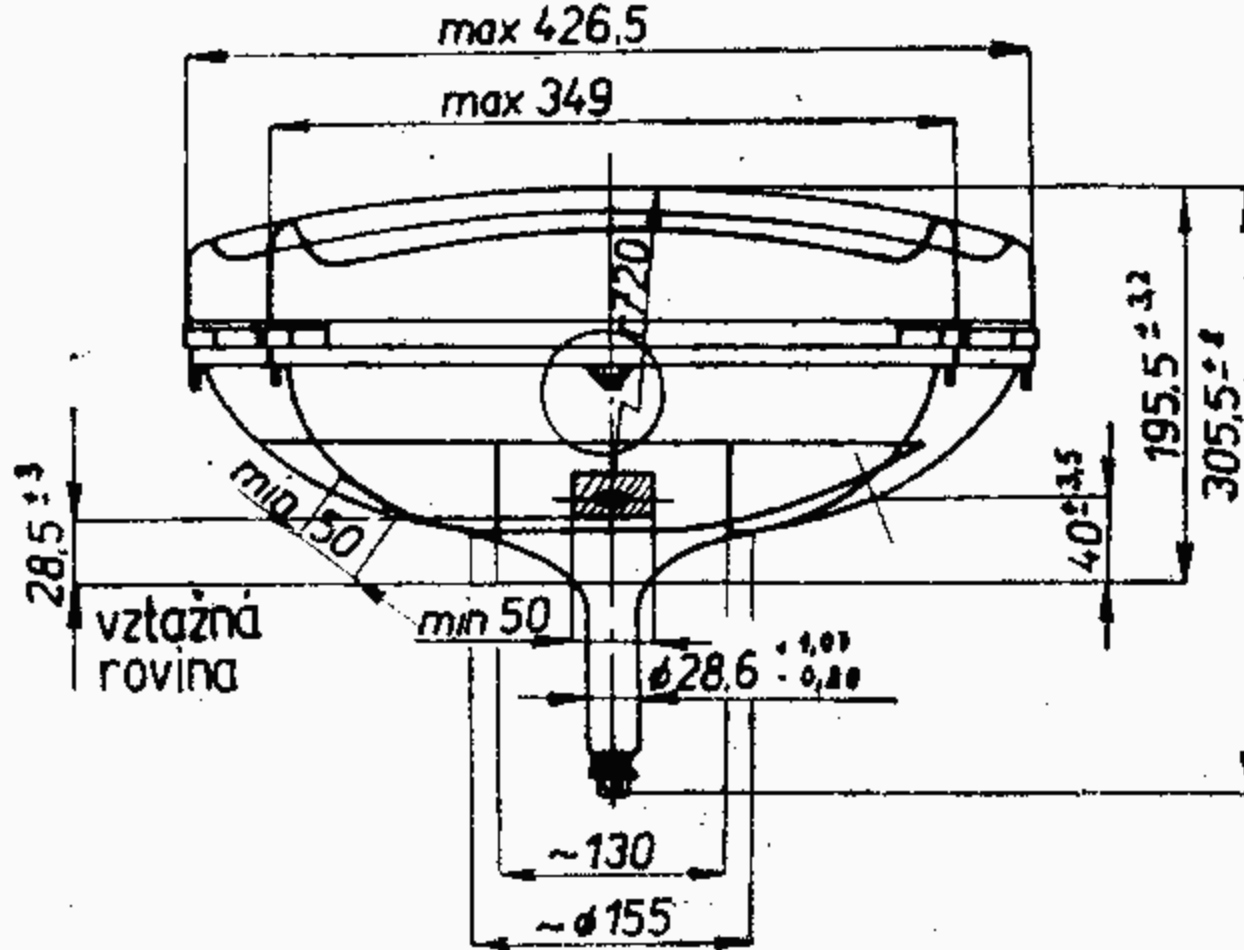
Typ Použití	Patice	Žhavení		Provozní hodnoty Rozměry		Mezní hodnoty	
		Statické hodnoty					
430QP44		U_F 6,3 V	U_{A2} 14 kV	U_{A2} 16 kV		U_{A2} 16 kV	
		I_F 0,3 A	U_{A1} 400 V	U_{A2} >12 kV		U_{A2} >12 kV	
		I_F 0,3 A	U_{GZ} -44 ... -103 V	U_{A1} 460 V		U_{A1} 460 V	
		U_F 6,3 V	$U_{Gm}^1)$ < -36 V	U_{A1} >200 V		U_{A1} >200 V	
		t_f <30 s	I_K 50 μ A	$-U_G$ -150 V		$-U_G$ -150 V	
		nepřímé žhavení		U_G 0 V		U_G 0 V	
		C_g <8 pF	$^1) I_K = 100 \mu A, U_{Gm} = U_{G2} - U_G;$	$+U_{GM}$ +2 V		$+U_{GM}$ +2 V	
		C_k <6,5 pF	U_G předpětí, při němž $I_K = 100 \mu A.$	R_g 0,5 M Ω		R_g 0,5 M Ω	
		$C_{a2/m}$ >800 pF		I_K 100 μ A		I_K 100 μ A	
		<2000 pF		P_s 10 mW/cm ²		P_s 10 mW/cm ²	
				$U_{+K/F-}^1)$ 410 V		$U_{+K/F-}^1)$ 410 V	
				$U_{+K/F-}$ 180 V		$U_{+K/F-}$ 180 V	
				$U_{-K/F+}$ 125 V		$U_{-K/F+}$ 125 V	
				$R_{k/f}^2)$ 1 M Ω		$R_{k/f}^2)$ 1 M Ω	
				$Z_{k/f} (50 \text{ Hz})^3)$ 0,1 M Ω		$Z_{k/f} (50 \text{ Hz})^3)$ 0,1 M Ω	
<p>Televizní obrazovka s elektromagnetickým vychylováním a ostřením bodu. Stínítko televizní bílé. Dosvit střední. Iontový filtr: magnet 60 G Vnější povlak vodivý. Užitečná plocha 273×362 mm Vychylovací úhel: vertikální 50° horizontální 65° ve směru úhlopříčky 70° Patice: K 12/27</p>		<p>Nepoužívejte v nových zařízeních!</p>				<p>¹⁾ Během doby nažhavení. ²⁾ Paralelní napájení. ³⁾ Sériové napájení.</p>	

Typ Použití	Patice	Žhavení		Provozní hodnoty Rozměry		Mezní hodnoty	
		Statické hodnoty					
AW 43 - 80		U_F 6,3 V	U_{G4+A} 15 kV	U_{G4+A} 17 kV		U_{G4+A} 17 kV	
		I_F 0,3 A	U_{G3+G5} 0-400 V	U_{G4+A} >12 kV		U_{G4+A} >12 kV	
		I_F 0,3 A	U_{G2} 300 400 V	U_{G2} 500 V		U_{G2} 500 V	
		U_F 6,3 V	$-U_{G1Z}$ 40 ± 80 53 ± 107 V	U_{G2} >200 V		U_{G2} >200 V	
		t_f <45 s	$-U_{G1m}^1)$ - <38 V	$+U_{G3+G5}$ 500 V		$+U_{G3+G5}$ 500 V	
		nepřímé žhavení	$^1) I_K = 100 \mu A; U_{G1m} = U_{G1Z} - U_{G1};$	$-U_{G3+G5}$ 500 V		$-U_{G3+G5}$ 500 V	
		C_{g1} 7 pF	U_{G1} předpětí, při němž $I_K = 100 \mu A$	$-U_{G1}$ 150 V		$-U_{G1}$ 150 V	
		C_k 5 pF		$-U_{G1}$ >0 V		$-U_{G1}$ >0 V	
		$C_{g4+a/m}$ >800 pF		$+U_{G1M}$ 2 V		$+U_{G1M}$ 2 V	
		<1800 pF		I_K 150 μ A		I_K 150 μ A	
				R_{g1} 1,5 M Ω		R_{g1} 1,5 M Ω	
				$U_{+K/F-}^1)$ 410 V		$U_{+K/F-}^1)$ 410 V	
				$U_{+K/F-}$ 200 V		$U_{+K/F-}$ 200 V	
				$U_{+K/F-M}$ 280 V		$U_{+K/F-M}$ 280 V	
				$U_{-K/F+}$ 125 V		$U_{-K/F+}$ 125 V	
				$R_{k/f}$ 1 M Ω		$R_{k/f}$ 1 M Ω	
				$Z_{g1} (50 \text{ Hz})$ 0,5 M Ω		$Z_{g1} (50 \text{ Hz})$ 0,5 M Ω	
				$Z_{k/f} (50 \text{ Hz})^2)$ 0,1 M Ω		$Z_{k/f} (50 \text{ Hz})^2)$ 0,1 M Ω	
<p>Televizní obrazovka s elektromagnetickým vychylováním a elektrostatickou fokusací. Stínítko televizní bílé. Dosvit střední. Iontový filtr: magnet 60 G Středící magnet: 0-10 G Vnější povlak vodivý. Užitečná plocha 282 × 363 mm Vychylovací úhel: vertikální 68° horizontální 85° ve směru úhlopříčky 90° Patice: K 12/27</p>		<p>Nepoužívejte v nových zařízeních!</p>				<p>¹⁾ Během nažhavení ²⁾ Sériové žhavení</p>	

Typ Použití	Patice	Žhavení	Provozní hodnoty		Mezní hodnoty
		Statické hodnoty	Rozměry		
AW 43 - 88		U_F 6,3 V I_F 0,3 A I_F 0,3 A U_F 6,3 V nepřímé žhavení C_{g1} 6 pF C_k 5 pF $C_{a/m}$ >700 pF <1500 pF	U_{G3+G5} 16 kV U_{G4} 0-400 V U_{G2} 400 V $-U_{G1Z}$ 38-94 V $-U_{G1m}^1)$ <38 V I_K 100 μ A	U_{G3+G50} 16 kV U_{G3+G5} >13 kV U_{G4} 1000 V $-U_{G4}$ 500 V U_{G2} 500 V U_{G2} >200 V $-U_{G1}$ 150 V $-U_{G1}$ >0 V $+U_{G1M}$ 2 V I_K 150 μ A $U_{+K/F-}^1)$ 410 V $U_{+K/F-}$ 200 V $U_{+K/F-M}$ 280 V $U_{-K/F+}$ 125 V R_{g1} 1,5 M Ω Z_{g1} (50 Hz) 0,5 M Ω $R_{k/f}^3)$ 1 M Ω $Z_{k/f}$ (50 Hz) ²⁾ 0,1 M Ω $Z_{k/f}$ (50 Hz) ³⁾ 1 M Ω	
<p>Televizní obrazovka s elektromagnetickým vychylováním, ostření bodu elektrostatické. Stínítko televizní bílé.</p> <p>Dosvit střední.</p> <p>Středící magnet: 0-10 G</p> <p>Vnější povlak vodivý.</p> <p>Užitečná plocha 295 x 374 mm</p> <p>Vychylovací úhel:</p> <p>vertikální 87°</p> <p>horizontální 105°</p> <p>ve směru úhlopříčky 110°</p> <p>Bez iontového filtru.</p> <p>Patice: K 8/15</p>		<p>¹⁾ $I_K = 100 \mu A$; $U_{G1m} = U_{G1Z} - U_{G1}$; U_{G1} předpětí, při němž $I_K = 100 \mu A$</p> 			<p>¹⁾ Během nažhavení</p> <p>²⁾ Sériové žhavení</p> <p>³⁾ Paralelní žhavení</p>
Nepoužívejte v nových zařízeních !					

Nepoužívejte v nových zařízeních!

Typ Použití	Patice	Žhavení	Provozní hodnoty		Mezní hodnoty	
		Statické hodnoty	Rozměry			
470QQ44		U_F 6,3 V	U_{G3+G5} 16	kV	U_{G3+G50} 17	kV
		I_F 0,3 A	U_{G4} 0 – 400	V	U_{G3+G5} 16	kV
		I_F 0,3 A	U_{G2} 400	V	U_{G3+G5} >13	kV
		U_F 6,3 V	$-U_{G1Z}$ 40 – 77	V	U_{G4} 1000	V
		t_f <35 s	I_K 100	μA	$-U_{G4}$ 500	V
		nepřímé žhavení	$-U_{G1m}^{1)}$ <34	V	U_{G2} 700	V
			$^{1)}) I_K = 100 \mu A; U_{G1m} = U_{G1Z} - U_{G1};$		U_{G2} >350	V
			U_{G1} předpětí, při němž $I_K = 100 \mu A$		$-U_{G1M}$ 400	V
					$-U_{G1}$ 150	V
					$-U_{G1}$ >0	V
					$+U_{G1M}$ 2	V
					R_{g1} 1,5	MΩ
					Z_{g1} (50 Hz) 0,5	MΩ
					I_K 150	μA
					P_s 10	mW/cm ²
					$U_{+K/F-}^{1)})$ 410	V
					$U_{+K/F-}$ 200	V
					$U_{+K/F-M}$ 280	V
					$U_{-K/F+}$ 125	V
					$R_{k/f}^{3)})$ 1	MΩ
					$Z_{k/f}$ (50 Hz) ³⁾ 1	MΩ
					$Z_{k/f}$ (50 Hz) ²⁾ 0,1	MΩ
Televizní obrazovka s elektromagnetickým vychylováním a elektrostatickým ostřením bodu. Stínítko televizní bílé. Dosvit střední. Středící magnet: 0–10 G Vnější povlak vodivý. Užitečná plocha min 305×384 mm Vychylovací úhel: vertikální 82° horizontální 99° ve směru úhlopříčky 110° Bez iontového filtru. Patice: K 8/15.						
					1) Během nažhavení 2) Sériové žhavení 3) Paralelní žhavení	

Typ Použití	Patice	Žhavení	Provozní hodnoty		Mezní hodnoty
		Statické hodnoty	Rozměry		
472QQ44		U_F 6,3 V	U_{G3+G5} 18 kV		U_{G3+G50} 18 kV
		I_F 0,3 A	U_{G4} 0 – 400 V		U_{G3+G5} >13 kV
		I_F 0,3 A	U_{G2} 400 V		U_{G4} 1000 V
		U_F 6,3 V	$-U_{G1Z}$ 40 – 77 V		$-U_{G4}$ 500 V
		t_f <35 s	I_K 100 μ A		$+U_{G4M}^{1)}$ 2500 V
		nepřímé žhavení	$-U_{G1m}^{1)}$ <32 V		U_{G2} 550 V
			$^{1)} I_K = 100 \mu A; U_{G1m} = U_{G1Z} - U_{G1};$ U_{G1} předpětí, při němž $I_K = 100 \mu A$		U_{G2} >350 V
		C_{g1} 6 pF			$-U_{G1}$ 150 V
		C_k 5 pF			$+U_{G1}$ 0 V
		$C_{g3+g5/m}$ >1000 pF			$+U_{G1M}$ 2 V
		<1500 pF			$-U_{G1M}^{1)}$ 400 V
		$C_{g3+g5/b}$ 350 pF			R_{g1} 1,5 M Ω
					Z_{g1} (50 Hz) 0,5 M Ω
					$U_{+K/F-}^{2)}$ 410 V
					$U_{+K/F-}$ 200 V
					$U_{+K/F-M}$ 300 V
					$U_{-K/F+}$ 125 V
					$U_{-K/F+M}$ 250 V
					P_s 10 mW/cm ²
					$R_{k/f}^{3)}$ 1 M Ω
					$Z_{k/f}$ (50 Hz) ⁴⁾ 0,1 M Ω
					$Z_{k/f}$ (50 Hz) ³⁾ 1 M Ω

Televizní obrazovka s elektromagnetickým vychylováním a elektrostatickým ostřením bodu.

Neimplosní provedení.

Stínítko televizní bílé.

Dosvit střední.

Středící magnet: 0-10 G

Vnější povlak vodivý.

Užitečná plocha stínítka

min 305 \times 384 mm

Vychylovací úhel:

vertikální 82°

horizontální 99°

ve směru úhlopříčky 110°

Bez iontové pastí.

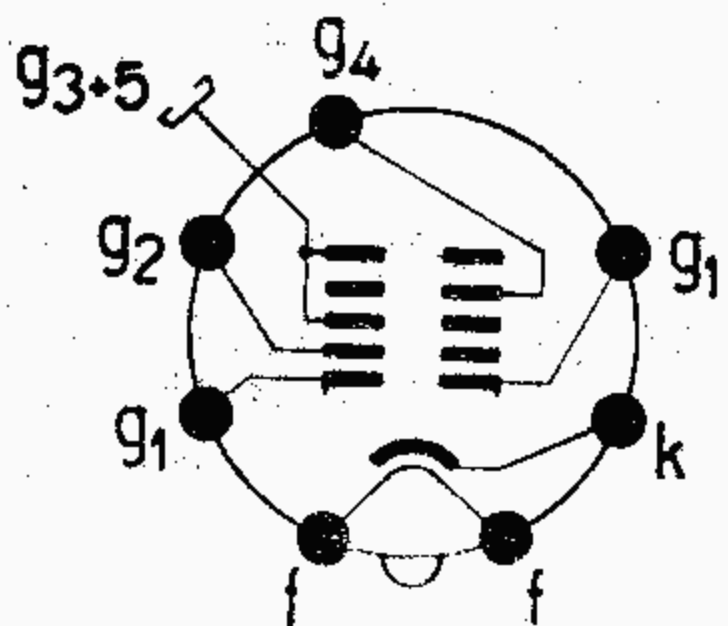
Patice: K 8/15

$^{1)}$ Délka rádkového pulsu max. 22 % obrazového pulsu, max. 1,5 ms.

$^{2)}$ Během nažhavení

$^{3)}$ Paralelní žhavení

$^{4)}$ Sériové žhavení

Typ Použití	Patice	Žhavení	Provozní hodnoty			Mezní hodnoty
		Statické hodnoty	Rozměry			
A50 - 120 W 502QQ44		U_F 6,3 V	U_{G3+G5} 18	18	kV	U_{G3+G50} 18 kV
		I_F 0,3 A	U_{G4} 0 - 400	0 - 400	V	$U_{G3+G5} > 13$ kV
		I_F 0,3 A	U_{G2} 400	500	V	U_{G4M} 2500 V
		U_F 6,3 V	$-U_{G1Z}$ 40 - 77	50 - 93	V	U_{G4} 1000 V
		nepřímé žhavení	I_K 100	100	μA	$-U_{G4}$ 500 V
			$-U_{G1m}^1)$ 26	<32	- V	U_{G2} 550 V
		C_{g1} 6 pF	$^1) I_K = 100 \mu A; U_{G1m} = U_{G1Z} - U_{G1};$ U_{G1} předpětí, při němž $I_K = 100 \mu A$			$U_{G2} > 350$ V
		C_k 5 pF				
		$C_{g3+g5/m}$ min 900 pF				$-U_{G1}$ 150 V
		max 1500 pF				$-U_{G1} > 0$ V
		$C_{g3+g5/b}$ 350 pF				$U_{G1M} + 2$ V
Televizní obrazovka s elektromagnetickým vychylováním a elektrostatickým ostřením. Neimplosní provedení. Barva stínítka bílá. Dosvit střední. Středící magnet: 0-10 Oe Vnější povlak vodivý. Užitečná plocha stínítka min. 308 × 394 mm. Vychylovací úhel: vertikální 81° horizontální 99° ve směru úhlopříčky 110° Bez iontové pastí. Patice: K 8/15.						

Televizní obrazovka s elektromagnetickým vychylováním a elektrostatickým ostřením.

Neimplosní provedení.

Barva stínítka bílá.

Dosvit střední.

Středící magnet: 0-10 Oe

Vnější povlak vodivý.

Užitečná plocha stínítka

min. 308 \times 394 mm.

Vychylovací úhel:

vertikální 81°

horizontální 99°

ve směru úhlopříčky 110°

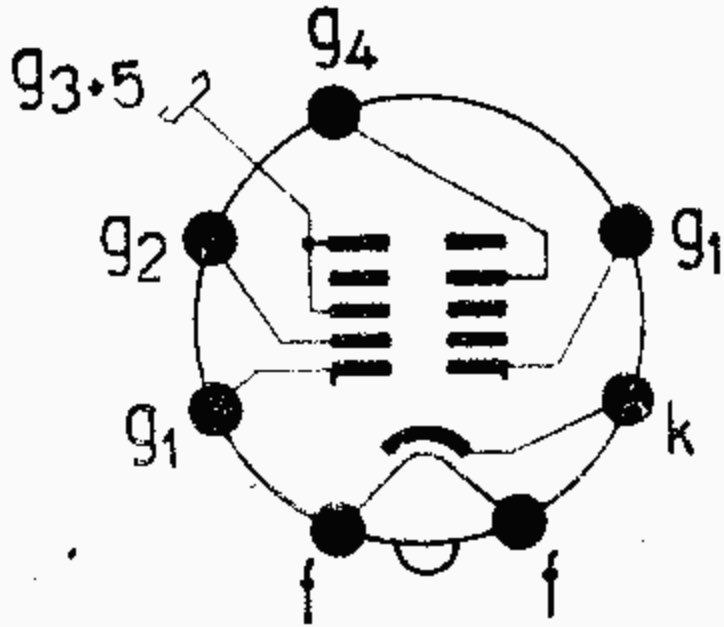
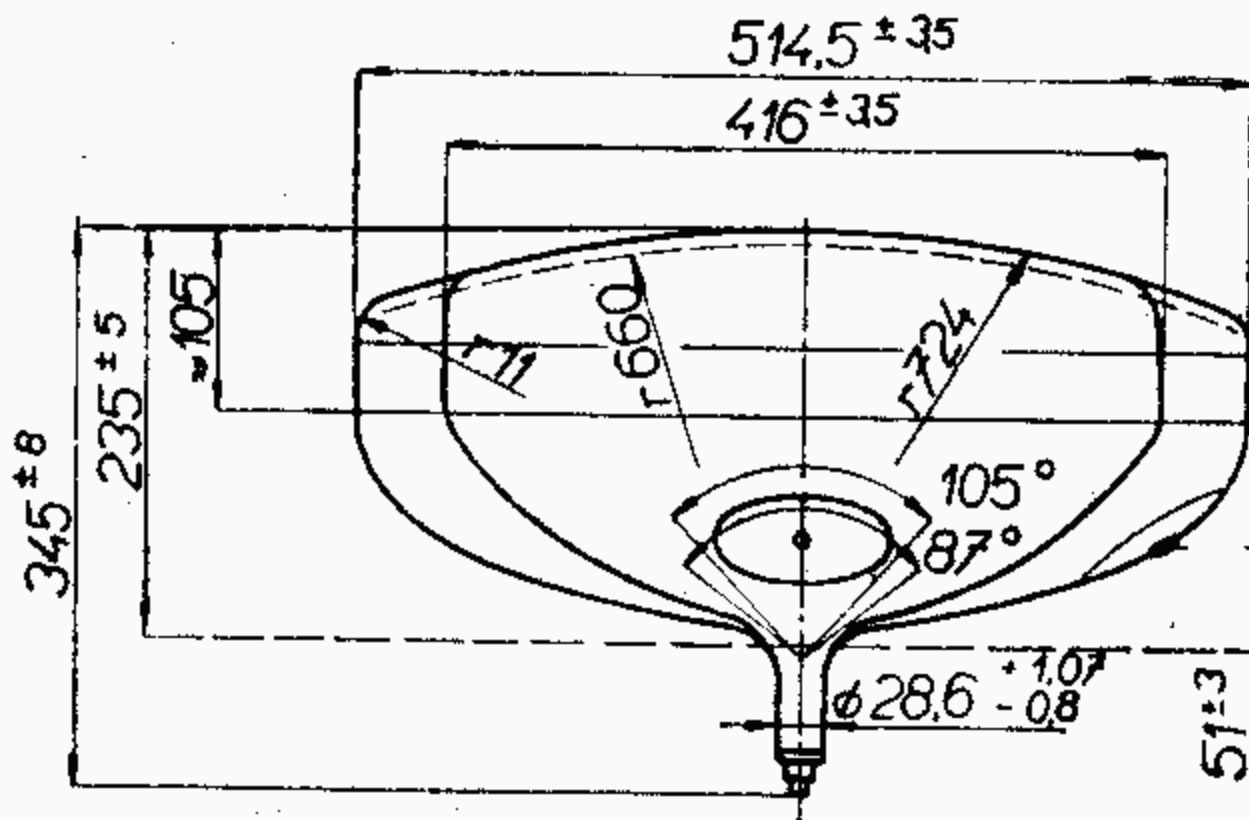
Bez iontové pastí.

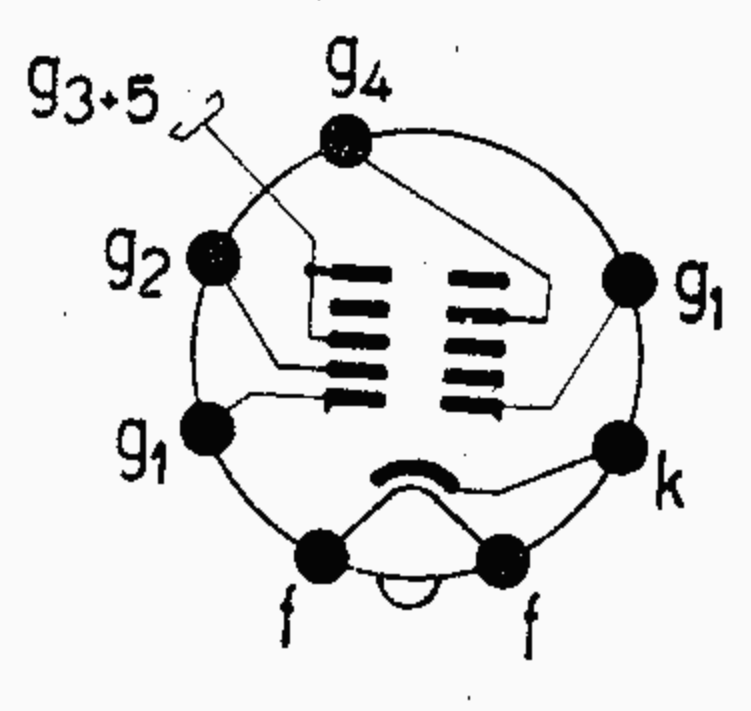
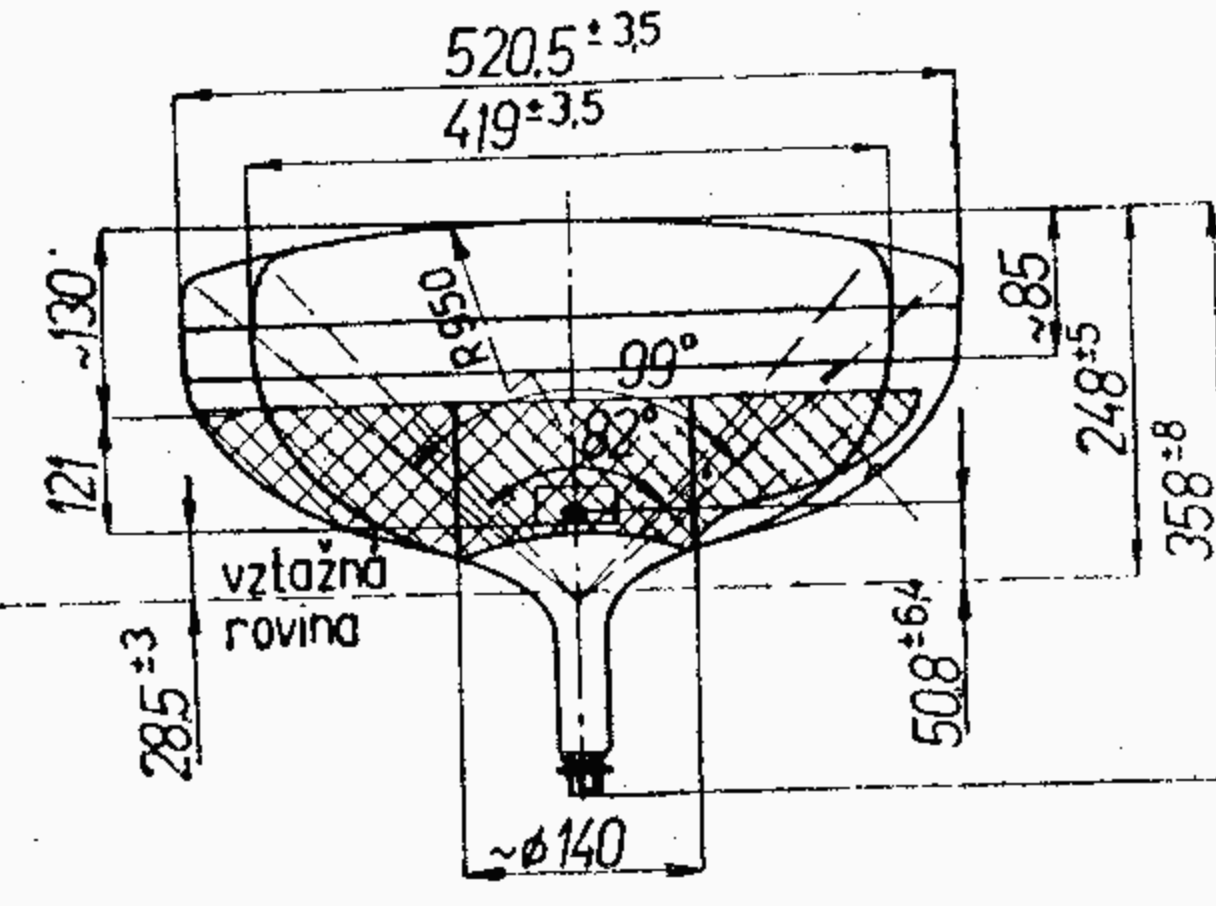
Patice: K 8/15.

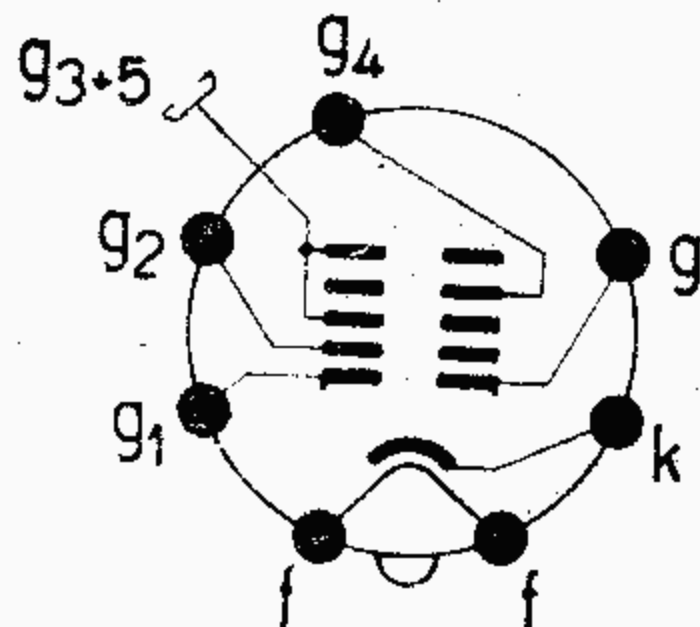
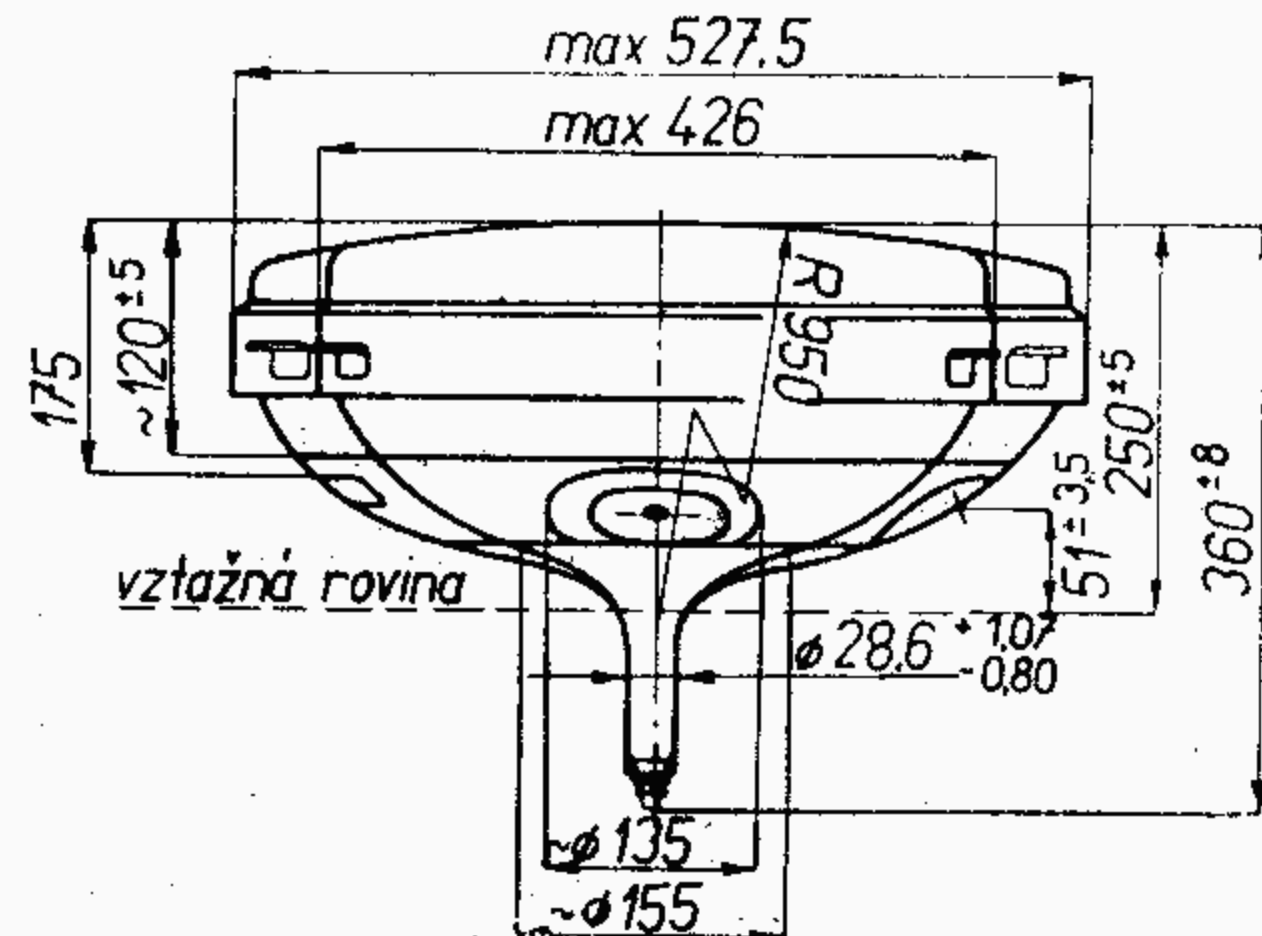
$^{2)}$ Sériové napájení.

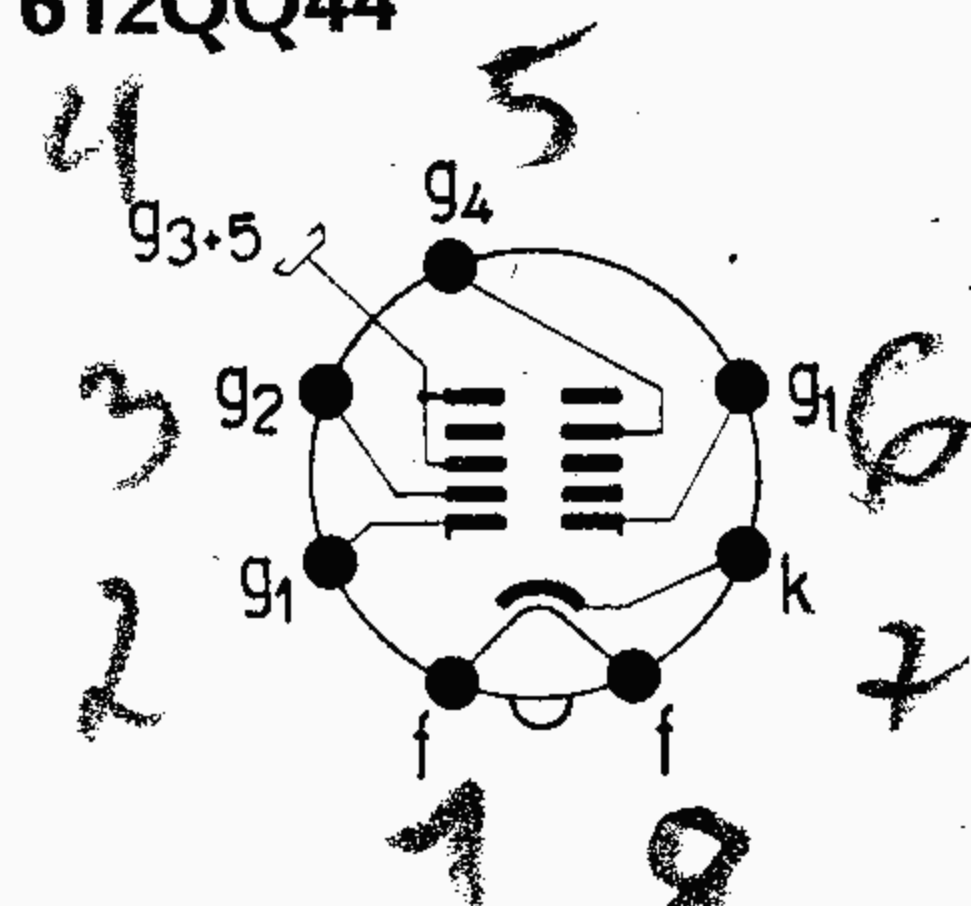
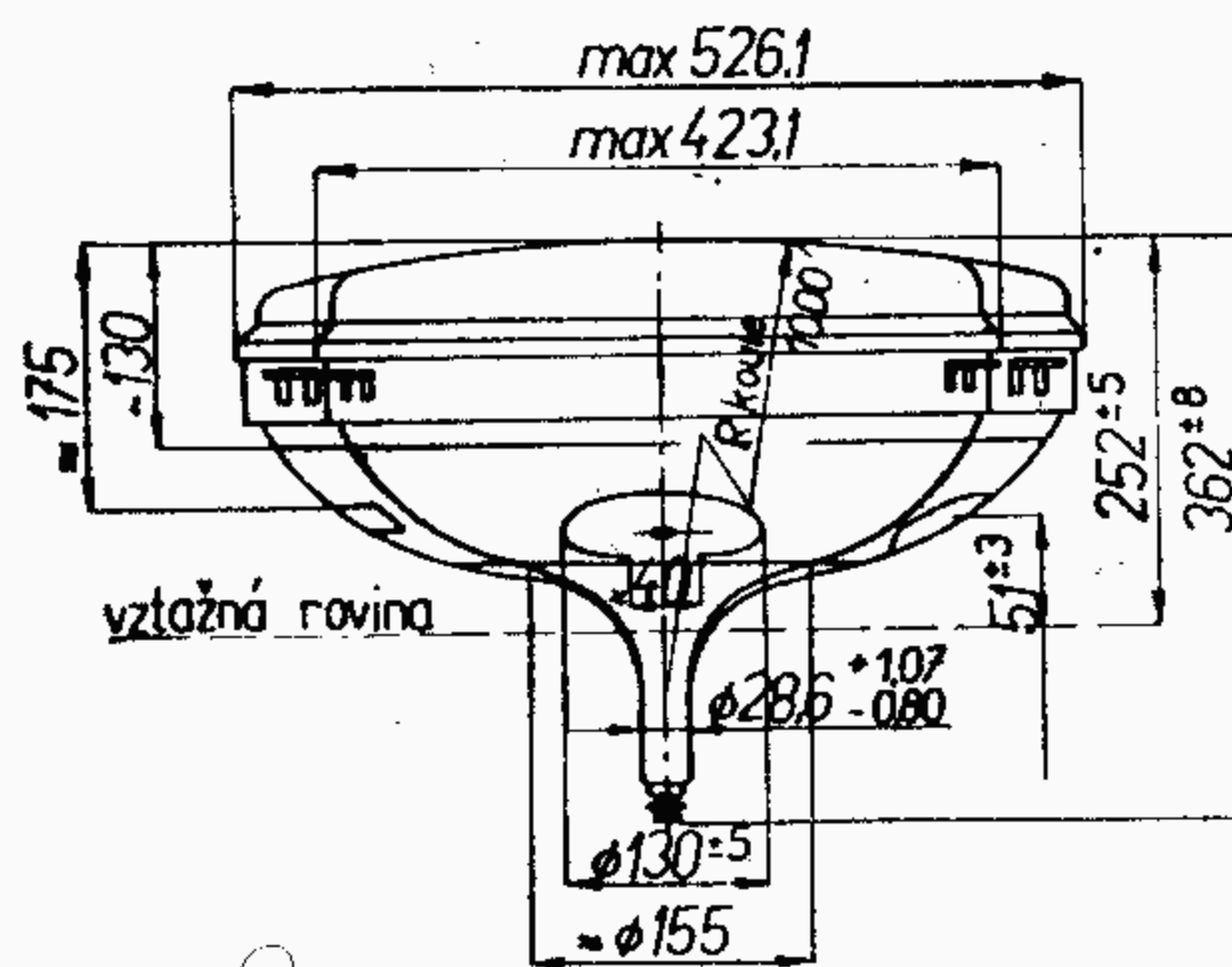
$^{3)}$ Paralelní napájení.

$^{1)}$ Během doby nažhavení.

Typ Použití	Patice	Žhavení	Provozní hodnoty Rozměry		Mezní hodnoty
		Statické hodnoty			
531QQ44		U_F 6,3 V I_F 0,3 A I_F 0,3 A U_F 6,3 V nepřímé žhavení C_{g1} 6 pF C_k 5 pF $C_{a/m}$ >1200 pF <2500 pF	U_{G3+G5} 16 kV U_{G4} 0 – 400 V U_{G2} 400 V $-U_{G1Z}$ 38 – 94 V $-U_{G1m}^1)$ <38 V I_K 100 μA	U_{G3+G5o} 16 kV U_{G3+G5} >13 kV U_{G4} 1000 V $-U_{G4}$ 500 V U_{G2} 500 V U_{G2} >200 V $-U_{G1}$ 150 V $-U_{G1}$ >0 V $+U_{G1M}$ 2 V I_K 150 μA $U_{+K/F-}^1)$ 410 V $U_{+K/F-}$ 200 V $U_{+K/F-M}$ 280 V $U_{-K/F+}$ 125 V R_{g1} 1,5 MΩ Z_{g1} (50 Hz) 0,5 MΩ $R_{k/f}^3)$ 1 MΩ $Z_{k/f}$ (50 Hz) ²⁾ 0,1 MΩ $Z_{k/f}$ (50 Hz) ³⁾ 1 MΩ	
		<p>1) $I_K = 100 \mu A$; $U_{G1m} = U_{G1Z} - U_{G1}$; U_{G1} předpětí, při němž $I_K = 100 \mu A$</p> 			
<p>Televizní obrazovka s elektromagnetickým vychylováním, ostření bodu elektrostatické. Stínítko televizní bílé. Dosvit střední. Středicí magnet 0–10 Oe Vnější povlak vodivý. Užitečná plocha 382 × 484 mm Vychylovací úhel: vertikální 87° horizontální 105° ve směru úhlopříčky 110° Bez iontového filtru. Patice: K 8/15</p>		<p>Nepoužívejte v nových zařízeních!</p>			

Typ Použití	Patice	Žhavení	Provozní hodnoty		Mezní hodnoty
		Statické hodnoty	Rozměry		
590QQ44		U_F 6,3 V I_F 0,3 A	U_{G3+G5} 16 kV U_{G4} 0 – 400 V U_{G2} 400 V $-U_{G1Z}$ 40 – 77 V I_K 100 μ A $-U_{G1m}^1)$ <32 V		U_{G3+G5o} 16 kV U_{G3+G5} >13 kV U_{G4} 1000 V $-U_{G4}$ 500 V U_{G2} 500 V U_{G2} >200 V $-U_{G1M}$ 400 V $-U_{G1}$ 150 V $-U_{G1}$ >0 V $+U_{G1M}$ 2 V R_{g1} 1,5 M Ω Z_{g1} (50 Hz) 0,5 M Ω P_s 10 mW/cm ² $U_{+K/F-}^1)$ 410 V $U_{+K/F-}$ 200 V $U_{+K/F-M}$ 280 V $U_{-K/F+}$ 125 V $R_{k/f}^3)$ 1 M Ω $Z_{k/f}$ (50 Hz) ³⁾ 1 M Ω $Z_{k/f}$ (50 Hz) ²⁾ 0,1 M Ω
		I_F 0,3 A U_F 6,3 V t_f <35 s nepřímé žhavení C_{g1} 6 pF C_k 5 pF $C_{g3+g5/m}$ >1200 pF <2500 pF	$^1) I_K = 100 \mu A; U_{G1m} = U_{G1z} - U_{G1}; U_{G1}$ předpětí, při němž $I_K = 100 \mu A$ 		$^1)$ Během nažhavení $^2)$ Sériové žhavení $^3)$ Paralelní žhavení

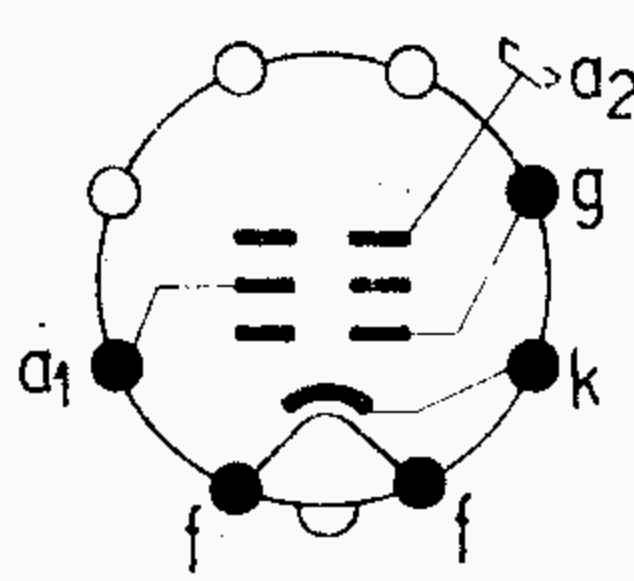
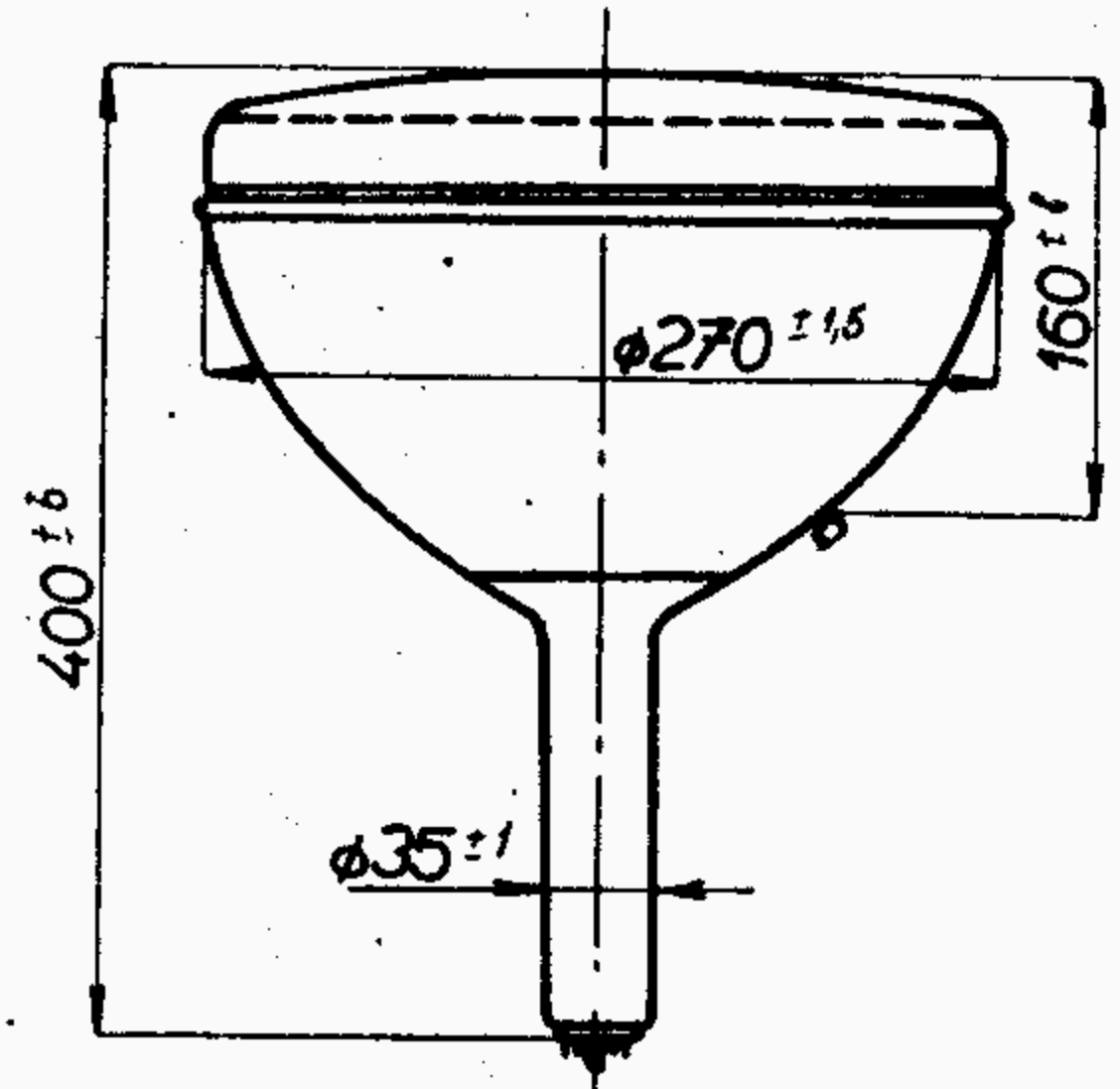
Typ Použití	Patice	Žhavení	Provozní hodnoty			Mezní hodnoty
		Kapacity	Rozměry			
A59 - 23 W 593QQ44		U_F 6,3 V I_F 0,3 A <hr/> I_F 0,3 A U_F 6,3 V t_f 10 ... 19 s nepřímé žhavení C_{g1} 6 pF C_k 5 pF $C_{g3+g5/m}$ >1300 pF <1900 pF $C_{g3+g5/b}$ 550 pF	U_{G3+G5} 18 18 kV U_{G4} 0 – 400 0 – 400 V U_{G2} 400 500 V $-U_{G1Z}$ 40 – 77 50 – 93 V I_K 100 100 μ A $-U_{G1M}$ 26 <32 – V			U_{G3+G5o} 18 kV U_{G3+G5} >13 kV U_{G4} 1000 V $U_{G4M}^1)$ 2500 V $-U_{G4}$ 500 V U_{G2} 550 V U_{G2} >350 V $-U_{G1}$ 150 V $-U_{G1M}^1)$ 400 V $-U_{G1}$ >0 V $+U_{G1M}$ 2 V R_{g1} 1,5 M Ω Z_{g1} (50 Hz) 0,5 M Ω $U_{+K/F-}$ 250 V $U_{+K/F-}^2)$ 410 V $U_{+K/F-M}$ 300 V $U_{-K/F+}$ 135 V $U_{-K/F+M}$ 180 V $R_{k/f}^3)$ 1 M Ω $Z_{k/f}$ (50 Hz) ⁴⁾ 0,1 M Ω $Z_{\bar{k}/f}$ (50 Hz) ³⁾ 1 M Ω
Televizní obrazovka s elektromagnetickým vychylováním a elektrostatickým ostřením bodu. Neimplosní provedení Solidex 6 - Simplex Stínítko televizní bílé. Dosvit střední. Středicí magnet 0–10 Oe Vnější povlak vodivý. Užitečná plocha stínítka min 385 × 489 mm Vychylovací úhel: vertikální 82° horizontální 99° ve směru úhlopříčky 110° Bez iontové pastě. Patice: K 8/15		1) Délka řádkového pulsu 22 %, ne déle než 1,5 ms. 2) Během nažhavení. 3) Paralelní žhavení. 4) Sériové žhavení.				

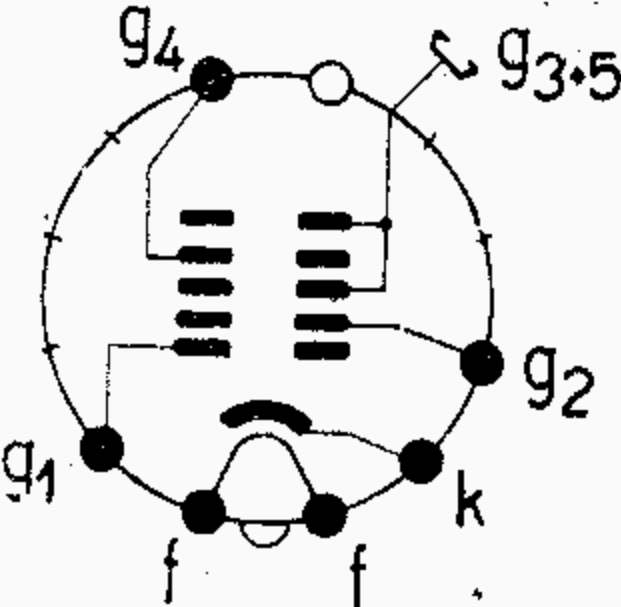
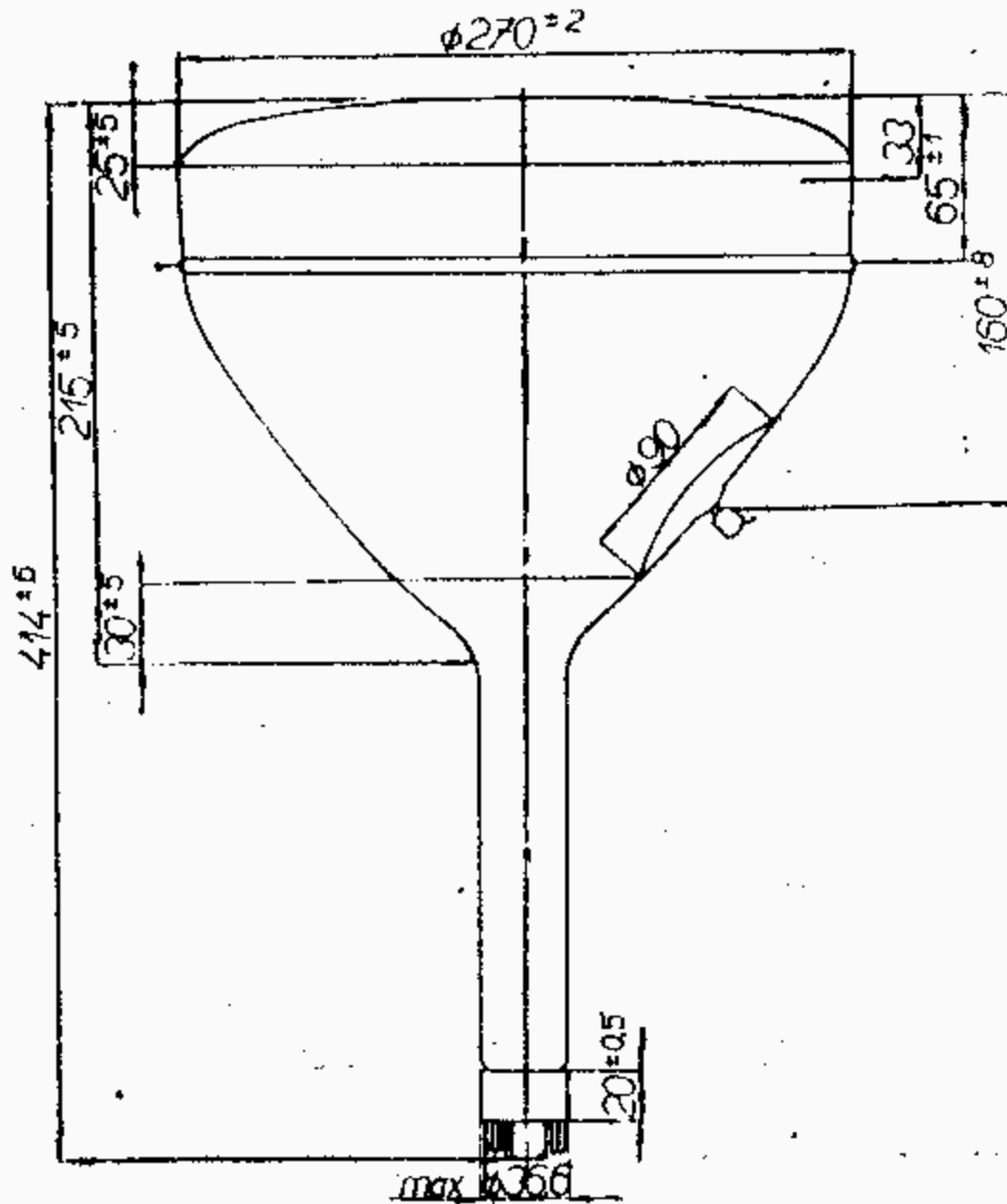
Typ Použití	Patice	Žhavení	Provozní hodnoty			Mezní hodnoty		
		Kapacity	Rozměry					
A61 - 120 W 612QQ44		U_F 6,3 V I_F 0,3 A I_F 0,3 A U_F 6,3 V t_f <19 s nepřímé žhavení. C_{g1} 6 pF C_a 5 pF $C_{g3+g5/m}$ >1700 pF <2500 pF $C_{g3+g5/b}$ 500 pF	U_{G3+G5} 18 kV U_{G4} 0 – 400 V U_{G2} 400 V $-U_{G1Z}$ 40 – 77 V I_K 100 μA $-U_{G1m}$ 26 <32 V	18 kV 0 – 400 V 500 V 50 – 93 V 100 μA — V		U_{G3+G5o} 20 kV U_{G3+G5} >13 kV U_{G4} 1000 V $U_{G4M}^{1)}$ 2500 V $-U_{G4}$ 500 V U_{G2} 550 V U_{G2} >350 V $-U_{G1}$ 150 V $-U_{G1M}^{1)}$ 400 V $+U_{G1}$ 0 V $+U_{G1M}$ 2 V R_{g1} 1,5 MΩ Z_{g1} (50 Hz) 0,5 MΩ $U_{+K/F-}^{2)}$ 410 V $U_{+K/F-}$ 250 V $U_{+K/F-M}$ 300 V $U_{-K/F+}$ 135 V $U_{-K/F+M}$ 180 V $R_{k/f}^{3)}$ 1 MΩ $Z_{k/f}$ (50 Hz) ⁴⁾ 0,1 MΩ $Z_{k/f}$ (50 Hz) ³⁾ 1 MΩ		
Televizní obrazovka s elektromagnetickým vychylováním a elektrostatickým ostřením bodu. Neimplosní provedení Stínítka televizní bílé. Dosvit střední. Středící magnet 0–10 Oe Vnější povlak vodivý. Užitečná plocha stínítka min 375 × 481 mm Vychylovací úhel: vertikální 81° horizontální 98° ve směru úhlopříčky 110° Bez iontové pastí. Patice: K 8/15		 1) Délka řádkového pulsu 22 %, ne déle než 1,5 ms. 2) Během nažhavení. 3) Paralelní žhavení. 4) Sériové žhavení.						

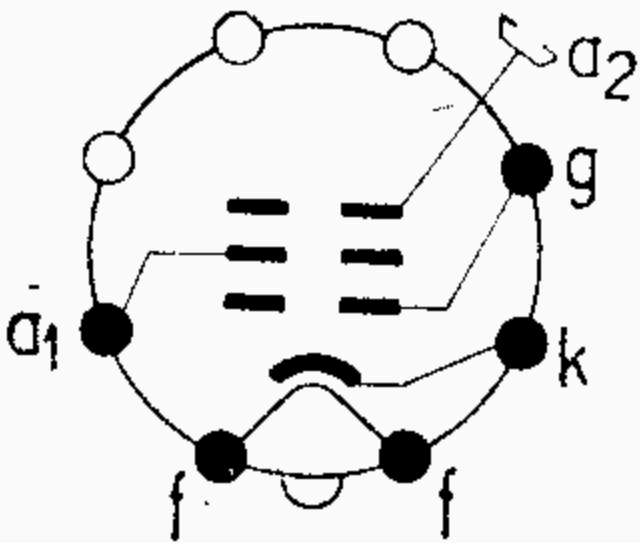

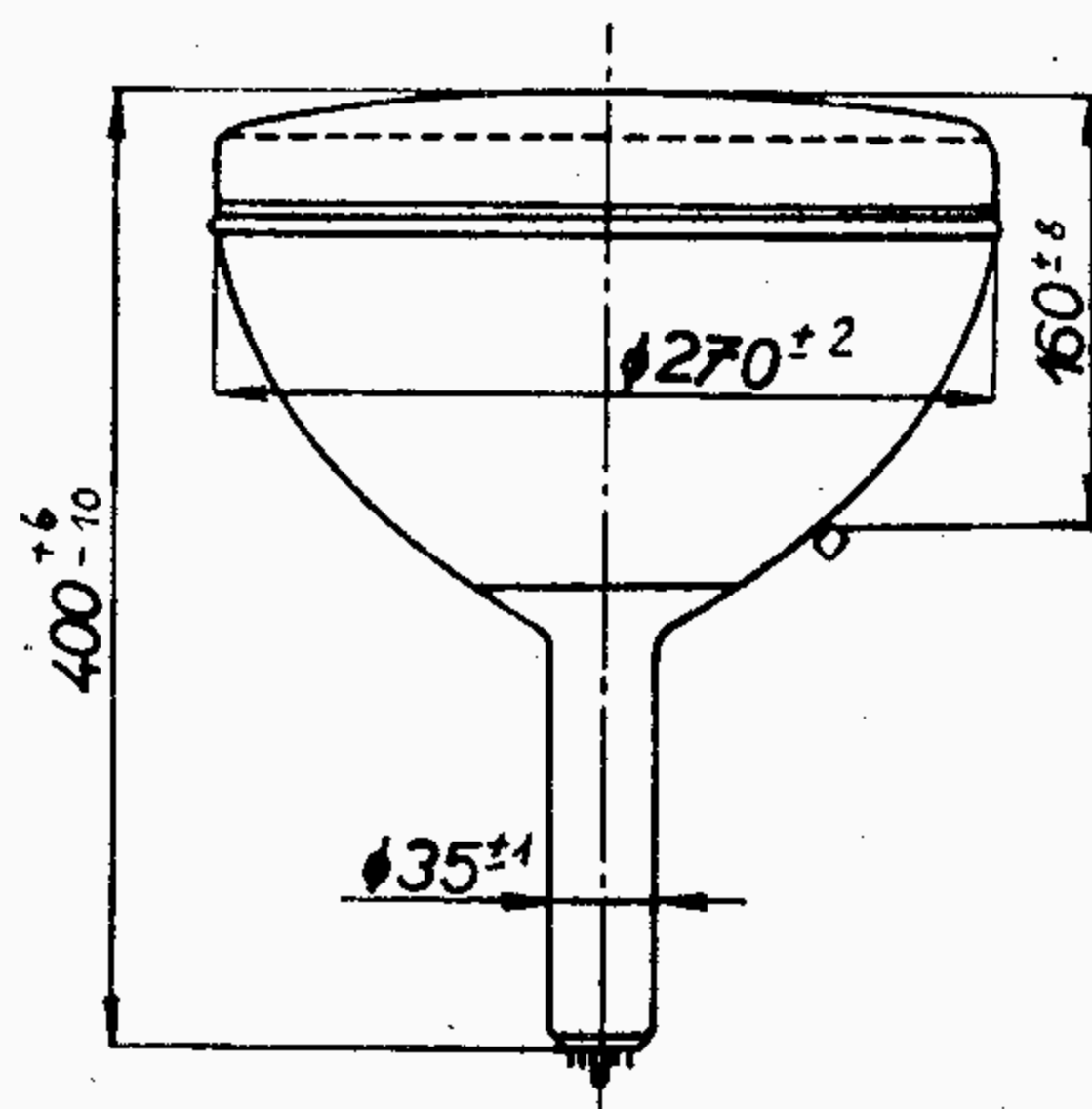
**Osciloskopické a televizní obrazovky
zastaralé konstrukce**

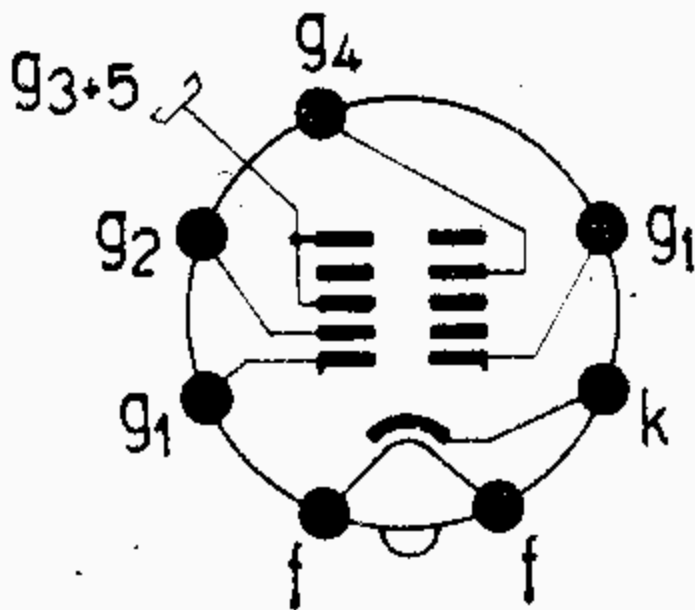

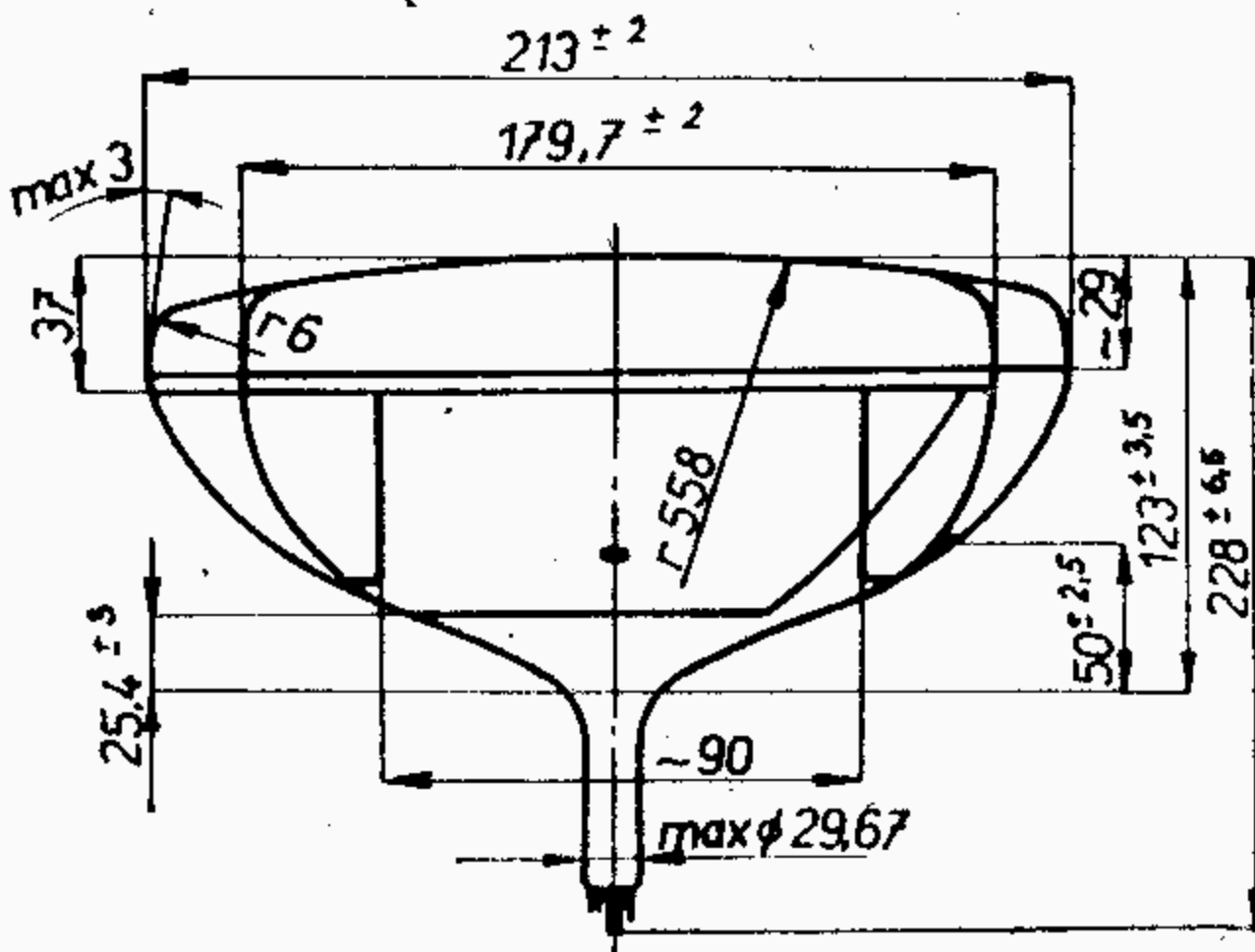
Jen pro informaci!

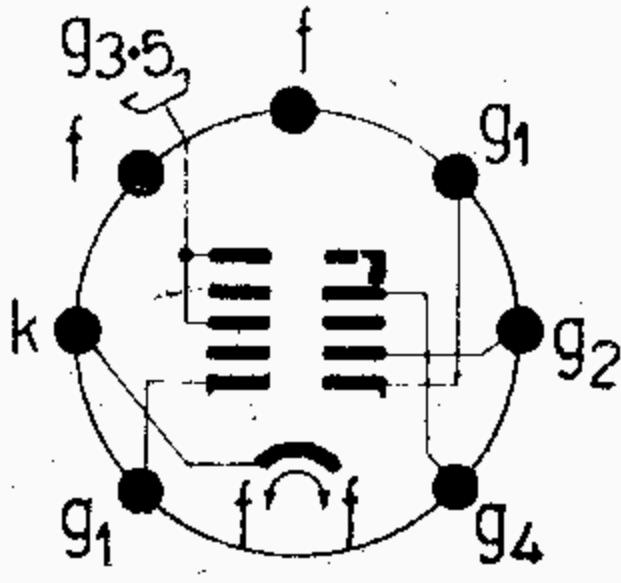

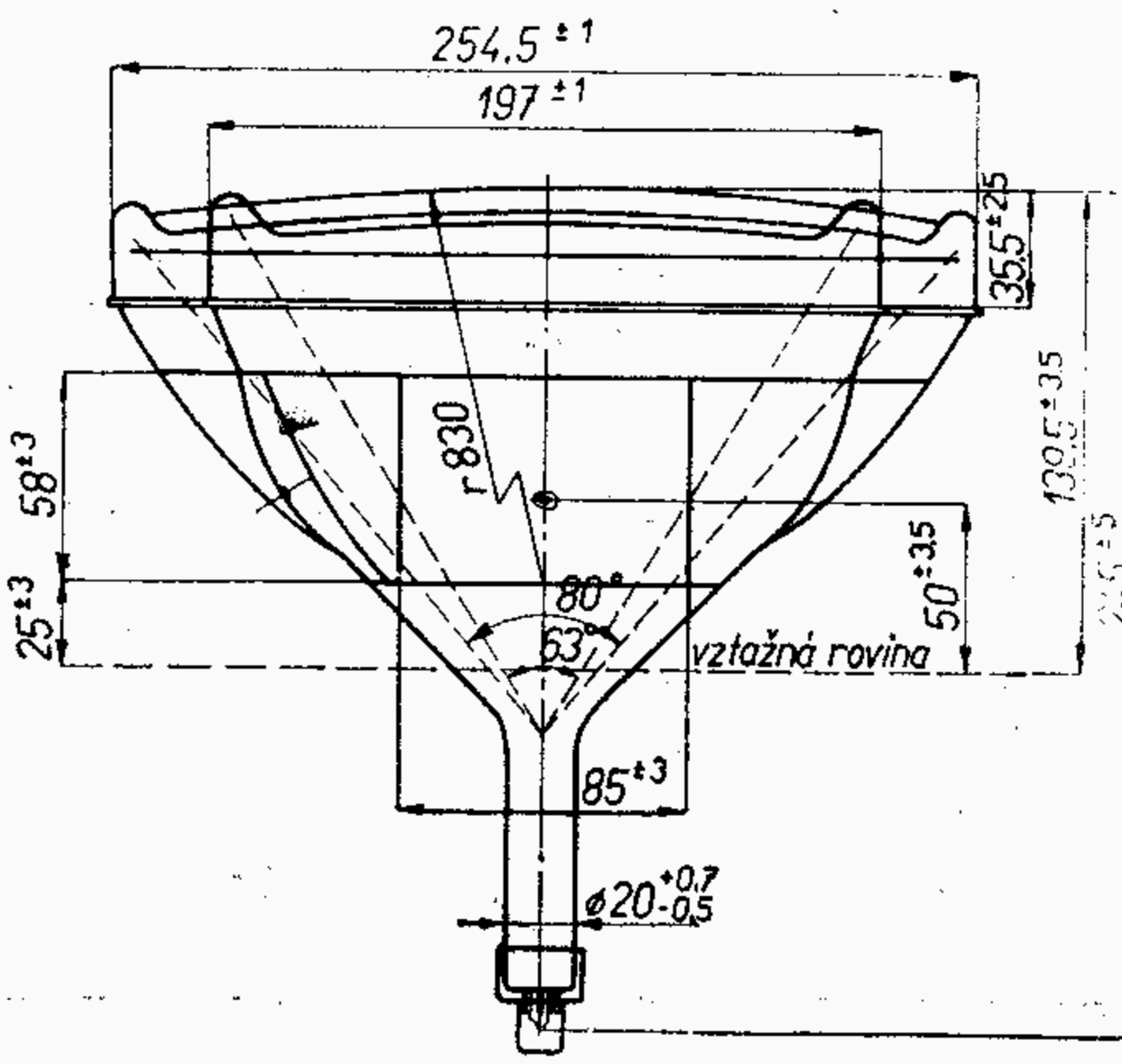
**Výrobky zařazené v této části
se buď nevyrábějí nebo vyrábějí a dodávají
v omezeném množství.**

Typ Použití	Patice	Žhavení	Provozní hodnoty			Mezní hodnoty		
		Statické hodnoty	Rozměry					
25QP21		U_F 6,3 V I_F 0,6 A nepřímé žhavení	U_{A2} 6000 U_{A1} 250 $-U_{GZ}$ 45 $-U_{Gm}$ 1)	8000 250 V V	V	U_{A2} 10 kV U_{A1} 400 V $-U_G$ 150 V $-U_G$ >0 V R_g 1,5 MΩ $U_{K/F}$ 125 V I_K 50 μA		
		C_{a1} <6 pF C_g <8 pF C_k <8 pF	1) $I_K = 100 \mu A$					
<p>Měřicí obrazovka s elektromagnetickým vychylováním a ostřením bodu. Barva stínítka fluorescence modrobílá fosforescence žlutozelená Dosvit dlouhý. Iontový filtr magnetický Vnější povlak vodivý Vychylovací úhel 55° Užitečný Ø 245 mm Patice: S 8/18</p>								

Typ Použití	Patice	Žhavení	Provozní hodnoty		Mezní hodnoty
		Statické hodnoty	Rozměry		
250QQ86 251QQ47		U_F 6,3 V I_F 0,3 A nepřímé žhavení C_{g1} <8 pF C_k <8 pF $C_{a/m}$ >500 pF	$U_{A+G3+G5}$ 12 kV U_{G4} 0 ... 400 V U_{G2} 250 V $-U_{G1Z}$ 27 - 63 V $-U_{G1m}$ ($I_K = 100 \mu A$) <38 V I_K 50 μA	$U_{A+G3+G5}$ 15 kV $U_{A+G3+G5}$ >10 kV U_{G4} 500 V $-U_{G4}$ 500 V U_{G2} 400 V U_{G2} >200 V $-U_{G1}$ 145 V $-U_{G1}$ >0 V U_{G1M} +2 V I_K 50 μA R_{g1} 0,5 M Ω $U_{+K/F-}$ 180 V $U_{-K/F+}$ 125 V P_s 10 mW/cm ² $R_{k/f}$ 1 M Ω	
<p>Obrazovka s elektromagnetickým vychylováním a elektrostatickým zaostřováním paprsku. Barva stínítka 250QQ86 fluorescence žlutá fosforescence žlutá 251QQ47 fluorescence modrobílá fosforescence žlutozelená Dosvit dlouhý. Vnější povlak vodivý. Užitečný průměr 245 mm Vychylovací úhel 55° Patice: K 12/27</p>					

Typ Použití	Patice	Žhavení	Provozní hodnoty			Mezní hodnoty		
		Statické hodnoty	Rozměry					
25QP20		U_F 6,3 V I_F 0,3 A nepřímé žhavení  C_{a1} <6 pF C_g <8 pF C_k <8 pF	U_{A2} 6000 V U_{A1} 250 V U_{GZ} -40 V $U_{Gm}^{1)}$ -25 V $U_{Gm}^{2)}$ -20 V	8000 V 250 V -45 V -25 V -20 V	U_{A2} 10 kV U_{A1} 400 V $-U_G$ 150 V $-U_G$ >0 V R_g 1,5 MΩ $U_{K/F}$ ±125 V I_K 50 μA			
Televizní obrazovka s elektromagnetickým vychylováním a ostřením bodu. Stínítko televizní bílé. Dosvit krátký. Iontový filtr magnetický. Vnější povlak vodivý. Užitečný Ø 245 mm Vychylovací úhel 55° Patice: S 8/18								

Typ Použití	Patice	Žhavení	Provozní hodnoty		Mezní hodnoty
		Statické hodnoty	Rozměry		
251QQ44		U_F 11,5 V I_F 0,1 A t_f <35 s nepřímé žhavení  C_{g1} 6 pF C_k 5 pF $C_{g3+g5/m}$ >300 pF <800 pF	U_{G3+G5} 10 kV U_{G4} 0 – 400 V U_{G2} 400 V $-U_{G1Z}$ 40 – 77 V I_K 50 μ A $-U_{G1m}$ ¹⁾ <32 V	U_{G3+G5} 12 kV U_{G3+G5} >8 kV U_{G4} 1000 V $-U_{G4}$ 500 V U_{G2} 500 V U_{G2} >200 V $-U_{G1M}$ 400 V $-U_{G1}$ 150 V $-U_{G1}$ >0 V U_{G1M} 2 V R_{g1} 1,5 M Ω Z_{g1} (50 Hz) 0,5 M Ω I_K 100 μ A P_s 10 mW/cm ² $U_{+K/F-}$ 200 V $U_{+K/F-M}$ 280 V $U_{-K/F+}$ 125 V $R_{k/f}$ 1 M Ω $Z_{k/f}$ (50 Hz) 1 M Ω U_F 12,65 V U_F >10,35 V	
<p>Televizní obrazovka s elektromagnetickým vychýlováním a elektrostatickým ostřením bodu. Stínítko televizní bílé. Dosvit střední. Vnější povlak vodivý. Středící magnet 0-10 G Užitečná plocha min. 158×195 mm Vychýlovací úhel: vertikální 64° horizontální 75° ve směru úhlopříčky 90° Bez iontového filtru Patice: K 8/15</p>		<p>¹⁾ $I_K = 100 \mu A$; $U_{G1m} = U_{G1Z} - U_{G1}$; U_{G1} předpětí, při němž $I_K = 100 \mu A$</p> 			

Typ Použití	Patice	Žhavení	Provozní hodnoty		Mezní hodnoty
		Statické hodnoty	Rozměry		
280QQ44		U_F 11 V I_F 80 mA t_f < 35 s nepřímé žhavení  C_{g1} 6 pF C_k 3 pF $C_{g3+g5/m}$ > 550 pF < 850 pF	U_{G3+G5} 11 kV U_{G4} 0 – 350 V U_{G2} 250 V $-U_{G1Z}$ 32 – 58 V I_K 50 μ A		U_{G3+G5} 12 kV U_{G3+G5} > 7,5 kV U_{G4} 450 V $-U_{G4}$ 100 V U_{G2} 450 V U_{G2} 180 V $-U_{G1M}$ 350 V $-U_{G1}$ 100 V U_{G1} > 0 V U_{G1M} +2 V R_{g1} 1,5 M Ω Z_{g1} (50 Hz) 0,5 M Ω P_s 10 mW/cm ² $U_{+K/F-}$ 80 V $U_{+K/F-M}$ 130 V $R_{k/f}^{1)}$ 1 M Ω $Z_{k/f}^{1)}$ 1 M Ω U_F 12,1 V U_F > 9,9 V
		1) Paralelní žhavení z oddělovacího transformátoru.			

Televizní obrazovka s elektromagnetickým vychylováním a elektrostatickým ostřením bodu.

Stínítko televizní bílé.

Dosvit střední.

Vnější povlak vodivý.

Středící magnet 0-10 G

Užitečná plocha min.

171 × 228 mm

Vychylovací úhel:

vertikální 63°

horizontální 80°

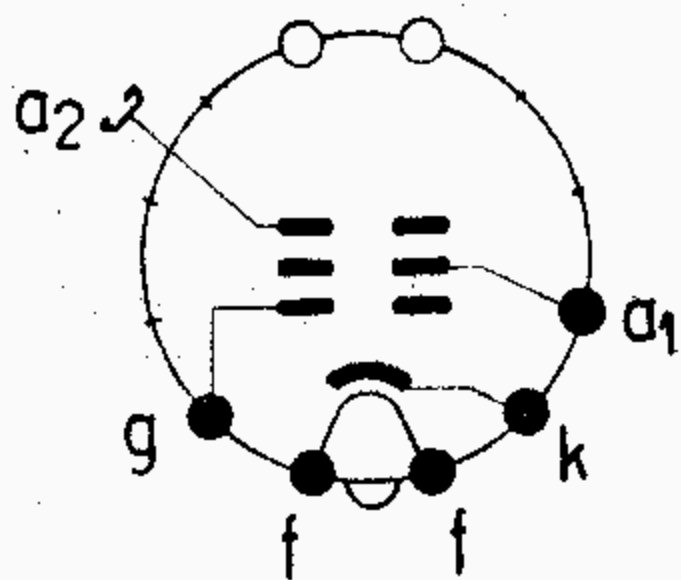
ve směru úhlopříčky 90°

Bez iontového filtru.

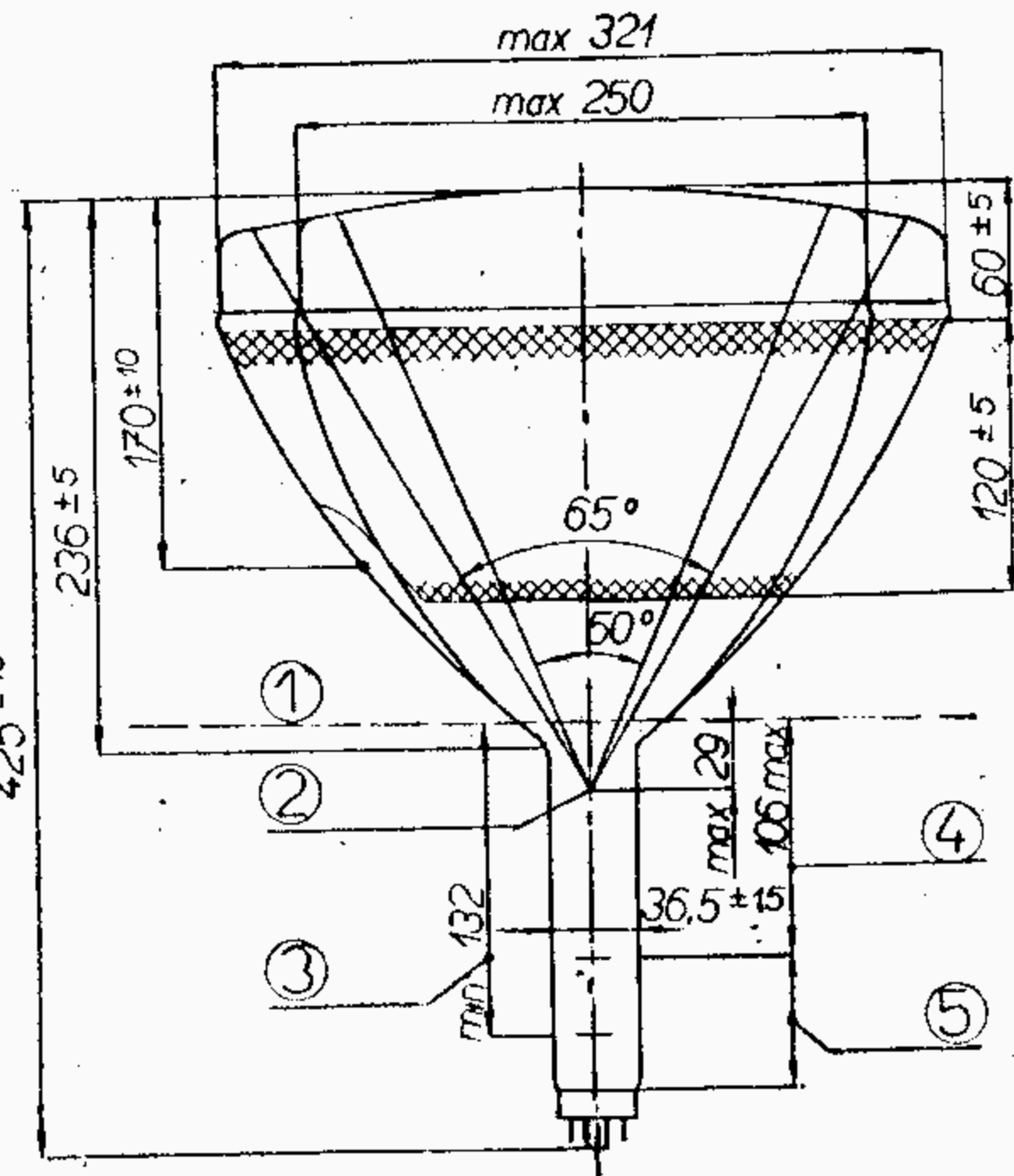
Patice: upravená

miniaturní S 7/10

1) Paralelní žhavení z oddělovacího transformátoru.

Typ Použití	Patice	Žhavení	Provozní hodnoty		Mezní hodnoty
		Statické hodnoty	Rozměry		
351QP44		U_F 6,3 V I_F 0,3 A	U_{A2} 12 kV U_{A1} 250 V $-U_{GZ}$ 27 – 63 V $-U_{Gm}^{1)}$ <30 V I_K 50 μA	U_{A2} 14 kV U_{A2} >7 kV U_{A1} 400 V U_{A1} >160 V $-U_G$ 150 V $-U_G$ >0 V $+U_{GM}$ 2 V R_g 0,5 MΩ I_K 100 μA P_s 10 mW/cm ² $U_{+K/F-}^{1)}$ 410 V $U_{+K/F-}$ 180 V $U_{-K/F+}$ 125 V $R_{k/f}^{2)}$ 1 MΩ $Z_{k/f}^{3)}$ (f = 50 Hz) 0,1 MΩ	
		I_F 0,3 A U_F 6,3 V t_f <30 s nepřímé žhavení C_g <8 pF C_k <6,5 pF $C_{a2/m}$ >700 pF <1500 pF	$^{1)} I_K = 100 \mu A. U_{Gm} = U_{GZ} - U_G;$ U_{G1} předpětí, při němž $I_K = 100 \mu A$		

Televizní obrazovka s elektromagnetickým vychylováním a ostřením bodu. Stínítko televizní bílé. Dosvit střední. Iontový filtr: magnet 60 G Vnější povlak vodivý. Užitečná plocha 220×294 mm Vychylovací úhel: vertikální 50° horizontální 65° ve směru úhlopříčky 70° Patice: K 12/27



$^{1)}$ Během nažhavení
 $^{2)}$ Paralelní žhavení
 $^{3)}$ Sériové žhavení

Televizní obrazovka s elektromagnetickým vychylováním a ostřením bodu.

Stínítko televizní bílé.

Dosvit střední.

Iontový filtr: magnet 60 G

Vnější povlak vodivý.

Užitečná plocha

220 × 294 mm

Vychylovací úhel:

vertikální 50°

horizontální 65°

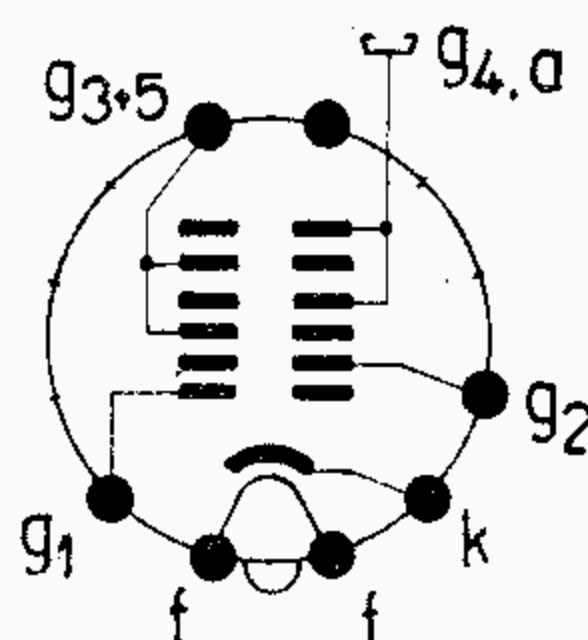

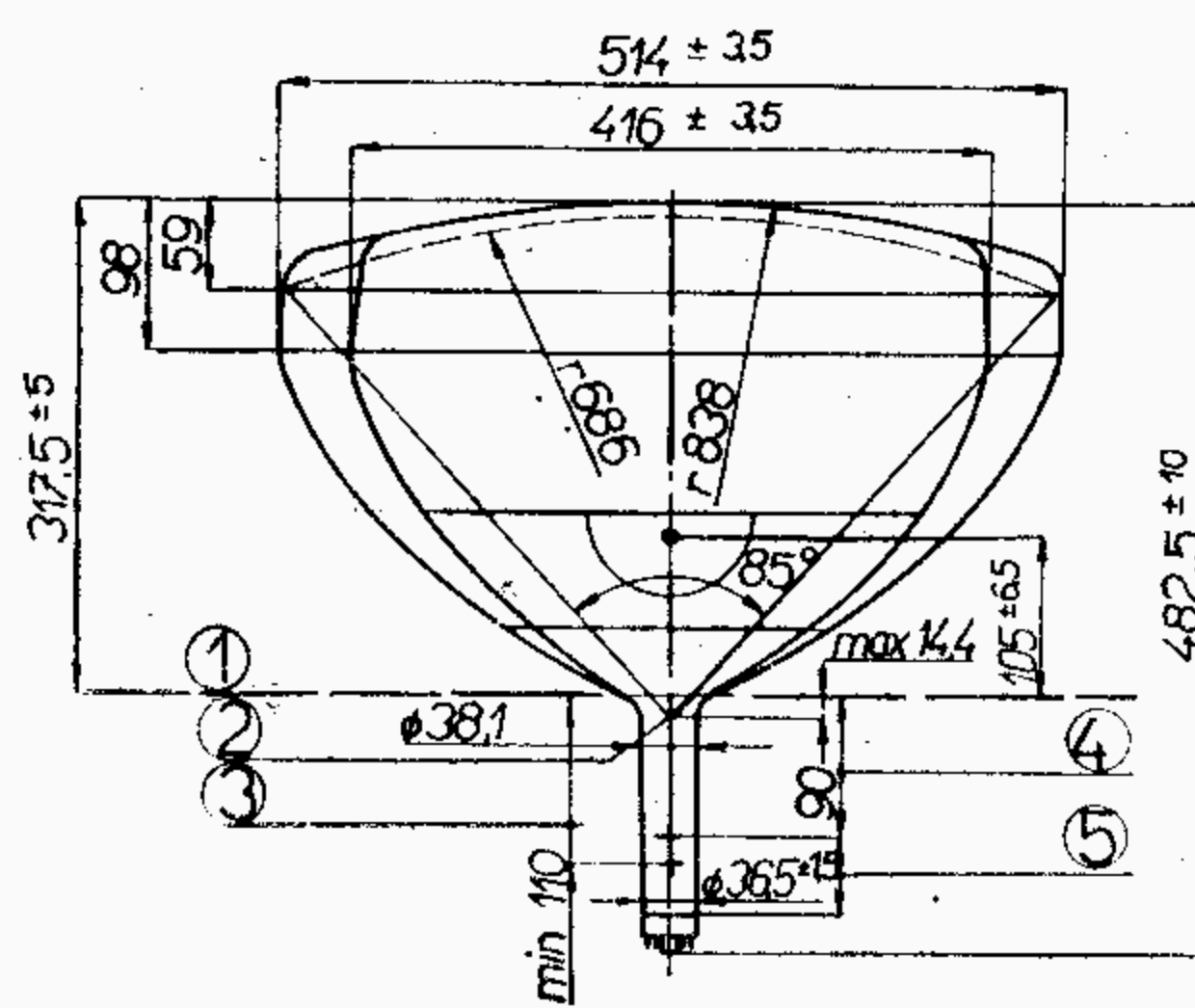
ve směru úhlopříčky 70°

Patice: K 12/27

1) Během nažhavení

2) Paralelní žhavení

3) Sériové žhavení

Typ Použití	Patice	Žhavení	Provozní hodnoty		Mezní hodnoty	
		Statické hodnoty	Rozměry			
AW 53 - 80		U_F 6,3 V	U_A 15 kV	U_A 17 kV		
		I_F 0,3 A	U_{G3} 0 - 400 V	U_A >12 kV		
		I_F 0,3 A	U_{G2} 400 V	U_{G3} 500 V		
		U_F 6,3 V	$-U_{G1Z}$ 53 ÷ 107 V	$-U_{G3}$ 500 V		
		t_f <45 s	I_K 100 μ A	U_{G2} 500 V		
		nepřímé žhavení	$-U_{G1m}^{1)}$ <38 V	U_{G2} >200 V		
			$^{1)}$ $U_{G1m} = U_{G1Z} - U_{G1}$; U_{G1} napětí, při němž $I_K = 100 \mu$ A.			
		C_{g1} 7 pF				
		C_k 5 pF				
		$C_{a/m}$ >1250 pF				
		<2500 pF				
Televizní obrazovka s elektromagnetickým vychylováním, ostření bodu elektrostatické.						
Stínítko televizní bílé, metalizované.						
Dosvit střední.						
Iontový filtr: magnet 60 G						
Středicí magnet: 0-10 G						
Vnější povlak vodivý.						
Užitečná plocha						
486×381 mm						
Vychylovací úhel:						
vertikální 68°						
horizontální 85°						
ve směru úhlopříčky 90°						
Patice: K 12/27						

Usměrňovací elektronky vakuové
Usměrňovací výbojky
Vysílací elektronky
Zesilovací a modulační elektronky
Vakuové kondenzátory
Pulsní tetrody
Pulsní thyatrony
Klystrony
Magnetrony
Permaktrony
Karcinotrony
Iontovky

Značení vysílacích, zesilovacích, pulsních a modulačních elektronek podle normy TESLA NT - K 003

Podle ustanovení této normy se označují vysílací, zesilovací, modulační a pulsní elektrony vlastní konstrukce. Do skupiny elektronek a výbojek pro vysílače se zařazují jen takové výrobky, které z komerčních důvodů nelze označit číselnými znaky jinými. Znaky elektronek jsou sestaveny z číslic a velkých písmen.

Vysílací a zesilovací elektrony

Číselný znak vysílacích a usměrňovacích elektronek má tři části v pořadí skupina písmen, skupina číslic a opět skupina písmen.

R — vysílací elektrony včetně vakuových usměrňovačů

U — usměrňovací výbojky

Z — speciální zesilovací a modulační elektrony

Druhé písmeno označuje druh elektrodového systému podle shodného klíče s přijímacími elektronekami.

A — dioda

C — trioda malého výkonu

D — triody vysílací nebo zesilovací

E — tetroda

L — pentoda

Druhou částí znaku je skupina číslic, která označuje u vysílacích a modulačních elektronek ztrátový výkon ve W nebo v kW. Použitou jednotku pro ztrátový výkon určuje písmeno třetí části znaku. Následují-li za číselnou skupinou písmena V, X nebo Y je ztrátový výkon elektronek udán v kW.

Třetí část znaku stanoví konstrukční vlastnosti nebo speciální úpravu a pořadí typu. Je-li v této části na prvním místě písmeno

X — značí vzduchové chlazení

Y — vodní chlazení

V — odpařování vody

Další velké písmeno označuje pořadí typu nebo provedení. Začíná se písmenem A a postupuje se v abecedním pořadí. Následující písmena značí:

A, B, C, D, E,

F, G, I, K — elektrony s lisovanými talířky a kolíkovými průchodkami.

H, J — úsporné katody z thoriovaného wolframu.

L, M, N, Q, P — elektrony s koaxiálními průchodkami.

Je-li v poslední skupině písmen pouze jedno písmeno, jde vždy o elektrony celoskleněné, chlazené sáláním nebo vzduchem, předchází-li písmeno V, X nebo Y, vždy o elektrony s vnější anodou.

Pulsní tetrody a thyatrony

Označení pulsních tetrod a thyatronů je poněkud odlišné. Skládá se ze tří částí v pořadí číslice, písmeno, číslice. Druh výrobku je dán druhou písmenovou skupinou.

První písmeno má tento význam:

- R — vysílací elektronka
- T — thyatron

Další písmeno udává:

- P — pulsní dioda
- Q — pulsní dioda se dvěma cestami
- R — pulsní trioda
- S — pulsní tetroda
- T — pulsní pentoda
- U — pulsní elektronka se šesti a více elektrodami.

První číslo první číselné části znaku udává žhavicí příkon podle tabulky:

Příkon do W	0	10	20	50	100	300	1000	3000	>3000
První čísllice	1	2	3	4	5	6	7	8	9

Druhá číslice první skupiny znaku udává postupné číslo typu.

Třetí částí znaku je skupina číslic, udávající

- 20 celoskleněnou patici
- 40–99 materiálový index nebo mechanické uspořádání.

Značení elektronek pro centimetrovou techniku.

Podle ustanovení této normy se označují elektrony vlastní konstrukce. Číselný znak je složen ze tří částí — ze skupiny číslic, písmen a číslic. Druh výrobku je dán střední písmenovou skupinou.

První písmeno této skupiny má tento význam:

- R — vysílací elektrony (elektronové vedení)
- S — průletové elektrony (elektronová indukce)
- T — iontovky

Je-li první písmeno S, udává další písmeno skupiny:

- A — magnetrony malých výkonů pro trvalý provoz
- E — permaktrony
- P — magnetrony pulsní
- R — reflexní klystron

Je-li první písmeno T, udává další písmeno skupiny:

- N — ochranná elektronka

První číslice první skupiny znaku udává žhavicí příkon podle tabulky:

Příkon do W	0	10	20	50	100	300	1000	3000	>3000
První čísllice	1	2	3	4	5	6	7	8	9

Další číslice první skupiny udává postupné číslo typu.

Třetí část znaku je skupina číslic. Číslo 40 až 99 udávající materiálový index nebo mechanické uspořádání. Číslo

- 51 — značí vnitřní rezonanční dutinu, koaxiální vývod
- 52 — značí vnitřní rezonanční dutinu, vlnovod
- 53 — vnější rezonanční dutinu.

Usměrňovací elektronky plynem a parami plněné

Typ	U_F V	F A	t_f s	r_i Ω	I_E A	$-U_A$ max kV	$U_{A\text{ ef}}$ max kV	I_A max A	I_{AM} max A	P_{AR} max W	Chla- zení	Zapojení patice
EY3000N	6,3	1,65	60	150		3,5		0,120	0,750	10		
RA0007A nedodává se RA0007B	1,4	3,5			0,002	0,6		0,0007			RA0007A	
RA025B	5 6	10 8,5		500	$>1,2$	60	26	0,25	0,85	100		f na patici a na čepičce patice: E40
RA05A	6	<32		<350	$>4,5$	60	25	0,7	3	200		
RA7YB	18-21	110-130		80	20	55	20	7	20	20 k		
RA100A	5	6,5		<220	$>0,8$	40	12,5	0,1	0,75	75		f na patici E40
DCG4/1000	2,5	5	60			10	3,5	0,25	1		Hg	
UA025A	2,5	5	60			10	3,5	0,25	1		Ar	
UA1A	4	9-13	600			9	8	1	5		Hg	f na patici a na čepičce
UA1B	4	9-13	120			9	8	1	5		Ar	
UA3A	5	12,5-14,5	20 min			12	11	3	15		Hg	
UA5A	5	12,5-14,5	20 min			12	11	5	25		Hg	

Dvoucestné rtuťové nízkonapěťové usměrňovací výbojky

Jen pro informaci

Nevyrábí a nedodává se

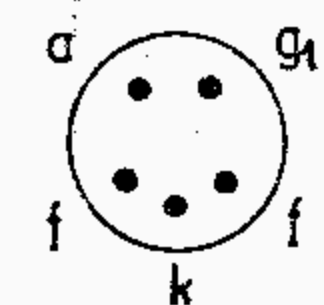
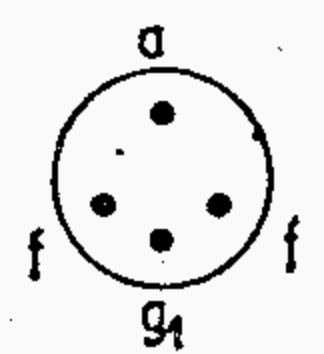
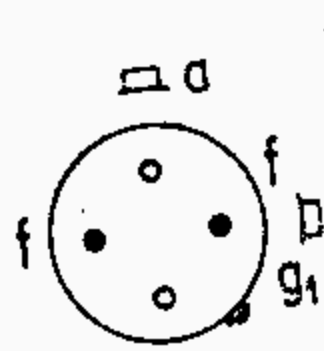
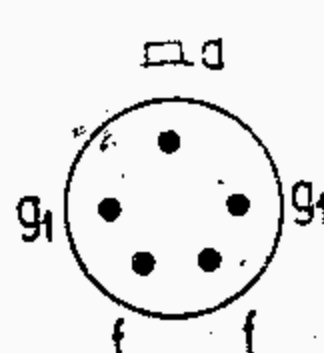
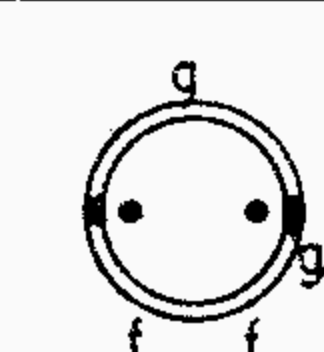

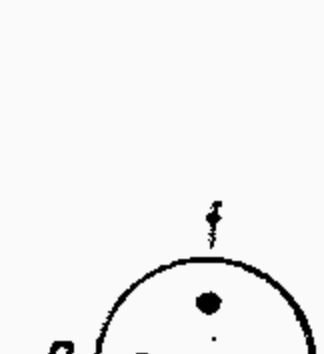
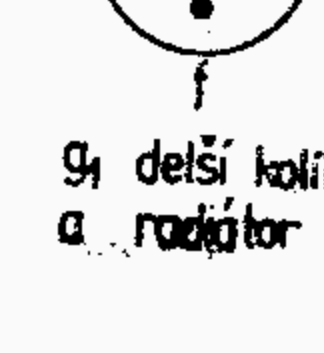
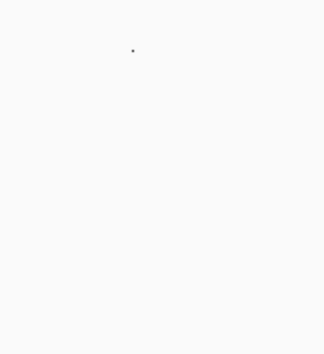

Typ	U_F V	I_F A	t_f s	$U_{arc \max}$ V	$U_{zap \max}$ V	$-U_{A \max}$ V	$U_{A \text{ ef min}}$ V	$U_{A \text{ ef max}}$ V	$I_O \max$ A	$I_{OM \max}$ A	$R_o \min$ Ω	Zapojení patice
367	1,8- 1,9	7	60- 120	12	18	100	16	45	6	18	1	
1710	1,9- 1,95	7	60- 120	16	25	425	25	150	3	9	2,5	
1738	1,9- 1,95	18	60- 120	12,5	25	270	20	95	15	45	0,2	f na patici a na čepičce
1749A	1,9- 1,95	29	60- 120	12,5	30	270	30	95	25	75	0,1	
1749S	1,9- 1,95	29	60- 120	25	40	540	40	190	25	75	0,1	

Před uvedením výbojek 1710, 1738, 1749A, 1749S do chodu musí být výbojka předem zahřena tak, že se postupně zapojí vždy jedna z obou anod na dobu 15 minut. Během zahřívání má rozptýlená rtuť kondenzovat ve spodní části baňky. Jinak nastává nebezpečí průboje mezi anodami. — Tyto výbojky mají samostatně vyvedené stínění mezi anodami, které lze použít jako pomocnou zapalovací anodu k dosažení nižšího zápalného napětí (spojením s katodou přes sériový odpor 10 k Ω). Výbojka 1749A má tento odpor již vestavěn.
Doporučená náhrada křemíkovými usměrňovacími bloky: KY367, KY290, KY238, KY249, KY249S.

Vysílací triody chlazené sáláním nebo vzduchem TESLA
Vršovice

Typ	U_F V	I_F A	μ	S mA/V	r_i k Ω	I_E A	C_{g1} pF
RC5B *)	12,6	0,08	20	6	3,3		1,6
RC5C *)	2,4	0,4	20	6	3,3		1,6
RD27AS	4	1,75–2,2	9,5	7,5	1,265		9
RD200B	10,8	4–4,4	20–24	4,4	5	>2	6
RD300S	5	14	24	6	4		7
RD1XA	15,8–17	19–24	31–39		10,5– 15,3	>2,3	23,2
RD1XH	9	14–17	31–39		10,5– 15,3	4,5	24
RD1,5XA	12,5– 13,5	39–43	22–30		6–8	3,7	16
RD2XF	12	45–55	20–24	5,6	3,5–4,5	5	12
RD2XG	12	45–55	20–24	4,44– 6,85	3,5–4,5	5	12
RD2XH	7,5	24–30	20–24	4,45– 6,85	3,5–4,5	9	12
RD2XJ	7,5	24–30	20–24	4,45– 6,85	3,5–4,5	9	12
RD5XF	11	115–135	19–21	10	2,0–2,5	9,3	23,5
RD5XG	11	115–135	19–21	10	2,0–2,5	9,3	23,5
RD5XH	6–7	68–78	19–21	10	2,0–2,5	12	23,5

Vysílací triody chlazené sáláním nebo vzduchem

C_a pF	$C_{a/g1}$ pF	P_{AR} max kW	I_A max A	U_A max kV	f_{max} MHz	Zapojení patice
0,4	1,05	5W	0,03	0,3		
0,4	1,05	5W	0,03	0,3		
3,5	8	0,027	0,175	0,6 0,4	3 >25	
1,5	6,5	0,2	0,275	3,5 2,0	10 >60	
0,2	5,8	0,3	0,45	4	200	
1,6	15,9	1	0,4	10 5	3 30	
1,6	15,9	1	0,6 0,4	10 5	3 30	
2	20	1,5	0,6	10	30	
1	9	2	1	5 3	110 150	
1	9	2	1	5 3	110 150	
1	9	2	1	5 3	110 150	
1	9	2	1	5 3	110 150	
3	18,5	5	2	8,5 5,5	40 100	
3	18,5	5	2	8,5 5,5	40 100	
3	18,5	5	2	8,5 5,5	40 100	

g_1 delší kolíky
a radiátor

Vysílací triody chlazené vzduchem

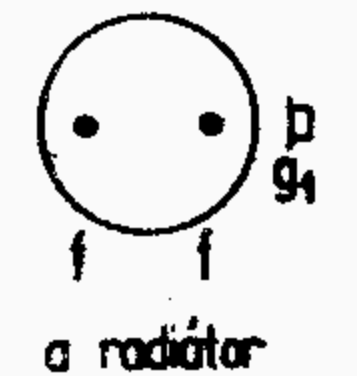
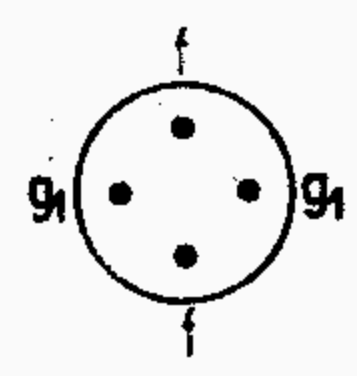
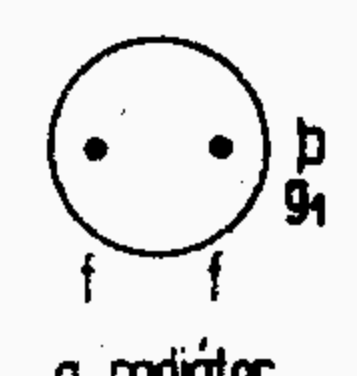
TESLA
Vršovice

Typ	U_F V	I_F A	μ	S mA/V	r_i k Ω	I_E A	C_{g1} pF
RD8XA	18,5—20,6	66—74	33—44		4,4—6	11	26,6
RD8XH	10—11	42—48	33—44		4,4—6	>16	26,6
RD12XB	18—20	94—102	40—50		4,5—5,2	13,2	33
RD12XH	10,5—12	53—60	40—50		4,5—5,2	>18	30
RD20XK	12,5	102—110	26—32	15	1,6—2,1	>45	58
RD50XA	30—33	210—240	44—52		2,0—2,5	50	65
RD50XH	19	125—135	44—52		2,0—2,5	>65	65

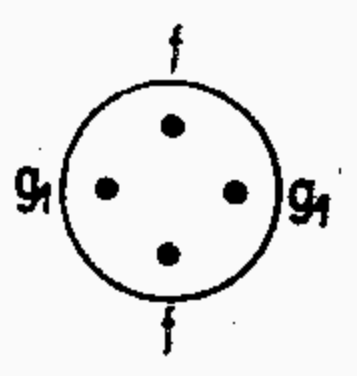

Vysílací triody chlazené vodou

RD5YA	18—20	44—56	34—43		6—8,5	>5,5	23
RD5YB	12—13	44—51	22—30		6—9	5	16
RD5YF	11	115—135	19—21	10	2—2,5	9,3	23,5
RD5YH	7	68—78	19—21	10	2—2,5	18	23,5
RD12YB	18,5—20,6	66—74	33—48		4,4—6,0	11	26,6
RD12YH	10—11	42—48	33—34		4,4—6,0	16	26,6
RD18YA	18—20	94—104	40—50		4,5—5,2	13,2	30

Vysílací triody chlazené vzduchem

C_a pF	$C_{a/g1}$ pF	P_{AR} max kW	I_A max A	U_A max kV	f_{max} MHz	Zapojení patice
1,5	29,5	8	2,6	12	3	
1,5	29,5	8	2,6	12	3	
3	22	12	2,5	15 9	3 30	
3	22	12	2,5	15 9	3 30	
4	35	20	5	15 10,5	5 30	
7	45	50	10	20	3	
7	45	50	12	18	3	

Vysílací triody chlazené vodou


1,3	27	5	1,2	10 8	3 20	
2	20	5	1,6	8	5	
3	18,5	5	2	8,5 5,5	40 100	
3	18,5	5	2	8,5 5,5	40 100	
1,5	29,5	12	2	12 9	3 30	
1,5	29,5	12	2	12 9	3 30	
3	22	18	2,5	15 9	3 30	

Vysílací triody chlazené vodou

TESLA
Vršovice

Typ	U_F V	I_F A	μ	S mA/V	r_i k Ω	I_E A	C_{g1} pF
RD18YH	10,5–12	53–60	40–50		4,5–5,2	>18	30
RD75YB	30–33	220–250	44–52		2,0–2,5	50	65
RD75YH	19	125–135	44–52		2,0–2,5	65	65
RD150YA	31,5–34	440–470	40–48		0,8–1,2	100	101
RD150YB	31,5–34	440–470	40–48		0,8–1,2	100	101
RD150YH	18,5	335–365	40–48		0,8–1,2	130	101
RD150YJ	18,5	335–365	40–48		0,8–1,2	130'	101
RD20ZA	12,5	102–110	26–32	20	1,6–2,2	45	58±5
RD50ZA	17–18	130–160	50–70	—	2,5–3,5	90	65±5

Vysílací triody chlazené vodou

C_a pF	$C_{a/g1}$ pF	P_{AR} max kW	I_A max A	U_A max kV	f_{max} MHz	Zapojení potice
3	22	18	2,5	15 9	3 30	
7	45	75	10	20 17	3 3 (osc)	
7	45	75	12	20 17	3 3 (osc)	
6	51	150	20	20 15	3 3 (mod/a)	
6	51	150	20	20 15 11	3 3 (mod/a) 30' (mod/a)	
4,6	56	150	20	20 15 11	3 3 (mod/a) 30 (mod/a)	
6	51	150	20	20 15	3 3 (mod/a)	
4	35±3	20	5	15	30	
2	50±5	50	12	20	10	

Koaxiální vysílací triody chlazené vzduchem

TESLA
Vršovice

Typ	U_F V	I_F A	μ	S mA/V	r_i k Ω	I_E A	C_{g1} pF
RD3XL	6–7	100	75	>40		30	52
RD10XL	6–7	155–180	70–75	>40		>45	
RD20XL	9–11	<180	45	45		50	75
RD50XL	12–14	260	40–60	125		125	175

Koaxiální vysílací triody chlazené odpařováním

TESLA
Vršovice

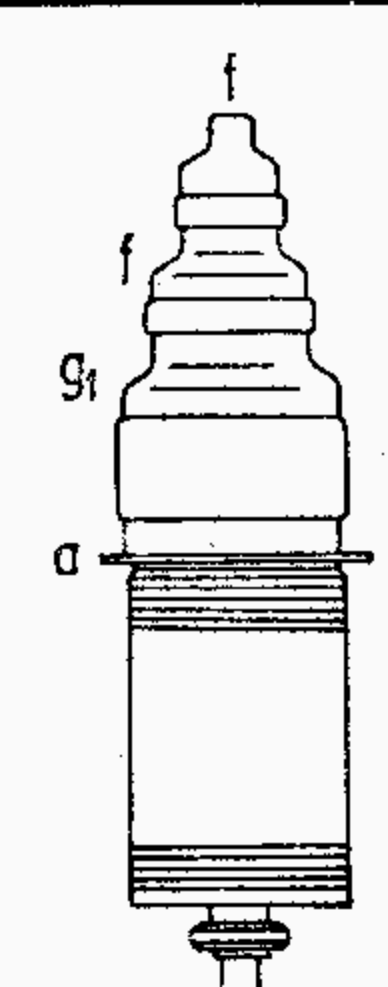
Typ	U_F V	I_F A	μ	S mA/V	r_i k Ω	I_E A	C_{g1} pF
RD15VL	6,5–7,5	150–170	>45	67 ± 4	—	>34	69 ± 3
RD70VL	12–14	260	40–60	130		125	175
RD250VM	17 ± 5	620–680	$\begin{matrix} 35 \\ (I_A = 5 \text{ A}) \\ \\ (I_A = 10 \text{ A}) \end{matrix}$	180	—	380	450 ± 45

Koaxiální modulační trioda chlazená odpařováním

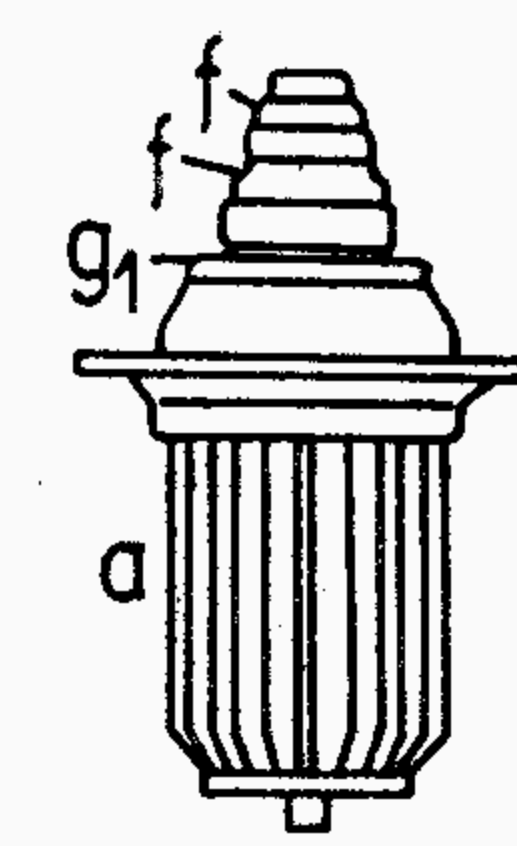
TESLA
Vršovice

ZD70VL	12–14	240–260	12–15	60–100		>125	170 ± 17
--------	-------	---------	-------	--------	--	------	--------------

Koaxiální vysílací triody chlazené vzduchem

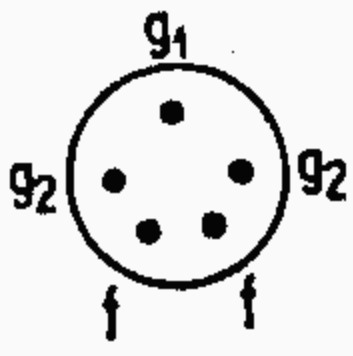
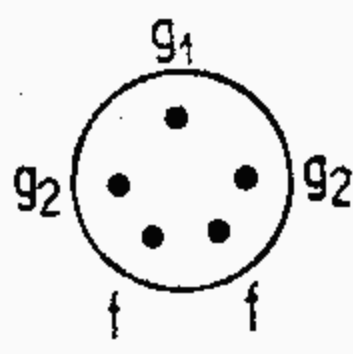
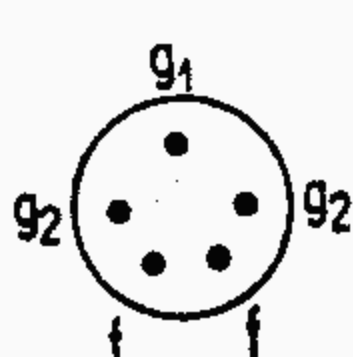
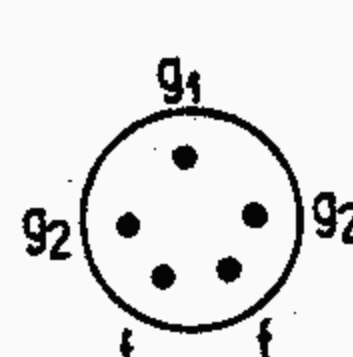
C_a pF	$C_{a/g1}$ pF	$P_{AR \max}$ kW	$I_{A \max}$ A	$U_{A \max}$ kV	f_{\max} MHz	Zapojení vývodů
0,65	16	3	2	6	100	
		10		8		
1,8	50	20	5	10	100	
2	70	50	14	15	100	

Koaxiální vysílací triody chlazené odpařováním

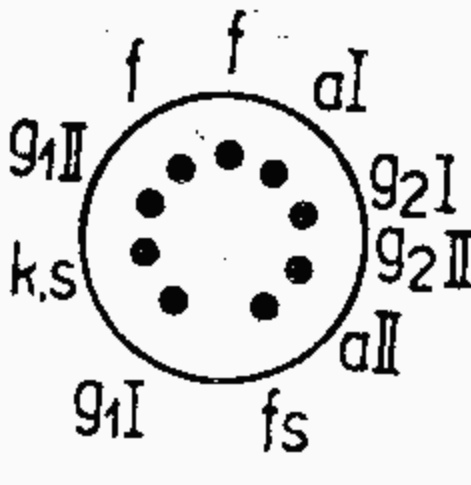
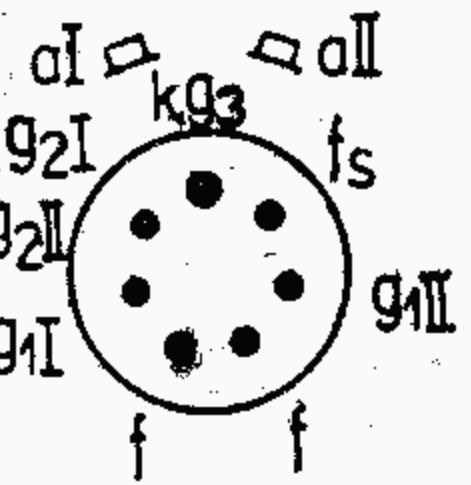
C_a pF	$C_{a/g1}$ pF	$P_{AR \max}$ kW	$I_{A \max}$ A	$U_{A \max}$ kV	f_{\max} MHz	Zapojení vývodů
$2,1 \pm 0,5$	29 ± 2	15	4,5	12,5	100	
2	70	70	14	15	100	
$9 \pm 1,8$	180 ± 18	250	—	11	30	

Koaxiální modulační trioda chlazená odpařováním

$9 \pm 1,8$	$85 \pm 8,5$	70	15	30	—	
-------------	--------------	----	----	----	---	--

T y p	U_F V	I_F A	$\mu g_2/g_1$	S mA/V	U_A max kV	I_A max mA	P_{AR} max W	U_{G2} max V	P_{G2R} max W
RE65A 	6	3,5	5	4	3	150	65	600	10
					3	150	65	600	10
					3	150	65	400	10
					2,5	120	45	400	10
					3		65	600	10
RE125C 	5	6,6	6,2	2,5	3	225	125	600	20
					3	225	125	400	20
					3	225	125	400	20
					2,5	200	85	400	20
RE400C 	5	12,5– 15,5	5	>2,5	4	350	400	600	35
					3,2	275	270	600	35
					4	275	270	600	35
RE1000F 	7,5	25–31	6,1	5,2	6 3,5	700	1000	1000	110
Údaje starších elektronek RE125A a RE400A odpovídají údajům nové konstrukce RE125C a RE400C.									

Typ	Třída Provoz	f MHz	U_A V	U_{G2} V	$-U_{G1}$ V	I_A mA	I_{G2} mA	$U_{G1\text{ ef}}$ V	P_o W
RE65A	AB1-mod		1750	500	90	170	17	64,3	175
	AB2-mod		1800	250	35	220	25	64,3	270
	C-A1	<50	1500	250	75	150	35	128,6	170
	C-A1	<50	3000	250	90	115	20	121,7	280
	C-A3	<50	1500	250	125	120	35	180,6	145
	C-A3	<50	2500	250	150	108	16	167,8	225
	B-SSB	<150	2500	500	100	230	35	214,5	325
RE125C	AB1-mod		2000	600	94	240	6,4	67	230
	AB2-mod		2000	350	45	300	5	75	350
	C-A1	<120	2000	350	100	200	50	164,3	275
	C-A1	<120	3000	350	150	167	30	200	375
	C-A3	<120	2000	350	220	150	33	268	225
	C-A3	<120	2500	350	210	152	30	257	300
RE400C	C-A1	<75	2500	500	200	350	46	213	640
		<75	4000	500	220	350	40	227	1100
		<110	3500	500	170	500	34		1160
		<110	4000	500	170	540	31		1440
	C-A3, CCS	<75	2000	500	220	275	30	290	380
		<75	3000	500	220	275	26	290	630
	C-A3, ICAS	<30	2000	500	220	275	30	290	380
		<30	3650	500	225	275	23	315	765
RE1000F		<60 <150							

Typ	U_F V	I_F A	$\mu_{g2/g1}$	S mA/V	U_A max V	I_A max mA	P_{AR} max W	U_{G2} max V	P_{G2R} max W
QQE03/12 	6,3 12,6	0,82 0,41	7,5	3,3	300	2×45	2×5	200	2
					300	2×55	2×7	200	2
					300	2×30	2×5	200	2
					300	2×42	2×7	200	2
					300	2×50	2×7	200	4
REE30B SRS 4451 	6,3 12,6	2,5 1,25		>4	600 500	2×120	2×20	250	2×3

Typ	Trida Provoz	f MHz	U_A V	U_{G2} V	$-U_{G1}$ V	I_A mA	I_{G2} mA	$U_{G1/G1M}$ V	P_o W
QQE03/12	C-A1, CCS	<200 <200	200 300	$R_{g2}=22\text{ k}\Omega$ 175	$R_{g1}=15\text{ k}\Omega$ 40	2×35 2×37,5	2,2 2,3	115 110	8,4 14,5
	C-A1, ICAS	<200 <200	200 300	$R_{g2}=8,2\text{ k}\Omega$ 200	$R_{g1}=15\text{ k}\Omega$ 45	2×42 2×50	3,1 3	130 130	10 18,5
	C, fn CCS	67/200	300	150	100	2×24	2	230	6,5
	C, fn, ICAS	67/200	300	150	100	2×32,5	3,5	240	7,8
	AB1 AB2		300 300	200 200	21,5 21,5	2×35 2×50	12,6 11,4	43,5 64	12 17,5
REE30B	C, A1	<200 <400 <475	400 400 350	250 250 250	60 50 45	2×100 2×100 2×100	2×8 2×5 2×4,5	160 140 130	56 50 40
	C, A3	<200	500	250	100	2×90	2×8	120	63
	C, fn	50/150	500	250	150	2×60	2×5	360	20
	B1		600	250	27	2×62	2×11,5	55	50
	B2		600	250	25	2×100	2×13	77,5	86

Vysílací tetrody koaxiální

TESLA Vršovice

Typ	U_F V	I_F A	$\mu_{g2/g1}$	S mA/V	I_E A	C_{g1} pF	C_a pF
RE025XA	6	2,5	5	12		16	4,7
RE5XN	6-7	90-110	5	>30	>30	49	15

Vysílací tetrody koaxiální chlazené vzduchem

TESLA VÜVET

Typ	U_F V	I_F A	$\mu_{g2/g1}$	S mA/V	$C_{g1/k}$ pF	$C_{a/k}$ pF	P_{AR} max kW	I_A max A
RE01XM	26,5 6,3	0,5 2					0,15	
RE025XM	6	<3,	5	10	27	5	0,25	0,25

Usměrňovací diody pro pulsní provoz

TESLA - VÜVET

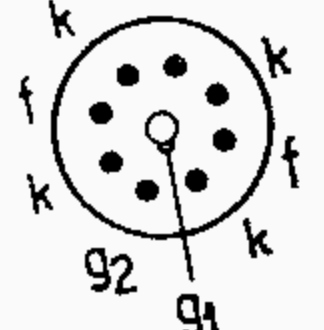
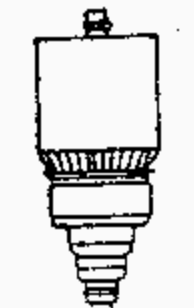
Typ	U_F V	I_F A	$-U_A$ max kV	I_O max mA	I_{AM} max A	P_{AR} max W
RA03YA	7	<6,2	30	250	1,5	70

Vakuové kondenzátory

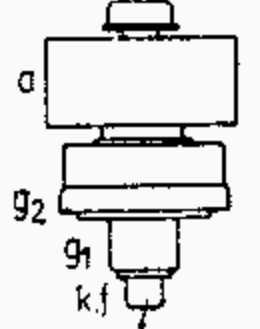
TESLA Vršovice

Typ	C pF	U_{ZM} kV
TC021	500 \pm 10 % ¹⁾ , 250 \pm 10 % ²⁾	24

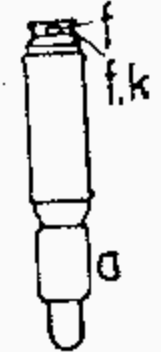
Vysílací tetrody koaxiální

$C_{a/g1}$ pF	P_{AR} max kW	I_A max A	U_A max kV	P_{G2R} max W	U_{G2} max V	f_{max} MHz	Zapojení patice
0,06	0,25	0,25	2	12	400	400	
	5	2,6	4	300	1250	240	

Vysílací tetrody koaxiální chlazené vzduchem

U_A max kV	P_{G2R} max W	U_{G2} max V	P_{G1R} max W	ϑ_b max °C	f_{max} MHz	Zapojení vývodů
0,9		300			1200	ekviva- 6884 lent 6816
2	12	300	2	200	1000	

Usměrňovací diody pro pulsní provoz

t_f mln s	Chlazení	ϑ_b max °C	Zapojení patice
90	vzduchem nebo v olejové lázni	150	

Vakuové kondenzátory


I_{VF} ef A	P_j kVA	ϑ_a °C	r_{max} %	P o z n á m k a
80 ¹⁾ , 50 ²⁾		+10 \div +45		f max = 30 MHz

Reflexní klystrony

TESLA - VÜVET

T y p	f min — max MHz	$\Delta f^{1/2}$ MHz	U_F V	I_F A
20SR51	9050 — 9500	>30	6,3	<0,6
21SR51	4400 — 4480 4480 — 5220	>30	6,3	0,7
22SR51	3895 — 3944 3944 — 4545	>25	6,3	0,7
23SR51	5125 — 6000	>30	6,3	0,7
24SR51	5882 — 6666	>30	6,3	0,7
25SR51	6525 — 7500	>30	6,3	0,7
26SR51	7140 — 8333	>30	6,3	0,7
27SR51	8110 — 9230	>30	6,3	0,7
28SR51	8800 — 10050	>30	6,3	0,7
29SR51	6465 — 6765	>30	6,3	0,7
203SR51	8800 — 9800	>30	6,3	0,7
221SR51	4500 — 5100	>30	6,3	0,7
227SR51 *)	8110 — 9230	>30	6,3	0,7
204SR51	2600 — 3000	—	6,3	1
209SR52	9200 — 9500	>26	6,3	<2,2

Reflexní klystrony

U_{RZ} V	$-U_{RF}$ V	P_o mW	U_{RS} max V	I_K max mA	Zapojení patice
300	120 — 210	>15	330	25	
300	60 — 200	>20 >40	330	35	
300	60 — 200	>30 >45	330	30	
300	60 — 200	>30	330	30	
300	60 — 200	>25	330	30	
300	60 — 200	>20	330	30	
300	60 — 200	>20	330	30	
300	60 — 200	>20	330	30	
300	60 — 200	>15	330	30	
250	30 — 80	>10	330	25	
300	90 — 160	>15	330	30	
250	40 — 150	>20	330	30	
300	60 — 200	>20	330	30	
300	50 — 250	>70	500	35	
400	100 — 400	>70	415	80	

Reflexní klystrony výkonové

TESLA - VÜVET

Typ	f min — max MHz	$\Delta f^{1/2}$ MHz	U_F V	I_F A
213SR51	4400 — 5000	>30	6,3	<1
214SR51	4400 — 5000	>30	6,3	<1
24SR52	6500 — 6900	>28	6,3	0,9
27SR52	6570 — 6830	>20	6,3	0,9
20SR52	8100 — 8500	>30	6,3	<1,5
220SR52	8050 — 8200 8200 — 8750	>30	6,3	<1,5
28SR52	8500 — 10000	>30	6,3	<1,5
210SR52	6575 — 6875	>26	6,3	<1
211SR52	6575 — 6875	>26	6,3	<1
21SR53	2000 — 8000 8000 — 12000		6,3	0,8
60ST53 61ST53	470 — 630 470 — 630	A=30 dB A=30 dB	6,3 9—10	24 18

Reflexní klystrony výkonové

U_{RS} V	$-U_{RF}$ V	P_o mW	U_{RS} max V	I_K max mA	Zapojení patice
1000	100—450	>1200	1000	120	
1000	100—450	>1200	1000	120	
750	<500	>750			
500	100—250	100			
750	100—500	>750	765	110	
750	100—500	>650 >750	765	110	
500	100—500	>100		80	
750	50—450	>700	765	110 ³⁾	
750	50—450	>700	765	110 ⁴⁾	
1000 1250	20—600 20—600	>10 >10	1500	25	
10 kV 13 kV		>5 kW >10 kW	12 kV 17,5 kV	2A 2,8A	

³⁾ Chlazení vzduchem

⁴⁾ Chlazení odpařováním

Permaktrony

TESLA - VÖVET

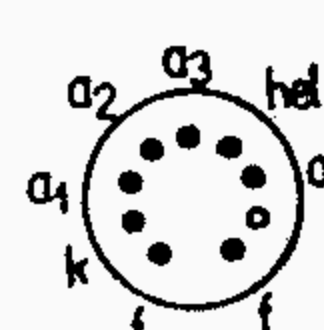
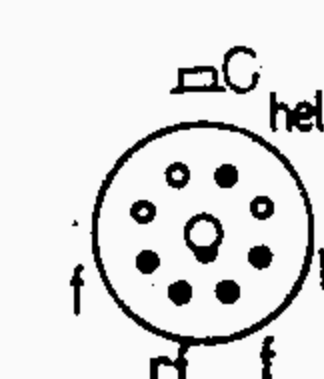
T y p	f min—max MHz	U_F V	I_F A	U_C V	U_{HEL} V
20SE4	2700—3500	6,3	0,8	800	390—450
31SE1	4400—5000	6,3	1,8	<1500	1500—1700

Karcinotrony

TESLA - VÖVET

T y p	f min—max MHz	U_F V	I_F A	U_A V	U_G V
30SE51	2600—3950	6,3	2,3	230—950	50—90
31SE51	3950—5850	6,3	2,15	330—1250	50—90
32SE51	5850—8200	6,3	2,15	300—1000	50—90
33SE51	8200—12400	6,3	2,15	250—1100	50—90

Permaktrony

P_o mW	A dB	F dB	U_C max V	U_{HEL} max V	Zapojení patice
1	25	<7			
5000	<38	<28	2500	2500	

Karcinotrony

P_o mW	B G	U_A max V	I_K max mA	U_G max V	Zapojení vývodů
20—400	650	1200	50	100	
20—400	650	1300	45	100	
10—200	650	1200	35	100	
10—150	650	1200	35	100	

Magnetrony pro pulsní provoz

TESLA - VÜVET

Typ	f min — max MHz	U _F V	I _F A	U _{A ip} kV	I _{A ip} A	t _{ip} μs	f _{ip} Hz	P _{o ip} kW	U _{A ip} max kV	I _{A ip} max A	t _{ip} max μs
20SP52	9300—9400	6,3	1,2	9,5	10	150	1000	15	11,5	10	
57SP52	9050—9650	12,6	<4,2	<23	<30	1	1000	>200	23	30	
58SP52	9300—9500	12,6	<4,2	<23	<30	1	1000	>200	23	30	
64SP52	2699—2709	20	<7	<32	<90	>2	600	>800	32	90	
65SP52	2891—2901	20	<7	<32	<90	>2	600	>800	32	90	
66SP52	2905—2915	20	<7	<32	<90	>2	600	>800	32	90	

Magnetrony pro trvalý provoz

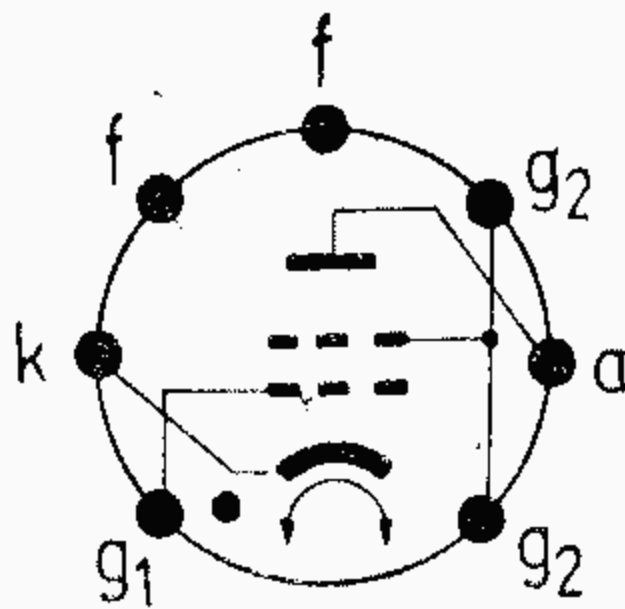
TESLA - VÜVET


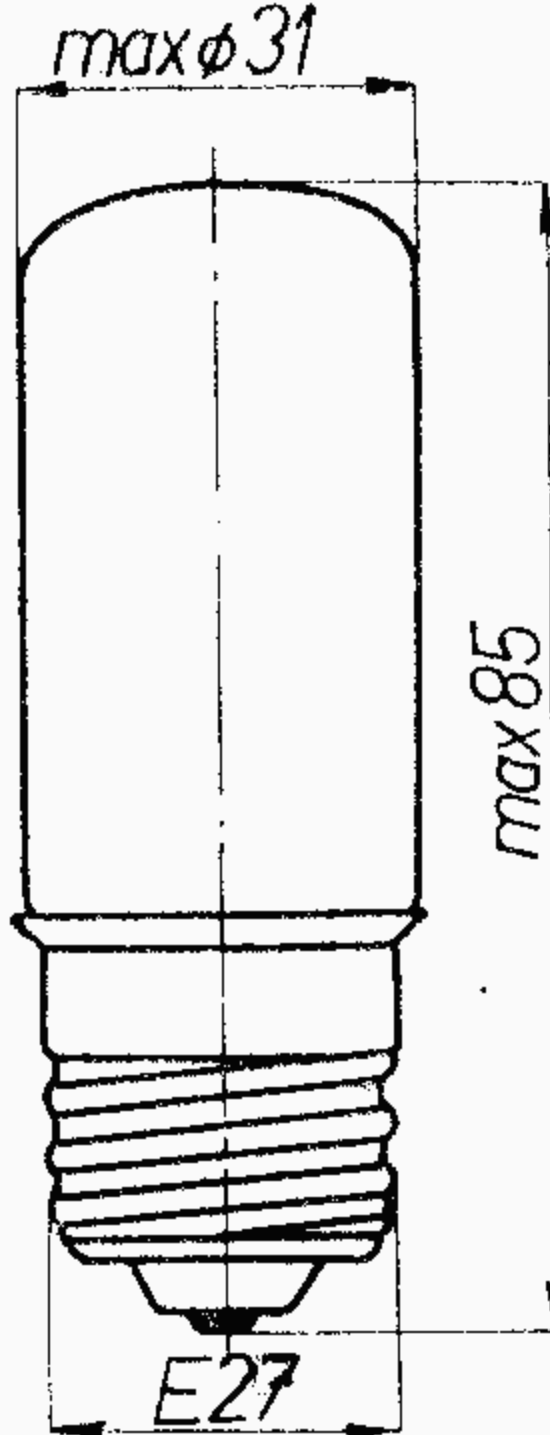
Typ	f min — max MHz	U _F V	I _F A	U _A V	I _A A	P _c min kW	Chlazení
31SA51	2400—2500	8	<1,5	1500	0,35	0,08—0,2	vzduchem
60SA51	2325—2425	7—8	<28	5500	0,4—0,8	2	vodou
62SA51	1220—1280	10—11	<28	4500— 6200	0,8—1,8	5	vzduchem
63SA51	2325—2425	7	<28	5500	0,4—0,8	2	vzduchem
70SA51	1220—1280	10	38	10 kV	0,8—2,4	>15	vzduchem a vodou

T y p	f min — max MHz	P _{sp} max kW	t _{ip} max μs	f _{ip} max Hz	b _d max dB	P _{ob} max dB	P _p max ergů	θ _a °C	Poznámka
10TN52	2764,5—2935,5	600	2	400	3 ¹⁾	0,3	2500	−40 ÷ +45	¹⁾ t = 10 μs
10TN53	2600—3000	800	2	600	3 ¹⁾		0,07 ²⁾	−40 ÷ +45	¹⁾ t = 10 μs ²⁾ erg/lmp
11TN52	9000—9600	150	0,3—1			0,8		−40 ÷ +70	
12TN52	8820—9490	240	0,3—1		3 ²⁾		0,25	−40 ÷ +85	²⁾ t = 6 μs
14TN52	9000—9600	150	0,3—1		3 ²⁾	1	0,25	−40 ÷ +70	²⁾ t = 6 μs
17TN52 *)	2770—2930	800	2	600	3 ³⁾		6000 +60	³⁾ t = 35 μs
18TN52 *)	2650—2810	800	2	600	3 ³⁾		6000 +60	³⁾ t = 35 μs
110TN52*)	8900—9700	200	1	1000	3 ²⁾	0,4	 +50	²⁾ t = 6 μs
114TN52	9000—8600	0,003... 0,02	0,05... 0,15	1000... 3000	3 ⁴⁾	1		−10 . . . +80	⁴⁾ t ≤ 1 μs

*) Výrobce: TESLA - VÚVET

Speciální elektronky
Thyratrony
Variátory
Stabilizátory napětí
Výbojky se studenou katodou
Spektrální výbojky
Fotonky
Fotonásobiče
Snímací elektronky
Převáděče obrazu
Vakuové měrky

Typ Použití	Rozměry Patice	Žhavení	Provozní hodnoty		Mezní hodnoty	
		Statické hodnoty				
21TE31 Velikost M 3 S 1,3/0,5iV		U_F 6,3 V I_F 0,6 A nepřímé žhavení ● U_{arc} 8 V t_i 0,5 μs $t_d (U_{G1} = -10 \text{ V})$ 0,75 μs $t_d (U_{G1} = -100 \text{ V})$ 0,35 μs	$U_{A \text{ ef}}$ 400 V U_{G2} 0 V U_{G1} -6 V $U_{G1 M}$ 6 V R_{g1} 1 MΩ $R_a^{2)}$ 2 kΩ		U_F 7 V U_F >5,7 V U_A 650 V $-U_A$ 1300 V U_{G2} -100 V $U_{G2 \text{ arc}}$ -10 V U_{G1} -100 V $U_{G1 \text{ arc}}$ -10 V $I_K^{1)}$ 100 mA I_{KM} 500 mA I_{G2} 10 mA I_{G1} 10 mA R_{g1} 10 MΩ $U_{+K/F-}$ 100 V $U_{-K/F+}$ 25 V ϑ_a -55 ÷ +90 °C	
		2) R_a se musí použít i při jiných provozních hodnotách.		1) Střední hodnota z 30 vt. intervalu.		
Plynem plněná tetroda.			Nevyrábí se! Náhrada dovážený thyatron S 1,3/0,5 i V			

Typ Použití	Patice	Provozní hodnoty				Rozměry
V255-12-18A V255-12-18B		ϑ_a °C	U_{stab} V	I_{stab} [mA] A B		ΔI_{stab} mA
		+ 20 + 50 - 50 + 50 . . . - 50	12-18 12-18 12-18 12-18	247-258 245-260 245-260	252-263 250-265 250-265	Ⅵ 6 Ⅶ 8 Ⅶ 8 Ⅶ 8 Ⅶ 8
		Variátory vyhovující oběma podmínkám (tj. 252 - 258 mA) jsou označeny písme- nem B.				
Patice: Edison E27 r na patici						
Stabilizátor proudu pro průmyslové účely.						

STABILIZÁTORY NAPĚTÍ

Typ	Počet dráh	U_{zap} V	U_{stab} V	I_{stab} min – max mA	ΔU_{stab} V	Poznámka	Rozměry mm	Zapojení patice
11TA31	1	185	155	5–30	<5	I_{max} (t < 10 s) 75 mA C_{max} paralelně 0,1 μ F	\varnothing 19×70	
14TA31	1	105	75	5–30 5–40	<4 <6	I_{max} (t < 10 s) 100 mA $U_B > 105$ V	\varnothing 19×70	
10TA9	1		300–500	0,015–0,075	<15	$T_a = -40 \div 50$ °C	\varnothing 11×42	
14TA9	1	100	70	0,5–1,2	± 2		\varnothing 12,5×43	la-červená k-zelená
11TF25	4	330	70 140 210 280	5–40	<16	$r_i = 4 \times 60 \Omega$ $U_B > 450$ V	\varnothing 47×144	
12TF25	4	330	70 140 210 280	10–80	<12	$r_i = 4 \times 30 \Omega$ $U_B > 450$ V	\varnothing 61×153	

Nevyrábí se! Doporučená náhrada:

11TA31 typem StR 150/30, StR 150/60

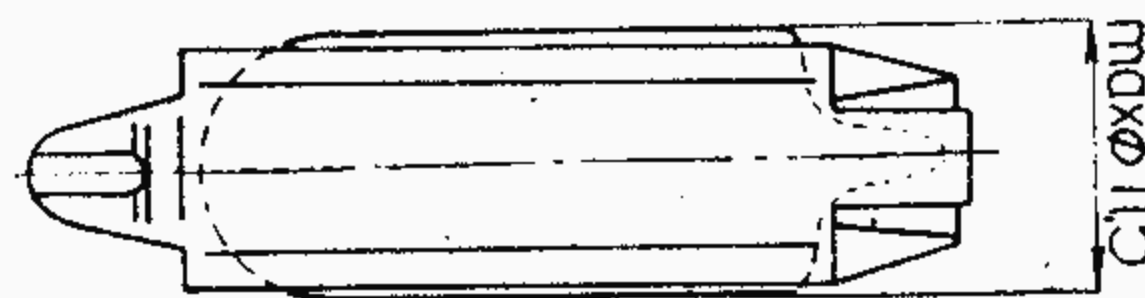
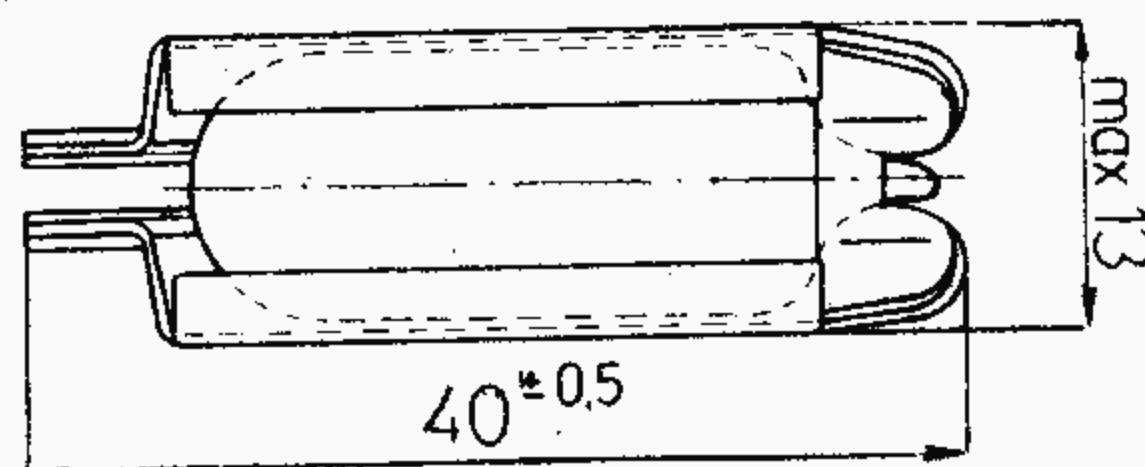
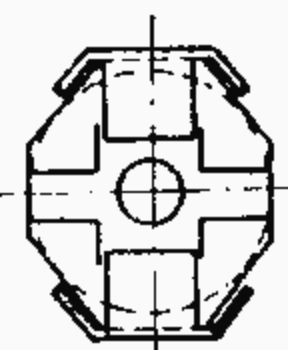
14TA31 typem StR 75/60

14TA9 typem GR29-60, SSr 85/5

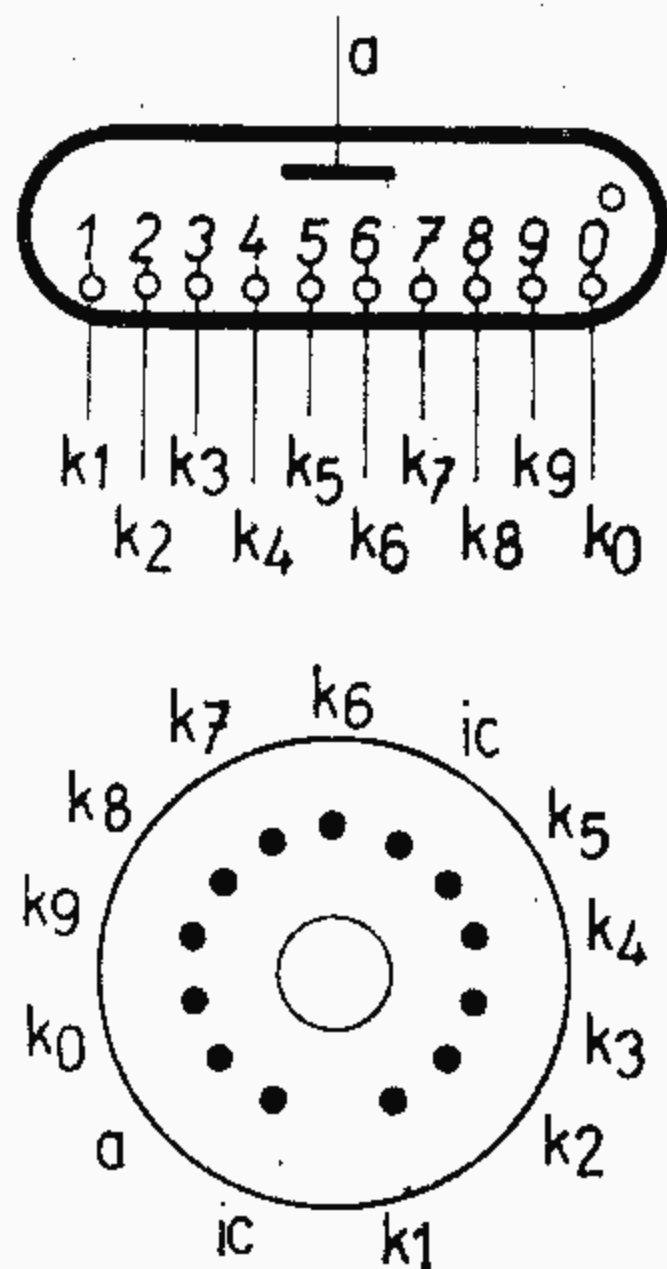
Typ Použití	Patice	Statické hodnoty	Provozní hodnoty	Mezní hodnoty
11TN40 11TN41 Spínací přepěťová výbojka		$U_{zap\ ef}^{1)}$ <400 V $U_{zap\ ef}^{2)}$ 200–300 V $U_{zap}^{3)}$ <1000 V R_{is} ($U_{is} = 100$ V) >10 M Ω	$U_{A\ ef}$ 250 V I_A (t = 0,25 s) 40 A 1) 1. zápal 2) 2. a další zápal 3) Rázové napětí špičkové, vlna 1/50 μ s kladná nebo záporná 4) 100 rázů proudu o vlně tvaru 10/20 μ s. 11TN40	I_A (t = 0,25 s) 40 A $I_A^{4)}$ 500 A 11TN41

Typ Použití	Patice	Statické hodnoty	Provozní hodnoty	Mezní hodnoty
BP240/20		U_{zss} 200–280 V $U_{zrn}^{1)}$ 400 < 600 V $U_{on}^{2)}$ < 25 V C_v < 5 pF R_{iz} ($U_{iz} = 60$ V) $> 10^8 \Omega$ U_{dn} ($I_d = 10$ mA) $115 > 90$ V	U_{zss} 240 V I_{zstn} ($f = 50$ Hz, $t = 1$ s) 20 A $^{1)}$ Při $U_v = 5$ kV a strmosti čela $\cdot 1$ kV/1 μ s $^{2)}$ Při $I_{ef} = 5$ A, $f = 50$ Hz U_{dn} – jmenovité napětí doutnavky na výboji U_{on} – napětí na obloukovém výboji	I_{zstn} ($f = 50$ Hz, $t = 1$ s) 20 A I_{zrn} (wave 5,8/20) 10 kA U_{zss} 200 ... 280 V U_{zrn} 600 V

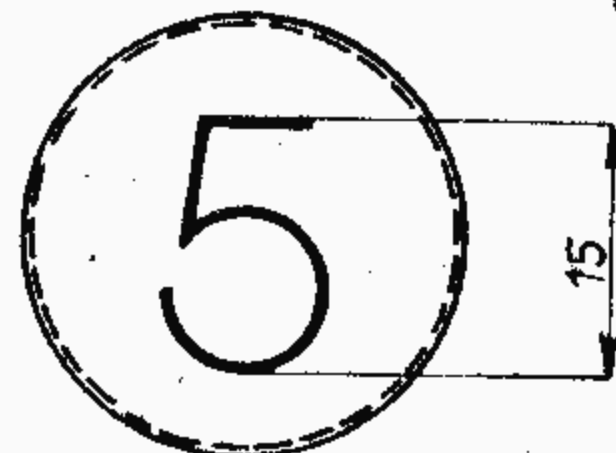
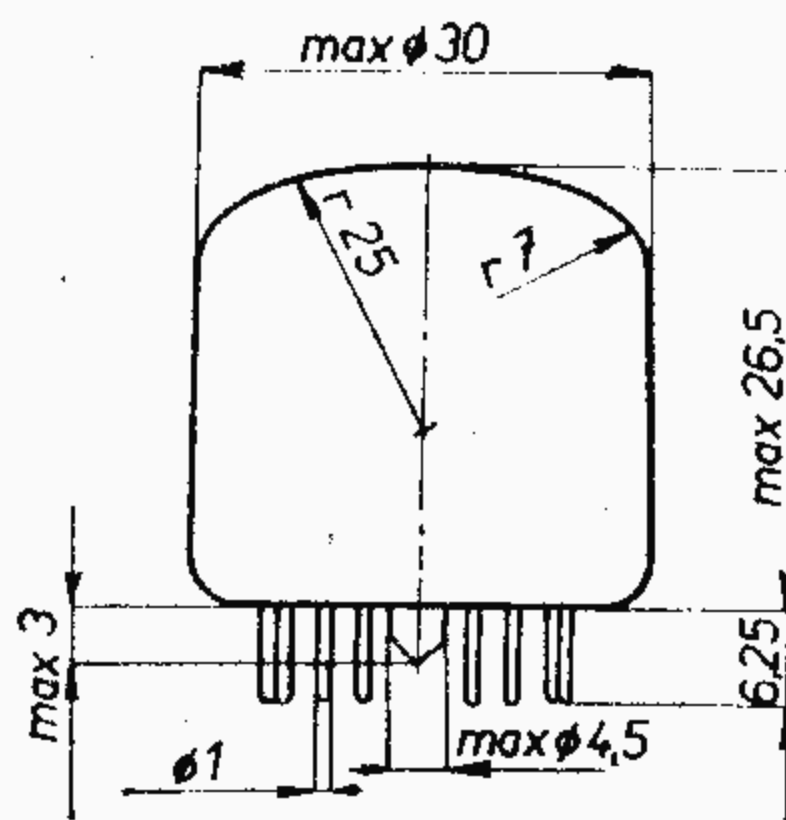
Bleskojistka –
spínací přepětová
výbojka.

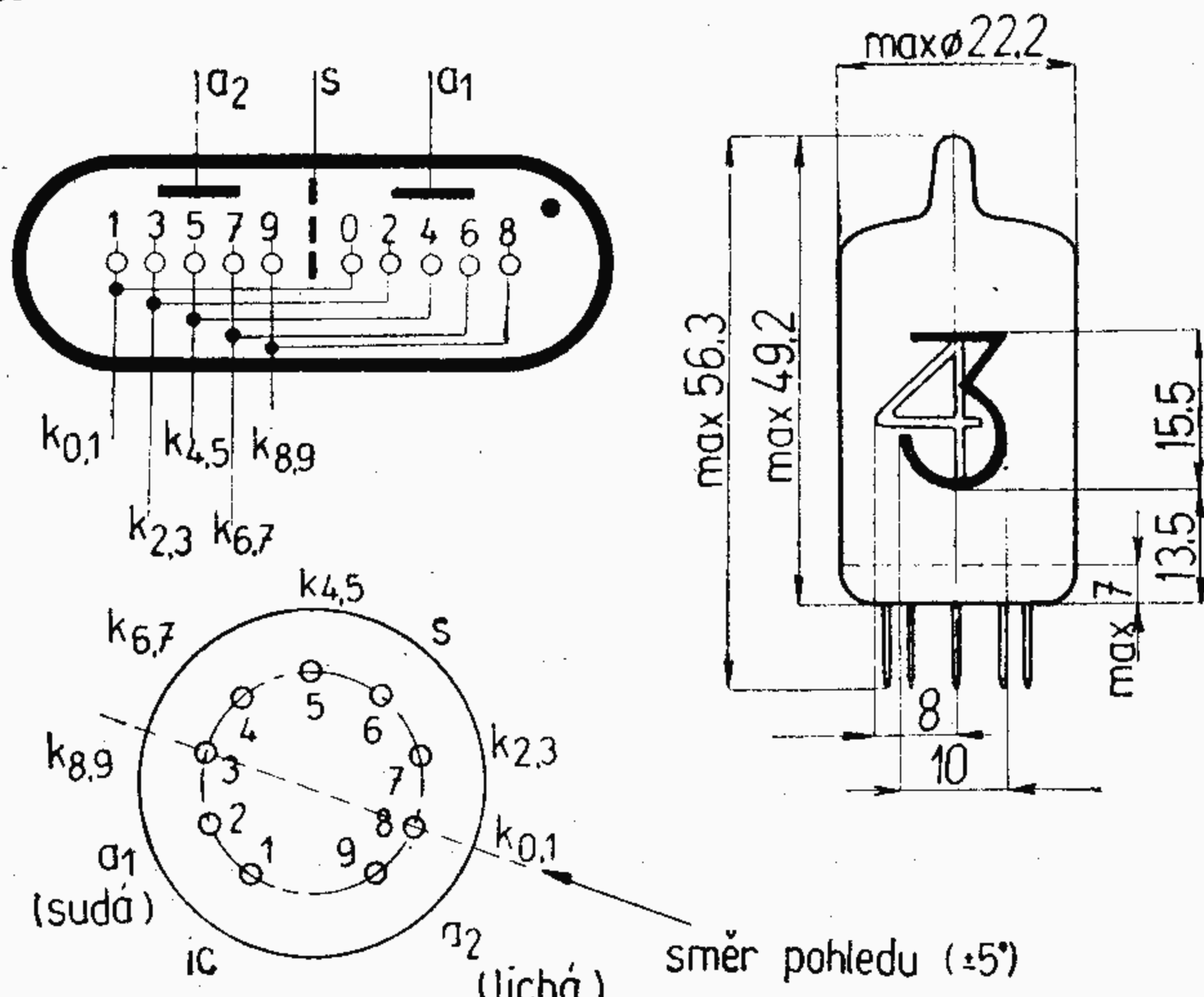


Typ Použití	Patice	Statické hodnoty	Provozní hodnoty	Mezní hodnoty
ZM1020		U_{BA} 170 V R_a 15 k Ω I_K 2 < 2,5 mA U_{zh} > 120 V U_{BA} 160 V R_a 15 k Ω U_{zap} < 160 V I_A 2 < 2,5 mA I_K 2 mA R_a 15 k Ω U_{KK} 60 V I_{KK} 70...530 μ A	Stejnoseměrný provoz U_{BA} 170 250 300 350 V R_a 15 56 86 100 k Ω U_i 140 140 140 140 V U_{KK} – – > 60 – V	U_B 350 V U_A > 160 V I_K > 1 mA $I_K^{1)}$ 3 mA I_{KM} 10 mA U_{KK} > 60 V $U_A - U_{KK}$ < 120 V ϑ_a -55 ... +70 °C $^{1)}) \tau_{av} = 20$ ms



Doutnavá výbojka pro
optickou indikaci čísel 0
až 9 v měřicích a počít-
tacích přístrojích.



Typ Použití	Patice	Statické hodnoty	Provozní hodnoty	Mezní hodnoty
ZM1030 ZM1032		U_{BA} 170 V R_a 7,5 kΩ U_{zh} >110 V <hr/> I_A 4 mA R_a 7,5 kΩ U_i 130...150 V $I_{KK}^{1)}$ 100...900 μA	U_{BA} 200 220 250 300 V R_a 15 20 27 39 kΩ	$U_{A\text{ zap}}$ >170 V I_A >3 mA I_A 5 mA I_{AM} 12 mA $U_{KK}^{1)}$ >40 V U_{KK} 110 V $U_{BA\text{ vyp}}^{2)}$ >85 V $U_{BA\text{ vyp}}^{2)}$ 115 V U_s >40 V U_s 80 V ϑ_b +15 ... +70 °C ϑ_{hs} -55 ... +70 °C
Dekadická číslicová indikační výbojka pro optickou indikaci čísel 0 až 9 pro měřicí a počítačové přístroje ZM1030 baňka s červeným kontrastním filtrem ZM1032 baňka bez filtru.				
		1) Nesvíticích katod. 2) Vypnuté anody.		

Typ Použití	Patice	Statické hodnoty	Provozní hodnoty	Mezní hodnoty
ZM1031/01 ZM1033/01		U_{BA} 170 V R_a 10 kΩ U_{zh} >110 V <hr/> I_A 3 mA R_a 10 kΩ U_i 141 V	U_{BA} 200 250 300 V R_a 20 37 53 kΩ	$U_{A\text{ zap}}$ >170 V I_A >2 mA I_A (t = 20 ms) 4 mA I_{AM} 10 mA $U_{KK}^1)$ >40 V U_{KK} 110 V ϑ_b -15 ... +70 °C ϑ_{bs} -55 ... +70 °C
<p>Indikační výbojka pro indikaci znaků +, -, ~ pro měřicí a počítačové přístroje ZM1031/01 baňka s červeným kontrastním filtrem. ZM1033/01 baňka bez filtru.</p>				

max \varnothing 22,2

max 49,2

max 56,3

40

13

15

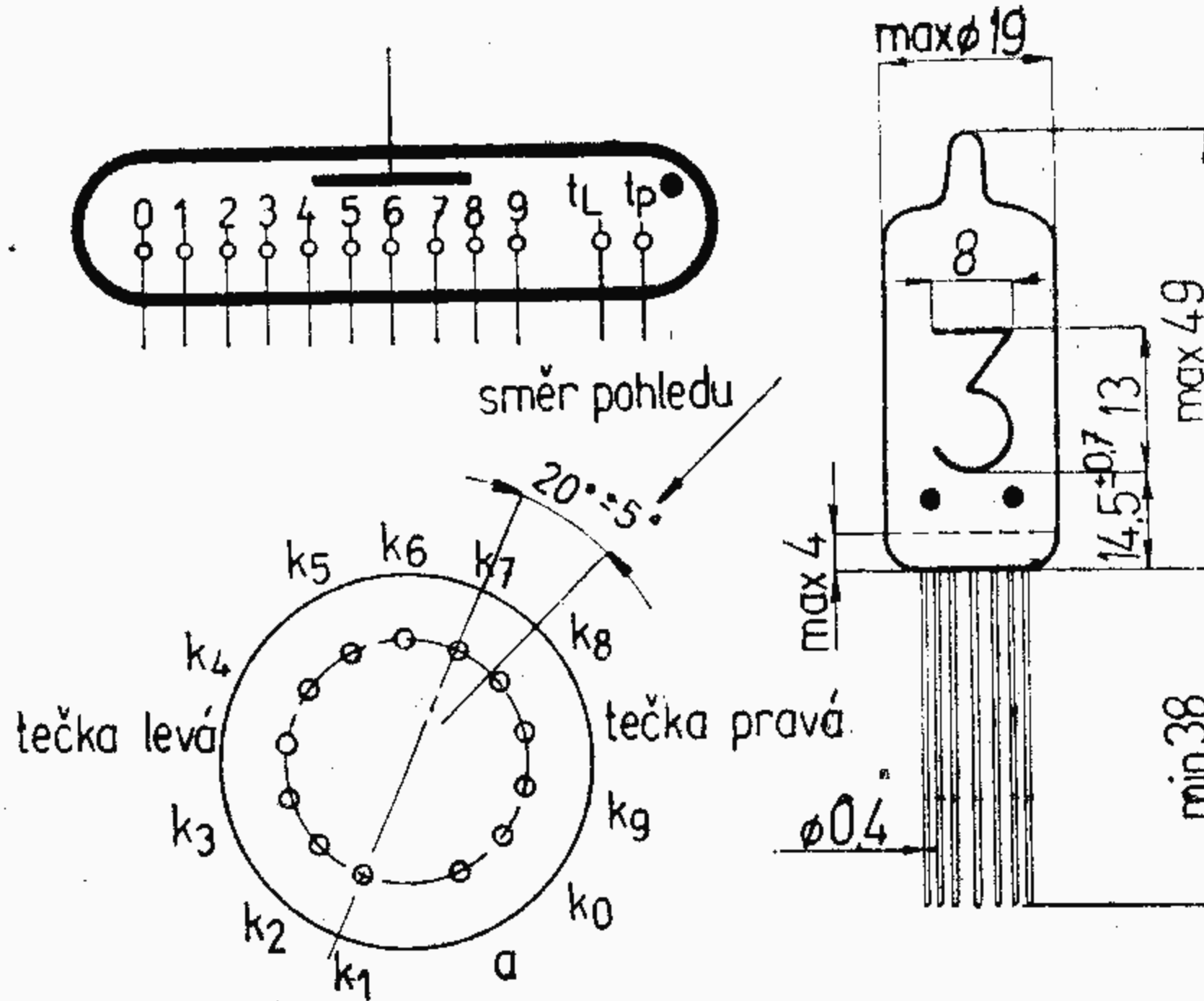
7

max

směr pohledu ($\pm 5^\circ$)

1) Vypnuté katody.

Typ Použití	Patice	Statické hodnoty	Provozní hodnoty	Mezní hodnoty
ZM1080T ZM1082T		U_{BA} 170 V R_a 15 k Ω U_{zh} >115 V I_K 2 mA R_a 15 k Ω U_i 131...155 V U_{BA} 180 V R_a 15 k Ω $R_{tečky}$ 0,1 M Ω $I_{tečky}$ <0,6 mA I_A 3,5 mA R_a 15 k Ω U_{KK} 60 V I_{KK} <1 mA U_{BA} 170 V R_a 15 k Ω $R_{tečky}$ 0,1 M Ω $U_{zh tečky}$ >115 V	U_{BA} 200 250 300 V R_a 33 56 82 k Ω	$U_A zap$ >170 V I_K >1,5 mA I_K 2,5 mA $I_K (t \leq 20 ms)$ 3,5 mA $I_{KM} (t_{ip} > 100 \mu s)$ 12 mA $I_{tečky}$ >0,3 mA $I_{tečky}$ 0,6 mA ϑ_a -50 ... +70 °C
		<p>Dekadická číslicová indikační výbojka pro optickou indikaci čísel 0 až 9 s desetinnou tečkou na levé a pravé straně číslice pro měřicí a počítačové přístroje ZM1080T baňka s červeným kontrastním filtrem. ZM1082T baňka bez filtru.</p>		



FOTONÁSOBIČE

TESLA VŮVET

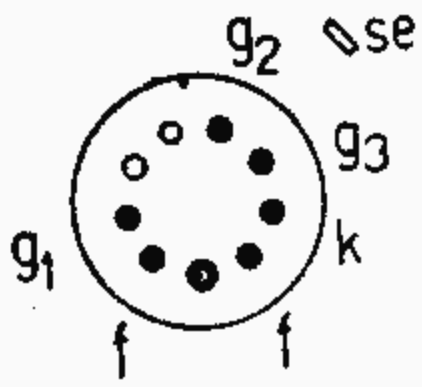
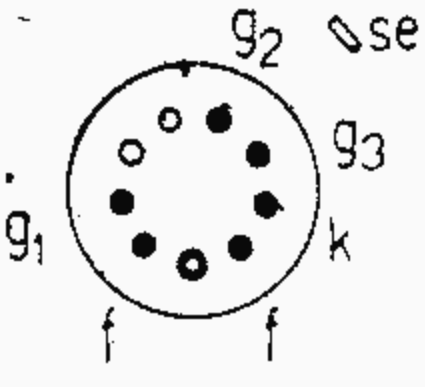
Typ	61PK412	61PK413	61PK414	61PK415	61PK422	62PK401
Počet dynod	10				10	9
Průměr katody [mm]	43				115	1,25 cm ²
λ [Å]	4600				4600	4200
S_K [$\mu A/lm$]	40-70	35-80	50-90	35-90	25-70	40
S_a [A/lm]	100				50	30
A	$5 \cdot 10^5 - 1 \cdot 10^7$				$5 \cdot 10^5 - 1 \cdot 10^7$	
U_{BA} [V]	1500				1600	1050
$U_{K/D1}$ [V]	<400				<600	200
U_G [V]	0-100 % $U_{K/D1}$				0-100 % $U_{K/D1}$	$U_{A/D9} = 50$
Mezní hodnoty:						
U_C [V]	1600				1700	1150
U_D [V]	150				150	
I_A [μA]	50				50	10
$I_A^{1)}$ [μA]	100				100	100
I_{AO} [A]	$1 \cdot 10^{-7}$	$5 \cdot 10^{-8}$	$5 \cdot 10^{-8}$	$3 \cdot 10^{-8}$	$1 \cdot 10^{-7}$	0,2 μA
ϑ_a [°C]	50				50	50
Kapacity:						
$C_{a/D max}$ [pF]	8				10	8
$C_{a/-max}$ [pF]	12				25	10
Zapojení patice:						
1) Krátkodobé						

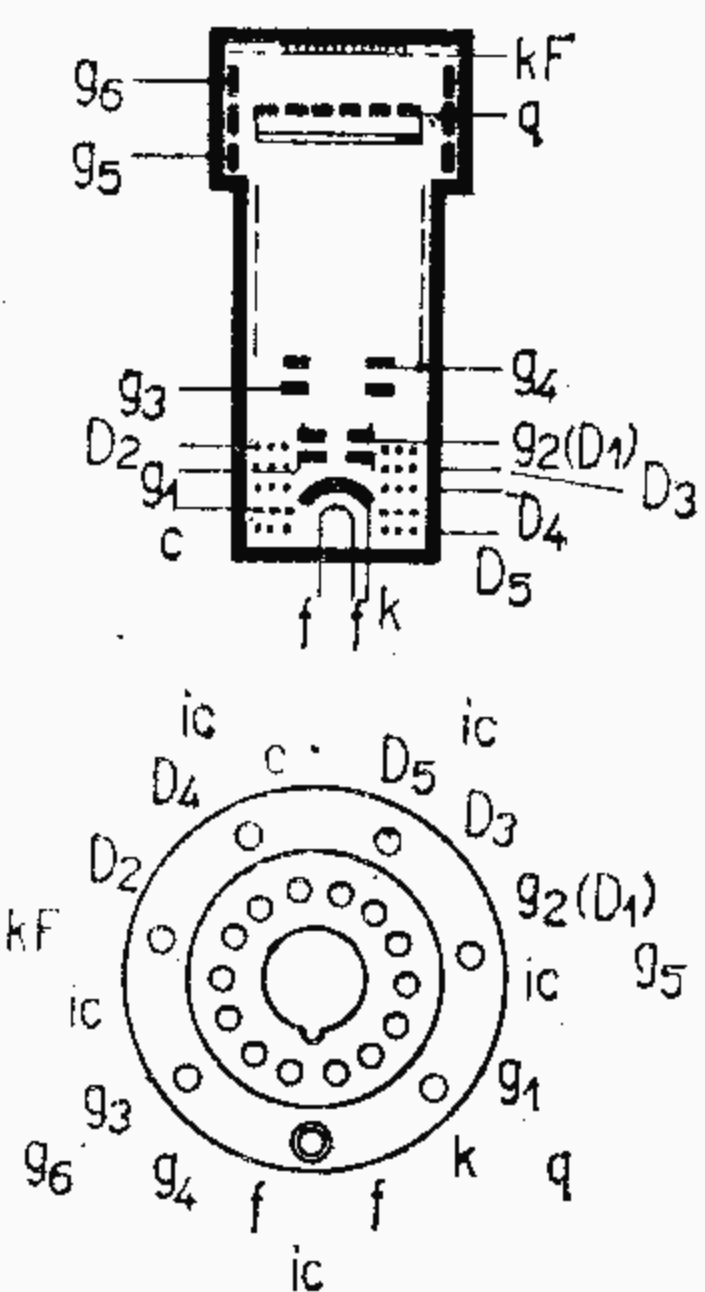
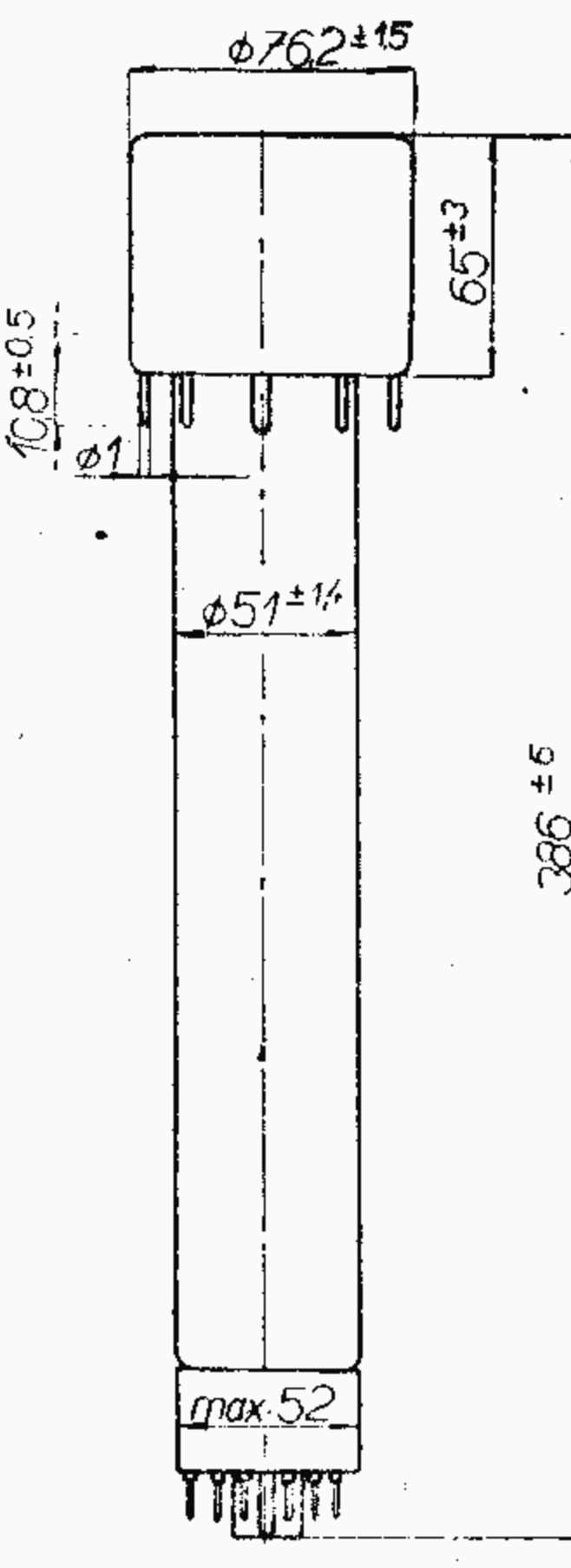
FOTONĀSOBIČE

TESLA VŮVET

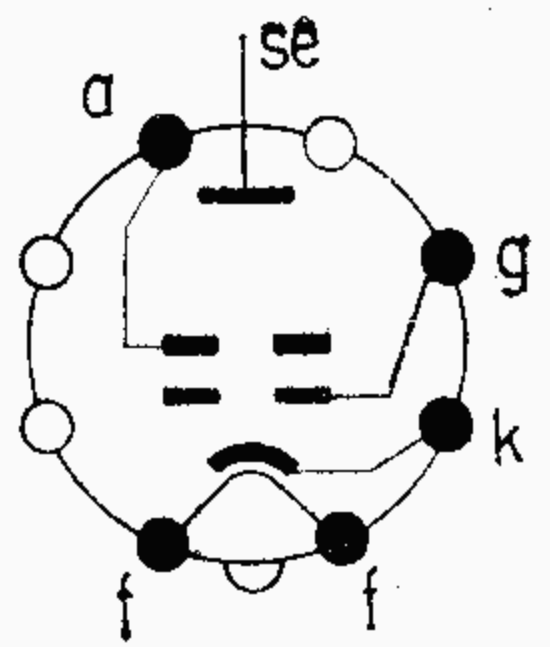
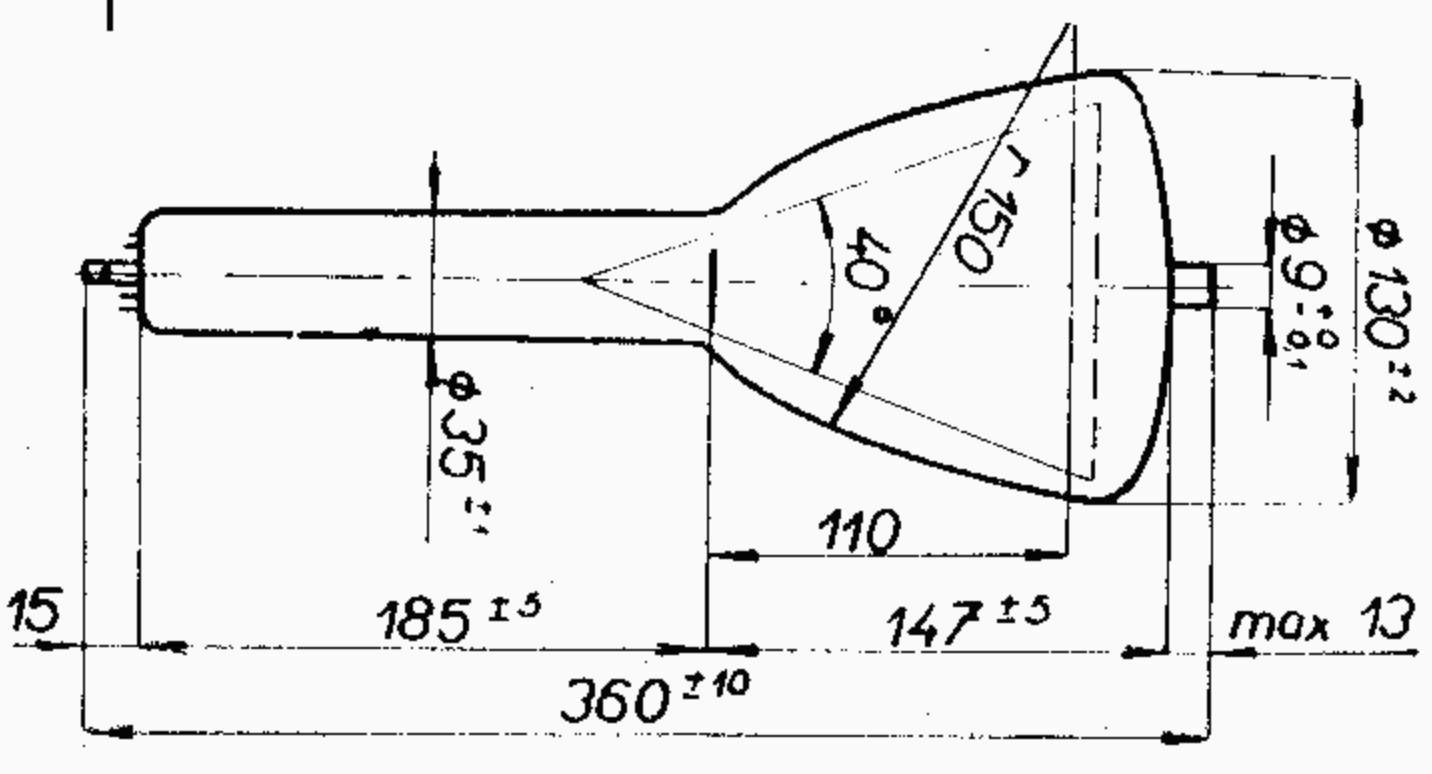
Typ	61PK441	61PK501 61PK501S	65PK413	65PK423	66PK511
Počet dynod	10	10	10	11	12
Průměr katody [mm]	30	25	42	115	350 – 750
λ [nm]	460 ± 50	$460 - 50$	150	450 ± 50	20
S_K [$\mu A/lm$]	30 – 60	40 – 60	25	100	10
S_a [A/lm]	30 – 80	50	$5 \cdot 10^5 - 5 \cdot 10^6$	150	$10^5 - 10^6$
A	–	< 1500	< 1800	< 1700	2000
U_{BA} [V]	–	< 200	$100\% U_{K/D1}$	$100\% U_{K/D1}$	
$U_{K/D1}$ [V]	–				
U_G [V]	–				
Mezní hodnoty:					
U_C [V]	1500	1700	1800	2000	2000
U_D [V]	–	160	–	150	–
I_A [μA]	50	25	–	–	200
$I_A^{1)}$ [μA]	–	50	100	100	10^{-9}
I_{AO} [A]	$10^{-8} \dots 10^{-9}$	$5 \cdot 10^{-8}$	$5 \cdot 10^{-9}$	$10^{-8} - 10^{-9}$	$-10 \dots +50$
ϑ_a [$^{\circ}C$]	35	50		35	
Použití v:	nukleární fyzice	nukleární fyzice	snímání barevného obrazu, nukleonice	měřicích přístrojích, spektrometrech	měřicích přístrojích, pro měření termoluminiscenčního záření
1) Krátkodobé					

T y p		61PK412	61PK413	61PK414	61PK415	61PK422	61PK501	61PK501S	65PK413	65PK423
Rozlišovací schopnost Krystal NaI (TI) zářič Cs ¹³⁷) Energetický ekvivalent šumu		11–13	9–11	7–9	7–11	9–15	9,5–11	8–9,5	8,4	9–12 % 5–10 keV
		—	6–8	4–6	1–5	6–15	4–6	1–3	—	
Typ Použití	Patice	Žhavení		Provozní hodnoty				Mezní hodnoty		
31UA9 a — hnědý f — žlutý f, k — žlutý Nízkotlaková vodíková spektrální výbojka pro zdroje ultrafialového kontinua v pásmu 4000 — 2200 Å pro spektrometry.		U _F 6,3 V		U _A 220–250 V		V		U _A 250 V		
		I _F <2,7 A		I _A 300		mA		I _A ¹⁾ 500 mA		
		t _f 15 min		R _a 300		Ω		I _A ²⁾ 1000 mA		
		nepřímé žhavení		P _{AR} 40		W				

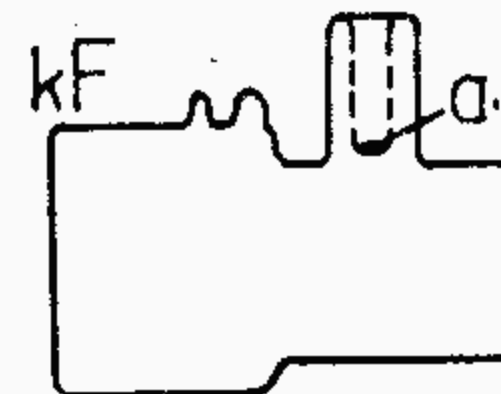
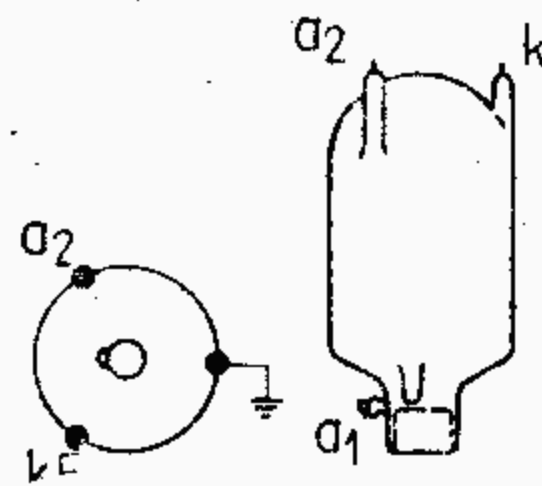
Typ		53QV26 53QV26-R	64QV26	43QV26 43QV26-P	44QV26
U_F	[V]	6,3	6,3	6,3	6,3
I_F	[A]	0,3	0,3	0,3	0,3
Obraz na fotokatodě	[mm]	$18,75 \times 20$	$17,25 \times 23$	$11,25 \times 15$	$17,25 \times 23,5$
λ	[m μ]	500 – 600	400 – 600	400 – 500	400 – 500
U_{SE}	[V]	100		<100	<100
U_{G4}	[V]	450 – 750			
U_{G3}	[V]	300 – 500		300 – 400	300 – 400
U_{G2}	[V]	350 – 400		350 – 400	350 – 400
$-U_{G1}$	[V]	30 – 150		30 – 140	30 – 140
I_{SE}	[μ A]	0,2 (3,5 lx)		>0,2 (25 lx) >0,35 (1000 lx)	>0,3 (1000 lx)
Mezní hodnoty	U_{SE}	[V]	100	100	100
	U_{G4}	[V]	750		
	U_{G3}	[V]	500	400	400
	U_{G2}	[V]	400	400	400
	$-U_{G1}$	[V]	150	140	140
	I_K	[mA]	0,5	0,5	0,5
	E_{SE}	[lx]	5000	10 000	10 000
	ϑ_{SE}	[°C]	50	60	60
$C_{se}/-$	[pF]	<5	<10	<5	<10
Rozměry ($\varnothing \times 1$)	[mm]		$38,5 \times 196 \pm 2$	$\varnothing 28,5 \times 165-3$	$\varnothing 38,5 \times 192 \pm 2$
Zapojení patice:					

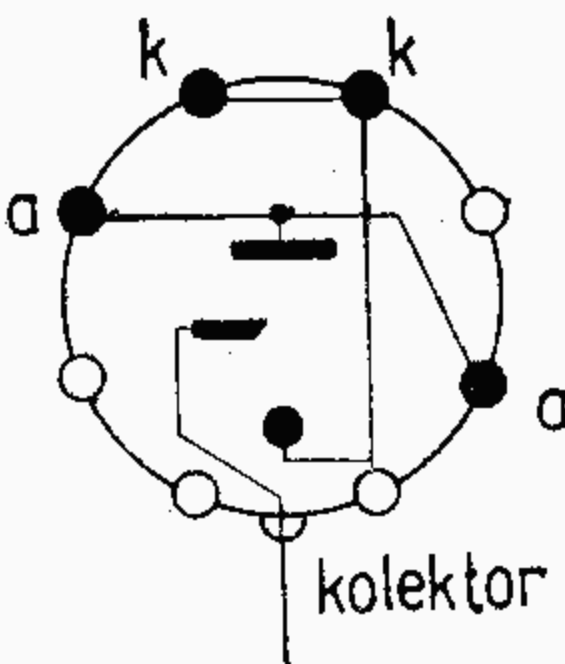
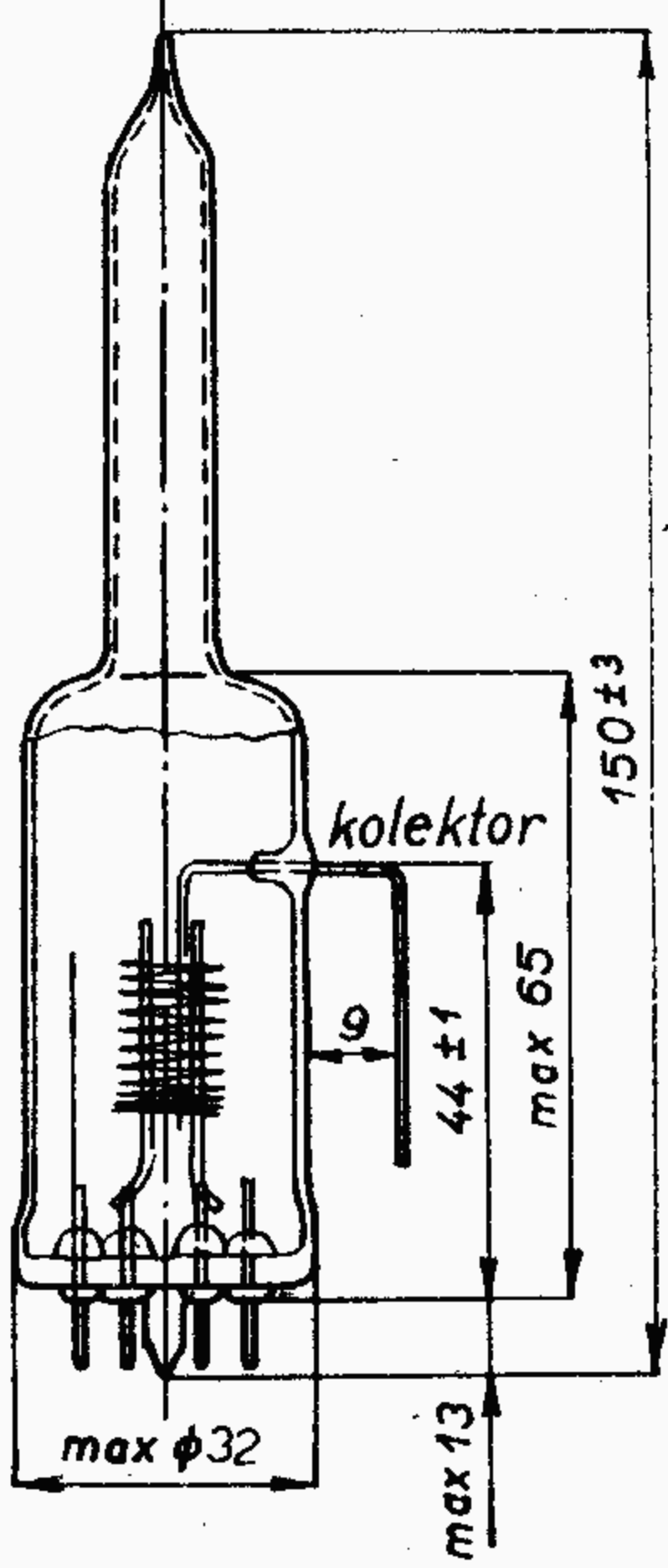
Typ Použití	Patice	Žhavení	Provozní hodnoty	Mezní hodnoty
		Rozměry		
512QM8 TESLA - VÚVET		U_F 6,3 V I_F 0,6 A nepřímé žhavení	<p>Napětí:</p> <p>fotokatody U_{KF} $-240 \div -500$ V</p> <p>urychlovací elektrody U_{G6} $65 - 85$ % U_{KF}</p> <p>rozkladové elektrody U_Q $-3 \div +5$ V</p> <p>brzdící elektrody U_{G5} $0 \div 160$ V</p> <p>zaostřovací elektrody U_{G4} $50 \div 270$ V</p> <p>válce násobiče U_{G3} $200 \div 300$ V</p> <p>1. dynody U_{D1} 250 V</p> <p>2. dynody U_{D2} 38 % U_C</p> <p>3. dynody U_{D3} 56,5 % U_C</p> <p>4. dynody U_{D4} 75,5 % U_C</p> <p>5. dynody U_{D5} 93,5 % U_C</p> <p>kolektoru U_C 1500 V</p> <p>Proud kolektoru i_C <150 μA</p> <p>Výstupní signál ($E = 0,4$ lx) >6 μA</p> <p>Intenzita magnetického pole ve středu zaostř. cívký 75 G</p> <p>Teplota rozkladové elektrody ϑ_Q $35 - 50$ $^{\circ}\text{C}$</p>	<p>U_F 6,6 V</p> <p>U_{KF} -550 V</p> <p>U_C 1650 V</p> <p>$U_{D/D}$ 350 V</p> <p>U_{G6} -450 V</p> <p>U_Q $-10 \div +10$ V</p> <p>U_{G5} 160 V</p> <p>U_{G4} 300 V</p> <p>U_{G3} 400 V</p> <p>U_{D1} 350 V</p> <p>U_{G1} -150 V</p> <p>E_{KF} ($t = 15$ s) ¹⁾ 5 lx</p> <p>E_{KF} ²⁾ 500 lx</p> <p>I_K 50 μA</p> <p>I_K ($t \leq 10$ min) 100 μA</p> <p>I_C 150 μA</p> <p>ϑ_b (q) 35–50 $^{\circ}\text{C}$</p>
<p>snímačí elektronka superorthikon s elektromagnetickým vychýlováním a ostřením bodu.</p> <p>Rozlišovací schopnost 625 řádků.</p> <p>Obraz na fotokatodě 24 × 32 mm.</p> <p>Patice: diheptal a 7kolíková.</p> <p>Max. spektrální citlivost 400 – 520 mμ.</p>			<p>¹⁾ Statická scéna</p> <p>²⁾ Pohyblivá scéna</p>	

Typ Použití	Patice	Provozní hodnoty	Mezní hodnoty
512QM8		<p>Výstupní signál v koleně charakteristiky $>6 \mu A$</p> <p>Rozlišovací schopnost při teplotě $+40^\circ C$ ve středu obrazu</p> <p>amplituda signálu pro 400 řádků min. 50 %</p> <p>amplituda signálu pro 500 řádků min. 30 %</p> <p>v rozích obrazu:</p> <p>amplituda signálu pro 400 řádků min. 23 %</p> <p>Poměr signálu k šumu min. 30 dB</p>	

Typ Použití	Patice	Žhavení	Provozní hodnoty	Mezní hodnoty
		Kapacity		
<p>130QP40</p> <p>132QP40</p>  <p>Snímací elektronka monoskop pro černobílou televizi. Vychylování paprsku elektromagnetické. Ostření bodu elektromagnetické. Rozlišovací schopnost 625 řádků. Vychylovací úhel 40°. Patice: S 8/18. Typ 132QP40 s omluvným textem.</p>		<p>U_F 6,3 V</p> <p>I_F 0,6 A</p> <p>t_f >5 min</p> <p>nepřímé žhavení</p> <p>C_{se} $6 \pm 1,5$ pF</p> <p>C_g <8 pF</p>	<p>U_A 2000 V</p> <p>U_{SE} 1900 V</p> <p>$-U_{GZ}$ ($I_K < 1 \mu A$) 50–125 V</p> <p>I_K $\leq 200 \mu A$</p> <p>I_{SE} 1 μA</p> <p>R_p 1,5 kΩ</p> <p>Rozlišovací schopnost >600 řádků</p> 	<p>U_A 2000 V</p> <p>U_A >1600 V</p> <p>U_{SE} 1900 V</p> <p>U_{SE} >1600 V</p> <p>$-U_G$ 150 V</p> <p>U_G 0 V</p> <p>R_g 1,5 MΩ</p> <p>$U_{K/F}$ 125 V</p> <p>I_K 200 μA</p>

Typ	04QA41	22QA41	23QA41
Citlivost na paprsky	rentgenové	infra - červené	infra - červené
λ_{\max} [Å]	-	8000 - 9000	8000 - 9000
λ [Å]	-	4000 - 12000	4000 - 12000
Rozlišovací schopnost [čár/mm]	$2 \times 16/\text{cm}$	40 - 50	40 - 50
Zvětšení obrazu [%]	>3000	0,55	0,55
Průměr katody [mm]	145	35	22
Průměr stínítka [mm]	14	18	11
S_{kF} ($U_a = 200 \text{ V}$) [$\mu\text{A/lm}$]	22	20-30 ($U_a = 200 \text{ V}$)	20 - 30
U_{A1} [kV]	22	17	15
U_{A2} [V]	50 - 300	-	-
Mezní hodnoty:			
U_{A1} [kV]	22	18	16
E_{kF} [lx]		0,5	0,5
ϑ_a [°C]		-30 ÷ +45	-30 ÷ +45
Barva stínítka	žluto / zelená	zelená	zelená
Dosvit		střední	střední
Rozměry [mm]	$\varnothing 175 \times 320$	54×68	46×50



Typ Použití	Provozní hodnoty	Mezní hodnoty
VA1M  Triodová vakuová měrka pro měření vysokého vakua od $1 \cdot 10^{-2}$ do $1 \cdot 10^{-8}$ torr. Patice: S 8/18.	$U_{A/K}$ 150 V I_E 0,1 - 1 - 10 mA Pracovní poloha: vertikální 	Hodnoty platí při odplyňování: $U_{A/K}$ 400 V I_E 20 mA ϑ_a +5 ... +40 °C

Typ Použití	Charakteristické údaje	Rozměry																		
VC2M VC2T	<p>Vakuová měrka pro Penningovy vakuoměry s měřicím rozsahem od 10^{-3} do 10^{-6} torr.</p> <p>Provozní hodnoty:</p> <table> <tr> <td>U_{AO}</td><td>200</td><td>V</td></tr> <tr> <td>I_A</td><td>0,001-2</td><td>mA</td></tr> <tr> <td>R_o</td><td>1</td><td>MΩ</td></tr> <tr> <td>H</td><td>380</td><td>Oe</td></tr> </table> <p>Měřicí rozsah</p> <table> <tr> <td>I_A</td><td>0.0016...1,2</td><td>mA</td></tr> <tr> <td>Vakuum</td><td>10^{-6} 10^{-3}</td><td>torr</td></tr> </table>	U_{AO}	200	V	I_A	0,001-2	mA	R_o	1	M Ω	H	380	Oe	I_A	0.0016...1,2	mA	Vakuum	10^{-6} 10^{-3}	torr	
U_{AO}	200	V																		
I_A	0,001-2	mA																		
R_o	1	M Ω																		
H	380	Oe																		
I_A	0.0016...1,2	mA																		
Vakuum	10^{-6} 10^{-3}	torr																		

Typ Použití	Charakteristické údaje	Provozní hodnoty Rozměry																								
VG1M	<p>Termočláňková vakuová měrka pro měření hrubého vakua od 1 do $1 \cdot 10^{-3}$ torr.</p> <p>Žhavicí údaje:</p> <table> <tr> <td>U_F</td><td>20</td><td>V</td></tr> <tr> <td>I_F</td><td>2×125</td><td>mA</td></tr> </table> <p>Termoelektrické napětí</p> <table> <tr> <td></td><td>20 ... 60</td><td>mV</td></tr> </table> <p>při tlaku $1 \cdot 10^3$ torr</p> <p>Patice: S 8/18</p>	U_F	20	V	I_F	2×125	mA		20 ... 60	mV	<table> <tr> <td>$U_{F\ ef}$</td><td>20</td><td>V</td></tr> <tr> <td>I_F</td><td>2×125</td><td>mA</td></tr> <tr> <td>t_f</td><td>2</td><td>min</td></tr> <tr> <td>U_{thermo}</td><td>>35</td><td>mV</td></tr> <tr> <td>$\vartheta_a\ max$</td><td>$= +5 \dots +40$</td><td>°C</td></tr> </table> <p>($\vartheta_a = 15-20$ °C, $1 \cdot 10^{-3}$ torr)</p> <p>Provozní poloha: libovolná, doporučuje se však poloha vertikální.</p>	$U_{F\ ef}$	20	V	I_F	2×125	mA	t_f	2	min	U_{thermo}	>35	mV	$\vartheta_a\ max$	$= +5 \dots +40$	°C
U_F	20	V																								
I_F	2×125	mA																								
	20 ... 60	mV																								
$U_{F\ ef}$	20	V																								
I_F	2×125	mA																								
t_f	2	min																								
U_{thermo}	>35	mV																								
$\vartheta_a\ max$	$= +5 \dots +40$	°C																								

Převodní a srovnávací tabulky
obdobných typů
přijímacích elektronek
vysílacích elektronek

Převodní tabulka přijímacích elektronek

TESLA	Evropské značení	Marconi	CV number	Ostatní
1AF33	DAF96	ZD17 ¹⁾	CV784 ¹⁾	1FD1, 1FD9 ¹⁾ , 1S5T
1AF34				1B2Π, 1B1Π ¹⁾ , ³⁾
1F33	DF96	W17 ¹⁾	CV785 ¹⁾	1F3 ¹⁾ , 1T4T
1F34				1K2Π, 1K1Π ¹⁾ , ³⁾
1H33		X17 ¹⁾	CV782 ¹⁾	1C1 ¹⁾ , 1R5T
1H34				1A2Π, 1A1Π ¹⁾ , ³⁾
1H35	DK96			1AB6
1L33	DL91 ¹⁾		CV783 ¹⁾	1S4T
1Y32				1Z2
1Y32T				~1Z2
3L31				3A4 ¹⁾
6B32	EAA91, EB91 D77/D152		CV140, CV283	6D2, 6X2Π
6BC32	EBC91			6AV6
6CC31	ECC91		CV858	6H15Π, 6J6
6CC41				6H2Π, 12AX7 ²⁾
6CC42				6385, 2C51, 5760, 6H3Π
6F10			CV660	6AC7, 6Ж4
6F31	EF93	W727	CV454	6BA6, 6K4Π
6F32	EF95		CV850	6AK5, 6Ж1Π
6F32V				5654, 6AK5W, 6AK5WA
6F35				6AJ5
6F36				6AH6, 6Ж5Π
6H31	EK90	X727	CV453	6A2Π, 6BE6
6L31	EL90	N727	CV1862	6005, 6AQ5, 6Π1Π ⁴⁾
6L41			CV2129	5763
6L43				6CL6
6Z31				6X4, 6Ц4Π
7QR20	~DG7-6 ⁴⁾			~3BP1, ~3QP1 ⁴⁾
12BC32	HBC91			12AV6
12F31	HF93		CV1928	12BA6
12H31	HK90			12BE6
12QR50			CV1069 ⁴⁾	5JP1 ⁴⁾

TESLA	Evropské značení	Marconi	CV number	Ostatní
12QR51				~OE411PAV ⁴⁾
25QP20				10BP4
25QP21				10BP7
470QQ44	AW47-91			19ALP4, 19AQP4, 19BEP4
472QQ44	A47-11W			
502QQ44	A50-12W, A50-120W			
590QQ44	AW59-90			23AJP4, 23AMP4, 23AQP4, 23BCP4
592QQ44	A59-12W/2, A59-11W			23DEP4, 23DRP4, 23FQP4
593QQ44	A59-12/2			23HBP4
612QQ44	A61-120W			
DY86				1S2, 1Ц21Π
DY87				1S2A, 1Ц21Π
E83CC				12AX7WA, 6057
E88CC				6922, CCα, 6H23Π
E180F				6688, 5A/170K, EF861, 6Ж9Π
EAA91				6AL5, 6X2Π
EABC80		DH719		6LD12, 6T8, 6AK8, 6Г3Π
EBF89				7125, 6DC8
ECC82		B329	CV491	12AU7
ECC83		B339	CV492	12AX7, 6L13
ECC84				6CW7, 6H14Π
ECC85		B719		6L12, 6AQ8
ECC88				6DJ8, 6H23Π
ECC91				6J6, 6H15Π
ECC802S				12AU7WA, 6067
ECH81		X719	CV2128	6C12, 6AJ8, 6И1Π
ECH84				6JX8
ECF82				6U8
ECL82				6BM8, 6Φ3Π
ECL84				6DX8, 6Φ4Π
ECL85				6Φ5Π
ECL86				6GW8

TESLA	Evropské značení	Marconi	CV number	Ostatní
ECH200				6H4Π
EF80		Z719, Z152		64SPT, 6BX6
EF86		Z729		6267, 6Ж32Π
EF183				6EH7, 6F29, 6K13Π
EF184				6EJ7, 6F30, 6Ж51Π
EF800				EF860
EF806S				6267
EL34				6CA7
EL36				6CM5, 6Π31C
EL81			CV2721	6CJ6
EL82				6DY5, 6Π18Π
EL83			CV2726	6CK6, 6CN6, 6Π15Π
EL84		N709	CV2975	6P15, 6BQ5, 6Π14Π
EL86				6CW5, 6Π33Π
EL500				6GB5A, 6Π36C
EM80			CV1352	65ME, 6BR5, 6E1Π
EM81				6DA5
EM84				6FG6, 6E3Π
EY82				6H3
EY83				6Ц10Π ³⁾
EY88				6AL3, 6Д20Π
EY86				6S2
EY87				6S2A
EZ80				6V4
EZ81		U709		UU12, 6CA4
PABC80				9AK8
PCC84				30L1, 7AN7
PC86				4CM4
PC88				4DL4
PCC88				7DJ8
PCF82				9L8
PCF200				8X9
PCF801				8GJ7
PCF802				8JW8
PCL82		~LN309		16A8, 30P12
PCH200				9V9

TESLA	Evropské značení	Marconi	CV number	Ostatní
PCL85				18GV8
PCL86				14GW8
PL36				25E5, 30P4
PL81		N152, N359		213Pen, 21A6
PL82		N154, N329		30P16, 16A5
PL83		N153		15A6
PL84				30P18
PL500				28GB5
PY82		U152		19SU, 19Y3
PY83				17Z3
PY88				30AE3
UABC80				10LD12
UBF89				10FD12, 19DC8, 19FL8
UCC85				10L14
UCH81				10C14, 19D8, 19AJ8
UCL82				10PL12, 50BM8
UY82				55N3

1) Dvojnásobný žhavicí proud, TESLA provedení úsporné

2) Rozdíl v patici.

3) Rozdílné žhavicí napětí.

4) Vnější provedení odlišné.

Srovnávací tabulka přijímacích elektronek

TYP	TESLA	TYP	TESLA
1AΠ ^{1) 3)}	1H34	6AK5	6F32, EF95
1A2Π	1H34	6AK5W	6F32V
1AB6	1H35	6AK5WA	6F32V
1B1Π ^{1) 3)}	1AF34	6AK8	EABC80
1B2Π	1AF34	6AL3	EY88
1C1 ¹⁾	1H33	6AL5	6B32, EAA91
1F3 ¹⁾	1F33	6AQ5	6L31
1FD1	1AF33	6AQ8	ECC85
1FD9 ¹⁾	1AF33	6AV6	6BC32
1K1Π ^{1) 3)}	1F34	6BA6	6F31
1K2Π	1F34	6BE6	6H31
1R5 ¹⁾	1H33	6BM8	ECL82
1R5T	1H33	6BR5	EM80
1S2	DY86	6BQ5	EL84
1S2A	DY87	6BX6	EF80
1S4 ¹⁾	1L33	6C12	ECH81
1S4T	1L33	6CA4	EZ81
1S5 ¹⁾	1AF33	6CA7	EL34
1S5T	1AF33	6Ц4Π	6Z31
1T4 ¹⁾	1F33	6Ц10Π ²⁾	EY83
1T4T	1F33	6CL6	6L43
1Z2	1Y32, ~1Y32T	6CJ6	EL81
1Ц21Π	DY86, DY87	6CK6	EL83
2C51	6CC42	6CM5	EL36
3A4 ¹⁾	3L31	6CM6	6L31
3BP1	~7QR20 ⁴⁾	6CN6	EL83
3QP1	~7QR20 ⁴⁾	6CW5	EL86
4CM4	PC86	6CW7	ECC84
4DL4	PC88	6D2	6B32, EAA91
5JP1	~12QR50 ⁴⁾	6DA5	EM81
5A/170K	E180F	6DA6	EF89
6A2Π	6H31	6DC8	EBF89
6AH6	6F36	6DJ8	ECC88
6AJ5	6F35	6DX8	ECL84
6AJ8	ECH81	6DY5	EL82

TYP	TESLA	TYP	TESLA
6Д20Π	EY88	6Π15Π	EL83
6E1Π	EM80	6Π18Π	EL82
6E3Π	EM84	6Π31C	EL36
6EH7	EF183	6Π33Π	EL86
6EJ7	EF184	6Π36C	EL500
6F24	EF184	6R3	EY83
6F25	EF183	6S2	EY86
6F29	EF183	6S2A	EY87
6F30	EF184	6T8	EABC80
6FG6	EM84	6U8	ECF82
6Φ3Π	ECL82	6V4	EZ80
6Φ4Π	ECL84	6V8	EABC80
6Φ5Π	ECL85	6X2Π	6B32, EAA91
6Γ3Π	EABC80	6X4	6Z31
6GG6	EZ80	6Ж1Π	6F32, EF95
6GB5A	EL500	6Ж5Π	6F36
6GW8	ECL86	6Ж9Π	E180F
6И1Π	ECH81	6Ж32Π	EF86
6И4Π	ECH200	6Ж51Π	EF184
6J6	6CC31	7AN7	PCC84
6JX8	ECH84	7DJ8	PCC88
6K4Π	6F31	8GJ7	PCF801
6K13Π	EF183	8JW8	PCF802
6L12	ECC85	8X9	PCF200
6L13	ECC83	9AK8	PABC80
6LD12	EABC80	9U8	PCF82
6N3	EY82	9V9	PCH200
6H2Π	6CC41	10BP4	25QP20
6H3Π	(6CC42)	10BP7	25QP21
6H14Π	ECC84	10C14	UCH81
6H15Π	6CC31	10FD12	UBF89
6H23Π	ECC88	10L14	UCC85
6P15	EL84	10LD12	UABC80
6Π1Π ⁴⁾	6L31	10LD14	UCC85
6Π14Π	EL84	10PL12	UCL82

Typ	TESLA	Typ	TESLA
12AU7	ECC82	23FQP4	592QQ44
12AU7WA	ECC802S	23HBP4	592QQ44
12AV6	12BC32	25E5	PL36
12AX7	ECC83	26AQ8	UCC85
12AX7WA	E83CC	28GB5	PL500
12BA6	12F31	30AE3	PY88
12BE6	12H31	30L1	PCC84
14GW8	PCL86	30P16	PL82
15A6	PL83	30P4	PL36
15CW5	PL84	30P12	PCL82
15DQ8	PCL84	30P16	PL82
16A5	PL82	30P18	PL84
16A8	PCL82	50BM8	UCL82
17CVP4	AW43-88 (431QQ44)	55N3	UY82
17DJP4	AW43-80	64SPT	EF80
17Z3	PY83	65ME	EM80
18GV8	PCL85	163Pen	PL82
19AJ8	UCH81	213Pen	PL81
19ALP4	470QQ44	5654	6F32V
19AQP4	470QQ44	6057	E83CC
19BEP4	470QQ44	6067	ECC802S
19BX6	UF80	6096	6F32V
19D8	UCH81	6267	EF806S
19DC8	UBF89	6385	6CC42
19FL8	UBF89	6485	6F36
19SU	PY82	6688	E180F
19Y3	PY82	6922	E88CC
21A6	PL81	7125	EBF89
21DKP4	AW53-88 (531QQ44)	A47-11W	472QQ44
23AJP4	590QQ44	A50-12W	502QQ44
23AMP4	590QQ44	A50-120W	502QQ44
23AQP4	590QQ44	A59-12W/2	592QQ44
23BCP4	590QQ44	A59-11W	592QQ44
23DEP4	592QQ44	AW47-91	470QQ44
23DRP4	592QQ44	AW59-90	590QQ44

Typ	TESLA	Typ	TESLA
B329	ECC82	CV2128	ECH81
B339	ECC83	CV2129	6L41
B719	ECC85	CV2492	E88CC
BPM04	6L31	CV2493	E88CC
CCa	E88CC	CV2521	6F36
~CV140	6B32, EAA91	CV2525	6BC32
CK5654	6F32V	CV2526	6BC32
CV283	6B32, EAA91	CV2721	EL81
CV453	6H31	CV2726	EL83
CV454	6F31	CV2843	6CC31
CV491	ECC82	CV2844	6Z31
CV492	ECC83	CV2877	6F32, EF95
CV493	6Z31	CV2882	6B32, EAA91
CV782 ¹⁾	1H33	CV2883	6L31
CV783 ¹⁾	1L33	CV2901	EF86
CV784 ¹⁾	1AF33	CV2940	EL36
CV785 ¹⁾	1F33	CV2966	EY86
CV850	6F32, EF95	CV2975	EL84
CV858	6CC31	CV3998	E180F
CV1352	EM80	CV4003	ECC802S
CV1376	EF80	CV4004	(E83CC)
CV1471	EL34	CV5037	6F31
CV1535	EZ80	CV5041	6L43
CV1736	EF80	CV5055	EM81
CV1741	EL34	CV5072	EZ81
CV1862	6L31	CV5077	PL81
CV1928	12F31	CV5092	EF800
CV2004	6B32, EAA91	CV5094	EL86
CV2005	6B32, EAA91	CV5140	EA52
CV2007	ECC82	CV5231	E88CC
CV2010	6CC31	D2M9	6B32, EAA91
CV2011	ECC83	D77	6B32, EAA91
CV2020	6F32, EF95	D152	6B32, EAA91
CV2024	6H31	DAF96	~1AF33
CV2026	6F31	DF96	~1F33

Typ	TESLA	Typ	TESLA
DG7-6	~7QR20 ⁴⁾	M8137	E83CC
DH109	UABC80	N152	PL81
DH719	EABC80	N153	PL83
DK96	~1H35	N154	PL82
DL91 ¹⁾	~1L33	N309	PL83
DL93 ¹⁾	~3L31	N329	PL82
DP61	EF95, 6F32	N339	PL81
E82CC	ECC802S	N359	PL81
E83CC	ECC803S	N369	PCL82
E95F	6F32V	N709	EL84
E2163	ECC82	N727	6L31
E2164	ECC83	N379	PL84
EAA91	6B32	OE411PAV	~12QR51 ⁴⁾
EB91	6B32, EAA91	OSW2025	6CC31
ECC91	6CC31	PM04	6F31
ECC802	ECC802S	PM05	6F32, EF95
ECC803	E83CC	T2M05	6CC31
ECC80S3	E83CC	TS51	~6F32, EF95
EF93	6F31	TS52	6CC31
EF95	6F32	U26	EY86
EF804	~EF86	U49	EY86
EF860	EF800	U78	6Z31
EF861	E180F	U119	UY85
EF905	6F32	U153	PY81, ~PY83
EK90	6H31	U154	PY82
EL90	6L31	U192	PY82
EZ90	6Z31	U251	PY81, ~PY83
HBC91	12BC32	U319	PY82
HF93	12F31	U329	PY81, ~PY83
HK90	12H31	U709	EZ81
HM04	6H31	UU12	EZ81
LN119	UCL82	V2M70	6Z31
LN309	PCL82	VT171 ¹⁾	1H33
M8100	6F32V	VT172 ¹⁾	1AF33
M8136	E83CC	VT173 ¹⁾	1F33

Typ	TESLA	Typ	TESLA
W17 ¹⁾	1F33	X77	6H31
W25	~1F33	X119	UCH81
W727	6F31	Z152	EF80
WD119	UBF89	Z719	EF80
WE17 ¹⁾	1F33	Z729	EF86
X17 ¹⁾	1H33	ZD17 ¹⁾	1AF33
X25	~1H35	Z1494	6F32V
X719	ECH81	ZD25	~1AF33
X727	6H31		

¹⁾ Dvojnásobný žhavicí proud, TESLA provedení úsporné

²⁾ Rozdíl v patici.

³⁾ Rozdílné žhavicí napětí.

⁴⁾ Odlišné vnější provedení.

Преводні табулка высілач і зсіловач ілектронек

TESLA	Marconi	Philips	Brown-Boveri	Ostatní
DCG4/1000	ESU866 ¹⁾	DCG4/1000		RG3-250, 866A ¹⁾
QQE03/12		QQE03/12		RS1029, 6360
RA0007A	RHT1			
RA0007B	RHT1 ¹⁾			Z9C1 ¹⁾
RA025B				ESU74 ³⁾ , ESU77 ³⁾
RA05A				ESU151 ³⁾
RA7YB				U1
RA100A		8020 ¹⁾ , 56000 ¹⁾		100R ¹⁾ , B1-0,1/40 ¹⁾
RC5B				W1-0,1/40 ¹⁾
RC5C				RD12T _a
				RD2,4T _a
RD1XA	ACT9			ГC-7 ⁴⁾
RD1XH	ACT29 ³⁾			
RD1,5XA				ES36
RD2XF			ATL2-1	
RD2XG			ATL2-1 ³⁾	
RD2XH			BTL1-1 ⁴⁾	SRL351 ⁴⁾ , 3J/160E ⁴⁾
RD2XJ			BTL1-1 ⁴⁾	SRL351 ⁴⁾ , 3J/160E ³⁾
RD5XF			ATL5-1 ³⁾	ГY-89Б, 5667, 889B
				KC9Д ³⁾
RD5XG			ATL5-1	889 ³⁾
RD5XH			BTL6-1 ⁴⁾	6421 ³⁾ , 3L6T ³⁾
				RS1001 ⁴⁾ , RS533 ⁴⁾
RD5YA	CAT3			
RD5YF	889A		ATW5-1 ³⁾	5666 ³⁾
RD5YH	889A ¹⁾		ATW5-1 ⁴⁾	5666 ⁴⁾
RD8XA	ACT14 ³⁾			3L20Z-2 ⁴⁾
RD8XH	ACT14 ³⁾			3L20Z-2 ⁴⁾
RD12XB	ACT16 ⁴⁾			ГC4Д ⁴⁾
RD12XH	ACT16 ⁴⁾			3L20Z-2 ⁴⁾ , ГC4Д ⁴⁾
RD12YB	CAT6K			RS257 ³⁾
RD12YH	CAT6K ¹⁾			RS257 ³⁾

TESLA	Marconi	Philips	Brown-Boveri	Ostatní
RD18YA	CAT9			ГC4B ⁴⁾ , RS255 ⁴⁾
				SRW317 ⁴⁾ , TA12/20 ⁴⁾
				3V20Z-3 ⁴⁾
RD18YH	CAT9 ¹⁾			3V20Z-3 ⁴⁾ , RS255 ⁴⁾
RD20XK			ATL20-1 ⁴⁾	
RD27AS	DET5			P27-500
RD50XA	ACT201			125 ⁴⁾
RD50XH	ACT201 ¹⁾			125 ⁴⁾
RD75YB	CAT201, CAT20C	TA18/100 ⁴⁾		3V80Z ⁴⁾
RD75YH	CAT201 ³⁾	TA18/100 ⁴⁾		
RD150YA	CAT14C	TA20/250 ⁴⁾		
RD150YB	CAT17C			134 ⁴⁾ , 3V160Z ⁴⁾ , RS300
RD150YH	CAT27 ³⁾			
RD150YJ	CAT14C ³⁾	TA20/250 ⁴⁾		
RD200B			TL50-1 ³⁾	W463 ³⁾ , HF200 ⁴⁾
				OQQ151/3000 ⁴⁾ , AX9900 ⁴⁾
				SRS326 ⁴⁾ , KC-9 ⁴⁾
RD300S		TB3/750		SRS360, TY3-250, 5867, 9901
RE025XS				4X250B, 4CX250B, 7203
RE041XL				ГY34Б
RE1,5XL				ГY40Б
RE5XL				4CX5000A ⁴⁾
RE5XN				4CX5000A ⁴⁾
RE20XL				4W20000A ⁴⁾
RE65A				4-65A, QY3-65
RE125C		QB3/300 ³⁾	160-1 ³⁾	4-125A, 4D21, RS685 ³⁾
				QY3-125, CV2130, 6155, RS1007 ³⁾
RE400C		QB3,5/750 ⁴⁾		4-400A, 4S-040T ³⁾
				6156, RS686 ⁴⁾ , RS1002 ⁴⁾

TESLA	Marconi	Philips	Brown-Boveri	Ostatní
RE1000F				4-1000A, KЖ6Б ⁴⁾
REE30B		QQE06-40		CV2797, QQV06/40, RS1009, SRS4451, 5894
RL15A ¹⁾ , ²⁾				RL4,8P12
UA025A		DCG4/1000 ¹⁾		AX224 ¹⁾ , CV1835 ¹⁾ RR-3-250 ¹⁾ , 2B28 ¹⁾
UA5A	GU15			
ZD1XB	ACM1S			M-435 ⁴⁾ , MC-9 ⁴⁾
ZD8XA	ACM3			ГC9Д ⁴⁾
ZD12YA	CAM3	UA12/15		MC-7 ⁴⁾
ZE025XS				4X250B ⁴⁾
51TR40				5C22, ТГН 326/16

¹⁾ Odlišné provedení, případně jiná patice.

²⁾ Bez diody

³⁾ Částečný ekvivalent

⁴⁾ Přibližný ekvivalent.

PŘÍRUČNÍ KATALOG POLOVODIČOVÝCH PRVKŮ

TESLA

Část 2

1973

TESLA ROŽNOV

OBSAH KATALOGU POLOVODIČOVÝCH PRVKŮ

T y p	Strana	T y p	Strana	T y p	Strana
1NN40	P19	2NN41	P19	6NZ70	P47
1NN41	P19	2NP70	P28	7NN41	P19
1NP70	P28	2NU72	P135	7NU73	P136
1NZ70	P47	2NU73	P136	7NU74	P137
1PP75	P182	2NU74	P137	7NZ70	P47
2-2NU72	P135	2NZ70	P47	8NZ70	P47
2-2NU73	P136	3NN40	P19	10PN40	P181
2-2NU74	P137	3NN41	P19	11NP70	P28
2-3NU72	P135	3NP70	P28	12NP70	P28
2-3NU73	P136	3NU72	P135	13NP70	P28
2-3NU74	P137	3NU73	P136	14NP70	P28
2-4NU72	P135	3NU74	P137	15NP70	P28
2-4NU73	P136	3NZ70	P47	16NP70	P28
2-4NU74	P137	4-GAZ51	P24	20NP70	P29
2-5NU72	P135	4NN40	P19	21NP70	P29
2-5NU73	P136	4NN41	P19	22NP70	P29
2-5NU74	P137	4NP70	P28	23NP70	P29
2-6NU73	P136	4NU72	P135	24NP70	P29
2-6NU74	P137	4NU73	P136	25NP70	P29
2-7NU73	P136	4NU74	P137	30NP70	P29
2-7NU74	P137	4NZ70	P47	31NP70	P29
2-101NU71	P92	5NN40	P19	32NP70	P29
2-104NU71	P95	5NN41	P19	32NP75	P57
2-GA206	P20	5NP70	P28	33NP70	P29
2-GC500	P115	5NU72	P135	33NP75	P57
2-GC507	P118	5NU73	P136	33NQ52	P80
2-GC508	P119	5NU74	P137	34NP70	P29
2-KD601	P145	5NZ70	P47	34NP75	P57
2-OC26	P133	6NN40	P19	34NO52	P80
2-OC27	P133	6NN41	P19	35NP70	P29
2-OC30	P134	6NP70	P28	35NP75	P57
2-OC72	P111	6NU73	P136	35NQ52	P80
2NN40	P19	6NU74	P137	36NQ52	P81

T y p	Strana	T y p	Strana	T y p	Strana
36NP75	P57	GA201	P20	GD607	P101
37NP75	P57	GA202	P20	GD608	P102
38NQ52	P82	GA203	P20	GD609	P102
40NP70	P29	GA204	P20	GD617	P131
40NQ52	P80	GA205	P20	GD618	P132
41NP70	P29	2-GA206	P20	GD619	P132
42NP70	P29	GA207	P20	GF501	P128
42NP75	P57	GA301	P22	GF502	P128
43NP70	P29	GAZ51	P23	GF503	P128
43NP75	P57	GC500	P115	GF504	P128
44NP70	P29	GC501	P116	GF505	P129
44NP75	P57	GC502	P117	GF506	P129
45NP70	P29	GC507	P118	GF507	P130
45NP75	P57	GC508	P119	GF507R	P130
46NP75	P57	GC509	P120	GFY50	P165
81NP71	P30	GC510	P121	GS501	P106
82NP71	P30	GC510K	P121	GS502	P106
83NP71	P30	GC511	P122	GS504	P106
101NU70	P88	GC511K	P122	GS506	P107
101NU71	P92	GC512	P122	GS507	P108
102NU70	P88	GC512K	P122	KA200	P32
102NU71	P93	GC515	P123	KA201	P33
103NU70	P88	GC516	P123	KA202	P33
103NU71	P94	GC517	P124	KA204	P34
104NU70	P88	GC518	P124	KA206	P35
104NU71	P95	GC519	P124	KA207	P35
105NU70	P89	GC520	P99	KA213	P36
106NU70	P90	GC520K	P99	KA220/05	P59
107NU70	P91	GC521	P100	KA221	P37
152NU70	P103	GC521K	P100	KA222	P37
153NU70	P103	GC522	P100	KA223	P37
154NU70	P103	GC522K	P100	KA224	P37
155NU70	P104	GC525	P96	KA225	P38
156NU70	P105	GC526	P97	KA227	P39
GA200	P20	GC527	P98	KA236	P40

T y p	Strana	T y p	Strana	T y p	Strana
KA243	P41	KF506	P153	KT703	P77
KA244	P41	KF507	P153	KT704	P77
KA290	P42	KF508	P153	KT705	P77
KA501	P43	KF517	P154	KT710	P76
KA501 výběr	P43	KF517A	P154	KT711	P76
KA502	P44	KF517B	P154	KT712	P76
KA503	P45	KF520	P155	KT713	P76
KA504	P44	KF521	P156	KT714	P76
KB105A	P46	KF524	P157	KT772	P78
KB105B	P46	KF525	P157	KT773	P78
KB105G	P46	KF552	P158	KT774	P78
KC147	P141	KFY16	P167	KT782	P79
KC148	P141	KFY18	P168	KT783	P79
KC149	P141	KFY34	P169	KT784	P79
KC507	P142	KFY46	P170	KU601	P160
KC508	P142	KFZ66	U171	KU602	P160
KC509	P142	KFZ68	P171	KU605	P161
KC510	P143	KP101	P183	KU606	P161
KCZ58	P166	KR205	P74	KU607	P162
KCZ59	P166	KR206	P74	KU611	P160
KD501	P144	KR207	P74	KU612	P160
KD502	P144	KS500	P159	KUY12	P178
KD503	P144	KSY21	P172	KY130/80	P54
KD601	P145	KSY34	P173	KY130/150	P54
KD602	P146	KSY62	P174	KY130/300	P54
KD605	P147	KSY63	P175	KY130/600	P54
KD606	P147	KSY71	P176	KY130/900	P54
KD607	P147	KSY81	P177	KY130/1000	P54
KF124	P148	KT501	P75	KY238	P62
KF125	P148	KT502	P75	KY249	P63
KF167	P149	KT503	P75	KY249S	P63
KF173	P150	KT504	P75	KY285	P64
KF272	P151	KT505	P75	KY287	P65
KF503	P152	KT701	P77	KY288	P65
KF504	P152	KT702	P77	KY289	P65

T y p	Strana	T y p	Strana	T y p	Strana
KY290	P66	KY721F	P55	KZ712	P48
KY291	P67	KY722	P57	KZ713	P48
KY292	P65	KY722F	P55	KZ714	P48
KY293	P65	KY723	P57	KZ715	P48
KY294	P65	KY723F	P55	KZ721	P50
KY295	P65	KY724	P57	KZ722	P50
KY298	P68	KY724F	P55	KZ723	P50
KY299	P68	KY725	P57	KZ724	P50
KY367	P69	KY725F	P55	KZ751	P48
KY700	P56	KY726F	P55	KZ752	P48
KY701	P57	KYZ30	P70	KZ753	P48
KY701F	P55	KYZ34	P70	KZ754	P48
KY701R	P55	KYZ70	P61	KZ755	P48
KY702	P57	KYZ71	P61	KZ799	P47
KY702F	P55	KYZ72	P61	KZZ45	P51
KY702R	P55	KYZ73	P61	KZZ46	P51
KY703	P57	KYZ74	P61	KZZ47	P51
KY703F	P55	KYZ75	P61	KZZ71	P50
KY703R	P55	KYZ76	P61	KZZ72	P50
KY704	P57	KYZ77	P61	KZZ73	P50
KY704F	P55	KYZ78	P61	KZZ74	P50
KY704R	P55	KYZ79	P61	KZZ75	P50
KY705	P57	KYZ81	P71	KZZ76	P50
KY705F	P55	KYZ82	P71	KZZ81	P52
KY705R	P55	KYZ83	P71	KZZ82	P52
KY706F	P55	KYZ84	P71	KZZ83	P52
KY706R	P55	KZ299	P53	MAA115	P189
KY708	P60	KZ703	P48	MAA125	P189
KY710	P60	KZ704	P48	MAA145	P189
KY711	P60	KZ705	P48	MAA225	P190
KY712	P60	KZ706	P48	MAA245	P190
KY715	P60	KZ707	P48	MAA325	P191
KY717	P60	KZ708	P48	MAA345	P191
KY718	P60	KZ709	P48	MAA435	P193
KY719	P60	KZ710	P48	MAA501	P189
KY721	P57	KZ711	P48	MAA502	P189

T y p	Strana	T y p	Strana	T y p	Strana
MAA503	P189	MH7420		(MHC111)	
MAA504	P189	(MHC111)	P220, 221	MH7420	P220, 221
MAA525	P194	MH7430		(MHD111)	
MAA550	P197	(MHD111)	P220, 221	MH7430	P220, 221
MAA661	P201	MH7440		(MHE111)	
		(MHE111)	P223	MH7440	P223
MAA723	P203	MH7450		(MHF111)	
MAA723H	P204	(MHF111)	P224	MH7450	P224
MAA725	P206	MH7453		(MHG111)	
MA0403	P208	(MHG111)	P225	MH7453	P225
MA0403A	P208	MH7460		(MJA111)	
		(MYA111)	P226	MH7472	P227
MA3000	P210	MH7472		(MJB111)	
MA3005	P211	(MJA111)	P227	MH7474	P228
MA3006	P211	MH7474		(MYA111)	
MBA125	P198	(MJB111)	P228	MH7460	P226
MBA145	P198	MH7475	P229	OA5	P25
		MH7490	P230	OA7	P26
MBA225	P195	MH7493	P231	OA9	P27
MBA245	P195	MH8400	P220, 221	OC26	P133
MH5400	P232, 233	MH8410	P220, 221	OC27	P133
MH5410	P232, 233	MH8420	P220, 221	OC30	P134
MH5420	P232, 233	MH8430	P220, 221	OC70	P109
		MH8440	P223	OC71	P110
MH5430	P232, 233	MH8450	P224	OC72	P111
MH5440	P234	MH8453	P225	OC75	P112
MH5450	P235	MH8460	P226	OC76	P113
MH5453	P236	MH8472	P227	OC77	P114
MH5460	P237	MH8474	P228	OC169	P126
		MH8475	P229	OC170	P127
MH5472	P238	MH8490	P230	QY06/24	P72
MH5474	P239	MH8493	P231	QY06/48	P72
MH5475	P240	(MHA111)		QY06/60	P72
MH5490	P241	MH7400	P220, 221	QY06/110	P72
MH5493	P242	(MHB111)		QY06/220	P72
		MH7410	P220, 221	QY25/12	P73

Typové označování polovodičových prvků

Polovodičové prvky TESLA, určené pro použití v rozhlasových a televizních přijímačích, magnetofonech a jiných přístrojích spotřební elektroniky, jsou označovány typovým znakem složeným ze dvou písmen a tří číslic.

Polovodičové prvky TESLA určené pro jiné použití než v předchozím odstavci, především pak pro průmyslové účely, jsou označovány typovým znakem, složeným ze tří písmen a dvou číslic.

První písmeno znaku udává:

- G germanium
- K křemík

Druhé písmeno znaku udává:

- A diody všeobecně (detekční, směšovací, spínací apod.)
- B diody s proměnnou kapacitou
- C tranzistory pro nízkofrekvenční použití
- D výkonové tranzistory pro nízkofrekvenční použití
- E tunelové diody
- F vysokofrekvenční tranzistory
- G kombinace nestejných prvků
- H Hallovy sondy pro měření magnetického pole
- K Hallovy generátory (otevřený magn. obvod)
- L výkonové tranzistory pro vysokofrekvenční použití
- M Hallovy generátory (uzavřený magn. obvod)
- P fotonky
- R elektricky ovládané regulační a spínací prvky s lavinovou charakteristikou ($R_t > 15^\circ\text{C/W}$)
- S tranzistory pro spínací obvody
- T řízené usměrňovače ($R_t < 15^\circ\text{C/W}$)
- U výkonové tranzistory pro spínací obvody
- X diody pro násobiče (varaktory apod.)
- Y usměrňovače
- Z Zenerovy a referenční diody

Skupina číslic v druhé části znaku 100 až 999 u prvků pro spotřební elektroniku jsou pořadová čísla typu. Podobně slouží jako pořadové číslo typu u prvků pro průmyslovou elektroniku, třetí písmeno znaku a skupina číslic, např. A10 . . . A99 až Z10 . . . Z99.

Příklad použití: KSY34

K křemíkový prvek, S tranzistor pro spínací obvody,
Y34 pořadové číslo prvku pro průmyslovou elektroniku.

Integrované obvody TESLA, určené pro spotřební i průmyslovou elektroniku, jsou označovány šestimístním typovým znakem, složeným ze dvou písmen a čtyř číslic, nebo tří písmen a tří číslic.

U prvků, které mají evropský ekvivalent, se používá upraveného původního znaku — první písmeno se nahradí písmenem M. Např. MLH 123 TESLA je ekvivalent zahraničního obvodu FLH 123.

U ostatních prvků se k označení použije znaku, složeného ze dvou písmen a čtyř číslic.

Písmena znaku udávají:

MA analogové obvody
MH číslicové obvody
MS smíšené obvody

Číselná skupina znaku jsou převzatá nebo vhodně upravená pořadová čísla původního značení ekvivalentního prvku. Např.

MH 5454 TESLA je ekvivalentní provedení obvodu SN 5454N.

Značení polovodičových součástí podle normy NT - K 003

Podle ustanovení této normy se označují polovodičové prvky vlastní konstrukce.

Znak sestává ze tří částí v pořadí skupina číslic, písmen a číslic.

Druh výrobku je dán střední písmenovou skupinou.

První skupina číslic udává postupné číslo typu.

Druhá skupina písmen udává:

NN — krystalové diody hrotové
NP — plošné usměrňovače
NQ — krystalové diody hrotové pro vyšší kmitočty
NT — tranzistory hrotové
NU — tranzistory plošné
NV — tranzistory speciální
PN — fotonky odporové
PP — fotonky hradlové

Třetí částí číselného znaku je skupina číslic. Čísla 40 až 99 udávají materiálový index nebo mechanické uspořádání podle tohoto klíče:

40 až 49 — sklo
50 až 59 — keramická hmota
60 až 69 — umělá hmota
70 až 79 — kov
80 až 99 — zvláštní provedení

Konstrukční provedení tranzistorů a fotonek určuje poslední číslice poslední skupiny podle klíče:

0 — baňka $\varnothing 5 \times 13$ mm, drátové vývody v ose baňky
1 — baňka $\varnothing 20 \times 50$ mm, drátové vývody na jedné straně baňky
2 — perlička na nosných drátech (bez baňky)
3 — plochá knoflíková baňka, vývody radiální
4 — válcové tělísko $\varnothing 6 \times 28$ mm, páskové vývody
5 — zvláštní provedení pro měření teploty

PERSPEKTIVNÍ ŘADY

I. SKUPINA KOMERČNÍ

GERMANIOVÉ A KŘEMÍKOVÉ DIODY

Germaniové diody

hrotové	GA200	A, D	se zlatým hrotem	OA5	B
	GA201	A, D		OA9	B
	GA202	A, D		10PN40	B
	GA203	A, D	fotodiody	GDT1	A
	GA204	A, D	tunelové	GDT2	A
	GA205	A, D		GDT3	A
	2-GA206	A, D		GDT4	A
	GA207	A, D		GDT10	A
	GA301	A			

Křemíkové diody

detekční	KA501	B	KA503	B		
	KA502	B	KA504	B		
usměrňovací	KY701F	A	KY130/80	A	KYZ70	A
	KY702F	A	KY130/150	A	KYZ71	A
	KY703F	A	KY130/300	A	KYZ72	A
	KY704F	A	KY130/600	A	KYZ73	A
	KY705F	A	KY130/900	A	KYZ74	A
	KY706F	A	KY130/1000	A	KYZ75	A
	KY708	A			KYZ76	A
	KY710	A			KYZ77	A
	KY711	A			KYZ78	A
	KY712	A			KYZ79	A
	KY715	A			KYZ81	A
	KY717	A			KYZ82	A
	KY718	A			KYZ83	A
	KY719	A			KYZ84	A
	KY721F	A				
	KY722F	A				
	KY723F	A				
	KY724F	A				
	KY725F	A				
	KY726F	A				
Zenerovy	KZ721	A	1NZ70	A	KZ703	A
	KZ722	A	2NZ70	A	KZ704	A
	KZ723	A	3NZ70	A	KZ705	A
	KZ724	A	4NZ70	A	KZ706	A
	KZZ71	A	5NZ70	A	KZ707	A
	KZZ72	A	6NZ70	A	KZ708	A
	KZZ73	A	7NZ70	A	KZ709	A
	KZZ74	A	8NZ70	A	KZ710	A
	KZZ75	A	KZ751	A	KZ711	A
	KZZ76	A	KZ752	A	KZ712	A
			KZ753	A	KZ713	A
			KZ754	A	KZ714	A
			KZ755	A	KZ715	A

referenční	KZZ81	A
	KZZ82	A
	KZZ83	A

varikapy	KA201	A	KA213	A		
	KA202	A	KB105	A		
	KA204	A				
spínací	KA206	A	KA236	A	KA221	A
	KA207	A	KA200	A	KA222	A
			KA243	A	KA223	A
			KA244	A	KA224	A
					KA225	A
fotodiody	1PP75	A				
	KP101	A				
mikrovlnné	33NQ52	B				
	34NQ52	B	36NQ52	B		
	35NQ52	B	40NQ52	B		
symetrické spínací DIAC	KR205					
	KR206					
	KR207					
řízené usměrňovače	KT501	A	KT701	A	KT710	A
	KT502	A	KT702	A	KT711	A
	KT503	A	KT703	A	KT712	A
	KT504	A	KT704	A	KT713	A
	KT505	A	KT705	A	KT714	A
symetrické řízené usměrňovače TRIAC	KT772		KT782			
	KT773		KT783			
	KT774		KT784			

GERMANIOVÉ TRANZISTORY

Tranzistory

N-P-N malého a středního výkonu

nízkofrekvenční	101NU70	B	vysokofrekvenční	152NU70	B
	102NU70	B		153NU70	B
	103NU70	B		154NU70	B
	104NU70	B		155NU70	B
	105NU70	B		156NU70	B
	106NU70	B			
	107NU70	B			
	101NU71	B			
	102NU71	B			
	103NU71	B			
	104NU71	B			
	GC520	A	nízkofrekvenční výkonové	GD607	B, D
	GC520K	A		GD608	B, D
	GC521	A		GD609	B, D
	GC521K	A			
	GC522	A			
	GC522K	A			

Komplementární dvojice

malého a středního výkonu	101NU71/GC507	B
	GC520/GC510	B, D
	GC521/GC511	B, D
	GC520K/GC510K	B, D

výkonové	GD607/GD617	B, D
	GD608/GD618	B, D
	GD609/GD619	B, D

Tranzistory

P-N-P malého a středního výkonu

nízkofrekvenční

GC500	B, D	GD617	B, D
GC501	B, D	GD618	B, D
GC502	B, D	GD619	B, D
GC507	B, D	OC30	B
GC508	B, D	2NU72	B
GC509	B, D	3NU72	B

nf výkonové

GD617	B, D
GD618	B, D
GD619	B, D
OC30	B
2NU72	B
3NU72	B
4NU72	B
5NU72	B

GC510	B, D	OC26	B
GC510K	B, D	OC27	B
GC511	B, D	2NU73	B
GC511K	B, D	3NU73	B
GC512	B, D	4NU73	B
GC512K	B, D	5NU73	B

GC515	B, D	7NU73	B
GC516	B, D		
GC517	B, D	2NU74	B
GC518	B, D	3NU74	B
GC519	B, D	4NU74	B
		5NU74	B
		6NU74	B
		7NU74	B

vysokofrekvenční

OC169	B	GF505	B
OC170	B	GF506	B
GF501	B	GF507	B
GF502	B		
GF503	B		
GF504	B		

KŘEMÍKOVĚ TRANZISTORY

Tranzistory

N-P-N malého a středního výkonu

nízkofrekvenční

KC147	A	KU601	B
KC148	A	KU602	B
KC149	A		
KC507	A	KU605	A
KC508	A	KU606	A
KC509	A	KU607	A

výkonové spínací

KU601	B
KU602	B
KU605	A
KU606	A
KU607	A
KU611	A
KU612	A

vysokofrekvenční

KF124	A	KD602	A
KF125	A	KD610	A

výkonové nízkofrekvenční

KD602	A
KD610	A

KF167	A	KD605	A
KF173	A	KD606	A
		KD607	A
KF503	A		
KF504	A	KD501	A
KF506	A	KD502	A
KF507	A	KD503	A
KF508	A		

Tranzistory

P-N-P malého a středního výkonu

KF517	A
-------	---

Tranzistory

řízené polem

KF520	A
KF521	A
KF552	A

INTEGROVANĚ OBVODY

Stabilizátory napětí

MAA550	A
--------	---

Lineární obvody pro nf použití

MAA115	A	MBA125	A
MAA125	A	MBA145	A
MAA145	A	MBA225	A
MAA225	A	MBA245	A
MAA245	A		
MAA325	A	MA0403	A
MAA345	A	MA0403A	A
MAA525	A		

Lineární obvody pro vf použití

MAA661	A
--------	---

II. SKUPINA PRŮMYSLOVÁ

GERMANIOVĚ A KŘEMÍKOVĚ DIODY

Germaniové diody

GAZ51	A
4-GAZ51	A

Křemíkové usměrňovací bloky

KY298	A	KYZ81	A	KYZ92	A
KY299	A	KYZ82	A	KYZ93	A
KYZ30	A	KYZ83	A	KYZ94	A
KYZ34	A	KYZ84	A	KYZ95	A
		KYZ87	A		
		KYZ88	A		
		KYZ89	A		

Referenční diody

KZZ81	A	KZZ45	A
KZZ82	A	KZZ46	A
KZZ83	A	KZZ47	A

KŘEMÍKOVĚ TRANZISTORY

Tranzistory N-P-N malého a středního výkonu
pro všeobecné použití

KFY34	A		
KFY46	A		
spínací			
KSY21	B, D		
KSY34	B, D		
KSY62	A		
KSY63	A	spínací výkonové	
KSY71	B, D	KUY12	A
P-N-P malého a středního výkonu			
pro všeobecné použití		spínací	
KFY16	A	KSY81	A
KFY18	A		

INTEGROVANĚ OBVODY

Lineární integrované obvody

Stabilizátory napětí

— Stabilizátory napětí

MAA723 A

Operační zesilovače

MAA501 A

MAA725 A

MAA502 A

MAA503 A

MAA504 A

VF zesilovač, směšovač

MA3005 A

MA3006 A

Diferenciální zesilovač

MA3000 A

Číslicové integrované obvody

Základní obvody TTL

0 ... 75 °C

−25 ... +85 °C

−55 ... +125 °C

MH7400

MH8400

MH5400

MH7403

—

—

MH7410

MH8410

MH5410

MH7420

MH8420

MH5420

MH7430

MH8430

MH5430

MH7440

MH8440

MH5440

MH7450

MH8450

MH5450

MH7453

MH8453

MH5453

MH7460

MH8460

MH5460

MH7472

MH8472

MH5472

MH7474

MH8474

MH5474

Obvody se střední integrací MSI TTL

MH7475

MH8475

MH5475

MH7490

MH8490

MH5490

MH7493

MH8493

MH5493

Vysvětlivky:

- A perspektivní prvek vhodný pro nové konstrukce
- B nedoporučuje se pro nové konstrukce
- D výrobky budou zajišťovány dovozem LDS

Germaniové diody
Germaniové plošné usměrňovače
Křemíkové diody
Křemíkové spínací diody
Varikapy
Křemíkové usměrňovače
Křemíkové řízené usměrňovače
Křemíkové vícevrstvé spínací prvky

VYSVĚTLIVKY POUŽITÝCH ZKRATEK

B	přetížitelnost směšovacích diod
C_D	kapacita diody
C_{KA}	kapacita diody v závěrném směru
C_N	nabíjecí kondenzátor filtru
C_{tot}	celková kapacita
f	kmitočet
F	chladičí plocha
I_{AK}	proud diodou v propustném směru
I_{AKM}	špičkový proud diodou v propustném směru
$I_{AKM imp}$	proudový náraz diodou v propustném směru
I_F	přední proud
I_{FM}	proud diodou v propustném směru, maximální
I_{FRM}	proud diodou špičkový, opakovatelný
I_{FSM}	proud diodou nárazový, neopakovatelný
I_{FG}	proud řídicí elektrody v propustném směru
I_{FD}	zbytkový proud v předním směru
I_{GT}	proud elektrody spínací
I_H	přidržený proud
I_{KA}	proud diodou v závěrném směru
I_O	usměrněný proud
I_R	zbytkový proud v závěrném směru
I_T	proud tyristoru
$I_{T imp}$	proud tyristoru impulsní
I_{TM}	propustný proud špičkový opakovatelný
I_Z	Zenerův proud
K_Z	teplotní součinitel Zenerova napětí
L_o	směšovací ztráta
L_s	sériová indukčnost
P	ztrátový výkon
P_d	ztrátový výkon diody
PVS	poměr stojatých vln
$P_{\dot{s}}$	šumový výkon
P_{tot}	celková přípustná ztráta
Q_s	zotavovací náboj
R_i	vnitřní odpor
R_{AK}	odpor v propustném směru
R_d	dynamický odpor

R_{KA}	odpor v závěrném směru
R_{mf}	mezifrekvenční odpor
R_o	ochranný odpor (sériově s diodou)
R_p	paralelní odpor, který je nutno připojit při sériovém spojení ke každé diodě
R_t	tepelný odpor celkový (přechod — okolí)
R_{tl}	tepelný odpor vnitřní (přechod — pouzdro)
r_{KA}	dynamický odpor Zenerových diod
r_F	sériový odpor v propustném směru
r_s	sériový odpor kapacitních diod
T_a, ϑ_a	teplota okolí
T_j, ϑ_j	teplota přechodu
T_c, ϑ_c	teplota pouzdra diody
T_s, ϑ_s	teplota při skladování
t	šumová teplota
t_{ip}/T	doba impulsu
t_{ip}	klíčovací poměr
t_{rr}	doba zotavení v závěrném směru
$U_{a\ ef}$	střídavé anodové napětí efektivní, je-li použito vyhlazovacího filtru se vstupní kapacitou
$U_{a\ ef(R)}$	střídavé anodové napětí efektivní, je-li použito vyhlazovacího filtru se vstupním odporem
U_{AK}	napětí na diodě v propustném směru
U_B	napájecí napětí
$U_{(BO)}$	spínací napětí v propustném směru
$ U_{B01} - U_{B02} $	symetrie charakteristiky diacu
U_{CC}	kladné napětí ss zdroje
U_D	blokovací napětí triacu
U_{GT}	zapínací napětí tyristoru
U_{KA}	napětí na diodě v závěrném směru
U_{KAM}	špičkové napětí na diodě v závěrném směru
$U_{KAM\ imp}$	impulsní napětí na diodě v nepropustném směru
U_O	usměrněné napětí
U_R	napětí v závěrném směru
$U_{R(BR)}$	průrazné napětí v závěrném směru
U_{RRM}	závěrné napětí špičkové, opakovatelné
U_{RSM}	závěrné napětí nárazové neopakovatelné
$U_{\dot{s}}$	šumové napětí
U_T	úbytek napětí na tyristoru
$U_{vf\ ef}$	vysokofrekvenční napětí, efektivní hodnota
U_Z	Zenerovo napětí
η	účinnost
τ_{av}	integrační doba

Germaniové hrotové diody

Nevyrábí se! Náhrada GA200 – GA207

T y p	Použití	Charakteristické hodnoty				Mezní hodnoty						Barevné označení proužek
		I_{AK} při U_{AK}		I_{KA} při U_{KA}		I_{AK}	$I_{AK \max}$ 10 minut	$I_{AKM}^{2)}$	$I_{AKM \text{ imp}}^{3)}$	U_{KA}	U_{KAM}	
		mA	V	μA	V	mA	mA	mA	mA	V	V	
1NN41	vf											
1NN40	usměrňovač	15 > 5	1	21 < 100	10	15	50	150	500	20	25	bílý
2NN41												
2NN40	všeobecné	7 > 2,5	1	510 < 1600	50	15	50	150	500	50	55	žlutý
3NN41				25 < 50	10							
3NN40	všeobecné	12 > 5	1	250 < 800	50	15	50	150	500	60	75	modrý
4NN41												
4NN40	všeobecné	15 > 4	1	330 < 833	50	12	40	150	500	85	90	zelený
5NN41	výběrový			4 < 6	3							
5NN40	typ	8 > 3	1	220 < 625	100	10	30	100	500	100	120	černý
6NN41												
6NN40	detektor	14 > 1,5	1	¹⁾						20	25	červený
7NN41	obrazový detektor	> 5	1	< 100	10	15	50	150	500	10	15	fialový

Vlastní kapacita: cca 1 pF

Nejvyšší pracovní kmitočet 100 MHz

Platí při teplotě okolí 20 °C

¹⁾ Při $U_{KA} = 1 \text{ V}$ je $I_{KA} < 0,1 I_{AK}$ naměřeného při +1 V.

²⁾ Max 50 špiček za 24 hod.

³⁾ Max 100 nárazů za dobu života nebo 10 ve dvouvteřinových intervalech.

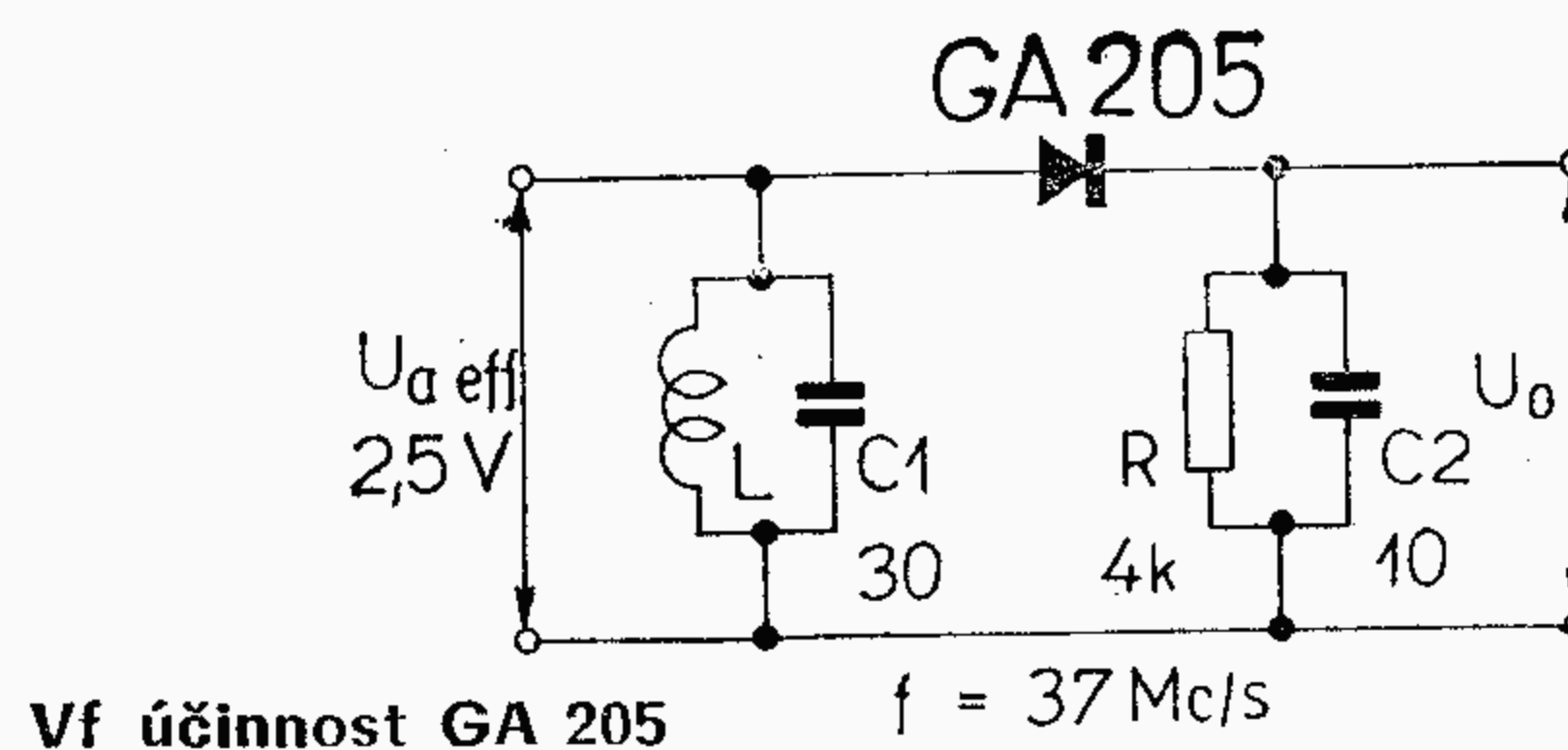
T y p	Charakteristické údaje				Mezní hodnoty							Barevné označení proužek
	I_{AK} při U_{AK}		U_{KA} při I_{KA}		T_a °C	U_{KA} V	$U_{KAM}^{1)}$ V	$U_{KAM}^{imp\ 2)}$ V	I_O mA	$I_{AKM}^{1)}$ mA	$I_{AKM}^{imp\ 2)}$ mA	
	mA	V	V	μA								
GA 200	>2,5	1	50	<1600	25	50	55		15	150	500	hnědý
GA 201	5	<1	> 15	200	25—60	15	25	30	15	25	500	bílý
GA 202	5	<1	> 10	100	25—60	30	40	50	15	25	500	žlutý
			> 30	200								
GA 203	5	<1	> 5	25	25	60	75	85	20	75	500	modrý
			> 50	200	60	45	60	75	20	75	500	
GA 204	5	<1	> 10	25	25	120	140	150	20	75	500	zelený
			> 100	200	60	100	110	120	15	75	500	
GA 205	5	<1	> 10	100	25—60	15	25	30	15	25	500	červený
			> 15	200								
2-GA 206	5	1	> 10	25	25—60	30	40	—	2,5	10	50	fialový
			> 30	200								
GA 207	>1,5	1	1	<0,1· I_{AK}	25	20	25					khaki

P_{max} ($T_{a\ max}$ 45 °C) 100 mW
 $T_{j\ max}$ 100 °C
 $T_{a\ max}$ -60 ÷ +85 °C
 $T_{s\ max}$ -60 ÷ +85 °C

1) $f > 25$ Hz,

2) Max 1 s, interval mezi pulsy
min. 2 minuty.

Platí při teplotě okolí 25 °C.



$$\eta = \frac{U_o}{U_{a\ eff} \cdot \sqrt{2}} \cdot 100 \geq 50 \%$$

2-GA206:

ΔI_{AK} 0,5 < 1 mA
 U_{AK} 1 V

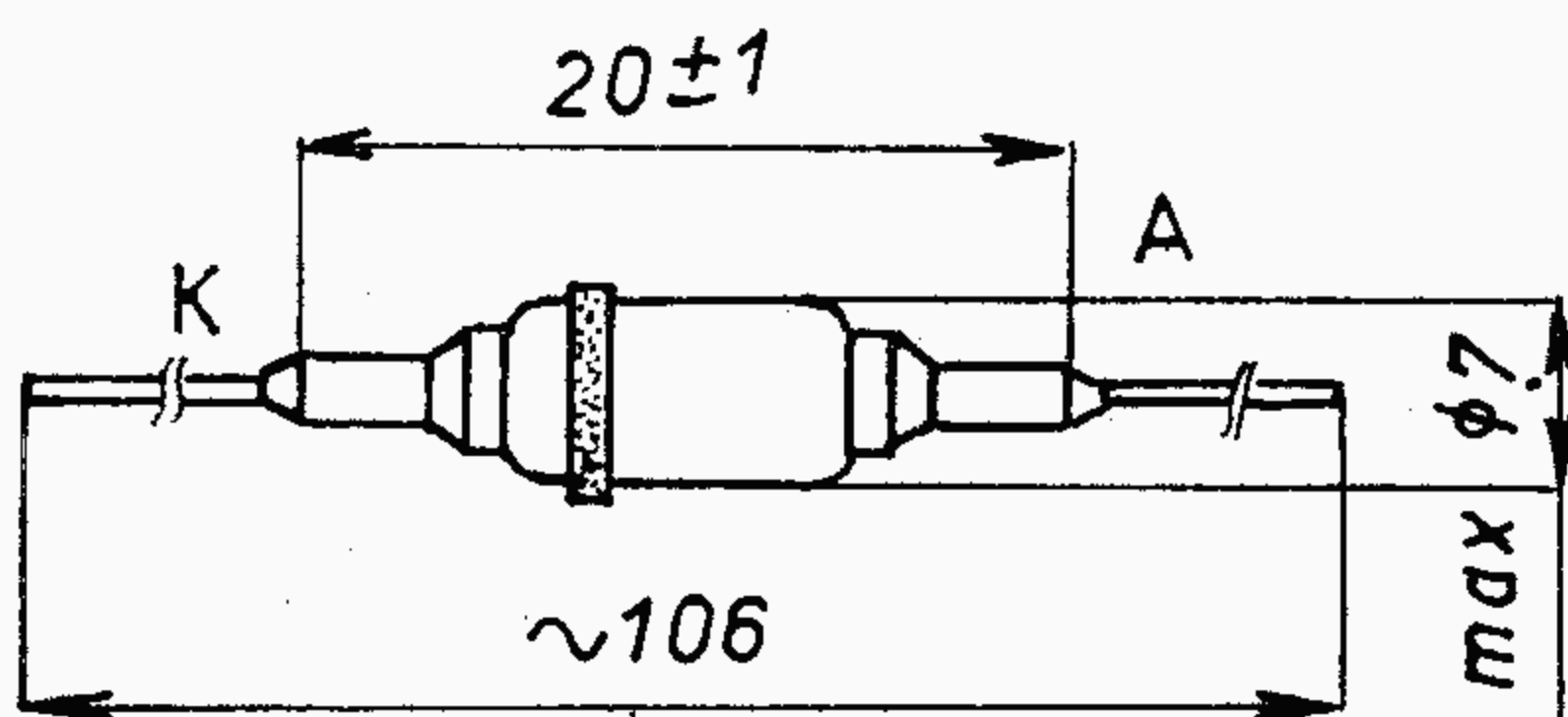
Germaniové hrotové diody jsou použitelné v teplotním rozsahu -40 až $+70$ °C, při čemž pro jiné teploty než 20 °C nejsou hodnoty v tabulce směrné. Se stoupající teplotou se zvyšují proudy v propustném i nepropustném směru za současného poklesu max pracovního závěrného napětí. Citlivost na teplotu stoupá s velikostí závěrného napětí. Přívody diod lze v nutném případě zkrátit na nejmenší délku 15 mm, avšak jen tehdy, dodrží-li se předpis pro pájení. Dovolená doba zahřívání konců přívodů při pájení pájkou Sn40Pb a pájedlem s hrotem teplým 250 °C:

nezkrácených přívodů

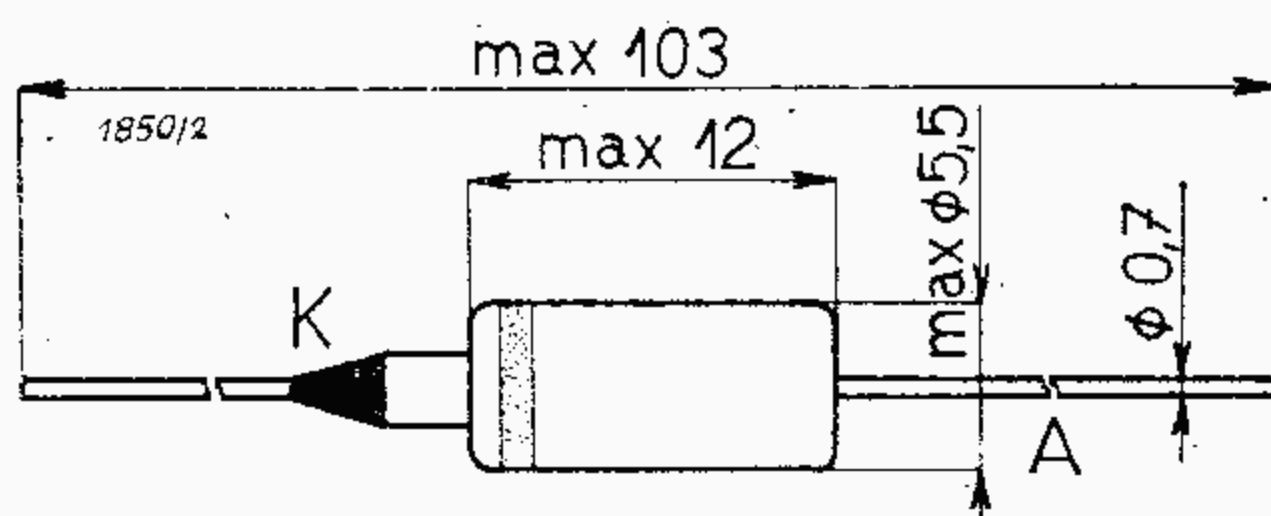
max 6 vteřin

zkrácených přívodů

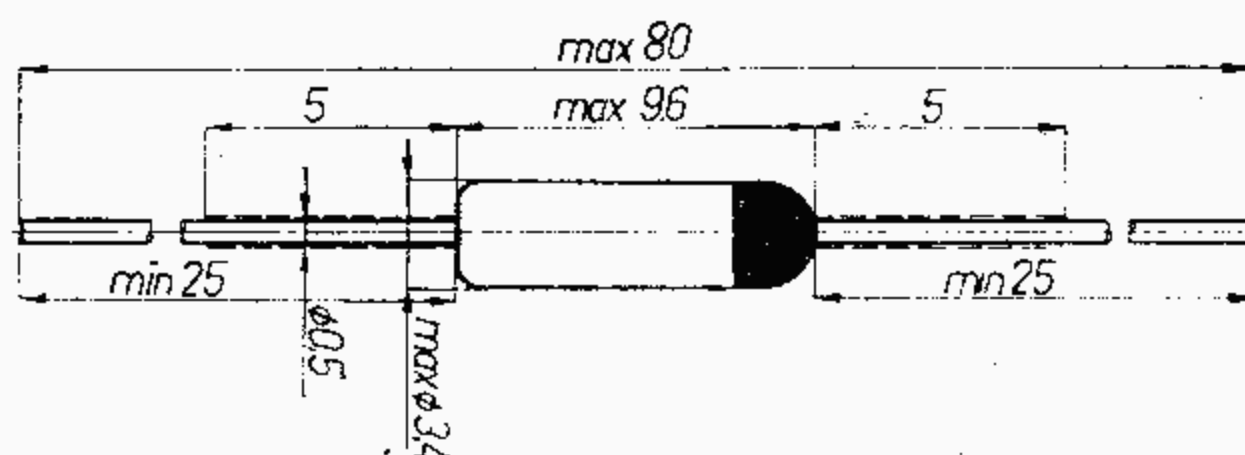
max 2 vteřiny



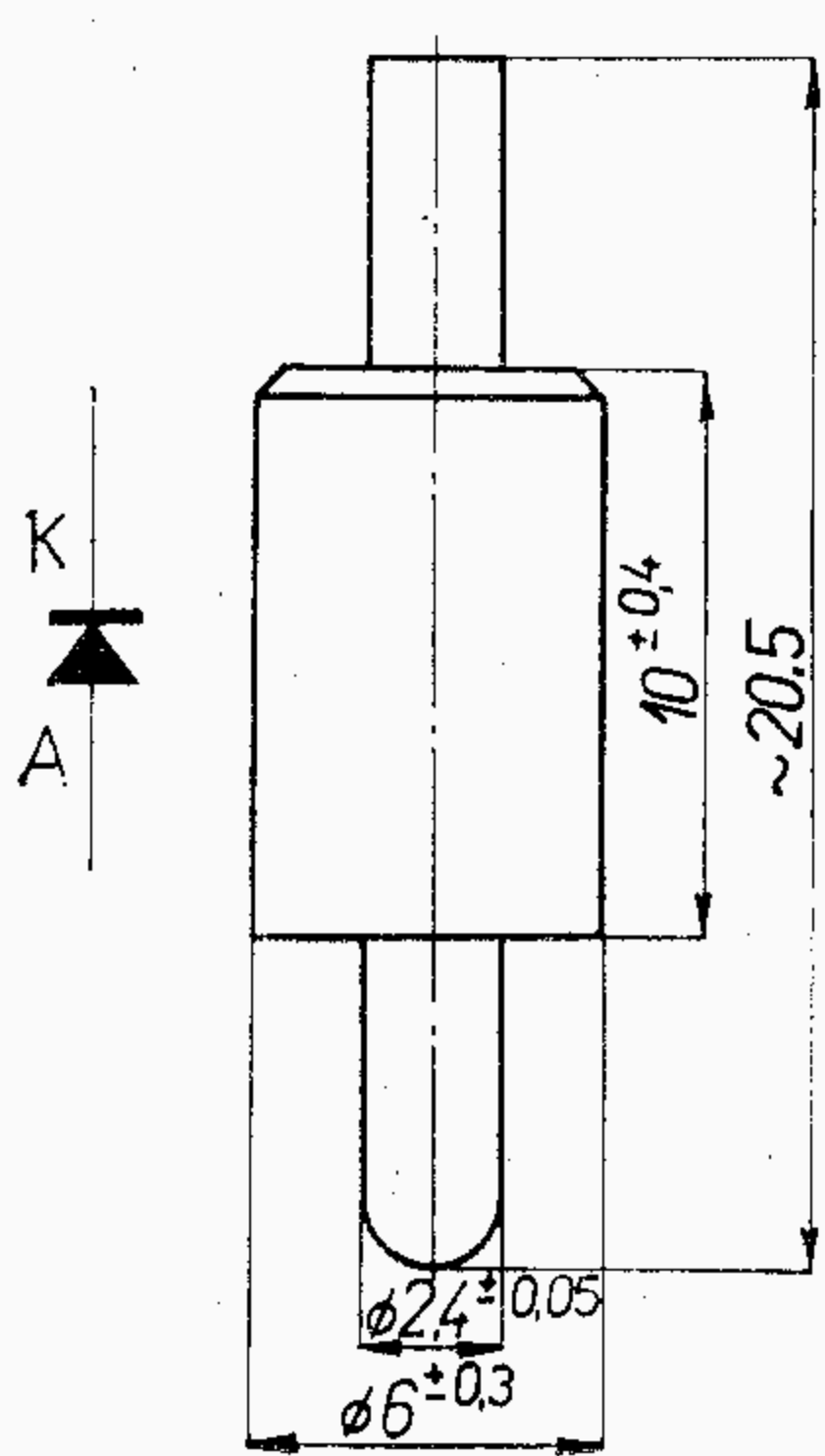
Rozměry diod řady 40


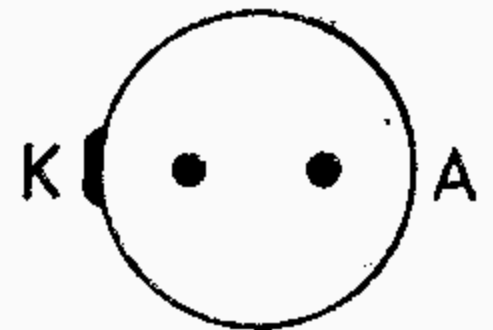


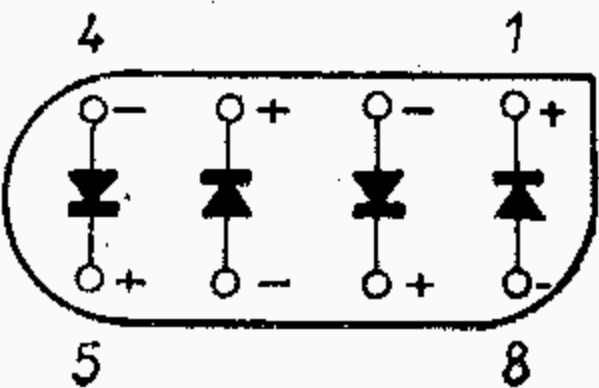
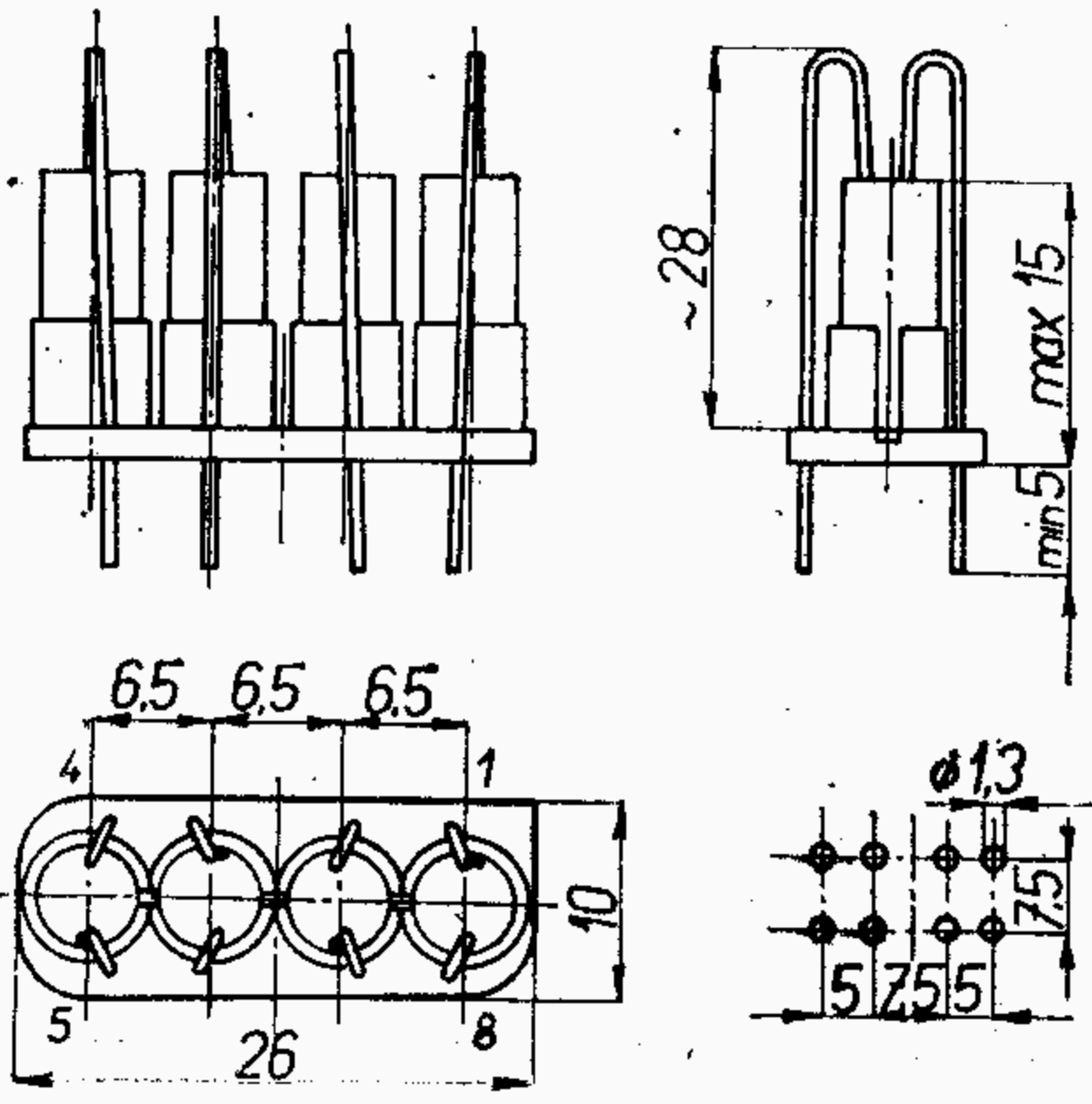
Rozměry diod řady 41





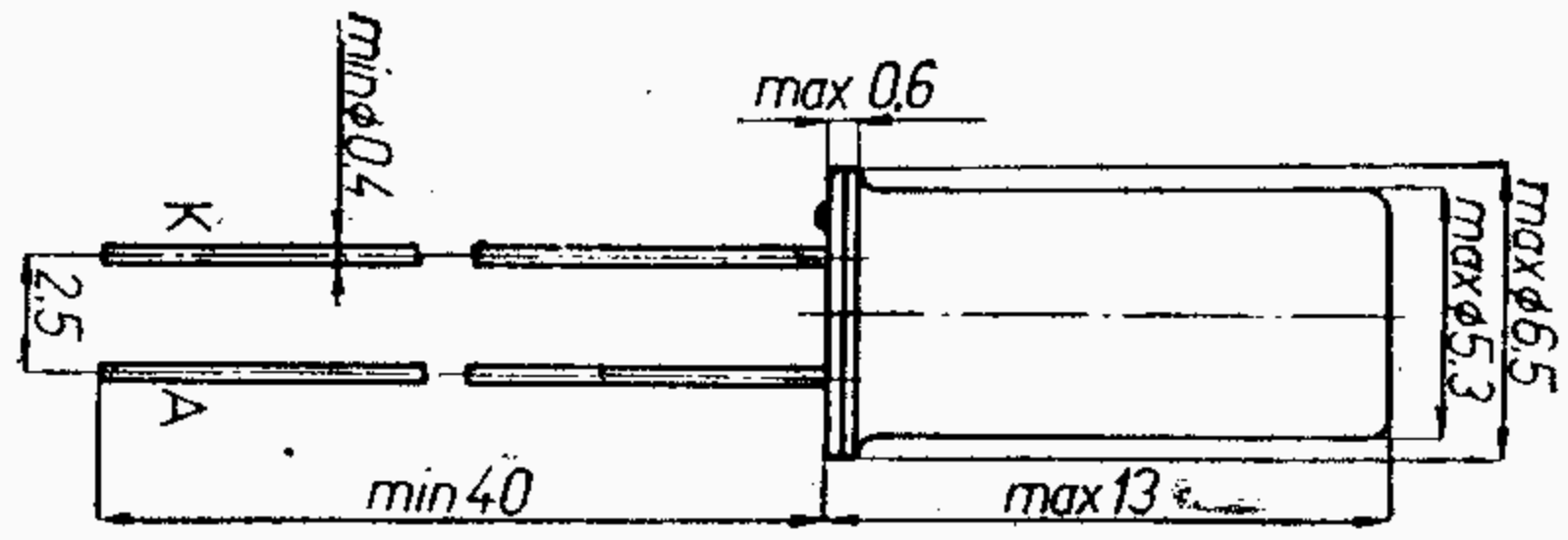
Rozměry diod řady GA 200

Typ Použití	Statické hodnoty Rozměry				Mezní hodnoty	
GA301 	<div><div><div>$I_{AK}$$\leq 2$mA</div><div>$I_{KA}$$\leq 5$μA</div><div>$R_1$$\leq 50$kΩ</div><div>$R_{200}$$\leq 4$kΩ</div><div>$C_{AK}$$\leq 1$pF</div><div>$\eta$$\leq 55$%</div></div><div>Měřeno při:</div><div><div>$U_{AK}$$= 1$V</div><div>$U_{KA}$$= 1$V</div><div>$f$$= 1$MHz ¹⁾</div><div>$f$$= 200$MHz ¹⁾</div><div>$f$$= 1$MHz ¹⁾</div><div>$f$$= 1000$MHz ²⁾</div></div></div>				<div><div>$U_{KA}$$40$ V</div><div>U_{KAM} ³⁾60 V</div><div>$I_{AKM}$$10$ mA</div><div>$I_{AKM imp}$ ⁴⁾25 mA</div><div>$T_a$$-20 \dots +60$ °C</div></div>	
<div><div><div><div><div>¹⁾ Měřeno vf mostem při diodovém napětí $U_{vf} = 100$ mV.</div><div>²⁾ Měřeno v přechodové sondě $70 \text{ } \Omega$ a při vf napětí $U_{vf} = 2,7$ V.</div><div>³⁾ Max 50 impulsů za dobu života. Doba trvání impulsu max 0,5 vteřiny. Interval mezi impulsy minimálně 2 minuty.</div><div>⁴⁾ Doba trvání impulsu max 1 vteřina. Interval mezi impulsy minimálně 2 minuty.</div></div></div><div>Hrotová germaniová dioda pro vf detekční obvody až do 2000 MHz</div></div></div>						

Typ Použití	Statické hodnoty				Mezní hodnoty				
<div>GAZ51</div> <div></div> <div></div> <div>Germaniová dioda se zlatým hrotem pro spínací účely</div>	T_a	min.	nom.	max.	$^\circ\text{C}$	T_a	25	75	$^\circ\text{C}$
	$U_{AK} (I_{AK} = 0,1 \text{ mA})$	0,12	0,21	0,24	V	U_{KA}	25	25	V
	$U_{AK} (I_{AK} = 1 \text{ mA})$		0,28		V	$U_{KAM}^{1)}$	25	25	V
	$U_{AK} (I_{AK} = 10 \text{ mA})$	0,32	0,4	0,5	V	$U_{KAM imp}^{2)}$	30	30	V
	$U_{AK} (I_{AK} = 30 \text{ mA})$	0,38	0,52	0,62	V	I_{AK}	140	50	mA
	$I_{KA} (U_{KA} = 1,5 \text{ V})$		0,3	1	μA	$I_{AKM}^{1)}$	250	250	mA
	$I_{KA} (U_{KA} = 10 \text{ V})$		0,8	3	μA	$I_{AKM imp}^{3)}$	400	400	mA
	$I_{KA} (U_{KA} = 25 \text{ V})$		2	7,5	μA	$I_O^{1)}$	80	40	mA
	T_a		60		$^\circ\text{C}$	T_a	-60 ... +75		$^\circ\text{C}$
	$U_{AK} (I_{AK} = 0,1 \text{ mA})$	0,06	0,14	0,22	V	T_s	-60 ... +75		$^\circ\text{C}$
	$U_{AK} (I_{AK} = 1 \text{ mA})$	0,12	0,22	0,3	V	1) Sinusový průběh, $f \geq 20 \text{ Hz}$.			
	$U_{AK} (I_{AK} = 10 \text{ mA})$	0,24	0,36	0,48	V	2) $t < 10 \text{ ms}$			
	$U_{AK} (I_{AK} = 30 \text{ mA})$	0,32	0,46	0,6	V	3) $t < 1 \text{ s}$			
	$I_{KA} (U_{KA} = 1,5 \text{ V})$		2,5	10	μA				
	$I_{KA} (U_{KA} = 10 \text{ V})$		5	20	μA				
$I_{KA} (U_{KA} = 25 \text{ V})$		8	50	μA					
Rozměry shodné s OA7.									

Typ Použití	Statické hodnoty Rozměry	Mezní hodnoty
4-GAZ51  Čtveřice diod se zlatým hrotem GAZ51	<p>Každá dioda ve čtveřici odpovídá charakteristickým a mezním údajům diod GAZ51.</p> <p>Navíc je čtveřice diod měřena v zařízení pro sestavu čtveřic 12YZO55. Zbytek nosného kmitočtu smí být maximálně $-6,5$ dB v rozsahu teplot $+10$ až $+45$ °C, při nosném kmitočtu 120 kHz s úrovní $-0,5$ až $-0,9$ Np.</p> 	

Typ Použití	Statické hodnoty				Mezní hodnoty				
OA5  	T_a	25		60	°C	T_a	+25	+75	°C
	U_{AK} ($I_{AK} = 0,1$ mA)	0,15	< 0,25	< 0,2	V	U_{KA}	100	50	V
	U_{AK} ($I_{AK} = 10$ mA)	0,4	< 0,55	< 0,5	V	$U_{KAM}^{1)}$	100	50	V
	U_{AK} ($I_{AK} = 200$ mA)	0,8	< 1	< 1	V	$U_{KAM imp}^{2)}$	100	50	V
	U_{AK} ($I_{AK} = 300$ mA)	0,9	< 1,25	< 1,25	V	I_{AK} ($U_{KA} = 0$ V)	130	45	mA
	I_{KA} ($U_{KA} = 1,5$ V)	0,8	< 5	< 26	μA	I_{AK} ($U_{KA} = 100$ V)	115	35	mA
	I_{KA} ($U_{KA} = 10$ V)	1,1	< 6	< 30	μA	$I_{AKM}^{1)}$	350	350	mA
	I_{KA} ($U_{KA} = 50$ V)	2,5	< 9	< 60	μA	$I_{AKM imp}^{3)}$	1000	—	mA
	I_{KA} ($U_{KA} = 100$ V)	8	< 30	< 120	μA	$I_{AKM imp}^{2)}$	500	—	mA
						$I_{AKM imp}^{4)}$	600	—	mA
					τ_{av}	50	—	ms	
					T_a	-60 ÷ +75		°C	
					T_s	-55 ÷ +75		°C	





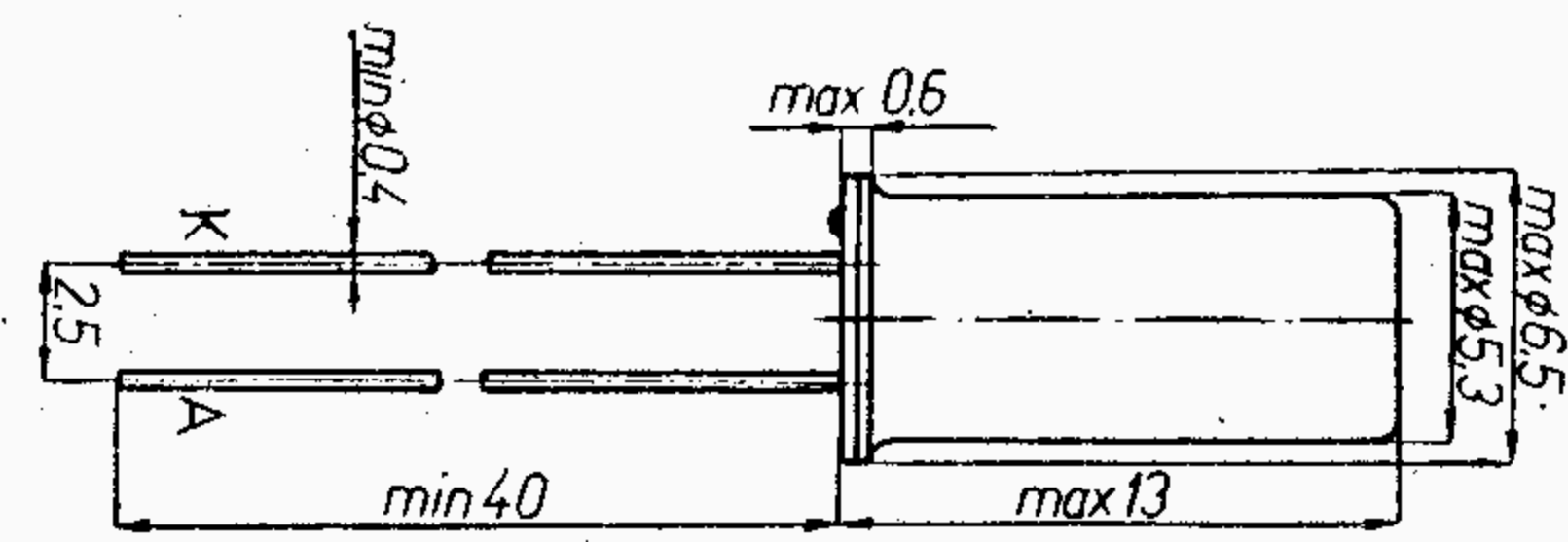
¹⁾ $f < 20$ Hz
 $f_{imp} \leq 20$ Hz,
 $T/t < 0,5$



²⁾ $t_{imp} \leq 1$ s

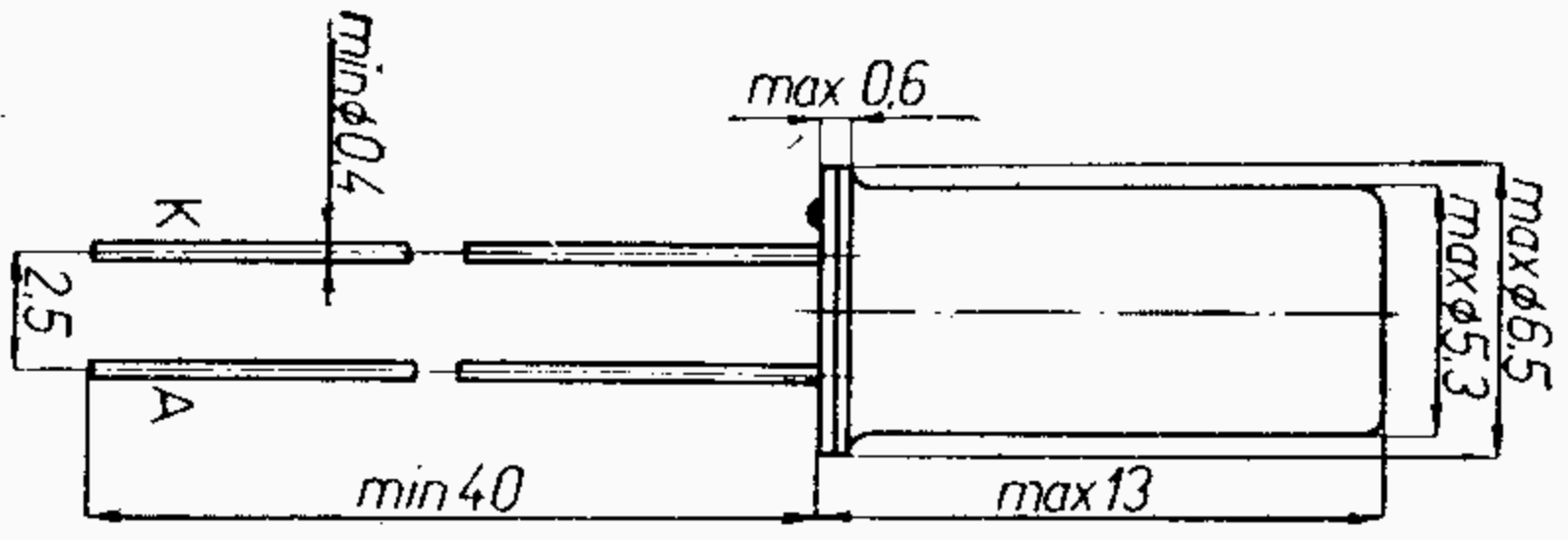
³⁾ $t_{imp} \leq 1$ μs,
 $T/t \leq 0,01$

⁴⁾ $t_{imp} \leq 0,3$ μs

Germaniová dioda
s přivařeným zlatým
hrotem pro spínací
účely

Typ Použití	Statické hodnoty						Mezní hodnoty		
OA7  	T_a	25		60		°C	U_{KA}	15	V
	U_{AK} ($I_{AK} = 0,1$ mA)	0,21	< 0,24	< 0,18		V	$U_{KAM}^{1)}$	25	V
	U_{AK} ($I_{AK} = 10$ mA)	0,43	< 0,52	< 0,5		V	$U_{KAM imp}^{2)}$	30	V
	U_{AK} ($I_{AK} = 30$ mA)	0,54	< 0,67	< 0,65		V	$I_{AK}^{3)}$	50	mA
	I_{KA} ($U_{KA} = 1,5$ V)	0,12	< 1	< 10		μA	$I_{AKM}^{1)}$	50	mA
	I_{KA} ($U_{KA} = 10$ V)	0,23	< 3	< 18		μA	$I_{AKM imp}^{2)}$	400	mA
	I_{KA} ($U_{KA} = 25$ V)	0,72	< 7,5	< 45		μA	T_a	-60 ÷ +75	°C
							T_s	-60 ÷ +75	°C
							K	0,4	°C/mW
		I_{KA} po 3,5 μs	< 25 μA	$\left. \begin{array}{l} U_{KA} = 5 \text{ V} \\ I_{AK} = 5 \text{ mA} \end{array} \right\}$			1) Špičková hodnota		
I_{KA} po 0,5 μs	< 250 μA	2) Max 1 vteřinu jako ojedinelý impuls							
						3) $U_{KAM} = 25 \text{ V}$, 1 půlvlna max 50 ms			
Germaniová dioda s přivařeným zlatým hrotem pro spínací účely							Nevyrábí se! Doporučená náhrada GAZ51.		

Typ Použití	Statické hodnoty					Mezní hodnoty			
<div>OA9</div> <div></div> <div></div> <div>Germaniová dioda s přivařeným zlatým hrotem pro spínací účely</div>	T_a	25		60		$+75$		$^{\circ}\text{C}$	
	U_{AK} ($I_{AK} = 0,1 \text{ mA}$)	0,16	$< 0,2$	$< 0,16$		25		V	
	U_{AK} ($I_{AK} = 10 \text{ mA}$)	0,32	$< 0,42$	$< 0,36$		25		V	
	I_{KA} ($U_{KA} = 1,5 \text{ V}$)	0,9	$< 2,5$	< 18		40		V	
	I_{KA} ($U_{KA} = 10 \text{ V}$)	1,5	< 7	< 26		$I_{AKM}^{1)}$ ($U_{KAM} = 25 \text{ V}$)			
	I_{KA} ($U_{KA} = 25 \text{ V}$)	3,3	< 14	< 50		500		mA	
						I_{AK}		100	mA
						$I_O^{3)}$		50	mA
						$I_O^{4)}$		35	mA
						$I_{AKM}^{imp\ 2)}$		800	mA
					$I_{KA}^{5)}$		150	μA	
					τ_{av}		50	ms	
					K ($T_a = 25^{\circ}\text{C}$)		0,4	$^{\circ}\text{C}/\text{mW}$	
					T_a		$-60 \dots +75$	$^{\circ}\text{C}$	
					T_s		$-60 \dots +75$	$^{\circ}\text{C}$	
					1) $f > 20 \text{ Hz}$, $f_{imp} > 20 \text{ Hz}$ $T/t < 0,5$				
					2) $t_{imp} < 1 \text{ s}$				
					3) Při sinusovém napájecím napětí a R zátěži				
					4) Při sinusovém napájecím napětí a C zátěži				
					5) Za $3,5 \mu\text{s}$ po přepnutí z $I_{AK} = 400 \text{ mA}$ na $U_{KA} = 10 \text{ V}$, $T_a = 25^{\circ}\text{C}$				



Germaniové plošné usměrňovače 0,3 a 0,5 A

T y p	Charakteristické hodnoty			Mezní hodnoty						R_p k Ω
	I_{AK} $U_{AK}=0,5\text{ V}$ min mA	I_{KA} max mA	při U_{KA} V	$U_{a\text{ ef}}$ ³⁾ V	U_{KA} V	I_{AK} mA	I_{AKM} ¹⁾ A	$I_{AKM}^{2)}$ <i>imp</i> A	P_d W	
1NP70	300	3	30	12	36	300	5	15	0,3	1,5
2NP70	300	2	50	20	60	300	5	15	0,3	4,7
3NP70	300	1,5	100	38	110	300	5	15	0,3	10
4NP70	300	1	200	70	210	300	5	15	0,3	18
5NP70	300	1,3	150	55	160	300	5	15	0,3	15
6NP70	300	0,7	250	90	260	300	5	15	0,3	22
11NP70	500	3	30	12	36	500	7	25	0,3	1,5
12NP70	500	2	50	20	60	500	7	25	0,3	4,7
13NP70	500	1,5	100	38	110	500	7	25	0,3	10
14NP70	500	1	200	70	210	500	7	25	0,3	18
15NP70	500	1,3	150	55	160	500	7	25	0,3	15
16NP70	500	0,7	250	90	260	500	7	25	0,3	22

Pracovní kmitočet 0 – 50 kHz
 Pracovní teplota usměrňovače $-40 \div +50\text{ }^\circ\text{C}$
 Teplota při skladování $-40 \div +75\text{ }^\circ\text{C}$
 Relativní vlhkost při skladování $<75\text{ }\%$

Hodnoty platí při $T_a\text{ }25\text{ }^\circ\text{C}$
¹⁾ Po dobu max 10 ms
²⁾ Max 200 nárazů za 24 hod.
³⁾ Pro filtr se vstupní kapacitou

Nevyrábí se! V nových přístrojích používejte křemíkové usměrňovače!
Doporučená náhrada: Řada KY701 za 1NP70 – 6NP70. Řada KY721 za 11NP70 – 16NP70

Germaniové výkonové usměrňovače 3, 5 a 10 A

T y p	Charakteristické hodnoty			Mezní hodnoty						R_p min k Ω
	I_{AK} $U_{AK}=0,5\text{ V}$ min A	I_{KA} max mA	při U_{KA} V	$U_{a\text{ ef}}$ ¹⁾ V	U_{KA} V	I_{AK} A	I_{AKM} <i>imp</i> ²⁾ A	P_{di} W	F min cm ²	
20NP70	3	30	18	6	18	3	50	2,7	150	0,4
21NP70	3	20	30	10	30	3	50	2,7	150	0,7
22NP70	3	15	50	16	50	3	50	2,7	150	1,7
23NP70	3	10	100	30	100	3	50	2,7	150	4
24NP70	3	8	150	45	150	3	50	2,7	150	6,4
25NP70	3	6	200	60	200	3	50	2,7	150	12,5
30NP70	5	25	18	6	18	5	70	4,5	220	0,4
31NP70	5	18	30	10	30	5	70	4,5	220	0,7
32NP70	5	13	50	16	50	5	70	4,5	220	1,7
33NP70	5	9	100	30	100	5	70	4,5	220	4
34NP70	5	7	150	45	150	5	70	4,5	220	6,4
35NP70	5	5	200	60	200	5	70	4,5	220	12,5
40NP70	10	20	18	6	18	10	100	7,5	440	0,4
41NP70	10	15	30	10	30	10	100	7,5	440	0,7
42NP70	10	11	50	16	50	10	100	7,5	440	1,7
43NP70	10	8	100	30	100	10	100	7,5	440	4
44NP70	10	6	150	45	150	10	100	7,5	440	6,4
45NP70	10	4	200	60	200	10	100	7,5	440	12,5

Nevyrábí se! V nových přístrojích používejte křemíkové usměrňovače!
Doporučená náhrada: KY708 – KY712.

Germaniové výkonové usměrňovače 20 A

Typ	Charakteristické hodnoty			Mezní hodnoty						
	I_{AK} $U_{AK}=0,6\text{ V}$ min A	I_{KA} při U_{KA} max mA	V	$U_{a\text{ ef}}$ ¹⁾ V	U_{KA} V	I_{AK} A	I_{AKM} imp ³⁾ A	P_{di} W	F ⁴⁾ min cm ²	R_p min k Ω
81NP71	20	15	40	12	42	20	100	12	350	0,33
82NP71	20	12	80	24	84	20	100	12	350	0,56
83NP71	20	8	150	40	157	20	100	12	350	1,2

Měřeno na usměrňovačích s předepsanou chladičí plochou a při teplotě okolí

+20 °C u usměrňovačů 3, 5 a 10 A,

+25 °C u usměrňovačů 20 A.

Pracovní teplota okolí -40 až +50 °C

P o z n á m k y :

¹⁾ Pro filtr se vstupní kapacitou.

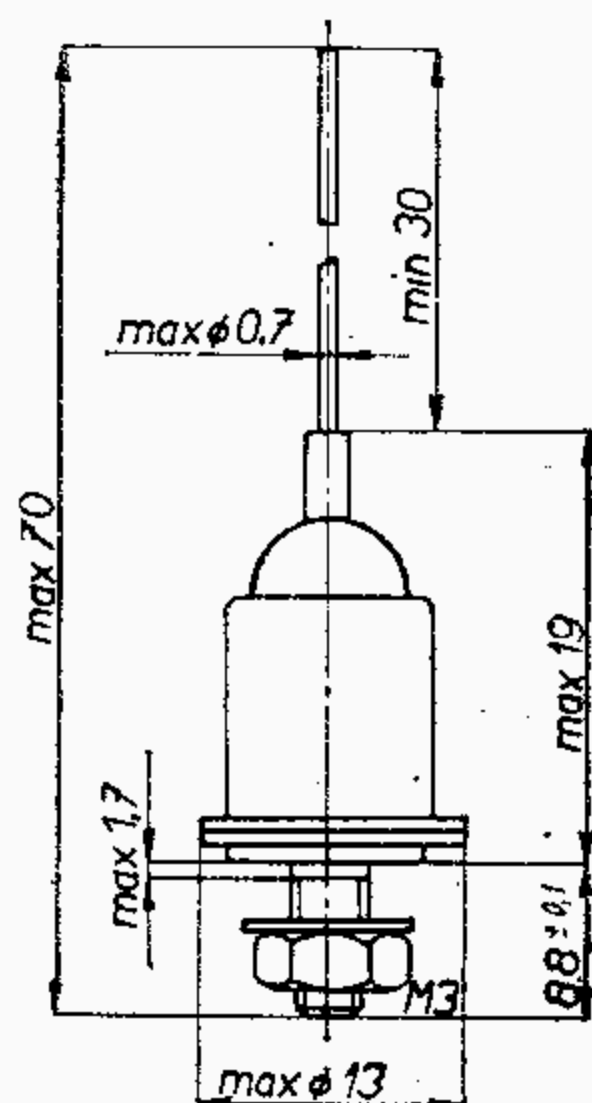
²⁾ Max 10 ms; interval mezi dvěma proudovými nárazy větší než 5 minut. •

³⁾ Max 10 ms; max 50 nárazů za 24 hodiny.

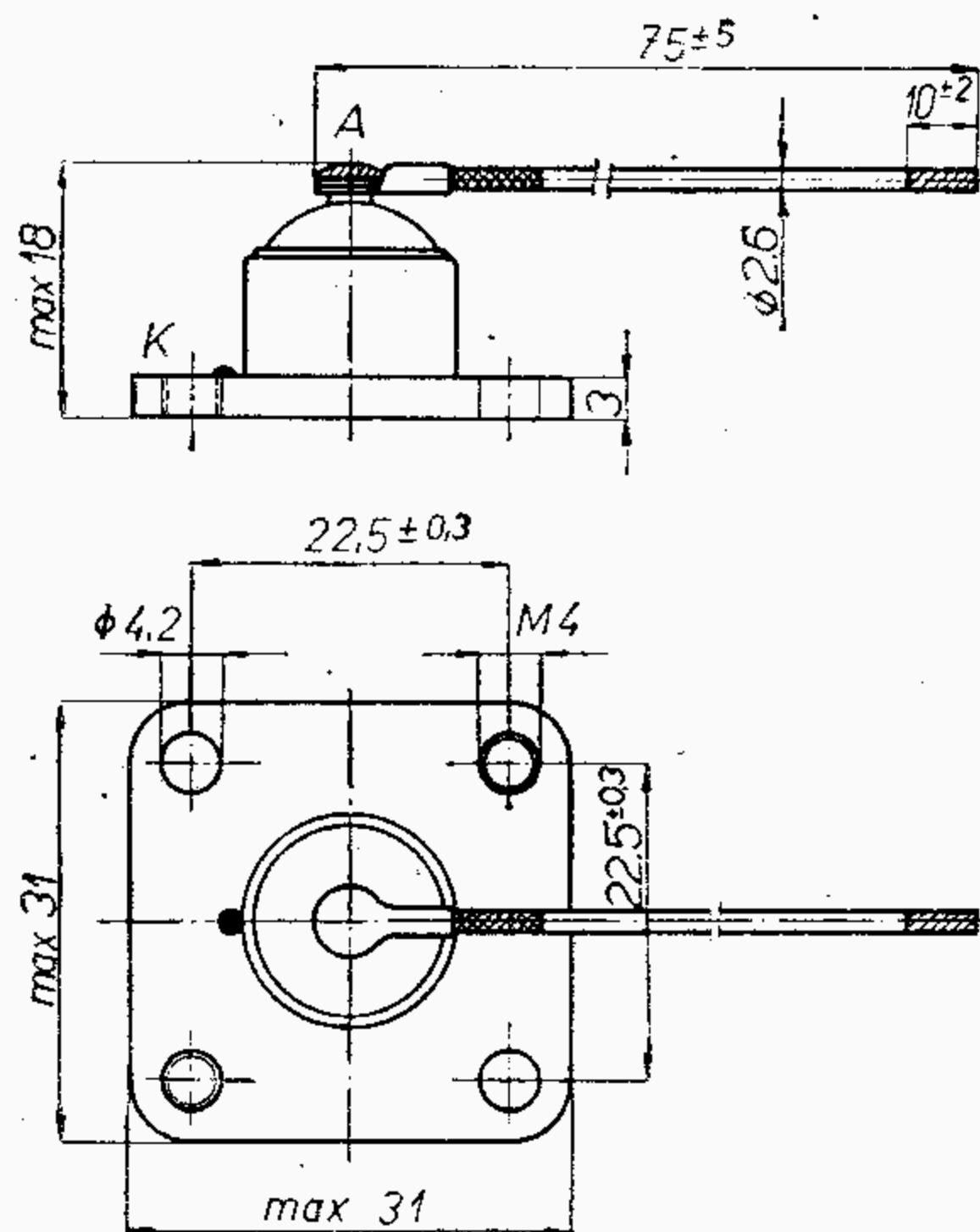
⁴⁾ Rozměry chladičí plochy platí tehdy, je-li ofukována proudem vzduchu s rychlostí 10 m/s a teplota chladičího vzduchu nepřesahuje 25 °C.

Nevyrábí se! V nových přístrojích používejte křemíkové usměrňovače!

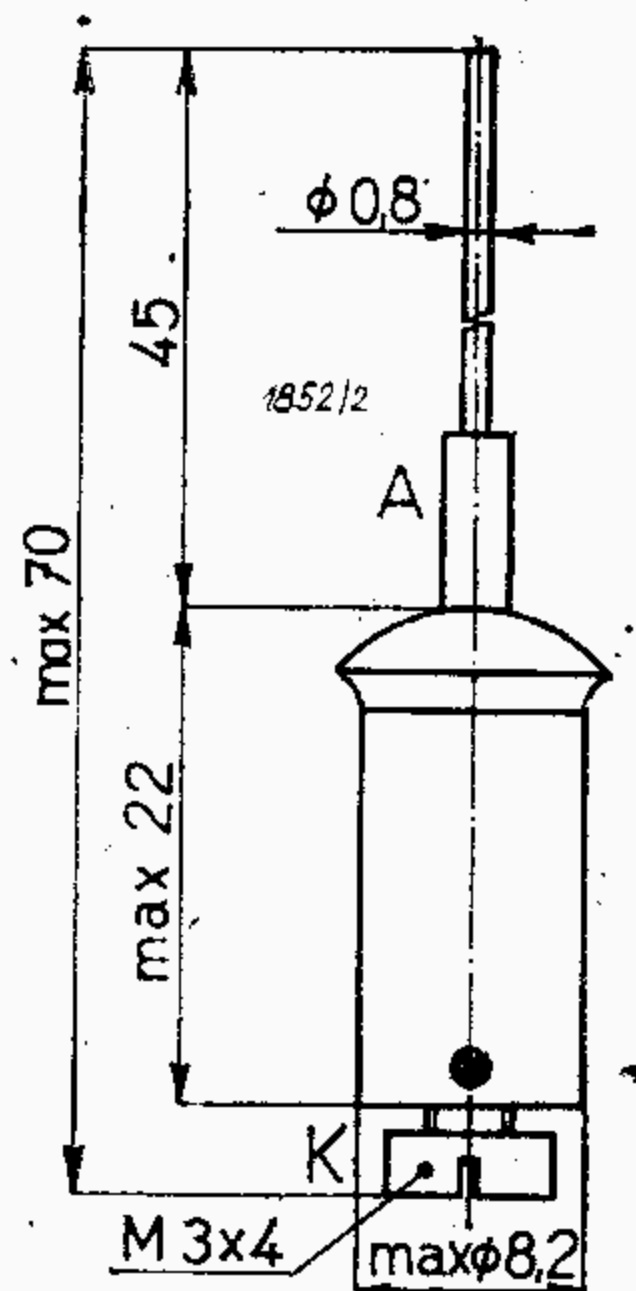
Doporučená náhrada: KY708 - KY710 za 20NP70-25NP70, 30NP70-35NP70, 40NP70-45NP70
KY715 - KY717 za 81NP71-83NP71.



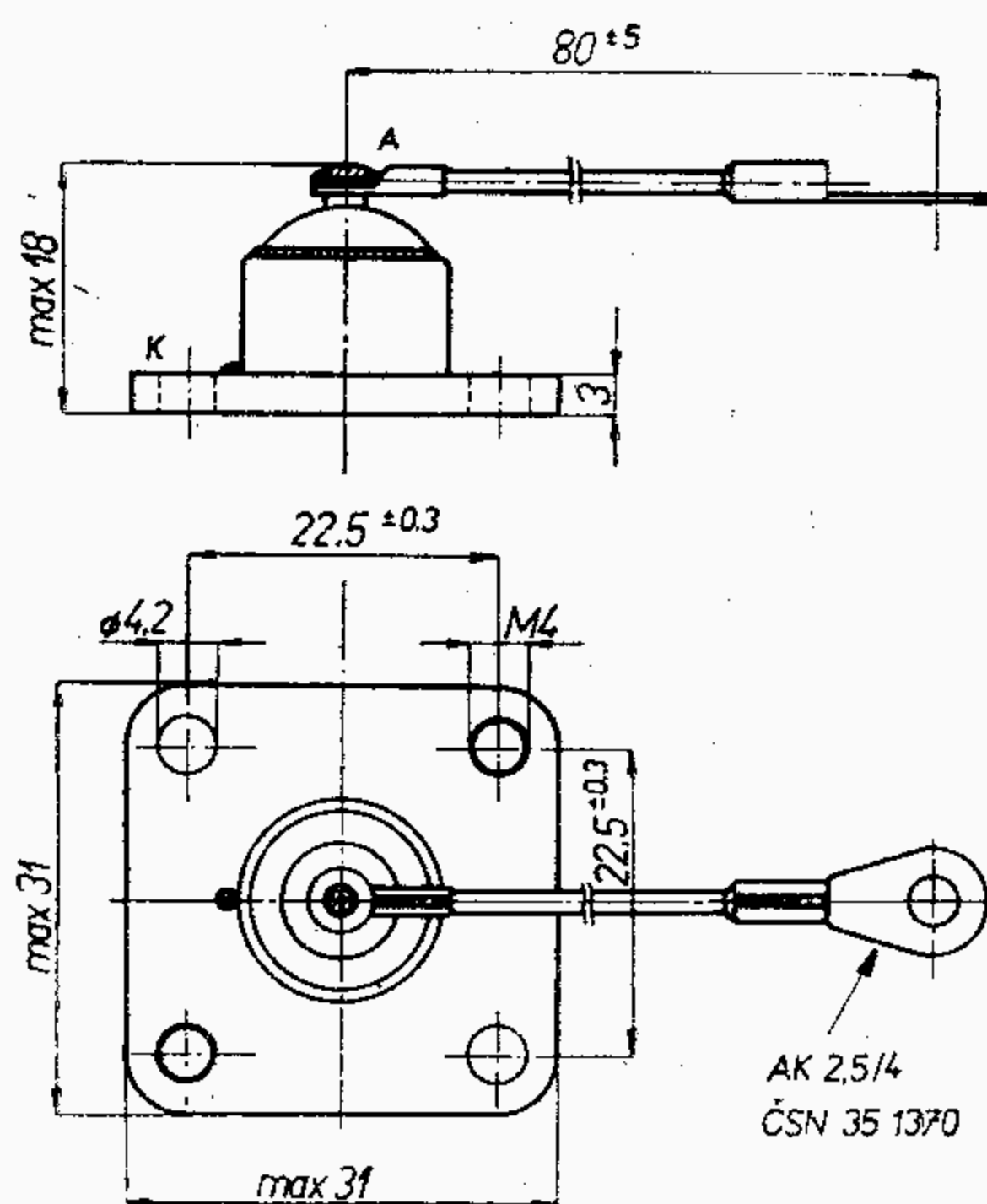
1NP70 — 16NP70
nové provedení



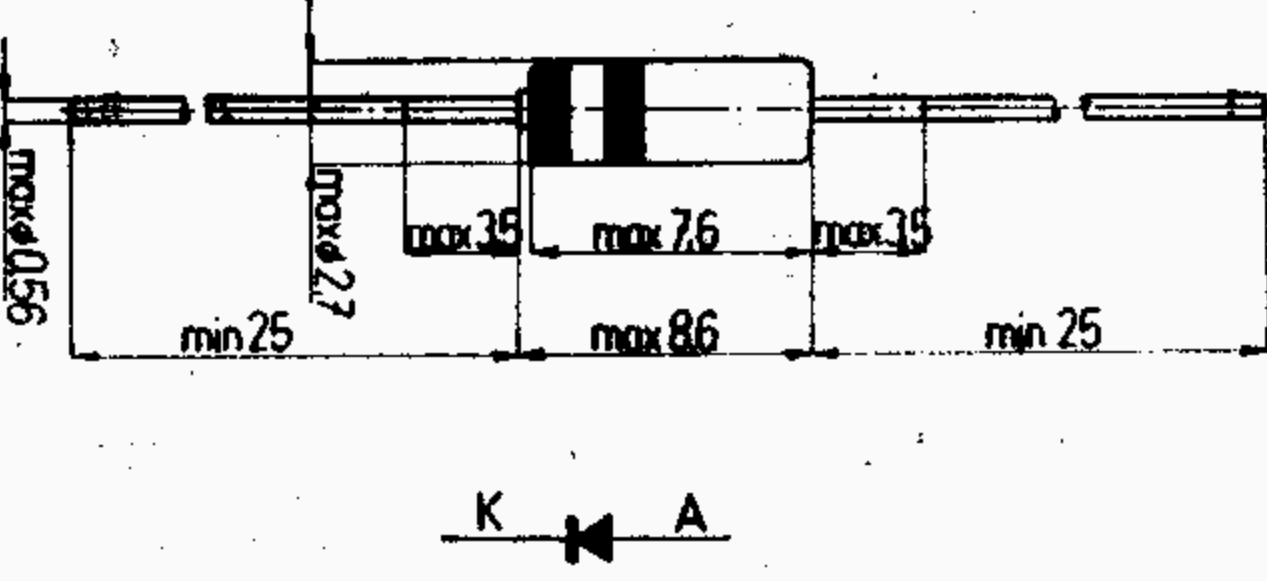
20NP70 — 25NP70
30NP70 — 35NP70
40NP70 — 45NP70

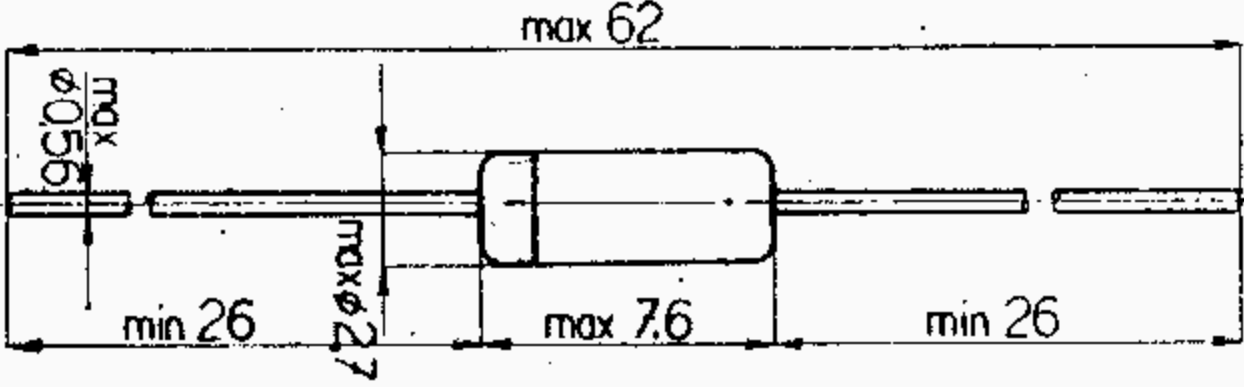


1NP70 — 16NP70
staré provedení

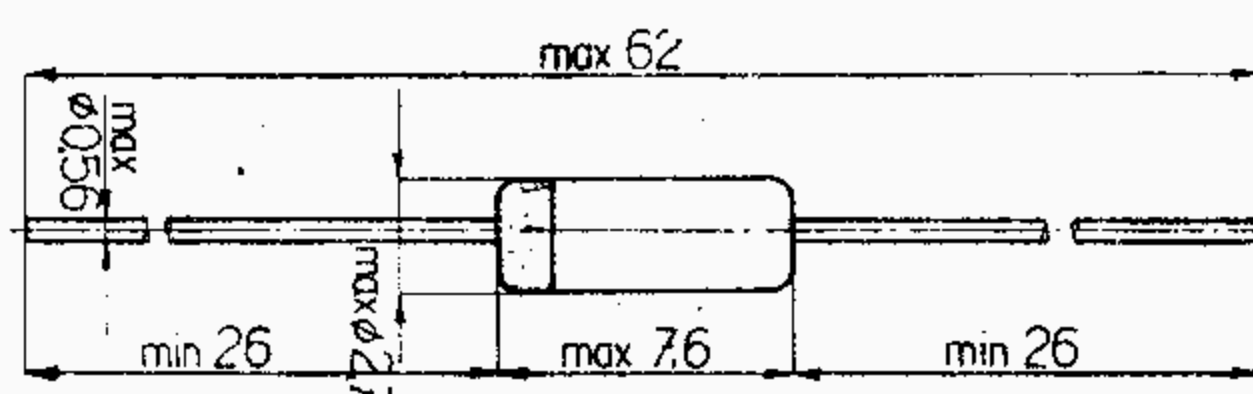


81NP71 — 83NP71

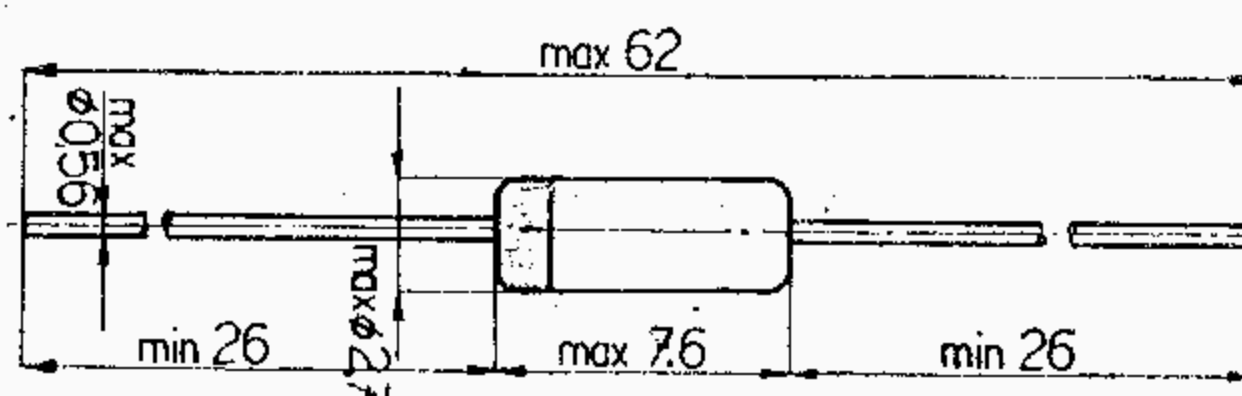
Typ Použití	Statické hodnoty Rozměry	Mezní hodnoty
KA200	<p>měřeno při</p> <p> $U_{AK} > 0,65 \text{ V}$ $I_{KA} \leq 0,1 \text{ } \mu\text{A}$ $I_{KA} \leq 15 \text{ } \mu\text{A}$ $Q_S \leq 200 \text{ pC}$ $U_{AKM} \leq 1,2 U_{AK}$ </p> <p> $I_{AK} = 3 \text{ mA}$ $U_{KA} = 10 \text{ V}$ $U_{KA} = 10 \text{ V } T_a = 100 \text{ } ^\circ\text{C}$ $I_{AK} = 3 \text{ mA}, U_R = 10 \text{ V},$ $t_{rr} = 100 \text{ ns}$ $U_{AK} = 6 \text{ V}$ </p>	<p> $U_{KA} 10 \text{ V}$ $U_{KAM} 12 \text{ V}$ $I_{AKM} 100 \text{ mA}$ $P_{tot} 300 \text{ mW}$ $T_j 150 \text{ } ^\circ\text{C}$ $T_a -55 \dots +125 \text{ } ^\circ\text{C}$ $R_{th} < 0,5 \text{ } ^\circ\text{C/mW}$ </p>
<p>Křemíková difúzní dioda pro spínací obvody se zbytkovým nábojem větším než 200 pC. Barevné značení — proužek: černá — zelená</p>		

Typ Použití	Statické hodnoty Rozměry	Mezní hodnoty
KA201 KA202	<p>KA201 KA202 měřeno při</p> <p> $I_{KA} < 0,5$ $C_{KA1} 22 (15-30)$ $C_{KA1} : C_{KA2} 0,69 < 0,74$ $R_S 1,6 < 3$ $I_{KA} < 6$ </p> <p> $< 0,5$ $35 (25-50) \text{ pF}$ $0,69 < 0,74$ $1,6 < 3$ < 6 </p> <p> $U_{KA} = 12 \text{ V}$ $U_{KA1} = 4 \text{ V}, f = 0,5 \text{ MHz}$ $U_{KA2} : U_{KA1} = 10 : 4,$ $f = 0,5 \text{ MHz}$ $U_{KA} = 10 \text{ V}, \vartheta_a = 85 \text{ } ^\circ\text{C}$ </p>	<p> $U_{KA} 20 \text{ V}$ $U_{KAM} 20 \text{ V}$ $T_j +100 \text{ } ^\circ\text{C}$ $K 0,4 \text{ } ^\circ\text{C/mW}$ $\vartheta_a -65 \dots +100 \text{ } ^\circ\text{C}$ $\vartheta_s -65 \dots +100 \text{ } ^\circ\text{C}$ </p>
<p>Křemíková dioda - varikap s napěťově zá- vislou kapacitou přechodu pro samočinné doladřování kmitočtu v obvodů.</p>		

Typ Použití	Statické hodnoty Rozměry	Mezní hodnoty
KA204 Křemíková dioda — vari- kap s napětově závislou kapacitou přechodu pro plynulé ladění rezonanč- ních obvodů ve vkv a televizních přijímačích.	C_{KA1} 3,8 ... 4,4 pF žluté $U_{KA} = 30 \text{ V}, f = 1 \text{ MHz}$ 4,4 ... 4,9 pF zelené 4,9 ... 5,5 pF modré $C_{KA1} : C_{KA2}$ 2,5 (2,4 ... 2,7) $U_{KA1} : U_{KA2} = 3 : 30 \text{ V},$ $f = 1 \text{ MHz}$ R_s 1,3 $< 2 \ \Omega$ $U_{KA} = 3 \text{ V}, f = 300 \text{ MHz}$ I_{KA} $\leq 0,1 \ \mu\text{A}$ $U_{KA} = 30 \text{ V}$	U_{KA} 30 V T_j 125 °C R_t 0,4 °C/mW T_a -55...+125 °C T_s -55...+ 35 °C

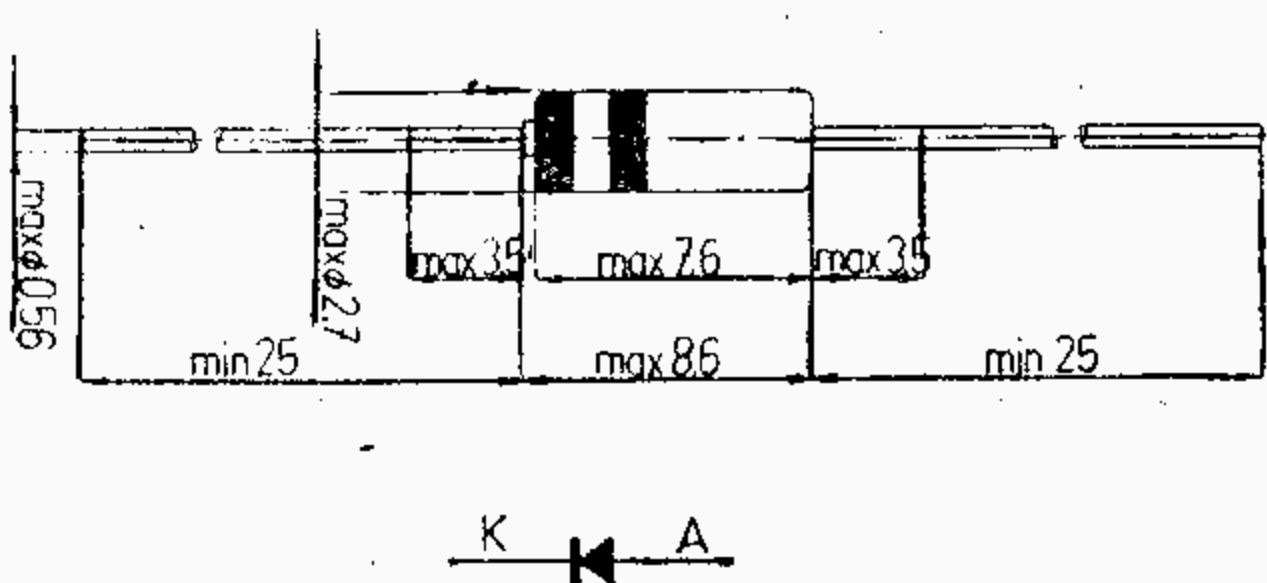


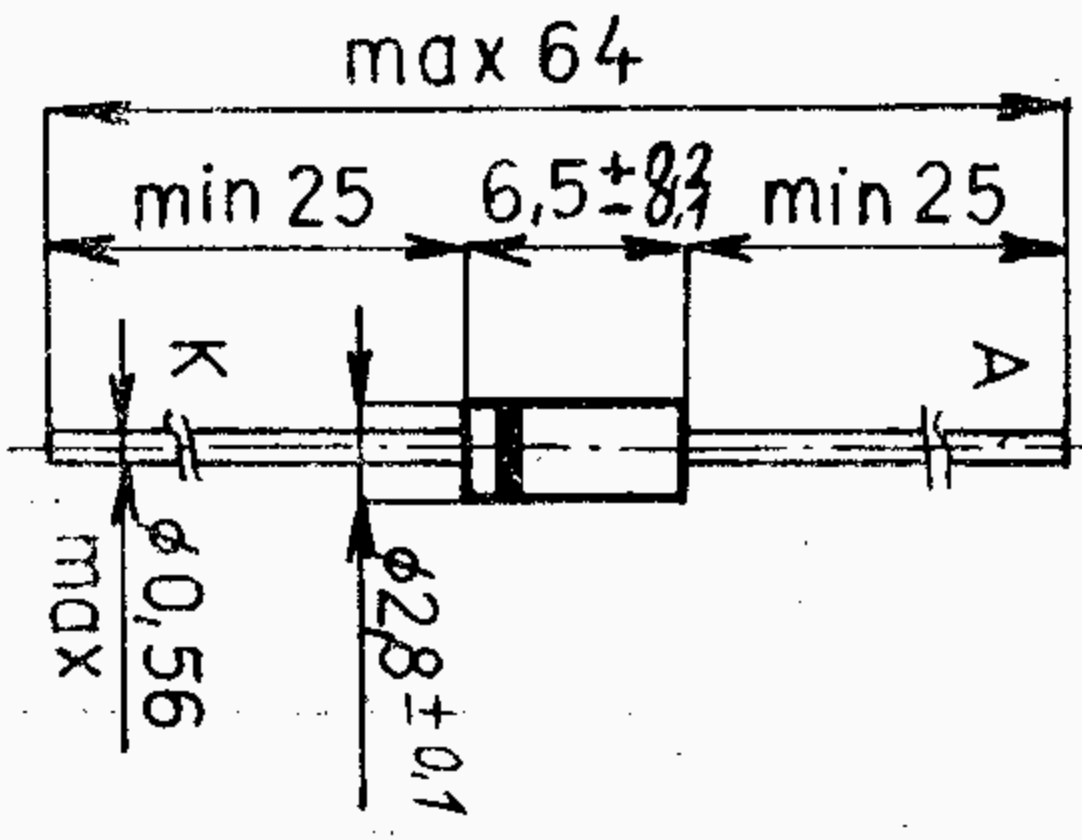
Typ Použití	Statické hodnoty Rozměry	Mezní hodnoty
KA206 KA207 Křemíkové planární epitaxní diody pro spínací účely	KA206: měřeno při $U_{AK} < 1 \text{ V}$ $I_{AK} = 10 \text{ mA}$ $U_{KA} > 50 \text{ V}$ $I_{KA} = 5 \ \mu\text{A}$ $I_{KA} < 0,05 \ \mu\text{A}$ $U_{KA} = 20 \text{ V}$ $I_{KA} < 10 \ \mu\text{A}$ $U_{KA} = 20 \text{ V}, T_a = 125 \text{ °C}$ $t_{rr} = 4 \text{ ns}$ $I_{AK} = 5 \text{ mA na } U_{KA} = 6 \text{ V}, I_{KA} = 0,5 \text{ mA}$ $Q_s < 50 \text{ pC}$ $I_{AK} = 5 \text{ mA na } U_{KA} = 6 \text{ V}, t = 20 \text{ ns}$ C_D 2 $< 3 \text{ pF}$ $U_{KA} = 0 \text{ V}$ KA207: $U_{AK} < 1 \text{ V}$ $I_{AK} = 10 \text{ mA}$ $U_{KA} > 100 \text{ V}$ $I_{KA} = 5 \ \mu\text{A}$ $I_{KA} < 0,05 \ \mu\text{A}$ $U_{KA} = 20 \text{ V}$ $I_{KA} < 10 \ \mu\text{A}$ $U_{KA} = 20 \text{ V}, T_a = 125 \text{ °C}$ $t_{rr} = 4 \text{ ns}$ $I_{AK} = 5 \text{ mA na } U_{KA} = 6 \text{ V}, I_{KA} = 0,5 \text{ mA}$ $Q_s < 50 \text{ pC}$ $I_{AK} = 5 \text{ mA na } U_{KA} = 6 \text{ V}, t = 20 \text{ ns}$ C_D 2 $< 3 \text{ pF}$ $U_{KA} = 0 \text{ V}$	KA206: U_{KA} 50 V I_{AK} 75 mA I_{AKM} 250 mA P 200 mW T_a -65...+125 °C KA207: U_{KA} 100 V I_{AK} 75 mA I_{AKM} 250 mA P 200 mW T_a -65...+125 °C

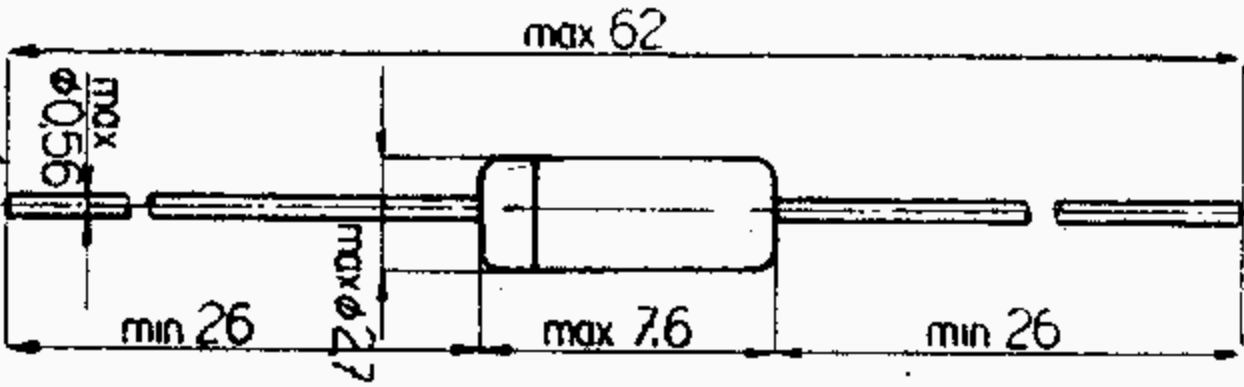


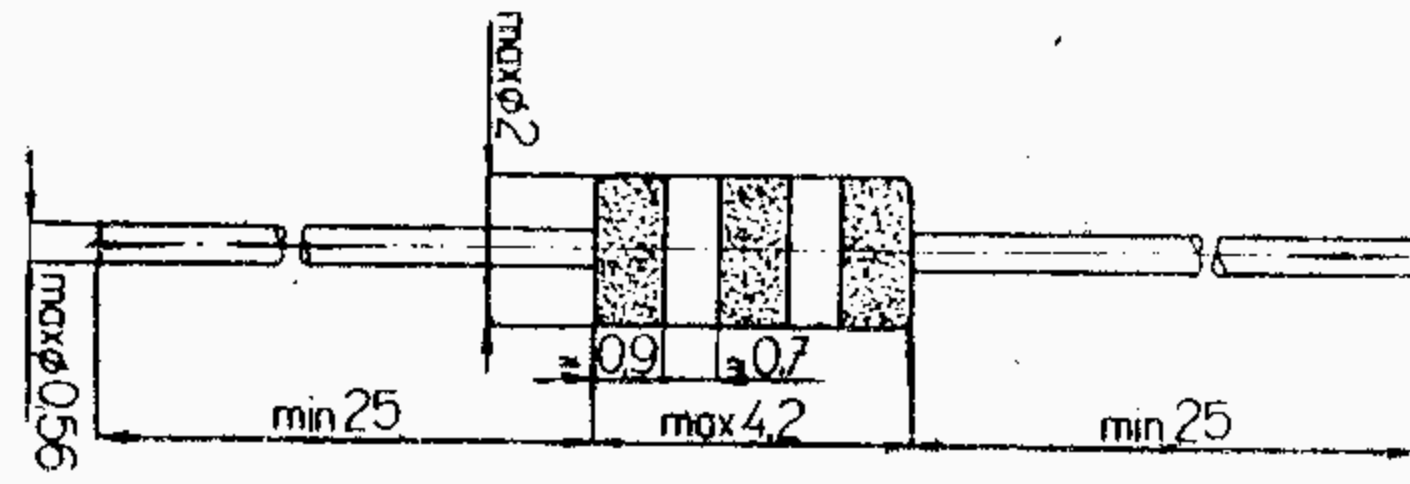
Typ Použití	Statické hodnoty Rozměry		Mezní hodnoty
KA213	<p>měřeno při</p> <p>C_{KA1} 38 35 ... 40 pF $U_{KA} = 3 \text{ V}, f = 1 \text{ MHz}$</p> <p>$C_{KA2}$ 42 40 ... 45 pF $U_{KA} = 3 \text{ V}, f = 1 \text{ MHz}$</p> <p>$C_{KA1} : C_{KA2}$ 2,6 2,4...2,7 $U_{KA1} : U_{KA2} = 3 : 30 \text{ V}, f = 1 \text{ MHz}$</p> <p>$R_s$ 0,3 <0,4 Ω $U_{KA} = 3 \text{ V}, f = 100 \text{ MHz}$</p> <p>$I_{KA}$ 0,05 <0,1 μA $U_{KA} = 32 \text{ V}$</p>		<p>U_{KA} 32 V</p> <p>U_{KAM} 32 V</p> <p>T_a -55...+125 °C</p> <p>T_s -55...+125 °C</p> <p>R_{th} 0,6 °C/mW</p>
Křemíková dioda — varicap s napěťově zá- vislou kapacitou přechodu pro samočinné dolad'o- vání kmitočtu.	Předběžné údaje.		

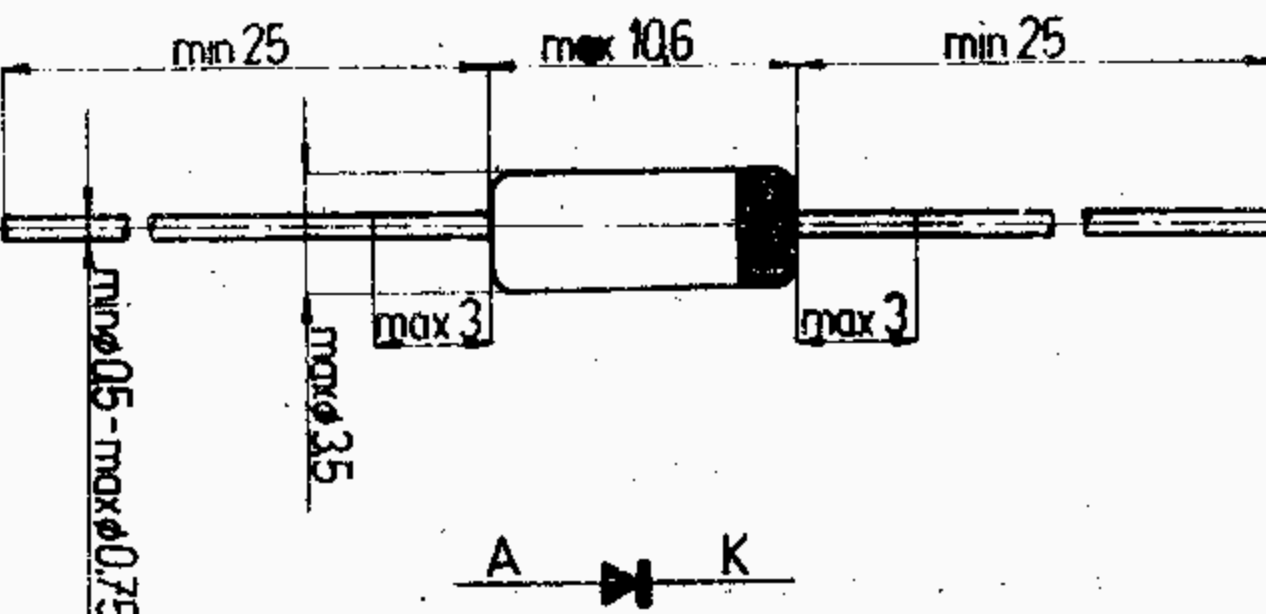
Typ Použití	Statické hodnoty Rozměry				Mezní hodnoty		
KA221 KA222 Křemíková difúzní dioda s velmi krátkým spínacím časem a vysokou vodivostí. Barevné značení — proužek: KA221 červený—hnědý KA222 červený—červený	KA221	KA222		měřeno při	KA221	KA222	
	I_{F1}	> 150	> 300	mA	$U_{F1} = 1 \text{ V}$	U_{RM}	35 35 V
	I_{F2}	> 500	> 800	mA	$U_{F2} = 1,4 \text{ V}$	I_{FM}	750 750 mA
	I_{R1}	< 0,2	< 0,2	μA	$U_R = 30 \text{ V}$	U_{FM}	$1,4 \cdot U_F$ V
	I_{R1}	< 200	< 200	μA	$U_R = 30 \text{ V}, \vartheta_a = 150^\circ\text{C}$	P_{tot}	500 mW
	U_R	> 35	> 35	V	$I_R = 10 \mu\text{A}$	ϑ_j	175 $^\circ\text{C}$
	C_{tot}	< 4	< 4	pF	$U_R = 0 \text{ V}, f = 1 \text{ MHz}$	R_{th}	0,35 $^\circ\text{C/mW}$
	t_{rr}	< 3	< 3	ns	$I_F = 10 \dots 400 \text{ mA}$	ϑ_a	-65 ... +175 $^\circ\text{C}$
	η	> 65	> 65	%	$U_{1ef} = 2 \text{ V}, f = 100 \text{ MHz}$	ϑ_s	-65 ... +175 $^\circ\text{C}$
	Rozměry shodné s KA225						
KA223 KA224 Křemíková difúzní dioda s velmi krátkým spínacím časem a vysokou vodivostí. Barevné značení — proužek: KA223 červený—oranžový KA224 červený—žlutý	KA223	KA224		měřeno při	KA223	KA224	
	I_{F1}	> 100	> 200	mA	$U_{F1} = 1 \text{ V}$	U_{RM}	25 25 V
	I_{F2}	> 300	> 600	mA	$U_{F2} = 1,4 \text{ V}$	I_{FM}	750 750 mA
	I_{R2}	< 0,2	< 0,2	μA	$U_R = 20 \text{ V}$	U_{FM}	$1,4 \cdot U_F$ V
	I_{R2}	< 200	< 200	μA	$U_R = 20 \text{ V}, \vartheta_a = 150^\circ\text{C}$	P_{tot}	500 mW
	U_R	> 25	> 25	V	$I_R = 10 \mu\text{A}$	ϑ_j	175 $^\circ\text{C}$
	C_{tot}	< 4	< 4	pF	$U_R = 0 \text{ V}, f = 1 \text{ MHz}$	R_{th}	0,35 $^\circ\text{C/mW}$
	t_{rr}	< 3	< 3	ns	$I_F = 10 \dots 400 \text{ mA}$	ϑ_a	-65 ... +175 $^\circ\text{C}$
	η	> 65	> 65	%	$U_{1ef} = 2 \text{ V}, f = 100 \text{ MHz}$	ϑ_s	-65 ... +175 $^\circ\text{C}$
	Rozměry shodné s KA225						

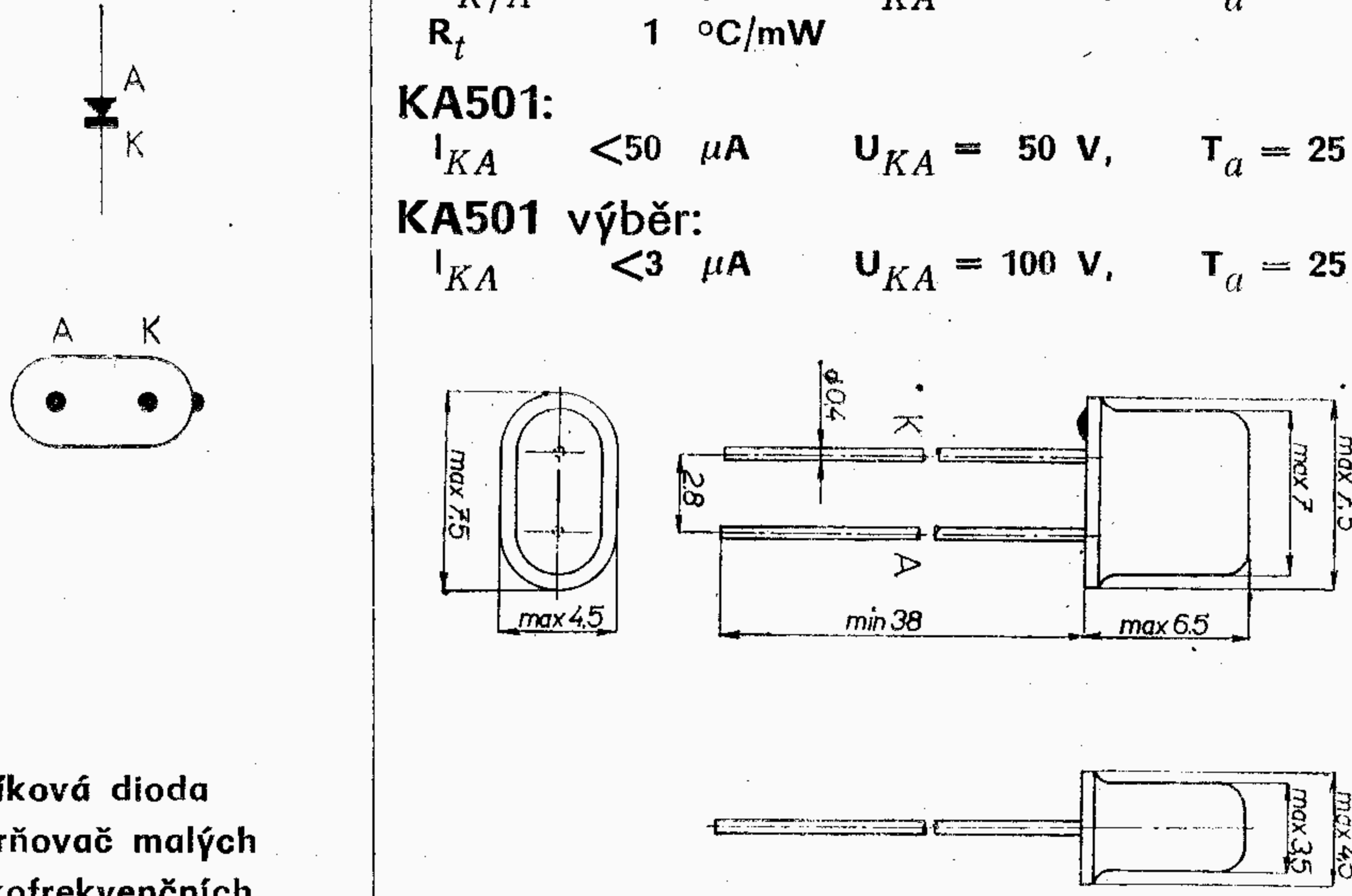
Typ Použití	Statické hodnoty Rozměry		Mezní hodnoty
KA225	měřeno při		
	I_{F1}	>150 mA $U_{F1} = 1$ V	U_{RM} 50 V
	I_{F2}	>500 mA $U_{F2} = 1,4$ V	I_{FM} 750 mA
	U_{KA}	$<0,2$ μ A $U_R = 30$ V	U_{FM} $1,5 \cdot U_F$ V
	U_{KA}	<200 μ A $U_R = 20$ V, $\vartheta_a = 150$ °C	P_{tot} 500 mW
	U_R	>50 V $I_R = 10$ μ A	ϑ_j 175 °C
	C_{tot}	<4 pF $U_R = 0$ V, $f = 1$ MHz	R_{th} 0,35 °C/mW
	t_{rr}	<3 ns $I_F = 10 \dots 400$ mA	ϑ_a $-65 \dots +175$ °C
	η	>65 % $U_{I ej} = 2$ V, $f = 100$ MHz	ϑ_j $-65 \dots +175$ °C
<p>Křemíková difúzní dioda s velmi krátkým spínacím časem a vysokou vodivostí. Barevné značení – proužek: červený–zelený</p> 			

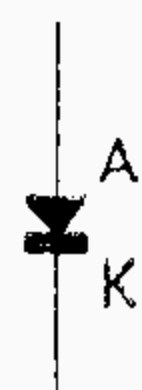

Typ Použití	Statické hodnoty Rozměry		Mezní hodnoty
KA227	měřeno při		
	U_F	$0,65 \dots 0,8$ V $I_F = 3$ mA	U_R 10 V
	I_R	$<0,1$ μ A $U_R = 10$ V	U_{RM} 12 V
	I_R	<15 μ A $U_R = 10$ V, $\vartheta_a = 100$ °C	I_{FM} 500 mA
	Q_S	>200 pC $I_F = 3$ mA, $U_R = 6$ V	P_{tot} 300 mW
	U_{FM}	$<1,2 \cdot U_F$ V $t_{rr} = 100$ ns	ϑ_j 150 °C
		$U_G = 6$ V	ϑ_a $-55 \dots +125$ °C
			R_{th} 0,5 °C/mW
<p>Křemíková difúzní dioda pro spínací obvody se zbytkovým nábojem větším než 200 pC. Barevné značení: žlutý proužek.</p> 			



Typ Použití	Statické hodnoty Rozměry	Mezní hodnoty
KA236	<p>měřeno při</p> <p> $U_{AK} < 1$ V $I_{AK} = 100$ mA $I_{KA} < 100$ nA $U_{KA} = 30$ V $C_D < 2$ pF $U_{KA} = 30$ V $r_s < 1$ Ω $I_{AK} = 10$ mA, $f = 100$ MHz </p>	<p> $U_{KA} 50$ V $P_{tot} (T_a < 50^\circ\text{C}) 160$ mW $T_a -65 \dots +125^\circ\text{C}$ </p>
<p>Křemíková planární epitaxní dioda pro rychlé spínání malých výkonů, zvláště pro vkv spínače.</p>	 <p>Předběžné údaje.</p>	

Typ Použití	Statické hodnoty Rozměry	Mezní hodnoty
KA243 KA244	<p>měřeno při</p> <p> $U_F < 1$ V $I_F = 100$ mA $I_R < 100$ nA $U_R = 15$ V $C_{tot} < 2$ pF $U_R = 15$ V, $f = 100$ MHz r_F KA243 < 1 Ω $I_F = 10$ mA, $f = 50 \dots 700$ MHz r_F KA244 $< 0,5$ Ω $I_F = 10$ mA, $f = 50 \dots 700$ MHz $\frac{\Delta r_F}{r_F \cdot \Delta I_F} < 5$ %/mA $I_F = 2 \dots 40$ mA $\frac{\Delta C_{tot}}{C_{tot} \cdot \Delta U_R} < 1$ %/V $U_R = 7 \dots 20$ V, $f = 100$ MHz </p>	<p> $U_{RRM} 20$ V $P_{tot} 160$ mW $R_{th} 0,5$ $^\circ\text{C}/\text{mW}$ $\vartheta_j 125$ $^\circ\text{C}$ $\vartheta_s -55 \dots +125$ $^\circ\text{C}$ </p>
<p>Křemíkové planární epitaxní diody pro přepínače pásma ve vkv kanálových voličích.</p> <p>Barevné značení — proužek:</p> <p>KA243 červený — žlutý — oranžový</p>	 <p style="text-align: center;">K A</p>	

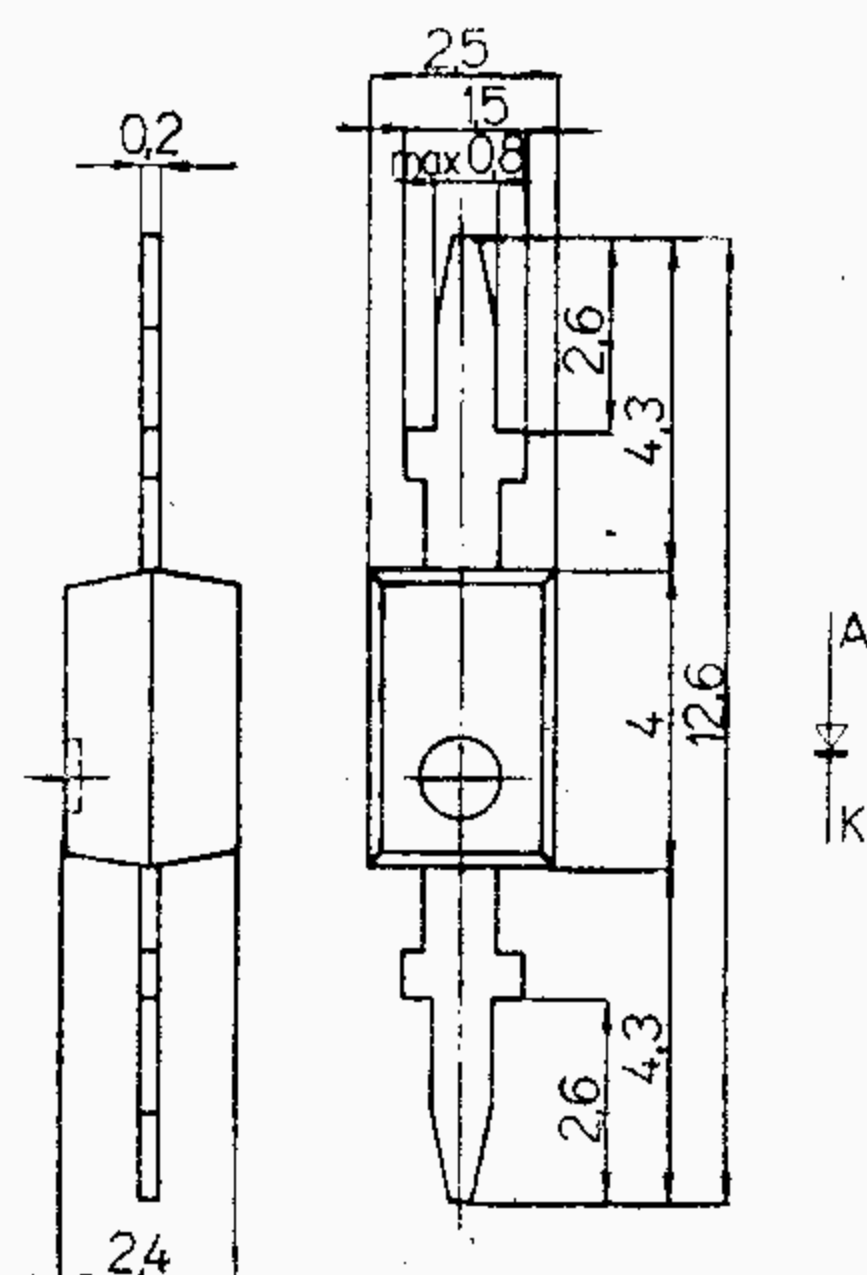
Typ Použití	Statické hodnoty Rozměry	Mezní hodnoty
KA290	<p>měřeno při</p> <p>U_{AK} $\leq 0,5$ V $I_{AK} = 0,5$ mA</p> <p>I_{KA} $\leq 0,5$ mA $U_{KA} = 1$ V</p> <p>η_1 ≥ 20 % $U_{vf} = 0,2$ V, $f = 100$ MHz</p> <p>η_2 ≥ 70 % $U_{vf} = 1,5$ V, $f = 100$ MHz</p> <p>C ≤ 1 pF $U_{KA} = 0$ V, $U_{vf} = 20$ mV, $f = 100$ MHz</p> 	<p>U_{KAM} 2 V</p> <p>I_{AKM} 25 mA</p> <p>P_M 100 mW</p> <p>R_{th} 0,4 °C/mW</p> <p>T_a -40...+85 °C</p>
Křemíková dioda pro detekci malých signálů v pásmu 100 MHz. Barevné značení: katoda – bílá		

Typ Použití	Statické hodnoty	Mezní hodnoty
KA501 KA501 výběr	<p>měřeno při</p> <p>U_{AK} < 1 V $I_{AK} = 9$ mA, $T_a = 25$ °C</p> <p>I_{KA} < 1 μA $U_{KA} = 10$ V, $T_a = 25$ °C</p> <p>$C_{K/A}$ 6,5 pF $U_{KA} = 10$ V, $T_a = 25$ °C</p> <p>R_t 1 °C/mW</p> <p>KA501: $I_{KA} < 50$ μA $U_{KA} = 50$ V, $T_a = 25$ °C</p> <p>KA501 výběr: $I_{KA} < 3$ μA $U_{KA} = 100$ V, $T_a = 25$ °C</p> 	<p>KA501: U_{KA} 50 V</p> <p>U_{KAM} 55 V</p> <p>KA501 výběr: U_{KA} 115 V</p> <p>U_{KAM} 125 V</p> <p>I_O ($T_a = 25$ °C) 50 mA</p> <p>I_O ($T_a = 100$ °C) 30 mA</p> <p>I_O ($T_a = 150$ °C) 10 mA</p> <p>$I_{AKM imp}^{1)}$ ($T_a = 25$ °C) 350 mA</p> <p>$I_{AKM imp}^{1)}$ ($T_a = 100$ °C) 200 mA</p> <p>P_d 150 mW</p> <p>T_j 175 °C</p> <p>T_a -55 ÷ +150 °C</p> <p>T_s -55 ÷ +150 °C</p> <p>¹⁾ Po dobu max 1 s.</p>
Křemíková dioda usměrňovač malých vysokofrekvenčních proudů.		

Typ Použití	Statické hodnoty				Mezní hodnoty		
KA502 KA504	měřeno při				U_{KA}	115	V
	U_{AK}	<1	V	$I_{AK} = 9$ mA, $T_a = 25$ °C	U_{KAM}	125	V
	I_{KA}	<0,01	μA	$U_{KA} = 10$ V, $T_a = 25$ °C	I_O ($T_a = 25$ °C)	50	mA
	I_{KA}	0,4	μA	$U_{KA} = 10$ V, $T_a = 100$ °C	I_O ($T_a = 100$ °C)	30	mA
	I_{KA}	7	μA	$U_{KA} = 10$ V, $T_a = 150$ °C	I_O ($T_a = 150$ °C)	10	mA
	I_{KA}	1	μA	$U_{KA} = 100$ V, $T_a = 100$ °C	$I_{AKM imp}^{1)}$ ($T_a = 25$ °C)	350	mA
	I_{KA}	10	μA	$U_{KA} = 100$ V, $T_a = 150$ °C	$I_{AKM imp}^{1)}$ ($T_a = 100$ °C)	200	mA
	U_{KA}	>100	V	$I_{KA} = 0,2$ μA, $T_a = 25$ °C	P_d	150	mW
					T_j	175	°C
					T_a	-60 ÷ +150	°C
					T_s	-60 ÷ +150	°C
	KA502	KA504			1) Po dobu max 1 s.		
	r_d	-	>180 kΩ	$\left\{ \begin{array}{l} U_{vf} = 6$ V, $T_a = 25$ °C \\ $f = 1$ MHz \end{array} \right.			
	R_{is}	>2000	>5000	MΩ			
	R_t	1	1	°C/mW			
	$C_{K/A}$	3,5<5	3,5<5	pF	$U_{KA} = 10$ V, $T_a = 25$ °C		
	$C_{K/A}$	2	2	pF	$U_{KA} = 100$ V, $T_a = 25$ °C		
	r_d	-	>180 kΩ	$U_{vf} = 6$ V, $T_a = 25$ °C			
Křemíková dioda usměrňovač malých vysokofrekvenčních proudů. Barevné označení: KA502 žluté pouzdro, KA504 zelené pouzdro							
Rozměry shodné s KA501							

Typ Použití	Statické hodnoty			Mezní hodnoty		
KA503	měřeno při			U_{KA}	215	V
	U_{AK}	<1 V	$I_{AK} = 9$ mA, $T_a = 25$ °C	U_{KAM}	225	V
	I_{KA}	$<0,01$ μA	$U_{KA} = 10$ V, $T_a = 25$ °C	I_O ($T_a = 25$ °C)	50	mA
	I_{KA}	0,4 μA	$U_{KA} = 10$ V, $T_a = 100$ °C	I_O ($T_a = 100$ °C)	30	mA
	I_{KA}	7 μA	$U_{KA} = 10$ V, $T_a = 150$ °C	I_O ($T_a = 150$ °C)	10	mA
	I_{KA}	1,5 μA	$U_{KA} = 200$ V, $T_a = 100$ °C	$I_{AKM imp}^{1)}$ ($T_a = 25$ °C)	350	mA
	I_{KA}	15 μA	$U_{KA} = 200$ V, $T_a = 150$ °C	$I_{AKM imp}^{1)}$ ($T_a = 100$ °C)	200	mA
	U_{KA}	>200 V	$I_{KA} = 0,2$ μA, $T_a = 25$ °C	P_d	150	mW
	C_{KA}	3,5 < 5	pF	$U_{KA} = 10$ V, $T_a = 25$ °C		
	C_{KA}	2	pF	$U_{KA} = 100$ V, $T_a = 25$ °C		
	C_{KA}	1,5	pF	$U_{KA} = 200$ V, $T_a = 25$ °C		
	R_{is}	>2000	MΩ	T_j	175	°C
	R_i	1	°C/mW	T_a	-60 ÷ +150	°C
				T_s	-60 ÷ +150	°C
Křemíková dioda usměrňovač malých vysokofrekvenčních proudů. Barevné označení: modré pouzdro.			Rozměry shodné s KA501			
			1) Po dobu max 1 s.			

Typ Použití	Statické hodnoty Rozměry		Mezní hodnoty
KB105A KB105B KB106G	měřeno při		U_R 28 V
	I_R <50 nA	$U_R = 28$ V	U_{RSM} 30 V
	I_R <500 nA	$U_R = 28$ V, $\vartheta_a = 60$ °C	ϑ_a -55...+100 °C
			ϑ_a -55...+100 °C
			R_{th} 400 °C/W
	KB105A		
	C_{tot} 17 pF	$U_R = 1$ V, $f = 0,5$ MHz	
	C_{tot} 11,5 pF	$U_R = 3$ V, $f = 0,5$ MHz	
	C_{tot} 2,3 ... 2,8 pF	$U_R = 25$ V, $f = 0,5$ MHz	
	$C_{tot} : C_{tot}$ 4 ... 5	$U_R : U_R = 3$ V : 25 V	
	r_s <0,8 Ω	$f = 470$ MHz, $C = 9$ pF	
	KB105B		
	C_{tot} 17,5 pF	$U_R = 1$ V, $f = 0,5$ MHz	
	C_{tot} 11,5 pF	$U_R = 3$ V, $f = 0,5$ MHz	
	C_{tot} 2,0 ... 2,3 pF	$U_R = 25$ V, $f = 0,5$ MHz	
	$C_{tot} : C_{tot}$ 4,5 ... 6	$U_R : U_R = 3$ V : 25 V	
	r_s <0,8 Ω	$f = 470$ MHz, $C = 9$ pF	
	KB105G		
	C_{tot} 17,5 pF	$U_R = 1$ V, $f = 0,5$ MHz	
	C_{tot} 11,5 pF	$U_R = 3$ V, $f = 0,5$ MHz	
	C_{tot} 1,8 ... 2,8 pF	$U_R = 25$ V, $f = 0,5$ MHz	
	$C_{tot} : C_{tot}$ 4 ... 6	$U_R : U_R = 3$ V : 25 V	
	r_s <1,2 Ω	$f = 470$ MHz, $C = 9$ pF	
Křemíková planárně epitaxní dioda – varicap – s napěťově závislou kapacitou přechodu pro obvody samočinného doladování kmitočtu, přeladování obvodů apod.			



ZENEROVY DIODY 1,25 W

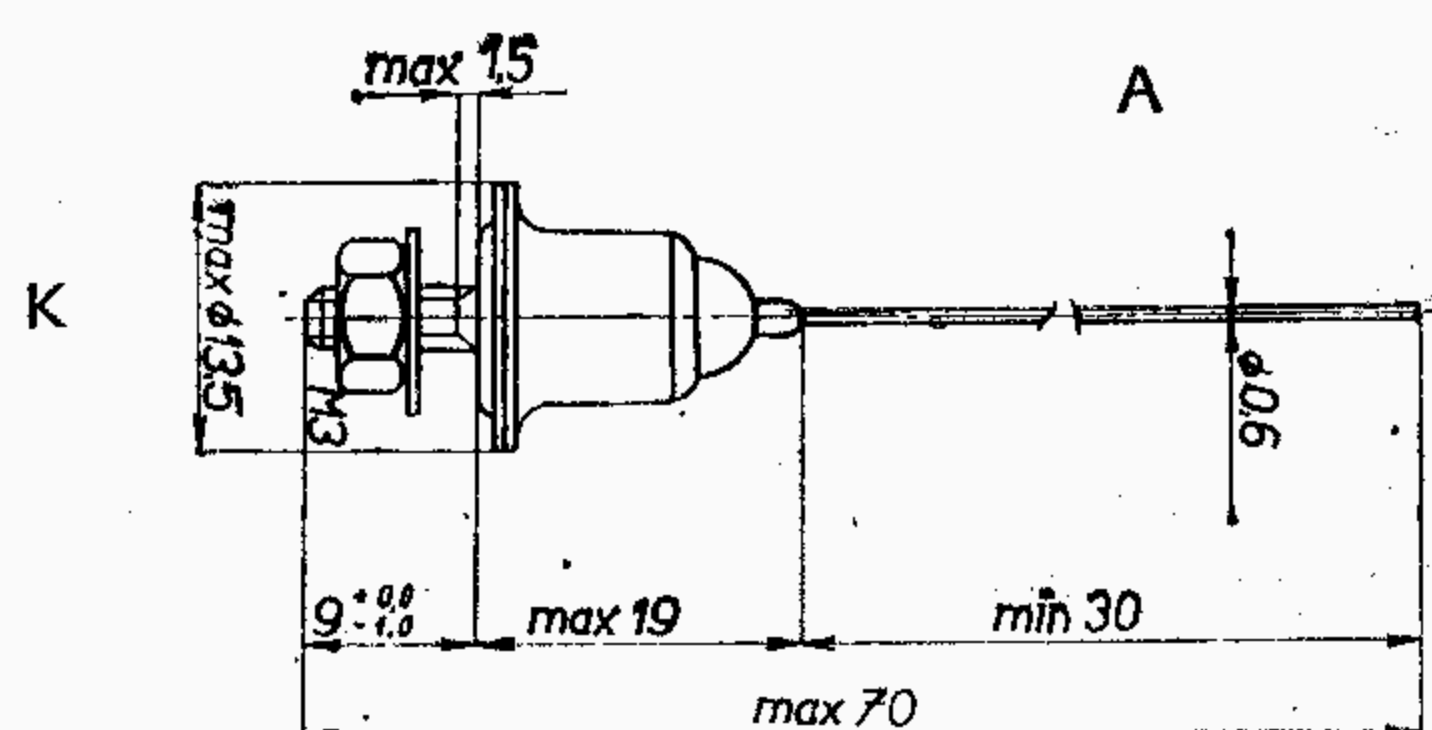
Typ	Charakteristické hodnoty						Mezní hodnoty			
	U_Z V	r_{KA} Ω	I_Z mA	K_t při I_Z · 10 ⁻⁴ /°C	I_{AK} $U_{AK} = 1$ V mA	I_{KA} $U_{KA} = 1$ V μ A	I_Z mA	$I_Z^{1)}$ mA	$P_d^{2)}$ W	$P_d^{1) 2)}$ W
1NZ70	5–6	1 < 2	100	-3 ... +5	1500 > 250	0,05 < 0,1	230	790	1,25	5
2NZ70	6–7	1 < 2	100	0 ... +6	1500 > 250	0,05 < 0,1	200	700	1,25	5
3NZ70	7–8	1 < 2	100	+2 ... +7	1500 > 250	0,05 < 0,1	180	640	1,25	5
4NZ70	8–9	1 < 2	100	+4 ... +7	1500 > 250	0,05 < 0,1	170	590	1,25	5
5NZ70	8,8–11	2 < 4	50	+4 ... +8	1500 > 250	0,05 < 0,1	130	460	1,25	5
6NZ70	11–13,5	4 < 7	50	+4 ... +8	1500 > 250	0,05 < 0,1	110	340	1,25	5
7NZ70	13,5–16,5	6 < 11	50	+5 ... +9	1500 > 250	0,05 < 0,1	90	300	1,25	5
8NZ70	16,2–20	10 < 18	25	+5 ... +9	1500 > 250	0,05 < 0,1	70	250	1,25	5
KZ799	30 ± 1,8		25	dvojice diod sériově spojených			70	250	1,25	5

T_j	max	150	°C
K_1	max	0,01	°C/mW
K	max	0,08	°C/mW
$K^{1)}$	max	0,021	°C/mW

Platí při teplotě okolí 25 °C

1) Al chladičí plocha 60 × 60 × 2 mm

2) Teplota okolí max 45 °C



ZENEROVY DIODY 10 W

Typ	Charakteristické hodnoty						Mezní hodnoty			
	U_Z	r_{KA}	I_Z	K_t při I_Z	I_{AK}	I_{KA}	I_Z	$I_Z^{1)}$	P_d	$P_d^{1)}$
	V	Ω	mA	$10^{-4}/^{\circ}\text{C}$	$U_{AK} \leq 1,3 \text{ V}$ mA	$U_{KA} = 1 \text{ V}$ μA	mA	mA	W	W
KZ703	6–7,8	<1	1000	5	300 ²⁾	<50	320	1300	2,6	10
KZ704	7–9,2	<1	1000	5	300	<50	270	1100	2,6	10
KZ705	8–10,2	<2	500	7	300	<50	240	970	2,6	10
KZ706	9,4–11,6	<2	500	7	300	<50	210	850	2,6	10
KZ707	10,6–13,2	<2	500	7	300	<50	190	750	2,6	10
KZ708	12–14,8	<2	500	8	300	<50	170	670	2,6	10
KZ709	13,6–16,8	<3	500	8	300	<50	150	600	2,6	10
KZ710	15,2–19	<3	500	8	300	<50	135	530	2,6	10
KZ711	16,8–21	<3	250	9	300	<50	120	470	2,6	10
KZ712	19–23,6	<3	250	9	300	<50	105	420	2,6	10
KZ713	21,6–26,6	<3	250	9	300	<50	95	370	2,6	10
KZ714	24,2–29,8	<4	250	9	300	<50	85	330	2,6	10
KZ715	27–33	<4	250	9	300	<50	75	300	2,6	10
KZ751	58–66	80	10	10	2A ²⁾	<10 ³⁾	38	150	3	10
KZ752	64–72	80	10	10	2A ²⁾	<10 ³⁾	34	138	3	10
KZ753	71–79	80	10	10	2A ²⁾	<10 ³⁾	31	125	3	10
KZ754	77–88	80	10	10	2A ²⁾	<10 ³⁾	28	110	3	10
KZ755	85–96	80	10	10	2A ²⁾	<10 ³⁾	26	100	3	10

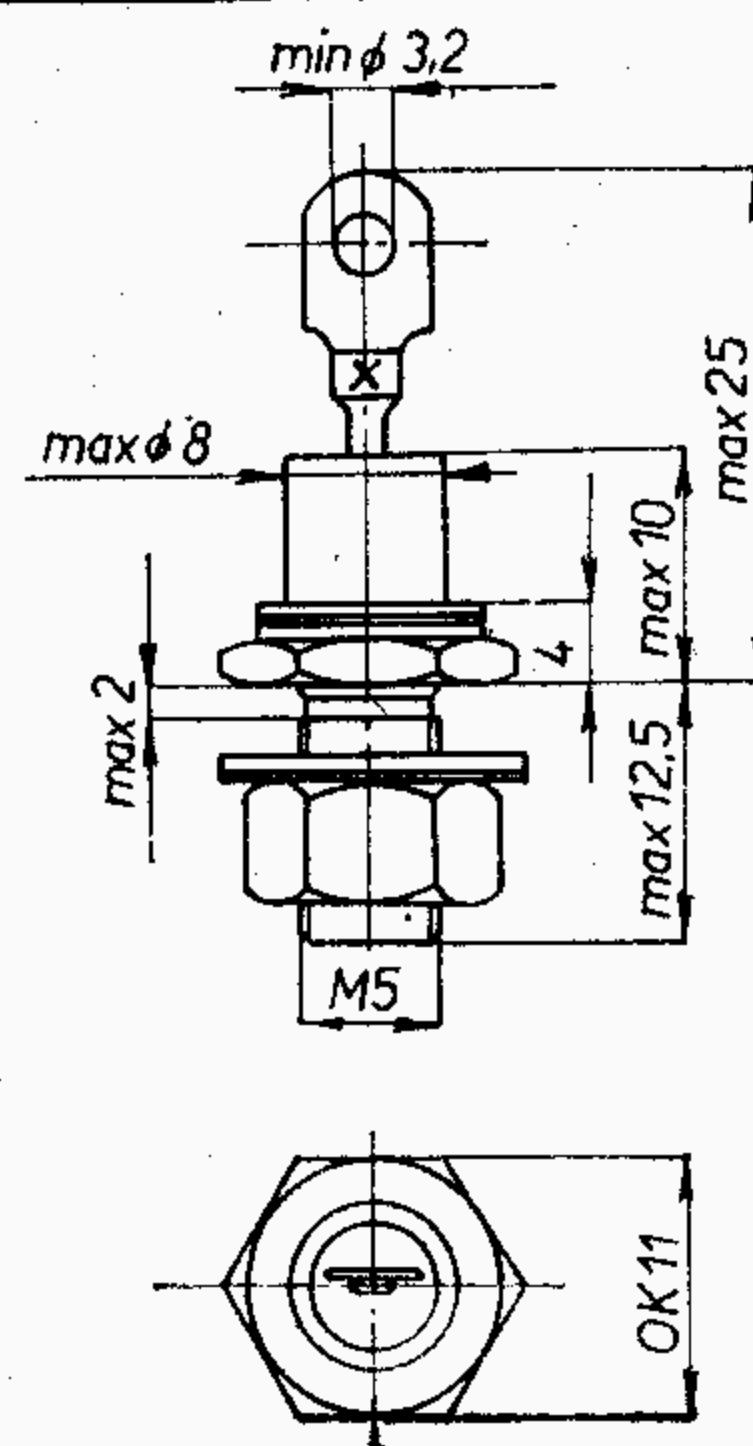
ZENEROVY DIODY 10 W

KZ703 – KZ715

KZ751 – KZ755

 T_j max 155 °C K max 55 °C/W K_1 max 3,5 °C/W

1) Al chladič plocha $100 \times 100 \times 2 \text{ mm}$, $T_a = 25 ^{\circ}\text{C}$
 nebo $160 \times 160 \times 2 \text{ mm}$, $T_a = 60 ^{\circ}\text{C}$

2) $U_{AK} \leq 1 \text{ V}$ 3) $U_{KA} = 34 \text{ V}$ 

Polarita diod

KZ703 –

KZ715

K

KZ751 –

KZ755

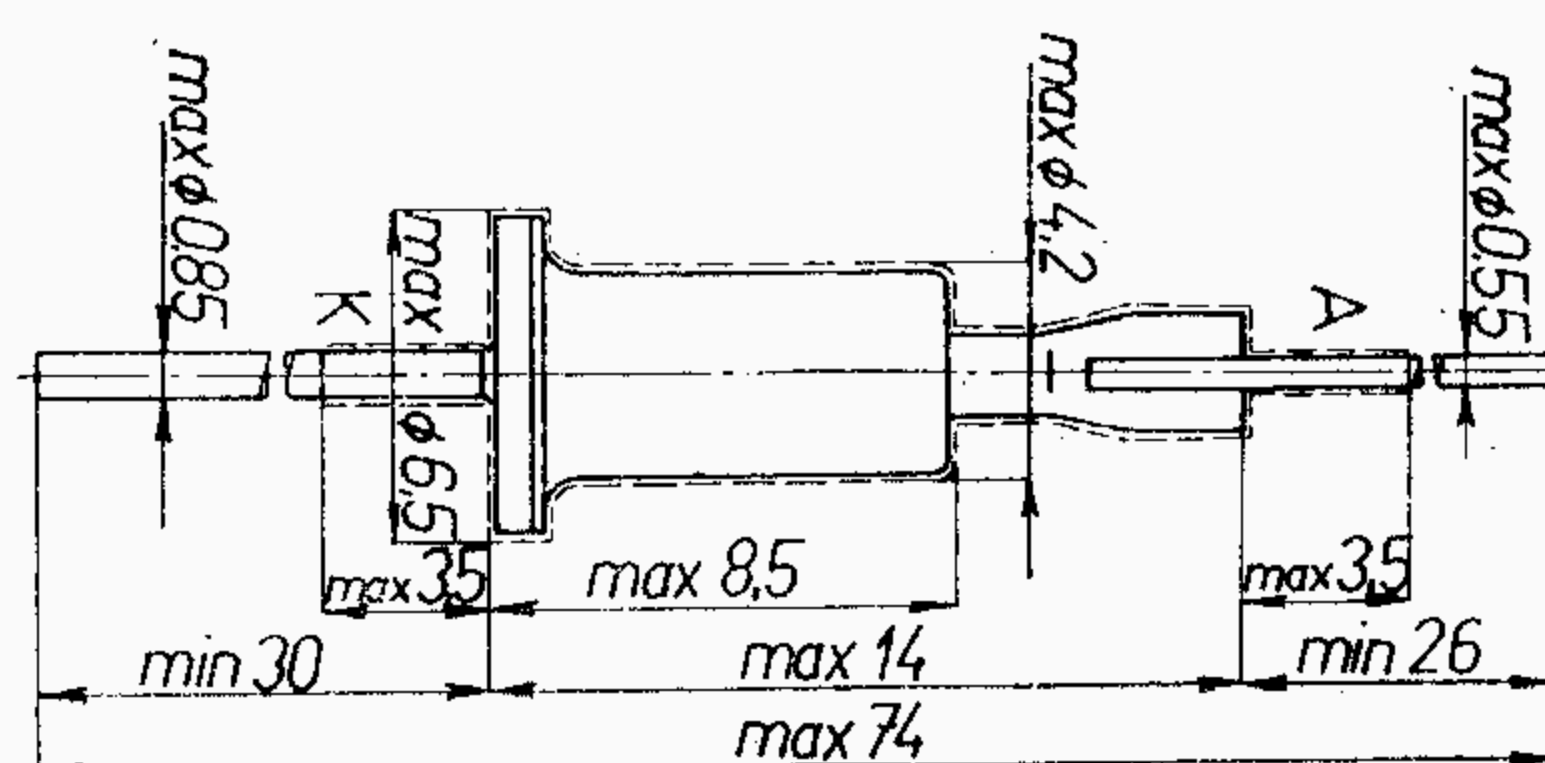
A

A

K

KZ721 – KZ724

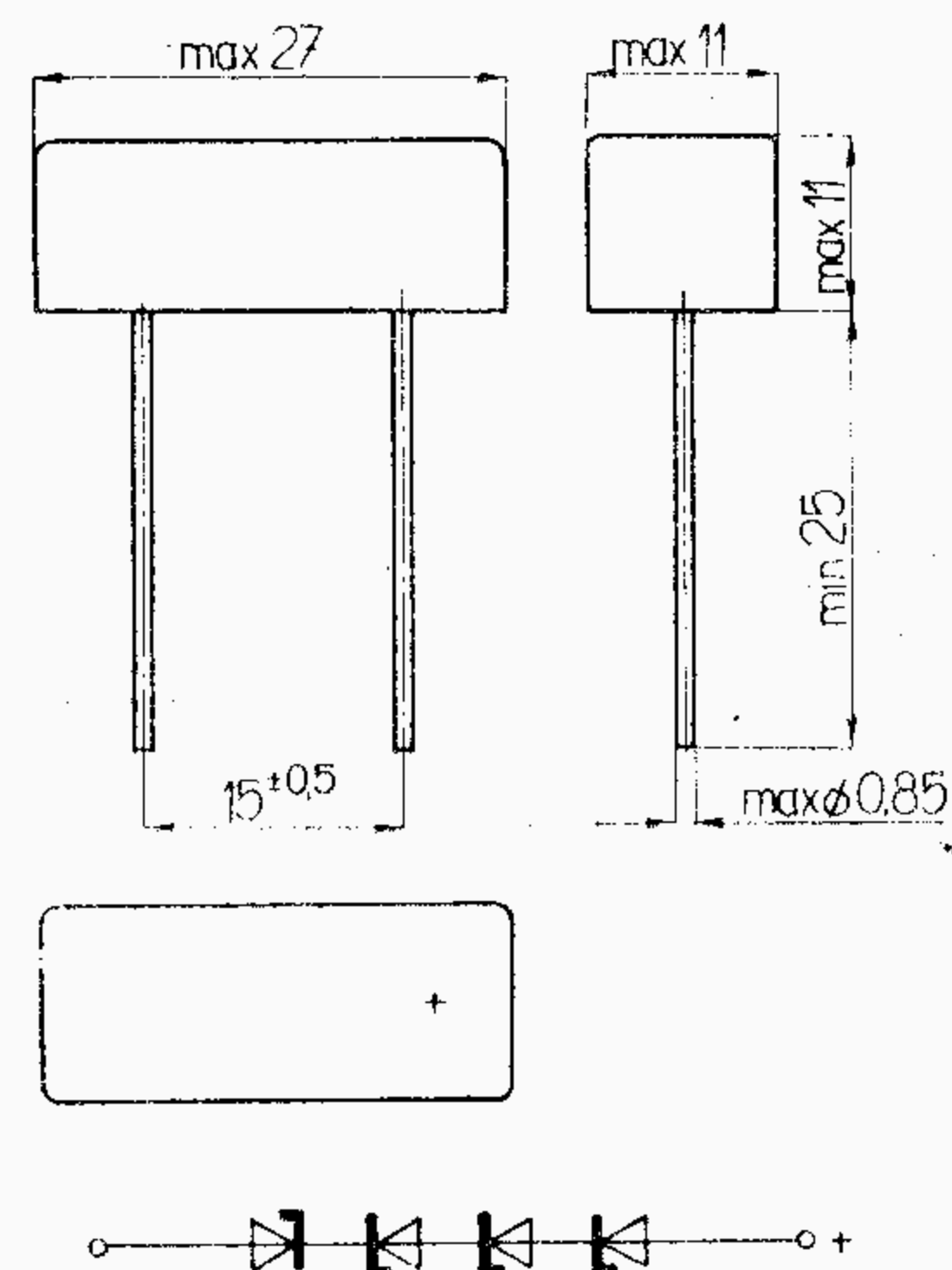
KZZ71 – KZZ76

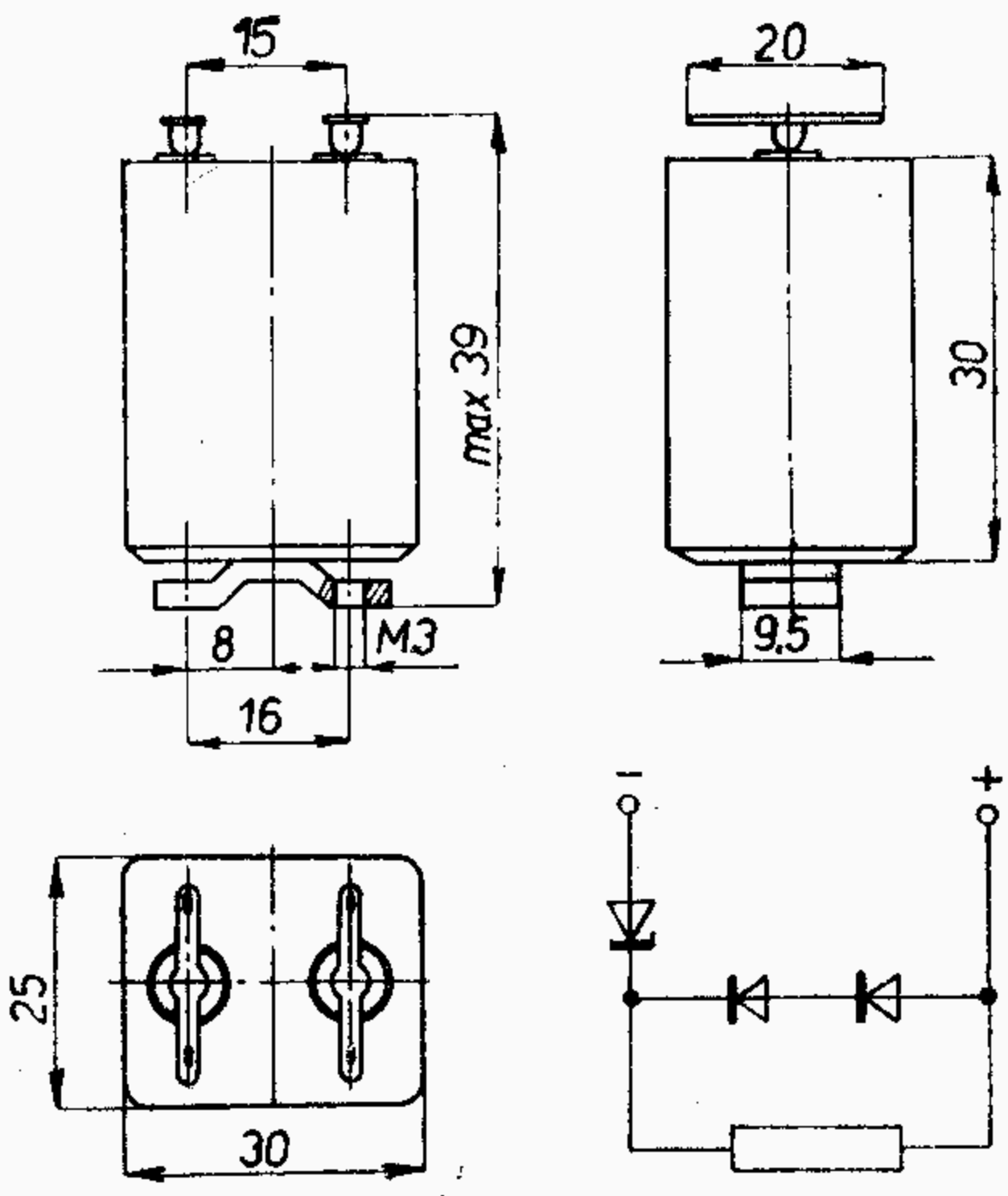


Typ	Charakteristické hodnoty							Mezní hodnoty	
	nom	U_Z [V] min — max	r_{KA} Ω	I_Z mA	K_Z $10^{-4}/^{\circ}\text{C}$	U_{AK} ($I_{AK} = 50 \text{ mA}$) V	I_{KA} ($U_{KA} = 1 \text{ V}$) μA	I_Z mA	P_d ¹⁾ mW
KZ721	6,8	5,8 — 7,8	≤ 10	5	+7	<1	<0,1	36	280
KZ722	8,2	5,6 — 7,8	100	1	—	<1	<0,1	30	280
		7,0 — 9,4	≤ 10	5	+8				
KZ723	10	6,8 — 9,4	20	1	—	<1	<0,1	23	280
		8,6 — 11,8	≤ 20	5	+8				
KZ724	12	8,4 — 11,8	100	1	—	<1	<0,1	20	280
		10,2 — 14	≤ 50	5	+10				
KZZ71	6,7	9,8 — 14	200	1	—	<1	<0,1	36	280
		5,8 — 7,5	≤ 8	5	-1 ... +7				
KZZ72	7,7	6,0 — 7,4	≤ 30	1	—	<1	<0,1	33	280
		7,0 — 8,5	≤ 6	5	0 ... +7				
KZZ73	8,7	6,8 — 8,4	≤ 12	1	—	<1	<0,1	30	280
		8,0 — 9,5	≤ 10	5	+2 ... +8				
KZZ74	9,7	7,8 — 9,4	≤ 18	1	—	<1	<0,1	26	280
		9,0 — 10,5	≤ 12	5	+4 ... +9				
KZZ75	11	8,8 — 10,5	≤ 25	1	—	<1	<0,1	23	280
		10 — 12	≤ 15	5	+4 ... +9,5				
KZZ76	12,6	9,8 — 12	≤ 30	1	—	<1	<0,1	20	280
		11,2 — 14	≤ 18	5	+5 ... +9,5				
		10,8 — 14	≤ 35	1	—				

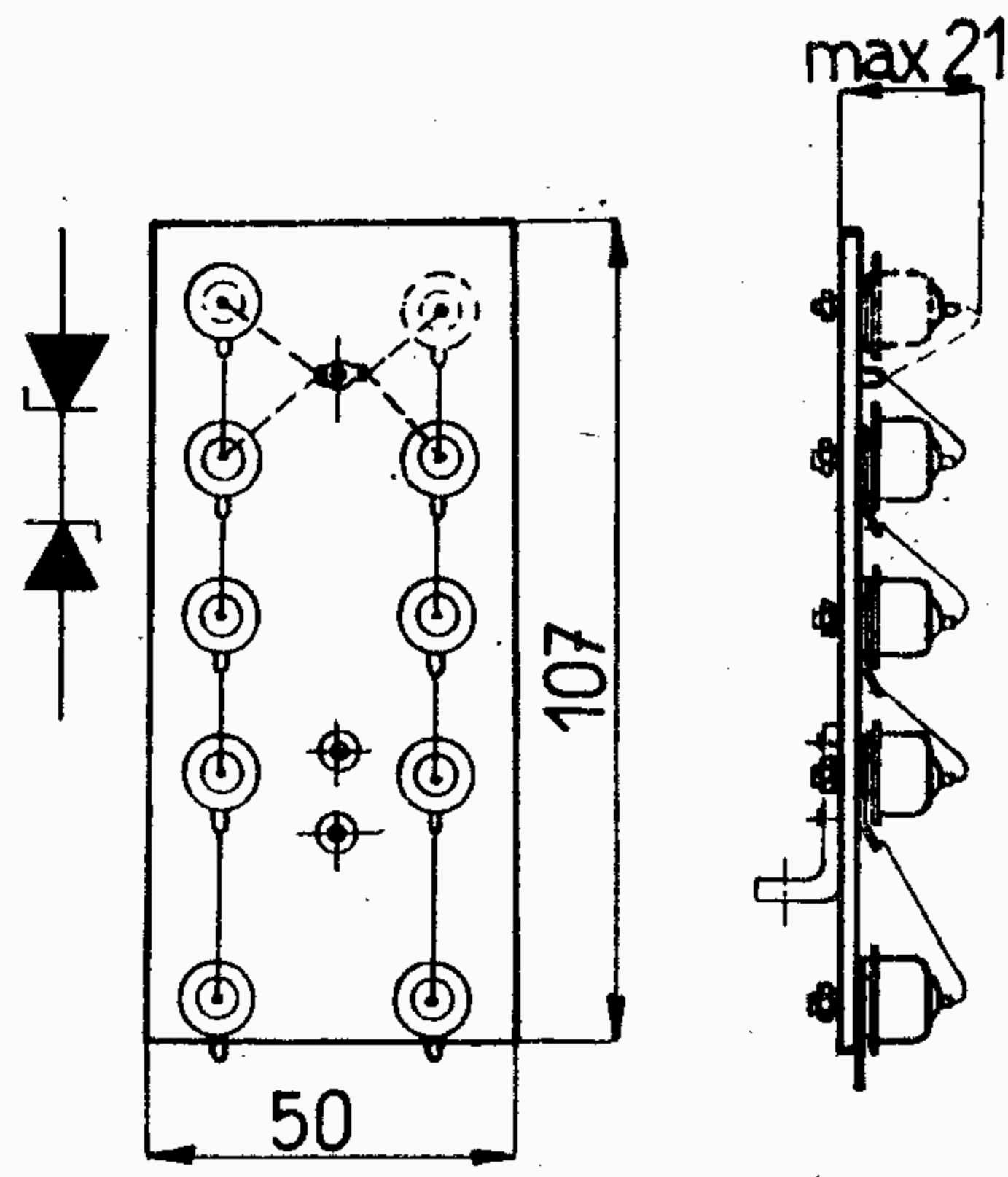
T_j max 155 °C R_{t1} max 12 °C/W R_t max 200 °C/W T_a max -65 ... +125 °C ¹⁾ T_a max ≤ 60 °C
Rozměry viz str. P 49

Typ Použití	Provozní hodnoty Rozměry				Mezní hodnoty
KZZ45 KZZ46 KZZ47	KZZ45 U_Z 10,8±0,5 $r_{KA} \leq 32$ $r_{KA} \leq 22$ $r_{KA} \leq 14$ $r_{KA} -$ $r_{KA} -$ $TK_{UZ} < 10^{-5}$	KZZ46 — ≤ 32 ≤ 22 ≤ 14 — — —	KZZ47 — 10,8±0,5 V ≤ 32 ≤ 22 ≤ 14 < 50 < 35 —	měřeno při $I_Z = 5 \dots 10 \text{ mA}$, $T_a = 25$ °C ¹⁾ $I_Z = 10 \text{ mA}$, $T_a = 25$ °C $I_Z = 5 \text{ mA}$, $T_a = +25$ °C $I_Z = 10 \text{ mA}$, $T_a = +25$ °C $I_Z = 15 \text{ mA}$, $T_a = +25$ °C $I_Z = 5 \text{ mA}$, $T_a = +25$ °C $I_Z = 10 \text{ mA}$, $T_a = +25$ °C $I_Z = \pm 5 \%$ I_Z , $T_a = -20$ °C, $T_a = +90$ °C $I_Z = 5 \dots 15 \text{ mA}$, $T_a = -20$ °C, $T_a = +90$ °C $I_Z = 5 \dots 10 \text{ mA}$, $T_a = 0$ °C, $T_a = +70$ °C	T_j +125 °C T_a -40...+100 °C Dlouhodobá stabilita KZZ45, KZZ46 $\Delta U_Z < 5 \text{ mV/}$ 1000 hod.
	$TK_{UZ} -$	$< 5 \cdot 10^{-5}$	—	°C ⁻¹	
	$TK_{UZ} -$	—	$< 10^{-4}$	°C ⁻¹	
¹⁾ Hodnota pracovního proudu uvedena na štítku každé diody.					
Křemíkové diody pro zdroje referenčního napětí s vysokou tepelnou stabilitou.					



Typ Použití	Provozní hodnoty	Mezní hodnoty
KZZ81 KZZ82 KZZ83	<p>měřeno při $I_Z = 20 \dots 100 \text{ mA}$ $T_a = 0 \dots +50 \text{ }^\circ\text{C}$</p> <p> U_Z $7,5 - 9$ V r_{KA} < 15 Ω K_Z KZZ81 $< 10^{-7}$ $1/^\circ\text{C}$ KZZ82 $< 10^{-6}$ $1/^\circ\text{C}$ KZZ83 $< 10^{-5}$ $1/^\circ\text{C}$ </p> <p>1) Měřeno v pracovním bodě, tj ve středu pracovního rozsahu každé diody.</p> 	<p> I_Z 100 mA T_a $0 \dots +50$ $^\circ\text{C}$ </p>

Polovodičový dvoupól
teplotně kompenzovaný
pro napěťové subnormály
a zdroje referenčního
napětí

Typ Použití	Statické hodnoty Rozměry	Mezní hodnoty
KZ299	<p>měřeno při $U_Z = 68 \dots 74 \text{ V}$ $U_Z = 68$</p> <p> I_Z $> 3,5$ mA I_Z < 1 mA </p>  <p>Předběžné údaje.</p>	<p> P_{tot} 4 W </p>

Symetrický omezovač na-
pětí složený ze Zenero-
vých diod pro přepětové
spínání (např. v telefon-
ní technice)

KŘEMÍKOVÉ USMĚRŇOVAČE 300 mA

T y p	Charakteristické údaje			Mezní hodnoty						
	$I_{AK} \text{ min}$ ($U_{AK}=1 \text{ V}$) mA	$I_{KA} \text{ při } U_{KA}$ max μA	U_{KA} V	$U_{KAM}^{1)}$ V	$U_{aef} \text{ při } R$ V	$zátěži$ C V	I_{AK} mA	$I_{AKM}^{1)}$ A	C_N μF	$R_o \text{ min}$ Ω
KY130/80	300	10	80	100	30	15	300	10	1600	2
KY130/150	300	10	150	180	60	30	300	10	1200	4
KY130/300	300	10	300	360	125	60	300	10	800	8
KY130/600	300	10	600	720	250	125	300	10	400	16
KY130/900	300	10	900	1100	380	190	300	10	300	27
KY130/1000	300	10	1000	1250	500	250	300	10	200	35

P o z n á m k y :

1. Ojedinělý impuls, $t \leq 10\text{ ms}$.

Max. 200 impulsů za 24 hodiny, doba mezi impulsy min. 2 vteřiny. Za sebou smí být nejvýše 5 impulsů.

2. Barevné označení — katoda:

KY130/80 zelená

KY130/150 modrá

KY130/300 červená

KY130/600 bílá

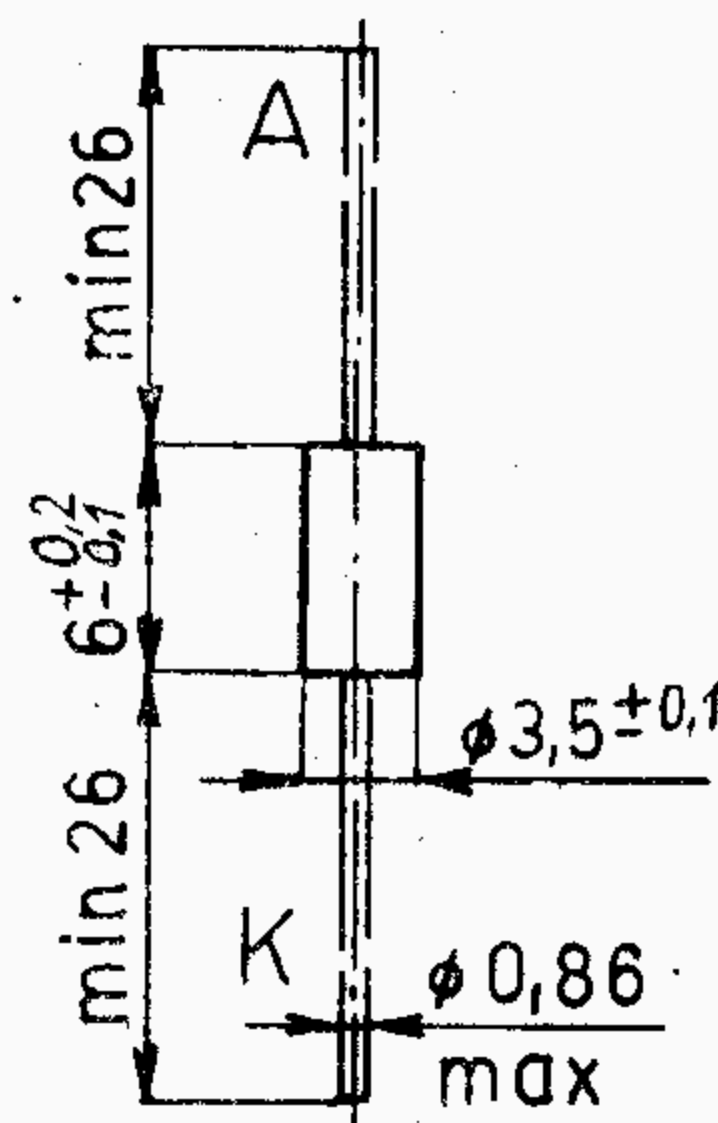
KY130/900 žlutá

KY130/1000 šedá

Pracovní kmitočet $f \max 15 \dots 1000\text{ Hz}$

Teplota okolí $T_a \max -40 \dots +100\text{ }^\circ\text{C}$

Teplota při skladování $T_s \max -4 \dots +100\text{ }^\circ\text{C}$



T y p	Charakteristické hodnoty				Mezní hodnoty					
	U_F ($I_F=1\text{ A}$) max V	I_R ($\vartheta_j=25\text{ }^\circ\text{C}$) max μA	$I_R \text{ při } U_R$ ($\vartheta_j=125\text{ }^\circ\text{C}$) max μA	U_R V	U_{RRM} V	$U_{aef} \text{ při } R$ zátěž V	C V	$I_{FAV}^{1)}$ A	C_N μF	$R_o \min$ Ω
KY701F, KY701R	1,15	50	350	80	80	30	15	0,7	1600	0,4
KY702F, KY702R	1,15	50	350	150	150	60	30	0,7	1200	0,6
KY703F, KY703R	1,15	50	350	300	300	125	60	0,7	800	1,2
KY704F, KY704R	1,15	50	350	600	600	250	125	0,7	400	2,5
KY705F, KY705R	1,15	50	350	900	900	380	190	0,7	300	4
KY706F, KY706R	1,15	50	350	1000	1000	500	250	0,7	200	5
KY721F	1,15	50	350	80	80	30	15	1	1600	0,4
KY722F	1,15	50	350	150	150	60	30	1	1200	0,6
KY723F	1,15	50	350	300	300	125	60	1	800	1,2
KY724F	1,15	50	350	600	600	250	125	1	400	2,5
KY725F	1,15	50	350	900	900	380	190	1	300	4
KY726F	1,15	50	350	1000	1000	500	250	1	200	5

$I_{FSM} (t \leq 10\text{ ms}) \max 30\text{ A}$

$f \max 15 \dots 1000\text{ Hz}$

$\vartheta_j \max 125\text{ }^\circ\text{C}$

$\vartheta_a, \vartheta_s \max -65 \dots 125\text{ }^\circ\text{C}$

$R_{th1} \max 10\text{ }^\circ\text{C/W}$ (KY701F řada)

$R_{th1} \max 7\text{ }^\circ\text{C/W}$ (KY721F řada)

¹⁾ $\vartheta_a \leq 55\text{ }^\circ\text{C}$

Rozměry viz str. 56

Typ Použití	Charakteristické údaje Rozměry	Mezní hodnoty
KY700 Křemíkový difúzní usměrňovač — pro usměrňování síťového napětí 220 V v televizních přijímačích.	měřeno při $U_F \leq 1,15 \text{ V}$ $I_F = 1 \text{ A}, \vartheta_a = 25^\circ\text{C}$ $U_R \leq 1000 \text{ V}$ $I_R = 2 \mu\text{A}, \vartheta_a = 25^\circ\text{C}$ $I_R \leq 150 \mu\text{A}$ $U_R = 1000 \text{ V}, \vartheta_c = 125^\circ\text{C}$	$U_{RRM} 1300 \text{ V}$ $U_{RSM} (t \leq 10 \text{ ms}) 1500 \text{ V}$ $U_{aef} (C) 250 \text{ V}$ $U_{aef} (R) 500 \text{ V}$ $I_{FAV} (\vartheta_a \leq 45^\circ\text{C}) 0,8 \text{ A}$ $I_{FSM} (t \leq 10 \text{ ms}) 30 \text{ A}$ $C_N 200 \pm 10 \% \mu\text{F}$ $R_o > 5 - 10 \% \Omega$ $\vartheta_j 150^\circ\text{C}$ $\vartheta_a -65 \dots +150^\circ\text{C}$ $R_{thja} 10^\circ\text{C/W}$
<p>KY700</p>	<p>KY701F, R řada</p>	<p>KY721F řada</p>

KREMÍKOVÉ USMERŇOVAČE 0,5 a 1 A

T y p	Charakteristické hodnoty			Mezní hodnoty						
	I_{AK}^{min} $U_{AK}=1,1\text{ V}$ mA	I_{KA} při U_{KA} max μA	U_{KA} V	$U_{a\text{ ef}}$ ²⁾ V	U_{KAM} V	I_{AK} mA	I_{AKM} A	$I_{AKM}^{imp\text{ }3)}$ A	C_N μF	R_p k Ω
32NP75	500	10	80	24	84	500	5	15	1000	82
33NP75	500	10	150	40	157	500	5	15	400	150
34NP75	500	10	250	60	262	500	5	15	300	270
35NP75	500	10	400	120	420	500	5	15	200	470
36NP75	500	10	700	220	735	500	5	15	100	680
37NP75	500 ¹⁾	10	1200	380	1260	500	5	15	50	1000
42NP75	1000	10	80	24	84	1000	10	30	1000	82
43NP75	1000	10	150	40	157	1000	10	30	400	150
44NP75	1000	10	250	60	262	1000	10	30	300	270
45NP75	1000	10	400	120	420	1000	10	30	200	470
46NP75	1000	10	700	220	735	1000	10	30	100	680
KY701,	1000	350 ⁴⁾	80	24	80	700 ⁵⁾	6	30 ⁶⁾	1000	Rochr = 0,8 Ω
KY702,	1000	350 ⁴⁾	150	40	150	700 ⁵⁾	6	30 ⁶⁾	500	1,5 Ω
KY703,	1000	350 ⁴⁾	250	60	250	700 ⁵⁾	6	30 ⁶⁾	400	2,5 Ω
KY704,	1000	350 ⁴⁾	400	120	400	700 ⁵⁾	6	30 ⁶⁾	300	4 Ω
KY705,	1000	350 ⁴⁾	700	220	700	700 ⁵⁾	6	30 ⁶⁾	200	7 Ω
KY721,	1000	350 ⁴⁾	80	24	80	1000 ⁵⁾	10	30 ⁶⁾	1000	Rochr = 0,8 Ω
KY722,	1000	350 ⁴⁾	150	40	150	1000 ⁵⁾	10	30 ⁶⁾	500	1,5 Ω
KY723,	1000	350 ⁴⁾	250	60	250	1000 ⁵⁾	10	30 ⁶⁾	400	2,5 Ω
KY724,	1000	350 ⁴⁾	400	120	400	1000 ⁵⁾	10	30 ⁶⁾	300	4 Ω
KY725,	1000	350 ⁴⁾	700	220	700	1000 ⁵⁾	10	30 ⁶⁾	200	7 Ω

Jen pro informaci. Nevyrábí se! Náhrada diodami KY701F až KY706F, KY721F až KY726F

32NP75 — 46NP75

Odpor zdroje min 7 Ω

Pracovní kmitočet 0 — 50 kHz

Pracovní teplota okolí

-40 ÷ +80 °C

Uvedené hodnoty platí

při $T_a = 25$ °C

KY701 — KY725

Teplota přechodu +125 °C

Teplota okolí $T_a = -65 \dots +125$ °C

Poznámky:

1) $U_{AK} = 1,15$ V

2) Pro filtr se vstupní kapacitou

3) Max 10 ms, max 200 proudových nárazů za 24 hod., min. doba mezi nárazy 2 s

4) $T_a = +125$ °C

5) $T_a \text{ max} = 55$ °C

6) $t \leq 10$ ms

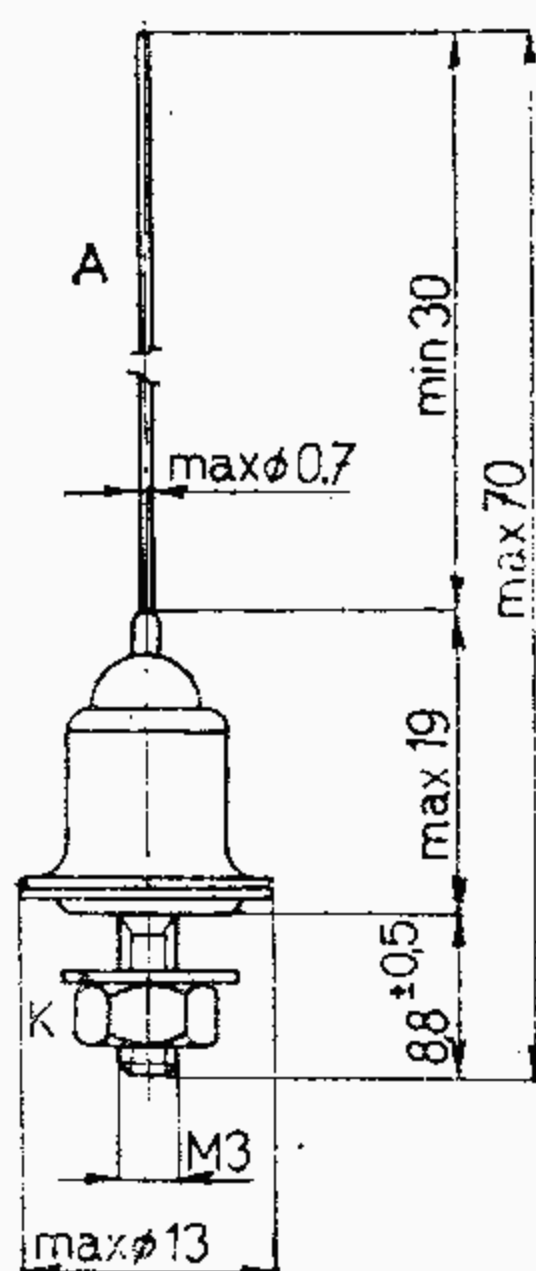
Uvedené provozní hodnoty platí při teplotě okolí 25 °C. Při vyšší teplotě je nutno snížit max inverzní napětí a střední usměrněný proud. Teplota pouzdra nesmí přestoupit +140 °C. Provozuje-li se usměrňovač při vyšší teplotě okolí než +80 °C doporučuje se připojit k základně hliníkovou chladičí destičku o ploše asi 25 cm².

Řadění usměrňovačů:

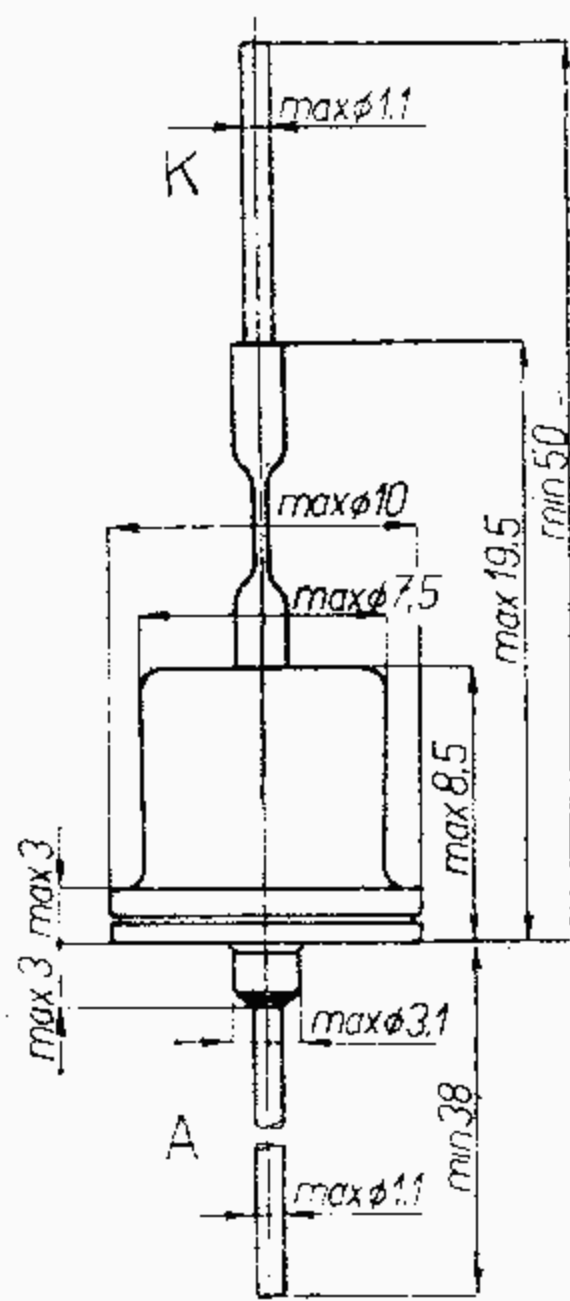
Usměrňovače lze řadit paralelně i sériově. Při sériovém řazení je nutno připojit ke každému usměrňovači paralelní odpor R_o , jehož hodnota je uvedena v tabulce. Pro paralelní řazení je třeba vybírat usměrňovače se stejnými charakteristikami v propustném směru.

Montáž:

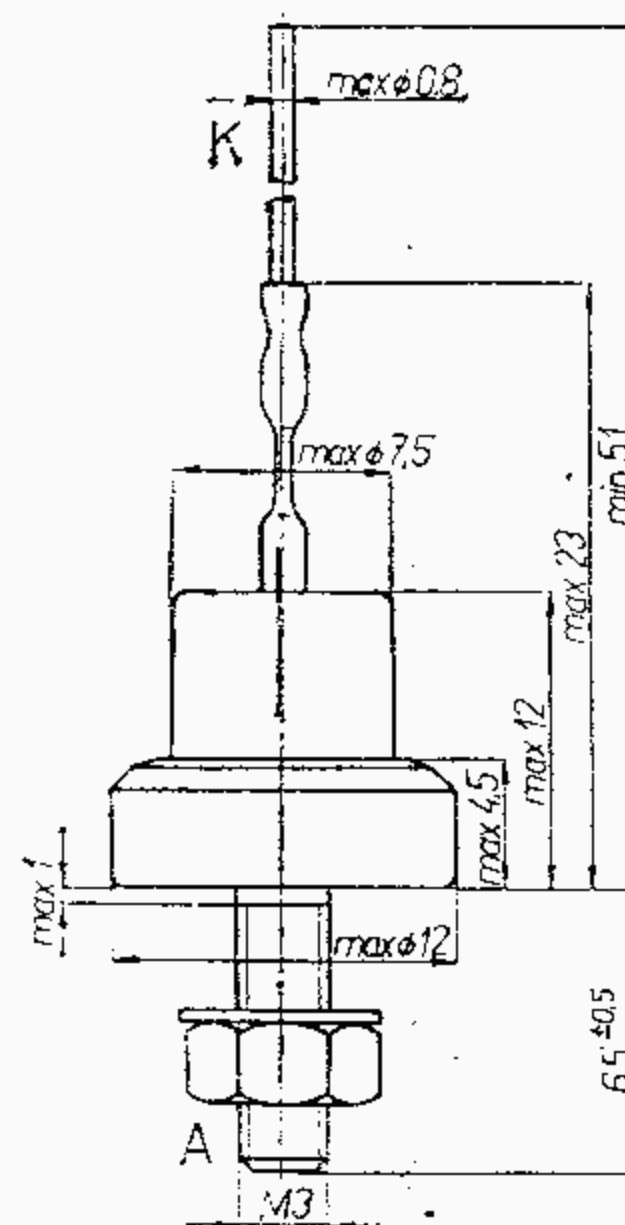
Usměrňovač se připojuje k montážnímu dílu šroubkem M3, který je součástí usměrňovače. Drátového přívodu se nesmí používat jako nosníku. Během pájení přívodu je nutno odvést škodlivé teplo uchycením přívodu do čelistí plochých kleští mezi pájeným bodem a usměrňovačem. Max doba zahřívání nezkráceného vývodu při pájení pájedlem s teplotou hrotu 250 °C je 6 vteřin.



32NP75 — 46NP75



KY701 — KY705



KY721 — KY725

Typ Použití	Charakteristické údaje	Provozní hodnoty	Mezní hodnoty
KA220/05	T_a 25 °C I_{KA} <10 μ A U_{KA} 700 V <hr/> U_{AK} <5,2 V I_{AK} 0,5 A <hr/> T_p +125 °C I_{KA} <850 μ A U_{KA} 700 V	T_a max +80 °C U_{eff} 220 V I_{AK} max 500 mA R_o >7 10 Ω C_N 100 200 μ F	T_a +80 °C U_{KAM} 720 V I_{AK} 0,5 A I_{AKM} 5 A $I_{AMK imp}^{1)}$ 15 A R_o >7 Ω C_N 200 μ F
			<p>¹⁾ Max 200 nárazů za 24 hodiny ve dvou-vteřinových intervalech.</p>

Křemíkový usměrňovací blok pro usměrňování síťového napětí 220 V ve zdrojích s kapacitní zátěží.

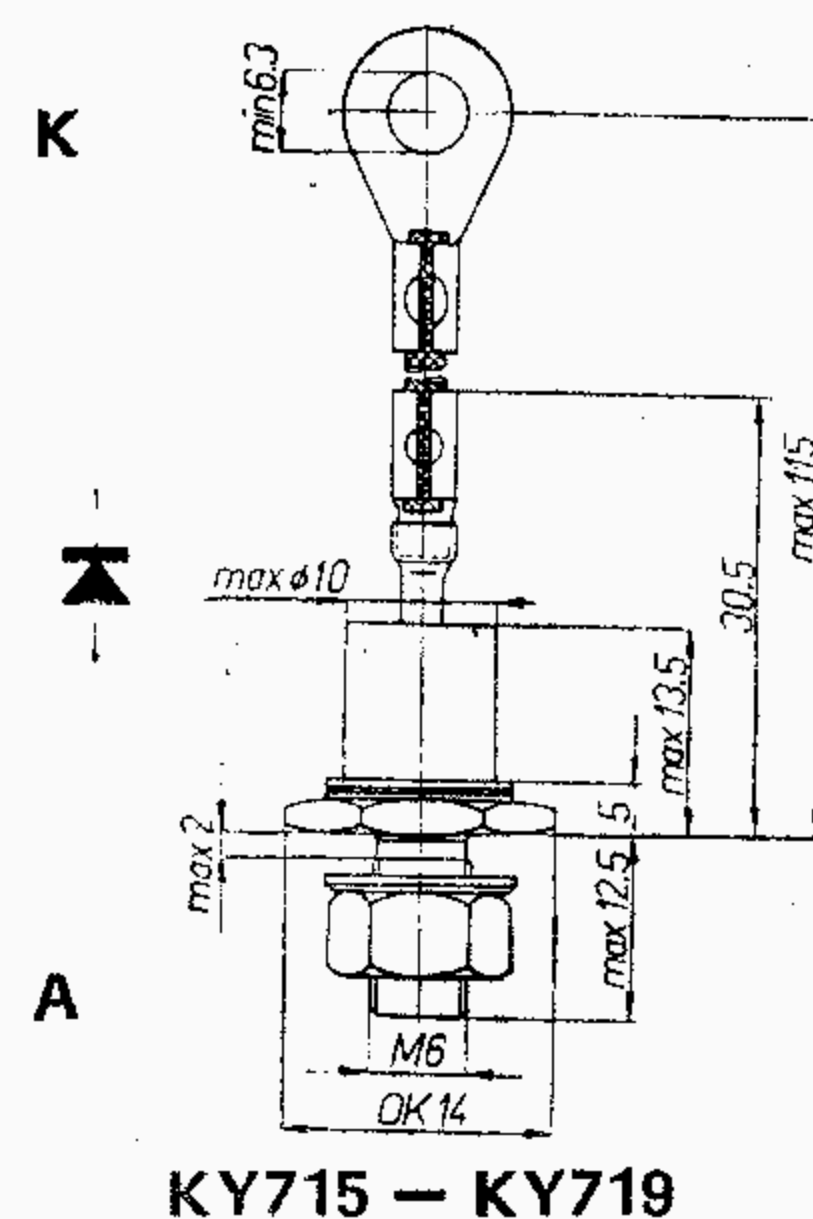
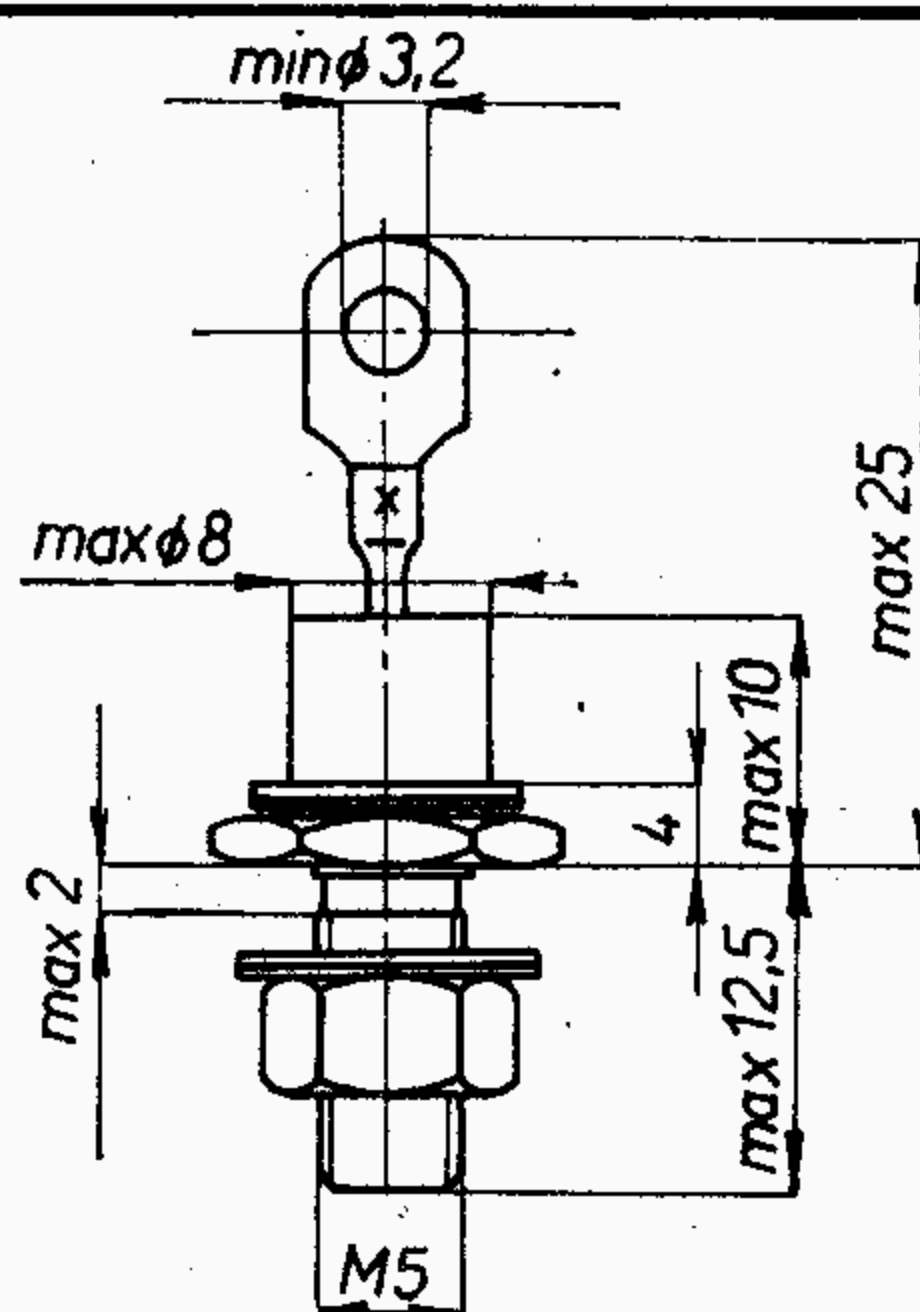
KŘEMÍKOVÉ USMĚRNOVAČE 10 a 20 A

Typ	Charakteristické údaje			Mezní hodnoty							
	I_{AK} $U_{AK} \leq 1,1 \text{ V}$ A	I_{KA} při U_{KA} max μA	V	$U_{aef}^{1)}$ V	U_{KA} V	$U_{KAM}^{2)}$ V	$U_{KAM imp}^{3)}$ V	$I_O^{4)}$ A	$I_O^{5)}$ A	$I_{AKM}^{2)}$ A	$I_{AKM imp}^{3) 5)}$ A
KY708	10	60	100	30	90	100	120	2	10	40	80
KY710	10	60	200	60	180	200	240	2	10	40	80
KY711	10	60	300	90	270	300	360	2	10	40	80
KY712	10	60	400	120	360	400	480	2	10	40	80
KY715	20	100	100	30	90	100	120	4	20	70	140
KY717	20	100	200	60	180	200	240	4	20	70	140
KY718	20	100	300	90	270	300	360	4	20	70	140
KY719	20	100	400	120	360	400	480	4	20	70	140

T_j max	+155	°C	
T_a max	-60...+150	°C	
P_d max	12	W	KY708 – KY712
	24	W	KY715 – KY719
K_1	2	°C/W	KY708 – KY712
	1,5	°C/W	KY715 – KY719

- 1) Pro filtr se vstupní kapacitou
2) Sinusový průběh, $f > 20 \text{ Hz}$
3) $t < 10 \text{ ms}$
4) $T_a \text{ max} = 40 \text{ °C}$, bez chlazení
5) $T_a \text{ max} = 85 \text{ °C}$, s chladič plochou
Platí při teplotě okolí 25 °C .

KY708 – KY712



KŘEMÍKOVÉ USMĚRNOVAČE 20 A PRO ALTERNÁTORY

Typ	Charakteristické údaje			Mezní hodnoty						
	I_{AK} $U_{AK} \leq 1,1 \text{ V}$ A	I_{KA} při U_{KA} max μA	V	U_{KA} V	$U_{KAM}^{1)}$ V	$U_{KAM imp}^{2)}$ V	$I_O^{3)}$ A	$I_O^{4)}$ A	$I_{AKM}^{1)}$ A	$I_{AKM imp}^{2) 5)}$ A
KYZ70	20	100	50	45	50	60	20	4	70	1400
KYZ71	20	100	100	90	100	120	20	4	70	1400
KYZ72	20	100	200	180	200	240	20	4	70	1400
KYZ73	20	100	300	270	300	360	20	4	70	1400
KYZ74	20	100	400	360	400	480	20	4	70	1400
KYZ75	20	100	50	45	50	60	20	4	70	1400
KYZ76	20	100	100	90	100	120	20	4	70	1400
KYZ77	20	100	200	180	200	240	20	4	70	1400
KYZ78	20	100	300	270	300	360	20	4	70	1400
KYZ79	20	100	400	360	400	480	20	4	70	1400

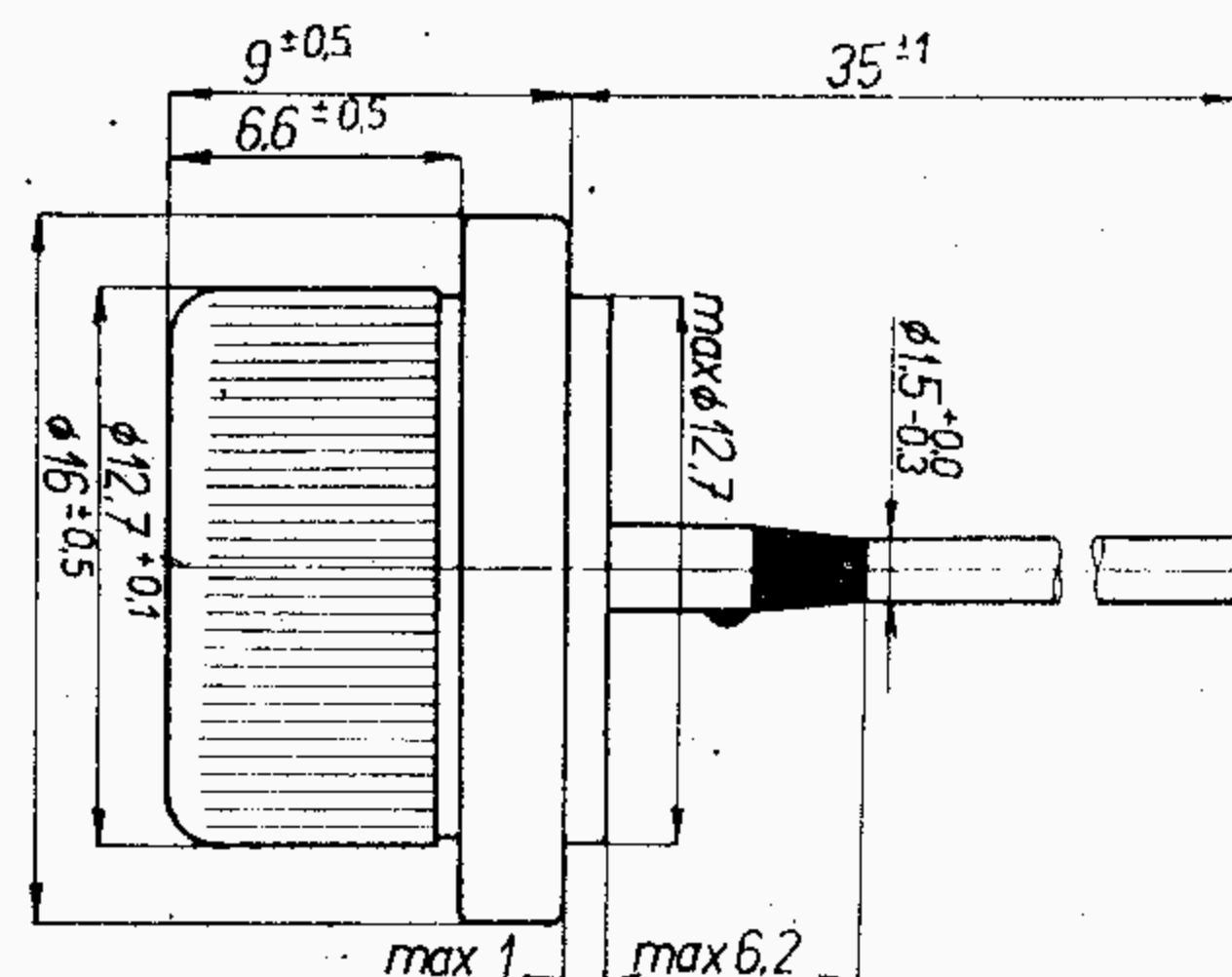
P_C max	24	W
T_j max	155	°C
T_a max	-55...+155	°C
R_{t1} max	2,2	°C/W

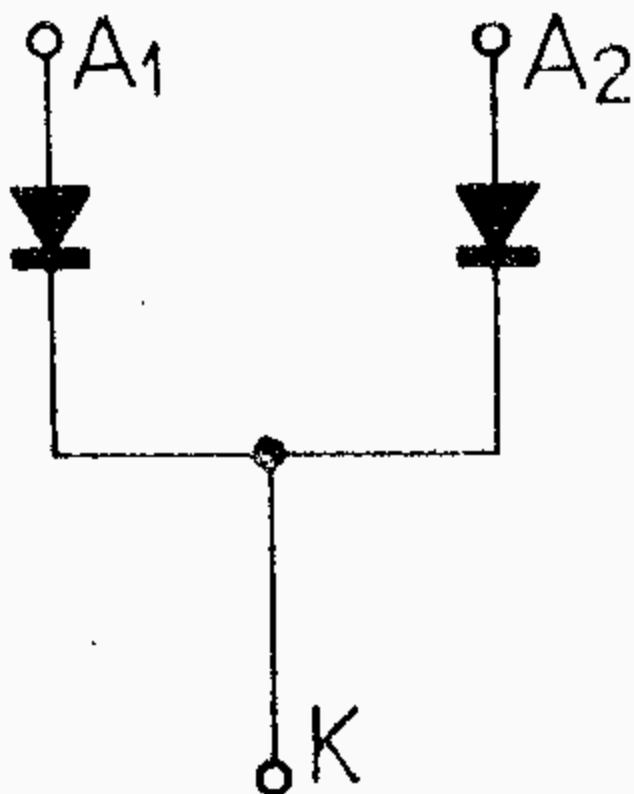
- 1) $f > 20 \text{ Hz}$ (sinusový průběh)
2) Max. 10 ms, max 200 nárazů za 24 hodiny
3) Aritmetická střední hodnota
4) $T_a \text{ max} 40 \text{ °C}$
5) $T_a \text{ max} 85 \text{ °C}$

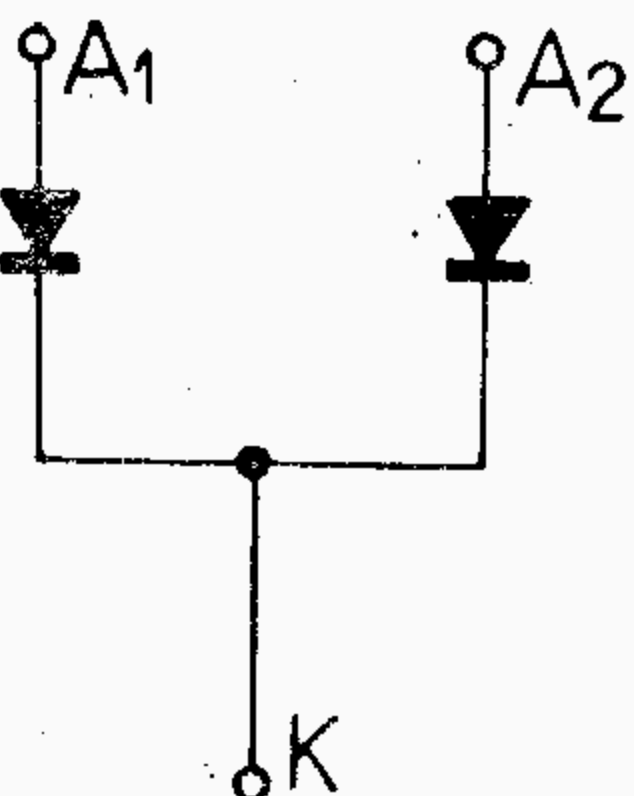
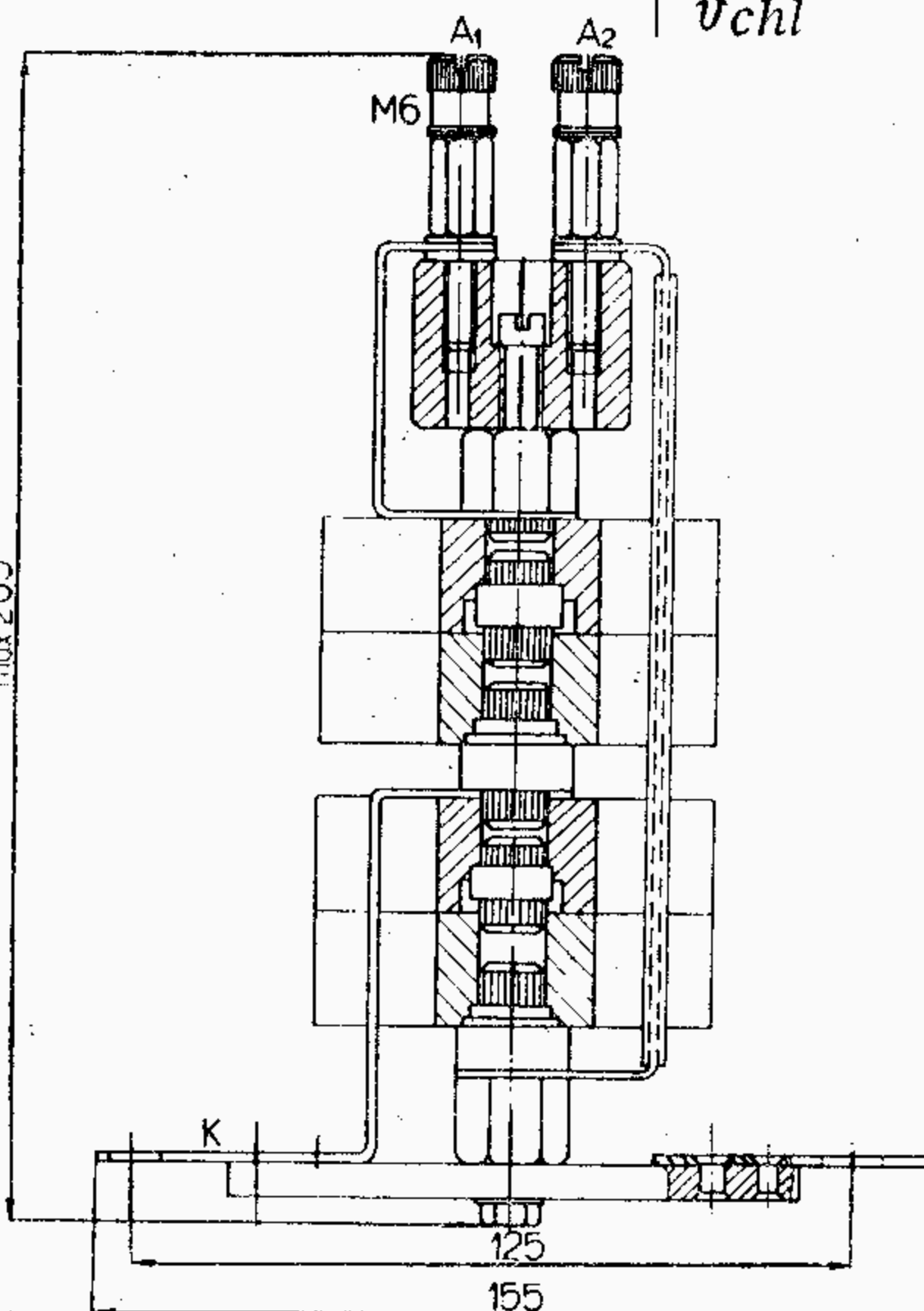
KYZ70-KYZ74

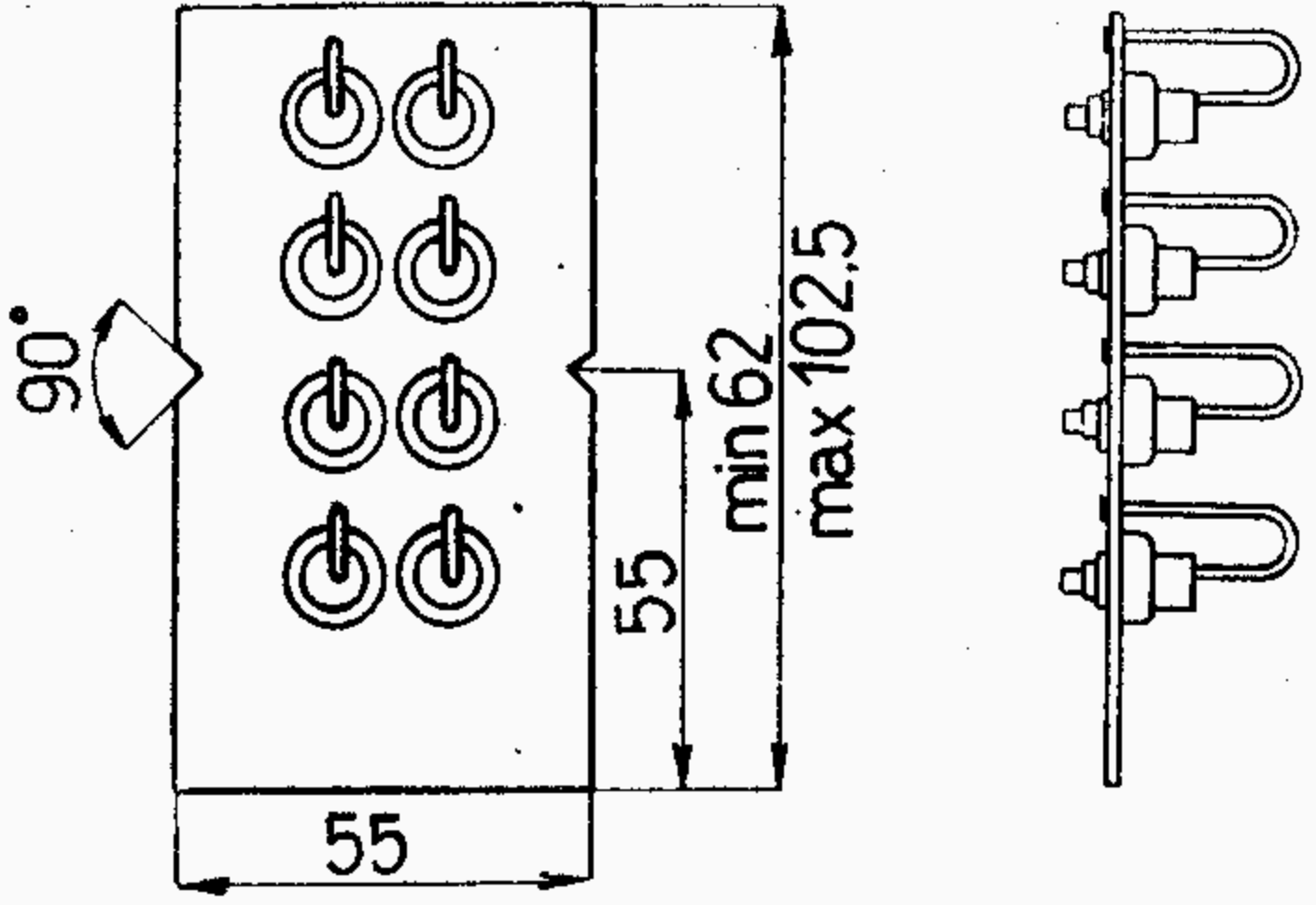


KYZ75-KYZ79



Typ Použití	Provozní hodnoty Rozměry	Mezní hodnoty
<div>KY238</div> <div></div> <div><p>Křemíkový usměrňovací blok — náhrada za usměrňovací výbojku 1738 pro nabíječe akumulátorů a průmyslové účely.</p></div>	<div><div><div><div><div><div></div><div></div></div><div><div></div><div></div></div></div><div><div></div><div></div></div><div><div></div><div></div></div></div><div><div></div><div></div></div><div><div></div><div></div></div></div><div><div></div><div></div></div><div><div></div><div></div></div></div> <div><div></div><div></div></div> <div><div></div><div></div></div> <div><div></div><div></div></div> <div><div></div><div></div></div> <div><div></div><div></div></div> <div><div></div><div></div></div> <div><div></div><div></div></div> <div><div></div><div></div></div> <div><div></div><div></div></div> <div><div></div><div></div></div> <div><div></div><div></div></div> <div><div></div><div></div></div> <div><div></div><div></div></div> <div><div></div><div></div></div> <div><div></div><div></div></div> <div><div></div><div></div></div> <div><div></div><div></div></div> <div><div></div><div></div></div> <div><div></div><div></div></div> <div><div></div><div></div></div> <div><div></div><div></div></div> <div><div></div><div></div></div> <div><div></div><div></div></div> <div><div></div><div></div></div> <div><div></div><div></div></div> <div><div></div><div></div></div> <div><div></div><div></div></div> <div><div></div><div></div></div> <div><div></div><div></div></div> <div><div></div><div></div></div> <div><div></div><div></div></div> <div><div></div><div></div></div> <div><div></div><div></div></div> <div><div></div><div></div></div> <div><div></div><div></div></div> <div><div></div><div></div></div> <div><div></div><div></div></div> <div><div></div><div></div></div> <div><div></div><div></div></div> <div><div></div><div></div></div> <div><div></div><div></div></div> <div><div></div><div></div></div> <div><div></div><div></div></div> <div><div></div><div></div></div> <div><div></div><div></div></div> <div><div></div><div></div></div> <div><div></div><div></div></div> <div><div></div><div></div></div> <div><div></div><div></div></div> <div><div></div><div></div></div> <div><div></div><div></div></div> <div><div></div><div></div></div> <div><div></div><div></div></div> <div><div></div><div></div></div> <div><div></div><div></div></div> <div><div></div><div></div></div> <div><div></div><div></div></div> <div><div></div><div></div></div> <div><div></div><div></div></div> <div><div></div><div></div></div> <div><div></div><div></div></div> <div><div></div><div></div></div> <div><div></div><div></div></div> <div><div></div><div></div></div> <div><div></div><div></div></div> <div><div></div><div></div></div> <div><div></div><div></div></div> <div><div></div><div></div></div> <div><div></div><div></div></div> <div><div></div><div></div></div> <div><div></div><div></div></div> <div><div></div><div></div></div> <div><div></div><div></div></div> <div><div></div><div></div></div> <div><div></div><div></div></div> <div><div></div><div></div></div> <div><div></div><div></div></div> <div><div></div><div></div></div> <div><div></div><div></div></div> <div><div></div><div></div></div> <div><div></div><div></div></div> <div><div></div><div></div></div> <div><div></div><div></div></div> <div><div></div><div></div></div> <div><div></div><div></div></div> <div><div></div><div></div></div> <div><div></div><div></div></div> <div><div></div><div></div></div> <div><div></div><div></div></div> <div><div></div><div></div></div> <div><div></div><div></div></div> <div><div></div><div></div></div> <div><div></div><div></div></div> <div><div></div><div></div></div> <div><div></div><div></div></div> <div><div></div><div></div></div> <div><div></div><div></div></div> <div><div></div><div></div></div> <div><div></div><div></div></div> <div><div></div><div></div></div> <div><div></div><div></div></div> <div><div></div><div></div></div> <div><div></div><div></div></div> <div><div></div><div></div></div> <div><div></div><div></div></div> <div><div></div><div></div></div> <div><div></div><div></div></div> <div><div></div><div></div></div> <div><div></div><div></div></div> <div><div></div><div></div></div> <div><div></div><div></div></div> <div><div></div><div></div></div> <div><div></div><div></div></div> <div><div></div><div></div></div> <div><div></div><div></div></div> <div><div></div><div></div></div> <div><div></div><div></div></div> <div><div></div><div></div></div> <div><div></div><div></div></div> <div><div></div><div></div></div> <div><div></div><div></div></div> <div><div></div><div></div></div> <div><div></div><div></div></div> <div><div></div><div></div></div> <div><div></div><div></div></div> <div><div></div><div></div></div> <div><div></div><div></div></div> <div><div></div><div></div></div> <div><div></div><div></div></div> <div><div></div><div></div></div> <div><div></div><div></div></div> <div><div></div><div></div></div> <div><div></div><div></div></div> <div><div></div><div></div></div> <div><div></div><div></div></div> <div><div></div><div></div></div> <div><div></div><div></div></div> <div><div></div><div></div></div> <div><div></div><div></div></div> <div><div></div><div></div></div> <div><div></div><div></div></div> <div><div></div><div></div></div> <div><div></div><div></div></div> <div><div></div><div></div></div> <div><div></div><div></div></div> <div><div></div><div></div></div> <div><div></div><div></div></div> <div><div></div><div></div></div> <div><div></div><div></div></div> <div><div></div><div></div></div> <div><div></div><div></div></div> <div><div></div><div></div></div> <div><div></div><div></div></div> <div><div></div><div></div></div> <div><div></div><div></div></div> <div><div></div><div></div></div> <div><div></div><div></div></div> <div><div></div><div></div></div> <div><div></div><div></div></div> <div><div></div><div></div></div> <div><div></div><div></div></div> <div><div></div><div></div></div> <div><div></div><div></div></div> <div><div></div><div></div></div> <div><div></div><div></div></div> <div><div></div><div></div></div> <div><div></div><div></div></div> <div><div></div><div></div></div> <div><div></div><div></div></div> <div><div></div><div></div></div> <div><div></div><div></div></div> <div><div></div><div></div></div> <div><div></div><div></div></div> <div><div></div><div></div></div> <div><div></div><div></div></div> <div><div></div><div></div></div> <div><div></div><div></div></div> <div><div></div><div></div></div> <div><div></div><div></div></div> <div><div></div><div></div></div> <div><div></div><div></div></div> <div><div></div><div></div></div> <div><div></div><div></div></div> <div><div></div><div></div></div> <div><div></div><div></div></div> <div><div></div><div></div></div> <div><div></div><div></div></div> <div><div></div><div></div></div> <div><div></div><div></div></div> <div><div></div><div></div></div> <div><div></div><div></div></div> <div><div></div><div></div></div> <div><div></div><div></div></div> <div><div></div><div></div></div> <div><div></div><div></div></div> <div><div></div><div></div></div> <div><div></div><div></div></div> <div><div></div><div></div></div> <div><div></div><div></div></div> <div><div></div><div></div></div> <div><div></div><div></div></div> <div><div></div><div></div></div> <div><div></div><div></div></div> <div><div></div><div></div></div> <div><div></div><div></div></div> <div><div></div><div></div></div> <div><div></div><div></div></div> <div><div></div><div></div></div> <div><div></div><div></div></div> <div><div></div><div></div></div> <div><div></div><div></div></div> <div><div></div><div></div></div> <div><div></div><div></div></div> <div><div></div><div></div></div> <div><div></div><div></div></div> <div><div></div><div></div></div> <div><div></div><div></div></div> <div><div></div><div></div></div> <div><div></div><div></div></div> <div><div></div><div></div></div> <div><div></div><div></div></div> <div><div></div><div></div></div> <div><div></div><div></div></div> <div><div></div><div></div></div> <div><div></div><div></div></div> <div><div></div><div></div></div> <div><div></div><div></div></div> <div><div></div><div></div></div> <div><div></div><div></div></div> <div><div></div><div></div></div> <div><div></div><div></div></div> <div><div></div><div></div></div> <div><div></div><div></div></div> <div><div></div><div></div></div> <div><div></div><div></div></div> <div><div></div><div></div></div> <div><div></div><div></div></div> <div><div></div><div></div></div> <div><div></div><div></div></div> <div><div></div><div></div></div> <div><div></div><div></div></div> <div><div></div><div></div></div> <div><div></div><div></div></div> <div><div></div><div></div></div> <div><div></div><div></div></div> <div><div></div><div></div></div> <div><div></div><div></div></div> <div><div></div><div></div></div> <div><div></div><div></div></div> <div><div></div><div></div></div> <div><div></div><div></div></div> <div><div></div><div></div></div> <div><div></div><div></div></div> <div><div></div><div></div></div> <div><div></div><div></div></div> <div><div></div><div></div></div> <div><div></div><div></div></div> <div><div></div><div></div></div> <div><div></div><div></div></div> <div><div></div><div></div></div> <div><div></div><div></div></div> <div><div></div><div></div></div> <div><div></div><div></div></div> <div><div></div><div></div></div> <div><div></div><div></div></div> <div><div></div><div></div></div> <div><div></div><div></div></div> <div><div></div><div></div></div> <div><div></div><div></div></div> <div><div></div><div></div></div> <div><div></div><div></div></div> <div><div></div><div></div></div> <div><div></div><div></div></div> <div><div></div><div></div></div> <div><div></div><div></div></div> <div><div></div><div></div></div> <div><div></div><div></div></div> <div><div></div><div></div></div> <div><div></div><div></div></div> <div><div></div><div></div></div> <div><div></div><div></div></div> <div><div></div><div></div></div> <div><div></div><div></div></div> <div><div></div><div></div></div> <div><div></div><div></div></div> <div><div></div><div></div></div> <div><div></div><div></div></div> <div><div></div><div></div></div> <div><div></div><div></div></div> <div><div></div><div></div></div> <div><div></div><div></div></div> <div><div></div><div></div></div> <div><div></div><div></div></div> <div><div></div><div></div></div> <div><div></div><div></div></div> <div><div></div><div></div></div> <div><div></div><div></div></div> <div><div></div><div></div></div> <div><div></div><div></div></div> <div><div></div><div></div></div> <div><div></div><div></div></div> <div><div></div><div></div></div> <div><div></div><div></div></div> <div><div></div><div></div></div> <div><div></div><div></div></div> <div><div></div><div></div></div> <div><div></div><div></div></div> <div><div></div><div></div></div> <div><div></div><div></div></div> <div><div></div><div></div></div> <div><div></div><div></div></div> <div><div></div><div></div></div> <div><div></div><div></div></div> <div><div></div><div></div></div> <div><div></div><div></div></div> <div><div></div><div></div></div> <div><div></div><div></div></div> <div><div></div><div></div></div> <div><div></div><div></div></div> <div><div></div><div></div></div> <div><div></div><div></div></div> <div><div></div><div></div></div>	

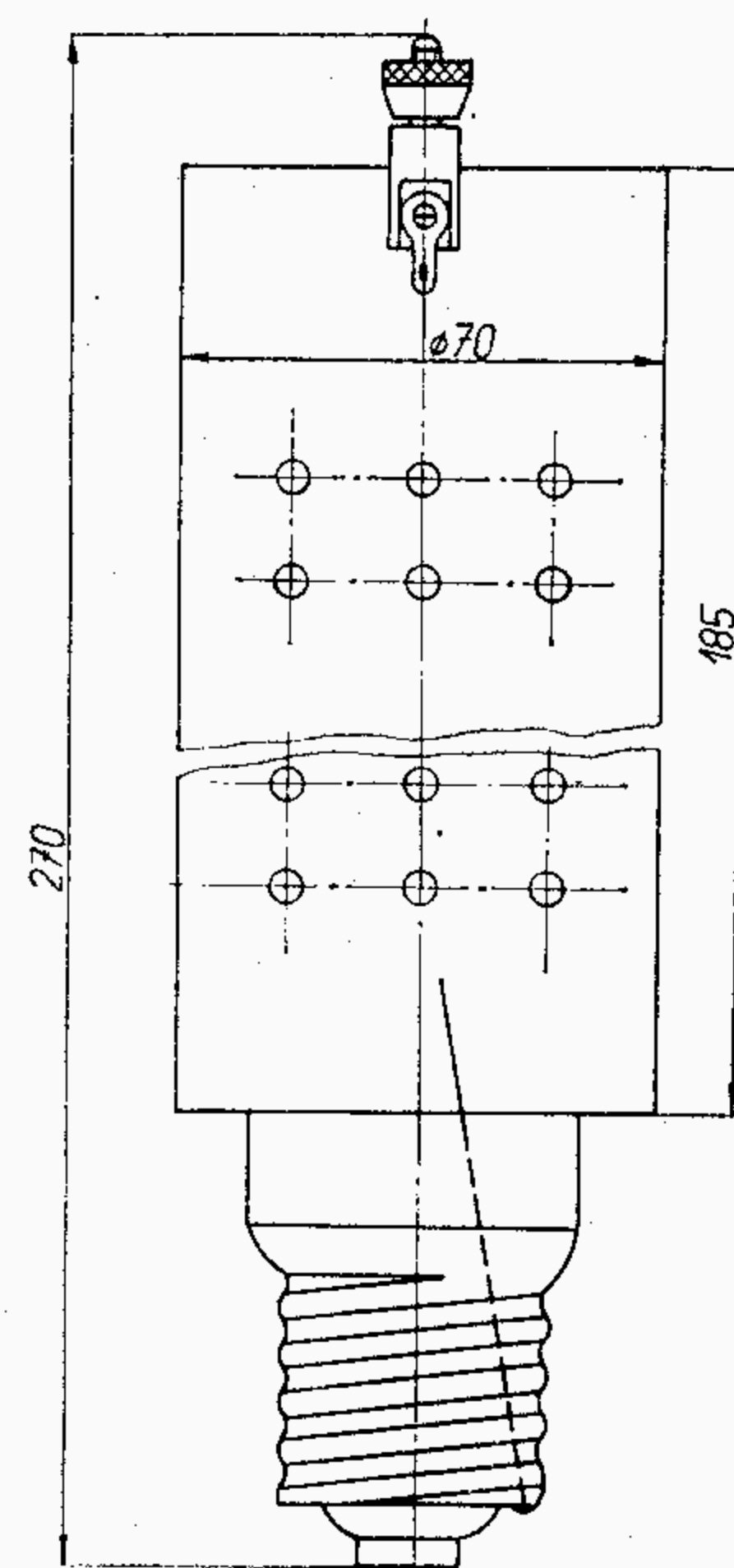
Typ Použití	Provozní hodnoty Rozměry				Mezní hodnoty			
KY249 KY249S	Dvoucestný usměrňovač s KY249				KY249 KY249S			
	$U_{a\ ef}$	min. 2×30	max 2×150	V	I_{FAV}	25	25	A
	R_o	0,1	0,1	Ω	I_{FRM}	75	75	A
	I_{FAV}	25	25	A	$U_{a\ ef}$	2×95	2×190	V
	Dvoucestný usměrňovač s KY249S				$U_{a\ ef}$	—	$> 2 \times 40$	V
	$U_{a\ ef}$	min. 2×40	V		U_{RRM}	2×270	2×540	V
	R_o	0,1	Ω		ϑ_{chl}	100	100	$^{\circ}\text{C}$
	I_{FAV}	25	A					
	$U_{a\ ef}$	max 2×300	V					
	R_o	0,1	Ω					
I_{FAV}	25	A						
								
Křemíkový usměrňovací blok — náhrada za usměrňovací výbojku 1749 a 1749S pro nabíječe akumulátorů a průmyslové účely.								

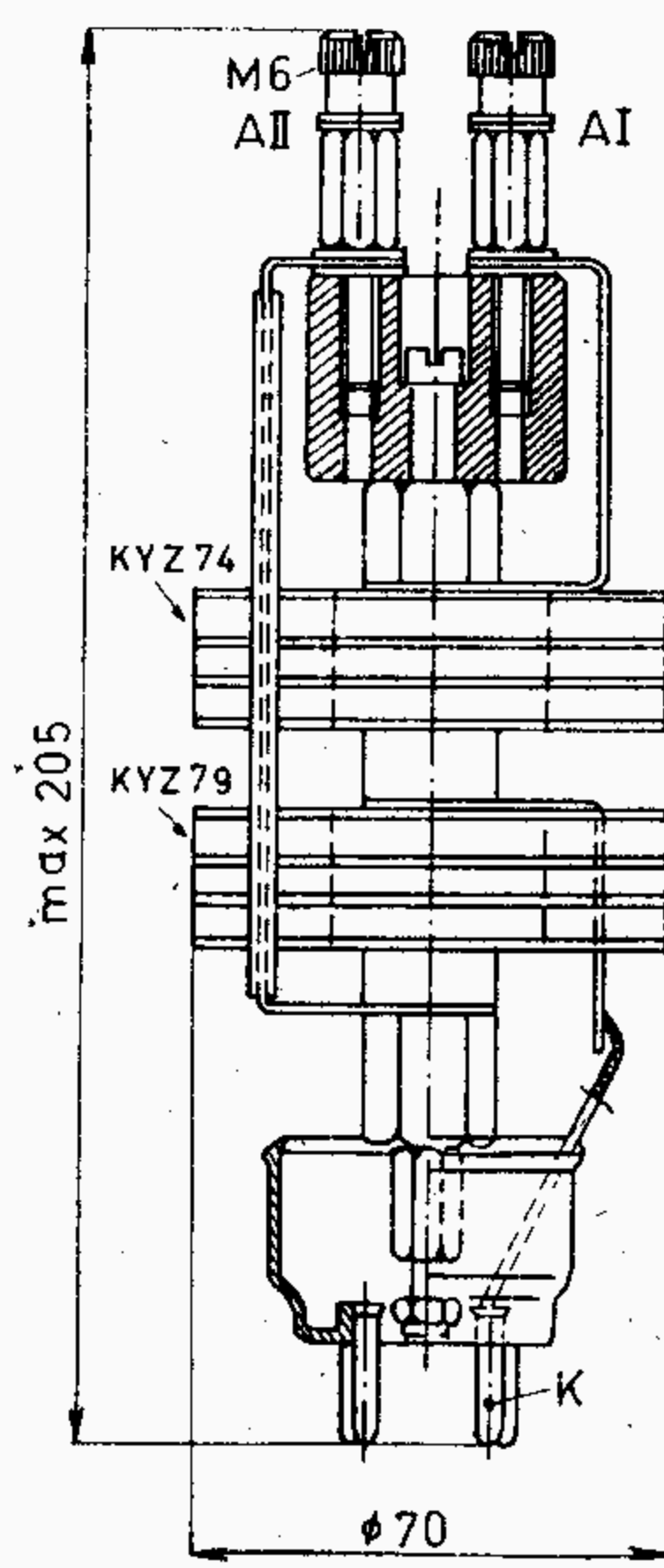
Typ Použití	Statické hodnoty Rozměry	Mezní hodnoty
KY285	$I_{KA} < 10 \mu A$ $I_{KA} < 350 \mu A$ $U_{AK} < 4,5 V$ $I_{AK} = 1 A$ $U_{KA} = 1000 V, T_a = 125 ^\circ C$ $U_{KA} = 1000 V$	$U_{KA} 1000 V$ $U_{KAM} 1120 V$ $I_{AK} 1 A$ $I_{AKM} ^{1)} 10 A$ $I_{AKM imp} 30 A$ $C_N 400 \mu F$ $R_o > 10 \Omega$
Křemíkový usměrňovací blok dvoucestný usměrňovač střídavého napětí 2 × 300 V.	 <p>Předběžné údaje.</p>	$^1) t \leq 10 ms$

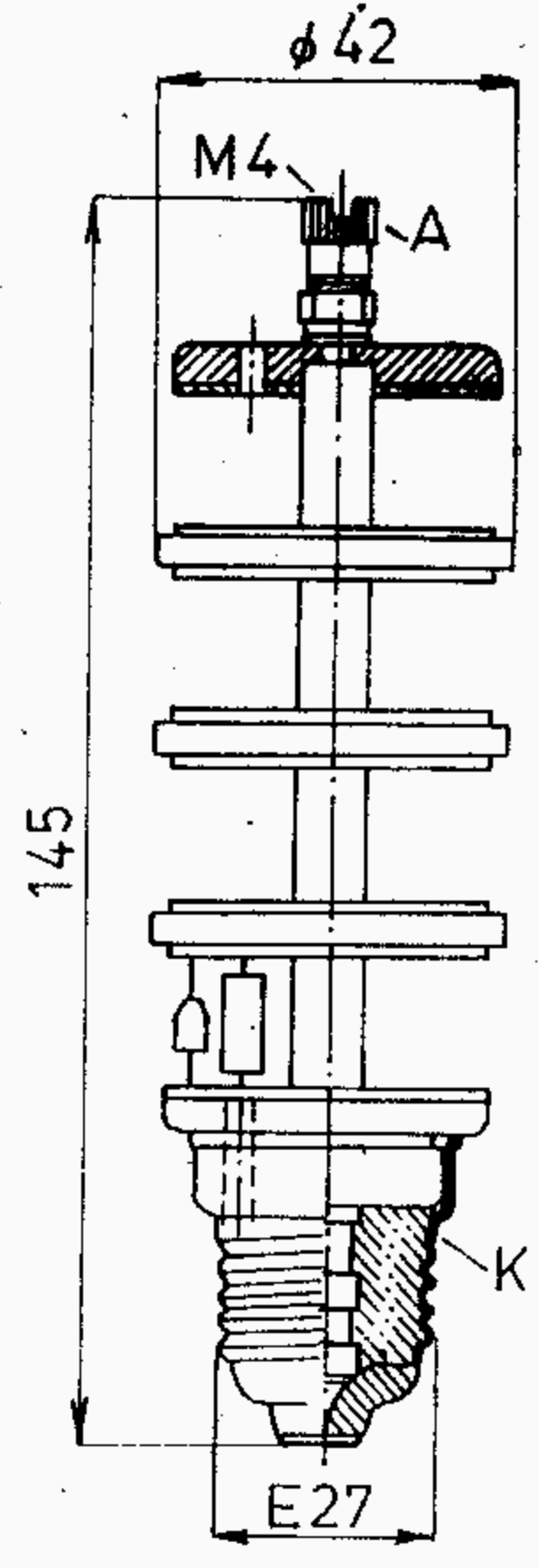
KŘEMÍKOVÉ VYSOKONAPĚTOVÉ USMĚRŇOVAČE

Typ	I_{AK} při A	U_{AK} max V	Mezní hodnoty		
			U_{KA} kV	$U_{a ef} ^{1)}$ V	I_{AK} A
KY287	0,5	9	4	1,2	0,5
KY288	0,5	18	8	2,4	0,5
KY289	0,5	27	12	3,6	0,5
KY292	1	4,5	2	0,6	1
KY293	1	9	4	1,2	1
KY294	1	13,5	6	1,8	1
KY295	1	18	8	2,4	1

¹⁾ Platí pro kapacitní vstup filtru.
 Patice: E40 — Goliáš.

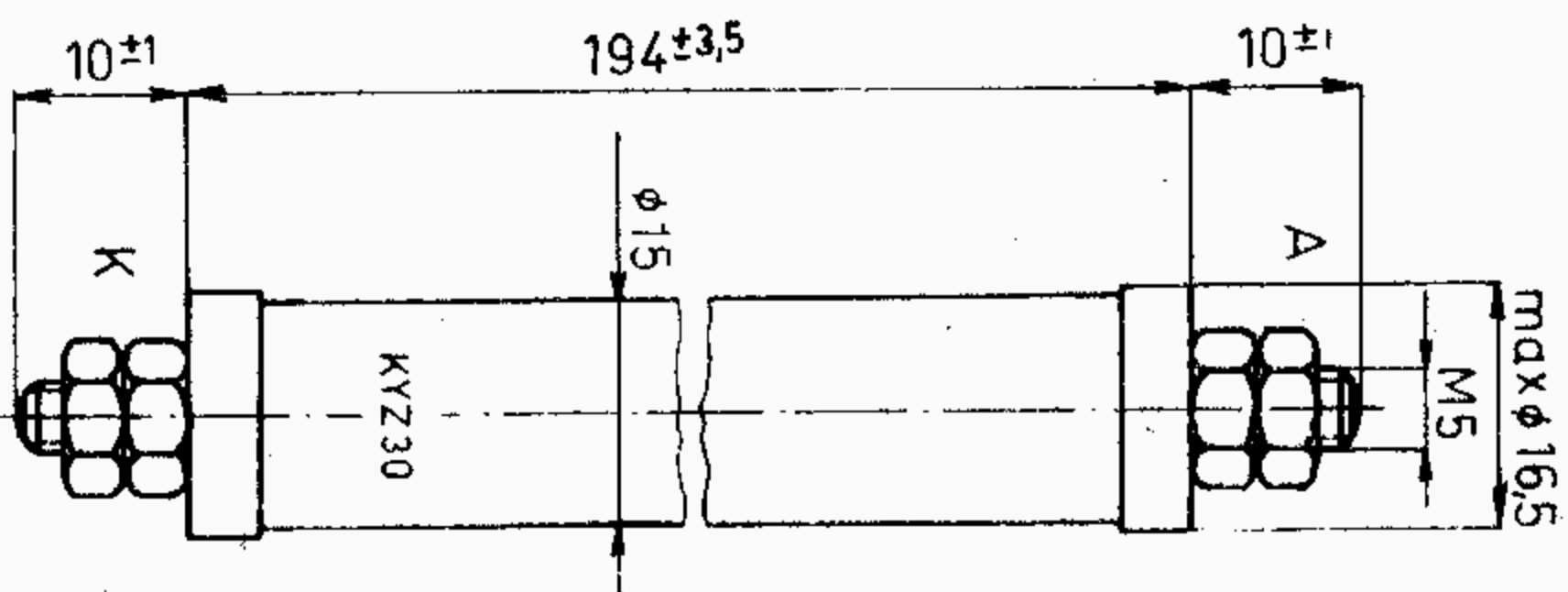
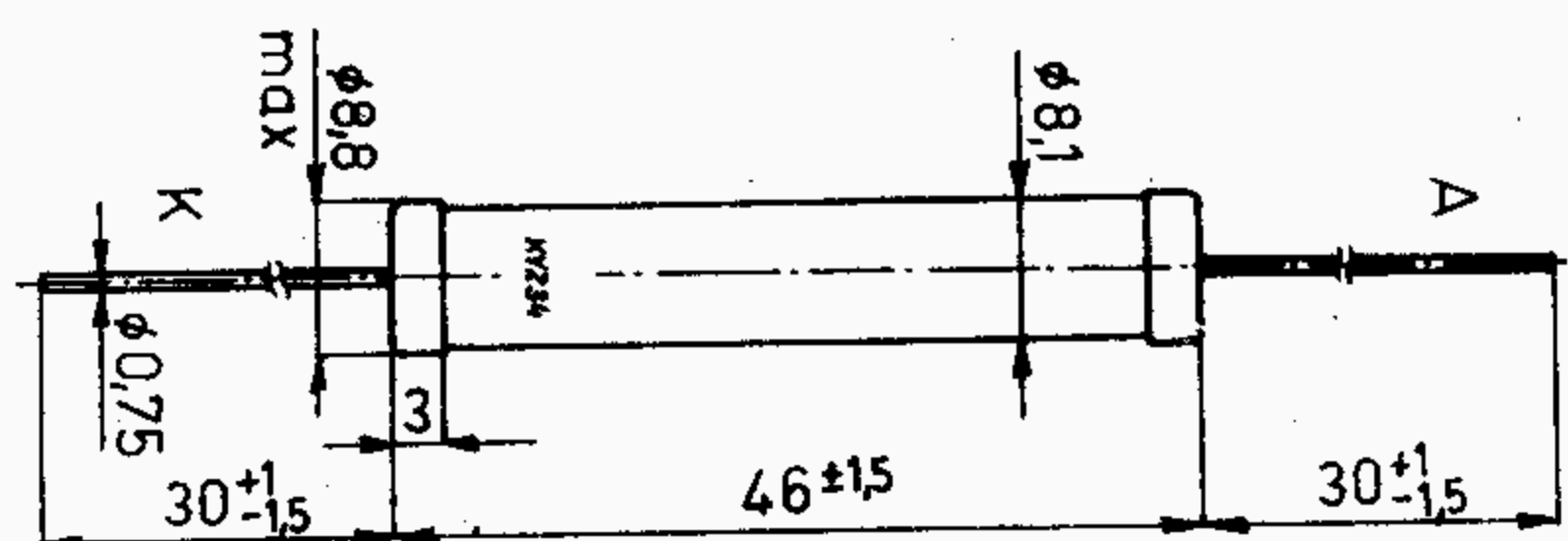


Typ Použití	Provozní hodnoty Rozměry	Mezní hodnoty
KY290 Dvoucestný křemíkový usměrňovač - náhrada za usměrňovací výbojku 1710 pro nabíječe akumulátorů a průmyslové účely.	<div> <div> U_F 16 V Dvoucestný usměrňovač: $U_{a\ ef}$ 2×25 V R_o 2,5 Ω I_{FAV} 3 A </div> <div> měřeno při $I_F = 3\text{ A}$ </div> </div> 	I_{FAV} 3 A I_{FRM} 9 A $U_{a\ ef}$ 2×150 V U_{RRM} 2×425 V ϑ_{chl} 100 $^{\circ}\text{C}$

Typ Použití	Provozní hodnoty Rozměry	Mezní hodnoty
KY291 Křemíkový usměrňovací blok - náhrada za vn usměrňovací výbojku DCG4/1000 v napájecích zdrojích zesilovačů a ma- lých vysílačů.	<div> <div> U_F 16 V Dvoucestný usměrňovač $U_{a\ ef}$ $2 \times 3,5$ kV I_{FM} 500 mA U_O 3150 V Třífázový usměrňovač $U_{a\ ef}$ $3 \times 4,1$ kV I_{FM} 750 mA U_O 4800 V </div> <div> měřeno při $I_F = 0,25\text{ A}$ </div> </div> 	I_{FAV} 0,25 A I_{FRM} 1 A U_{RRM} 10 kV ϑ_d 70 $^{\circ}\text{C}$

Typ Použití	Statické hodnoty Rozměry					Mezní hodnoty																											
KY298 KY299	KY299		KY298			KY299 KY298																											
	$U_{AK} \leq 5,5$	$\leq 4,5$	V	$I_{AK} = 0,5$	A	Platí pro každou větev:																											
	$U_{KA} \geq 1000$	≥ 2000	V	$I_{KA} = 100$	μA	U_{KA}	1000	2000 V																									
						U_{KAM}	1250	2400 V																									
						$U_{a\ ef}^1)$	300	600 V																									
						I_O	300	500 mA																									
						I_{AKM}	3	5 A																									
						$I_{AKM\ imp}^2)$	9	15 A																									
						f	25–500	500 Hz																									
						C_N	100	100 μF																									
						R_o	> 10	> 10 Ω																									
						T_j	+125	+155 $^{\circ}C$																									
						T_a, T_s																											
						KY299	-60...+ 70	$^{\circ}C$																									
						KY298	-55...+100	$^{\circ}C$																									
						K		12 $^{\circ}C/W$																									
<div>Dvoucestný usměrňovač:</div> <table><thead><tr><th></th><th>KY299</th><th>KY298</th><th></th></tr></thead><tbody><tr><td>$U_{a\ ef}$</td><td>2 X 300</td><td>2 X 600</td><td>V</td></tr><tr><td>$R_o\ min$</td><td>2 X 10</td><td>2 X 10</td><td>Ω</td></tr><tr><td>$C_N\ max$</td><td>100</td><td>100</td><td>μF</td></tr><tr><td>$I_{AK\ max}$</td><td>0,3</td><td>0,5</td><td>0,3 A</td></tr><tr><td>$T_a\ max$</td><td>70</td><td>50</td><td>70 $^{\circ}C$</td></tr></tbody></table> <div><p>Blok z křemíkových plošných usměrňovačů dvoucestný usměrňovač střídavého napětí KY298 2X600 V KY299 2X300 V</p></div>											KY299	KY298		$U_{a\ ef}$	2 X 300	2 X 600	V	$R_o\ min$	2 X 10	2 X 10	Ω	$C_N\ max$	100	100	μF	$I_{AK\ max}$	0,3	0,5	0,3 A	$T_a\ max$	70	50	70 $^{\circ}C$
	KY299	KY298																															
$U_{a\ ef}$	2 X 300	2 X 600	V																														
$R_o\ min$	2 X 10	2 X 10	Ω																														
$C_N\ max$	100	100	μF																														
$I_{AK\ max}$	0,3	0,5	0,3 A																														
$T_a\ max$	70	50	70 $^{\circ}C$																														
<div><div>1) Při kapacitní zátěži.</div><div>2) Doba trvání max 10 ms. Max 200 proudových nárazů za 24 hodin, interval mezi proudovými nárazy min 2 s.</div></div>																																	

Typ Použití	Provozní hodnoty Rozměry		Mezní hodnoty	
KY367	<div> <div>$U_F 12$ V</div> <div>Dvoucestný usměrňovač</div> <div> $U_{a\ ef} 2 \times 45$ V $R_o > 1$ Ω $I_{FAV} 6$ A </div> </div>		<div> <div>měřeno při</div> <div>$I_{FAV} = 6$ A</div> <div> $I_{FAV} 6$ A $I_{FRM} 18$ A $U_{a\ ef} 2 \times 45$ V $U_{RRM} 2 \times 100$ V $\vartheta_a -25...+100$ $^{\circ}$C </div> </div>	
	<div> <div> </div> <div> </div> </div>		<div> <div>Křemíkový usměrňovací blok — náhrada za usměrňovací výbojku 367 pro nabíječe akumulátorů a průmyslové účely.</div> </div>	

Typ Použití	Statické hodnoty Rozměry	Mezní hodnoty
KYZ30 Křemíkový vn usměrňovač.	<p>měřeno při</p> <p>$U_{AK} < 16$ V $I_{KA} < 10$ μA</p> <p>$I_{AK} = 500$ mA $U_{KA} = 10$ kV</p> 	<p>$U_{KA} 10$ kV $I_{AK} 500$ mA $f 4$ kHz $T_a -40 \dots +100$ °C</p> <p>Předběžné údaje.</p>
KYZ34 Křemíkový vn usměrňovač.	<p>měřeno při</p> <p>$U_{AK} < 25$ V $I_{KA} < 10$ μA</p> <p>$I_{AK} = 30$ mA $U_{KA} = 14$ kV</p> 	<p>$U_{KA} 14$ kV $I_{AK} 30$ mA $f 4$ kHz $T_a -40 \dots +100$ °C</p> <p>Předběžné údaje.</p>

KŘEMÍKOVÉ VYSOKONAPĚTOVÉ USMĚRŇOVAČE

Typ	I_{AK} při U_{AK}		I_{KA} při U_{KA}		Mezní hodnoty						
	A	V	max	kV	U_{KA}	U_{KAM}	$U_{KAM imp}$	$I_O^{2)}$	I_{AKM}	$I_{AKM}^{1) 3)}$	f max
			μ A		kV	kV	kV ¹⁾	A	A	imp A	Hz
KYZ81	20	12	120	3	3	3	3,6	8	70	140	500
KYZ82	20	12	120	4	4	4	4,8	8	70	140	500
KYZ83	20	15	120	4,8	4,8	4,8	5,8	8	70	140	500
KYZ84	20	17	120	5,6	5,6	5,6	6,7	8	70	140	500

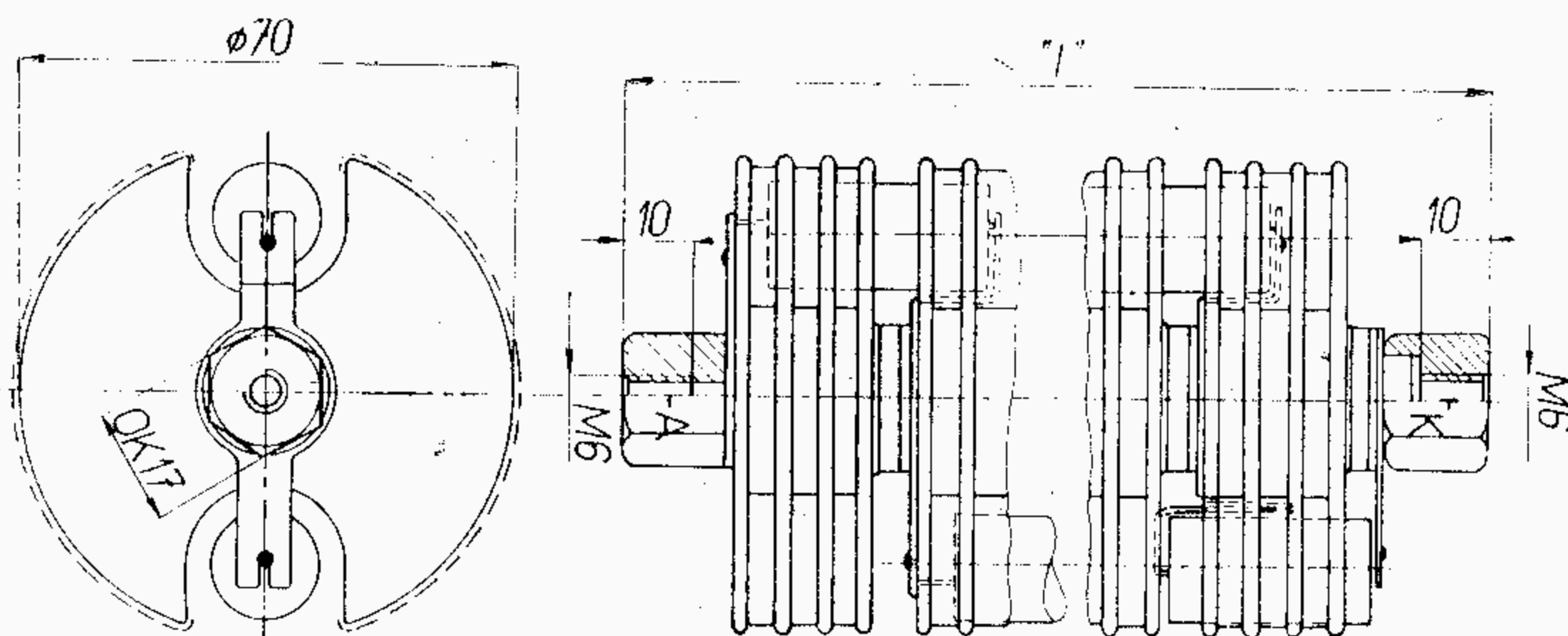
T_j max 155 °C
 T_a max -40 ... +125 °C
 T_s max -40 ... +125 °C
 R_t max 10 °C/W

1) Max 10 ms, max 200 nárazů za 24 hod.
při T_a max = 60 °C

2) T_a max = 20 °C;
při T_a max = 60 °C, I_O max = 5,5 A;

3) T_a max = 85 °C

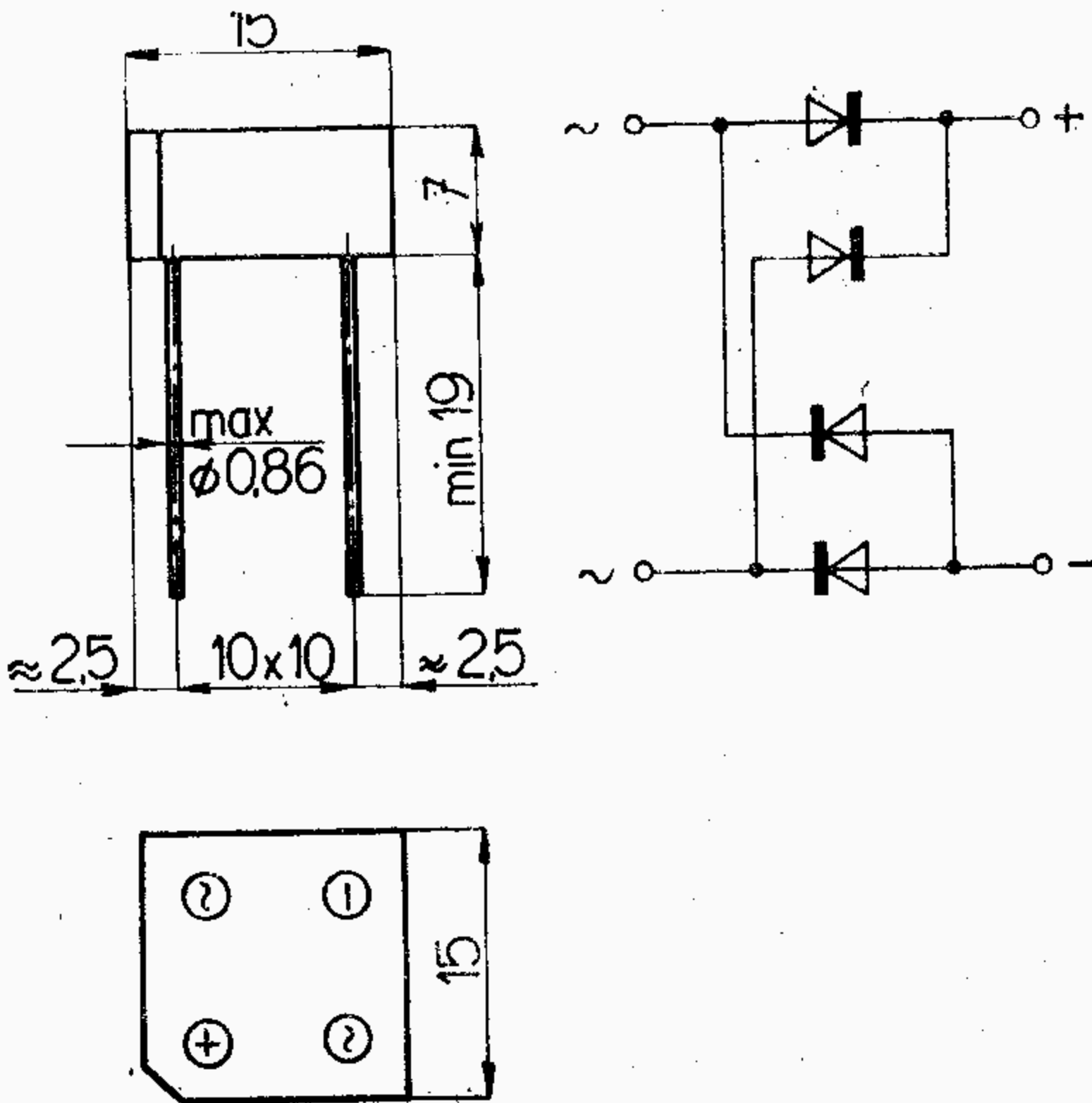
Typ	Délka l [mm]
KYZ81	296 ± 7
KYZ82	296 ± 7
KYZ83	348 ± 7
KYZ84	402 ± 7

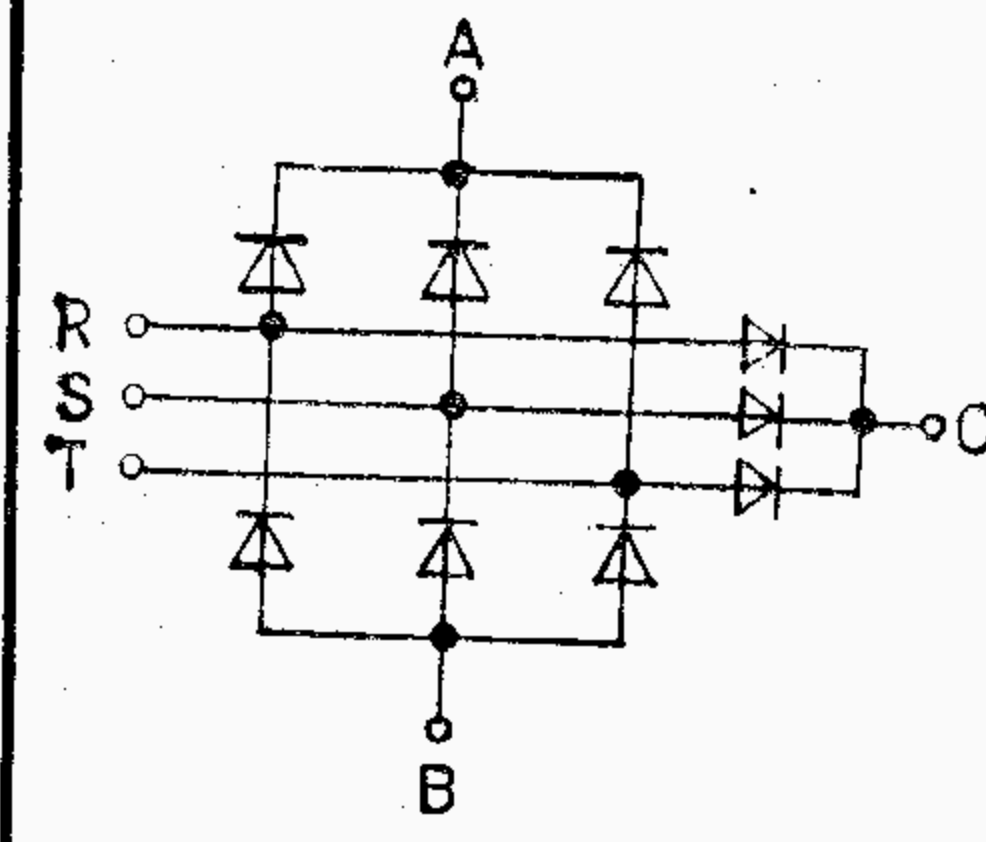
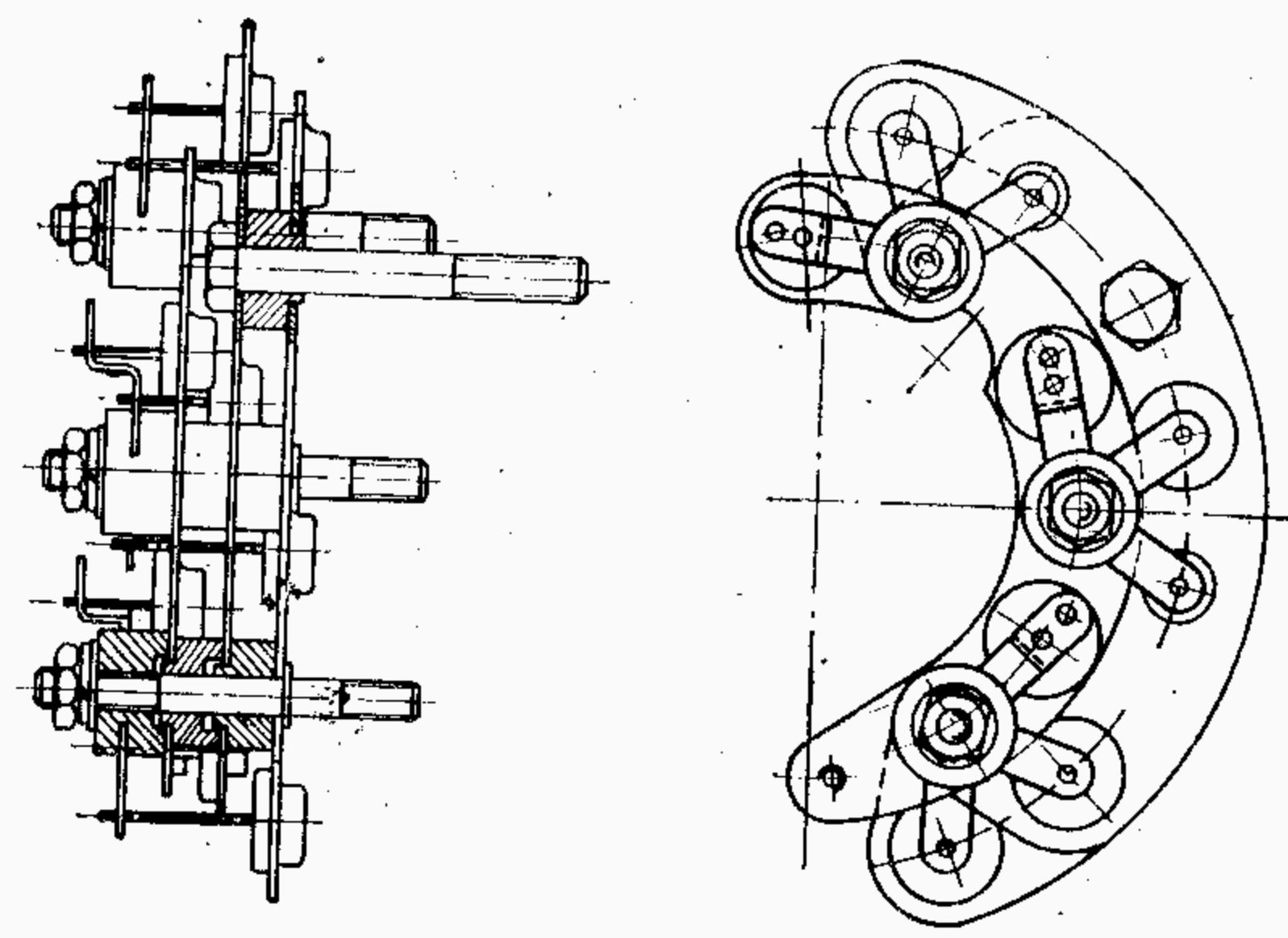


KREMIKOVE MUSTKOVE USMERNOVACE 0,6 A

T y p	Charakteristické údaje		Mezní hodnoty							
	U_F ($I_{FAV} = 0,6 \text{ A}$) V	$U =$ ($I_r = 10 \text{ }\mu\text{A}$) V	U_{RRM} V	U_{RSM} ($t \leq 10 \text{ ms}$) V	$U_{a \text{ ef}}$ V _s	I_{FAV} C zátěž R A	I_{FSM} ($t \leq 10 \text{ ms}$) A	C_N μF	$R_o \text{ min}$ Ω	
QY06/24	<2,3	24	90	110	24	0,5	0,6	6	1600	1,5
QY06/48	<2,3	48	180	220	48	0,5	0,6	6	1000	2
QY06/60	<2,3	60	250	300	60	0,5	0,6	6	800	3
QY06/110	<2,3	110	400	500	110	0,5	0,6	6	400	5
QY06/220	<2,3	220	800	1000	220	0,4	0,5	6	200	20

$\vartheta_a \text{ max } -40 \dots +100 \text{ }^\circ\text{C}$



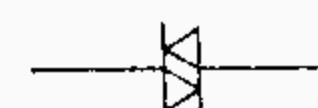
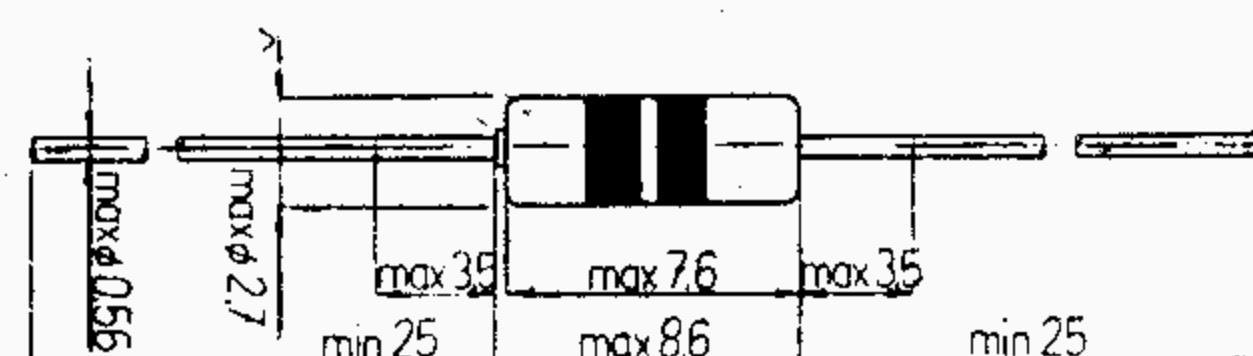
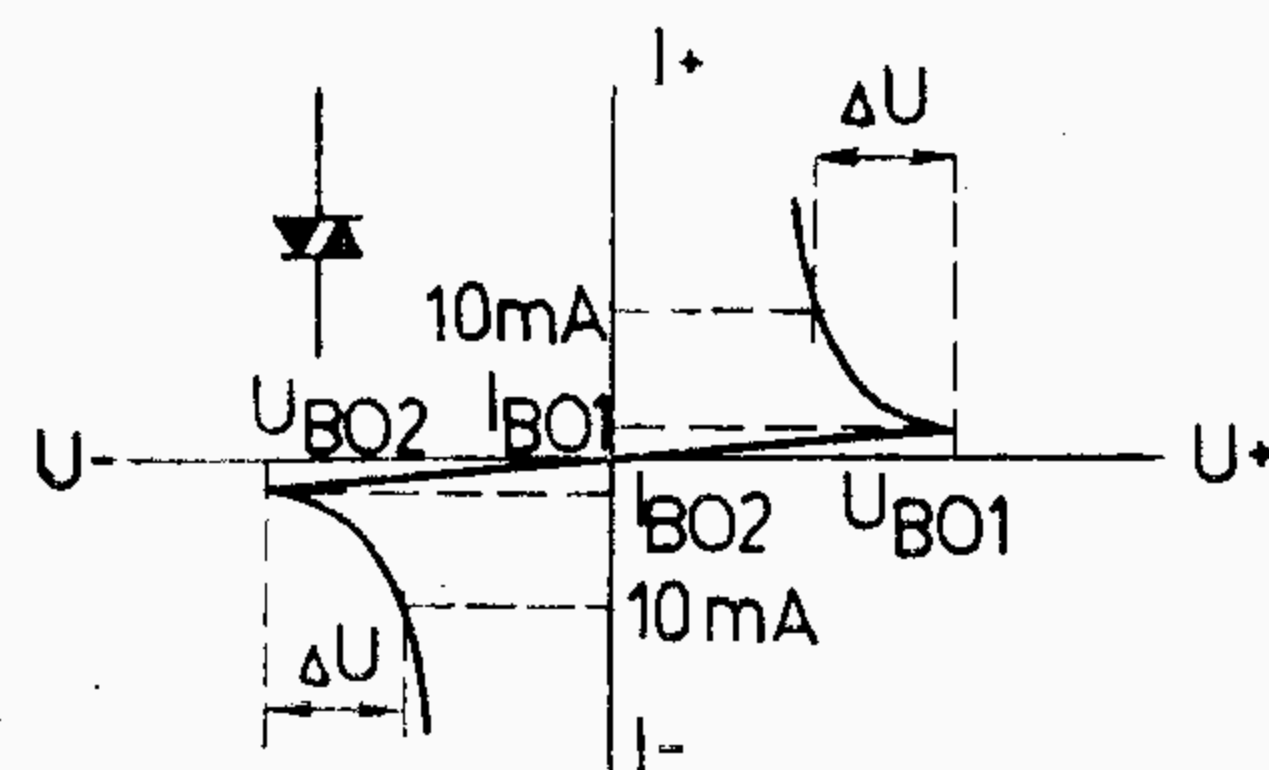
Typ Použití	Charakteristické údaje Rozměry	Mezní hodnoty
QY25/12 	$U_f \leq 2,3 \text{ V}$ $I_r \leq 200 \text{ }\mu\text{A}$ $U_f \leq 1,1 \text{ V}$ měřeno při $I_f = 20 \text{ A}$ $U_{ef} = 70 \text{ V}, f = 50 \text{ Hz}$ $I_f = 1 \text{ A}$ (pomocných diod) 	Pro jednu větev $U_{RRM} \quad 100 \text{ V}$ $U_{RSM} \quad 120 \text{ V}$ $I_{FAV} \quad 12 \text{ A}$ $I_{FSM} (\vartheta_c \leq 100 \text{ }^\circ\text{C}, t \leq 10 \text{ ms}) \quad 100 \text{ A}^1)$ $\vartheta_c \quad +125 \text{ }^\circ\text{C}$ $\vartheta_a \quad -55 \dots +125 \text{ }^\circ\text{C}$

Trojice křemíkových výkonných diod na společném chladiči pro alternátory.

¹⁾ Ojedinělý impuls

SYMETRICKÉ VÍCEVRSTVOVÉ KŘEMIKOVÉ DIODY DIAC

Typ		KR205	KR206	KR207	
Spínací napětí	U_{BO}	26 ± 4	32 ± 4	38 ± 4	V
Spínací proud	I_{BO}	<1			mA
Symetrie charakteristiky		<5			V
Úbytek napětí ($I_D = 10 \text{ mA}$)	ΔU	>6			V
Teplotní součinitel spínacího napětí	$T_K U_{BO}$	0,1			%/°C
Mezní hodnoty:					
Ztrátový výkon	P	max	150		mW
Pulsní proud ($t = 20 \mu\text{s}$)	$I_{D \text{ imp}}$	max	1		A
Teplota při skladování	T_s	max	-50 ... +150		°C



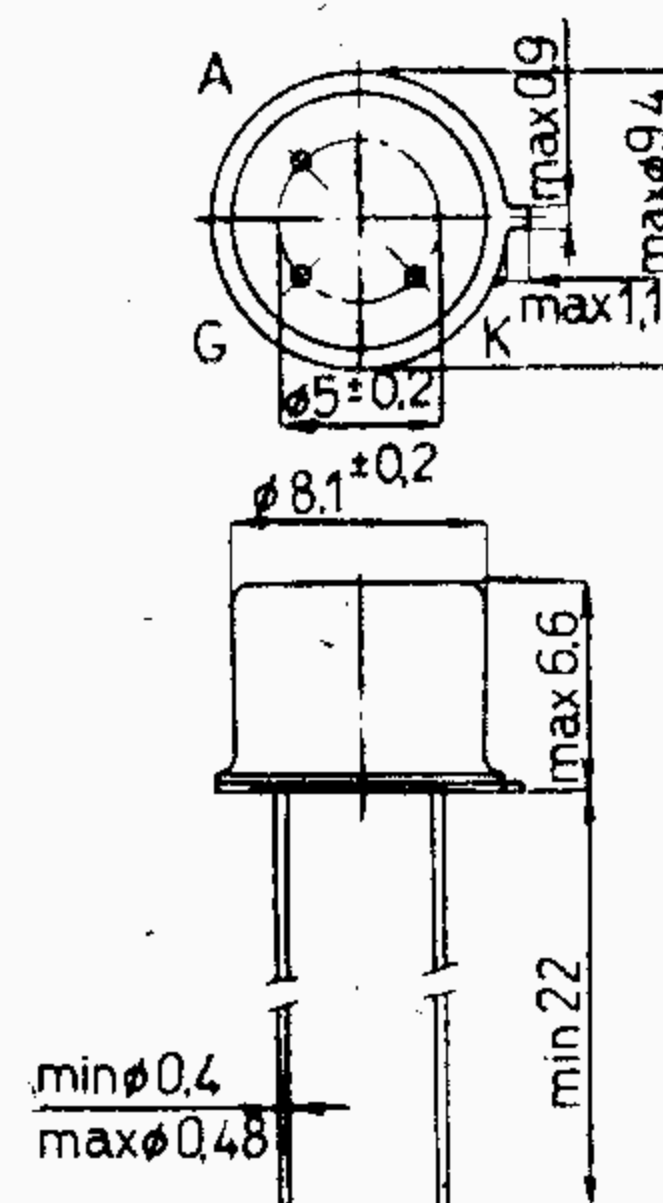
TYRISTORY PNPN 1 A

Typ	$U_{(BO) \text{ min}}$ ($I_R(BR) = 1 \text{ mA}$) 1) 2) 3)	$U_R(BR)$ ($I_R(BR) = 1 \text{ mA}$) 1) 2)	I_{FD} při U_{FD} max 1) 2)	I_R při U_R max 1) 2)	I_H 3)	$I_{GT} 1) 3)$ ($U_{FD} = 10 \text{ V}$) max	$U_{GT} 1) 3)$ ($U_{FD} = 10 \text{ V}$) max	$U_T 4)$ ($I_T = 1 \text{ A}$) max	U_{FD} ($I_T = 1 \text{ A}$) max 1) 2) 5)	$U_R 1) 2)$ max
	V	V 2)	mA	V	mA	mA	V	V	V	V
KT501	60	60	0,5	50	0,5	17	10	3	1,7	50
KT502	120	120	0,5	100	0,5	17	10	3	1,7	100
KT503	240	240	0,5	200	0,5	17	10	3	1,7	200
KT504	360	360	0,5	300	0,5	17	10	3	1,7	300
KT505	480	480	0,5	400	0,5	17	10	3	1,7	400

t_d	1	μs	($I_T = 1 \text{ A}$, $U_{FD} = 40 \text{ V}$)
t_r	1	μs	($I_T = 1 \text{ A}$, $U_{FD} = 40 \text{ V}$)
t_{off}	40	μs	($I_T = 1 \text{ A}$, $I_R = 1 \text{ A}$, $R_{GK} = 100 \Omega$)
I_T max	0,4	A	($T_a = 0^\circ\text{C}$ $\theta = 180^\circ$)
I_T max	1	A	($T_p = 60^\circ\text{C}$ $\theta = 180^\circ$)
$I_{T \text{ imp}}$ max	15	A	($t \text{ max} = 10 \text{ ms}$)
I_{FG} max	100	mA	
R_{th} max	60	°C/W	
T_a max	-65 ... +125	°C	

1) $R_{GK} = 1 \text{ k}\Omega$ 2) $T_a \leq +125^\circ\text{C}$ 3) $T_a = +25^\circ\text{C}$

4) Stejnoseměrný proud

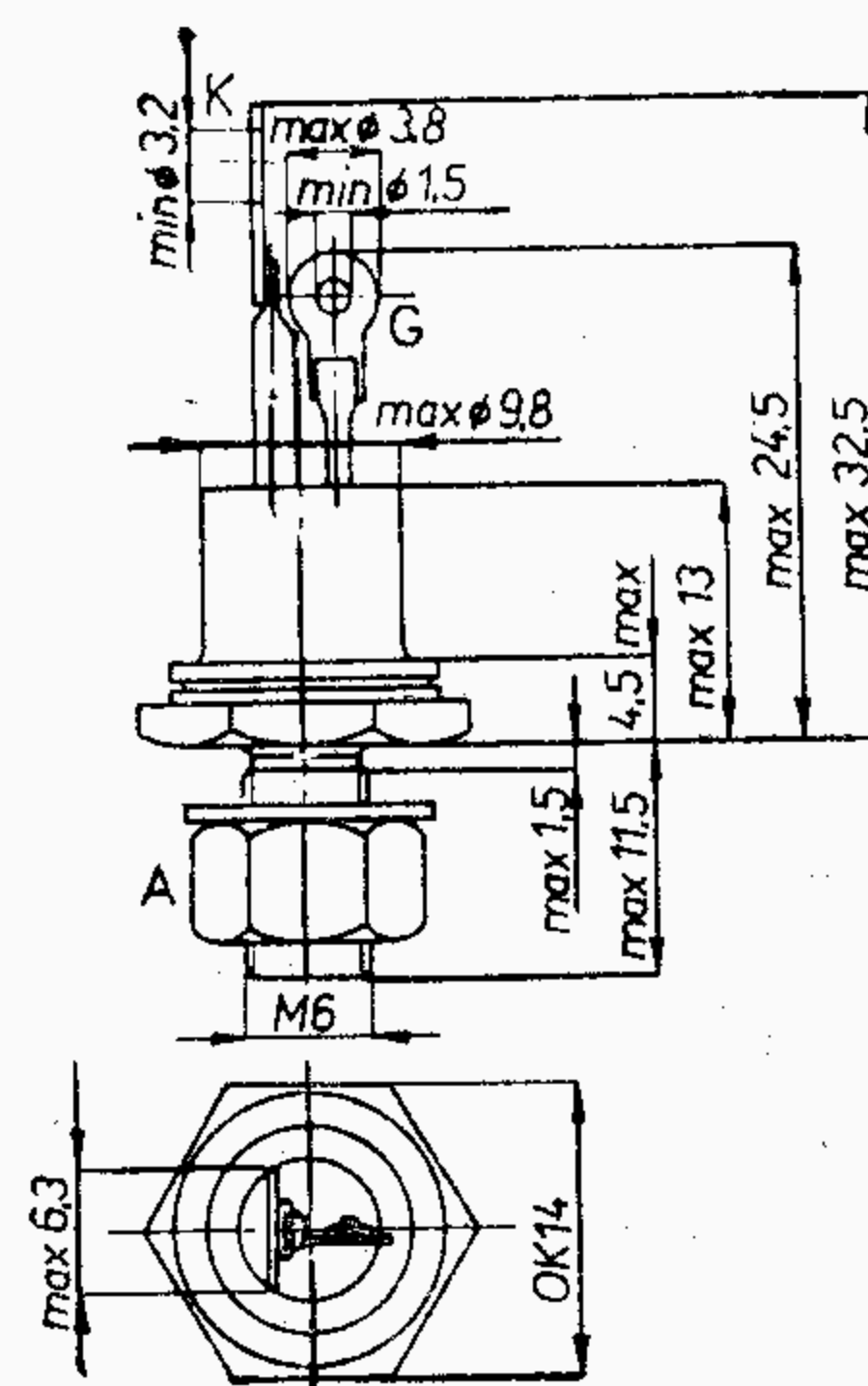
5) Při $T_a \leq 0^\circ\text{C}$ nutno snížit o 20 %

TYRISTORY PNP 3 A

Typ	$U_{(BO)}$ min 1) 2) 3)	$U_{R(BR)}$ min $I_{R(BR)} = 1 \text{ mA}$ 1) 2) 3)	I_{FD} při U_{FD}		I_R při U_R		I_H	$I_{GT}^{1)3)}$ ($U_{FD} = 10 \text{ V}$)	$U_{GT}^{1)3)}$ ($U_{FD} = 10 \text{ V}$)	$U_T^{3)}$ ($I_T = 3 \text{ A}$)	U_{FD} 1) 2) 4)	U_R 1) 2) 4)
	V	V	max	1) 2)	max	1) 2)	max 3)	max mA	max V	max V	max V	max V
	V	V	mA	V	mA	V	mA	mA	V	V	V	V
KT710	60	60	0,5	50	0,5	50	20	15	3	2	50	50
KT711	120	120	0,5	100	0,5	100	20	15	3	2	100	100
KT712	240	240	0,5	200	0,5	200	20	15	3	2	200	200
KT713	360	360	0,5	300	0,5	300	20	15	3	2	300	300
KT714	480	480	0,5	400	0,5	400	20	15	3	2	400	400

t_{on}	2	μs	$(I_T = 3 \text{ A}, \theta = 90^\circ)$	
t_{off}	40	μs	$(U = 20 \text{ V}, R_{GK} = 100 \Omega, I_T = 3 \text{ A})$	
I_T max	1	A	$(T_a \leq 30^\circ C)$	
I_T max	3	A	$(T_C \leq +60^\circ C, \theta = 180^\circ, \text{p\ddot{u}lvlna sinusov\ddot{e}ho pr\ddot{u}b\ddot{e}hu)$	
I_{FG} max	200	mA		
R_{t1} max	4	$^\circ C/W$		
T_j max	+125	$^\circ C$		
T_a max	-65 ... +125	$^\circ C$		

- 1) $R_{GK} = 1 \text{ k}\Omega$
2) $T_a \leq +125^\circ C$
3) $T_a \leq +25^\circ C$
4) Při $T_a = 0 \dots -65^\circ C$ nutno snížit o 20 %.

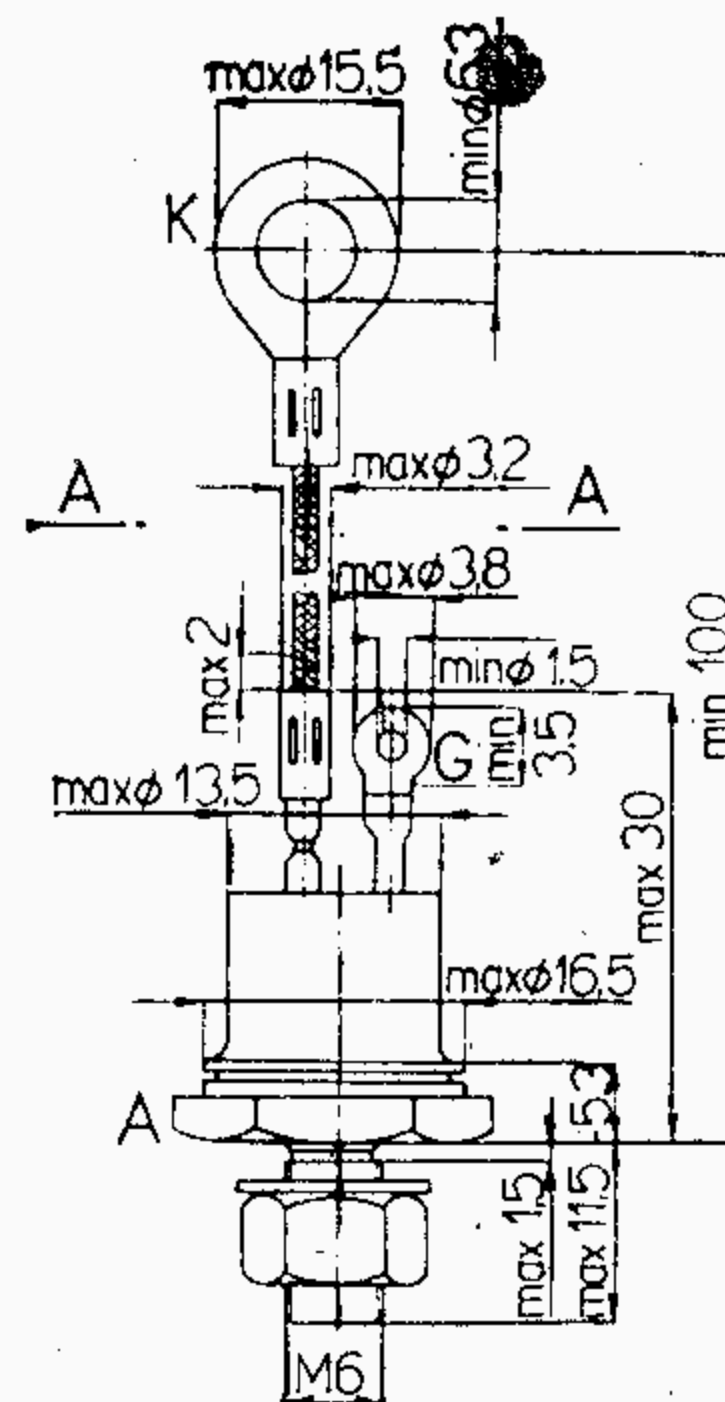


TYRISTORY PNP 15 A

Typ	$U_{(BO)}$ min 1) 2)	$U_{R(BR)}$ min $I_{R(BR)} = 5 \text{ mA}$ 1) 2) 3)	I_{FD} při U_{FD}		I_R při U_R		I_H	$I_{GT}^{1)3)}$ ($U_{FD} = 10 \text{ V}$)	$U_{GT}^{1)3)}$ ($U_{FD} = 10 \text{ V}$)	$U_T^{3)}$ ($I_T = 3 \text{ A}$)	U_{FD} 1) 3)	U_R 1) 3)
	V	V	max	1) 2)	max	1) 2)	max 2)	max mA	max V	max V	max V	max V
	V	V	mA	V	mA	V	mA	mA	V	V	V	V
KT701	60	60	3	50	3	50	50	40	3	1,7	50	50
KT702	120	120	3	100	3	100	50	40	3	1,7	100	100
KT703	240	240	3	200	3	200	50	40	3	1,7	200	200
KT704	360	360	3	300	3	300	50	40	3	1,7	300	300
KT705	480	480	3	400	3	400	50	40	3	1,7	400	400

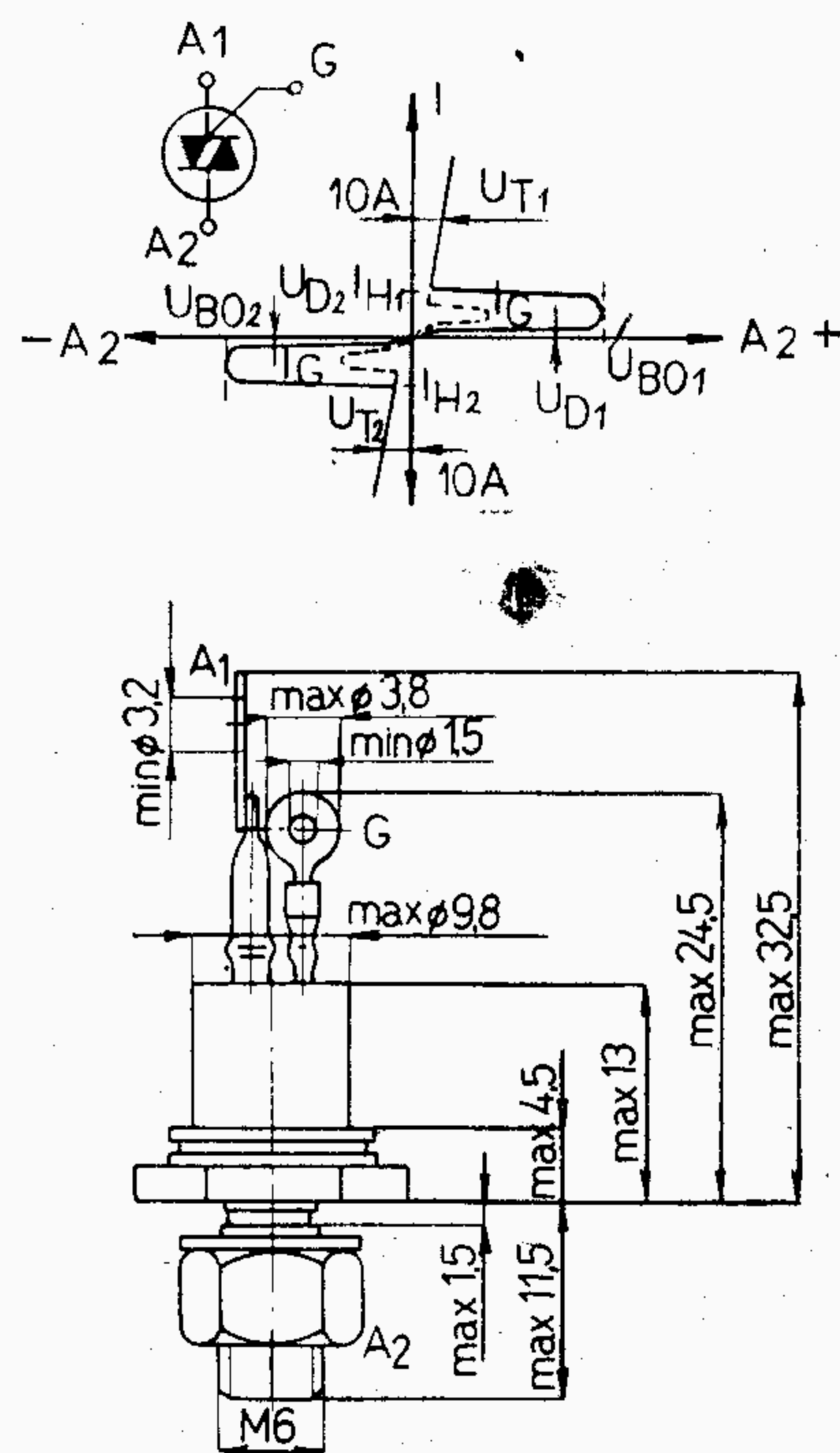
I_o max	3	A	$(T_a \leq 30^\circ C, \text{bez chladičf plochy})$	
I_o max	15	A	$(T_C \leq +65^\circ C, \theta = 180^\circ, \text{p\ddot{u}lvlna sinusov\ddot{e}ho pr\ddot{u}b\ddot{e}hu)$	
$I_{T imp}$ max	120	A	$(t \leq 10 \text{ ms}, T_j \text{ max} = 125^\circ C)$	
I_{FG} max	2	A		
U_{FG} max	10	V		
P_{FG} max	2	W		
T_j max	+125	$^\circ C$		
T_a max	-65 ... +125	$^\circ C$		
R_{t1} max	1,5	$^\circ C$		
$i^2 t$	100	$A^2 s$	$(2 \text{ ms} \leq t \leq 10 \text{ ms}, I_o = 15 \text{ A}, T_C \leq 60^\circ C)$	

- 1) $T_a = +125^\circ C$ 2) $T_a = +25^\circ C$
3) Při $T_a = 0 \dots -65^\circ C$ nutno snížit o 20 %.



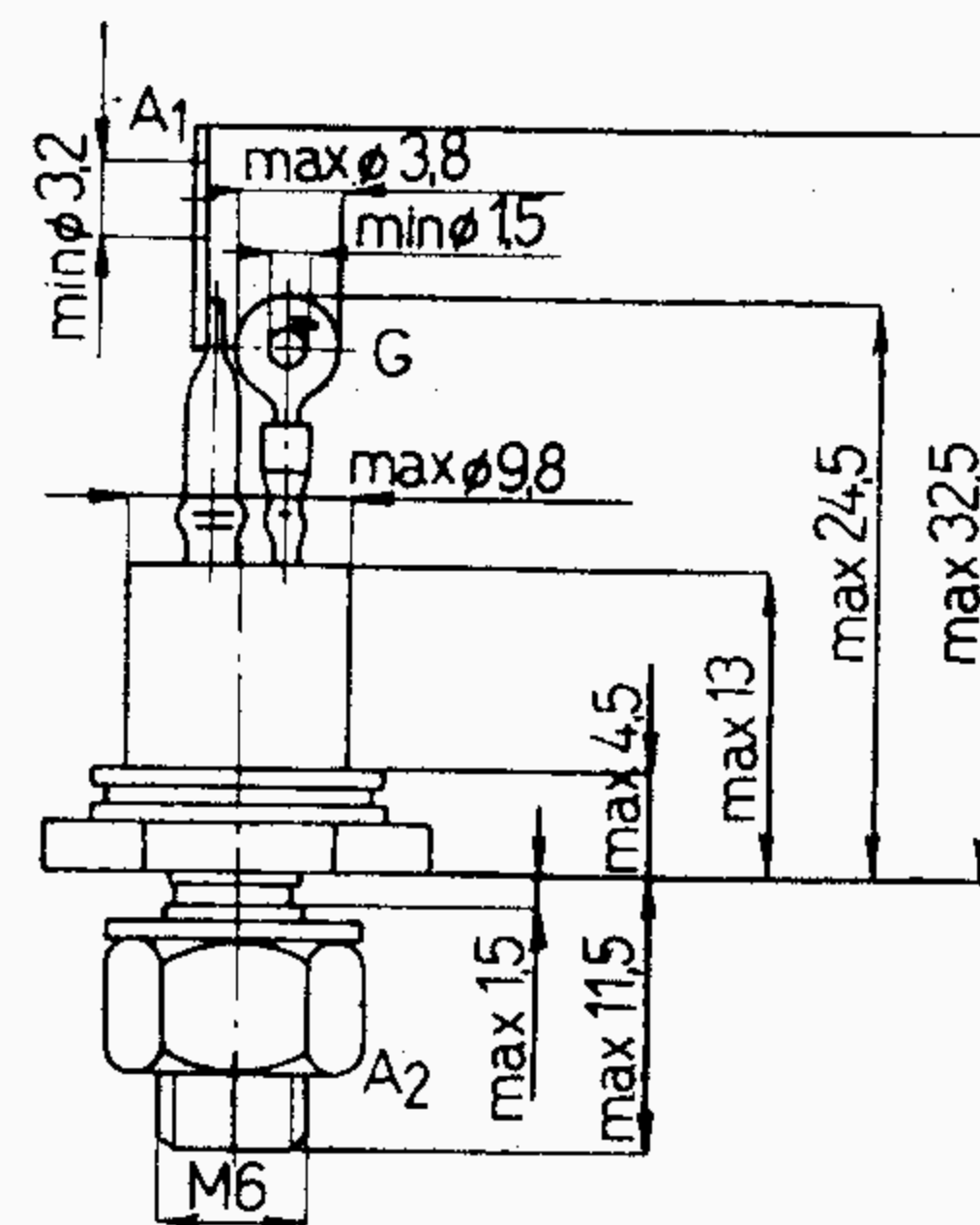
SYMETRICKÉ VÍCEVRSTVOVÉ SPÍNACÍ PRVKY TRIAC 6 A

T y p		KT772	KT773	KT774	
Blokovací napětí	U_D	200	400	600	V
Propustný proud	I_T	6			A
Úbytek napětí v prop. směru ($I_T = 10$ A)	U_T	1,9			V
Zapínací proud ($T_a = 25$ °C)					
$A_2(+), G(+); A_2(+), G(-);$	I_{GT}	80			mA
$A_2(-), G(-);$	I_{GT}	150			mA
$A_2(-), G(+)$					
Zapínací napětí ($T_a = 25$ °C)	U_{GT}	3			V
Přidržený proud	I_H	50			mA
Kritická strmost nárustu blokovacího napětí	$\frac{d U_D}{dt}$	10			V/ μ s
Propustný proud špičkový ($t = 10$ ms)	I_{TM}	50			A
Teplota okolí pracovní	T_a	-40 ... +100			°C
Tepelný odpor vnitřní	R_{th}	2,8			°C/W



SYMETRICKÉ VÍCEVRSTVOVÉ SPÍNACÍ PRVKY TRIAC 10 A

T Y P		KT782	KT783	KT784	Mezní hodnoty
Blokovací napětí	U_D	200	400	600	V
Blokovací proud při U_D	I_D				mA
Propustný proud	I_T	10			A
Úbytek napětí ($I_T = 10$ A)	U_T	1,5			V
Zapínací proud $U_a = 12$ V, $R_L = 50$ Ω)	I_{GT}	80			mA
Zapínací napětí ($U_a = 12$ V, $R_L = 50$ Ω)	U_{GT}	3			V
Přidržený proud ($U_a = 12$ V, $I_a = 240$ mA)	I_H	50			mA
Spínací proud ($U_a = 12$ V, $t_{ip} = 20$ μ s)	I_L	240			mA
Kritická strmost nárustu blokovacího napětí ($I_G = 0$, $f_{ip} = 50$ Hz)	$S_{I blok}$	10			V/ μ s
Kritická strmost nárustu komutačního napětí ($\varphi = 45^\circ$, $\theta = 180^\circ$, $I_{TM} = 10$ A, $\vartheta_c = 70$ °C)	$S_{U kom}$	6			V/ μ s
Tepelný odpor vnitřní	R_{thjc}	2,1			°C/W

1) Napěťový impuls polosinusového tvaru, $t = 10$ ms2) Efektivní hodnota sinusového proudu 50 Hz, $\theta = 360^\circ$, R — zátěž.

Mikrovinne detekční a smesovací křemíkové diody

T y p	f min – max MHz	Směšovací ztráta ·dB	Šumová teplota	Mezifrekvenční odpor Ω	Poměr stojatých vln	Max přetížitelnost erg
33NQ52	3000–10 000	< 8	< 2,7	200 – 800	–	2
34NQ52	3000–10 000	< 6,5	< 2,7	200 – 800	–	2
35NQ52	6000–10 000	< 6	< 2	352 – 475	< 1,5	1

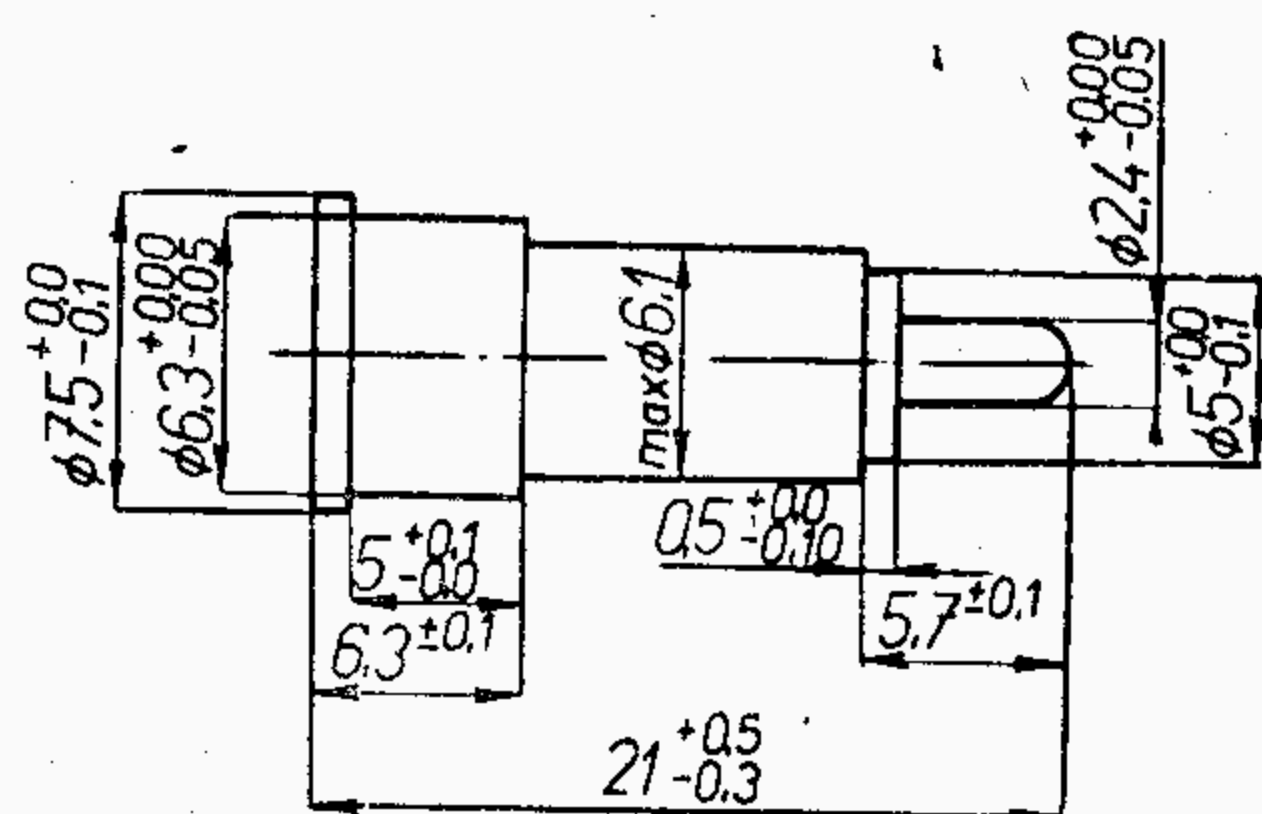
Křemíkové hrotové diody pro mikrovlnné detektory

T y p	Usměrňovaný proud μA	I_{AKM} max mA	U_{KAM} max V	Paralelní kapacita pF	Vf příkon max mW	T_a min – max $^{\circ}C$
40NQ70	> 50 ¹⁾ > 450 ²⁾	10	2,5	20	5	–40 ... +45

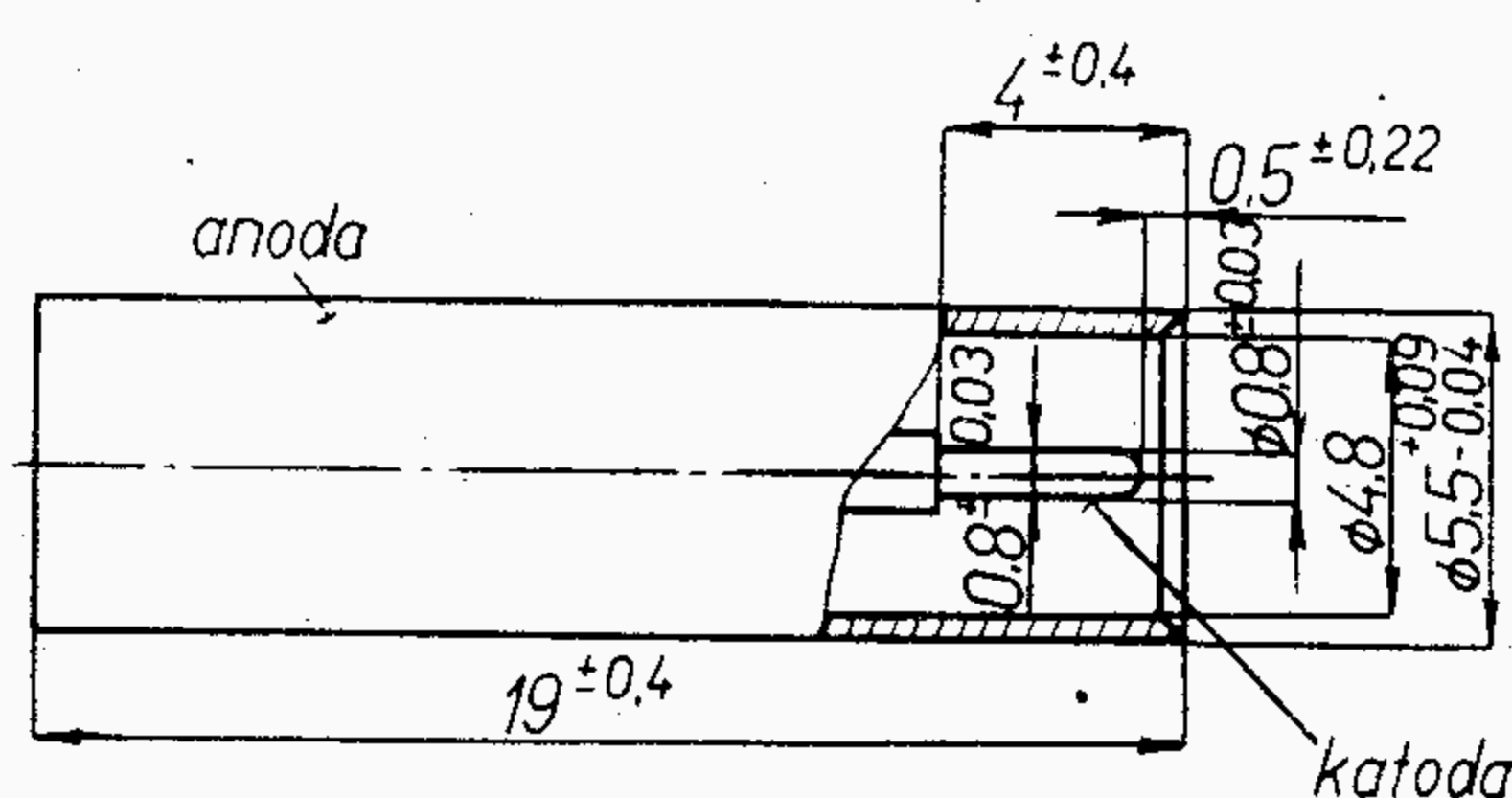
¹⁾ $f = 8,2 - 12,4$ GHz, $P = 1$ mW

²⁾ $t = 12$ GHz, $P = 1$ mW

Údaje platí při teplotě okolí 20 $^{\circ}C$.

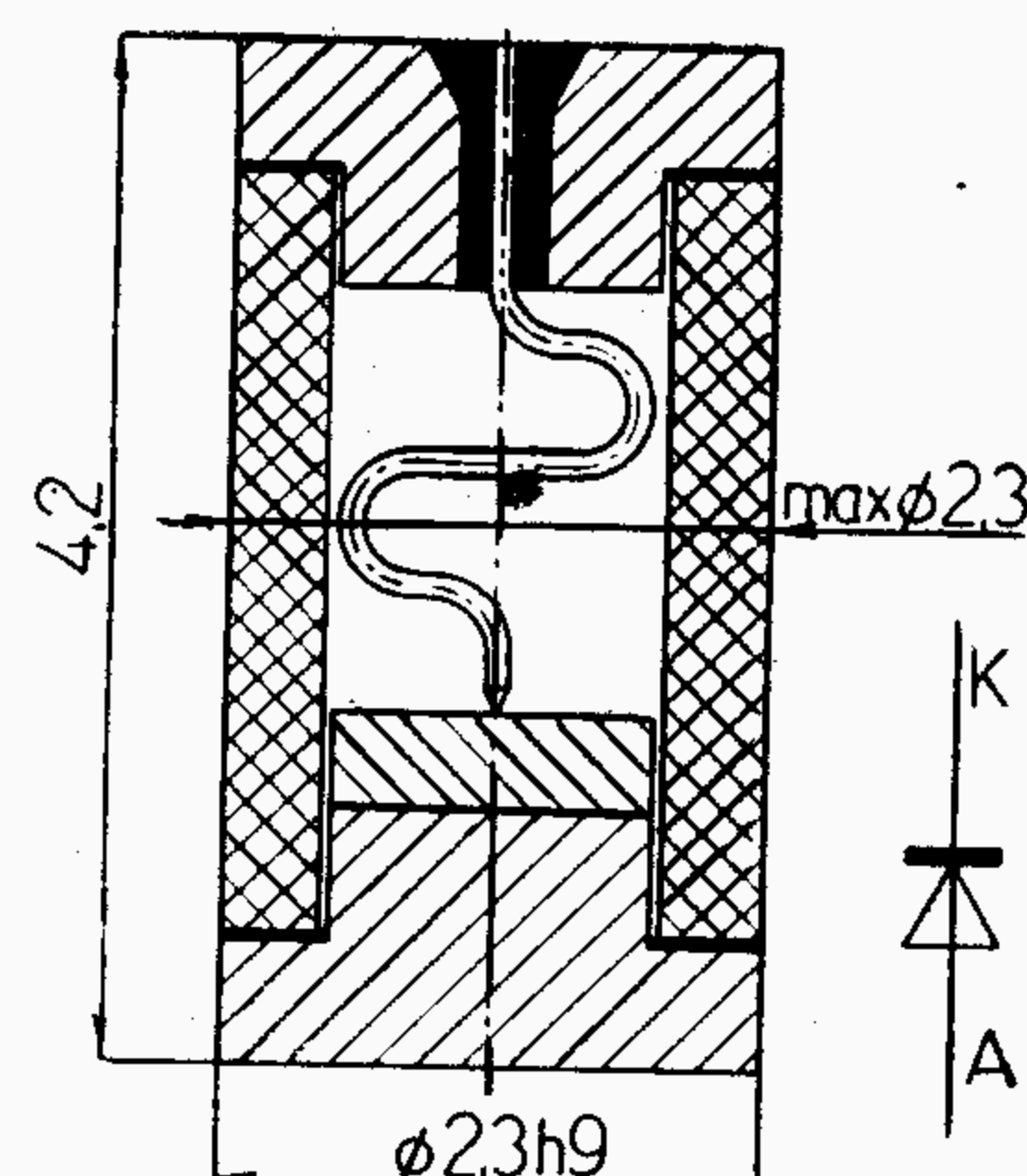


40NQ70



33NQ52
34NQ52
35NQ52

Typ Použití	Provozní hodnoty	Mezní hodnoty
36NQ52	<p>měřeno při</p> <p>$R_{AK} < 500 \Omega$ $U_{AK} = 1,5 V$</p> <p>$R_{KA} > 5000 \Omega$ $U_{KA} = 1,5 V$</p> <p>$I_{KA}^{1)} < 1 mA$ $U_{KA} = 6 V$</p> <p>$P_S^{2)} 63,6 \times$ $I_{KA} = 0,5 mA \pm 10 \%$</p> <p>$T_a = -10 \dots +70 ^{\circ}C$</p> <p>$R_Z = 75 \Omega \pm 10 \%$</p> <p>$f = 30 MHz$</p> <p>$P_S^{2)} > 60 \times$ po 100 provozních hodinách chodu, $I_{KA} = 0,5 mA \pm 10 \%$</p> <p>¹⁾ $U_{KA} = 6 V$, špičková hodnota pulsuícího napětí (půl- vlnné usměrňování střídavého napětí s kmitočtem 50 Hz).</p> <p>²⁾ Min. šumový výkon musí být 63,6× větší (18 dB) než výkon tepelného šumu ohmického odporu držáku s dio- dou při vypnutém závěrném proudu I_{KA}.</p>	<p>$I_{KA} 6 mA$</p> <p>$U_{KA} 6 V$</p> <p>$T_a > -40 ^{\circ}C$</p>
Křemíková hrotová dioda s velkým šumem pro šumové generátory		

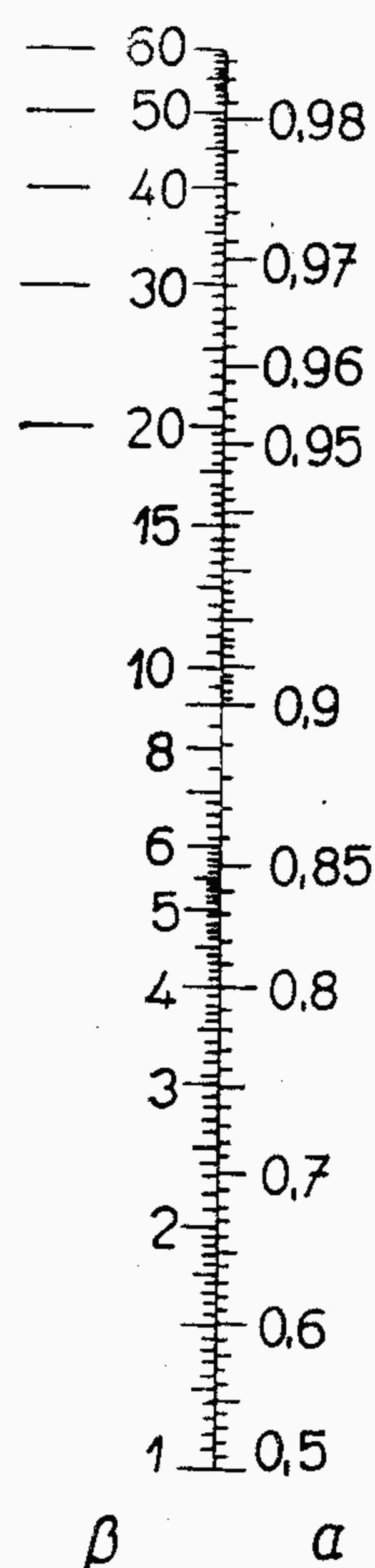
Typ Použití	Charakteristické údaje Rozměry	Mezní hodnoty
38NQ52	<p>Výkonová citlivost >100 mV/mW</p> <p>Odchylna rovnoměrnosti detekce v pásmu 8,2 — 12,4 GHz <1 dB</p> <p>Platí při teplotě okolí 20 ± 5 °C, relativní vlhkosti vzduchu 45 až 75 % a tlaku vzduchu 650 až 800 mm Hg.</p> 	
Křemíková subminiaturní mikrovlnná dioda pro detekci v kmitočtovém pásmu 8,2 až 12,4 GHz		

Germaniové tranzistory nízkofrekvenční
Germaniové tranzistory vysokofrekvenční
Germaniové tranzistory spínací
Germaniové tranzistory výkonové

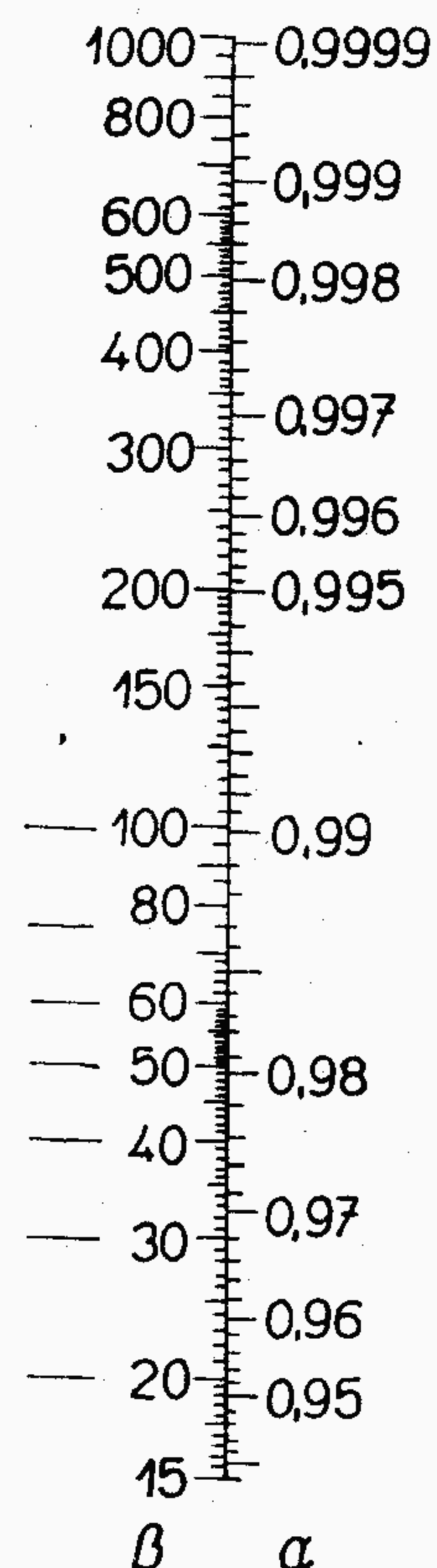
Převod proudového zesilovacího činitele

h_{21e} h_{21b}
(α) (β)

zelená
žlutá
oranžová
červená



bílá
fialová
modrá
zelená
žlutá
oranžová
červená



$$\beta = \frac{\alpha}{1 - \alpha}$$

VYSVĚTLIVKY POUŽITÝCH ZKRATEK U TRANZISTORŮ

A_G	výkonový zisk
A_u	napěťový zisk
C_{CB}	kapacita kolektor - báze
C_{CBO}	kapacita kolektoru
C_{ce}	kapacita kolektoru
C_{EBO}	kapacita emitor - báze
C_{gc}	kapacita řídící elektrody proti kolektoru
C_{ge}	kapacita řídící elektrody proti emitoru
C_{11e}	vstupní kapacita
$-C_{12e}$	zpětnovazební kapacita
C_{22b}	kapacita kolektor - báze
f_T	mezní kmitočet
F	šumové číslo
G_{tip}	dovolená impulsní zatížitelnost
h_{11e}	vstupní impedance nakrátko
h_{12e}	zpětný napěťový činitel
$ h_{21e} $	absolutní hodnota zesilovacího činitele
h_{21e}	proudový zesilovací činitel
h_{21E}	stejnoseměrný proudový zesilovací činitel
h_{22e}	výstupní admitance naprázdno
I	proud celkový
I_B	proud báze
I_{BM}	proud báze pulsní
I_{BI}/I_{BII}	podíl proudů báze
I_C	proud kolektoru
I_{CBO}	zbytkový proud kolektor - báze
I_{CE}	proud kolektoru
I_{CEK}	zbytkový proud kolektoru
I_{CEM}	proud kolektoru špičkový
I_{CEO}	zbytkový proud kolektor - emitor
I_{CES}	zbytkový proud kolektor - emitor
I_{CEV}	zbytkový proud kolektor - emitor
I_{CM}	proud kolektoru špičkový
$I_{CM imp}$	proud kolektoru impulsní
I_E	proud emitoru
I_{EBO}	zbytkový proud emitoru
I_{ECS}	zbytkový proud emitoru
I_{EM}	proud emitoru pulsní

$-I_{GES}$	zbytkový proud řídicí elektrody
I_{KS}	zbytkový proud (kanál - substrát)
$\Delta I_C (I_{CI} - I_{CII})$	změna rozdílu kolektorových proudů systémů při změně teploty okolí 20 ... 100 °C
K	zkreslení
P_C	ztrátový výkon kolektoru
P_{tot}	ztrátový výkon celkový
$R_{e(h11e)}$	reálná část vstupní admitance
R_{BE}	vnější odpor mezi bází a emitorem
R_1	vhodná velikost odporu R_1 pro dosažení malého šumu
$r_{CE(OFF)}$	odpor dráhy kolektor-emitor - při vypnutí - odpor kanálu v neseprnutém stavu
$r_{CE(ON)}$	odpor dráhy kolektor-emitor při sepnutí - odpor kanálu v sepnutém stavu
R_{thi}	vnitřní tepelný odpor
R_{ti}	vnitřní tepelný odpor
R_{th}	vnější tepelný odpor (celkový tepelný odpor)
$r_{bb'}$	odpor báze
R_{vst}	vstupní odpor
T_a	teplota okolí
T_j	teplota přechodu
T_s	teplota při skladování
t_{on}	dobu zapnutí
t_{off}	dobu vypnutí
t_r	dobu náběhu
t_s	dobu přesahu
t_f	dobu doběhu
U_B	pracovní napájecí napětí minimální
U_{BE}	napětí báze
U_{BES}	saturační napětí báze
$U_{BE sat}$	saturační napětí báze
$U_{BEI} - U_{BEII}$	rozdíl napětí báze
$\Delta U_{BEI} $	
$\frac{\Delta U_{BEI} }{\Delta T_a}$	teplotní koeficient napětí báze
$U_{(BR)CEO}$	závěrné (průrazné) napětí kolektor - emitor
$U_{(BR)CES}$	průrazné napětí kolektoru
$U_{(BR)EBO}$	průrazné napětí emitor - báze
$-U_{(BR)ECS}$	průrazné napětí emitoru
U_{CB}	napětí kolektor - báze
U_{CBM}	napětí kolektor - báze pulsní
U_{CBO}	závěrné napětí kolektoru - báze
U_{CE}	napětí emitor - báze

U_{CEK}	napětí kolektor - emitor
U_{CEM}	napětí kolektor - emitor, špičkové
U_{CEO}	závěrné napětí kolektor - emitor
U_{CER}	závěrné napětí kolektoru
U_{CES}	saturační napětí kolektoru
$U_{CE sat}$	saturační napětí kolektoru
U_{CEV}	napětí kolektor - emitor
U_{EB}	napětí emitor - báze
U_{EBM}	napětí emitor - báze špičkové
U_{EBO}	závěrné napětí emitor - báze
U_{ECM}	napětí emitor - kolektor
U_{GCM}	napětí řídicí elektroda - kolektor
U_{GE}	napětí řídicí elektrody
$U_{GEI} - U_{GEII}$	rozdíl napětí řídicí elektrody
U_{GEM}	napětí řídicí elektroda - emitor špičkové
U_{GEP}	prahové napětí
U_{GET}	prahové napětí
ΔU_{GET}	rozdíl prahových napětí systémů
U_N	šumové napětí
$U_{\dot{s}}$	šumové napětí
$U_{6/70}$	špičkové napětí třetího tranzistoru
U_{CESM}	napětí kolektor - emitor pulsní
U_{CEOM}	napětí kolektor - emitor pulsní
t_d, f_h	přenos kmitočtů s poklesem - 3 dB proti referenč. kmitočtu 1 kHz

Y — parametry

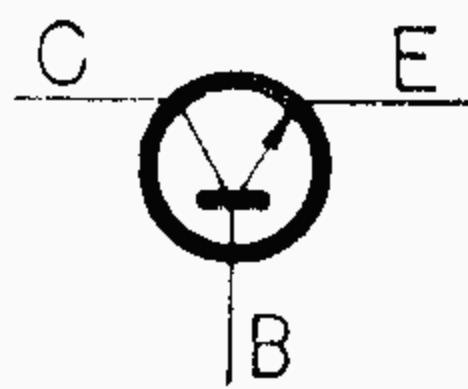
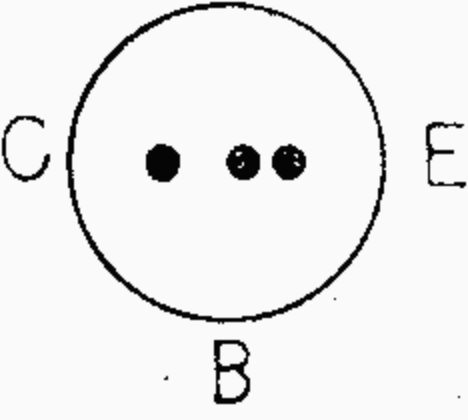
Y_{21e}	strmost
Y_{21I}/Y_{21II}	poměr strmostí systémů
Z_{12b}	zpětná impedance
τ_s	saturační časová konstanta
τ	časová konstanta

$$\frac{\Delta I_C}{I_C} \cdot 100$$

$$\frac{\Delta I_C}{\Delta T} \quad \text{teplotní součinitel}$$

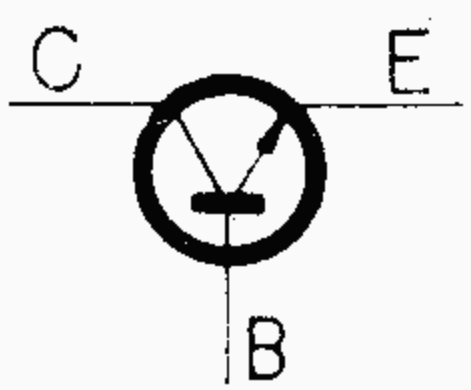
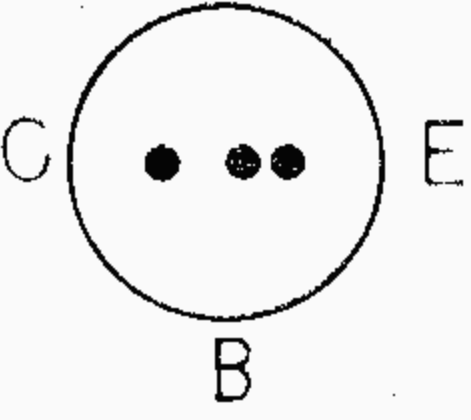
$$\sqrt{e_{\dot{s}}^2}$$

$$\quad \text{šumové napětí}$$

Typ Použití	Provozní hodnoty	Mezní hodnoty
101NU70 102NU70 103NU70 104NU70  	<div> 101NU70 $I_{CBO} < 20$ $h_{11b} < 120$ $h_{12b} < 10$ $h_{21b} > 0,84$ $h_{22b} < 3$ $f\alpha^1) > 200$ </div> <div> 102NU70 $< 15 \mu A$ $< 120 \Omega$ $< 6 \cdot 10^{-3}$ $0,92-0,95$ $< 2 \mu S$ $> 500 \text{ kHz}$ </div> <div> 103NU70 $I_{CBO} < 10$ $h_{11b} < 120$ $h_{12b} < 3$ $h_{21b}^2) > 0,95$ $h_{22b} < 2$ $f\alpha^1) > 200$ </div> <div> 104NU70 $< 10 \mu A$ $< 120 \Omega$ $< 6 \cdot 10^{-3}$ $> 0,95$ $< 2 \mu S$ $> 500 \text{ kHz}$ $< 15 \text{ dB}$ F (jen 104NU70) </div> <div> měřeno při $U_{CB} = 5 \text{ V}$ $U_{CB} = 5 \text{ V}, -I_E = 1 \text{ mA},$ $f = 1 \text{ kHz}$ $U_{CB} = 5 \text{ V}, -I_E = 1 \text{ mA}$ $U_{CB} = 5 \text{ V}, -I_E = 1 \text{ mA}$ $U_{CE} = 5 \text{ V}, I_B = 25 \mu A,$ $f = 1 \text{ kHz}$ </div>	<div> 101NU70 $U_{CB} 10 \text{ V}$ $U_{CE} 20 \text{ V}$ $-I_E 3 \text{ mA}$ $I_{CM} 100 \text{ mA}$ $P_C 30 \text{ mW}$ $\alpha 0,5 \text{ mW/}^\circ\text{C}$ $T_a -40 \div +50 \text{ }^\circ\text{C}$ $T_s -40 \div +60 \text{ }^\circ\text{C}$ </div> <div> 102NU70 103NU70 104NU70 $U_{CB} 20 \text{ V}$ $U_{CE} 25 \text{ V}$ $-I_E 5 \text{ mA}$ $I_{CM} 100 \text{ mA}$ $P_C 50 \text{ mW}$ $\alpha 0,5 \text{ mW/}^\circ\text{C}$ $T_a -40 \div +50 \text{ }^\circ\text{C}$ $T_s -40 \div +60 \text{ }^\circ\text{C}$ </div>

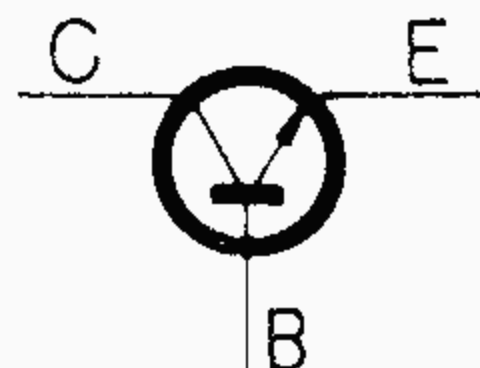
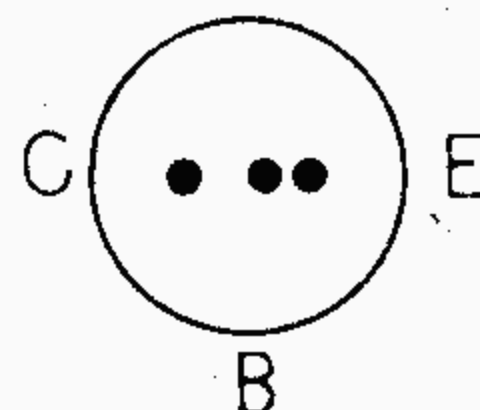
n-p-n plošný tranzistor pro stejnosměrný, nízkofrekvenční, pulsní zesilovač, nf generátory.

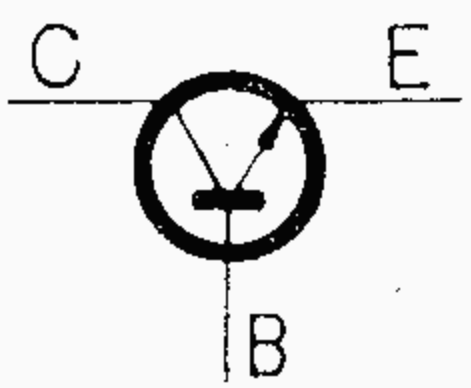
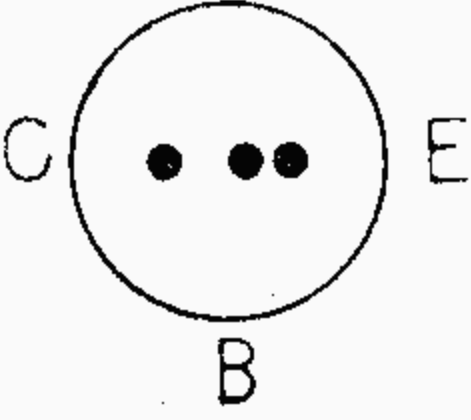
1) Kmitočet, při němž proudový zesilovací činitel vykazuje pokles -3 dB.
 2) Pokud se třídí některé tranzistory podle velikosti β , označují se tímto barevným kódem:
 20-30 červená 60-75 modrá
 30-40 oranžová 75-100 fialová
 40-50 žlutá >100 bílá
 50-60 zelená

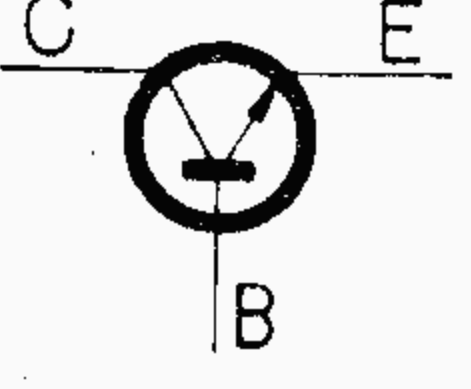
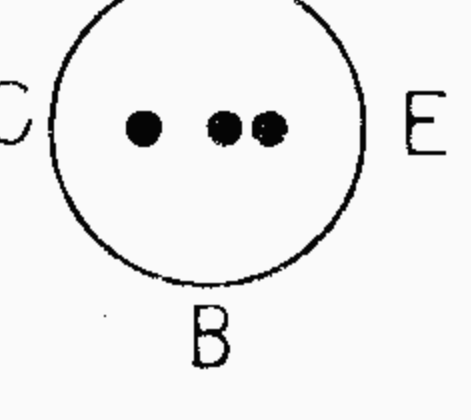
Typ Použití	Provozní hodnoty	Mezní hodnoty
105NU70 Rozměry K504  	<div> $I_{CBO} 5$ $I_{CEO} 110$ $h_{11b} 71$ $h_{12b} 7 \cdot 10^{-4}$ $h_{21b} 0,968$ $h_{22b} 0,7$ $f\alpha 1000$ $h_{11e} 1,7$ $h_{12e} 9 \cdot 10^{-4}$ $h_{21e} 30$ $h_{22e} 23$ $f\beta 30$ $F < 10$ </div> <div> $< 12 \mu A$ $< 225 \mu A$ $(58-88) \Omega$ $(0,952-0,976)$ $(< 1,3) \mu S$ $> 600 \text{ kHz}$ $(1,0-2,5) \text{ k}\Omega$ $(< 27 \cdot 10^{-4})$ $(20-40)$ $(< 53) \mu S$ kHz $< 10 \text{ dB}$ </div> <div> měřeno při $U_{CB} = 4,5 \text{ V}$ $U_{CE} = 4,5 \text{ V}$ $U_{CB} = 2 \text{ V}, I_C = 0,5 \text{ mA},$ $f = 1 \text{ kHz}$ $U_{CB} = 6 \text{ V}, I_C = 1 \text{ mA}$ $U_{CE} = 2 \text{ V}, I_C = 0,5 \text{ mA},$ $f = 1 \text{ kHz}$ $U_{CE} = 4,5 \text{ V}, I_B = 10 \mu A$ $U_{CE} = 4,5 \text{ V}, I_B = 250 \mu A$ </div>	$U_{EB} 10 \text{ V}$ $U_{EBM} 10 \text{ V}$ $U_{CB} 32 \text{ V}$ $U_{CBM} 32 \text{ V}$ $U_{CE} (R_{BE} < 0,6 \text{ k}\Omega) 30 \text{ V}$ $U_{CE} (R_{BE} > 40 \text{ k}\Omega) 10 \text{ V}$ $-I_E 12 \text{ mA}$ $-I_{EM} 55 \text{ mA}$ $I_C 10 \text{ mA}$ $I_{CM} 50 \text{ mA}$ $I_B 2 \text{ mA}$ $I_{BM} 5 \text{ mA}$ $P_C 125 \text{ mW}$ $T_j +75 \text{ }^\circ\text{C}$ $K 0,4 \text{ }^\circ\text{C/mW}$ $T_a > -40 \text{ }^\circ\text{C}$

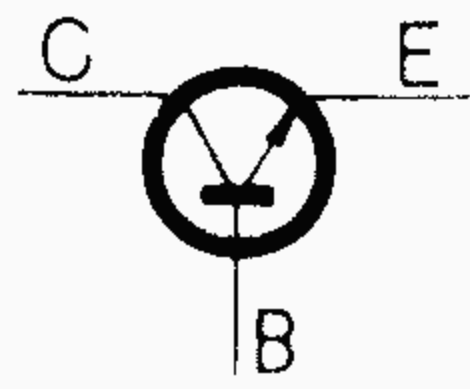
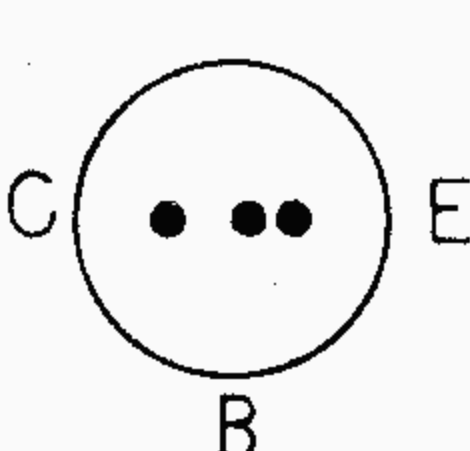
n-p-n plošný tranzistor pro stejnosměrný, nízkofrekvenční, pulsní zesilovač, nf generátory.

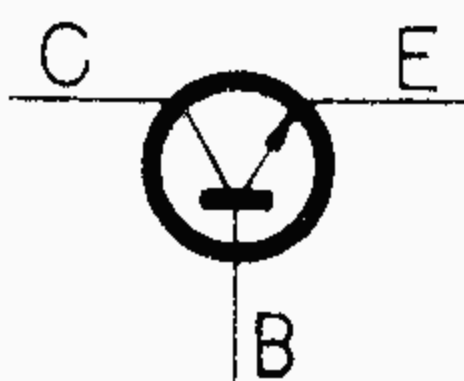
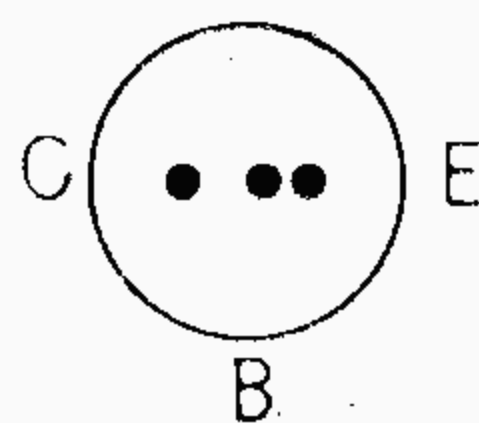
Typ Použití	Provozní hodnoty				Mezní hodnoty
106NU70	měřeno při				
Rozměry K504	I_{CBO}	4,5	<12	μA	U_{EB} 10 V
	I_{CEO}	150	<325	μA	U_{EBM} 10 V
	h_{11b}	17	(10–25)	Ω	U_{CB} 32 V
	h_{12b}	$8 \cdot 10^{-4}$			U_{CBM} 32 V
	h_{21b}	0,979	(0,968–0,987)		$U_{CE} (R_{BE} < 0,6 k\Omega)$
	h_{22b}	1,6	(<2,7)	μS	30 V
	$f\alpha$	1250	(>800)	kHz	$U_{CE} (R_{BE} > 40 k\Omega)$
	h_{11e}	0,8	(0,4–1,5)	k Ω	10 V
	h_{12e}	$5,4 \cdot 10^{-4}$	(< $17 \cdot 10^{-4}$)		$-I_E$ 12 mA
	h_{21e}	47	(30–75)		$-I_{EM}$ 55 mA
	h_{22e}	80	(<200)	μS	I_C 10 mA
	$f\beta$	25		kH	i_{CM} 50 mA
	F		<10	dB	I_B 2 mA
	U_{BE}	110	(80–155)	mV	i_{BM} 5 mA
	I_C	0,7	(0,36–1,2)	mA	P_C 125 mW
	U_{BE}	210	(150–270)	mV	T_j +75 °C
	I_C	14	(10–25)	mA	K 0,4 °C/mW
					T_a > -40 °C

Typ Použití	Provozní hodnoty				Mezní hodnoty	
<div>107NU70</div> <div>Rozměry K504</div> <div></div> <div></div> <div>n-p-n plošný tranzistor pro stejnosměrný, nízko- frekvenční a pulsní ze- silovač.</div>	<div>I_{CBO}4,5<12μA</div> <div>I_{CEO}350<550μA</div> <div>h_{11b}14Ω</div> <div>$h_{12b}$$10^{-3}$</div> <div>$h_{21b}$0,989(0,985–0,991)</div> <div>h_{22b}14μS</div> <div>$f\alpha$1500(>1000)kHz</div> <div>h_{11e}1,3(0,7–2)kΩ</div> <div>$h_{12e}$$8 \cdot 10^{-4}$(<20 · 10⁻⁴)</div> <div>$h_{21e}$90(65–130)</div> <div>$h_{22e}$125<250$\mu S$</div> <div>$f\beta$15kHz</div> <div>$F$<10dB</div> <div>$U_{BE}$120(90–175)mV</div> <div>I_C1,1(0,75–1,9)mA</div> <div>U_{BE}210(150–270)mV</div> <div>I_C(22–45)mA</div>	<div>měřeno při</div> <div>$U_{CB} = 4,5 \text{ V}$</div> <div>$U_{CE} = 4,5 \text{ V}$</div> <div>$U_{CB} = 2 \text{ V}, I_C = 3 \text{ mA},$ $f = 1 \text{ kHz}$</div> <div>$U_{CB} = 6 \text{ V}, I_C = 1 \text{ mA}$</div> <div>$U_{CE} = 2 \text{ V}, I_C = 3 \text{ mA},$ $f = 1 \text{ kHz}$</div> <div>$U_{CE} = 2 \text{ V}, I_C = 0,5 \text{ mA},$ $f = 1 \text{ kHz}$</div> <div>$U_{CE} = 4,5 \text{ V}, I_B = 10 \mu A$</div> <div>$U_{CE} = 4,5 \text{ V}, I_B = 250 \mu A$</div>	<div>U_{EB}10 V</div> <div>u_{EBM}10 V</div> <div>U_{CB}32 V</div> <div>u_{CBM}32 V</div> <div>$U_{CE} (R_{BE} < 0,6 \text{ k}\Omega)$30 V</div> <div>$U_{CE} (R_{BE} > 40 \text{ k}\Omega)$10 V</div> <div>$-I_E$12 mA</div> <div>$-I_{EM}$55 mA</div> <div>$I_C$10 mA</div> <div>$i_{CM}$50 mA</div> <div>$I_B$2 mA</div> <div>$i_{BM}$5 mA</div> <div>$P_C$125 mW</div> <div>$T_j$+75 °C</div> <div>$K$0,4 °C/mW</div> <div>$T_a$> -40 °C</div>			

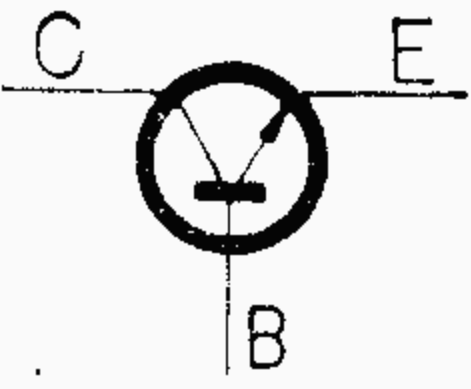
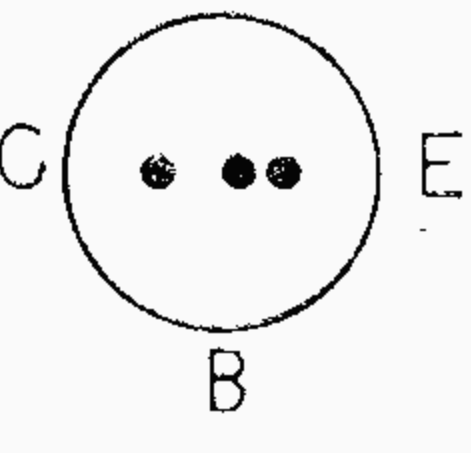
Typ Použití	Provozní hodnoty				Mezní hodnoty
101NU71 Rozměry 2-101NU71 K504  	měřeno při				
	I_{CEO}	<50	μA	$U_{CE} = 6 V, R_{BE} = 500 \Omega$	U_{EB} 10 V
	I_{CBO}	4,5	<10	μA	$U_{CB} = 6 V$
	I_{EBO}	4,5	<10	μA	$U_{EB} = 6 V$
	f_T	$>0,7$	MHz	$U_{CE} = 6 V, I_C = 10 mA$	U_{CBM} 30 V
	F	<10	dB	$U_{CE} = 2 V, I_C = 0,5 mA, f = 1 kHz$	$U_{CE} (R_{BE} < 0,5 k\Omega)$ 30 V
	U_{BE1}	0,115–0,155	V	$U_{CB} = 6 V, -I_E = 1,5 mA$	$U_{CE} (R_{BE} > 40 k\Omega)$ 10 V
	U_{BE2}	$<0,45$	V	$U_{CB} = 0 V, -I_E = 80 mA$	I_C 250 mA
	U_{BE3}	$<0,7$	V	$U_{CB} = 0 V, -I_E = 125 mA$	i_{CM} 250 mA
	h_{21E}	70 (45–120)		$U_{CB} = 6 V, -I_E = 10 mA$	I_B 20 mA
	h_{21E}	50 (40–100)		$U_{CB} = 0 V, -I_E = 80 mA$	i_{BM} 20 mA
	h_{21E}	>25		$U_{CB} = 0 V, -I_E = 125 mA$	P_C 125 mW
	h_{21E}	>15		$U_{CB} = 0 V, -I_E = 250 mA$	$P_C^{1)}$ 165 mW
Údaje 2-101NU71 shodné s tranzistorem 101NU71.					T_j +75 °C
Tranzistory jsou párovány podle proudového zesilovacího činitele, který se nesmí lišit u obou kusů více než o 15 % za podmínek					K 0,4 °C/mW
$U_{CB} = 6 V$				$-I_E = 10 mA$	K ¹⁾ 0,3 °C/mW
$U_{CB} = 0 V$				$-I_E = 80 mA$	$T_a > -40 °C$
n-p-n plošný tranzistor pro nízkofrekvenční zesilovače středního výkonu třídy A, B.					1) S chladič plochou 12,5 cm ²

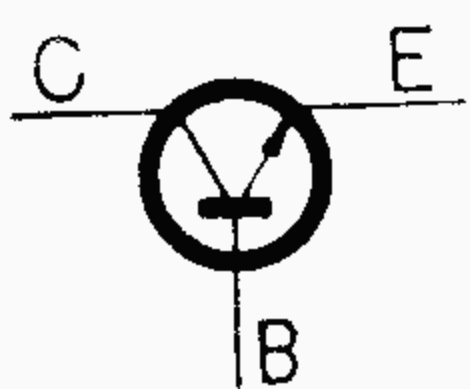
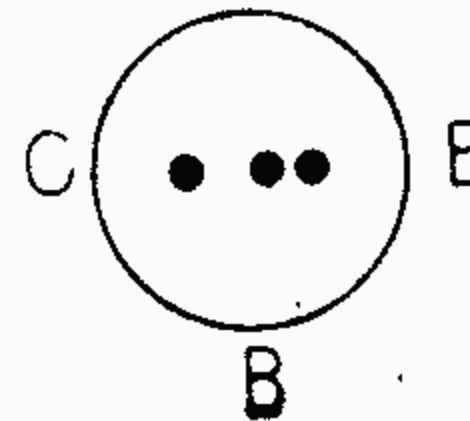
Typ Použití	Provozní hodnoty				Mezní hodnoty
102NU71 Rozměry K504  	měřeno při				
	I_{CE}	<50	μA	$U_{CE} = 6 V, R_{BE} = 500 \Omega$	U_{EB} 10 V
	I_{CBO}	4,5	<10	μA	$U_{CB} = 6 V$
	I_{EBO}	4,5	<10	μA	$U_{EB} = 6 V$
	f_T	$>0,7$	MHz	$U_{CE} = 6 V, I_C = 10 mA$	U_{CBM} 30 V
	U_{BE}	$<0,45$	V	$U_{CB} = 0 V, -I_E = 80 mA$	$U_{CE} (R_{BE} < 0,5 k\Omega)$ 30 V
	U_{BE}	$<0,7$	V	$U_{CB} = 0 V, -I_E = 125 mA$	$U_{CE} (R_{BE} > 40 k\Omega)$ 10 V
	h_{21E}	140 (65–220)		$U_{CB} = 6 V, -I_E = 10 mA$	I_C 250 mA
	h_{21E}	120 (50–200)		$U_{CB} = 0 V, -I_E = 80 mA$	i_{CM} 250 mA
	h_{21E}	>35		$U_{CB} = 0 V, -I_E = 125 mA$	I_B 20 mA
	h_{21E}	>25		$U_{CB} = 0 V, -I_E = 250 mA$	i_{BM} 20 mA
n-p-n plošný tranzistor pro spínací a impulsní techniku, případně pro nf koncové zesilovače středního výkonu.					P_C 125 mW
					$P_C^{1)}$ 165 mW
					T_j +75 °C
					K 0,4 °C/mW
					K ¹⁾ 0,3 °C/mW
					$T_a > -40 °C$
					1) S chladič plochou 12,5 cm ²

Typ Použití	Provozní hodnoty				Mezní hodnoty	
103NU71 Rozměry K504	měřeno při				U_{EB}	10 V
 	I_{CEO}	<50	μA	$U_{CE} = 6 V, R_{BE} = 500 \Omega$	u_{EBM}	10 V
	I_{CBO}	<10	μA	$U_{CB} = 6 V$	U_{CB}	48 V
	I_{EBO}	<10	μA	$U_{EB} = 6 V$	u_{CBM}	48 V
	U_{CE}	>48	V	$I_C = 0,2 mA, R_{BE} = 500 \Omega$	$U_{CE} (R_{BE} < 0,5 k\Omega)$	48 V
	f_T	>0,7	MHz	$U_{CE} = 6 V, I_C = 10 mA$	$U_{CE} (R_{BE} > 40 k\Omega)$	16 V
	U_{CES}	<0,22	V	$I_C = 125 mA, I_B = 10 mA$	I_C	250 mA
	U_{BE}	<0,7	V	$U_{CB} = 0 V, -I_E = 125 mA$	i_{CM}	250 mA
	U_{BE}	<0,45	V	$U_{CB} = 0 V, -I_E = 80 mA$	I_B	20 mA
	h_{21E}	45 ... 200		$U_{CB} = 6 V, -I_E = 10 mA$	i_{BM}	20 mA
	h_{21E}	30 ... 200		$U_{CB} = 0 V, -I_E = 80 mA$	P_C	125 mW
	h_{21E}	>25		$U_{CB} = 0 V, -I_E = 125 mA$	$P_C^{1)}$	165 mW
	h_{21E}	>15		$U_{CB} = 0 V, -I_E = 250 mA$	T_j	+75 °C
					K	0,4 °C/mW
					K ¹⁾	0,3 °C/mW
					T_a	> -40 °C
n-p-n plošný tranzistor pro spínací a impulsní techniku, pro koncové zesilovače středního výkonu.						
1) S chladičí plochou 12,5 cm ²						

Typ Použití	Provozní hodnoty				Mezní hodnoty	
104NU71 Rozměry 2-104NU71 K504	měřeno při				U_{EB}	10 V
	I_{CBQ}	4,5	<10	μA	U_{CB}	6 V
	I_{EBO}	4,5	<10	μA	U_{EB}	6 V
	I_{CEO}		<50	μA	U_{CE}	6 V, $R_{BE} = 500 \Omega$
	f_T		>0,7	MHz	U_{CE}	6 V, $I_C = 10 \text{ mA}$
	F		<10	dB	U_{CE}	2 V, $I_C = 0,5 \text{ mA}$, $f = 1 \text{ kHz}$
	U_{BE1}	0,115–0,155		V	U_{CB}	6 V, $-I_E = 1,5 \text{ mA}$
	U_{BE2}	<0,45		V	U_{CB}	0 V, $-I_E = 80 \text{ mA}$
	U_{BE3}	<0,7		V	U_{CB}	0 V, $-I_E = 125 \text{ mA}$
	h_{21E}	70 (45–120)			U_{CB}	6 V, $-I_E = 10 \text{ mA}$
	h_{21E}	50 (30–100)			U_{CB}	0 V, $-I_E = 80 \text{ mA}$
	h_{21E}	>25			U_{CB}	0 V, $-I_E = 125 \text{ mA}$
	h_{21E}	>15			U_{CB}	0 V, $-I_E = 250 \text{ mA}$
Údaje 2–104NU71 shodné s tranzistorem 104NU71.						
Tranzistory jsou párované podle proudového zesilovacího činitele, který se nesmí lišit u obou kusů více než o 15 % za podmínek						
		U_{CB}	=	6 V	$-I_E$	= 10 mA
		U_{CB}	=	0 V	$-I_E$	= 80 mA
n-p-n plošný tranzistor pro nízkofrekvenční zesilovače středního výkonu třídy A, B.						
					U_{EB}	10 V
					U_{EBM}	10 V
					U_{CB}	20 V
					U_{CBM}	20 V
					U_{CE} ($R_{BE} < 0,5 \text{ k}\Omega$)	20 V
					U_{CE} ($R_{BE} > 40 \text{ k}\Omega$)	7 V
					I_C	250 mA
					i_{CM}	250 mA
					I_B	20 mA
					i_{BM}	20 mA
					P_C	125 mW
					$P_C^{1)}$	165 mW
					T_j	+75 °C
					K	0,4 °C/mW
					$K^{1)}$	0,3 °C/mW
					T_a	> -40 °C
					1) S chladičí plochou 12,5 cm ²	

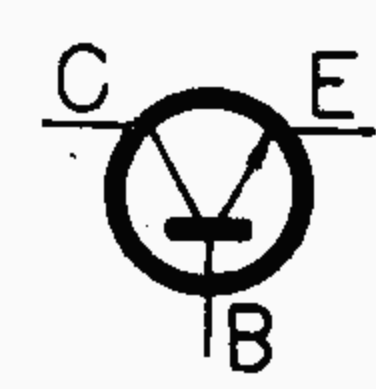
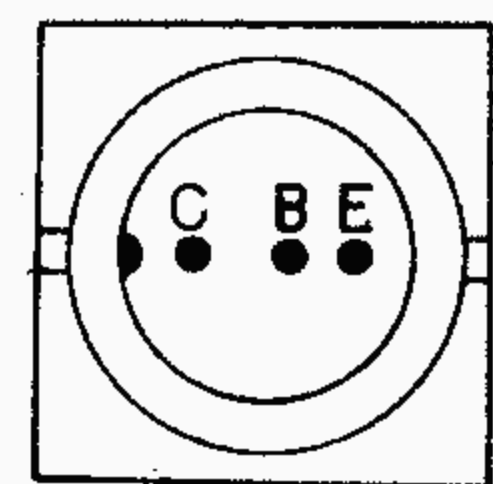
Typ Použití		Provozní hodnoty			Mezní hodnoty		
GC525	Rozměry K504	I_{CBO} <12 μA			měřeno při		
		I_{CER} <35 μA			$U_{CB} = 6 V$		
		I_{CER} <200 μA			$U_{CE} = 6 V, R_{BE} = 500 \Omega$		
		h_{21e} 20 ... 150			$U_{CE} = 15 V, R_{BE} = 500 \Omega$		
		20 ... 40 oranžový			$U_{CE} = 6 V, -I_E = 1 mA,$		
		30 ... 60 žlutý			$f = 1 kHz$		
		50 ... 100 zelený			$U_{CB} = 6 V, -I_E = 1 mA,$		
		75 ... 150 modrý			$f = 0,3 MHz$		
		$ h_{21e} >2$			$I_C = 125 mA, I_B = 10 mA$		
		U_{CES} 0,13 <0,25 V			$U_{CE} = 2 V, I_C = 0,5 mA,$		
		F <10 dB			$f = 1 kHz, \Delta f = 200 Hz,$		
					$R_g = 500 \Omega$		
		h_{11e} 1,3 k Ω			$U_{CE} = 6 V, I_C = 1 mA,$		
		h_{12e} 0,85 $\cdot 10^{-3}$			$f = 1 kHz$		
		h_{21e} 55			$U_{CB} = 0 V, -I_E = 80 mA$		
		h_{22e} 33 μS			$U_{CB} = 6 V, -I_E = 1 mA,$		
		U_{BE} 0,31 V			$f = 0,3 MHz$		
		f_T 1,2 MHz			$U_{CB} = 6 V, -I_E = 10 mA$		
		I_B 0,19 mA			$U_{CB} = 0 V, -I_E = 80 mA$		
		U_{BE} 0,17 V					
		I_B 2,1 mA					
		U_{BE} 0,31 V					
n-p-n plošný tranzistor pro stejnosměrné, nízkofrekvenční a pulsní zesilovače.							

Typ Použití	Provozní hodnoty				Mezní hodnoty
GC526  	Rozměry K504		měřeno při		
	I_{CBO}	<12	μA	$U_{CB} = 6 V$	U_{CBO} 32 V
	I_{CER}	<35	μA	$U_{CER} = 6 V, R_{BE} = 500 \Omega$	$U_{CER} (R_{BE} < 500 \Omega)$ 32 V
	I_{CER}	<200	μA	$U_{CER} = 32 V, R_{BE} = 500 \Omega$	U_{EB} 10 V
	h_{21e}	20 ... 150		$U_{CE} = 6 V, -I_E = 1 mA,$	I_C 125 mA
		20 ... 40 oranžový		$f = 0,3 MHz$	I_{CM} 250 mA
		30 ... 60 žlutý			I_E 145 mA
		50 ... 100 zelený			I_{EM} 250 mA
		75 ... 150 modrý			I_B 20 mA
	$ h_{21e} $	>2		$U_{CB} = 6 V, -I_E = 1 mA,$	I_{BM} 125 mA
				$f = 0,3 MHz$	T_j +75 °C
	U_{CES}	0,13 <0,25	V	$I_C = 125 mA, I_B = 10 mA$	$P_{tot} (T_a < 45 °C)$ 130 mW
	F	<10	dB	$U_{CE} = 2 V, I_C = 0,5 mA,$	T_a > -55 °C
				$f = 1 kHz, \Delta f = 200 Hz,$	T_a +70 °C
				$R_g = 500 \Omega$	U_{is} 80 V
	h_{11e}	1,3	k Ω		
	h_{12e}	0,85	$\cdot 10^{-3}$	$U_{CE} = 6 V, I_C = 1 mA,$	
	h_{21e}	55		$f = 1 kHz$	
	h_{22e}	33	μS		
	f_T	1,2	MHz	$U_{CB} = 6 V, -I_E = 1 mA,$	
				$f = 0,3 MHz$	
	I_B	0,19	mA		
	U_{BE}	0,17	V	$U_{CB} = 6 V, -I_E = 10 mA$	
	I_B	2,1	mA		
	U_{BE}	0,31	V	$U_{CB} = 0 V, -I_E = 80 mA$	
n-p-n plošný tranzistor pro stejnosměrné, nízkofrekvenční a pulsní zesilovače.					
Náhrada za 105NU70					
106NU70, 107NU70					

Typ Použití	Provozní hodnoty			Mezní hodnoty
GC527 Rozměry K504  	<p>měřeno při</p> <p>$I_{CBO} < 12 \mu A$ $U_{CB} = 6 V$</p> <p>$I_{CER} < 35 \mu A$ $U_{CER} = 6 V, R_{BE} = 500 \Omega$</p> <p>$I_{CER} < 200 \mu A$ $U_{CER} = 32 V, R_{BE} = 500 \Omega$</p> <p>$h_{21e} 50 \dots 150$ $U_{CB} = 6 V, -I_E = 1 mA, f = 1 kHz$</p> <p>$50 \dots 100$ zelený</p> <p>$75 \dots 150$ modrý</p> <p>$h_{21e} > 2$ $U_{CB} = 6 V, -I_E = 1 mA, f = 0,3 MHz$</p> <p>$U_{CES} 0,12 < 0,25 V$ $I_C = 125 mA, I_B = 10 mA$</p> <p>$F < 6 dB$ $U_{CE} = 2 V, I_C = 0,5 mA, f = 1 kHz, \Delta f = 200 Hz, R_g = 500 \Omega$</p> <p>$h_{11e} 1,6 k\Omega$ $U_{CE} = 6 V, I_C = 1 mA, f = 1 kHz$</p> <p>$h_{12e} 1,3 \cdot 10^{-4}$</p> <p>$h_{21e} 80$</p> <p>$h_{22e} 43 \mu S$</p> <p>$f_T 1,4 MHz$ $U_{CB} = 6 V, -I_E = 1 mA, f = 0,3 MHz$</p> <p>$I_B 0,125 mA$ $U_{CB} = 6 V, -I_E = 10 mA$</p> <p>$U_{BE} 0,17 V$</p> <p>$I_B 1,6 mA$ $U_{CB} = 0 V, -I_E = 80 mA$</p> <p>$U_{BE} 0,31 V$</p> <p>$I_{is} < 15 \mu A$ $U_{is} = 30 V$</p>			<p>$U_{CBO} 32 V$</p> <p>$U_{CER} (R_{BE} < 500 \Omega) 32 V$</p> <p>$U_{EB} 10 V$</p> <p>$I_C 125 mA$</p> <p>$I_{CM} 250 mA$</p> <p>$I_E 145 mA$</p> <p>$I_{EM} 250 mA$</p> <p>$I_B 20 mA$</p> <p>$I_{BM} 125 mA$</p> <p>$T_j +75 ^\circ C$</p> <p>$P_{tot} (T_a < 45 ^\circ C) 130 mW$</p> <p>$T_a > -55 ^\circ C$</p> <p>$T_a +70 ^\circ C$</p> <p>$U_{is} 80 V$</p>

n-p-n plošný tranzistor pro stejnosměrné, nízkofrekvenční a pulsní zesilovače.

Náhrada za 105NU70, 106NU70, 107NU70.

Typ Použití	Provozní hodnoty			Mezní hodnoty
GC520 Rozměry K504 GC520K K511  	<p>měřeno při</p> <p>$I_{CBO} < 35 \mu A$ $U_{CB} = 10 V$</p> <p>$I_{CEO} 1000 \mu A$ $U_{CE} = 6 V$</p> <p>$U_{CBO} > 32 V$ $I_{CB} = 0,2 A$</p> <p>$U_{CEO} > 16 V$ $I_{CE} = 1 A, R_{BE} = \infty$</p> <p>$U_{CEV} > 32 V$ $I_{CE} = 0,2 mA, -U_{BE} = 1 V$</p> <p>$U_{EBO} > 10 V$ $I_{EB} = 0,2 mA$</p> <p>$I_{B1} 0,7 mA$ $U_{CB} = 0 V, -I_E = 50 mA$</p> <p>$U_{BE1} 0,25 V$</p> <p>$I_{B2} 1,2 - 6 mA$ $U_{CB} = 0 V, -I_E = 300 mA$</p> <p>$U_{BE2} < 0,65 V$</p> <p>$h_{21e} 50 \dots 250$ $U_{CB} = 0 V, -I_E = 1000 mA$</p> <p>$I_{B3} 18 mA$ $I_C = 1 A, I_B = 30 mA$</p> <p>$U_{BE3} 0,8 V$ $U_{CB} = 2 V, -I_E = 10 mA, f = 500 kHz$</p> <p>$U_{CES} < 0,6 V$ $U_{CB} = 6 V, -I_E = 1 mA, f = 0,5 MHz$</p> <p>$h_{21e} > 2$ $U_{CB} = 6 V, f = 0,5 MHz$</p> <p>$f_\beta > 10 kHz$</p> <p>$r_{bb} 90 \Omega$</p> <p>$C_{22b} 150 pF$</p>			<p>$U_{CB} 32 V$</p> <p>$U_{CBM} 32 V$</p> <p>$U_{CE} 16 V$</p> <p>$U_{EB} 10 V$</p> <p>$U_{EBM} 10 V$</p> <p>$I_C 1 A$</p> <p>$I_{CM} 2 A$</p> <p>$I_{CM imp} ^1) 2 A$</p> <p>$-I_E 1 A$</p> <p>$-I_{EM} ^1) 2 A$</p> <p>$I_B 0,1 A$</p> <p>$I_{BM} ^1) 0,5 A$</p> <p>$P_C (T_a \leq 45 ^\circ C) ^3) 1 W$</p> <p>GC520 $^2) 0,2 W$</p> <p>GC520K $^2) 0,3 W$</p> <p>$T_j 90 ^\circ C$</p> <p>$T_a -55 \dots +85 ^\circ C$</p> <p>$R_{t1} 45 ^\circ C/W$</p> <p>$R_t 200 ^\circ C/W$</p>

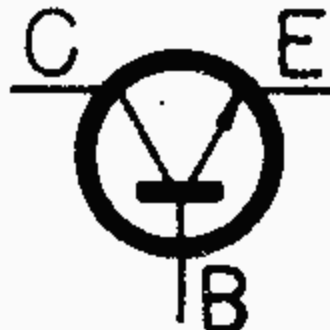
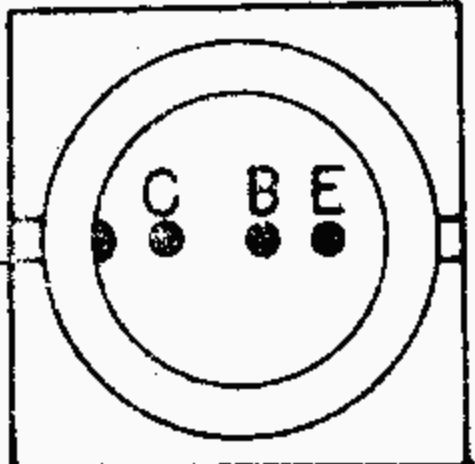
n-p-n plošný tranzistor pro nf zesilovače středního výkonu.

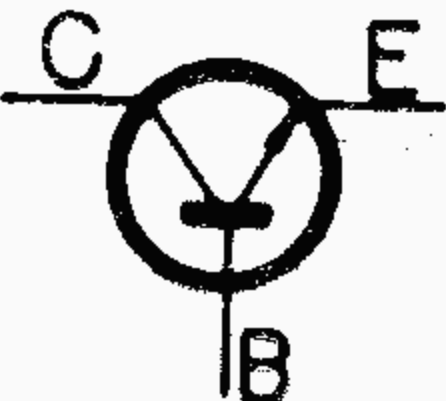
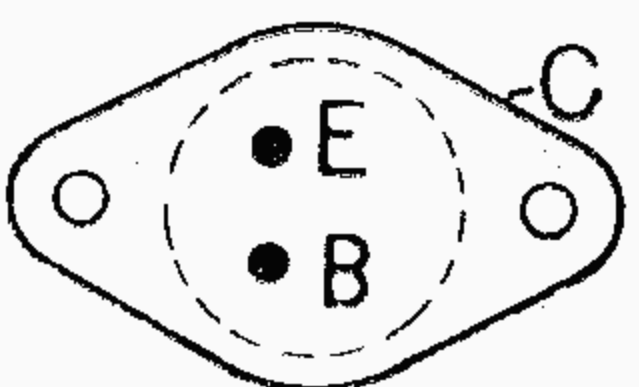
Komplementární k GC510, GC510K.

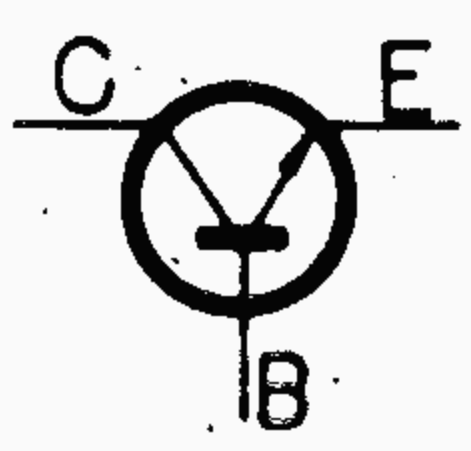
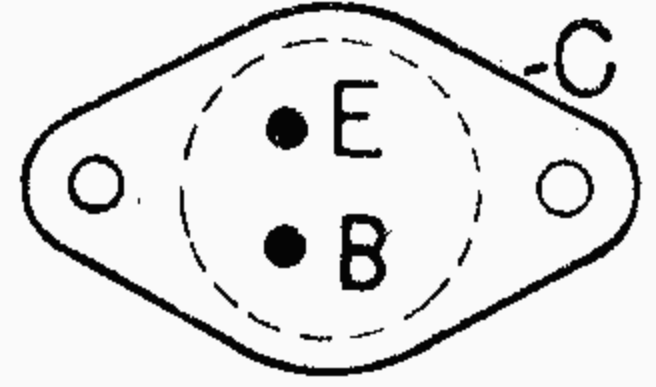
$^1) t_{ip} \leq 20 ms$

$^2) Bez chlazení$

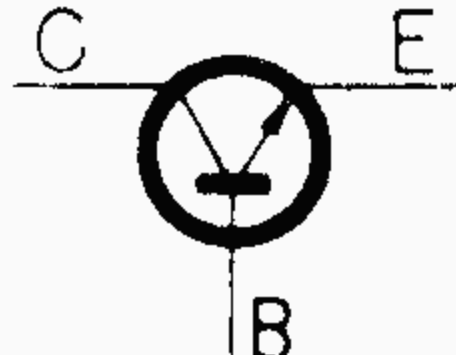
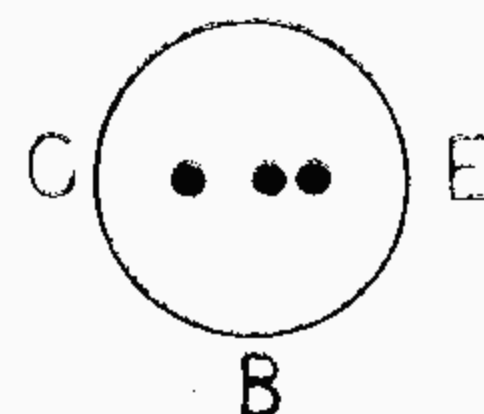
$^3) S ideálním chlazením$

Typ Použití	Provozní hodnoty	Mezní hodnoty
GC521 Rozměry	GC521 GC522	GC521 GC522
GC522 K504	I_{CBO} < 35 < 35 μA	U_{CB} 25 20 V
GC521K K511	I_{CEO} 1000 1000 μA	U_{CBM} 25 30 V
GC522K K511	U_{CBO} > 25 > 20 V	U_{CEM} 15 15 V
	U_{CEO} > 15 > 15 V	U_{EB} 10 V
	U_{CEV} > 25 V	U_{EBM} 10 V
	U_{CEV} — > 20 V	I_C 1 A
	U_{EB} > 10 > 10 V	I_{CM} 2 A
	I_{B1} 0,5 0,6 mA	$I_{CM imp}^1)$ 2 A
	U_{BE1} 0,25 0,25 V	$-I_E$ 1 A
	I_{B2} 0,6–3 0,6–6 mA	$-I_{EM}^1)$ 2 A
	U_{BE2} < 0,65 < 0,65 V	I_B 0,1 A
	h_{21E} 100...500 50...500	$I_{BM}^1)$ 0,5 A
	I_{B3} 8 12 mA	$P_C (T_a \leq 45^\circ C)$
	U_{BE3} 0,8 0,8 V	$^3) 1$ W
	U_{CES} < 0,6 — V	GC521, 522²⁾ 0,2 W
	U_{CES} — < 0,6 V	GC521K, 522K 0,3 W
	$ h_{21e} $ > 2 > 2	T_j 90 $^\circ C$
n-p-n plošný tranzistor	f_β > 10 > 10 kHz	T_a -55 ... +85 $^\circ C$
pro nf zesilovače střed-	r_{bb} 90 90 Ω	R_{t1} 45 $^\circ C/W$
ního výkonu.	C_{22b} 150 150 pF	R_t 200 $^\circ C/W$
Komplementární k		¹⁾ $t_{ip} \leq 20$ ms
GC511, GC511K		²⁾ Bez chlazení
GC512, GC512K		³⁾ S ideálním chlazením

Typ Použití	Provozní hodnoty			Mezní hodnoty
<div>GD607</div> <div>Rozměry K602</div> <div></div> <div></div> <div>n-p-n plošný tranzistor pro nf zesilovače střed- ního výkonu. Komplementární k GD671</div>	<div>I_{CBO} < 35 μA</div> <div>I_{CBO} < 1 mA</div> <div>U_{CEO} > 18 V</div> <div>U_{CER} > 32 V</div> <div>U_{EB} > 10 V</div> <div>I_{B1} 0,28 ... 1,65 mA</div> <div>U_{BE1} < 0,3 V</div> <div>h_{21E} 30 ... 180</div> <div>I_{B2} 2,17 ... 12,5 mA</div> <div>U_{BE2} < 0,65 V</div> <div>h_{21E} 40 ... 230</div> <div>I_{B3} 6 ... 30 mA</div> <div>U_{BE3} < 1 V</div> <div>h_{21E} 33 ... 165</div> <div>U_{CES} < 0,6 V</div> <div>h_{21e} > 2</div> <div>f_{β} > 10 kHz</div>	<div>měřeno při</div> <div>$U_{CB} = 10$ V</div> <div>$U_{CB} = 10$ V, $T_C = +75$ °C</div> <div>$I_C = 1$ A</div> <div>$I_C = 0,5$ mA, $R_{BE} = 500$ Ω</div> <div>$I_E = 0,2$ mA</div> <div>$U_{CB} = 0$ V, $-I_E = 50$ mA</div> <div>$U_{CB} = 0$ V, $-I_E = 500$ mA</div> <div>$U_{CB} = 0$ V, $-I_E = 1$ A</div> <div>$I_C = 1$ A, $I_B = 30$ mA</div> <div>$U_{CB} = 2$ V, $-I_E = 10$ mA, $f = 0,5$ MHz</div> <div>$U_{CB} = 2$ V, $-I_E = 10$ mA</div>	<div>U_{CB} 32 V</div> <div>U_{CER} ($R_{BE} \leq 500$ Ω) 32 V</div> <div>U_{CEO} 20 V</div> <div>U_{EBO} 10 V</div> <div>I_C 1 A</div> <div>I_{CM} 2 A</div> <div>$-I_E$ 1 A</div> <div>$-I_{EM}$ 2 A</div> <div>I_B 0,1 A</div> <div>T_j +90 °C</div> <div>P_{tot} ($T_C \leq +60$ °C) 4 W</div> <div>T_a -55 ... +85 °C</div> <div>R_{t1} 7,5 °C/W</div>	

Typ Použití	Provozní hodnoty				Mezní hodnoty																																																																																																																																						
<div>GD608</div> <div>GD609</div> <div></div> <div></div> <div>n-p-n plošný tranzistor pro nf zesilovače vý- konu.</div> <div>Komplementární k GD618, GD619</div>	<div>Rozměry</div> <div>K602</div>	<table><thead><tr><th></th><th>GD608</th><th>GD609</th><th></th></tr></thead><tbody><tr><td>I_{CBO}</td><td>< 35</td><td>< 35</td><td>μA</td></tr><tr><td>I_{CBO}</td><td>< 1</td><td>< 1</td><td>mA</td></tr><tr><td>U_{CEO}</td><td>> 15</td><td>> 15</td><td>V</td></tr><tr><td>U_{CER}</td><td>> 25</td><td>—</td><td>V</td></tr><tr><td>U_{CER}</td><td>—</td><td>> 20</td><td>V</td></tr><tr><td>U_{EB}</td><td>> 10</td><td>> 10</td><td>V</td></tr><tr><td>I_{B1}</td><td>0,1...0,5</td><td>0,1...1,65</td><td>mA</td></tr><tr><td>U_{B1}</td><td>< 0,3</td><td>< 0,3</td><td>V</td></tr><tr><td>h_{21E}</td><td>100...500</td><td>30...500</td><td></td></tr><tr><td>I_{B2}</td><td>1,4...5</td><td>1,4...12,5</td><td>mA</td></tr><tr><td>U_{BE2}</td><td>< 0,65</td><td>< 0,65</td><td>V</td></tr><tr><td>h_{21E}</td><td>100...360</td><td>40...360</td><td></td></tr><tr><td>I_{B3}</td><td>< 15</td><td>< 30</td><td>mA</td></tr><tr><td>U_{BE3}</td><td>< 1</td><td>< 1</td><td>V</td></tr><tr><td>h_{21E}</td><td>40...360</td><td>> 33</td><td></td></tr><tr><td>U_{CES}</td><td>< 0,6</td><td>—</td><td>V</td></tr><tr><td>U_{CES}</td><td>—</td><td>< 0,6</td><td>V</td></tr><tr><td>h_{21e}</td><td>> 2</td><td>> 2</td><td></td></tr><tr><td>f_β</td><td>> 10</td><td>> 10</td><td>kHz</td></tr></tbody></table>		GD608	GD609		I_{CBO}	< 35	< 35	μA	I_{CBO}	< 1	< 1	mA	U_{CEO}	> 15	> 15	V	U_{CER}	> 25	—	V	U_{CER}	—	> 20	V	U_{EB}	> 10	> 10	V	I_{B1}	0,1...0,5	0,1...1,65	mA	U_{B1}	< 0,3	< 0,3	V	h_{21E}	100...500	30...500		I_{B2}	1,4...5	1,4...12,5	mA	U_{BE2}	< 0,65	< 0,65	V	h_{21E}	100...360	40...360		I_{B3}	< 15	< 30	mA	U_{BE3}	< 1	< 1	V	h_{21E}	40...360	> 33		U_{CES}	< 0,6	—	V	U_{CES}	—	< 0,6	V	$ h_{21e} $	> 2	> 2		f_β	> 10	> 10	kHz	<div>měřeno při</div> <div>$U_{CB} = 10\text{ V}$</div> <div>$U_{CB} = 10\text{ V}, T_C = +75\text{ }^\circ\text{C}$</div> <div>$I_C = 1\text{ A}$</div> <div>$I_C = 0,2\text{ mA}, R_{BE} = 500\text{ }\Omega$</div> <div>$I_C = 0,5\text{ mA}, R_{BE} = 500\text{ }\Omega$</div> <div>$I_E = 0,2\text{ mA}$</div> <div>$U_{CB} = 0\text{ V}, -I_E = 50\text{ mA}$</div> <div>$U_{CB} = 0\text{ V}, -I_E = 500\text{ mA}$</div> <div>$U_{CB} = 0\text{ V}, -I_E = 1\text{ A}$</div> <div>$I_C = 1\text{ A}, I_B = 15\text{ mA}$</div> <div>$I_C = 1\text{ A}, I_B = 30\text{ mA}$</div> <div>$U_{CB} = 2\text{ V}, -I_E = 10\text{ mA},$ $f = 0,5\text{ MHz}$</div> <div>$U_{CB} = 2\text{ V}, -I_E = 10\text{ mA}$</div>	<table><thead><tr><th></th><th>GD608</th><th>GD609</th></tr></thead><tbody><tr><td>U_{CB}</td><td>25</td><td>20</td><td>V</td></tr><tr><td>U_{CE}</td><td>18</td><td>16</td><td>V</td></tr><tr><td>U_{CER} ($R_{BE} \leq 500\text{ }\Omega$)</td><td>15</td><td>15</td><td>V</td></tr><tr><td>U_{EB}</td><td>10</td><td></td><td>V</td></tr><tr><td>I_C</td><td>1</td><td></td><td>A</td></tr><tr><td>I_{CM}</td><td>2</td><td></td><td>A</td></tr><tr><td>$-I_E$</td><td>1</td><td></td><td>A</td></tr><tr><td>$-I_{EM}$</td><td>2</td><td></td><td>A</td></tr><tr><td>I_B</td><td>0,1</td><td></td><td>A</td></tr><tr><td>P_{tot} ($T_C \leq +60\text{ }^\circ\text{C}$)</td><td>4</td><td></td><td>W</td></tr><tr><td>T_j</td><td>+90</td><td></td><td>$^\circ\text{C}$</td></tr><tr><td>T_a</td><td>-55...+85</td><td></td><td>$^\circ\text{C}$</td></tr><tr><td>R_{t1}</td><td>7,5</td><td></td><td>$^\circ\text{C/W}$</td></tr></tbody></table>		GD608	GD609	U_{CB}	25	20	V	U_{CE}	18	16	V	U_{CER} ($R_{BE} \leq 500\text{ }\Omega$)	15	15	V	U_{EB}	10		V	I_C	1		A	I_{CM}	2		A	$-I_E$	1		A	$-I_{EM}$	2		A	I_B	0,1		A	P_{tot} ($T_C \leq +60\text{ }^\circ\text{C}$)	4		W	T_j	+90		$^\circ\text{C}$	T_a	-55...+85		$^\circ\text{C}$	R_{t1}	7,5		$^\circ\text{C/W}$
	GD608	GD609																																																																																																																																									
I_{CBO}	< 35	< 35	μA																																																																																																																																								
I_{CBO}	< 1	< 1	mA																																																																																																																																								
U_{CEO}	> 15	> 15	V																																																																																																																																								
U_{CER}	> 25	—	V																																																																																																																																								
U_{CER}	—	> 20	V																																																																																																																																								
U_{EB}	> 10	> 10	V																																																																																																																																								
I_{B1}	0,1...0,5	0,1...1,65	mA																																																																																																																																								
U_{B1}	< 0,3	< 0,3	V																																																																																																																																								
h_{21E}	100...500	30...500																																																																																																																																									
I_{B2}	1,4...5	1,4...12,5	mA																																																																																																																																								
U_{BE2}	< 0,65	< 0,65	V																																																																																																																																								
h_{21E}	100...360	40...360																																																																																																																																									
I_{B3}	< 15	< 30	mA																																																																																																																																								
U_{BE3}	< 1	< 1	V																																																																																																																																								
h_{21E}	40...360	> 33																																																																																																																																									
U_{CES}	< 0,6	—	V																																																																																																																																								
U_{CES}	—	< 0,6	V																																																																																																																																								
$ h_{21e} $	> 2	> 2																																																																																																																																									
f_β	> 10	> 10	kHz																																																																																																																																								
	GD608	GD609																																																																																																																																									
U_{CB}	25	20	V																																																																																																																																								
U_{CE}	18	16	V																																																																																																																																								
U_{CER} ($R_{BE} \leq 500\text{ }\Omega$)	15	15	V																																																																																																																																								
U_{EB}	10		V																																																																																																																																								
I_C	1		A																																																																																																																																								
I_{CM}	2		A																																																																																																																																								
$-I_E$	1		A																																																																																																																																								
$-I_{EM}$	2		A																																																																																																																																								
I_B	0,1		A																																																																																																																																								
P_{tot} ($T_C \leq +60\text{ }^\circ\text{C}$)	4		W																																																																																																																																								
T_j	+90		$^\circ\text{C}$																																																																																																																																								
T_a	-55...+85		$^\circ\text{C}$																																																																																																																																								
R_{t1}	7,5		$^\circ\text{C/W}$																																																																																																																																								

Typ Použití	Provozní hodnoty	Mezní hodnoty																																																																																																						
152NU70 Rozměry 153NU70 K504 154NU70	<table> <tr> <th></th><th>152NU70, 154NU70</th><th>měřeno při</th></tr> <tr> <td>I_{CBO}</td><td>< 10 μA</td><td>$U_{CB} = 5 V$</td></tr> <tr> <td>f_α</td><td>> 2,5 MHz</td><td>$U_{CB} = 5 V, I_C = 0,5 mA$</td></tr> <tr> <td>$h_{21e}$</td><td>20-100</td><td>$U_{CE} = 5 V, I_C = 0,5 mA$</td></tr> <tr> <td>152NU70:</td><td></td><td></td></tr> <tr> <td>F</td><td>< 10 dB</td><td>$U_{CE} = 5 V, I_C = 0,5 mA$ $f = 250 kHz$</td></tr> <tr> <td>154NU70:</td><td></td><td></td></tr> <tr> <td>F</td><td>< 20 dB</td><td></td></tr> <tr> <td>153NU70:</td><td></td><td></td></tr> <tr> <td>I_{CBO}</td><td>< 10 μA</td><td>$U_{CB} = 5 V$</td></tr> <tr> <td>f_α</td><td>> 1 MHz</td><td>$U_{CB} = 5 V, I_C = 0,5 mA$</td></tr> <tr> <td>$h_{21e}$</td><td>10-40</td><td>$U_{CE} = 5 V, I_C = 0,5 mA$</td></tr> <tr> <td>F</td><td>< 20 dB</td><td>$U_{CE} = 5 V, I_C = 0,5 mA,$ $f = 250 kHz$</td></tr> <tr> <td>$C_{b'c}$</td><td>8-26 pF</td><td>$U_{CE} = 6 V, I_C = 1 mA$</td></tr> <tr> <td>153NU70</td><td>9-10,7 pF modrá</td><td></td></tr> <tr> <td>Tříděné tranzistory</td><td>10,7-13,1 pF červená</td><td></td></tr> <tr> <td>podle $C_{b'c}$ se</td><td>13,1-15,9 pF žlutá</td><td></td></tr> <tr> <td>označují barevně</td><td>15,9-18 pF černá</td><td></td></tr> <tr> <td>podle kódu:</td><td>18-22 pF bílá</td><td></td></tr> <tr> <td>8-9 pF zelená</td><td>22-26 pF fialová</td><td></td></tr> </table>		152NU70, 154NU70	měřeno při	I_{CBO}	< 10 μA	$U_{CB} = 5 V$	f_α	> 2,5 MHz	$U_{CB} = 5 V, I_C = 0,5 mA$	h_{21e}	20-100	$U_{CE} = 5 V, I_C = 0,5 mA$	152NU70:			F	< 10 dB	$U_{CE} = 5 V, I_C = 0,5 mA$ $f = 250 kHz$	154NU70:			F	< 20 dB		153NU70:			I_{CBO}	< 10 μA	$U_{CB} = 5 V$	f_α	> 1 MHz	$U_{CB} = 5 V, I_C = 0,5 mA$	h_{21e}	10-40	$U_{CE} = 5 V, I_C = 0,5 mA$	F	< 20 dB	$U_{CE} = 5 V, I_C = 0,5 mA,$ $f = 250 kHz$	$C_{b'c}$	8-26 pF	$U_{CE} = 6 V, I_C = 1 mA$	153NU70	9-10,7 pF modrá		Tříděné tranzistory	10,7-13,1 pF červená		podle $C_{b'c}$ se	13,1-15,9 pF žlutá		označují barevně	15,9-18 pF černá		podle kódu:	18-22 pF bílá		8-9 pF zelená	22-26 pF fialová		<table> <tr> <td>U_{CB}</td><td>10</td><td>V</td></tr> <tr> <td>u_{CBM}</td><td>10</td><td>V</td></tr> <tr> <td>U_{CE}</td><td>6</td><td>V</td></tr> <tr> <td>u_{CEM}</td><td>6</td><td>V</td></tr> <tr> <td>U_{EB}</td><td>5</td><td>V</td></tr> <tr> <td>u_{EBM}</td><td>5</td><td>V</td></tr> <tr> <td>I_C</td><td>5</td><td>mA</td></tr> <tr> <td>I_{CM}</td><td>10</td><td>mA</td></tr> <tr> <td>$-I_E$</td><td>5</td><td>mA</td></tr> <tr> <td>i_{EM}</td><td>10</td><td>mA</td></tr> <tr> <td>P_C</td><td>50</td><td>mW</td></tr> <tr> <td>T_j</td><td>75</td><td>$^\circ C$</td></tr> <tr> <td>T_a</td><td>-40...+70</td><td>$^\circ C$</td></tr> <tr> <td>K</td><td>1</td><td>$^\circ C/mW$</td></tr> </table>	U_{CB}	10	V	u_{CBM}	10	V	U_{CE}	6	V	u_{CEM}	6	V	U_{EB}	5	V	u_{EBM}	5	V	I_C	5	mA	I_{CM}	10	mA	$-I_E$	5	mA	i_{EM}	10	mA	P_C	50	mW	T_j	75	$^\circ C$	T_a	-40...+70	$^\circ C$	K	1	$^\circ C/mW$
	152NU70, 154NU70	měřeno při																																																																																																						
I_{CBO}	< 10 μA	$U_{CB} = 5 V$																																																																																																						
f_α	> 2,5 MHz	$U_{CB} = 5 V, I_C = 0,5 mA$																																																																																																						
h_{21e}	20-100	$U_{CE} = 5 V, I_C = 0,5 mA$																																																																																																						
152NU70:																																																																																																								
F	< 10 dB	$U_{CE} = 5 V, I_C = 0,5 mA$ $f = 250 kHz$																																																																																																						
154NU70:																																																																																																								
F	< 20 dB																																																																																																							
153NU70:																																																																																																								
I_{CBO}	< 10 μA	$U_{CB} = 5 V$																																																																																																						
f_α	> 1 MHz	$U_{CB} = 5 V, I_C = 0,5 mA$																																																																																																						
h_{21e}	10-40	$U_{CE} = 5 V, I_C = 0,5 mA$																																																																																																						
F	< 20 dB	$U_{CE} = 5 V, I_C = 0,5 mA,$ $f = 250 kHz$																																																																																																						
$C_{b'c}$	8-26 pF	$U_{CE} = 6 V, I_C = 1 mA$																																																																																																						
153NU70	9-10,7 pF modrá																																																																																																							
Tříděné tranzistory	10,7-13,1 pF červená																																																																																																							
podle $C_{b'c}$ se	13,1-15,9 pF žlutá																																																																																																							
označují barevně	15,9-18 pF černá																																																																																																							
podle kódu:	18-22 pF bílá																																																																																																							
8-9 pF zelená	22-26 pF fialová																																																																																																							
U_{CB}	10	V																																																																																																						
u_{CBM}	10	V																																																																																																						
U_{CE}	6	V																																																																																																						
u_{CEM}	6	V																																																																																																						
U_{EB}	5	V																																																																																																						
u_{EBM}	5	V																																																																																																						
I_C	5	mA																																																																																																						
I_{CM}	10	mA																																																																																																						
$-I_E$	5	mA																																																																																																						
i_{EM}	10	mA																																																																																																						
P_C	50	mW																																																																																																						
T_j	75	$^\circ C$																																																																																																						
T_a	-40...+70	$^\circ C$																																																																																																						
K	1	$^\circ C/mW$																																																																																																						
n-p-n plošný tranzistor pro 152NU70 směšovače 153NU70 mf zesilovače 154NU70 oscilátor																																																																																																								

Typ Použití	Provozní hodnoty				Mezní hodnoty	
155NU70 Rozměry K504					měřeno při	
					UCE = 6 V, -IE = 1 mA	
 	ICBO	0,5	<2	μA	UCB = 2 V	UCE (RBE = 1 kΩ)
	ICBO		<10	μA	UCB = 15 V	15 V
	IEBO	0,4	<2	μA	UEB = 2 V	UCEM (RBE = 1 kΩ)
	IEBO		<40	μA	UEB = 12 V	15 V
	ICEO	12	<40	μA	UCE = 2 V	UCE (RBE = 400 kΩ)
	fα	6	(3...12)	MHz	UCB = 6 V, -IE = 1 mA	5 V
	h21e		>2,2		UCB = 6 V, -IE = 1 mA, f = 1 MHz	UCEM (RBE = 400 kΩ)
	h21e	50	(25-125)			5 V
	Cb'c	10,5	(7-18)	pF		UCB
	Cb'c	1000		pF		15 V
	gce	15	(<40)	μS		UCEM
	gbe	760		μS		15 V
	gb'c		<0,5	μS		UEB
	gm	39		mA/V		8 V
	rbb'	75	<200	Ω		UCEM
	rbb'/fαb	12,5	(5-30)	Ω/MHz		12 V
	Barevné značení tranzistorů podle Cb'c:					-IE
	8-9 pF zelená					10 mA
	9-10,7 pF modrá					-IEM
	10,7-13,1 pF červená					15 mA
	13,1-15,9 pF žlutá					IC
	15,9-18 pF černá					10 mA
	n-p-n plošný tranzistor pro mf zesilovače.					ICM
						15 mA
						ICEMimp ¹⁾
						20 mA
						IBM
						5 mA
						PC
						83 mW
						K
						0,6 °C/mW
						K1
						0,15 °C/mW
						Tj
						75 °C
						Ta
						> -40 °C
						¹⁾ UBE = +0,3...+3 V

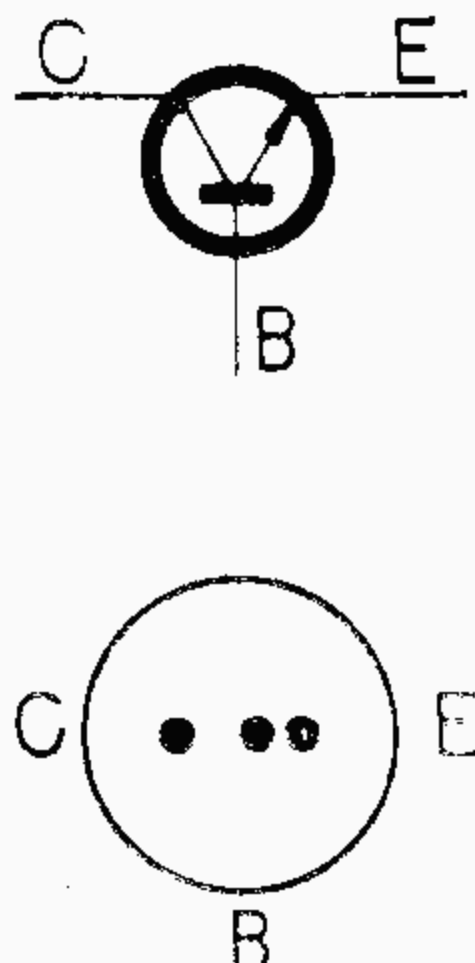
Typ Použití	Provozní hodnoty				Mezní hodnoty
156NU70 Rozměry K504	I_{CBO} 0,5 <2 μA	$U_{CB} = 2 V$	$U_{CE} (R_{BE} = 1 k\Omega)$ 15 V		
	I_{CBO} <10 μA	$U_{CB} = 15 V$	$u_{CEM} (R_{BE} = 1 k\Omega)$ 15 V		
	I_{EBO} 0,4 <2 μA	$U_{EB} = 2 V$	$U_{CE} (R_{BE} = 400 k\Omega)$ 5 V		
	I_{EBO} <40 μA	$U_{EB} = 12 V$	$u_{CEM} (R_{BE} = 400 k\Omega)$ 5 V		
	I_{CEO} 25 <75 μA	$U_{CE} = 2 V$	U_{CB} 15 V		
	f_{α} 15 (7,5...30) MHz	$U_{CB} = 6 V, -I_E = 1 mA$	u_{CBM} 15 V		
	$ h_{21e} $ >5,6	$U_{CB} = 6 V, -I_E = 1 mA,$ $f = 1 MHz$	U_{EB} 8 V		
			u_{EBM} 12 V		
	β 100 (45-225)		$-I_E$ 10 mA		
	$C_{b'c}$ 10,5 (7-18) pF	$U_{CE} = 6 V, -I_E = 1 mA$	$-I_{EM}$ 15 mA		
	$C_{b'c}$ 410 pF		I_C 10 mA		
	g_{ce} 40 (<100) μS		I_{CM} 15 mA		
	$g_{b'e}$ 390 μS		$i_{CEMimp}^{1)}$ 20 mA		
	$g_{b'c}$ <0,5 μS		I_{BM} 5 mA		
	g_m 39 mA/V		P_C 83 mW		
	$r_{bb'}$ 110 Ω	K 0,6 $^{\circ}C/mW$			
	$r_{bb'}/f_{\alpha b}$ 7,5 (3,5-20) Ω/MHz	K_1 0,15 $^{\circ}C/mW$			
		T_j 75 $^{\circ}C$			
		T_a > -40 $^{\circ}C$			
		$^1) U_{BE} = +0,3...+3 V$			

n-p-n plošný tranzistor
pro vf zesilovače, smě-
šovače a samokmitající
směšovače.

¹⁾ $U_{BE} = +0,3...+3 V$

Typ Použití		Provozní hodnoty				Mezní hodnoty	
GS501 GS502 GS504	Rozměry K505	GS501 GS504	GS502		měřeno při	U_{CB}	20 V
		I_{CBO}	< 3	< 3 μA	$U_{CB} = 6 V$	U_{CBM}	20 V
		I_{CBO}	< 50	< 50 μA	$U_{CB} = 20 V$	U_{CE}	20 V
		I_{CBO}	< 35	< 60 μA	$U_{CB} = 6 V, T_a = 60 ^\circ C$	U_{EB}	20 V
		I_{EBO}	< 3	< 3 μA	$U_{EB} = 6 V$	U_{EBM}	20 V
		I_{EBO}	< 50	< 50 μA	$U_{EB} = 20 V$	I_C	400 mA
		I_B	0,1–0,3	0,1–0,3 mA	$U_{CB} = 0 V, -I_E = 15 mA$	I_{CM}	400 mA
		$-I_B$	—	< 19 mA	$U_{CB} = 0 V, -I_E = 300 mA$	$I_{CM imp}$	400 mA
		I_B	< 11	< 11 mA	$U_{CB} = 0 V, -I_E = 300 mA$	I_E	400 mA
		U_{BE}	< 0,8	< 0,8 V	$U_{CB} = 0 V, -I_E = 300 mA$	I_{EM}	400 mA
		U_{BE}	—	0,4 V	$U_{CB} = 0 V, -I_E = 300 mA$	$I_B^1)$	40 mA
		U_{BE}	< 0,27	< 0,27 V	$U_{CB} = 0 V, -I_E = 15 mA$	I_{BM}	400 mA
		U_{CES}	0,2 < 0,4	0,2 < 0,4 V	$I_C = 400 mA, I_B = 20 mA$	P_C	150 mW
		$C_{b'c}$	< 30	< 30 pF	$U_{CE} = 6 V, -I_E = 3 mA, f = 3 MHz$	T_j	+75 $^\circ C$
		$r_{bb'}$	100	< 180 Ω	$U_{CB} = 6 V, -I_E = 3 mA, f = 0,5 MHz$	T_a	-40 ... +70 $^\circ C$
		f_T	18	18 MHz	$U_{CB} = 6 V, -I_E = 3 mA$	R_{t1}	0,2 $^\circ C/mW$
		$ h_{21e} $	> 4,5	> 4,5	$U_{CB} = 6 V, -I_E = 3 mA, f = 1 MHz$	R_t	0,35 $^\circ C/mW$
						$t_{ip} \leq 20 ms$	

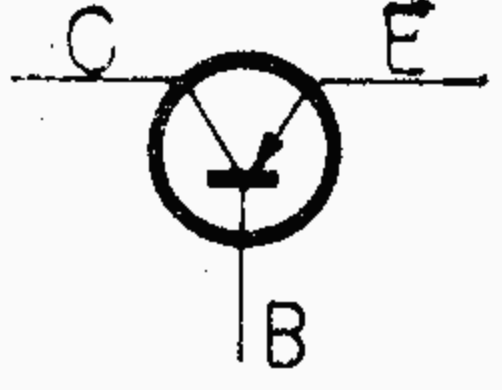
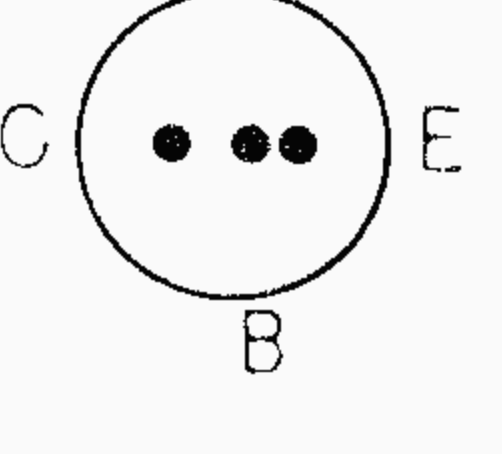
n-p-n germaniový plošný tranzistor pro spínací účely.
GS502 symetrický.

Typ Použití	Provozní hodnoty				Mezní hodnoty
GS506 Rozměry K504 	měřeno při				U_{CB} 15 V
I_{CBO} <2 μA	$U_{CB} = 2$ V	U_{CBM} 15 V	$U_{CE}^{1)}$ 15 V	$U_{CEM}^{1)}$ 15 V	U_{EB} 8 V
I_{CBO} <10 μA	$U_{CB} = 15$ V	$U_{EB} = 2$ V	$U_{EB} = 12$ V	U_{EBM} 12 V	I_{CE} 10 mA
I_{EBO} <2 μA	$U_{EB} = 2$ V	$U_{CE} = 2$ V	$U_{CB} = 6$ V, $I_E = 1$ mA	$I_{CEM}^{2)}$ 20 mA	$I_{CEM imp}$ 20 mA
I_{EBO} <40 μA	$U_{EB} = 12$ V	$U_{CB} = 6$ V, $I_E = 1$ mA, $f = 1$ MHz	$U_{CB} = 6$ V, $I_E = 1$ mA, $f = 1$ MHz	I_{BM} 5 mA	T_j 75 °C
I_{CEO} <75 μA	$U_{CE} = 2$ V	$U_{CB} = 6$ V, $I_E = 1$ mA, $f = 0,5$ MHz	$U_{CB} = 6$ V, $I_E = 1$ mA, $f = 1$ MHz	P_C 85 mW	$P_C^{3)}$ 150 mW
h_{21E} 40–300	$U_{CB} = 6$ V, $I_E = 1$ mA	$U_{CB} = 6$ V, $I_E = 1$ mA, $f = 1$ MHz	$U_{CE} = 6$ V, $I_C = 5$ mA, $I_{B1} = 5$ mA, $I_{B2} = 2,5$ mA	T_a -40 ... +70 °C	R_t 0,6 °C/mW
$ h_{21e} $ >10	$U_{CB} = 6$ V, $I_E = 1$ mA, $f = 1$ MHz	$U_{CB} = 6$ V, $I_E = 1$ mA, $f = 1$ MHz		R_{t1} 0,15 °C/mW	
U_{BE} <200 mV	$U_{CB} = 6$ V, $I_E = 1$ mA				
C_{22b} <15 pF	$U_{CB} = 6$ V, $I_E = 1$ mA, $f = 1$ MHz				
$r_{bb'}$ <250 Ω	$U_{CB} = 6$ V, $I_E = 1$ mA, $f = 0,5$ MHz				
f_T 14 >10 MHz	$U_{CB} = 6$ V, $I_E = 1$ mA, $f = 1$ MHz				
Q_S <1 μs	$U_{CE} = 6$ V, $I_C = 5$ mA, $I_{B1} = 5$ mA, $I_{B2} = 2,5$ mA				
					$1) R_{BE} = 1$ k Ω
					$2) -U_{BE} = 0,3 \dots 3$ V, $U_{CEM} \cdot I_{CEM} \leq 300$ mW, $f_{ip} > 1$ kHz, $V_T \leq 0,2$
					$3) S$ chladič plochou $R_t \leq 120$ °C/W

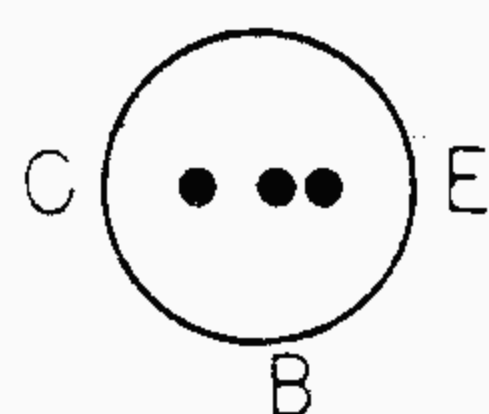
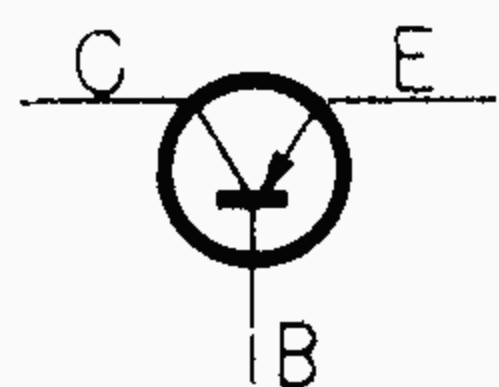
n-p-n plošný tranzistor
pro vf zesilovače
a spínací obvody.

Typ Použití		Provozní hodnoty				Mezní hodnoty			
GS507	Rozměry K504					měřeno při			
		I_{CBO}	1,5	<3	μA	$U_{CB} = 2$ V	U_{CB}	15	V
		I_{CBO}	1,85	<10	μA	$U_{CB} = 15$ V	U_{CBM}	15	V
		I_{EBO}	1,25	<3	μA	$U_{EB} = 2$ V	$U_{CE}^{1)}$	15	V
		I_{EBO}	1,5	<10	μA	$U_{EB} = 12$ V	$U_{CEM}^{1)}$	15	V
		I_{CEO}	46	<200	μA	$U_{CE} = 2$ V	U_{EB}	8	V
		h_{21E}	77	40...300		$U_{CB} = 0$ V, $I_E = 1$ mA	U_{EBM}	12	V
		I_B	13	3,3...25	μA	$U_{CB} = 0$ V, $I_E = 1$ mA	I_{CE}	30	mA
		U_{BE}	145	<200	mV	$U_{CB} = 6$ V, $I_E = 1$ mA	I_{CEM}	60	mA
		$ h_{21e} $		>10		$U_{CB} = 6$ V, $I_E = 1$ mA, $f = 1$ MHz	$I_{CEM imp}^{3)}$	60	mA
		$r_{bb'}$	142	<250	Ω	$U_{CB} = 6$ V, $I_E = 1$ mA, $f = 1$ MHz	I_{BM}	5	mA
		C_{22b}	13,6	<20	pF	$U_{CB} = 6$ V, $I_E = 1$ mA, $f = 0,5$ MHz	T_j	75	$^{\circ}C$
		Q_S	0,65	<1,8	μs	$U_{CC} = 6$ V, $I_C = 5$ mA, $I_{B1} = 5$ mA, $I_{B2} = 2,5$ mA	P_C	85	mW
		f_T	18	≥ 10	MHz	$U_{CB} = 6$ V, $I_E = 1$ mA, $f = 1$ MHz	$P_C^{2)}$	160	mW
		n-p-n plošný tranzistor pro vf zesilovače a spínací obvody.						R_t	0,6
				R_{t1}	0,2	$^{\circ}C/mW$			
				T_a	-40 ... +70	$^{\circ}C$			
						1) $R_{BE} = 1$ k Ω			
						2) S chladičí plochou $R_t \leq 100$ $^{\circ}C$			
						3) $-U_{BE} = 0,3 \dots 3$ V, $U_{CEM} \cdot I_{CEM} < 900$ mW, $f_{ip} > 1$ kHz, $V_T \leq 0,2$			

- 1) $R_{BE} = 1$ k Ω
2) S chladičí plochou
 $R_t \leq 100$ $^{\circ}C$
3) $-U_{BE} = 0,3 \dots 3$ V,
 $U_{CEM} \cdot I_{CEM}$
<900 mW,
 $f_{ip} > 1$ kHz,
 $V_T \leq 0,2$

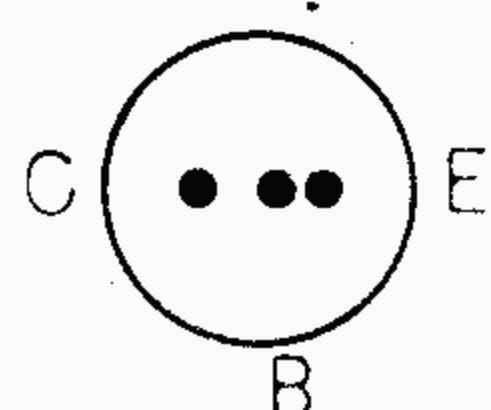
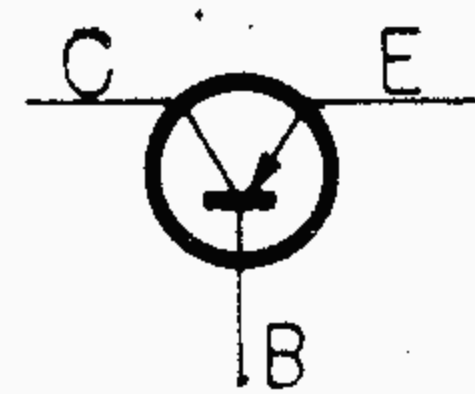
Typ	Provozní hodnoty			Mezní hodnoty		
OC70 Rozměry K504 Nepoužívat v nových zařízeních Náhrada GC515  	měřeno při			$-U_{CB}$	32	V
	$-I_{CBO}$	5	<12 μA	$U_{CB} = 4,5$ V	$-U_{CBM}$	32 V
	$-I_{CEO}$	110	<225 μA	$U_{CE} = 4,5$ V	$-U_{CE} (R_{BE} < 0,6$ k Ω)	30 V
	h_{11b}	71	(58-88) Ω	$-U_{CB} = 2$ V, $-I_C = 0,5$ mA, $f = 1$ kHz	$-U_{CE} (R_{BE} > 40$ k Ω)	10 V
	h_{12b}	$7 \cdot 10^{-4}$			I_E	12 mA
	$-h_{21b}$	0,968	(0,952-0,976)		I_{EM}	55 mA
	h_{22b}	0,7	(<1,3) μS	$-U_{CB} = 5$ V, $-I_C = 1$ mA	$-I_C$	10 mA
	f_{α}	>300	kHz		$-I_{CM}$	50 mA
	h_{11e}	2,2	(1,2-3,6) k Ω		$-I_P$	2 mA
	h_{12e}	$9 \cdot 10^{-4}$	(< $27 \cdot 10^{-4}$)	$-U_{CE} = 2$ V, $-I_C = 0,5$ mA, $f = 1$ kHz	$-I_{BM}$	5 mA
	h_{21e}	30	(20-40)		P_C	125 mW
	h_{22e}	23	(<53) μS		T_j	75 $^{\circ}C$
	f_{β}	15	kHz	$-U_{CE} = 4,5$ V, $-I_B = 10$ μA	K	0,4 $^{\circ}C/mW$
	F	10	(<15) dB		T_a	> -40 $^{\circ}C$
	$-U_{BE}$	110	(75-150) mV			
	$-I_C$	0,4	(0,21-0,65) mA	$-U_{CE} = 4,5$ V, $-I_B = 250$ μA		
	$-U_{BE}$	275	(180-330) mV			
	$-I_C$	10	(4,6-13,2) mA			
p-n-p plošný tranzistor pro stejnosměrný, nízko- frekvenční, pulsní zesi- lovač, nf generátory.						

Typ	Provozní hodnoty			Mezní hodnoty		
OC71 Rozměry K504 Nepoužívejte v nových zařízeních! Náhrada GC516				měřeno při		
	$-I_{CBO}$	4,5	$<12 \mu A$	$U_{CB} = 4,5 V$	$-U_{CB}$	32 V
	$-I_{CEO}$	150	$<325 \mu A$	$U_{CE} = 4,5 V$	$-u_{CBM}$	32 V
	h_{11b}	17	(10–25) Ω	$-U_{CB} = 2 V, -I_C = 3 mA,$ $f = 1 kHz$	$-U_{CE} (R_{BE} < 0,6 k\Omega)$	30 V
	h_{12b}	$8 \cdot 10^{-4}$			$-U_{CE} (R_{BE} > 40 k\Omega)$	10 V
	h_{21b}	0,979	(0,968–0,987)		I_E	12 mA
	h_{22b}	1,6	($<2,7$) μS		i_{EM}	55 mA
	f_α	>400	kHz	$-U_{CB} = 6 V, -I_C = 1 mA$	$-I_C$	10 mA
	h_{11e}	0,8	(0,4–1,5) $k\Omega$	$-U_{CE} = 2 V, -I_C = 3 mA,$ $f = 1 kHz$	$-i_{CM}$	50 mA
	h_{12e}	$5,4 \cdot 10^{-4}$	($<17 \cdot 10^{-4}$)		$-I_B$	2 mA
	h_{21e}	47	(30–75)		$-i_{BM}$	5 mA
	h_{22e}	80	(<200) μS		P_C	125 mW
	f_β	10	kHz	$-U_{CB} = 2 V, -I_C = 0,5 mA$ $-U_{CE} = 4,5 V, -I_B = 10 \mu A$ $-U_{CE} = 4,5 V, -I_B = 250 \mu A$	T_j	75 °C
	F	10	(<15) dB		K	0,4 °C/mW
	$-U_{BE}$	110	(80–155) mV		T_a	> -40 °C
	$-I_C$	0,7	(0,36–1,2) mA			
	$-U_{BE}$	270	(190–300) mV			
	$-I_C$	14	(7,2–21) mA			



p-n-p plošný tranzistor
pro stejnosměrný, nízko-
frekvenční, pulsní zesi-
lovač, nf generátory.

Typ	Provozní hodnoty			Mezní hodnoty		
OC72 Rozměry 2-OC72 K504 Nepoužívejte v nových zařízeních! Náhrada GC507				měřeno při		
	$-I_{CBO}$	4,5	$<10 \mu A$	$-U_{CB} = 10 V$	$-U_{EB}$	10 V
	$-I_{EBO}$	4,5	$<10 \mu A$	$-U_{EB} = 10 V$	$-u_{EBM}$	10 V
	$-I_{CEO}$	125	$<300 \mu A$	$-U_{CE} = 6 V$	$-U_{CB}$	32 V
	f_β	8	$>6 kHz$	$-U_{CE} = 6 V, -I_C = 10 mA$	$-u_{CBM}$	32 V
	F		$<15 dB$	$-U_{CE} = 30 V, U_{BE} = 0,5 V$	$-U_{CE} (R_{BE} < 1 k\Omega)$	30 V
	$-I_C$	7,5	$<15 \mu A$	$-U_{CE} = 30 V, U_{BE} = 0,5 V$	$-U_{CE} (R_{BE} > 40 k\Omega)$	10 V
	$-I_C$	0,7–3,2	mA	$-U_{CE} = 6 V, -U_{BE} = 0,15 V$	$-I_C$	50 mA
	h_{21E}	70	45–120	$-U_{CE} = 6 V, -I_C = 10 mA$	$-i_{CM}$	125 mA
	h_{21E}	50	30–90	$-U_{CE} = 0,7 V, -I_C = 80 mA$	$\pm i_{CM}$	250 mA
	h_{21E}		>25	$-U_{CE} = 0,7 V, -I_C = 125 mA$	I_E	50 mA
	h_{21E}		>15	$-U_{CE} = 1 V, -I_C = 250 mA$	I_{EM}	130 mA
	2-OC72 údaje shodné s tranzistorem OC72.				$\pm i_{EM}$	250 mA
	Tranzistory jsou párovány podle proudového zesilovacího činitele, který se nesmí lišit u obou kusů více než o 15 % za podmínek:				$-I_B$	20 mA
	$-U_{CE}$	6 V		$-U_{CE}$	$\pm i_{BM}$	125 mA
	$-I_C$	10 mA		$-I_C$	P_C	125 mW
					$P_C^{1)}$	165 mW
					T_j	+75 °C
					K	0,4 °C/mW
					$K^{1)}$	0,3 °C/mW
					T_a	> -40 °C

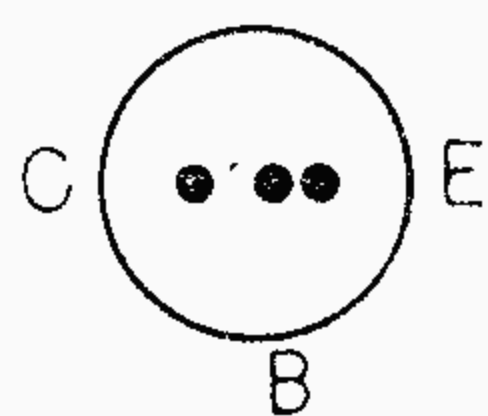
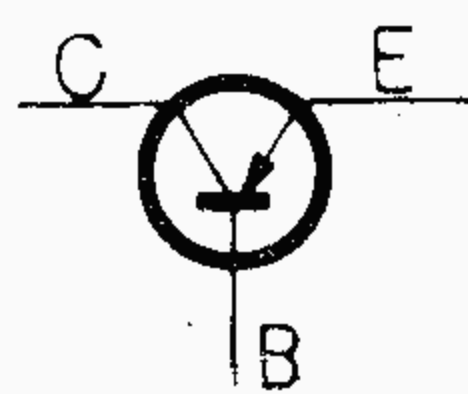


p-n-p plošný tranzistor
pro nízkofrekvenční ze-
silovače středního výko-
nu třídy A, B.

Nepoužívejte v nových zařízeních! Náhrada 2-GC507,
2-GC508.

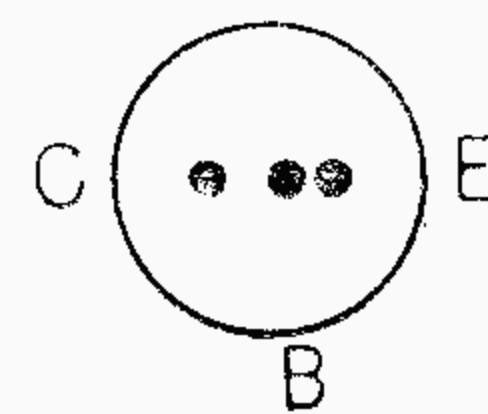
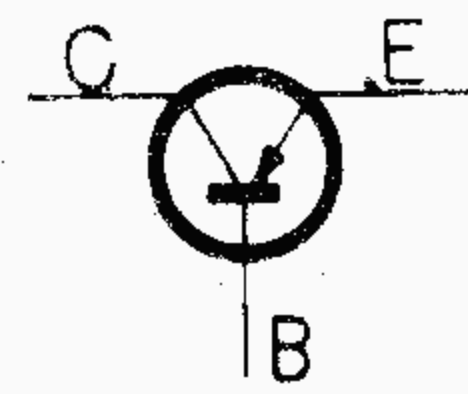
¹⁾ S chladičí plochou
12,5 cm²

Typ	Provozní hodnoty			Mezní hodnoty		
OC75 Rozměry K504 Nepoužívejte v nových zařízeních! Náhrada GC517, GC518, GC519.				měřeno při		
	$-I_{CBO}$	4,5	$<12 \mu A$	$-U_{CB} = 4,5 V$	$-U_{CB}$	32 V
	$-I_{CEO}$	350	$<550 \mu A$	$-U_{CE} = 4,5 V$	$-u_{CBM}$	32 V
	h_{11b}	14	Ω	$-U_{CB} = 2 V, -I_C = 3 mA,$ $f = 1 kHz$	$-U_{CE} (R_{BE} < 0,6 k\Omega)$	30 V
	h_{12b}	10^{-3}			$-U_{CE} (R_{BE} > 40 k\Omega)$	10 V
	$-h_{21b}$	0,989	(0,985–0,991)		I_E	12 mA
	h_{22b}	1,4	μS		i_{EM}	55 mA
	f_α	>700	kHz	$-U_{CB} = 6 V, -I_C = 1 mA$	$-I_C$	10 mA
	h_{11e}	1,3	(0,7–2) $k\Omega$	$-U_{CE} = 2 V, -I_C = 3 mA,$ $f = 1 kHz$	$-i_{CM}$	50 mA
	h_{12e}	$8 \cdot 10^{-4}$	($<20 \cdot 10^{-4}$)		$-I_B$	2 mA
	h_{21e}	90	(65–130)		$-i_{BM}$	5 mA
	h_{22e}	125	(<250) μS		P_C	125 mW
	f_β	8	kHz	$-U_{CE} = 2 V, -I_C = 3 mA$	T_j	+75 °C
	F	10	(<15) dB	$-U_{CE} = 2 V, -I_C = 0,5 mA,$ $f = 1 kHz$	K	0,4 °C/mW
	$-U_{BE}$	120	(90–175) mV	$-U_{CE} = 4,5 V, -I_B = 10 \mu A$	T_a	> -40 °C
	$-I_C$	1,1	(0,75–1,9) mA			
	$-U_{BE}$	270	(190–300) mV	$-U_{CE} = 4,5 V, -I_B = 250 \mu A$		
	$-I_C$	22	(13,5–33) mA			



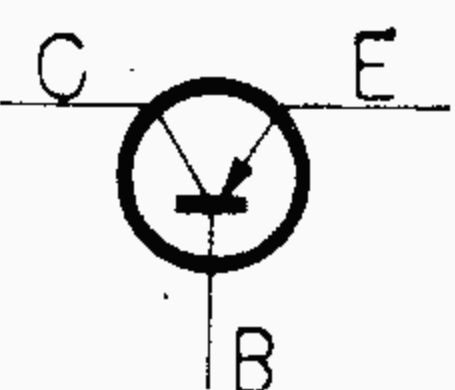
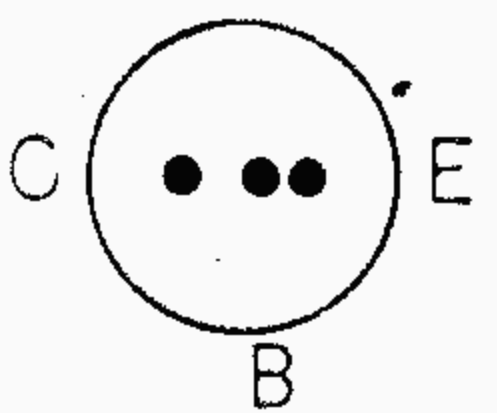
p-n-p plošný tranzistor
pro stejnosměrný, nízko-
frekvenční a impulsní
zesilovač.

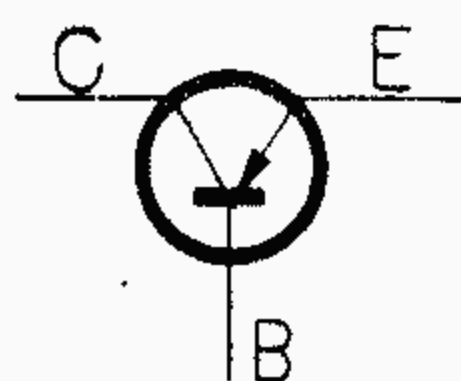
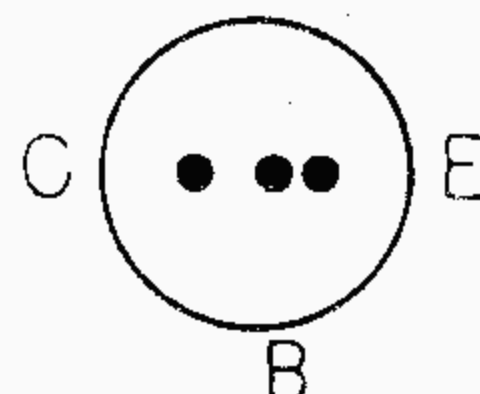
Typ	Provozní hodnoty			Mezní hodnoty		
OC76 Rozměry K504 Nepoužívejte v nových zařízeních! Náhrada GC508.				měřeno při		
	$-I_{CBO}$	4,5	$<10 \mu A$	$-U_{CB} = 10 V$	$-U_{EB}$	10 V
	$-I_{EBO}$	4,5	$<10 \mu A$	$-U_{EB} = 10 V$	$-u_{EBM}$	10 V
	$-I_{CEO}$	200	$<600 \mu A$	$-U_{CE} = 6 V$	$-U_{CB}$	32 V
	f_β	>6	kHz	$-U_{CE} = 6 V, -I_C = 10 mA$	$-u_{CBM}$	32 V
	$-I_C$	7,5	$<15 \mu A$	$-U_{CE} = 30 V, U_{BE} = 0,5 V$	$-U_{CE} (R_{BE} < 1 k\Omega)$	30 V
	h_{21E}	45–330		$-U_{CE} = 6 V, -I_C = 10 mA$	$-U_{CE} (R_{BE} > 40 k\Omega)$	10 V
	h_{21E}	30–230		$-U_{CE} = 0,7 V, -I_C = 80 mA$	$-I_C$	125 mA
	h_{21E}	>25		$-U_{CE} = 0,7 V, -I_C = 125 mA$	$\pm i_{CM}$	250 mA
	h_{21E}	>15		$-U_{CE} = 1 V, -I_C = 250 mA$	I_E	125 mA
					$\pm i_{EM}$	250 mA
					$-I_B$	20 mA
					$\pm i_{BM}$	125 mA
					P_C	125 mW
					$P_C^{1)}$	165 mW
					T_j	+75 °C
					K	0,4 °C/mW
					$K^{1)}$	0,3 °C/mW
					T_a	> -40 °C



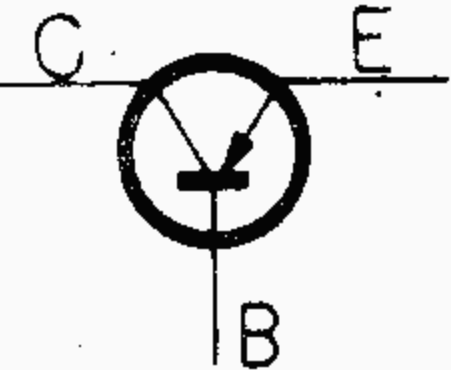
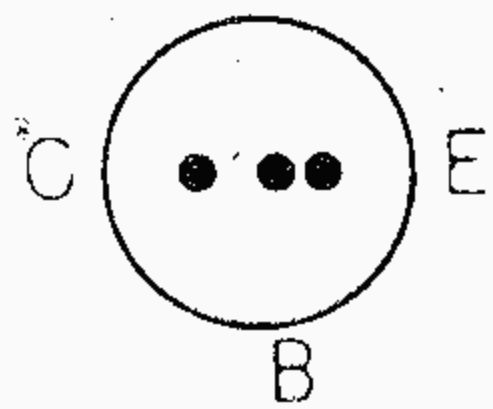
p-n-p plošný tranzistor
pro spínací a impulsní
techniku.

¹⁾ S chladičovou plochou
12,5 cm²

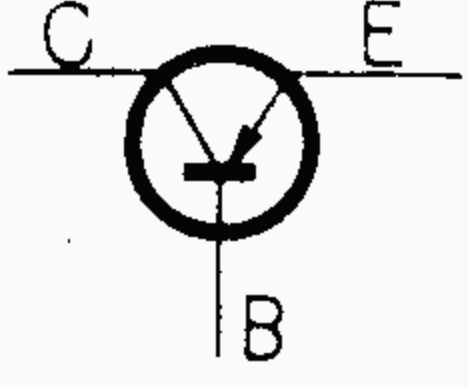
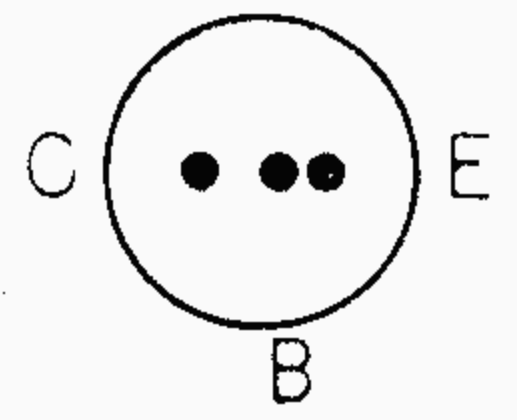
Typ		Provozní hodnoty				Mezní hodnoty			
OC77	Rozměry K504 Nepoužívejte v nových zařízeních! Náhrada GC509			měřeno při					
		$-I_{CBO}$	4,5	<10	μA	$-U_{CB} = 10$	V	$-U_{EB}$	10 V
		$-I_{EBO}$	4,5	<10	μA	$-U_{EB} = 10$	V	$-u_{EBM}$	10 V
		$-I_{CEO}$	200	<600	μA	$-U_{CE} = 6$	V	$-U_{CB}$	60 V
		f_{β}		>6	kHz	$-U_{CE} = 6$ V, $-I_C = 10$	mA	$-u_{CBM}$	60 V
		$-I_C$	15	<30	μA	$-U_{CE} = 60$ V, $U_{BE} = 0,5$	V	$-U_{CE} (R_{BE} < 0,4 \text{ k}\Omega)$	60 V
		h_{21E}		>45		$-U_{CE} = 6$ V, $-I_C = 10$	mA	$-U_{CE} (R_{BE} > 40 \text{ k}\Omega)$	16 V
		h_{21E}		>30		$-U_{CE} = 0,7$ V, $-I_C = 80$	mA	$-I_C$	125 mA
		h_{21E}		>25		$-U_{CE} = 0,7$ V, $-I_C = 125$	mA	$\pm i_{CM}$	250 mA
		h_{21E}		>15		$-U_{CE} = 1$ V, $-I_C = 250$	mA	I_E	125 mA
						i_{EM}		± 250 mA	
						$-I_B$		20 mA	
						$\pm i_{BM}$		125 mA	
						P_C		125 mW	
						$P_C^{1)}$		165 mW	
						T_j		+75 °C	
						K		0,4 °C/mW	
						K ¹⁾		0,3 °C/mW	
						T_a		> -40 °C	
								¹⁾ S chladičí plochou 12,5 cm ²	
p-n-p plošný tranzistor pro spínací a impulsní techniku.									

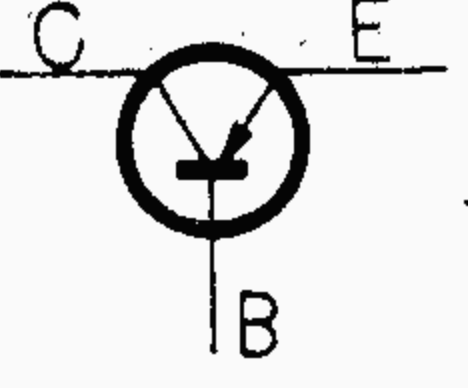
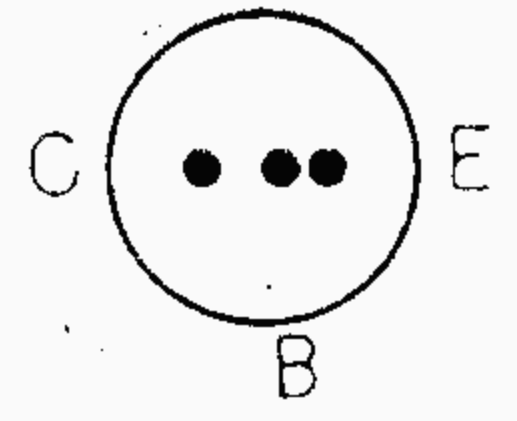
Typ	Provozní hodnoty				Mezní hodnoty					
<div>GC500</div> <div>2-GC500</div> <div>Rozměry</div> <div>K501</div> <div>K504</div> <div></div> <div></div>	<div>měřeno při</div> <div>$-I_{CBO}$ < 16 μA</div> <div>$-I_{CBO}$ 70 < 330 μA</div> <div>$-I_{EBO}$ < 16 μA</div> <div>$-I_{CE}$ < 60 μA</div> <div>$-U_{CES}$ < 0,45 V</div> <div>h_{21e} > 5</div> <div>$-I_{B1}$ < 1,7 mA</div> <div>$-U_{BE1}$ < 350 mV</div> <div>h_{21E} 50</div> <div>$-I_{B2}$ 7,5 mA</div> <div>$-U_{BE2}$ 600 mV</div> <div>h_{21E} 40</div> <div>I_{B3} < 30 mA</div> <div>$-U_{BE3}$ < 1,1 V</div> <div>h_{21E} 30</div> <div>$r_{bb'}$ < 75 Ω</div> <div>F 15 dB</div>				<div>$-U_{CB} = 6$ V</div> <div>$-U_{CB} = 6$ V, $T_a = 60$ °C</div> <div>$-U_{EB} = 6$ V</div> <div>$-U_{CE} = 6$ V, $R_{BE} = 500$ Ω</div> <div>$-I_C = 600$ mA, $-I_B = 40$ mA</div> <div>$-U_{CB} = 6$ V, $I_E = 50$ mA,</div> <div>$f = 100$ kHz</div> <div>$-U_{CB} = 0$ V, $I_E = 50$ mA</div> <div>$-U_{CB} = 0$ V, $I_E = 300$ mA</div> <div>$-U_{CB} = 0$ V, $I_E = 600$ mA</div> <div>$-U_{CB} = 6$ V, $I_E = 10$ mA</div> <div>$-U_{CB} = 6$ V, $I_E = 5$ mA,</div> <div>$R_g = 500$ Ω, $f = 1$ kHz</div>			<div>$-U_{CB}$ 24 V</div> <div>$-U_{CE}$ 1) 24 V</div> <div>$-U_{EB}$ 10 V</div> <div>$-I_C$ 300 mA</div> <div>$-i_{CM}$ 600 mA</div> <div>I_E 340 mA</div> <div>i_{EM} 600 mA</div> <div>T_j 75 °C</div> <div>K 0,22 °C/mW</div> <div>K 2) 0,09 °C/mW</div> <div>P_C 550 mW</div> <div>T_S -60 ÷ +75 °C</div> <div>1) $R_{BE} < 500$ Ω</div> <div>2) S chladič plochou.</div>		
<div>p-n-p plošný tranzistor</div> <div>nízkofrekvenční</div> <div>zesilovač středního vý-</div> <div>konu tř. A, B.</div>										
<div>Párované tranzistory 2-GC500:</div> <div>Tranzistory odpovídají všem uvedeným hodnotám. Navíc proudy báze obou párovaných tranzistorů se nesmí lišit o více než 15 % z vyšší hodnoty v těchto pracovních bodech: $-I_{B1}$, $-I_{B2}$</div>										

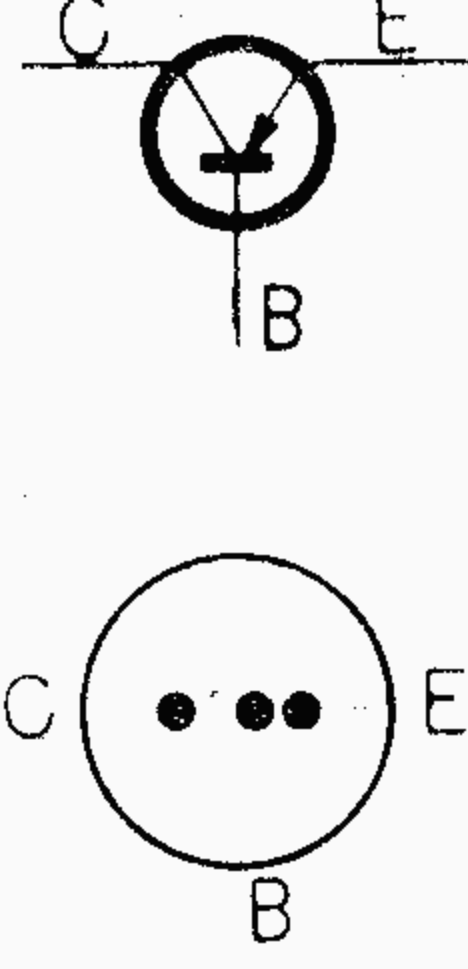
Typ		Provozní hodnoty				Mezní hodnoty			
GC501	Rozměry	měřeno při				$-U_{CB}$	24	V	
	K501					$-U_{CB} = 6\text{ V}$	$-U_{CE}^{1)}$	24	V
	K504	$-I_{CBO}$	70	<330	μA	$-U_{CB} = 6\text{ V}, T_a = 60\text{ }^\circ\text{C}$	$-U_{EB}$	10	V
		$-I_{EBO}$		<16	μA	$-U_{EB} = 6\text{ V}$	$-I_C$	300	mA
		$-I_{CE}$		<60	μA	$-U_{CE} = 6\text{ V}, R_{BE} = 500\text{ }\Omega$	$-i_{CM}$	600	mA
		$-U_{CES}$		$<0,45$	V	$-I_C = 600\text{ mA}, -I_B = 40\text{ mA}$	I_E	340	mA
		$ h_{21e} $		>10		$-U_{CB} = 6\text{ V}, I_E = 50\text{ mA},$ $f = 100\text{ kHz}$	i_{EM}	600	mA
		$-I_{B1}$		$<0,75$	mA	$-U_{CB} = 0\text{ V}, I_E = 50\text{ mA}$	T_j	75	$^\circ\text{C}$
		$-U_{BE1}$		<350	mV		K	0,22	$^\circ\text{C/mW}$
		h_{21E}		95		$-U_{CB} = 0\text{ V}, I_E = 300\text{ mA}$	$K^{2)}$	0,09	$^\circ\text{C/mW}$
		$-I_{B2}$		3,5	mA		P_C	550	mW
		$-U_{BE2}$		600	mV	$-U_{CB} = 0\text{ V}, I_E = 600\text{ mA}$	T_s	$-60 \div +75$	$^\circ\text{C}$
		h_{21E}		85			1) $R_{BE} < 500\text{ }\Omega$ 2) S chladič plochou.		
		$-I_{B3}$		<12	mA	$-U_{CB} = 0\text{ V}, I_E = 600\text{ mA}$			
		$-U_{BE3}$		$<1,1$	V				
		h_{21E}		70		$-U_{CB} = 6\text{ V}, I_E = 10\text{ mA}$			
		$r_{bb'}$		<75	Ω		$-U_{CB} = 6\text{ V}, I_E = 5\text{ mA},$ $R_g = 500\text{ }\Omega, f = 1\text{ kHz}$		
		F		15	dB				
p-n-p plošný tranzistor nízkofrekvenční zesilovač středního výkonu tř. A, B.									

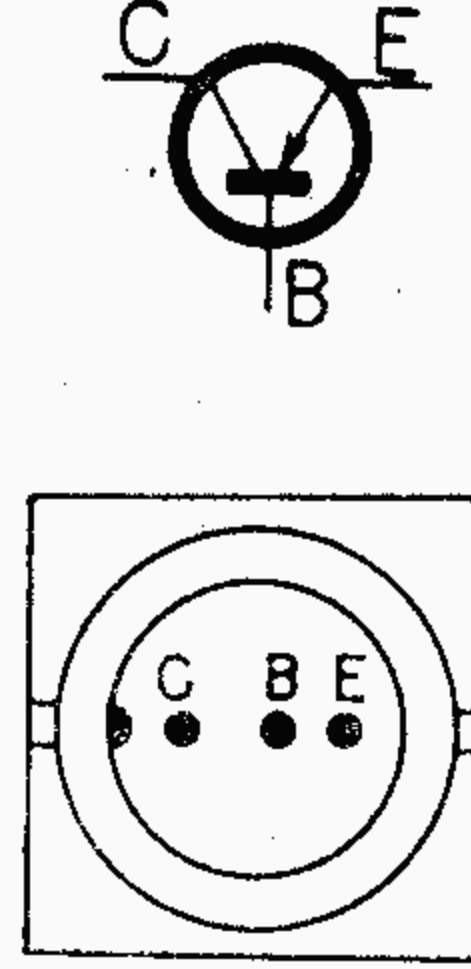
Typ	Provozní hodnoty				Mezní hodnoty		
GC502 Rozměry K501 K504  	měřeno při				$-U_{CB}$	32 V	
	$-I_{CBO}$	<16	μA	$-U_{CB} = 6 V$	$-U_{CE}^{1)}$	32 V	
	$-I_{CBO}$	70	<330	μA	$-U_{CB} = 6 V, T_a = 60 ^\circ C$	$-U_{EB}$	20 V
	$-I_{EBO}$	<16	μA	$-U_{EB} = 6 V$	$-I_C$	300 mA	
	$-U_{EBF}$	0,1	V	$U_{CB} = 32 V$	$-i_{CM}$	600 mA	
	$-I_{CE}$	<60	μA	$-U_{CE} = 6 V, R_{BE} = 500 \Omega$	I_E	340 mA	
	$-U_{CES}$	<0,45	V	$-I_C = 600 mA, -I_B = 40 mA$	i_{EM}	600 mA	
	$ h_{21e} $	>10		$-U_{CB} = 6 V, I_E = 50 mA,$ $f = 100 kHz$	T_j	75 $^\circ C$	
	$-I_{B1}$	<0,75	mA	$\left. \begin{array}{l} -U_{CB} = 0 V, I_E = 50 mA \\ -U_{CB} = 0 V, I_E = 300 mA \end{array} \right\}$	K	0,22 $^\circ C/mW$	
	$-U_{BE1}$	<350	mV		$K^{2)}$	0,09 $^\circ C/mW$	
h_{21E}	95		$\left. \begin{array}{l} -U_{CB} = 0 V, I_E = 50 mA \\ -U_{CB} = 0 V, I_E = 300 mA \end{array} \right\}$	P_C	550 mW		
$-I_{B2}$	3,5	mA		T_s	-60 ÷ +75 $^\circ C$		
$-U_{BE2}$	600	mV	$\left. \begin{array}{l} -U_{CB} = 0 V, I_E = 300 mA \\ -U_{CB} = 0 V, I_E = 600 mA \end{array} \right\}$	1) $R_{BE} < 500 \Omega$ 2) S chladičí plochou.			
h_{21E}	85						
$-I_{B3}$	<12	mA	$\left. \begin{array}{l} -U_{CB} = 0 V, I_E = 600 mA \\ -U_{CB} = 6 V, I_E = 10 mA \end{array} \right\}$				
$-U_{BE3}$	<1,1	V					
h_{21E}	70						
$r_{bb'}$	<75	Ω					

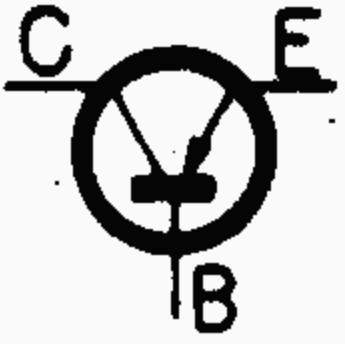
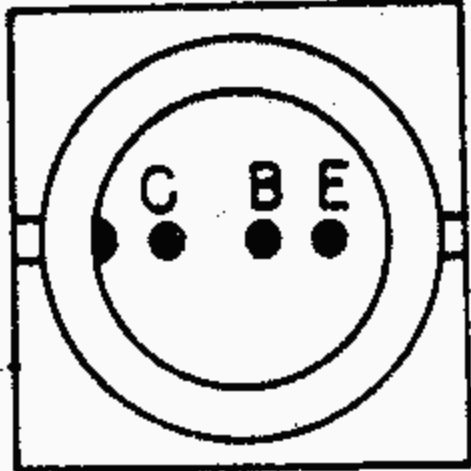
p-n-p plošný tranzistor
nízkofrekvenční
zesilovač středního výkonu tř. A, B.

Typ	Provozní hodnoty		Mezní hodnoty
GC507 2-GC507 Rozměry K504  	měřeno při $-I_{CBO}$ 4,5 <10 μA $-U_{CB} = 6 V$ $-I_{EBO}$ 3,5 <10 μA $-U_{EB} = 6 V$ $-I_{CEO}$ 150 μA $-U_{CE} = 6 V$ $-I_{CER}$ <50 μA $-U_{CE} = 6 V, R_{BE} = 500 \Omega$ $-U_{CES}$ 0,15 <0,22 V $-I_C = 125 mA, -I_B = 10 mA$ $-U_{BE1}$ 0,115...0,155 V $-U_{CB} = 6 V, I_E = 1,5 mA$ $-U_{BE2}$ <0,45 V $-U_{CB} = 0 V, I_E = 80 mA$ $-U_{BE3}$ <0,7 V $-U_{CB} = 0 V, I_E = 125 mA$ h_{21E} 80 45...120 $-U_{CB} = 6 V, I_E = 10 mA$ h_{21E} 30...100 $-U_{CB} = 0 V, I_E = 80 mA$ h_{21E} >25 $-U_{CB} = 0 V, I_E = 125 mA$ h_{21E} >15 $-U_{CB} = 0 V, I_E = 250 mA$ $ h_{21e} $ >1 $-U_{CB} = 0 V, I_E = 10 mA, f = 0,3 MHz$ F 6 <15 dB $-U_{CE} = 2 V, -I_C = 0,5 mA, f = 1 kHz$ f_T >300 kHz $-U_{CB} = 0 V, I_E = 10 mA$		$-U_{CB}$ 32 V $-U_{CBM}$ 32 V $-U_{CE} (R_{BE} < 800 \Omega)$ 32 V $-U_{CE} (R_{BE} > 30 k\Omega)$ 10 V $-U_{EB}$ 10 V $-U_{EBM}$ 10 V $-I_C$ 125 mA $-i_{CM}$ 250 mA I_E 130 mA i_{EM} 250 mA $-I_B$ 20 mA $-i_{BM}$ 125 mA P_C 125 mW $P_C^{1)}$ 165 mW K 0,4 $^{\circ}C/mW$ $K^{1)}$ 0,3 $^{\circ}C/mW$ T_j +75 $^{\circ}C$ T_a -60...+75 $^{\circ}C$
p-n-p plošný tranzistor pro nízkofrekvenční zesilovače středního výkonu.		2-GC507 viz následující stranu	
		1) S chladičí plochou 12,5 cm ² .	

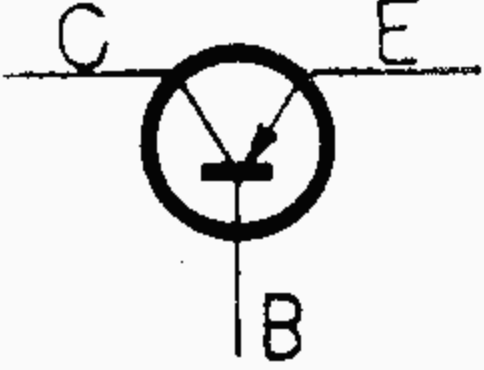
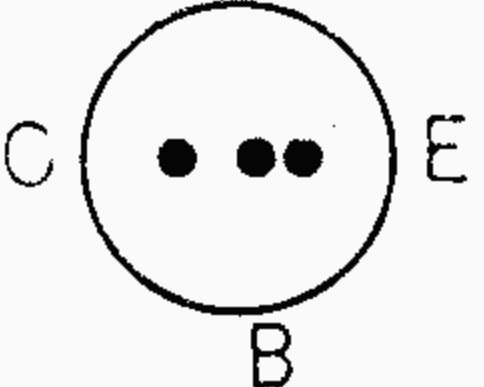
Typ	Provozní hodnoty		Mezní hodnoty
GC508 2-GC508 Rozměry K504  	měřeno při $-I_{CBO}$ 4,5 <10 μA $-U_{CB} = 6 V$ $-I_{EBO}$ 3,5 <10 μA $-U_{EB} = 6 V$ $-I_{CEO}$ 350 μA $-U_{CE} = 6 V$ $-I_{CER}$ <50 μA $-U_{CE} = 6 V, R_{BE} = 500 \Omega$ $-U_{CES}$ 0,15 <0,22 V $-I_C = 125 mA, -I_B = 10 mA$ $-U_{BE2}$ <0,45 V $-U_{CB} = 0 V, I_E = 80 mA$ $-U_{BE3}$ <0,7 V $-U_{CB} = 0 V, I_E = 125 mA$ $h_{21E} \cdot 125$ 65...220 $-U_{CB} = 6 V, I_E = 10 mA$ h_{21E} >50 $-U_{CB} = 0 V, I_E = 80 mA$ h_{21E} >35 $-U_{CB} = 0 V, I_E = 125 mA$ h_{21E} >25 $-U_{CB} = 0 V, I_E = 250 mA$ $ h_{21e} $ >1 $-U_{CB} = 0 V, I_E = 10 mA, f = 0,3 MHz$ f_T >300 kHz $-U_{CB} = 0 V, I_E = 10 mA$ $r_{bb'}$ 60 Ω $-U_{CE} = 6 V, I_E = 1 mA$		$-U_{CB}$ 32 V $-U_{CBM}$ 32 V $-U_{CE} (R_{BE} < 800 \Omega)$ 32 V $-U_{CE} (R_{BE} > 30 k\Omega)$ 10 V $-U_{EB}$ 10 V $-U_{EBM}$ 10 V $-I_C$ 125 mA $-i_{CM}$ 250 mA I_E 130 mA i_{EM} 250 mA $-I_B$ 20 mA $-i_{BM}$ 125 mA P_C 125 mW $P_C^{1)}$ 165 mW K 0,4 $^{\circ}C/mW$ $K^{1)}$ 0,3 $^{\circ}C/mW$ T_j +75 $^{\circ}C$ T_a -60...+75 $^{\circ}C$
p-n-p plošný tranzistor pro nízkofrekvenční zesilovače středního výkonu.		2-GC507, 2-GC508 údaje těchto tranzistorů jsou shodné s tranzistory GC507 a GC508. Párované tranzistory jsou tříděny podle proudového zesilovacího činitele, který se nesmí lišit u obou párovaných kusů více než o 15 % v těchto pracovních bodech: $-U_{CB}$ 6 V $-U_{CB}$ 0 V I_E 10 mA I_E 80 mA	
		1) S chladičí plochou 12,5 cm ² .	

Typ	Provozní hodnoty	Mezní hodnoty
GC509 Rozměry K504 	<p>měřeno při</p> $-I_{CBO}$ 4,5 <10 μA $-U_{CB} = 6 V$ $-I_{EBO}$ 3,5 <10 μA $-U_{EB} = 6 V$ $-I_{CEO}$ 350 μA $-U_{CE} = 6 V$ $-I_{CER}$ <50 μA $-U_{CE} = 6 V, R_{BE} = 500 \Omega$ $-U_{CES}$ 0,15 <0,22 V $-I_C = 125 mA, -I_B = 10 mA$ $-U_{BE2}$ <0,45 V $-U_{CB} = 0 V, I_E = 80 mA$ $-U_{BE3}$ <0,7 V $-U_{CB} = 0 V, I_E = 125 mA$ h_{21E} 125 >45 $-U_{CB} = 6 V, I_E = 10 mA$ h_{21E} >30 $-U_{CB} = 0 V, I_E = 80 mA$ h_{21E} >25 $-U_{CB} = 0 V, I_E = 125 mA$ h_{21E} >15 $-U_{CB} = 0 V, I_E = 250 mA$ $ h_{21e} $ >1 $-U_{CB} = 0 V, I_E = 10 mA, f = 0,3 MHz$ f_T >300 kHz $-U_{CB} = 0 V, I_E = 10 mA$ $r_{bb'}$ 70 Ω $-U_{CE} = 6 V, I_E = 1 mA$	$-U_{CB}$ 60 V $-U_{CBM}$ 60 V $-U_{CE} (R_{BE} < 600 \Omega)$ 60 V $-U_{CE} (R_{BE} > 40 k\Omega)$ 16 V $-U_{EB}$ 10 V $-U_{EBM}$ 10 V $-I_C$ 125 mA $-I_{CM}$ 250 mA I_E 130 mA i_{EM} 250 mA $-I_B$ 20 mA $-I_{BM}$ 125 mA P_C 125 mW $P_C^{1)}$ 165 mW K 0,4 $^{\circ}C/mW$ $K^{1)}$ 0,3 $^{\circ}C/mW$ T_j +75 $^{\circ}C$ T_a -60...+75 $^{\circ}C$ ¹⁾ S chladič plochou 12,5 cm ² .
p-n-p plošný tranzistor pro nízkofrekvenční zesilovače středního výkonu.		

Typ	Provozní hodnoty	Mezní hodnoty
GC510 GC510K Rozměry K504 K511 	<p>měřeno při</p> $-I_{CBO}$ <10 μA $-U_{CB} = 10 V$ $-I_{CEO}$ 450 μA $-U_{CE} = 6 V$ $-U_{CBO}$ >32 V $-I_{CBO} = 0,2 mA$ $-U_{CEO}$ >16 V $-I_C = 1 A, R_{BE} = \infty$ $-U_{CEV}$ >32 V $-I_C = 0,2 mA, U_{BE} = 1 V$ $-U_{EBO}$ >10 V $I_{EB} = 0,2 mA$ $-U_{BE1}$ 0,3 V $U_{CB} = 0 V, I_E = 50 mA$ $-U_{BE2}$ <0,45 V $U_{CB} = 0 V, I_E = 300 mA$ $-U_{BE3}$ 0,7 V $U_{CB} = 0 V, I_E = 1000 mA$ I_{B1} 0,5 mA $U_{CB} = 0 V, I_E = 50 mA$ I_{B2} 1,7...5 mA $U_{CB} = 0 V, I_E = 300 mA$ I_{B3} 16,5 mA $U_{CB} = 0 V, I_E = 1000 mA$ h_{21E} 60...175 $-U_{CB} = 0 V, I_E = 300 mA$ $ h_{21e} $ >2 $-U_{CB} = 2 V, I_E = 10 mA, f = 500 kHz$ U_{CES} <0,6 V $-I_C = 1 A, -I_B = 50 mA$ f_{β} >0,01 MHz $-U_{CB} = 2 V, I_E = 10 mA$ C_{22b} 85 pF $-U_{CB} = 6 V, I_E = 0, f = 500 kHz$ $r_{bb'}$ 80 Ω $-U_{CB} = 6 V, I_E = 1 mA, f = 500 kHz$	$-U_{CB}$ 32 V $-U_{CBM}$ 32 V $-U_{CE}$ 16 V $-U_{EB}$ 10 V $-U_{EBM}$ 10 V $-I_C$ 1 A $-I_{CM}$ 2 A $-I_{CM imp}^{1)}$ 2 A I_E 1 A $I_{EM}^{1)}$ 2 A $-I_B$ 100 mA $-I_{BM}^{1)}$ 500 mA $P_C (T_a \leq 45^{\circ}C)$ 1 W ²⁾ GC510 ³⁾ 0,2 W GC510K ³⁾ 0,3 W T_j 90 $^{\circ}C$ T_a -55...+85 $^{\circ}C$ R_{t1} <45 $^{\circ}C/W$ R_t 200 $^{\circ}C/W$ ¹⁾ $t_{ip} < 20 ms$ ²⁾ S ideálním chlazením ³⁾ Bez chlazení.
p-n-p plošný tranzistor pro koncové stupně nf zesilovačů středního výkonu.		

Typ		Provozní hodnoty			Mezní hodnoty	
Rozměry		GC511	GC512	Měřeno při		
GC511	K504	$-I_{CBO} < 15$	$< 15 \mu A$	$-U_{CB} = 10 V$	$-U_{CB}$	25 V
GC512	K504	$-I_{CEO} 450$	$450 \mu A$	$-U_{CE} = 6 V$	$-U_{CBM}$	25 V
GC511K	K511	$-U_{CBO} > 25$	$> 25 V$	$-I_{CBO} = 0,2 mA$	$-U_{CE}$	15 V
GC512K	K511	$-U_{CEO} > 15$	$> 15 V$	$-I_C = 1 A, R_{BE} = \infty$	$-U_{EB}$	10 V
 		$-U_{CEV} > 25$	$> 25 V$	$-I_C = 0,2 mA, U_{BE} = 1 V$	$-U_{EBM}$	10 V
		$-U_{EBO} > 10$	$> 10 V$	$I_{EB} = 0,2 mA$	$-I_C$	1 A
		$-U_{BE1} 0,3$	$0,3 V$	$U_{CB} = 0 V, I_E = 50 mA$	$-I_{CM}$	2 A
		$-U_{BE2} < 0,45$	$< 0,85 V$	$U_{CB} = 0 V, I_E = 300 mA$	$-I_{CM imp}^{1)}$	2 A
		$-U_{BE3} 0,7$	$- V$	$U_{CB} = 0 V, I_E = 1000 mA$	I_E	1 A
		$I_{B1} 0,3$	$1,1 mA$	$U_{CB} = 0 V, I_E = 50 mA$	$I_{EM}^{1)}$	2 A
		$I_{B2} 0,6 \dots 3$	$< 12 mA$	$U_{CB} = 0 V, I_E = 300 mA$	$-I_B$	100 mA
		$I_{B3} 8,5$	$- mA$	$U_{CB} = 0 V, I_E = 1000 mA$	$-I_{BM}^{1)}$	500 mA
		$I_{B3} -$	$23 mA$	$U_{CB} = 0 V, I_E = 600 mA$	$P_C (T_a \leq 45^\circ C)$	1 W ²⁾
		$ h_{21e} > 2$	$> 1,4$	$-U_{CB} = 2 V, I_E = 10 mA,$ $f = 500 kHz$	GC511, GC512 ³⁾	0,2 W
		$f_\beta > 0,01$	$> 0,01 MHz$	$-U_{CB} = 2 V, I_E = 10 mA$	GC511K, GC512K ³⁾	0,3 W
		$C_{22b} 85$	$85 pF$	$-U_{CB} = 6 V, I_E = 0 mA,$ $f = 500 kHz$	T_j	90 °C
		$r_{bb'} 80$	80Ω	$-U_{CB} = 6 V, I_E = 1 mA,$ $f = 500 kHz$	T_a	-55...+85 °C
		$U_{CES} < 0,6$	$- V$	$-I_C = 1 A, -I_B = 12,5 mA$	R_{t1}	<45 °C/W
		$U_{CES} -$	$< 0,45 V$	$-I_C = 0,6 A, -I_B = 40 mA$	R_t	200 °C/W
		$h_{21E} 100 \dots 500$	> 25	$U_{CB} = 0 V, -I_E = 300 mA$	¹⁾ $t_{ip} < 20 ms$ ²⁾ S ideálním chlazením ³⁾ Bez chlazení.	

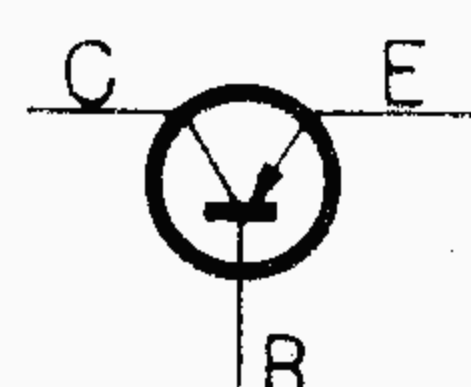
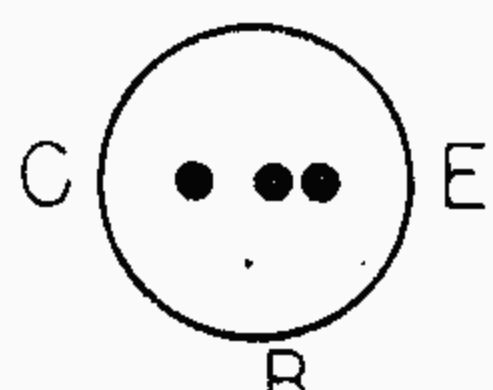
p-n-p plošný tranzistor
pro koncové stupně nf
zesilovačů středního vý-
konu.

Typ		Provozní hodnoty			Mezní hodnoty	
Rozměry		GC515	GC516	Měřeno při		
GC515	K504	$h_{21e} 20-40$	$30-60$	$-U_{CE} = 6 V, I_E = 1 mA$	$-U_{CB}$	32 V
GC516	K504	$h_{11e} 1,2$	$1,2 k\Omega$		$-U_{CBM}$	32 V
		$h_{12e} 10$	$10 \cdot 10^{-3}$		$-U_{CE}^{1)}$	32 V
		$h_{22e} 40$	$40 \mu S$		$-U_{CEM}^{1)}$	32 V
 		$-U_{BE} 0,08-0,17$	$0,08-0,17 V$	$-U_{CB} = 6 V, I_E = 1 mA$	$-U_{EB}$	10 V
		$-I_{B1} 0,25$	$0,2 mA$	$-U_{CB} = 6 V, I_E = 10 mA$	$-U_{EBM}$	10 V
		$-I_{B2} 3$	$2,2 mA$	$-U_{CB} = 0 V, I_E = 80 mA$	$-I_C$	125 mA
		$-U_{CES} \leq 0,32$	$\leq 0,32 V$	$-I_C = 125 mA, -I_B = 10 mA$	$-I_{CM}$	250 mA
		$-I_C 10$	$10 \mu A$	$-U_{CE} = 30 V, +U_{BE} = 0,5 V$	I_E	130 mA
		$ h_{21e} > 1$	> 1	$-U_{CB} = 6 V, I_E = 10 mA,$ $f = 0,3 MHz$	I_{EM}	250 mA
		$F 8 < 12$	$8 < 12 dB$	$-U_{CE} = 2 V, -I_C = 0,5 mA,$ $R_g = 500 \Omega$	$-I_B$	20 mA
		$f_\alpha 0,3$	$0,3 MHz$	$-U_{CE} = 6 V, -I_C = 1 mA$	$-I_{BM}$	125 mA
		$f_\beta 0,012$	$0,012 MHz$	$-U_{CE} = 6 V, -I_C = 1 mA$	P_C	125 mW
		$-I_{CBO} < 10$	$< 10 \mu A$	$-U_{CB} = 6 V$	$P_C^{2)}$	165 mW
		$-I_{CER} < 50$	$< 50 \mu A$	$-U_{CE} = 6 V, R_{BE} = 500 \Omega$	T_j	75 °C
		$-I_{CEO} 200$	$200 \mu A$	$-U_{CB} = 6 V$	T_a	-65...+70 °C
		$I_{is} < 3$	$< 3 \mu A$	$U_{is} = 6 V$	R_{t1}	0,4 °C/mW
					$R_{t1}^{2)}$	0,3 °C/mW
					U_{is}	80 V

p-n-p plošný tranzistor
pro stejnosměrný a nízko-
frekvenční zesilovač.

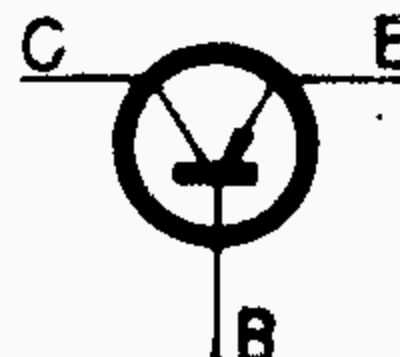

¹⁾ $R_{BE} = 500 \Omega$

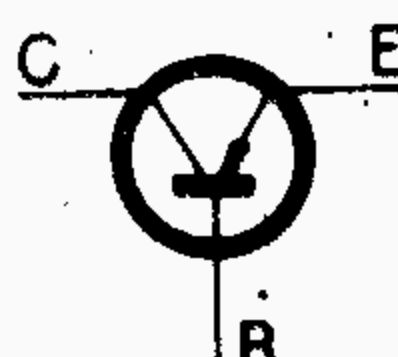

²⁾ S chladičovou plochou
12,5 cm²

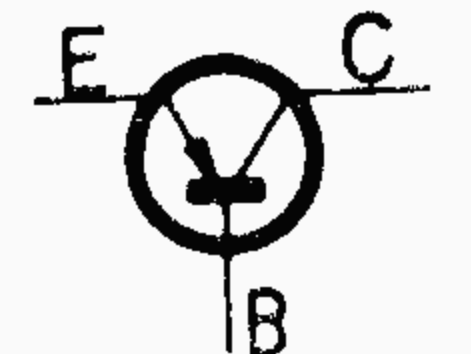
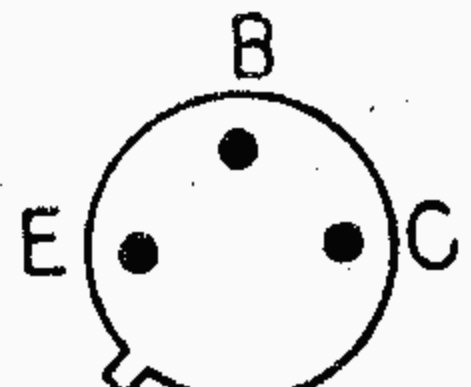
Typ	Provozní hodnoty				Mezní hodnoty		
<div>GC517</div> <div>Rozměry K504</div> <div></div> <div></div>	<div>$-I_{CBO}$</div> <div>$-I_{CER}$</div> <div>$-I_{CEO}$</div> <div>h_{21e}</div> <div>h_{11e}</div> <div>h_{12e}</div> <div>h_{22e}</div> <div>$-U_{BE}$</div> <div>$-I_{B1}$</div> <div>$-I_{B2}$</div> <div>$-U_{CES}$</div> <div>$-I_C$</div> <div>h_{21e}</div> <div>F</div> <div>f_α</div> <div>f_β</div> <div>I_{is}</div>	<div><10</div> <div><50</div> <div>200</div> <div>50 – 100</div> <div>2</div> <div>20</div> <div>60</div> <div>0,08 – 0,17</div> <div>0,12</div> <div>1,6</div> <div><0,22</div> <div>10</div> <div>>1</div> <div>8</div> <div><12</div> <div>0,4</div> <div>0,012</div> <div><3</div>	<div>μA</div> <div>μA</div> <div>μA</div> <div></div> <div>kΩ</div> <div>$\cdot 10^{-3}$</div> <div></div> <div>V</div> <div>mA</div> <div>mA</div> <div>V</div> <div>μA</div> <div></div> <div>dB</div> <div>MHz</div> <div>MHz</div> <div>μA</div>	<div>měřeno při</div> <div>$-U_{CB} = 6\text{ V}$</div> <div>$-U_{CE} = 6\text{ V}, R_{BE} = 500\ \Omega$</div> <div>$-U_{CE} = 6\text{ V}$</div> <div>$-U_{CE} = 6\text{ V}, I_E = 1\text{ mA}$</div> <div>$-U_{CB} = 6\text{ V}, I_E = 1\text{ mA}$</div> <div>$-U_{CB} = 6\text{ V}, I_E = 10\text{ mA}$</div> <div>$-U_{CB} = 0\text{ V}, I_E = 80\text{ mA}$</div> <div>$-I_C = 125\text{ mA}, -I_B = 10\text{ mA}$</div> <div>$-U_{CE} = 30\text{ V}, +U_{BE} = 0,5\text{ V}$</div> <div>$-U_{CB} = 6\text{ V}, I_E = 10\text{ mA},$ $f = 0,3\text{ MHz}$</div> <div>$-U_{CE} = 2\text{ V}, -I_C = 0,5\text{ mA},$ $R_g = 500\ \Omega$</div> <div>$-U_{CE} = 6\text{ V}, -I_C = 1\text{ mA}$</div> <div>$-U_{CE} = 6\text{ V}, -I_C = 1\text{ mA}$</div> <div>$U_{is} = 6\text{ V}$</div>	<div>$-U_{CB}$</div> <div>$-U_{CBM}$</div> <div>$-U_{CE}^{1)}$</div> <div>$-U_{CEM}^{1)}$</div> <div>$-U_{EB}$</div> <div>$-U_{EBM}$</div> <div>$-I_C$</div> <div>$-I_{CM}$</div> <div>I_E</div> <div>I_{EM}</div> <div>$-I_B$</div> <div>$-I_{BM}$</div> <div>P_C</div> <div>$P_C^{2)}$</div> <div>T_j</div> <div>T_a</div> <div>R_{t1}</div> <div>$R_{t1}^{2)}$</div> <div>U_{is}</div>	<div>32</div> <div>32</div> <div>32</div> <div>32</div> <div>10</div> <div>10</div> <div>125</div> <div>250</div> <div>130</div> <div>250</div> <div>20</div> <div>125</div> <div>125</div> <div>165</div> <div>75</div> <div>-65...+70</div> <div>0,4</div> <div>0,3</div> <div>80</div>	<div>V</div> <div>V</div> <div>V</div> <div>V</div> <div>V</div> <div>V</div> <div>mA</div> <div>mA</div> <div>mA</div> <div>mA</div> <div>mA</div> <div>mA</div> <div>mW</div> <div>mW</div> <div>°C</div> <div>°C</div> <div>°C/mW</div> <div>°C/mW</div> <div>V</div>
p-n-p plošný tranzistor pro stejnosměrný a nízkofrekvenční zesilovač.		<div>¹⁾ $R_{BE} = 500\ \Omega$</div> <div>²⁾ S chladič plochou 12,5 cm²</div>					

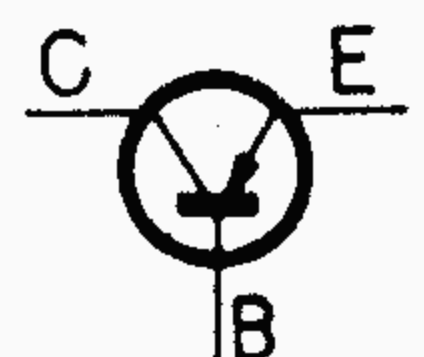
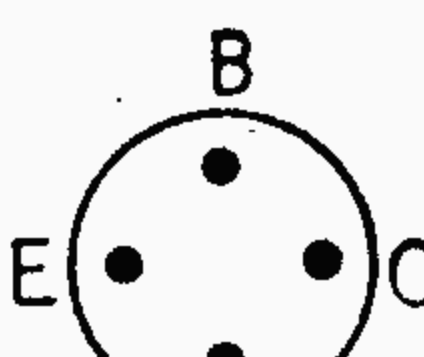
Typ		Provozní hodnoty				Mezní hodnoty		
GC518	Rozměry	GC518	GC519	měřeno při		$-U_{CB}$	32	V
GC519	K504	h_{21e}	75-150 125-250			$-U_{CBM}$	32	V
		h_{11e}	3,5 6 k Ω			$-U_{CE}^{1)}$	32	V
		h_{12e}	25 35 $\cdot 10^{-3}$	$-U_{CE} = 6 \text{ V}, I_E = 1 \text{ mA}$		$-U_{CEM}^{1)}$	32	V
		h_{22e}	80 100 μS			$-U_{EB}$	10	V
		$-U_{BE}$	0,08-0,17 0,08-0,17 V	$-U_{CB} = 6 \text{ V}, I_E = 1 \text{ mA}$		$-U_{EBM}$	10	V
		$-I_{B1}$	0,08 0,06 mA	$-U_{CB} = 6 \text{ V}, I_E = 10 \text{ mA}$		$-I_C$	125	mA
		$-I_{B2}$	1 0,7 mA	$-U_{CB} = 0 \text{ V}, I_E = 80 \text{ mA}$		$-I_{CM}$	250	mA
		$-U_{CES}$	< 0,22 < 0,22 V	$-I_C = 125 \text{ mA}, -I_B = 10 \text{ mA}$		I_E	130	mA
		$-I_C$	10 10 μA	$-U_{CE} = 30 \text{ V}, +U_{BE} = 0,5 \text{ V}$		I_{EM}	250	mA
		$ h_{21e} $	> 1 > 1	$-U_{CB} = 6 \text{ V}, I_E = 10 \text{ mA},$		$-I_B$	20	mA
				$f = 0,3 \text{ MHz}$		$-I_{BM}$	125	mA
		F	8 < 12 8 < 12 dB	$-U_{CE} = 2 \text{ V}, -I_C = 0,5 \text{ mA},$		P_C	125	mW
				$R_g = 500 \Omega$		$P_C^{2)}$	165	mW
		f_α	0,7 0,7 MHz	$-U_{CE} = 6 \text{ V}, -I_C = 1 \text{ mA}$		T_j	75	°C
		f_β	0,01 0,01 MHz	$-U_{CE} = 6 \text{ V}, -I_C = 1 \text{ mA}$		T_a	-65...+70	°C
		$-I_{CBO}$	< 10 < 10 μA	$-U_{CB} = 6 \text{ V}$		R_{t1}	0,4	°C/mW
		$-I_{CER}$	< 50 < 50 μA	$-U_{CE} = 6 \text{ V}, R_{BE} = 500 \Omega$		$R_{t1}^{2)}$	0,3	°C/mW
		$-I_{CEO}$	200 200 μA	$-U_{CB} = 6 \text{ V}$		U_{is}	80	V
		I_{is}	< 3 < 3 μA	$U_{is} = 6 \text{ V}$				
						¹⁾ $R_{BE} = 500 \Omega$		
						²⁾ S chladičí plochou 12,5 cm ²		

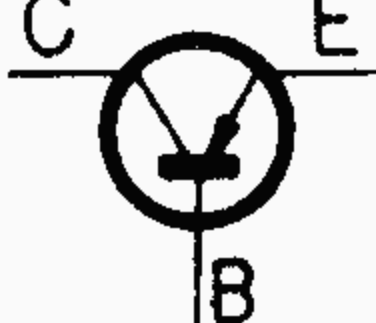
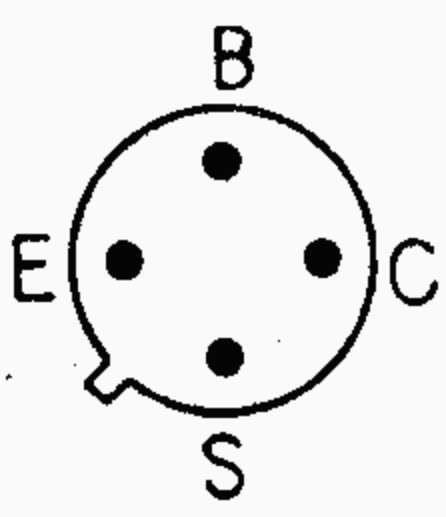
p-n-p plošný tranzistor pro stejnosměrný a nízkofrekvenční zesilovač.

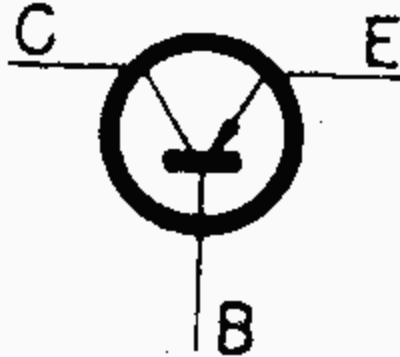
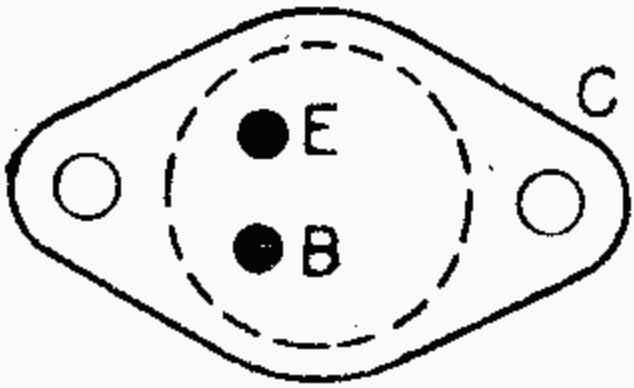
Typ	Provozní hodnoty			Mezní hodnoty		
OC169 Rozměry K506  	$-I_{CBO}$	1,5	<13 μA	měřeno při $-U_{CB} = 6$ V	$-U_{CB}$	20 V
	$-I_{CBO}$		<50 μA	$-U_{CB} = 20$ V	$-U_{CBM}$	20 V
	$-I_{EBO}$		<50 μA	$-U_{EB} = 0,5$ V	$-U_{CE}$	20 V
	$-U_{BE}$	260	(210–330) mV	$-U_{CE} = 6$ V, $I_E = 1$ mA	$-U_{EB}$	4 V
	$-I_B$	15	(<50) μA	$-U_{CE} = 6$ V, $I_E = 1$ mA	$-u_{EBM}$	4 V
	h_{21e}		20–300	$-U_{CE} = 6$ V, $I_E = 1$ mA $f = 1$ kHz	$-I_C$	10 mA
	F	3	(<8) dB	$-U_{CE} = 6$ V, $I_E = 1$ mA $R_g = 200 \Omega$, $f = 450$ kHz	I_E	10 mA
	F	4	(<8) dB	$-U_{CE} = 6$ V, $I_E = 1$ mA $R_g = 150 \Omega$, $f = 10,7$ MHz	I_B	± 1 mA
	f_T	50	MHz	$-U_{CB} = 6$ V, $I_E = 1$ mA	P_C ($T_a = 45$ °C)	50 mW
	$ Y_{21e} $	25	>21 mS	$-U_{CB} = 6$ V, $I_E = 1$ mA $f = 10,7$ MHz	T_j	75 °C
<p>p-n-p difúzní tranzistor pro mf zesilovače s kmitočtem 10,7 MHz v rozhlasových přijímačích.</p>	$ h_{21e} $		>1	$-U_{CB} = 6$ V, $I_E = 1$ mA $f = 30$ MHz	K ($T_a = 0-55$ °C)	0,6 °C/mW
					T_s	$-55 \div +75$ °C

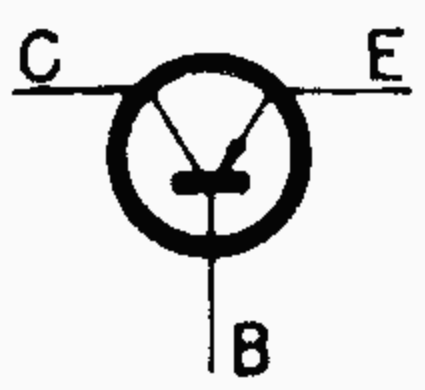
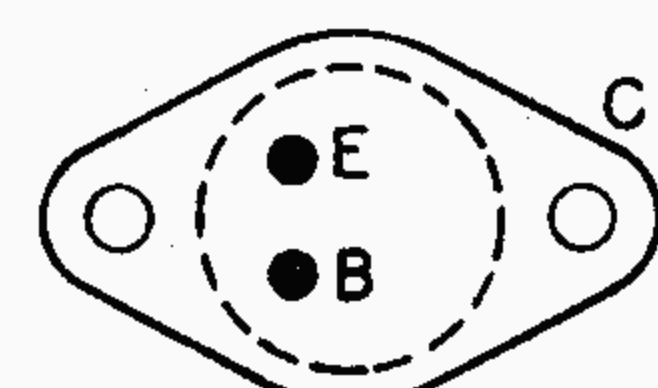
Typ	Provozní hodnoty			Mezní hodnoty		
OC170 Rozměry K506  	$-I_{CBO}$	1,5	<13 μA	měřeno při $-U_{CB} = 6$ V	$-U_{CB}$	20 V
	$-I_{CBO}$		<50 μA	$-U_{CB} = 20$ V	$-U_{CBM}$	20 V
	$-I_{EBO}$		<50 μA	$-U_{EB} = 0,5$ V	$-U_{CE}$	20 V
	$-U_{BE}$	260	(210–330) mV	$-U_{CE} = 6$ V, $I_E = 1$ mA	$-U_{EB}$	4 V
	$-I_B$	15	(<50) μA	$-U_{CE} = 6$ V, $I_E = 1$ mA	$-u_{EBM}$	4 V
	h_{21e}	100	(20–300)	$-U_{CE} = 6$ V, $I_E = 1$ mA $f = 1$ kHz	$-I_C$	10 mA
	$ h_{21e} $		>1	$-U_{CB} = 6$ V, $I_E = 1$ mA $f = 30$ MHz	I_E	10 mA
	$ Y_{21e} $	29	>27 mS	$-U_{CB} = 6$ V, $I_E = 1$ mA $f = 10,7$ MHz	I_B	± 1 mA
	F	3	(<8) dB	$-U_{CE} = 6$ V, $I_E = 1$ mA $R_g = 200 \Omega$, $f = 450$ kHz	P_C ($T_a = 45$ °C)	50 mW
	F	4	(<8) dB	$-U_{CE} = 6$ V, $I_E = 1$ mA $R_g = 150 \Omega$, $f = 10,7$ MHz	T_j	75 °C
<p>p-n-p difúzní tranzistor pro mf zesilovače s kmitočtem 10,7 MHz a směšovače – oscilátory na krátkovlnných pásmech v rozhlasových přijímačích.</p>	f_T	50	MHz	$-U_{CB} = 6$ V, $I_E = 1$ mA	K ($T_a = 0-55$ °C)	0,6 °C/mW
					T_s	$-55 \div +75$ °C

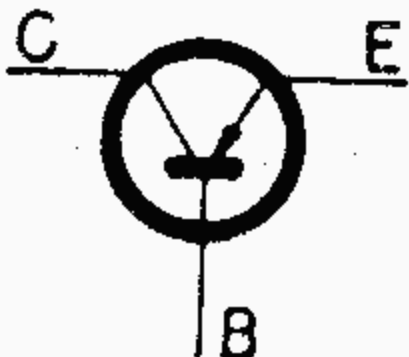
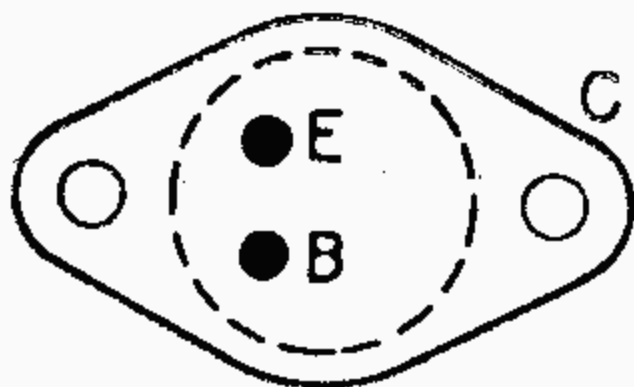
Typ		Provozní hodnoty					Mezní hodnoty	
GF501 GF502 GF503 GF504	Rozměry K505	GF501 GF502 GF503 GF504				měřeno při $-U_{CB} = 9 \text{ V}$ $I_E = 10 \text{ mA}$ $-U_{CB} = 9 \text{ V}$ $I_E = 10 \text{ mA}$ $f = 100 \text{ MHz}$ $-U_{CB} = 9 \text{ V}$ $I_E = 2 \text{ mA}$ $f = 30 \text{ MHz}$ $-U_{CB} = 9 \text{ V}$ $I_E = 2 \text{ mA}$ $f = 100 \text{ MHz}$ $-I_{CBO} = 100 \mu\text{A}$ $-I_{CEO} = 2 \text{ mA}$ $-I_{EBO} = 100 \mu\text{A}$ $-U_{CB} = 9 \text{ V}$ $I_E = 2 \text{ mA}$ $f = 100 \text{ MHz}$ $-U_{CB} = 9 \text{ V}$ $I_E = 2 \text{ mA}$ $f = 5 \text{ MHz}$ $-U_{CB} = 15 \text{ V}$	GF501, GF502	
		h_{21E}	> 10	> 10	> 10		$-U_{CB}$	24 V
		$ h_{21e} $	> 3	> 3	> 3		$-U_{CE}$	12 V
		$r_{b'b} \cdot C_{b'c}$	< 56	< 70	< 50		GF503	
							$-U_{CB}$	24 V
							$-U_{CE}$	9 V
		$R_e(h_{11e})$	50	75	50		GF504	
							$-U_{CB}$	28 V
							$-U_{CE}$	12 V
		$-U_{CBO}$	> 24	> 24	> 24		$-U_{EB}$	0,5 V
 	Germaniové vf mesa p-n-p tranzistory pro vf, vkv zesilovače, směšovače, oscilátory.	$-U_{CEO}$	> 16	> 16	—		$-I_C$	100 mA
		$-U_{EBO}$	> 0,5	> 0,5	> 0,5		I_E	100 mA
		G_o	20	18	20		$-I_B$	50 mA
							P_C	300 mW
		C_{22b}	2,1	< 3,5			$P_C^{1)}$	750 mW
							T_j	100 °C
		$-I_{CBO}$	< 18				R_{t1}	0,25 °C/mW
							R_{t11}	0,1 °C/mW
							T_a	-40 ÷ +85 °C
							1) S ideálním chlazením	

Typ		Provozní hodnoty					Mezní hodnoty	
GF505 GF506	Rozměry K507					měřeno při $-U_{CB} = 12 \text{ V}$ $-U_{CB} = 12 \text{ V}, I_E = 1 \text{ mA}$ $-U_{CB} = 12 \text{ V}, I_E = 1 \text{ mA}, f = 1 \text{ kHz}$ $-U_{CB} = 12 \text{ V}, I_E = 1 \text{ mA}, f = 100 \text{ MHz}$ $-U_{CB} = 12 \text{ V}, I_E = 1 \text{ mA}, f = 2 \text{ MHz}$ $-U_{CB} = 12 \text{ V}, I_E = 1 \text{ mA}, f = 200 \text{ MHz}$ $-I_{CBO} = 100 \mu\text{A}$ $-I_{CEO} = 500 \mu\text{A}$ $-I_{EBO} = 100 \mu\text{A}$ $-U_{CB} = 12 \text{ V}, I_E = 1 \text{ mA}, f = 2 \text{ MHz}$ $-U_{CB} = 12 \text{ V}, I_E = 1 \text{ mA}, f = 200 \text{ MHz}, R_g = 75 \Omega$ $-U_{CB} = 12 \text{ V}, I_E = 1 \text{ mA}, f = 200 \text{ MHz}$		
		$-I_{CBO}$	< 10	μA			$-U_{CB}$	24 V
		$-U_{BE}$	< 0,42	V			$-U_{CEO}$	18 V
		h_{21e}	GF505	50	> 25		$-U_{EB}$	0,3 V
			GF506	20	> 10		$-I_C$	10 mA
		$ h_{21e} $	> 1,7				I_E	10 mA
		$r_{b'b} \cdot C_{b'c}$	< 15	ps			$-I_B$	5 mA
		$R_e(h_{11e})$	45	Ω			$P_C (T_a \leq 45^\circ\text{C})$	60 mW
		$-U_{CBO}$	> 24	V			T_j	+90 °C
		$-U_{CEO}$	> 18	V			R_{t1}	0,75 °C/mW
 	Germaniové vf mesa p-n-p tranzistory pro vkv zesilovače, směšovače, oscilátory.	$-U_{EBO}$	> 0,3	V			T_a	-30...+75 °C
		C_{22b}	< 0,8	pF				
		F	< 7,5	dB				
		$ h_{21e} $	GF505	1,3				
			GF506	1,1				

Typ	Provozní hodnoty	Mezní hodnoty
GF507 Rozměry GF507R K507  	<div style="display: flex; justify-content: space-between;"> <div> $-I_{CBO} < 8 \mu A$ $-U_{CEO} > 15 V$ $-U_{EB0} > 0,3 V$ $-U_{BE} 0,32 \dots 0,43 V$ $-I_B < 135 \mu A$ $h_{21E} > 11$ $h_{21e} 5 > 2,5$ $r_{bb'} \cdot C_{b'c} 3,5 < 5 ps$ $C_{22b} < 0,4 pF$ $F < 9 dB$ $A_{pb} > 11 a) dB$ $9-11 b) dB$ $h_{21e} 50$ $R_{is} > 1 M\Omega$ </div> <div> $m\ddot{e}řeno p\ddot{r}i$ $-U_{CB} = 20 V$ $-I_{CE} = 500 \mu A$ $-I_{EB} = 100 \mu A$ $-U_{CB} = 12 V, I_E = 1,5 mA$ $-U_{CB} = 12 V, I_E = 1,5 mA,$ $f = 100 MHz$ $-U_{CB} = 12 V, I_E = 1,5 mA,$ $f = 2 MHz$ $-U_{CB} = 12 V, I_E = 1,5 mA,$ $f = 800 MHz, R_g = 75 \Omega$ $-U_{CB} = 12 V, I_E = 1,5 mA,$ $f = 800 MHz$ $-U_{CB} = 12 V, I_E = 1,5 mA,$ $f = 1 kHz$ $U_{is} = 20 V$ </div> </div>	$-U_{CB} 20 V$ $-U_{CEO} 15 V$ $-U_{EB} 0,3 V$ $-I_C 10 mA$ $I_E 10 mA$ $-I_B 1 mA$ $P_C (T_a \leq +45 ^\circ C) 60 mW$ $T_j +90 ^\circ C$ $T_a -30 \dots +75 ^\circ C$ $R_{t1} 750 ^\circ C/W$ $U_{is} 50 V$
<p>Germaniový vf mesa tranzistor p-n-p pro ukv zesilovače, směšovače a oscilátory až do 800 MHz. GF507R pro řízené zesilovače.</p> <p>Typ A – bílý – pro předzesilovací stupně B – zelený – pro směšovače a oscilátory</p> <p>GF507R: $A_{pb} = f(i_c)$ v rozsahu $I_E = 2,3 \dots 3,5 mA$, $U_Z = 12 V$</p>		

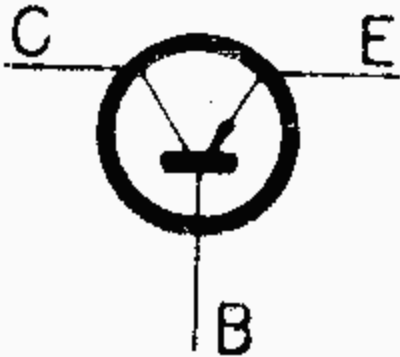
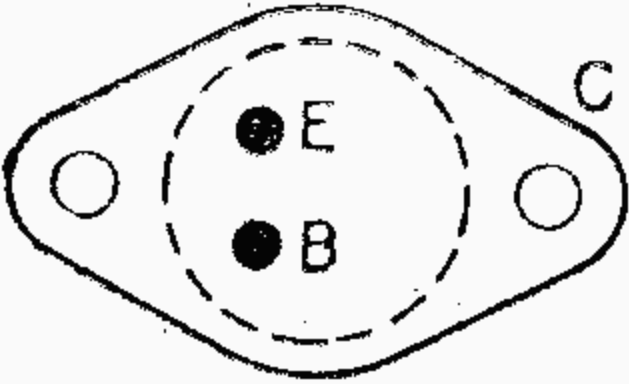
Typ	Provozní hodnoty	Mezní hodnoty
GD617 Rozměry K602  	<div style="display: flex; justify-content: space-between;"> <div> $-U_{CEO} > 16 V$ $-U_{CER} > 32 V$ $-U_{EB} > 10 V$ $-I_{B1} 0,28 \dots 0,9 mA$ $-U_{BE1} < 0,28 V$ $h_{21E} 55 \dots 180$ $-I_{B2} 2,17 \dots 12,5 mA$ $-U_{BE2} < 0,45 V$ $h_{21E} 40 \dots 230$ $-I_{B3} 6 \dots 22 mA$ $-U_{BE3} < 0,7 V$ $h_{21E} 45 \dots 165$ $-U_{CES} < 0,6 V$ $h_{21e} > 2$ $f_\beta > 10 kHz$ $-I_{CBO} < 10 \mu A$ $-I_{CBO} < 600 \mu A$ </div> <div> $m\ddot{e}řeno p\ddot{r}i$ $-I_C = 1 A$ $-I_C = 0,2 mA, R_{BE} = 500 \Omega$ $I_E = 0,2 mA$ $I_E = 50 mA, -U_{CB} = 0 V$ $I_E = 500 mA, -U_{CB} = 0 V$ $I_E = 1 A, -U_{CB} = 0 V$ $-I_C = 1 A, -I_B = 20 mA$ $I_E = 10 mA, -U_{CB} = 2 V,$ $f = 0,5 MHz$ $I_E = 10 mA, -U_{CB} = 2 V$ $-U_{CB} = 10 V$ $-U_{CB} = 10 V, T_c = +75 ^\circ C$ </div> </div>	$-U_{CB} 32 V$ $-U_{CEO} 16 V$ $-U_{CER} (R_{BE} = 500 \Omega) 32 V$ $-U_{EB} 10 V$ $-I_C 1 A$ $-I_{CM} 2 A$ $I_E 1 A$ $I_{EM} 2 A$ $-I_B 0,1 A$ $T_j +90 ^\circ C$ $P_{tot} (T_c \leq +60 ^\circ C) 4 W$ $T_a -55 \dots +85 ^\circ C$ $R_{t1} 7,5 ^\circ C/W$
<p>p-n-p plošný tranzistor pro vf zesilovače výkonu Komplementární k GD607</p>		

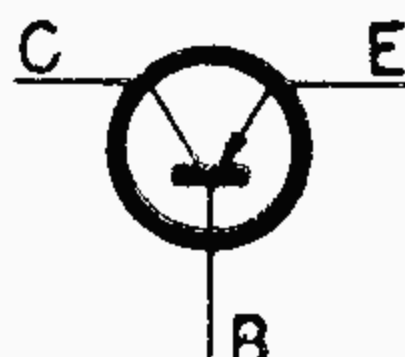
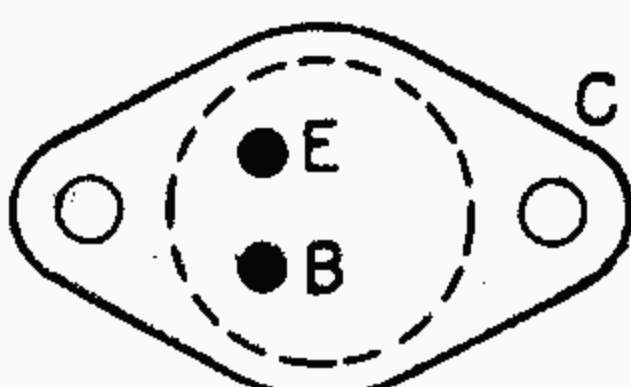
Typ	Provozní hodnoty	Mezní hodnoty																																																																																																			
GD618 GD619  	<div style="display: flex; justify-content: space-between;"> <div> GD618 GD619 Rozměry K602 </div> <div> <table> <tr> <td></td><td>GD618</td><td>GD619</td></tr> <tr> <td>$-U_{CEO}$</td><td>> 15</td><td>> 15 V</td></tr> <tr> <td>$-U_{CER}$</td><td>> 25</td><td>> 25 V</td></tr> <tr> <td>$-U_{EB}$</td><td>> 10</td><td>> 10 V</td></tr> <tr> <td>$-I_{B1}$</td><td>0,3</td><td>< 1,7 mA</td></tr> <tr> <td>$-U_{BE1}$</td><td>< 0,28</td><td>< 0,28 V</td></tr> <tr> <td>h_{21E}</td><td>165</td><td>> 30</td></tr> <tr> <td>$-I_{B2}$</td><td>1,4...5</td><td>1,4...12,5 mA</td></tr> <tr> <td>$-U_{BE2}$</td><td>< 0,45</td><td>< 0,45 V</td></tr> <tr> <td>h_{21E}</td><td>100...360</td><td>40...360</td></tr> <tr> <td>$-I_{B3}$</td><td>< 12,5</td><td>< 63 mA</td></tr> <tr> <td>$-U_{BE3}$</td><td>< 0,7</td><td>< 0,7 V</td></tr> <tr> <td>h_{21E}</td><td>> 80</td><td>> 12</td></tr> <tr> <td>U_{CES}</td><td>< 0,6</td><td>— V</td></tr> <tr> <td>U_{CES}</td><td>—</td><td>< 0,6 V</td></tr> <tr> <td>h_{21e}</td><td>> 2</td><td>> 1,2</td></tr> <tr> <td>f_{β}</td><td>> 10</td><td>> 10 kHz</td></tr> <tr> <td>I_{CBO}</td><td>< 15</td><td>< 15 μA</td></tr> <tr> <td>I_{CBO}</td><td>< 600</td><td>< 600 μA</td></tr> </table> </div> </div> <div style="margin-top: 10px;"> měřeno při $-I_C = 1$ A $-I_C = 0,2$ mA, $R_{EE} = 500 \Omega$ $-I_E = 0,2$ mA $I_E = 50$ mA, $-U_{CB} = 0$ V $I_E = 500$ mA, $-U_{CB} = 0$ V $I_E = 1$ A, $-U_{CB} = 0$ V $-I_C = 1$ A, $-I_B = 12$ mA $-I_C = 1$ A, $-I_B = 60$ mA $I_E = 10$ mA, $-U_{CB} = 2$ V, $f = 0,5$ MHz $I_E = 10$ mA, $-U_{CB} = 2$ V $-U_{CB} = 10$ V $-U_{CB} = 10$ V, $T_c = +75$ °C </div>		GD618	GD619	$-U_{CEO}$	> 15	> 15 V	$-U_{CER}$	> 25	> 25 V	$-U_{EB}$	> 10	> 10 V	$-I_{B1}$	0,3	< 1,7 mA	$-U_{BE1}$	< 0,28	< 0,28 V	h_{21E}	165	> 30	$-I_{B2}$	1,4...5	1,4...12,5 mA	$-U_{BE2}$	< 0,45	< 0,45 V	h_{21E}	100...360	40...360	$-I_{B3}$	< 12,5	< 63 mA	$-U_{BE3}$	< 0,7	< 0,7 V	h_{21E}	> 80	> 12	U_{CES}	< 0,6	— V	U_{CES}	—	< 0,6 V	$ h_{21e} $	> 2	> 1,2	f_{β}	> 10	> 10 kHz	I_{CBO}	< 15	< 15 μ A	I_{CBO}	< 600	< 600 μ A	<div style="display: flex; justify-content: space-between;"> <div> GD618 GD619 Rozměry K602 </div> <div> <table> <tr> <td></td><td>GD618</td><td>GD619</td></tr> <tr> <td>$-U_{CB}$</td><td>25</td><td>V</td></tr> <tr> <td>$-U_{CEO}$</td><td>18</td><td>16 V</td></tr> <tr> <td>$-U_{CER}$</td><td>($R_B = 500 \Omega$)</td><td>25 V</td></tr> <tr> <td>$-U_{EB}$</td><td>10</td><td>V</td></tr> <tr> <td>$-I_C$</td><td>1</td><td>A</td></tr> <tr> <td>$-I_{CM}$</td><td>2</td><td>A</td></tr> <tr> <td>I_E</td><td>1</td><td>A</td></tr> <tr> <td>I_{EM}</td><td>2</td><td>A</td></tr> <tr> <td>$-I_B$</td><td>0,1</td><td>A</td></tr> <tr> <td>T_j</td><td>+90</td><td>°C</td></tr> <tr> <td>P_{tot}</td><td>($T_C \leq +60$ °C)</td><td>4 W</td></tr> <tr> <td>T_a</td><td>-55...+85</td><td>°C</td></tr> <tr> <td>R_{t1}</td><td>7,5</td><td>°C/W</td></tr> </table> </div> </div>		GD618	GD619	$-U_{CB}$	25	V	$-U_{CEO}$	18	16 V	$-U_{CER}$	($R_B = 500 \Omega$)	25 V	$-U_{EB}$	10	V	$-I_C$	1	A	$-I_{CM}$	2	A	I_E	1	A	I_{EM}	2	A	$-I_B$	0,1	A	T_j	+90	°C	P_{tot}	($T_C \leq +60$ °C)	4 W	T_a	-55...+85	°C	R_{t1}	7,5	°C/W
	GD618	GD619																																																																																																			
$-U_{CEO}$	> 15	> 15 V																																																																																																			
$-U_{CER}$	> 25	> 25 V																																																																																																			
$-U_{EB}$	> 10	> 10 V																																																																																																			
$-I_{B1}$	0,3	< 1,7 mA																																																																																																			
$-U_{BE1}$	< 0,28	< 0,28 V																																																																																																			
h_{21E}	165	> 30																																																																																																			
$-I_{B2}$	1,4...5	1,4...12,5 mA																																																																																																			
$-U_{BE2}$	< 0,45	< 0,45 V																																																																																																			
h_{21E}	100...360	40...360																																																																																																			
$-I_{B3}$	< 12,5	< 63 mA																																																																																																			
$-U_{BE3}$	< 0,7	< 0,7 V																																																																																																			
h_{21E}	> 80	> 12																																																																																																			
U_{CES}	< 0,6	— V																																																																																																			
U_{CES}	—	< 0,6 V																																																																																																			
$ h_{21e} $	> 2	> 1,2																																																																																																			
f_{β}	> 10	> 10 kHz																																																																																																			
I_{CBO}	< 15	< 15 μ A																																																																																																			
I_{CBO}	< 600	< 600 μ A																																																																																																			
	GD618	GD619																																																																																																			
$-U_{CB}$	25	V																																																																																																			
$-U_{CEO}$	18	16 V																																																																																																			
$-U_{CER}$	($R_B = 500 \Omega$)	25 V																																																																																																			
$-U_{EB}$	10	V																																																																																																			
$-I_C$	1	A																																																																																																			
$-I_{CM}$	2	A																																																																																																			
I_E	1	A																																																																																																			
I_{EM}	2	A																																																																																																			
$-I_B$	0,1	A																																																																																																			
T_j	+90	°C																																																																																																			
P_{tot}	($T_C \leq +60$ °C)	4 W																																																																																																			
T_a	-55...+85	°C																																																																																																			
R_{t1}	7,5	°C/W																																																																																																			
<p>p-n-p plošný tranzistor pro vf zesilovače výkonu Komplementární k GD608, GD609</p>																																																																																																					

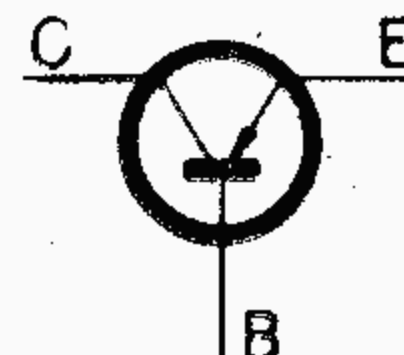
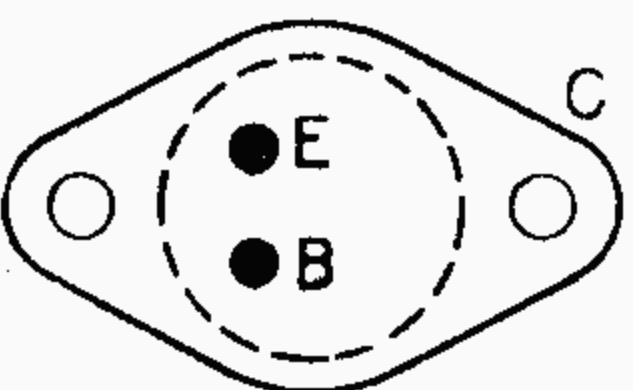
Typ	Provozní hodnoty				Mezní hodnoty		
OC26 OC27 2-OC26 2-OC27	Rozměry						
	K601						
							
							
	p-n-p plošný tranzistor nízkofrekvenční zesilovač výkonu třídy A nebo B, pro spínače apod., párované tranzisto- ry pro zesilovače třídy B.						
	$-I_{CBO}$	< 100	< 100	μA	měřeno při		
	$-I_{CBO}$	< 10	< 10	mA	$-U_{CB} = 6\text{ V}$		
	$-U_{CEM}$	> 32	> 32	V	$-U_{CB} = 6\text{ V}, T_c = 100\text{ }^\circ\text{C}$		
	$-U_{CES}$	< 0,4	< 0,4	V	$-I_C = 3\text{ mA}, R_{BE} = 30\text{ }\Omega$		
	$-U_{BE1}$	< 0,28	< 0,28	V	$-I_C = 3\text{ A}, -I_B = 0,5\text{ A}$		
$-U_{BE2}$	< 0,75	< 0,7	V	$-U_{CE} = 6\text{ V}, I_E = 0,1\text{ A}$			
$-U_{BE3}$	< 1,2	< 1	V	$-U_{CE} = 0\text{ V}, I_E = 1\text{ A}$			
h_{21E1}	20-75	60-180			$-U_{CE} = 0\text{ V}, I_E = 3\text{ A}$		
h_{21E2}	20-60	40-160			$-U_{CE} = 6\text{ V}, I_E = 0,1\text{ A}$		
h_{21E3}	15-50	30-125			$-U_{CE} = 0\text{ V}, I_E = 1\text{ A}$		
f_T	> 0,15	> 0,15	MHz		$-U_{CE} = 0\text{ V}, I_E = 3\text{ A}$		
				$-U_{CB} = 6\text{ V}, I_E = 1\text{ A}$			
Párované tranzistory 2-OC26 a 2-OC27.							
Tranzistory odpovídají všem uvedeným hodnotám příslušného typu. Navíc zesilovací činitel h_{21E2} a h_{21E3} obou párovaných tranzistorů, měřený v pracovních bodech							
$-U_{CB}$	0	V	$-U_{CB}$	0	V		
I_E	1	A	I_E	3	A		
se nesmí v jednotlivých bodech měření odlišovat o více než 15 %.							
				Všechny údaje platí při teplotě pouzdra $T_c = 25\text{ }^\circ\text{C}$.			
				1) $R_{BE} > 700\text{ }\Omega$			
				2) $R_{BE} < 30\text{ }\Omega$			

Typ		Provozní hodnoty				Mezní hodnoty					
OC30 2-OC30	Rozměry K602	měřeno při									
		$-I_{CBO}$	12	<35	μA	$-U_{CB} = 6$	V	$-U_{CB}$	32	V	
		f_T	>0,15	MHz		$-U_{CB} = 6$ V, $I_E = 0,1$	A	$-u_{CB}$	32	V	
		$-U_{CEM}$	>32	V		$-I_C = 3$ mA, $R_{BE} = 500$	Ω	$-U_{CE}$ ($R_{BE} < 500$	Ω)	32	V
		$-U_{CES}$	<0,3	V		$-I_B = 0,3$ A, $-I_C = 1,5$	A	$-u_{CEM}$ ($R_{BE} < 500$	Ω)	32	V
		$-U_{BE}$	V	h_{21E}		$-U_{CE}$	V	I_E	A		
		0,14	(0,11–0,18)	32	(17–110)	14	0,01				
		0,22	(0,17–0,3)	36	(18–110) ¹⁾	6	0,1				
		0,38	(<0,5)		(16–90)	0	0,8				
		0,47	(<0,7)		(>14)	0	1,5				
		¹⁾ h_{21E2} 18– 35 označení A 35– 70 označení B 70–110 označení C									
		Párované tranzistory 2-OC30:									
		Tranzistory odpovídají všem uvedeným hodnotám příslušného typu. Navíc zesilovací činitel h_{21E2} a h_{21E4} obou párovaných tranzistorů, měřený v pracovních bodech									
		$-U_{CE}$	6	V	$-U_{CE}$	0	V				
		I_E	0,1	A	I_E	1,5	A				
		se nesmí v jednotlivých bodech měření odlišovat o více než 15 %.									

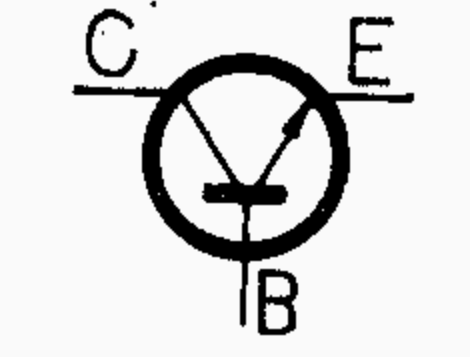
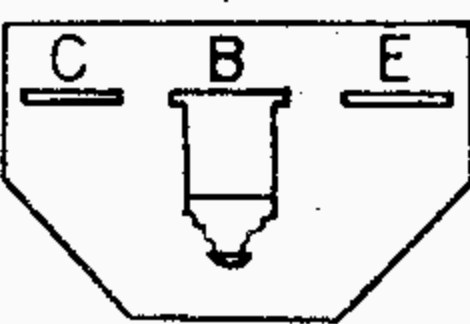
p-n-p plošný tranzistor pro nízkofrekvenční zesilovače výkonu třídy A nebo B, pro spínače apod., párované tranzistory pro zesilovače třídy B.

Typ	Provozní hodnoty					Mezní hodnoty		
2NU72 2-2NU72 3NU72 2-3NU72 4NU72 2-4NU72 5NU72 2-5NU72 Rozměry K602		2NU72	3NU72	4NU72	5NU72		2NU72	3NU72
	$-U_{CE}$	> 24	> 32	> 48	> 60	V	$-U_{CB}$	24 32 V
	$-I_C$	3	3	3	3	mA	$-U_{CE}^{1)}$	24 32 V
	R_{BE}	500	500	500	500	Ω	$-U_{EB}$	8 10 V
		měřeno při					4NU72	5NU72
	$-I_{CBO}$	< 35	μA	$-U_{CB} = 6$ V			$-U_{CB}$	48 60 V
	$-U_{CES}$	< 0,3	V	$-I_C = 1,5$ A, $-I_B = 0,3$ A			$-U_{CE}^{1)}$	48 60 V
	$-U_{BE}$	< 0,9	V	$-U_{CE} = 0$ V, $I_E = 1,5$ A			$-U_{EB}$	15 20 V
	h_{21E}	> 10		$-U_{CE} = 0$ V, $I_E = 1,5$ A			$-I_C$	1,5 A
	f_T	> 0,1	MHz	$-U_{CB} = 6$ V, $I_E = 0,1$ A			$-I_B$	0,3 A
	Párované tranzistory 2-2NU72 až 2-5NU72:						P_C	4 W
	Tranzistory odpovídají všem uvedeným hodnotám příslušného typu. Navíc zesilovací činitel h_{21E} se nesmí u obou párovaných tranzistorů odlišovat o více než 15 %.						K	7,5 $^{\circ}C/W$
	Všechny údaje platí při $T_c = 25^{\circ}C$						T_j	75 $^{\circ}C$
							T_a	-60 $^{\circ}C$
							T_s	-60 ÷ +75 $^{\circ}C$
							$^{1)}) R_{BE} < 100 \Omega$	
p-n-p plošný tranzistor pro nízkofrekvenční zesilovače výkonu třídy A nebo B, pro spínače apod., párované tranzistory pro zesilovače třídy B.								

Typ	Provozní hodnoty				Mezní hodnoty	
2NU73 2-2NU73 3NU73 2-3NU73 4NU73 2-4NU73 5NU73 2-5NU73 6NU73 2-6NU73 7NU73 2-7NU73 Rozměry K601		2NU73	3NU73	4NU73		2NU73 3NU73
	$-U_{CE}$	> 24	> 32	> 48	V	$-U_{CB}$ 24 32 V
	$-I_C$	3	3	3	mA	$-U_{CE}^{1)}$ 24 32 V
	R_{BE}	30	30	30	Ω	$-U_{EB}$ 8 10 V
		5NU73	6NU73	7NU73		4NU73 5NU73
	$-U_{CE}$	> 60	> 70	> 80	V	$-U_{CB}$ 48 60 V
	$-I_C$	3	3	3	mA	$-U_{CE}^{1)}$ 48 60 V
	R_{BE}	30	30	30	Ω	$-U_{EB}$ 15 20 V
						6NU73 7NU73
	$-I_{CBO}$	< 100 μA	měřeno při			$-U_{CB}$ 70 80 V
	$-I_{CBO}$	< 10 mA	$-U_{CB} = 6$ V			$-U_{CE}^{1)}$ 70 80 V
	U_{CES}	< 0,4 V	$-U_{CB} = 6$ V, $T_c = 100^\circ C$			$-U_{EB}$ 25 30 V
	$-U_{BE}$	< 1,2 V	$-I_C = 3$ A, $-I_B = 0,5$ A			
	h_{21E}	> 10	$-U_{CE} = 0$ V, $I_E = 3$ A			$-I_C$ 3,5 A
	f_T	> 0,15 MHz	$-U_{CE} = 0$ V, $I_E = 3$ A			$-I_B$ 1 A
			$-U_{CE} = 6$ V, $I_E = 1$ mA			P_C 12,5 W
Párované tranzistory 2-2NU73 až 2-7NU73:				K 1,8 $^\circ C/W$		
Tranzistory odpovídají všem uvedeným hodnotám příslušného typu. Navíc zesilovací činitel h_{21E} se nesmí u obou párovaných tranzistorů odlišovat o více než 15 %.				T_j 90 $^\circ C$		
Všechny údaje platí při $T_c = 25^\circ C$.				T_a > -55 $^\circ C$		
				T_s -55 ÷ +75 $^\circ C$		
				$^{1)} R_{BE} < 30 \Omega$		

Typ	Provozní hodnoty				Mezní hodnoty			
2NU74 2-2NU74 3NU74 2-3NU74 4NU74 2-4NU74 5NU74 2-5NU74 6NU74 2-6NU74 7NU74 2-7NU74 Rozměry K603	měřeno při							
	2NU74	4NU74	6NU74					
	3NU74	5NU74	7NU74					
$-U_{CE}$	> 32	> 48	> 70 V	$-I_C = 20 \text{ mA}, R_{BE} = 30 \Omega$	$-U_{CB}$	50	60	90 V
$-U_{BE}$	< 1,5	V		$I_E = 10 \text{ A}, -U_{CE} = 0 \text{ V}$	$-u_{CBM}$	50	60	90 V
$-U_{CES}$	< 1	V		$-I_C = 10 \text{ A}, -I_B = 1 \text{ A}$	$-U_{CE}^{1)}$	32	48	70 V
					$-u_{CEM}^{1)}$	32	48	70 V
					$-U_{EB}$	10	15	15 V
					$-u_{EBM}$	10	15	15 V
					$-I_C$	15	A	
					$-i_{CM}$	15	A	
					I_E	16,5	A	
					i_{EM}	16,5	A	
					$-I_B$	1,5	A	
					$-i_{BM}$	1,5	A	
					P_C	50	W	
					T_j	100	°C	
					T_a	> -60	°C	
					K	1,2	°C/W	
					T_s	-60 ÷ +100	°C	
					$^1) R_{BE} < 30 \Omega$			
								
								
p-n-p plošný tranzistor pro nízkofrekvenční zesilovače výkonu třídy A nebo B, pro spínače apod., párované tranzistory pro zesilovače třídy B.								
2NU74, 4NU74, 6NU74 h_{21E} 20-60 $-U_{CE} = 0 \text{ V}, I_E = 10 \text{ A}$								
3NU74, 5NU74, 7NU74 h_{21E} 50-130 $-U_{CE} = 0 \text{ V}, I_E = 10 \text{ A}$								
f_T > 0,15 MHz $I_E = 1 \text{ A}, -U_{CB} = 6 \text{ V}$								
Párované tranzistory 2-2NU74 až 2-7NU74: Tranzistory odpovídají všem uvedeným hodnotám příslušného typu. Navíc zesilovací činitel h_{21E} se nesmí u obou párovaných tranzistorů odlišovat o více než 15 %. Všechny údaje platí při $T_c = 25 \text{ °C}$.								

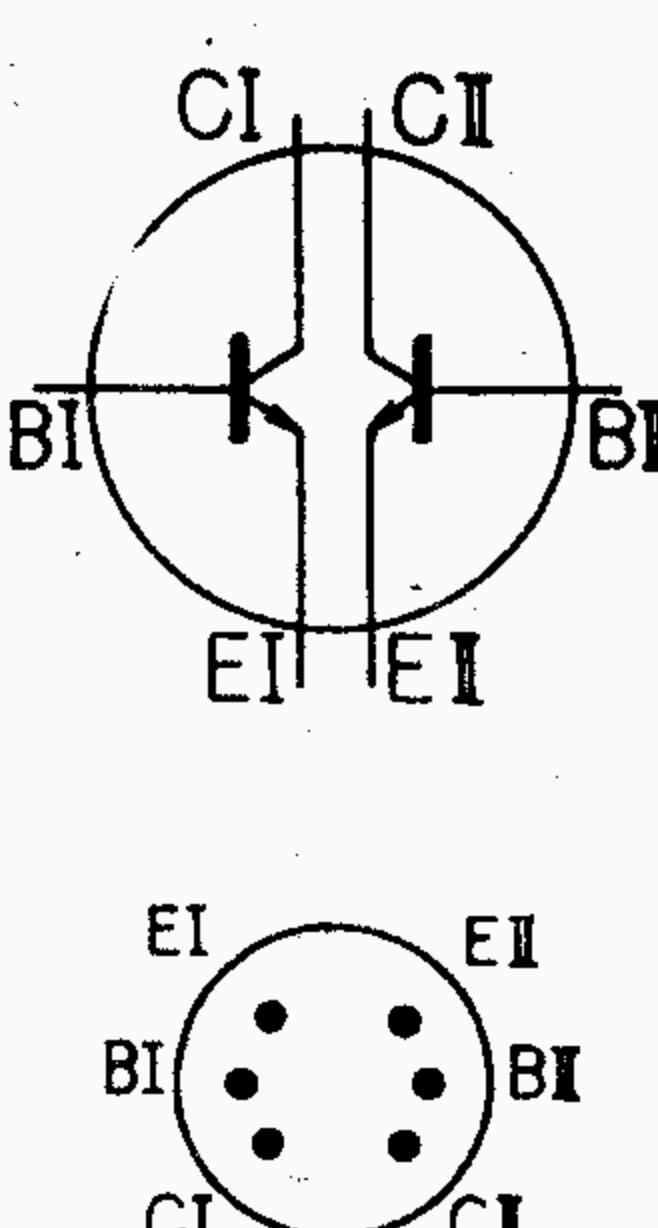
Křemíkové tranzistory nízkofrekvenční
Křemíkové tranzistory výkonové
Křemíkové tranzistory vysokofrekvenční
Křemíkové spínací tranzistory
Křemíkové výkonové spínací tranzistory

Typ		Provozní hodnoty				Mezní hodnoty		
KC147 KC148 KC149	Pouzdro K401	KC147 KC148 KC149			měřeno při $I_{CB} = 15 \text{ nA}$ $I_{CE} = 2 \text{ mA}$ $I_{EB} = 1 \mu\text{A}$ $U_{CE} = 5 \text{ V}, I_E = 10 \mu\text{A}$ $U_{CE} = 5 \text{ V}, I_E = 2 \text{ mA}$ $U_{CE} = 5 \text{ V}, I_C = 20 \text{ mA}$ $U_{CE} = 5 \text{ V}, I_C = 100 \text{ mA}$ $I_C = 10 \text{ mA}, I_B = 0,5 \text{ mA}$ $I_C = 100 \text{ mA}, I_B = 5 \text{ mA}$ $U_{CE} = 5 \text{ V}, I_C = 10 \text{ mA}, f = 100 \text{ MHz}$ $U_{CB} = 5 \text{ V}, -I_E = 2 \text{ mA}, f = 1 \text{ kHz}$ $U_{CB} = 10 \text{ V}, f = 1 \text{ MHz}$ $U_{CE} = 5 \text{ V}, I_C = 0,2 \text{ mA}, R_G = 2 \text{ k}\Omega, f = 1 \text{ kHz}, \Delta f = 200 \text{ Hz}$ $U_{CE} = 5 \text{ V}, I_C = 0,2 \text{ mA}, R_G = 2 \text{ k}\Omega, \Delta f = 30 \text{ Hz} \dots 15 \text{ kHz}$	KC147 KC148 KC149		
		U_{CBO}	≥ 45	≥ 20	$\geq 20 \text{ V}$	U_{CBO}	45	20 V
		U_{CEO}	> 45	> 20	$> 20 \text{ V}$	U_{CBM}	45	20 V
		U_{EBO}	> 5	> 5	$> 5 \text{ V}$	U_{CE}	45	20 V
		I_{B1}	$< 0,5$	$< 0,5$	$< 0,25 \mu\text{A}$	U_{EB}	5	V
		h_{21E}	> 20	> 20	> 40	U_{EBM}	5	V
		I_{B2}	< 16	< 16	$< 9 \mu\text{A}$	I_C	100	mA
		I_{B3}	70	70	40 μA	I_{CM}	200	mA
		h_{21E}	285	285	500	$I_{CM imp}$	200	mA
		I_{B4}	600	600	400 μA	$-I_E$	100	mA
 	Křemíkové n-p-n epitaxní planární tranzistory pro NF předzesilovací stupně	U_{CES}	$< 0,25$	$< 0,25$	$< 0,25 \text{ V}$	$-I_{EM}$	200	mA
		U_{CES}	$< 0,6$	$< 0,6$	$< 0,6 \text{ V}$	I_B	10	mA
		$ h_{21e} $	$> 1,5$	$> 1,5$	$> 1,5$	i_{BM}	20	mA
		h_{21e}	125...	125...	240...	$P_C (T_a = 25^\circ\text{C})$	200	mW
			500	900	900	T_j	125	$^\circ\text{C}$
		C_{CB}	$< 4,5$	$< 4,5$	$< 4,5 \text{ pF}$	R_t	450	$^\circ\text{C/W}$
		F	< 10	< 10	— dB	T_s	-55...+125	$^\circ\text{C}$
		F	—	—	$< 4 \text{ dB}$			

Typ		Provozní hodnoty				Mezní hodnoty			
KC507 KC508 KC509	Pouzdro K 507	KC507	KC508	KC509	měřeno při		KC507	KC508 KC509	
		U_{CBO}	> 45	> 20	> 20 V	$I_{CBO} = 15 \text{ nA}$		U_{CBO}	45 20 V
		U_{CEO}	> 45	> 20	> 20 V	$I_{CEO} = 2 \text{ mA}$		U_{CBM}	45 20 V
		U_{EBO}	> 5	> 5	> 5 V	$I_{EBO} = 1 \text{ }\mu\text{A}$		U_{CE}	45 20 V
		I_{B1}	< 0,5	< 0,5	< 0,25 μA	}	$U_{CE} = 5 \text{ V}, I_E = 10 \text{ }\mu\text{A}$	U_{EB}	5 V
		h_{21E}	> 20	> 20	> 40			$U_{CE} = 5 \text{ V}, I_E = 2 \text{ mA}$	U_{EBM}
		I_{B2}	< 16	< 16	< 9 μA	}	$U_{CE} = 5 \text{ V}, I_C = 20 \text{ mA}$	I_C	100 mA
		I_{B3}	70	70	40 μA			$U_{CE} = 5 \text{ V}, I_C = 100 \text{ mA}$	I_{CM}
		h_{21E}	285	285	500	}	$I_C = 10 \text{ mA}, I_B = 0,5 \text{ mA}$	$I_{CM imp}$	200 mA
		I_{B4}	600	600	400 μA			$I_C = 100 \text{ mA}, I_B = 5 \text{ mA}$	$-I_E$
		U_{CES}	< 0,25	< 0,25	< 0,25 V	$U_{CE} = 5 \text{ V}, I_C = 10 \text{ mA}, f = 100 \text{ MHz}$		$-I_{EM}$	200 mA
		U_{CES}	< 0,6	< 0,6	< 0,6 V	$U_{CB} = 5 \text{ V}, I_E = 2 \text{ mA}, f = 1 \text{ kHz}$		I_B	15 mA
		$ h_{21e} $	> 1,5	> 1,5	> 1,5	$U_{CB} = 10 \text{ V}, f = 1 \text{ MHz}$		i_{BM}	20 mA
		h_{21e}	125... 500	125... 900	240... 900	$U_{CE} = 5 \text{ V}, I_C = 0,2 \text{ mA}, R_G = 2 \text{ k}\Omega, f = 1 \text{ kHz}, \Delta f = 200 \text{ Hz}$		P_C	300 mW
		C_{CB}	< 4,5	< 4,5	< 4,5 pF	$U_{CE} = 5 \text{ V}, I_C = 0,2 \text{ mA}, R_G = 2 \text{ k}\Omega, \Delta f = 30 \text{ Hz} \dots 15 \text{ kHz}$		T_j	+175 °C
		F	< 10	< 10	— dB			T_a	-55...+175 °C
		F	—	—	< 4 dB			R_{t1}	200 °C/W

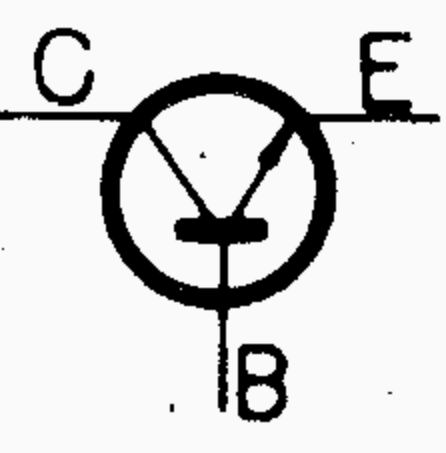
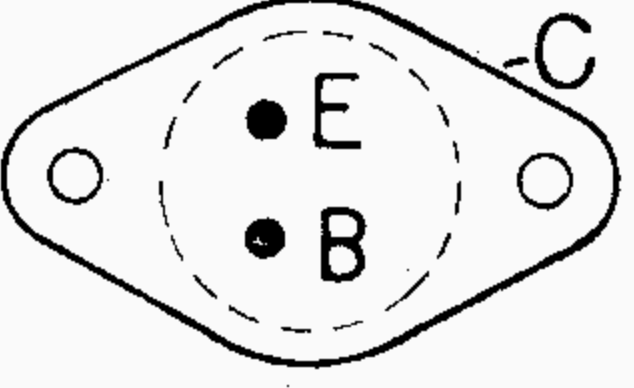
Křemíkové planární epitax-ní tranzistory n-p-n pro NF předzesilovací stupně.

Křemíkové planární epitaxní tranzistory n-p-n pro NF předzesilovací stupně.

Typ		Provozní hodnoty				Mezní hodnoty		
KC510	Pouzdro							
	K505/P402							
								
		I_{CBO}	0,05	≤ 10	nA	měřeno při		
		U_{CBO}		≤ 45	V	$U_{CB} = 30$ V		
		U_{CEO}		≤ 30	V	$I_C = 0,1$ mA		
		U_{EBO}		≤ 5	V	$I_C = 2$ mA, $R_{BE} = \infty$		
		I_{B1}		≤ 2	μ A	$I_E = 0,001$ mA		
		I_{B2}		< 25	μ A	$U_{CB} = 5$ V, $-I_E = 0,1$ mA		
		$ h_{21e} $		$\geq 1,5$		$U_{CB} = 5$ V, $-I_E = 2$ mA		
		C_{22b}	3	≤ 6	pF	$U_{CB} = 5$ V, $-I_E = 10$ mA, $f = 100$ MHz		
		h_{21E}	150	50 ... 500		$U_{CB} = 10$ V, $-I_E = 0$ mA, $f = 1$ MHz		
		h_{21E}		> 80		$U_{CB} = 5$ V, $-I_E = 0,1$ mA		
		h_{21E}		250		$U_{CB} = 5$ V, $-I_E = 2$ mA		
		U_{CES}		0,2	V	$U_{CB} = 5$ V, $-I_E = 20$ mA		
		U_{BES}		0,9	V	$I_C = 50$ V, $I_B = 2,5$ mA		
		F	4	< 10	dB	$I_C = 50$ V, $I_B = 2,5$ mA		
		C_{EB}		10	pF	$U_{CB} = 5$ V, $-I_E = 0,2$ mA, $R_G = 2$ k Ω , $f = 1$ kHz, $\Delta f = 200$ Hz		
						$U_{EB} = 0,5$ V, $f = 1$ MHz		
						1) Bez přídavného chlazení; oba systémy.		
						2) S ideálním chlazením; oba systémy.		

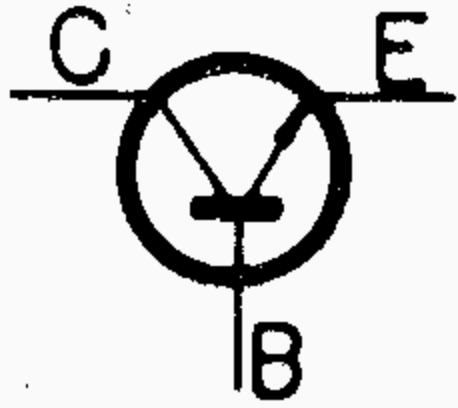
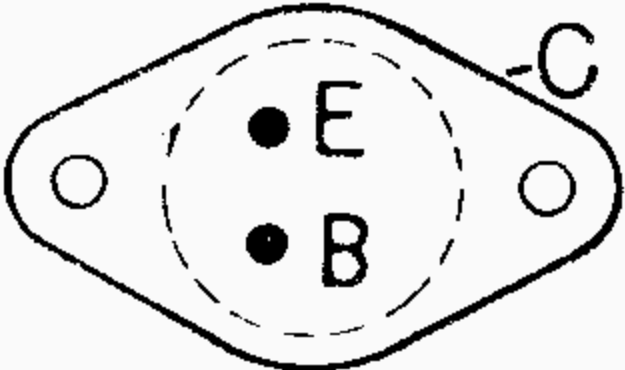
Dvojice křemíkových planárně epitaxních tranzistorů n-p-n pro rozdílové zesilovače.

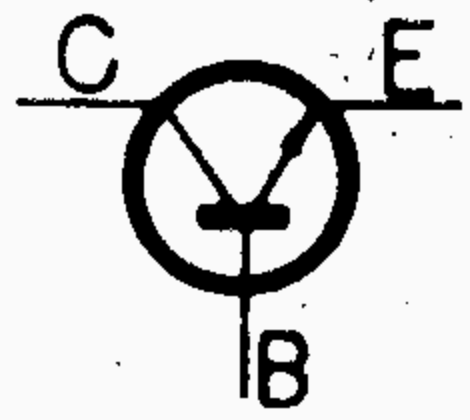
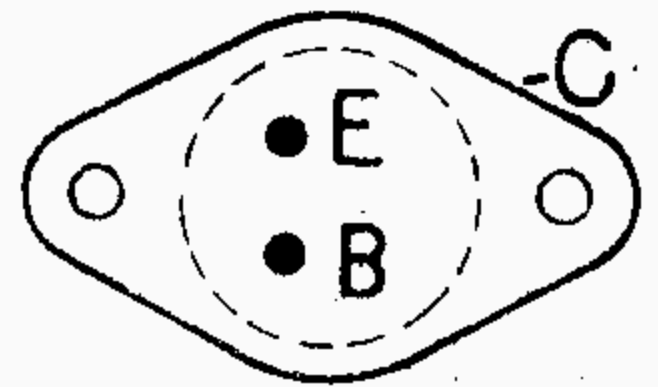
- 1) Bez přídavného chlazení;
oba systémy.
2) S ideálním chlazením; oba systémy.

Typ	Provozní hodnoty				Mezní hodnoty			
KD501 KD502 KD503  	měřeno při							
	U_{CEO}	KD501	>40	V	$I_C = 0,2$ A	U_{CEO}	KD501	40 V
		KD502	>60	V	$I_C = 0,2$ A		KD502	60 V
		KD503	>80	V	$I_C = 0,2$ A		KD503	80 V
	U_{CEsat}		<2	V	$I_C = 20$ A, $I_B = 4$ A	U_{EBO}		5 V
	U_{BEsat}		$<2,5$	V	$I_C = 20$ A, $I_B = 4$ A	I_C		20 A
	h_{21E}		>40		$I_C = 1$ A, $U_{CE} = 2$ V	I_B		7 A
	h_{21E}		>5		$I_C = 20$ A, $U_{CE} = 2$ V	ϑ_j		155 °C
	f_T		2	MHz	$I_C = 1$ A, $U_{CE} = 10$ V, $f = 1$ MHz	$P_{tot}^{1)}$		150 W
	R_{ti}		0,866	°C/W	$U_{CE} = 30$ V	ϑ_s		-55...+155 °C
Platí při teplotě pouzdra $\vartheta_c = 25$ °C				¹⁾ Při $U_{CE} = 30$ V, $P_C = 65$ W a $\vartheta_c = 100$ °C, nesmí dojít k druhému průrazu.				
Křemíkový výkonový tranzistor n-p-n pro nf zesilovače a jiné lineární použití.				Předběžné údaje				

Křemíkový výkonový tranzistor n-p-n pro nf zesilovače a jiné lineární použití.

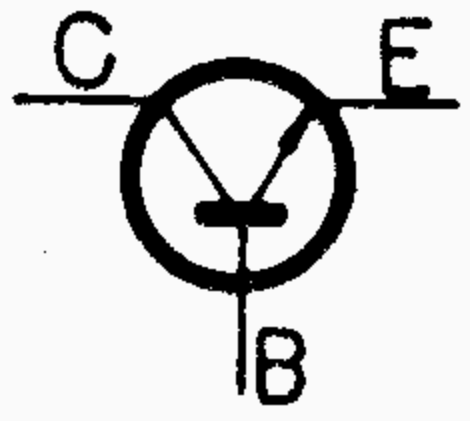
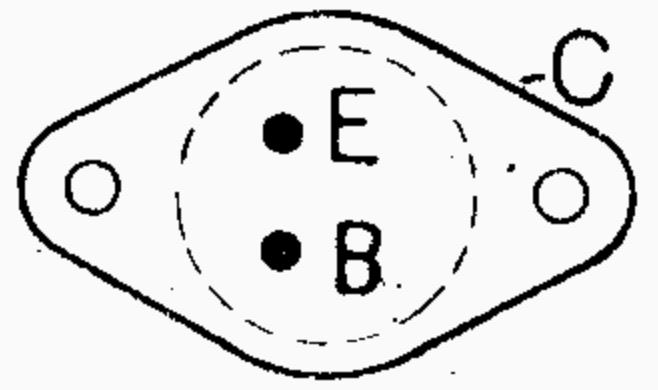
Předběžné údaje

Typ	Provozní hodnoty				Mezní hodnoty		
KD601 2-KD601  	měřeno při				U_{CBO}	40	V
	I_{CEO}	≤ 10	mA	$U_{CEO} = 24$ V	U_{CEO}	24	V
	I_{EBO}	≤ 10	mA	$U_{EBO} = 5$ V	U_{EB}	5	V
	U_{CEsat}	$\leq 1,3$	V	$I_C = 4$ A, $I_B = 0,1$ A	I_C	10	A
	U_{CEsat}	$\leq 2,4$	V	$I_C = 10$ A, $I_B = 1$ A	I_B	1	A
	U_{BEsat}	$\leq 2,4$	V	$I_C = 10$ A, $I_B = 1$ A	I_E	10	A
	$ h_{21e} $	≥ 1		$U_{CB} = 6$ V, $I_E = 0,1$ A,	P_{tot} ($T_C \leq 45$ °C)		
				$f = 10$ MHz		35	W
	Párované tranzistory 2-KD601:				T_j	+200	°C
	Tranzistory odpovídají všem uvedeným hodnotám. Novic poměr hodnot h_{21E} páru musí splňovat podmínku, že v těchto pracovních bodech bude:				T_s	-55...+155	°C
$\frac{h_{21E1}}{h_{21E2}} \leq 1,2$							
$h_{21E1} \geq h_{21E2}$							
$U_{CB} = 2$ V				$U_{CB} = 2$ V			
$I_E = 50$ mA				$I_C = 4$ A			
Křemíkový planární epitaxní výkonový tranzistor n-p-n pro řídicí a regulační obvody.							

Typ	Provozní hodnoty			Mezní hodnoty		
KD602  	měřeno při					
	U_{CEU}	110	V	$I_{CE} = 10 \text{ mA}, -U_{BE} = 0,8 \text{ V}$	U_{CEU}	110 V
U_{CES}	<2	V	$I_C = 8 \text{ A}, I_B = 0,8 \text{ A}$	U_{EBO}	5	V
U_{BES}	<2,4	V	$I_C = 8 \text{ A}, I_B = 0,8 \text{ A}$	I_C	8	A
h_{21E}	15 ... 50		$I_C = 4 \text{ A}, U_{CE} = 2 \text{ V}$	$I_{CM}^{1)}$	40	A
f_T	>0,5	MHz	$I_E = 0,5 \text{ A}, U_{CB} = 10 \text{ V}$	I_B	1	A
				$I_{BM}^{1)}$	20	A
				$P_{tot} (T_C = 25^\circ\text{C})$	35	W
				T_j	155	°C
				R_{thi}	4,5	°C/W
				T_s	-40...+125	°C

Křemíkový výkonový tranzistor n-p-n pro elektro-nické zapalování v moto-cyklech a průmyslové použití.

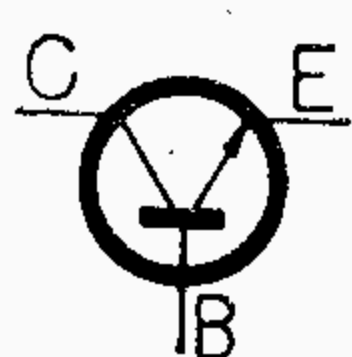
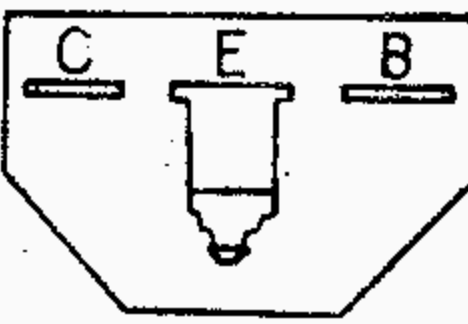
1) Proudová špička při přechodovém jevu, který má povahu tlumených sinusových kmitů. Doba trvání první špičky max. 25 μs , amplituda druhé špičky asi poloviční.

Typ	Provozní hodnoty			Mezní hodnoty		
KD605 KD606 KD607  	měřeno při					
	U_{CEO}	KD605 >40 V KD606 >60 V KD607 >80 V	$I_C = 0,2 \text{ A}$ $I_C = 0,2 \text{ A}$ $I_C = 0,2 \text{ A}$	U_{CEO}	KD605 40 V KD606 60 V KD607 80 V	
U_{CEsat}	<2	V	$I_C = 10 \text{ A}, I_B = 1 \text{ A}$	U_{EBO}	5	V
U_{BESat}	<4	V	$I_C = 10 \text{ A}, I_B = 1 \text{ A}$	I_C	10	A
h_{21E}	30		$I_C = 1 \text{ A}, U_{CE} = 2 \text{ V}$	I_B	2	A
h_{21E}	10		$I_C = 10 \text{ A}, U_{CE} = 2 \text{ V}$	θ_j	155	°C
f_T	2	MHz	$I_C = 1 \text{ A}, U_{CE} = 10 \text{ V}, f = 1 \text{ MHz}$	$P_{tot}^{1)}$	70	W
R_{ti}	1,5	°C/W	$U_{CE} = 30 \text{ V}$	θ_s	-55...+155	°C
Platí při teplotě pouzdra $\theta_c = 25^\circ\text{C}$				1) Při $U_{CE} = 30 \text{ V}, P_C = 70 \text{ W}$ a $\theta_c = 25^\circ\text{C}$, nesmí dojít k druhému průrazu.		

Křemíkový výkonový tranzistor n-p-n pro nf zesilovače a jiné lineární použití.

Předběžné údaje.

Typ		Provozní hodnoty				Mezní hodnoty		
KF124	Pouzdro					měřeno při		
KF125	K401					U_{CBO} 30 V		
		U_{BE1} 0,65 ... 0,74 V			$U_{CB} = 10$ V, $I_E = 1$ mA	U_{CEO} 20 V		
		KF124 KF125				U_{EBO} 5 V		
		I_{CEO} <1 <1 nA			$U_{CE} = 10$ V, $R_{BE} = \infty$	I_C 30 mA		
		I_{B1} 4,5...15 8...28 μ A			$U_{CB} = 10$ V, $I_E = 1$ mA	P_{tot} 220 mW		
		h_{21E} 67...220 37...125			$U_{CB} = 10$ V, $I_E = 1$ mA	T_j 125 °C		
		f_T >200 >170			$U_{CB} = 10$ V, $I_E = 1$ mA, $f = 100$ MHz	T_s -55...+125 °C		
		$ Y_{21e} $ >29 >27 mS			$U_{CB} = 10$ V, $I_E = 1$ mA, $f = 35$ MHz	\dot{R}_{th} 450 °C/W		
		KF124: $U_{CB} = 10$ V, $I_E = 1$ mA, $f = 10,7$ MHz						
		g_{11e} 0,4 mS			g_{21e} 34 mS			
		C_{11e} 14 pF			$-b_{21e}$ 2,5 mS			
		b_{11e} 0,95 mS			g_{22e} 6 μ S			
		$-b_{12e}$ 67 μ S			b_{22e} 125 μ S			
		$-g_{12e}$ 0,95 μ S			C_{22e} 1,8 pF			
		KF125: $U_{CB} = 10$ V, $I_E = 1$ mA, $f = 100$ MHz						
		g_{11e} 3 mS			g_{21e} 28 mS			
		b_{11e} 11 mS			$-b_{21e}$ 16 mS			
		C_{11e} 17 pF			g_{22e} 10 μ S			
		$-g_{12e}$ 35 μ S			b_{22e} 1100 μ S			
		$-b_{12e}$ 580 μ S			C_{22e} 1,75 pF			

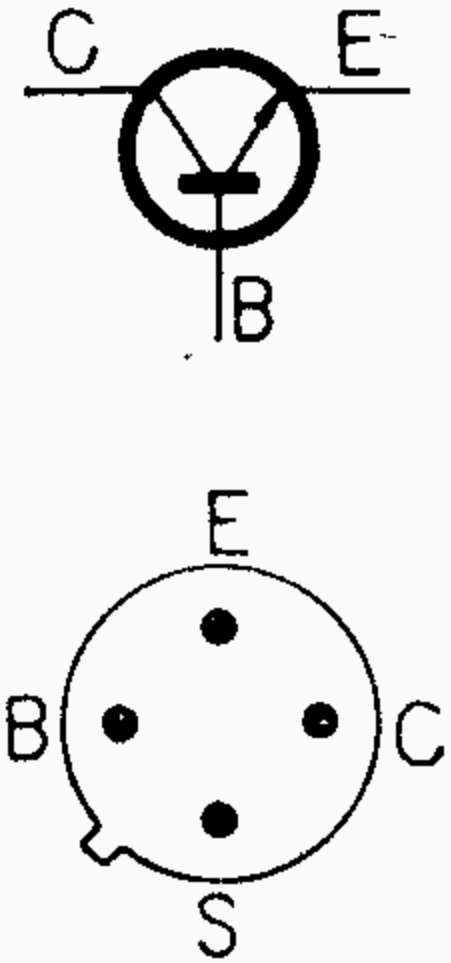



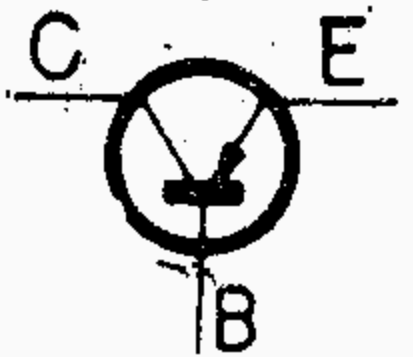
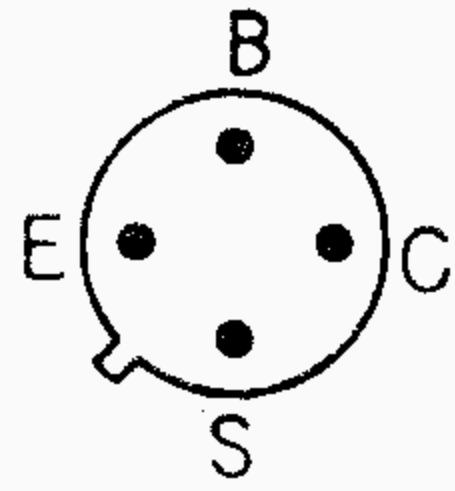
Křemíkové planární epitaxní tranzistory n-p-n pro:

KF124: předzesilovací a směšovací obvody, mf zesilovače pro AM a FM, zvukové mf zesilovače pro TV přijímače

KF125: předzesilovací a směšovací obvody až do vkv

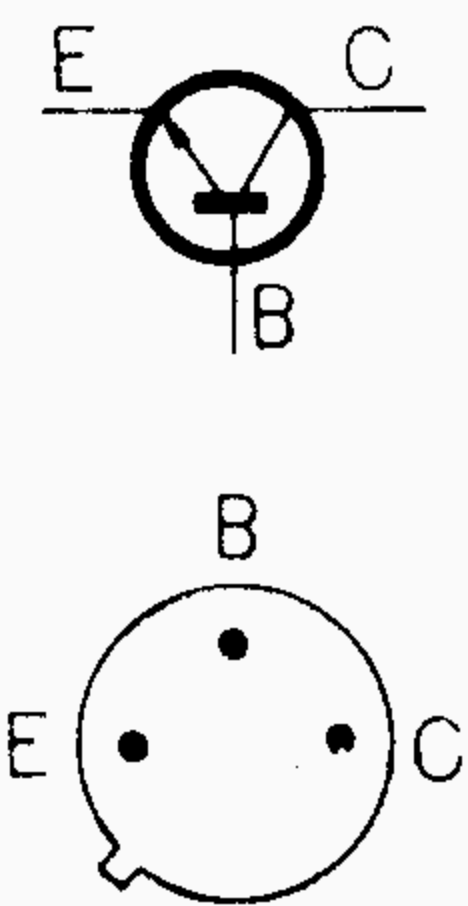
Typ		Provozní hodnoty				Mezní hodnoty			
KF167	Pouzdro K507/P303					měřeno při			
		I_{CBO}	$<0,3$	μA	$U_{CB} = 30$	V	U_{CB}	40	V
		I_{CEO}	$<0,35$	μA	$U_{CE} = 9$	V	U_{CE}	30	V
		I_{EBO}	<100	μA	$U_{EB} = 4$	V	U_{EB}	4	V
		U_{BE}	$<0,84$	V	$U_{CB} = 9$ V, $-I_E = 4$ mA		I_C	25	mA
		I_{B1}	<150	μA	$U_{CB} = 9$ V, $-I_E = 4$ mA		$-I_E$	25	mA
		I_{B2}	$<1,1$	mA	$U_{CB} = 2$ V, $-I_E = 10$ mA		P_{tot} ($T_a \leq 45$ °C)	130	mW
		f_T 350	>250	MHz	$U_{CB} = 9$ V, $-I_E = 4$ mA, $f = 100$ MHz		T_j	175	°C
		$-C_{12e}$	$<0,22$	pF	$U_{CB} = 9$ V, $I_E = 1$ mA, $f = 10,7$ MHz		R_t	1000	°C/W
		$ Y_{21e} $	>70	mS	$U_{CB} = 9$ V, $-I_E = 4$ mA, $f = 35$ MHz		T_s	-65...+175	°C
		ΔG_p	55	dB	$-U_R = 0 \dots 8$				
		G_p	25,5	dB	$U_{CE} = 9,5$ V, $I_C = 4$ mA, $f = 35$ MHz				
		y — parametry: $U_{CB} = 9$ V, $-I_E = 4$ mA, $f = 35$ MHz							
		g_{11e}	3,8	mS	g_{21e}	80	mS		
		C_{11e}	35	pF	$-b_{21e}$	35	mS		
		g_{12e}	3	μS	g_{22e}	30	μS		
		$-C_{12e}$	0,17	pF	C_{22e}	1,6	pF		
Křemíkové planární epitaxní tranzistory n-p-n pro řízené mf zesilovače v TV přijímačích.									

Typ	Provozní hodnoty				Mezní hodnoty	
KF173 Pouzdro K507/P303 	měřeno při				U_{CB}	40 V
	I_{CBO}	<0,3	μA	$U_{CB} = 30$ V	U_{CE}	25 V
	I_{CEO}	<0,35	μA	$U_{CE} = 9$ V	U_{EB}	4 V
	I_{EBO}	<100	μA	$U_{EB} = 4$ V	I_C	25 mA
	U_{BE}	<0,9	V	$U_{CB} = 9$ V, $-I_E = 7$ mA	$-I_E$	25 mA
	I_{B1}	45	<185	μA	$U_{CB} = 9$ V, $-I_E = 7$ mA	P_{tot} ($T_a = 25$ °C)
	I_{B2}	<1,3	mA	$U_{CB} = 2$ V, $-I_E = 20$ mA		200 mW
	f_T	550	>400	MHz	$U_{CB} = 9$ V, $-I_E = 5$ mA, $f = 100$ MHz	T_j
						175 °C
	$-C_{12e}$	0,28	<0,35	pF	$U_{CB} = 9$ V, $-I_E = 1$ mA, $f = 10,7$ MHz	R_t
						750 °C/W
	$ Y_{21e} $	>115	mS	$U_{CB} = 9$ V, $-I_E = 7$ mA, $f = 35$ MHz	T_s	-65...+175 °C
	G_p	25,5	dB	$U_{CE} = 16,6$ V, $I_C = 7,2$ mA, $f = 36,4$ MHz		
	U_L	5	V	$U_{CE} = 16,6$ V, $I_C = 7,2$ mA, $f = 38,9$ MHz		
	Y — parametry: $U_{CB} = 9$ V, $-I_E = 7$ mA, $f = 35$ MHz					
g_{11e}	4,2	mS	g_{21e}	130	mS	
C_{11e}	35	pF	$-b_{21e}$	55	mS	
g_{12e}	5	μS	g_{22e}	55	μS	
$-C_{12e}$	0,3	pF	C_{22e}	2,1	pF	
Křemíkové planární epi- taxní tranzistory n-p-n pro neřízené mf zesilovače v TV přijímačích.						

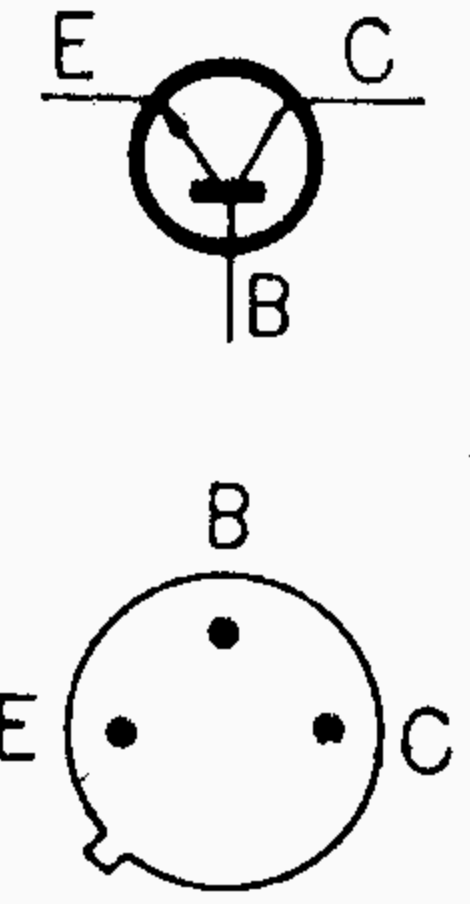
Typ	Provozní hodnoty			Mezní hodnoty		
KF272 Pouzdro K507/P303  	$-I_{CBO}$	0,1	<50 nA	měřeno při	$-U_{CBO}$	40 V
	$-U_{BE}$	0,75	<0,8 V	$-U_{CB} = 10 \text{ V}$	$-U_{CEO}$	35 V
	$-I_B$	50	<100 μA	$-U_{CB} = 10 \text{ V}, I_E = 3 \text{ mA}$	$-U_{EBO}$	4 V
	h_{21E}	60	>30	$-U_{CB} = 10 \text{ V}, I_E = 3 \text{ mA}$	$-I_C$	20 mA
	f_T	900	>700 MHz	$-U_{CB} = 10 \text{ V}, I_E = 3 \text{ mA}$	P_{tot}	150 mW
				$f = 100 \text{ MHz}$	T_j	+175 °C
	$-C_{12e}$	0,35	<0,42 pF	$-U_{CB} = 10 \text{ V}, I_E = 3 \text{ mA},$	T_s	-55...+175 °C
				$f = 10,7 \text{ MHz}$		
	G_{pb}	>14	dB	$-U_{CB} = 10 \text{ V}, I_E = 3 \text{ mA},$		
				$f = 500 \text{ MHz}$		
	G_{pb}	>11	dB	$-U_{CB} = 10 \text{ V}, I_E = 3 \text{ mA},$		
				$f = 800 \text{ MHz}$		
	F	<7	dB	$-U_{CB} = 10 \text{ V}, I_E = 3 \text{ mA},$		
				$R_g = 75 \Omega, f = 500 \text{ MHz}$		
	F	<8	dB	$-U_{CB} = 10 \text{ V}, I_E = 3 \text{ mA},$		
				$R_g = 75 \Omega, f = 800 \text{ MHz}$		

Křemíkový planární epi-
taxní tranzistor p-n-p pro
vf obvody v pásmu UKV.

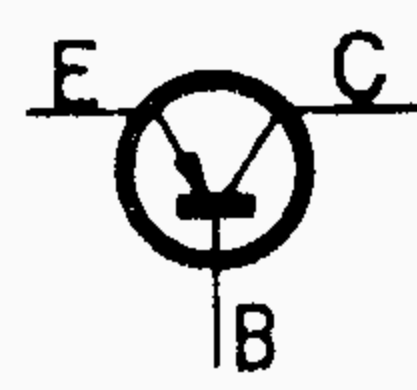
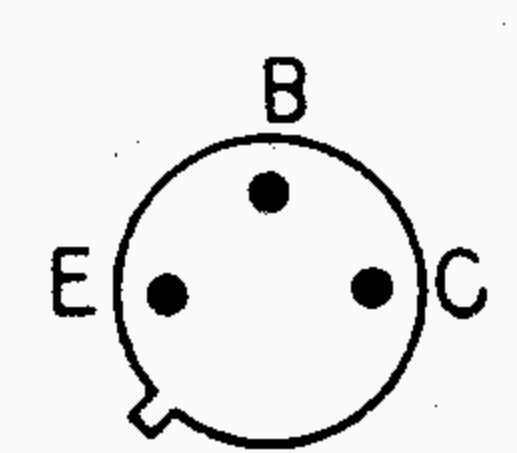
Jen pro informaci!
Nadále se nevyrábí.

Typ	Provozní hodnoty	Mezní hodnoty
KF503 KF504 	Rozměry K 505 měřeno při KF503 KF504 I_{CBO} <500 — nA $U_{CB} = 50$ V I_{CBO} — <100 nA $U_{CB} = 140$ V U_{CER} >100 >160 V $I_C = 1$ mA, $R_{BE} = 1$ k Ω U_{CEO} >60 >100 V $I_C = 5$ mA, $R_{BE} = \infty$ U_{EBO} >5 >5 V $-I_{EB} = 100$ μ A I_B <0,5 <0,33 mA $U_{CB} = 10$ V, $-I_E = 10$ mA h_{21E} 100 100 $U_{CB} = 10$ V, $-I_E = 30$ mA h_{21E} 90 >20 90 >30 $U_{CB} = 10$ V, $-I_E = 10$ mA $ h_{21e} $ >3 $U_{CB} = 10$ V, $-I_E = 10$ mA, U_{CES} 0,15 <0,7 V $f = 30$ MHz U_{BE} 0,7 <1 V $I_C = 10$ mA, $I_B = 1$ mA $R_e (h_{11e})$ 20 Ω $U_{CB} = 10$ V, $-I_E = 10$ mA $r_{bb'} \cdot C_{b'c}$ 30 <150 ps $U_{CB} = 10$ V, $-I_E = 10$ mA, C_{22b} 2,4 <3,5 pF $f = 100$ MHz f_T 150 >90 MHz $U_{CB} = 10$ V, $-I_E = 10$ mA, $f = 2$ MHz $f = 100$ MHz	KF503 KF504 $U_{CEK} (R_{BE} = 0 \Omega)$ 100 160 V $U_{CER} (R_{BE} \leq 1 \text{ k}\Omega)$ 100 160 V $U_{CE} (R_{BE} = \infty)$ 60 100 V U_{EB} 5 V I_C 50 mA $-I_E$ 60 mA I_B 10 mA P_{tot} 700 mW $P_{tot}^1)$ 2,5 W T_j 175 $^{\circ}$ C R_t 220 $^{\circ}$ C/W R_{t1} 60 $^{\circ}$ C/W T_a -60...+155 $^{\circ}$ C 1) S ideálním chlazením

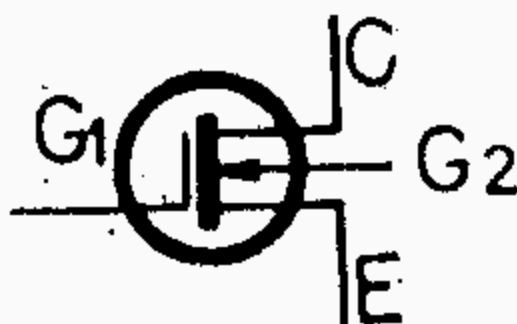
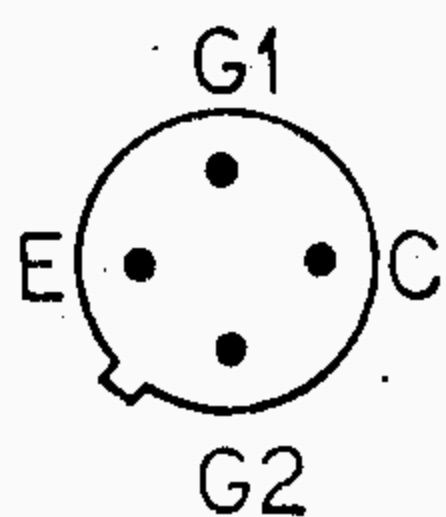
Křemíkové planární epitaxní tranzistory n-p-n pro VF zesilovače a koncové stupně obrazových zesilovačů.

Typ	Provozní hodnoty	Mezní hodnoty
KF506 Pouzdro KF507 K 505 KF508 	KF506 KF507 KF508 I_{CBO} <10 — <10 nA $U_{CB} = 60$ V I_{CBO} — <500 — nA $U_{CB} = 30$ V I_{CEO} <1 <1 <1 μ A $U_{CE} = 10$ V, $R_{BE} = \infty$ U_{CBO} >75 >40 >75 V $I_C = 0,1$ mA U_{EBO} >7 >5 >7 V $I_E = 0,1$ mA U_{CES} <1,5 <1,5 <1,5 V $I_C = 150$ mA, $I_B = 15$ mA U_{BES} 0,95 <1,3 V $I_C = 150$ mA, $I_B = 15$ mA I_B <1 — — μ A $U_{CB} = 10$ V, $-I_E = 5$ μ A I_B 80-290 <290 33-110 μ A $U_{CB} = 10$ V, $-I_E = 10$ mA I_B <3,75 <3,75 <1,5 mA $U_{CB} = 10$ V, $-I_E = 150$ mA h_{21E} 35-125 >35 90-300 $U_{CB} = 10$ V, $-I_E = 10$ mA h_{21E} 85 >40 100 >40 150 >100 $U_{CB} = 10$ V, $-I_E = 150$ mA h_{21E} 55 >20 >20 75 >40 $U_{CB} = 10$ V, $-I_E = 500$ mA $r_{bb'}$ 35 35 35 Ω $U_{CB} = 10$ V, $-I_E = 10$ mA, $f = 2$ MHz F 4 <10 6 3,5 <8 dB $U_{CB} = 10$ V, $-I_E = 0,3$ mA, $f = 1$ kHz, $\Delta f = 200$ Hz, $R_g = 500 \Omega$ C_{22b} 18 <25 pF $U_{CB} = 10$ V, $-I_E = 0$ mA, $f = 2$ MHz f_T 100 >60 100 >50 120 >70 MHz $U_{CB} = 10$ V, $-I_E = 50$ mA, $f = 30$ MHz	KF506, KF508 U_{CB} 75 V U_{EB} 7 V $U_{CER} (R_{BE} < 500 \Omega)$ KF506 50 V KF508 60 V KF507 U_{CB} 40 V $U_{CER} (R_{BE} < 500 \Omega)$ 32 V U_{EB} 5 V I_C 500 mA $-I_E$ 500 mA I_B 50 mA P_{tot} 0,8 W $P_{tot}^1)$ 2,6 W T_j 200 $^{\circ}$ C R_{t1} 60 $^{\circ}$ C/W R_t 220 $^{\circ}$ C/W T_a -65...+200 $^{\circ}$ C 1) S ideálním chlazením

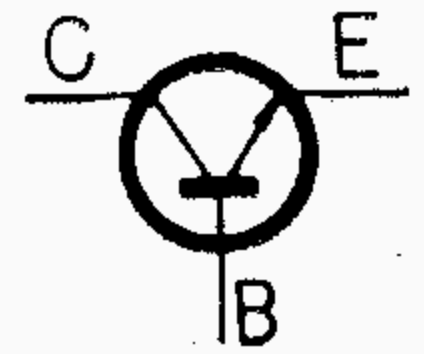
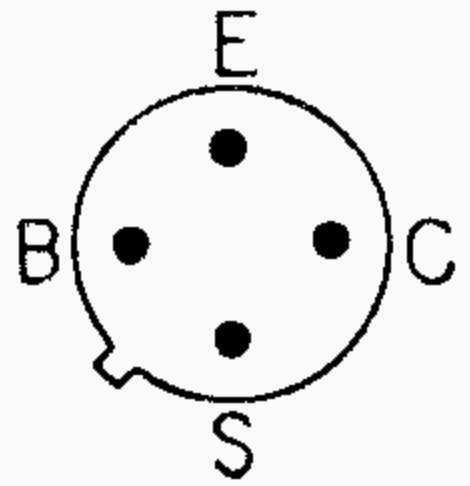
Křemíkové planární tranzistory n-p-n pro VF zesilovače

Typ	Provozní hodnoty				Mezní hodnoty	
KF517 KF517A KF517B	Pouzdro K 505	měřeno při				
 	$-U_{CEO}$	>30	V	$-I_{CEO} = 10 \text{ mA}, R_{BE} = \infty$	$-U_{CBO}$	40 V
	$-I_{CBO}$	2 <500	nA	$-U_{CB} = 30 \text{ V}$	$-U_{CEO} (R_{BE} = \infty)$	30 V
	$-U_{CBO}$	>40	V	$-I_{CBO} = 100 \mu\text{A}$	$-U_{EBO}$	5 V
	$-U_{EBO}$	>5	V	$-U_{EBO} = 100 \mu\text{A}$	$-I_C$	600 mA
	$-U_{CES}$	0,6 <1	V	$-I_C = 150 \text{ mA}, -I_B = 15 \text{ mA}$	I_E	600 mA
	$-U_{BES}$	0,95 $<1,3$	V	$-I_C = 150 \text{ mA}, -I_B = 15 \text{ mA}$	$-I_B$	100 mA
	$-I_{B3}$	<290	μA	$-U_{CB} = 10 \text{ V}, I_E = 10 \text{ mA}$	$P_C^{1)}$	0,8 W
	h_{21E}	>35	KF517		$P_C^{2)}$	2,6 W
	h_{21E}	35 ... 120	KF517/		T_j	+200 °C
	h_{21E}	90 ... 300	KF517/	$-U_{CB} = 10 \text{ V}, I_E = 150 \text{ mA}$	T_a	-65...+200 °C
	$-I_{B4}$	$<3,75$	mA		R_{t1}	60 °C/W
	h_{21E}	>40			R_1	220 °C/W
	h_{21E}	>15		$-U_{CB} = 10 \text{ V}, I_E = 500 \text{ mA}$	1) Bez přídavného chlazení. 2) S ideálním chlazením.	
	I_{B5}	<33	mA			
f_T	90 >50	MHz	$-U_{CB} = 10 \text{ V}, I_E = 50 \text{ mA}, f = 30 \text{ MHz}$			
C_{22b}	19 <30	pF	$-U_{CB} = 10 \text{ V}, I_E = 0 \text{ mA}, f = 2 \text{ MHz}$			
C_{EBO}	55 <80	pF	$-U_{EB} = 0,5 \text{ V}, I_C = 0 \text{ mA}, f = 2 \text{ MHz}$			
F	5	dB	$-U_{CB} = 10 \text{ V}, I_E = 0,3 \text{ mA}, f = 1 \text{ kHz}, \Delta f = 200 \text{ Hz}, R_g = 500 \Omega$			
Křemíkové planární epitaxní tranzistory p-n-p pro vf zesilovače. Komplementární k KF507						

Typ	Provozní hodnoty					Mezní hodnoty	
KF520	měřeno při						
	I_{CEO}	0,01	μA	$U_{CE} = 20 \text{ V}$	$U_{GE} = -30 \text{ V}$	U_{CE}	30 V
	U_{CEO}	>30	V	$I_C = 1 \mu A$	$U_{GE} = -30 \text{ V}$	U_{GE} ($U_{CE} = 15 \text{ V}$)	$\pm 70 \text{ V}$
	I_C	1 ... 3	mA	$U_{CE} = 10 \text{ V}$	$U_{GE} = 0 \text{ V}$	I_C	30 mA
	S	>300	μS	$U_{CE} = 15 \text{ V}$	$I_C = 5 \text{ mA}$	P_{tot}	300 mW
	R_{vst}	>10 ¹³	Ω			T_j	175 °C
	C_{vst}	8	pF			T_a	-65...+155 °C
	γ - parametry: $U_{CE} = 15 \text{ V}$, $I_C = 5 \text{ mA}$						
	f			10	30	50	MHz
	Y_{11e}	r_{11}	>200	30	14		k Ω
	c_{11}	7	7	7		pF	
Y_{22e}	r_{22}	52	14	6		k Ω	
	c_{22}	7	7	7		pF	
Y_{12e}	r_{12}	3000	1000	500		k Ω	
	c_{12}	1,9	1,9	1,9		pF	
Šumové napětí: $I_C = 3 \text{ mA}$, $U_{CE} = 10 \text{ V}$							
$\sqrt{e_s^2} = 2,4 \mu V/Hz^{1/2}$ $f_o = 1 \text{ kHz} \quad 0,25 \mu V/Hz^{1/2}$ $f_o = 10 \text{ kHz} \quad 0,09 \mu V/Hz^{1/2}$							
Teplotní součinitel:							
$\frac{\Delta I_C}{I_C} \cdot 100 \quad \left. \begin{array}{l} -0,15 \% / ^\circ C \\ 0 \% / ^\circ C \\ +0,15 \% / ^\circ C \end{array} \right\} \begin{array}{l} (I_C = 3 \text{ mA}) \\ (I_C = 1,5 \text{ mA}) \\ (I_C = 0,5 \text{ mA}) \end{array}$							
Křemíkový MOS tranzistor řízený polem s kanálem N pro nf zesilovače s vysokým vstupním odporem.							
Doporučená ochrana řídicí elektrody proti průrazu v případě, kdy je nutno zachovat vysoký vstupní odpor tranzistoru: doutnavka FN2 (výrobce: TESLA Holešovice, Praha 7).							

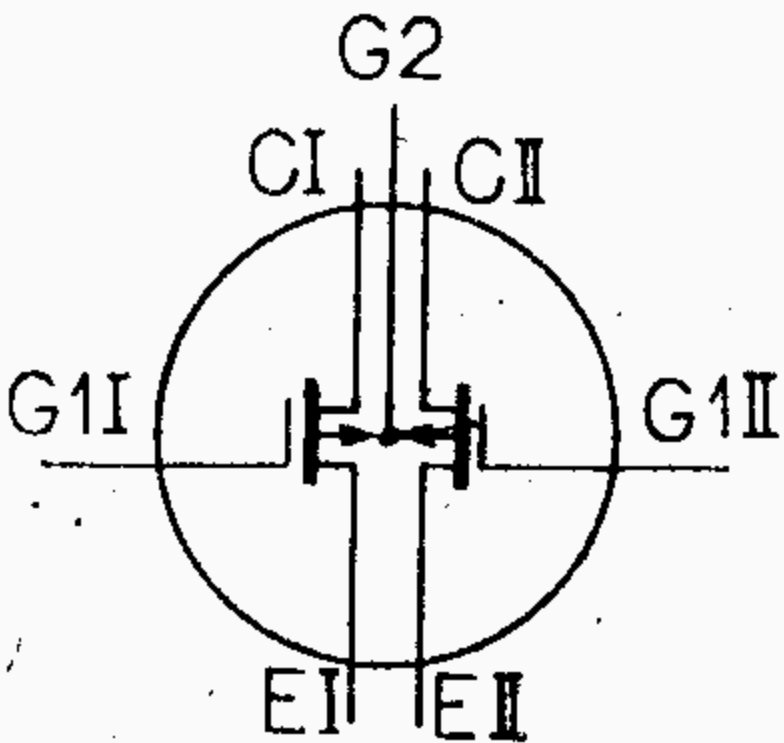
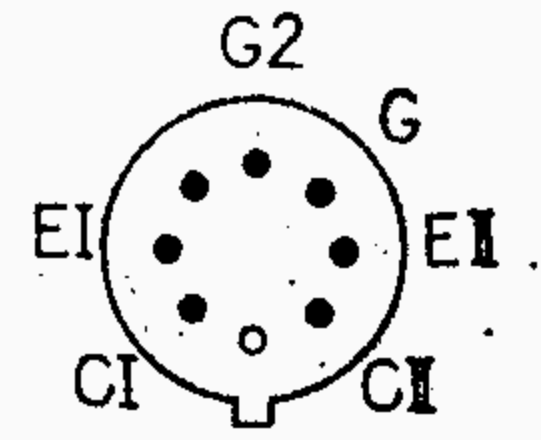
Typ	Provozní hodnoty	Mezní hodnoty
KF521 Pouzdro K 507  	měřeno při U_{CE} 30 >20 V $I_C = 10 \mu A, U_{G1E} = -6 V$ $-I_{G1E}$ <4 pA $U_{G1E} = -20 V, U_{CE} = 0$ $-U_{G1ET}$ 3 <5 V $I_{CE} = 10 \mu A, U_{CE} = 6 V$ I_{CE} 4...10 mA $U_{CE} = 6 V, U_{G1E} = 0$ Y_{21e} 3,5 >2,5 mA/V $U_{CE} = 6 V, I_{CE} = 5 mA, f = 1 kHz$ C_{11e} 3 pF $U_{CE} = 6 V, U_{G1E} = 0, f = 1 MHz$ $r_{CE(ON)}$ 230 <300 Ω $U_{CE} = 0,1 V, U_{G1E} = 0$ $r_{CE(OFF)}$ 1000 >100 M Ω $U_{CE} = 0,1 V, U_{G1E} = -6 V$ Y — parametry: $U_{CE} = 6 V, U_{G1E} = 0 V$ f = 10 100 MHz $1/g_{11e}$ >200 100 k Ω C_{11e} 2,8 2,8 pF $1/g_{12e}$ >200 100 k Ω C_{12e} 0,6 0,6 pF $1/g_{22e}$ 10 6 k Ω C_{22e} 2,5 2,5 pF	U_{G1EM} ± 20 V U_{CEM} ($U_{G1E} = -6 V$) 20 V I_{CEM} 10 mA P_{tot} 100 mW T_j 150 $^{\circ}C$ T_s -55...+150 $^{\circ}C$

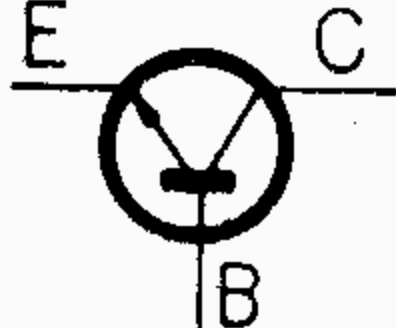
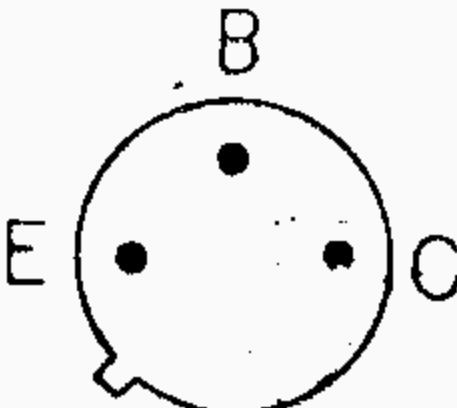
Křemíkový MOS tranzistor řízený polem s kanálem N pro nf zesilovače s vysokým vstupním odporem.

Typ	Provozní hodnoty	Mezní hodnoty
KF524 KF525 Pouzdro K507/P303  	měřeno při I_{CEO} <1 nA $U_{CE} = 10 V, R_{BE} = \infty$ U_{BE1} 0,65...0,74 V $U_{CB} = 10 V, -I_E = 1 mA$ KF524 KF525 f_T >200 >210 $U_{CB} = 10 V, -I_E = 1 mA, f = 100 MHz$ I_{B1} 4,5...15 8...28 μA $U_{CB} = 10 V, -I_E = 1 mA$ h_{21E} 67...220 37...125 $U_{CB} = 10 V, -I_E = 1 mA,$ $ Y_{21e} $ >28 >26 ¹⁾ mS $U_{CB} = 10 V, -I_E = 1 mA, f = 35 MHz$ F — 4 dB $U_{CB} = 10 V, -I_E = 1 mA, f = 100 MHz, R_G = 100 \Omega$ KF524: $U_{CB} = 10 V, -I_E = 1 mA, f = 10,7 MHz$ g_{11e} 0,3 mS g_{21e} 35 mS b_{11e} 0,8 mS $-b_{21e}$ 2,5 mS c_{11e} 12 pF g_{22e} 6 μS $-g_{12e}$ 0,1 μS b_{22e} 110 μS $-b_{12e}$ 37 μS C_{22e} 1,6 pF KF525: $U_{CB} = 10 V, -I_E = 1 mA, f = 100 MHz$ g_{11e} 3,4 mS g_{21e} 28 mS b_{11e} 9 mS $-b_{21e}$ 14 mS c_{11e} 15 pF g_{22e} 8 μS $-g_{12e}$ 18 μS b_{22e} 1000 μS $-b_{12e}$ 380 μS C_{22e} 1,7 pF	U_{CBO} 30 V U_{CEO} 20 V U_{EBO} 5 V I_C 30 mA I_B 1 mA P_{tot} ($T_a \leq 45 ^{\circ}C$) 145 mW T_j 175 $^{\circ}C$ T_s -65...+175 $^{\circ}C$ R_t <900 $^{\circ}C/W$

Křemíkové planární epitaxní tranzistory n-p-n pro:
KF524: předzesilovací a směšovací obvody, mf zesilovače pro AM a FM, zvukové mf zesilovače pro TV přijímače.
KF525: předzesilovací a směšovací obvody až do vkv

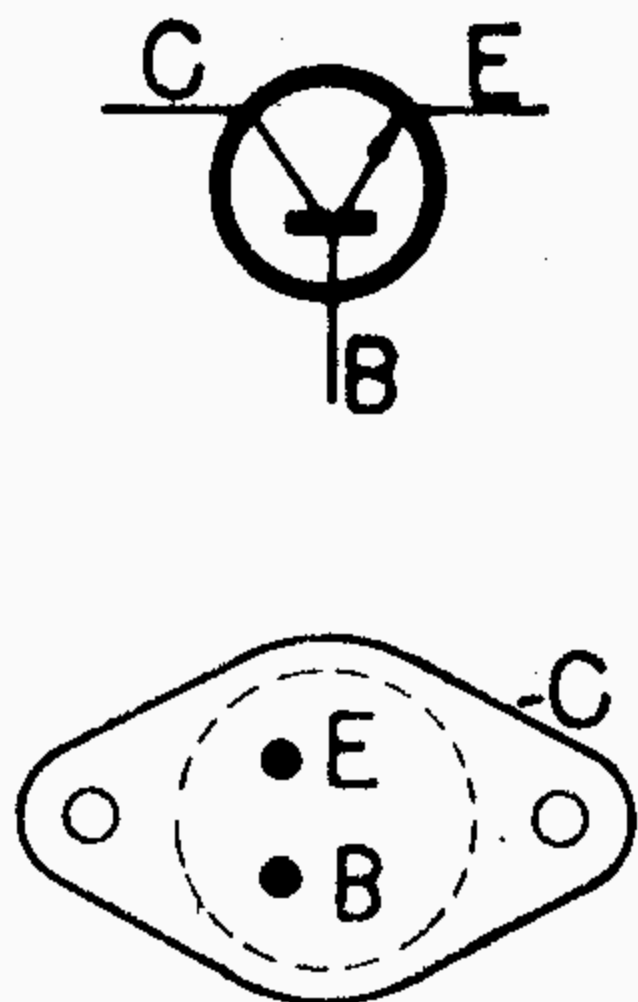
¹⁾ f = 100 MHz

Typ	Provozní hodnoty			Mezní hodnoty		
KF552 Pouzdro K505/P401  	měřeno při			Každého systému		
	I_{GES}	<3	nA	$U_{GE} = -30$ V, $U_{CE} = 0$ V	$-U_{CEM}$	10
$-U_{GET}$	$2 \dots 6$	V	$-U_{GE} = -U_{CE}$; $I_{CE} = 10$ μ A	$-U_{ECM}$	10	V
ΔU_{GET}	$<0,5$	V	$-U_{GE} = -U_{CE}$; $I_{CE} = 10$ μ A	$-U_{GEM}$	30	V
I_{KS}	<100	nA	$U_{KS} = -10$ V	$-U_{GCM}$	30	V
$r_{CE(ON)}$	<1	k Ω	$U_{GE} = -7$ V, $f = 10$ kHz	$-I_{CEM}$	15	mA
$r_{CE(OFF)}$	>100	M Ω	$U_{GE} = -2$ V, $f = 10$ kHz	P_{tot}	100	mW
				T_s	$-55 \dots +125$	$^{\circ}\text{C}$
Dvojice MOS polem řízených tranzistorů s kanálem P pro zesilovače, zdroje impulsů a střídače.						

Typ	Provozní hodnoty				Mezní hodnoty		
KS500 Pouzdro K507  	měřeno při				U_{CBO}	25	V
	I_{CBO}	<0,5	μA	$U_{CB} = 15$ V	U_{CEO}	14	V
U_{CBO}	>25	V	$I_{CB} = 1$ μA	U_{EBO}	5	V	
U_{CEO}	>14	V	$I_{CE} = 10$ mA	I_C	200	mA	
U_{EBO}	>5	V	$I_{EB} = 10$ μA	$-I_E$	200	mA	
U_{CES}	0,15 <0,6	V	$I_C = 10$ mA, $I_B = 1$ mA	I_B	20	mA	
U_{BES}	0,75 <0,9	V	$I_C = 10$ mA, $I_B = 1$ mA	T_j	200	°C	
f_T	>200	MHz	$U_{CE} = 10$ V, $I_C = 10$ mA, $f = 100$ MHz	T_s	-65...+200	°C	
C_{22b}	4 <5	pF	$U_{CB} = 5$ V, $f = 1$ MHz	P_{tot} ($T_a \leq 45$ °C)	1) 300	mW	
h_{21E}	>20		$U_{CE} = 1$ V, $I_C = 10$ mA	2) 1	W		
1) Bez přídavného chlazení. 2) S ideálním chlazením.							
Křemíkové p'anární epitaxní tranzistory n-p-n pro spínací účely.							

- 1) Bez přídavného chlazení.
2) S ideálním chlazením.

Typ	Provozní hodnoty		Mezní hodnoty
KU601, KU611 KU602, KU612	KU601 KU602 KU611 KU612		U_{CBO} 60 120 V U_{CBM} 60 120 V U_{CEO} 50 80 V U_{EBO} 3 V U_{EBM} 3 V I_C 3 A i_{CM} 3 A $-I_E$ 3,5 A $-i_{EM}$ 3,5 A I_B 0,5 A i_{BM} 0,5 A T_j +155 °C P_c ($T_a < 105$ °C) P_c 2) 10 W P_c 1) 2,75 W R_t 40 °C/W R_{t1} <5 °C/W T_a -55...+155 °C
	$U_{CBO} > 60 > 120$ V $U_{CER} > 60 > 120$ V I_{CBO} 5 2,5 µA I_{CBO} <30 µA $U_{CESat} < 1,4$ V $I_B < 50$ mA h_{21e} 75 >20 h_{21E} 80 >20 U_{BE} 0,65 <1 V U_{BE} 0,75 <1,5 V U_{EB} >3 V $ h_{21e} > 1,5$ $r_{bb'}$ 5 <17 Ω C_{22b} 70 <250 pF		měřeno při $I_C = 300$ µA $I_C = 300$ µA, $R_{BE} = 30$ Ω $U_{CB} = 60$ V, $T_a = 100$ °C $U_{CB} = 30$ V $I_C = 1$ A, $I_B = 0,2$ A $U_{CB} = 6$ V, $-I_E = 1$ A $U_{CB} = 6$ V, $-I_E = 0,2$ A $U_{CB} = 6$ V, $-I_E = 1$ A $U_{CB} = 6$ V, $-I_E = 0,2$ A $U_{CB} = 6$ V, $-I_E = 1$ A $+I_E = 1$ mA $U_{CB} = 12$ V, $-I_E = 0,5$ A $f = 10$ MHz $U_{CB} = 12$ V, $-I_E = 0,5$ A $f = 0,3$ MHz $U_{CB} = 12$ V, $-I_E = 0,5$ A $f = 0,3$ MHz

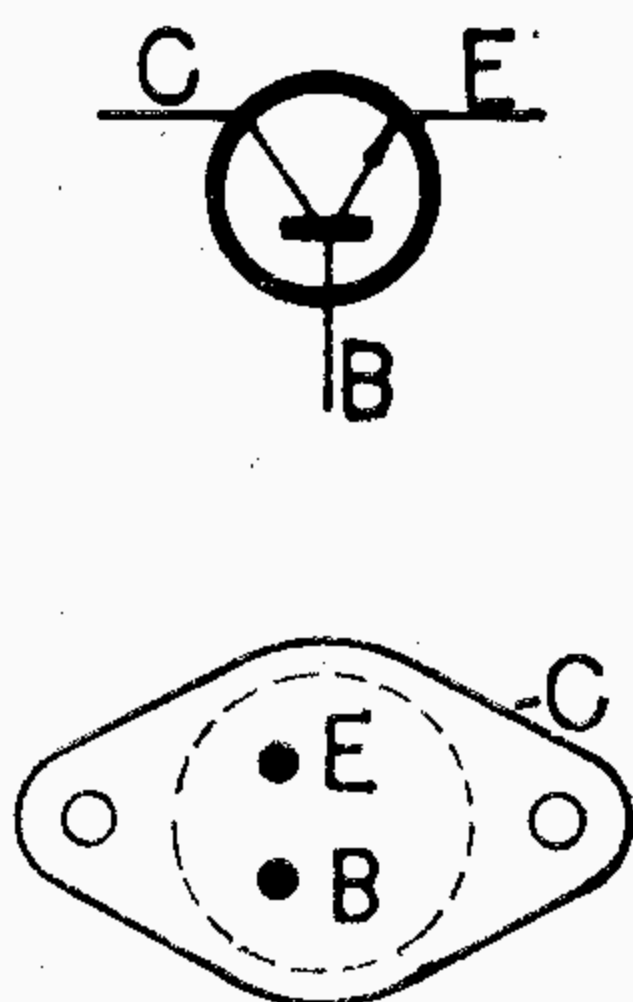


Křemíkové mesa n-p-n tranzistory pro spínací účely s proudem do 3 A

Pouzdro:
KU601, KU602 K601/P601
KU611, KU612 K602/P602

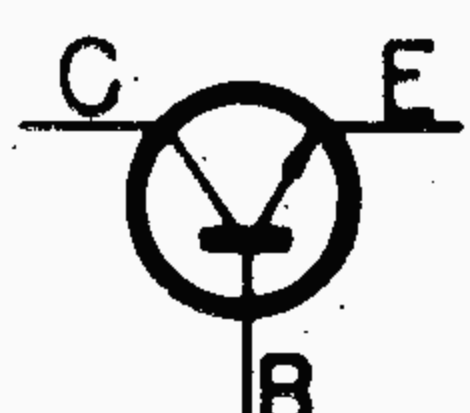
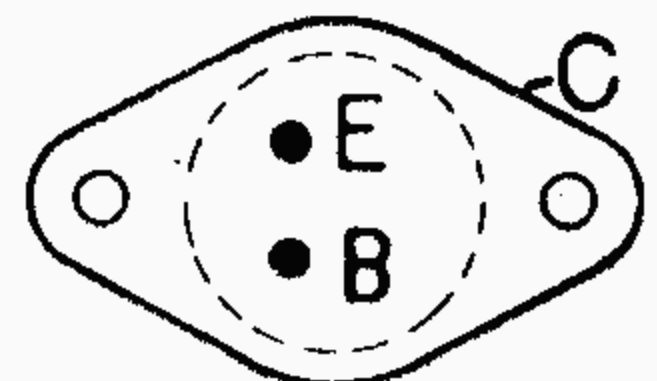
1) Bez přídavného chlazení.
2) S ideálním chlazením.

Typ	Provozní hodnoty		Mezní hodnoty
KU605 KU606	KU605 KU606		U_{CB} 200 120 V U_{CBM} 200 120 V U_{CE} 1) 200 120 V U_{CEM} 2) 80 60 V U_{EB} 6 6 V U_{EBM} 6 6 V I_C 10 8 A i_{CM} 10 8 A $-I_E$ 12 10 A $-i_{EM}$ 12 10 A I_B 2 1,5 A i_{BM} 2 1,5 A P_c ($T_a \leq 80$ °C) 3) P_c 50 W P_c ($T_a \leq 50$ °C) 4) P_c 2,5 W T_j +155 °C R_{t1} <1,5 °C/W R_t 30 °C/W T_a -55...+155 °C
	$U_{CB} > 200 > 120$ V $U_{EB} > 5$ V $I_{CBO} < 1$ mA $I_{CBO} 0,5$ mA $U_{CES} > 200 > 120$ V $I_B < 800$ - mA $I_B - < 1100$ mA $U_{CESat} < 1,7$ - V $U_{CESat} - < 2,45$ mA $U_{BESat} < 2,4$ V $ h_{21e} > 5$ $r_{bb'}$ 2 Ω C_{22b} <750 pF f_T 12 MHz t_r 0,2 <1 µs t_s 0,6 <1 µs t_j 0,3 <0,5 µs		měřeno při $I_C = 15$ mA $-I_E = 20$ mA $U_{CB} = 50$ V $U_{CB} = 80$ V, $T_a = 100$ °C $I_{CE} = 10$ mA, $R_{BE} = 0$ $U_{CE} = 1,7$ V, $I_C = 8$ A $U_{CB} = 0$ V, $-I_E = 7$ A $I_C = 8$ A, $I_B = 0,8$ A $I_C = 7$ A, $I_B = 0,7$ A $I_C = 7$ A, $I_B = 0,7$ A $U_{CB} = 10$ V, $-I_E = 500$ mA, $f = 1$ MHz $U_{CB} = 10$ V, $-I_E = 500$ mA, $f = 0,3$ MHz $U_{CB} = 10$ V, $-I_E = 0,1$ mA, $f = 0,3$ MHz $U_{CB} = 10$ V, $-I_E = 500$ mA, $f = 1$ MHz



Křemíkový mesa n-p-n tranzistor pro spínací účely s proudem do 10 a 8 A

1) $I_C = 10$ mA, $R_{BE} = 0$ Ω
2) $I_C = 1$ A
3) S ideálním chlazením
4) Bez chlazení

Typ	Provozní hodnoty				Mezní hodnoty		
KU607							
	měřeno při						
	I_{CBO}	0,17	≤ 1	mA	$U_{CB} = 150$ V	U_{CB}	210 V
	I_{CBO}	0,68	≤ 10	mA	$U_{CB} = 210$ V, $T_c = 100$ °C	U_{CBM}	210 V
	I_{CES}		≤ 10	mA	$U_{CE} = 210$ V, $R_{BE} = 0$ ($U_{BE} = 0$)	$U_{CES}^{1)}$	210 V
	I_{EBO}	0,95	≤ 10	mA	$U_{EB} = 5$ V	$U_{CESM}^{1)}$	210 V
	I_B	10	≤ 50	mA	$U_{CE} = 1,7$ V, $I_C = 0,5$ A	$U_{CEO}^{2)})$	80 V
	I_B	16,5	≤ 167	mA	$U_{CE} = 1,7$ V, $I_C = 2$ A	$U_{CEOM}^{2)})$	80 V
	I_B	250	≤ 800	mA	$U_{CE} = 1,7$ V, $I_C = 8$ A	U_{EB}	5 V
	U_{BE}	0,7	≤ 1	V	$U_{CE} = 1,7$ V, $I_C = 0,5$ A	I_C	10 A
	U_{BE}	0,8	$\leq 1,2$	V	$U_{CE} = 1,7$ V, $I_C = 2$ A	I_{CM}	10 A
	U_{BE}	1,1	$\leq 2,4$	V	$U_{CE} = 1,7$ V, $I_C = 8$ A	$-I_E$	12 A
	U_{CES}	0,15	$\leq 0,35$	V	$I_C = 0,5$ A, $I_B = 50$ mA	$-I_{EM}$	12 A
	U_{CES}	0,25	$\leq 0,6$	V	$I_C = 2$ A, $I_B = 0,2$ A	I_B	2 A
	U_{CES}	1,15	$\leq 1,7$	V	$I_C = 8$ A, $I_B = 0,8$ A	I_{BM}	2 A
	h_{21E}	50	> 10		$U_{CE} = 1,7$ V, $I_C = 0,5$ A	T_j	155 °C
	h_{21E}	64,5	> 12		$U_{CE} = 1,7$ V, $I_C = 2$ A	$P_{tot}^{3)}$	70 W
	h_{21E}	32	> 10		$U_{CE} = 1,7$ V, $I_C = 8$ A	T_a	-55...+125 °C
	$ h_{21e} $		≥ 3		$U_{CB} = 10$ V, $I_E = 0,5$ A, $f = 0,3$ MHz	R_t	30 °C/W
	f_T	18	> 15	MHz	$U_{CB} = 10$ V, $I_E = 0,5$ A, $f = 0,3$ MHz	R_{ti}	1,5 °C/W
	z_{12b}	4	Ω		$U_{CB} = 10$ V, $I_E = 0,1$ A, $f = 0,3$ MHz	¹⁾ $R_{BE} = 0$, $I_C = 10$ mA ²⁾ $I_C = 1$ A ³⁾ $T_a < 35$ °C, $U_{CE} = 0 - 30$ V	
	C_{22b}	500	< 750	pF	$U_{CB} = 10$ V, $I_E = 0,1$ A, $f = 0,3$ MHz		
	t_r	0,2	≤ 1	μs	$I_C = 10$ A, $\pm I_B = 1$ A, $U_{CE} = 40$ V		
	t_s	0,6	≤ 1	μs			
	t_f	0,3	$\leq 0,5$	μs			
Křemíkový mesa n-p-n tranzistor pro spínací účely s proudem do 10 A.							

Křemíkový mesa n-p-n tranzistor pro spínací účely s proudem do 10 A.

Tranzistory pro průmyslové
účely

Germaniové vysokofrekvenční tranzistory

Křemíkové tranzistory n - p - n
pro všeobecné účely

Křemíkové tranzistory p - n - p
pro všeobecné účely

Křemíkové spínací tranzistory

Křemíkové výkonové spínací tranzistory

Typ	Provozní hodnoty		Mezní hodnoty			
GFY50 Pouzdro K 506	<div><div><div><div><div>$-I_{CBO}$</div><div><13</div><div>μA</div></div><div><div>$-I_{CEO}$</div><div><450</div><div>μA</div></div><div><div>$-U_{CBO}$</div><div>>20</div><div>V</div></div><div><div>$-U_{EBO}$</div><div>$>0,5$</div><div>V</div></div><div><div>$-U_{BE}$</div><div>$0,15 \dots 0,4$</div><div>V</div></div><div><div>$-I_B$</div><div><60</div><div>μA</div></div><div><div>h_{21e}</div><div><div><div>III</div><div>20-40</div><div>16-48</div></div><div><div>IV</div><div>30-60</div><div>24-72</div></div><div><div>V</div><div>50-100</div><div>40-120</div></div><div><div>VI</div><div>75-150</div><div>60-180</div></div><div><div>VII</div><div>125-250</div><div>100-300</div></div><div><div>VIII</div><div>175-350</div><div>140-420</div></div></div></div></div><div><div>$F_1^{1)}$</div><div><40</div><div>dB</div></div><div><div>F_2</div><div><8</div><div>dB</div></div><div><div>f_T</div><div>>30</div><div>MHz</div></div><div><div>τ</div><div><100</div><div>ps</div></div><div><div>C_{22b}</div><div><5</div><div>pF</div></div></div></div> <div><div><div>$m\ddot{e}r\ddot{e}no\ p\ddot{r}i$</div><div>$-U_{CB} = 6\ V$</div><div>$U_{CE} = 6\ V, R_{BE} = \infty$</div><div>$-I_{CB} = 50\ \mu A$</div><div>$-I_{EB} = 50\ \mu A$</div><div>$-U_{CB} = 6\ V, I_E = 1\ mA$</div><div>$-U_{CB} = 6\ V, I_E = 1\ mA$</div><div>$-U_{CB} = 6\ V, I_E = 1\ mA,$</div><div>$f = 1\ kHz$</div><div>$-U_{CB} = 6\ V, I_E = 1\ mA,$</div><div>$R_g = 500\ \Omega, f = 1\ kHz$</div><div>$-U_{CB} = 6\ V, I_E = 1\ mA,$</div><div>$R_g = 500\ \Omega, f = 1\ MHz$</div><div>$-U_{CB} = 6\ V, I_E = 1\ mA$</div><div>$-U_{CB} = 6\ V, I_E = 1\ mA,$</div><div>$f = 2\ MHz$</div></div></div> <div><div><div>Platí i pro pulsní provozy:</div><div><div>$-U_{CB}^{2)}$</div><div>20</div><div>V</div></div><div><div>$-U_{CE}^{2)}$</div><div>20</div><div>V</div></div><div><div>$-U_{EB}$</div><div>1</div><div>V</div></div><div><div>$-I_C$</div><div>10</div><div>mA</div></div><div><div>I_E</div><div>10</div><div>mA</div></div><div><div>$\pm I_B$</div><div>1</div><div>mA</div></div><div><div>$P_C\ (T_a \leq 45\ ^\circ C)$</div><div>$50$</div><div>$mW$</div></div><div><div>$T_j$</div><div>$+75$</div><div>$^\circ C$</div></div><div><div>$T_a$</div><div>$-55 \dots +70$</div><div>$^\circ C$</div></div><div><div>$U_{is}$</div><div>$20$</div><div>$V$</div></div><div><div>$R_{is}$</div><div>$2$</div><div>$M\Omega$</div></div></div></div> <div><div><div>1) Min. 80 % tranzisto- rů má šum max 20 dB</div><div>2) Až do $T_j \leq 75\ ^\circ C$</div></div></div> <tr><td colspan="4"><div>Operativní charakteristiky u životnostních zkoušek při max. P_C a max. U_{CB}, jakož i životnosti při teplotě $85\ ^\circ C$ zaručují přejímací úroveň jakosti AQL 4 % při riziku dodavatele a zákazníka 5 %. Kritérium pro hodnocení životnosti:</div><div><div>$-I_{CBO}$</div><div>$<26\ \mu A$</div><div>$(-U_{CB} = 6\ V)$</div></div><div><div>h_{21E}</div><div>$podle\ rozšířených\ hranic$</div></div></td></tr>		<div>Operativní charakteristiky u životnostních zkoušek při max. P_C a max. U_{CB}, jakož i životnosti při teplotě $85\ ^\circ C$ zaručují přejímací úroveň jakosti AQL 4 % při riziku dodavatele a zákazníka 5 %. Kritérium pro hodnocení životnosti:</div> <div><div>$-I_{CBO}$</div><div>$<26\ \mu A$</div><div>$(-U_{CB} = 6\ V)$</div></div> <div><div>h_{21E}</div><div>$podle\ rozšířených\ hranic$</div></div>			
<div>Operativní charakteristiky u životnostních zkoušek při max. P_C a max. U_{CB}, jakož i životnosti při teplotě $85\ ^\circ C$ zaručují přejímací úroveň jakosti AQL 4 % při riziku dodavatele a zákazníka 5 %. Kritérium pro hodnocení životnosti:</div> <div><div>$-I_{CBO}$</div><div>$<26\ \mu A$</div><div>$(-U_{CB} = 6\ V)$</div></div> <div><div>h_{21E}</div><div>$podle\ rozšířených\ hranic$</div></div>						

C

E

B

C

S

B

E

Germaniový p-n-p plošný
tranzistor pro vf zesilo-
vače — průmyslový typ.

Platí i pro pulsní provozy:
 $-U_{CB}^{2)} 20 V$
 $-U_{CE}^{2)} 20 V$
 $-U_{EB} 1 V$
 $-I_C 10 mA$
 $I_E 10 mA$
 $\pm I_B 1 mA$
 $P_C (T_a \leq 45^\circ C) 50 mW$
 $T_j +75^\circ C$
 $T_a -55 \dots +70^\circ C$
 $U_{is} 20 V$
 $R_{is} 2 M\Omega$

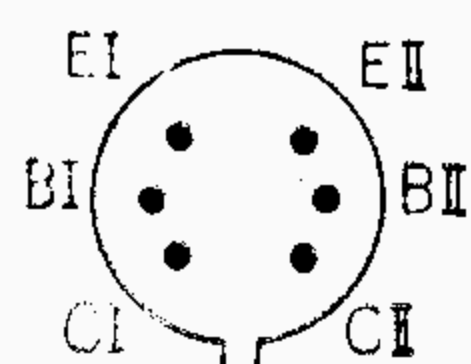
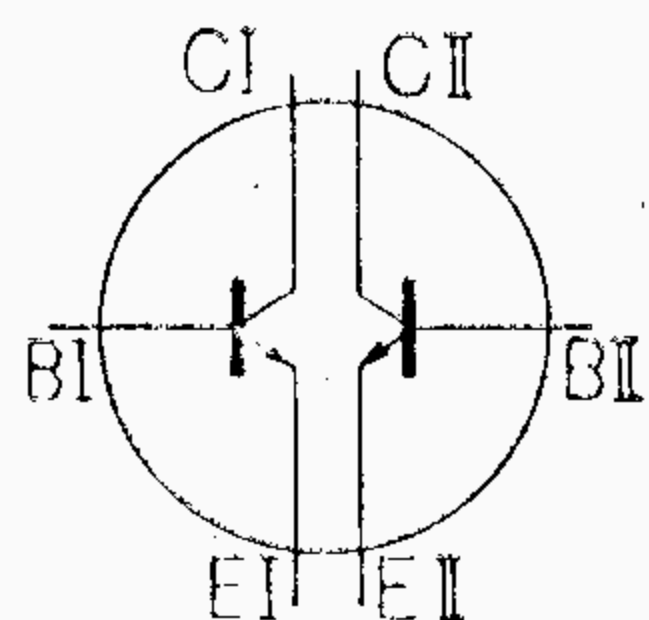
¹⁾ Min. 80 % tranzistorů má šum max 20 dB
²⁾ Až do $T_j \leq 75^\circ C$

Operativní charakteristiky u životnostních zkoušek při max. P_C a max. U_{CB} , jakož i životnosti při teplotě $85^\circ C$ zaručují přejímací úroveň jakosti AQL 4 % při riziku dodavatele a zákazníka 5 %. Kritérium pro hodnocení životnosti:

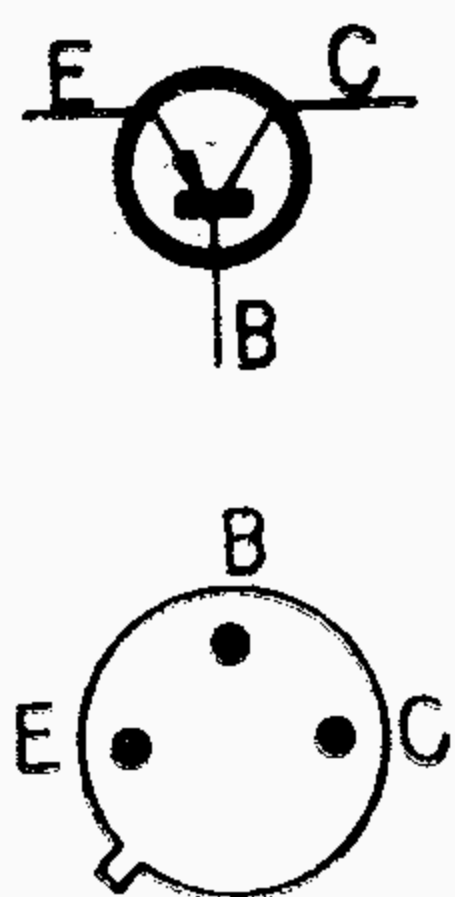
$$-I_{CBO} < 26 \mu A \quad (-U_{CB} = 6 V)$$

$$h_{21E} \text{ podle rozšířených hranic}$$

Typ		Provozní hodnoty				Mezní hodnoty	
KCZ58 KCZ59	Pouzdro K505/P402	<div><div><div>I_{CBO}</div><div>U_{CBO}</div><div>U_{CEO}</div><div>U_{EBO}</div></div><div><div>0,05</div><div>≤ 10</div><div>nA</div></div><div><div>≤ 45</div><div>V</div></div><div><div>≤ 30</div><div>V</div></div><div><div>≤ 5</div><div>V</div></div></div> <div><div>KCZ58</div><div>KCZ59</div></div> <div><div>I_{B1}</div><div>h_{21E}</div><div>I_{B2}</div><div>h_{21E}</div><div>h_{21E}</div><div>I_{B1}/I_{B2}</div><div>U_{BE}/U_{BE}</div><div>$\Delta \Delta U_{BE}$</div><div>ΔT_a</div><div>$\Delta \Delta U_{BE}$</div><div>ΔT_a</div><div>h_{21e}</div><div>$\Delta \Delta U_{BE}$</div><div>ΔT_a</div><div>F</div></div> <div><div>< 1</div><div>100...500</div><div>< 15</div><div>> 135</div><div>300</div><div>0,9...1,11</div><div>± 5</div><div>< 10</div><div>< 10</div><div>$> 1,5$</div><div>3</div><div>4</div></div> <div><div>< 2</div><div>50...500</div><div>< 25</div><div>> 80</div><div>250</div><div>0,8...1,25</div><div>± 10</div><div>< 25</div><div>< 25</div><div>$> 1,5$</div><div>6 $\mu V/^{\circ}C$</div><div>< 10</div><div>dB</div></div> <div><div>měřeno při</div><div>$U_{CB} = 30$ V</div><div>$I_C = 0,1$ mA</div><div>$I_C = 2$ mA, $R_{BE} = \infty$</div><div>$I_E = 0,001$ mA</div><div>$U_{CB} = 5$ V, $-I_E = 0,1$ mA</div><div>$U_{CB} = 5$ V, $-I_E = 2$ mA</div><div>$U_{CB} = 5$ V, $-I_E = 20$ mA</div><div>$U_{CB} = 5$ V, $-I_E = 0,1$ mA</div><div>$U_{CB} = 5$ V, $-I_E = 0,1$ mA</div><div>$T_a = +25 \dots 100$ $^{\circ}C$</div><div>$U_{CB} = 5$ V, $-I_E = 0,1$ mA,</div><div>$T_a = +25 \dots -55$ $^{\circ}C$</div><div>$U_{CB} = 5$ V, $-I_E = 10$ mA,</div><div>$f = 100$ MHz</div><div>$U_{CB} = 5$ V, $-I_E = 0,1$ mA,</div><div>$T_a = -55 \dots +100$ $^{\circ}C$</div><div>$U_{CB} = 5$ V, $-I_E = 0,2$ mA</div><div>$R_G = 2$ kΩ, $f = 1$ kHz,</div><div>$\Delta f = 200$ Hz</div></div> <div><div>U_{CBO}</div><div>U_{CEO} ($R_{BE} = \infty$)</div><div>U_{EBO}</div><div>I_C</div><div>I_B</div><div>$P_{tot}^{1)}$</div><div>$P_{tot}^{2)}$</div><div>T_j</div><div>T_a</div><div>R_{thi}</div><div>R_{th}</div></div> <div><div>45</div><div>∞</div><div>5</div><div>100</div><div>10</div><div>0,45</div><div>1,3</div><div>175</div><div>-55...+175</div><div>≤ 200</div><div>≤ 500</div></div> <div><div>V</div><div>V</div><div>V</div><div>mA</div><div>mA</div><div>W</div><div>W</div><div>$^{\circ}C$</div><div>$^{\circ}C$</div><div>$^{\circ}C$</div><div>$^{\circ}C$</div></div> <div><div>Pouzdro K505/P402</div><div><div>1) Bez přídavného chlazení; oba systémy.</div><div>2) S ideálním chlazením; oba systémy.</div></div></div> <div><div><div><div><div>CI</div><div>CI</div></div><div><div>BI</div><div>BI</div></div><div><div>EI</div><div>EI</div></div></div><div><div><div>EI</div><div>EI</div></div><div><div>BI</div><div>BI</div></div><div><div>CI</div><div>CI</div></div></div></div><div><div>Dvojice křemikových planárně epitaxních transistorů n-p-n pro rozdílové zesilovače.</div></div></div>					

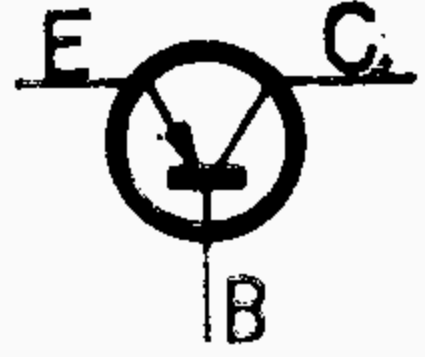
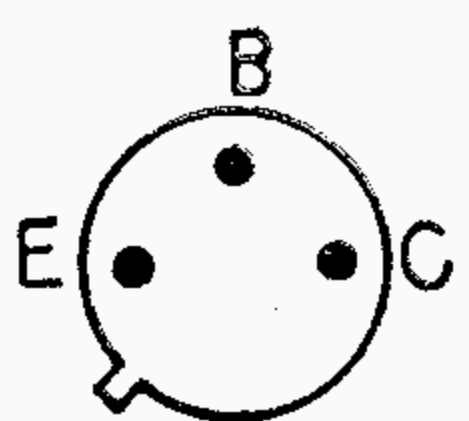


Dvojice křemíkových planárně epitaxních tranzistorů n-p-n pro rozdílové zesilovače.

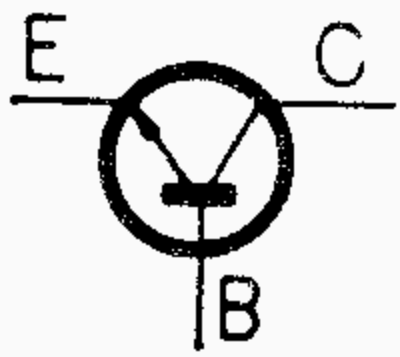
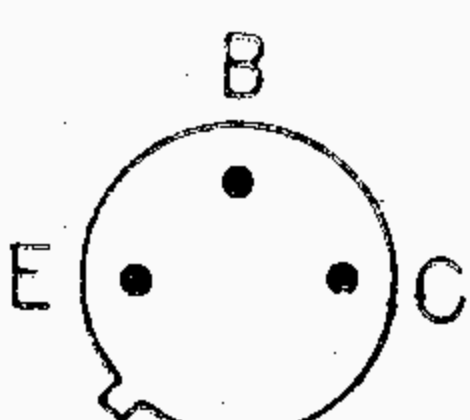
Typ		Provozní hodnoty			Mezní hodnoty		
KFY16	Pouzdro K 505				měřeno při		
		$-I_{CBO}$	0,5	< 10	nA	$-U_{CB} = 60$ V	$-U_{CB}$ 75 V
		$-I_{CBO}$	0,8	< 10	μ A	$-U_{CB} = 60$ V, $T_a = 150$ °C	$-U_{CER}$ ($R_{BE} = \infty$) 45 V
		$-U_{CB0}$	> 75		V	$-I_{CBO} = 100$ μ A	$-U_{EBO}$ 5 V
		$-U_{EBO}$	> 5		V	$-I_{EBO} = 100$ μ A	$-I_C$ 600 mA
		$-U_{CES}$	0,6	$< 0,7$	V	$-I_C = 150$ mA, $-I_B = 15$ mA	I_E 600 mA
		$-U_{BES}$	0,95	$< 1,3$	V	$-I_C = 150$ mA, $-I_B = 15$ mA	$-I_B$ 100 mA
		$-I_{B2}$	< 5		μ A	$-U_{CB} = 10$ V, $I_E = 0,1$ mA	T_j +200 °C
		h_{21E}	> 20				$P_C^{1)}$ 0,8 W
		$-I_{B3}$	83-290		μ A	$-U_{CB} = 10$ V, $I_E = 10$ mA	$P_C^{2)}$ 2,6 W
		h_{21E}	35 ... 120				R_{t1} 60 °C/W
		$-I_{B4}$	$< 3,75$		mA	$-U_{CB} = 10$ V, $I_E = 150$ mA	R_t 220 °C/W
		h_{21E}	85 > 40				T_a -65....+200 °C
		$-I_{B5}$	< 33		mA	$-U_{CB} = 10$ V, $I_E = 500$ mA	1) Bez chlazení 2) S ideálním chlazením $T_a \leq 45$ °C $U_{CE} = 0 ... 10$ V
		h_{21E}	55 > 15				
		I_T	90	> 50	MHz	$-U_{CB} = 10$ V, $I_E = 50$ mA, $f = 30$ MHz	
		C_{22b}	19	< 30	pF	$-U_{CB} = 10$ V, $I_E = 0$ mA, $f = 2$ MHz	
	F	4	< 10	dB	$-U_{CB} = 10$ V, $I_E = 0,3$ mA, $f = 1$ kHz, $R_g = 500 \Omega$, $\Delta f = 200$ Hz		
	$-I_{B6}$	< 600		μ A	$U_{CB} = 10$ V, $I_E = 10$ mA, $T_a = -55$ °C		

Křemíkový p-n-p planární epitaxní tranzistor pro VF zesilovače – průmyslový typ.

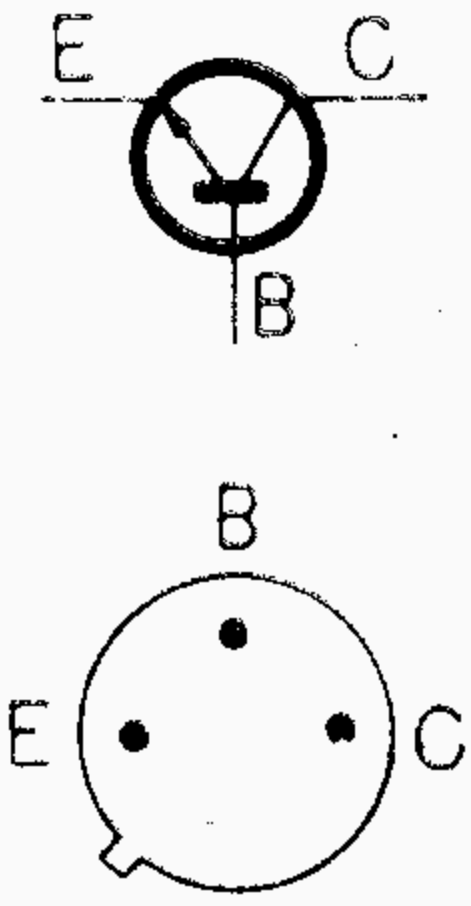
Komplementární k KFY34, KF506

Typ	Provozní hodnoty		Mezní hodnoty
KFY18 Pouzdro K 505  	měřeno při		
	$-I_{CBO}$	0,5 < 10 nA	$-U_{CB}$ 75 V
$-I_{CBO}$	0,8 < 10 μ A	$-U_{CB} = 60$ V, $T_a = 150$ °C	$-U_{CER}$ ($R_{BE} = \infty$) 45 V
$-U_{CBO}$	> 75 V	$-I_{CBO} = 100$ μ A	$-U_{EBO}$ 5 V
$-U_{EBO}$	> 5 V	$-I_{EBO} = 100$ μ A	$-I_C$ 600 mA
$-U_{CES}$	0,6 < 0,7 V	$-I_C = 150$ mA, $-I_B = 15$ mA	I_E 600 mA
$-U_{BES}$	0,95 < 1,3 V	$-I_C = 150$ mA, $-I_B = 15$ mA	$-I_B$ 100 mA
$-I_{B2}$	< 2,9 μ A	$-U_{CB} = 10$ V, $I_E = 0,1$ mA	T_j +200 °C
h_{21E}	> 35		$P_C^{1)}$ 0,8 W
$-I_{B3}$	33 ... 100 μ A	$-U_{CB} = 10$ V, $I_E = 10$ mA	$P_C^{2)}$ 2,6 W
h_{21E}	90 ... 300		R_{t1} 60 °C/W
$-I_{B4}$	< 1,5 mA	$-U_{CB} = 10$ V, $I_E = 150$ mA	R_t 220 °C/W
h_{21E}	150 > 100		T_a -65...+200 °C
$-I_{B5}$	< 16,5 mA	$-U_{CB} = 10$ V, $I_E = 500$ mA	1) Bez chlazení
h_{21E}	75 > 30		2) S ideálním chlazením
f_T	100 > 60 MHz	$-U_{CB} = 10$ V, $I_E = 50$ mA, $f = 30$ MHz	$T_a \leq 45$ °C
C_{22b}	19 < 30 pF	$-U_{CB} = 10$ V, $I_E = 0$ mA, $f = 2$ MHz	$U_{CE} = 0 \dots 10$ V
F	3,5 < 8 dB	$-U_{CB} = 10$ V, $I_E = 0,3$ mA, $f = 1$ kHz, $R_g = 500$ Ω , $\Delta f = 200$ Hz	
$-I_{B6}$	< 350 μ A	$U_{CB} = 10$ V, $I_E = 10$ mA, $T_a = -55$ °C	

Křemíkový p-n-p planární epitaxní tranzistor pro VF zesilovače – průmyslový typ.
Komplementární k KFY46, KF508.

Typ	Provozní hodnoty		Mezní hodnoty
KFY34 Pouzdro K 505  	měřeno při		
	I_{CBO}	< 10 nA	$U_{CB} = 60$ V
I_{CBO}	< 10 μ A	$U_{CB} = 60$ V, $T_a = 150$ °C	U_{CER} ($R_{BE} \leq 10$ Ω) 50 V
U_{CBO}	> 75 V	$I_{CBO} = 100$ μ A	U_{CEO} ($R_{BE} = \infty$) 30 V
U_{EBO}	> 7 V	$I_{EBO} = 100$ μ A	U_{EBO} 7 V
U_{CES}	0,7 < 1,5 V	$I_C = 150$ mA, $I_B = 15$ mA	I_C 500 mA
U_{BES}	< 1,3 V	$I_C = 150$ mA, $I_B = 15$ mA	$-I_E$ 500 mA
I_{B2}	< 5 μ A	$U_{CB} = 10$ V, $-I_E = 0,1$ mA	I_B 100 mA
h_{21E}	> 20		$P_C^{1)}$ 0,8 W
I_{B3}	< 290 μ A	$U_{CB} = 10$ V, $-I_E = 10$ mA	$P_C^{2)}$ 2,6 W
h_{21E}	80 > 35		R_{t1} 60 °C/W
I_{B4}	1,25...3,75 mA	$U_{CB} = 10$ V, $-I_E = 150$ mA	R_t 220 °C/W
h_{21E}	40 ... 120		T_j +200 °C
I_{B5}	< 25 mA	$U_{CB} = 10$ V, $-I_E = 500$ mA	T_a -65...+200 °C
I_{B6}	< 500 μ A		1) Bez chlazení
f_T	100 > 60 MHz	$U_{CB} = 10$ V, $-I_E = 10$ mA, $T_a = -55$ °C	2) S ideálním chlazením
C_{22b}	18 < 25 pF	$U_{CB} = 10$ V, $-I_E = 50$ mA, $f = 30$ MHz	$T_a \leq 45$ °C
F	4 < 10 dB	$U_{CB} = 10$ V, $-I_E = 0$ mA, $f = 2$ MHz	
		$U_{CB} = 10$ V, $-I_E = 0,3$ mA, $f = 1$ kHz, $R_g = 500$ Ω , $\Delta f = 200$ Hz	

Křemíkový n-p-n planární epitaxní tranzistor pro VF zesilovače – průmyslový typ.
Komplementární k KFY16

Typ	Provozní hodnoty				Mezní hodnoty		
KFY46 Pouzdro K 505 	I_{CBO}	<10	nA	měřeno při $U_{CB} = 60 \text{ V}$ $U_{CB} = 60 \text{ V}, T_a = 150 \text{ }^\circ\text{C}$ $I_{CBO} = 100 \text{ }\mu\text{A}$ $I_{EBO} = 100 \text{ }\mu\text{A}$ $I_C = 150 \text{ mA}, I_B = 15 \text{ mA}$ $I_C = 150 \text{ mA}, I_B = 15 \text{ mA}$ $J_{CB} = 10 \text{ V}, -I_E = 0,1 \text{ mA}$ $J_{CB} = 10 \text{ V}, -I_E = 10 \text{ mA}$ $U_{CB} = 10 \text{ V}, -I_E = 150 \text{ mA}$ $U_{CB} = 10 \text{ V}, -I_E = 500 \text{ mA}$ $U_{CB} = 10 \text{ V}, -I_E = 10 \text{ mA}, T_a = -55 \text{ }^\circ\text{C}$ $U_{CB} = 10 \text{ V}, -I_E = 50 \text{ mA}, f = 30 \text{ MHz}$ $U_{CB} = 10 \text{ V}, -I_E = 0 \text{ mA}, f = 2 \text{ MHz}$ $U_{CB} = 10 \text{ V}, -I_E = 0,3 \text{ mA}, f = 1 \text{ kHz}, R_g = 500 \text{ }\Omega, \Delta f = 200 \text{ Hz}$	U_{CBO} 75 V $U_{CER} (R_{BE} \leq 10 \text{ }\Omega)$ 50 V $U_{CEO} (R_{BE} = \infty)$ 30 V U_{EBO} 7 V I_C 500 mA $-I_E$ 500 mA I_B 100 mA $P_C^{1)}$ 0,8 W $P_C^{2)}$ 2,6 W R_{t1} 60 $^\circ\text{C/W}$ R_t 220 $^\circ\text{C/W}$ T_j +200 $^\circ\text{C}$ T_a -65...+200 $^\circ\text{C}$		
	I_{CBO}	<10	μA				
	U_{CBO}	>75	V				
	U_{EBO}	>7	V				
	U_{CES}	0,7 <1,5	V				
	U_{BES}	<1,3	V				
	I_{B2}	<2,9	μA				
	h_{21E}	>35					
	I_{B3}	<134	μA				
	h_{21E}	140 >75					
I_{B4}	0,5...1,5	mA					
h_{21E}	100...300						
I_{B5}	<12,5	mA					
I_{B6}	<290	μA					
f_T	100 >70	MHz					
C_{22b}	18 <25	pF					
F	3,5 <8	dB					

Křemíkový n-p-n planární epitaxní tranzistor pro VF zesilovače – průmyslový typ.

Komplementární k KFY18

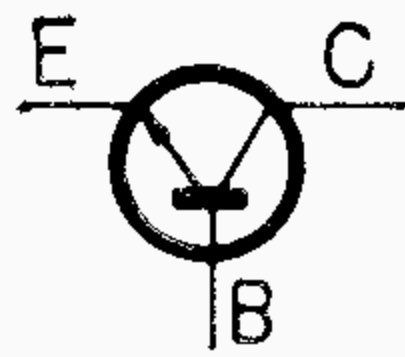
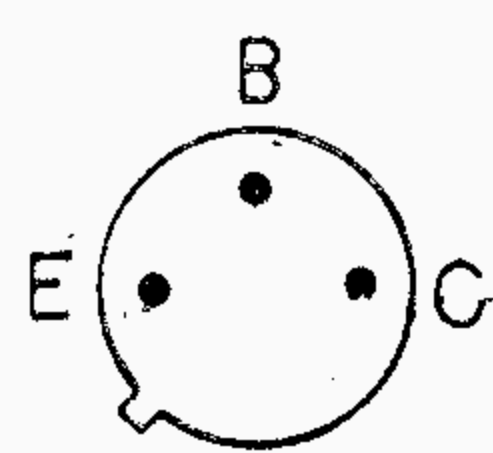
1) Bez chlazení
2) S ideálním chlazením
 $T_a \leq 45 \text{ }^\circ\text{C}$

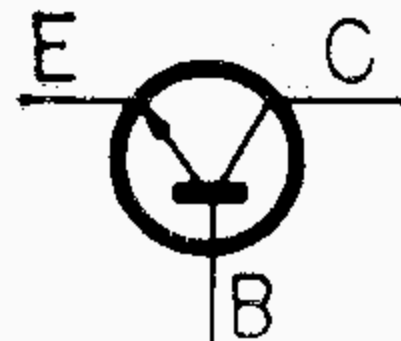
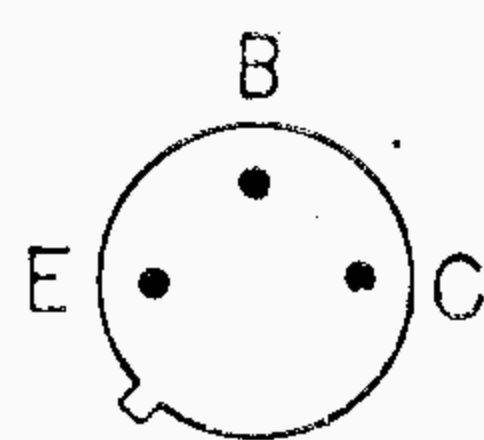
Křemíkový n-p-n planární
epitaxní tranzistor pro VF
zesilovače — průmyslový
typ.

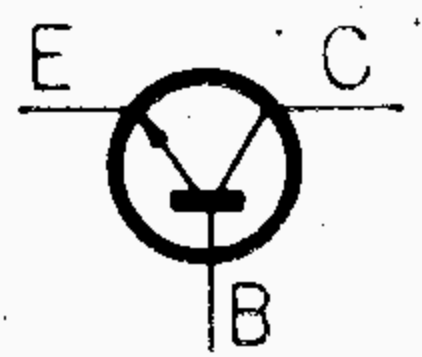
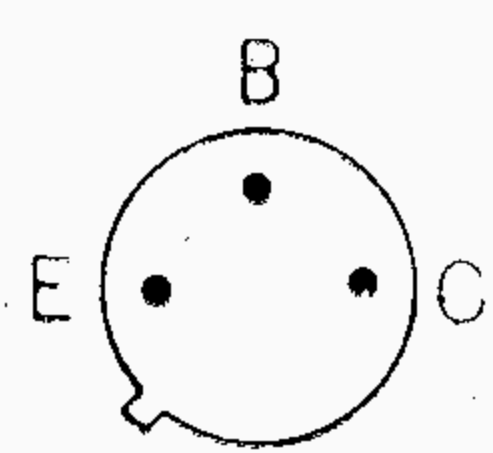
Komplementární k KFY18

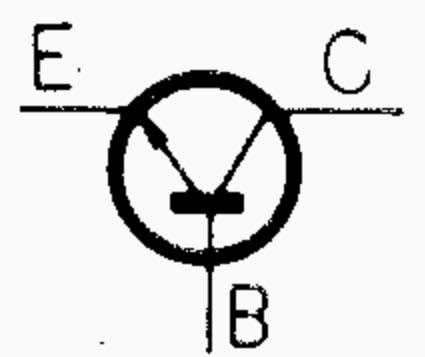
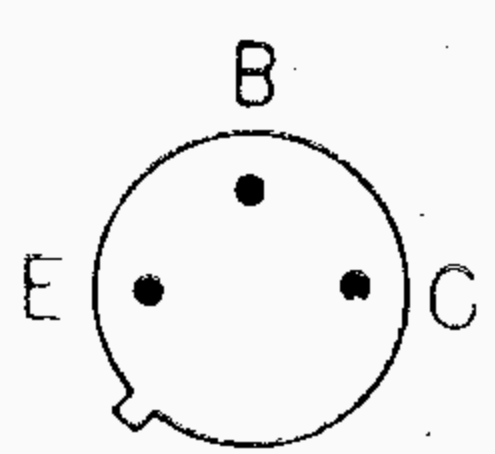
Typ	Provozní hodnoty				Mezní hodnoty
KFZ66 KFZ68	Rozměry K505		měřeno při		
		I_{CBO} 1 <50 nA I_{CBO} 1 <50 μ A I_{CEO} <1 μ A U_{CBO} >60 V U_{CEO} >30 V U_{EBO} >15 V U_{CES} 1,05 <1,5 V U_{BES} 1,6 <2,4 V U_{BE} 1,2 V	$U_{CBO} = 30$ V $U_{CBO} = 30$ V, $T_a = +150$ °C $U_{CEO} = 10$ V, $R_{BE} = \infty$ $I_{CBO} = 100$ μ A $I_{CE} = 10$ mA, $R_{BE} = \infty$ $I_{EBO} = 100$ μ A $I_C = 150$ mA, $I_B = 1,5$ mA $I_C = 150$ mA, $I_B = 1,5$ mA $U_{CB} = 10$ V, $-I_E = 10$ mA	U_{CBO} 60 V U_{CEO} ($R_{BE} = \infty$) 30 V U_{EBO} 15 V I_C 500 mA $-I_E$ 500 mA I_B 50 mA P_C ¹⁾ 0,8 W P_C ($T_a \leq 45$ °C) ²⁾ 2,6 W R_{t1} 60 °C/W R_t 220 °C/W T_j +200 °C T_a -65...+200 °C	
		KFZ68 KFZ66			
		h_{21E} 750 350 h_{21E} 2200 1000 h_{21E} 6500 3000 I_{B4} <3,3 <10 μ A h_{21E} 7000... 2000... 70000 20000 I_{B5} 1,43...14,3 5...50 μ A h_{21E} 30000 10000 $ h_{21e} $ 3,8 >2,3	$U_{CB} = 10$ V, $-I_E = 0,1$ mA $U_{CB} = 10$ V, $-I_E = 1$ mA $U_{CB} = 10$ V, $-I_E = 10$ mA $U_{CB} = 10$ V, $-I_E = 100$ mA $U_{CB} = 10$ V, $-I_E = 500$ mA $U_{CB} = 10$ V, $-I_E = 50$ mA, $f = 30$ MHz $U_{CB} = 10$ V, $-I_E = 0$, $f = 2$ MHz $U_{EB} = 0,5$ V, $I_C = 0$ mA		
		C_{22b} 30 <40 pF C_{EBO} 35 <50 pF			
Křemíkové n-p-n planární tranzistory v Darlingtonově zapojení — průmyslový typ.					
¹⁾ Bez chlazení ²⁾ S ideálním chlazením.					

Křemíkové n-p-n planární
tranzistory v Darlingtono-
vě zapojení — průmyslový
typ.

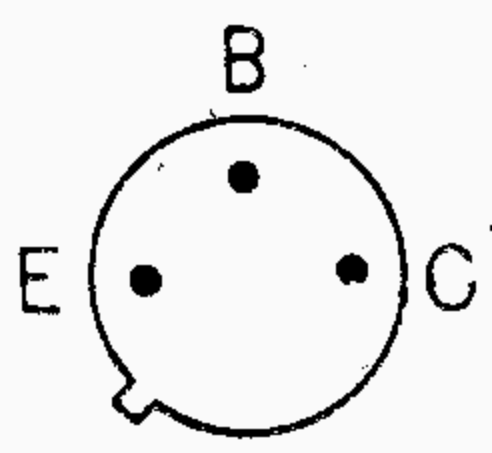
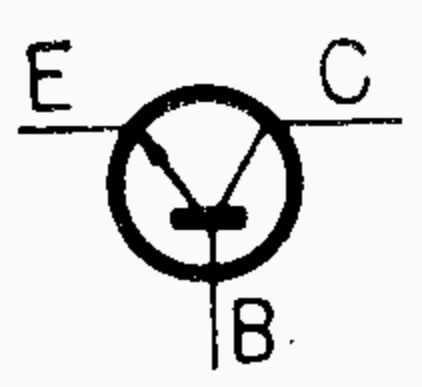
Typ		Provozní hodnoty				Mezní hodnoty	
KSY21	Pouzdro K507					měřeno při	
		$U_{(BR)CBO}$	>40	V	$I_C = 1 \mu A$	U_{CBO}	40 V
		$U_{(BR)EBO}$	>5	V	$I_E = 10 \mu A$	U_{CEO}	15 V
		U_{CEO}	>15	V	$I_C = 30 \text{ mA}$	$U_{CER} (R_{BE} < 10 \Omega)$	10 V
		U_{CER}	>20	V	$I_C = 30 \text{ mA}, R_{BE} \leq 10 \Omega$	U_{EBO}	5 V
		I_{CBO}	4	<25 nA	$U_{CB} = 20 \text{ V}$	I_C	500 mA
		I_{CBO}	3	<15 μA	$U_{CB} = 20 \text{ V}, T_a = 150 \text{ °C}$	I_B	50 mA
		I_{CEV}	3	<10 μA	$U_{CE} = 20 \text{ V}, U_{EB} = -0,25 \text{ V}, T_a = 125 \text{ °C}$	$P_{tot}^{1)}$	360 mW
		I_{EBO}	7	<100 nA	$U_{EB} = 4 \text{ V}$	$P_{tot}^{2)}$	1000 mW
		h_{21E}	55	30...120	$I_C = 10 \text{ mA}, U_{CE} = 1 \text{ V}$	T_j	200 °C
		h_{21E}	28	>12	$I_C = 10 \text{ mA}, U_{CE} = 1 \text{ V}, T_a = -55 \text{ °C}$	T_s	-65...+200 °C
		h_{21E}	17	>10	$I_C = 500 \text{ mA}, U_{CE} = 5 \text{ V}$	R_{thi}	<145 °C
		U_{CES}	0,4	<0,7 V	$I_C = 200 \text{ mA}, I_B = 20 \text{ mA}$	R_{th}	<480 °C
		U_{BES}	0,74	0,7...0,8 V	$I_C = 10 \text{ mA}, I_B = 1 \text{ mA}$	1) Bez přídavného chlazení. 2) S ideálním chlazením, $T_a \leq 45 \text{ °C}$	
		f_T	>300	MHz	$U_{CE} = 10 \text{ V}, I_C = 20 \text{ mA}, f = 100 \text{ MHz}$		
		C_{22b}	<6	pF	$U_{CB} = 10 \text{ V}, f = 1 \text{ MHz}$		
		C_{EBO}	<9	pF	$U_{EB} = 0,5 \text{ V}, f = 1 \text{ MHz}$		
		t_{on}	<40	ns	$I_C = 200 \text{ mA}, I_{B1} = 40 \text{ mA}, I_{B2} = -20 \text{ mA}$ $I_C = I_{B1} = -I_{B2} = 20 \text{ mA}$		
		t_{off}	<40	ns			
		τ_s	<20	ns			
Křemíkový planární epitaxní tranzistor n-p-n pro spínací účely.							

Typ	Provozní hodnoty				Mezní hodnoty		
KSY34					měřeno při		
					U _{CB} = 50 V		
Pouzdro	I _{CBO}	<70	nA		U _{CB} = 50 V, T _a = 150 °C		
K505	I _{CBO}	<70	μA		I _{CB} = 100 μA		
	U _{CBO}	>60	V		I _{CE} = 10 μA		
	U _{CES}	>60	V		I _{CE} = 10 mA		
	U _{CEO}	>40	V		I _{EB} = 100 μA		
	U _{EBO}	>5	V		I _C = 500 mA, I _B = 50 mA		
	U _{CES}	<1	V		I _C = 100 mA, I _B = 10 mA		
	U _{CES}	0,17	V		I _C = 500 mA, I _B = 50 mA		
	U _{BES}	<1,5	V		I _C = 100 mA, I _B = 10 mA		
	U _{BES}	0,85	V		I _C = 10 mA, I _B = 1 mA		
	U _{BES}	0,7	V		I _C = 1 mA, I _B = 0,1 mA		
	U _{BES}	0,62	V		I _C = 500 mA, U _{CE} = 1 V		
	h _{21E}	>10			I _C = 100 mA, U _{CE} = 1 V		
	h _{21E}	>25			I _C = 10 mA, U _{CE} = 1 V		
	h _{21E}	37			I _C = 1 mA, U _{CE} = 1 V		
	h _{21E}	23			I _C = 30 mA, U _{CE} = 10 V,		
	f _T	>250	MHz		f = 100 MHz		
	C _{22b}	<6	pF		U _{CB} = 10 V, f = 1 MHz		
	C _{EBO}	22	pF		U _{EBO} = 1 V, f = 1 MHz		
	t _{on}	<50	ns	}	I _C = 500 mA, I _{B1} = 50 mA,		
	t _{off}	<95	ns		-I _{B2} = 25 mA, R _L = 80 Ω, U _E = 15 V		
	t _{on}	30	ns		I _C = 150 mA, I _{B1} = 15 mA,		
	t _{off}	50	ns		-I _{B2} = 15 mA, R _L = 150 Ω		
Křemíkový n-p-n planární epitaxní tranzistor pro velmi rychlé spínací obvody – průmyslový typ.					U _{CBO} 60 V		
					U _{CES} 60 V		
					U _{CEO} 40 V		
					U _{EBO} 5 V		
					I _C 600 mA		
					-I _E 600 mA		
					I _B 200 mA		
					P _{tot} (T _a ≤ 45 °C) ¹⁾ 2,6 W		
					P _{tot} (T _a ≤ 25 °C) ²⁾ 800 mW		
					T _j +200 °C		
					T _s -65...+200 °C		
					R _{t1} 60 °C/W		
					R _t 220 °C/W		
					¹⁾ S ideálním chlazením		
					²⁾ Bez přídavného chlazení.		

Typ	Provozní hodnoty		Mezní hodnoty	
KSY62 Pouzdro K507  	měřeno při			
	I_{CBO}	$<0,5 \mu A$	$U_{CB} = 15 V$	U_{CB} 25 V
	I_{CBO}	$<30 \mu A$	$U_{CB} = 15 V, T_a = 150 ^\circ C$	U_{CE} 15 V
	U_{CBO}	$>25 V$	$I_{CB} = 1 \mu A$	U_{EB} 5 V
	U_{CEO}	$>15 V$	$I_{CE} = 10 mA$	I_C 200 mA
	U_{EBO}	$>5 V$	$I_{EB} = 10 \mu A$	$-I_E$ 200 mA
	U_{CES}	$<0,6 V$	$I_C = 10 mA, I_B = 1 mA$	I_B 20 mA
	U_{BES}	$<0,9 V$	$I_C = 10 mA, I_B = 1 mA$	T_j +200 $^\circ C$
	KSY62A KSY62B		$P_{tot} (T_a < 45 ^\circ C)^2)$	
	I_B	0,17... 0,033... 0,5 0,33 mA	$P_{tot} (T_a < 25 ^\circ C)^1)$	
Křemíkový n-p-n planární epitaxní tranzistor pro velmi rychlé spínací ob- vody — průmyslový typ.	h_{21E}	20...60 30...300	$I_C = 10 mA, U_{CE} = 1 V$	350 mW
	t_{on}	$<40 ns$	$I_C = 10 mA, I_{B1} = 3 mA,$	R_{ti} 150 $^\circ C/W$
	t_{off}	$<75 ns$	$-I_{B2} = 1,5 mA, R_L = 270 \Omega$	R_t 500 $^\circ C/W$
	τ_s	$<25 ns$	$I_C = I_{B1} = -I_{B2} = 10 mA,$	T_a -65...+200 $^\circ C$
	f_T	$>200 MHz$	$R_L = 1 k\Omega$	1) S ideálním chlazením
	C_{22b}	$<5 pF$	$I_C = 10 mA, U_{CE} = 10 V,$	2) Bez chlazení.
			$f = 100 MHz$	
			$U_{CBO} = 5 V, I_E = 0 mA,$	
			$f = 1 MHz$	

Typ	Provozní hodnoty		Mezní hodnoty	
KSY63 Pouzdro K507  	měřeno při			
	I_{CBO}	$<25 nA$	$U_{CB} = 20 V$	U_{CB} 40 V
	I_{CBO}	$<15 \mu A$	$U_{CB} = 20 V, T_a = 150 ^\circ C$	U_{EB} 5 V
	I_{CEV}	$<10 \mu A$	$U_{CE} = 20 V, U_{EB} = 0,25 V,$	U_{CE} 15 V
			$T_a = 125 ^\circ C$	I_C 200 mA
	U_{CBO}	$>40 V$	$I_{CB} = 1 \mu A$	I_B 20 mA
	U_{EBO}	$>5 V$	$I_{EB} = 10 \mu A$	$P_{tot} (T_a < 45 ^\circ C)^1)$
	U_{CEO}	$>15 V$	$I_{CE} = 10 mA$	1 W
	h_{21E}	>15	$U_{CE} = 1 V, I_C = 0,5 mA$	$P_{tot} (T_a < 25 ^\circ C)^2)$
	h_{21E}	30...120	$U_{CE} = 1 V, I_C = 10 mA$	350 mW
Křemíkový n-p-n planární epitaxní tranzistor pro velmi rychlé spínací ob- vody — průmyslový typ.	U_{CES}	$<0,4 V$	$I_C = 10 mA, I_B = 1 mA$	R_{ti} 150 $^\circ C/W$
	U_{BES}	$<0,8 V$	$I_C = 10 mA, I_B = 1 mA$	R_t 500 $^\circ C/W$
	f_T	$>300 MHz$	$U_{CE} = 10 V, I_C = 10 mA,$	T_j +200 $^\circ C$
			$f = 100 MHz$	T_a -65...+200 $^\circ C$
	C_{CBO}	$<6 pF$	$U_{CB} = 5 V, I_E = 0, f = 1 MHz$	1) S ideálním chlazením
	τ_s	$<25 ns$	$I_C = I_{B1} = -I_{B2} = 10 mA,$	2) Bez chlazení.
			$R_L = 1 k\Omega$	
	t_{on}	$<40 ns$	$I_C = 10 mA, I_{B1} = 3 mA,$	
	t_{off}	$<75 ns$	$-I_{B2} = 1,5 mA, R_L = 270 \Omega$	

Typ		Provozní hodnoty				Mezní hodnoty	
KSY71	Pouzdro K507					měřeno při	
	U_{CBO}	>40	V	$I_C = 10 \mu A$	U_{CBO}	40	V
	U_{EBO}	$>4,5$	V	$I_E = 10 \mu A$	U_{CEO}	15	V
	U_{CEO}	>15	V	$I_C = 10 \text{ mA}$	U_{CES}	40	V
	U_{CES}	>40	V	$I_C = 10 \mu A$	U_{EBO}	4,5	V
	I_{CBO}	<400	nA	$U_{CB} = 20 \text{ V}$	I_C	200	mA
	I_{CBO}	<30	μA	$U_{CB} = 20 \text{ V}, T_a \approx 150^\circ \text{C}$	$I_{CM}^{1)}$	500	mA
	h_{21E}	70	40...120	$I_C = 10 \text{ mA}, U_{CE} = 1 \text{ V}$	I_B	50	mA
	h_{21E}	>20		$I_C = 10 \text{ mA}, U_{CE} = 1 \text{ V}, T_a = -55^\circ \text{C}$	$P_{tot}^{2)}$	360	mW
	h_{21E}	>20		$I_C = 100 \text{ mA}, U_{CE} = 2 \text{ V}$	$P_{tot}^{3)}$	$(T_a \leq 45^\circ \text{C})$ 1000	mW
	U_{CES}	0,16	$<0,25$	V	T_j	200	$^\circ \text{C}$
	U_{BES}	0,78	0,7...0,85	V	T_s	-65...+200	$^\circ \text{C}$
	f_T	700	>500	MHz			
	C_{CBO}	2,3	<4	pF			
t_{on}	8	<12	ns				
t_{off}	14	<18	ns				
τ_s	6	<13	ns				
		R_{thi}	<150	$^\circ \text{C/W}$			
		R_{th}	<480	$^\circ \text{C/W}$			

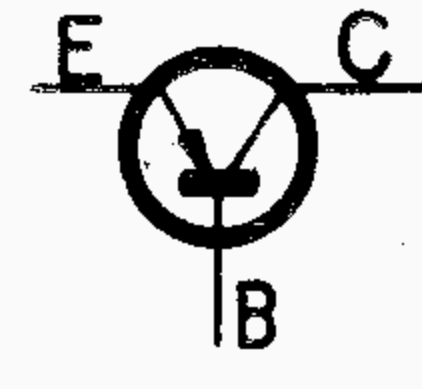
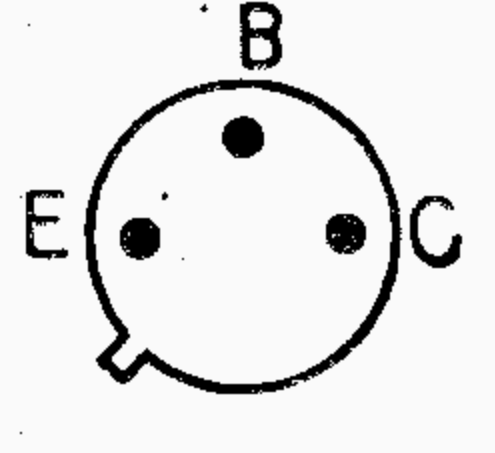


Křemíkový planární epi-
taxní tranzistor n-p-n pro
spínací obvody - průmys-
lový typ.

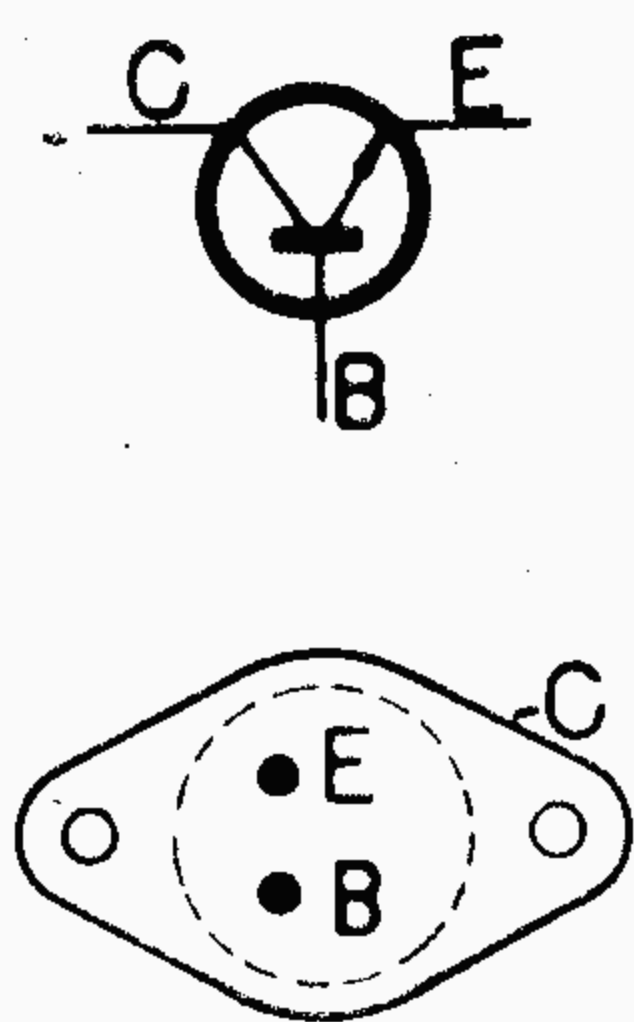
$^1) t_{ip} = 10 \mu s$

$^2)$ Bez přídavného
chlazení.

$^3)$ S přídavným chla-
zením.

Typ	Provozní hodnoty			Mezní hodnoty		
KSY81 Pouzdro K507  	měřeno při					
$-U_{CBO}$	>12	V	$-I_C = 10 \mu A$	$-U_{CBO}$	12 V	
$-U_{EBO}$	>4	V	$I_E = 100 \mu A$	$-U_{CEO}$	12 V	
$-U_{CEO}$	>12	V	$-I_C = 10 \text{ mA}$	$-U_{EBO}$	4 V	
$-I_{CBO}$	<80	nA	$-U_{CB} = 6 \text{ V}$	$-I_C$	200 mA	
$-I_{CBO}$	<10	μA	$-U_{CB} = 6 \text{ V}, T_a = 125^\circ \text{C}$	$-I_B$	50 mA	
h_{21E}	70	40...150	$-I_C = 30 \text{ mA}, -U_{CE} = 0,5 \text{ V}$	$P_{tot}^{1)}$	360 mW	
h_{21E}	>30		$-I_C = 10 \text{ mA}, -U_{CE} = 0,3 \text{ V}$	$P_{tot}^{2)}$	$(T_a \leq 45^\circ \text{C})$ 1000 mW	
h_{21E}	>25		$-I_C = 100 \text{ mA}, -U_{CE} = 1 \text{ V}$	T_j	200	$^\circ \text{C}$
h_{21E}	>17		$-I_C = 30 \text{ mA}, -U_{CE} = 0,5 \text{ V}, T_a = -55^\circ \text{C}$	T_s	-65...+200	$^\circ \text{C}$
$-U_{CES}$	0,1	$<0,2$	V	R_{thi}	<150	$^\circ \text{C/W}$
$-U_{BES}$	0,85...1,2	V	$-I_C = 30 \text{ mA}, -I_B = 3 \text{ mA}$	R_{th}	<480	$^\circ \text{C/W}$
f_T	>400	MHz	$-I_C = 30 \text{ mA}, -I_B = 3 \text{ mA}$	1) Bez přídavného chlazení.		
C_{CBO}	<6	pF	$-U_{CE} = 10 \text{ V}, I_C = 30 \text{ mA}, f = 100 \text{ MHz}$	2) S přídavným chlazením.		
C_{EBO}	<6	pF	$-U_{CB} = 5 \text{ V}, f = 1 \text{ MHz}$			
t_{on}	23	<60	ns			
t_{off}	34	<90	ns			

Křemíkový planární epitaxní tranzistor p-n-p pro spínací obvody - průmyslový typ.

Typ	Provozní hodnoty				Mezní hodnoty		
KUY12 	měřeno při				U_{CB}	210	V
	I_{CBO}	<1	mA	$U_{CB} = 150$ V	U_{CBM}	210	V
I_{CBO}	<10	mA	$U_{CB} = 210$ V, $T_a = 100$ °C		$U_{CES}^{1)}$	210	V
I_{EBO}	<10	mA	$U_{EB} = 5$ V		$U_{CESM}^{1)}$	210	V
I_{B1}	<50	mA	$U_{CE} = 1,7$ V, $I_C = 0,5$ A		$U_{CEO}^{3)}$	80	V
I_{B2}	<167	mA	$U_{CE} = 1,7$ V, $I_C = 2$ A		$U_{CEOM}^{3)}$	80	V
I_{B3}	<800	mA	$U_{CE} = 1,7$ V, $I_C = 8$ A		U_{EB}	5	V
U_{BE}	<1	V	$U_{CE} = 1,7$ V, $I_C = 0,5$ A		U_{EBM}	5	V
U_{BE}	<1,2	V	$U_{CE} = 1,7$ V, $I_C = 2$ A		I_C	10	A
U_{BE}	<2,4	V	$U_{CE} = 1,7$ V, $I_C = 8$ A		I_{CM}	10	A
U_{CES}	<0,35	V	$I_C = 0,5$ A, $I_B = 0,05$ A		I_E	12	A
U_{CES}	<0,6	V	$I_C = 2$ A, $I_B = 0,17$ A		I_{EM}	12	A
U_{CES}	<1,7	V	$I_C = 8$ A, $I_B = 0,8$ A		I_B	2	A
$U_{(BR)CEO}$	>80	V	$I_{CEO} = 1$ A		I_{BM}	2	A
$ h_{21e} $	>3		$U_{CB} = 10$ V, $I_E = 0,5$ A, $f = 3$ MHz		$P_{tot}^{2)}$	70	W
t_r	0,15	<1	μs	$I_C = 10$ A, $\pm I_B = 1$ A, $U_{CE} = 40$ V	T_j	150	°C
t_s	0,5	<1	μs		T_a	-55...+150	°C
t_f	0,2	<0,5	μs				
R_{ti}	<1,5		°C/W				
f_T	26		MHz	$U_{CB} = 10$ V, $I_E = 0,5$ A, $f = 3$ MHz			

Křemíkové mesa tranzistory n-p-n pro spínací účely v průmyslové elektronice.

¹⁾ $R_{BE} = 0$, $I_C \leq 5$ mA

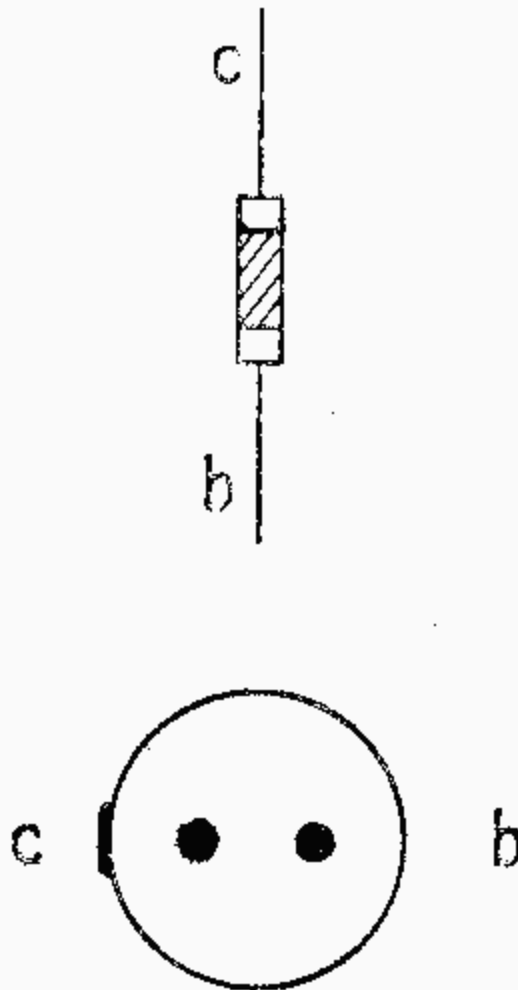
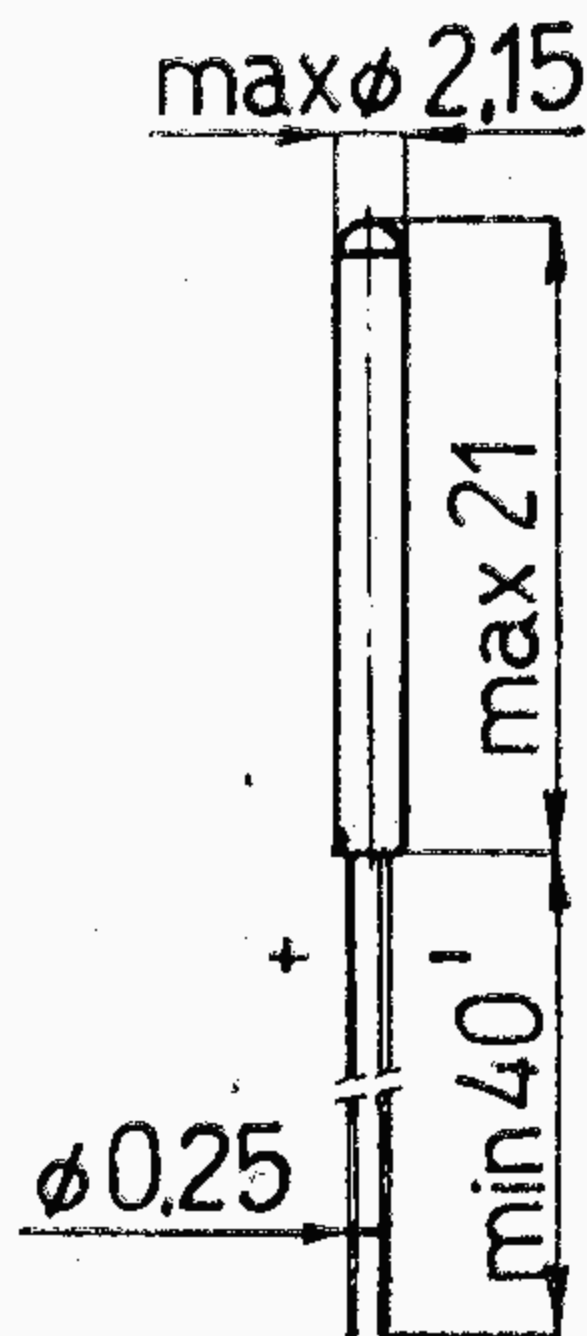
²⁾ $T_a \leq 35$ °C,
 $U_{CE} = 0 \dots 30$ V

³⁾ $I_B = 0$

Germaniové fotonky
Křemíkové fotonky

Vysvětlivky použitých zkratk u fotodiod

E	osvětlení
f	pracovní kmitočet
I_F	fotoelektrický proud
I_{KA}	proud fotodiodou v nepropustném směru za tmy
K	teplotní odpor
P_d	ztráta fotodiody
R_i	vnitřní odpor
R_Z	zatěžovací odpor
T_c	teplota pouzdra fotodiody
U_2	výstupní napětí střídavé
U_{AK}	napětí na diodě v propustném směru
U_F	fotoelektrické napětí
U_{FM}	fotoelektrické napětí špičkové
U_{KA}	napětí na diodě v nepropustném směru
U_o	výstupní napětí stejnosměrné
$U_{\check{s}}$	šumové napětí

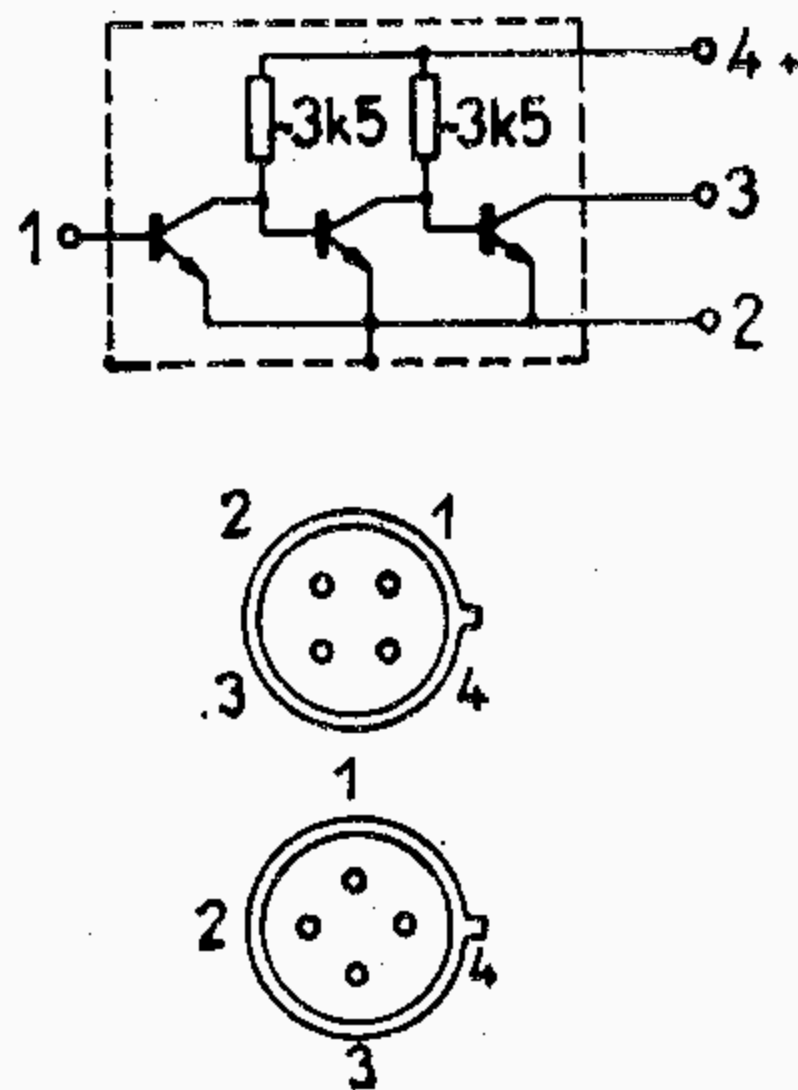
Typ	Provozní hodnoty				Mezní hodnoty			
10PN40 	I_{KA}	<15	μA	$U_{KA} = 10$	V	U_{KA}	50	V
	I_{KA}	<50	μA	$U_{KA} = 50$	V	I_{AK}	10	mA
	$U_{FM}^{1)}$	20	>12	V	měřeno při $U_{KA} = 45$ V, $R_Z = 100$ k Ω	P_d	40	mW
	U_{δ}	<15	mV	$U_{KA} = 45$ V, $R_Z = 100$ k Ω $E = 0$ lx	K	1,25	$^{\circ}C/mW$	
	$I_F^{1)}$	$>6 \cdot 10^{-3}$	$\mu V/lx$	$U_{KA} = 45$ V, $R_Z = 100$ k Ω $E = 20\,000$ lx	T_a	-40 ÷ +75	$^{\circ}C$	
						$f^{2)}$	0,3–5	kHz
<p>1) Citlivost je dána rozdílem napětí při osvětlení $E = 20\,000$ lx a za tmy (barevná teplota zdroje světla 2400 °K) na pracovním odporu 100 kΩ. Světelný tok přerušován 300× za vteřinu.</p> <p>2) Kmitočet, při němž špičkové fotoelektrické napětí U_{FM} poklesne o 30 % proti hodnotě, naměřené při $f = 300$ Hz, $E = 5000$ lx, $R_Z = 110$ kΩ.</p> <p>3) Kladný pól napájecího zdroje v odporovém zapojení fotodiody se připojí k vývodu označenému červeným znakem.</p>								
<p>Subminiaturní germaniová fotodioda p-n pro fotoelektrické snímání údajů z děrné pásky.</p>								
								

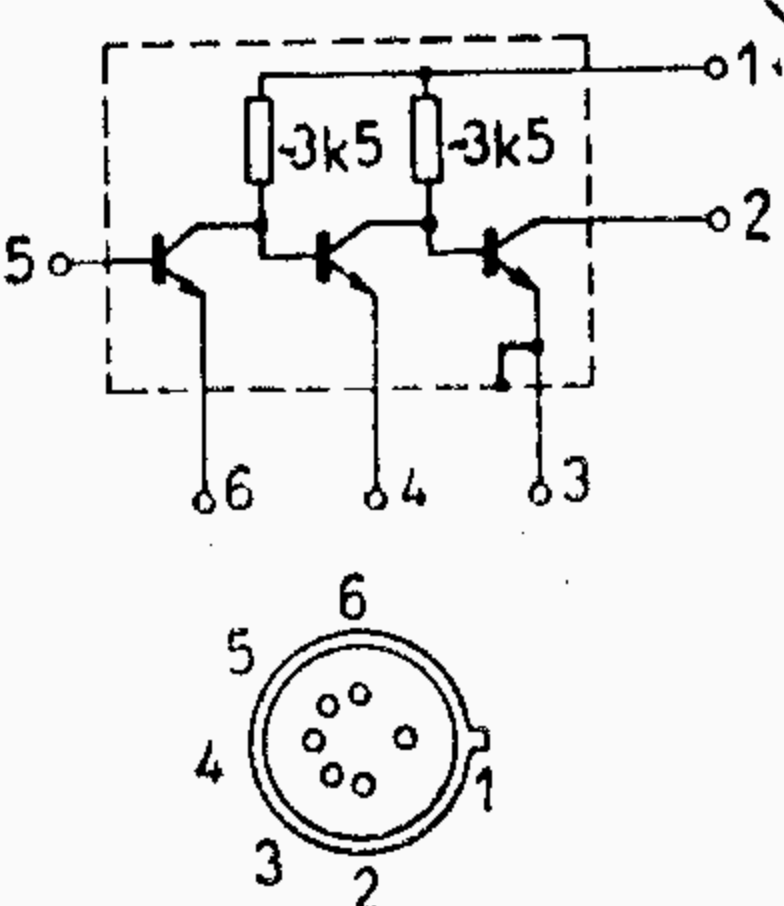
Lineární integrované obvody

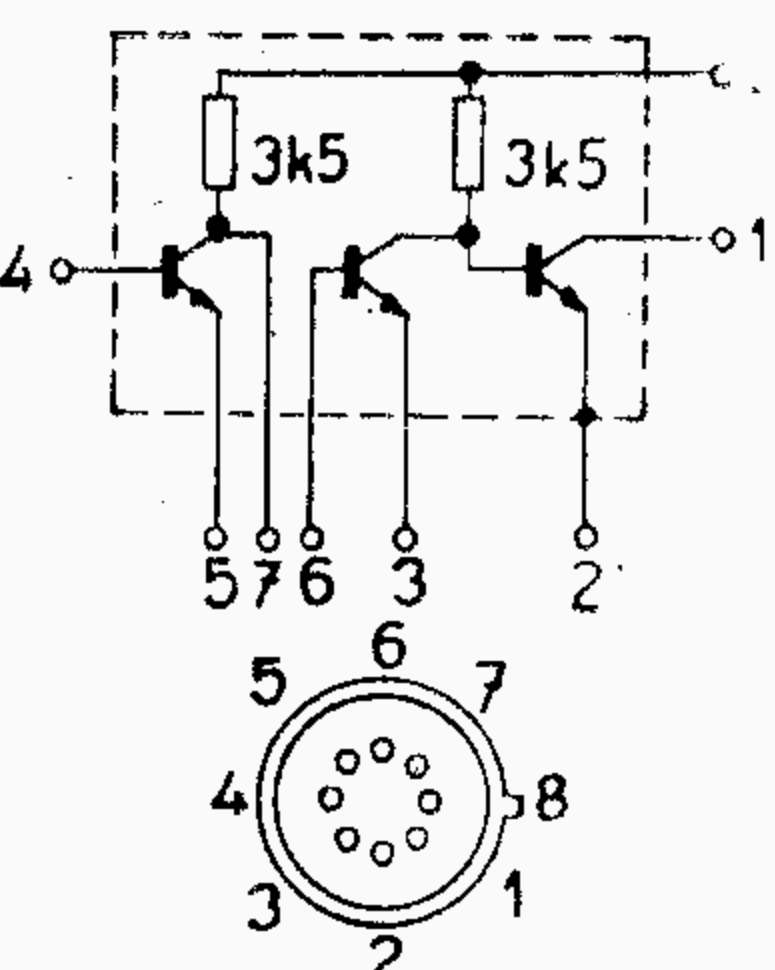
VYSVĚTLIVKY POUŽITÝCH ZKRATEK U LINEÁRNÍCH INTEGROVANÝCH OBVODŮ

A_u	napěťové zesílení
A_{uI-II}	rozdíl v zesílení obou systémů
A_{UN}	rozdílový napěťový zisk
A_{DIF}	rozdílový napěťový zisk nesymetrický vstup
ARZ	rozsah reg. zisku
BW	šířka pásma pro 3 dB
CMR	poměr potlačení soufázového signálu
D	teplotní součinitel vstupní napěťové nesymetrie
D_I	proudový drift
D_U	napěťový drift
E_{UB}	citlivost na změnu napájecích napětí
f	kmitočtový rozsah použití
F	šum
F_{dif}	šumové číslo dif. zesilovače
f_d	přenos dolních mezních kmitočtů s poklesem - 3 dB proti referenčnímu kmitočtu 1 kHz
f_h	přenos horních mezních kmitočtů s poklesem - 3 dB proti referenčnímu kmitočtu 1 kHz
$G_{p dif}$	výkonový zisk dif. zesilovače
$G_{p kas}$	výkonový zisk kaskódy
H	činitel potlačení součtového signálu
h_{21e}	proudový zesilovací činitel
h_{21E}	proudový zesilovací činitel
I_{max}	celkový proud
I_C	proud kolektoru
I_{CC}, I_{EE}	provozní proudy
I_I	vstupní klidový proud
I_{IU}	vstupní rozdílový proud
$I_{N vst}$	vstupní proudová nesymetrie
I_o	klidový proud
$I_{o vst}$	vstupní klidový proud
$I_{P/N}$	provozní proud
$I_{výst}$	výstupní proud špičkový
I_1	vstupní klidový proud
I_2	proud elektrody (vývodu 2) atd.
I_{10}, I_{11}	klidové provozní proudy
I_{83}	proud
k	zkreslení
P	ztrátový výkon

P_{max}	ztrátový výkon
P_{tot}	ztrátový výkon celkový
$r_{P/N}$	dynamický odpor
R_t	tepelný odpor
R_{vst}	vstupní odpor
$R_{výst}$	výstupní odpor
R_1	vhodná velikost odporu R_1 pro dosažení malého šumu
T_a	provozní teplota
T_C	teplota pouzdra provozní
T_j	teplota přechodu
T_s	teplota při skladování
THD	zkreslení celkové
t_r	doba čela
U_{min}	napájecí napětí minimální
U_{dif}	rozdílové vstupní napětí
U_{dif}	vstupní napěťový rozsah
U_B	minimální pracovní napájecí napětí
U_{BE}	napětí báze - emitor
$U_{B max}$	napájecí napětí maximální
U_{CC}	kladné napětí ss zdroje
U_{CEO}	závěrné napětí kolektor - emitor
U_{CES}	saturační napětí kolektoru
U_{EE}	záporné napětí ss zdroje
U_{EBO}	závěrné napětí emitor - báze
U_{IO}	napěťová nesymetrie
U_{IN}	vstupní napětí
$U_{N vst}$	vstupní napěťová nesymetrie
U_{OUT}	rozkmit výstupního napětí maximální, špička - špička
$U_{P/N}$	stabilizované napětí
$\frac{U_{P/N}}{T_a}$	teplotní koeficient stabilizovaného napětí
$U_{\check{S}}$	šumové napětí
$U_{\check{S}\check{S}}$	výstupní napětí špička - špička
U_1	vstupní napětí
$U_{1/2S}$	saturační napětí třetího tranzistoru
$U_{1/2}$	napětí elektrod 1 proti 2 (atd.)
$U_{2 max}$	rozkmit výstupního napětí
Z_{IN}	vstupní impedance
Z_{OUT}	výstupní impedance
κ	snížení zatížitelnosti
η	účinnost

Typ	Provozní hodnoty				Mezní hodnoty			
MAA115 MAA125 MAA145 	MAA145 MAA125 MAA115			měřeno při	U_B			MAA145 12 V
	A_u	75 > 70	—	— dB	$U_B = 12 \text{ V}, U_{2 \text{ eff}} = 3,6 \text{ V},$ $f = 1 \text{ kHz}, R_Z = 470 \Omega$	MAA125 7 V		
	A_u	—	75 > 70	— dB	$U_B = 7 \text{ V}, U_{2 \text{ eff}} = 2,1 \text{ V},$ $f = 1 \text{ kHz}, R_Z = 470 \Omega$	MAA115 4 V		
	$A_u^{1)}$	—	—	> 50 dB	$U_B = 1,3 \text{ V}, U_{2 \text{ eff}} = 0,3 \text{ V},$ $f = 1 \text{ kHz}, R_Z = 470 \Omega$	U_{32} MAA145 12 V		
	A_u	59 > 54	59 > 54	— dB	$U_B = 7 \text{ V}, U_{2 \text{ eff}} = 1,7 \text{ V},$ $f = 1 \text{ MHz}, R_Z = 470 \Omega$	MAA125 7 V		
	K	—	< 1,5	— %	$U_B = 7 \text{ V}, U_{2 \text{ eff}} = 2,1 \text{ V},$ $f = 1 \text{ kHz}, R_Z = 470 \Omega$	MAA115 4 V		
	K	—	—	3 < 10 %	$U_B = 1,3 \text{ V}, U_{2 \text{ eff}} = 0,3 \text{ V},$ $f = 1 \text{ kHz}, R_Z = 470 \Omega$	I 50 mA		
	K	< 1,5	—	— %	$U_B = 12 \text{ V}, U_{2 \text{ eff}} = 3,6 \text{ V},$ $f = 1 \text{ kHz}, R_Z = 470 \Omega$	$P_{tot} (T_a \leq 45^\circ\text{C})$		
	R_{vst}	—	> 3	— k Ω	$U_B = 7 \text{ V}, f = 1 \text{ kHz}, R_Z = 470 \Omega$	300 mW		
	R_{vst}	> 2	—	— k Ω	$U_B = 12 \text{ V}, f = 1 \text{ kHz}, R_Z = 470 \Omega$	R_t 330 $^\circ\text{C/W}$		
	$U_{\check{s}}$	2 < 5	2 < 5	— μV	$U_B = 4,5 \text{ V}, R_Z = 470 \Omega,$ $R_g = 470 \Omega, f = 40 \text{ Hz} \dots 15 \text{ kHz}$	T_j 150 $^\circ\text{C}$		
	$U_{\check{s}}$	—	—	< 5 μV	$U_B = 1,3 \text{ V}, R_Z = 470 \Omega,$ $R_g = 470 \Omega, f = 40 \text{ Hz} \dots 15 \text{ kHz}$	T_a -55...+125 $^\circ\text{C}$		
	Křemíkový integrovaný třístupňový zesilovač pro NF a MF zesilovače.							
	1) Hodnota platí v doporučeném zapojení. Pracovní bod se nastaví potenciometrem P1 tak, aby při daném výstupním napětí $U_{2 \text{ eff}}$ bylo minimální zkreslení. $R_g = 470 \Omega$. Viz str. 192.							

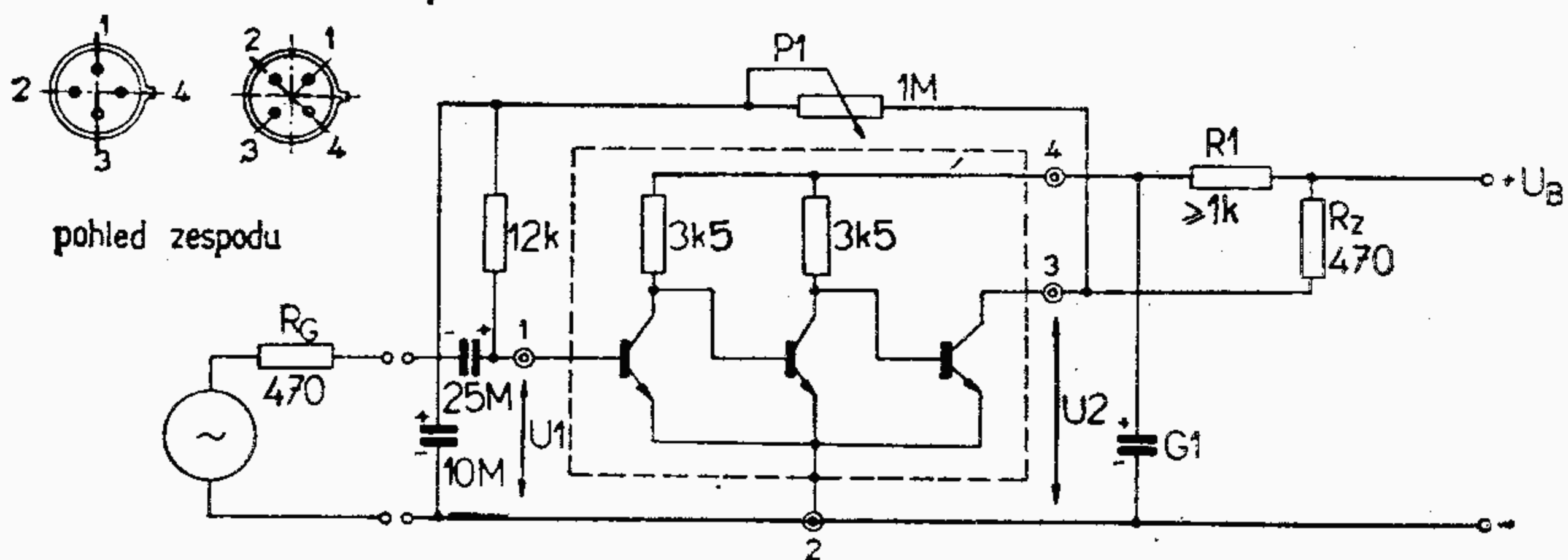
Typ	Provozní hodnoty			Mezní hodnoty
MAA225 MAA245 	MAA225 MAA245	MAA225 MAA245	měřeno při $U_B = 7 \text{ V}$, $U_{2 \text{ eff}} = 2,1 \text{ V}$, $f = 1 \text{ kHz}$, $R_Z = 470 \Omega$, $R_g = 1 \text{ k}\Omega$ $U_B = 12 \text{ V}$, $U_{2 \text{ eff}} = 3,6 \text{ V}$, $f = 1 \text{ kHz}$, $R_Z = 470 \Omega$, $R_g = 1 \text{ k}\Omega$ $U_B = 7 \text{ V}$, $U_{2 \text{ eff}} = 1,7 \text{ V}$, $f = 1 \text{ MHz}$, $R_Z = 470 \Omega$, $R_g = 1 \text{ k}\Omega$ $U_B = 7 \text{ V}$, $U_{2 \text{ eff}} = 2,1 \text{ V}$, $f = 1 \text{ kHz}$ $R_Z = 470 \Omega$, $R_g = 1 \text{ k}\Omega$ $U_B = 12 \text{ V}$, $U_{2 \text{ eff}} = 3,6 \text{ V}$, $f = 1 \text{ kHz}$ $R_Z = 470 \Omega$, $R_g = 1 \text{ k}\Omega$ $U_B = 7 \text{ V}$, $f = 1 \text{ kHz}$, $R_Z = 470 \Omega$ $U_B = 12 \text{ V}$, $f = 1 \text{ kHz}$, $R_Z = 470 \Omega$ $I_E = 25 \mu\text{A}$	$U_B > 1 \text{ V}$ U_B MAA225 7 V MAA245 12 V $U_{2/3M}$ MAA225 7 V MAA245 12 V $U_{6/5M}$ 6 V I_2, I_3 40 mA I_4 5 mA I_6 5 mA P_{tot} ($T_a \leq 45^\circ\text{C}$) 300 mW T_j 150 $^\circ\text{C}$ R_t 300 $^\circ\text{C/W}$ T_a $-55 \dots +125^\circ\text{C}$
Křemíkový integrovaný třístupňový zesilovač pro NF a MF zesilovače				
¹⁾ Hodnoty platí v doporučeném zapojení. Pracovní bod se nastaví potenciometrem P1 tak, aby při daném výstupním napětí $U_{2 \text{ eff}}$ bylo minimální zkreslení. Viz str. 192. ³⁾ Optimální hodnota pro nejmenší šum.				

Typ	Provozní hodnoty			Mezní hodnoty
MAA325 MAA345 	MAA345 MAA325	MAA345 MAA325	měřeno při $U_B = 7 \text{ V}$, $U_{2 \text{ eff}} = 2,1 \text{ V}$, $f = 1 \text{ kHz}$, $R_g = 2 \text{ k}\Omega$, $R_Z = 470 \Omega$ $U_B = 7 \text{ V}$, $U_{2 \text{ eff}} = 1,7 \text{ V}$, $f = 1 \text{ MHz}$, $R_g = 2 \text{ k}\Omega$ $U_B = 7 \text{ V}$, $U_{2 \text{ eff}} = 2,1 \text{ V}$, $f = 1 \text{ kHz}$, $R_g = 2 \text{ k}\Omega$, $R_Z = 470 \Omega$ $U_{7/5} = 6 \text{ V}$, $f = 1 \text{ kHz}$, $R_g = 2 \text{ k}\Omega$, $I_5 = 100 \mu\text{A}$, $\Delta f = 30 \text{ Hz} \dots 15 \text{ kHz}$ $U_{7/5} = 1 \text{ V}$, $I_5 = 1 \text{ mA}$ $U_{8/5} = 6 \text{ V}$, $I_C = 10 \cdot I_B$ $U_{8/2} = 6 \text{ V}$, $U_{6/3} = 0 \text{ V}$, $R_Z = 470 \Omega$	MAA345 MAA325 U_B 12 7 V $U_{8/3}$ 7 7 V $U_{1/2}$ 12 7 V $U_{7/40}$ 20 V $U_{7/5}$ 7 V $U_{5/4M}$ 6 V $U_{3/6M}$ 6 V I_1 40 mA I_2 40 mA I_5 20 mA I_7 20 mA I_4 10 mA I_3 5 mA I_6 10 mA P_{tot} ($T_a < 45^\circ\text{C}$) 300 mW T_j 150 $^\circ\text{C}$ T_j 150 $^\circ\text{C}$ T_a $-55 \dots +125^\circ\text{C}$
Křemíkový integrovaný třístupňový zesilovač pro NF, MF a stejnosměrné zesilovače.				
¹ Prvního tranzistoru. ²⁾ Hodnoty platí v doporučeném zapojení. Pracovní bod se nastaví potenciometrem P1 tak, aby při daném výstupním napětí $U_{2 \text{ eff}}$ bylo minimální zkreslení. Viz str. 192.				

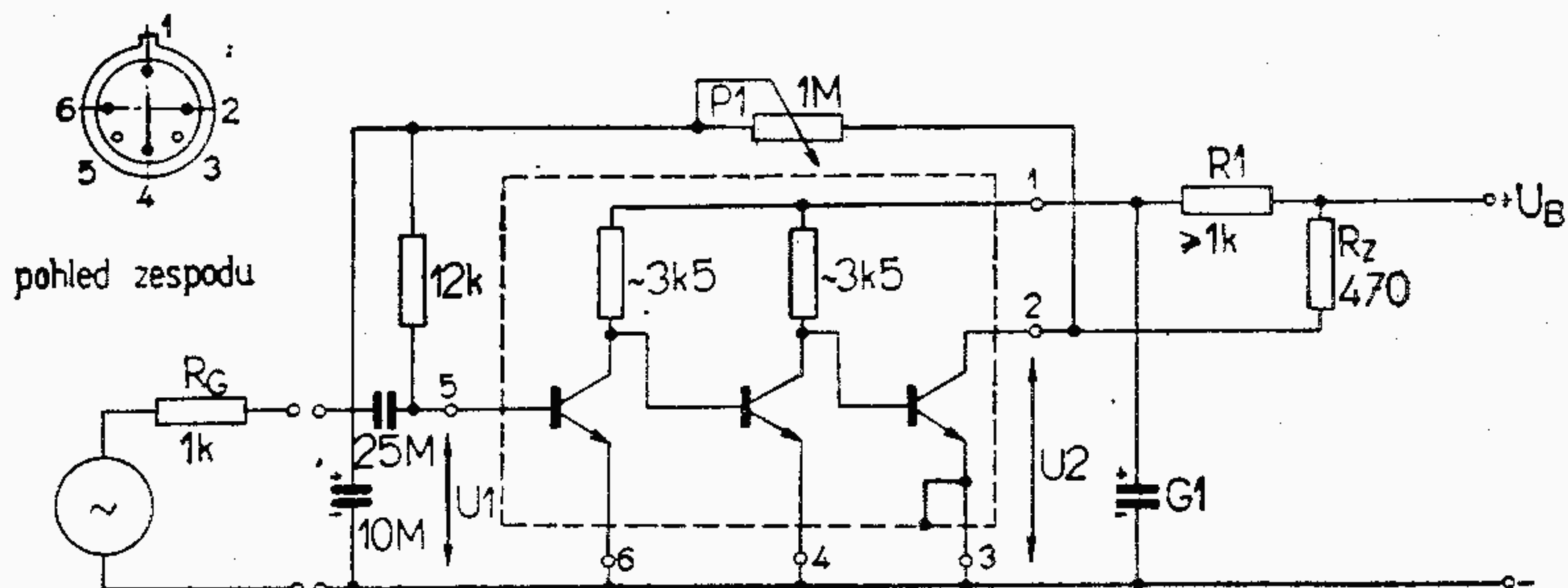
Doporučená zapojení integrovaných obvodů

MAA115, MAA125, MAA145

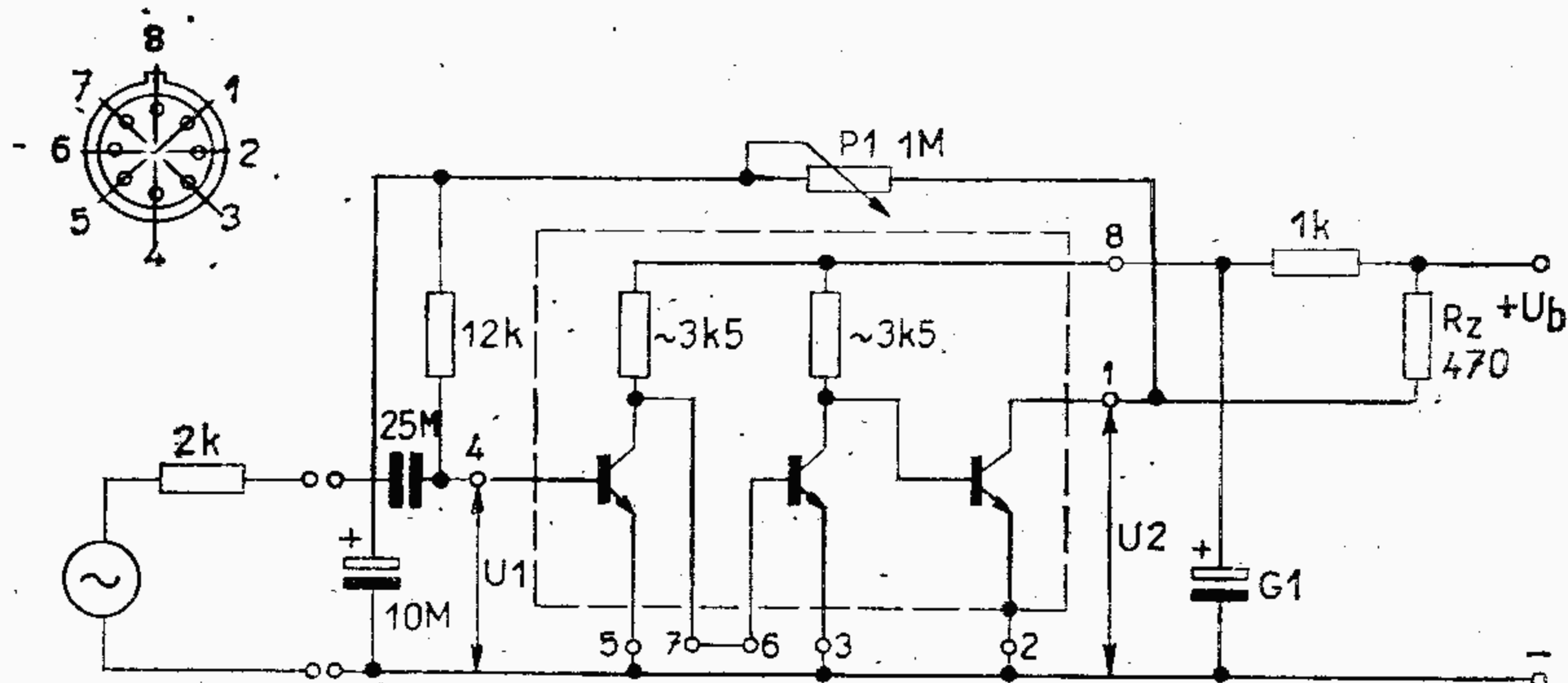
dodávky od října 1968

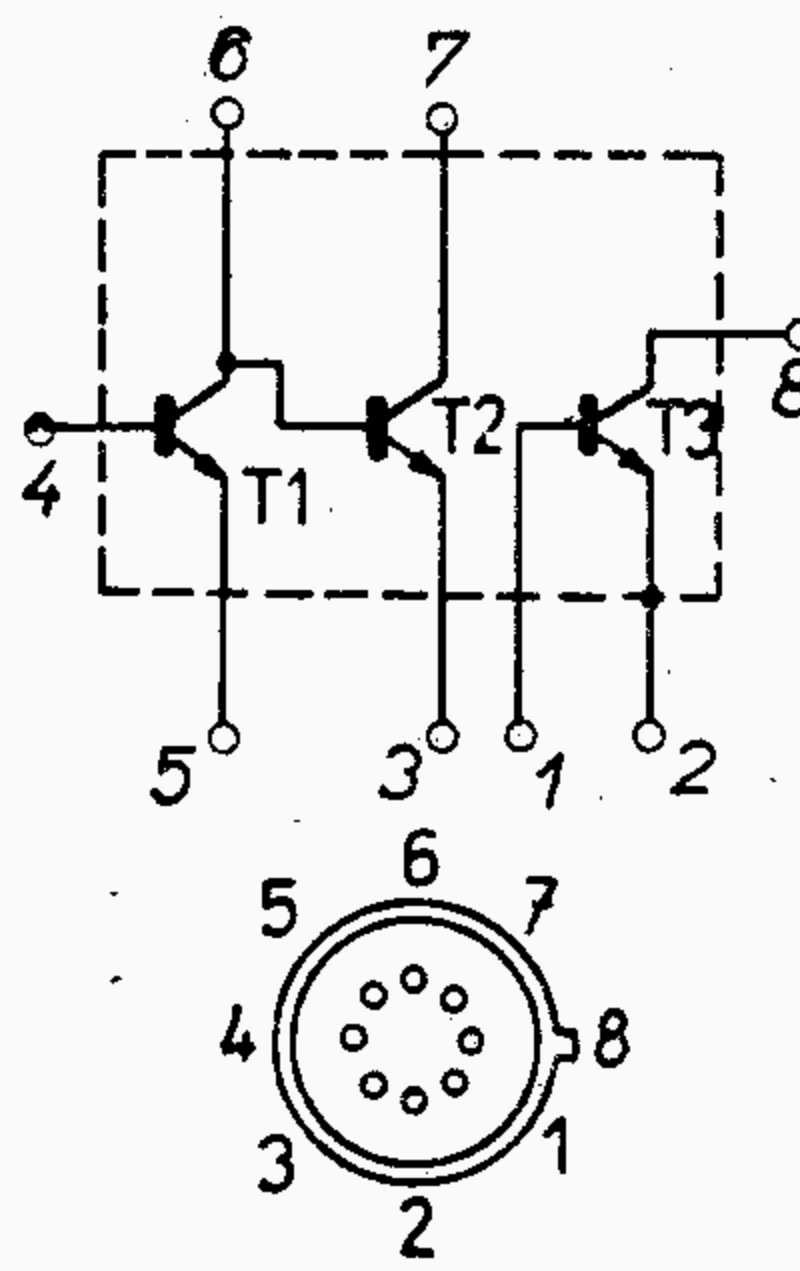


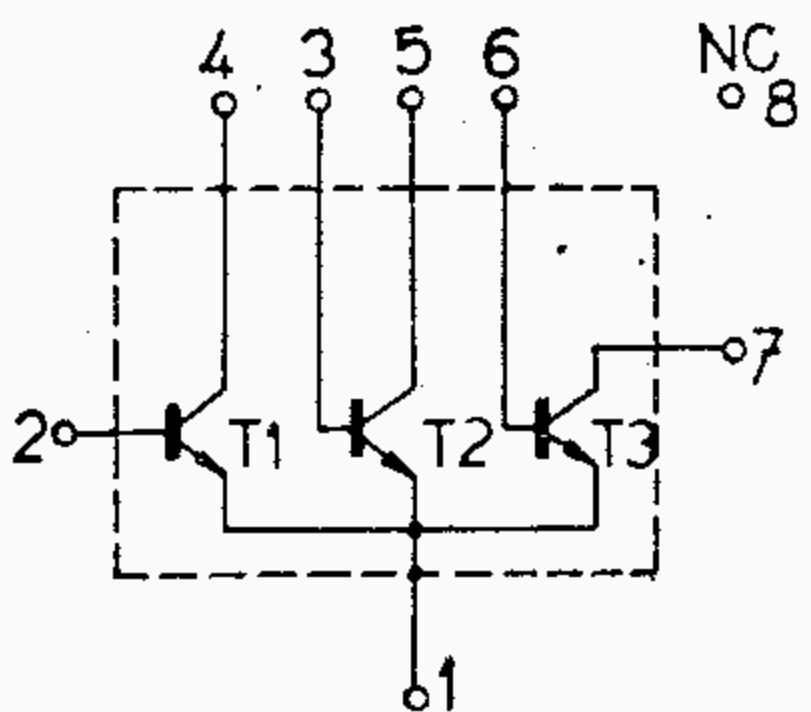
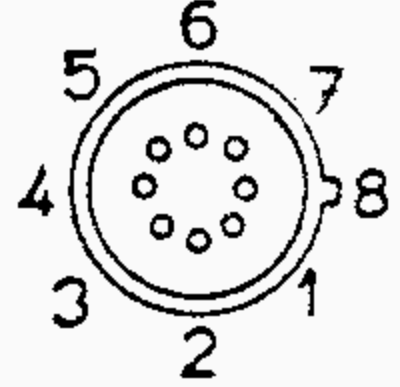
MAA225, MAA245



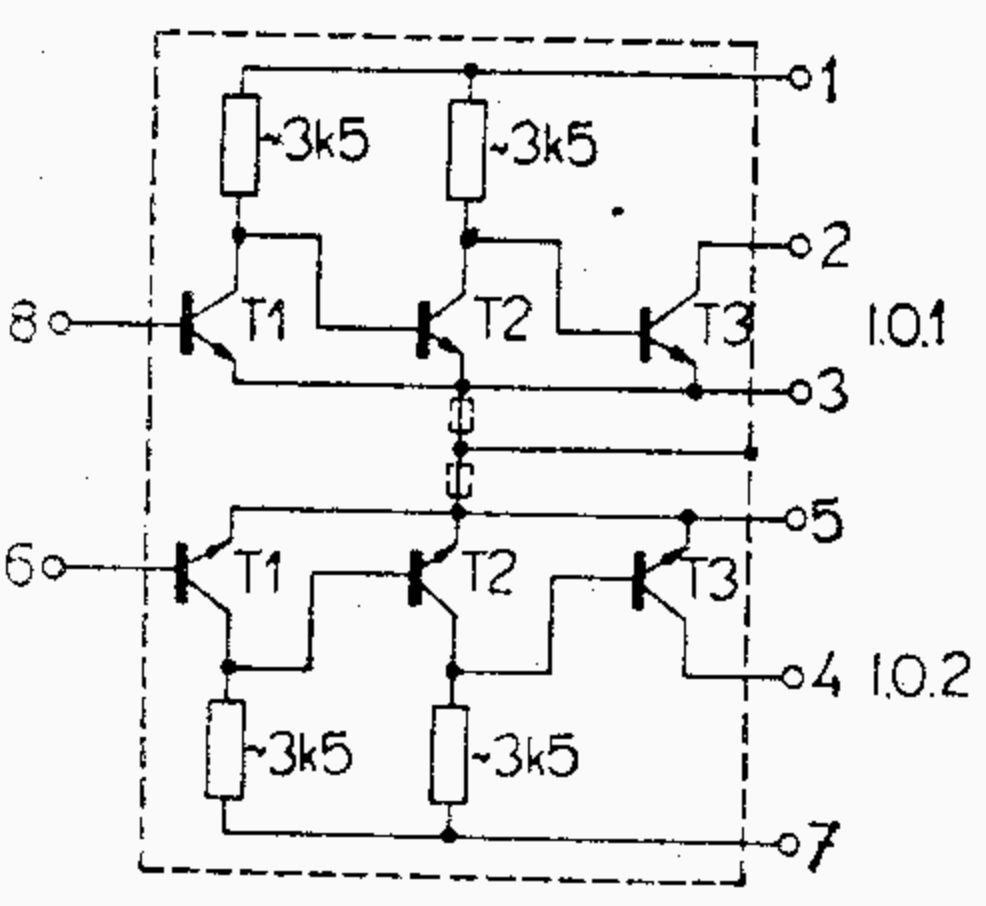
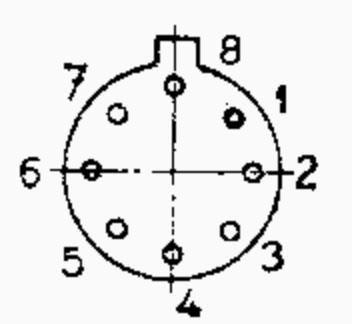
MAA325, MAA345



Typ	Provozní hodnoty	Mezní hodnoty
<p>MAA435</p>  <p>Křemíkový integrovaný třístupňový zesilovač pro NF, MF a stejnosměrné zesilovače apod.</p>	<p>měřeno při</p> <p> $h_{21E\ 1} > 40$ $h_{21E\ 2} > 40$ $h_{21E\ 3} > 40$ $U_{BE} \ 0,65 \ 0,55...0,8 \ \text{V}$ $U_{8/2S} \ 0,5 < 0,7 \ \text{V}$ $U_{7/3S} < 0,9 \ \text{V}$ $F < 8 \ \text{dB}$ </p> <p> $h_{21e} \geq 1$ (T_1, T_2, T_3) </p> <p> $U_{6/4} = 6 \ \text{V}, I_5 = 0,2 \ \text{mA}$ $U_{7/6} = 6 \ \text{V}, I_3 = 0,2 \ \text{mA}$ $U_{8/1} = 3,5 \ \text{V}, I_2 = 15 \ \text{mA}$ $I_5 = 0,2 \ \text{mA}, U_{6/5} = 6 \ \text{V}$ $I_1 = 0,5 \ \text{mA}, I_8 = 20 \ \text{mA}$ $I_6 = 0,2 \ \text{mA}, I_7 = 8 \ \text{mA}$ $U_{6/5} = 6 \ \text{V}, I_6 = 100 \ \mu\text{A},$ $R_g = 2 \ \text{k}\Omega, f = 1 \ \text{kHz},$ $\Delta f = 30 \ \text{Hz} \dots 15 \ \text{kHz}$ </p> <p> $U_{CE} = 6 \ \text{V}, I_E = 2 \ \text{mA},$ $f = 100 \ \text{MHz}$ </p>	<p> $U_{6/5} \ 7 \ \text{V}$ $U_{7/3} \ 7 \ \text{V}$ $U_{8/2} \ 9 \ \text{V}$ $U_{6/4} \ 15 \ \text{V}$ $U_{8/1} \ 15 \ \text{V}$ $U_{5/4} \ 6 \ \text{V}$ $U_{3/6} \ 6 \ \text{V}$ $U_{2/1} \ 6 \ \text{V}$ $I_2 \ 40 \ \text{mA}$ $I_5 \ 20 \ \text{mA}$ $I_3 \ 20 \ \text{mA}$ $I_1 \ 10 \ \text{mA}$ $I_4 \ 10 \ \text{mA}$ $P \ (T_a < 45 \ ^\circ\text{C})$ $\ 300 \ \text{mW}$ $T_j \ 150 \ ^\circ\text{C}$ $T_a \ -55...+125 \ ^\circ\text{C}$ </p>

Typ	Provozní hodnoty	Mezní hodnoty
MAA525  	<p>měřeno při $U_{CB} = 6 \text{ V}, I_E = 2 \text{ mA}$</p> <p>$h_{21E}$ (T1, T2, T3) > 20</p> <p>U_{BE} (T1, T2, T3) $0,5 < 0,75 < 0,8 \text{ V}$</p> <p>$U_{CES}$ (T1, T2, T3) $< 0,4 \text{ V}$</p> <p>F (T1) $\leq 10 \text{ dB}$</p> <p>h_{21e} (T1, T2, T3) ≥ 1</p> <p>$U_{CB} = 6 \text{ V}, I_E = 200 \mu\text{A}$ $I_C = 8 \text{ mA}, I_B = 0,4 \text{ mA}$ $U_{41} = 6 \text{ V}, I_4 = 100 \mu\text{A},$ $R_G = 2 \text{ k}\Omega, f = 1 \text{ kHz},$ $\Delta f = 30 \text{ Hz} \dots 15 \text{ kHz}$</p> <p>$U_{CE} = 6 \text{ V}, I_E = 2 \text{ mA},$ $f = 100 \text{ MHz}$</p>	<p>U_{CEO} (T1, T2, T3) $(I_{CE} = 30 \mu\text{A})$ 7 V</p> <p>U_{EBO} (T1, T2, T3) $(I_{12} + I_{13} + I_{16} = 0,25 \text{ mA})$ 5 V</p> <p>I_C (T3) 40 mA</p> <p>I_C (T2) 20 mA</p> <p>I_C (T1) 10 mA</p> <p>P_{tot} ($T_a \leq 45^\circ\text{C}$) 300 mW</p> <p>T_j 150°C</p> <p>T_a $-55 \dots +125^\circ\text{C}$</p>

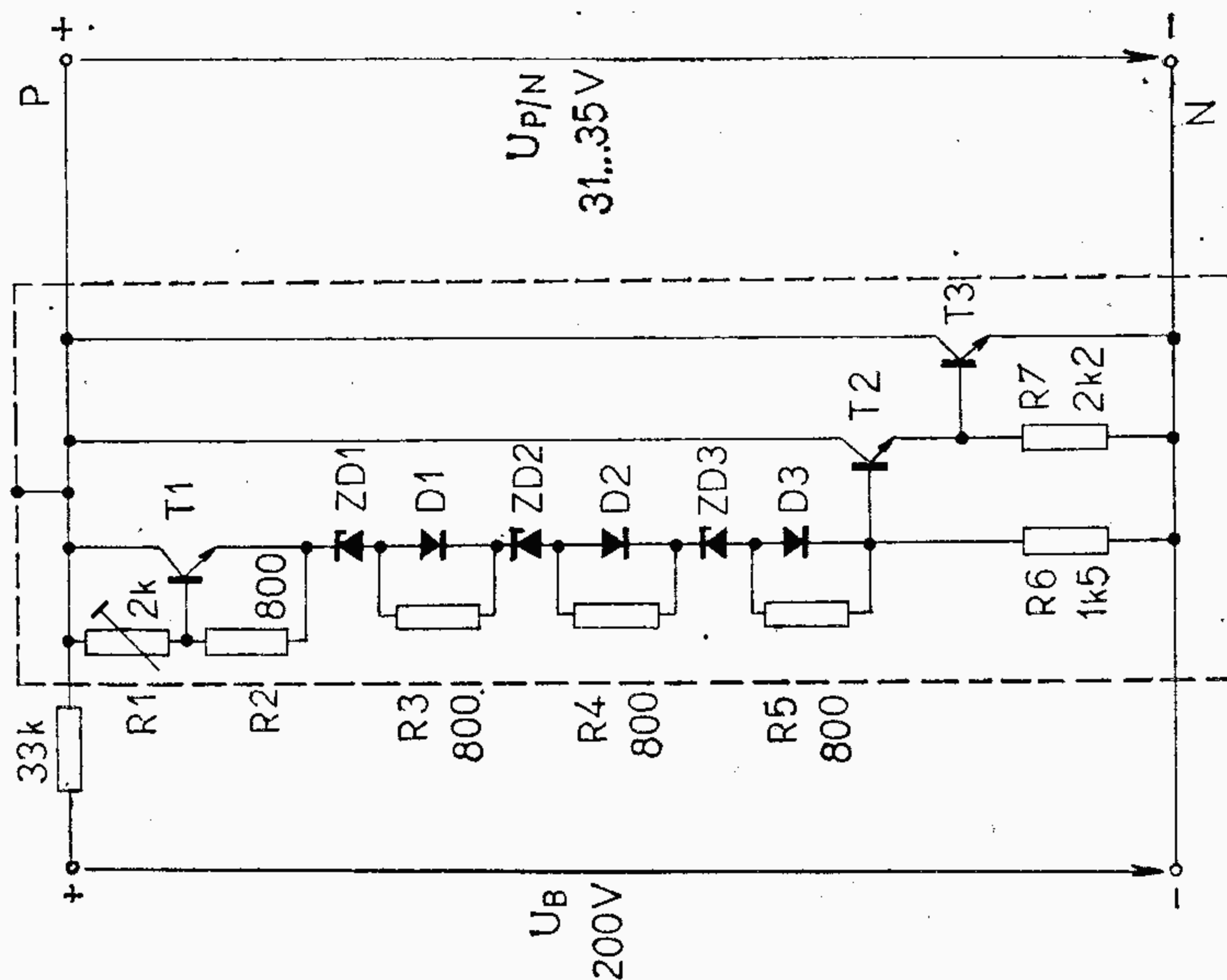
Křemíkový integrovaný obvod se třemi samostatně vyvedenými tranzistory pro NF a stejnosměrné zesilovače.

Typ	Provozní hodnoty	Mezní hodnoty
MBA225 MBA245  	<p>měřeno při $U_B = 7 \text{ V}, U_{2eff} = 1 \text{ V}, f = 1 \text{ kHz},$ $R_Z = 470 \Omega, R_G = 470 \Omega$</p> <p>$A_u$ $> 60 \text{ dB}$</p> <p>A_u $> 50 \text{ dB}$</p> <p>$A_{uI} - A_{uII}$ $< 5 \text{ dB}$</p> <p>R_{vst} $> 3 \text{ k}\Omega$</p> <p>K $< 1,5 \%$</p> <p>U_s ($U_2 : A_u$) $< 5 \mu\text{V}$</p> <p>$f_d^{2)}$ $< 20 \text{ Hz}$</p> <p>$f_h^{2)}$ $> 20 \text{ kHz}$</p> <p>U_B $> 1 \text{ V}$</p> <p>$R_1^{3)}$ $> 6,8 \text{ k}\Omega$ MBA 225</p> <p>$R_1^{3)}$ $> 15 \text{ k}\Omega$ MBA 245</p> <p>$U_{3/80}$ 6 V ($U_{EBO max}$)</p> <p>$U_{3/60}$ 6 V ($U_{EBO max}$)</p> <p>$U_B = 7 \text{ V}, U_{2eff} = 1 \text{ V}, f = 1 \text{ MHz},$ $R_Z = 470 \Omega, R_G = 470 \Omega$</p> <p>$U_B = 7 \text{ V}, R_Z = 470 \Omega, R_G = 470 \Omega$</p> <p>$U_B = 7 \text{ V}, f = 1 \text{ kHz}, R_Z = 470 \Omega$</p> <p>$U_B = 7 \text{ V}, U_{2eff} = 2,1 \text{ V},$ $f = 1 \text{ kHz}, R_Z = 470 \Omega, R_G = 470 \Omega$</p> <p>$U_B = 4,5 \text{ V}, R_Z = 470 \Omega,$ $f = 40 \text{ Hz} \dots 15 \text{ kHz}, R_G = 470 \Omega$</p>	<p>MBA225 MBA245</p> <p>U_B $7 \quad 12 \text{ V}$</p> <p>$U_{2/30}$ $7 \quad 12 \text{ V}$</p> <p>$U_{4/50}$ $7 \quad 12 \text{ V}$</p> <p>I 50 mA</p> <p>P_{tot} ($T_a < 45^\circ\text{C}$) 300 mW</p> <p>T_j 150°C</p> <p>R_t 330°C/W</p> <p>T_a $-55 \dots +125^\circ\text{C}$</p>

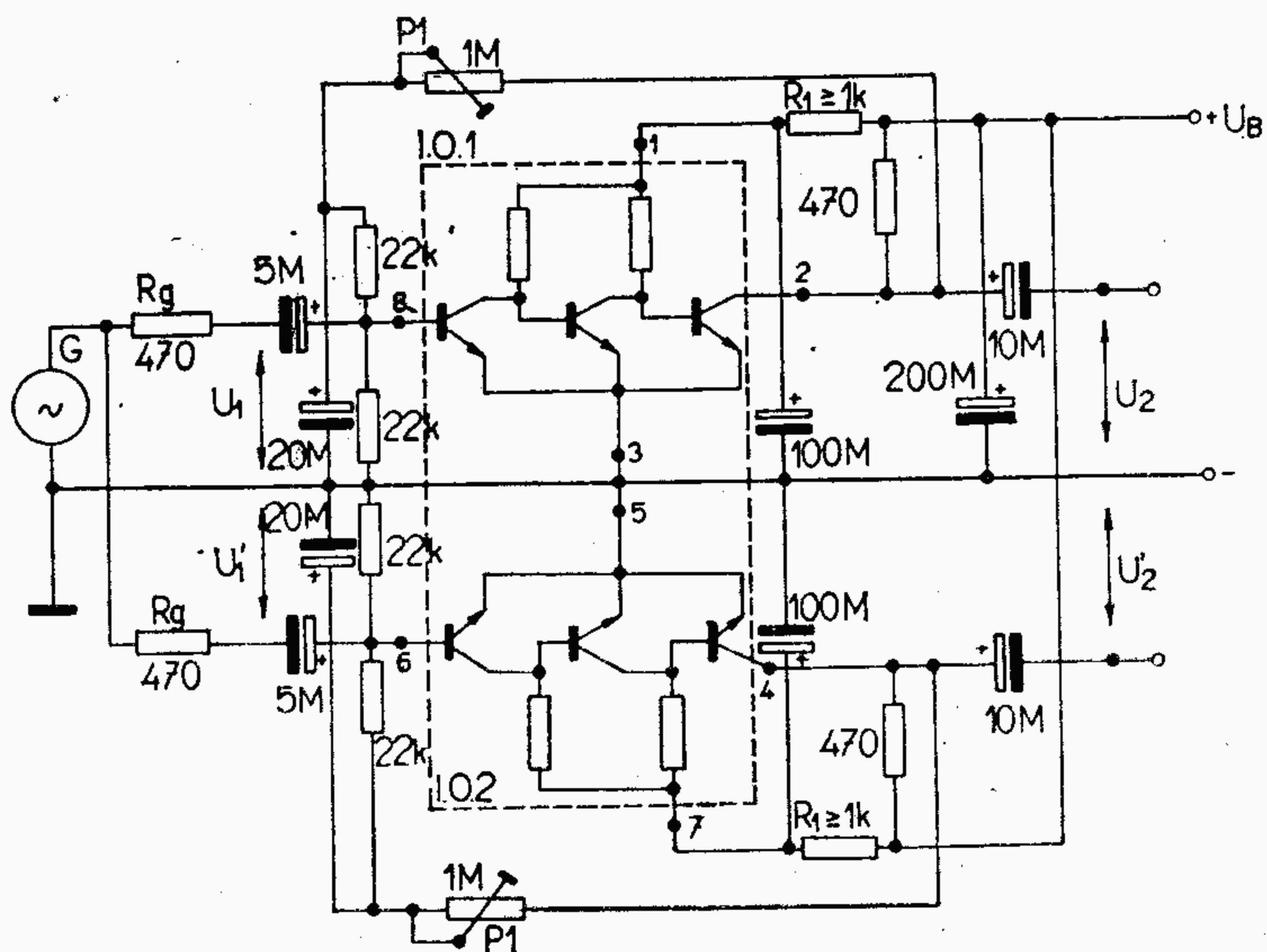
Lineární integrovaný obvod pro dvoukanálové ss, nf a mf zesilovače.

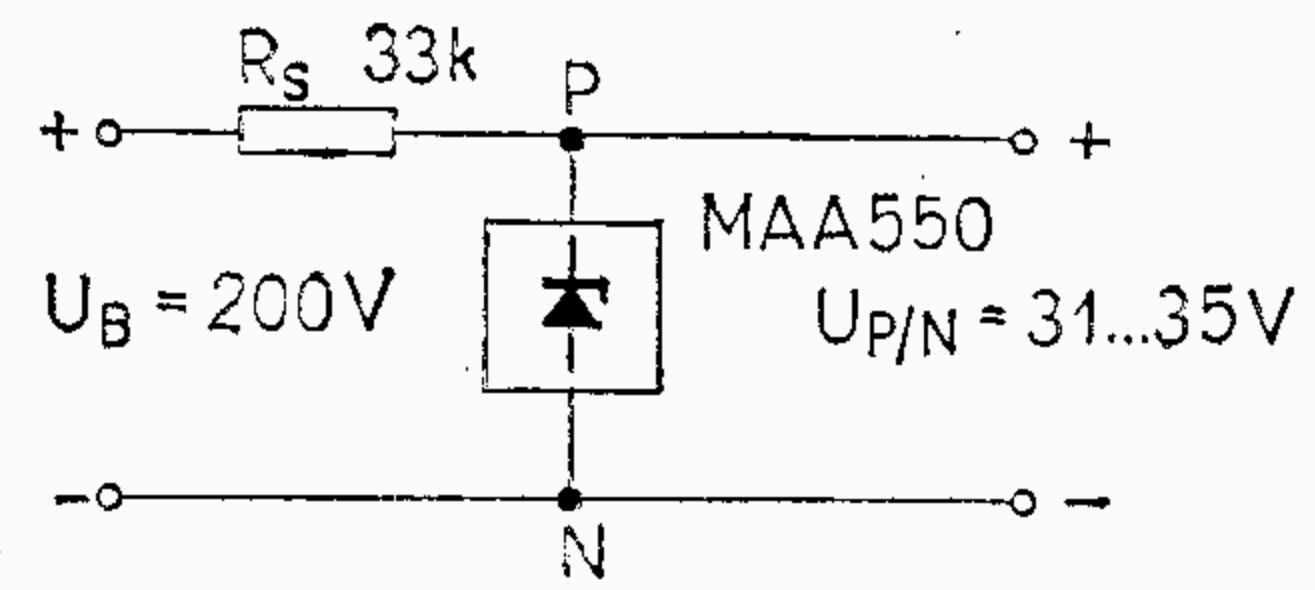
- Hodnoty platí v doporučeném zapojení. Pracovní bod se nastaví potenciometrem P1 tak, aby při daném výstupním napětí U_{2eff} bylo minimální zkreslení. Viz str. 196.
- Přenos mezních kmitočtů s poklesem -3 dB proti referenčnímu kmitočtu 1 kHz .
- Vhodná velikost pro dosažení malého šumu. Použití odporu min. $1 \text{ k}\Omega$ je žádoucí z důvodů stability zesilovače.

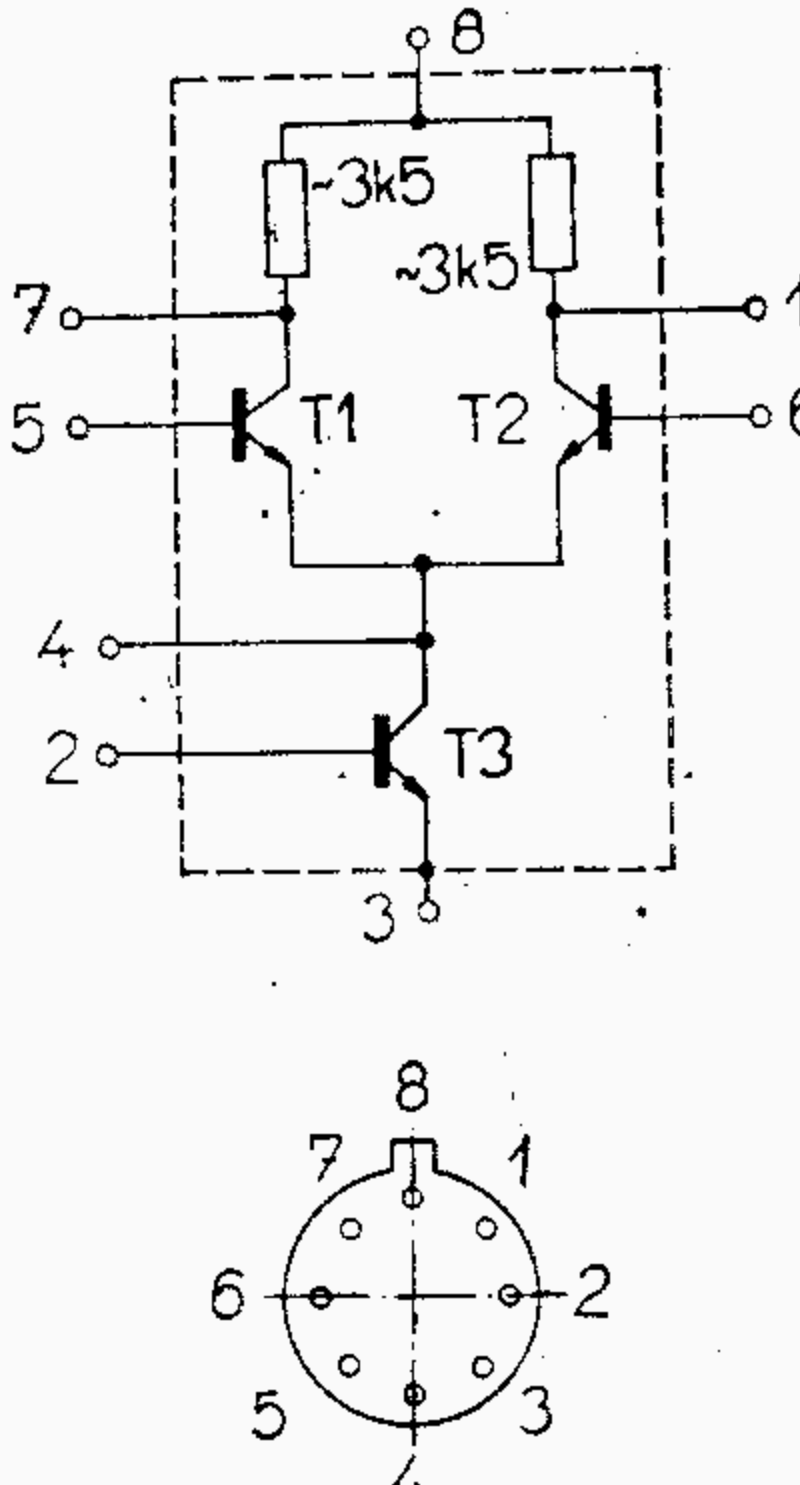
MAA550



MBA225, MBA245



T y p	Provozní hodnoty	Mezní hodnoty
<p>MAA550</p> <p>Monolitický integrovaný obvod pro zdroje vysoce konstantního, teplotně kompenzovaného referenčního napětí 33 V pro zdroje ladicího napětí kanálových voličů s kapacitními diodami.</p>	<p>měřeno při</p> <p>$U_{P/N}$ 31 ... 35 V $I_{P/N} = 5 \text{ mA}$</p> <p>$r_{P/N}$ 12 $< 25 \Omega$ $I_{P/N} = 5 \text{ mA}, f = 1 \text{ kHz}$</p> <p>$\Delta U_{P/N}$ -125...+62 mV $I_{P/N} = 5 \text{ mA}, T_a = 10 \dots 50 \text{ }^\circ\text{C}$</p> <p>$\frac{\Delta U_{P/N}}{T_a}$ 1,0 -3,1...+1,55 mV/°C $I_{P/N} = 5 \text{ mA}, T_a = 10 \dots 50 \text{ }^\circ\text{C}$</p> 	<p>$I_{P/N}$ 15 mA</p> <p>T_j +150 °C</p> <p>T_a -20...+150 °C</p> <p>T_s -25...+155 °C</p>

Typ	Provozní hodnoty	Mezní hodnoty
MBA125 MBA145  <p>Integrovaný obvod pro diferenciální zesilovače, předzesilovače a multi- vibrátory.</p>	$A_{UN} > 50$ $U_{N\ vst} < 4$ mV $I_{N\ vst} < 2$ μ A $I_{O\ vst} < 50$ μ A $H > 60$ dB $R_{vst} \begin{matrix} 2,5 > 1 \\ 2,3 < 4 \end{matrix}$ k Ω $R_{výst} > 1$ k Ω $D_U (T_a = 0 \dots +70^\circ\text{C})$ 6 μ V/ $^\circ$ C $U_{šš} \begin{matrix} 3,5 \\ 6 \end{matrix}$ V	$U_B \begin{matrix} \pm 7 & \pm 12 \\ \pm 4 & \pm 4 \end{matrix}$ V $U_{dif} \begin{matrix} \pm 4 & \pm 4 \\ 7 & 12 \end{matrix}$ V $U_{1/4} \begin{matrix} 7 & 12 \\ 7 & 12 \end{matrix}$ V $U_{7/4} \begin{matrix} 7 & 12 \\ 7 & 12 \end{matrix}$ V $U_{4/3} \begin{matrix} 7 & 12 \\ 20 & \end{matrix}$ V $I_{83} \begin{matrix} 20 \\ 300 \end{matrix}$ mA $P_{tot} (T_a \leq 45^\circ\text{C})$ 150 mW $T_j \begin{matrix} 150 \\ -55 \dots +125 \end{matrix}$ $^\circ$ C $T_a \begin{matrix} -55 \dots +125 \\ -65 \dots +150 \end{matrix}$ $^\circ$ C $T_s \begin{matrix} -55 \dots +125 \\ -65 \dots +150 \end{matrix}$ $^\circ$ C

Typ		Provozní hodnoty				Mezní hodnoty			
MAA501 MAA502 MAA504	MAA503	MAA503 ⁴⁾ MAA504 ⁴⁾							
		MAA501 ¹⁾	MAA502 ¹⁾	MAA503 ⁴⁾	MAA504 ⁴⁾				
		$U_{N\ vst}$	< 6	< 3	$< 7,5$ mV	R_S	≤ 10 k Ω		
		$D^7)$	3	< 10	$\mu V/^{\circ}C$	R_S	≤ 50 k Ω		
		$D^7)$	6	$< 15^2)$	$\mu V/^{\circ}C$	R_S	≤ 10 k Ω		
		A_u	25 000 .. 70 000	25 000 .. 70 000	45 000 > 15 000	U_B	$= \pm 15$ V,		
						R_Z	≥ 2 k Ω ,		
						$U_{výst}$	$= \pm 10$ V		
		U_2	$> \pm 12$	$> \pm 12$	$> \pm 12$ V	U_B	$= \pm 15$ V,		
						R_Z	≥ 10 k Ω		
		U_2	$> \pm 10$	$> \pm 10$	$> \pm 10$ V	U_B	$= \pm 15$ V,		
						R_Z	≥ 2 k Ω ,		
		U_2	$> \pm 8$	$> \pm 8$	$> \pm 8$ V	U_B	$= \pm 15$ V,		
		$H^5)$	> 70	> 80	> 65 dB	R_S	≤ 10 k Ω		
		$E_{UB}^6)$	< 150	< 100	< 200 $\mu V/V$	R_S	≤ 10 k Ω		
		$I_{N\ vst}$	< 200	< 50	— nA	T_a	$= +125^{\circ}C$		
		$I_{N\ vst}$	< 500	< 250	— nA	T_a	$= -55^{\circ}C$		
		$I_{N\ vst}$	—	—	< 500 nA	T_a	$= 25^{\circ}C$		
		$I_{O\ vst}$	$< 1,5$	$< 0,6$	— μA	T_a	$= -55^{\circ}C$		
		$I_{O\ vst}$	—	—	$< 1,5$ μA	T_a	$= 25^{\circ}C$		
		R_{vst}	> 40	—	> 50 k Ω	T_a	$= 25^{\circ}C$		
		R_{vst}	—	> 85	— k Ω	T_a	$= -55^{\circ}C$		
		1) $-55^{\circ}C \leq T_a \leq +125^{\circ}C$, $\pm 9 \leq U_B \leq \pm 15$ V, není-li uvedeno jinak.							
		2) $T_a = +25 \dots +125^{\circ}C$ 5) Činitel potlačení součtového signálu.							
		4) $U_B = \pm 15$ V, $T_a = +25^{\circ}C$ 6) Citlivost na změnu napájecího napětí.							
		7) Tepelný součinitel napěťové nesymetrie vstupů.							

Lineární integrovaný obvod — operační zesilovač s vysokým ziskem, malou nesymetrií, velkým vstupním odporem a šířkou přenášeného pásma a malým příkonem pro obvody v ss servozařích, analogových počítačích, stejnosměrných zesilovačích, v generátorech speciálních lineárních i nelineárních kmitů.

Lineární integrovaný obvod — operační zesilovač s vysokým ziskem, malou nesymetrií, velkým vstupním odporem a šířkou přenášeného pásma a malým příkonem pro obvody v ss servozařích, analogových počítačích, stejnosměrných zesilovačích, v generátorech speciálních lineárních i nelineárních kmitů.

¹⁾ $-55^\circ\text{C} \leq T_a \leq +125^\circ\text{C}$, $\pm 9 \leq U_B \leq \pm 15$ V, není-li uvedeno jinak.

²⁾ $T_a = +25 \dots +125^\circ\text{C}$

⁴⁾ $U_B = \pm 15$ V, $T_a = +25^\circ\text{C}$

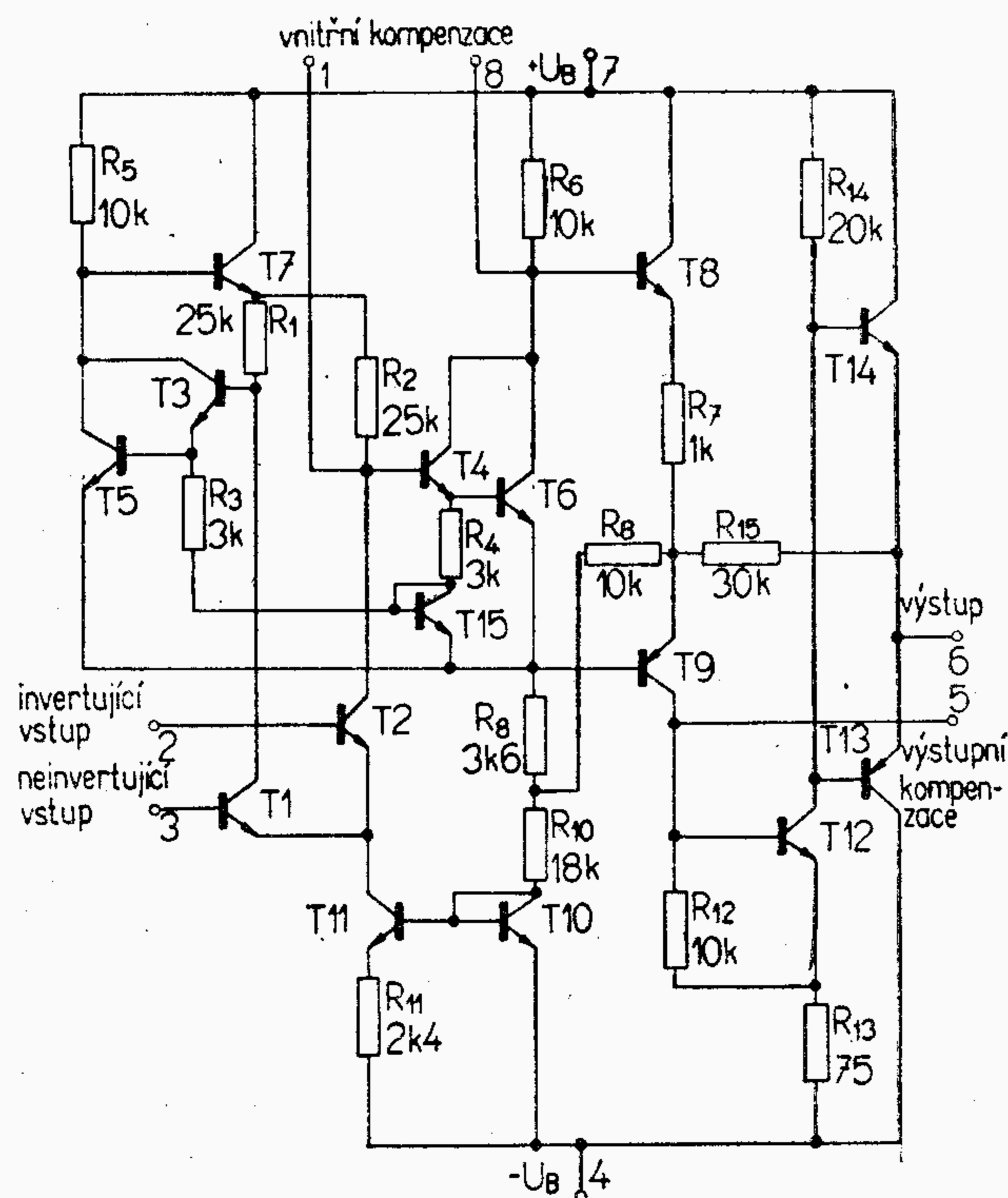
⁵⁾ Činitel potlačení součtového signálu.

⁶⁾ Citlivost na změnu napájecího napětí.

⁷⁾ Tepelný součinitel napěťové nesymetrie vstupů.

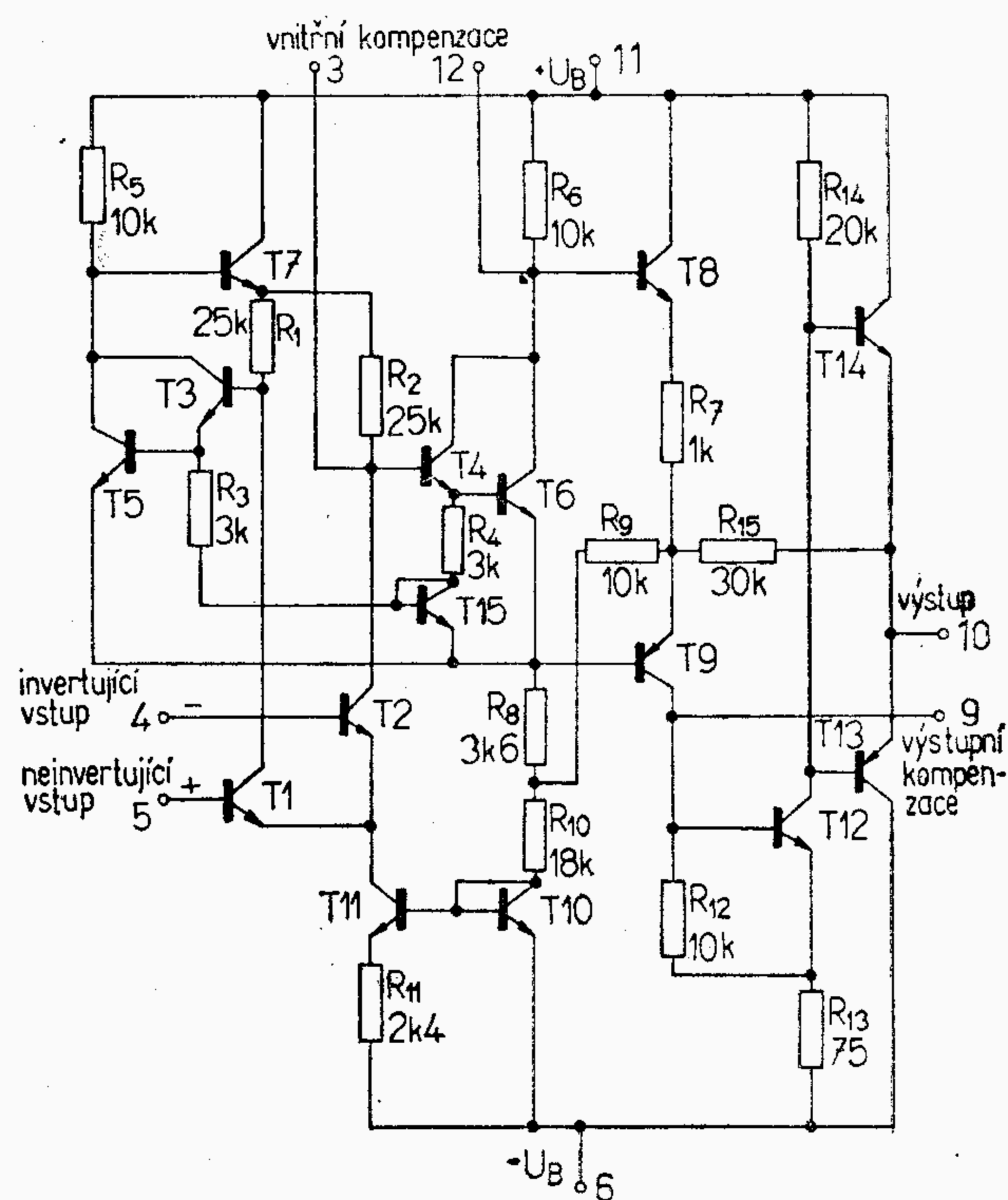
¹⁾ Krátkodobý zkrat výstupu.

MAA501, MAA502, MAA504



Číslování vývodů platí při pohledu zespodu.

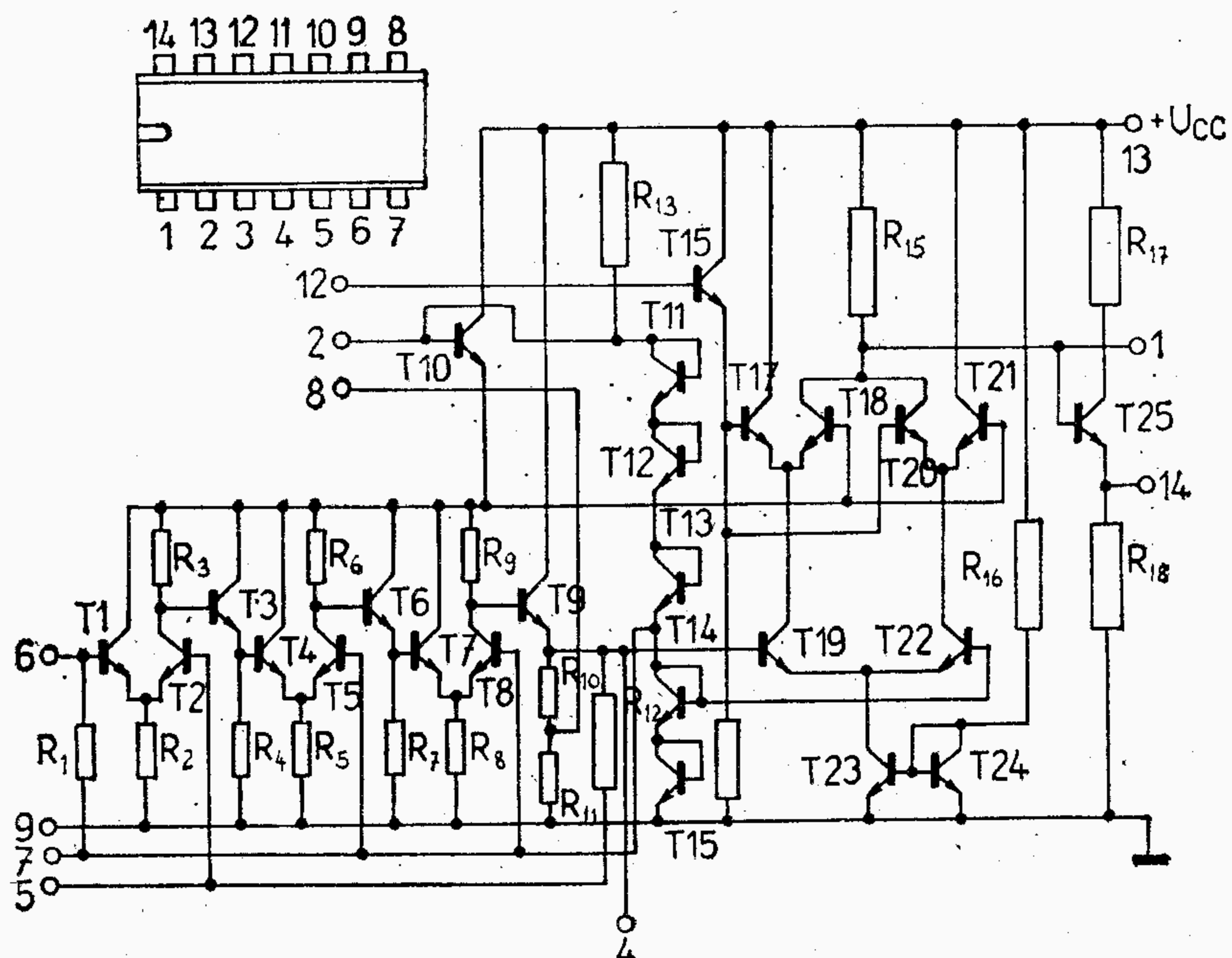
MAA503



Číslování vývodů platí při pohledu shora.

Typ	Provozní hodnoty		Mezní hodnoty	
MAA661	měřeno při		U_{CC}	+15 V
	I	13 8 ... 18 mA	$U_{5,6}$	± 4 V
	U_2	3,7 V	P_{tot}	600 mW
	U_6	1,45 V	T_a	0 ... 70 °C
	$U_4^{1)}$	1,5 V	T_s	-55 ... +155 °C
	$U_8^{2)}$	0,145 V		
	$U_{14\text{ nf}}$	7,0 V		
	MF zesilovač FM 6,5 MHz ($U_{CC} = 12$ V, $f = 6,5$ MHz, $T_a = 25$ °C)			
	R_{vst}	3,5 k Ω		
	C_{vst}	6,5 pF		
	$R_{vst(12)}$	70 k Ω		
	$C_{vst(12)}$	2,7 pF		
	$R_{výst(8)}$	60 Ω		
	$R_{výst(14)}$	100 Ω		
	$R_{Z(14)}$	>2 k Ω		
Vysokofrekvenční integrované obvody pro mf zesilovače s FM signálem, omezovače šumu a amplitudové modulace, koincidenční detektor v FM signálu, stabilizátor napětí a nf předzesilovač v televizních a rozhlasových přijímačích.	A_u	60 dB	$U_{vst} = 100$ μ V	
	U_{om}	10 <350 μ A	$\Delta f = 50$ kHz, $f_{mod} = 1$ kHz	
	U_{nf}	1000 >500 mV	$\Delta f = 50$ kHz, $f_{mod} = 1$ kHz, $U_{vst} = 10$ mV	
	AMR	50 > 40 dB	$\Delta f = 50$ kHz, $f_{mod} = 1$ kHz, $U_{vst} = 10$ mV, hloubka mod. 30 %	
	k	1 %	$\Delta f = 25$ kHz, $f_{mod} = 1$ kHz, $U_{vst} = 10$ mV	
				1) Výstup, vysoká úroveň
				2) Výstup, nízká úroveň

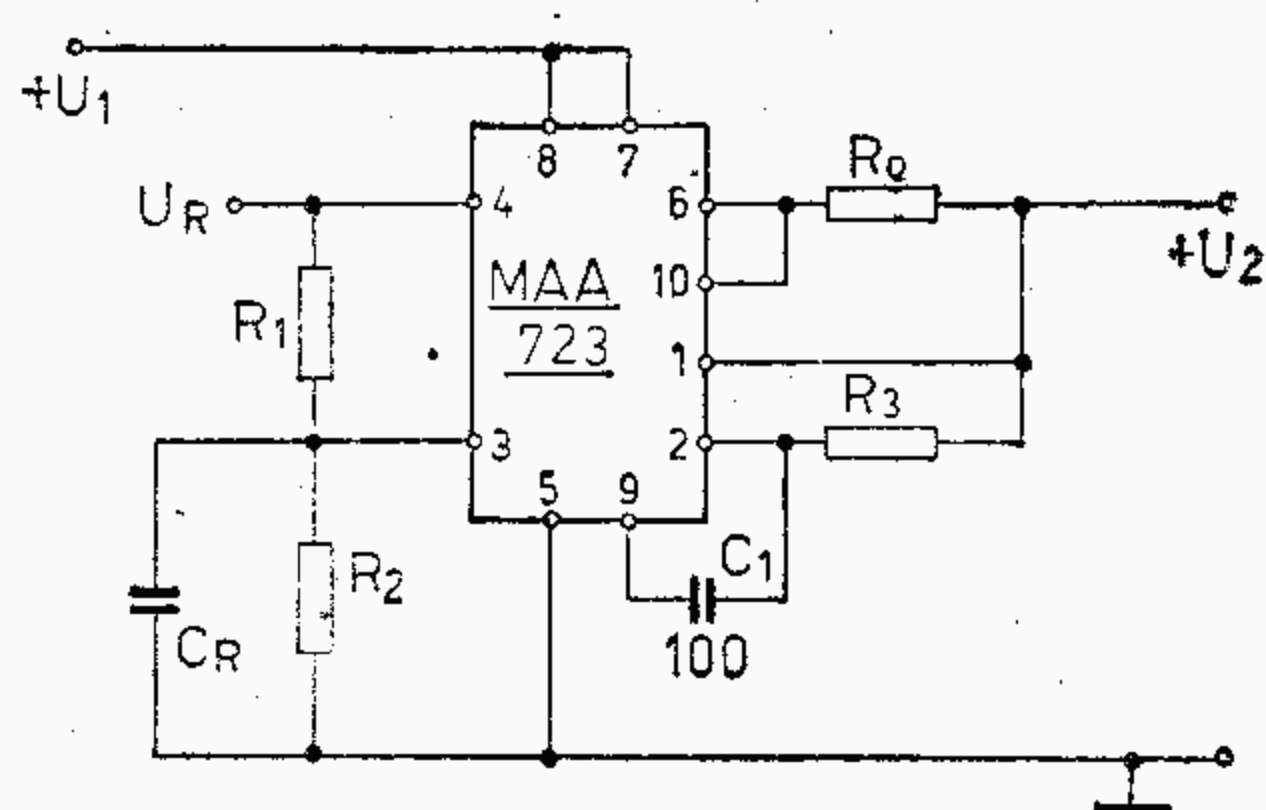
Číslování vývodů pouzdra platí při pohledu shora.



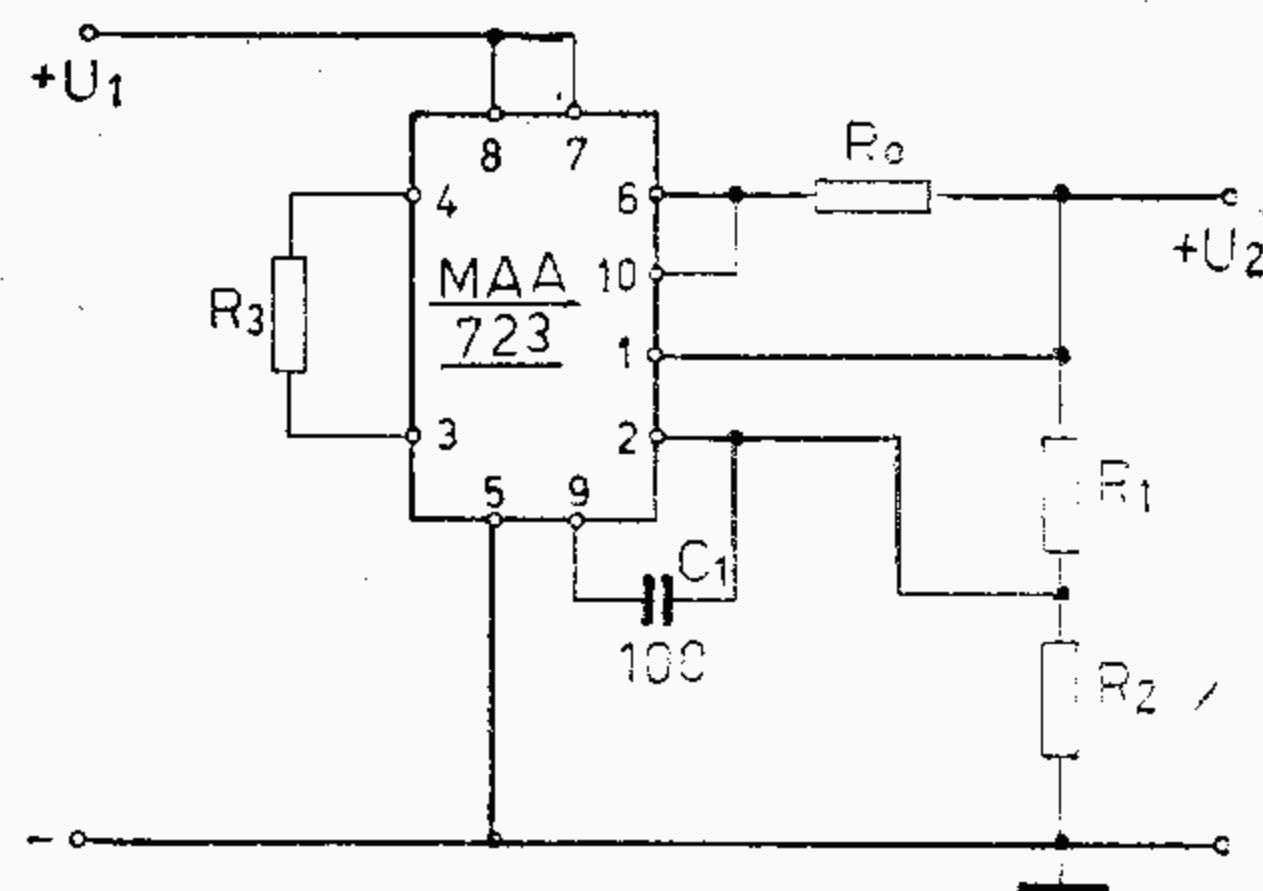
Typ	Provozní hodnoty				Mezní hodnoty	
MAA723	měřeno při				$U_{1M imp}$ (t = 50 ms)	
	ΔU_2	0,01	<0,1	% U_2	$U_1 = 12 \dots 15$ V, $U_2 = 5$ V, $I_2 = 1$ mA	50 V
	ΔU_2	0,02	<0,2	% U_2	$U_1 = 12 \dots 40$ V, $U_2 = 5$ V, $I_2 = 1$ mA	U_1 40 V
	ΔU_2		<0,3	% U_2	$U_1 = 12 \dots 15$ V, $U_2 = 5$ V, $I_2 = 1$ mA, $-55 \leq \vartheta_a \leq +125$ °C	$U_1 - U_2$ 40 V
	ΔU_2	0,03	<0,15	% U_2	$U_1 = 12$ V, $U_2 = 5$ V, $I_2 = 1 \dots 50$ mA	I_2 150 mA
	ΔU_2		<0,6	% U_2	$U_1 = 12$ V, $U_2 = 5$ V, $I_2 = 1 \dots 50$ mA, $-55 \leq \vartheta_a \leq +125$ °C	I_{Ref} 15 mA
	T_K	0,002	<0,015	%/°C	$U_1 = 12$ V, $U_2 = 5$ V, $I_2 = 1$ mA, $-55 \leq \vartheta_a \leq +125$ °C	P_{tot} 800 mW
	U_{Ref}	7,15	6,95	7,35	V	ϑ_a -55...+125 °C
	I_o	2,3	<3,5		mA	ϑ_s -65...+150 °C
	U_1		9,5...40		V	
	U_2		2...37		V	
	$U_1 - U_2$		3...38		V	
	P_{zvl}	74			dB	$U_1 = 12$ V, $U_2 = 5$ V, $I_2 = 1$ mA, $f = 50$ Hz...10 kHz, $C_R = 0$
	P_{zvl}	85			dB	$U_1 = 12$ V, $U_2 = 5$ V, $I_2 = 1$ mA, $f = 50$ Hz...10 kHz, $C_R = 5 \mu F$
	I_{2S}	65			mA	$U_1 = 12$ V, $U_2 = 0$, $R_o = 10 \Omega$
	U_{sef}	20			V	$U_1 = 12$ V, $U_2 = 5$ V, $I_2 = 1$ mA, $B = 100$ Hz...10 kHz, $C_R = 0$
	U_{sef}	2,5			V	$U_1 = 12$ V, $U_2 = 5$ V, $I_2 = 1$ mA, $B = 100$ Hz...10 kHz, $C_R = 5 \mu F$
	S	0,1		%/1000 hod	$U_1 = 12$ V, $U_2 = 5$ V, $I_2 = 1$ mA	
Přesný stabilizátor napětí pro napájecí obvody v elektronických přístrojích.						

Přesný stabilizátor napětí pro napájecí obvody v elektronických přístrojích.

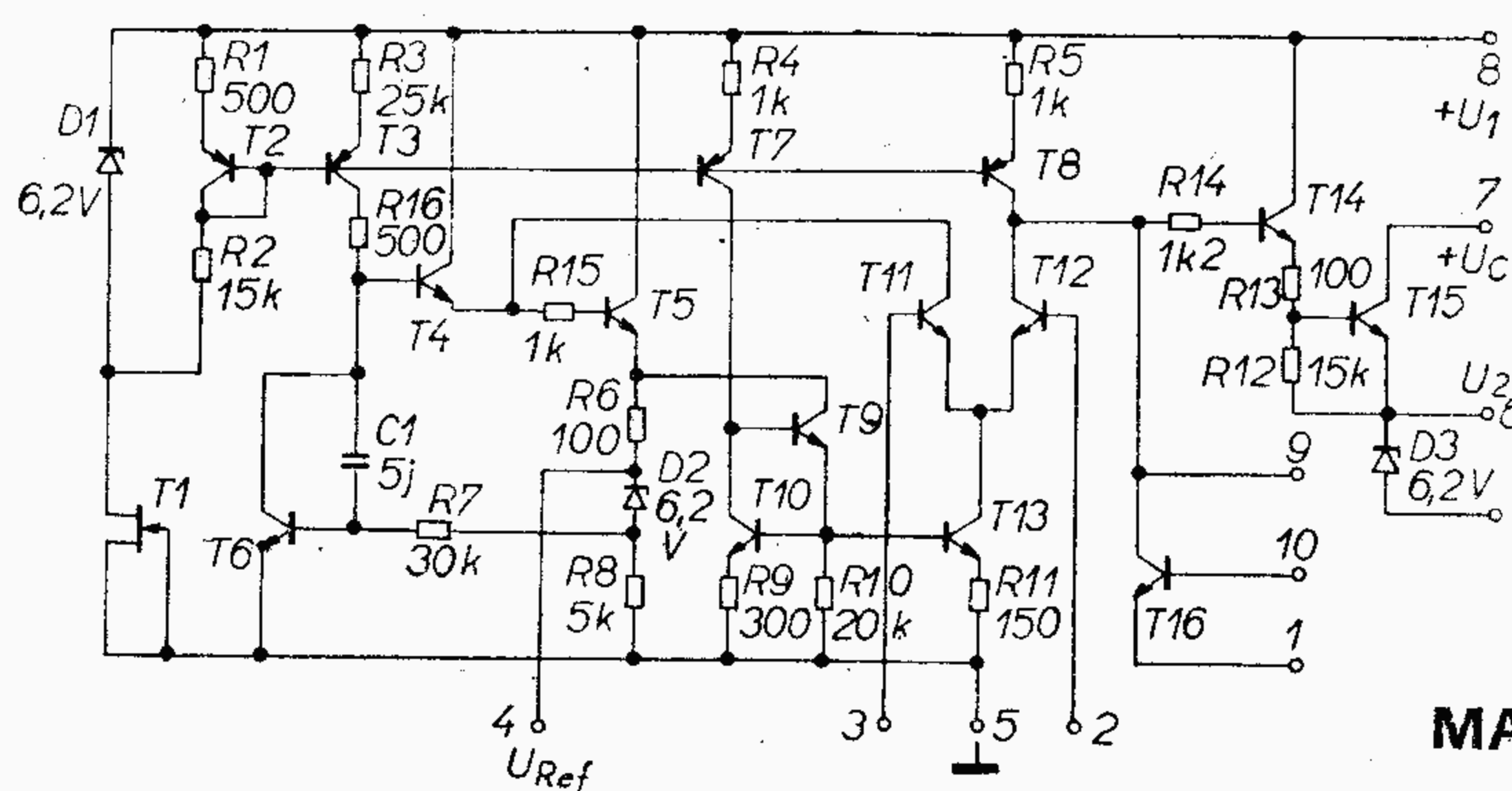
Typ	Provozní hodnoty			Mezní hodnoty		
MAA723H				měřeno při		
	ΔU_2	0,1	% U_2	$U_1 = 12 \dots 15 \text{ V}$, $U_2 = 5 \text{ V}$, $I_2 = 1 \text{ mA}$	$U_{1M \text{ imp}}$ ($t = 50 \text{ ms}$)	50 V
	ΔU_2	0,4	<1	% U_2	U_1	40 V
	ΔU_2		<0,3	% U_2	$U_1 - U_2$	40 V
	T_K	0,015	%/°C	$U_1 = 12 \text{ V}$, $U_2 = 5 \text{ V}$, $I_2 = 1 \dots 50 \text{ mA}$	I_2	150 mA
				$-55 \dots \vartheta_a \leq +125 \text{ °C}$	I_{Ref}	15 mA
	U_{Ref}	7,15	6,8...7,5 V	$U_1 = 12 \text{ V}$, $U_2 = 5 \text{ V}$	P_{tot}	700 mW
	I_o		<5 mA	$U_1 = 30 \text{ V}$, $I_2 = 0$	ϑ_a	-55...+125 °C
	U_1		9,5...40 V		ϑ_s	-65...+150 °C
	U_2		2...37 V			
	$U_1 - U_2$		3...38 V			
	P_{zvl}	60	dB	$U_1 = 12 \text{ V}$, $U_2 = 5 \text{ V}$, $I_2 = 1 \text{ mA}$, $f = 50 \text{ Hz} \dots 10 \text{ kHz}$, $C_R = 0$		
	P_{zvl}	72	dB	$U_1 = 12 \text{ V}$, $U_2 = 5 \text{ V}$, $I_2 = 1 \text{ mA}$, $f = 50 \text{ Hz} \dots 10 \text{ kHz}$, $C_R = 5 \mu\text{F}$		
	I_{2S}	65	mA	$U_1 = 12 \text{ V}$, $U_2 = 0$, $R_o = 10 \Omega$		
	S	1	%/1000 hod	$U_1 = 12 \text{ V}$, $U_2 = 5 \text{ V}$, $I_2 = 1 \text{ mA}$		
Zapojení vývodů MAA723, MAA723H:						
<p>Přesný stabilizátor napětí pro napájecí obvody v elektronických přístrojích.</p>						
<p>1. Proudová kontrola 2. Invertující vstup 3. Neinvertující vstup 4. U_{Ref} — referenční napětí 5. Zem (-) 6. U_2 — výstupní stabilizované napětí 7. $+U_C$ — napájení výstupního tranzistoru 8. $+U_1$ — vstupní nestabilizované napětí 9. Kmitočtová kompenzace 10. Proudové omezení.</p>						

Výstupní napětí $U_2 = 2 \dots 7 \text{ V}$ 

U_2	R_1	R_2
3 V	4,12	3,01 k Ω
5 V	2,15	4,99 k Ω
6 V	1,15	6,04 k Ω

Výstupní napětí $U_2 = 7 \dots 37 \text{ V}$ 

U_2	R_1	R_2
9 V	1,87	7,15 k Ω
15 V	7,87	7,15 k Ω
28 V	21	7,15 k Ω



MAA723, MAA723H

Typ	Provozní hodnoty			Mezní hodnoty
MAA725	Platí při $U_B = \pm 15 \text{ V}$, $T_a = 25^\circ \text{C}$, není-li jinak uvedeno			$U_B \pm 3 \dots \pm 22 \text{ V}$
	měřeno při $R_s \leq 10 \text{ k}\Omega$			$U_{vst}^{1)} \pm 22 \text{ V}$
$U_{N \text{ vst}}$	0,5	< 1	mV	$U_{dif}^{2)} \pm 22 \text{ V}$
$I_{N \text{ vst}}$	2	< 20	nA	$U_{1/7} \pm 0,5 \text{ V}$
$I_{O \text{ vst}}$	42	< 100	nA	$P_{tot} (T_c \leq 125^\circ \text{C})$
$U_{\dot{s} \text{ vst}}$	15		$\text{nV}/\sqrt{\text{Hz}}$	500 mW
$U_{\dot{s} \text{ vst}}$	9		$\text{nV}/\sqrt{\text{Hz}}$	$\vartheta_a -55 \dots +125^\circ \text{C}$
$U_{\dot{s} \text{ vst}}$	8		$\text{nV}/\sqrt{\text{Hz}}$	$\vartheta_s -65 \dots +105^\circ \text{C}$
$I_{\dot{s} \text{ vst}}$	1		$\text{pA}/\sqrt{\text{Hz}}$	$\alpha 6,5 \text{ mW}/^\circ \text{C}$
$I_{\dot{s} \text{ vst}}$	0,3		$\text{pA}/\sqrt{\text{Hz}}$	
$I_{\dot{s} \text{ vst}}$	0,15		$\text{pA}/\sqrt{\text{Hz}}$	
R_{vst}	1,5		M Ω	
U_{vst}	± 14	$> \pm 13,5$	V	
A_U	$3 \cdot 10^6$	$> 1 \cdot 10^6$		$R_Z \geq 2 \text{ k}\Omega, U_{výst} = \pm 10 \text{ V}$
H	120	> 110	dB	$R_s \leq 10 \text{ k}\Omega$
E_{UB}	2	< 10	$\mu\text{V}/\text{V}$	$R_s \leq 10 \text{ k}\Omega$
U_2	$\pm 13,5$	$> \pm 12$	V	$R_Z \geq 10 \text{ k}\Omega$
U_2	$\pm 13,5$	$> \pm 10$	V	$R_Z \geq 2 \text{ k}\Omega$
$R_{výst}$	150		Ω	$f = 1 \text{ kHz}$
P	80	< 105	mW	

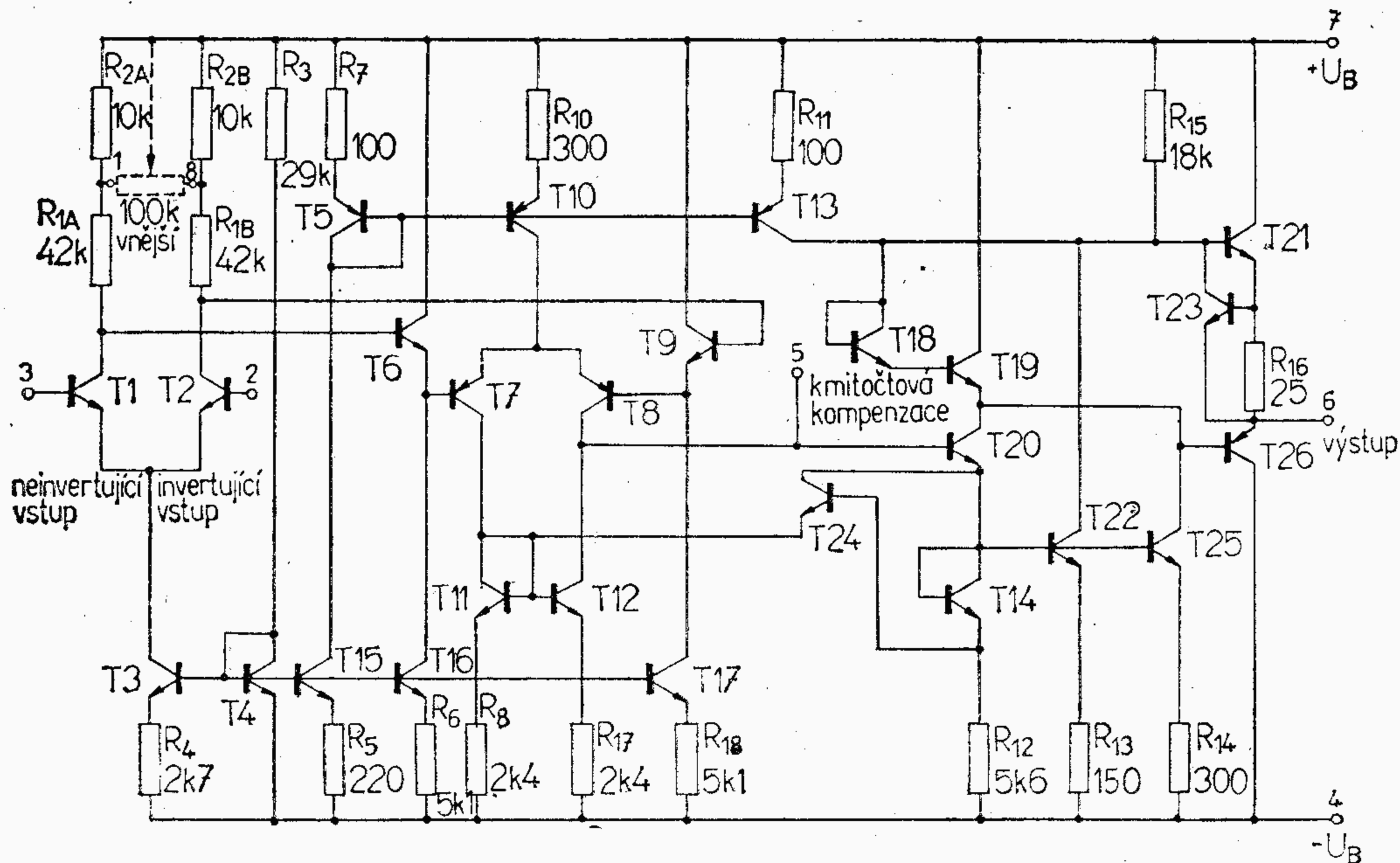
Přístrojový operační zesilovač pro přesné zesilovače napětí s malým šumem.

Předběžné údaje

1) Vstupní napětí součtové.

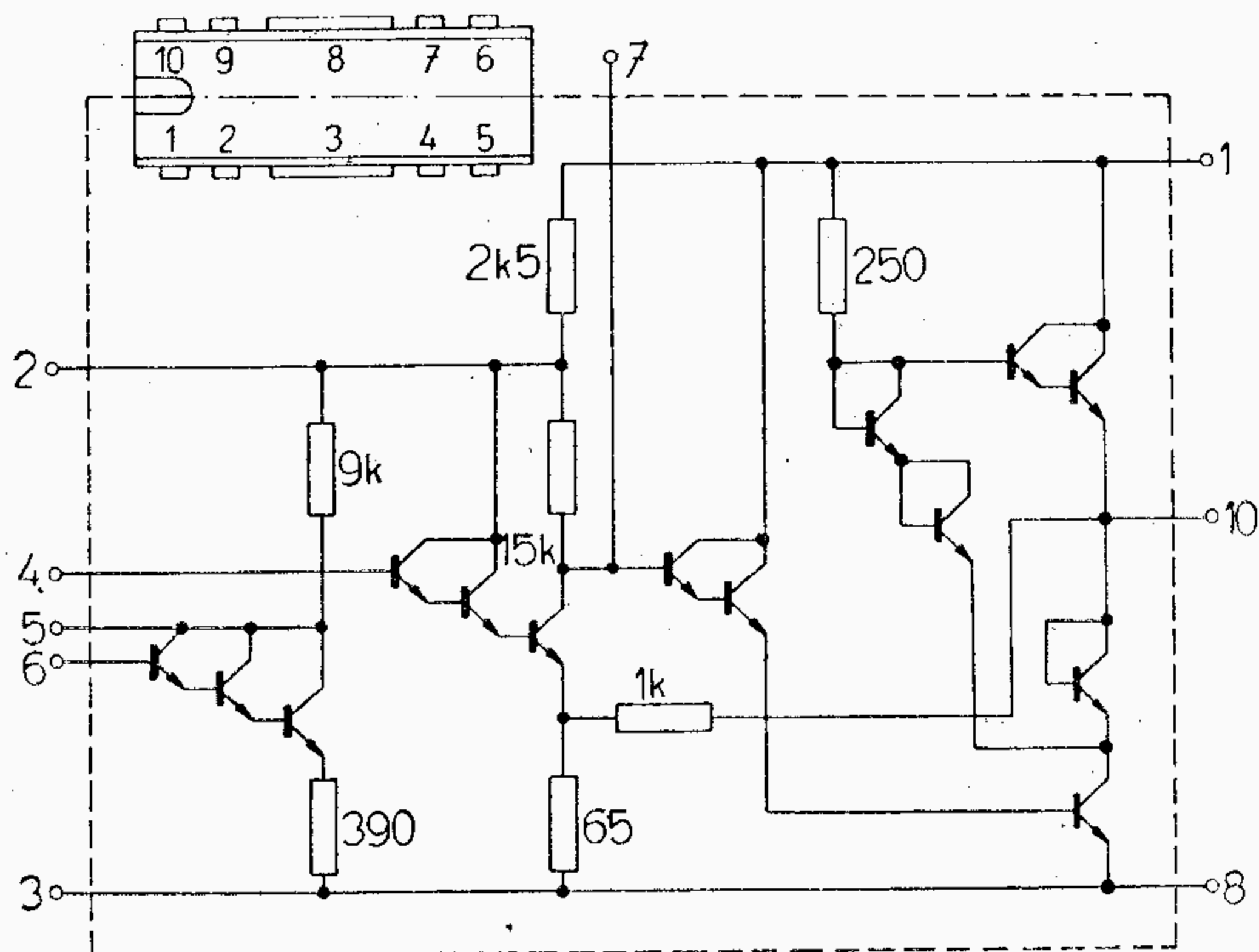
2) Vstupní napětí diferenciální.

MAA725

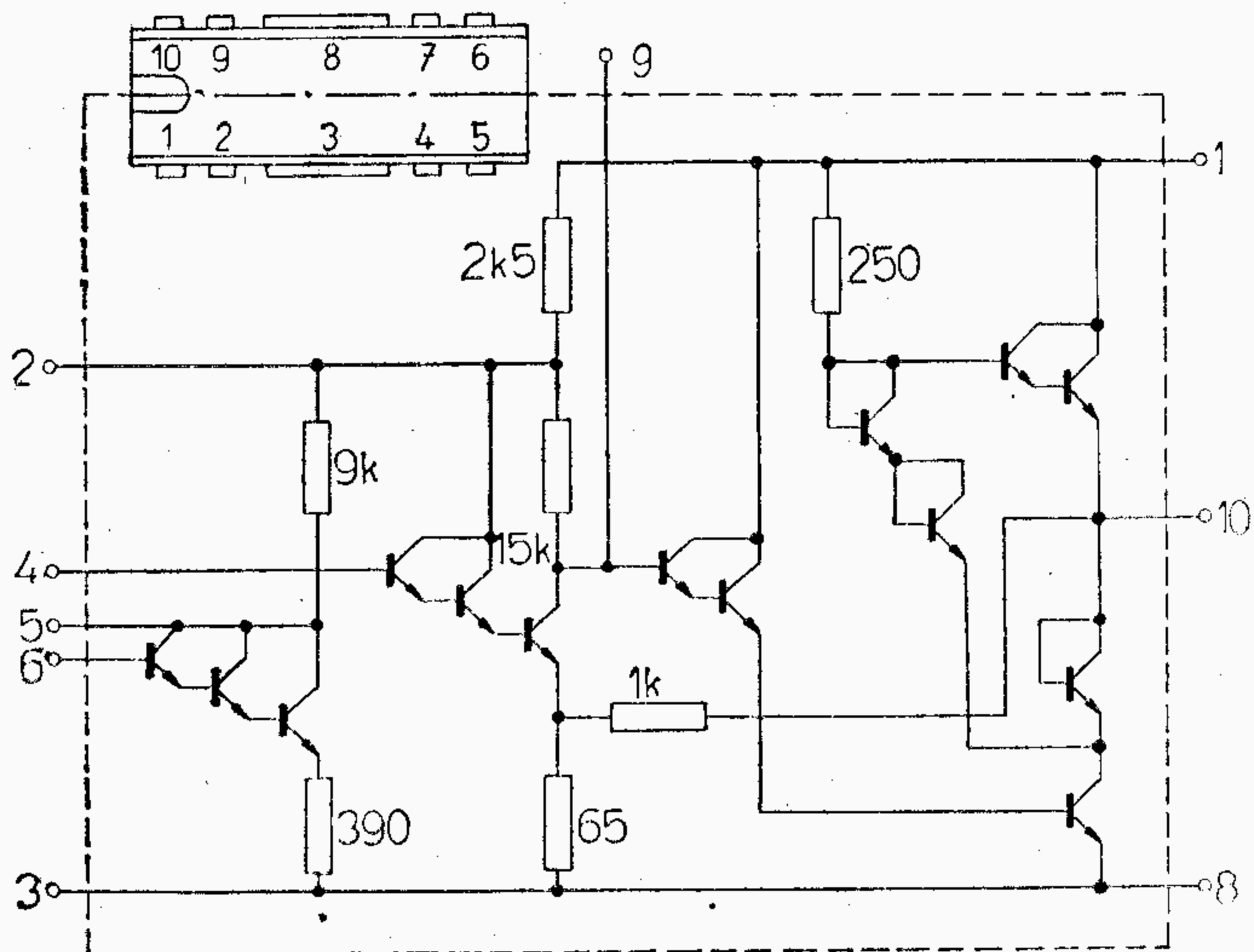


Typ	Provozní hodnoty				Mezní hodnoty	
MA0403 MA0403A	Měřeno při $T_C = 45\text{ °C}$, $U_B = 18\text{ V}$, $R_Z = 8\text{ }\Omega$, $f = 1\text{ kHz}$				U_B	20 V
	vstup 6				$I_{v\dot{y}st}$	1,25 A
	U_1	3,8	<10	mV	P_{tot} ($T_a \leq 55\text{ °C}$ ¹⁾)	3,5 W
	U_1	26	<50	mV	($T_a \leq 30\text{ °C}$ ²⁾)	3,5 W
	k	1,7	<5	%	³⁾ 1,25 W	
	k	2,1	<5	%	T_j	+125 °C
	η		≥ 45	%	T_a	-40 ... +100 °C
	vstup 4				T_s	-40 ... +125 °C
	U_1	272	<350	mV		
	k		<5	%		
U_1	40		mV			
I_0	24	≤ 50	mA	$U_B = 18\text{ V}$		
Lineární integrovaný obvod - nf a koncový zesilovač se ztrátovým výkonem 3,5 W pro rozhlasové přijímače a zesilovače.						
¹⁾ S ideálním chlazením ²⁾ S chladičí plochou Cu 1 mm 40×50 mm připájenou k vývodu 3 a 8 ³⁾ Bez chladičí plochy $T_a = 0\text{ °C}$						

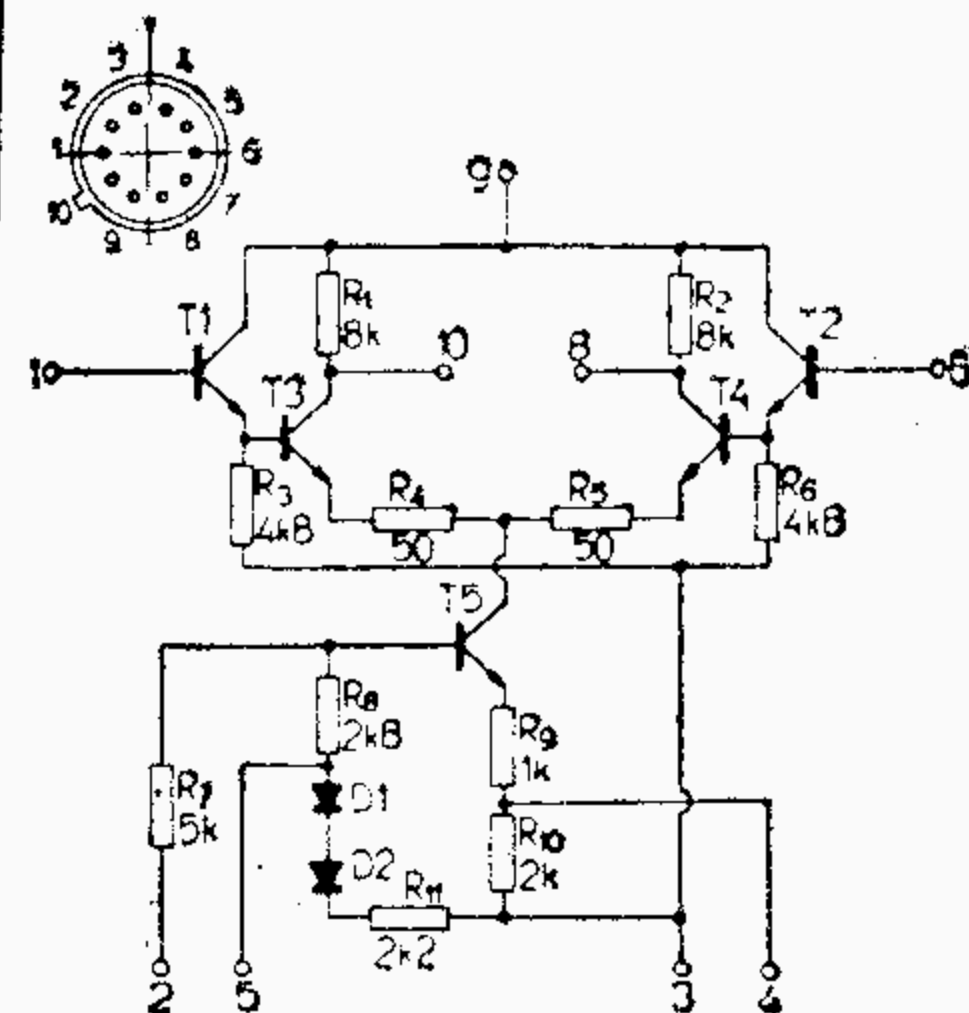
MA0403

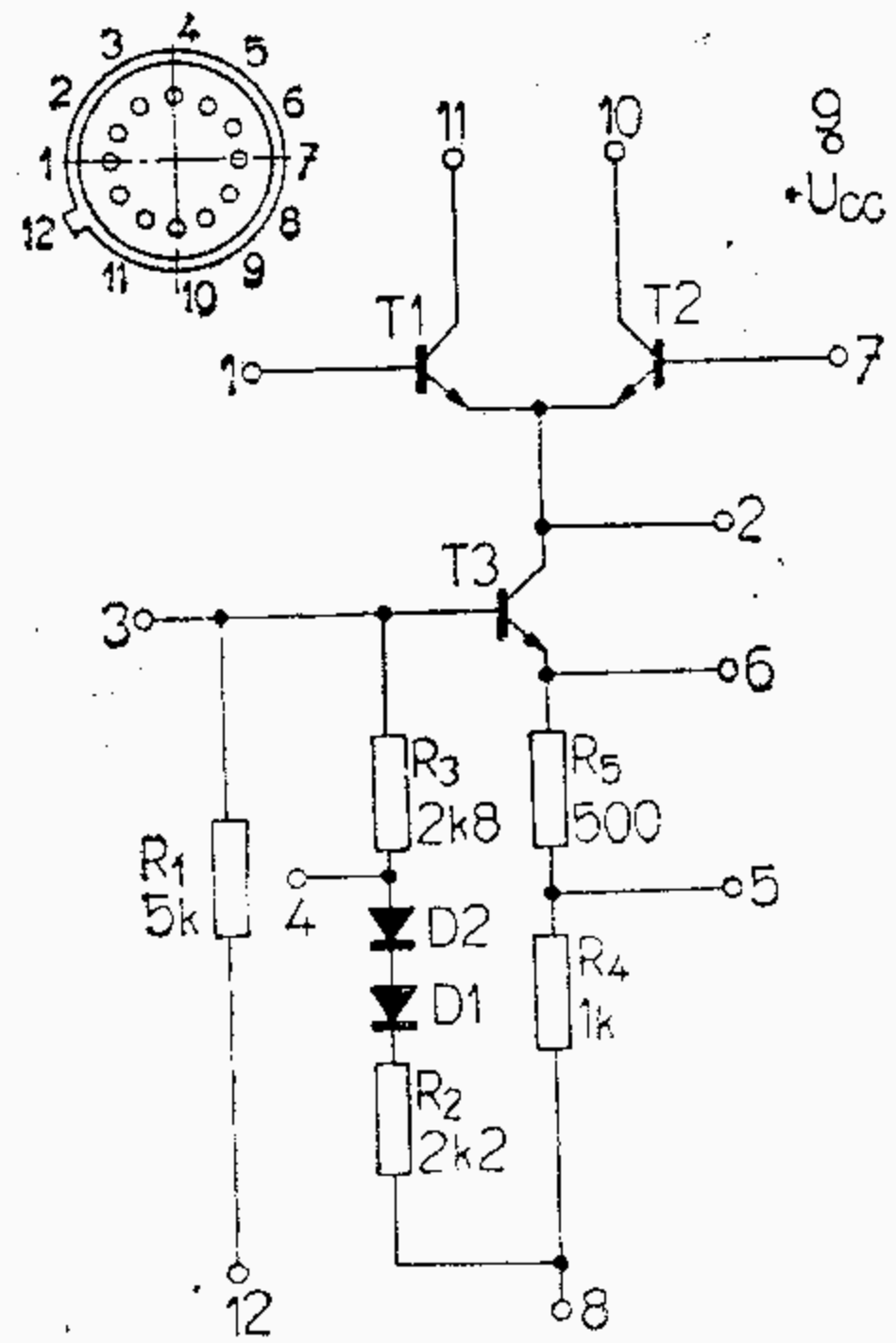


MA0403A



Číslování vývodů platí při pohledu shora.

TYP	Provozní hodnoty				Mezní hodnoty		
MA3000 	U_{IO}	1,4	<5	mV	U_{CC}	10	V
	I_{IU}	1,2	<10	μA	U_{EE}	-10	V
	I_I	23	<36	μA	$U_{IN}^{1)}$	± 2	V
	$U_{8, U_{10}^{3)}$	2,6	1,5...3,2	V	$U_{IN}^{2)}$	± 2	V
	$P_{tot}^{3)}$		25...60	mW	P_{tot}	300	mW
	$A_{DIF}^{1)}$	32	>28	dB	T_a	-55...+125	$^{\circ}C$
	$A_{DIF}^{2)}$	37	>33	dB	T_s	-65...+155	$^{\circ}C$
	$U_{OUT M/M}$	6,4	>5	V			
	BW	650	>600	kHz			
	CMR	98	>70	dB			
	Z_{IN}	195	>70	k Ω			
	Z_{OUT}	8	5,5...10,5	k Ω			
	THD	0,2	<5	%			
	ARZ	90	>80	dB			

Typ	Provozní hodnoty				Mezní hodnoty		
MA3005 MA3006 	měřeno při $U_{CC} = +6\text{ V}$, $U_{EE} = -6\text{ V}$				U_{CC}	+12 V	
	U_{I0}	2,6		mV	MA3005	U_{EE}	-12 V
	U_{I0}	0,8	<1,1	mV	MA3006	$U_{vst}^{1)}$	$\pm 3,5$ V
	I_I		<42	μA		$U_{vst}^{2)}$	-2,5 ... +3,5 V
	I_{I0}	1,4	<2,1	μA		P_{tot}	300 mW
	I_{I0}, I_{I1}	1,1	0,55...1,7	mA	režim A	T_a	-55 ... +125 °C
	I_{I0}, I_{I1}	0,5	0,23...0,8	mA	režim B	T_s	-65 ... +155 °C
	I_{I0}, I_{I1}	3,0	1,5 ...4,6	mA	režim C		
	I_{I0}, I_{I1}	1,6	0,75...2,5	mA	režim D		
	I_{CC}, I_{EE}		1,2...3,9	mA	režim A, $T_a = +25\text{ °C}$		
	I_{CC}, I_{EE}		1,2...4,4	mA	režim A, $T_a = -55\text{ °C}$		
	I_{CC}, I_{EE}		1,1...3,9	mA	režim A, $T_a = +125\text{ °C}$		
	$G_{p\text{ kas}}$	20	>15	dB	$f = 100\text{ MHz}$, režim D		
	$G_{p\text{ dif}}$	16	>13	dB	$f = 100\text{ MHz}$, režim D		
	F_{dif}	7,8	<9,5	dB	$f = 100\text{ MHz}$, režim D		
ARZ		>60	dB	$f = 1,75\text{ MHz}$, režim D			
f		0...120	MHz				
Režim A — vývody 4 a 5 nespojené s vývodem 8 B — vývod 4 spojen s vývodem 8, vývod 5 nepřipojen C — vývod 5 spojen s vývodem 8, vývod 4 nepřipojen D — vývody 4 a 5 spojené s vývodem 8							
VF zesilovač s nesymetrickým nebo symetrickým vstupem a výstupem, širokopásmové a úzkopásmové zesilovače, ARZ, detektory, směšovače, omezovače, modulátory a kaskádní zesilovače.					1) Nesymetrický vstup 2) Symetrický vstup		

ČÍSLICOVÉ
INTEGROVANÉ OBVODY TTL

Vysvětlivky použitých zkratk u číslicových integrovaných obvodů

f_{hod}	maximální opakovací kmitočet hodinových pulsů
$I_{CC(0)}$	odběr ze zdroje pro log. 0
$I_{CC(1)}$	odběr ze zdroje pro log. 1
I_{CE}	výstupní zbytkový proud
I_{OS}	zkratový výstupní proud (uzemněn smí být současně jen jeden vstup)
$I_{vst(0)}$	vstupní proud pro log. 0 - každý vstup
$I_{vst(1)}$	vstupní proud pro log. 1 - každý vstup
I_{vyp}	výstupní proud ve vypnutém stavu
$I_{výst(0)}$	výstupní proud pro log. 1
I_X	proud expanderu
I_{zap}	výstupní proud v zapnutém stavu
N	logický zisk
P	ztrátový výkon (typický)
Q_n	stav na výstupu Q v čase t_n
t_{hold}	vstupní délka přesahu
$t_{hold 0}$	maximální vstupní doba přesahu pro vstup D při log. 0
$t_{hold 1}$	maximální vstupní doba přesahu pro vstup D při log. 1
$t_p(hod)$	délka hodinového pulsu
$t_p(nast)$	délka nastavovacího pulsu
$t_p(nul)$	délka nulovacího (a nastavovacího) pulsu
$t_p(vst)$	šířka vstupního počítaného impulsu
$t_{pd 0}$	doba zpoždění průchodu signálu při přechodu do log. 0
$t_{pd 0}(D-Q)$	doba zpoždění průchodu signálu ze vstupu D na výstup Q při přechodu na log. 0
$t_{pd 0}(D-\overline{Q})$	doba zpoždění průchodu signálu ze vstupu D na výstup \overline{Q} při přechodu na log. 0
$t_{pd 0}(H-Q)$	doba zpoždění signálu při přechodu z hodin na výstup Q při přechodu na log. 0
$t_{pd 0}(H-\overline{Q})$	doba zpoždění signálu při přechodu z hodin na výstup \overline{Q} při přechodu na log. 0
$t_{pd 1}$	doba zpoždění průchodu signálu při přechodu do log. 1
$t_{pd 1}(D-Q)$	doba zpoždění průchodu signálu ze vstupu D na výstup Q při přechodu na log. 1
$t_{pd 1}(D-\overline{Q})$	doba zpoždění průchodu signálu ze vstupu D na výstup \overline{Q} při přechodu na log. 1

$t_{pd\ 1\ (H-Q)}$	doba zpoždění signálu při přechodu z hodin na výstup Q při přechodu na log. 1
$t_{pd\ 1\ (H-\overline{Q})}$	doba zpoždění signálu při přechodu z hodin na výstup \overline{Q} při přechodu na log. 1
t_n	časový okamžik před příchodem hodinového pulsu
t_{n+1}	časový okamžik po skončení hodinového pulsu
t_{setup}	vstupní délka předstihu
$t_{setup\ 0}$	minimální vstupní doba předstihu pro vstup D při log. 0
$t_{setup\ 1}$	minimální vstupní doba předstihu pro vstup D při log. 1
$U_{BE\ (Q)}$	napětí mezi bází a emitorem výstupního tranzistoru(Q)
U_{CC}	napájecí napětí
$U_{vst\ (0)}$	vstupní napětí pro log. 0, které je nutno přivést alespoň na jeden vstup, aby na výstupu byla zajištěna log. 1
$U_{vst\ (1)}$	vstupní napětí pro log. 1, které je nutno přivést na všechny vstupy, aby na výstupu byla zajištěna log. 0
$U_{výst\ (0)}$	výstupní napětí pro log. 0
$U_{výst\ (1)}$	výstupní napětí pro log. 1
U_{zap}	výstupní napětí v zapnutém stavu

ČÍSLICOVĚ INTEGROVANĚ OBVODY TTL

Dodávají se základní obvody ve třech řadách, navzájem se odlišujících dovoleným rozsahem provozních teplot.

Typ			Označení
MH7400 (MHA111)	MH8400	MH5400	Čtveřice dvojevstupových pozitivních hradel NAND
MH7403	—	—	Čtveřice dvojevstupových pozitivních hradel NAND s otevřeným kolektorovým výstupem
MH7410 (MHB111)	MH8410	MH5410	Trojice třívstupových pozitivních hradel NAND
MH7420 (MHC111)	MH8420	MH5420	Dvojitě čtyřvstupové pozitivní hradlo NAND
MH7430 (MHD111)	MH8430	MH5430	Osmivstupové pozitivní hradlo NAND
MH7440 (MHE111)	MH8440	MH5440	Dvojitě čtyřvstupové pozitivní výkonové hradlo NAND
MH7450 (MHF111)	MH8450	MH5450	Dvojitě dvouvstupové hradlo AND-OR-INVERT s možností rozšíření jedné sekce expanderem MH7460, MH8460, MH5460
MH7453 (MHG111)	MH8453	MH5453	Pozitivní rozšiřitelné hradlo AND-OR-INVERT s možností rozšíření expanderem MH7460, MH8460, MH5460
MH7460 (MYA111)	MH8460	MH5460	Dvojice čtyřvstupových expanderů pro rozšíření hradel MH7450, MH7453, MH8450, MH8453, MH5450, MH5453
MH7472 (MJA111)	MH8472	MH5472	Dvojjinný bistabilní klopný obvod J-K
MH7474 (MJB111)	MH8474	MH5474	Dvojitý bistabilní klopný obvod D
MH7475	MH8475	MH5475	Monolitický obvod MSI pro čtyřbitové střadače dvojkové informace, dvojitý dvojjinný klopný obvod D
MH7490	MH8490	MH5490	Monolitický obvod MSI pro desítkové čítače v kódu BCD, symetrické děliče deseti, děliče dvěma a pěti
MH7493	MH8493	MH5493	Monolitický obvod MSI pro dvojkové čítače o čtyřech bitech, dvojkové čítače o třech bitech

ZÁKLADNÍ TECHNICKÉ ÚDAJE

MEZNÍ HODNOTY

Řada			MH74 (M111)	MH84	MH54	
Napětí zdroje	U_{CC}	max	+7	+7	+7	V
Napětí vstupů	U_{vst}	max	+5,5	+5,5	+5,5	V
Rozsah pracovních teplot	T_a	max	0...+70	-25...+85	-55...+125	°C
Teplota při skladování	T_s	max	-55...+155	-55...+155	-55...+155	°C
Kategorie odolnosti proti vnějším klimatickým vlivům podle ČSN 35 8031:			0/070/21	25/085/56	55/125/56	

DOPORUČENÉ PRACOVNÍ PODMÍNKY

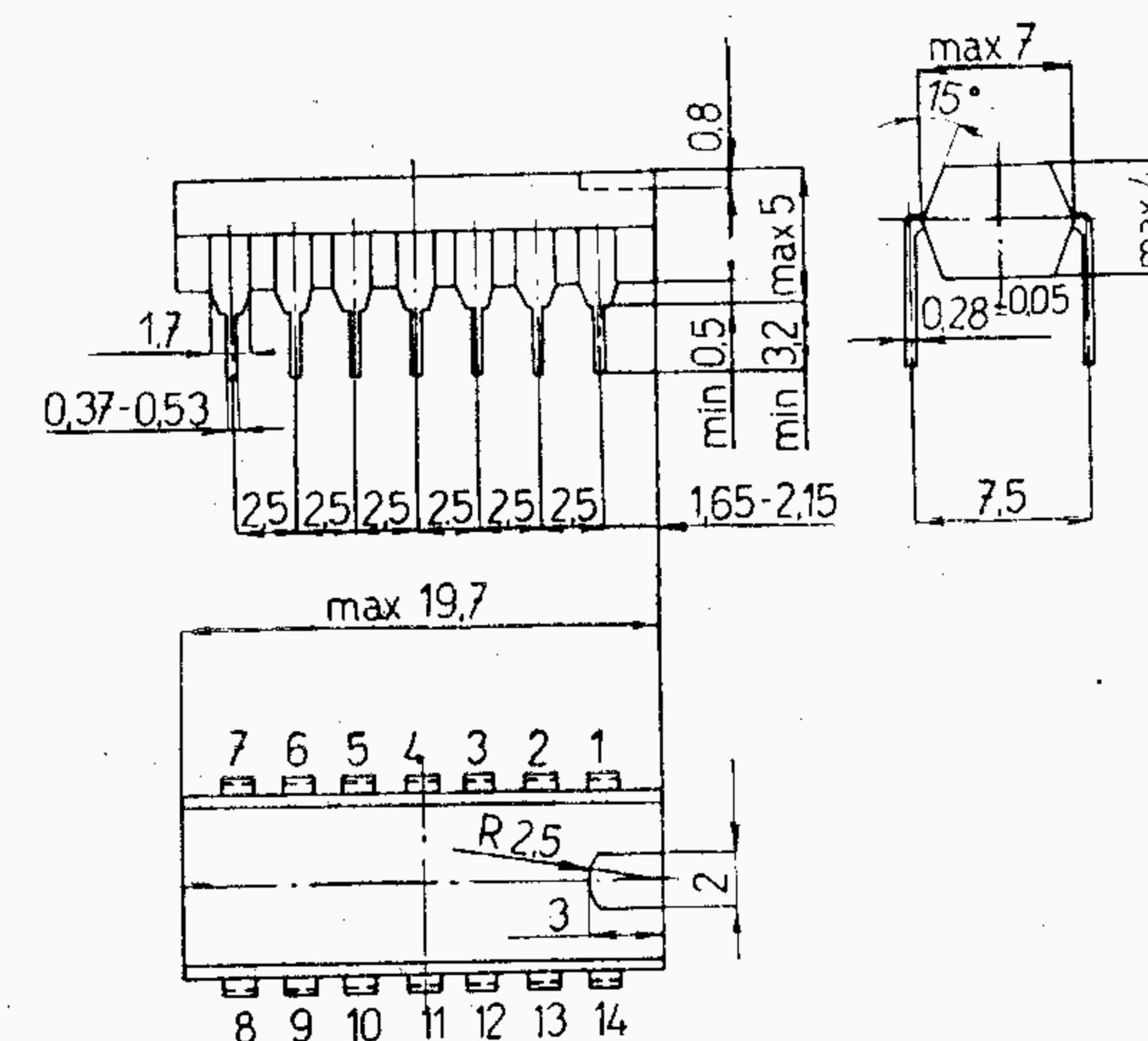
Napájecí napětí	U_{CC}	4,75 — 5,25 V	MH74, MH84
	U_{CC}	4,5 — 5,5 V	MH54
Ztrátový výkon hradel prům.	P	10 mW	
Ztrátový výkon klopných obvodů prům.	P	60 mW	
Ztrátový výkon obvodů MSI prům.	P	160 mW	
Šumová imunita prům.		1 V	

Poznámky:

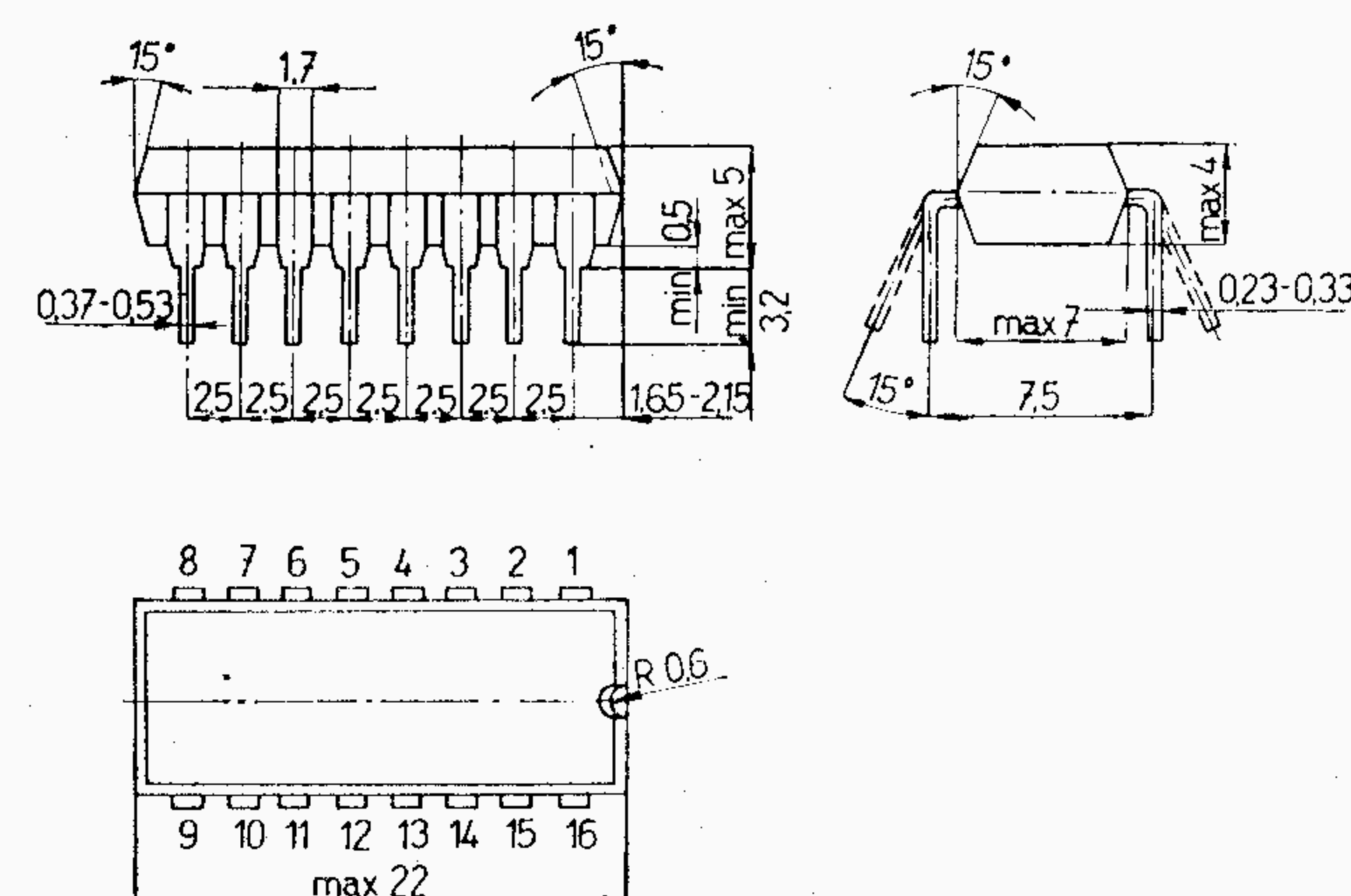
- Všechna napětí se rozumí vzhledem ke společnému bodu, kterým je č. 7, u obvodů MSI svorka č. 10. Záporné napětí nesmí být na obvod přivedeno.
- Provoz mimo uvedený teplotní rozsah se nezaručuje.
- Integrované obvody se upevňují připájením vývodů do tištěných spojů nebo zastrčením do objímek. Pracovní poloha libovolná. Objímky pro tištěné spoje (výrobce Tesla Liberec):
pro základní obvody se 14 vývody 6AF 497 70
pro obvody MSI se 16 vývody 6AF 497 69

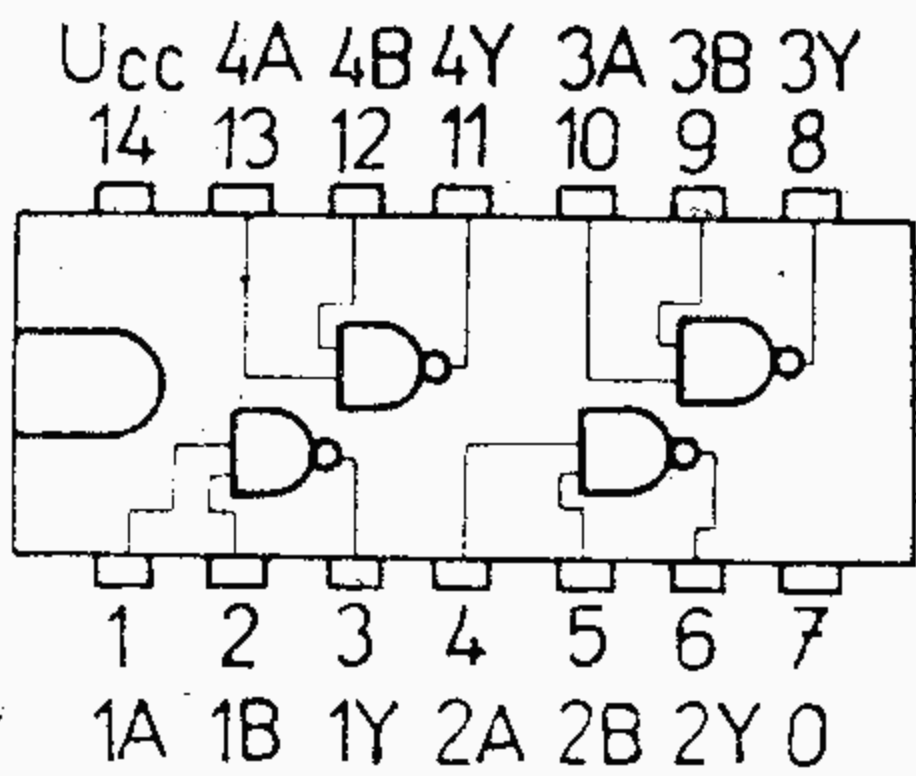
Rozměry:

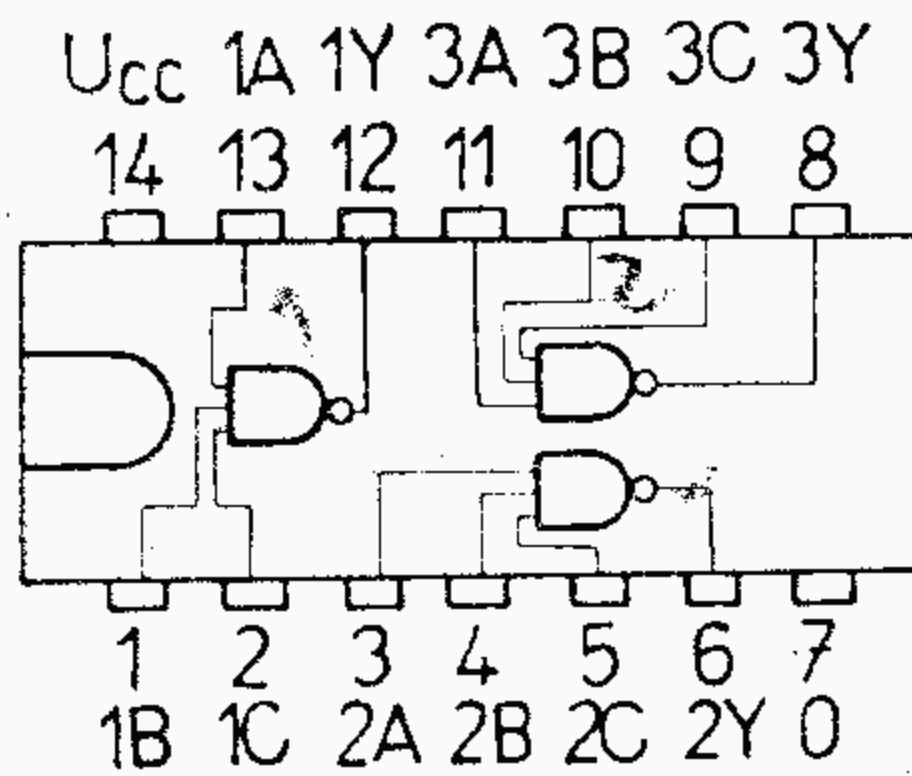
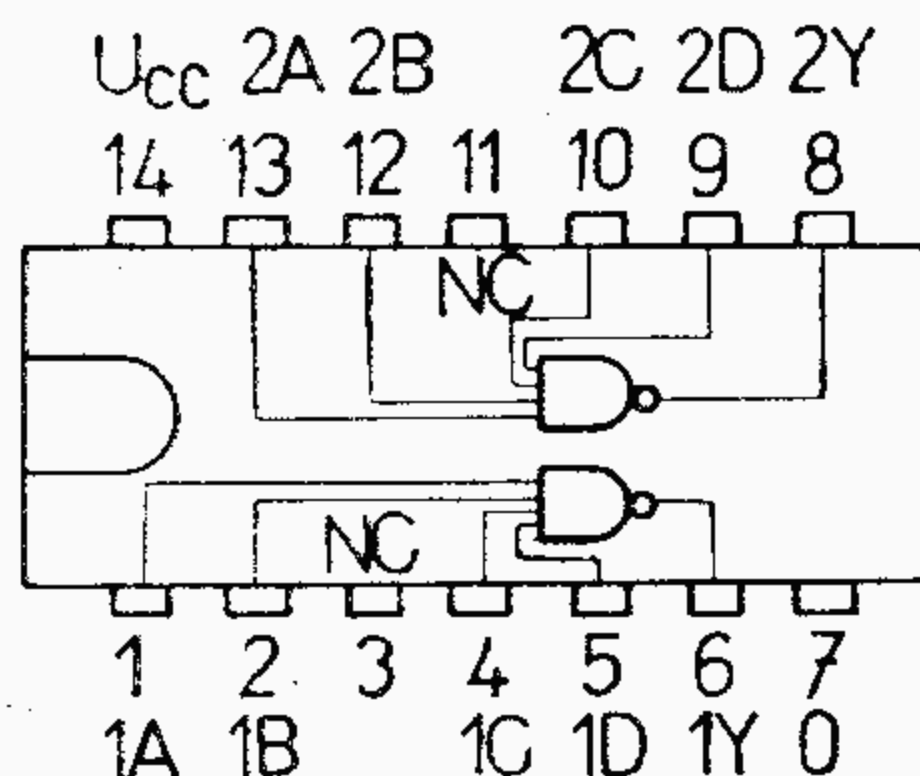
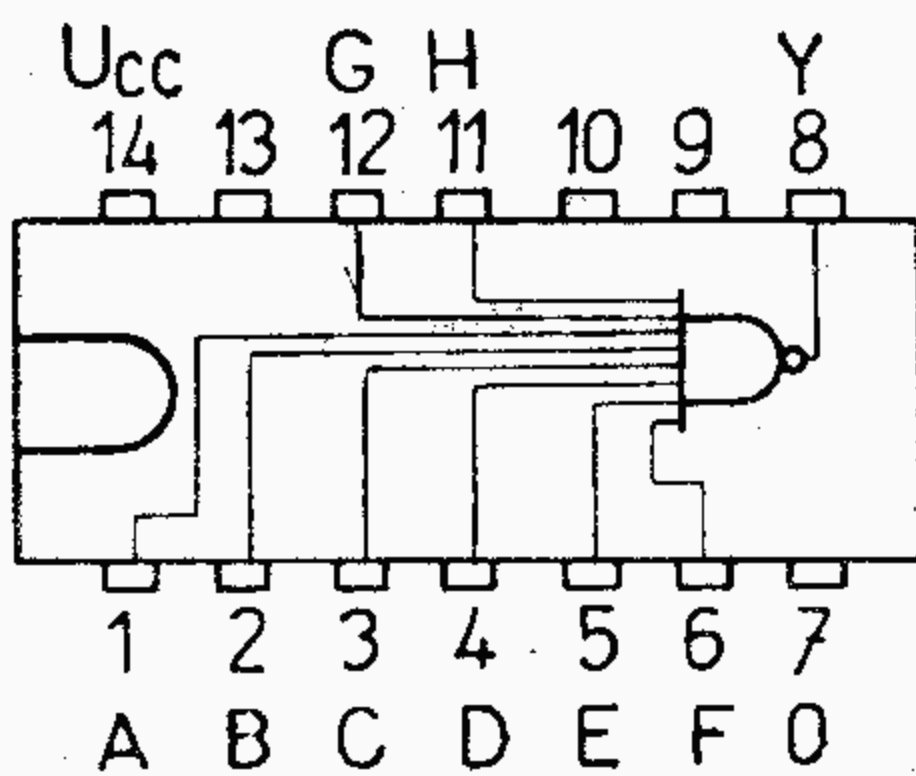
K402 podle NR-K028

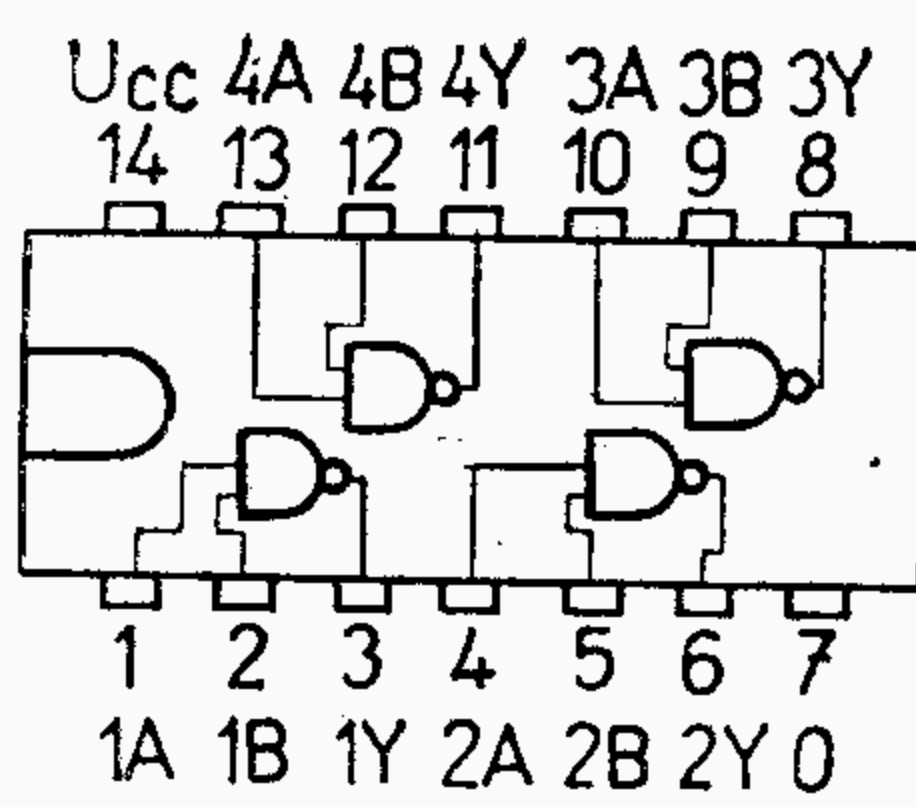


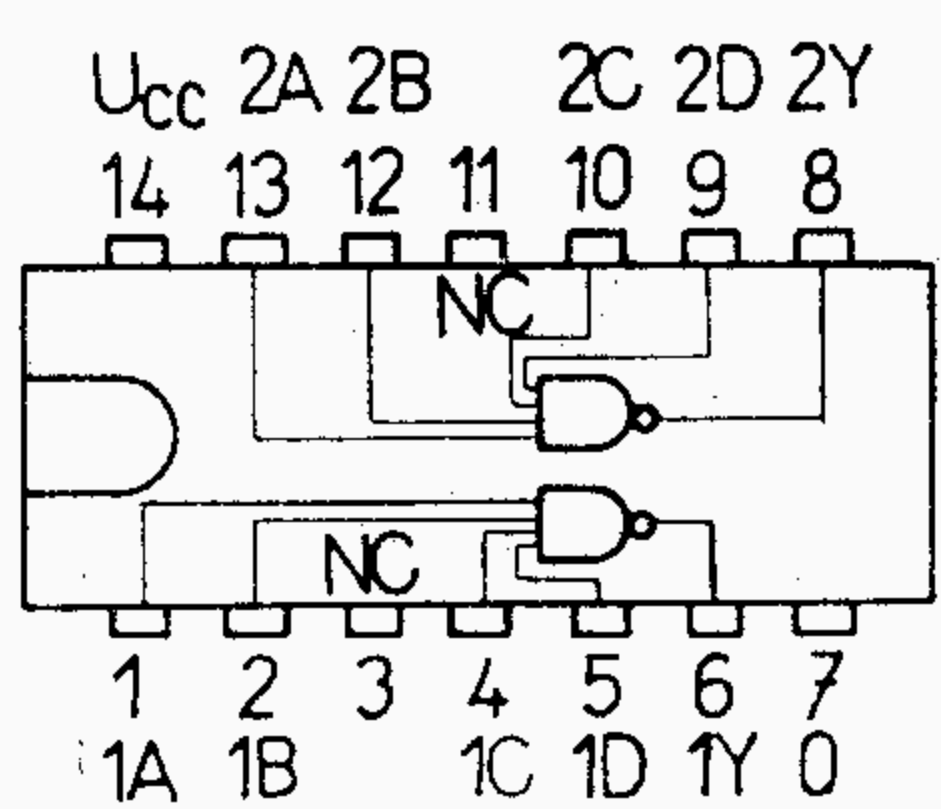
K404 podle NR-K028



Typ	Provozní hodnoty
MH7400 (MHA111) MH8400 	MH7400, MH7410, MH7420, MH7430, MH8400, MH8410, MH8420, MH8430 Statické hodnoty: MH74... $T_a = 0 \dots +70^\circ\text{C}$, $N \leq 10$ MH84... $T_a = -25 \dots +85^\circ\text{C}$, $N \leq 10$ $U_{vst(1)} > 2 \text{ V}$ $U_{CC} = 4,75 \text{ V}$, $U_{výst(0)} \leq 0,4 \text{ V}$ $U_{vst(0)} < 0,8 \text{ V}$ $U_{CC} = 4,75 \text{ V}$, $U_{výst(1)} \geq 2,4 \text{ V}$ $U_{výst(1)} > 2,4 \text{ V}$ $U_{CC} = 4,75 \text{ V}$, $U_{vst} = 0,8 \text{ V}$, $I_{zat} = -400 \mu\text{A}$ $U_{výst(0)} < 0,4 \text{ V}$ $U_{CC} = 4,75 \text{ V}$, $U_{vst} = 2 \text{ V}$, $I_{zat} = 16 \text{ mA}$ $-I_{vst(0)} < 1,6 \text{ mA}$ $U_{CC} = 5,25 \text{ V}$, $U_{vst} = 0,4 \text{ V}$ $I_{vst(1)} < 40 \mu\text{A}$ $U_{CC} = 5,25 \text{ V}$, $U_{vst} = 2,4 \text{ V}$ $I_{vst(0)} < 1 \text{ mA}$ $U_{CC} = 5,25 \text{ V}$, $U_{vst} = 5,5 \text{ V}$ $-I_{OS} 18 \dots 55 \text{ mA}$ $U_{CC} = 5,25 \text{ V}^1)$ $I_{CC(0)} 12 < 22 \text{ mA}$ MH7400, MH8400 $I_{CC(0)} 9 < 16,5 \text{ mA}$ MH7410, MH8410 $I_{CC(0)} 6 < 11 \text{ mA}$ MH7420, MH8420 $I_{CC(0)} 3 < 6 \text{ mA}$ MH7430, MH8430 $I_{CC(1)} 4 < 8 \text{ mA}$ MH7400, MH8400 $I_{CC(1)} 3 < 6 \text{ mA}$ MH7410, MH8410 $I_{CC(1)} 2 < 4 \text{ mA}$ MH7420, MH8420 $I_{CC(1)} 1 < 2 \text{ mA}$ MH7430, MH8430 $U_{CC} = 5 \text{ V}$, $U_{vst} = 5 \text{ V}$ $U_{CC} = 5 \text{ V}$, $U_{vst} = 0 \text{ V}$ Čtveřice dvojitvstupových pozitivních hradel NAND $Y = AB$
	Pokračování na násled. straně.

Typ	Provozní hodnoty	
Pokračování: MH7400, MH7410, MH7420, MH7430, MH8400, MH8410, MH8420 MH8430 Spínací vlastnosti: $U_{CC} = 5 \text{ V}$, $T_a = 25 \text{ }^\circ\text{C}$, $N = 10$ $t_{pd0} < 15 \text{ ns}$ $C_1 = 15 \text{ pF}$, $R_1 = 400 \text{ } \Omega$ $t_{pd1} < 22 \text{ ns}$ $C_1 = 15 \text{ pF}$, $R_1 = 400 \text{ } \Omega$ 1) Uzemněn smí být současně jen jeden výstup. 2) Typické hodnoty platí při $U_{CC} = 5 \text{ V}$, $T_a = 25 \text{ }^\circ\text{C}$.		
MH7410 (MHB111) MH8410	MH7420 (MHC111) MH8420	MH7430 (MHD111) MH8430
		
Trojice třívstupových pozitivních hradel NAND $Y = ABC$	Dvojitě čtyřvstupové pozitivní hradlo NAND $Y = ABCD$	Osmivstupové pozitivní hradlo NAND $Y = ABCDEFGH$

Typ	Provozní hodnoty
MH7403	Statické hodnoty: MH7403 $T_a = 0 \dots +70\text{ }^\circ\text{C}$
	měřeno při $U_{vst(1)} > 2\text{ V}$ $U_{CC} = 4,75\text{ V}, U_{výst(0)} \leq 0,4\text{ V}, I_{zat} = 16\text{ mA}$ $U_{vst(2)} < 0,8\text{ V}$ $U_{CC} = 4,75\text{ V}, U_{výst(1)} = 5,5\text{ V}, I_{výst} \leq 250\text{ }\mu\text{A}$ $I_{výst(1)} < 250\text{ }\mu\text{A}$ $U_{CC} = 4,75\text{ V}, U_{vst(0)} = 0,8\text{ V}, U_{výst(1)} = 5,5\text{ V}$ $U_{výst(0)} < 0,4\text{ V}$ $U_{CC} = 4,75\text{ V}, U_{vst} = 2\text{ V}, I_{zat} = 16\text{ mA}$ $-I_{vst(0)} < 1,6\text{ mA}$ $U_{CC} = 5,25\text{ V}, U_{vst} = 0,4\text{ V}$ $I_{vst(1)} < 40\text{ }\mu\text{A}$ $U_{CC} = 5,25\text{ V}, U_{vst} = 2,4\text{ V}$ $I_{vst(1)} < 1\text{ mA}$ $U_{CC} = 5,25\text{ V}, U_{vst} = 5,5\text{ V}$ $I_{CC(0)} < 22\text{ mA}$ $U_{CC} = 5\text{ V}, U_{vst} = 5\text{ V}, T_a = 25\text{ }^\circ\text{C}$ $I_{CC(1)} < 8\text{ mA}$ $U_{CC} = 5\text{ V}, U_{vst} = 0\text{ V}, T_a = 25\text{ }^\circ\text{C}$
	Dynamické hodnoty: $U_{CC} = 5\text{ V}, T_a = 25\text{ }^\circ\text{C}$ $t_{pd0} < 15\text{ ns}$ $R_Z = 390\text{ }\Omega, C_Z = 15\text{ pF}$ $t_{pd1} < 45\text{ ns}$ $R_Z = 3,3\text{ k}\Omega, C_Z = 15\text{ pF}$
Čtveřice dvojjstupových pozitivních hradel NAND s otevřeným kolektorovým výstupem $Y = \overline{AB}$	

Typ	Provozní hodnoty
MH7440 (MHE111) MH8440	Statické hodnoty: MH7440 $T_a = 0 \dots +70\text{ }^\circ\text{C}, N \leq 30$ MH8440 $T_a = -25 \dots +85\text{ }^\circ\text{C}, N \leq 30$
	měřeno při $U_{vst(1)} > 2\text{ V}$ $U_{CC} = 4,75\text{ V}, U_{výst(0)} \leq 0,4\text{ V}$ $U_{vst(0)} < 0,8\text{ V}$ $U_{CC} = 4,75\text{ V}, U_{výst(1)} \geq 2,4\text{ V}$ $U_{výst(1)} > 2,4\text{ V}$ $U_{CC} = 4,75\text{ V}, U_{vst} = 0,8\text{ V}, I_{zat} = -1,2\text{ mA}$ $U_{výst(0)} < 0,4\text{ V}$ $U_{CC} = 4,75\text{ V}, U_{vst} = 2\text{ V}, I_{zat} = 48\text{ mA}$ $-I_{vst(0)} < 1,6\text{ mA}$ $U_{CC} = 5,25\text{ V}, U_{vst} = 0,4\text{ V}$ $I_{vst(1)} < 40\text{ }\mu\text{A}$ $U_{CC} = 5,25\text{ V}, U_{vst} = 2,4\text{ V}$ $I_{vst(1)} < 1\text{ mA}$ $U_{CC} = 5,25\text{ V}, U_{vst} = 5,5\text{ V}$ $-I_{OS} 18 \dots 70\text{ mA}$ $U_{CC} = 5,25\text{ V}^1)$ $I_{CC(0)} 17 \dots 27\text{ mA}$ $U_{CC} = 5\text{ V}, U_{vst} = 5\text{ V}$ $I_{CC(1)} 4 \dots 8\text{ mA}$ $U_{CC} = 5\text{ V}, U_{vst} = 0\text{ V}$
Dvojité čtyřvstupové pozitivní výkonové hradlo NAND $Y = \overline{ABCD}$	Dynamické hodnoty: $U_{CC} = 5\text{ V}, T_a = 25\text{ }^\circ\text{C}, N = 30,$ $t_{pd0} < 15\text{ ns}$ $C_1 = 15\text{ pF}, R_1 = 133\text{ }\Omega$ $t_{pd1} < 22\text{ ns}$ $C_1 = 15\text{ pF}, R_1 = 133\text{ }\Omega$ 1) Uzemněn smí být současně jen jeden výstup. 2) Typické hodnoty platí při $U_{CC} = 5\text{ V}, T_a = 25\text{ }^\circ\text{C}.$

Typ	Provozní hodnoty
MH7450 (MHF111) MH8450	Statické hodnoty: (vývody 11 a 12 nezapojeny) MH7450, MH7453 $T_a = 0 \dots +70^\circ\text{C}$, $N \leq 10$ MH8450, MH8453 $T_a = -25 \dots +85^\circ\text{C}$, $N \leq 10$ měřeno při
	$U_{vst(1)} > 2 \text{ V}$ $U_{vst(0)} < 0,8 \text{ V}$ $U_{výst(1)} > 2,4 \text{ V}$ $U_{výst(0)} < 0,4 \text{ V}$ $-I_{vst(0)} < 1,6 \text{ mA}$ $I_{vst(1)} < 40 \mu\text{A}$ $I_{vst(1)} < 1 \mu\text{A}$ $-I_{OS} 18 \dots 55 \text{ mA}$ $I_{CC(0)} 7,4 < 14 \text{ mA}$ $I_{CC(1)} 4 < 8 \text{ mA}$
Dvojité dvouvstupové hradlo AND-OR-INVERT s možností rozšíření jedné sekce expanderem MH7460, MH8460 $Y = (AB) + (CD) + X$ $X = ABCD$ pro MH7460, MH8460	$U_{CC} = 4,75 \text{ V}$, $U_{výst(0)} \leq 0,4 \text{ V}$ $U_{CC} = 4,75 \text{ V}$, $U_{výst(1)} \geq 2,4 \text{ V}$ $U_{CC} = 4,75 \text{ V}$, $U_{vst} = 0,8 \text{ V}$, $I_{zat} = -400 \mu\text{A}$ $U_{CC} = 4,75 \text{ V}$, $U_{vst} = 2 \text{ V}$, $I_{zat} = 16 \text{ mA}$ $U_{CC} = 5,25 \text{ V}$, $U_{vst} = 0 \text{ V}$ $U_{CC} = 5,25 \text{ V}$, $U_{vst} = 2,4 \text{ V}$ $U_{CC} = 5,25 \text{ V}$, $U_{vst} = 5,5 \text{ V}$ $U_{CC} = 5,25 \text{ V}^1)$ $U_{CC} = 5 \text{ V}$, $U_{vst} = 5 \text{ V}$ $U_{CC} = 5 \text{ V}$, $U_{vst} = 0 \text{ V}$
	Statické hodnoty při použití expanderu MH7460, MH8460; $T_a = 0^\circ\text{C}$ $I_x < 3,1 \text{ mA}$ $U_{BE(Q)} < 1 \text{ V}$ $U_{výst(1)} > 2,4 \text{ V}$ $U_{výst(0)} < 0,4 \text{ V}$ $U_{CC} = 4,75 \text{ V}$, $U_1 = 0,4 \text{ V}$, $I_{zat} = 16 \text{ mA}$ $U_{CC} = 4,75 \text{ V}$, $I_1 = 0,62 \text{ mA}$, $I_{zat} = 16 \text{ mA}$, $R_1 = 0$ $U_{CC} = 4,75 \text{ V}$, $I_{zat} = -400 \mu\text{A}$, $I_1 = 270 \mu\text{A}$, $I_2 = -270 \mu\text{A}$ $U_{CC} = 4,75 \text{ V}$, $I_{zat} = 16 \text{ mA}$, $I_1 = 0,43 \text{ mA}$, $R_1 = 130 \Omega$
	Dynamické hodnoty: $U_{CC} = 5 \text{ V}$, $T_a = 25^\circ\text{C}$, $N = 10$ $t_{pd 0} < 15 \text{ ns}$ $t_{pd 1} < 22 \text{ ns}$ $C_1 = 15 \text{ pF}$, $R_1 = 400 \Omega$ $C_1 = 15 \text{ pF}$, $R_1 = 400 \Omega$

Typ	Provozní hodnoty
MH7453 (MHG111) MH8453	Statické hodnoty: (vývody 11 a 12 nezapojeny) MH7450, MH7453 $T_a = 0 \dots +70^\circ\text{C}$, $N \leq 10$ MH8450, MH8453 $T_a = -25 \dots +85^\circ\text{C}$, $N \leq 10$ měřeno při
	$U_{vst(1)} > 2 \text{ V}$ $U_{vst(0)} < 0,8 \text{ V}$ $U_{výst(1)} > 2,4 \text{ V}$ $U_{výst(0)} < 0,4 \text{ V}$ $-I_{vst(0)} < 1,6 \text{ mA}$ $I_{vst(1)} < 40 \mu\text{A}$ $I_{vst(1)} < 1 \text{ mA}$ $-I_{OS} 18 \dots 55 \text{ mA}$ $I_{CC(0)} 5,1 < 9,5 \text{ mA}$ $I_{CC(1)} 4 < 8 \text{ mA}$
Pozitivní rozšířitelné hradlo AND-OR-INVERT s možností rozšíření expanderem MH7460, MH8460 $Y = (AB) + (CD) + (EF)$ $+ (GH) + X$ $X = ABCD$ pro MH7460, MH8460	$U_{CC} = 4,75 \text{ V}$, $U_{výst(0)} \leq 0,4 \text{ V}$ $U_{CC} = 4,75 \text{ V}$, $U_{výst(1)} \geq 2,4 \text{ V}$ $U_{CC} = 4,75 \text{ V}$, $U_{vst} = 0,8 \text{ V}$, $I_{zat} = -400 \mu\text{A}$ $U_{CC} = 4,75 \text{ V}$, $U_{vst} = 2 \text{ V}$, $I_{zat} = 16 \text{ mA}$ $U_{CC} = 5,25 \text{ V}$, $U_{vst} = 0 \text{ V}$ $U_{CC} = 5,25 \text{ V}$, $U_{vst} = 2,4 \text{ V}$ $U_{CC} = 5,25 \text{ V}$, $U_{vst} = 5,5 \text{ V}$ $U_{CC} = 5,25 \text{ V}^1)$ $U_{CC} = 5 \text{ V}$, $U_{vst} = 5 \text{ V}$ $U_{CC} = 5 \text{ V}$, $U_{vst} = 0 \text{ V}$
	Statické hodnoty při použití expanderu MH7460, MH8460; $T_a = 0^\circ\text{C}$ $I_x < 3,1 \text{ mA}$ $U_{BE(Q)} < 1 \text{ V}$ $U_{výst(1)} > 2,4 \text{ V}$ $U_{výst(0)} < 0,4 \text{ V}$ $U_{CC} = 4,75 \text{ V}$, $U_1 = 0,4 \text{ V}$, $I_{zat} = 16 \text{ mA}$ $U_{CC} = 4,75 \text{ V}$, $I_1 = 0,62 \text{ mA}$, $I_{zat} = 16 \text{ mA}$, $R_1 = 0$ $U_{CC} = 4,75 \text{ V}$, $I_{zat} = -400 \mu\text{A}$, $I_1 = 270 \mu\text{A}$, $I_2 = -270 \mu\text{A}$ $U_{CC} = 4,75 \text{ V}$, $I_{zat} = 16 \text{ mA}$, $I_1 = 0,43 \text{ mA}$, $R_1 = 130 \Omega$
	Dynamické hodnoty: $U_{CC} = 5 \text{ V}$, $T_a = 25^\circ\text{C}$, $N = 10$ $t_{pd 0} < 15 \text{ ns}$ $t_{pd 1} < 22 \text{ ns}$ $C_1 = 15 \text{ pF}$, $R_1 = 400 \Omega$ $C_1 = 15 \text{ pF}$, $R_1 = 400 \Omega$

¹⁾ Uzemněn smí být současně jen jeden výstup.

Typ	Provozní hodnoty
MH7460 (MYA111) MH8460	Statické hodnoty: MH7460 $T_a = 0 \dots +70^\circ\text{C}$ MH8460 $T_a = -25 \dots +85^\circ\text{C}$
	měřeno při $U_{vst(1)} > 2 \text{ V}$ $U_{CC} = 4,75 \text{ V}, U_1 = 1 \text{ V}, R = 1,1 \text{ k}\Omega$ $U_{vst(0)} < 0,8 \text{ V}$ $U_{CC} = 4,75 \text{ V}, U_1 = 4,5 \text{ V}, R = 1,2 \text{ k}\Omega, I_{vyp} = 0,15 \text{ mA}$ $U_{zap} < 0,4 \text{ V}$ $U_{CC} = 4,75 \text{ V}, U_{vst} = 2 \text{ V}, U_1 = 1 \text{ V}, R = 1,1 \text{ k}\Omega, T_a = 0^\circ\text{C MH7460 } T_a = -25^\circ\text{C MH8460}$ $I_{vyp} < 270 \mu\text{A}$ $U_{CC} = 4,75 \text{ V}, U_{vst} = 0,8 \text{ V}, U_1 = 4,5 \text{ V}, R = 1,2 \text{ k}\Omega, T_a = 0^\circ\text{C MH7460 } T_a = -25^\circ\text{C MH8460}$ $I_{CE} < 37 \mu\text{A}$ $U_{CC} = 4,75 \text{ V}, U_{vst} = 0 \text{ V}, U_1 = 4,5 \text{ V}, R = 0 \text{ k}\Omega, T_a = 0^\circ\text{C MH7460 } T_a = -25^\circ\text{C MH8460}$ $-I_{zap} > 0,43 \text{ mA}$ $U_{CC} = 4,75 \text{ V}, U_{vst} = 2 \text{ V}, U_1 = 1 \text{ V}$ $I_{vst(0)} < 1,6 \text{ mA}$ $U_{CC} = 5,25 \text{ V}, U_{vst} = 0,4 \text{ V}$ $I_{vst(1)} < 40 \mu\text{A}$ $U_{CC} = 5,25 \text{ V}, U_{vst} = 2,4 \text{ V}$ $I_{vst(1)} < 1 \text{ mA}$ $U_{CC} = 5,25 \text{ V}, U_{vst} = 5,5 \text{ V}$ $I_{CC(1)} 1,2 < 2,5 \text{ mA}$ $U_{CC} = 5 \text{ V}, U_{vst} = 5 \text{ V}, U_1 = 0,85 \text{ V}$ $I_{CC(0)} 2 < 4 \text{ mA}$ $U_{CC} = 5 \text{ V}, U_{vst} = 0 \text{ V}, U_1 = 0,85 \text{ V}$
Dvojice čtyřvstupových expanderů pro rozšíření hradel MH7450, MH7453, MH8450, MH8453 X = ABCD při součinnosti s hradly.	Dynamické hodnoty: $t_{pd0} < 20 \text{ ns}$ $U_{CC} = 5 \text{ V}, T_a = 25^\circ\text{C}, N = 10$ $t_{pd1} < 30 \text{ ns}$ $C_1 = 15 \text{ pF}, R_1 = 400 \Omega$ $C_1 = 15 \text{ pF}, R_1 = 400 \Omega$ Vývody 9 a 12 se připojí na vývod 12 hradla MH7450, MH7453, MH8450, MH8453 Vývody 10 a 11 se připojí na vývod 11 hradla MH7450, MH7453, MH8450, MH8453

Typ	Provozní hodnoty																																							
MH7472 (MJA111) MH8472	Statické hodnoty:																																							
MH7472	$T_a = 0 \dots +70 \text{ }^\circ\text{C}$																																							
MH8472	$T_a = -25 \dots +85 \text{ }^\circ\text{C}$																																							
<p>MASTAVENÍ HODINY K3 K2 K1 Q 14 13 12 11 10 9 8 NC 1 2 3 4 5 6 7 MAZÁNÍ J1 J2 J3 Q 0</p>	měřeno při																																							
$U_{vst(1)}$	$>2 \text{ V}$	$U_{CC} = 4,75 \text{ V}$																																						
$U_{vst(0)}$	$<0,8 \text{ V}$	$U_{CC} = 4,75 \text{ V}$																																						
$U_{výst(1)}$	$>2,4 \text{ V}$	$U_{CC} = 4,75 \text{ V}, I_{zat} = -400 \text{ }\mu\text{A}$																																						
$U_{výst(0)}$	$<0,4 \text{ V}$	$U_{CC} = 4,75 \text{ V}, I_{zat} = 16 \text{ mA}$																																						
$-I_{vst(0)}$	$<1,6 \text{ mA}$	$U_{CC} = 5,25 \text{ V}, U_{vst} = 0,4 \text{ V}$ (pro $J_1, J_2, J_3, K_1, K_2, K_3$)																																						
$-I_{vst(0)}$	$<3,2 \text{ mA}$	$U_{CC} = 5,25 \text{ V}, U_{vst} = 0,4 \text{ V}$ (pro nast., nulování, hodiny)																																						
$I_{vst(1)}$	$<40 \text{ }\mu\text{A}$	$U_{CC} = 5,25 \text{ V}, U_{vst} = 2,4 \text{ V}$ (pro $J_1, J_2, J_3, K_1, K_2, K_3$)																																						
$I_{vst(1)}$	$<1 \text{ mA}$	$U_{CC} = 5,25 \text{ V}, U_{vst} = 5,5 \text{ V}$ (pro $J_1, J_2, J_3, K_1, K_2, K_3$)																																						
$I_{vst(1)}$	$<80 \text{ }\mu\text{A}$	$U_{CC} = 5,25 \text{ V}, U_{vst} = 2,4 \text{ V}$ (pro nast., nulování, hodiny)																																						
$I_{vst(1)}$	$<1 \text{ mA}$	$U_{CC} = 5,25 \text{ V}, U_{vst} = 5,5 \text{ V}$ (pro nast., nulování, hodiny)																																						
$-I_{OS}$	$18 \dots 57 \text{ mA}$	$U_{CC} = 5,25 \text{ V}, U_{vst} = 0 \text{ V}$																																						
I_{CC}	$10 < 20 \text{ mA}$	$U_{CC} = 5 \text{ V}, U_{vst} = 5 \text{ V}$																																						
Pravdivostní tabulka		Doporučené pracovní hodnoty:																																						
<table><tr><th>t_n</th><th>t_{n+1}</th></tr><tr><th>J</th><th>K</th><th>Q</th></tr><tr><td>0</td><td>0</td><td>Q_n</td></tr><tr><td>0</td><td>1</td><td>0</td></tr><tr><td>1</td><td>0</td><td>1</td></tr><tr><td>1</td><td>1</td><td>$\overline{Q_n}$</td></tr></table>	t_n	t_{n+1}	J	K	Q	0	0	Q_n	0	1	0	1	0	1	1	1	$\overline{Q_n}$	<table><tr><td>$t_{pd1}^{1)}$</td><td>$<50 \text{ ns}$</td><td rowspan="5">$\left. \begin{array}{l} U_{CC} = 5 \text{ V} \\ T_a = 25 \text{ }^\circ\text{C} \\ N = 10 \\ C_1 = 15 \text{ pF} \\ R_1 = 400 \text{ }\Omega \end{array} \right\}$</td><td>$t_p(hod)$</td><td>$\geq 20 \text{ ns}$</td></tr><tr><td>$t_{pd0}^{1)}$</td><td>$<50 \text{ ns}$</td><td>$t_p(nast)$</td><td>$\geq 25 \text{ ns}$</td></tr><tr><td>$t_{pd1}^{2)}$</td><td>$10 \dots 50 \text{ ns}$</td><td>$t_p(nul)$</td><td>$\geq 25 \text{ ns}$</td></tr><tr><td>$t_{pd0}^{2)}$</td><td>$10 \dots 50 \text{ ns}$</td><td>$t_{setvp}$</td><td>$\geq$ šířka použitého hod. pulsu</td></tr><tr><td>f_{hod}</td><td>$>10 \text{ MHz}$</td><td>t_{hold}</td><td>≥ 0</td></tr></table>		$t_{pd1}^{1)}$	$<50 \text{ ns}$	$\left. \begin{array}{l} U_{CC} = 5 \text{ V} \\ T_a = 25 \text{ }^\circ\text{C} \\ N = 10 \\ C_1 = 15 \text{ pF} \\ R_1 = 400 \text{ }\Omega \end{array} \right\}$	$t_p(hod)$	$\geq 20 \text{ ns}$	$t_{pd0}^{1)}$	$<50 \text{ ns}$	$t_p(nast)$	$\geq 25 \text{ ns}$	$t_{pd1}^{2)}$	$10 \dots 50 \text{ ns}$	$t_p(nul)$	$\geq 25 \text{ ns}$	$t_{pd0}^{2)}$	$10 \dots 50 \text{ ns}$	t_{setvp}	\geq šířka použitého hod. pulsu	f_{hod}	$>10 \text{ MHz}$	t_{hold}	≥ 0
t_n	t_{n+1}																																							
J	K	Q																																						
0	0	Q_n																																						
0	1	0																																						
1	0	1																																						
1	1	$\overline{Q_n}$																																						
$t_{pd1}^{1)}$	$<50 \text{ ns}$	$\left. \begin{array}{l} U_{CC} = 5 \text{ V} \\ T_a = 25 \text{ }^\circ\text{C} \\ N = 10 \\ C_1 = 15 \text{ pF} \\ R_1 = 400 \text{ }\Omega \end{array} \right\}$	$t_p(hod)$	$\geq 20 \text{ ns}$																																				
$t_{pd0}^{1)}$	$<50 \text{ ns}$		$t_p(nast)$	$\geq 25 \text{ ns}$																																				
$t_{pd1}^{2)}$	$10 \dots 50 \text{ ns}$		$t_p(nul)$	$\geq 25 \text{ ns}$																																				
$t_{pd0}^{2)}$	$10 \dots 50 \text{ ns}$		t_{setvp}	\geq šířka použitého hod. pulsu																																				
f_{hod}	$>10 \text{ MHz}$		t_{hold}	≥ 0																																				
Dvojčinný bistabilní klopný obvod J-K		1) Přes nulování — výstup nebo nastavení — výstup. 2) Přes hodiny — výstup.																																						

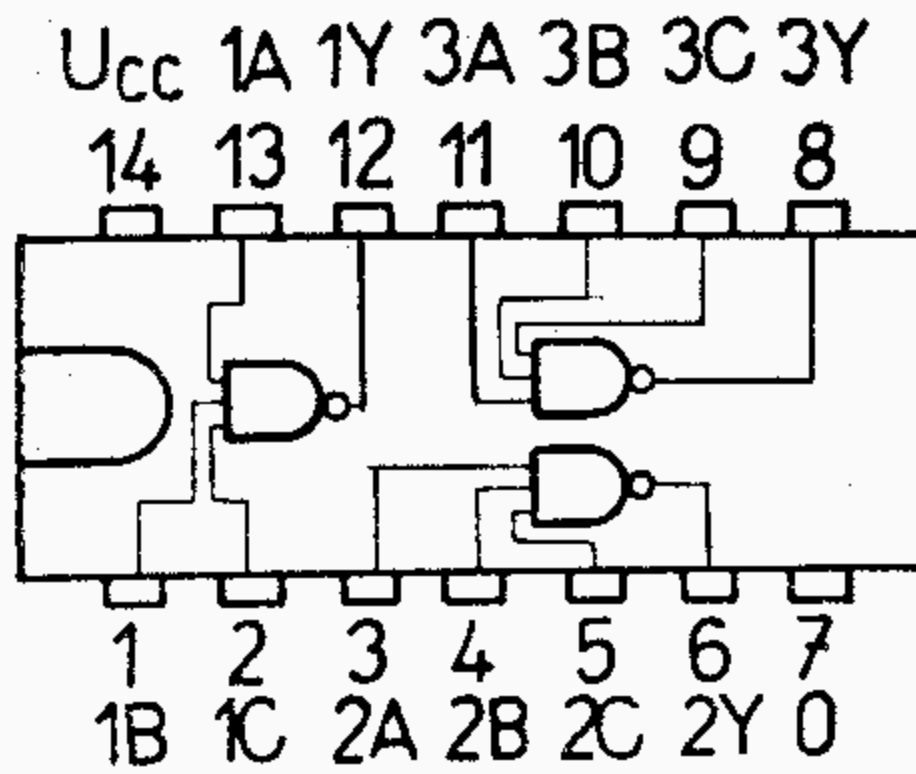
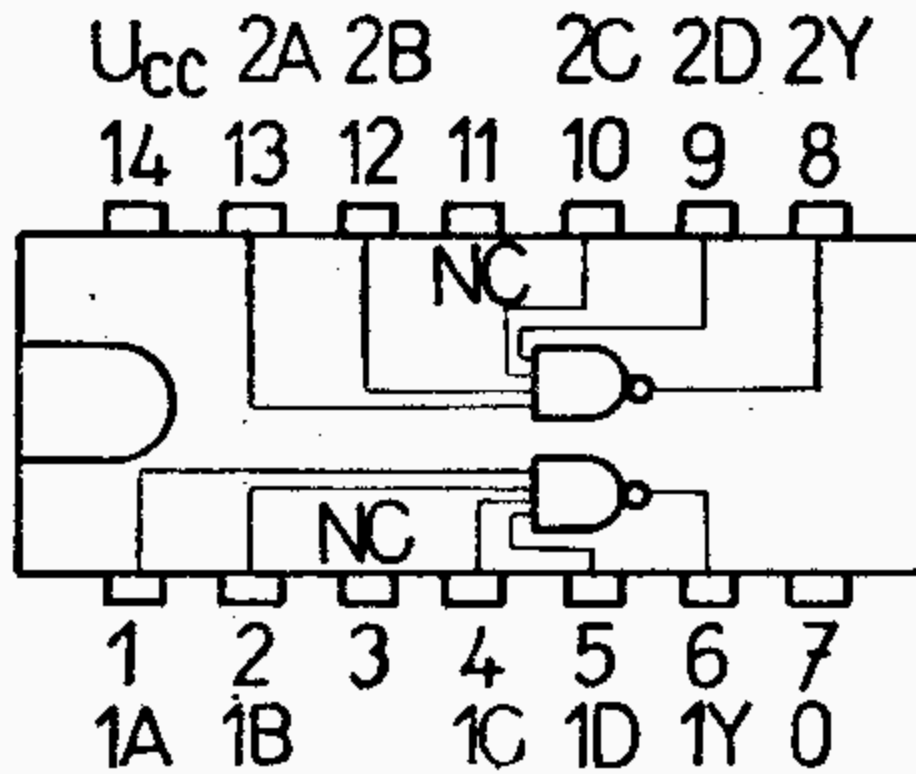
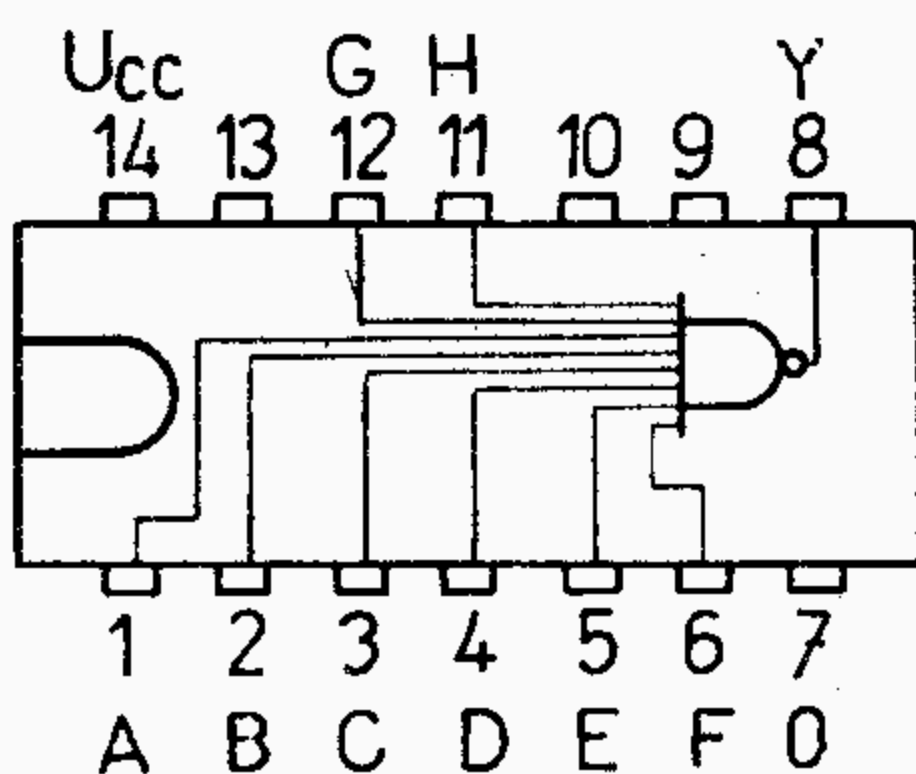
Typ		Provozní hodnoty													
MH7474 (MJB111) MH8474		Statické hodnoty:													
		MH7474 Ta = 0 ... +70 °C MH8474 Ta = -25 ... +85 °C													
Dvojitý bistabilní klopný obvod D		měřeno při													
Pravdivostní tabulka (jeden klopný obvod)															
<table><tr><th>tn</th><th colspan="2">tn + 1</th></tr><tr><th>vstup D</th><th>výstup Q</th><th>výstup Q</th></tr><tr><td>0</td><td>0</td><td>1</td></tr><tr><td>1</td><td>1</td><td>0</td></tr></table>		tn	tn + 1		vstup D	výstup Q	výstup Q	0	0	1	1	1	0		
tn	tn + 1														
vstup D	výstup Q	výstup Q													
0	0	1													
1	1	0													
		Dynamické hodnoty:													
		Doporučené pracovní hodnoty:													
		tp (hod) ≥ 30 ns													
		tp (nast) ≥ 30 ns													
		tp (nul) ≥ 30 ns													
		1) Přes nulování – výstup nebo nastavení – výstup.													
		2) Přes hodiny – výstup.													

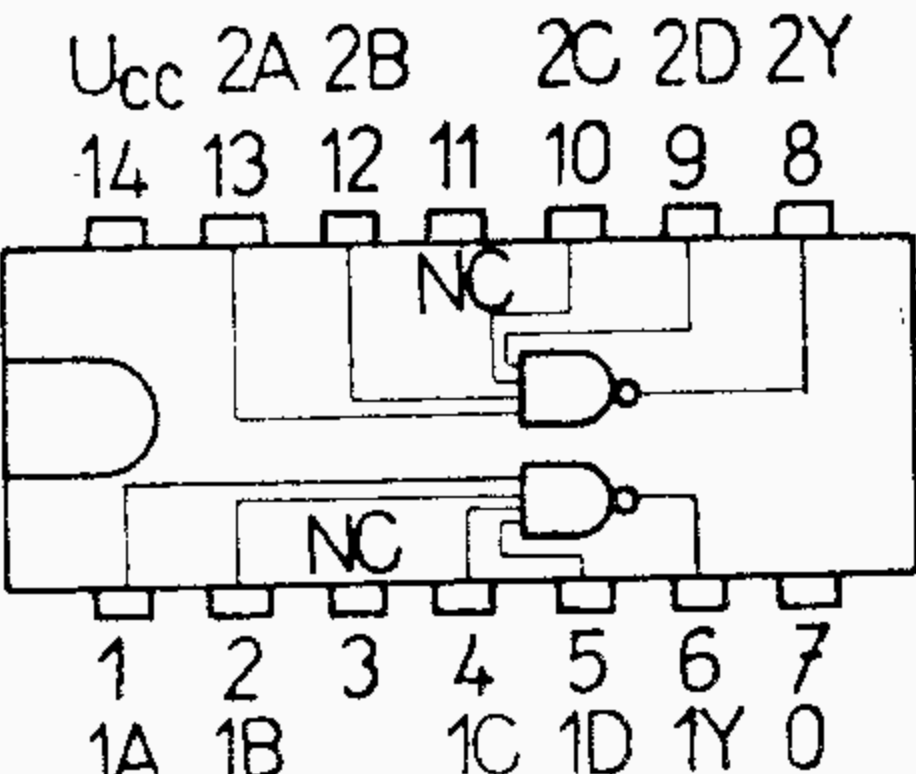
Typ		Provozní hodnoty	
MH7475 MH8475		Statické hodnoty: MH7475 $T_a = 0 \dots +70 \text{ }^\circ\text{C}$ MH8475 $T_a = -25 \dots +85 \text{ }^\circ\text{C}$ měřeno při	
		$U_{vst(1)} > 2 \text{ V}$ $U_{vst(0)} < 0,8 \text{ V}$ $U_{výst(1)} > 2,4 \text{ V}$ $U_{výst(0)} < 0,4 \text{ V}$ $-I_{vst(0)} < 3,2 \text{ mA}$ $-I_{vst(0)} < 6,4 \text{ mA}$ $I_{vst(1)} < 80 \text{ } \mu\text{A}$ $I_{vst(1)} < 1 \text{ mA}$ $I_{vst(1)} < 160 \text{ } \mu\text{A}$ $I_{vst(1)} < 1 \text{ mA}$ $-I_{OS}^{1)} 18 \dots 57 \text{ mA}$ $I_{CC} < 53 \text{ mA}$	
Monolitický obvod se střední hustotou integrace pro čtyřbitové střadače dvojkové informace, dvojitý dvojitý klopný obvod D.		$U_{CC} = 4,75 \text{ V}$ (každý vstup) $U_{CC} = 4,75 \text{ V}$ (každý vstup) $U_{CC} = 4,75 \text{ V}, I_{zat} = -400 \text{ } \mu\text{A}$ $U_{CC} = 4,75 \text{ V}, I_{zat} = 16 \text{ mA}$ $U_{CC} = 5,25 \text{ V}, U_{vst} = 0,4 \text{ V}$ (pro vstup D) $U_{CC} = 5,25 \text{ V}, U_{vst} = 0,4 \text{ V}$ (pro hodiny) $U_{CC} = 5,25 \text{ V}, U_{vst} = 2,4 \text{ V}$ (pro vstup D) $U_{CC} = 5,25 \text{ V}, U_{vst} = 5,5 \text{ V}$ (pro vstup D) $U_{CC} = 5,25 \text{ V}, U_{vst} = 2,4 \text{ V}$ (pro hodiny) $U_{CC} = 5,25 \text{ V}, U_{vst} = 5,5 \text{ V}$ (pro hodiny) $U_{CC} = 5,25 \text{ V}, U_{výst} = 0 \text{ V}$ $U_{CC} = 5,25 \text{ V}$	
		Dynamické hodnoty: $U_{CC} = 5 \text{ V}, T_a = 25 \text{ }^\circ\text{C}, N = 10, C_Z = 15 \text{ pF}, R_Z = 400 \text{ } \Omega$	
		$t_{setup 1} < 20 \text{ ns}$ $t_{setup 0} < 20 \text{ ns}$ $t_{hold 1} > 0 \text{ ns}$ $t_{hold 0} > 0 \text{ ns}$ $t_{pd 1(D-Q)} < 30 \text{ ns}$ $t_{pd 0(D-Q)} < 25 \text{ ns}$	
		$t_{pd 1(H-Q)} < 30 \text{ ns}$ $t_{pd 0(H-Q)} < 15 \text{ ns}$ $t_{pd 1(H-Q)} < 30 \text{ ns}$ $t_{pd 0(H-Q)} < 15 \text{ ns}$ $t_{pd 1(D-Q)} < 40 \text{ ns}$ $t_{pd 0(D-Q)} < 15 \text{ ns}$	
		1) Uzemněn smí být současně jen jeden výstup.	

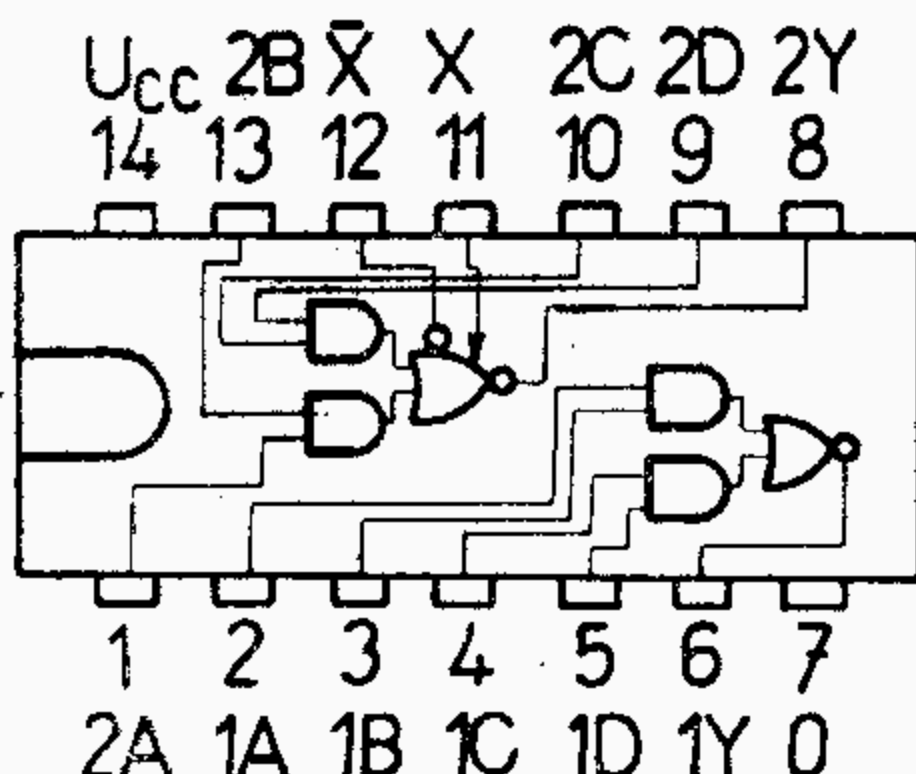
Typ	Provozní hodnoty	
MH7490 MH8490	Statické hodnoty:	
	MH7490	MH8490
	$T_a = 0 \dots +70 \text{ }^\circ\text{C}$	$T_a = -25 \dots +85 \text{ }^\circ\text{C}$
		měřeno při
	$U_{vst(1)} > 2 \text{ V}$	$U_{CC} = 4,75 \text{ V}$
	$U_{vst(0)} < 0,8 \text{ V}$	$U_{CC} = 4,75 \text{ V}$
	$U_{výst(1)} > 2,4 \text{ V}$	$U_{CC} = 4,75 \text{ V}$
	$U_{výst(0)} < 0,4 \text{ V}$	$U_{CC} = 4,75 \text{ V}$
	$I_{vst(1)} < 40 \text{ }\mu\text{A}$	$I_{zat} = -400 \text{ }\mu\text{A}$
	$I_{vst(1)} < 1 \text{ mA}$	$I_{zat} = 16 \text{ mA}$
	$I_{vst(1)} < 80 \text{ }\mu\text{A}$	$U_{CC} = 5,25 \text{ V}$
	$I_{vst(1)} < 1 \text{ mA}$	$U_{CC} = 5,25 \text{ V}$
	$I_{vst(1)} < 160 \text{ }\mu\text{A}$	$U_{vst} = 2,4 \text{ V}$
	$I_{vst(1)} < 1 \text{ mA}$	$U_{vst} = 5,5 \text{ V}$
	$-I_{vst(0)} < 1,6 \text{ mA}$	$U_{vst} = 2,4 \text{ V}$
		$U_{vst} = 5,5 \text{ V}$
		$U_{vst} = 2,4 \text{ V}$
		$U_{vst} = 5,5 \text{ V}$
		$U_{vst} = 0,4 \text{ V}$
		$U_{vst} = 0,4 \text{ V}$
		$U_{výst} = 0 \text{ V}$
		$U_{vst} = 4,5 \text{ V}$
	Dynamické hodnoty:	
	$t_{pd1} < 100 \text{ ns}$	$t_p(vst) \geq 50 \text{ ns}$
	$t_{pd0} < 100 \text{ ns}$	$t_p(nul) \geq 50 \text{ ns}$
	$f_{max} > 10 \text{ MHz}$	$P \geq 160 \text{ mW}$
	Doporučené provozní hodnoty:	
	$U_{CC} = 5 \text{ V}, T_a = 25 \text{ }^\circ\text{C},$	
	$N = 10, C_Z = 15 \text{ pF},$	
	$R_Z = 400 \text{ }\Omega$	
	1) Uzemněn smí být současně jen jeden výstup.	

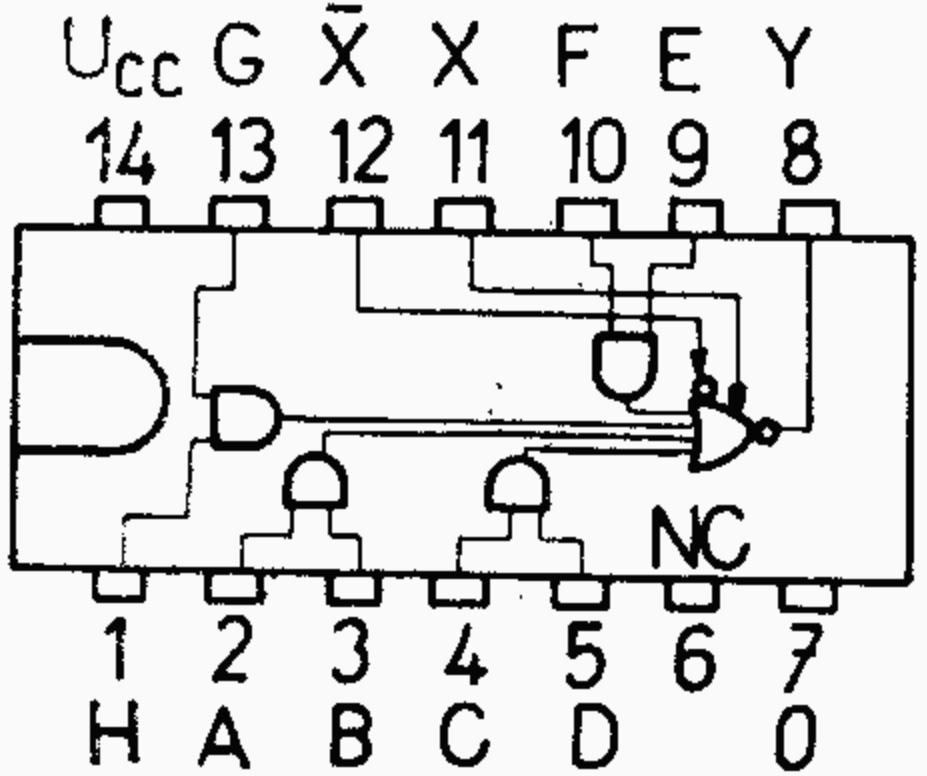
Typ	Provozní hodnoty		
MH7493 MH8493	Statické hodnoty:		
MH7493	$T_a = 0 \dots +70\text{ }^{\circ}\text{C}$		
MH8493	$T_a = -25 \dots +85\text{ }^{\circ}\text{C}$		
	měřeno při		
	$U_{vst(1)} > 2\text{ V}$	$U_{CC} = 4,75\text{ V}$	(každý vstup)
	$U_{vst(0)} < 0,8\text{ V}$	$U_{CC} = 4,75\text{ V}$	(každý vstup)
	$U_{výst(1)} > 2,4\text{ V}$	$U_{CC} = 4,75\text{ V}$	$I_{zat} = -400\text{ }\mu\text{A}$
	$U_{výst(0)} < 0,4\text{ V}$	$U_{CC} = 4,75\text{ V}$	$I_{zat} = 16\text{ mA}$
	$I_{vst(1)} < 40\text{ }\mu\text{A}$	$U_{CC} = 5,25\text{ V}$	$U_{vst} = 2,4\text{ V}$ (pro vstup $R_{o(1)}, R_{o(2)}$)
	$I_{vst(1)} < 1\text{ mA}$	$U_{CC} = 5,25\text{ V}$	$U_{vst} = 5,5\text{ V}$ (pro vstup $R_{o(1)}, R_{o(2)}$)
	$I_{vst(1)} < 80\text{ }\mu\text{A}$	$U_{CC} = 5,25\text{ V}$	$U_{vst} = 2,4\text{ V}$ (pro vstupy A, B)
	$I_{vst(1)} < 1\text{ mA}$	$U_{CC} = 5,25\text{ V}$	$U_{vst} = 5,5\text{ V}$ (pro vstupy A, B)
	$-I_{vst(0)} < 1,6\text{ mA}$	$U_{CC} = 5,25\text{ V}$	$U_{vst} = 0,4\text{ V}$ (pro vstupy $R_{o(1)}, R_{o(2)}$)
	$-I_{vst(0)} < 3,2\text{ mA}$	$U_{CC} = 5,25\text{ V}$	$U_{vst} = 0,4\text{ V}$ (pro vstupy A, B)
	$-I_{OS}^1) 18 \dots 57\text{ mA}$	$U_{CC} = 5,25\text{ V}$	$U_{výst} = 0\text{ V}$
	$I_{CC} < 53\text{ mA}$	$U_{CC} = 5,25\text{ V}$	$U_{vst} = 4,5\text{ V}$
	Dynamické hodnoty:		
	$t_{pd1} < 135\text{ ns}$	$\left. \begin{array}{l} U_{CC} = 5\text{ V}, T_a = 25\text{ }^{\circ}\text{C}, \\ N = 10, C_Z = 15\text{ pF}, \\ R_Z = 400\text{ }\Omega \end{array} \right\}$	
$t_{pd0} < 135\text{ ns}$			
$f_{max} > 10\text{ MHz}$			
Doporučené provozní hodnoty:			
$t_p(vst) \geq 50\text{ ns}$			
$t_p(vst) \geq 50\text{ ns}$			
1) Uzemněn smí být současně jen jeden výstup.			

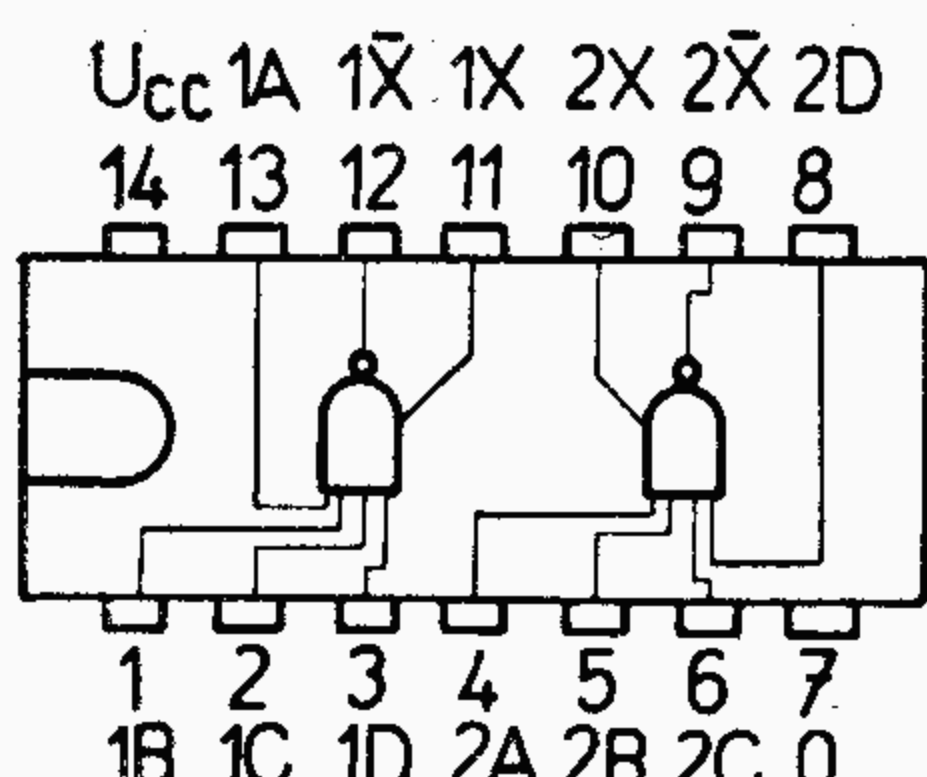
Typ	Provozní hodnoty																																		
MH5400	MH5400, MH5410, MH5420, MH5430																																		
	<p>Statické hodnoty:</p> <p>MH5400 ... $T_a = -55 \dots +125 \text{ }^\circ\text{C}$, $N \leq 10$</p> <table><tr><td>$U_{vst(1)} > 2 \text{ V}$</td><td>$U_{CC} = 4,5 \text{ V}$, $U_{výst(0)} \leq 0,4 \text{ V}$</td></tr><tr><td>$U_{vst(0)} < 0,8 \text{ V}$</td><td>$U_{CC} = 4,5 \text{ V}$, $U_{výst(1)} \geq 2,4 \text{ V}$</td></tr><tr><td>$U_{výst(1)} > 2,4 \text{ V}$</td><td>$U_{CC} = 4,5 \text{ V}$, $U_{vst} = 0,8 \text{ V}$, $I_{zat} = -400 \text{ }\mu\text{A}$</td></tr><tr><td>$U_{výst(0)} < 0,4 \text{ V}$</td><td>$U_{CC} = 4,5 \text{ V}$, $U_{vst} = 2 \text{ V}$, $I_{zat} = 16 \text{ mA}$</td></tr><tr><td>$-I_{vst(0)} < 1,6 \text{ mA}$</td><td>$U_{CC} = 5,5 \text{ V}$, $U_{vst} = 0,4 \text{ V}$</td></tr><tr><td>$I_{vst(1)} < 40 \text{ }\mu\text{A}$</td><td>$U_{CC} = 5,5 \text{ V}$, $U_{vst} = 2,4 \text{ V}$</td></tr><tr><td>$I_{vst(0)} < 1 \text{ mA}$</td><td>$U_{CC} = 5,5 \text{ V}$, $U_{vst} = 5,5 \text{ V}$</td></tr><tr><td>$-I_{OS} 20 \dots 55 \text{ mA}$</td><td>$U_{CC} = 5,5 \text{ V}^1)$</td></tr></table> <table><tr><td>$I_{CC(0)} 12 < 22 \text{ mA}$</td><td>MH5400</td><td rowspan="4">} $U_{CC} = 5 \text{ V}$, $U_{vst} = 5 \text{ V}$</td></tr><tr><td>$I_{CC(0)} 9 < 16,5 \text{ mA}$</td><td>MH5410</td></tr><tr><td>$I_{CC(0)} 6 < 11 \text{ mA}$</td><td>MH5420</td></tr><tr><td>$I_{CC(0)} 3 < 6 \text{ mA}$</td><td>MH5430</td></tr><tr><td>$I_{CC(1)} 4 < 8 \text{ mA}$</td><td>MH5400</td><td rowspan="4">} $U_{CC} = 5 \text{ V}$, $U_{vst} = 0 \text{ V}$</td></tr><tr><td>$I_{CC(1)} 3 < 6 \text{ mA}$</td><td>MH5410</td></tr><tr><td>$I_{CC(1)} 2 < 4 \text{ mA}$</td><td>MH5420</td></tr><tr><td>$I_{CC(1)} 1 < 2 \text{ mA}$</td><td>MH5430</td></tr></table>	$U_{vst(1)} > 2 \text{ V}$	$U_{CC} = 4,5 \text{ V}$, $U_{výst(0)} \leq 0,4 \text{ V}$	$U_{vst(0)} < 0,8 \text{ V}$	$U_{CC} = 4,5 \text{ V}$, $U_{výst(1)} \geq 2,4 \text{ V}$	$U_{výst(1)} > 2,4 \text{ V}$	$U_{CC} = 4,5 \text{ V}$, $U_{vst} = 0,8 \text{ V}$, $I_{zat} = -400 \text{ }\mu\text{A}$	$U_{výst(0)} < 0,4 \text{ V}$	$U_{CC} = 4,5 \text{ V}$, $U_{vst} = 2 \text{ V}$, $I_{zat} = 16 \text{ mA}$	$-I_{vst(0)} < 1,6 \text{ mA}$	$U_{CC} = 5,5 \text{ V}$, $U_{vst} = 0,4 \text{ V}$	$I_{vst(1)} < 40 \text{ }\mu\text{A}$	$U_{CC} = 5,5 \text{ V}$, $U_{vst} = 2,4 \text{ V}$	$I_{vst(0)} < 1 \text{ mA}$	$U_{CC} = 5,5 \text{ V}$, $U_{vst} = 5,5 \text{ V}$	$-I_{OS} 20 \dots 55 \text{ mA}$	$U_{CC} = 5,5 \text{ V}^1)$	$I_{CC(0)} 12 < 22 \text{ mA}$	MH5400	} $U_{CC} = 5 \text{ V}$, $U_{vst} = 5 \text{ V}$	$I_{CC(0)} 9 < 16,5 \text{ mA}$	MH5410	$I_{CC(0)} 6 < 11 \text{ mA}$	MH5420	$I_{CC(0)} 3 < 6 \text{ mA}$	MH5430	$I_{CC(1)} 4 < 8 \text{ mA}$	MH5400	} $U_{CC} = 5 \text{ V}$, $U_{vst} = 0 \text{ V}$	$I_{CC(1)} 3 < 6 \text{ mA}$	MH5410	$I_{CC(1)} 2 < 4 \text{ mA}$	MH5420	$I_{CC(1)} 1 < 2 \text{ mA}$	MH5430
$U_{vst(1)} > 2 \text{ V}$	$U_{CC} = 4,5 \text{ V}$, $U_{výst(0)} \leq 0,4 \text{ V}$																																		
$U_{vst(0)} < 0,8 \text{ V}$	$U_{CC} = 4,5 \text{ V}$, $U_{výst(1)} \geq 2,4 \text{ V}$																																		
$U_{výst(1)} > 2,4 \text{ V}$	$U_{CC} = 4,5 \text{ V}$, $U_{vst} = 0,8 \text{ V}$, $I_{zat} = -400 \text{ }\mu\text{A}$																																		
$U_{výst(0)} < 0,4 \text{ V}$	$U_{CC} = 4,5 \text{ V}$, $U_{vst} = 2 \text{ V}$, $I_{zat} = 16 \text{ mA}$																																		
$-I_{vst(0)} < 1,6 \text{ mA}$	$U_{CC} = 5,5 \text{ V}$, $U_{vst} = 0,4 \text{ V}$																																		
$I_{vst(1)} < 40 \text{ }\mu\text{A}$	$U_{CC} = 5,5 \text{ V}$, $U_{vst} = 2,4 \text{ V}$																																		
$I_{vst(0)} < 1 \text{ mA}$	$U_{CC} = 5,5 \text{ V}$, $U_{vst} = 5,5 \text{ V}$																																		
$-I_{OS} 20 \dots 55 \text{ mA}$	$U_{CC} = 5,5 \text{ V}^1)$																																		
$I_{CC(0)} 12 < 22 \text{ mA}$	MH5400	} $U_{CC} = 5 \text{ V}$, $U_{vst} = 5 \text{ V}$																																	
$I_{CC(0)} 9 < 16,5 \text{ mA}$	MH5410																																		
$I_{CC(0)} 6 < 11 \text{ mA}$	MH5420																																		
$I_{CC(0)} 3 < 6 \text{ mA}$	MH5430																																		
$I_{CC(1)} 4 < 8 \text{ mA}$	MH5400	} $U_{CC} = 5 \text{ V}$, $U_{vst} = 0 \text{ V}$																																	
$I_{CC(1)} 3 < 6 \text{ mA}$	MH5410																																		
$I_{CC(1)} 2 < 4 \text{ mA}$	MH5420																																		
$I_{CC(1)} 1 < 2 \text{ mA}$	MH5430																																		
Čtveřice dvojitých pozitivních hradel NAND $Y = \overline{AB}$	Pokračování na násled. straně.																																		

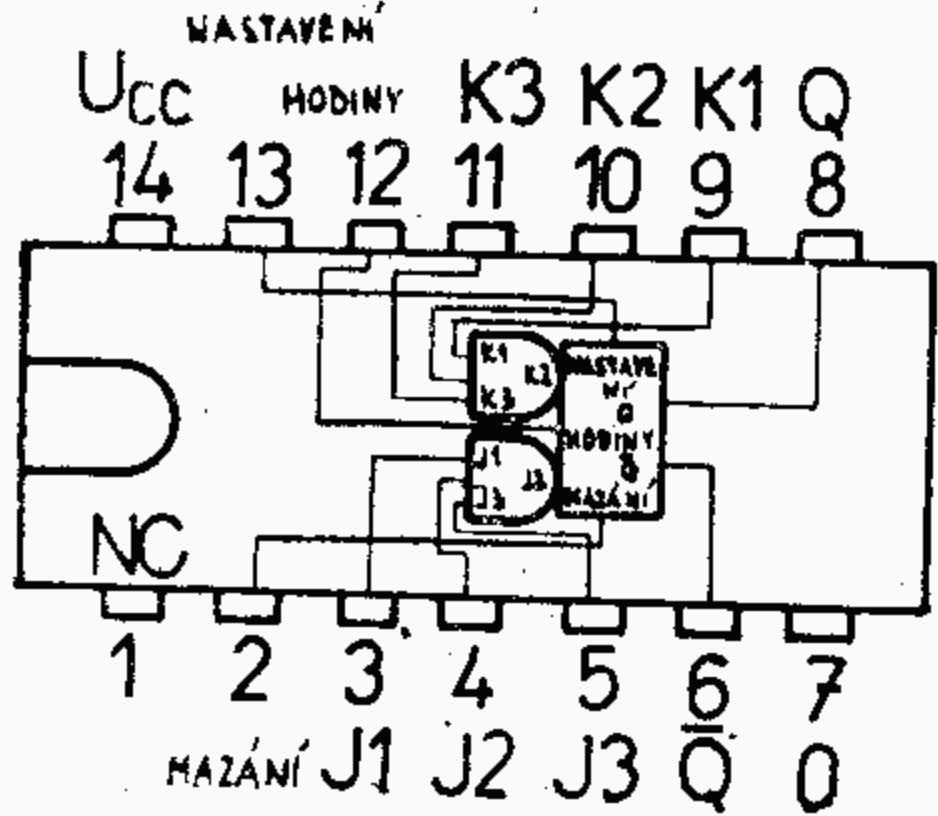
Typ	Provozní hodnoty	
Pokračování: MH5400, MH5410, MH5420, MH5430 Spínací vlastnosti: $U_{CC} = 5 \text{ V}, T_a = 25 \text{ }^{\circ}\text{C}, N = 10$ $t_{pd0} < 15 \text{ ns} \quad C_1 = 15 \text{ pF}, R_1 = 390 \text{ } \Omega$ $t_{pd1} < 22 \text{ ns} \quad C_1 = 15 \text{ pF}, R_1 = 390 \text{ } \Omega$ <div>1) Uzemněn smí být současně jen jeden výstup. 2) Typické hodnoty platí při $U_{CC} = 5 \text{ V}, T_a = 25 \text{ }^{\circ}\text{C}.$</div>		
MH5410 	MH5420 	MH5430 
Trojice třívstupových pozitivních hradel NAND $Y = \overline{ABC}$	Dvojitě čtyřvstupové pozitivní hradlo NAND $Y = \overline{ABCD}$	Osmivstupové pozitivní hradlo NAND $Y = \overline{ABCDEFGH}$

Typ	Provozní hodnoty	
MH5440	Statické hodnoty:	
	MH5440	$T_a = -55 \dots +125 \text{ } ^\circ\text{C}$, $N \leq 30$
		měřeno při
	$U_{vst(1)} > 2 \text{ V}$ $U_{vst(0)} < 0,8 \text{ V}$ $U_{výst(1)} > 2,4 \text{ V}$ $U_{výst(0)} < 0,4 \text{ V}$ $-I_{vst(0)} < 1,6 \text{ mA}$ $I_{vst(1)} < 40 \text{ } \mu\text{A}$ $I_{vst(1)} < 1 \text{ mA}$ $-I_{OS} 20 \dots 70 \text{ mA}$ $I_{CC(0)} 17 < 27 \text{ mA}$ $I_{CC(1)} 2 < 8 \text{ mA}$	$U_{CC} = 4,5 \text{ V}$, $U_{výst(0)} \leq 0,4 \text{ V}$ $U_{CC} = 4,5 \text{ V}$, $U_{výst(1)} \geq 2,4 \text{ V}$ $U_{CC} = 4,5 \text{ V}$, $U_{vst} = 0,8 \text{ V}$, $I_{zat} = -1,2 \text{ mA}$ $U_{CC} = 4,5 \text{ V}$, $U_{vst} = 2 \text{ V}$, $I_{zat} = 48 \text{ mA}$ $U_{CC} = 5,5 \text{ V}$, $U_{vst} = 0,4 \text{ V}$ $U_{CC} = 5,5 \text{ V}$, $U_{vst} = 2,4 \text{ V}$ $U_{CC} = 5,5 \text{ V}$, $U_{vst} = 5,5 \text{ V}$ $U_{CC} = 5,5 \text{ V}^1)$ $U_{CC} = 5 \text{ V}$, $U_{vst} = 5 \text{ V}$ $U_{CC} = 5 \text{ V}$, $U_{vst} = 0 \text{ V}$
	Dynamické hodnoty:	$U_{CC} = 5 \text{ V}$, $T_a = 25 \text{ } ^\circ\text{C}$, $N = 30$,
	$t_{pd 0} < 15 \text{ ns}$	$C_1 = 15 \text{ pF}$, $R_1 = 130 \text{ } \Omega$
	$t_{pd 1} < 22 \text{ ns}$	$C_1 = 15 \text{ pF}$, $R_1 = 130 \text{ } \Omega$
Dvojité čtyřvstupové pozitivní výkonové hradlo NAND		
$Y = \overline{ABCD}$		
1) Uzemněn smí být současně jen jeden výstup.		
2) Typické hodnoty platí při $U_{CC} = 5 \text{ V}$, $T_a = 25 \text{ } ^\circ\text{C}$.		

TYP	Provozní hodnoty
MH5450	Statické hodnoty: (vývody 11 a 12 nezapojeny) MH5450 $T_a = -55$ až $+125$ °C, $N \leq 10$
	měřeno při $U_{vst(1)} > 2$ V $U_{CC} = 4,5$ V, $U_{výst(0)} \leq 0,4$ V $U_{vst(0)} < 0,8$ V $U_{CC} = 4,5$ V, $U_{výst(1)} \geq 2,4$ V $U_{výst(1)} > 2,4$ V $U_{CC} = 4,5$ V, $U_{vst} = 0,8$ V, $I_{zat} = -400$ μA $U_{výst(0)} < 0,4$ V $U_{CC} = 4,5$ V, $U_{vst} = 2$ V, $I_{zat} = 16$ mA $-I_{vst(0)} < 1,6$ mA $U_{CC} = 5,5$ V, $U_{vst} = 0$ V $I_{vst(1)} < 40$ μA $U_{CC} = 5,5$ V, $U_{vst} = 2,4$ V $I_{vst(1)} < 1$ mA $U_{CC} = 5,5$ V, $U_{vst} = 5,5$ V $-I_{OS} 20 \dots 55$ mA $U_{CC} = 5,5$ V 1) $I_{CC(0)} 7,4 < 14$ mA $U_{CC} = 5$ V, $U_{vst} = 5$ V $I_{CC(1)} 4 < 8$ mA $U_{CC} = 5$ V, $U_{vst} = 0$ V
Dvojité dvouvstupové hradlo AND-OR-INVERT s možností rozšíření jedné sekce expanderem MH5460 $Y = (AB) + (CD) + X$ $X = ABCD$ pro MH5460	Statické hodnoty při použití expanderu MH5460; $T_a = -55$ °C $I_x < 2,9$ mA $U_{CC} = 4,5$ V, $U_1 = 0,4$ V, $I_{zat} = 16$ mA $U_{BE(Q)} < 1$ V $U_{CC} = 4,5$ V, $I_1 = 0,41$ mA, $I_{zat} = 16$ mA, $R_1 = 0$ $U_{výst(1)} > 2,4$ V $U_{CC} = 4,5$ V, $I_{zat} = -400$ μA, $I_1 = 150$ μA, $I_2 = -150$ μA $U_{výst(0)} < 0,4$ V $U_{CC} = 4,5$ V, $I_{zat} = 16$ mA, $I_1 = 0,3$ mA, $R_1 = 138$ Ω Dynamické hodnoty: $U_{CC} = 5$ V, $T_a = 25$ °C, $N = 10$ $t_{pd 0} < 15$ ns $C_1 = 15$ pF, $R_1 = 390$ Ω $t_{pd 1} < 22$ ns $C_1 = 15$ pF, $R_1 = 390$ Ω
	1) Uzemněn smí být současně jen jeden výstup.

Typ	Provozní hodnoty																																
<p>MH5453</p>  <p>Pozitivní rozšířitelné hradlo AND-OR-INVERT s možností rozšíření expanderem MH5460.</p> <p>$Y = (AB) + (CD) + (EF) + (GH) + X$</p> <p>$X = ABCD$ pro MH5460</p>	<p>Statické hodnoty: (vývody 11 a 12 nezapojeny)</p> <p>MH5453 $T_a = -55$ až $+125$ °C, $N \leq 10$</p> <p>měřeno při</p> <table> <tr> <td>$U_{vst(1)} > 2$ V</td><td>$U_{CC} = 4,5$ V, $U_{výst(0)} \leq 0,4$ V</td></tr> <tr> <td>$U_{vst(0)} < 0,8$ V</td><td>$U_{CC} = 4,5$ V, $U_{výst(1)} \geq 2,4$ V</td></tr> <tr> <td>$U_{výst(1)} > 2,4$ V</td><td>$U_{CC} = 4,5$ V, $U_{vst} = 0,8$ V, $I_{zat} = -400$ μA</td></tr> <tr> <td>$U_{výst(0)} < 0,4$ V</td><td>$U_{CC} = 4,5$ V, $U_{vst} = 2$ V, $I_{zat} = 16$ mA</td></tr> <tr> <td>$-I_{vst(0)} < 1,6$ mA</td><td>$U_{CC} = 5,5$ V, $U_{vst} = 0$ V</td></tr> <tr> <td>$I_{vst(1)} < 40$ μA</td><td>$U_{CC} = 5,5$ V, $U_{vst} = 2,4$ V</td></tr> <tr> <td>$I_{vst(1)} < 1$ mA</td><td>$U_{CC} = 5,5$ V, $U_{vst} = 5,5$ V</td></tr> <tr> <td>$-I_{OS} 20 \dots 55$ mA</td><td>$U_{CC} = 5,5$ V¹⁾</td></tr> <tr> <td>$I_{CC(0)} 5,1 < 9,5$ mA</td><td>$U_{CC} = 5$ V, $U_{vst} = 5$ V</td></tr> <tr> <td>$I_{CC(1)} 4 < 8$ mA</td><td>$U_{CC} = 5$ V, $U_{vst} = 0$ V</td></tr> </table> <p>Statické hodnoty při použití expanderu MH5460; $T_a = -55$ °C</p> <table> <tr> <td>$I_x < 2,9$ mA</td><td>$U_{CC} = 4,5$ V, $U_1 = 0,4$ V, $I_{zat} = 16$ mA</td></tr> <tr> <td>$U_{BE(Q)} < 1$ V</td><td>$U_{CC} = 4,5$ V, $I_1 = 0,41$ mA, $I_{zat} = 16$ mA, $R_1 = 0$</td></tr> <tr> <td>$U_{výst(1)} > 2,4$ V</td><td>$U_{CC} = 4,5$ V, $I_{zat} = -400$ μA, $I_1 = 150$ μA, $I_2 = -150$ μA</td></tr> <tr> <td>$U_{výst(0)} < 0,4$ V</td><td>$U_{CC} = 4,5$ V, $I_{zat} = 16$ mA, $I_1 = 0,3$ mA, $R_1 = 138$ Ω</td></tr> </table> <p>Dynamické hodnoty: $U_{CC} = 5$ V, $T_a = 25$ °C, $N = 10$</p> <table> <tr> <td>$t_{pd 0} < 15$ ns</td><td>$C_1 = 15$ pF, $R_1 = 390$ Ω</td></tr> <tr> <td>$t_{pd 1} < 22$ ns</td><td>$C_1 = 15$ pF, $R_1 = 390$ Ω</td></tr> </table> <p>¹⁾ Uzemněn smí být současně jen jeden výstup.</p>	$U_{vst(1)} > 2$ V	$U_{CC} = 4,5$ V, $U_{výst(0)} \leq 0,4$ V	$U_{vst(0)} < 0,8$ V	$U_{CC} = 4,5$ V, $U_{výst(1)} \geq 2,4$ V	$U_{výst(1)} > 2,4$ V	$U_{CC} = 4,5$ V, $U_{vst} = 0,8$ V, $I_{zat} = -400$ μ A	$U_{výst(0)} < 0,4$ V	$U_{CC} = 4,5$ V, $U_{vst} = 2$ V, $I_{zat} = 16$ mA	$-I_{vst(0)} < 1,6$ mA	$U_{CC} = 5,5$ V, $U_{vst} = 0$ V	$I_{vst(1)} < 40$ μ A	$U_{CC} = 5,5$ V, $U_{vst} = 2,4$ V	$I_{vst(1)} < 1$ mA	$U_{CC} = 5,5$ V, $U_{vst} = 5,5$ V	$-I_{OS} 20 \dots 55$ mA	$U_{CC} = 5,5$ V ¹⁾	$I_{CC(0)} 5,1 < 9,5$ mA	$U_{CC} = 5$ V, $U_{vst} = 5$ V	$I_{CC(1)} 4 < 8$ mA	$U_{CC} = 5$ V, $U_{vst} = 0$ V	$I_x < 2,9$ mA	$U_{CC} = 4,5$ V, $U_1 = 0,4$ V, $I_{zat} = 16$ mA	$U_{BE(Q)} < 1$ V	$U_{CC} = 4,5$ V, $I_1 = 0,41$ mA, $I_{zat} = 16$ mA, $R_1 = 0$	$U_{výst(1)} > 2,4$ V	$U_{CC} = 4,5$ V, $I_{zat} = -400$ μ A, $I_1 = 150$ μ A, $I_2 = -150$ μ A	$U_{výst(0)} < 0,4$ V	$U_{CC} = 4,5$ V, $I_{zat} = 16$ mA, $I_1 = 0,3$ mA, $R_1 = 138$ Ω	$t_{pd 0} < 15$ ns	$C_1 = 15$ pF, $R_1 = 390$ Ω	$t_{pd 1} < 22$ ns	$C_1 = 15$ pF, $R_1 = 390$ Ω
$U_{vst(1)} > 2$ V	$U_{CC} = 4,5$ V, $U_{výst(0)} \leq 0,4$ V																																
$U_{vst(0)} < 0,8$ V	$U_{CC} = 4,5$ V, $U_{výst(1)} \geq 2,4$ V																																
$U_{výst(1)} > 2,4$ V	$U_{CC} = 4,5$ V, $U_{vst} = 0,8$ V, $I_{zat} = -400$ μ A																																
$U_{výst(0)} < 0,4$ V	$U_{CC} = 4,5$ V, $U_{vst} = 2$ V, $I_{zat} = 16$ mA																																
$-I_{vst(0)} < 1,6$ mA	$U_{CC} = 5,5$ V, $U_{vst} = 0$ V																																
$I_{vst(1)} < 40$ μ A	$U_{CC} = 5,5$ V, $U_{vst} = 2,4$ V																																
$I_{vst(1)} < 1$ mA	$U_{CC} = 5,5$ V, $U_{vst} = 5,5$ V																																
$-I_{OS} 20 \dots 55$ mA	$U_{CC} = 5,5$ V ¹⁾																																
$I_{CC(0)} 5,1 < 9,5$ mA	$U_{CC} = 5$ V, $U_{vst} = 5$ V																																
$I_{CC(1)} 4 < 8$ mA	$U_{CC} = 5$ V, $U_{vst} = 0$ V																																
$I_x < 2,9$ mA	$U_{CC} = 4,5$ V, $U_1 = 0,4$ V, $I_{zat} = 16$ mA																																
$U_{BE(Q)} < 1$ V	$U_{CC} = 4,5$ V, $I_1 = 0,41$ mA, $I_{zat} = 16$ mA, $R_1 = 0$																																
$U_{výst(1)} > 2,4$ V	$U_{CC} = 4,5$ V, $I_{zat} = -400$ μ A, $I_1 = 150$ μ A, $I_2 = -150$ μ A																																
$U_{výst(0)} < 0,4$ V	$U_{CC} = 4,5$ V, $I_{zat} = 16$ mA, $I_1 = 0,3$ mA, $R_1 = 138$ Ω																																
$t_{pd 0} < 15$ ns	$C_1 = 15$ pF, $R_1 = 390$ Ω																																
$t_{pd 1} < 22$ ns	$C_1 = 15$ pF, $R_1 = 390$ Ω																																

Typ	Provozní hodnoty																										
<p>MH5460</p>  <p>Dvojice čtyřvstupových expanderů pro rozšíření hradel MH5450, MH5453</p> <p>$X = ABCD$ při součinnosti s hradly.</p>	<p>Statické hodnoty:</p> <p>MH5460 $T_a = -55 \dots +125$ °C</p> <p>měřeno při</p> <table> <tr> <td>$U_{vst(1)} > 2$ V</td><td>$U_{CC} = 4,5$ V, $U_1 = 1$ V, $R = 1,1$ kΩ</td></tr> <tr> <td>$U_{vst(0)} < 0,8$ V</td><td>$U_{CC} = 4,5$ V, $U_1 = 4,5$ V, $R = 1,2$ kΩ, $I_{vyp} = 0,15$ mA</td></tr> <tr> <td>$U_{zap} < 0,4$ V</td><td>$U_{CC} = 4,5$ V, $U_{vst} = 2$ V, $U_1 = 1$ V, $R = 1,1$ kΩ, $T_a = -55$ °C MH5460</td></tr> <tr> <td>$I_{vyp} < 270$ μA</td><td>$U_{CC} = 4,5$ V, $U_{vst} = 0,8$ V, $U_1 = 4,5$ V, $R = 1,2$ kΩ, $T_a = -55$ °C MH5460</td></tr> <tr> <td>$I_{CE} < 37$ μA</td><td>$U_{CC} = 4,5$ V, $U_{vst} = 0$ V, $U_1 = 4,5$ V, $R = 0$ kΩ, $T_a = -55$ °C MH5460</td></tr> <tr> <td>$-I_{zap} > 0,3$ mA</td><td>$U_{CC} = 4,5$ V, $U_{vst} = 2$ V, $U_1 = 1$ V</td></tr> <tr> <td>$I_{vst(0)} < 1,6$ mA</td><td>$U_{CC} = 5,5$ V, $U_{vst} = 0,4$ V</td></tr> <tr> <td>$I_{vst(1)} < 40$ μA</td><td>$U_{CC} = 5,5$ V, $U_{vst} = 2,4$ V</td></tr> <tr> <td>$I_{vst(1)} < 1$ mA</td><td>$U_{CC} = 5,5$ V, $U_{vst} = 5,5$ V</td></tr> <tr> <td>$I_{CC(1)} 1,2 < 2,5$ mA</td><td>$U_{CC} = 5$ V, $U_{vst} = 5$ V, $U_1 = 0,85$ V</td></tr> <tr> <td>$I_{CC(0)} 2 < 4$ mA</td><td>$U_{CC} = 5$ V, $U_{vst} = 0$ V, $U_1 = 0,85$ V</td></tr> </table> <p>Dynamické hodnoty: $U_{CC} = 5$ V, $T_a = 25$ °C, $N = 10$</p> <table> <tr> <td>$t_{pd 0} < 20$ ns</td><td>$C_1 = 15$ pF, $R_1 = 390$ Ω</td></tr> <tr> <td>$t_{pd 1} < 30$ ns</td><td>$C_1 = 15$ pF, $R_1 = 390$ Ω</td></tr> </table> <p>Vývody 9 a 12 se připojí na vývod 12 hradla MH5450, MH5453</p> <p>Vývody 10 a 11 se připojí na vývod 11 hradla MH5450, MH5453</p>	$U_{vst(1)} > 2$ V	$U_{CC} = 4,5$ V, $U_1 = 1$ V, $R = 1,1$ k Ω	$U_{vst(0)} < 0,8$ V	$U_{CC} = 4,5$ V, $U_1 = 4,5$ V, $R = 1,2$ k Ω , $I_{vyp} = 0,15$ mA	$U_{zap} < 0,4$ V	$U_{CC} = 4,5$ V, $U_{vst} = 2$ V, $U_1 = 1$ V, $R = 1,1$ k Ω , $T_a = -55$ °C MH5460	$I_{vyp} < 270$ μ A	$U_{CC} = 4,5$ V, $U_{vst} = 0,8$ V, $U_1 = 4,5$ V, $R = 1,2$ k Ω , $T_a = -55$ °C MH5460	$I_{CE} < 37$ μ A	$U_{CC} = 4,5$ V, $U_{vst} = 0$ V, $U_1 = 4,5$ V, $R = 0$ k Ω , $T_a = -55$ °C MH5460	$-I_{zap} > 0,3$ mA	$U_{CC} = 4,5$ V, $U_{vst} = 2$ V, $U_1 = 1$ V	$I_{vst(0)} < 1,6$ mA	$U_{CC} = 5,5$ V, $U_{vst} = 0,4$ V	$I_{vst(1)} < 40$ μ A	$U_{CC} = 5,5$ V, $U_{vst} = 2,4$ V	$I_{vst(1)} < 1$ mA	$U_{CC} = 5,5$ V, $U_{vst} = 5,5$ V	$I_{CC(1)} 1,2 < 2,5$ mA	$U_{CC} = 5$ V, $U_{vst} = 5$ V, $U_1 = 0,85$ V	$I_{CC(0)} 2 < 4$ mA	$U_{CC} = 5$ V, $U_{vst} = 0$ V, $U_1 = 0,85$ V	$t_{pd 0} < 20$ ns	$C_1 = 15$ pF, $R_1 = 390$ Ω	$t_{pd 1} < 30$ ns	$C_1 = 15$ pF, $R_1 = 390$ Ω
$U_{vst(1)} > 2$ V	$U_{CC} = 4,5$ V, $U_1 = 1$ V, $R = 1,1$ k Ω																										
$U_{vst(0)} < 0,8$ V	$U_{CC} = 4,5$ V, $U_1 = 4,5$ V, $R = 1,2$ k Ω , $I_{vyp} = 0,15$ mA																										
$U_{zap} < 0,4$ V	$U_{CC} = 4,5$ V, $U_{vst} = 2$ V, $U_1 = 1$ V, $R = 1,1$ k Ω , $T_a = -55$ °C MH5460																										
$I_{vyp} < 270$ μ A	$U_{CC} = 4,5$ V, $U_{vst} = 0,8$ V, $U_1 = 4,5$ V, $R = 1,2$ k Ω , $T_a = -55$ °C MH5460																										
$I_{CE} < 37$ μ A	$U_{CC} = 4,5$ V, $U_{vst} = 0$ V, $U_1 = 4,5$ V, $R = 0$ k Ω , $T_a = -55$ °C MH5460																										
$-I_{zap} > 0,3$ mA	$U_{CC} = 4,5$ V, $U_{vst} = 2$ V, $U_1 = 1$ V																										
$I_{vst(0)} < 1,6$ mA	$U_{CC} = 5,5$ V, $U_{vst} = 0,4$ V																										
$I_{vst(1)} < 40$ μ A	$U_{CC} = 5,5$ V, $U_{vst} = 2,4$ V																										
$I_{vst(1)} < 1$ mA	$U_{CC} = 5,5$ V, $U_{vst} = 5,5$ V																										
$I_{CC(1)} 1,2 < 2,5$ mA	$U_{CC} = 5$ V, $U_{vst} = 5$ V, $U_1 = 0,85$ V																										
$I_{CC(0)} 2 < 4$ mA	$U_{CC} = 5$ V, $U_{vst} = 0$ V, $U_1 = 0,85$ V																										
$t_{pd 0} < 20$ ns	$C_1 = 15$ pF, $R_1 = 390$ Ω																										
$t_{pd 1} < 30$ ns	$C_1 = 15$ pF, $R_1 = 390$ Ω																										

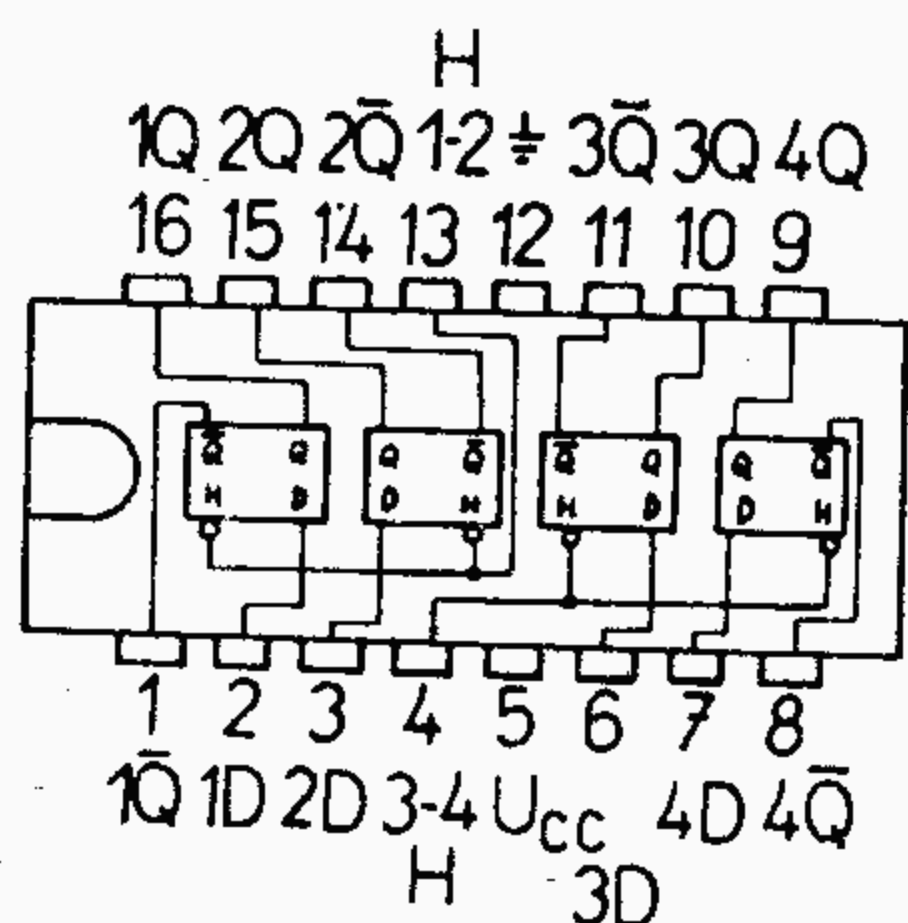
Typ	Provozní hodnoty												
MH5472	Statické hodnoty: MH5472 $T_a = -55 \dots +125 \text{ }^{\circ}\text{C}$ měřeno při												
	$U_{vst(1)} > 2 \text{ V}$ $U_{vst(0)} < 0,8 \text{ V}$ $U_{výst(1)} > 2,4 \text{ V}$ $U_{výst(0)} < 0,4 \text{ V}$ $-I_{vst(0)} < 1,6 \text{ mA}$ $-I_{vst(0)} < 3,2 \text{ mA}$ $I_{vst(1)} < 40 \text{ } \mu\text{A}$ $I_{vst(1)} < 1 \text{ mA}$ $I_{vst(1)} < 80 \text{ } \mu\text{A}$ $I_{vst(1)} < 1 \text{ mA}$ $-I_{OS} 20 \dots 55 \text{ mA}$ $I_{CC} 10 < 20 \text{ mA}$												
Pravdivostní tabulka	$U_{CC} = 4,5 \text{ V}$ $U_{CC} = 4,5 \text{ V}$ $U_{CC} = 4,5 \text{ V}, I_{zat} = -400 \text{ } \mu\text{A}$ $U_{CC} = 4,5 \text{ V}, I_{zat} = 16 \text{ mA}$ $U_{CC} = 5,5 \text{ V}, U_{vst} = 0,4 \text{ V}$ (pro $J_1, J_2, J_3, K_1, K_2, K_3$) $U_{CC} = 5,5 \text{ V}, U_{vst} = 0,4 \text{ V}$ (pro nast., nulování, hodiny) $U_{CC} = 5,5 \text{ V}, U_{vst} = 2,4 \text{ V}$ (pro $J_1, J_2, J_3, K_1, K_2, K_3$) $U_{CC} = 5,5 \text{ V}, U_{vst} = 5,5 \text{ V}$ (pro $J_1, J_2, J_3, K_1, K_2, K_3$) $U_{CC} = 5,5 \text{ V}, U_{vst} = 2,4 \text{ V}$ (pro nast., nulování, hodiny) $U_{CC} = 5,5 \text{ V}, U_{vst} = 5,5 \text{ V}$ (pro nast., nulování, hodiny) $U_{CC} = 5,5 \text{ V}, U_{vst} = 0 \text{ V}$ $U_{CC} = 5 \text{ V}, U_{vst} = 5 \text{ V}$												
<table><tr><th>t_n</th><th>t_{n+1}</th></tr><tr><td>J</td><td>K</td></tr><tr><td>0</td><td>0</td></tr><tr><td>0</td><td>1</td></tr><tr><td>1</td><td>0</td></tr><tr><td>1</td><td>1</td></tr></table>	t_n	t_{n+1}	J	K	0	0	0	1	1	0	1	1	Dynamické hodnoty: $t_{pd1}^{1)} < 50 \text{ ns}$ $t_{pd0}^{1)} < 50 \text{ ns}$ $t_{pd1}^{2)} 10 \dots 50 \text{ ns}$ $t_{pd0}^{2)} 10 \dots 50 \text{ ns}$ $f_{hod} > 10 \text{ MHz}$ $U_{CC} = 5 \text{ V}$ $T_a = 25 \text{ }^{\circ}\text{C}$ $N = 10$ $C_1 = 15 \text{ pF}$ $R_1 = 390 \text{ } \Omega$
t_n	t_{n+1}												
J	K												
0	0												
0	1												
1	0												
1	1												
Dvojčinný bistabilní klopný obvod J-K	Doporučené pracovní hodnoty: $t_p(hod) \geq 20 \text{ ns}$ $t_p(nast) \geq 25 \text{ ns}$ $t_p(nul) \geq 25 \text{ ns}$ $t_{setvp} \geq \text{šířka použitého hod. pulsu}$ $t_{hold} \geq 0$												

Typ		Provozní hodnoty													
MH5474		Statické hodnoty:													
		MH5474 $T_a = -55 \dots +125 \text{ } ^\circ\text{C}$													
Dvojité bistabilní klopný obvod D		měřeno při													
Pravdivostní tabulka (jeden klopný obvod)		$U_{vst}(1) > 2 \text{ V}$ $U_{CC} = 4,5 \text{ V}$													
<table><tr><th>t_n</th><th colspan="2">t_{n+1}</th></tr><tr><th>vstup D</th><th>výstup Q</th><th>výstup Q</th></tr><tr><td>0</td><td>0</td><td>1</td></tr><tr><td>1</td><td>1</td><td>0</td></tr></table>		t_n	t_{n+1}		vstup D	výstup Q	výstup Q	0	0	1	1	1	0	$U_{vst}(0) < 0,8 \text{ V}$ $U_{CC} = 4,5 \text{ V}$	
t_n	t_{n+1}														
vstup D	výstup Q	výstup Q													
0	0	1													
1	1	0													
		$U_{výst}(1) > 2,4 \text{ V}$ $U_{CC} = 4,5 \text{ V}, I_{zat} = -400 \text{ } \mu\text{A}$													
		$U_{výst}(0) < 0,4 \text{ V}$ $U_{CC} = 4,5 \text{ V}, I_{zat} = 16 \text{ mA}$													
		$-I_{vst}(0) < 1,6 \text{ mA}$ $U_{CC} = 5,5 \text{ V}, U_{vst} = 0,4 \text{ V}$ (pro nastavení, D vstup)													
		$-I_{vst}(0) < 3,2 \text{ mA}$ $U_{CC} = 5,5 \text{ V}, U_{vst} = 0,4 \text{ V}$ (pro nulování, hodiny)													
		$I_{vst}(1) < 40 \text{ } \mu\text{A}$ $U_{CC} = 5,5 \text{ V}, U_{vst} = 2,4 \text{ V}$ (pro D vstup)													
		$I_{vst}(1) < 1 \text{ mA}$ $U_{CC} = 5,5 \text{ V}, U_{vst} = 5,5 \text{ V}$ (pro D vstup)													
		$I_{vst}(1) < 80 \text{ } \mu\text{A}$ $U_{CC} = 5,5 \text{ V}, U_{vst} = 2,4 \text{ V}$ (pro nastavení, hodiny)													
		$I_{vst}(1) < 1 \text{ mA}$ $U_{CC} = 5,5 \text{ V}, U_{vst} = 5,5 \text{ V}$ (pro nastavení, hodiny)													
		$I_{vst}(1) < 120 \text{ } \mu\text{A}$ $U_{CC} = 5,5 \text{ V}, U_{vst} = 2,4 \text{ V}$ (pro nulování)													
		$I_{vst}(1) < 1 \text{ mA}$ $U_{CC} = 5,5 \text{ V}, U_{vst} = 5,5 \text{ V}$ (pro nulování)													
		$-I_{OS} 20 \dots 57 \text{ mA}$ $U_{CC} = 5,5 \text{ V}, U_{vst} = 0 \text{ V}$													
		$I_{CC} 17 < 30 \text{ mA}$ $U_{CC} = 5 \text{ V}, U_{vst} = 5 \text{ V}$													
		Dynamické hodnoty:													
		$t_{setup} < 20 \text{ ns}$													
		$t_{hold} < 5 \text{ ns}$													
		$t_{pd1}^{1)} < 25 \text{ ns}$													
		$t_{pd0}^{1)} < 40 \text{ ns}$													
		$t_{pd1}^{2)} 10 \dots 35 \text{ ns}$													
		$t_{pd0}^{2)} 10 \dots 50 \text{ ns}$													
		$f_{hod} > 15 \text{ MHz}$													
		$U_{CC} = 5 \text{ V}$													
		$T_a = 25 \text{ } ^\circ\text{C}$													
		$N = 10$													
		$C_1 = 15 \text{ pF}$													
		$R_1 = 390 \text{ } \Omega$													
		Doporučené pracovní hodnoty:													
		$t_p(hod) \geq 30 \text{ ns}$													
		$t_p(nast) \geq 30 \text{ ns}$													
		$t_p(nul) \geq 30 \text{ ns}$													
		1) Přes nulování — výstup nebo nastavení — výstup.													
		2) Přes hodiny — výstup.													

Typ

Provozní hodnoty

MH5475



Monolitický obvod se střední hustotou integrace pro čtyřbitové střadače dvojkové informace, dvojitý dvočinný klopný obvod D.

Statické hodnoty:

MH5475 $T_a = -25 \dots +125^\circ\text{C}$

měřeno při

$U_{vst(1)}$	>2 V	$U_{CC} = 4,5$ V	(každý vstup)
$U_{vst(0)}$	$<0,8$ V	$U_{CC} = 4,5$ V	(každý vstup)
$U_{výst(1)}$	$>2,4$ V	$U_{CC} = 4,5$ V	$I_{zat} = -400 \mu\text{A}$
$U_{výst(0)}$	$<0,4$ V	$U_{CC} = 4,5$ V	$I_{zat} = 16$ mA
$-I_{vst(0)}$	$<3,2$ mA	$U_{CC} = 5,5$ V,	$U_{vst} = 0,4$ V (pro vstup D)
$-I_{vst(0)}$	$<6,4$ mA	$U_{CC} = 5,5$ V,	(pro hodiny)
$I_{vst(1)}$	<80 μA	$U_{CC} = 5,5$ V,	$U_{vst} = 2,4$ V (pro vstup D)
$I_{vst(1)}$	<1 mA	$U_{CC} = 5,5$ V,	$U_{vst} = 5,5$ V (pro vstup D)
$I_{vst(1)}$	<160 μA	$U_{CC} = 5,5$ V,	$U_{vst} = 2,4$ V (pro hodiny)
$I_{vst(1)}$	<1 mA	$U_{CC} = 5,5$ V,	$U_{vst} = 5,5$ V (pro hodiny)
$-I_{OS}^1)$	$20 \dots 57$ mA	$U_{CC} = 5,5$ V,	$U_{výst} = 0$ V
I_{CC}	<46 mA	$U_{CC} = 5,5$ V	

Dynamické hodnoty:

 $U_{CC} = 5$ V, $T_a = 25^\circ\text{C}$, $N = 10$, $C_Z = 15$ pF, $R_Z = 400 \Omega$

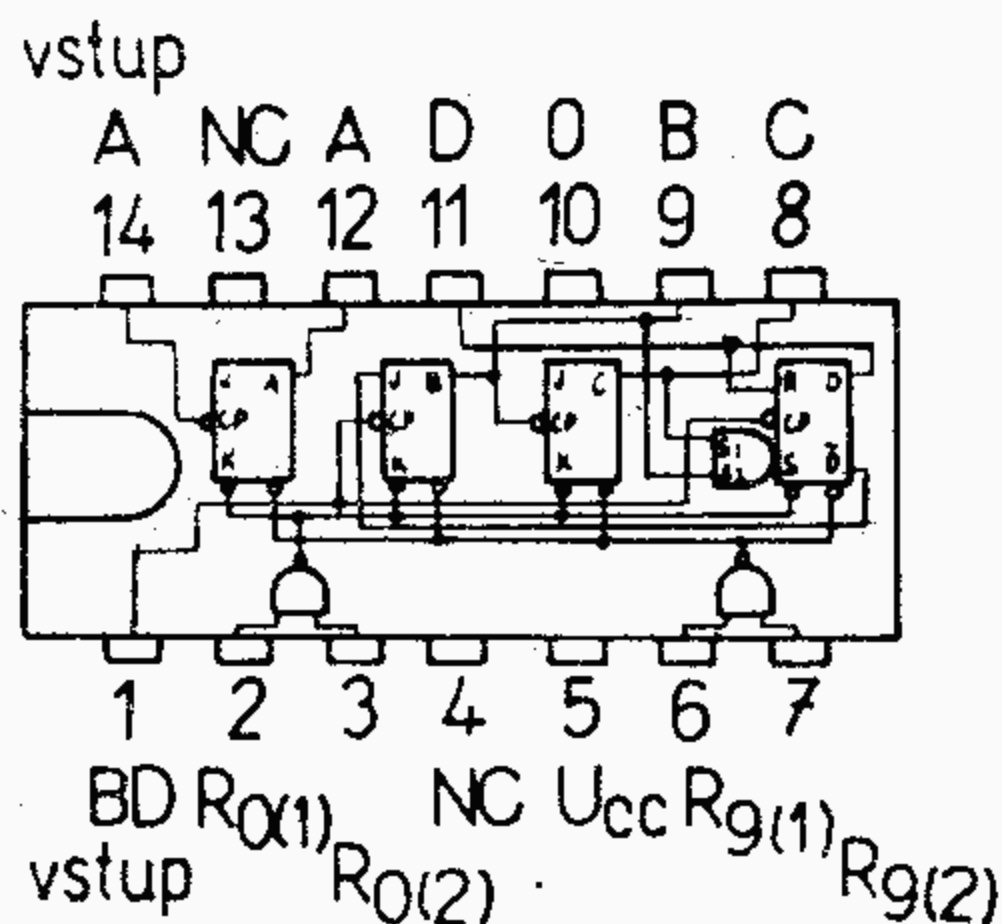
$t_{setup 1}$	<20 ns	$t_{pd 1 (H-Q)}$	<30 ns
$t_{setup 0}$	<20 ns	$t_{pd 0 (H-Q)}$	<15 ns
$t_{hold 1}$	>0 ns	$t_{pd 1 (H-Q)}$	<30 ns
$t_{hold 0}$	>0 ns	$t_{pd 0 (H-Q)}$	<15 ns
$t_{pd 1 (D-Q)}$	<30 ns	$t_{pd 1 (D-Q)}$	<40 ns
$t_{pd 0 (D-Q)}$	<25 ns	$t_{pd 0 (D-Q)}$	<15 ns

1) Uzemněn smí být současně jen jeden výstup.

Typ

Provozní hodnoty

MH5490



Monolitický obvod se střední hustotou integrace pro desítkové čítače v kódu BCD, symetrické děliče deseti, děliče dvěma a pěti.

Statické hodnoty:

MH5490 $T_a = -25 \dots +125^\circ\text{C}$

měřeno při

$U_{vst(1)}$	>2 V	$U_{CC} = 4,5$ V	
$U_{vst(0)}$	$<0,8$ V	$U_{CC} = 4,5$ V	
$U_{výst(1)}$	$>2,4$ V	$U_{CC} = 4,5$ V	$I_{zat} = -400 \mu\text{A}$
$U_{výst(0)}$	$<0,4$ V	$U_{CC} = 4,5$ V	$I_{zat} = 16$ mA
$I_{vst(1)}$	<40 μA	$U_{CC} = 5,5$ V,	$U_{vst} = 2,4$ V (pro vstup $R_{o(1)}, R_{o(2)}, R_{g(1)}, R_{g(2)}$)
$I_{vst(1)}$	<1 mA	$U_{CC} = 5,5$ V,	$U_{vst} = 5,5$ V (pro vstup A)
$I_{vst(1)}$	<80 μA	$U_{CC} = 5,5$ V,	$U_{vst} = 2,4$ V (pro vstup A)
$I_{vst(1)}$	<1 mA	$U_{CC} = 5,5$ V,	$U_{vst} = 5,5$ V (pro vstup BD)
$I_{vst(1)}$	<160 μA	$U_{CC} = 5,5$ V,	$U_{vst} = 2,4$ V (pro vstup BD)
$I_{vst(1)}$	<1 mA	$U_{CC} = 5,5$ V,	$U_{vst} = 5,5$ V (pro vstup BD)
$-I_{vst(0)}$	$<1,6$ mA	$U_{CC} = 5,5$ V,	$U_{vst} = 0,4$ V (pro vstup $R_{o(1)}, R_{o(2)}, R_{g(1)}, R_{g(2)}$)
$-I_{vst(0)}$	$<3,2$ mA	$U_{CC} = 5,5$ V,	$U_{vst} = 0,4$ V (pro vstup A)
$-I_{vst(0)}$	$<6,4$ mA	$U_{CC} = 5,5$ V,	$U_{vst} = 0,4$ V (pro vstup BD)
$-I_{OS}^1)$	$20 \dots 57$ mA	$U_{CC} = 5,5$ V,	$U_{výst} = 0$ V
I_{CC}	$32 \dots 46$ mA	$U_{CC} = 5,5$ V,	$U_{vst} = 4,5$ V

Dynamické hodnoty:

 $t_{pd 1} < 100$ ns
 $t_{pd 0} < 100$ ns
 $f_{max} > 10$ MHz

 $U_{CC} = 5$ V, $T_a = 25^\circ\text{C}$,
 $N = 10$, $C_Z = 15$ pF,
 $R_Z = 400 \Omega$

Doporučené provozní hodnoty:

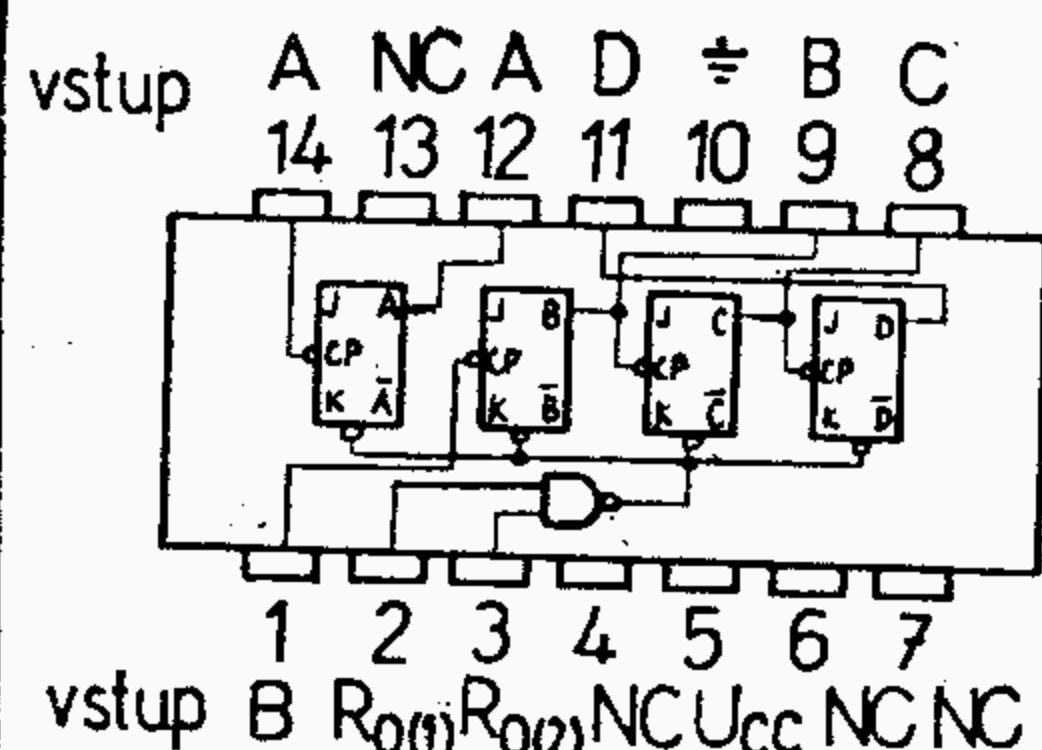
$t_p(vst)$	≥ 50 ns
$t_p(nul)$	≥ 50 ns
P	160 mW

1) Uzemněn smí být současně jen jeden výstup.

Typ

Provozní hodnoty

MH5493



Monolitický obvod se střední hustotou integrace pro dvojkové čítače o čtyřech bitech, dvojkové čítače o třech bitech.

Statické hodnoty:

MH5493

 $T_a = -25 \dots +125^\circ\text{C}$

měřeno při

$U_{vst(1)}$	$> 2\text{ V}$	$U_{CC} = 4,5\text{ V}$	(každý vstup)
$U_{vst(0)}$	$< 0,8\text{ V}$	$U_{CC} = 4,5\text{ V}$	(každý vstup)
$U_{výst(1)}$	$> 2,4\text{ V}$	$U_{CC} = 4,5\text{ V}$	$I_{zat} = -400\text{ }\mu\text{A}$
$U_{výst(0)}$	$< 0,4\text{ V}$	$U_{CC} = 4,5\text{ V}$	$I_{zat} = 16\text{ mA}$
$I_{vst(1)}$	$< 40\text{ }\mu\text{A}$	$U_{CC} = 5,5\text{ V}$	$U_{vst} = 2,4\text{ V}$ (pro vstup $R_{o(1)}$, $R_{o(2)}$)
$I_{vst(1)}$	$< 1\text{ mA}$	$U_{CC} = 5,5\text{ V}$	$U_{vst} = 5,5\text{ V}$ (pro vstup $R_{o(1)}$, $R_{o(2)}$)
$I_{vst(1)}$	$< 80\text{ }\mu\text{A}$	$U_{CC} = 5,5\text{ V}$	$U_{vst} = 2,4\text{ V}$ (pro vstupy A, B)
$I_{vst(1)}$	$< 1\text{ mA}$	$U_{CC} = 5,5\text{ V}$	$U_{vst} = 5,5\text{ V}$ (pro vstupy A, B)
$-I_{vst(0)}$	$< 1,6\text{ mA}$	$U_{CC} = 5,5\text{ V}$	$U_{vst} = 0,4\text{ V}$ (pro vstupy $R_{o(1)}$, $R_{o(2)}$)
$-I_{vst(0)}$	$< 3,2\text{ mA}$	$U_{CC} = 5,5\text{ V}$	$U_{vst} = 0,4\text{ V}$ (pro vstupy A, B)
$-I_{OS}^1)$	$20 \dots 57\text{ mA}$	$U_{CC} = 5,5\text{ V}$	$U_{výst} = 0\text{ V}$
I_{CC}	$< 46\text{ mA}$	$U_{CC} = 5,5\text{ V}$	$U_{vst} = 4,5\text{ V}$

Dynamické hodnoty:

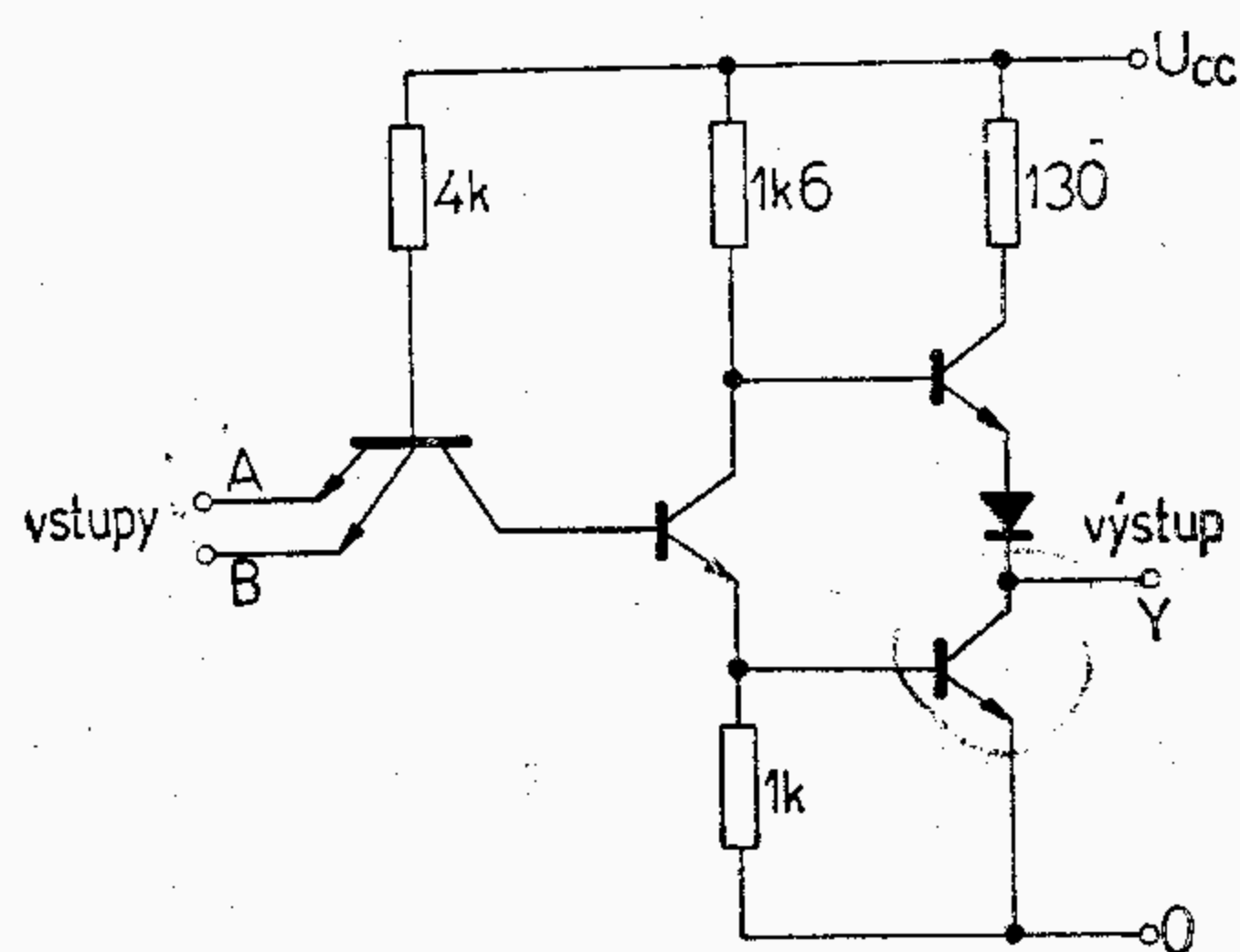
t_{pd1}	$< 135\text{ ns}$	$U_{CC} = 5\text{ V}$, $T_a = 25^\circ\text{C}$, $N = 10$, $C_Z = 15\text{ pF}$, $R_Z = 400\text{ }\Omega$
t_{pd0}	$< 135\text{ ns}$	
f_{max}	$> 10\text{ MHz}$	

Doporučené provozní hodnoty:

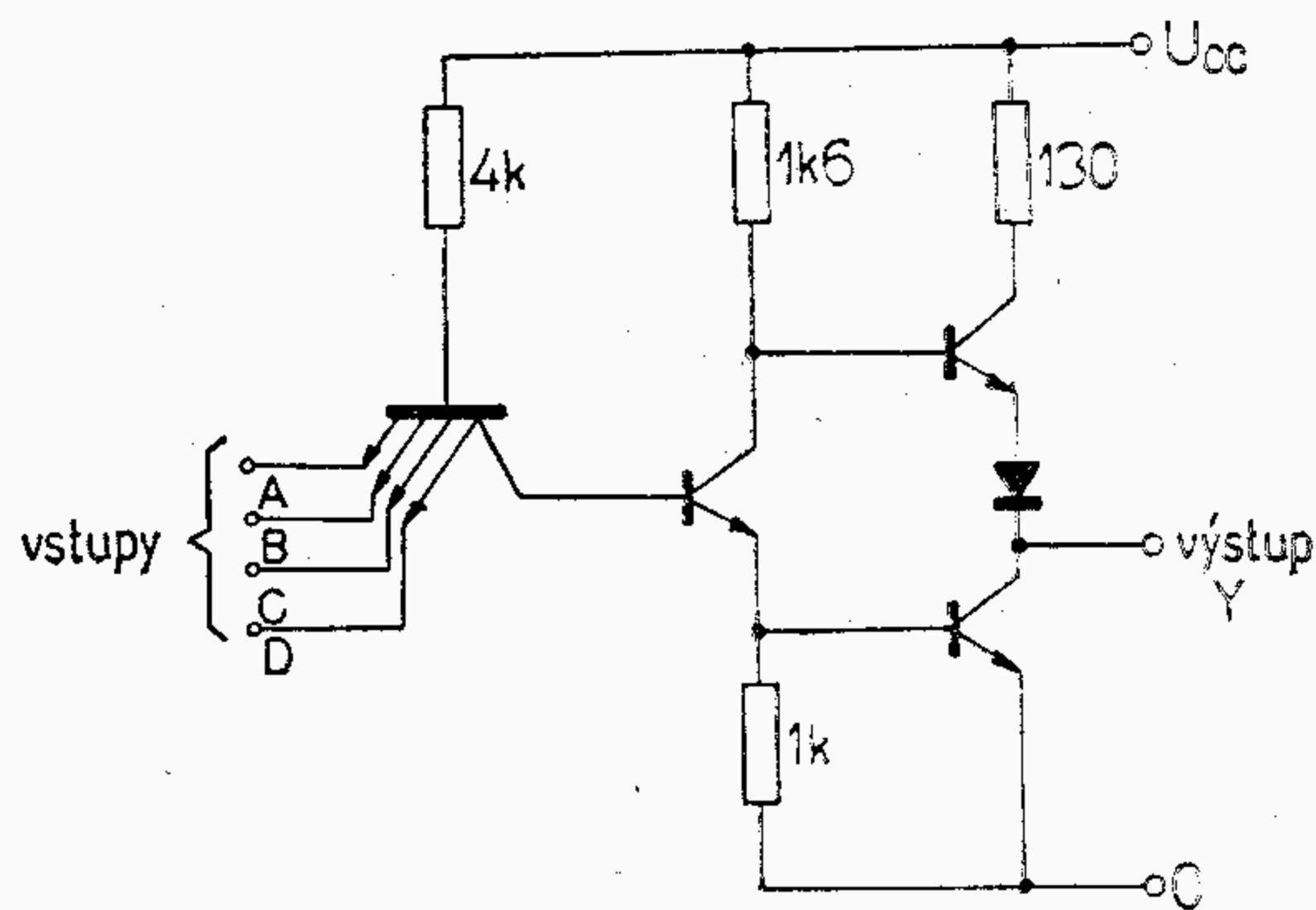
$t_p(vst)$	$\geq 50\text{ ns}$
$t_p(nul)$	$\geq 50\text{ ns}$

¹⁾ Uzemněn smí být současně jen jeden výstup.

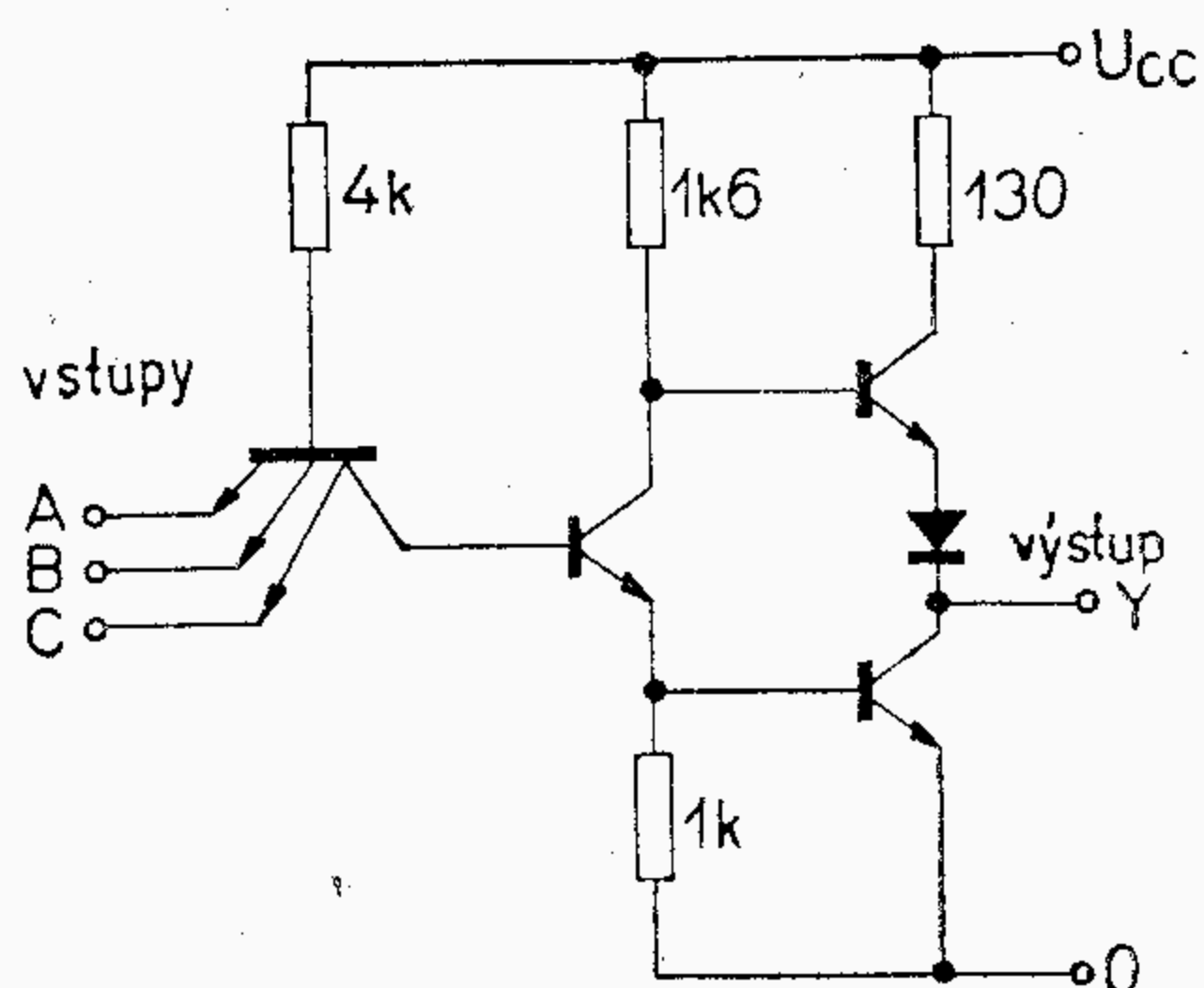
MH7400, MH8400, MH5400



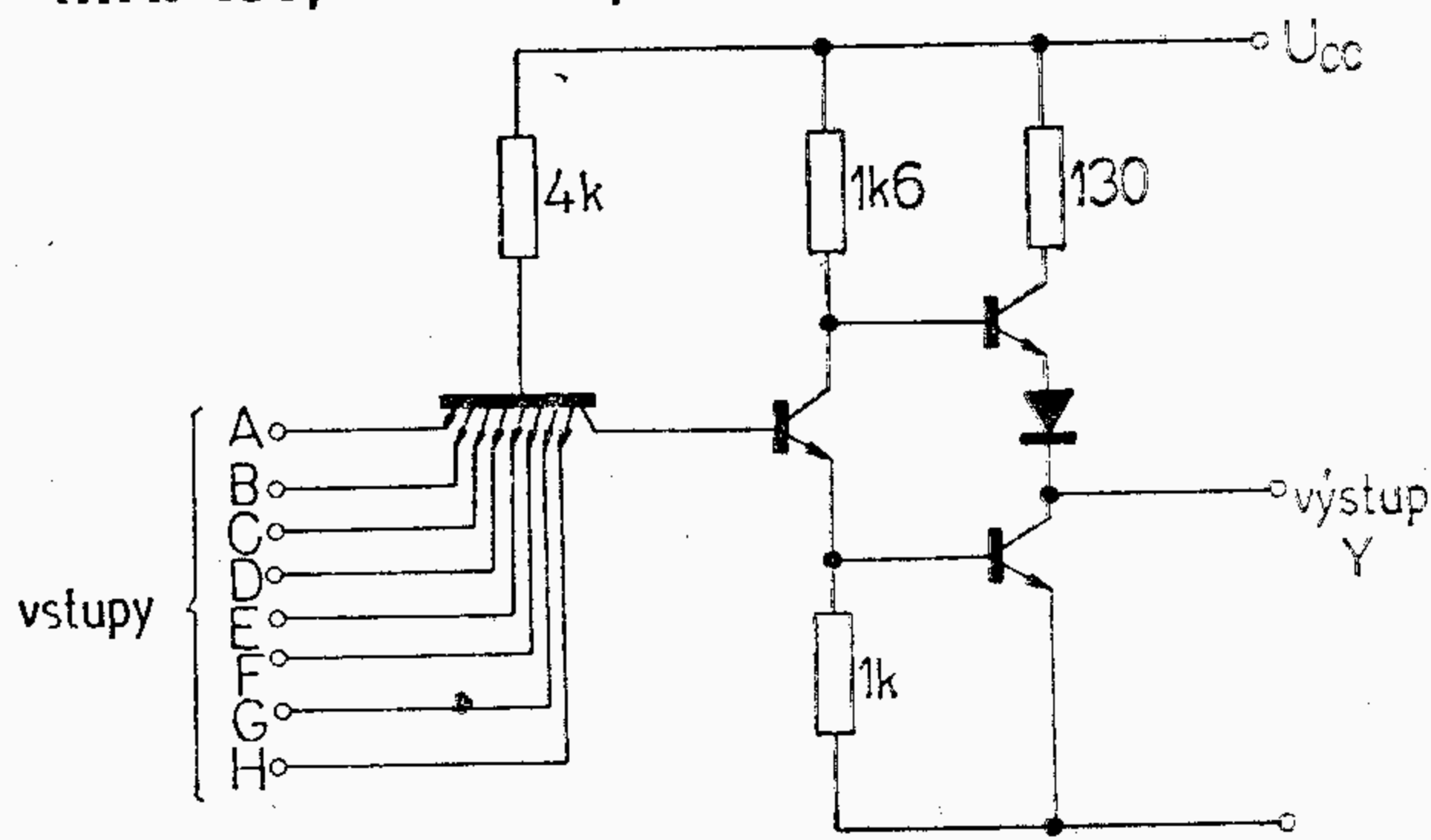
MH7420, MH8420, MH5420



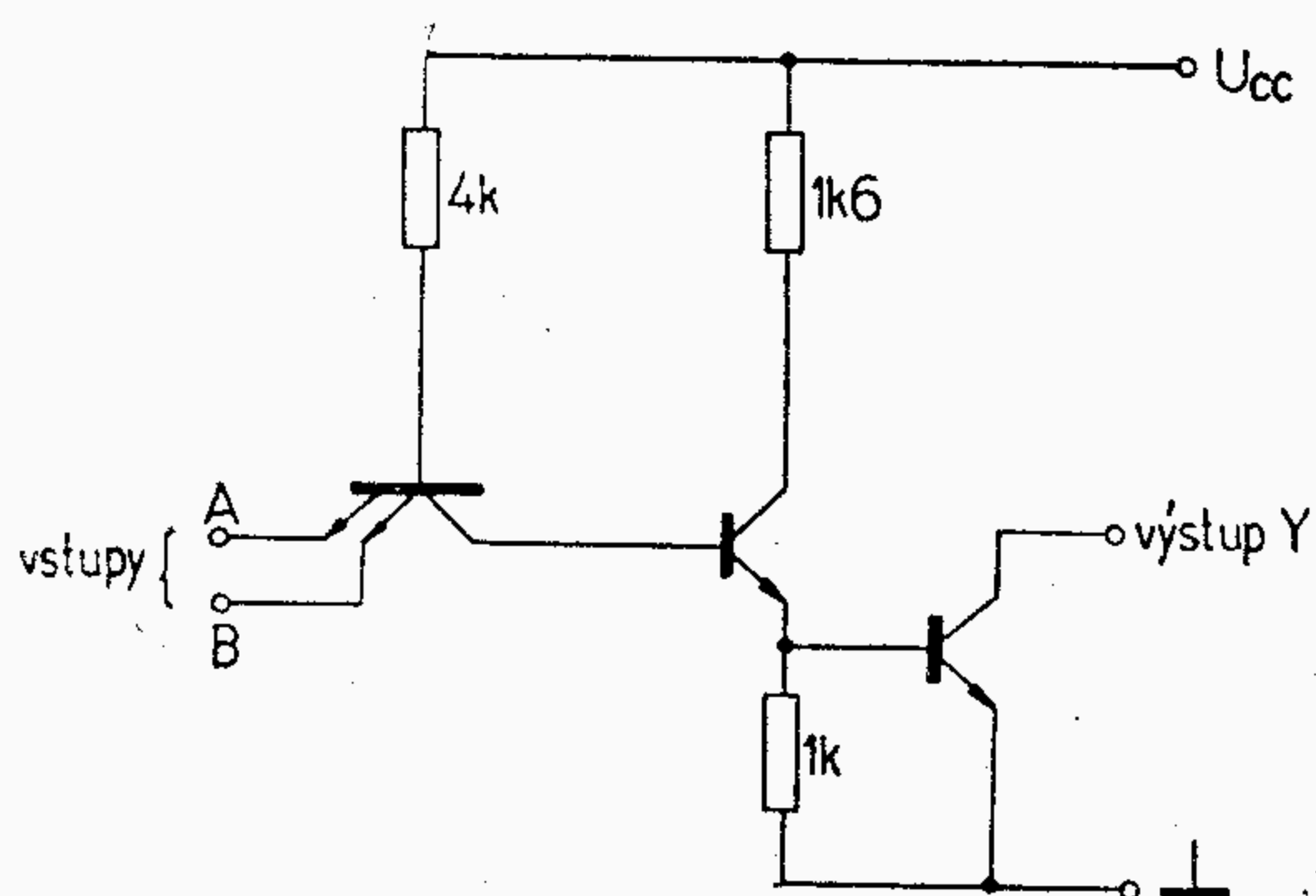
MH7410, MH8410, MH5410



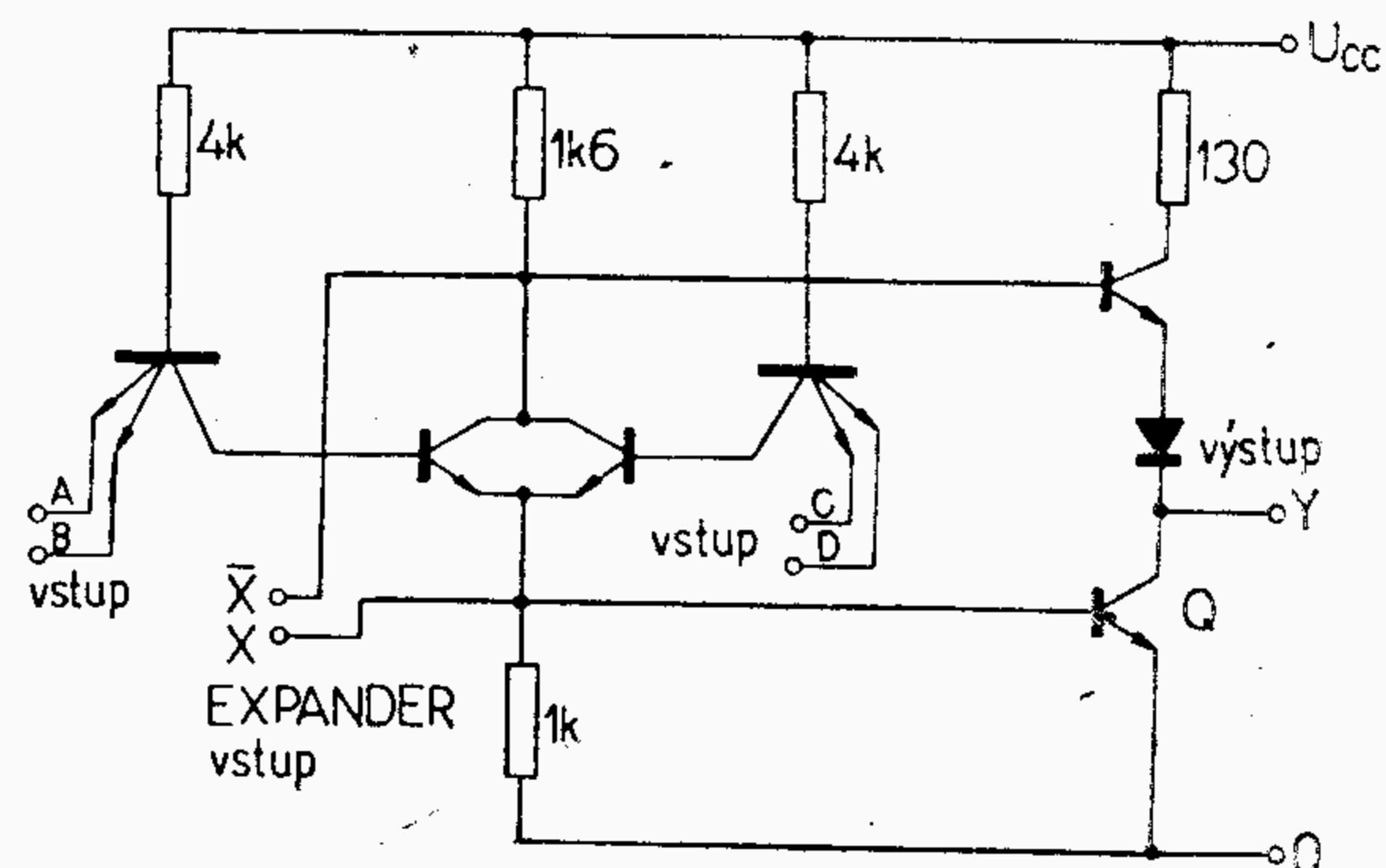
MH7430, MH8430, MH5430



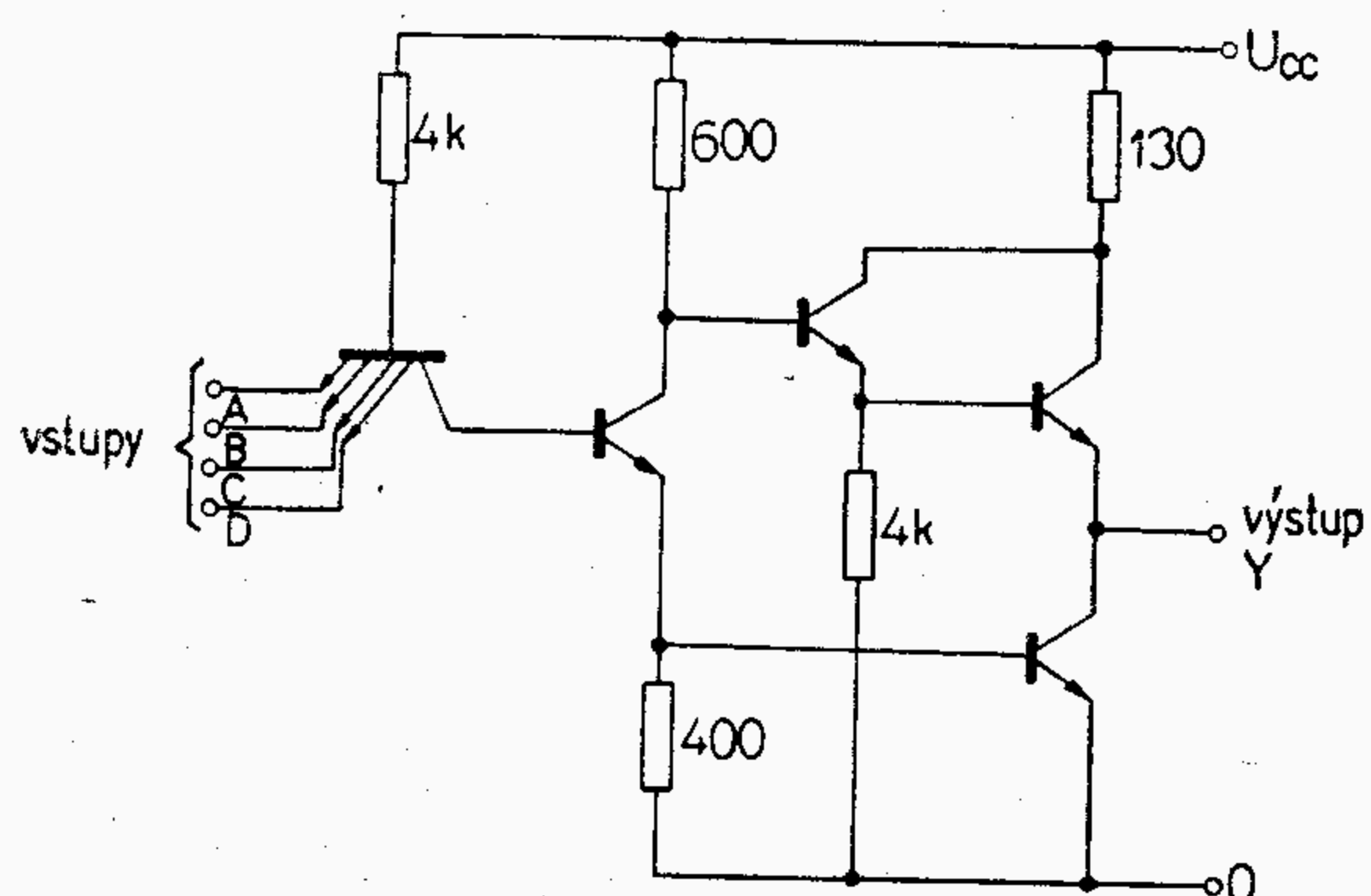
MH7403



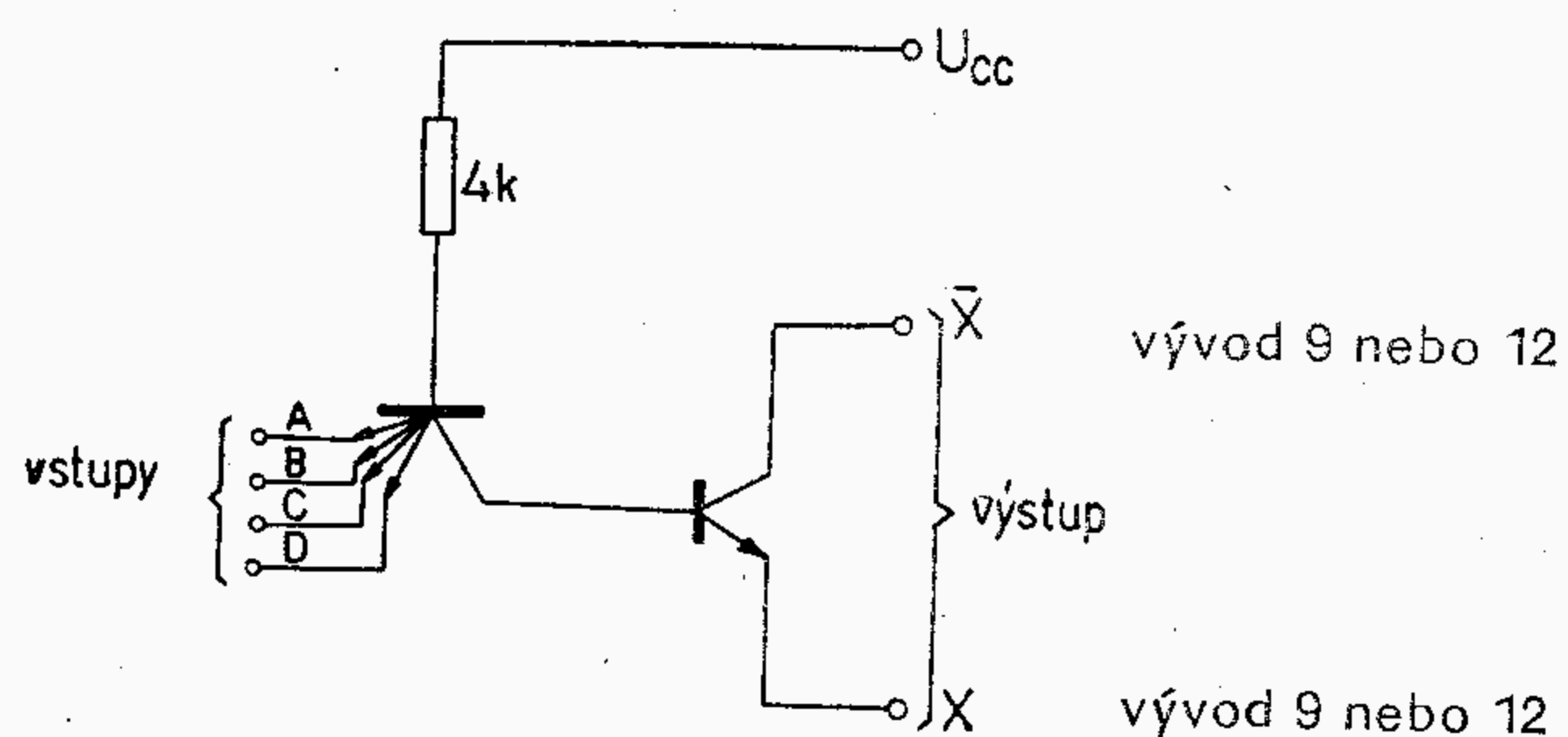
MH7450, MH8450, MH5450



MH7440, MH8440, MH5440



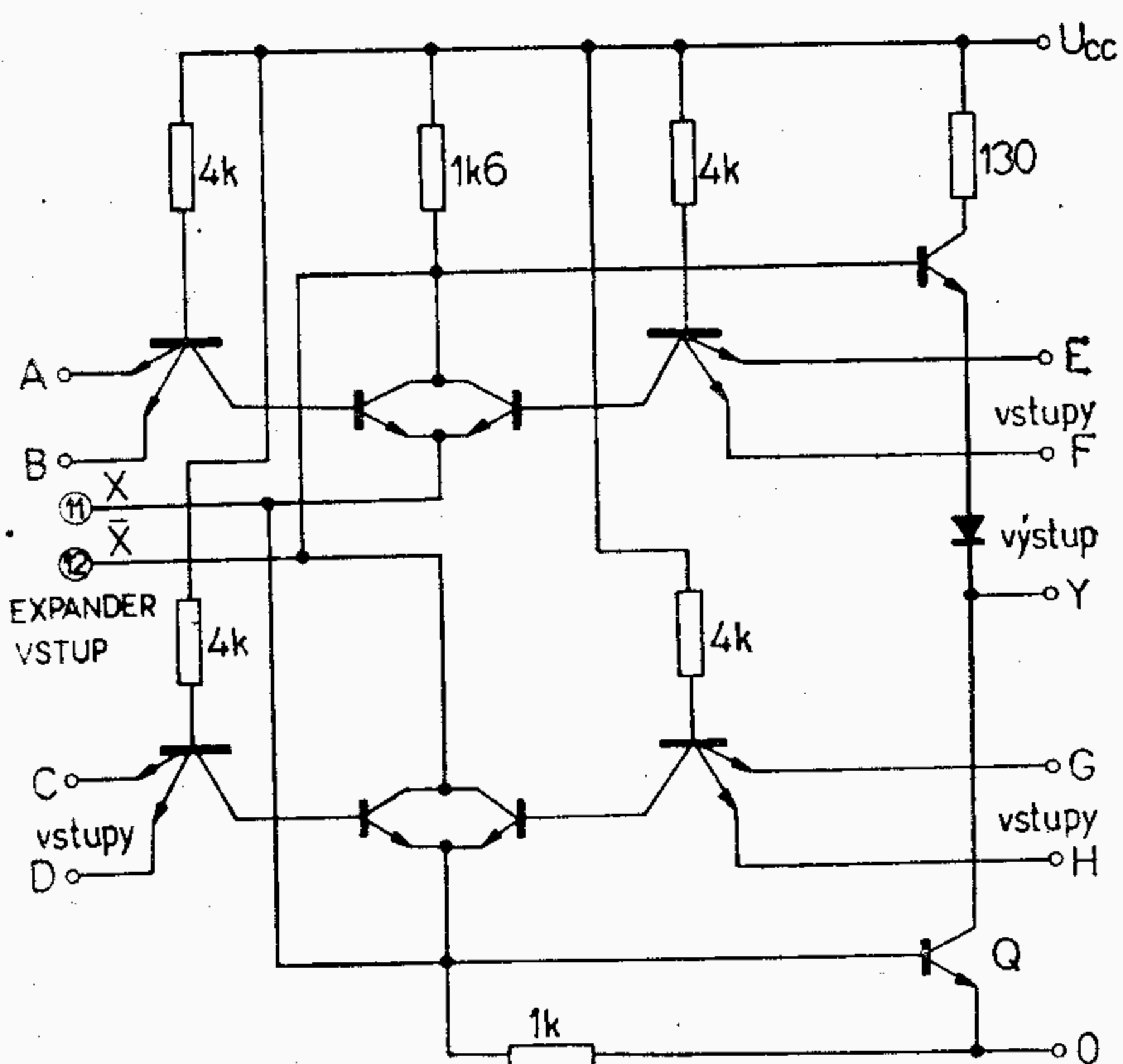
MH7460, MH8460, MH5460



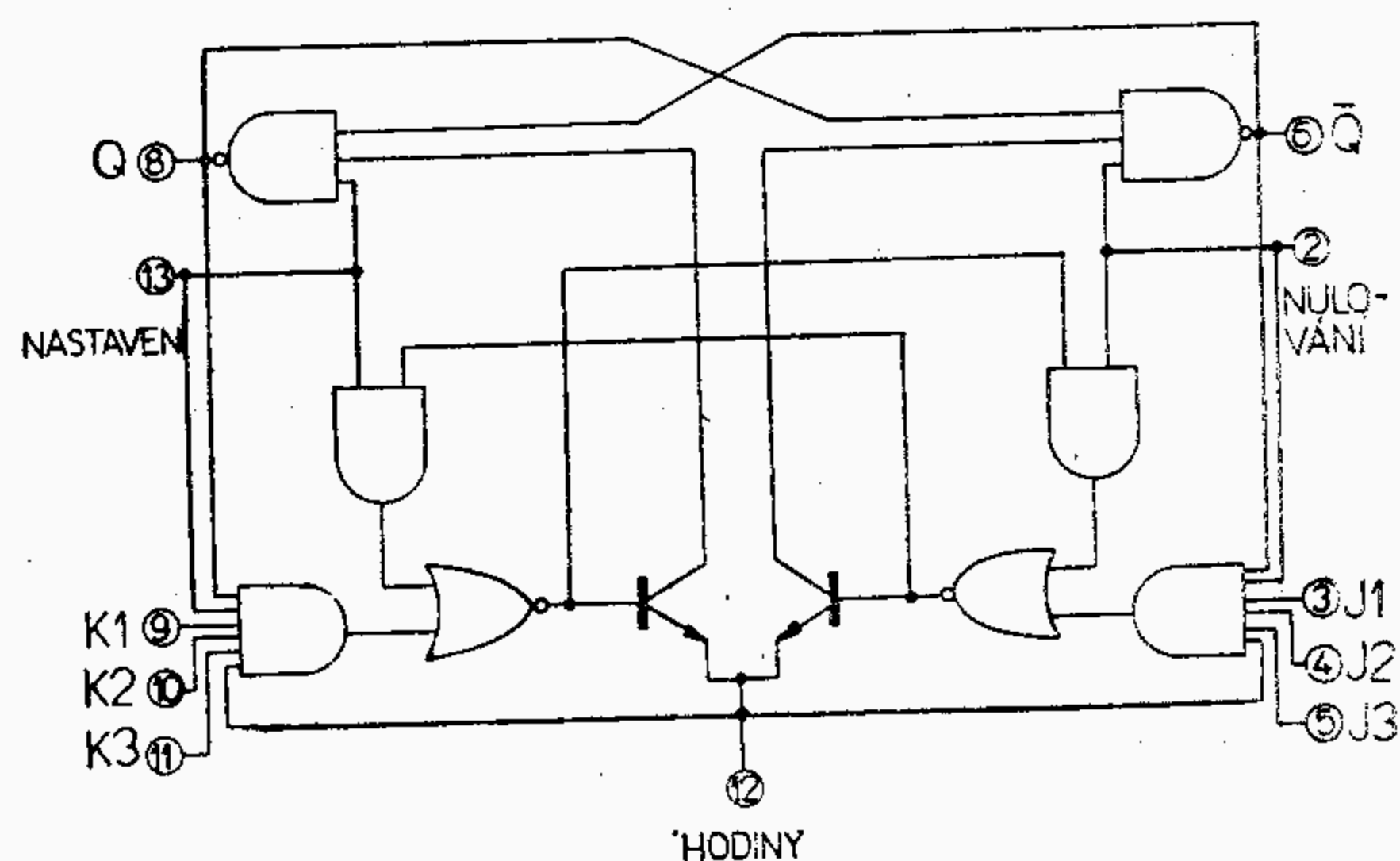
Poznámky:

1. Vývody 9 nebo 12 spojit s vývodem 11 MH..50
2. Vývody 10 nebo 11 spojit s vývodem 12 MH..50

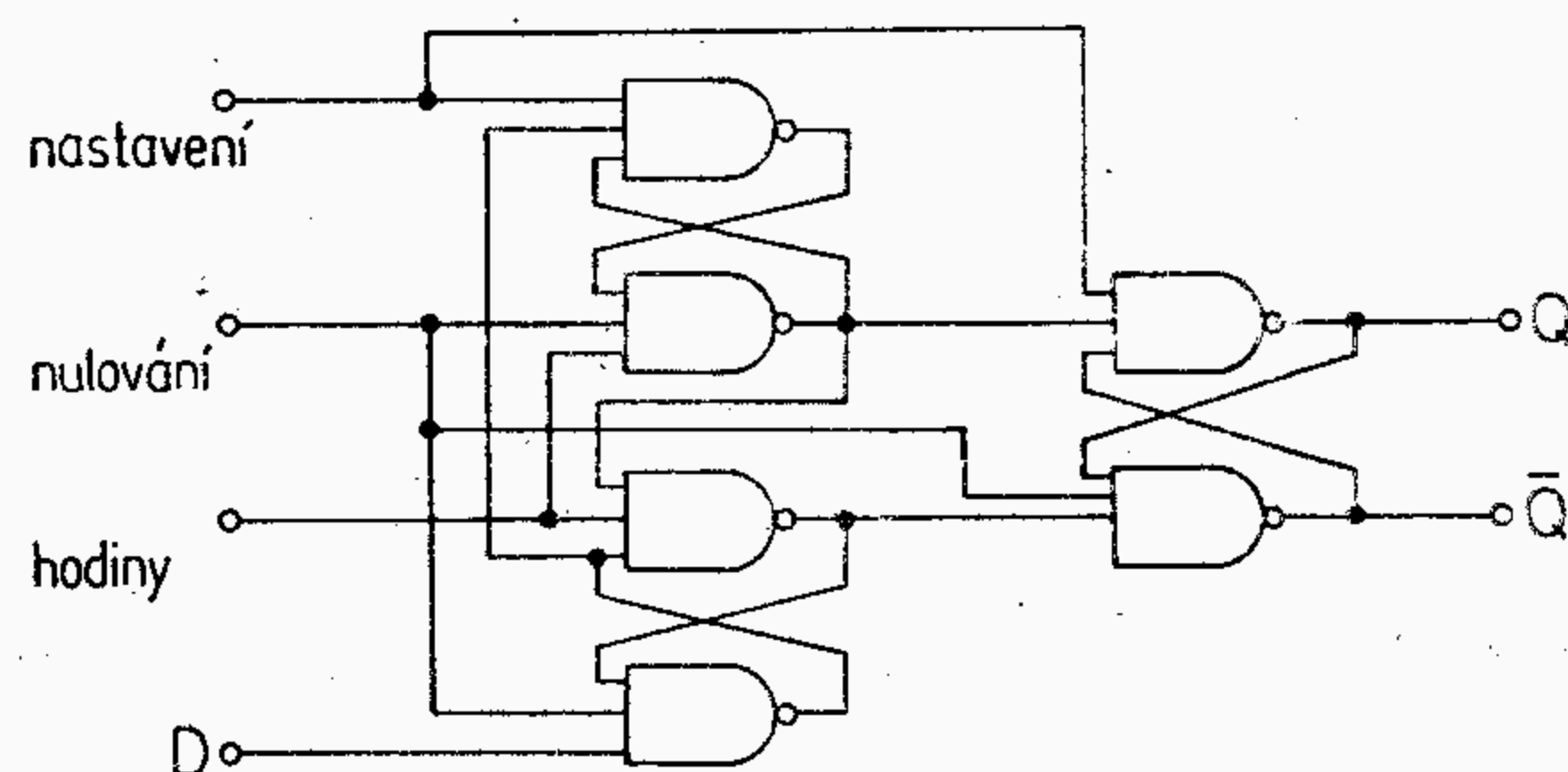
MH7453, MH8453, MH5453



MH7472, MH8472, MH5472

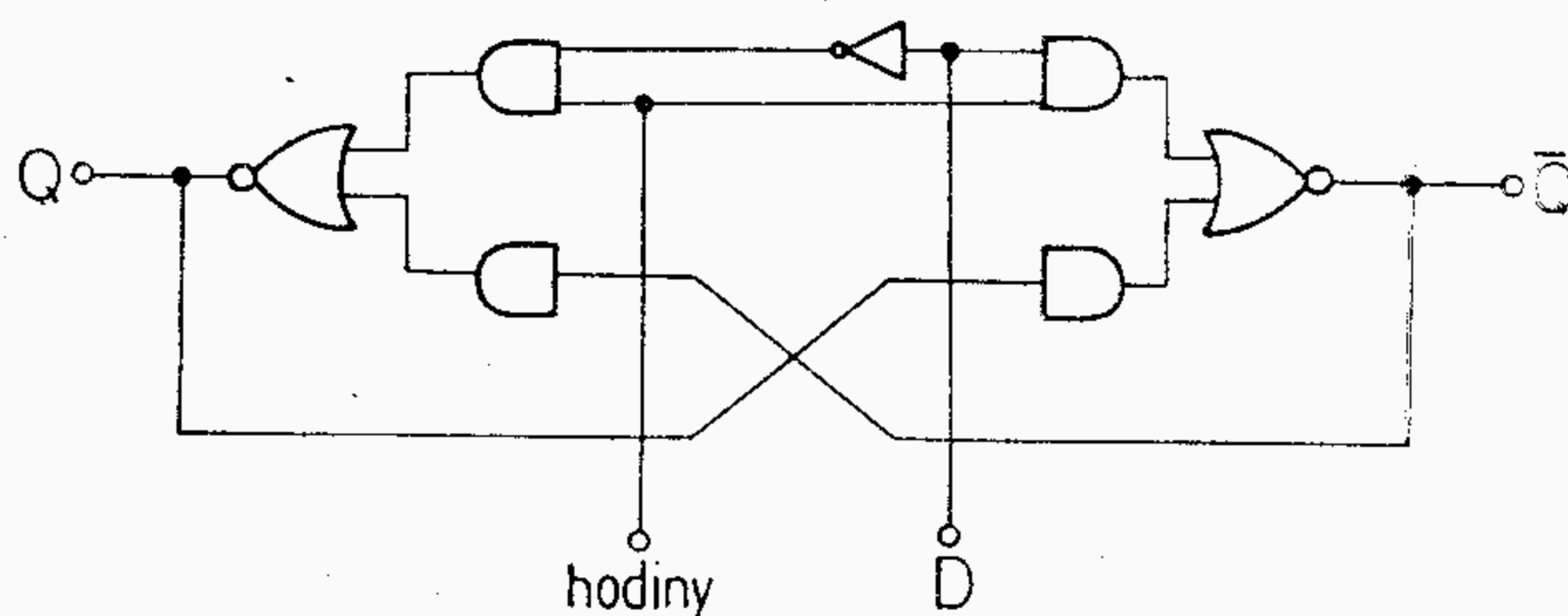


MH7474, MH8474, MH5474



MH5475
MH7475
MH8475

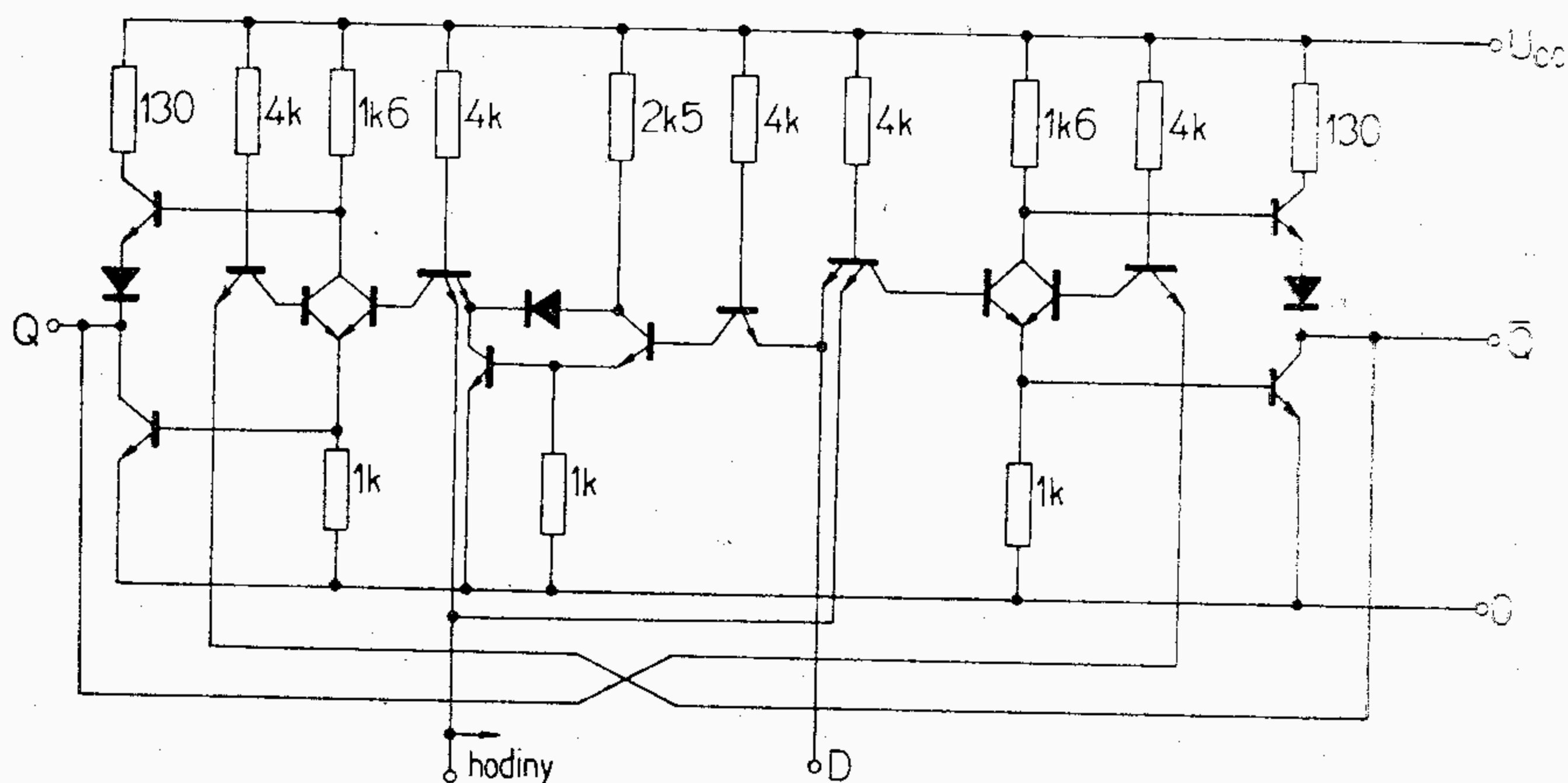
Blokové schéma jednoho klopného obvodu



Pravdivostní tabulka

t_n	t_{n+1}
vstup D	výstup Q
1	1
0	0

Schéma jednoho klopného obvodu.



Pravdivostní tabulka 1

MH5490
MH7490
MH8490

	VÝSTUP			
	D	C	B	A
0	0	0	0	0
1	0	0	0	1
2	0	0	1	0
3	0	0	1	1
4	0	1	0	0
5	0	1	0	1
6	0	1	1	0
7	0	1	1	1
8	1	0	0	0
9	1	0	0	1

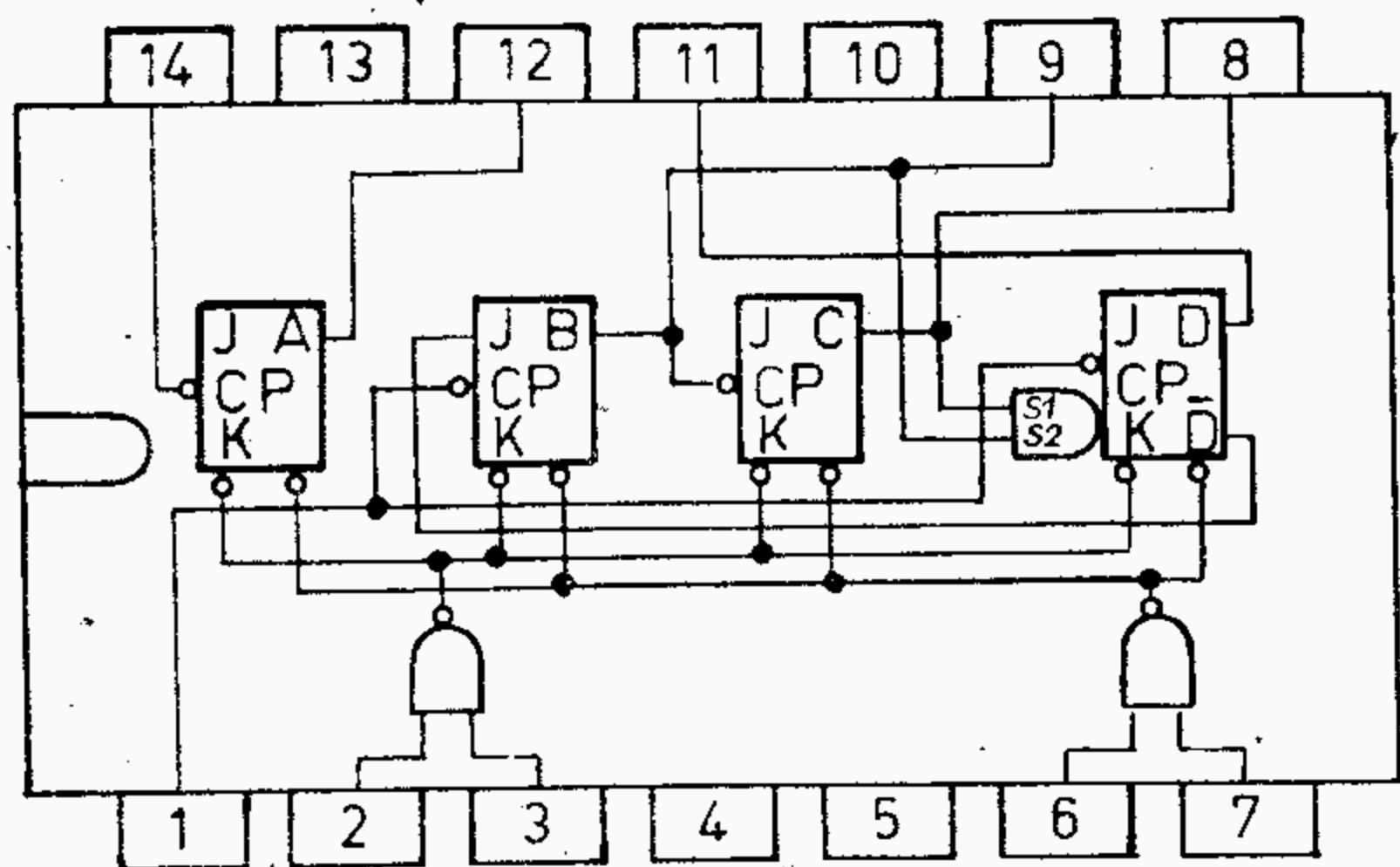
Pravdivostní tabulka 2

VSTUPY PRO NASTAVENÍ				VÝSTUP			
R_0	R_0	R_9	R_9	D	C	B	A
1	1	0	X	0	0	0	0
1	1	X	0	0	0	0	0
X	X	1	1	1	0	0	1
X	0	X	0	počítá			
0	X	0	X	počítá			
0	X	X	0	počítá			
X	0	0	X	počítá			

Poznámky:

- Platí pro použití 1.
- X může mít hodnoty log. 1 nebo log 0 a není pro funkci rozhodující.

vstup
A NC A D B C



BD $R_0(1)$ $R_0(2)$ NC U_{cc} $R_9(1)$ $R_9(2)$
vstup

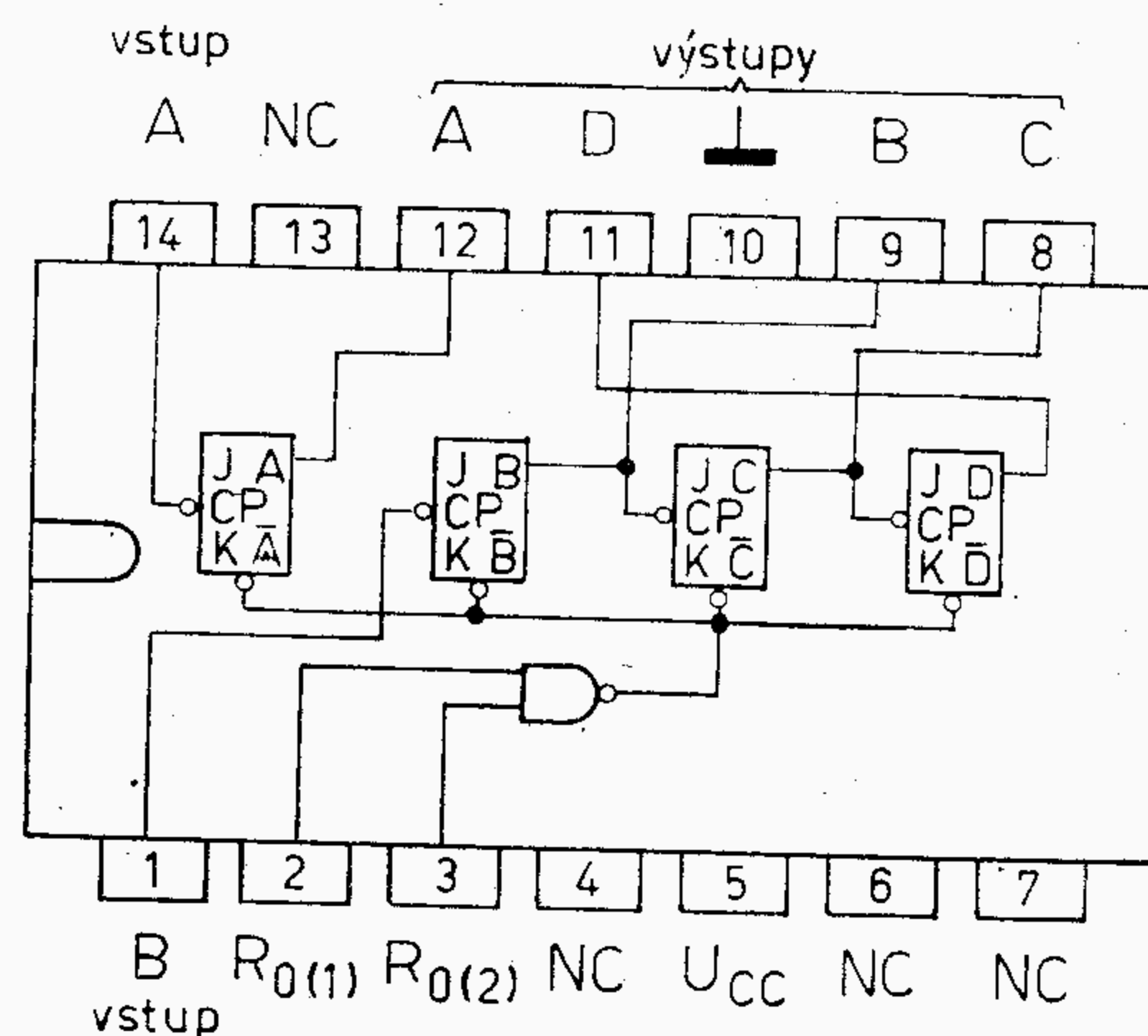
MH5493
MH7493
MH8493

Pravdivostní tabulka:

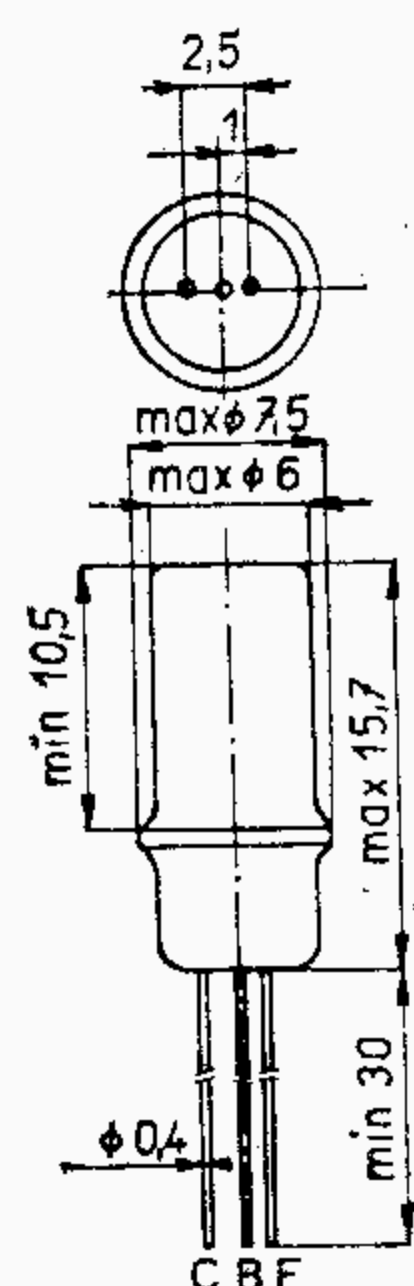
	VÝSTUP			
	D	C	B	A
1	0	0	0	1
2	0	0	1	0
3	0	0	1	1
4	0	1	0	0
5	0	1	0	1
6	0	1	1	0
7	0	1	1	1
8	1	0	0	0
9	1	0	0	1
10	1	0	1	0
11	1	0	1	1
12	1	1	0	0
13	1	1	0	1
14	1	1	1	0
15	1	1	1	1

Poznámky:

1. Výstup A připojen na vstup B
2. Aby se všechny výstupy uvedly do stavu log. 0, je třeba na vstupy $R_{o(1)}$ a $R_{o(2)}$ přivést současně úroveň log. 1.
3. Některý ze vstupů $R_{o(1)}$, $R_{o(2)}$ (nebo oba) musí být nastaven na log. 0, aby obvod počítal.

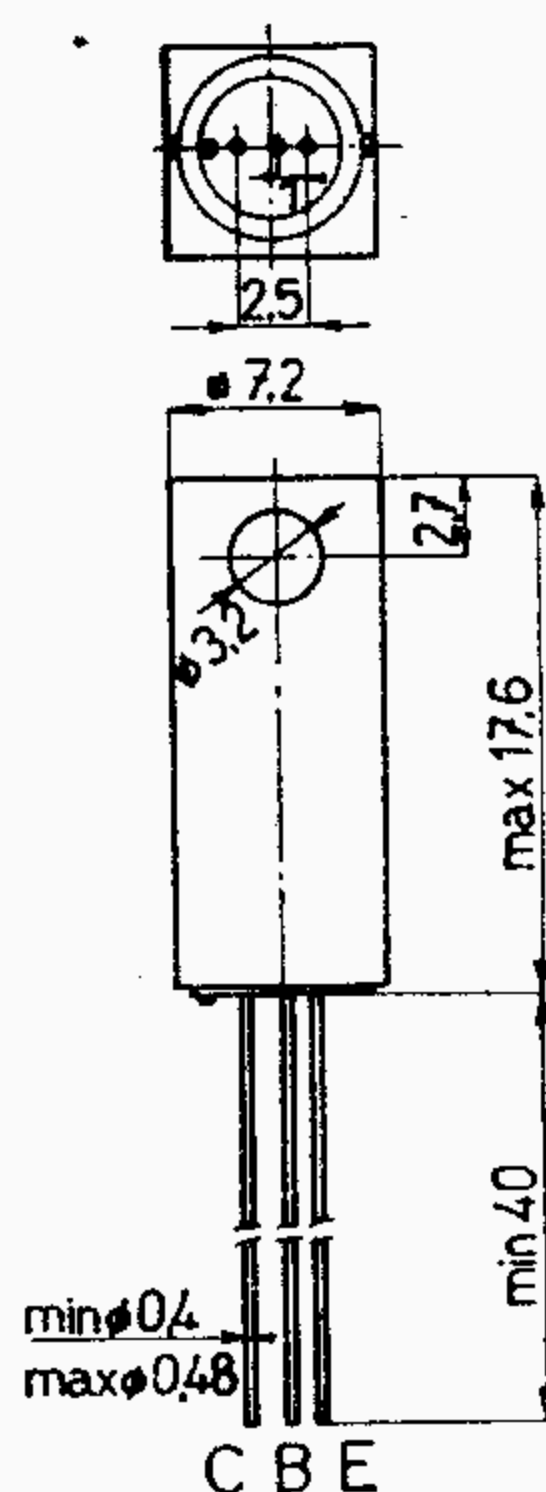


K 501



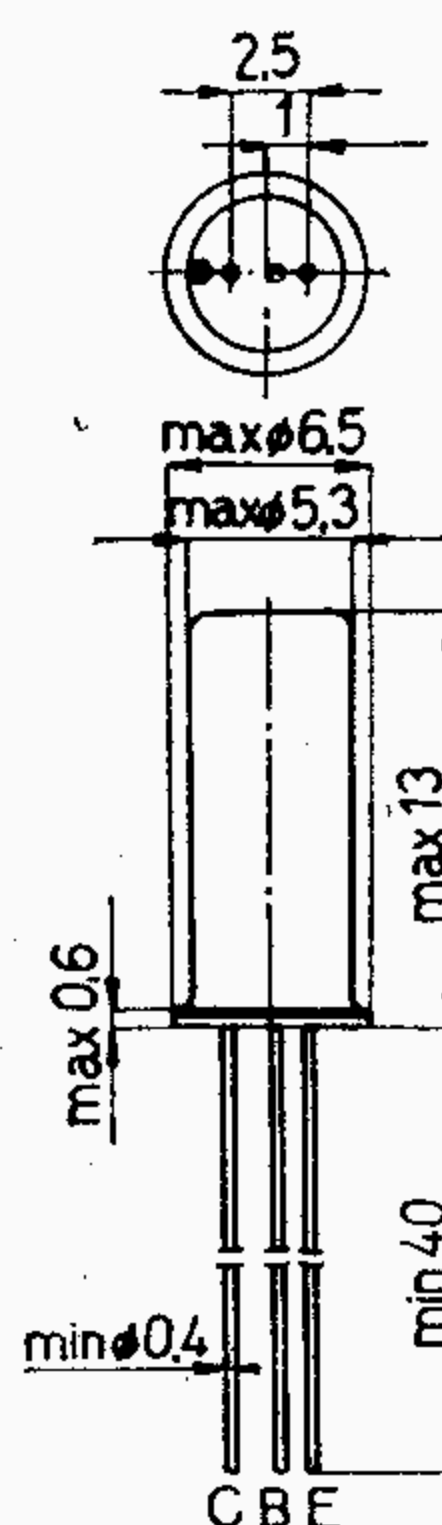
GC500 - GC502
(staré provedení)

K 511



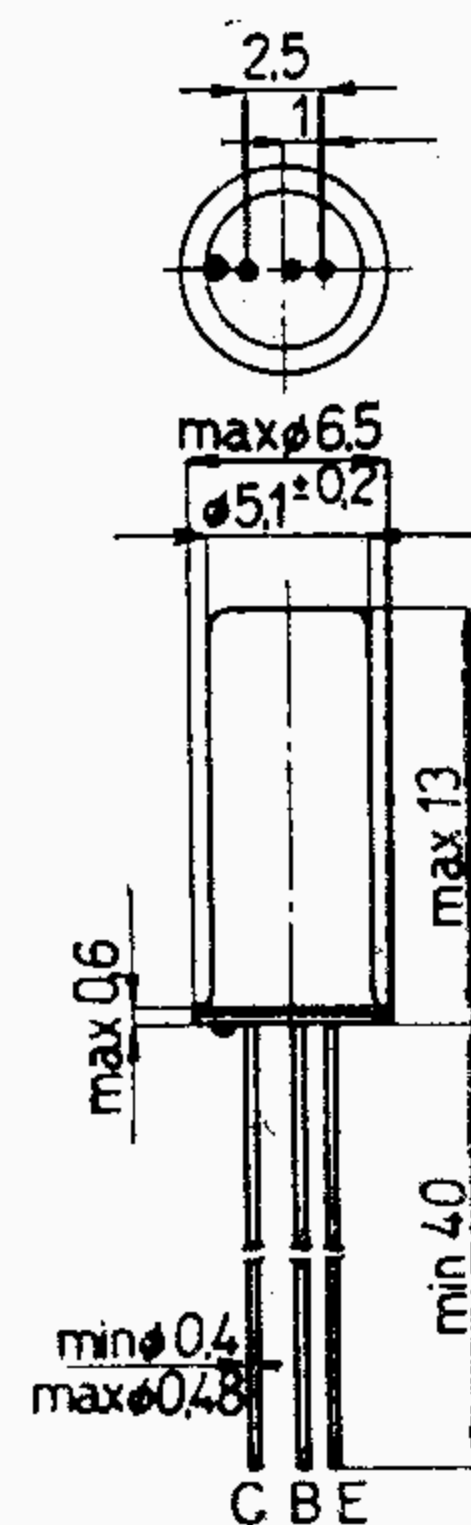
GC510K - GC512K
GC520K - GC522K

K 504

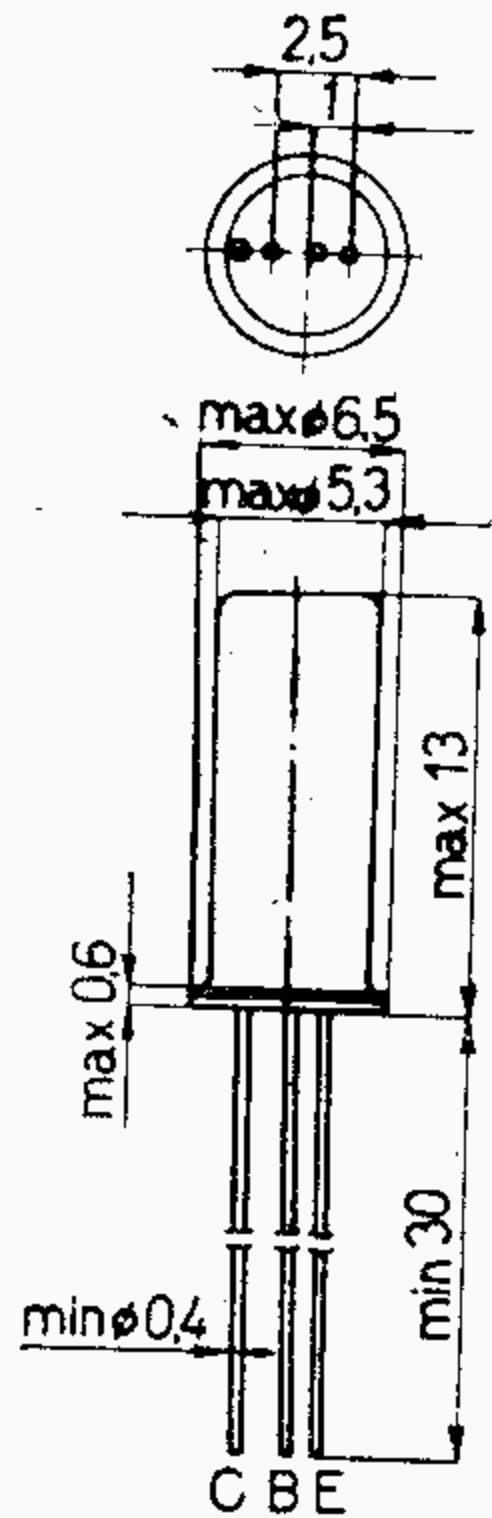
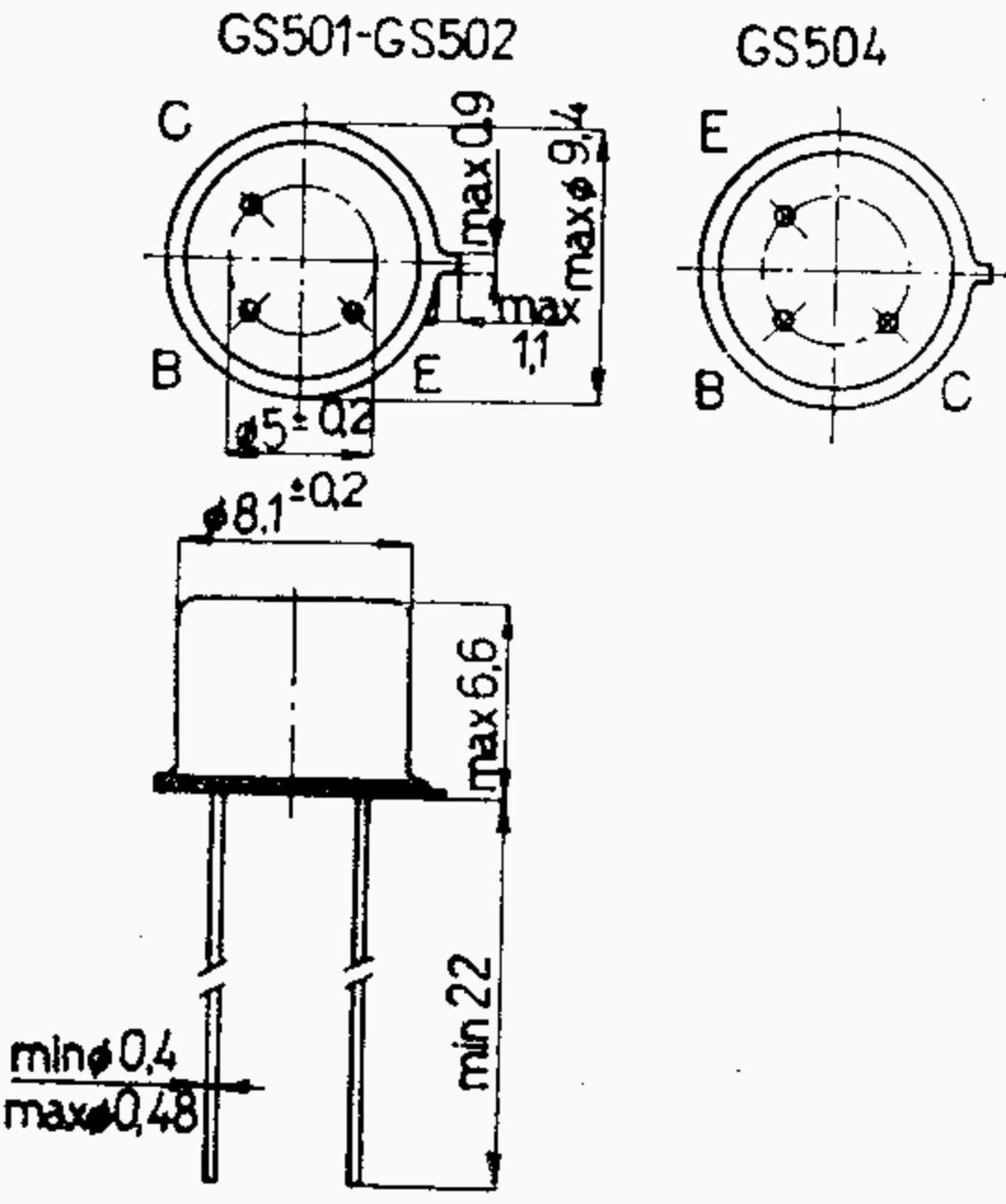
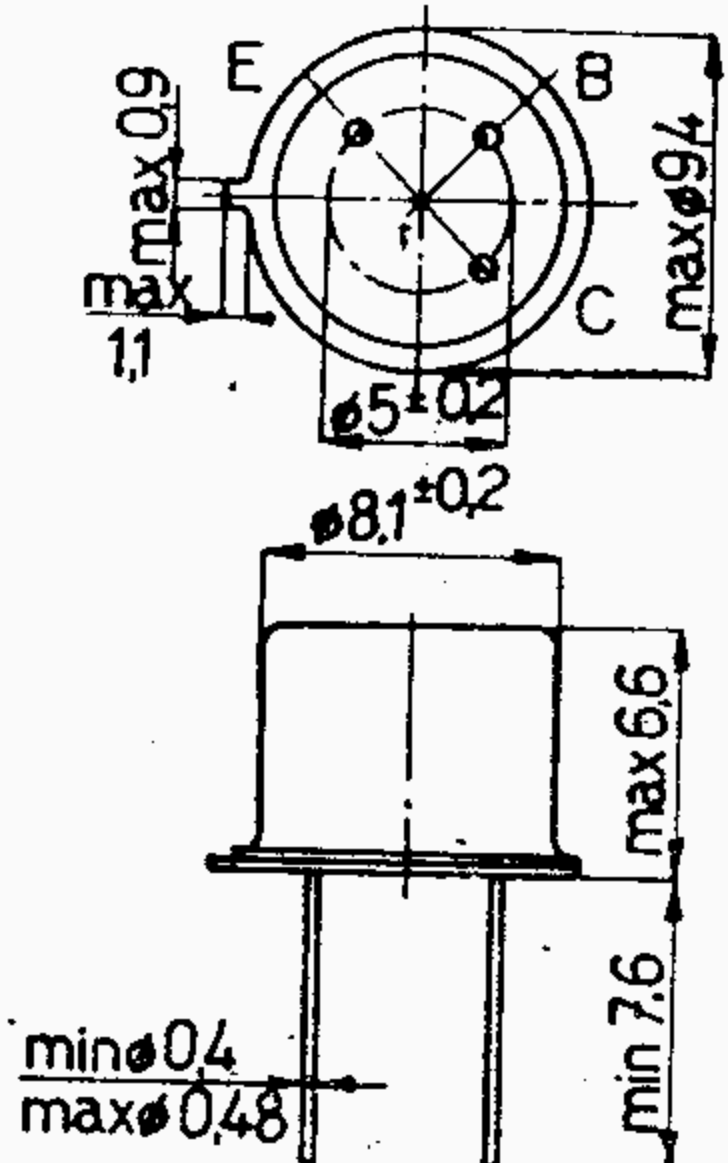
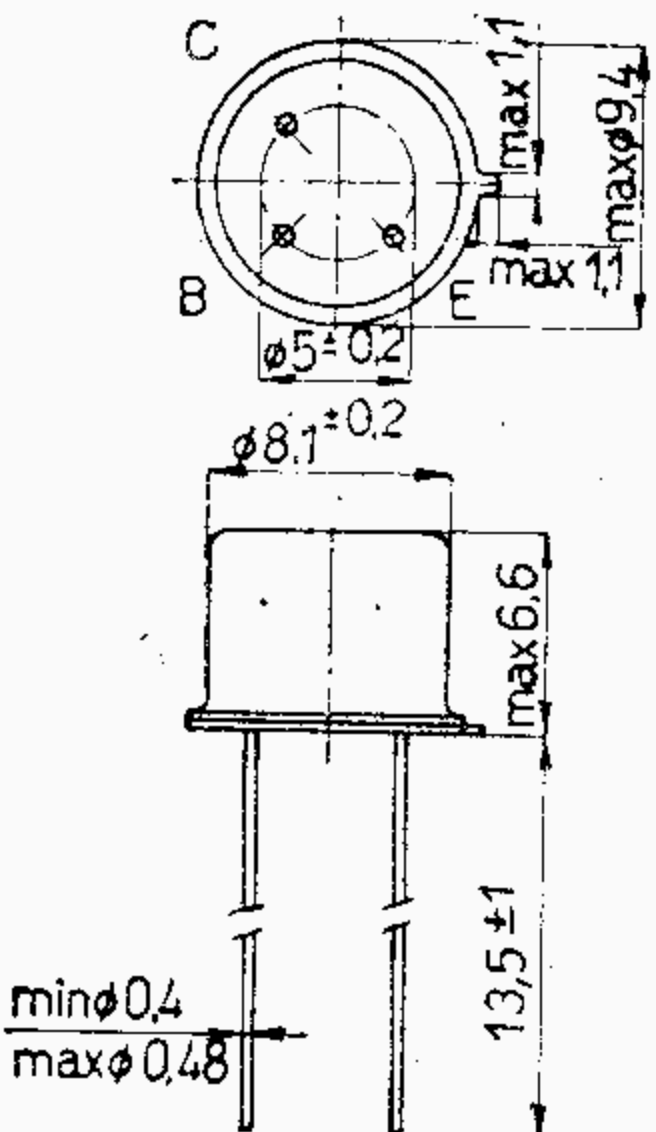


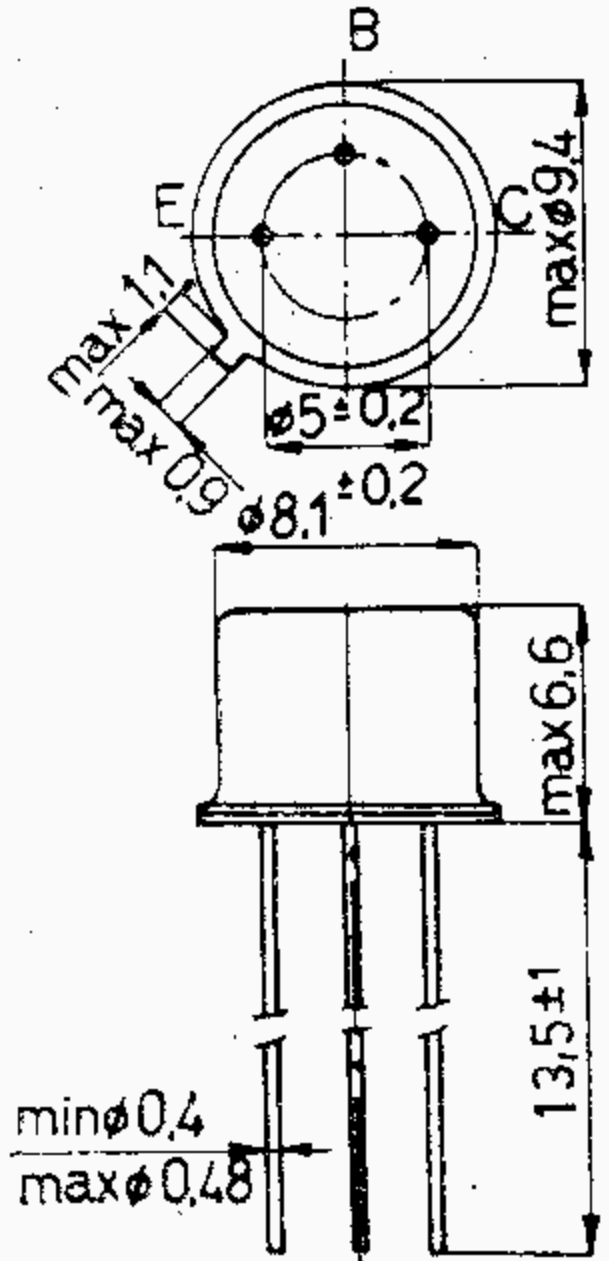
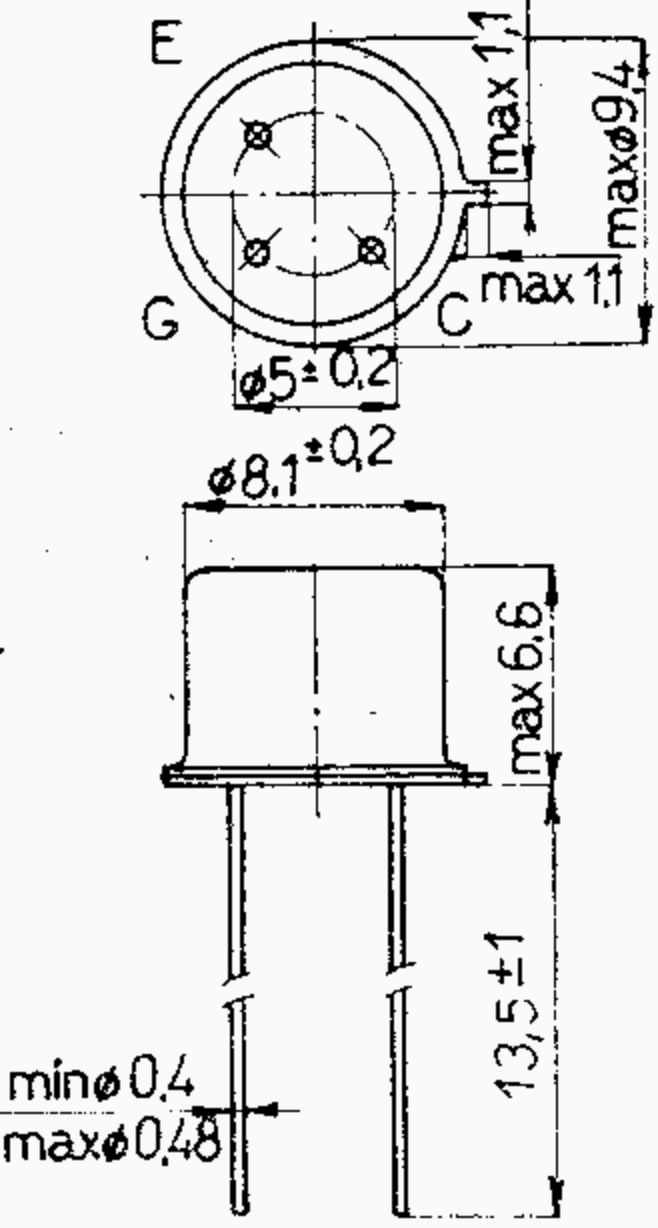
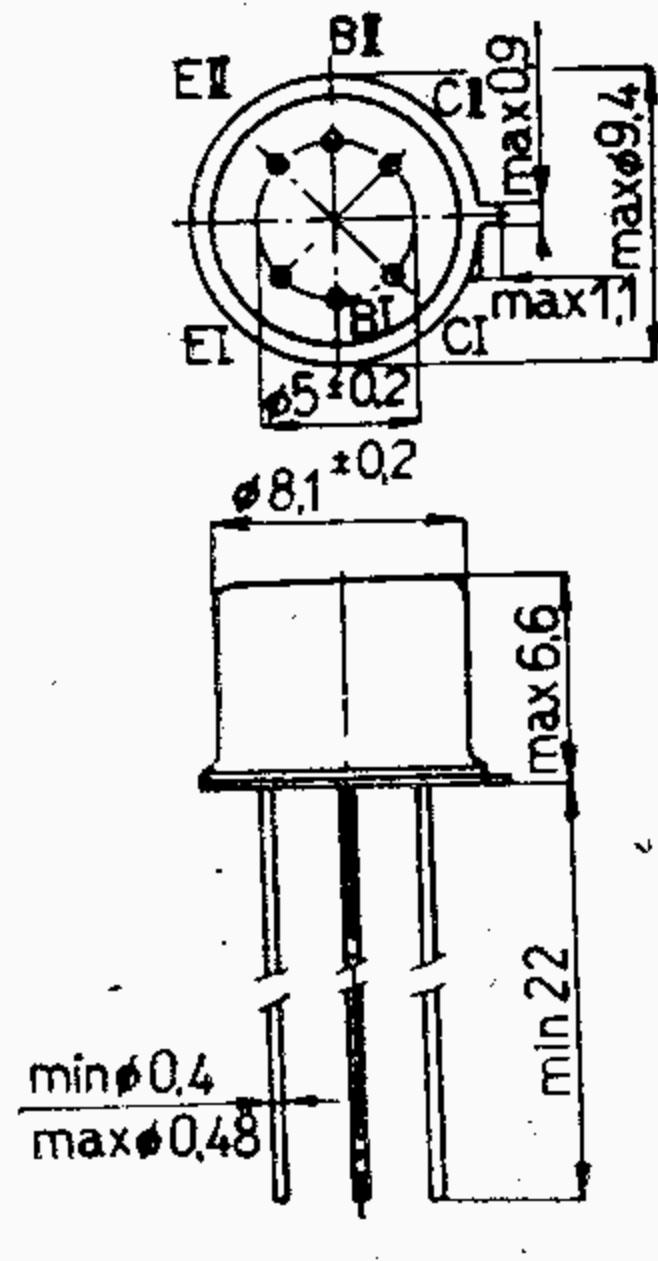
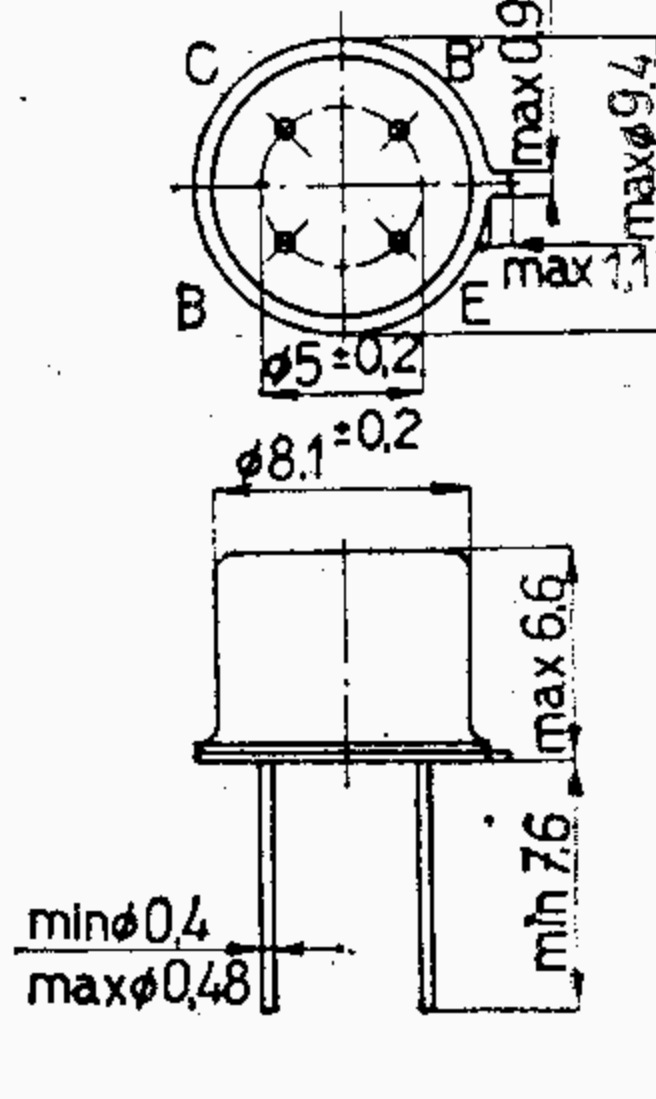
101NU70 - 156NU70
GC507 - GC509
GC515 - GC519
GC525 - GC529
OC70 - OC77

K 504



GC500 - GC502
(nové provedení)
GC510 - GC512
GC520 - GC522

K 504	K 505	K 505	K 505
 <p>GS506 GS507</p>	 <p>GS501, GS502 GS504</p>	 <p>GF501 - GF504</p>	 <p>KF503 - KF504 KF506 - KF508 KF517 KFY16, KFY18 KFY34, KFY46</p>

K 505	K 505/P203	K 505/P402	K 505
 <p>KSY34</p>	 <p>KF520</p>	 <p>KC510 KCZ58, KCZ59</p>	 <p>KFZ66 KFZ68</p>

K 505	K 507	K 507	K 507
KF552	GF505 - GF507 KF272	KC507 - KC509 KS500 KSY62, KSY63 KSY21, KSY71 KSY81	KF167 KF173 KF524, KF525

K 507

KF521

K 506

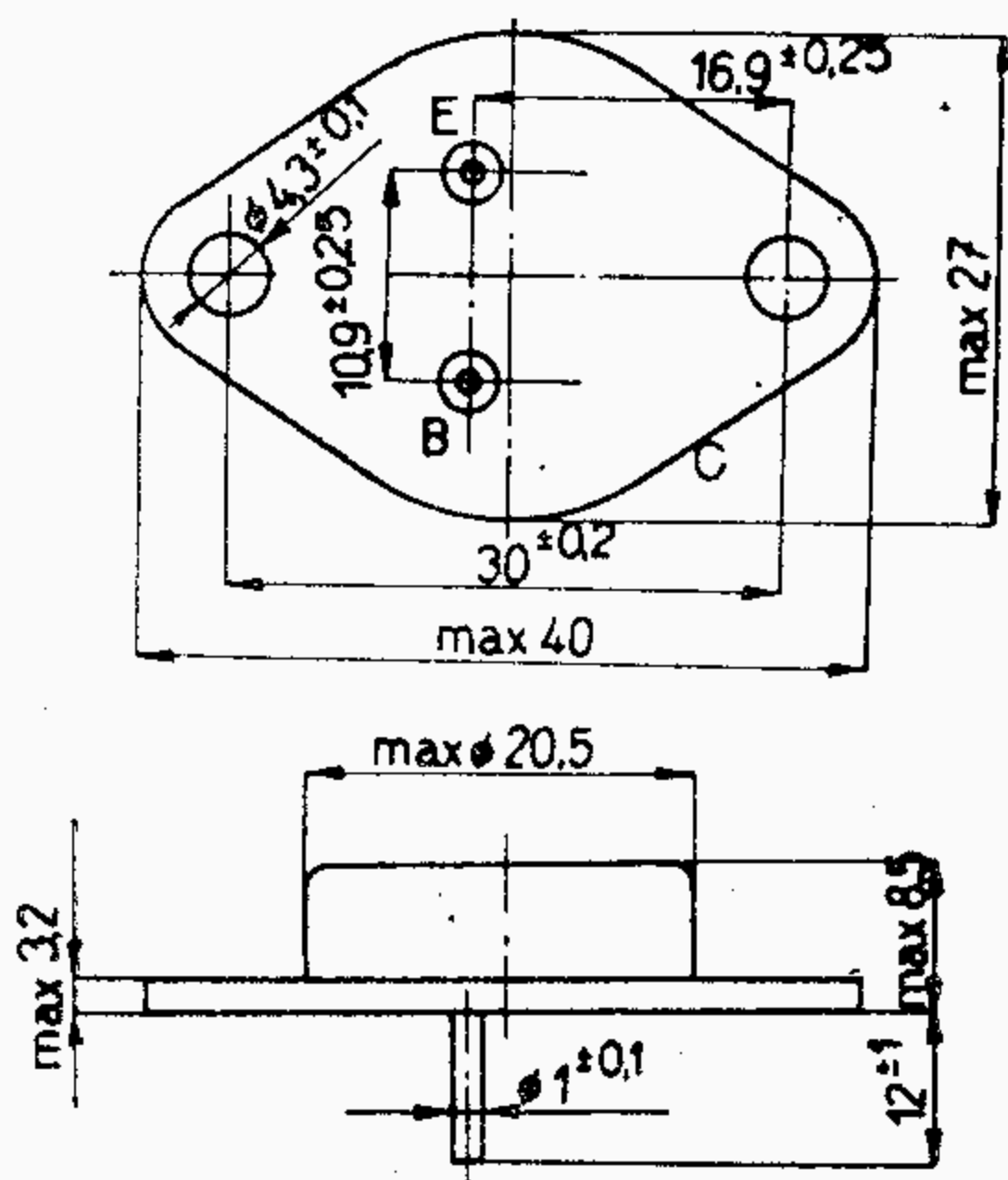
OC169, OC170
GFY50

K 401

KC147-KC149 C B E
KF124-KF125 C E B

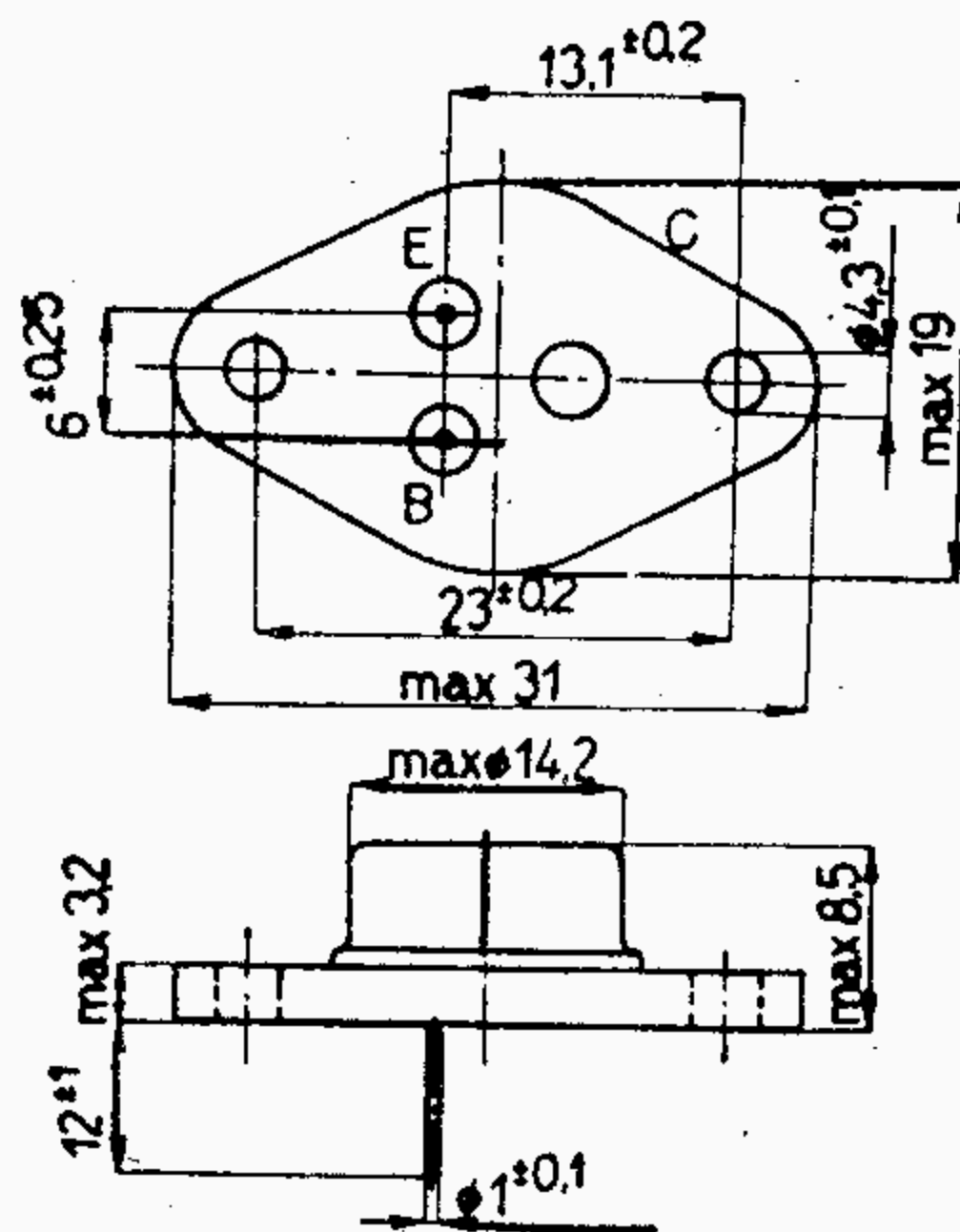
KC147 - KC149
KF124, KF125

K 601



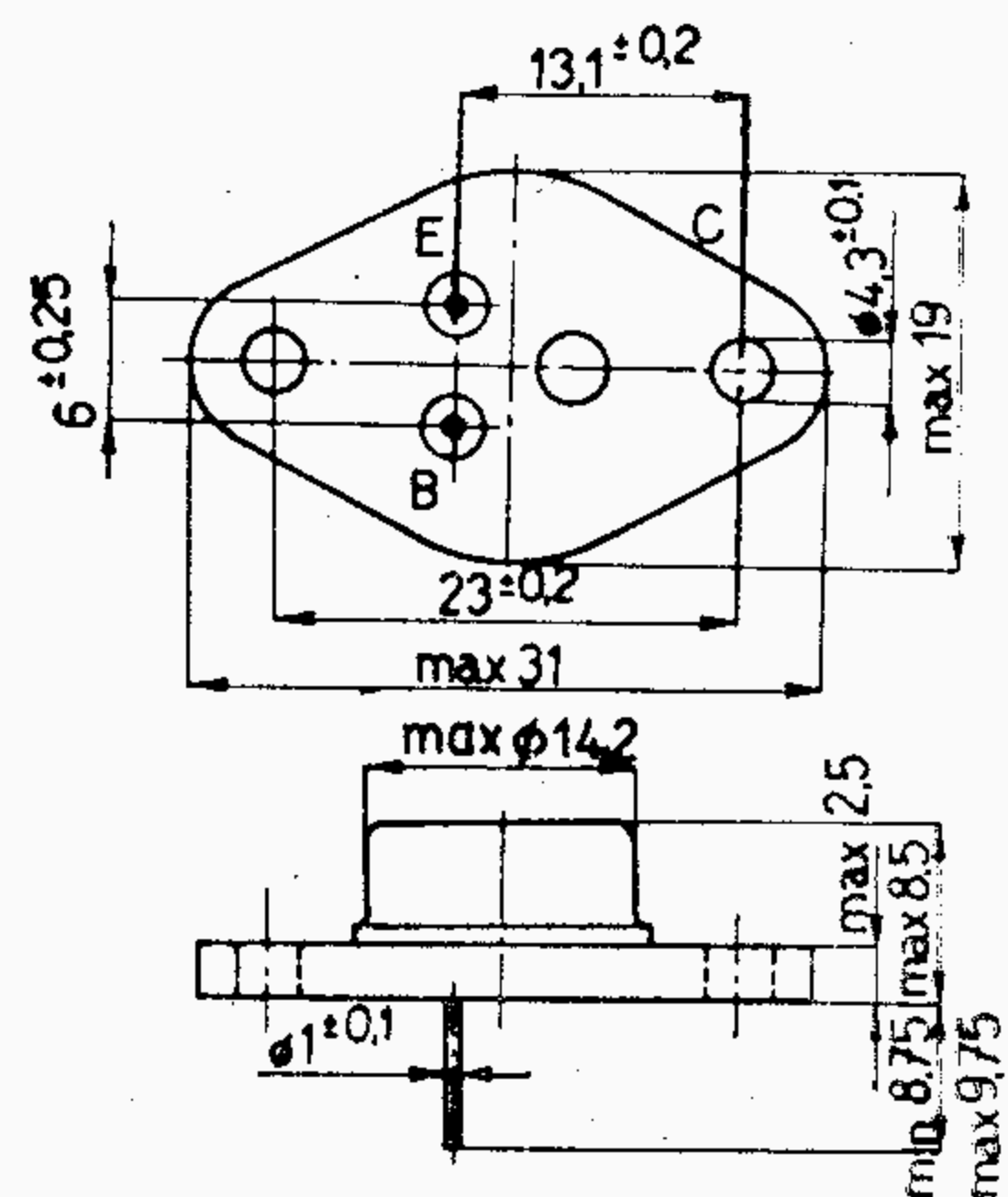
OC26, OC27
2NU73 - 7NU73

K 602



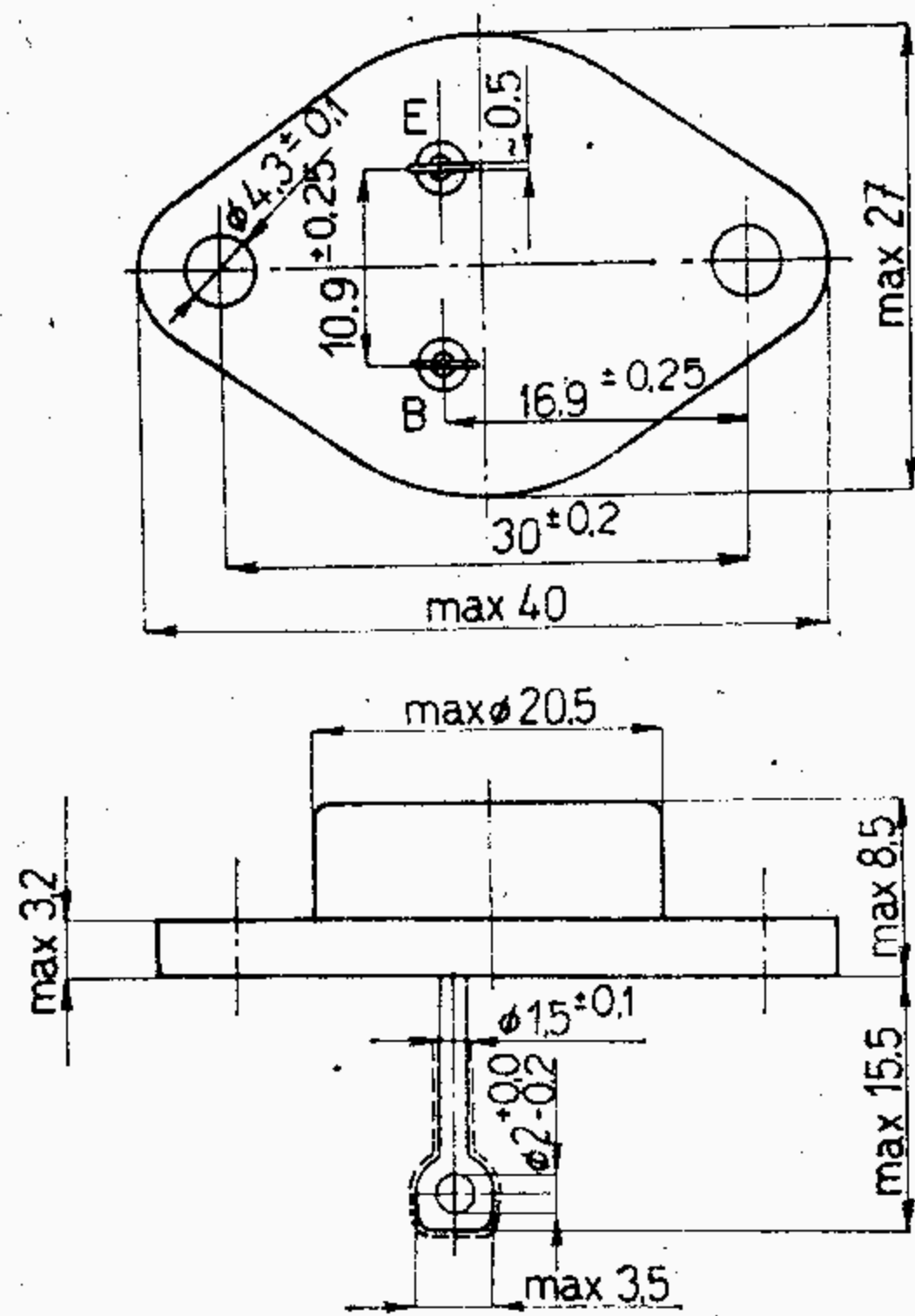
OC30
2NU72 - 5NU72

K 602

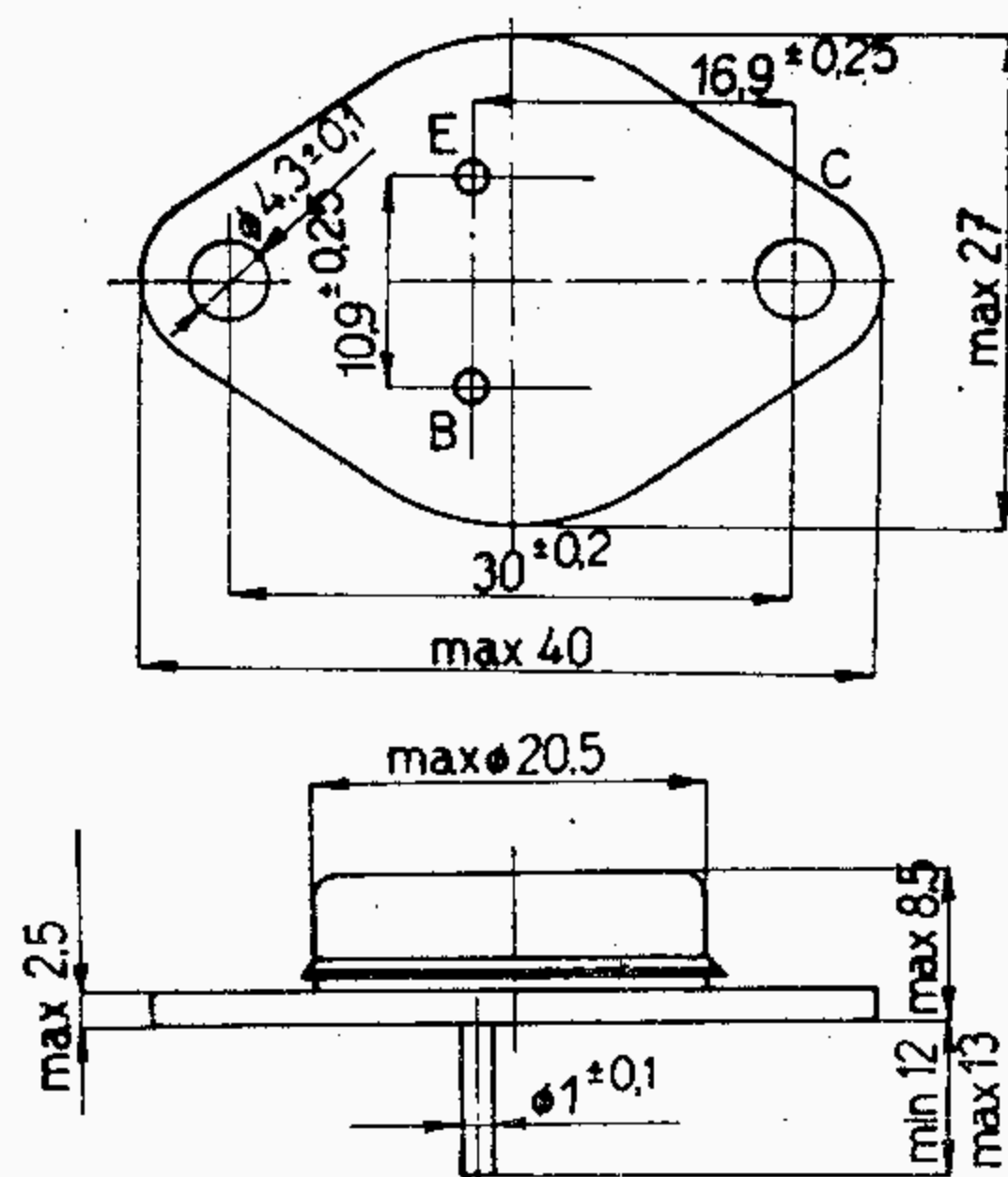


GD607 - GD609
GD617 - GD619
KU611, KU612

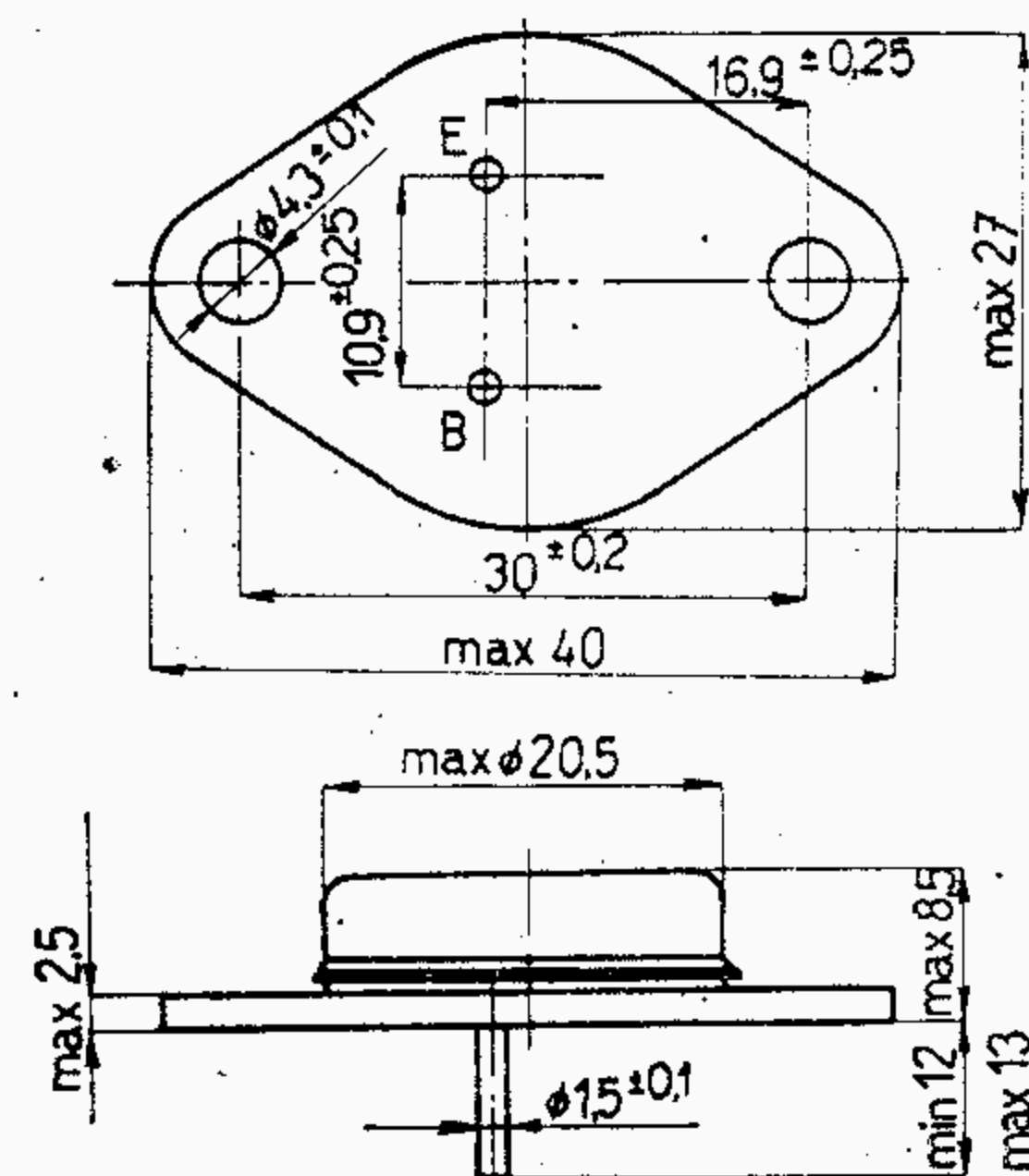
K 603



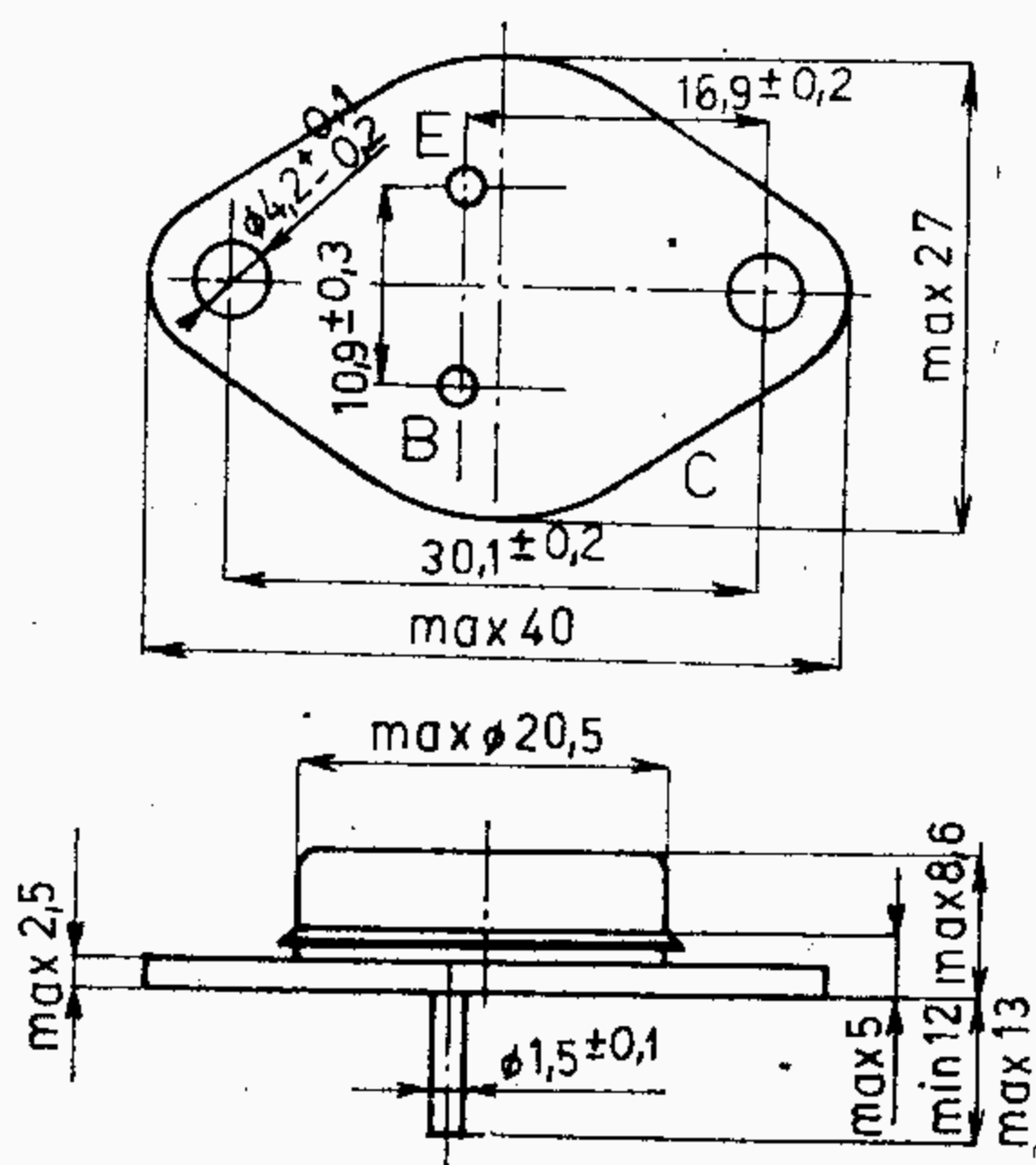
2NU74 - 7NU74



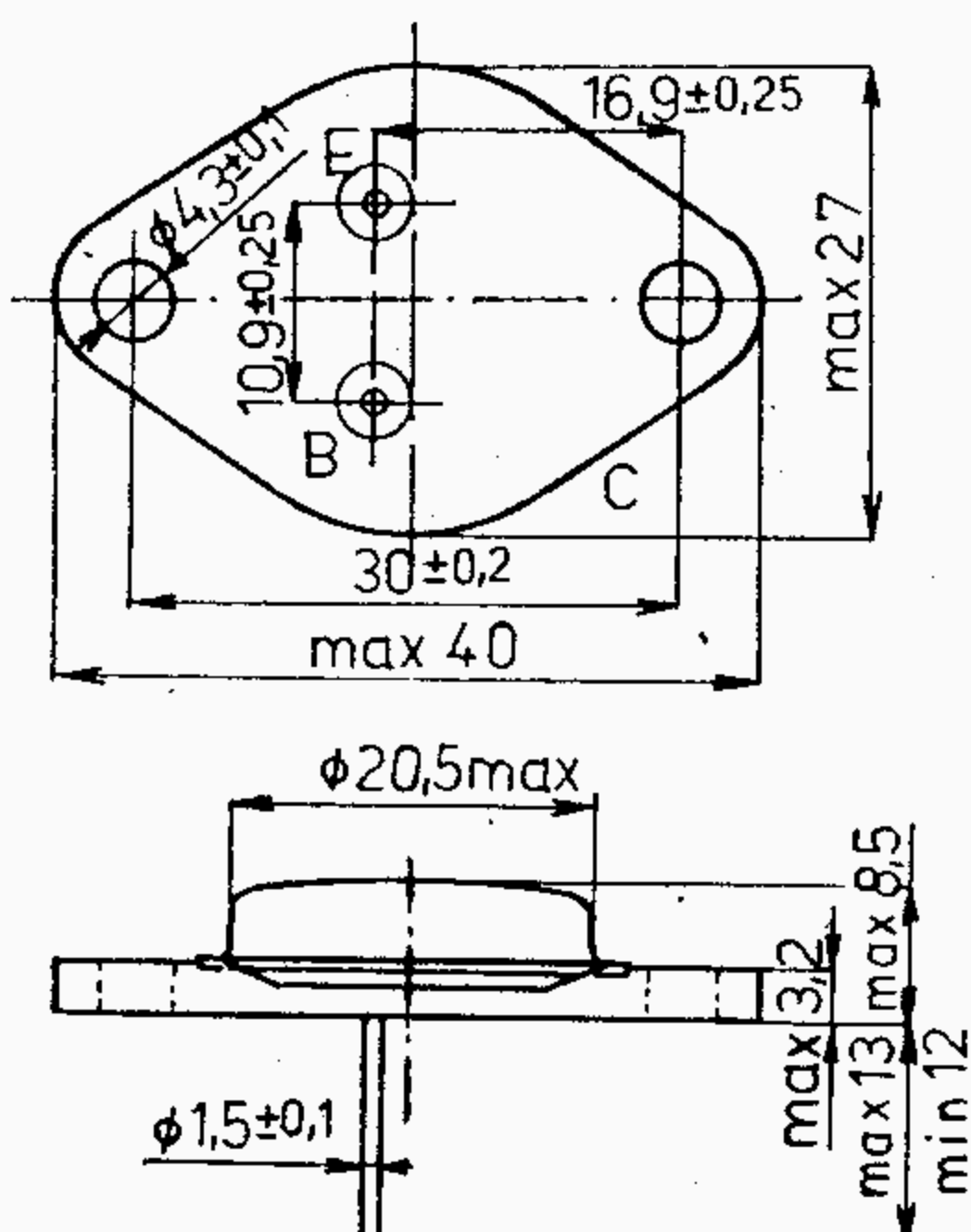
KU601 - KU602
2NU74 - 7NU74



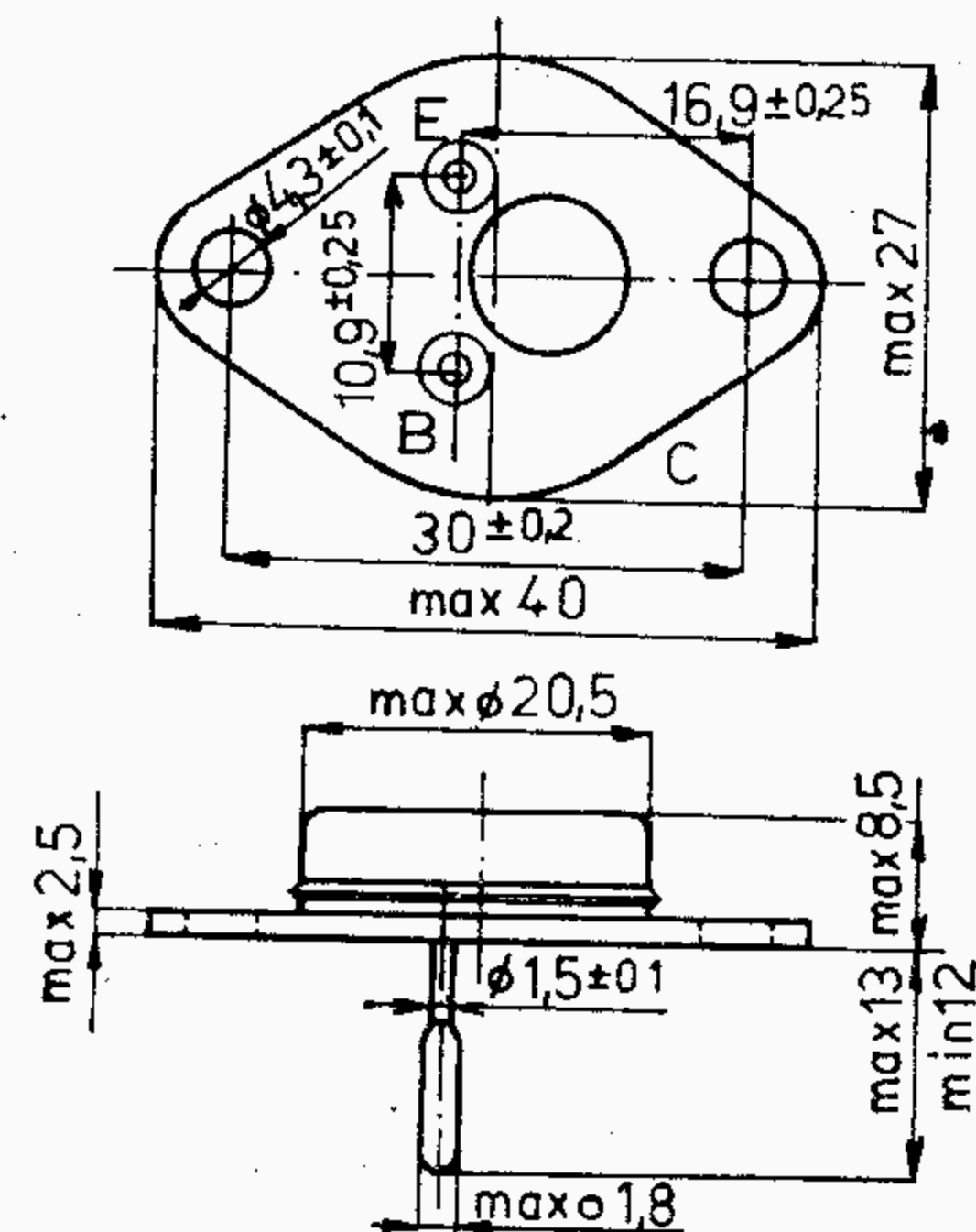
KU605 - KU607
KD601
KD602



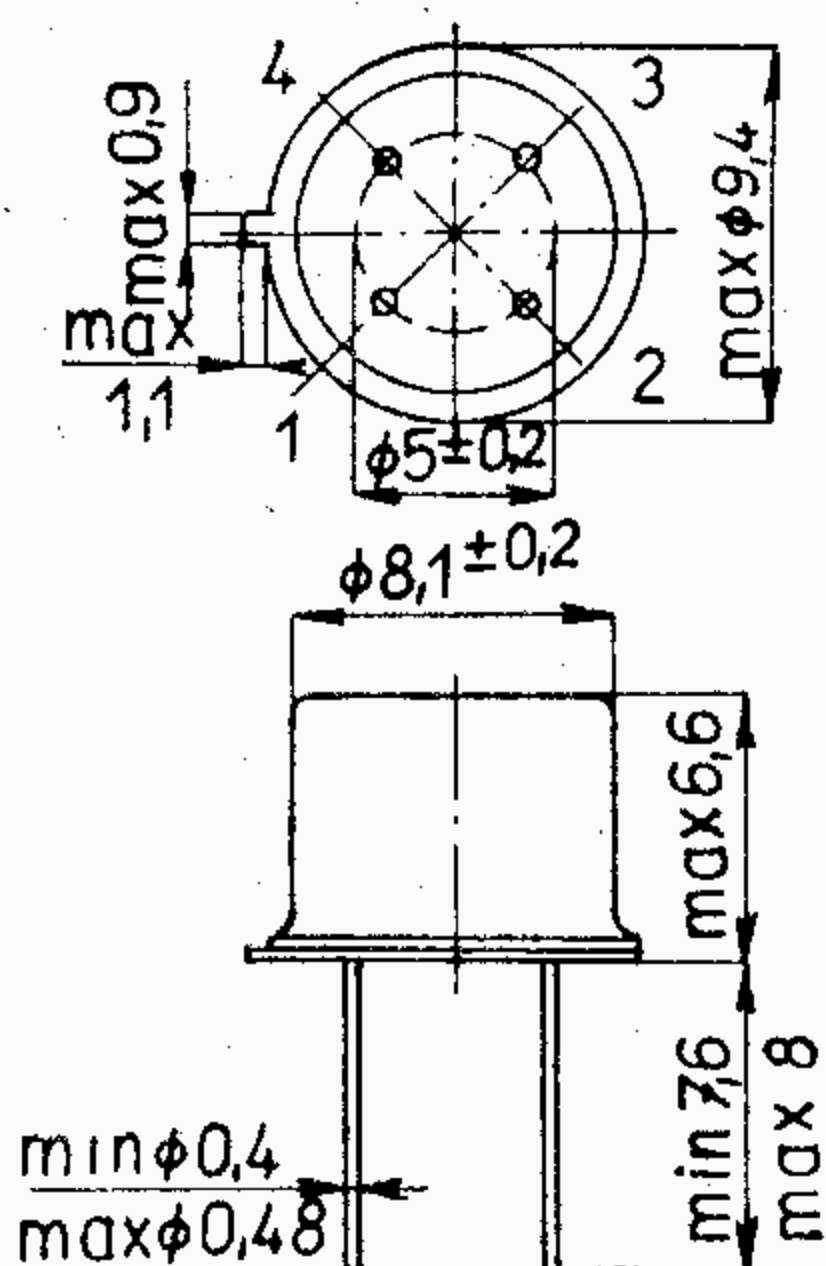
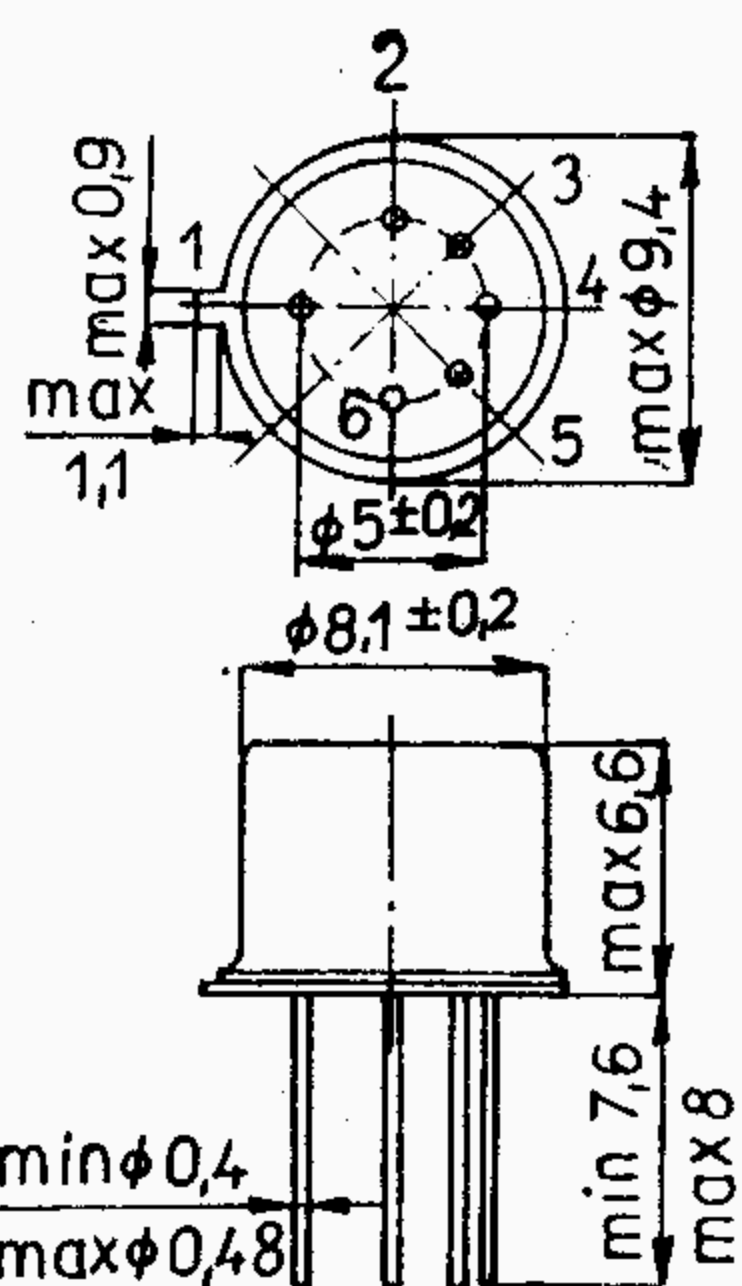
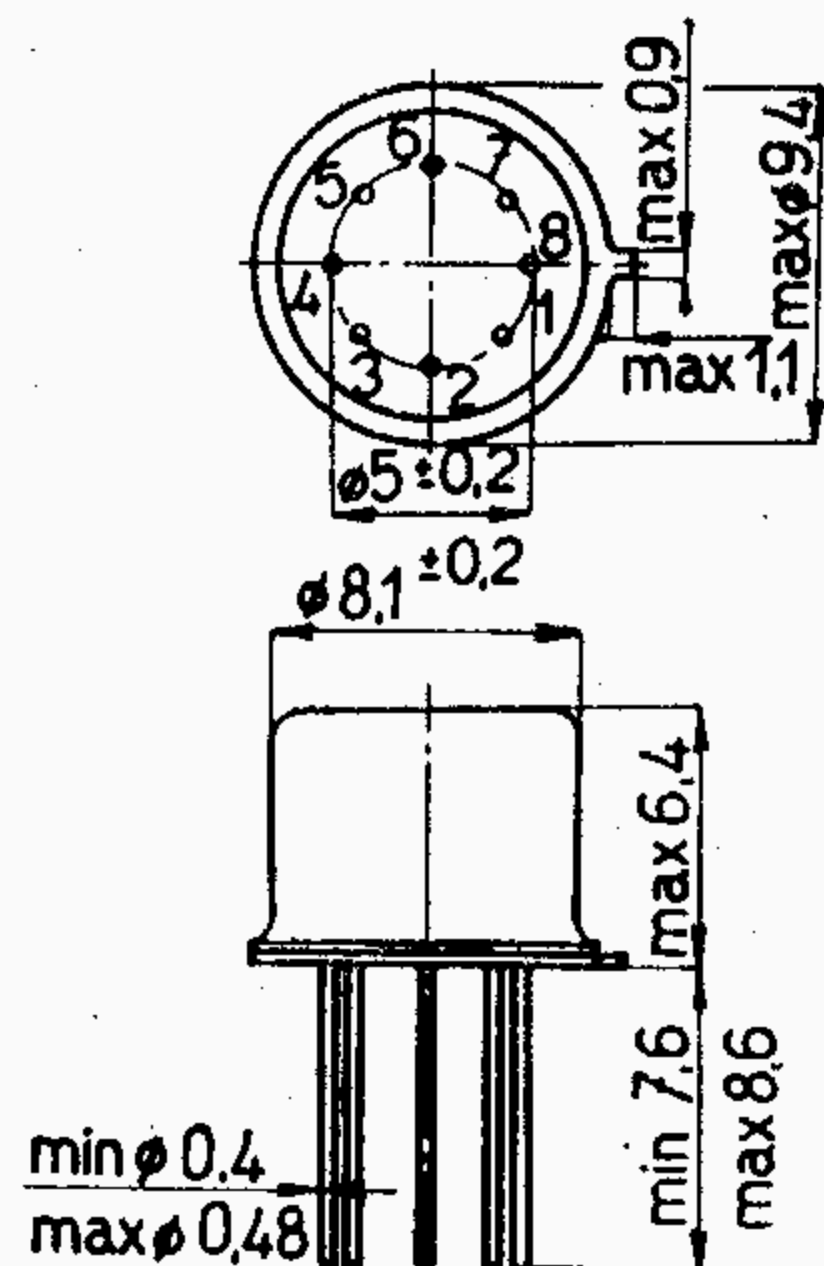
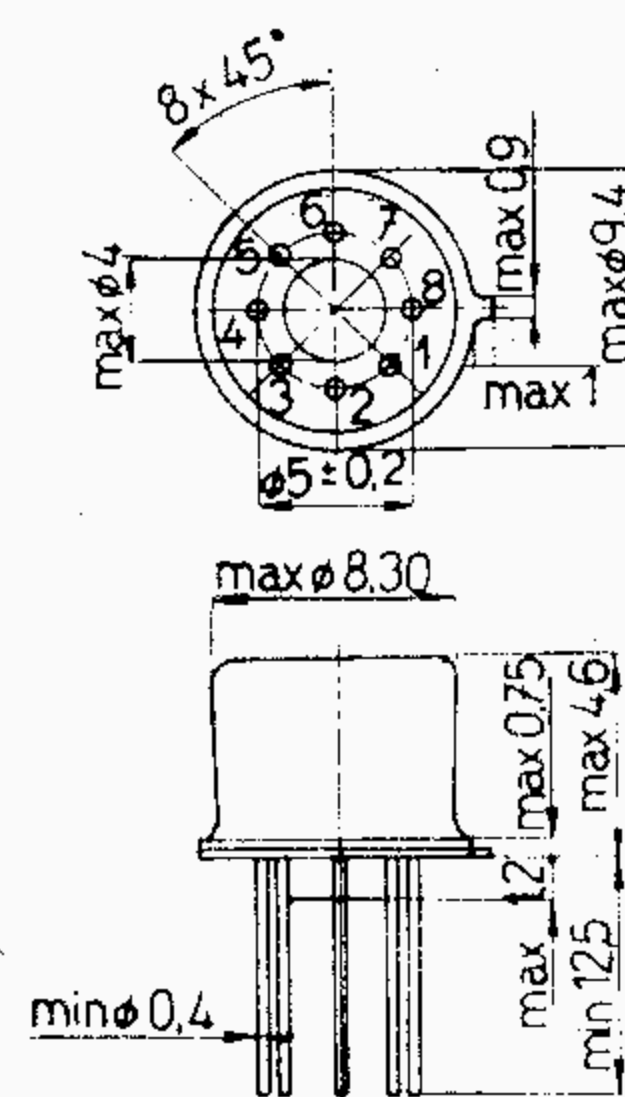
KUY12

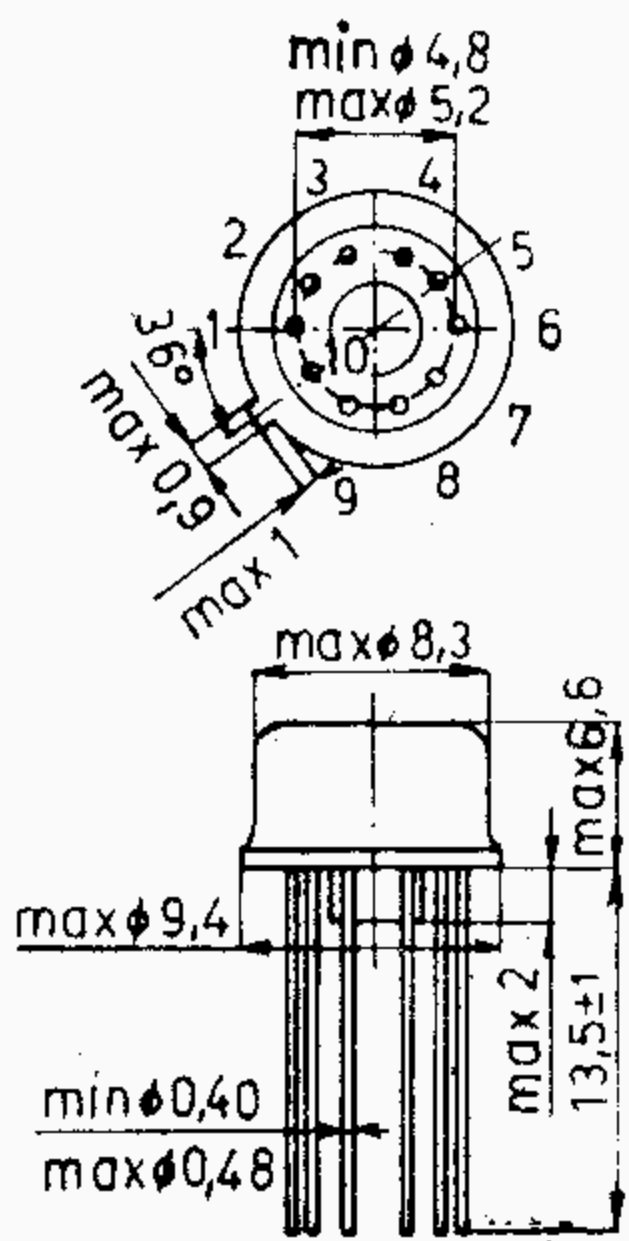


KD501 - KD503

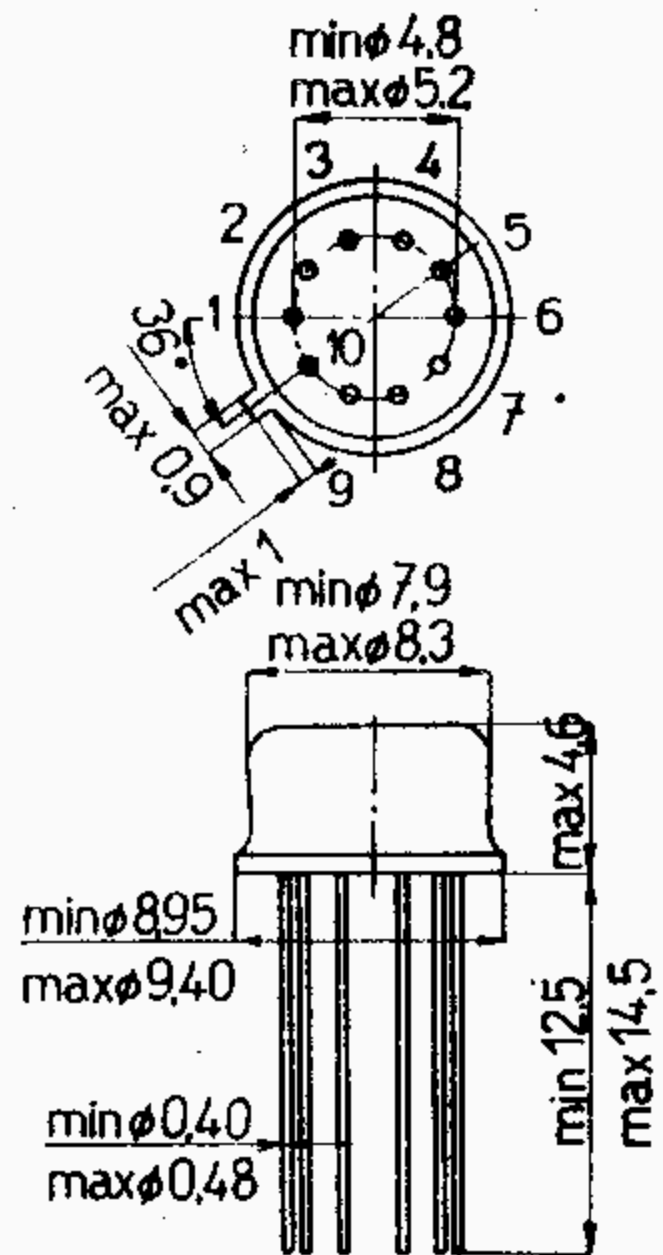


KD605 - KD607

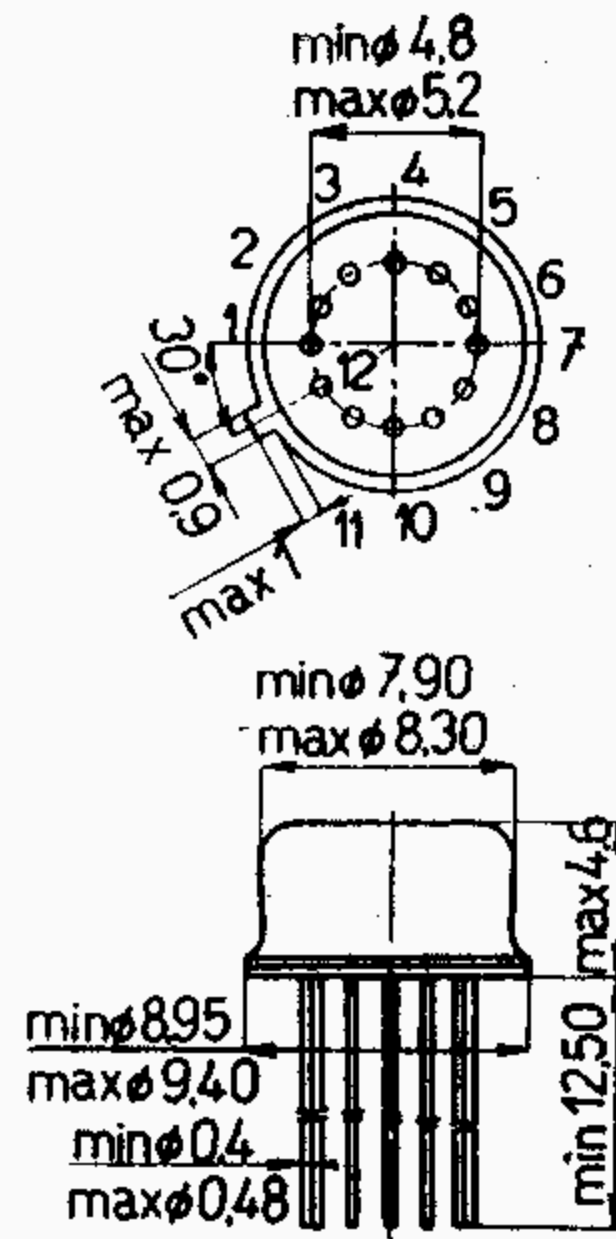
MAA115
MAA125
MAA145MAA225
MAA245MAA325, MAA345
MAA435, MAA525
MBA125, MBA145
MBA225, MBA245MAA501
MAA502
MAA504



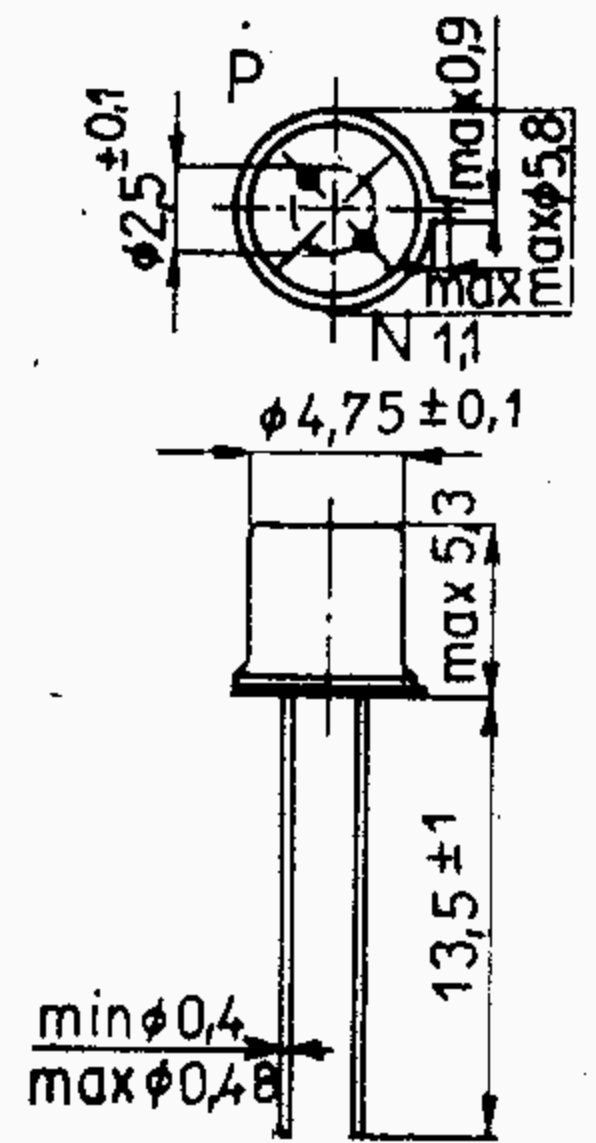
**MAA723
MAA723H**



MA3000

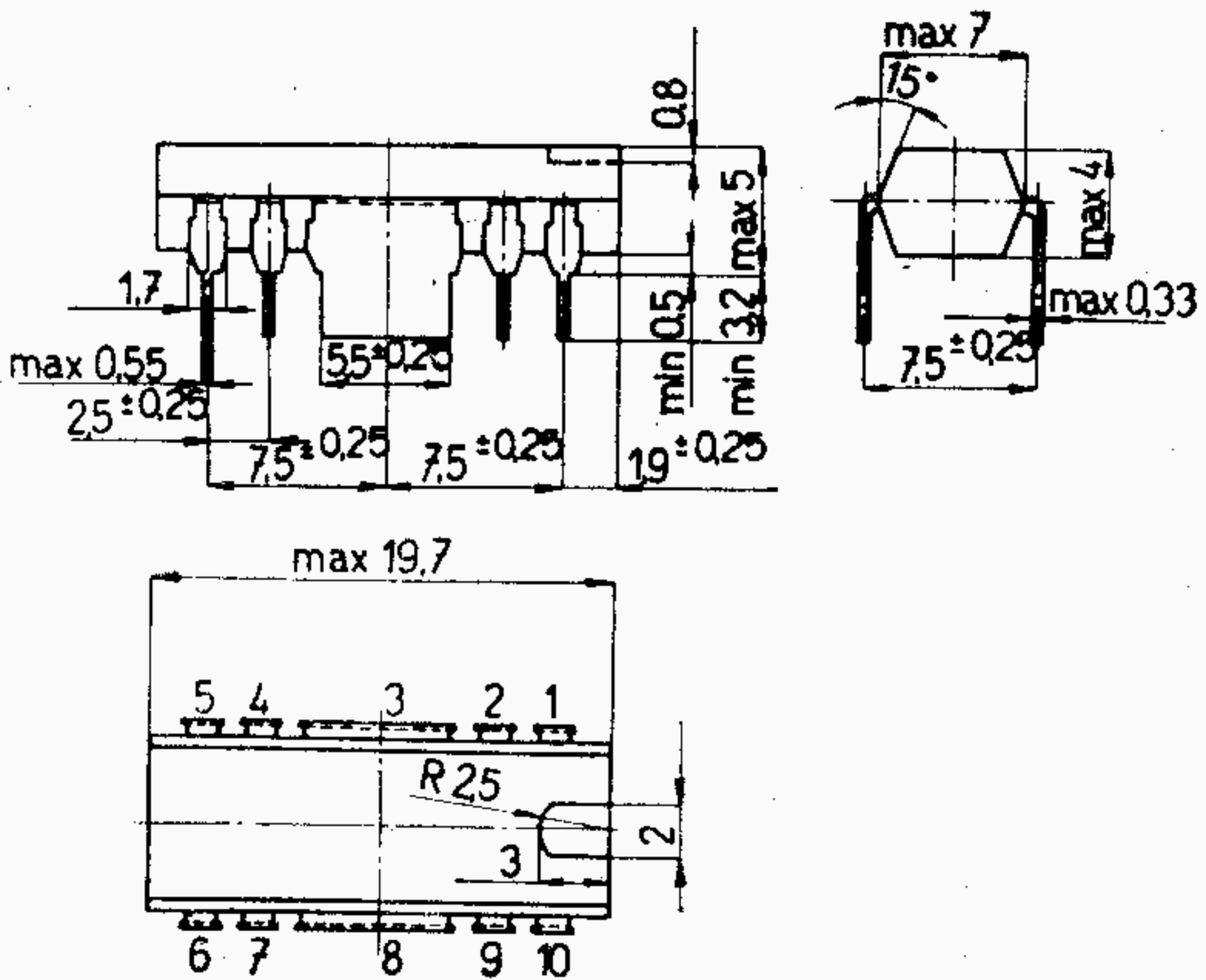


**MA3005
MA3006**



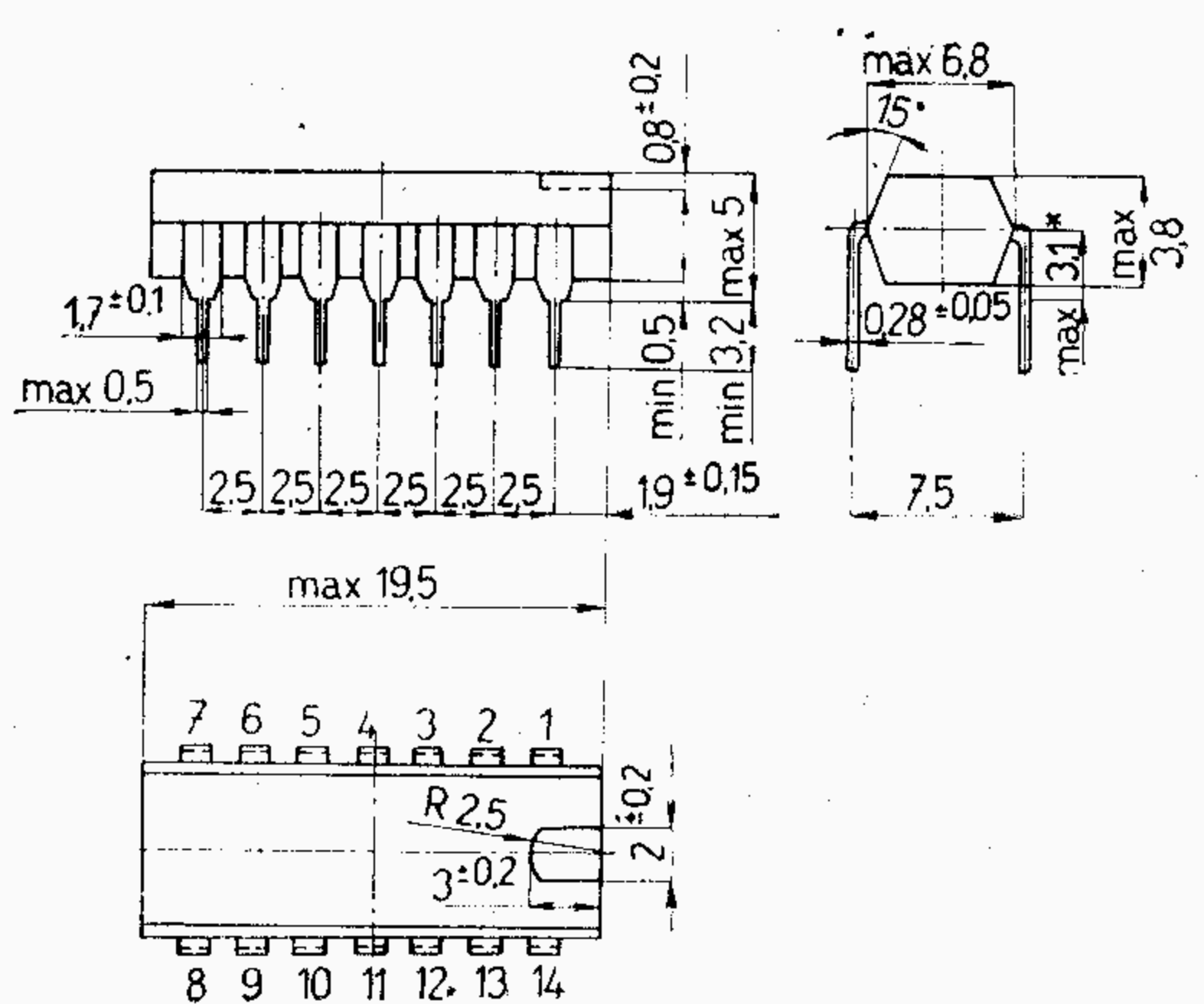
MAA550

K 403



MA0403, MA0403A

K 402



MAA503

Převodní a srovnávací tabulka
obdobných typů
polovodičových diod
tranzistorů
integrovaných obvodů
Osazení přijímačů elektronkami
TESLA

Poznámky:

1. V plastickém pouzdru s vývody dlouhými 12,6 mm.

GERMANIOVÉ DIODY A TRANZISTORY

TESLA	Valvo Philips Mullard	Siemens	Telefunken	Intermetall ITT	STC
GA200 (2NN41)		AA113			
GA201		AA116			
GA202	OA79	AA119	OA172		
GA203	OA81	AA113	OA174		
GA204	OA81	AA117, AA118	OA161		
GA205	OA70, OA90		OA160		
GA206					
GA207 (6NN41)					
OA5	OA5, AAZ15		OA180, OA182	FD4, FD6, FD7	
OA7	OA7				
OA9	OA9			FD3, FD9	
GAZ51	OA7				
GC500	OC74, AC128			OC302	
GC501	OC79, AC128				
GC502	OC80, AC128				
GC507	OC72, AC132	TF75	OC604 spec.	(OC302), OC307-3	ACY36
GC508	OC76		OC602 spec.	OC307, OC308	ACY28, ACY58,
GC509	OC77, ASY77			OC309-2, OC309-3	ASY51, ASY52
GC510	AC128	AC128	AC117		
GC510K	AC128K	AC128K			
GC511	AC188	AC188			
GC511K	AC188K	AC188K			

TESLA	Valvo Philips Mullard	Siemens	Telefunken	Intermetall ITT	STC
GC512	—	—			
GC512K	—	—			
GC515	OC70, AC125	TF65, č, ž, b	OC601, OC602	OC303	ACY34, ACY27
GC516	OC71, AC126	TF65-z, f	OC603, OC604,	OC304-1	ACY35
GC517	OC75, AC126	ACY23, ACY32, ACY33-V	AC116ž AC116-z	QC350, OC304-3	(ACY30), ASY58
GC518	OC75	ACY33-VI			
GC519	OC75	ACY33-VII			
GC520	AC176	AC176	AC175		
GC520K	AC176K	AC176K			
GC521	AC187	AC187			
GC521K	AC187K	AC187K			
GC522	—	—			
GC522K	—	—			
GCN53	101NU71, 102NU71 pro průmyslové použití				
GCN54	103NU71 pro průmyslové použití				
GCN55	GC507, GC508 pro průmyslové použití				
GCN56	GC509 pro průmyslové použití				
GD607	AD161	AD161	AD161		
GD608		~AD161			
GD609		~AD161			

TESLA	Valvo Philips Mullard	Siemens	Telefunken	Intermetall ITT	amer.
GD617	AD162	AD162	AD162		
GD618		~AD162			
GD619		~AD162			
GF501		AFY11			2N1141
GF502		AFY10			2N1142
GF503					
GF504	~AFY14	AFY10			2N1143
GF505	AF106	AF106	AF106		
GF506	~AF106	~AF106	~AF106		
GF507	AF139	AF139	AF139		
GF514	AF124	AF124, AF114	AF134		
GF515	AF126	AF126, AF116	AF136		
GF516	AF127	AF127, AF117	AF137		
GF517	AF127	AF127, AF117	AF137		
GFY50	OC170 (pro prům. použití)				
OC169	OC169	AF127	OC613		
OC170	OC170	AF126	OC614		
OC170vkv	OC171	AF124	OC615		
GS506	2N1306				2N1306
GS507	2N1306				2N1306

TESLA	Valvo Philips Mullard	Siemens	Telefunken	Intermetall ITT	STC
OC30	OC30	TF77, TF78/30III	OD603		
2NU72					
3NU72	OC30A	TF77, TF78/30I	OD603		
4NU72					
5NU72	OC30B	TF77/60, TF78/60I	OD603/50		
OC26	OC26, AD148	TF80			
OC27	OC27				
2NU73					
3NU73	OC26	TF80			
4NU73					
5NU73		TF80/60			
6NU73					
7NU73					
2NU74	ADZ11	AD133III, IV, AD133V	AD133-III-IV AD133V AD131III-IV AD131V	CTP1504, CTP1508 (CTP1504, CTP1508) CTP1504 (CTP1504)	2N1147A, 2N1146A
3NU74					
4NU74					
5NU74					2N1147B, 2N1146B
6NU74	ADZ12		AD132III-IV AD132V	CTP1500, CTP1503 (CTP1500, CTP1503)	2N1147C, 2N1146C
7NU74					

KREMIKOVÉ DIODY, TRANZISTORY A USMĚRNOVAČE

TESLA	Valvo Philips Mullard	Siemens	Telefunken	Intermetall	Hewlett- Packard
KA201	BA102	BA102		BA110	
KA202	BA102	BA102		BA111	
KA204	BA138	BA138	BA138	BA141, BA142	
KA206	1N914	BAY63	1N916, 1N4151		
KA207	1N914	-	1N916, 1N914, 1N4148		
KA236		BA136			
KA243				BA243	
KA221					HPA 1001
KA222					HPA 1002
KA223					HPA 1003
KA224					HPA 1004
KA225					HPA 1006
					Ferranti
KC147	BC147	BC147	BC147		ZTX107 1)
KC148	BC148	BC148	BC148		ZTX108 1)
KC149	BC149	BC149	BC149		ZTX109 1)
KC507	BC107	BC107	BC107		
KC508	BC108	BC108	BC108		
KC509	BC109	BC109	BC109		

TESLA	Valvo Philips Mullard	Siemens	Telefunken	Intermetall
KD601		~BD109		
KF124	BF194	BF194	BF194	
KF125	BF195	BF195	BF195	
KF167	BF167	BF167	BF167	
KF173	BF173	BF173	BF173	
KF503	BF114, ~BF177	BF114, ~BF177	BF114	
KF504	~BF178	BF110, ~BF178	BF110	BF117
KF506	2N1613	BFY34		
KF507		BFY33		
KF508	2N1711	BFY46		
KF517				2N1131, 2N1132, 2N1991
KF521	—	—	—	3SK21 (Hitachi)
KF524	BF184	BF184	BF184	—
KF525	BF185	BF185	BF185	—
KFY16	—	BFY16	(komplementární k KFY34)	
KFY18	—	BFY18	(komplementární k KFY46)	
KFY34	—	BFY34		
KFY46	—	BFY46		

TESLA	Valvo Philips Mullard	Siemens	Telefunken	Intermetall
KFZ66	Dvojice KF506 v Darlingtonově zapojení			
KFZ68	Dvojice KF508 v Darlingtonově zapojení			
KR206	BR100			
KS500		~BSY62		
KSY21	BSY21	—		BSY21, 2N914
KSY34	BSY34	BSY34		—
KSY62		BSY62		
KSY63		BSY63		
KSY71	2N2369	—		2N2369
KSY81	2N2894	—		2N2894
KU601		BDY12B, BDY12-6		
KU602				
KU605		~BUY12		
KU606		BUY13		
KU607		BUY12		
KU611		BDY12B, BDY12-6		
KU612		—		
KUY12		BUY12		
KT11A – KT11C	2N3866			
KT21A – KT21C	2N4427			

TESLA	STC	Intermetall	EBERLE (ECO)	Syntron
KY701		BYV31	0320, 0300, 0310	S1010
KY702		BYV32	0321, 0301, 0311	
KY703		BYV33	0322, 0302, 0312	S1020
KY704		BYV34, BY115	0324, 0304, 0314	S1040, S1030
KY705	BY104	BYV37, BY103, BY104	0327, 0307, 0317	S1070, S1060, S1050
KY721	FST3/1	BYV88, OY5061		S1210
KY722	FST3/2	BYV89, OY5062		
KY723	FST3/3	— OY5063		S1220
KY724	FST3/4	BY90, OY5064		S1240, S1230
KY725	FST3/6	BY91, OY5067		S1270, S1060, S1050
KY708		IS10-100	0601	
KY710		IS10-200	0602	
KY711		IS10-300	0604	
KY712		IS10-400	0606	
KY715		IS20-100		R2010, R2005
KY717		IS20-200		R2020, R2015
KY718		IS20-300		R2030, R2025
KY719		IS20-400		R2040, R2035

TESLA	LUCAS	Philips Valvo Compelec	Soral	Semikron	Hoffmann	Siemens
KY701						SSi B01 10
KY702				SK0,5/02		SSi B01 20
KY703	DD003		05DA30	—		—
KY704	DD006, DD056	BY114	05DA40	SK0,5/06		SSi B01 40
KY705	DD058	BY100, BY127	05DA80	SK0,5/10		SSi B01 80
KY721						V-23212-C0810 E30C850Si
KY722						V-23212-C0820 E60C850Si
KY723		BYV22-200	08DE30	—		—
KY724	DD2066	BYV22-400	08DE40	SK1/06, SK0,9/06	—	V-23212-C0840 E125C850Si
KY725	DD2068	BYV22-800	08DE80	SK1/10, SK0,9/10	—	V-23212-C0880 E250C850Si
KY708	DD4521		10GE10	SK10/02	1N3890	—
KY710	DD4523	BYV22	10GE20	—	1N3891	SSi E0820K
KY711		BYV67	10GE30	SK10/03	1N3892	—
KY712	DD4526	BYV24	10GE40	SK10/06	1N3893	SSi E0840K
KY715		BYX13-200	30LC10	SK25/02		SSi E0810
KY717		BYX13-400	30LC20	—		SSi E0820
KY718		BYX13-600	30LC30	SK25/03		—
KY719		BYX13-800	30LC40	SK25/06		SSi E0840

T E S L A

Siemens

Siemens
podle DIN

Siemens

DIN

	V23212—		V23212—	
KY701	B0110	E30C600Si	B0610	E30C550Si
			B0710	E30C400Si
KY702	B0120	E60C600Si	B0620	E60C550Si
			B0720	E60C400Si
KY703	—	—		
KY704	B0140	E125C600Si	B0640	E125C550Si
			B0740	E125C400Si
KY705	B0180	E190C600Si	B0680	E250C550Si
			B0780	E250C400Si
	V23212—			
KY721	B0110	E30C600Si		
KY722	B0120	E60C600Si		
KY723				
KY724	B0140	E125C600Si		
KY725	B0180	E190C600Si		

T E S L A

amer.

KY701	
KY702	
KY703	
KY704	
KY705	
KY721	1N1908, 1N2104, 1N2610
KY722	
KY723	1N1909, 1N2105, 1N2611, 1N3639
KY724	1N2107, 1N2613, 1N3640, 1N1911, 1N2106, 1N2612
KY725	1N1914, 1N1913, 1N1912, 1N2615, 1N2614, 1N2108, 1N3641
KY708	
KY710	
KY711	
KY712	
KY715	1N1342R, 1N1342AR, 1N1342BR, 1N1582R, 1N1613R, 1N2492R, 1N1341R, 1N1341AR, 1N1341BR, 1N1581R, 1N1612R, 1N2228R, 1N2491R
KY717	1N1124R, 1N1344R, 1N1344AR, 1N1344BR, 1N1583R, 1N1614R, 1N2230R, 1N2493R, 1N1343R, 1N1343AR, 1N1343BR
KY718	1N1125R, 1N1345R, 1N1345AR, 1N1345BR, 1N1584R, 1N2232R, 1N2494R
KY719	1N1126R, 1N1346R, 1N1346AR, 1N1346BR, 1N1585R, 1N1615R, 1N2234R, 1N2495R

TESLA	LUCAS	Philips Valvo Mullard	Siemens	Siemens DIN	SESCOSEM
KYZ70	DD5620	BYX21/100, BYX20/100	V23212-E1205	E15C20/2Si	SFR190R
KYZ71	DD5621	BYX21/200, BYX20/200	E1210	E30C20/2Si	SFR191R
KYZ72	DD5623		E1220	E60C20/2Si	—
KYZ73	—		E1230		
KYZ74	DD5626		E1240		
KYZ75	DD5620	BYX21/100R, BYX20/100R	V23212-E1105	E15C20/2Si	SFR190
KYZ76	DD5621	BYX21/200R, BYX20/200R	E1110	E30C20/2Si	SFR191
KYZ77	DD5623		E1120	E60C20/2Si	—
KYZ78	—		E1130		
KYZ79	DD5626		E1140		

TESLA

SORAL

KYZ34
KYZ30

YC14000-0025
YL10000-05

TESLA	Transistor AG.	Texas I.	STC	Intermetall	Intermetall
KT501	BTX30-50, TAG1-50, 2N1595	2N1595	CRS1/05AF	SiT 0,8/50	T0,8N0,6AOO
KT502	BTX30-100, TAG1-100, 2N1596	2N1596	CRS1/10AF	SiT 0,8/100	T0,8N1AOO
KT503	BTX30-200, TAG1-200, 2N1597	2N1597	CRS1/20AF	SiT 0,8/200	T0,8N2AOO
KT504	BTX30-300, TAG1-300, 2N1598	2N1598	CRS1/30AF	SiT 0,8/300	T0,8N3AOO
KT505	BTX30-400, TAG1-400, 2N1599	2N1599	CRS1/40AF	SiT 0,8/400	T0,8N4AOO

TESLA	Transitron	Silec	AEG-Telefunken
KT501	2N1595A	GCO501, TDR05 TR05RA	T0,8N 50AOB
KT502	2N1596A	GCO1001, TDR1 TR1RA	T0,8N100AOB
KT503	2N1597A	GCO2001, TDR2 TR2RA	T0,8N200AOB
KT504	2N1598A	GCO3001, TDR3 TR3RA	T0,8N300AOB
KT505	2N1599A	GCO4001, TDR4 TR4RA	T0,8N400AOB

TESLA	EBERLE (ECO)	SESCOSEM
KT501	0750	11T4
KT502	0751	12T4
KT503	0753	14T4
KT504	—	16T4
KT505	—	17T4

T E S L A

Transistor AG.

KT701	TAG10S-50	BTX32S-50	BTX72S-50	TAG15S-50	BTX70S-50	BTX74S-50
KT702	TAG10S-100	BTX32S-100	BTX72S-100	TAG15S-100	BTX70S-100	BTX74S-100
KT703	TAG10S-200	BTX32S-200	BTX72S-200	TAG15S-200	BTX70S-200	BTX74S-200
KT704	TAG10S-300	BTX32S-300	BTX72S-300	TAG15S-300	BTX70S-300	BTX74S-300
KT705	TAG10S-400	BTX32S-400	BTX72S-400	TAG15S-400	BTX70S-400	BTX74S-400

T E S L A

AEG-Telefunken

Philips
Valvo

Silec

KT701	T14F50EDE	—	—	—	TP506	2N1843A
KT702	T14F100EDE	BTX64-100R	BTY87-100R	BTY91-100R	TP1006	2N1844A
KT703	T14F200EDE	BTX64-200R	BTY87-200R	BTY91-200R	TP2006	2N1846A
KT704	T14F300EDE	BTX64-300R	BTY87-300R	BTY91-300R	TP3006	2N1848A
KT705	T14F400EDE	BTX64-400R	BTY87-400R	BTY91-400R	TP4006	2N1849A

T E S L A

SESCO

EBERLE
(ECO)

KT701	2N1843	—
KT702	2N1844	T14N1EOA
KT703	2N1846	T14N2EOA
KT704	2N1848	T14N3EOA
KT705	2N1849	T14N4EOA

T E S L A

Transistor AG.

Texas I.

STC

EBERLE
(ECO)

KT710	TAG3-50	2N1600	CRS3/05AF	TSi 5/50
KT711	TAG3-100	2N1601	CRS3/10AF	TSi5/100
KT712	TAG3-200, 2N3238	2N1602	CRS3/20AF	TSi5/200
KT713	TAG3-300	2N1603	CRS3/30AF	TSi5/300
KT714	TAG3-400, 2N3525	2N1604	CRS3/40AF	TSi5/400

T E S L A

Transitron

Philips
Valvo

AEG-Telefunken Siemens

Intermetall

Intermetall

KT710	2N1771, 2N1771A	—	T3N50COB	—	T3N0,6COO	SiT 4/50
KT711	2N1772, 2N1772A	BTY79/100R	T3N100COB	—	T3N1COO	SiT 4/100
KT712	2N1774, 2N1774A	BTY79/200R	T3N200COB	—	T3N2COO	SiT 4/200
KT713	2N1776, 2N1776A	BTY79/300R	T3N300COB	BSt D0220	T3N3COO	SiT 4/300
KT714	2N1777, 2N1777A	BTY79/400R	T3N400COB	—	T3N4COO	SiT 4/400

T E S L A

Brush-
CleviteEBERLE
(ECO)

Intermetall

AEG -
Telefunken

KZ703	ZOE 6,8	1206	—			
KZ704	ZOE 8,2	1208	—			
KZ705	ZOE 10	1209, 4120				
KZ706	ZOE 10	1211, 4121				
KZ707	ZOE 12	1212, 4122				
KZ708	ZOB13	1213, 4123	—			
KZ709	ZOE15	1215, 4124				
KZ710	ZOE18	1216, 4125				
KZ711	ZOE18	1218, 4126				
KZ712	ZOE22	1220, 4128				
KZ713	ZOB24	1224, 4129				
KZ714	ZOE27	1227, 4130				
KZ715	ZOE33, ZOE27	1230, 4131				
1NZ70	ZNB5,6; ZNE5,6	1305	ZL5	ZL5,6	ZM5,6	BZY92/C5V6
2NZ70	ZNB6,2; ZNE6,8	1306	ZL6	ZL6,8	ZM6,8	C6V8
3NZ70	ZNB7,5	1307	ZL7	ZX7,5	ZM8,2	C7V5
4NZ70	ZNB8,2; ZNE8,2	1308	ZL8	ZX8,2	ZM8,2	C8V2
5NZ70	— ZNE10	1310, 5320	ZL10		ZM10	C10
6NZ70	ZNB12; ZNE12	1312, 5322	ZL12		ZM12	C12
7NZ70	ZNB15; ZNE15	1315, 5324	ZL15		ZM15	C15
8NZ70	ZNB18; ZNE18	1318, 5326	ZL18		ZM18	C18

T E S L A

LUCAS

Valvo
Philips
Mullard

La Radiotechnique IRC

Hoffmann

STC

KZ703	—	OAZ224	—	—	1N2043	
KZ704	ZD4008	OAZ226	—	—	1N2044	Z5D82BF
KZ705	ZD4009	OAZ227	—	—	1N2044	Z5D91BF
KZ706	ZD4010, ZD4011	OAZ228	—	—	1N2045, 1N2498	Z5D100BF
KZ707	ZD4012	OAZ230	—	—	1N2046, 1N2500	Z5D120BF
KZ708	ZD4013	OAZ231	—	—	1N1816, 1N2047	Z5D130BF
KZ709	ZD4015	OAZ232	—	—	1N1817	Z5D150BF
KZ710	ZD4018	OAZ233	—	—	1N1819	Z5D160BF
KZ711	ZD4020	OAZ234	—	—	1N1820, 1N2048	Z5D180BF
KZ712	ZD4022	OAZ236	—	—	1N1821	Z5D220BF
KZ713	ZD4024	OAZ237	—	—	1N1822, 1N2049	Z5D240BF
KZ714	ZD4027	—	—	—	1N1823	Z5D270BF
KZ715	ZD4030	—	—	—	1N1824	Z5D300BF
1NZ70	—	BZY96—C5V6	BZY74	BZZ14	1N1590	Z3B56BF
2NZ70	—	BZY96—C6V8	BZY75	BZZ16	1N1591	Z3B68BF
3NZ70	ZD2008	BZY96—C7V5	BZY75	BZZ17	1N1591	Z3B75BF
4NZ70	ZC2008	BZY96—C8V2	—	BZZ18	1N1592	Z3B91BF
5NZ70	ZD2012	BZY95—C10	—	BZZ19	1N1593	Z3B100BF
6NZ70	ZD2010	BZY95—C12	—	BZZ22	1N1594	Z3B120BF
7NZ70	ZD2015	BZY95—C15	—	BZZ24	1N1595	Z3B150BF
8NZ70	ZD2018	BZY95—C18	—	BZZ26	1N1596	Z3B180BF

TESLA	Telefunken		Siemens		Valvo Philips	EBERLE (ECO)
KZZ71	BZY85/D6V8	BZY85/C6V2	OA126/6, /7	BZY83/D6V8	OAZ202	1106
KZZ72	/D8V2	/C7V5	OA126/8	/D8V2	OAZ205	1107
KZZ73	/D8V2	/C8V2	/9	/C9V1	OAZ206	1109
KZZ74	/D10	/C10	/10	/C10		1110, 1110c
KZZ75	/D12	/C11	/11	/C11		1111, 1111c
KZZ76	/D12	/C12, C13	/12	/C12, C13V5		1112, 1112c
KZ721	—	—	OA126/6, /7	BZY83/D6V8	OAZ210	1106
KZ722	BZY85/D8V2		OA126/8, /9	/D8V2	OAZ212	1108
KZ723	/D10		OA126/9, 10, 11	/D10	OAZ212, OAZ213	1110
KZ724	/D12		OA126/11, 12	/D12	OAZ213	1112

TESLA	LUCAS 0,6 W	Intermetall	Brush-Clevite 250 mW			STC	
KZZ71	—	ZG6,8	Z6K	ZE6,8	ZB6,2	ZFE6,8	ZFB6,2
KZZ72	ZC008	ZG8,2	Z7K	ZE8,2	ZB7,5	ZFE8,2	ZFB8,2
KZZ73	ZC009	ZG8,2 ZG10	Z8K	ZE8,2	ZB9,1	ZFE8,2	ZFB8,2
KZZ74	ZC010	ZG10	Z10K	ZE10	ZB10	ZFE10	ZFB10
KZZ75	ZC011		Z12K	ZE12	ZB11	ZFE12	ZFB12
KZZ76	ZC012, ZC013	ZG12	Z12K	ZE12	ZB12	ZFE12	ZFB12
KZ721				ZE6,8	ZC6,2	ZFE6,8	ZFC6,8
KZ722	ZD008	ZG8,2		ZE8,2	ZC8,2	ZFE8,2	ZFC8,2
KZ723	ZD010	ZG10		ZE10	ZC11	ZFE10	ZFC11
KZ724	ZD012	ZG12	Z12K	ZE12	ZC11, ZC14	ZFE12	ZFC11, ZFC14

TESLA	STC		amer.
KZZ71	Z2A68BF	Z2A62CF	
KZZ72	Z2A82BF	Z2A75CF	
KZZ73	Z2A91BF	Z2A91CF	
KZZ74	Z2A100BF	Z2A100CF	
KZZ75	Z2A110BF	Z2A110CF	
KZZ76	Z2A130BF	Z2A120CF, Z2A130CF	
KZ721	Z2A68AF	Z2A68BF	1N755A
KZ722	Z2A91AF	Z2A82BF	1N756A
KZ723	Z2A110AF	Z2A100BF	1N757A
KZ724	Z2A130AF	Z2A130BF	1N758A

TESLA	Intermetall	SILEC
KZ751	ZL56, ZL68	1N3000B
KZ752	ZL68	1N3001B
KZ753	ZL82	1N3002B
KZ754	ZL82	1N3003B
KZ755	ZL100	1N3004B

KŘEMÍKOVÉ FOTONKY, FOTOTRANZISTORY

TESLA	Valvo Philips Mullard	Siemens	Telefunken	SESCO	Texas I.	amer.	jap.
KP101		~BPY61			LS400	~1N2175	OS18, OS19, OS20
1PP75 10PN40	~BPY10 OAP12	BP100, BPY11 APY10, APY11				1N77B	

KŘEMÍKOVÉ MIKROVLNÉ DIODY

TESLA	amer.	
33NQ52	1N23B	MA451B
34NQ52	1N23C	MA451C
35NQ52	1N23D	MA451D

LINEÁRNÍ INTEGROVANÉ OBVODY

TESLA	Siemens	Plessey	RCA	Mullard Philips	Fairchild SGS	ITT Intermetall
MAA115	TAA131 (epoxydové pouzdro) TAA141 (pouzdro TO-18)			TAA263 (pouzdro TO-18)		
MAA125	TAA121 (má navíc dva odpory, funkce stejná)					
MAA145						
MAA225						
MAA245						
MAA325						
MAA435						
MAA550				TAA550		TAA550, ZTX33
MAA723				TBA281	μA723	MIC723
MA0403		SL0403A				
MA3000			CA3000			
MA3005			CA3005			
MA3006			CA3006			

TESLA	SGS	Fairchild	Intermetall ITT	SESCOSEM	RCA
MAA501	μ A709	U5B7709/31X	MIC709-1C, MIC709	SF.C 2709M	CA3031 *
MAA502	μ A709A	U5B7709/311	MIC709A	SF.C 2709A	—
MAA504	μ A709C	U5B7709/39X	MIC709-5C	SF.C 2709C	CA3022 *
TESLA	Texas I.	Philips, Valvo	Marconi-Elliott	Ferranti	Philco
MAA501	SN52709L	TAA522	5B-7709-1	ZLD709	PA70931
MAA502	—	—	—	—	—
MAA504	SN72709L	TAA521	5B-7709-9	ZLD709C	PA70939
TESLA	Amelco	NSC	Raytheon	Transitron	AEG - Telefunken
MAA501	709BE	LM709H	RM709T	TOA1709V	TL1709
MAA502	—	—	RM709AT	—	—
MAA504	709CE	LM709CH	RC709CT, RC101C	TOA2709V	TL1709C
TESLA	SIGNETICS	Union Carbide	Motorola	Westinghouse	
MAA501	S5709T	UC709	MC1709G	WM 1709T	
MAA502	—	—	—	—	
MAA504	N5709T	—	MC1709CG	WC 1709T	

*) Přibližný ekvivalent

LOGICKÉ INTEGROVANÉ OBVODY

T E S L A		Texas I.	Siemens	Motorola	Sprague	Sescosem	Mullard Phillips Amperex
MH7400	MHA 111	SN7400N	FLH 101	MC7400P	USN-7400A	SFC400E	FJH 131
MH7403		SN7403N	FLH 291	—	—		—
MH7410	MHB 111	SN7410N	FLH 111	MC7410P	USN-7410A	SFC410E	FJH 121
MH7420	MHC 111	SN7420N	FLH 121	MC7420P	USN-7420A	SFC420E	FJH 111
MH7430	MHD 111	SN7430N	FLH 131	MC7430P	USN-7430A	SFC430E	FJH 101
MH7440	MHE 111	SN7440N	FLH 141	MC7440P	USN-7440A	SFC440E	FJH 141
MH7450	MHF 111	SN7450N	FLH 151	MC7450P	USN-7450A	SFC450E	FJH 151
MH7451		SN7451N	FLH 161	MC7451P	USN-7451A		FJH 161
MH7453	MHG 111	SN7453N	FLH 171	MC7453P	USN-7453A	SFC453E	FJH 171
MH7454		SN7454N	FLH 181	MC7454P	USN-7454A		FJH 181
MH7472	MJA 111	SN7472N	FLJ 111	MC7472P	USN-7472A	SFC472A	FJJ 101
MH7474	MJB 111	SN7474N	FLJ 141	—	USN-7474A	—	—
MH7460	MYA 111	SN7460N	FLY 101	MC7460P	USN-7460A	SFC460E	FJY 101
MH7490		SN7490N	FLJ 161	—	USN-7490A		FJJ 141
MH7493		SN7493N	FLJ 181	—	USN-7493A		FJJ 251
MH7475		SN7475N	FLJ 151				

TESLA

Ferranti

NS

SIGNETICS

British
Service TypeAEG-
Telefunken

Transitron

MH7400	ZN7400E	DM8000N	N7400A	CN78DP	TL7400N	TG7400E
MH7403	—	DM8003N		—	—	TG7403E
MH7410	ZN7410E	DM8010N	N7410A	CN80DP	TL7410N	TG7410E
MH7420	ZN7420E	DM8020N	N7420A	CN82DP	TL7420N	TG7420E
MH7430	ZN7430E	DM8030N	N7430A	CN84DP	TL7430N	TG7430E
MH7440	ZN7440E	DM8040N	N7440A	CN90DP	TL7440N	TG7440E
MH7450	ZN7450E	DM8050N	N7450A	CN94DP	TL7450N	TG7450E
MH7451	ZN7451E	DM8051N	N7451A	—	TL7451N	TG7451E
MH7453	ZN7453E	DM8053N	N7453A	CN98DP	TL7453N	TG7453E
MH7454	ZN7454E	DM8054N	N7454A		TL7454N	TG7454E
MH7460	ZN7460E	DM8060N	N7460A		TL7460N	TG7460E
MH7472	ZN7472E	—	N7472A		TL7472N	TG7472E
MH7474	ZN7474E	DM8510N	N7474A		TL7474N	
MH7490	ZN7490E	DM8530N	—		TL7490N	
MH7493	ZN7493E	DM8533N	—		TL7493N	
MH7475					TL7475N	

TESLA

Intermetall

MH7400	MIC 7400
MH7403	MIC 7403
MH7410	MIC 7410
MH7420	MIC 7420
MH7430	MIC 7430
MH7440	MIC 7440
MH7450	MIC 7450
MH7451	MIC 7451
MH7453	MIC 7453
MH7454	MIC 7454
MH7460	MIC 7460
MH7472	MIC 7472
MH7474	MIC 7474
MH7475	MIC 7475
MH7490	MIC 7490
MH7493	MIC 7493

TESLA	Texas I.	Siemens	Motorola	Sprague	Ferranti	Mullard Philips	Signetics
MH5400	SN5400N		MC5400P	USS-5400A	ZN5400E		S5400A
MH5403	SN5403N		—	—	—		—
MH5410	SN5410N		MC5410P	USS-5410A	ZN5410E		S5410A
MH5420	SN5420N		MC5420P	USS-5420A	ZN5420E		S5420A
MH5430	SN5430N		MC5430P	USS-5430A	ZN5430E		S5430A
MH5440	SN5440N		MC5440P	USS-5440A	ZN5440E		S5440A
MH5450	SN5450N		—	USS-5450A	ZN5450E		S5450A
MH5451	SN5451N		MC5451P	USS-5451A	ZN5451E		S5451A
MH5453	SN5453N		MC5453P	USS-5453A	ZN5453E		S5453A
MH5454	SN5454N		MC5454P	USS-5454A	ZN5454E		S5454A
MH5460	SN5460N		MC5460P	USS-5460A	ZN5460E		S5460A
MH5472	SN5472N		MC5472P	USS-5472A	ZN5472E		S5472A
MH5474	SN5474N		—	USS-5474A	ZN5474E		S5474A
MH5490	SN5490N		—	—	ZN5490E		—
MH5493	SN5493N		—	—	ZN5493E		—
MH5475	SN5475N						

TESLA

Intermetall

MH5400	MIC 5400
MH5403	MIC 5403
MH5410	MIC 5410
MH5420	MIC 5420
MH5430	MIC 5430
MH5440	MIC 5440
MH5450	MIC 5450
MH5451	MIC 5451
MH5453	MIC 5453
MH5454	MIC 5454
MH5460	MIC 5460
MH5472	MIC 5472
MH5474	MIC 5474
MH5475	MIC 5475
MH5490	MIC 5490
MH5493	MIC 5493

T E S L A

Siemens

MH8400	SN8400N	FLH105
MH8403	SN8403N	FLH295
MH8410	SN8410N	FLH115
MH8420	SN8420N	FLH125
MH8430	SN8430N	FLH135
MH8440	SN8440N	FLH145
MH8450	SN8450N	FLH155
MH8453	SN8453N	FLH175
MH8460	SN8460N	FLY105
MH8472	SN8472N	FLJ115
MH8474	SN8474N	FLJ145
MH8490	SN8490N	FLJ165
MH8493	SN8493N	FLJ185
MH8475	SN8475N	FLJ155
MH8451	SN8451N	FLH165
MH8454	SN8454N	FLH185

Osazení přijímačů elektronkami

TESLA

Stolní přijímače:

Beseda 845A	2×ECH4, EBL1, EM4, AZ1
Harmonie (Harmonie II)	ECH21, 2×EF22, EBL21, EM11, AZ11
Klasik	ECH21, 2×EF22, EBL21, EM11, AZ11
Kongres	ECH21, 2×EF22, EBL21, EM11, AZ11
Kvinta	ECH21, 3×EF22, EBL21, EM11, AZ1 (AZ11)
Liberator Super C420	ECH21, 2×EF22, EBL21, EM11, AZ11
Melodie (Melodie II)	ECH21, 2×EF22, EBL21, EM11, AZ11
Riava	2×ECH21, EBL21, EM4, AZ11
Romance	ECH21, 2×EF22, EM11, AZ11, EBL21
Rytmus	2×UCH21, UBL21, UY1N
Signál	2×ECH21, EBL21, EM11, AZ11
Talisman	2×UCH21, UBL21, UY1N
T120	2×UCH21, UBL21, UY1N
T254	2×UCH21, UBL21, UY1N
T613	EF12, EL11, AZ11
T666	ECH4, (6A8GT, 12A8GT), 6D6, 6Q7QT, 6V6G
T713	EF12, EL11, AZ11
T713 II	EF22, EBL21, AZ11
305U Talisman	2×UCH21, UBL21, UY1N
306U Talisman	2×UCH21, UBL21, UY1N
307U Talisman	2×UCH21, UBL21, UY1N
308U Talisman	2×UCH21, UBL21, UY1N
312A Junior	ECH81, EBF89, ECL82, EZ80 (EZ81)
314B Luník	3×OC170, 105NU70, 106NU70, 2×101NU71, 1NN41, 5NN41
315A Sonatina	ECH81, EBF89, PCL82, PY82
316B	3×OC170, 2×OC71, 2×GC500 (OC74), 1NN41, 5NN41
317B	3×OC170, 105NU70, 106NU70, 2×101NU71, 2×1NN41
318B	3×OC170, 105NU70, 106NU70, 2×101NU71, 5NN41, 1NN41
318B-2	3×OC170, 2×OC71, 2×GC500 (OC74), 2×1NN41
320A Sputník	ECH81, EBF89, ECL82, (selén)
320A-3	ECH81, EBF89, ECL82

320A-9 ECH81, EBF89, ECL82
321A ECH81, EBF89, ECL82
323A ECC85, EBF89, EAA91, ECL86
324A Nocturno ECC85, EBF89, ECL86, 2×GA206
326A Tosca ECC85, EBF89, ECL86, 2×GA206
327A Lýra ECC85, EBF89, 2-GA206, ECL86, selén
330A ECH81, EBF89, ECL82
335A Nabucco ECC85, EBF89, ECL86, 2×GA206
337B-I Bonny 5×OC170, 107NU70, SC206, GC521/GC511, GA201, 2×GA206, GA202, KA501
338AB Toccata 2×GF506, 3×OC170, 2×KC508, GC511/GC521, GA201, 2-GA206, GA202, KA501, 2×KY701R
401U Accord 2×UCH21, UBL21, UY1N
405U 2×UCH21, UBL21, UY1N
406 Vltava 2×UCH21, UBL21, UY1N
407U 2×UCH21, UBL21, UY1N
410U 2×UCH21, UBL21, UY1N
411U 2×UCH21, UBL21, UY1N
420A 6H31, 6F31, 6BC32, 6L31, 6Z31
420U 12H31, 12F31, 12BC32, 35L31, 35Y31
422U 2×UCH21, UBL21, UY1N, EM11
424A Gavota ECH81, EBF89, ECL82, EM80
425A ECH81, EBF89, ECL82, EM80
426A Tenor ECH81, EBF89, ECL82, EZ80 (EZ81)
427A Poézia ECC85, ECH81, EBF89, EABC80, EL84, EM84
428A Gavota ECH81, EBF89, ECL82, EM80
430B-2 2×OC171, 3×OC170, 2×OC71, 2×GC500 (OC74), 2×GA202 (OA172), GA203 (OA174)
431B-2 Havana 2×OC171 (OC170 vkv), 3×OC170, 3×OC171 2×GC500, 2×GA202, 2×KA501, GA201
431B Havana 3×OC170, OC75, OC71, 2-GC500, 2×OC171, KA501, GA201, 2-GA206 nebo GA202, OA7
432A ECC85, ECH81, EBF89, EAA91, 2×ECL86
433A Carioca ECC85, EBF89, EAA91, ECL86, EM84
501A Arie 2×ECH21, EBL21, AZ11
504-II Pionýr 2×UCH21, UBL21, UY1N
505A Favorit 2×ECH21, EBL21, EM11, AZ11
506A ECH21, 6F31, 6BC32, 6L31, AZ11
508B 1H33, 3×1F33, 2×1AF33, DLL101
510A 6H31, 6F31, 6BC32, 6L31, EM11, 6Z31
512A 6H31, 2×6F31, 6BC32, 6L31, EM11, 6Z31
514A 6H31, 2×6F31, 6BC32, 6L31, EM11, 6Z31
516A Largo ECH21, 2×EF22, EBL21, EM11, AZ11

521A Populár
522A Rondo
522A-a Rondo
522A-c Rondo
522A-b Rondo
522A-d Rondo
525A Kvarteto
526A Kantáta
527A Melodia
528A Rondo II
532A Echo
533A Fuga
534A Traviata
535A Echo Stereo
536A Teslafon
537A
538A Stereo Dirigent
539A Rigoletto
541A Bohéma
542A Nora
603A Symfonic
605A Blaník
612A Dukla
614A
615A
616A
618A Kriváň
619A Dalibor
620A Máj
621A Opera
622A
623A Máj
6H31, 6F31, 6BC32, 6L31, 6Z31, EM11
2×ECH81, PABC80, PL82, EM80, (EM81), 6Z31
2×ECH81, PABC80, PL82, EM80, (EM81), EZ81, (EZ80)
2×ECH81, EABC80, EL84, EM80, (EM81), EZ81, (EZ80)
ECC85, ECH81, 6F31, 6B32, 6BC32, PL82, EM80
ECH81, 6F31, 6BC32, 6L31, EZ81, (EZ80), EM80
ECC85, ECH81, 6F31, 6B32, 6BC32, PL82, EM80
2×ECH81, EABC80, EL84, EM80, (EM81), EZ81, (EZ80)
ECC85, ECH81, EBF89, EABC80, EL84, EM84, selén
ECC85, ECH81, EBF89, EABC80, EL84, EM84
ECC85, ECH81, 6F31, 6B32, 6BC32, PL82, EM80
ECC85, ECH81, EBF89, 6B32, ECC83, 2×ECL82, EM84
ECC85, ECH81, EBF89, EAA91, ECL86, EM84
ECC85, ECH81, EBF89, EABC80, 6BC32, 2×EL84, EM84
ECC85, ECH81, ECF803, ECC83, 2×ECL86, 2×EM84, 2×OC170, KA201, 2-GA206, GA203, 4×GA203
ECC85, ECH81, ECF803, ECC83, ECL86, KA201, 2-GA206, GA201
ECC85, ECH81, EBF89, ECC83, EL84, EM84, KA201, 2×GA206
ECC85, KA201, ECH81, EBF89, 2-GA206, EM84, ECC83, EL84, selén
ECH21, 2×EF22, EBL21, AZ11
ECH21, 2×EF22, EBL21, AZ11
ECH21, 6F31, 6BC32, 6L31, AZ11
ECH21, 2×EF22, EBL21, EM11, AZ11
ECH21, 6F31, 6BC32, 6L31, AZ11, EM11
ECH21, 6F31, 6BC32, 6CC31, 2×6L31, 2×6Z31, EM11
ECH21, 6F31, 6BC32, 6L31, EM11, AZ11
ECH21, EF22, EBL21, AZ11, EM11
ECH21, 2×EF22, EBL21, AZ11, EM11
ECH21, 6F31, 6BC32, 6CC31, 2×6L31, 2×6Z31, EM11
6H31, 6F32, 6F31, 6BC32, 6L31, AZ11, EM11
ECH21, 2×EF22, EBL21, AZ11, EM11

624 Chorál	ECH81, 6F31, 6B32, 6CC41, 6L31, AZ11, EM80
625 Hymnus	ECC85, ECH81, 2×6F31, 6B32, 6BC32, EF80, PL82, EZ81, EM80
627 Variace	ECC85, ECH81, 2×EBF89, EAA91, ECC83, EL84, EZ80, EM80
632A vkv Stereo	2×GF505, 3×KA204, GF505, 5×OC170, 5×KC508, 4×106NU70, 2×GC515, 2×KC508, 2×GC521, 2×GC511, 4×2NU73, GC517, KC508, 4NU73, 5×GA201, 3×2-GA206, 2×KA501, 3×D808, 2×KY722
721 Festival	ECH81, 6F31, 6B32, 6L31, EM80, (EM81), 6CC41, AZ11
628A Lampa	6H31, 3×6F31, 6B32, 6M40 (EM80), 6F32, 6L31, AZ11
805A Filharmonie	ECC85, ECH81, 2×PL82, EM80, 2×6F31, 2×6B32, 2×6CC41
1PP 83500 Adaptor	ECC85, EBF89, EBF89, 6B32

Kombinované stolní přijímače s gramofonem a hudební skříně:

512030	
512034	Dominant
512035	ECH21, 2×EF22, EBL21, EM11, AZ11
512037	
512070 Tábor I	ECH21, EF22, 6B31, EM11, 2×6CC31, 6BC32, 2×EBL21, AZ12
512072	
512073 Tábor II	ECH21, EF22, 6B31, EM11, 2×6CC31, 2×EBL21, AZ12
512074	
1001A Dirigent	6H31, 6F31, 6BC32, 6L31, 6Z31, EM11
1002A Maestro	ECC85, ECH81, 2×6F31, 2×6B32, EF80, PL82, EZ81, EM80
1003A Orchestr	ECH81, 6F31, 6L31, 6BC32, EZ81, EM80
1004A Ouvertura	ECH81, 6F31, 6B32, 6L31, 6CC41, EM80, AZ11
1005 Pastorale	ECC85, ECH81, 6F31, 6BC32, 6B32, PL82, EM80
1006A	ECH81, EBF89, ECL82, EM80
1007A Allegro	ECC85, ECH81, 2×EBF89, EAA91, ECC83, EL84, EZ80, EM80
1008A Liberta	ECH81, EBF89, ECL82, EM80
1009 Barcarola	ECC85, ECH81, EBF89, EABC80, EL84, EM84

1010A Dunaj	ECC85, ECH81, EBF89, EABC80, EL84, EM84
1011A, A-2 Dunajec	ECC85, ECH81, EBF89, EABC80, EL84, EM84
1012A Koncert Stereo	ECC85, ECH81, EBF89, 6B32, ECC83, 2×ECL86, EM84
1014A Fuga	ECC85, ECH81, EBF89, EAA91, ECL86, EM84
1016 Sonáta	ECC85, EBF89, EAA91, ECL86
1017A Aida	ECC85, EBF89, ECL86, 2×GA206
1018 Liberta 2	ECH81, EBF89, ECL82, EM80
1019A Piano	ECC85, EBF89, EAA91, ECL86, EM84
1020A Capriccio	ECC85, ECH81, EBF89, EAA91, ECL86, EM84
1021A Opereta	ECC85, EBF89, ECL86, 2×GA206
1024A Bel Canto	2×GF506, 3×GT322, 2×KC508, GC521, GC511, GA201, 2-GA206, GA202, KA501, 2×KY701R
1025A Bolero	ECC85, ECH81, EBF89, ECC83, EL84, EM84, KA201, 2-GA206, selén
1101A	ECH21, EF22, 6B31, 6CC41, EM11, 2×EBL21, 6CC41, AZ12
1102A Jubilant	magnetofon 6CC42, 6F32, 6L31, EM11
1104 Bolero	ECH81, EM80, 6F31, 6B32, 6L31, 6CC41, AZ11
1105 Viola	ECC85, ECH81, 2×PL82, EM80, 6F31, 6F31, 2×6B32, 2×6CC41, magnetofon EF86, EM81, ECC83, EL84, EZ80
1106A Maestro II	ECC85, ECH81, 2×6F31, 6B32, 6BC32, EF80, PL82, EZ81, EM80
1107 Copélia	ECC85, ECH81, 2×EBF89, EAA91, ECC83, EL84, EM80, EZ80
1112A	ECC85, ECH81, EBF89, 6B32, ECC83, 2×ECL86, EM84
1118A Capella	ECC85, ECH81, EBF89, EAA91, 2×ECL86, EM84
1120A	ECC85, ECH81, EBF89, EABC80, EL84, EM84
1121A Baryton	ECC85, EBF89, EAA91, ECL86, EM84
1122A Humoreska	ECC85, ECH81, EBF89, EAA91, ECL86, EM84
1126A Adagio	ECC85, ECH81, ECF803, ECC83, ECL86, EM84, KA201, GA201, 2-GA206
1127A Suita	ECC85, KA201, ECH81, EBF89, 2-GA206, EM84, ECC83, EL84
1128A Pastorale	ECC85, ECH81, EBF89, ECC83, EL84, EM84, KA201, 2-GA206, selén
Le 680	ECC85, ECH81, EBF89, EABC80, EL84, EM84
LE680 A5	ECC85, ECH81, EBF89, EAA91, ECL86, EM84
Stereofonic	ECC85, ECH81, EBF89, EBF89, EAA91, 2×ECC83, 2×EL84, EM80, EZ81

Autopřijímače:

503BV	ECH21, ECH21, EBL21
531BV	
2101B	6CC42, 2×6F32, 6BC32, 6L31, 6Z31
2003BV Turista	2×EBF89, ECH81, EABC80, EL84
2004BV Turista univ.	2×EBF89, ECH81, EABC80, EL84
2007BV Standard	2×EBF89, ECH81, EABC80, EL84, ECC85
2008BV Standard univ.	2×EBF89, ECH81, EABC80, EL84, ECC85
2011B Carina	GF506, GF515 (OC170vkv), 5×OC170, KC509, GC520, GC521K, GC521K/GC511K, KA201, 3×GA201, 2 GA206, KA202
2103BV Luxus	2×ECC82, 2×EBF89, ECH81, EL84, EABC80
2104BV Luxus univ.	2×ECC82, 2×EBF89, ECH81, EL84, EABC80
2105B Spider	3×KF124, KC149, GC521K, GD608, GD618, 3×GA201, KZZ73
2203BV Ozvěna	2×ECC83, 2×EBF89, ECC85, ECH81, EABC80, 2×EL84, ECC85

Přenosné přijímače:

B452	DK21, DF21, DAC21, DL21
2701B T60	156NU70, 2×155NU70, 2×1NN41, 104NU70, 3×103NU70
2702B T60A	156NU70, 2×155NU70, 107NU70, 2×101NU71, 1NN41
2703B T60B	156NU70, 2×155NU70, 2×103NU70, 2-103NU70, 1NN41
2703B T60C	156NU70, 2×155NU70, 2×103NU70, 2-103NU70, 1NN41
2705B T60A-B	156NU70, 2×155NU70, 107NU70, 2×104NU71, 1NN41
2709B	3×OC170, 2×OC71, 2×GC500 (OC74), 2×1NN41
2710B Zuzana	3×SFT317, OC76, 104NU71, OC72, GA201
2711B Dana	3×OC170, OC75, 2×OC72, GA201
2712B Iris	3×SFT317, OC75, 2×OC72, GA201
2713B Monika	2×OC171, 3×OC170, 2×OC71, 2×OC72, 2×GA206 nebo GA201
2715B IN-70	KF125, 2×MAA125, GC521, GC511, 2×KA505, GA201
2716B RENA	KF125, 2×MAA125, 102NU70 (GC521), GC508 (GC511), 2×KA204B, GA201

2800 T58	2×154NU70, 3×153NU70, 1NN41, 104NU70, 103NU70, 2×103NU70
2800B-2 Mír	152NU70, 152NU70, 3×153NU70, 2×103NU70, 2-103NU70, 1NN41
2803 Perla	156NU70, 2×155NU70, 2×106NU70, 2×101NU71, 1NN41
2805B T61	OC170, 2×155NU70, 105NU70, 106NU70, 2×104NU71, 5NN41, 1NN41
2805B-2 Jalta	OC170, 2×155NU70, 105NU70, 106NU70, 2×104NU71, 5NN41, 1NN41
2812B Akcent	3×OC170, 2×OC171, OC71, OC75, 2×GC500, GA201, 2×GA202, 2×KA501
2815 Monika	2×OC171, 3×OC170, 2×OC71, 2×GC500, GA201, 2×GA202, KA501
2816 Gemini	2×OC171, 3×OC170, 2×OC71, 2×OC72, 2×GA206 nebo GA201
2816B Mambo	2×OC170vkv, 3×OC170, 2×GA206, GA201, 2×OC71, 2×SFT352
2816B-16 Prior	
2816B-5 Dolly	
2816B-13 Dolly 2	2×OC170vkv, 3×OC170, 2×GC516, GA202, 2-GA206, GA201, GA502, 2-GC507
2817B Twist	2×OC171, 3×OC170, 2×GA206, GA201, 2×OC71, 2×OC72
2818B Big Beat	GF505, GF515, KA201, OC170, KA201, 2×OC170, 2-GA206, GA201, OC75, GC516, 2×GC500
2818B-2 Chanson	
2821B-3 Dolly 3	2×OC170vkv, 3×OC170, 107NU70, SC206, 104NU71, GC507, GA502, GA202, GA201, 2-GA206
2822B Menuet	2×OC170vkv, 3×OC170, 107NU70, SC206, GC521/GC511, GA201, 2×GA206, GA202, KA501
2822B-3 Menuet 3	
2823B Lido	3×OC170, MAA125, 104NU71, GC507, GA201, GA202, GA502
2827AB Song Automatik	2×KF125, 3×KF124, 2×KC148, GC521K, GC511K, GC521K, KA201, GA202, GA201, 2-GA206, KZZ74, KY130/80, KA501
2828B Madison	2×OC170 vkv, 3×OC170, 107NU70, SC206, GC521, GC511, GA201, 2-GA206, GA202, KA501
2830B Capri	2×GF506, 3×GT322, 107NU70, KC508, GC521, GC511, GA201, 2-GA206, GA202, KA501
T61	2×OC170, OC169, 2×OC71, 2×OC72, 1NN41, 5NN41
2805B-3 T63	OC170, 2×155NU70, 105NU70, 106NU70, 2×101NU71, 1NN41, 5NN41

T4 2×OC171, 3×OC170, 3×OA172, 2×KA501,
2×OC71, 2×OC74

3001B Minor 1H34, 1F34, 1AF34, 1L34

3002 Minor Duo 1H33, 1F33, 1AF33, 1L33

3101B 2×1F33, 1H33, 3L31, 1AF33

3102AB Orient 1H35, 1F33, 1AF33, 3L31, 6Z31

3103AB Rekreat 1H34, 2×1F34, 1AF34, 1L34

Televizní přijímače:

4001A 8×6F32,, 1Y32, 2×6B31, 3×6CC31, 2×6L31,
2×AZ4, 6L50, 6Z31, 6BC32, 25QP20

4002A 8×6F32,, 1Y32, 2×6B31, 3×6CC31, 2×6L31,
6L50, 6Z31, 6BC32, 25QP20, 2×AZ4
rozhlasový přijímač: 2×ECH21, EM11

4102U Mánes PCC84, 3×PCF82, 3×EF80, PABC80, 2×PL82,
ECC82 PL81, PY83, DY86, 351QP44

4103U Aleš PCC84, 3×PCF82, 3×EF80, PABC80, 2×PL82,
ECC82, PL81, PY83, DY86, 1NN40, 430QP44

4106U Ametyst PCC84, PCF82, 3×EF80, PL83, PCF82, EF80,
PABC80, PL82, ECH81, PCL82, PCF82, PL36,
PY83, DY86, AW43-80, 7NN41, (selén)

4108U Azurit PCC84, 2×PCF82, 5×EF80, ECH81, 2×PCL82,
2×EAA91, PL36, PY88, DY86, PCL84, 431QQ44,
KA220/05 (36NP75), 7NN41

4110U Oravan PCC84, 2×PCF82, 5×EF80, PABC80, PL81, PL82,
PCL82, ECC82, PY83, 351QP44, 7NN41, (selén),
DY86

4111U Kriváň PCC84, 2×PCF82, 5×EF80, PABC80, PL81, PL82,
PCL82, ECC82, PY83, 430QP44, 7NN41, (selén),
DY86

4112U Carmen 2×PCF82, 5×EF80, 2×EAA91, 2×PCL82, PCC84,
PCL84, ECH81, PL36, PY88, DY86, 7NN41,
431QQ44 (AW43-88), KA220/05

4113 Štandard PCC88, PCF82, 5×EF80, PCL84, ECH84, ECC82,
PL500, PY88, DY86, 2×EAA91, 2×PCL82,
431QQ44, 7NN41, 2×3NN41, 36NP75

4114U Palas PCC88, PCF82, 5×EF80, PCL84, ECH84, ECC82,
PL500, PY88, DY86, 2×EAA91, 2×PCL82,
431QQ44, 7NN41, 2×3NN41, 36NP75

4115U Luneta PCC88, PCF82, 5×EF80, PCL84, ECH84, ECC82,
PL500, PY88, DY86, 2×EAA91, 2×PCL82,
431QQ44, 7NN41, 2×3NN41, 36NP75

4116U Marina PCC88, PCF82, 5×EF80, PCL84, ECH84, ECC82,
PL500, PY88, DY86, 2×EAA91, 2×PCL82,
470QQ44, 7NN41, 2×3NN41, 36NP75

4117U Anabela PCC88, PCF82, 5×EF80, ECH84, ECC82, PL500,
PY88, DY86, PCL84, 2×EAA91, 2×PCL82,
470QQ44, 2×3NN41, 7NN41, 36NP75

4118U Oliver PCC88, 2×PCF82, EF183, 2×EF80, PCL84,
PCL86, ECH84, PCL85, PL500, PY88, DY86,
472QQ44, 2×OC170, GA205, 2×GA204, GA201,
2×GA206, KA220/05

4119U Miriam
Marcela PCC88, 2×PCF82, EF183, 2×EF80, PCL85,
ECH84, PCL86, PCL84, PL500, PY88, DY86,
470QQ44, 2×OC170, 2×GA204, GA205, GA201,
2×GA206, KA220/05

4126U Orava 126 PCC88, 2×PCF82, EF183, 2×EF80, PCL84,
PCL85, PCL86, ECH84, PL500, PY88, DY86,
PCF802, SFT317, OC170, GA205, GA204, GA201,
2-GA206, GA204 (SFD108), KY705, 472QQ44

4128U Orava 128

4129U Orava 129

4131U Orava 131 502QQ44, EF183, 2×EF80, PCL84, PCL86,
PCH200, PCF802, PCL85, PL500, PY88, DY87,
GF507R, 2×GF505, 2×GF507, 2×OC170,
3×KA204, GA201, 2-GA206, GA205, GA202,
GA204, 2×KY724, 6NZ70+8NZ70 (KZ799),
6NZ70, GC516

4132U Orava 132 PCC88, PCF82, EF183, 2×EF80, PCL200, PCL86,
PCH200, PCF802, PCL85, PL500, PY88, DY87,
2×OC170, GA201, GA202, GA205, 2-GA206,
GA204, 2×KY724, 472QQ44

4134U Orava 134 502QQ44, EF183, 2×EF80, PCL84, PCL86,
PCH200, PCF802, PCL85, PL500, PY88, DY87,
AF239, 2×AF139, 3×OC170, GA201, 2-GA206,
GA205, GA202, GA204, 2×KY704, 6NZ70, GC516,
GA207

4135U Orava 135 EF183, 2×EF80, PCL84, PCL86, PCH200,
PCF802, PCL85, PL500, PY88, DY87, 502QQ44,
PCC88, PCF82, 3×OC170, 2×GA201, 2-GA206,
GA205, GA202, GA204, 2×KY724 (KY704)

4136U Cavallo AF109R, 2×AF106, AF239, AF240, BF267 (KF167), 2×BF273 (KF173), KC147 (KC507), KF504, 3×KF124, 4×KC147 (KC507), KC148 (KC508), 9×BA243, 1N4154, 4×BB109G, 3×BB105B, 2×GA205, GA201, 2-GA206, KA503, 2×GA202, 4×KY704, 6NZ70, MAA550, PL504, PY88, PCL805 (PCL85), PCF802, PCL86, DY87, 502QQ44

4138U Diana 502QQ44, PL504, PY88, PCL805 (PCL85), PCF802, PCL86, DY87, GF507R, 2×GF505, 2×GF507, KF167, 2×KF173, KC147 (KC507), KF504, 3×KF124, 4×KC147 (KC507), KC148 (KC508), 3×KA204, 2×GA205, 2×GA201, 2-GA206, KA203, GA204, 2×GA202, 4×KY704, 6NZ70, KZ799

4151AB Camping 25 6×GF505, 5×OC70, 4×OC170, 4×GC500, KF504, KF506, 155NU70, 2×156NU70, OC72, 2×GS501, 2NU74, 6NU74, KU601, KU605, 2×GA201, 2×GA203, GA205, 2-GA206, 2×KA503 nebo 2×KA502, KY702, KY705, 2×KY708, KY711, 4NZ70, 251QQ44, DY86

Camping 28 6×GF505, 5×OC70, 4×OC170, 4×GC500, KF504, KF506, 155NU70, 2×156NU70, OC72, 2×GS501, 2NU74, 6NU74, KU601, KU605, 2×GA201, 2×GA203, GA205, 2-GA206, 2×KA502, KY702, KY705, 2×KY708, KY711, 4NZ70, 280QQ44, DY51

4202A Akvarel 4×6CC42, 6×6F36, 2×1NN40, 2×6B32, 2×UBL21, 2×PY83, 4×UY1NS, 6L43, 6F31, 6CC41, PL81, 1Y32T, 350QP44

4203A Athos 4×6CC42, 6×6F36, 2×1NN40, 2×6B32, 2×UBL21, 2×PY83, 4×UY1NS, 6L43, 6F31, 6CC41, PL81, 1Y32T, 430QP44

4203A-5 Athos II 5×6CC42, 4×6F36, 2×6B32, 6CC41, 2×UBL21, 6L43, PL81, PY83, 1Y32T, 430QP44

4206U Astra 2×PABC80, 2×PCF82, 2×PL82, 2×ECC82, 3×EF80, PCC84, PL81, PY83, DY86, 430QP44

4206U-2

4206U-6 Astra PCC84, PCF82, 2×EF80, PCF82, PL83, PABC80, EF80, 2×PL82, 2×ECC82, PABC80, PL81, PY83, DY86, ECC82, 430QP44

4208U Narcis 2×PABC80, 2×PCF82, 2×PL82, PL83, PCL82, 2×ECC82, 3×EF80, PCC84, PL36, PY83, DY86, AW53-80

4210U-1 Kamelie PCC88, 2×PCF82, 5×EF80, PCL84, PCL82, PABC80, PL84, ECH81, EAA91, PL36, PY88, DY86, 431QQ44, 2×3NN41, 3×7NN41, KA220/05 (36NP75)

4211U-1 Lotos PCC88, 2×PCF82, 5×EF80, PCL84, PCL82, PABC80, PL84, ECH81, EAA91, PL36, PY88, DY86, 531QQ44, 2×3NN41, 3×7NN41, KA220/05 (36NP75)

4212U-1 Orchidea PCC88, PCF82, EF183, 4×EF80, PCL84, PCL86, 3×ECH84, PCL85, PL500, PY88, DY86, 590QQ44, 2-GA206, 2×GA205, 2×KA503, KA220/05

4213U-1 Mimosa PCC88, PCF82, EF183, 4×EF80, PCL84, PCL86, 3×ECH84, PCL85, PL500, PY88, DY86, 531QQ44, 2×7NN41, 2-GA206, 2×GA205, 2×KA503, KA220/05

4214U Korund 2×PCF82, 5×EF80, 2×EAA91, 2×PCL82, PCC84, PCL84, ECH81, PL36, PY88, DY86, 7NN41, AW43-88 (431QQ44), KA220/05

4216 Jantar 2×PCF82, 5×EF80, 2×EAA91, 2×PCL82, PCC84, PCL84, ECH81, PL36, PY88, DY86, 7NN41, 531QQ44, KA220/05

4218U Blankyt PCC88, 2×PCF82, EF183, 2×EF80, PCL85, ECH84, PCL86, PCL84, PL500, PY88, DY86, 590QQ44, 2×OC170, 2×GA206, 2×GA204, GA205, 2×GA201, KA220/05

4219U Dajana PCC88, 2×PCF82, EF183, 2×EF80, PCL84, PCF802, PCL86, ECH84, PCL85, PL500, PY88, DY86, 592QQ44, 2×OC170, GA205, 2×GA204, GA201, 2×GA206, KA220/05 (KY705)

Orava 219

4224U-1 Jasmín PCC88, PCF82, 2×EF183, EF184, PCL84, ECC82, PCF82, 2×AF428 (2×TG37), 2×DOG62, 2×PCL86, ECH84, PCL85, EAA91, PCF82, PL500, PY88, EY86, KA220/05, AW59-91B (590QQ44), DK60, DOG61

4225U Lilie PCC88, PCF82, 2×EF183, EF184, PCL84, 2×PCL86, ECH84, PCL85, EAA91, PCF82, PL500, PY88, EY86, AW59-91B (590QQ44), ECC82, PCF82, 2×AF428, DK-60, DOG-61, 2×DOG-62, BY238

4225U—1 Lilie Vkv 2×EF183, EF184, PCL84, PCL86, ECH84, PCL85, EAA91, PCF82, PY88, PL500, EY86, AW59-330W, AF239, ON152 (AF139), ON151 (AF139), 2×AF428 (OC170), BF520, DOG61 (GA205), 2×DOG62 (GA206), BZ1/D12 (6NZ70), DG80 (KA220/05), DOG58 (GA204)

4226U Orava 226 EF183, 2×EF80, PCL84, PCL86, PCH200, PCF802, PCL85, PL500, PY88, DY87, 592QQ44, GF507R, 2×GF505, 2×GF507, 2×OC170, 3×KA204, GA201, 2-GA206, GA205, GA202, GA204, 2×KY724, 6NZ70+8NZ70 (KZ799), 6NZ70, GC516

4229U Orava 229 EF183, 2×EF80, PCL200, PCL86, PCH200, PCF802, PCL85, PL500, PY88, DY87, 592QQ44, GF507R, 2×GF505, 2×GF507, 2×OC170, 3×KA204, GA201, GA202, GA205, 2-GA206, GA204, 2×KY724 (KY704), KZ799 (6NZ70+8NZ70), 6NZ70

4230U Orava 230 612QQ44, EF183, 2×EF80, PCL84 (PCL200), PCL86, PCH200, PCF802, PCL85, PL500, PY88, DY87, AF239, 2×AF139, 2×OC170, 2×GA201, 2×GA206, GA202, GA205, GA204, 6NZ70, 2×KY704, GC516, OC170

4232U Orava 232 592QQ44, EF183, 2×EF80, PCL200, PCL86, PCH200, PCF802, PCL85, PL500, PY88, DY87, GF507R, 2×GF505, 2×GF507, 2×OC170, 3×KA204, GA201, GA202, GA205, 2×GA206, GA204, 2×KY724, KZ799 (6NZ70+8NZ70), 6NZ70

4235U Orava 235 593QQ44, ostatní jako 4232U

4237U Orava 237 EF183, 2×EF80, PCL84, PCL86, PCH200, PCF802, PCL85 (PCL805), PL500, PY88, DY87, 612QQ44, GF507R, 2×GF505, 2×GF507, 3×OC170, GC516, 3×KA204, GA201, 2×GA206, GA205, GA202, 2×KY724, (KY704), 8NZ70, 2×6NZ70, GA201

4239U-a Orava 239 EF183, 2×EF80, PCL84, PCL86, PCH200, PCF802, PCL85, PL500, PY88, DY87, 592QQ44, AF239, 2×AF139, 3×OC170, GA201, 2-GA206, GA205, GA202, GA204, 2×KY704, 6NZ70, GC516, GA207

4241U Orava 241

612QQ44, EF183, 2×EF80, PCL84, PCL86, PCH200, PCF802, PCL85, PL500, PY88, DY87, GF507R, 2×GF505, 2×GF507, 3×OC170, 3×KA204, GA201, 2-GA206, GA205, GA202, GA204, 2×KY724, 6NZ70, KZ799, GC516, KA236

4242U Sillaro

612QQ44, PL504, PY88, PCL85, PCF802, PCL86, DY87, KF167, BF273 (KF173), KF173, KC147, KF504, 3×KF124, 4×KC147 (KC507), KC148 (KC508), (předběžně)

4243U Spoleto

612QQ44, PL504, PY88, PCL85, PCF802, PCL86, DY87, BF267 (KF167), 2×BF273 (KF173), KC147 (KC507), KF504, 3×KF124, KC148 (KC508), 4×KC147 (KC507), (předběžně)

4245U Martino

4244U Aramis

612QQ44, PL504, PY88, PCL805 (PCL85), PCF802, PCL86, DY87, GF507R, 2×GF505, 2×GF507, KF167, 2×KF173, KC147 (KC507), KF504, 3×KF124, 4×KC147 (KC507), KC148 (KC508), 3×KA204, 2×GA205, 2×GA201, 2-GA206, KA203, GA204, 2×GA202, 4×KY704, 6NZ70, KZ799

4249U Castello

AF109R, 2×AF106, AF239, AF240, BF267 (KF167), 2×BF273 (KF173), KC147 (KC507), KF504, 3×KF124, 4×KC147 (KC507), KC148 (KC508), 9×BA243, 1N4154, 4×BB109G, 3×BB105B, 2×GA205, GA201, 2-GA206, KA503, 2×GA202, 4×KY704, 6NZ70, MAA550, PL504, PY88, PCL805 (PCL85), PCF802, PCL86, DY87, 612QQ44 BF372, 2×BF516, AF279, AF280, BF267 (KF167), 2×BF273 (KF173), KC147 (KC507), KF504, 3×KF124, 4×KC147 (KC507), KC148 (KC508), 1N4154, 4×BA243, 9×BB105G, 2×GA205, GA201, 2×GA206, KA503, 2×GA202, 4×KY704, 6NZ70, KY705, MAA550, PL504, PY88, PCL805 (PCL85), PCF802, PCL86, DY87, 612QQ44 (A61-120W)

4246U Salerno

4307A Semiramis

televizní přijímač:
2×PABC80, PCC84, 2×PCF82, PL36, PL83, PY83, 3×ECC82, 3×EF80, DY86, PCL82, AW53-80
směšovač: EF86
rozhlasový přijímač
ECH81, 2×6F31, 2×6B32, EM80, 2×6CC41, 2×PL82, EM80, ECC85
magnetofon:
(EF804) EF86, EL84, ECC83, EM81, EZ80

4310 Marold
PCC84, 4×PCF82, 4×EF80, PL83, PABC80, 6B32, PL82, ECH81, PY83, PL36, DY86, 1NN41, AW53-80

4314A Brožík
televizní přijímač:
PCC84, 4×PCF82, 4×EF80, PL83, PABC80, 6B32, PL82, ECH81, PL36, PY83, DY86, 1NN41, AW53-80
rozhlasový přijímač:
ECC85, ECH81, 2×6F31, 6B32, 6BC32, EF80, PL82, EZ81, EM80
zesilovač TESLA
ECC83, 2×PL82, EZ81
zesilovač Gramofonové závody:
2×ECC83, 2×35L31, 2×35Y31

4312A Holar
televizní přijímač:
PCC84, 4×PCF82, 4×EF80, PL83, PABC80, 6B32, PL82, ECH81, PL36, PY83, DY86, 1NN41, AW53-80
rozhlasový přijímač:
ECC85, ECH81, 2×6F31, 6B32, 6BC32, EF80, PL82, EZ81, EM80
zesilovač Tesla:
ECC83, 2×PL82, EZ81
zesilovač Gramofonové závody:
2×ECC83, 2×35L31, 2×35Y31

4313 Brandl
televizní přijímač:
PCC84, 4×PCF82, 4×EF80, PL83, PABC80, 6B32, PL82, ECH81, PL36, PY83, DY86, 1NN41, AW53-80
rozhlasový přijímač:
ECC85, ECH81, 2×6F31, 6B32, 6BC32, EF80, PL82, EZ81, EM80
zesilovač Tesla:
ECC83, 2×PL82, EZ81
zesilovač Gramofonové závody:
2×ECC83, 2×35L31, 2×35Y31
magnetofon:
EF86, ECC83, EM81, EL84, EZ80 (EZ81)

4316U Děvín
PCC84, 3×PCF82, 3×EF80, PABC80, 2×PL82, ECC82, PL81, PY83, DY86, 430QP44, 1NN41

4317A Muráň
PCC84, 2×PCF82, 5×EF80, PABC80, PL81, PL82, PCL82, ECC82, PY83, 430QP44, 7NN41, (selén), DY86

4320A Diamant
2×PCF82, 5×EF80, 2×EAA91, 2×PCL82, PCC84, PCL84, ECH81, PL36, PY88, DY86, 7NN41, AW43-88 (431QQ44), KA220/05

4325A Ametyst
Sektor
televizní přijímač:
PCC84, 2×PCF82, 5×EF80, PCL82, ECH81, PCL84, PL36, PY88, 2×EAA91, DY86, AW43-88 (431QQ44)
rozhlasový přijímač:
ECC85, ECH81, 2×6F31, 2×6CC41, 2×PL82, 2×6B32, EM81

4950A UHF konvertor TAK 2×GF507
4952A UHF konvertor GF507A, GF507B, KY702

Magnetofony a diktafony:

ANP 201 Sonet
ANP210 Sonet Duo
ANP 212 B3
AZZ 941
ANP 220 B4
EF86, ECC83, EM81, EL84, EZ80 (EZ81)
EF86, ECC83, ECL82, EM84, (EM80), EZ80
2×105NU70, ECC83, ECL82, ECC82, EM84, EZ80
2×107NU70 (zesilovač k B3)
2×155NU70 nebo 2×106NU70, 105NU70,
3×106NU70, 104NU71, OC70, 2×OC72, GC500,
3×2NU72 nebo OC30, 6NN41, 3×33NP75
4×106NU70, 104NU71, OC72, 2×2NU72 nebo
OC30, 6NN41, 2×33NP75

ANP 225 B41
ANP 223 B42
ANP 221 B4
4×106NU70, 104NU71, OC72, 2×2NU72 nebo
OC30, 6NN41, 2×33NP75
5×106NU70, 105NU70, 104NU71, 3×2NU72,
2×GC507, OC70, GC500, 6NN41, 2×KY701,
GA204

ANP B44
ANP 224 B45
4×106NU70, 104NU71, OC72, 2×2NU72,
6NN41, 2×KY701
4×106NU70, 104NU71, GC507, 2×2NU72,
GA207, 2×KY701

ANP230B B58
KC149, 3×KC148, 106NU70 (105NU70), GC512K,
GC521K/GC511K, 4×KY701

ANP 250 B43
ANP 250A B43A
3×GC500, OC26, 8×106NU70, 2×GC515,
106NU70, 2×104NU71, GC507, 2×2NU72,
106NU70, GC507, 2×2NU72, GA204,
2×GA207, 2×KY701

ANP 270 B46
8×106NU70, 105NU70, 104NU71, OC72,
2×OC30, 2×6NN41, 2×KY701

ANP 229 B47 Student
105NU70, 8×106NU70, 104NU70, OC72,
2×OC30, GC500, 6NN41, 2×KY701 (KY704)

ANP240 444 Lux	{ 4x106NU70, 107NU70, GC515, 104NU71, GC507, 3x2NU72, GC507, 3xKY701, GA207, GC500
ANP240A 444 Lux Super	
ANP235 B5	
ANP256 B56	KC509, 2xKC508, 106NU70 (105NU70), KC508, GC512K, GC521K/GC511K, 2xGA203, 2xKY701 KC149 (KC509), 3xKC148 (KC508), 2x155NU70, GC521K/GC511K, KC149 (KC509), 2xKC148 (KC508), 4xKY701
ANP280 B60	KC149 (KC509), 3xKC148 (KC508), GC511K, GC521K, 2xKY701 (KY130/80), 2xGA203 (KY130/80), GA204
ANP 301 Korespondent	EF86, EBF89, ECC82
ANP303 Diton DS-1	KC149 (KC509), 3xKC148 (KC508), GC521K, GC511K, GC512, 106NU70, GC507, 2x5NU72, 4xKY702, 3xKY701, 6xOA5, 3xKA501
ANP305 Diktafon D8	KC509, 3xKC508, GC511K, GC511/GC521, GC518, GC512, 155NU70, 3xGA201, 4xKA501
517 080 MGK 10	6CC42S, 6F32, 6F36, 6L31, 6Z31, EM11
2AN 38002 Adaptér	6CC41, 6CC31, 6Z31, EM11
MF52, MF2	EF86, ECC85, EL84, EM81, 6L31, EZ81, 2NN41
ANP 401 Uran	155NU70, 3x107NU70, OC71, 2xGC500, 2-GC500, 4NZ70, 1NN41
ANP 402 Start	105NU70, 2x107NU70, 2-104NU71, 104NU71
ANP 405	2x106NU70, 107NU70, 2x104NU71, 104NU71 (nebo 102NU71, nebo 101NU71)
ANP404 Pluto	2x155NU70, 3x107NU70, 3xGC500, GC510K, 4NZ70
AYN402 Síťový zdroj Pluto	2xKY701
ANP410 A3	KC509 (C458C), KC508 (2SC281G), EFT352 (GC507), GC521K, GC511K, GC512, GC511, KC508, KY701, GA201, 3xKA501
AYN403 Síťový zdroj A3	2xKY701 nebo KY704, 4NZ70, 2-4NU72
Diktafon	ECC82, ECC83, 105NU70

Zesilovače:

KZ 8	6F31, 2x6BC32, 6CC31, 6L31, AZ12
AZK 101	3xECC83, 2xEL84, EZ81
AZK 201	2xEF86, 3xECC83, 2xEL34, GZ34, EM84, 4NN41
AZK 360 Music 130	5xKC508, 5xGC518, KT502, 3xKY705, 2xKY702, 6NZ70, KY431, EF86, ECC85, 4xEL34, EM84

AZK 401	2xEF86, 3xECC83, 2xEL34, EZ80, EM84, 5NN41, 4NN41, GZ34
AZK405 Mono 50	2xECC83, EF86, ECC85, 2xEL34, EM84, 2xKY705, 4xKY704, KY703
AZK895A Echolana 2	KC509, 105NU70, 107NU70 KC509, 2x105NU70, KY701, KY702
AZS200 Stereo	2xKC509, 2xKC508, 6xOC75 (GC518), 2xOC70 (GC515), 2x106NU70, 2xGC520, 2xGC510, 4x3NU73, 4xKY722
AZS300 Musik 30	2x107NU70, 2xOC75, 2x107NU70, 2xOC75,
AZS301 Stereo	2x155NU70, 2xOC71, 2x107NU70, 2xOC170, 2xGC510K, 2xGC520K, 4xOC27, 4xKY721, 6NZ70
AZK 400 Musik 40	2x107NU70, 5xGC518, 2x106NU70, 2xGC517, GC518, 2xKF506, KF517, 2xKU606, 4xKY710, 6NZ70

Dorozumívací zařízení:

AZD 211	ECC84, EL84
ALS 210	4x3NU70
4920 A	3PN 380 72 EC82, E88C
	3PN 381 12 E88CC, E88CC

Gramofony:

GE070	2xKC148 (KC508), GC521K/GC511K, 2xKY701R
GE071	2xKC148 (KC508), GC511K/GC521K, 2xKY701R
GZ070	2xKC148 (KC508), GC521K, GC511K, 2xKY701R
GEC071	4xKC149 (KC508), 2xGC510K, 2xGC520K, 2xKY701(R)
GZ090	2xKC148 (2xKC508), GC511K, GC521K, 2xKY701R
GZ101	2xKC148 (KC508), GC511K, GC521K, 2xKY701
GZC120	4xKC148 (KC508), 2xGC511K, 2xGC512K, 2xKY701(R)
NZC090 Stereo	4xKC148 (KC508), 2xGC511K, 2xGC521K, 2xKY701R
NZC121	4xKC148 (KC508), 2xGC511K, 2xGC512K, 2xKY701R

Různé:

AYK010 Synchronizátor	7xGC516, 4xGC515, 2xGC510, 2xGC510, 2xGA203, 6NZ70, KY701
-----------------------	---

POZNÁMKY:



národní podnik
ROŽNOV POD RADHOŠTĚM

TESLA VRŠOVICE
národní podnik
třída SNB 55
Praha-Vršovice

VÝZKUMNÝ ÚSTAV
VAKUOVĚ ELEKTRONIKY
Nademlýnská 600
Praha-Hloubětín